Switzerland. Meteorologische centralanstalt.
Annalen der Schweizerischen meteorologischen zentral-enstalt.
1944. C/di
AO
70378

DATE	ISSUED TO
2.7.47	Fricke
2-21-47	Burdeny sample
	Fricke MB

70378

Switzerland. Meteorologische Zentralanstalt.
"

ANNALEN

der

SCHWEIZERISCHEN METEOROLOGISCHEN ZENTRALANSTALT

1944

Einundachtzigster Jahrgang

QC
989
.S88
A5
1944

LIBRARY
N.O.A.A.
U.S. Dept. of Commerce

LIBRARY
NOV 13 1946
WEATHER BUREAU

City—Druck AG., Zürich 1
St. Peterstraße 10
1945

70378

Inhalt

Vorwort . . . . . Pag. III
Verzeichnis der schweizerischen meteorologischen Literatur im Jahre 1943 . . . . . » IV
Legende zu «Tägliche Beobachtungen» . . . . . » V

Tägliche Beobachtungen

der Stationen: Bern, Neuchâtel, Altdorf, Genf, Zürich, Rigi-Kulm, Bevers, Sitten, Lugano, Basel, Säntis und St. Gotthard nebst ergänzenden Witterungsnotizen . . . . . Pag. 1—76
Jungfraujoch: Tägliche Lufttemperaturen . . . . . » 77
Tägliche Maxima und Minima der Lufttemperatur der Stationen Zürich und Säntis . . . . . » 78—79
Temperaturextreme von 7 Normal-Stationen . . . . . » 80—83
Zürich: Abkühlungsgröße und Wärmeeinstrahlung . . . . . » 84

Monats- und Jahres-Uebersichten der meteorologischen Beobachtungen sämtlicher Stationen » 85 – 133

	Pag.
Aarau	102 u. 103
Adelboden	127
Airolo	131
Altdorf	96 u. 97
Altstätten	88 u. 89
Andermatt	125
Arosa	114 u. 115
Auen (Linthal)	92 u. 93
Baden	122
Basel (Binningen)	98 u. 99
Bellinzona	118 u. 119
Bern	104 u. 105
Bernhardin	118 u. 119
Bevers	116 u. 117
Beznau	102 u. 103
Bosco-Gurin	120 u. 121
Braggio	118 u. 119
Braunwald (ob Linthal)	123
Brè Monte (ob Lugano)	132
Brévine, la	125
Buffalora (Ofenpaß)	114 u. 115
Cernier	125
Château d'Oex	127
Chaumont	100 u. 101
Chaux-de-Fonds, la	98 u. 99
Chur	112 u. 113
Comprovasco	131
Davos-Platz	114 u. 115
Ebnat	123
Eichberg	132
Einsiedeln	92 u. 93
Elm	92 u. 93
Engelberg	96 u. 97
Flims	130
Frauenfeld	86 u. 87
Freiburg	104 u. 105
Genf	108 u. 109
Gitschenen (Isenthal)	124
Glarus	90 u. 91
Göschenen	96 u. 97
Grächen	129
Grimsel	106 u. 107
Grono	131
Gurtnellen	125
Guttannen	106 u. 107
Haidenhaus	88 u. 89
Hallau	102 u. 103
Heerbrugg	133
Heiden	88 u. 89
Heiligenschwendi (Thun)	127
Interlaken	106 u. 107
Jungfraujoch	108 u. 109
Kreuzlingen	86 u. 87
Kriessern (Zollamt)	132
Langenbruck	100 u. 101
Langnau i. E.	104 u. 105
Lausanne (Champ de l'air)	108 u. 109
Leukerbad	128
Leysin	110 u. 111
Locarno (Muralto)	120 u. 121
Locarno-Monti	120 u. 121
Lohn	102 u. 103
Lugano	120 u. 121
Lungern	124
Luzern	94 u. 95
Marsens	128
Martigny	128
Meiringen	106 u. 107
Montana	112 u. 113
Montreux-Clarens	108 u. 109
Muri	122
Neuchâtel	98 u. 99
Oberiberg	92 u. 93
Oberriet	132
Olten	126
Pilatus-Kulm	94 u. 95
Platta (Medels)	112 u. 113
Ragaz, Bad	90 u. 91
Reckingen	112 u. 113
Rheinfelden	126
Rigi-Kulm	94 u. 95
Rochers de Naye	110 u. 111
Romont	128
Rorschach (Mariaberg)	122
Saas-Fee	129
Säntis	90 u. 91
Sargans	90 u. 91
Sarnen	96 u. 97
Scarl (Unterengadin)	131
Schaffhausen	126
Schiers	130
Schuls	114 u. 115
Schwäbrig (bei Gais)	122
Seewis	129
Sils-Maria	116 u. 117
Sitten	110 u. 111
Soleil Mont (ob St-Imier)	126
Solothurn	100 u. 101
Splügen (Dorf)	118 u. 119
St. Beatenberg	104 u. 105
St. Bernhard	110 u. 111
St. Gallen	88 u. 89
St. Gotthard	98 u. 99
Sta. Maria	116 u. 117
St. Moritz	130
Thun	127
Tschiertschen	130
Vättis	123
Vicosoprano	116 u. 117
Walchwil	94 u. 95
Wald-Hittenberg	123
Weggis	124
Weißenstein	100 u. 101
Werthenstein	124
Widnau (Zollamt)	133
Winterthur	86 u. 87
Zermatt	129
Zürich	86 u. 87

Anhang: Ergänzende Beobachtungen und Abhandlungen.

Nr. 1. M. Grütter. Übersicht über den Witterungsverlauf in der Schweiz im Jahre 1944.
Nr. 2. Ch. Golaz. Liste des chutes de grêle en Suisse pendant l'année 1944.
Nr. 3. Ergebnisse der Niederschlagsmessungen im Jahre 1944.
Ergebnisse der im Alpengebiet aufgestellten Totalisatoren für das hydrographische Jahr 1943/44.
Nr. 4. Ergebnisse der Registrierungen der Sonnenscheinautographen im Jahre 1944.
Nr. 5. E. Wanner. Jahresbericht des Erdbebendienstes 1944. — Beobachtungen.
Nr. 6. Osservatorio Ticinese Locarno-Monti. — Beobachtungen 1944.
— Chr. Thams e Fl. Ambrosetti. Insolazione possibile nella regione del Lago Maggiore.
— Fl. Ambrosetti. Luftelektrische Messungen in Locarno-Monti.
— Chr. Thams. Ein Beitrag zum Eichproblem des Bimetallaktinographen.
Nr. 7 Aerologische Station Payerne. — Radiosondierungen 1944.
— Jean Lugeon et Paul Ackermann. Le traînage thermique dans la stratosphère.
— P. Berger. Remarques au sujet des «Assmann».
— P. Ackermann. Versuche mit einer neuen Radiosonde ohne Traînageeffekt zur Messung der Stratosphärentemperaturen bis 20 km.
— P. Ackermann. Zur Frage des Unterschiedes von Temperaturangaben zwischen Radiosonden und und Bodenstationen auf gleicher Höhe.

M. Schüepp. Das Emagramm 1944 der Schweiz. Meteorologischen Zentralanstalt.
P.-L. Mercanton. Recherches de technique pluviométrique, VII—IX.
Th. Zingg. Die Nebel- und Hochnebelhäufigkeiten in Dübendorf in den Jahren 1938/1944.

Vorwort

Der vorliegende Annalenband enthält in der üblichen Darstellungsart die Beobachtungen des 81. Jahres des schweizerischen meteorologischen Stationsnetzes.

Im *Personalbestand* der Anstalt sind folgende Änderungen zu notieren: Auf den 31. Dezember trat infolge Erreichung der Altersgrenze Herr Direktor Dr. Robert Billwiller in den Ruhestand. Während seiner 41 Jahre dauernden Tätigkeit als Meteorologe, davon drei Jahre als Direktor, haben die Annalen manchen wertvollen Beitrag aus seiner Feder erhalten. Aus dem gleichen Grunde trat auf den 31. März Herr. Dr. Walter Brückmann nach 21 Dienstjahren von seiner Tätigkeit als Leiter des Osservatorio Ticinese, Locarno-Monti, zurück. Sein Nachfolger, Herr Johann Christian Thams, übernahm die Leitung des Institutes am 1. April. Für die auf Ende 1943 krankheitshalber ausgetretene Kanzlistin und Bibliothekarin Eva Steiner wurde am 16. März neu eingestellt Fräulein Monique Lüscher und im Mai für die in den Ehestand getretene Gertrud Bieri Fräulein Gertrud Heußer. Als neuer Flugplatzmeteorologe konnte der Physiker August Braun gewonnen werden; er arbeitet seit dem 1. Juli auf der Flugwetterwarte Dübendorf.

Stationsnetz. Im Berichtsjahr wurden zwei Regenmeßstationen neu eröffnet: Val d'Illiez (Unterwallis) und Le Locle. Die erstere entstand im Zusammenhang mit dem Anbauwerk (Beobachter: L. Rey, Commissaire aux cultures). Die zweite wurde von der Gemeinde Le Locle eingerichtet. Außerdem konnten in diesem Jahre die Meßergebnisse zweier bereits bestehender Stationen in unsere Publikation aufgenommen werden: Schinznach-Dorf (Dr. E. Gerber, Bezirkslehrer) und Sihlbrugg (Wasserversorgung der Stadt Zürich). Leider hat die Anstalt im Berichtsjahre auch zwei pflichtbewußte, langjährige Mitarbeiter durch Todesfall verloren. Herr H. Amsler-Baumann, der seit dem Jahre 1900 die meteorologische Station Aarau geführt hat, ist am 10. Mai 1944 gestorben. Ferner ist Pater N. Kaeser, der die Station Engelberg seit 1906 betreut hat, altershalber auf Anfang des Jahres als Beobachter zurückgetreten und am 21. August verschieden. Glücklicherweise haben sich für beide Stationen geeignete Nachfolger finden lassen. Dagegen konnte bis jetzt trotz aller Anstrengungen für den von der Regenmeßstation Urnerboden zurückgetretenen Beobachter H. Walker kein Ersatz gefunden werden. Die bisherige meteorologische Station Martigny konnte ebenfalls nicht mehr als solche aufrechterhalten werden und wird wie früher als Regenmeßstation weitergeführt.

Zahl der Beobachtungsstationen.	1. Januar	31. Dezember
Meteorologische Stationen:	124	123
Regenmeßstationen:	277	281

Beobachterwechsel:

Station:	bisher:	neu:
* Aarau	H. Amsler-Baumann †	W. Amsler
* Bosco	W. Sartori †	A. Della Pietra
Buffalora	Chr. Waldburger	A. Pitsch
Chambrelien	E. Burdet †	M. Pachoud
Engelberg	P. N. Kaeser	P. A. Jenny
Gurtnellen	Stationspersonal SBB.	Jos. Meier
Kaiserstuhl	Kpl. Gugler	J. Fehr
Krießern	D. Vetsch	E. Bänziger
* Küßnacht a. Rigi	Polizeiposten	H. Kreienbühl
Martigny	E. Bachmann	A. Ziggerlig
Merishausen	Gg. Meister	J. Bernhardt
* Schaffhausen	Frau F. Meyer †	A. Streckeisen
Teufen	J. Tanner †	Frau L. Graf-Tanner
Tour de Gourze	D. Banderet †	Mme Banderet
* Vättis	Frau M. Kressig	A. Jäger
* Winterthur	G. Groß	A. Meyer

An den mit * bezeichneten Orten mußte die Station verlegt werden.

Der synoptische Wetterdienst arbeitete, soweit es die Zeitumstände erlaubten, normal. Die Anzahl der täglich zur Verfügung stehenden Meldungen ausländischer Stationen war allerdings sehr gering. Trotzdem wurden die täglichen Wettervorhersagen, die speziell den Bedürfnissen der Landwirtschaft angepaßt waren, veröffentlicht.

Obschon der zivile Flugverkehr auf den Gebieten der Schweiz vollständig eingestellt war, führten auch die *Flugwetterwarten in Dübendorf, Cointrin und Basel* ihren Dienst im Rahmen des Möglichen weiter.

Die Arbeiten des *Osservatorio Ticinese Locarno* sowie die Beobachtungsresultate der schweizerischen *Erdbebenwarten* sind wiederum in diesem Band publiziert. Herr Dr. Wanner hat die Absolutmessungen auf der *erdmagnetischen* Station in Regensberg weitergeführt.

Die *aerologische Station Payerne* machte im Laufe des Jahres eine größere Anzahl von Aufstiegen. Diese Sondierungen ergaben durchaus befriedigende Resultate. Der Unterzeichnete hat während seiner Sommerferien im Segelflugzeug eine Serie von luftelektrischen Messungen durchgeführt, deren Resultate in einem separaten Bande erscheinen werden. Wie bisher sind als Annex auch im vorliegenden Band ein Teil der wissenschaftlichen Arbeiten des Institutspersonals publiziert worden.

Zürich, im September 1945.

Der Direktor der
Schweizerischen Meteorologischen Zentralanstalt:

Dr. Ing. Jean Lugeon.

Verzeichnis der im Jahre 1944 erschienenen oder auf das Jahr 1944 bezüglichen schweizerischen meteorologischen und seismographischen Literatur

Abkürzungen: A. G. = Archives des Sciences physiques et naturelles, Genève. — H. P. A. = Helvetica Physica Acta. — SHSN. = Société Helvétique des Sciences naturelles. — SNG. = Schweiz. Naturforschende Gesellschaft. — NGZ. = Naturforschende Gesellschaft Zürich.

Dieses Verzeichnis führt, um Raum zu sparen, die im vorliegenden Bande publizierten und im Inhaltsverzeichnis (pag. II) aufgeführten Arbeiten nicht nochmals auf.

Annalen der Schweizerischen Meteorologischen Zentralanstalt (MZA.), 81, 1944.

Ergebnisse der täglichen Niederschlagsmessungen auf den meteorologischen und Regenmeß-Stationen der Schweiz im Jahre 1944.

Meteorologische Monatsberichte: Januar—Dezember 1944.

Täglicher Wetterbericht der MZA., 64, 1944.

Observatoire de Genève: Résumés météorologiques 1944 (A. G. 26, 1944).

Observatoire de Lausanne (Champ de l'Air): Résumés mensuels pour 1944, publ. par le Service météorologique cantonal vaudois.

Fl. Ambrosetti: Luftelektrische Messungen in Locarno-Monti. — (Verh. SNG., 1944, 98—99).

P. Berger: Pression à l'intérieur d'un ballon en Cellux. — (Actes SHSN., 1944, 107).

— Allongement et résistance à la rupture du Cellux 305, en fonction de la température. — (Actes SHSN., 1944, 107 bis 109).

— Paradoxe de la vitesse et de la force ascensionnelle des ballons en Cellux. — (Actes SHSN., 1944, 109).

— Déformation en vol des ballons en Cellux. — (Actes SHSN., 1944, 109—110).

M. Bider: Das Auftreten von Frost in Basel. — (Verh. SNG., 1944, 102).

R. Billwiller: Der Firnzuwachs pro 1943/44 in einigen schweizerischen Firngebieten (XXXI. Bericht der zürch. Gletscherkommission, VJ.-Schrift NGZ. 89, 1944, 265—268).

K. Frey: Zur Entwicklung des Föhns. — (Actes SHSN., 1944, 90—93).

E. Gerber: Die außerordentliche Witterung der Jahre 1942/43. — (Brugger Njbl. Jg. 54, 1944, 58—59).

F.-W. Paul Götz: Der Stand des Ozonproblems. — (VJ.-Schrift NGZ., Heft 4, 1944).

— Größe und Betrag der atmosphärischen Trübungsteilchen. — (Verh. SNG., 1944, 89).

H. Greinacher: Ein neuer Feuchtigkeitsmesser: Das Diffusionshygrometer. — (H. P. A., Vol. XVII., 1944).

M. Hottinger: Das heiztechnische Klima der Schweiz im Winter 1943/44 (3 Abb. und 14 Zahlentaf.). — (Schweiz. Bl. f. Heizung und Lüftung, Jg. 11, 1944, 109—118).

H. Jecklin: Betrachtungen zur schweiz. Hagelschaden-Kurve (2 Abb.). — (VJ.-Schrift NGZ. 89, 1944, 113—121).

R. Koechlin: Les glaciers et leur mécanisme. — (Libr. F. Rouge & Cie. SA., Lausanne).

A. Kreis: Seismische Sondierungen auf dem Morteratschgletscher. — (Actes SHSN., 1944, 95).

A. Kropf: Auswertung von 30jährigen Aufzeichnungen der Regenmeß-Stationen der Meteorolog. Zentralanstalt in Zürich. — (Schw. Bauzeitung, Bd. 123, 1944).

J. Lugeon: Comparaison des radiosondages de Payerne avec les observations de montagne. — (Actes SHSN., 1944 93—94).

— Un nouveau phénomène de réchauffement des thermomètres de radiosondes dans la stratosphère: le traînage thermique. — (Actes SHSN., 1944, 94—95).

O. Lütschg-Loetscher: Zum Wasserhaushalt des Schweizer Hochgebirges, I. Bd., I. Teil, Allgemeines. — (Kümmerly & Frey, 1944, 101 S., 10 Taf., 21 Fig., 6 Tab.).

— Zum Wasserhaushalt des Schweizer Hochgebirges. II. Bd., III. Teil, Forschungsgebiet Nr. 7 Davosersee. Zur Hydrologie der Landschaft Davos. — (Kümmerly & Frey, 1944, 490 S., 2 Karten, 9 Taf., 146 Textfig., 173 Tab.).

P.-L. Mercanton: Les variations périodiques des glaciers des Alpes suisses, 65e rapport 1944. («Les Alpes», Nos. 5 et 6, 1945).

— Recherches de technique pluviométrique: comparaison de totalisateurs sur le terrain. — (Actes SHSN., 1944, 106).

F. Montandon: Une crevasse séismique dans les montagnes de Rarogne. — («Le Globe», Organe de la Soc. de Geographie de Genève, tome 83e, 1944, 25—35).

F. Müller: Wolken (10 Abb.). — (Volkshochschule, Jg. 13, 1944, 261—267, 309—313).

M. Schüepp: Die Methoden zur Bestimmung der Wolkenhöhe in Gebirgsländern. — (Promotionsarbeit; City-Druck AG. Zürich).

W. Schüepp: Wetteranalysen für Lauterbrunnen und Jungfraujoch. (H. P. A., Suppl. III, 1944, 27—34).

E. J. Stucki: Ein neues Gerät zur Messung der Luftgeschwindigkeit. — Un nouvel instrument pour mesurer la vitesse de l'air. (8 Abb.). — (Schweiz. Bl. f. Heizung und Lüftung, Jg. 11, 1944, 64—70).

H(ans) M(artin) Sutermeister: Hundert Jahre Föhnforschung. — (Gesundheit und Wohlfahrt, Jg. 24, 1944, 567—593).

G. Swoboda: Schlagschatten von Wolken und auf Wolken. — (Verh. SNG., Sils 1944, 89—90).

E. Walter: Anregungen und Zahlenmaterial zum Unterricht in Meteorologie. — (Schweiz. Lehrerztg., Jg. 89, 1944, 869—870).

R. U. Winterhalter: Schnee und Reif. — (Jahrb. des Schweiz. Ski-Verbandes).

J.-P. Zehnder: Cascades de brouillard (1 fig.). — (Petit Ram. de Sapin, 16e année, 1944, 13—14).

E. Zenone: Le condizioni meteorologiche dell'Aeroporto di Locarno, dal 18 marzo 1940 al 31 agosto 1944. — (Schw. Aero-Revue, IV, 1945, 130—133).

Th. Zingg: 31 Wolkenbilder zum Wetterdienstheft. 1943. (Eidg. Drucksachen und Material-Zentrale, Bern.)

Allgemeine Charakteristik des Klimas Zürichs (Tab.). — (Statist. Jahrb. d. Stadt Zürich. Jg. 39, 1943 [1944], 43—49).

Hydrographisches Jahrbuch der Schweiz, Jg. 1944. — (Eidg. Amt für Wasserwirtschaft).

Klima und Witterung (Tab). — (Statist. Jahrb. d. Kts. Basel-Stadt, Jg. 23, 1943 [1944], 6—10).

Witterung (1 Tab.). — (Statist. Jahrb. d. Stadt Zürich, Jg. 39, 1943 [1944], 48).

Tägliche Beobachtungen

der Stationen:

Bern, Neuchâtel, Altdorf, Genf, Zürich, Rigi-Kulm, Bevers, Sitten, Lugano, Basel, Säntis und St. Gotthard

im Jahre 1944

Für die Bezeichnung der Hydrometeore und anderer Phänomene werden nach dem Vorschlag des Internationalen Meteorologen-Kongresses Wien 1873 folgende Symbole angewandt:

● = Regen	V = Duft	= Sturm
✳ = Schnee	∞ = Glatteis	= Schneegestöber
△ = Graupeln, Riesel	≡ = Nebel	= Sonnenhof
▲ = Hagel	K = Gewitter	= Sonnenring
← = Eisnadeln	< = Blitz, Wetterleuchten	= Mondhof
∩ = Tau	= Nordlicht	= Mondring
⌴ = Reif	= starker Wind	= Regenbogen
	❩ = Nebelregen	

Das Zeichen ⊠ bedeutet, daß mehr als die Hälfte der Bodenfläche in der Umgebung der Station an dem betreffenden Tag mit Schnee bedeckt war.

Die Intensität der einzelnen Erscheinungen wird durch eine dem Symbol als Exponent beigefügte ° als schwach und ² als stark bezeichnet.

In der Spalte «Witterung» bedeuten die Abkürzungen: fl. = Flocken, sch. = Schauer, tr. = Tropfen, T = Donner, fr. = früh, m. U. = mit Unterbrechungen.

Vom Jahrgang 1918 an ist die 24-Stundenzählung durchgeführt; wenn die Zeit nicht näher angegeben werden kann, so bedeutet wie bis anhin: a: Vormittags (ante meridiem), p: Nachmittags (post meridiem), n: Nachts.

Alle Zeitangaben beziehen sich auf **mitteleuropäische Zeit.**

Die römischen Ziffern geben an, daß das betreffende Phänomen um die Zeit des ersten, bzw. zweiten, bzw. dritten Beobachtungstermins beobachtet worden ist, die arabischen bedeuten die bürgerlichen Zeitstunden, das Zeichen * interpolierte Daten.

Die Windstärken sind in der sechsteiligen (halben) Beaufortskala ausgedrückt.

λ bezeichnet die geographische Länge in Graden von Greenwich, β die geographische Breite, H_b die Höhe des Stationsbarometers über dem Meer in Metern, H die Höhe der Station (des Regenmessers) über der Meeresfläche, G ist die Korrektion, welche an den Luftdruckdaten für deren Reduktion auf die Normalschwere (45° Breite und das Meeresniveau) noch anzubringen ist, h_r die Höhe des oberen Randes des Regenmessers über dem Erdboden. Die Stationen, bei denen die Höhe (des Barometergefäßes) bis auf den Dezimeter angegeben ist, sind an das schweizerische Präzisionsnivellement angeschlossen. Alle Höhen sind auf Pierre du Niton 373.6 m bezogen.

Die Schwerekorrektionen (G) sind vom Jahrgang 1936 an auf Grund neuer Berechnungen von Herrn Professor Niethammer, Basel, eingesetzt worden.

Eidgenössische Meteorologische Kommission 1944.

Prof. Dr. Th. Niethammer, Observatorium, Binningen-Basel, Präsident
Prof. Dr. L. W. Collet, Universität, Genève, Vizepräsident
Prof. Dr. P.-L. Mercanton, Lausanne
Prof. Dr. W. Jost, Gymnasium, Bern
Prof. A. Kreis, Kantonsschule, Chur
Prof. Dr. Ch. Borel, Gymnasium, La Chaux-de-Fonds
Prof. Dr. Fr. Gaßmann, ETH. Zürich

ERRATA

1942.

Anhang Nr. 7 Seite 35, 1. Spalte: 13. VI.,
6. Minute H = 2570 (nicht 1570),
31. Minute H = 9544 (nicht 9444).

1944.

Seite 13. **Neuchâtel.** Die Windstärkeziffern vom 24. und 25. März 13^{30} sind zu vertauschen.

Seite 18. **St. Gotthard.** Niederschlagssumme 283.2 (nicht 282.1).

Seite 48. **Säntis.** Windstärke am 31. August 13^{30} = 4 (nicht 3).

$\lambda = 7° 26'$, $\beta = 46° 57'$,
$H_b = 572.2$ m, $G = 0.00$ mm.

Bern

Januar 1944.
Beobachter: *Tellur. Observatorium.*

Tag	Lufttemperatur					Luftdruck			Relative Feuchtigkeit			Windrichtung und Stärke			Bewölkung			Niederschlag	Witterung
	7^{30}	13^{30}	21^{30}	Mittel	Abweich. vom Normalst	7^{30}	13^{30}	21^{30}	7^{30}	13^{30}	21^{30}	7^{30}	13^{30}	21^{30}	7^{30}	13^{30}	21^{30}		
1	−5.9	−0.8	−1.3	−2.7	−1.1	719.0	718.4	718.9	95	57	90	SE 2	SE 1	S 0	1	8	10	0.7	⊛
2	−0.9	2.9	1.5	1.2	2.8	719.5	719.7	720.5	100	78	96	S 0	SE 0	S 0	9	9	10	.	✳ $0^1/_4$-2, 4 ⊛
3	2.1	4.1	1.1	2.4	4.0	719.6	717.9	716.3	72	54	78	SSW 1	SW 2	WSW 3	10	9	3	.	
4	4.1	1.2	−1.1	1.4	3.1	710.5	712.0	713.9	63	85	94	WSW 3	NNW 3	W 2	10	9	9	3.8	● $8^1/_2$-12 m.U., ✳ $11^1/_4$-21
5	−1.9	−0.8	−3.3	−2.0	−0.3	718.9	722.0	723.9	95	53	71	SW 0	NE 1	NE 1	10	8	1	.	✳ $5^3/_4$-6 [zeitw. ⊛
6	−8.5	−3.5	−7.1	−6.4	−4.7	724.1	723.0	722.4	92	68	87	SE 1	E 0	S 0	1	1	0	.	⌙ ⊛
7	−9.4	−2.3	−5.7	−5.8	−4.0	721.0	719.4	719.4	96	74	92	S 0	E 0	S 0	1	1	4	.	≡ $9^1/_4$-mtgs., Ψ III, ⌙ I
8	−8.1	−0.9	−3.3	−4.1	−2.3	717.2	715.2	714.8	98	65	88	S 0	SE 0	S 0	1	4	9	.	Ψ ($18^1/_2$), Ψ III, ⌙ I
9	−3.8	4.8	2.2	1.1	2.9	713.9	714.2	714.0	93	50	70	SW 0	W 2	SE 0	9	9	10	0.1	
10	2.4	3.0	3.2	2.9	4.7	712.3	712.6	713.9	96	97	99	SW 1	S 0	SW 0	10●	10	10●≡	6.2	● $7^1/_4$-$21^1/_2$ m.U., ≡ abds.
11	2.7	5.4	2.1	3.4	5.2	715.2	716.0	716.3	100	93	100	SE 0	S 0	S 0	10≡	9	10≡	0.1	● $0^1/_2$-$7^1/_4$ m.U., ≡ n-n m.U.
12	2.4	5.2	4.0	3.9	5.7	716.5	717.4	718.9	97	88	97	S 1	S 0	SE 0	10	9	5	0.0	● $5^1/_2$
13	2.5	6.6	2.4	3.8	5.6	719.6	719.0	719.5	100	80	98	S 0	S 0	SE 0	10	9	8	.	●
14	−0.7	5.4	1.2	2.0	3.8	722.0	722.8	724.9	98	67	100	S 0	S 0	NE 0	7	9	10	1.1	● 16-$17^3/_4$, Ψ I, ≡ 20-n, ⌙ I
15	−1.2	4.3	0.0	1.0	2.8	726.2	725.6	725.3	97	86	98	SE 0	NE 2	NE 0	9≡	8	4	.	≡ 7-mtgs, ⌙ I
16	−0.8	1.0	−0.5	−0.1	1.7	724.8	725.1	**726.8**	94	80	89	SE 1	N 1	S 0	10	10	10	.	⌙ I
17	−2.3	−1.3	−2.5	−2.0	−0.3	726.7	725.5	724.2	95	87	98	W 1	S 0	SW 0	10	10	10≡	.	≡ n ($17./18.$) zeitw.
18	−3.9	−1.5	−2.4	−2.6	−0.9	722.8	721.5	721.8	98	88	96	W 1	NW 0	W 0	10	10	10	.	
19	−2.6	−1.8	−2.9	−2.4	−0.7	721.1	720.6	720.6	92	88	93	NE 0	W 0	W 0	10	10	10	.	
20	−2.9	−0.7	−0.5	−1.4	0.2	721.2	721.1	721.8	90	77	89	S 0	N 0	S 0	10	6	10	.	
21	−0.3	4.2	2.6	2.2	3.8	720.5	719.6	721.5	93	66	99	W 1	W 0	SE 0	10	10	10	2.6	● $13^3/_4$-$21^3/_4$ m.U., ≡ n-n m.U.,
22	0.1	3.1	−0.2	1.0	2.6	721.5	720.5	717.2	100	83	100	N 0	NW 1	W 1	9	8	10≡	.	≡ n-mtgs., $20^1/_2$-n [⌙ I
23	−2.5	**7.7**	2.5	2.5	4.0	711.3	708.6	709.8	98	**30**	98	S 0	WSW 3	WSW 3	10≡	10	10●	4.5	● $15^1/_4$-16, $20^1/_2$-$22^1/_4$, ≡ a, ⌙ I
24	2.7	5.5	2.8	3.7	5.2	713.3	713.3	709.3	76	47	74	W 3	WSW 2	S 0	10●*	1	10	3.3	● $1^1/_2$-$8^3/_4$ zeitw., ✳ $7^1/_2$-$8^3/_4$
25	5.2	5.1	2.7	4.3	5.7	707.3	**707.2**	708.5	94	79	93	WSW 3	WSW 3	WSW 3	10	9	10	8.8	● $0^1/_4$-22 m.U., ✳ 18-$23^1/_4$ m.U.
26	1.7	3.9	0.7	2.1	3.5	715.1	718.5	720.1	83	40	98	W 1	WSW 3	SW 0	9	8	10●*	6.8	✳ $0^1/_2$-$5^1/_4$ m.U., ●✳ $18^1/_2$-n
27	0.8	4.9	3.7	3.1	4.4	721.3	723.2	725.6	100	88	98	SW 0	S 0	S 0	10≡	9	4	.	✳ n-$5^3/_4$ m.U., ≡ n-$11^1/_2$
28	0.7	7.1	2.3	3.4	4.7	725.3	724.6	724.6	97	72	98	SE 1	S 0	S 0	3	2	0	.	
29	−1.6	4.5	−1.9	0.3	1.5	724.6	723.7	723.5	99	77	100	SE 0	SE 0	W 0	10≡	1	4≡	.	≡ n-$11^1/_2$, ⌙ I
30	−4.2	4.1	−1.4	−0.5	0.6	723.2	722.3	721.9	98	65	98	W 0	SE 0	W 0	1	0	0	.	⋁ I
31	−4.7	3.1	−2.5	−1.4	−0.3	721.9	720.9	721.1	98	63	100	N 0	NW 0	W 0	10≡	1	8≡	.	≡ n-mtgs., 18-n, ⋁ I
																		Summe	
Mittel	−1.3	2.7	−0.1	0.5	—	719.3	719.1	719.4	93	72	93				8.1	7.0	7.4	38.0	

$\lambda = 6° 57'$, $\beta = 47° 0'$,
$H_b = 487.3$ m, $G = 0.02$ mm.

Neuchâtel

Januar 1944.
Beobachter: *Observatorium.*

1	−3.0	0.4	−0.2	−0.9	−0.4	727.2	726.3	727.0	92	82	93	NE 0	S 1	W 1	7	10	10*	4.0	✳ 17-n
2	0.6	3.9	2.8	2.4	2.9	727.4	727.4	728.3	98	90	76	SW 1	SW 1	NW 1	10	6	3	.	⊛
3	3.1	4.3	3.0	3.5	4.1	727.4	725.8	724.4	81	78	82	W 1	SW 1	SW 2	10	10	9	0.6	
4	3.2	3.1	0.4	2.2	2.8	719.5	719.7	722.4	88	73	77	SW 4	SW 2	SW 1	10	10*	10*	8.0	● n-a m.U., ✳ $13^1/_2$-14, n
5	−1.0	1.6	−2.4	−0.6	0.0	726.1	730.2	731.2	75	51	68	NW 2	NE 1	NE 1	8	4	2	.	⊛
6	−5.4	−2.2	−5.4	−4.3	−3.6	732.2	731.4	730.5	83	82	85	NE 1	E 1	NE 0	1	0	0	.	⊛
7	−8.0	−1.7	−4.3	−4.7	−4.0	729.1	727.7	727.2	94	86	91	NE 0	SE 1	E 0	0	6	0	.	⊛
8	−7.3	−0.8	−1.8	−3.3	−2.6	725.3	723.5	722.4	94	85	88	E 0	E 1	W 0	0	3	3	.	⊛
9	3.1	4.2	4.0	3.8	4.5	721.7	722.1	721.8	54	66	70	SW 3	SW 2	W 1	9	10	10	0.5	⊛
10	2.9	4.4	4.0	3.8	4.5	720.2	720.6	722.1	90	90	98	SW 2	SW 2	W 1	10●	10●	10	2.1	●° n-n m.U.
11	5.0	6.9	4.5	5.5	6.2	722.9	723.7	724.1	94	90	98	SW 0	SW 0	SE 0	10	9	10	0.1	≡ III
12	5.2	6.9	6.9	6.3	7.0	724.2	725.4	726.7	93	85	87	W 1	SW 1	W 0	10	10	3	.	●tr. a
13	2.9	5.9	2.4	3.7	4.4	727.4	727.0	727.5	100	88	96	NE 0	E 0	NW 0	10	10	6	.	
14	1.3	2.2	3.4	2.3	3.0	729.6	731.0	732.8	100	100	100	NW 0	SW 1	NW 0	10≡	10≡	4	2.4	● seit 14, ≡ n-n
15	4.5	5.9	1.9	4.1	4.7	734.1	733.6	733.3	93	85	95	NE 1	E 1	NE 2	10	10	3	.	
16	0.0	1.5	1.0	0.8	1.4	733.2	733.4	**734.9**	91	85	87	NE 2	NE 1	E 0	10	10	10	.	
17	0.0	0.8	−0.9	0.0	0.6	734.8	733.7	732.3	91	87	96	NW 1	SW 0	E 0	10	10	10	.	
18	−1.8	−0.5	−0.8	−1.0	−0.4	731.0	729.7	729.9	96	92	96	NE 0	SE 0	E 0	10	10	10	.	
19	−1.8	−0.9	−1.4	−1.4	−0.9	729.0	728.7	728.9	96	92	92	NE 0	E 0	NE 0	10	10	10	.	
20	−1.2	0.3	0.2	−0.2	0.3	729.0	729.4	730.1	92	88	91	N 0	SW 1	SW 0	10	10	10	.	
21	0.6	4.4	2.5	2.3	2.8	728.6	727.6	729.3	98	79	98	SW 0	SW 1	W 0	10	10●	0	0.9	● seit $12^1/_2$
22	−0.4	4.1	1.8	1.8	2.2	729.6	728.6	725.2	100	90	95	E 0	S 1	W 1	10	6	10	.	≡ n-$11^3/_4$
23	2.6	8.5	5.4	5.5	5.8	728.9	726.3	727.1	76	48	77	W 2	SW 4	SW 3	4	10	3	3.3	● 14-n m.U.
24	3.6	7.1	5.0	5.2	5.5	729.5	721.0	717.1	79	60	74	W 2	SW 2	W 1	10	2	10	10.9	● n-a
25	6.4	4.6	2.6	4.5	4.8	**714.2**	714.9	715.5	76	90	88	SW 2	SW 2	SW 3	10	9	7	7.6	● n, 11-n m.U.
26	2.9	4.1	1.4	2.8	3.0	722.5	726.6	728.4	64	66	95	NW 2	SW 2	SW 2	3	10	10*	10.9	✳ fl. zeitw., ● ✳ 19-n
27	2.7	6.2	5.6	4.8	5.0	729.1	731.2	733.5	98	93	97	W 3	W 1	SW 0	10●	9	10●	1.5	● a, abds.
28	2.6	7.4	3.2	4.4	4.5	733.0	732.5	732.4	98	84	92	E 0	SW 1	NW 0	1	1	0	.	
29	0.6	2.0	0.9	1.2	1.3	732.7	732.0	731.5	100	100	100	N 0	SW 1	W 0	10≡	10≡	10≡	.	≡ n-n
30	−1.4	0.4	−0.7	−0.6	−0.6	731.3	730.7	730.2	100	94	100	NW 0	SW 1	SW 0	10	10	10≡	.	≡ III
31	−2.9	−0.6	−1.0	−1.5	−1.5	730.0	729.3	729.3	100	100	100	SW 0	N 0	N 0	10≡	10≡	10≡	.	≡ n-n
																		Summe	
Mittel	0.6	3.0	1.4	1.7	—	727.2	727.1	727.3	90	83	90				8.1	8.2	6.9	52.8	

Januar 1944.
Beobachter: Frl. *H. Nager.*

Altdorf

$\lambda = 8° 39'$, $\beta = 46° 53'$,
$H_b = 456.3$ m, $G = -0.05$ mm.

Tag	Lufttemperatur					Luftdruck			Relative Feuchtigkeit			Windrichtung und Stärke			Bewölkung			Niederschlag	Witterung
	7^{30}	13^{30}	21^{30}	Mittel	Abweich. vom Normalst	7^{30}	13^{30}	21^{30}	7^{30}	13^{30}	21^{30}	7^{30}	13^{30}	21^{30}	7^{30}	13^{30}	21^{30}		
1	−3.0	0.1	−0.7	−1.2	−1.4	729.9	729.2	729.2	75	54	70	E 0	SE 0	SE 0	4	3	10	1.3	
2	−0.8	2.7	1.4	1.1	0.9	729.5	729.8	731.0	95	77	97	NW 0	SE 0	SE 0	10	10	10	.	
3	1.0	3.7	−0.4	1.4	1.3	729.7	728.0	726.5	97	73	81	SE 0	SE 0	SE 0	10	10	9	.	
4	1.0	4.0	0.8	1.9	1.8	720.3	720.3	723.0	73	52	65	SE 0–1	NE 2–3	NW 2	10	10*	10*	16.5	✳ II, III
5	−0.2	0.5	−4.7	−1.5	−1.6	727.4	732.2	735.3	77	65	73	NW 2	N 0	E 0	10	9	7	1.8	✳ p zeitw.
6	−8.7	−3.3	−8.3	−6.8	−6.9	735.7	734.3	733.2	75	53	83	SE 0	S 0	SE 0	4	0	2	.	
7	−8.6	1.1	−6.6	−4.7	−4.8	731.9	730.0	730.2	89	63	87	SE 0	SE 0	SE 0	2	0	0	.	
8	−7.5	−0.7	−4.8	−4.3	−4.4	727.8	725.4	724.6	85	60	86	SE 0	SE 0	S 0	0	0	4	.	
9	−2.8	2.1	3.4	0.9	0.8	724.2	724.4	723.6	94	64	47	E 0	NE 0	N 0	10	0	10	.	
10	1.3	3.9	2.2	2.5	2.4	722.1	722.0	723.9	84	88	98	SE 0	E 0	NW 0	10	10●	10●	9.8	● II, III
11	2.1	4.2	1.1	2.5	2.4	725.5	726.6	726.4	98	97	97	SE 0	SE 0	SE 0	10●	10●	3	1.2	● I, II
12	2.8	4.1	2.8	3.2	3.0	726.6	727.4	728.8	90	90	96	W 0	NW 0	SE 0	10●	10●	10	2.2	● I, II, ≡ abds.
13	2.7	6.8	1.1	3.5	3.3	730.1	729.0	730.0	98	91	91	E 0	E 0	E 0	10	2	4	.	
14	0.0	5.8	1.7	2.5	2.3	732.3	733.1	736.0	93	68	90	E 0	W 0	S 0	2	4	0	.	
15	0.8	1.6	0.0	0.8	0.6	**737.5**	736.9	736.7	97	93	96	E 0	E 0	SW 0	10≡	10	10	.	≡ I
16	−0.6	0.8	0.3	0.2	0.0	736.6	735.9	**737.5**	87	78	86	E 0	E 0	SE 0	10	10	10	.	
17	−1.2	0.9	−1.6	−0.6	−0.8	736.8	736.4	733.8	87	79	95	SE 0	W 0	SW 0	10	10	10≡	.	≡ III
18	−2.1	−0.4	−1.1	−1.2	−1.5	734.0	732.2	732.5	93	83	90	E 0	S 0	NW 0	10	10	10	.	
19	−1.5	0.5	0.9	0.0	−0.3	731.7	730.7	731.0	89	75	83	E 0–1	E 0	E 0	10	10	10	.	
20	−2.6	−0.2	−2.0	−1.6	−1.9	731.3	731.7	732.3	86	82	94	E 0	E 0	E 0	10	7	3	.	
21	−0.4	5.6	2.4	2.5	2.2	730.8	729.3	731.6	84	57	96	NE 0–1	NW 0	SE 0	10	8	10	6.7	● ($17^1/_2$)
22	2.4	5.6	0.4	2.8	2.4	731.7	730.3	727.0	98	66	85	SE 0	SE 0	SE 0	10●	2	4	0.2	● I
23	−0.7	**7.2**	6.1	4.2	3.8	721.1	717.3	717.4	96	42	57	NE 0	NW 0	NW 1	8	7	10	2.7	
24	6.2	6.3	2.6	5.0	4.6	721.3	723.0	718.9	**33**	50	51	NW 2	NW 0	NW 0	10	2	10	4.0	
25	5.0	6.9	3.2	5.0	4.5	716.7	**715.3**	717.0	85	77	95	NW 0	NW 0	NW 0	10●	10	10●	6.4	● I, III
26	3.6	5.2	3.8	4.2	3.7	723.7	727.1	730.5	52	**33**	50	NW 3	NW 3	NW 0	10●	8	10●	**22.0**	● I, III
27	1.0	3.7	2.3	2.3	1.7	731.3	733.4	735.7	95	90	96	E 0	E 0	NW 0	10●	10	7	2.8	● I
28	2.2	**7.2**	3.4	4.3	3.7	735.5	734.5	734.9	97	69	86	E 0	E 0	NW 0	1	0	4	.	
29	1.4	6.5	1.0	3.0	2.3	734.9	733.8	733.7	93	62	80	E 0	NW 0	SE 0	9	0	0	.	
30	−1.1	5.3	0.3	1.5	0.8	733.3	732.2	732.5	88	65	75	S 0	NW 1	NW 0	7	0	0	.	
31	−2.0	1.2	−1.0	−0.6	−1.4	732.2	731.8	731.6	90	93	97	NW 0	N 0	NW 0	7	10≡	10≡	0.1	≡ II, III
																		Summe	
Mittel	−0.3	3.2	0.3	1.1	—	729.5	729.1	729.6	86	71	83				8.2	6.2	7.0	77.7	

Januar 1944.
Beobachter: *Observatorium.*

Genf

$\lambda = 6° 9'$, $\beta = 46° 12'$,
$H_b = 405.0$ m, $G = -0.03$ mm.

1	−0.8	2.4	1.2	0.9	0.6	733.6	733.5	734.4	84	60	78	E 0	NNE 1	ENE 0	1	3	9	.	
2	−0.2	4.4	0.0	1.4	1.1	735.6	735.2	735.8	97	87	95	ENE 0	NE 0	E 0	7	1	3	.	
3	−1.2	4.4	0.8	1.3	1.0	735.5	733.8	733.1	96	72	85	NE 0	ENE 0	ENE 0	10	8	5	.	
4	2.9	5.2	1.4	3.2	3.0	728.8	727.7	730.2	81	81	78	ENE 0	E 1	NE 1	10	7	8	.	
5	0.6	2.0	−0.1	0.8	0.6	733.9	736.6	738.3	71	67	98	E 0	NNE 2	NNE 2	9	3	2	.	
6	−4.0	0.0	−4.7	−2.9	−3.1	739.0	738.2	737.8	100	97	100	E 1	NNE 1	E 0	2	1	0	.	
7	−8.2	−0.2	−3.4	−3.9	−4.1	736.4	734.6	734.6	100	97	100	E 0	NE 0	E 0	2	0	0	.	⌴ I
8	−7.2	1.3	−2.4	−2.8	−3.0	732.6	730.4	730.3	100	96	96	E 0	ENE 0	E 0	2	0	0	.	⌴ I
9	3.4	7.6	3.2	4.7	4.5	729.4	730.2	730.0	78	53	76	S 1	S 1	NE 0	9	3	8	1.5	● n (9./10.)
10	2.5	4.2	3.7	3.5	3.3	728.8	728.9	729.9	93	88	100	NE 1	NE 0	E 0	10●	10●	10≡	1.2	● n–n m.U., ≡ III
11	3.0	**9.9**	2.5	5.1	4.9	730.6	730.7	732.0	97	77	89	NW 0	E 0	E 0	9≡	1	9	.	≡ I
12	3.5	8.2	5.8	5.8	5.6	732.4	732.9	734.1	93	83	93	E 0	ESE 0	NE 0	9	9	9	.	
13	1.1	6.8	2.0	3.3	3.1	734.7	734.0	734.8	98	87	96	E 0	E 0	ESE 0	10≡	7	2	.	≡ I
14	−0.2	1.9	1.6	1.1	0.9	737.3	738.4	739.9	100	98	100	ESE 0	ENE 0	E 1	10≡	10≡	10≡	.	≡ n–n
15	3.0	5.3	4.6	4.3	4.0	741.0	740.5	740.1	100	82	82	E 0	NE 0	NE 1	10≡	10	9	.	≡ I
16	2.4	2.4	1.7	2.2	1.9	739.7	740.7	**742.4**	82	84	82	NE 1	NE 1	E 1	10	10	10	.	
17	−0.1	1.2	0.6	0.2	−0.1	742.1	740.6	739.8	97	88	88	E 0	ENE 0	E 0	10	10	10	.	
18	−1.0	−0.2	−0.8	−0.7	−1.0	738.4	736.9	737.5	92	90	92	E 0	E 0	ESE 0	10	10	10	.	
19	−0.8	1.1	0.8	0.4	0.0	736.4	735.7	735.9	92	86	85	SSW 0	E 0	E 0	10	10	10	.	
20	−0.8	1.3	0.9	0.5	0.1	736.6	736.4	737.1	89	81	73	E 1	ENE 0	E 0	10	9	0	.	
21	−1.0	4.4	3.2	2.2	1.8	736.1	735.2	737.1	92	80	97	E 0	NE 0	E 0	5	10	10≡	4.0	● seit 14, ≡ III, ⌴ I
22	1.1	2.6	1.6	1.8	1.3	737.1	735.5	733.3	98	96	100	ESE 0	NE 0	E 0	10≡	10	10≡	.	≡ I, III
23	4.2	8.2	6.4	6.3	5.8	727.1	726.1	726.4	91	**52**	85	E 0	SW 1	W 1	8	10	10●	7.3	● $14^1/_2$–n
24	4.0	8.8	7.6	6.8	6.2	729.8	728.2	726.0	71	**52**	58	S 1	S 1	SW 1	9	1	10	**8.8**	● n (24./25.)
25	7.2	8.5	4.9	6.9	6.3	**723.3**	**723.3**	725.2	85	72	68	SW 1	S 2	SSW 1	9	7	10●	4.8	● $15^1/_2$–n
26	4.2	6.0	2.0	4.1	3.4	732.0	735.0	736.8	62	61	93	N 1	SW 1	N 0	6	9	10●	6.4	● $18^1/_2$–n, ✳ n
27	2.4	7.8	5.2	5.1	4.4	737.9	739.1	740.9	96	84	97	NE 0	NE 0	NE 0	10	5	10	.	≡ a
28	1.0	4.2	1.2	2.1	1.3	740.8	740.0	740.2	100	100	100	E 0	NE 0	ENE 0	10≡	5	10≡●	.	≡ n–n m.U., ● III
29	−1.0	0.6	0.6	0.1	−0.7	740.1	739.7	739.2	100	100	100	E 1	E 0	E 0	10≡	10≡	10≡	.	≡ n–n
30	−2.2	−1.3	−1.5	−1.7	−2.6	739.1	738.3	737.9	100	100	100	NE 0	E 1	E 0	10≡	10≡	10≡	.	≡ n–n
31	−2.6	−1.1	−1.2	−1.6	−2.6	737.5	736.6	736.9	100	98	100	E 0	ESE 0	E 0	10≡	10≡	10≡	.	≡ n–n, ⌴ I
																		Summe	
Mittel	0.4	3.8	1.6	1.9	—	734.9	734.6	735.1	92	82	90				8.3	6.7	7.5	34.0	

$\lambda = 8°\ 33'$, $\beta = 47°\ 23'$,
$H_b = 493.2$ m, $G = 0.03$ mm.

Zürich

Januar 1944.
Beobachter: *Meteorol. Zentralanstalt.*

Tag	Lufttemperatur					Luftdruck			Relative Feuchtigkeit			Windrichtung und Stärke			Bewölkung			Niederschlag	Witterung
	7^{30}	13^{30}	21^{30}	Mittel	Abweich. vom Normalst	7^{30}	13^{30}	21^{30}	7^{30}	13^{30}	21^{30}	7^{30}	13^{30}	21^{30}	7^{30}	13^{30}	21^{30}		
1	−2.4	1.3	−0.8	−0.6	0.2	726.3	725.1	725.5	89	59	95	SE 1	SSW 1	SSE 1	2	5	10*	5.1	✳ 18½-n
2	1.0	4.0	4.6	3.2	4.1	726.0	726.2	726.9	98	86	68	SSW 1	S 1	SW 2	10●	10	10	0.0	✳ n-3
3	4.2	5.1	3.4	4.2	5.1	725.9	724.2	722.5	65	62	68	SSW 1	SW 1	SW 2	9	10	8	0.0	✳°sch. p zeitw.
4	4.0	−0.2	−0.6	1.1	2.0	716.1	717.9	720.1	79	98	95	SW 3	NNW 3	NW 1	10	10*	10	16.2	● 8¼-10½, ✳sch. 10½-21¼
5	−1.3	0.6	−2.8	−1.2	−0.2	725.4	729.3	731.9	93	56	91	NW 1	NNW 1	W 1	10	6	10*	0.6	✳6¼-8, p-21¾ zetiw.
6	−8.0	−3.2	−7.6	−6.3	−5.3	731.9	730.7	729.7	97	74	97	SSE 0	WNW 0	WNW 0	0≡	0	0	.	≡ a, ⌴ l
7	−7.9	−1.6	−5.4	−5.0	−4.0	728.2	726.5	726.6	95	73	97	SE 0	S 0	SE 0	10	0≡	2	.	≡ a, p zeitw., ⌴ l
8	−8.3	0.1	−2.4	−3.5	−2.5	724.0	722.3	720.8	95	66	91	ESE 0	ESE 0	SSE 0	3	0	8	.	≡ a
9	−1.0	6.2	5.4	3.5	4.5	720.5	720.7	720.0	89	47	63	SE 0	W 1	WSW 3	10	3	10	0.3	
10	5.0	5.8	5.7	5.5	6.5	718.2	718.3	720.1	86	85	93	WSW 4	WNW 2	WSW 2	10●	10●	10	11.9	● 7½-n m.U.
11	4.7	3.8	3.6	4.0	5.0	722.3	723.3	722.9	98	96	98	W 0	N 0	WNW 1	10	10●	10≡	3.7	● n-16¼ ztw., ≡ p-n ztw.
12	6.0	7.2	7.8	7.0	8.0	722.7	723.6	725.6	86	89	83	W 1	W 1	W 1	10	10	10	1.5	● 4¾-15¼ zeitw.
13	5.4	8.5	5.5	6.5	7.5	726.7	725.8	726.3	97	76	90	SSE 0	S 0	S 0	10	9	9	.	≡ a
14	1.4	6.3	5.5	4.1	5.1	728.3	729.6	732.8	98	75	97	S 0	SSE 0	WNW 0	9≡	9	10	4.1	● 14¾-18, ≡ a, ⌴ l
15	3.7	4.9	2.0	3.5	4.5	733.9	733.6	733.3	97	83	88	SSE 0	N 0	WSW 1	10≡	10	6	.	≡ a
16	1.2	3.8	2.6	2.5	3.5	733.3	732.9	733.9	88	70	89	W 1	E 2	N 1	10	5	10	.	
17	0.2	1.0	−0.4	0.3	1.3	**734.0**	733.0	731.4	90	84	94	WSW 1	SSW 1	SSE 0	10	10	10	.	
18	−2.0	−1.1	−1.4	−1.5	−0.5	730.0	728.8	729.0	95	87	90	SSE 1	SE 1	WNW 1	10	10	10	.	
19	−1.8	−0.6	−1.2	−1.2	−0.2	728.3	727.6	727.8	91	86	89	NW 1	SE 0	ENE 1	10	10	10	.	
20	−2.1	2.2	1.0	0.4	1.4	728.1	728.3	728.5	90	70	90	WNW 0	NW 1	SSE 0	10	0	10	.	
21	0.5	6.2	4.0	3.6	4.5	727.2	726.0	728.3	93	65	98	ESE 0	NNW 1	N 0	9	10	10≡	2.9	● 15-22½ m.U., ≡ n. ⌴ l
22	2.1	7.1	2.0	3.7	4.6	728.6	727.1	723.8	90	63	95	S 0	SSW 1	SE 1	9	6	0	.	
23	0.4	10.5	0.9	3.9	4.8	717.5	714.3	716.1	92	**32**	97	SE 1	W 2	WNW 2	9	9	10*●	8.0	● 15½-17, ● ✳ 21-22¼
24	2.7	6.6	2.6	4.0	4.9	718.6	720.1	715.8	85	55	84	WSW 3	SW 2	SSE 1	9	3	10	4.9	●✳ 2¾-3, ●° 4¾-7¼ m.U.
25	5.6	7.2	2.0	4.9	5.7	713.3	**712.9**	713.5	94	71	88	WSW 2	WNW 2	WSW 3	10●	10●	10	7.4	●°sch. 1¼-19½ ztw., ✳ 20¼-n
26	2.0	3.8	2.9	2.9	3.7	720.8	724.3	726.5	82	61	73	WNW 1	W 2	W 2	6	9	10	5.8	[m.U. ✳ n-4¾ ztw., ✳fl. 22½
27	2.5	7.2	7.9	5.9	6.7	726.8	729.3	731.5	96	77	72	SSE 1	W 3	SSW 3	10●	10	10	0.5	● ✳ 0-7, ●° 7-12
28	7.6	10.5	7.5	8.5	9.2	731.7	730.9	731.5	75	66	77	S 0	WSW 2	NW 1	9	7	9	.	
29	4.8	**10.7**	2.8	6.1	6.8	731.5	730.3	729.8	93	57	96	SSE 1	S 1	ESE 1	9	0	0	.	
30	−2.0	9.2	2.1	3.1	3.7	729.7	728.9	729.1	99	51	88	SE 0	S 1	W 1	2	0	0	.	⌴ l
31	−2.0	0.9	−1.0	−0.7	−0.2	729.3	728.3	728.1	97	82	98	ENE 1	NW 0	NW 1	10≡	0	10	.	≡ a, p-n m.U., ⌴ l
																		Summe	
Mittel	0.8	4.3	1.9	2.3	—	726.0	725.8	726.1	91	71	88				8.5	6.5	8.1	72.9	

$\lambda = 8°\ 30'$, $\beta = 47°\ 3'$,
$H_b = 1787.3$ m, $G = 0.20$ mm.

Rigi-Kulm

Januar 1944.
Beobachter: *J. Wiget.*

1	−11.8	−8.2	−5.5	−8.5	−4.4	616.5	615.7	615.8	90	90	95	W 0	W 2	W 4	9	4	10≡*	8.6	✳ 17-n, ≡ III
2	−3.8	−3.0	−4.8	−3.9	0.2	617.6	618.0	618.4	98	98	100	W 3	W 4	W 3	10*	10≡	10≡	0.7	✳ n-8, ≡ II, III
3	−6.8	−6.8	−1.0	−4.9	−0.8	617.5	616.1	614.5	100	98	66	W 1	W 2	W 4	10≡	10≡	5	.	≡ n-14¼ zeitw.
4	−4.6	−7.4	−9.8	−7.3	−3.1	610.2	609.7	610.6	98	95	92	W 4	SW 3	SW 3	10≡	10≡	10≡	13.5	✳ zeitw., ≡ n-n
5	−10.0	−11.4	−12.6	−11.3	−7.1	614.7	617.5	619.9	90	90	90	SW 1	SW 1	SW 0	10*	5	10	3.5	✳ zeitw.
6	**−13.0**	−9.0	−6.2	−9.4	−5.2	619.6	619.9	619.8	89	50	29	E 1	ESE 0	SW 1	0	1	1	.	
7	−8.0	−4.6	−5.4	−6.0	−1.8	618.1	617.1	617.3	**12**	34	30	W 1	SW 2	W 3	1	1	2	.	⌴ III
8	−3.2	−1.0	−0.8	−1.7	2.6	615.7	615.2	614.6	33	30	30	W 3	SW 2	SW 3	3	3	5	.	
9	−4.4	−3.5	−3.8	−3.9	0.4	613.2	613.2	613.5	41	82	70	W 3	W 4	W 4	10	10	10	.	
10	−3.5	−2.4	−2.0	−2.6	1.7	612.2	612.1	613.6	100	100	100	W 3	SW 3	W 4	10*	10≡*	10*	**25.0**	✳ 7-n m.U., ≡ II
11	−1.0	−0.8	−1.8	−1.2	3.1	615.5	616.2	616.4	100	100	100	W 3	SW 1	W 2	10≡*	10≡	5	7.5	✳ zeitw., ≡ n-18
12	−0.4	−0.2	−0.4	−0.3	4.0	616.1	617.0	618.9	100	100	100	W 3	W 4	W 3	10	10≡	10≡	1.5	✳ ≡ zeitw.
13	−1.6	−0.4	−1.8	−1.3	3.1	619.2	619.3	619.5	100	100	58	W 0	SW 1	SW 2	10≡	2	6	.	≡ l
14	0.2	0.0	−1.0	−0.3	4.1	621.1	622.2	624.1	68	74	100	W 2	SW 2	W 0	5	5	6	0.7	
15	−1.0	1.6	0.5	0.4	4.8	**625.6**	625.3	624.9	27	14	18	SE 1	E 0	E 1	0	3	2	.	
16	0.0	2.5	5.0	2.5	6.9	624.0	624.5	**625.6**	40	30	14	SE 1	SE 2	SE 2	0	0	0	.	
17	4.6	5.1	2.0	3.9	8.3	623.5	624.3	623.8	25	23	16	SE 2	SE 0	SE 1	0	3	2	.	
18	0.0	4.0	0.8	1.6	6.1	622.3	620.9	620.5	17	21	17	E 0	SW 0	W 1	0	4	7	.	
19	0.2	0.6	−1.0	−0.1	4.4	619.7	619.2	618.5	21	22	23	NE 1	E 0	E 0	5	7	4	.	
20	−2.0	−0.6	−1.4	−1.3	3.2	620.2	620.5	619.4	31	30	100	SW 1	SW 1	SW 1	0	2	10	.	
21	−2.2	−0.6	−2.8	−1.9	2.6	619.3	619.0	619.7	100	70	100	W 2	W 2	W 1	10	10	10≡	6.8	✳ 14½-19½, ≡ III
22	−4.8	−2.0	0.5	−2.1	2.4	619.7	619.1	617.6	100	48	19	SW 2	SW 2	W 2	10≡	7	7	.	≡ l
23	2.0	1.5	−0.8	0.9	5.4	612.9	610.1	610.1	20	35	60	W 3	W 4	W 4	7	10	10	5.0	✳ 17-n zeitw.
24	−0.7	−0.0	−3.6	−5.4	−0.8	611.2	613.0	611.3	98	96	26	W 4	SW 2	SW 2	10	3	10	1.0	✳ a zeitw.
25	−0.6	−3.5	−4.8	−3.0	1.6	608.7	607.6	**606.6**	100	100	98	SW 4	W 2	W 5	10≡	10	10≡	7.0	✳ ≡ n-n zeitw.
26	−7.8	−5.4	−7.4	−7.9	−3.3	612.3	615.3	617.6	92	90	90	W 3	SW 2	W 3	10≡	10	10	7.6	≡ l
27	−1.4	−0.8	−1.5	−1.2	3.4	619.1	621.9	623.4	96	100	96	W 4	W 3	W 4	10≡	10≡	10	1.3	≡ n-n m.U.
28	−1.0	−0.7	−0.2	−0.6	4.0	624.0	624.3	623.6	97	100	100	W 3	SW 1	W 3	10≡	4	0	.	≡ l
29	4.0	5.0	4.4	4.5	9.1	624.0	624.2	624.3	16	23	19	SW 3	SW 1	SW 3	0	0	0	.	
30	4.6	5.2	4.2	4.7	9.3	623.3	623.3	623.1	17	22	14	W 2	W 2	W 2	1	1	0	.	
31	3.0	**6.6**	3.5	4.4	9.0	622.4	622.1	622.1	19	21	21	SW 0	SW 0	NW 0	0	0	0	.	
																		Summe	
Mittel	−2.6	−1.6	−1.9	−2.0	—	618.1	618.2	618.3	66	64	61				6.2	5.6	6.2	89.7	

Januar 1944.
Beobachter: *P. Nogler.*

Bevers

$\lambda = 9° 53'$, $\beta = 46° 33'$,
H_b = ca. 1710 m, G = –0.23 mm.

Tag	Lufttemperatur					Luftdruck			Relative Feuchtigkeit			Windrichtung und Stärke			Bewölkung			Niederschlag	Witterung
	7³⁰	13³⁰	21³⁰	Mittel	Abweich. vom Normalst	7³⁰	13³⁰	21³⁰	7³⁰	13³⁰	21³⁰	7³⁰	13³⁰	21³⁰	7³⁰	13³⁰	21³⁰		
1	-11.0	-9.0	-10.0	-10.0	-0.4	621.1	620.9	621.3	55	54	61	N 2-3	N 1-2	NW 1	3	2	6	.	
2	-0.8	0.0	-11.0	-3.9	5.7	622.2	622.9	624.7	70	63	80	NW 2	S 1-2	N 1	6	3	0	.	
3	-14.8	-1.8	-11.0	-9.2	0.5	623.3	621.2	620.4	98	46	70	S 1	E 2	N 1	0	0	0	.	
4	-10.6	-4.8	-8.6	-8.0	1.7	615.2	614.2	615.0	72	75	94	NE 2	N 0	NE 0	8	10*	10*	4.4	✳ 11-n, ⫩ 15½-17½
5	-1.5	-6.9	-12.2	-6.9	2.8	618.3	620.7	625.0	58	57	56	N 2	N 2	NE 1-2	10*	10*	3	7.5	✳ ⫩ n-17½ zeitw.
6	-22.0	-11.0	-17.6	-16.9	-7.1	625.7	625.7	625.9	84	55	71	NE 1	E 2	NW 1	0	0	0	.	
7	-17.5	-6.4	-13.3	-12.4	-2.6	623.4	623.2	623.0	93	85	85	N 1	SW 1	W 0	3	0	0	.	
8	-13.3	-6.2	-11.6	-10.4	-0.6	622.4	621.6	621.3	94	72	82	W 1	W 1	W 1	10	7	6	.	
9	-12.8	-4.6	-11.8	-9.7	0.1	619.9	618.9	620.0	88	68	94	W 0	SW 2	W 1	7	10	2	.	
10	-7.6	0.8	-1.8	-2.9	7.0	618.1	618.5	618.8	90	80	87	W 1	NW 2	W 1	7	10	7	.	
11	-0.8	4.0	-8.0	-1.6	8.3	620.8	621.9	623.3	100	52	90	N 0	W 1-2	SW 1	10	6	0	.	
12	-8.6	1.2	1.4	-2.0	7.9	622.2	621.4	623.0	88	64	83	W 1	E 2	W 1	10	8	10*	0.3	✳ 19¼-n
13	-6.6	1.0	-8.2	-4.6	5.3	625.6	625.4	626.5	99	64	76	N 1	S 1-2	W 1	3	6	2	.	
14	-9.2	-1.0	-3.8	-4.7	5.1	627.1	627.6	630.6	84	56	85	W 2	SW 1	SW 0	3	6	0	.	
15	-12.0	2.0	-7.2	-5.7	4.1	631.7	630.0	629.5	96	36	75	W 0	E 2	NE 1	0	3	0	.	
16	-3.5	-3.5	-10.6	-5.9	3.9	630.6	631.2	632.1	93	48	82	E 1	W 1	W 0	0	0	0	.	
17	-13.8	-2.8	-11.5	-9.4	0.4	**632.7**	631.5	630.3	95	51	78	NW 1	W 1-2	NW 1	2	0	0	.	
18	-14.0	-2.4	-7.4	-7.9	1.8	628.6	626.6	626.6	83	50	40	NW 1	W 1-2	NW 1	0	6	0	.	
19	-11.6	-2.8	-10.4	-8.3	1.4	625.9	625.8	625.8	84	51	82	W 1	W 1-2	W 0	6	0	0	.	
20	-13.2	-3.0	-10.3	-8.8	0.9	625.8	626.3	626.8	96	49	92	W 1-2	W 1	WSW 0	3	0	0	.	
21	-13.4	-2.8	-3.7	-6.6	3.0	626.5	625.3	626.0	97	65	96	S 0	E 1	W 1-2	2	6	0	.	
22	-12.2	-2.8	-10.7	-8.6	1.0	626.3	625.4	624.9	97	56	74	NW 0	S 1-2	SW 1	0	3	0	.	
23	-11.2	-1.0	-3.6	-5.3	4.2	621.1	618.8	617.0	84	38	85	W 1	SW 2-3	W 2-3	3	10	8*	0.6	✳° 21¼
24	-4.2	-1.9	-10.0	-5.4	4.0	616.4	617.8	619.5	58	**32**	70	E 3-4	NW 2-3	NW 1	10	6	2	.	
25	-5.4	-2.4	-6.0	-4.6	4.8	616.4	614.0	**612.2**	96	48	86	NE 0	NW 2	W 1	10	10	10	2.1	
26	-5.6	-4.6	-7.2	-5.8	3.5	617.0	620.0	623.5	98	48	82	E 1	N 1	NE 0	10*	10*	10	2.0	✳ n-20
27	-7.0	5.0	2.1	0.0	9.2	624.7	627.3	628.6	100	50	57	ENE 0	E 2	E 0	10*	6	0	4.1	✳ n-12¼
28	-3.6	5.0	3.0	1.5	10.7	629.2	628.3	628.5	83	37	40	NE 1	N 1	E 2	6	6	0	.	
29	-3.8	**7.0**	-6.0	-0.9	8.2	628.7	629.4	630.7	31	39	75	E 2	W 2	W 0-1	0	0	0	.	
30	-10.3	2.4	-7.0	-5.0	4.0	629.8	629.7	628.9	78	39	71	W 0	W 1	W 0	0	6	0	.	
31	-11.2	1.0	-7.6	-5.9	3.0	629.5	628.3	628.8	87	35	85	SW 1	W 1	W 1	0	0	2	.	
																		Summe	
Mittel	-9.5	-1.7	-7.8	-6.3	—	624.1	623.9	624.5	85	54	77				4.6	4.8	2.5	21.0	

Januar 1944.
Beobachter: *Kapuzinerkloster.*

Sitten

$\lambda = 7° 21'$, $\beta = 46° 14'$,
H_b = 548.6 m, G = –0.11 mm.

1	-4.8	-0.4	-1.6	-2.3	-1.5	720.8	721.1	721.4	66	51	65	NE 1	NE 0	NE 0	1	1	10	.	
2	-2.4	1.6	-1.8	-0.9	0.0	722.9	722.4	723.5	75	62	86	NE 0	NE 0	NE 0	7	1	0	.	
3	-2.0	1.6	-1.2	-0.5	0.4	722.6	721.2	720.0	93	75	82	NE 0	NE 1	NE 0	10	7	7	.	
4	-1.2	1.6	0.4	0.3	1.2	715.8	712.0	715.4	87	92	72	NE 0	W 1	WNW 2	10	10≡	9	2.4	✳ 10-14, ≡ 9-10
5	-1.2	2.2	-2.8	-0.6	0.4	719.1	722.5	724.8	75	56	60	W 2	W 1	W 1	10	3	0	.	✳fl. 8½
6	-6.3	-3.3	-6.4	-5.3	-4.3	726.7	725.7	725.7	65	51	68	NNE 1	NNE 0	NNE 1	6	2	0	.	
7	-6.5	-1.5	-4.2	-4.1	-3.1	723.4	721.6	722.2	75	60	69	NNE 0	NNE 0	NNE 1	1	1	1	.	
8	-5.8	0.8	-1.4	-2.1	-1.1	720.2	718.2	717.9	80	55	68	NNE 0	NNE 0	NNE 0	1	0	2	.	Ψ III
9	-4.9	2.7	-0.5	-0.9	0.1	716.9	716.9	717.7	82	56	70	NNE 1	NNE 0	NNE 0	9	1	1	.	
10	-0.4	2.9	1.6	1.4	2.4	716.5	716.6	717.0	74	71	99	NNE 1	N 1	NNW 0	10	10	8	0.4	●tr. seit 14³/₄
11	1.3	5.8	2.3	3.1	4.1	717.7	717.4	719.0	100	77	97	N 0	S 0	S 0	10	5	0	.	
12	1.3	5.1	4.4	3.6	4.6	720.1	719.8	720.3	94	73	83	ENE 0	ENE 0	ENE 1	10	9	2	.	
13	1.3	6.3	1.9	3.2	4.2	721.7	720.9	722.5	97	63	85	ENE 0	NE 0	N 1	3	0	2	.	⌊ fr.
14	-1.9	5.8	2.3	2.1	3.0	724.9	724.6	727.2	96	56	73	N 1	N 0	N 1	2	0	0	.	⌊⌊ fr.
15	-0.4	5.5	0.7	1.9	2.8	728.4	727.0	727.3	78	57	78	N 1	N 1	W 0	0	1	0	.	⌊⌊ fr.
16	-2.2	4.3	-0.9	0.4	1.3	726.9	726.7	729.1	77	55	91	W 1	W 1	W 1	0	6	0	.	
17	-4.6	3.3	-1.3	-0.9	-0.1	**729.7**	726.9	726.9	100	65	90	W 1	W 1	W 1	0	2	0	.	⌊ fr.
18	-5.1	1.6	-1.1	-1.5	-0.7	725.3	723.2	724.1	100	65	96	W 1	W 1	W 1	0	3	0	.	
19	-3.5	1.1	-1.8	-1.4	-0.7	723.0	722.4	722.9	100	80	97	W 1	W 1	NW 0	9	8	0	.	
20	-5.0	2.0	-0.7	-1.2	-0.5	723.5	723.0	724.5	95	65	74	W 0	W 0	W 0	0	1	0	.	⌊ fr.
21	-2.2	5.1	3.2	2.0	2.6	724.0	721.8	723.6	72	46	90	NW 1	NW 1	W 0	6	8	10●	0.5	● 20¼-n
22	2.1	6.6	1.6	3.4	4.0	723.9	723.2	721.2	95	55	73	W 0	W 0	N 0	10	1	0	.	
23	0.1	6.5	5.4	4.0	4.5	716.3	712.2	712.5	65	45	74	NNE 0	NNE 0	NNE 0	4	6	0	1.6	● ⬋ 16½-17½
24	4.1	**7.2**	4.6	5.3	5.7	715.2	715.7	713.9	65	45	47	W 1	W 1	ENE 0	8	1	10	6.2	● n-7¼, ⬋ 5¼-6
25	0.6	1.8	2.7	1.7	2.1	712.4	710.8	**710.1**	100	98	81	NE 0	SSW 1	W 0	10≡	10●	10≡●	14.4	✳ n-9½ m.U., ● 9½-15, n
26	2.1	5.9	1.9	3.3	3.6	715.5	719.9	724.3	77	**40**	85	W 0	W 2	WNW 0	10●	6	10≡*	**16.5**	● n-9½, a ztw., ✳ III, ≡ n
27	0.8	3.6	3.2	2.5	2.7	725.5	726.1	727.2	100	82	93	NNE 0	NNW 1	NNE 1	10●*	10≡	4	0 9	✳ n-7¼, ● n-8¼, ≡ a, p
28	1.0	3.8	0.2	1.7	1.8	728.0	727.6	727.5	90	75	97	NE 0	NE 1	NE 0	1	0	0	.	
29	-2.2	3.1	0.9	0.6	0.6	727.3	726.3	727.0	100	66	79	NE 1	NE 1	NE 0	0	0	0	.	⋁ fr.
30	-1.8	4.5	0.8	1.2	1.1	726.6	724.3	725.3	76	49	69	NE 1	NE 0	NE 0	0	0	0	.	⌊ fr.
31	-1.7	6.2	1.3	1.9	1.7	724.9	723.4	724.0	73	47	72	NE 0	NE 0	NE 0	0	0	0	.	⌊ fr.
																		Summe	
Mittel	-1.7	3.3	0.4	0.7	—	722.1	721.3	722.1	85	62	80				5.1	3.6	2.8	42.9	

$\lambda = 8° 57'$, $\beta = 46° 0'$,
$H_b = 276.2$ m, $G = -0.01$ mm

Lugano

Januar 1944.
Beobachter: *G. Vicari.*

Tag	Lufttemperatur					Luftdruck			Relative Feuchtigkeit			Windrichtung und Stärke			Bewölkung			Niederschlag	Witterung
	7^{30}	13^{30}	21^{30}	Mittel	Abweich. vom Normalst	7^{30}	13^{30}	21^{30}	7^{30}	13^{30}	21^{30}	7^{30}	13^{30}	21^{30}	7^{30}	13^{30}	21^{30}		
1	5.2	6.8	−0.4	3.9	2.2	739.3	741.0	740.7	18	27	51	NNE 3	S 1	N 1	7	0	0	.	
2	−2.4	7.4	0.2	1.7	0.1	740.9	739.9	741.6	66	44	80	N 1	S 1	N 1	3	0	0	.	
3	−2.2	7.2	−0.2	1.6	0.0	740.7	739.4	736.8	82	59	81	N 1	S 0	N 1	0	0	0	.	
4	−2.0	6.2	4.4	2.9	1.3	733.4	**729.0**	734.4	82	61	29	NNW 1	S 1	NNE 2	4	5	1	.	
5	3.4	7.4	2.4	4.4	2.8	739.2	741.6	746.4	36	24	25	NNE 2	NNE 2	NNE 2	10	1	9	.	
6	−3.0	2.8	−2.2	−0.8	−2.3	746.8	747.5	747.4	35	39	50	NNE 1	S 0	N 1	0	9	0	.	
7	−4.3	5.0	−1.6	−0.2	−1.7	744.8	742.5	741.4	57	44	60	N 1	SE 0	N 1	6	0	4	.	
8	−2.2	5.2	0.2	0.9	−0.6	740.5	741.9	742.5	74	51	77	N 1	NE 0	N 1	10	10	10	.	
9	1.2	5.2	0.2	2.2	0.7	740.8	740.3	740.0	78	57	85	NNW 1	NW 1	N 1	10	10	0	.	
10	−0.8	5.8	0.8	1.9	0.4	738.7	737.4	738.0	87	57	88	NE 1	SE 0	N 1	4	10	0	.	⌊
11	1.2	7.8	1.0	3.3	1.9	739.0	739.9	743.1	94	54	89	NE 1	ESE 1	N 1	0	1	2	.	⌊
12	1.2	7.6	1.6	3.5	2.1	742.9	740.9	740.9	97	61	91	N 1	ESE 1	N 1	10	2	2	.	⌊
13	−0.2	8.0	2.2	3.3	1.9	742.3	742.9	746.0	99	61	94	NNE 1	WSW 1	NE 1	5	1	8	.	⌊
14	3.2	8.0	1.8	4.3	2.9	747.0	747.1	748.3	92	58	97	NNE 1	SSW 1	NE 1	10	8	0	.	
15	−0.6	2.0	0.2	0.5	−0.9	750.1	747.8	748.2	100	100	96	N 1	SSE 1	NNE 1	10≡	10≡	0	.	≡ n–18½
16	0.0	8.4	2.0	3.5	2.0	752.7	752.2	**752.8**	81	49	84	W 1	S 0	NE 0	0	4	0	.	
17	−2.0	1.4	−1.4	−0.7	−2.2	752.5	751.0	749.7	90	94	100	N 1	E 0	N 1	1	10≡	10≡	.	≡ 8–n
18	−2.2	0.2	−1.0	−1.0	−2.5	748.2	747.2	746.4	98	97	97	N 0	NE 1	N 1	10≡	10≡	0	.	≡ n–19½
19	−1.8	7.4	0.0	1.9	0.4	744.5	744.1	744.8	67	51	59	NW 1	S 0	N 1	5	3	0	.	
20	−1.6	7.0	0.6	2.0	0.4	746.0	745.8	746.0	64	51	65	N 1	SW 1	NNE 1	0	0	0	.	
21	−1.8	7.4	3.4	3.0	1.4	746.1	745.1	745.2	71	46	60	N 1	SE 1	N 1	0	4	0	.	
22	−1.2	9.2	2.2	3.4	1.8	745.6	745.7	745.4	77	45	62	NNE 1	S 1	NNE 1	0	4	0	.	
23	0.0	4.0	2.0	2.0	0.4	742.6	740.8	737.7	68	62	79	N 1	S 0	N 1	7	10	0	.	●tr. 13½–14½
24	0.2	14.2	4.0	6.1	4.4	735.5	736.6	738.7	88	**16**	39	E 0	N 2	NE 1	1	0	3	.	
25	3.2	5.8	2.0	3.7	2.0	736.4	734.3	733.3	46	54	79	ENE 1	E 1	N 2	2	10	3	.	
26	6.2	11.2	7.6	8.3	6.6	734.9	739.8	742.4	40	18	22	N 2	N 2	NNE 2	6	3	0	.	
27	1.2	10.6	3.4	5.1	3.3	744.1	745.2	745.7	58	36	47	N 1	SE 0	N 1	0	5	0	.	
28	1.2	10.2	4.0	5.1	3.3	746.0	745.3	745.2	85	47	57	N 1	WSW 1	N 1	3	6	0	.	
29	1.6	**20.0**	9.2	10.3	8.4	744.5	744.0	745.9	58	21	28	WNW 1	N 1	N 1	0	0	0	.	
30	3.6	13.6	4.0	7.1	5.2	745.8	744.4	744.8	38	32	42	N 1	WSW 1	N 1	0	1	0	.	
31	3.2	12.2	2.0	5.8	3.8	745.2	745.4	745.9	46	44	59	W 1	S 0	N 1	0	0	0	.	
																		Summe	
Mittel	0.2	7.6	1.7	3.2	—	743.1	742.8	743.4	71	50	67				4.0	4.4	1.7	0.0	

$\lambda = 7° 35'$, $\beta = 47° 33'$,
$H_b = 318$ m, $G = 0.11$ mm.

Basel

Januar 1944.
Beobachter: *Astronom.-Meteorol. Anstalt.*

1	−2.6	1.2	−0.6	−0.7	−0.2	742.3	741.1	741.3	94	69	96	ESE 1	ESE 0	E 1	3	10	10*	4.6	✳ 0–6½, 16½–n
2	1.0	4.6	4.7	3.4	3.9	741.0	742.3	742.9	96	89	79	E 1	WSW 1	WSW 1	10	10●	10	.	✳ n–5¼, ● 13¼–14¼
3	5.2	7.2	4.6	5.7	6.3	741.6	739.8	738.2	68	61	65	WSW 1	WSW 2	WSW 1	10	1	10	0.3	
4	6.1	2.4	0.2	2.9	3.5	731.3	734.7	736.8	72	85	96	WSW 2	N 1	NW 1	10	5	10△*	4.2	● 2¾–9¾ m.U., ✳ 20¾–
5	−0.8	0.1	−2.7	−1.1	−0.5	742.9	746.4	748.2	83	63	74	N 1	N 1	NNW 0	10	9	2	.	✳ 5–6¼ [22½ m.U.
6	−7.8	−1.1	−6.2	−5.0	−4.4	748.4	746.9	745.7	92	72	86	ENE 1	E 1	E 1	4	0.	0	.	
7	−6.6	0.2	−4.4	−3.6	−3.0	743.9	742.6	742.5	88	67	87	ESE 1	E 1	ESE 1	10	0	2	.	
8	−6.6	0.1	−2.2	−2.9	−2.3	739.8	737.5	736.4	88	68	79	E 1	E 1	ESE 1	2	5	10	.	Ψ III
9	−3.6	4.6	5.3	2.1	2.7	736.6	736.6	735.4	87	56	74	ESE 1	SW 1	SSW 1	10	10	10	.	✳° a zeitw., 15¾
10	6.0	7.7	5.5	6.4	7.0	733.6	733.4	735.3	74	71	89	WSW 1	SW 2	SSW 1	10	10	10	1.9	● 9½–11¼
11	0.3	1.7	2.6	1.5	2.1	738.9	739.6	738.6	98	90	96	WNW 1	WNW 0	ESE 1	10	10	10	1.1	● 2¼–9 m.U., 13–14¼, ≡
12	4.5	9.5	8.0	7.3	7.9	738.1	739.1	741.1	97	79	88	SE 1	WSW 2	SW 1	10	10	2	.	● 4¼–7¼ m.U. [14–16¾
13	6.5	9.7	4.4	6.9	7.5	741.9	741.4	741.9	96	82	90	SSE 1	SSE 0	SSE 0	10	10	1	.	☽° 5½–6, Ψ 23¾
14	1.2	4.8	5.4	3.8	4.4	744.1	745.7	748.8	96	92	95	ESE 1	ESE 0	ENE 0	8	10●	10	2.6	● 12½–16, ≡ 7¾–8½,
15	3.3	3.0	1.2	2.5	3.0	**749.9**	749.4	749.3	98	96	100	NNW 1	W 1	WNW 1	10≡	10≡	10*	.	≡ n–n [Ψ 7¾
16	−1.4	3.8	−0.8	0.5	1.0	748.6	748.3	749.6	98	73	98	WNW 0	E 2	NNE 0	0	8	0	.	≡ 8–8½, ⌙
17	−2.9	−0.6	−0.3	−1.3	−0.8	749.6	749.0	747.7	98	96	96	SW 1	NNE 0	S 1	0	10	10	.	≡ 9¼–11¼, ⌙
18	−1.2	−0.8	−0.8	−0.9	−0.4	746.2	745.3	745.3	98	89	89	SSW 1	SSE 0	SSW 1	10	10	10	.	
19	−0.8	2.0	−0.2	0.3	0.7	744.7	743.7	743.9	86	77	85	S 0	NE 1	SE 1	10	10	10	.	
20	−0.5	3.6	1.8	1.6	2.0	743.6	742.9	743.9	83	73	82	E 1	E 1	E 1	10	10	10	.	
21	2.0	4.8	5.4	4.1	4.5	742.3	741.7	744.7	84	89	91	ENE 1	W 1	WNW 1	10	10●	10	0.9	● ° 12–p zeitw.
22	1.4	8.8	0.8	3.7	4.0	744.6	742.8	739.3	82	50	90	SSW 1	WNW 1	SSE 0	9	8	9	.	
23	−0.1	12.2	3.5	5.2	5.5	732.2	729.4	731.7	90	**35**	85	E 1	SW 3	SSW 2	1	10	0	4.4	● 11½–20¾ m.U., ↙ 12–20, ⌙
24	3.6	7.5	2.8	4.6	4.8	734.7	736.1	731.0	77	48	75	W 2	SW 2	E 1	2	3	10	2.1	● 0¾–6 zeitw., ↙ 0–5¾
25	8.0	7.7	3.5	6.4	6.8	728.0	**728.2**	729.0	75	68	78	SW 3	WSW 3	WSW 1	10	9	2	7.7	● 0–20 m.U., ↙ 12¾–18¾
26	2.9	5.0	4.1	4.0	4.1	737.2	740.9	742.0	68	61	79	WSW 1	WSW 2	SW 1	2	7	10●	9.9	● 1¾–2½, 20½–n
27	2.2	9.6	9.1	7.0	7.1	742.5	745.1	747.1	96	75	75	E 1	WSW 1	SE 1	10	10	10	.	● n–6¼
28	8.6	10.3	7.7	8.9	8.9	747.2	747.5	747.5	83	73	68	SW 1	W 1	WSW 1	10	10	10	.	
29	3.6	11.6	3.8	6.3	6.2	747.3	746.0	745.2	87	57	87	SSE 1	NNW 1	ESE 1	0	0	0	.	
30	−0.9	9.0	2.6	3.6	3.5	745.2	744.9	745.5	99	58	94	ESE 1	E 1	WSW 1	10≡	0	8	.	≡ n–8½, ⌙
31	1.2	8.0	0.0	3.1	2.9	744.7	743.7	743.3	94	63	94	ESE 1	SSE 0	ESE 1	10	0	0	.	
																		Summe	
Mittel	1.0	5.1	2.2	2.8		741.8	741.7	741.9	88	72	86				7.5	7.3	7.0	39.7	

Januar 1944.
Beobachter: *Observatorium.*

Säntis

$\lambda = 9° 20'$, $\beta = 47° 15'$,
$H_b = 2500.1$ m, $G = -0.27$ mm.

Tag	Lufttemperatur 7³⁰	13³⁰	21³⁰	Mittel	Abweich. vom Normalst	Luftdruck 7³⁰	13³⁰	21³⁰	Relative Feuchtigkeit 7³⁰	13³⁰	21³⁰	Windrichtung und Stärke 7³⁰	13³⁰	21³⁰	Bewölkung 7³⁰	13³⁰	21³⁰	Niederschlag	Witterung
1	-17.4	-14.4	-9.6	-13 8	-5.7	560.6	560.8	561.7	96	48	100	WSW 2	WSW 3	WNW 4	8≡	2	10≡*	7.9	≡ n-8, 14½-n, ✳ 15-n, ⫩ 12-n
2	-7.6	-7.8	-9.2	-8.2	0.0	563.6	563.7	564.2	100	100	86	W 3	W 3	W 4	10≡	10≡	0	0.2	✳ n-7, 16⁸/₄-17½, ≡ n-19⁸/₄,
3	-9.1	-7.0	-8.2	-8.1	0.1	563.2	562.1	560.3	57	54	33	W 4	W 4	W 5	1	1	4	0.2	⫩ n-n [⋁ 10½
4	-8.4	-12.8	-15.2	-12.1	-3.9	554.4	554.9	555.4	98	100	100	W 6	W 3	W 3	10≡	10≡*	10≡*	28.1	✳ ⫩ n-n m.U., ≡ n-n,
5	-15.8	-17.4	-18.2	-17.1	-8.8	558.9	561.7	563.8	91	87	84	N 3	N 2	NNE 2	10≡*	10≡	10≡	3.9	≡ ✳ n-12, 19-21 [n-11
6	-15.0	-11.3	-8.8	-11.7	-3.4	564.7	565.3	565.2	10	8	60	NNE 3	NE 2	NNW 3	1	3	1	.	
7	-10.2	-8.8	-10.4	-9.8	-1.5	563.2	562.9	562.8	58	54	39	W 4	WSW 3	W 4	1	1	3	.	⫩ 8-15
8	-8.6	-7.2	-7.3	-7.7	0.7	561.6	561.2	560.9	35	25	52	W 4	WSW 4	W 4	7	3	9	.	⫩ 9-12
9	-9.6	-10.3	-8.0	-9.3	-0.9	558.7	558.6	559.0	72	93	100	W 5	W 5	W 4	10	6	10≡	.	≡ 14¹/₄-n, ⫩ n-15
10	-6.8	-6.0	-5.6	-6.1	2.3	557.7	557.5	560.2	100	100	100	W 4	W 5	W 4	10≡	10≡*	10≡*	37.3	⫩ ✳ 11½-n, ≡ n-n, ⋁ l
11	-5.6	-5.0	-6.1	-5.6	2.8	562.0	562.6	563.0	100	100	82	W 3	W 3	WSW 3	10≡*	10≡	6	16.1	✳ n-12¹/₂, p ztw., ≡ n-20½,*)
12	-4.4	-4.4	-4.2	-4.3	4.2	562.3	563.2	565.0	100	100	100	W 3	WSW 4	WSW 4	10≡*	10≡*	10≡	37.9	⫩ ✳ n-18, ≡ n-n, ⋁ l,
13	-5.0	-3 6	-4.1	-4.2	4.3	566.2	566.5	567.1	98	62	44	WNW 3	W 3	WSW 3	5	7	6	.	[(16½)
14	-4.4	-4.0	-7.6	-5.3	3.2	567.9	568.8	571.1	98	73	24	WNW 3	WSW 3	NNE 3	10≡	10	1	3.6	✳ 15-18¹/₄, ≡ 7-7⁸/₄, 14-20
15	-5.0	-3.8	-4.8	-4.5	4.1	572.1	571.8	571.3	22	16	61	NNW 3	N 3	NNE 3	1	9	0	.	
16	-3.6	-0.6	0.4	-1.3	6.3	571.0	571.8	**572.9**	34	19	23	NE 3	NE 3	NE 3	1	6	0	.	
17	0.2	0.6	0.2	0.3	8.9	**572.9**	571.9	570.9	6	**3**	4	NNE 2	ENE 2	N 1	1	1	0	.	
18	-2.2	**1.0**	-3.1	-1.4	7.3	569.0	568.1	567.6	5	8	15	SW 1	SW 1	NW 1	1	6	8	.	
19	-3.2	-2.2	-3.9	-3.1	5.6	566.6	566.4	566.2	23	33	54	N 2	ESE 1	NE 2	8	2	1	.	
20	-4.6	-4.9	-5.4	-5.0	3.7	566.2	566.4	567.1	72	31	100	W 1	WSW 4	W 3	0	1	10≡	.	≡ 14¹/₄-15¹/₄, 20⁸/₄-n
21	-6.1	-6.1	-6.8	-6.3	2.5	566.4	565.6	566.3	97	92	98	W 3	W 3	WNW 2	10	10	10≡*	15.4	✳ ≡ 14⁸/₄-n, ≡ n-7
22	-10.4	-7.2	-4.6	-7.4	1.4	565.5	565.5	564.1	83	38	22	WSW 3	WSW 3	WSW 3	1	9	2	.	
23	-3.2	-2.8	-7.4	-4.5	4.3	560.1	557.8	555.7	18	25	100	W 4	WSW 3	W 4	10	9	10≡*	7.5	✳ ≡ ⫩ 16⁸/₄-n
24	-11.4	-11.6	-7.1	-10.0	-1.2	555.4	558.2	557.1	100	93	48	W 5	WSW 3	W 4	10≡*	10≡	10	6.7	✳ n-11 m.U., ⫩ ≡ n-13⁸/₄, ⋁ l
25	-4.2	-7.6	-10.1	-7.3	1.6	555.0	553.7	**552.1**	100	100	100	W 4	W 4	W 3	10≡*	10≡	10≡*	17.4	✳ n-n zeitw., ≡ n-n, ⋁ l
26	-11.7	-13 4	-11.7	-12.3	-3.4	556.3	559.6	562.2	100	100	100	W 4	WNW 3	W 4	10≡*	10≡*	10≡	22.8	✳ ≡ ⫩ n-n
27	-6.3	-5.0	-5.2	-5.5	3.4	564.5	567.2	569.9	100	100	100	WSW 4	W 4	WSW 3	10≡*	10≡	10≡	6.9	✳ n-9¹/₂, ⫩ ≡ n-n, ⋁
28	-4.6	-4.8	-4.8	-4.7	4.3	569.6	570.2	570.5	100	70	48	WSW 3	WSW 3	W 3	10≡	3	0	.	≡ n-11, ⋁ l [(10¹/₂)
29	-4.7	-2.6	-3.4	-3.9	5.1	571.0	571.3	571.3	36	43	41	WSW 3	SW 2	SW 2	1	1	0	.	
30	-3.4	-2.5	-3.1	-3.0	6.0	570.2	570.1	569.8	19	18	29	W 3	WSW 3	W 3	1	1	0	.	
31	-2.1	0.6	-1.4	-1.0	8.1	569.7	569.9	569.7	30	31	22	WNW 2	NW 1	WSW 1	1	0	3	.	
Mittel	-6.9	-6.2	-6.6	-6.6	—	564.1	564.4	564.7	66	59	64				6.1	6.2	5.6	Summe 211.9	*) 11. ⋁ (10¹/₂)

Januar 1944.
Beobachter: Frl. *F. Lombardi.*

St. Gotthard (Hospiz)

$\lambda = 8° 34'$, $\beta = 46° 33'$,
$H_b = 2095.7$ m, $G = -0.25$ mm.

1	-15.0	-12.0	-10.4	-12.5	-5.5	590.1	590.5	591.1	73	61	78	N 3	N 2	N 3	0	0	10	1.2	≡ 20-n
2	-8.0	-5.0	-6.8	-6.6	0.5	592.1	593.6	594.6	73	88	88	N 3	N 3	N 2	5	10≡	10≡	0.5	≡ 10-n
3	-8.6	-1.2	-8.4	-6.1	1.0	593.2	592.5	590.9	70	65	25	N 1	NE 1	NE 0	0	0	0	1.2	
4	-4.6	-8.0	-10.2	-7.6	-0.5	587.0	584.3	584.0	85	100	100	NE 1	NE 3	NE 4	10*	10*≡	10≡	**34.2**	✳ n-17, ≡ 11-n, ⫩ 14-n
5	-12.0	-12.8	**-15.6**	-13.5	-6.4	588.7	591.5	594.5	100	82	100	NE 3	NE 3	NE 3	10≡	10≡	5	.	≡ n-17
6	-15.0	-11.2	-12.0	-12.7	-5.6	594.7	595.2	595.2	70	61	58	N 2	NE 1	N 2	0	3	0	.	
7	-6.8	-7.2	-6.7	-6.9	0.3	593.1	592.9	592.7	32	33	51	E 1	N 1	NE 1	0	0	5	.	
8	-6.0	-2.0	-5.0	-4.3	2.9	592.1	592.2	591.8	21	19	21	NE 0	N 0	N 0	2	2	2	.	
9	-7.0	-6.8	-9.4	-7.7	-0.5	590.2	590.1	590.4	31	44	47	W 0	W 1	W 1	5	2	2	.	
10	-5.0	-3.2	-3.9	-4.0	3.2	588.9	585.5	589.7	85	62	100	W 0	W 0	NW 2	5	5	10*≡	13.7	✳ 14⁸/₄-n, ⫩ 18-n
11	-3.6	-2.5	-7.6	-4.6	2.6	591.5	592.6	593.3	100	89	68	NE 2	NW 0	N 1	10≡	5	0	.	≡ n-12⁸/₄
12	-4.2	-1.6	-2.0	-2.6	4.6	593.1	592.8	594.0	70	100	100	NE 0	NE 2	NE 2	5	10≡	10≡	5.5	≡ 12-n
13	-4.0	-2.2	-1.0	-2.4	4.9	595.8	595.5	596.7	100	54	43	NE 2	N 0	NE 0	10≡	0	0	.	≡ n-10¹/₂
14	-4.8	-2.2	-4.0	-3.7	3.6	597.9	598.3	600.5	34	43	100	NE 1	NE 2	NE 3	5	2	10≡	.	≡ 17⁸/₄-22
15	-4.0	-3.0	-2.8	-3.3	4.0	691.6	600.7	600.5	12	20	15	NE 1	NE 1	NE 1	0	0	0	.	
16	-2.6	2.0	0.8	0.1	7.4	600.5	601.0	602.0	12	16	**5**	NE 1	NE 0	NE 0	0	2	0	.	
17	-3.0	1.2	-2.0	-1.3	6.0	**602.1**	601.0	600.2	11	7	6	NE 1	NE 0	NE 0	0	0	0	.	
18	-3.5	0.4	-2.8	-2.0	5.3	598.3	597.8	597.0	8	7	11	N 1	NW 0	NW 0	0	0	0	.	
19	-2.8	-2.2	-5.0	-3.3	4.1	596.2	595.8	595.9	9	12	13	NE 1	N 0	N 0	3	5	0	.	
20	-6.4	-2.4	-5.5	-4.8	2.6	596.1	596.3	596.6	14	12	16	N 1	N 1	N 1	0	0	0	.	
21	-6.8	-3.0	-5.2	-5.0	2.4	596.5	595.9	595.9	35	36	65	N 1	NW 1	NW 1	0	3	10≡	1.5	✳ 16¹/₄-21, ✳ 17⁸/₄-22
22	-9.8	-4.7	-5.8	-6.8	0.6	595.9	596.5	595.2	78	13	10	N 1	W 0	SW 0	0	3	0	.	
23	-6.7	-6.2	-6.6	-6.5	0.9	591.9	589.6	587.5	28	39	94	S 1	S 2	S 1	5	10	10	1.9	✳ 16¹/₄-18, ≡ 17¹/₂-n
24	-8.8	-8.0	-6.2	-7.7	-0.3	586.8	588.7	588.8	83	65	16	N 3	N 2	SE 0	10	0	5	13.2	
25	-6.0	-6.0	-7.6	-6.5	0.9	586.9	585.6	**583.2**	85	90	91	SE 1	S 1	S 1	10*≡	10*≡	10*≡	22.5	✳ ≡ ⫩ n-n
26	-9.2	-9.8	-9.8	-9.6	-2.1	586.7	589.9	592.9	55	56	78	NE 4	NE 3	NE 3	10	10	10	28.0	⫩ n-n
27	-5.7	-0.8	-4.8	-3.8	3.7	595.5	597.2	598.6	98	90	91	NE 3	NE 2	NE 3	10*≡	8	10≡	17.4	✳ n-11¹/₄, ≡ n-10, 17-n
28	-4 8	-3.0	-1.6	-3.1	4.4	599.4	599.6	599.7	78	78	49	NE 3	NE 2	NE 2	5	0	0	.	
29	-1.5	0.6	-2.0	-1.0	6.5	599.9	600.7	600.9	16	16	17	NE 3	NE 2	NE 2	0	0	0	.	
30	-2.5	1.4	-1.8	-1.0	6.5	599.9	599.8	599.5	11	9	13	NE 1	N 0	NE 1	1	0	0	.	
31	-5.0	**4.7**	-1.7	-0.7	6.8	599.2	598.9	598.9	17	22	18	N 0	N 0	N 0	0	0	0	.	
Mittel	-6.2	-3.8	-5.6	-5.2	—	594.2	594.3	594.6	51	48	51				3.9	3.5	4.2	Summe 140.8	

$\lambda = 7°\ 26'$, $\beta = 46°\ 57'$,
$H_b = 572.2$ m, $G = 0.00$ mm

Bern

Februar 1944.
Beobachter: *Tellur. Observatorium.*

Tag	Lufttemperatur 7³⁰	13³⁰	21³⁰	Mittel	Abweich. vom Normalst	Luftdruck 7³⁰	13³⁰	21³⁰	Relative Feuchtigkeit 7³⁰	13³⁰	21³⁰	Windrichtung und Stärke 7³⁰	13³⁰	21³⁰	Bewölkung 7³⁰	13³⁰	21³⁰	Niederschlag	Witterung
1	−4.1	3.1	−1.9	−1.0	0.0	721.3	720.1	720.9	100	80	100	W 0	NE 0	NW 1	2≡	1	9≡	.	≡ n-mtgs., 18-n
2	−2.3	1.5	2.5	0.6	1.6	720.1	718.9	718.9	96	94	98	SE 1	S 0	SW 0	9	10	10	4.8	● 11-19 m.U.
3	2.7	**9.6**	8.1	6.8	7.7	716.2	713.3	711.8	98	68	88	S 1	WSW 2	WSW 2	6	9	9	5.1	● 18½-22½ m.U., ≡ 7-Fm., ☂stw.
4	3.7	3.6	−1.9	1.8	2.6	708.2	706.8	712.0	94	65	76	WSW 3	WSW 2	SW 1	10●	10	10	6.2	● 4⅝-11⅝, ✳ 12-16¾ m.U.
5	−1.3	−1.3	−1.8	−1.5	−0.8	712.6	714.1	717.0	84	85	93	WSW 2	WSW 2	WSW 1	9	10	10	0.2	✳ 3¼-24 m.U.
6	−2.3	0.7	−2.5	−1.4	−0.8	718.2	719.6	**722.0**	90	60	98	SW 0	SW 1	SE 0	9	7	7	0.0	✳° 8-9, 14½-18
7	−7.7	−1.2	−1.7	−3.5	−2.9	721.7	719.5	716.4	94	63	97	SE 0	S 0	SW 0	9	9	10	2.7	✳ 16¼-n m.U., ≡ 17-n
8	0.5	2.3	0.1	1.0	1.5	710.7	709.2	711.0	99	82	89	W 1	WSW 3	SW 1	10	10*△	10	3.3	✳ n-abds. zeitw.
9	−1.2	0.9	−1.2	−1.5	−1.1	711.3	711.8	709.6	94	**57**	93	W 1	WSW 2	WSW 2	10	10	10*	2.3	✳ a, p zeitw., 18¼-19
10	0.7	0.0	−2.7	−0.7	−0.4	699.0	698.6	701.1	88	94	85	W 2	WSW 2	NE 0	10	9	5	5.4	✳ 3¼-20½ m.U.
11	−3.1	−2.1	−3.3	−2.8	−2.6	702.1	704.7	707.2	98	83	96	SW 0	NE 1	SW 0	10*	10	10	1.6	✳ 1¼-1⅝, 5⅔-n m.U, ≡n-8½
12	−3.9	−1.1	−4.0	−3.0	−2.9	707.2	706.8	709.3	97	78	92	SW 0	W 1	NE 1	10≡*	10	10	0.7	✳ 5⅜-13¼ m.U., ✳° 18½-21½,
13	−5.5	−3.1	−5.2	−4.6	−4.6	710.5	710.6	711.6	95	73	92	NE 1	NE 2	NE 2	9	9	10	0.0	✳° n-8¼, abds. [≡n-9½
14	−4.5	−2.2	−2.7	−3.1	−3.2	711.9	711.9	714.2	91	68	77	E 1	NE 3	NE 2	9	6	9	0.0	✳° a zeitw.
15	−4.2	−0.7	−1.2	−2.0	−2.2	714.3	713.7	713.8	83	74	98	E 1	NE 2	NE 1	10	10	10	0.0	✳° abds. zeitw.
16	−1.8	−0.3	−2.8	−1.6	−1.9	713.5	713.1	712.0	95	78	90	NE 2	E 2	N 0	10	10	9	.	
17	−3.4	−1.7	−3.3	−2.8	−3.2	708.5	707.8	708.1	93	65	83	NE 2	NE 3	NE 2	10	9	10	.	
18	−5.9	−4.9	−7.4	−6.1	−6.6	708.3	708.8	709.8	82	68	78	NE 3	NNE 2	NE 2	10	9	10	0.0	✳° a zeitw.
19	−8.2	−4.2	−8.9	−7.1	−7.7	709.8	710.2	712.0	86	60	84	NE 1	NE 2	NE 0	9	7	7	.	
20	−7.3	−6.0	−6.9	−6.7	−7.4	713.3	713.5	713.4	77	77	74	E 0	NE 2	NE 2	10	10	10	0.0	✳°fl. zeitw.
21	−7.2	−4.9	−6.2	−6.1	−6.9	711.9	711.5	711.2	93	74	79	NE 1	NE 2	NW 1	10*	10	10	0.0	✳° fr.-15, abds zeitw.
22	−8.0	−5.1	−6.5	−6.5	−7.4	708.2	707.0	707.2	89	58	77	NE 1	NE 3	NE 1	9	7	8	.	
23	−6.3	−3.5	−5.5	−5.1	−6.1	708.5	709.3	712.3	84	63	77	NE 0	NE 1	NE 1	10	9	10	.	
24	−6.5	−3.5	−5.8	−5.3	−6.4	713.1	712.8	712.7	82	72	86	SE 0	NE 1	SW 0	10	0	0	.	
25	**−10.9**	−1.9	−4.6	−5.8	−7.0	710.7	707.9	705.4	97	68	88	S 0	N 1	N 0	10≡	0	0	.	≡ n-10, ⋁ l
26	−9.3	1.2	−2.9	−3.7	−5.1	701.3	699.2	698.8	97	61	88	S 0	E 0	N 0	9≡	3	0	.	≡ n-a, ⌴ l
27	−2.8	5.2	1.7	1.4	−0.1	697.8	696.8	697.6	92	58	98	N 0	W 1	W 1	9	6	10●	0.6	● 20¼-n
28	−0.3	1.4	0.5	0.5	−1.1	695.5	**690.4**	691.0	100	88	93	NE 1	NE 3	NE 0	10≡	10	9	.	● n-2 m.U., ≡ n-8
29	−0.3	3.9	0.5	1.4	−0.2	692.0	693.2	697.8	96	68	99	NE 0	NE 0	W 1	9	10●	10*	12.6	● ° 13½, 14. ✳ 15¼-23
Mittel	−3.9	−0.5	−2.7	−2.4	—	709.6	709.0	709.9	92	72	89				9.2	8.9	8.3	Summe 45.5	

$\lambda = 6°\ 57'$, $\beta = 47°\ 0'$,
$H_b = 487.3$ m, $G = 0.02$ mm.

Neuchâtel

Februar 1944.
Beobachter: *Observatorium.*

1	−1.1	0.6	0.5	0.0	−0.1	729.0	728.5	728.7	100	98	100	W 0	SW 1	SW 0	10≡	10≡	10	.	≡ n-n
2	1.5	2.4	4.2	2.7	2.6	727.8	726.8	726 7	89	95	97	W 1	SW 2	SW 0	10	10●	10	4.1	●° seit 8¼
3	5.2	**8.0**	7.8	7.0	6.8	723.9	721.6	719.5	94	83	93	SW 1	SW 2	SW 2	5	10	10●	5.8	● 17⅝-n
4	4.5	4.7	−1.0	2.7	2.4	715.8	715.0	718.9	92	62	67	SW 3	W 3	NW 3	10	9	4	9.9	● n-a, ✳sch. seit 15
5	0.1	−0.1	−0.8	−0.3	−0.6	720.6	722.5	725.1	72	82	92	W 2	W 2	W 1	10*	10*	10*	2.7	✳ n-n m.U.
6	−0.5	1.9	−1.3	0.0	−0.4	726.2	728.0	**730.1**	73	65	70	NW 1	E 1	NE 0	10*	10	2	0.3	✳° n-p zeitw., ☂ 21½
7	−5.4	−0.7	−0.7	−2.3	−2.8	729.7	727.9	724.6	95	85	98	NE 0	S 1	W 2	10	10	10*	6.5	✳ 16½-n
8	1.8	1.3	1.8	1.6	1.1	718.8	717.3	718.7	98	93	72	W 2	W 2	SW 2	10●	10*	9*	6.8	✳ n-n m.U., ● zeitw.
9	0.4	1.8	−0.6	0.5	−0.1	719.2	719.7	717.9	82	**60**	98	W 1	SW 2	W 3	10	9	10*	**12.4**	✳ n, 14-n
10	0.0	0.0	−1.4	−0.5	−1.2	707.0	705.7	708.5	100	97	77	W 4	SW 2	E 0	10*	6	9	8.0	✳ n-n m.U.
11	−2.9	−0.6	−2.5	−2.0	−2.8	709.5	712.4	715.3	96	81	77	N 0	NE 1	NE 0	10*	7*	10	2.4	✳° n-n m.U.
12	−3.1	−0.6	−4.1	−2.6	−3.4	715.1	714.6	717.2	94	83	89	N 0	SW 0	E 0	10*	6*	9	2.1	✳° n-n m.U.
13	−0.2	−0.9	−3.5	−1.5	−2.4	718.6	718.6	719.7	90	67	72	E 0	E 3	NE 2	10	5	3	.	✳fl. zeitw.
14	−5.4	0.8	−1.9	−2.2	−3.2	719.4	719.9	722.3	93	70	82	NE 1	NE 2	E 1	10	6	10	.	
15	−1.8	−0.4	−0.4	−0.9	−2.0	722.1	721.8	722.0	88	85	91	E 1	NE 1	NE 1	10	10	10	.	
16	−0.8	1.9	−1.0	0.0	−1.2	721.4	721.2	720.0	85	71	81	NE 1	NE 2	NE 1	10	7	10	.	
17	−2.5	−1.6	−2.4	−2.2	−3.4	716.3	715.8	715.9	84	78	75	NE 2	NE 2	NE 2	10	10	10	.	
18	−4.6	−2.1	−6.6	−4.4	−5.7	716.2	716.6	717.9	84	72	77	NE 2	NE 2	NE 2	10	4	10	.	✳fl. a
19	−6.8	−2.4	−7.2	−5.5	−6.9	717.8	718.3	720.1	77	62	74	NE 1	NE 2	NE 2	10	4	0	.	
20	−6.4	−4.2	−5.9	−5.5	−7.0	721.3	722.6	722.8	82	73	75	NE 1	NE 2	NE 1	10*	10	10	.	✳fl. zeitw.
21	−6.1	−3.2	−5.4	−4.9	−6.5	719.9	719.6	719.2	82	64	74	NE 2	NE 3	NE 1	10*	10	10	0.2	✳fl. zeitw.
22	−7.3	−3.0	−4.8	−5.0	−6.7	716.2	714.9	715.1	87	63	66	NE 1	NE 3	NE 2	10*	8	10	0.2	✳° n-a
23	−5.6	−2.5	−4.7	−4.3	−6.1	716.4	717.4	720.4	78	69	75	NE 1	NE 2	NE 1	10*	8	10	0.6	✳ a zeitw.
24	−5.3	−2.8	−3.5	−3.9	−5.8	721.3	721.2	720.7	83	75	76	NE 2	E 1	NE 0	10	1	0	.	
25	−8.8	0.2	−2.9	−3.8	−5.8	718.7	716.0	713.1	94	65	75	NE 0	E 1	NE 0	0≡	0	0	.	≡ 8-11
26	−7.9	0.2	−2.4	−3.4	−5.5	708.8	707.1	706.3	97	74	84	NE 0	E 1	E 0	0	0	0	.	≡ 8-12
27	−2.9	3.2	2.1	0.8	−1.4	705.1	704.4	704.8	96	69	93	E 0	E 0	W 1	10	4	10	.	
28	0.6	3.2	1.0	1.6	−0.7	702.8	**697.9**	698.3	93	73	87	NE 1	NE 4	NE 0	10	10	10	0.1	
29	1.3	2.8	1.3	1.8	−0.5	699.1	700.6	705.1	85	90	89	N 1	SW 1	W 0	10*	10	10	3.0	● ✳ n m.U., seit 12¼
Mittel	−2.6	0.3	−1.6	−1.3	—	717.4	717.0	717.8	88	76	82				9.0	7.4	7.8	Summe 65.1	

Februar 1944.
Beobachter: Frl. *H. Nager.*

Altdorf

$\lambda = 8° 39'$, $\beta = 46° 53'$,
$H_b = 456.3$ m, $G = -0.05$ mm.

Tag	Lufttemperatur 7³⁰	13³⁰	21³⁰	Mittel	Abweich. vom Normalst.	Luftdruck 7³⁰	13³⁰	21³⁰	Relative Feuchtigkeit 7³⁰	13³⁰	21³⁰	Windrichtung und Stärke 7³⁰	13³⁰	21³⁰	Bewölkung 7³⁰	13³⁰	21³⁰	Niederschlag	Witterung
1	−1.7	1.3	−1.5	−0.6	−1.4	731.4	730.6	731.0	98	94	97	E 0	NW 0	NW 0	10≡	10≡	10≡	.	≡ n–n
2	−1.0	2.7	2.8	1.5	0.6	730.4	728.8	728.6	97	77	96	S 0	SE 0	S 0	10≡	10●	10●	7.9	● II, III, ≡ I
3	5.1	9.8	6.2	7.0	6.0	726.2	722.2	720.7	97	76	96	S 0	S 0	S 0	10●	5	10●	4.5	● I, III
4	5.0	1.1	0.0	2.0	1.0	717.1	716.8	721.1	82	89	93	NW 1–2	NW 1	NW 3–4	10●	10*	10*	16.1	✳ II, III
5	1.0	−0.5	1.8	0.8	−0.3	719.8	722.0	725.6	54	90	46	N 2	NW 2	NW 2	10	10*	10	10.4	✳ II
6	0.5	0.3	−4.5	−1.2	−2.4	727.3	728.6	**733.3**	57	59	74	N 1–2	NW 1	NE 0	10	10	6	2.5	✳ a, p zeitw.
7	−8.8	1.1	−1.1	−2.9	−4.1	732.0	730.0	726.3	75	49	90	SE 0	NE 0	NE 0	7	8	10*	7.8	✳ III
8	−0.2	3.4	0.9	1.4	0.1	720.0	716.6	720.0	95	94	73	NE 0	NW 1	NW 1–2	10*	10●	10*	31.3	● II, ✳ I. III
9	0.6	1.1	−0.1	0.5	−0.9	719.3	720.5	719.1	75	63	88	N 2	NE 1	SE 0	10*	10*	10*	13.4	✳ n–n
10	−0.3	1.0	−0.1	0.2	−1.2	718.3	707.0	710.3	96	84	54	W 0	NW 1	E 1	10*	10*	10	20.1	✳ I, ● ✳ p
11	−2.5	−1.6	−2.0	−2.0	−3.5	712.1	713.6	716.5	77	62	84	N 0–1	NW 1	NW 0–1	10	10	10*	4.5	✳ 14–n
12	−1.8	−1.1	−4.6	−2.5	−4.1	716.6	716.3	719.1	65	64	85	NW 2	NW 1	NW 0	10	10	7	1.3	✳ p
13	−3.2	−1.8	−3.6	−2.9	−4.5	721.4	720.6	722.1	67	57	69	NE 0–1	NW 1	NW 0	10	8	10	0.6	
14	−4.1	−0.1	−4.7	−3.0	−4.7	722.5	722.4	725.1	86	62	62	N 0	N 0	NE 0	10*	8	7	0.2	✳ I
15	−5.8	0.0	−3.1	−3.0	−4.8	725.6	724.4	724.7	72	53	80	E 0	SE 0	E 0	10	4	10	.	
16	−3.8	0.5	−1.1	−1.5	−3.4	724.1	723.2	722.5	80	56	78	SE 0	SE 0	SE 0	9	10	10	.	
17	−5.4	0.2	−1.4	−2.2	−4.1	719.3	717.9	718.3	65	52	70	S 0–1	S 0	SE 0	10	7	10	.	
18	−3.0	−3.7	−4.5	−3.7	−5.7	718.1	718.7	720.3	70	65	81	E 0	NW 1–2	E 0	10	10	10	0.6	✳ p zeitw.
19	−5.9	−3.0	−4.9	−4.6	−6.7	720.5	720.6	723.5	72	59	70	NW 0	NW 0	E 0	10*	5	10	.	✳° I
20	−6.1	−3.0	−3.9	−4.3	−6.5	723.6	724.0	724.1	64	59	75	SE 0–1	NW 0–1	NW 0	10	10	10	.	
21	−5.7	−3.0	−4.4	−4.4	−6.6	722.5	721.9	722.1	76	49	72	NE 0	NW 0	NW 0	10*	10	10	0.0	✳° I
22	−5.4	−2.9	−5.8	−4.7	−7.0	718.7	717.3	717.6	63	50	61	E 0	NW 0	E 0	10	10	10	.	
23	−7.8	−2.1	−3.3	−4.4	−6.8	718.7	719.7	723.2	75	60	70	S 0	NW 0	E 0	10	8	10	.	
24	−7.3	1.0	−3.5	−3.3	−5.8	723.5	722.3	722.2	85	57	48	E 0	N 0	NE 0	10	0	0	.	
25	−5.8	−1.6	−3.0	−3.5	−6.1	720.7	718.3	715.5	90	68	88	S 0	NW 1	E 0	10	8	10	.	
26	−4.0	0.7	−3.7	−2.3	−5.1	711.2	709.2	708.8	95	70	90	SW 0	S 0	SW 0	10	8	3	.	
27	−4.7	3.5	0.1	−0.4	−3.3	707.3	706.2	707.3	93	68	93	S 0	NW 0	S 0	7	7	8	.	
28	−0.1	8.6	6.0	4.8	1.8	705.5	700.6	**699.3**	96	**32**	50	NW 0	SE 2	S 0–1	10	10	6	.	
29	0.6	2.3	0.8	1.2	−1.8	701.8	702.9	707.1	89	87	95	E 0	N 0	NW 0	10	10●	10*	32.4	● ✳ p, ✳ III
Mittel	−2.8	0.4	−1.6	−1.3	—	719.5	718.7	719.8	79	66	77				9.8	8.5	8.9	Summe 153.6	

Februar 1944.
Beobachter: *Observatorium.*

Genf

$\lambda = 6° 9'$, $\beta = 46° 12'$,
$H_b = 405.0$ m, $G = -0.03$ mm.

Tag																			
1	−2.4	0.0	−1.6	−1.3	−2.3	736.7	735.9	736.5	100	93	100	ESE 0	E 0	E 0	10	9	8	.	≡ n–n
2	−1.6	2.8	3.8	1.7	0.6	736.1	734.7	734.9	100	93	95	E 0	E 0	ENE 0	6	10●	10	3.0	● seit 10³/₄, n, ≡ a
3	0.6	11.3	9.4	7.1	5.9	731.8	729.6	728.0	100	72	81	SE 0	ESE 0	SE 1	4	9	4	2.5	≡ a, ● n (3./4.)
4	5.7	5.6	1.0	4.1	2.9	725.1	723.5	728.4	87	58	62	S 1	S 1	N 1	9	9	9	2.0	● seit 8³/₄, ✳ 15
5	−0.6	1.5	−0.2	0.2	−1.1	730.0	731.6	733.4	92	73	93	S 0	S 1	E 1	10	10	10	0.3	✳sch. a, ✳ p
6	−1.8	2.8	0.6	0.5	−0.9	734.2	735.0	737.0	96	86	92	E 0	NNE 1	NE 1	5	3	5	0.2	✳ 16
7	−3.2	0.9	−0.4	−0.9	−2.3	**737.2**	735.6	732.9	96	98	92	ENE 0	NE 0	E 0	10	10	10	0.8	✳ 16
8	1.4	4.8	1.1	2.4	0.9	727.5	725.3	727.3	93	74	83	NE 0	S 1	E 1	10●	10●	10	3.2	● a, ● ✳ p, ✳ abds.
9	0.0	3.2	0.8	1.3	−0.3	727.1	727.8	727.3	97	56	79	S 1	NNE 0	S 1	10	9	10	4.0	✳ seit 8, ● ✳ 15³/₄
10	2.2	1.5	0.4	1.4	−0.2	715.8	713.6	715.9	85	94	78	S 1	E 0	NNE 1	10●	9	5	4.0	● ✳ seit 11, ✳ 13¹/₄
11	−1.2	0.2	−1.0	−0.7	−2.4	716.8	718.8	722.2	92	85	92	NE 0	NE 3	NNE 1	10	4	3	.	✳sch. a
12	−2.8	0.1	−2.2	−1.6	−3.4	723.0	721.8	723.4	89	79	92	ESE 0	E 0	NE 0	10	10	7	0.2	✳sch. a, ✳ seit 18³/₄
13	−2.8	−0.2	−1.7	−1.6	−3.5	725.0	724.6	725.7	82	78	78	NE 3	NNE 2	NE 4	8	7	6	.	
14	−1.8	0.0	−0.6	−0.8	−2.7	726.0	726.1	728.6	79	74	84	NE 2	NE 2	NE 1	9	6	9	.	
15	−4.0	−0.5	1.1	−1.1	−3.1	729.0	728.1	728.4	95	96	91	E 0	SE 0	NNE 1	3	10	9	.	
16	0.2	2.1	0.9	1.1	−1.0	728.1	727.9	726.9	81	66	69	ENE 1	ENE 0	NE 1	7	8	10	.	
17	−0.6	0.0	−0.8	−0.5	−2.7	722.9	722.2	722.5	80	81	80	E 0	NE 1	NNE 1	10	10	10	.	
18	−2.5	−2.0	−4.2	−2.9	−5.1	722.4	723.2	724.6	85	72	81	NNE 1	ENE 1	NE 2	10	10	10	.	✳sch. a
19	−5.0	−2.4	−4.3	−3.9	−6.2	724.8	724.9	727.0	76	67	67	NNE 1	NNE 1	NNE 1	10	8	1	.	
20	−4.4	−3.2	−4.3	−4.0	−6.4	728.4	728.2	728.6	67	72	72	ENE 1	NE 1	ENE 1	10	10	10	.	
21	−4.5	−3.2	−4.0	−3.9	−6.4	726.9	726.7	725.9	74	65	68	NE 0	E 1	NNE 1	10	10	10	.	✳sch. a
22	−4.4	−2.8	−3.7	−3.6	−6.2	722.7	721.3	722.0	77	74	73	NE 1	NNE 1	NE 1	10	10	10	0.1	✳ zeitw.
23	−4.1	−2.2	−3.4	−3.2	−5.8	723.4	724.5	727.2	68	65	75	NE 0	NNE 0	NNE 1	10	10	10	.	
24	−4.0	−1.2	−3.0	−2.7	−5.4	728.0	727.4	727.3	77	75	80	NE 1	NNE 0	E 0	10	0	0	.	
25	**−7.3**	1.3	−1.3	−2.4	−5.2	725.4	722.0	720.2	92	75	86	E 0	NNE 0	E 0	3	0	2	.	⌙²
26	−6.4	3.0	1.7	−0.6	−3.5	716.0	713.6	713.4	94	**50**	82	E 0	NE 0	ENE 0	1	1	10	.	⌙²
27	0.7	6.5	3.2	3.5	0.4	712.4	711.8	712.3	86	82	89	E 0	S 1	SSE 0	10≡	10	7	0.8	● seit 8, ≡ I
28	2.2	4.4	2.1	2.9	−0.3	709.1	**703.5**	705.5	89	74	93	ENE 0	ENE 0	SE 0	10	10	10●	0.1	● sch. abds.
29	0.8	6.3	3.0	3.4	0.2	706.1	708.4	714.0	96	69	72	WSW 0	S 1	NNE 0	7≡	9	9	.	≡ I
Mittel	−1.8	1.4	−0.3	−0.2	—	724.8	724.1	725.1	87	76	82				8.3	8.0	7.7	Summe 21.2	

$\lambda = 8° 33'$, $\beta = 47° 23'$,
$H_b = 493.2$ m, $G = 0.03$ mm.

Zürich

Februar 1944.
Beobachter: *Meteorol. Zentralanstalt.*

Tag	Lufttemperatur 7³⁰	13³⁰	21³⁰	Mittel	Abweich. vom Normalst	Luftdruck 7³⁰	13³⁰	21³⁰	Relative Feuchtigkeit 7³⁰	13³⁰	21³⁰	Windrichtung und Stärke 7³⁰	13³⁰	21³⁰	Bewölkung 7³⁰	13³⁰	21³⁰	Niederschlag	Witterung
1	-1.9	7.3	0.8	2.1	2.6	727.6	727.3	727.4	97	56	93	ESE 1	WNW 1	WNW 0	10≡	0	10	.	≡ a
2	0.9	3.8	5.7	3.5	3.9	726.5	725.1	724.7	85	86	93	SSE 0	SSE 0	NNW 1	9	10●	10	6.8	●° 9½-21¾ ztw., ● 22¾-n
3	5.0	12.4	9.7	9.0	9.3	722.8	719.2	717.1	97	60	78	SSE 1	SSW 2	WSW 3	10≡	9	7	2.1	●° n-7, 16, 23¼, ≡ n-9¾
4	4.8	5.2	-0.8	3.1	3.3	713.5	713.0	717.6	84	61	75	WSW 1	SSW 1	W 2	10	6	9	7.5	●° 3½-10¾ m.U., ✳ 15-17
5	-0.7	-0.2	0.1	-0.3	-0.2	717.5	719.3	722.9	89	89	80	W 2	W 1	W 1	10*	10*	10	0.6	✳° 1-13½ m.U.
6	-1.0	0.4	-2.4	-1.0	-1.0	724.5	725.9	729.6	85	78	92	WNW 1	WNW 2	E 0	9	9*	10	3.1	✳° 10-17½ m.U.
7	-5.6	0.0	-1.1	-2.2	-2.2	728.7	726.6	722.4	88	63	98	SE 0	SSE 1	SSE 1	9	9	10*	8.0	✳ 15-n
8	2.7	0.8	-0.2	1.1	1.0	716.5	715.1	716.9	90	98	97	WSW 2	WNW 2	W 1	10●	10*	10*	10.1	✳ n-3¼, 10¾-24, ● 4¾-8
9	-0.5	1.0	-0.2	0.1	-0.1	716.9	717.3	715.1	98	70	86	NW 1	SW 1	SW 2	10*≡	10	10*	9.3	✳2½-9½, 16-n ztw., ≡ n-8¾
10	0.4	1.4	-4.1	-0.7	-1.0	704.5	704.1	707.6	90	77	95	WSW 3	WNW 3	N 1	10	4	2	5.4	✳ n-18¾
11	-4.0	-1.8	-2.5	-2.8	-3.2	709.7	711.2	713.8	92	86	95	NE 0	NNW 1	NW 1	9	10*	10*	1.8	✳ 1¼-7½ m.U., ✳ 8¼-22½
12	-3.4	-0.5	-3.6	-2.5	-3.0	713.8	713.8	716.5	94	73	90	NW 1	WNW 1	N 1	10*	10	9	2.6	✳ 7½-11¼, 15¼
13	-4.2	-1.2	-3.6	-3.0	-3.6	717.9	718.1	718.9	94	69	95	NNW 1	N 1	NNW 1	10*	9	10*	5.1	✳° 4¼-8¼, 16¼-n m.U.
14	-3.8	-0.5	-2.1	-2.1	-2.8	719.3	719.6	721.8	94	71	90	NNW 1	N 1	NNE 1	10*	10	10	1.0	✳° n-11
15	-3.1	0.4	-0.8	-1.2	-2.0	721.9	721.5	721.4	86	77	92	S 0	ENE 1	NNE 1	10*	10	10*	0.2	✳° 7-11½, p, 21½
16	-1.2	0.6	-2.5	-1.0	-1.9	721.1	720.5	719.6	90	70	95	NNE 1	NNE 1	N 1	10	10	10	0.0	✳fl. 9¾, ✳° 16½-17¾
17	-3.2	-1.2	-3.4	-2.6	-3.6	716.2	715.5	715.9	85	74	83	SSW 1	NNE 1	N 1	9	10	10*	0.0	✳° 21½
18	-6.5	-4.8	-7.1	-6.1	-7.2	716.0	716.6	717.9	80	70	75	NNE 2	NNE 1	N 1	10	9*	10	0.0	✳° 9-11½, 13½
19	-7.6	-3.3	-6.4	-5.8	-7.0	717.7	718.2	719.8	82	56	79	N 1	ENE 1	NE 1	10	3	10	0.0	✳° 9-9¾
20	-6.6	-4.9	-6.0	-5.8	-7.1	720.9	721.4	721.4	82	63	81	N 1	NNE 1	E 1	10*	10	10*	0.2	✳fl. a, p
21	-6.3	-3.7	-5.7	-5.2	-6.6	719.7	719.3	719.0	85	68	83	N 1	NNE 0	NE 0	10*	10*	10*	0.2	✳° 7-p, 21½
22	-7.2	-2.6	-5.2	-5.0	-6.5	716.1	714.8	714.9	83	56	76	NE 1	ESE 1	N 1	10*	9	10	0.0	✳° 7½-8¾
23	-6.2	-4.0	-5.9	-5.4	-7.0	716.0	717.3	720.1	82	68	81	NE 1	ENE 1	E 1	10	10	6	.	
24	-7.4	-3.2	-4.1	-3.9	-5.6	721.0	720.5	720.3	91	56	82	N 1	NE 3	N 1	5	0	0	0.0	
25	-8.6	1.6	-3.6	-3.5	-5.3	718.0	715.1	712.5	96	52	90	NW 0	NNE 1	NE 0	1	0	0	0.0	
26	-7.0	-0.4	-4.0	-3.8	-5.8	708.2	706.5	705.8	99	68	95	ESE 0	S 1	S 1	10≡	10≡	0	0.0	≡ a, ll
27	-5.6	4.8	1.7	0.3	-1.8	704.4	703.6	704.0	93	56	92	SSE 1	SSE 1	WSW 1	3	8	10	.	
28	-0.6	3.1	0.0	0.8	-1.4	703.1	699.2	697.3	97	77	88	NNW 0	SSE 0	NW 1	1	10	9	.	
29	-2.8	1.1	0.5	-0.4	-2.6	699.0	699.8	703.8	99	89	97	SE 0	WNW 0	WNW 0	4	10*≡	10*-	28.4	✳° 12¾-15, ✳ 15-n, ≡ a
Mittel	-3.1	0.5	-2.0	-1.5	—	716.5	716.0	716.8	90	70	88				8.6	7.6	7.8	Summe 92.4	

$\lambda = 8° 30'$, $\beta = 47° 8'$,
$H_b = 1787.3$ m, $G = 0.20$ mm.

Rigi-Kulm

Februar 1944.
Beobachter: *J. Wiget.*

1	2.4	3.0	1.8	2.4	7.0	621.0	620.9	620.2	26	26	33	W 3	W 2	W 3	5	1	1	.	
2	-1.0	-1.0	1.0	-0.3	4.3	618.8	618.2	618.6	36	100	100	W 2	WSW 2	SW 2	10	10*≡	10≡	21.4	✳ ll, ≡ ll, lll
3	1.0	3.5	0.8	1.8	6.4	617.3	615.1	613.3	100	76	100	SW 2	SW 2	W 4	10	8	10≡	8.3	≡ lll
4	-4.0	-4.2	-10.6	-6.3	-1.7	607.7	606.6	607.9	100	100	100	W 4	WSW 3	W 3	10≡	10	10*≡	15.0	✳ 14-n zeitw., ≡ l, lll
5	-10.2	-10.4	-10.0	-10.2	-5.6	608.6	609.9	612.8	100	100	100	W 4	W 4	W 4	10*≡	10*≡	10*≡	6.2	✳ ≡ n-n
6	-10.4	-11.0	-11.8	-11.1	-6.5	614.2	616.0	617.6	100	100	100	E 1	E 1	E 1	10*≡	10*≡	5	8.0	✳ l, ll, ≡ n-19½
7	-12.2	-10.0	-5.0	-9.1	-4.5	617.5	616.4	615.1	100	100	100	W 1	W 2	W 3	7	9	10*≡	5.0	✳ 17-n, ≡ lll
8	-3.0	-6.0	-9.0	-6.0	-1.4	610.3	608.0	608.8	100	100	100	W 3	WSW 2	E 2	10≡	10*≡	10*≡	16.2	✳ 8¼-n, ≡ n-n
9	-9.2	-9.8	-9.8	-9.6	-5.0	608.3	609.2	608.5	100	100	100	SW 3	SW 2	W 4	10*≡	10≡	10≡	2.4	✳ n-n zeitw., ≡ n-n
10	-7.0	-6.8	-10.0	-7.9	-3.4	598.8	598.0	599.0	100	100	100	W 4	W 4	W 3	10*≡	10*≡	10*≡	27.0	✳ ≡ n-n
11	-12.8	-12.0	-11.4	-12.1	-7.6	600.8	602.3	605.0	100	100	100	N 2	W 2	W 2	10*≡	10*≡	10*≡	17.6	✳ ≡ n-n
12	-12.4	-11.4	-13.0	-12.3	-7.8	604.8	604.8	605.9	100	100	100	E 0	W 2	NE 1	10*≡	10≡	10≡	13.6	✳ n-n zeitw., ≡ n-n
13	-14.2	-13.6	-14.0	-13.9	-9.4	608.6	608.5	609.1	100	100	100	NE 1	N 1	N 1	10*≡	10*≡	10*≡	3.8	✳ n-14, abds. ztw., ≡ n-n
14	-13.0	-9.8	-11.8	-11.5	-7.0	609.2	609.3	611.0	100	100	100	N 1	E 1	E 1	10*≡	10≡	10≡	.	✳ l, ≡ n-n
15	-10.8	-9.6	-9.8	-10.1	-5.7	611.8	611.5	612.5	100	100	100	NE 2	NE 2	E 1	10	10≡	10≡	.	≡ n-n zeitw.
16	-9.8	-8.2	-10.0	-9.3	-4.9	611.4	611.1	610.9	100	100	100	E 1	W 0	E 0	10≡	10≡	10≡	.	≡ n-n
17	-11.2	-9.5	-12.0	-10.9	-6.5	606.9	606.4	606.3	100	90	80	E 2	E 1	E 1	1	2	10≡	.	≡ 15-n
18	-13.8	-12.2	-14.6	-13.5	-9.1	605.2	605.6	606.5	80	82	80	SW 0	NE 1	E 0	10*≡	10≡	10≡	.	✳ 7½, ≡ n-n
19	-15.4	-10.4	-11.8	-12.5	-8.2	606.3	607.0	608.2	80	80	78	E 0	SW 0	E 0	10≡	0	2	.	≡ l
20	-11.6	-10.2	-12.8	-11.5	-7.2	609.1	609.4	609.8	70	75	78	SE 1	E 1	E 1	2	5	10≡	.	≡ lll
21	-15.8	-14.4	-14.5	-14.9	-10.6	608.1	607.7	608.0	95	94	94	E 0	E 1	SE 1	10	10	10	1.8	≡ n-n
22	-16.0	-12.8	-13.4	-14.1	-9.9	605.2	604.2	604.6	94	94	94	E 0	E 0	E 1	10≡	10≡	0	.	≡ n-20
23	-11.0	-8.4	-7.8	-9.1	-4.9	605.4	606.8	609.4	87	70	60	SE 2	S 2	S 2	5	5	5	.	
24	-6.8	-3.0	-3.5	-4.4	-0.2	610.2	611.7	611.7	56	41	38	S 3	S 3	S 4	0	2	3	.	
25	-3.0	-0.5	-2.4	-2.0	2.1	610.2	609.3	607.5	36	30	31	S 3	SE 1	SE 0	0	0	0	.	
26	-2.4	-1.0	-3.4	-2.3	1.8	602.8	601.8	601.6	36	39	51	W 1	SW 1	SW 2	0	0	0	.	
27	-3.3	-1.8	-4.8	-3.3	0.7	599.8	599.6	599.6	90	82	100	W 1	S 1	E 1	8	5	7	.	
28	-5.4	-1.4	-2.0	-2.9	1.1	598.0	595.3	593.7	100	33	51	SE 2	S 4	S 3	8	9	5	.	
29	-5.0	-4.4	-6.2	-5.2	-1.3	594.5	595.2	597.3	100	100	100	NW 0	NE 1	W 2	10	10*-	10*-	36.8	✳ 13-n, ≡ n-n m.U.
Mittel	-8.5	-7.2	-8.3	-8.0	—	608.0	607.8	608.3	86	83	85				7.8	7.4	7.5	Summe 183.1	

Februar 1944.
Beobachter: *P. Nogler.*

Bevers

$\lambda = 9° 53'$, $\beta = 46° 33'$,
H_b = ca. 1710 m, $G = -0.23$ mm.

Tag	Lufttemperatur 7³⁰	13³⁰	21³⁰	Mittel	Abweich. vom Normalst	Luftdruck 7³⁰	13³⁰	21³⁰	Relative Feuchtigkeit 7³⁰	13³⁰	21³⁰	Windrichtung und Stärke 7³⁰	13³⁰	21³⁰	Bewölkung 7³⁰	13³⁰	21³⁰	Niederschlag	Witterung
1	-11.0	1.5	-9.2	-6.2	2.7	628.2	626.9	625 3	93	41	84	E 0	W 1	SW 0	10	6	0	.	
2	-11.8	4.8	-1.0	-2.7	6.1	625.2	624.4	623.7	88	41	100	SW 0	W 2	SW 1	8	10	10	2.2	● n (2./3.)
3	0.0	6.0	0.0	2.0	10.7	623.2	619.8	618.0	100	61	85	NE 0	W 1	N 1	10	7	4	0.2	
4	-2.8	-3.0	-7.6	-4.5	4.1	613.2	610.3	611.9	98	83	57	N 1	NW 2-3	N 2	8*	10*	10*	4.9	✳ ⫩ n-n
5	-8.0	-7.4	-8.0	-7.8	0.7	612.1	613.5	613.0	89	92	94	E 0	E 1	NE 1	10*	10*	10*	18.8	✳ n-n
6	-8.9	-8.6	-10.5	-9.3	-0.9	613.6	618.6	623.1	83	64	54	E 0	E 2	NE 3	10*	10*	5	10.4	✳ ⫩ n-20³/₄
7	-22.0	-4.6	-6.2	-10.9	-2.6	623.0	621.5	619.7	83	64	90	NW 1	NW 2	N 1	0	10	10	.	
8	-1.0	2.0	-7.6	-2.2	6.0	614.5	613.7	612.7	63	82	92	ESE 1	NE 2-3	NE 1	10	10*	10*	4.2	✳° ⫩ n-n
9	-7.9	-4.4	-8.6	-7.0	1.1	611.7	612.7	613.0	63	61	94	NE 1	N 2	N 1	10	10*	10*	15.2	✳sch. a, p, ✳ 16-n
10	-8.4	-3.4	-10.2	-7.3	0.7	615.8	604.6	603.9	93	88	80	SW 1	NE 2	N 2	10*	10*	10*	2.3	✳° n-16, abds. zeitw.
11	-11.4	-5.6	-10.3	-9.1	-1.2	605.0	606.8	608.4	52	63	67	NE 2	NE 2	N 1	10*	10*	10*	3.3	✳ ⫩ n-n
12	-10.0	-6.4	-12.3	-9.4	-1.6	608.9	610.1	610.3	59	64	91	NE 2	N 2	NE 0	10*	10*	10	2.8	✳ ⫩ n-16, ✳°sch. abds.
13	-18.0	-7.9	-11.8	-12.6	-4.9	611.6	612.4	613.8	80	68	64	NE 1	NE 3	NE 2-3	10	9	10	.	
14	-15.7	-7.4	-15.4	-12.8	-5.2	614.2	616.5	617.8	81	66	77	NW 1-2	NW 1-2	NW 1	7	5	2	.	
15	-18.5	-6.4	-9.8	-11.6	-4.0	617.8	616.6	616.9	87	70	75	W 1	W 1	NW 1	2	1	0	.	
16	-18.3	-6.7	-12.8	-12.6	-5.1	617.1	616.5	616.0	86	72	79	NW 1	N 2	NW 1-2	3	2	1	.	
17	-19.9	-6.3	-18.5	-14.9	-7.5	615 0	614.6	612.1	84	68	85	NW 1	NW 2	N 0	4	4	0	.	
18	-20.6	-7.8	-17.4	-15.3	-8.0	612.5	612.5	612.0	86	70	84	W 1	NW 0-1	NW 1	3	1	0	.	
19	-18.6	-6.4	-18.2	-14.4	-7.2	612.3	612.7	615.4	83	55	82	W 1	W 1	NW 1	10	0	0	.	
20	-22.6	-6.2	-16.4	-15.1	-8.0	615.9	615.9	615.6	95	59	79	W 0-1	NW 1	NW 0-1	0	1	0	.	
21	-18.7	-6.2	-14.2	-13.0	-6.0	615.4	614.7	612.8	92	61	90	NW 1	NW 2	NW 1	8	3	0	0.0	
22	-16.8	-5.3	-11.0	-11.0	-4.1	611.3	611.8	612.5	88	72	93	N 1-2	NE 2-3	NE 2	7	7	10	5.2	⫩ n-11
23	-16.0	-5.2	-13.4	-11.5	-4.7	614.0	616.2	617.9	90	78	87	NE 1	NE 2	NW 1	8	8	0	.	
24	-18.0	-2.7	-13.0	-11.2	-4.5	620.6	621.0	621.9	92	64	85	SW 1	SW 2	W 1	0	0	0	.	
25	-18.2	1.0	-12.0	-9.7	-3.1	619.2	617.4	613.1	93	60	80	W 1	W 1	NW 0-1	0	0	0	.	
26	-17.0	1.0	-11.0	-9.0	-2.5	608.8	608.3	608.1	94	64	83	W 0-1	SW 1-2	W 0	0	0	0	.	
27	-12.0	0.2	-4.2	-5.3	1.1	607.3	606.5	606.8	92	78	97	N 0	E 1-2	NW 1	10	10*	10*	2.0	✳° 10-n
28	-4.0	1.0	-2.4	-1.8	4.5	606.0	604.3	602.7	100	68	100	E 1	E 2	E 1	10*	10	10△	.	✳° n-10, 14¹/₂-20, △°
29	-4.3	-0.4	-10.6	-5.1	1.2	603.0	604.1	604.9	100	90	84	W 1	SW 1	N 2	10*	10*	6	4.9	✳ 7¹/₂-18 [20-n
Mittel	-13.1	-3.5	-10.5	-9.0	—	614.0	613.9	613.9	86	68	83				6.8	6.3	5.1	Summe 76.4	

Februar 1944.
Beobachter: *Kapuzinerkloster.*

Sitten

$\lambda = 7° 21'$, $\beta = 46° 14'$,
$H_b = 548.6$ m, $G = -0.11$ mm.

Tag	7³⁰	13³⁰	21³⁰	Mittel	Abweich. vom Normalst	Luftdruck 7³⁰	13³⁰	21³⁰	Relative Feuchtigkeit 7³⁰	13³⁰	21³⁰	Windrichtung und Stärke 7³⁰	13³⁰	21³⁰	Bewölkung 7³⁰	13³⁰	21³⁰	Niederschlag	Witterung
1	-0.4	6.5	-0.6	1.8	1.5	724.0	722.4	723.6	72	47	98	NE 0	NE 1	NW 1	1	0	0	.	
2	-3.6	3.2	1.5	0.4	0.0	723.4	721.5	722.3	93	62	100	NW 0	NW 1	E 0	8	10	10●	3.2	● p-21¹/₂, ⌴ 1
3	1.7	7.8	6.5	5.3	4.8	720.1	717.1	714.6	100	62	84	E 1	E 0	W 1	3	2	9	0.1	
4	5.9	6.6	-0.6	4.0	3.4	710.3	709.4	714.0	71	41	56	W 1	W 3	WNW 1	10●	9	10	6.1	● n-a m.U., ✳ 16-18, 🌧 17-
5	-0.8	2.6	-0.1	0.6	-0.1	714.3	716.4	718.8	80	48	74	W 2	W 1	W 2	10	10	9	0.1	✳ 8¹/₄-9¹/₂, ✳fl. (15) [17¹/₂
6	-1.0	3.5	-1.9	0.2	-0.6	719.2	720.1	723.5	80	47	66	WNW 1	W 2	NNW 1	8	4	1	.	
7	-5.1	-1.4	-0.9	-2.5	-3.4	724.2	722.6	720.3	67	56	67	NNE 1	NNE 1	N 0	1	7	10	3.2	
8	-2.2	4.2	-0.2	0.6	-0.4	714.3	710.3	712.9	99	71	95	NNE 0	WNW 2	W 1	10≡*	9	10	4.0	✳ a m.U., 15-17¹/₄, ≡ 1
9	-0.9	0.9	-1.0	-0.3	-1.4	712.3	713.5	713.6	93	70	88	W 1	W 2	WSW 2	10	10*	10	7.0	✳ 8-10¹/₄, 11
10	-2.1	0.9	-1.6	-0.9	-2.1	703.4	699.5	701.5	100	98	93	WSW 0	W 2	W 2	10≡*	10≡*	8	12.8	✳ n-16, ≡ 1, 11
11	-2.8	1.3	-3.0	-1.5	-2.8	703.2	704.1	708.3	84	46	78	W 1	W 1	W 2	10	8	10	.	
12	-3.4	0.0	-5.0	-2.8	-4.2	708.6	708.1	709.7	78	65	73	N 1	SW 1	NNE 1	10	10	0	.	
13	-8.2	-2.8	-6.2	-5.7	-7.2	711.9	710.8	712.5	77	54	69	NNE 1	NNE 0	NNE 1	9	3	0	.	
14	-8.4	-2.2	-6.4	-5.7	-7.3	713.6	713.3	716.0	76	56	66	NNE 1	NNE 1	NNE 2	4	2	0	.	
15	-10.4	-3.5	-5.3	-6.4	-8.1	716.8	715.1	715.9	80	57	71	NNE 1	N 0	NNE 0	2	0	10	.	
16	-5.4	-0.1	-3.6	-3.0	-4.8	715.6	715.1	714.5	70	56	72	N 1	NNE 0	NNE 0	10	0	10	.	
17	-6.2	-1.0	-4.2	-3.8	-5.7	710.9	709.0	709.6	72	58	69	NNE 1	W 1	NE 2	4	2	2	.	
18	-5.0	-0.7	-3.8	-3.2	-5.2	709.4	709.1	710.4	68	53	72	NE 2	ENE 1	WNW 1	10	2	10	.	
19	-5.6	-0.8	-6.2	-4.2	-6.4	711.5	711.2	713.7	86	47	74	W 0	W 1	NE 1	10≡*	0	0	0.1	✳ 7¹/₄-9¹/₂ m.U., ✳fl. a, ≡ 1
20	-10.4	-2.8	-6.8	-6.7	-9.0	715.0	713.9	715.1	86	55	75	NE 0	NE 1	NE 1	0	3	0	.	
21	-6.3	-2.8	-5.2	-4.8	-7.2	713.8	712.5	713.0	70	58	70	NE 1	W 1	W 0	10≡	1	10	.	✳fl. a, ≡ 1
22	-5.8	-1.5	-6.6	-4.6	-7.1	709.6	707.8	708.8	67	54	66	W 1	W 1	NE 1	10	7	0	.	✳fl. a
23	-8.8	-1.8	-5.8	-5.5	-8.1	710.7	710.2	714.0	83	64	78	NE 0	W 1	W 0	5	2	0	.	🌧 17
24	-3.6	6.6	2.4	1.8	-0.9	715.4	714.9	715.8	56	34	39	NE 1	NE 1	NE 1	5	2	0	.	
25	-2.6	7.6	-1.4	1.2	-1.6	713.6	710.4	707.4	54	37	87	NE 1	NE 0	NE 0	1	0	0	.	
26	-3.4	4.4	1.0	0.7	-2.3	703.3	701.0	701.5	84	52	77	NE 1	W 1	W 1	0	2	0	.	⌴ 1
27	-0.9	7.8	2.8	3.2	0.1	700.5	698.8	699.8	79	47	90	W 1	SW 2	W 1	3	4	7	.	
28	-0.1	9.8	5.4	5.0	1.8	697.7	693.1	692.8	97	36	60	NE 1	E 5	NE 1	8	9	5	.	🌧 12-19
29	0.1	3.5	1.2	1.6	-1.6	693.9	695.2	699.9	91	79	100	ENE 1	ENE 0	W 0	5	10●	10●	1.8	● 13¹/₄-14¹/₂, 20-n, ✳fl. 16- [17¹/₄, ⌴ 1
Mittel	-3.6	1.9	-1.9	-1.2	—	711.7	710.6	711.9	80	55	76				6.4	4.8	5.2	Summe 38.4	

$\lambda = 8° 57'$, $\beta = 46° 0'$,
$H_b = 276.2$ m, $G = -0.01$ mm

Lugano

Februar 1944.
Beobachter: *G. Vicari.*

Tag	Lufttemperatur 7³⁰	13³⁰	21³⁰	Mittel	Abweich. vom Normalst	Luftdruck 7³⁰	13³⁰	21³⁰	Relative Feuchtigkeit 7³⁰	13³⁰	21³⁰	Windrichtung und Stärke 7³⁰	13³⁰	21³⁰	Bewölkung 7³⁰	13³⁰	21³⁰	Niederschlag	Witterung
1	1.2	12.0	3.2	5.5	3.4	746.2	744.9	744.3	69	48	64	N 1	W 0	N 1	8	0	0	.	
2	−0.4	8.0	4.0	3.9	1.7	742.8	741.7	741.1	76	63	63	N 1	SE 0	N 1	8	8	3	.	
3	1.2	13.6	5.6	6.8	4.6	740.4	739.5	738.0	88	53	84	S 1	S 1	N 1	7	5	10	.	
4	5.4	11.2	3.8	6.8	4.5	732.1	727.3	729.9	97	49	29	N 0	NE 1	N 3	9	10	3	.	
5	3.2	11.0	2.2	5.5	3.1	733.4	734.4	736.1	33	26	35	N 2	N 2	N 2	7	8	2	.	
6	4.0	8.2	3.8	5.3	2.8	737.7	739.0	744.3	26	22	26	N 2	NE 3	NE 3	0	1	1	.	
7	−1.2	9.4	1.6	3.3	0.8	743.2	742.1	739.2	32	22	33	NE 1	ESE 1	N 1	0	1	0	.	
8	−1.0	9.6	4.8	4.5	1.9	733.7	728.3	732.5	54	39	36	NE 1	S 1	N 2	8	2	4	.	
9	4.2	10.4	2.8	5.8	3.1	732.0	733.0	733.8	39	27	30	N 2	NE 2	N 2	10	3	0	.	
10	0.2	4.8	4.0	3.0	0.2	725.7	721.4	720.4	52	46	31	N 1	NE 1	NNE 2	10	10	1	.	
11	2.8	8.0	3.4	4.7	1.8	722.0	722.5	726.4	27	22	24	NNE 3	NNE 3	NNE 3	1	1	4	.	
12	2.6	6.8	2.2	3.9	0.9	727.9	728.7	731.7	24	22	24	NNE 3	NNE 3	NNE 2	0	4	0	.	
13	2.2	8.2	4.0	4.8	1.7	730.9	730.0	731.0	25	21	22	NNE 2	NNE 3	NNE 3	3	6	7	.	
14	3.0	7.6	−0.2	3.5	0.3	734.6	735.2	737.3	26	44	58	NNE 2	SSE 1	N 1	10	9	0	.	
15	−2.0	9.8	1.0	2.9	−0.4	737.3	736.8	736.5	56	31	52	N 1	ESE 1	N 1	9	0	0	.	
16	−2.8	10.4	0.4	2.7	−0.6	735.4	734.1	734.8	61	38	57	N 1	SSW 1	NNE 1	0	0	0	.	
17	−3.2	8.8	0.6	2.1	−1.3	733.5	732.3	731.6	68	43	65	N 1	S 1	N 1	0	10	0	.	
18	−0.2	4.6	0.8	1.7	−1.8	731.8	732.4	733.6	71	63	63	SSW 0	S 1	SSW 1	10	9	10	.	
19	0.0	2.0	1.0	1.0	−2.6	735.2	736.0	736.7	61	64	62	SSW 1	S 1	SW 1	10	10	10	.	
20	−1.8	4.2	0.8	1.1	−2.7	737.4	737.5	736.9	67	54	64	WNW 1	S 1	NE 1	8	9	3	.	
21	−0.8	5.2	−0.8	1.2	−2.7	736.4	735.2	734.3	70	46	62	W 0	S 1	N 1	10	8	2	.	
22	−1.6	0.2	−0.8	−0.7	−4.7	733.0	734.0	735.5	74	92	99	NNE 1	SSE 0	NW 0	10	10*	10*	4.5	✳° 9–n m.U.
23	−2.6	1.0	−0.6	−0.7	−4.9	736.2	736.9	740.2	100	78	99	N 1	ESE 0	S 0	10	10*	10*	1.5	✳ n–n m.U. ✳
24	0.0	8.6	1.8	3.5	−0.8	742.5	743.2	743.4	98	46	90	N 1	NW 0	NNE 1	10	4	0	.	✳
25	−1.6	11.2	2.2	3.9	−0.5	739.5	736.2	733.0	79	34	60	N 1	E 1	N 1	1	0	0	.	
26	−1.2	10.8	2.4	4.0	−0.6	727.1	725.1	726.1	70	38	53	NW 1	S 0	N 1	0	0	0	.	
27	1.6	4.2	2.8	2.9	−1.8	725.6	726.0	725.9	64	78	99	SSW 1	E 0	S 0	10	10●	10●	5.9	●° 10½–n m.U.
28	2.2	4.0	2.8	3.0	−1.9	725.0	723.9	719.7	99	94	98	NNE 1	WNW 1	NNW 1	10●	10●	10●	22.1	● n–n m.U.
29	3.6	2.2	2.6	2.8	−2.1	718.6	719.8	722.6	99	94	94	W 1	S 1	WNW 1	10●	10●	2	14.6	● n–15 m.U.
Mittel	0.6	7.5	2.1	3.4	—	733.7	733.0	733.7	62	48	58				6.5	5.8	3.5	Summe 48.6	

$\lambda = 7° 35'$, $\beta = 47° 33'$,
$H_b = 318$ m, $G = 0.11$ mm.

Basel

Februar 1944.
Beobachter: *Astronom.-Meteorol. Anstalt.*

1	−2.0	3.0	2.0	1.0	0.8	743.6	744.4	744.1	96	78	82	ESE 1	W 1	SW 1	0	10	9	.	⊏ |
2	2.5	4.2	6.2	4.3	4.0	741.5	740.2	740.1	79	96	97	ESE 1	E 1	SSW 1	10	10●	10	20.0	● 7⅜–23⅜ m.U.
3	7.7	13.8	8.2	9.9	9.6	737.8	734.4	733.8	96	69	81	ESE 1	WNW 1	WSW 2	10	10	10	4.4	● 0–6⅜, 14–23⅜ zeitw.
4	5.5	4.8	−0.4	3.3	2.9	729.7	729.0	734.4	86	56	78	WSW 1	W 2	WSW 2	10●	10	10	5.6	● 5–15¼ ztw., ✳ 13¼–18¾ m.U.
5	0.6	0.8	0.5	0.6	0.1	734.5	736.4	739.6	81	81	86	W 3	WSW 2	WSW 1	10	10	10	1.6	✳ 9⅜–11½, 16½–17 ✳
6	−0.5	−0.1	−1.8	−0.8	−1.3	741.4	743.2	745.6	88	96	96	WSW 1	NNW 1	E 0	10	10*	10*	3.4	✳ 6½–16⅜ zeitw., ✳° III ✳
7	−5.3	0.4	−0.6	−1.8	−2.4	744.8	742.2	737.9	98	76	98	ESE 1	ENE 1	ESE 1	9	10	10●	5.1	✳16½–21 m.U., ●21–23¼ m.U. ✳
8	4.0	2.3	1.2	2.5	1.8	732.2	731.7	733.2	95	89	92	WSW 2	W 1	WSW 1	10	9●	10	7.4	● 5⅜–14½ zeitw., ✳sch. 12, ✳
9	0.7	2.0	1.4	1.4	0.7	733.7	733.7	731.2	85	73	82	W 1	SW 2	SW 1	9	10	10	1.4	≤ | [⊼ ✳ 16–16½
10	2.8	4.1	−2.0	1.6	0.8	720.1	720.5	723.9	86	71	94	SW 2	W 2	WSW 1	10	10	1	7.3	● 2½–11¾ m.U., ✳ 18¼–20 m.U.
11	−1.8	−1.4	−2.0	−1.7	−2.6	725.8	728.3	730.9	97	80	94	NNW 1	NNW 1	WNW 1	10	10*	10	1.5	✳ 0¼–14 m.U., ✳° p ztw. ✳
12	−2.8	1.2	−3.4	−1.7	−2.7	730.4	730.2	733.5	95	72	95	WSW 0	W 1	WNW 1	10*	10	10	0.7	✳ 6–10¼, ✳° p zeitw. ✳
13	−3.7	−0.8	−3.4	−2.6	−3.6	734.8	734.9	735.6	94	70	89	NNW 0	NNW 1	W 0	10	10	10*	1.6	✳° p–n zeitw., ≤ | ✳
14	−3.3	−0.5	−2.9	−1.9	−3.0	735.8	736.4	738.4	95	76	93	WNW 1	NW 1	WNW 1	10	10	10	0.1	✳ 2¼–4¼, ✳° a m.U. ✳
15	−1.9	0.4	−0.5	−0.7	−1.9	738.3	737.8	737.8	96	85	97	SW 0	WNW 1	NW 1	10	10	10	.	✳° 8½–10½ m.U. ✳
16	−1.7	0.6	−0.9	−0.7	−2.0	737.7	737.2	735.7	97	78	91	NW 1	WNW 1	WNW 0	10	10	10	.	✳
17	−1.8	−0.1	−1.4	−1.1	−2.4	732.6	731.9	732.2	69	59	62	NE 1	ENE 1	NE 1	10	10	10	.	✳
18	−3.5	−3.7	−6.0	−4.4	−5.8	732.7	733.3	734.5	64	65	61	NNE 1	NW 1	ENE 1	10	10	8	.	✳° 9½–11½, 14–17 ✳
19	−6.4	−1.6	−5.5	−4.5	−6.0	734.2	734.6	736.4	87	54	65	NW 1	NE 1	ENE 1	10	9	0	.	✳° 9–10½ ✳
20	−5.1	−2.6	−4.1	−3.9	−5.5	737.5	737.9	737.9	71	63	69	ENE 1	ESE 1	ENE 1	10	10	10	.	✳° 9½–10, 14–p m.U. ✳
21	−6.0	−2.3	−3.8	−4.0	−5.6	736.5	735.8	735.7	85	57	73	NNW 1	ENE 1	ENE 0	10	10	10*	.	✳° III ✳
22	−5.3	−2.9	−3.4	−3.9	−5.6	732.9	731.4	731.4	68	68	62	ESE 1	NE 1	ENE 1	10	10	10	0.3	✳° 8½–13, n ✳
23	−4.3	−2.2	−2.8	−3.1	−4.9	732.4	733.3	736.2	70	63	66	ESE 1	ESE 2	ENE 1	10	3	10	.	✳° 8–11½ ✳
24	−6.1	−0.5	−4.3	−3.6	−5.5	737.2	736.6	736.1	75	59	83	ENE 1	NW 1	WSW 1	0	0	0	.	✳
25	−9.6	1.8	−3.1	−3.6	−5.6	734.1	731.5	728.7	94	56	85	NNE 0	NNW 1	ESE 1	0	0	0	.	⊏ | ✳
26	−6.6	4.2	−1.4	−1.3	−3.4	724.2	722.5	721.3	86	50	73	SE 1	SSE 0	E 1	0	0	0	.	⊏ ⊏ | ✳
27	−3.1	4.4	0.6	0.6	−1.6	719.6	719.5	720.6	85	65	94	E 1	N 0	WNW 1	10	10	10*	0.4	⊏ ⊏° |
28	−1.1	−1.1	0.2	−0.7	−3.0	719.0	715.3	713.5	99	99	96	WNW 0	NNW 1	SW 0	10≡	10≡	10	0.0	≡ 6½–14⅜
29	−0.3	1.7	0.6	0.7	−1.7	714.6	716.0	720.4	95	90	96	ENE 0	WNW 1	W 1	10	10	10●	2.5	✳1 7⅜–8½, ●° 15–n m.U.
Mittel	−2.0	1.9	−1.1	−0.7	—	732.7	732.4	733.1	87	72	84				8.6	8.7	8.2	Summe 63.3	

Februar 1944.
Beobachter: *Observatorium.*

Säntis

$\lambda = 9° 20'$, $\beta = 47° 15'$,
$H_b = 2500.1$ m, $G = -0.27$ mm.

Tag	Lufttemperatur					Luftdruck			Relative Feuchtigkeit			Windrichtung und Stärke			Bewölkung			Niederschlag	Witterung
	7^{30}	13^{30}	21^{30}	Mittel	Abweich. vom Normalst	7^{30}	13^{30}	21^{30}	7^{30}	13^{30}	21^{30}	7^{30}	13^{30}	21^{30}	7^{30}	13^{30}	21^{30}		
1	-2.4	-2.0	-4.4	-2.9	6.2	568.3	567.8	566.7	25	30	30	WSW 2	WSW 3	W 3	6	1	0	.	
2	-5.4	-3.2	-2.6	-3.7	5.4	565.2	564.5	564.7	38	100	100	W 4	W 4	W 4	10	10≡*	10≡*	39.0	✳° 13-n, ≡ 11½-n, ☄ n-n
3	-1.6	-0.8	-3.9	-2.1	7.1	564.4	561.7	558.3	100	100	100	WSW 3	W 3	W 5	10≡	10≡	10≡*	**42.0**	✳ n-n m.U., ≡ n-n, ⋁ l, *)
4	-8.6	-12.2	-16.4	-12.4	-3.2	553.6	551.3	552.7	100	100	94	W 4	W 4	NW 3	10≡*	10≡*	10≡*	17.8	✳ ≡ ☩ n-n, ⋁ l, ☄ a
5	-15.2	-14.8	-14.6	-14.9	-5.7	551.8	553.5	557.1	100	96	98	WNW 5	NW 4	NW 4	10≡*	10≡*	10≡*	31.0	✳ ≡ ☩ ☄ n-n
6	-15.4	-15.8	-19.2	-16.8	-7.6	558.3	559.3	562.2	93	93	88	SE 1	NNE 1	NNE 1	10≡*	10≡*	0	12.7	✳ n-17½, ≡ n-20
7	-15.6	-12.4	-7.9	-12.0	-2.8	562.3	561.8	559.9	57	53	100	NW 2	SW 3	W 3	7	10	10≡*	14.6	✳ 18¼-n, ≡ ☩ 17-n
8	-8.0	-11.4	-14.2	-11.2	-2.0	554.8	553.1	553.8	100	100	100	W 4	WNW 3	W 2	10≡*	10≡*	10≡*	31.6	✳ ≡ n-n, ☩ n-17, ☄ a
9	-15.1	-15.0	-14.6	-14.9	-5.7	553.1	553.2	552.0	91	92	96	NE 3	W 3	WNW 3	10≡*	10≡*	10≡*	5.0	✳ ≡ n-n, ☩ 7-n m.U.
10	-11.9	-13.4	-17.4	-14.2	-5.0	544.2	544.4	545.6	100	92	93	W 5	W 2	NW 1	10≡*	10≡*	10≡*	22.0	✳ ≡ n-n, ☩ n-13, ☄ l
11	-19.4	-17.2	-17.6	-18.1	-8.9	546.0	547.4	549.7	91	92	92	NE 3	NE 2	NNE 2	10≡	10≡	10≡*	9.8	✳ n-n m.U., ≡ n-n
12	-18.6	-16.4	-18.8	-17.9	-8.7	549.2	549.8	551.5	91	90	91	NW 1	N 2	NE 2	10≡*	10≡	10≡*	4.9	✳ ≡ n-n m.U.
13	-19.8	-18.2	-18.4	-18.8	-9.6	552.0	552.4	553.6	88	85	88	NE 2	NE 2	NNE 2	10≡	10≡	10≡*	1.7	✳ n-7, 19-n, ≡ n-n m.U.
14	-18.2	-15.6	-14.0	-15.9	-6.8	553.9	554.8	557.0	92	92	74	NE 2	NE 3	ENE 3	10≡*	10≡	3	.	✳ n-7¼, ≡ n-17 m.U.
15	-13.8	-12.2	-14.4	-13.5	-4.4	557.3	557.4	557.3	92	93	96	ENE 3	NE 3	E 3	10≡	10	10≡	.	≡ n-n m U.
16	-15.2	-10.6	-14.4	-13.4	-4.3	556.6	556.2	555.6	94	96	92	NE 2	SE 1	NE 3	10≡	4≡	0	.	✳° 14-15¼, ≡ n-20 m.U.
17	-15.1	-12.4	-14.9	-14.1	-5.1	552.7	552.6	551.6	94	65	82	NE 2	NE 2	NNW 1	1	3	0	.	
18	-18.2	-17.4	-15.6	-17.1	-8.1	550.5	550.6	551.5	91	88	58	ENE 3	E 2	E 2	0	0	0	.	
19	-15.2	-11.2	-14.8	-13.7	-4.7	551.5	552.8	554.2	58	58	72	W 2	SE 1	WSW 3	1	1	1	.	
20	-14.0	-11.0	-13.0	-12.7	-3.8	555.3	555.7	555.3	54	42	73	NNE 2	NE 2	NE 3	2	7	1	.	
21	-12.2	-11.3	-14.0	-12.5	-3.6	553.9	553.6	552.9	52	58	94	NE 3	NE 2	NE 3	1	1	0	.	
22	-16.4	-13.8	-15.2	-15.1	-6.3	550.0	549.9	551.1	95	90	80	ESE 1	S 3	SW 3	2	2	0	.	
23	-15.3	-11.6	-12.0	-13.0	-4.2	552.0	553.9	556.7	84	65	68	S 2	S 3	SE 2	3	3	0	.	
24	-10.9	-8.4	-8.2	-9.2	-0.5	558.7	560.1	560.1	60	48	40	ESE 3	ESE 4	SE 3	1	1	0	.	☄ p
25	-7.2	-2.8	-7.2	-5.7	2.9	557.9	556.4	553.9	**22**	32	48	SE 3	S 1	N 0	1	0	0	.	
26	-8.0	-7.2	-8.2	-7.8	0.8	549.3	548.7	548.4	31	48	75	W 3	W 3	W 3	0	0	0	.	
27	-8.0	-4.9	-8.4	-7.1	1.4	547.4	547.2	547.1	81	65	82	WSW 2	SW 3	SSW 3	10	10	6	.	
28	-9.4	-6.2	-6.3	-7.3	1.1	545.8	544.3	**543.0**	91	57	72	SW 3	SW 4	SW 3	4	10	10	.	☄ a, p
29	-9.8	-7.8	-9.4	-9.0	-0.6	543.3	543.4	545.6	94	76	100	SSW 2	E 1	WSW 0	1	10≡*	10≡*	8.7	✳ 12-15½, 20-n, ≡ 13-n
																			*) **3.** ☩ 19-n, ☄ III
																		Summe	
Mittel	-12.6	-10.9	-12.4	-12.0	—	553.8	553.7	554.1	78	76	82				6.2	6.7	5.2	240.8	

Februar 1944.
Beobachter: Frl. *F. Lombardi.*

St. Gotthard (Hospiz)

$\lambda = 8° 34'$, $\beta = 46° 33'$,
$H_b = 2095.7$ m, $G = -0.25$ mm.

1	-2.2	0.6	-2.6	-1.4	6.1	598.2	597.8	596.8	18	23	21	NE 0	NW 0	NW 1	3	0	0	.	
2	-3.8	0.0	-1.6	-1.8	5.7	595.5	595.4	594.8	25	25	100	NW 1	NE 1	E 1	5	5	10≡	4.8	✳ 15¼-17¼, ≡ 18¼-n
3	-0.4	**2.8**	0.8	1.1	8.6	594.2	592.3	589.6	78	45	45	NE 1	W 0	E 1	7	3	5	2.3	
4	-5.0	-6.8	-12.2	-8.0	-0.5	584.3	582.0	581.4	100	80	80	N 1	NE 3	N 4	10*≡	10≡	10≡	33.4	✳ n-12⅝, ≡ n-n, ☄
5	-12.2	-10.8	-12.7	-11.9	-4.4	582.8	584.3	586.6	81	93	100	N 3	N 4	N 4	10≡	10≡	10≡	32.3	≡ ☩ n-n [16¼-n
6	-13.4	-12.0	-13.6	-13.0	-5.5	587.1	587.9	592.2	75	75	80	N 4	N 3	N 3	10≡	10≡	0	21.7	≡ ☩ n-19
7	-14.0	-9.4	-10.8	-11.4	-3.9	592.3	591.7	589.9	61	22	81	N 2	N 1	N 2	0	3	5	7.2	
8	-3.8	-5.4	-11.8	-7.0	0.5	585.7	582.8	582.4	75	100	100	NE 2	NE 3	N 3	10	10*≡	10≡	44.5	✳ 9¼-14⅝, ≡ 8¾-n
9	-11.8	-11.6	-12.0	-11.8	-4.4	582.2	583.6	582.9	100	94	100	N 3	N 3	N 2	10≡	10≡	10≡	28.2	✳ zeitw., ☄ n-n
10	-11.0	-8.0	-13.2	-10.7	-3.3	576.1	573.9	574.3	95	85	88	S 1	NE 2	N 2	10*≡	10≡	10≡	40.0	✳ n-12¼, p ziw., ≡ n-n
11	-14.4	-14.0	-15.7	-14.7	-7.3	574.8	576.0	578.3	88	87	80	N 3	N 3	N 4	10≡	10≡	10≡	38.7	≡ ☩ n-n
12	-15.2	-13.8	-15.2	-14.7	-7.3	578.5	579.0	581.2	85	80	88	N 3	N 3	N 2	10≡	10≡	10≡	19.3	≡ n-n m.U.
13	-15.0	-14.6	-16.4	-15.3	-7.9	581.2	581.6	582.6	88	74	75	N 3	N 3	N 3	10≡	8≡	10≡	4.7	≡ n-n m.U.
14	-15.8	-14.6	-15.4	-15.3	-8.0	583.7	584.7	586.7	75	61	61	N 2	N 2	N 1	10≡	4	0	.	≡ n-9
15	-14.2	-9.0	-13.6	-12.3	-5.0	586.9	587.1	587.1	70	56	87	N 1	N 1	N 2	1	0	10≡	1.6	≡ 17-n
16	-14.8	-12.2	-13.4	-13.5	-6.2	586.3	525.5	585.4	84	81	88	N 2	N 2	N 2	8≡	10≡	10≡	1.3	≡ n-n
17	-14.8	-9.2	-15.4	-13.1	-5.9	582.6	582.2	581.4	61	23	60	N 1	W 0	N 1	0	0	0	0.2	
18	-17.7	-14.0	-17.6	-16.4	-9.2	580.5	580.8	580.7	70	68	85	N 2	W 1	N 1	5	0	10≡	0.1	≡ 17-22½
19	-15.0	-11.7	-15.7	-14.1	-7.0	582.4	582.8	584.4	70	52	40	S 1	S 1	N 1	10≡	0	0	.	≡ n-9
20	-14.8	-11.0	-14.8	-13.5	-6.5	585.1	585.5	584.9	27	22	40	N 1	N 1	N 1	0	0	0	.	
21	-15.0	-7.0	-17.8	-13.3	-6.3	583.5	583.4	582.6	30	21	84	N 1	SW 0	N 1	0	0	10≡	.	≡ 17¾-n
22	-13.0	-11.2	-12.4	-12.2	-5.3	580.7	580.6	582.2	71	88	98	S 0	S 1	S 1	10	10*≡	10*≡	8.6	✳° 8-n, ≡ 11¾-n
23	-13.2	-9.7	-11.4	-11.4	-4.5	583.2	584.4	587.4	89	85	85	SE 0	SE 0	SE 0	10*	10	10	2.4	✳ n-10⅝
24	-9.2	-6.8	-7.8	-7.9	-1.1	589.8	591.6	591.6	52	48	42	SE 1	SE 1	SE 1	8	6	0	.	
25	-8.0	-4.4	-6.4	-6.1	0.6	588.7	587.4	583.6	37	25	28	S 0	S 0	SW 1	0	0	0	.	
26	-8.8	-2.8	-8.8	-6.8	-0.1	579.1	578.3	578.6	28	32	47	S 0	S 0	S 0	0	0	0	.	
27	-8.2	-7.0	-7.2	-7.5	-0.9	578.7	577.7	577.5	75	95	95	S 2	S 1	S 1	8	10*≡	10*≡	13.5	✳ 10¼-n, ≡ 11-n
28	-7.0	-5.6	-7.8	-6.8	-0.2	576.2	575.4	572.7	95	100	100	SE 1	SE 2	SE 3	10*≡	10*≡	10*≡	**54.1**	✳ ≡ n-n, ☄ 15-n ziw.
29	-7.0	-5.2	-8.2	-6.8	-0.3	**572.1**	572.3	575.5	100	100	100	S 1	SE 1	S 1	10*≡	10*≡	10≡	43.2	✳ n-17, ≡ n-n
																		Summe	
Mittel	-11.0	-8.4	-11.4	-10.3	—	583.9	583.7	584.0	69	63	75				6.7	5.8	6.6	401.2	

$\lambda = 7° 26'$, $\beta = 46° 57'$,
$H_b = 572.2$ m, $G = 0.00$ mm.

Bern

März 1944.
Beobachter: *Tellur. Observatorium.*

Tag	Lufttemperatur					Luftdruck			Relative Feuchtigkeit			Windrichtung und Stärke			Bewölkung			Niederschlag	Witterung
	7³⁰	13³⁰	21³⁰	Mittel	Abweich. vom Normalst	7³⁰	13³⁰	21³⁰	7³⁰	13³⁰	21³⁰	7³⁰	13³⁰	21³⁰	7³⁰	13³⁰	21³⁰		
1	−0.3	1.9	−0.9	0.2	−1.5	703.4	705.2	708.8	92	72	71	W 1	W 1	SW 1	10	9	9	.	✳ 3–4½
2	−1.5	1.2	2.4	0.7	−1.1	708.5	708.3	708.4	87	88	71	S 0	W 1	W 1	9	10*	9	1.3	✳ 9–11, 13–14
3	0.5	3.7	0.2	1.5	−0.4	708.1	706.6	706.9	83	62	67	W 0	NW 1	NE 0	9	9	10	0.1	✳° 1½–14½ zeitw.
4	−2.3	0.5	−3.3	−1.7	−3.8	707.1	707.2	709.6	71	35	68	W 1	N 1	NW 1	8	8	8	0.0	✳° 15⅝–p
5	−5.5	−1.5	−2.4	−3.1	−5.3	711.7	712.5	714.9	96	77	84	N 0	NE 2	NE 2	10*	10*	9	0.1	✳° n–n zeitw.. ✳ 8¼
6	−3.2	−1.0	−3.5	−2.6	−4.9	714.8	714.6	715.8	78	72	81	NE 2	NE 3	NE 2	10	10*	10	0.0	✳° 8¼–n m.U.
7	−2.9	−1.6	−1.3	−1.9	−4.3	715.3	715.2	715.6	82	89	81	E 2	NE 2	NE 2	10	10*	10	0.0	✳° 13–p zeitw.
8	−0.3	1.2	0.3	0.4	−2.1	715.6	715.9	716.5	81	79	97	NE 2	ENE 2	NE 1	9	10	10●	0.0	☽° 18⅛–n
9	−0.1	1.0	0.0	0.3	−2.4	714.7	714.4	714.7	88	69	68	NE 2	E 2	NE 2	10	10	9	.	
10	−3.9	2.8	0.9	−0.1	−2.9	714.7	713.9	713.6	88	53	74	NE 0	NE 1	SE 0	7	3	10	.	
11	−2.7	5.7	1.8	1.6	−1.3	711.3	708.4	707.4	95	50	79	S 0	W 2	NW 1	8	10	10	2.0	✳ 18¼–23½, ⌙° l
12	−2.1	2.7	0.8	1.5	−1.5	709.1	710.5	711.4	90	58	68	W 0	W 1	SW 1	9	8	9	0.3	✳ 0½–2¾, ✳° 11¼
13	0.1	5.5	0.5	2.0	−1.2	707.5	703.8	704.0	98	68	98	SW 1	WSW 4	NW 3	10	10	10●*	2.0	✳ 5¼–9⅝m.Ü., ●° 13¼–n ztw.
14	−0.5	1.6	−0.5	0.2	−3.1	706.3	705.9	707.4	90	70	95	W 1	W 2	W 2	9	10	10*	1.0	✳ 6½–14½, ✳° abds. ztw.
15	−0.8	2.7	−1.9	0.0	−3.4	707.4	710.1	714.0	98	48	90	SE 0	E 1	SE 1	10	4	0	.	✳ 0½–6 zeitw.
16	−4.7	3.3	−0.9	−0.8	−4.4	714.9	713.9	712.7	87	40	77	S 0	NE 1	S 0	1	1	0	.	⌙ l
17	−2.8	5.4	3.9	2.2	−1.5	712.9	714.0	716.3	98	45	59	S 0	NE 2	SE 1	9	4	10	.	⌙ l, ⊕ ll
18	−1.5	6.9	1.6	2.3	−1.5	718.2	718.3	718.9	97	48	82	NE 0	NE 1	S 0	0	2	0	.	⌙ l
19	−0.9	9.9	6.9	5.3	1.3	718.0	715.8	715.8	93	40	50	S 0	W 1	W 1	4	7	9	.	⌙ l
20	4.7	7.8	1.2	4.6	0.5	714.5	714.3	714.0	90	38	100	W 1	W 2	S 0	9	10	10*	0.2	✳ ●° 17–22⅝ m.U., ⊕ ll
21	2.1	4.0	1.7	2.6	−1.6	710.4	708.6	708.8	81	73	77	SW 2	SW 2	NW 1	10	10●	10	1.4	✳° 8. ● 13½–22¼ zeitw.
22	−0.1	1.6	−1.4	0.0	−4.4	708.4	708.5	710.1	74	43	76	W 1	NW 2	SW 0	9	9	0	0.0	✳ 2½, ✳° a zeitw.
23	−2.1	1.9	−1.1	−0.4	−4.9	712.3	713.9	715.5	69	42	54	SE 1	NE 2	NE 1	8	6	0	.	
24	−3.6	5.4	4.7	2.2	−2.4	717.0	716.8	717.2	85	30	60	S 1	SE 0	N 0	9	8	10	.	⌙ l
25	2.1	4.5	0.8	2.5	−2.3	718.2	719.4	720.5	93	54	48	E 0	ENE 2	NE 0	9	4	0	.	
26	−1.1	5.1	1.7	1.9	−3.0	720.0	719.5	717.5	65	43	98	NE 1	E 1	SE 1	10	10	6	0.0	
27	3.6	9.9	4.2	5.9	0.9	714.6	714.4	713.7	96	60	87	SE 1	NE 1	NE 1	10	9	7	.	
28	−1.1	7.3	2.1	2.8	−2.4	711.8	710.7	710.4	98	44	65	NE 2	NE 2	SW 0	3	1	0	.	⌙ l
29	−0.1	11.6	7.2	6.2	0.9	707.2	704.7	702.8	90	28	52	S 0	W 2	S 0	2	1	3	.	⌙ l
30	2.8	13.2	8.1	8.0	2.6	700.7	700.1	701.1	83	42	83	S 0	W 1	S 0	9	9	10	0.3	● 17⅝
31	8.1	7.8	1.8	5.9	0.3	702.8	704.8	711.8	92	70	81	WSW 2	WNW 3	S 0	9	9	9	0.2	● 10¼–16⅝ ztw., ⍂ 4, 10½–11
																		Summe	
Mittel	−0.7	4.4	−1.2	1.6	—	711.5	711.3	712.1	87	56	76				8.0	7.5	7.0	8.9	

$\lambda = 6° 57'$, $\beta = 47° 0'$,
$H_b = 487.3$ m, $G = 0.02$ mm.

Neuchâtel

März 1944.
Beobachter: *Observatorium.*

1	0.7	2.7	−0.5	1.0	−0.4	710.8	713.1	716.4	79	62	63	W 1	N 2	W 0	10	6	10	.	
2	0.6	1.8	2.8	1.7	−0.8	716.1	716.3	716.4	69	93	82	W 2	W 2	W 1	10	10*	10●	1.1	● ✳° a–n
3	1.2	2.2	0.8	1.4	−1.3	715.6	714.2	714.5	67	62	51	W 1	NW 4	NW 3	10	10*	4	0.3	● ✳ n–13½
4	−2.0	2.8	−2.2	−0.5	−3.3	714.8	715.1	717.5	56	45	60	N 1	W 2	NE 1	1	5	9	.	✳fl. p zeitw.
5	−4.6	0.4	−0.7	−1.6	−4.5	719.8	720.5	722.7	73	60	63	NE 0	NE 3	NE 3	9	7	7	0.2	✳° p
6	−1.6	1.6	−1.7	−0.6	−3.7	722.6	722.2	723.6	67	56	71	NE 3	NE 4	NE 2	10	10	10	.	
7	−1.9	0.9	0.0	−0.3	−3.5	723.2	723.2	723.7	78	69	77	NE 2	NE 2	NE 2	10	10	10	.	
8	0.1	2.8	2.0	1.6	−1.7	723.6	723.7	724.5	95	78	77	NE 3	NE 3	NE 2	10	10	10	.	
9	0.7	3.5	1.0	1.7	−1.8	722.5	721.9	723.0	81	60	68	NE 2	NE 3	NE 3	10	9	10	.	
10	−2.2	5.8	3.7	2.4	−1.2	722.7	721.7	721.4	82	61	60	NE 1	SE 1	NE 1	6	0	10	.	
11	−1.8	7.8	2.4	2.8	−0.9	719.1	716.5	715.1	90	61	82	NE 0	SW 2	SW 2	6	8	10*	4.1	✳fl. 17–n, ⌙ fr.
12	0.1	3.7	1.5	1.8	−2.1	716.5	718.5	719.3	75	60	75	N 0	W 1	SW 0	4	6	10	.	
13	1.4	2.8	2.9	2.4	−1.6	715.4	712.2	711.5	79	97	9	W 3	SW 3	SW 2	10*	10●	10●	11.9	● ✳ a m.U., ● p, ✳ n
14	0.0	−0.2	0.3	0.0	−4.1	713.9	714.1	715.2	88	80	98	W 1	W 3	SW 2	9	10*	10*	4.9	✳sch. a–n zeitw.
15	−0.7	3.9	−0.1	1.0	−3.3	714.8	718.0	721.7	100	68	79	NE 0	S 1	W 0	10	7	0	.	
16	−3.6	5.6	0.2	0.7	−3.7	722.7	721.9	720.4	91	55	79	NE 0	NE 1	NE 0	0	0	1	.	⌙ fr.
17	−1.8	7.7	3.5	3.1	−1.4	720.6	721.8	724.0	86	53	69	NE 0	E 2	N 0	6	8	0	.	
18	0.4	10.0	4.2	4.9	0.2	726.1	726.3	726.5	88	49	64	NE 1	E 1	NE 0	0	1	0	.	
19	−1.0	11.1	8.9	6.3	1.5	725.6	723.7	722.8	94	49	46	E 0	SW 1	W 2	1	3	10	.	⌙ fr.
20	6.0	7.9	3.6	5.8	0.9	721.9	722.4	721.8	74	46	79	NW 2	NW 2	W 1	9	10	10	.	●tr, seit 17
21	3.3	4.0	2.9	3.4	−1.7	718.4	716.5	716.9	74	85	64	W 1	SW 2	N 1	10	10●	10	0.9	●° seit 10
22	0.5	4.3	−1.2	1.2	−4.0	716.2	716.4	718.2	71	51	79	NW 1	N 2	NW 0	10*	3	0	.	✳° l, 15¼
23	−1.8	5.0	0.6	1.3	−4.0	719.9	721.9	723.5	82	43	59	NE 1	E 2	NE 2	0	3	0	.	
24	−3.4	5.6	6.3	2.8	−2.7	724.7	725.2	724.8	83	49	60	NE 0	E 3	N 1	4	2	10	.	⌙ fr.
25	3.3	8.3	3.0	4.9	−0.7	726.0	727.0	728.3	82	56	47	E 0	E 1	NE 3	9	1	0	.	
26	0.8	8.0	3.0	3.9	−1.8	728.0	727.0	725.1	61	34	64	NE 1	E 2	SE 0	10	10	0	0.1	●tr, n (26. 27)
27	5.5	11.5	5.5	7.5	1.6	722.5	721.9	721.4	76	58	75	NE 0	SE 1	NE 2	10	9	0	.	
28	1.7	11.2	3.8	5.6	−0.4	719.4	718.5	718.0	74	46	66	NE 2	E 2	N 0	0	0	0	.	
29	0.2	13.7	9.8	7.9	1.8	714.9	712.3	709.6	86	35	44	NE 0	SW 1	SW 1	0	0	6	.	⌙ fr.
30	5.2	12.7	9.6	9.2	2.9	707.9	707.1	707.9	74	54	63	SW 0	SW 1	NW 4	9	8	10	0.1	
31	6.9	6.8	2.1	5.3	−1.1	710.2	712.8	719.3	87	68	72	SW 0	W 3	W 1	5	8	7	0.1	●sch. a ztw., ✳°sch. 18½–19½
																		Summe	
Mittel	0.4	5.7	2.5	2.9	—	719.2	719.2	719.8	79	59	69				6.7	6.3	6.3	23.7	

März 1944.
Beobachter: Frl. *H. Nager.*

Altdorf

$\lambda = 8° 39'$, $\beta = 46° 53'$,
$H_b = 456.3$ m, $G = -0.05$ mm.

Tag	Lufttemperatur					Luftdruck			Relative Feuchtigkeit			Windrichtung und Stärke			Bewölkung			Niederschlag	Witterung
	7^{30}	13^{30}	21^{30}	Mittel	Abweich. vom Normalst.	7^{30}	13^{30}	21^{30}	7^{30}	13^{30}	21^{30}	7^{30}	13^{30}	21^{30}	7^{30}	13^{30}	21^{30}		
1	1.0	3.0	0.9	1.6	−1.5	712.6	714.6	718.7	97	75	87	SW 0	NW 0–1	NW 0	10*	10	10	0.5	✳ l
2	−0.6	4.1	1.0	1.5	−1.8	717.8	717.2	718.6	83	52	95	S 0	S 0	SE 0	10	10	10	5.3	
3	−0.1	3.6	−0.4	1.0	−2.4	718.4	716.6	717.3	93	77	90	NW 0	NW 0	NW 0	10*	8	10*	3.8	✳ l, III
4	−1.1	−0.8	−3.0	−1.6	−5.1	716.5	717.5	719.8	83	94	75	NW 0	NW 1	W 0	10*	10	10*	3.3	✳ l, III
5	−2.8	−0.3	−0.6	−1.2	−4.8	721.6	722.5	725.2	70	54	56	N 1	NW 2	NW 1	10*	10*	10	1.4	✳ l, II
6	−1.3	−0.9	−2.0	−1.4	−5.2	724.7	724.5	727.0	60	65	68	NE 1	NW 1	NW 0	10	10*	10	0.3	✳ II
7	−5.8	0.1	−3.3	−3.0	−6.9	726.1	726.0	726.6	67	63	75	SE 0	NW 0	NW 0	9	10	7	.	✳ ° p
8	−6.2	1.6	0.6	−1.3	−5.3	726.7	726.4	727.5	77	47	77	SE 0	SE 0	N 0	10	6	10	.	
9	0.3	3.8	1.2	1.8	−2.3	725.2	724.2	725.5	97	54	70	N 0	NW 0	NW 0	10	7	10	.	
10	0.3	2.7	0.6	1.2	−3.1	725.4	724.2	724.3	83	59	78	SE 1–2	NW 0	NE 0	10	4	10	.	
11	−1.8	5.0	2.8	2.0	−2.4	721.5	718.1	715.6	85	50	71	NE 0	NE 0	NW 2	4	9	10●	6.1	● III
12	0.5	3.6	0.2	1.4	−3.1	717.6	719.0	721.9	67	40	71	NW 2	NE 0–1	NE 0	10*	9	10	0.2	✳ l
13	0.7	2.1	0.2	1.0	−3.6	718.3	712.4	711.3	66	93	94	W 0	NE 0	NW 3–4	10*	10●	10●	13.8	✳ 7½-a, ● a-n
14	1.9	3.2	2.0	2.4	−2.4	714.4	714.2	716.5	42	37	47	NW 1	NW 1–2	NW 2	10	10	10	1.1	✳ abds. zeitw.
15	−1.0	2.9	1.2	1.0	−3.9	717.5	719.6	724.2	92	49	58	NE 0	NW 2	NW 0	6	7	10	.	
16	−2.1	3.7	−0.6	0.3	−4.7	725.2	724.3	723.0	57	41	64	S 0–1	NW 0–1	NE 0	4	0	0	.	
17	−2.6	3.4	2.4	1.1	−4.0	723.1	724.7	727.4	77	54	69	SE 0	NW 0	SE 0	7	10	10	.	
18	−1.7	5.7	0.8	1.6	−3.6	728.7	729.0	729.7	83	49	75	N 0	NW 0	E 0	1	0	0	.	
19	−1.2	10.0	4.3	4.4	−1.0	727.9	726.4	725.1	77	41	66	S 0	S 0	SE 0	3	5	10	0.6	
20	4.4	6.7	1.6	4.2	−1.3	724.2	723.7	724.1	90	33	95	W 1	SW 0–1	SW 0	10●	10	10●	11.2	● l, p–n
21	1.3	4.0	1.5	2.3	−3.3	719.4	716.2	717.7	97	84	75	E 0	E 1	NW 1–2	10●	10●	10*	11.1	● I, II, ✳ III
22	0.8	1.1	−4.0	−0.7	−6.4	717.5	718.1	720.9	85	72	77	N 1	NE 0	NE 0	10*	10*	0	3.6	✳ I, II
23	−2.6	2.1	−1.2	−0.6	−6.5	722.3	724.8	726.8	90	46	58	NE 0	NW 1	NE 0	10	3	0	.	✳ 6-7¼
24	−1.6	5.7	3.2	2.4	−3.6	726.9	727.1	727.7	73	38	60	SE 0	NW 0–1	E 2	10	7	10	6.4	
25	1.8	4.8	0.9	2.5	−3.6	726.9	730.4	**732.2**	90	50	55	NW 3	NW 1	E 0	10●	7	0	1.3	● l
26	0.1	3.4	1.7	1.7	−4.5	730.7	730.6	727.2	64	54	96	E 0	NW 0	NW 0	10	10	10	6.9	✳ 14–15¼
27	3.4	5.8	4.2	4.5	−1.9	724.7	724.6	724.1	98	81	93	W 0	W 0	W 0	10	10●	10	1.7	● II
28	2.5	6.1	2.1	3.6	−2.9	722.4	721.2	720.7	95	63	73	E 0	NW 1	SE 0	8	3	0	.	
29	1.1	10.7	5.2	5.7	−0.9	717.2	713.9	712.4	76	**32**	55	S 0	NW 1	SE 0	3	2	0	.	
30	4.8	**13.2**	7.7	8.2	1.5	709.8	**708.8**	711.3	69	36	63	NE 0	NW 0	N 0	10	10	10	7.0	
31	5.7	6.9	4.7	5.8	+1.1	712.6	714.3	721.8	93	85	87	E 0–1	NW 1	NW 2	10●	10●	10*	**16.5**	● I, II, ✳ III
Mittel	−0.1	4.1	1.2	1.7	—	721.4	721.1	722.3	80	57	73				8.5	7.6	8.5	Summe 102.1	

März 1944.
Beobachter: *Observatorium.*

Genf

$\lambda = 6° 9'$, $\beta = 46° 12'$,
$H_b = 405.0$ m, $G = -0.03$ mm.

1	0.6	3.9	−0.1	1.5	−1.8	718.6	720.6	724.3	88	62	81	NE 0	NE 0	NE 0	10	10	9	.	✳ 7
2	0.4	4.4	4.2	3.0	−0.4	724.6	724.1	724.6	78	83	75	N 1	S 1	NE 0	9	9	10	0.4	✳fl. (10), ●tr. II, ●° n
3	3.7	8.2	2.8	4.9	1.4	723.3	721.3	721.6	79	44	62	ENE 0	NW 0	NE 0	9	9	5	.	
4	−1.3	2.5	−0.5	0.2	−3.5	722.2	722.4	724.3	67	58	75	E 0	NNE 0	NE 1	1	9	3	.	
5	−2.1	1.2	0.0	−0.3	−4.1	726.1	726.1	728.2	79	62	76	NNE 2	NNE 4	NNE 5	5	8	3	.	
6	−0.8	2.3	−1.2	0.1	−3.8	727.3	726.5	729.4	71	55	68	NNE 4	NNE 5	NNE 3	5	5	3	.	
7	−1.6	0.9	1.0	0.1	−3.9	729.6	729.5	729.8	75	62	72	ENE 1	NE 1	NNE 2	10	10	10	.	
8	0.4	3.5	3.0	2.3	−1.8	730.4	730.1	730.6	78	66	75	ENE 0	NNE 1	NE 1	8	10	9	.	
9	2.2	3.7	2.2	2.7	−1.6	728.5	728.0	729.4	75	58	64	NNE 2	NNE 1	NNE 1	10	10	10	.	
10	1.1	5.1	2.8	3.0	−1.4	729.6	728.5	728.3	72	54	75	ENE 1	NNE 0	E 0	10	3	9	.	
11	−1.5	9.6	2.8	3.6	−0.9	726.4	724.0	723.4	90	44	75	E 0	SW 0	SE 1	2≡	3	10	0.1	≡ ⌴ l
12	3.0	5.6	3.0	3.9	−0.7	724.8	725.1	726.3	63	40	59	ENE 0	NNE 2	NE 0	9	1	9	0.1	✳°sch. seit 9¼, ✳° n
13	1.0	6.8	5.6	4.5	−0.2	724.6	721.1	718.9	88	74	84	NNE 0	WSW 1	SSW 2	10	10●	10●	5.2	● p–n m.U.
14	1.6	4.6	2.5	2.9	−2.0	722.3	722.3	723.2	71	59	69	E 0	W 1	S 1	9	9	10	3.0	✳° n (14./15.)
15	0.2	5.6	1.8	2.5	−2.5	722.0	725.3	728.9	96	58	67	E 0	NNE 1	ENE 0	10*	2	0	1.8	✳ n–8, ● ✳ n
16	−2.6	4.0	2.0	1.1	−4.0	730.0	728.7	727.6	92	51	70	E 0	NNE 0	E 0	0	0	3	.	⌴ fr.
17	0.2	7.0	5.8	4.3	−0.9	727.8	728.5	730.8	86	57	61	ENE 0	NNE 1	NNE 1	4	1	0	.	
18	1.0	8.2	4.7	4.9	−0.4	733.3	733.5	733.6	81	56	76	E 0	NE 1	E 0	0	0	0	.	⌴ fr.
19	0.5	10.3	6.0	5.6	0.1	733.0	731.5	730.1	85	34	66	E 0	E 0	NE 0	0	1	4	.	⌴ fr.
20	4.0	11.5	4.6	6.7	1.1	729.6	728.8	729.1	76	46	83	E 0	NNE 1	E 1	7	9	9	.	
21	3.6	8.0	4.8	5.5	−0.2	726.3	724.6	724.4	87	64	59	W 0	S 0	NNE 1	10	9	8	0.1	●° abds.
22	2.4	5.8	2.5	3.6	−2.2	723.5	723.0	724.9	58	38	55	ENE 1	NNE 1	NE 1	1	4	1	.	
23	0.7	5.0	1.6	2.4	−3.5	726.5	727.7	730.7	68	45	59	N 1	NNE 3	NE 1	0	0	0	.	
24	−1.4	6.8	6.1	3.8	−2.3	732.4	731.7	731.7	84	44	51	E 0	NNE 1	ENE 1	0	1	2	.	⌴ l
25	5.0	8.4	4.3	5.9	−0.3	732.4	731.9	734.2	74	47	42	NNE 1	NNE 4	NNE 2	0	2	0	.	
26	2.1	8.4	4.8	5.1	−1.2	**734.9**	733.3	732.2	56	37	61	E 1	NNE 1	E 0	9	9	0	.	
27	2.1	10.0	7.2	6.4	0.0	729.4	728.1	727.3	75	62	71	E 0	NNE 1	NNE 1	8	5	0	.	
28	3.0	9.0	4.7	5.6	−0.9	726.3	725.4	724.5	80	50	36	NE 1	NNE 1	E 0	7	0	0	.	
29	0.8	16.1	8.2	8.1	1.4	722.4	718.9	717.2	71	24	**23**	NE 0	NW 0	E 0	0	0	0	.	
30	8.6	**17.2**	11.0	12.3	5.5	715.4	**714.3**	715.8	65	40	68	E 0	S 1	SW 1	8	3	10	**7.5**	● 21⅝-n
31	10.2	12.0	6.1	9.4	2.5	718.7	720.6	727.5	72	52	43	S 1	W 1	NNE 1	8	9	7	0.1	●⚿ 5
Mittel	1.5	7.0	3.7	4.1	—	726.5	726.0	726.9	77	53	65				5.8	5.2	5.0	Summe 18.3	

$\lambda = 8°\ 33'$, $\beta = 47°\ 23'$,
$H_b = 493.2$ m, $G = 0.03$ mm.

Zürich

März 1944.
Beobachter: *Meteorol. Zentralanstalt.*

Tag	Lufttemperatur 7³⁰	13³⁰	21³⁰	Mittel	Abweich. vom Normalst	Luftdruck 7³⁰	13³⁰	21³⁰	Relative Feuchtigkeit 7³⁰	13³⁰	21³⁰	Windrichtung und Stärke 7³⁰	13³⁰	21³⁰	Bewölkung 7³⁰	13³⁰	21³⁰	Niederschlag	Witterung
1	−0.1	1.4	−0.7	0.2	−2.1	709.8	712.1	715.3	96	79	80	WNW 1	WNW 1	W 1	10	10	10	0.2	✳° n–6½, ✳fl. a
2	0.5	3.4	2.1	2.0	−0.4	714.6	714.3	715.1	72	71	88	SSW 1	WNW 1	WNW 1	10	9	10	5.9	✳° 7¾–11 m.U., ✳ 21¼–n m.U.
3	−1.2	0.5	−0.9	−0.5	−3.0	715.1	714.1	713.9	90	84	85	SSE 1	SSE 1	SSE 1	9	10*	10	1.6	✳° n–3. 8¼. 11–16½
4	−2.6	2.3	−2.7	−1.0	−3.7	714.1	714.2	716.3	88	44	87	W 1	W 1	W 1	9	8	9	1.6	✳° 13½–14. 15¼
5	−3.8	0.3	−1.6	−1.7	−4.5	719.3	720.5	723.0	88	69	86	NNW 1	N 1	NE 1	10*	10*	10	0.6	✳ 2½–4¼, ✳° 7½–24¼ stw.
6	−2.4	−1.7	−2.8	−2.3	−5.2	723.0	722.9	724.2	78	83	83	NNE 1	NNE 1	NE 1	10*	10*	10	2.4	✳ 9¾–14½, ✳° 16¾–18
7	−2.4	0.7	−1.7	−1.1	−4.1	723.3	723.1	723.8	88	74	90	N 0	NW 1	NE 1	10	10	6	0.0	
8	−0.5	2.5	1.3	1.1	−2.0	723.5	723.6	724.5	87	80	89	ENE 1	WSW 1	SW 1	10	10	10	.	
9	0.0	1.7	0.4	0.7	−2.6	722.9	722.6	722.9	85	68	70	NNE 1	WNW 1	NE 1	10	9	10	.	
10	−4.4	5.9	2.0	1.2	−2.2	722.3	721.2	720.7	92	45	77	NNE 0	WNW 1	SSE 0	9	6	10	0.0	
11	−1.9	3.2	1.5	0.9	−2.6	718.2	715.3	712.7	95	68	93	SE 0	WNW 1	W 2	9≡	10	10*	2.7	● ✳ 21–23½, ≡ l, ⌙ l
12	−0.6	2.5	2.0	1.3	−2.3	715.4	716.9	717.9	86	66	66	WNW 1	W 2	WSW 1	9	9	7	0.9	● ✳ 0¾–1¼
13	1.6	5.0	1.7	2.8	−1.0	712.9	708.9	709.0	91	77	92	SSW 2	WNW 3	WNW 2	10*	10●	10	8.5	●✳° 5¾–13¾ m.U., ●✳ 19–
14	−0.3	−0.5	0.4	−0.1	−4.0	712.0	711.8	713.6	86	95	77	WSW 2	WNW 2	WSW 2	10*	10*	9*	1.4	✳° 7½–17¾ stw. [22¾
15	−3.0	6.6	1.4	1.6	−2.4	714.5	716.8	720.8	95	41	73	WNW 0	ESE 0	W 1	1	6	10	0.0	⌙ l
16	−2.4	7.1	−0.1	1.5	−2.7	721.8	721.1	720.0	96	42	79	S 0	SSW 0	ESE 1	2	3	0	0.0	⌙ l
17	−2.1	4.8	2.7	1.8	−2.5	720.2	721.5	723.8	91	53	80	ESE 0	NNW 0	WNW 1	8	7	10	0.0	⌙ l
18	−0.9	9.2	2.1	3.5	−0.9	725.7	725.8	726.0	97	48	85	SE 0	WNW 1	SSE 1	1	1	0	0.0	⌙ l
19	−0.5	11.3	9.4	6.7	2.1	724.5	722.4	720.8	95	41	45	SSE 0	S 1	SW 1	9	9	10	0.4	⌙ l
20	5.0	6.8	1.9	4.6	−0.1	720.9	720.8	720.7	85	51	95	WNW 1	WNW 1	S 1	10	10	10	1.3	● 3¼–4¾, 17¾–21½
21	3.1	3.8	1.9	2.9	−1.9	715.7	714.0	714.9	74	80	70	WSW 3	WSW 3	WNW 2	10	10	10	5.1	●✳° 9–9¾, ●△ 16¼–17¼, ✳²
22	−1.2	−0.7	−0.6	−0.8	−4.2	715.1	715.3	716.8	82	88	72	N 1	NNW 1	S 1	10*	10*	6	1.9	✳ 7½–13¾ m.U. [17¾
23	−3.4	2.6	−0.8	−0.5	−4.6	719.8	721.8	723.4	92	48	66	NNE 0	SW 1	ESE 1	9	5	0	.	✳° 0¾–3¼ m.U.
24	−1.8	6.7	3.7	2.9	−2.3	723.7	723.9	723.9	77	41	72	SE 0	SW 0	WSW 0	10	9	10	2.3	● ✳° 22¾–24¼, ⌙ l
25	2.6	6.7	0.8	3.4	−2.0	725.4	727.6	**729.0**	92	37	51	N 1	ESE 1	ENE 1	10●	4	0	.	✳ ● ° 4½–8¼
26	−0.8	3.0	2.9	1.7	−3.8	727.7	727.2	723.9	70	60	90	NE 1	S 1	S 1	10	10	10	0.4	
27	4.6	6.7	2.4	4.6	−1.1	721.6	721.9	721.3	95	84	95	SSE 1	SSE 0	ENE 1	10●	10	5	4.2	● ° 7¼–8¾ m.U., ● 16¼–17
28	−0.9	9.9	3.4	4.1	−1.7	720.0	718.5	717.0	93	40	64	NW 0	ESE 1	SSE 1	1	2	0	.	⌙ l
29	1.4	**14.6**	8.7	8.2	2.2	713.7	711.0	708.8	85	**32**	51	SE 1	W 2	S 1	7	4	10	.	⌙ l
30	5.3	11.2	7.0	7.8	1.7	706.9	**706.8**	708.1	72	58	96	SE 0	W 0	SE 1	10	10	10●	8.8	●° 19½–21¾ *)
31	5.4	4.7	1.8	4.0	−2.3	709.2	711.5	718.1	93	81	73	WNW 1	WNW 1	WNW 1	9	9	3	6.0	●² 5¾–8¾, ⛥▲ 7¾–8¾ .*)
																		Summe	
Mittel	−0.2	4.6	1.6	2.0	—	718.5	718.4	719.0	87	62	78				8.5	8.1	7.6	56.2	

*) **30.** ● 20¼–20¾, ⊕ p, **31.** ●° 8¾–11, ●tr. △° 16½–17

$\lambda = 8°\ 30'$, $\beta = 47°\ 3'$,
$H_b = 1787.3$ m, $G = -0.20$ mm

Rigi-Kulm

März 1944.
Beobachter: *J. Wiget.*

1	−8.0	−7.5	−8.5	−8.0	−4.1	**602.5**	604.6	605.8	100	100	100	E 0	W 1	W 2	10*≡	10*≡	10≡	9.5	✳ n–n zeitw., ≡ n–n
2	−7.5	−5.4	−8.0	−7.0	−3.2	607.1	607.4	606.9	100	100	100	W 3	W 4	W 4	10	10	10≡	9.2	≡ III
3	−9.3	−6.4	−10.4	−8.7	−4.9	607.0	606.4	606.0	100	100	100	W 1	SW 2	W 0	10≡	10≡	10≡	3.9	≡ n–n
4	−12.0	−10.9	−13.1	−12.0	−8.3	605.0	605.4	606.3	100	100	100	W 0	WSW 1	W 1	10*≡	8	10≡	4.6	✳ l, ≡ I, III
5	**−13.4**	−11.0	−11.8	−12.1	−8.5	608.2	609.6	611.4	100	100	100	E 0	E 2	E 3	10*≡	10*≡	10*≡	6.4	✳ ≡ n–n
6	−12.4	−11.0	−13.0	−12.1	−8.5	611.2	611.3	611.3	100	95	95	E 3	E 3	E 3	10≡	10*≡	10≡	3.8	✳ p–n zeitw., ≡ n–n
7	−13.0	−10.2	−12.5	−11.9	−8.4	611.8	612.5	612.7	94	94	95	E 2	E 2	E 3	10≡	10≡	10≡	0.8	≡ n–n
8	−8.5	−7.2	−7.8	−7.8	−4.4	613.3	613.9	614.9	95	98	98	E 3	E 1	E 1	8	10≡	10≡	0.5	≡ II, III
9	−8.0	−6.8	−8.5	−7.8	−4.4	613.2	612.8	612.2	98	100	98	E 1	E 0	E 2	10≡	10≡	10≡	.	≡ n–n
10	−8.7	−6.2	−5.2	−6.7	−3.4	612.5	612.9	612.0	98	98	85	E 2	E 0	NE 0	4	2	5	.	
11	−6.8	−4.2	−7.5	−6.2	−3.0	610.8	608.8	607.0	75	46	100	SW 1	SW 2	SW 2	3	8	10*≡	8.8	✳ 18½–n. ≡ III
12	−10.0	−6.5	−9.4	−8.6	−5.4	606.4	607.7	610.0	100	100	56	W 2	W 2	W 2	10≡	10≡	10	4.4	≡ n–17
13	−4.0	−3.6	−6.8	−4.8	−1.7	606.8	604.9	604.3	100	100	100	W 4	W 4	W 4	10≡	10	10≡	5.3	≡ n–n zeitw., ⛥ 21½
14	−10.0	−9.6	−10.2	−9.9	−6.9	603.8	604.1	604.8	98	100	100	W 4	W 4	W 3	10*≡	10*≡	10*≡	7.0	✳ ≡ n–n
15	−9.8	−8.2	−9.2	−9.1	−6.1	606.1	608.7	611.6	96	98	98	W 1	W 1	W 2	5	10≡	10	0.6	≡ n–n zeitw.
16	−10.6	−5.4	−8.8	−8.3	−5.4	612.7	612.9	612.6	65	88	44	W 0	SW 1	W 1	3	1	3	.	
17	−5.0	−1.2	−5.5	−3.9	−1.1	611.8	613.6	615.5	26	38	100	W 2	NW 1	W 0	6	10	10*	1.0	✳ 18–n zeitw.
18	−6.2	−0.8	−4.8	−3.9	−1.1	616.7	618.0	618.0	100	58	33	E 0	SE 0	E 0	1	0	4	.	
19	−2.6	0.0	−1.8	−1.5	1.2	616.7	616.0	615.4	46	55	64	SW 2	SW 2	W 3	5	8	10	2.2	
20	−3.8	−6.5	−6.8	−5.7	−3.1	613.5	613.7	613.4	100	100	100	SW 2	W 2	W 3	10≡	10	10*≡	17.9	✳ a zeitw., 15–n, ≡ I, III
21	−6.8	−5.4	−8.5	−6.9	−4.3	609.6	607.9	607.3	100	100	100	W 3	W 3	W 3	10	10*≡	10*≡	13.7	✳ n–n zeitw., ≡ II, III
22	−10.0	−9.2	−12.0	−10.4	−7.9	606.7	606.3	608.1	100	100	100	SW 1	SW 1	W 2	10≡	10≡	4	9.4	≡ I, II
23	−11.8	−7.4	−11.2	−10.1	−7.7	609.6	612.3	613.6	100	100	100	E 1	SE 0	W 1	5	5	5	.	≡ p zeitw.
24	−8.4	−3.8	−5.8	−6.0	−3.6	614.7	615.8	616.1	90	23	45	W 2	W 2	W 1	10	7	10	8.5	
25	−6.0	−5.6	−11.3	−7.6	−5.3	615.9	618.0	**619.2**	100	100	98	W 1	SW 0	E 1	10≡	6	1	.	≡ I
26	−2.8	−1.2	−0.8	−1.6	0.6	618.3	617.8	617.9	**12**	100	100	E 1	W 2	SW 2	10	10*	5	4.1	✳ 12½–15¼
27	−3.6	−2.0	−4.0	−3.2	−1.0	614.3	614.7	614.3	100	100	100	W 3	W 1	NE 2	10*≡	10≡	10	1.1	✳ n–n zeitw., ≡ n–n
28	−6.4	0.0	−3.0	−3.1	−1.0	611.8	611.8	611.6	92	39	35	E 1	E 1	W 2	0	1	2	.	
29	−3.0	−0.4	0.0	−1.1	0.9	608.3	607.7	606.7	54	45	50	SW 2	S 2	SW 3	4	3	8	.	
30	0.8	1.0	0.0	0.6	2.0	603.6	603.6	603.8	43	58	80	W 2	WSW 2	W 3	10	10	10	6.8	
31	−1.4	−3.4	−7.8	−4.2	−2.3	604.7	605.5	606.4	100	100	100	W 3	W 3	W 3	10*≡	10*≡	10*≡	23.0	✳ ≡ n–n. ⛥ I
																		Summe	
Mittel	−7.4	−5.4	−7.6	−6.8		610.2	610.5	611.0	87	85	86				7.9	8.0	8.3	152.5	

März 1944.
Beobachter: *P. Nogler.*

Bevers

$\lambda = 9° 53'$, $\beta = 46° 33'$,
H_b = ca. 1710 m, G = –0.23 mm.

Tag	Lufttemperatur					Luftdruck			Relative Feuchtigkeit			Windrichtung und Stärke			Bewölkung			Niederschlag	Witterung
	7^{30}	13^{30}	21^{30}	Mittel	Abweich. vom Normalst.	7^{30}	13^{30}	21^{30}	7^{30}	13^{30}	21^{30}	7^{30}	13^{30}	21^{30}	7^{30}	13^{30}	21^{30}		
1	-12.8	-11.0	-11.0	-11.6	-5.4	608.2	608.7	610.7	85	64	67	N 1	NW 2	N 1	10	10	4	.	✳ ☩ $16^1/_2$–$17^1/_2$
2	-15.8	1.0	-6.2	-7.0	-0.9	614.1	613.9	613.7	84	58	75	N 1	SW 2	SW 1	6	10	8	.	
3	-16.2	1.0	-11.0	-8.7	-2.8	612.2	611.2	610.8	86	61	80	NW 1	N 2–3	N 1	4	2	0	.	
4	-16.8	-5.0	-9.7	-10.5	-4.7	610.0	610.2	611.9	94	47	52	SW 1	W 2	NW 1–2	8	6	10	.	
5	-11.2	-6.6	-9.4	-9.1	-3.5	613.1	614.4	615.7	60	42	60	N 1	NW 2	N 2	10	6	10	.	
6	-9.4	-5.6	-9.8	-8.3	-2.8	615.3	615.7	616.8	70	55	67	NW 2	N 3	N 2	10	10	10	.	
7	-10.4	-4.3	-8.9	-7.9	-2.6	617.4	618.0	618.9	78	63	87	N 1	NE 2	N 1	9	7	10*	0.2	✳° ☩ $19^1/_2$–n
8	-11.0	0.0	-5.2	-5.4	-0.2	620.2	620.2	620.5	95	61	88	NW 1–2	N 2	N 2	10	2	10	.	
9	-6.4	0.8	-6.4	-4.0	1.0	618.9	618.8	619.9	86	48	92	NE 2	NW 2	SW 1	10	6	0	.	
10	-14.0	0.4	-3.0	-5.5	-0.6	619.0	618.0	617.5	90	42	60	W 1	W 2	NW 2–3	0	0	10	.	
11	-9.0	-1.4	-5.0	-5.1	-0.4	616.2	612.8	609.9	85	88	100	N 1	NE 3	NE 2	2	10	10*	4.6	✳ $19^1/_2$–n
12	-8.1	-5.0	-9.2	-7.4	-2.8	612.3	613.2	615.4	88	48	71	NE 2–3	NE 2–3	NE 2	10*	10	6	3.0	✳ n-11, ✳°sch. 11-19 ztw.
13	-10.6	-3.0	-2.6	-5.4	-1.0	611.1	609.2	**605.8**	88	58	100	N 1	NW 2	W 2–3	10	10*	10*	1.2	✳ 12–n
14	-8.0	-4.0	-8.6	-6.9	-2.6	607.8	609.7	611.4	74	61	88	NW 1	N 2	NW 1	10*	10*	8*	**9.2**	✳ ☩ n–n
15	**-17.2**	-2.8	-8.2	-9.4	-5.3	612.4	615.4	617.4	85	61	80	S 0	SW 1–2	W 1	0	0	6	.	
16	-14.5	-2.0	-12.0	-9.5	-5.5	618.9	618.7	618.6	83	48	66	S 1	W 2–3	W 2	10	0	0	.	
17	-11.2	1.2	-4.2	-4.7	-0.8	618.3	619.7	620.8	72	38	70	N 1	NW 2	N 1–2	10	10	10	.	
18	-15.0	1.5	-8.7	-7.4	-3.7	623.3	623.0	624.1	88	35	77	N 0	N 2	NW 1	0	0	0	.	
19	-11.6	**4.7**	-1.8	-2.9	0.7	623.4	621.7	620.0	84	40	49	SE 1	W 2–3	W 2	6	3	4	0.2	
20	0.3	0.8	-4.8	-1.2	2.2	617.3	617.5	617.3	62	34	85	SW 1	N 3	NE 2	10*	10*	10*	6.8	✳ ☩ n–n
21	-5.2	-2.0	-6.0	-4.4	-1.1	613.6	612.4	610.6	94	68	83	S 1	W 2	W 0	10*	10*	10*	3.0	✳ n–n
22	-4.0	-3.4	-10.2	-5.9	-2.8	611.0	612.6	613.7	76	41	63	NE 1	N 2	N 1	10	10	2	.	
23	-8.7	-4.6	-14.6	-9.3	-6.3	614.8	619.6	620.8	87	**32**	72	W 1–2	NW 2	N 2	10	6	0	.	
24	-12.2	2.0	-2.6	-4.3	-1.5	620.3	619.9	620.1	71	**32**	62	N 1	W 2	N 1	3	4	6	1.2	
25	-4.6	-2.8	-11.6	-6.3	-3.6	619.0	620.4	**624.8**	67	38	60	SE 2	NW 2	W 0–1	10*	3	0	0.2	✳° n–10
26	-14.6	0.2	-1.4	-5.3	-2.8	623.6	622.5	622.0	90	70	85	W 1	W 2–3	W 1	10	10*	10*	8.6	✳° 13–n
27	-0.8	2.8	-2.0	0.0	2.4	618.4	618.6	618.8	88	68	63	E 1	NE 2	E 1–2	10*	10*	10	1.4	✳° n–21
28	-11.6	1.6	-8.6	-6.2	-4.0	618.0	617.6	617.0	80	50	57	E 1	NE 2–3	N 0	10	2	0	.	
29	-8.2	3.5	-3.4	-2.7	-0.6	613.8	612.9	611.8	65	36	66	E 1	SW 2	W 1	4	3	0	.	
30	-2.4	3.6	0.2	0.5	2.4	610.1	609.7	610.5	66	62	90	W 0	W 1	W 1	6	10	8	0.8	
31	0.4	4.6	-4.8	0.1	1.9	611.1	613.7	614.5	100	88	78	W 0	E 2	E 2–3	10*	10*	10	8.4	✳ n–n
																		Summe	
Mittel	-9.7	-1.1	-6.8	-5.9	—	615.6	615.8	616.2	81	53	74				7.9	6.7	6.4	48.8	

März 1944.
Beobachter: *Kapuzinerkloster.*

Sitten

$\lambda = 7° 21'$, $\beta = 46° 14'$,
H_b = 548.6 m, G = –0.11 mm.

1	0.8	4.9	0.3	2.0	-1.2	704.2	706.2	710.4	83	60	75	W 2	W 2	W 0	10	3	1	.	
2	-0.6	3.9	3.1	2.1	-1.3	712.3	710.7	711.8	83	58	73	W 0	W 0	W 1	8	9	10	0.0	✳fl. 9, n
3	1.9	8.4	3.4	4.6	1.0	709.9	707.5	707.1	90	43	61	NW 1	SW 2	W 2	10	7	5	.	
4	-0.1	3.2	-1.9	0.4	-3.3	707.9	707.9	710.1	56	44	71	W 1	W 3	W 2	8	4	2	.	
5	-3.4	2.2	-1.6	-0.9	-4.7	712.3	712.0	714.4	69	43	59	W 1	W 1	W 1	7	4	1	.	Ψ $19^3/_4$
6	-4.0	2.8	-0.8	-0.7	-4.7	714.5	712.8	714.4	63	44	55	NE 0	W 1	W 1	4	3	1	.	
7	**-4.6**	1.0	-1.0	-1.5	-5.6	716.9	716.2	716.8	65	51	63	NNE 1	NNE 1	N 1	5	8	8	.	
8	-4.0	4.0	2.8	0.9	-3.4	717.4	716.5	717.5	75	52	71	N 1	W 1	W 0	3	1	8	.	
9	-0.8	5.3	0.6	1.7	-2.7	716.1	714.3	716.1	85	53	76	W 0	W 1	W 0	10	3	0	.	
10	-3.0	6.0	2.2	1.7	-2.9	716.8	714.8	715.2	93	55	70	NE 1	W 1	NE 1	3	5	10	.	⌙ I
11	-0.4	7.6	4.2	3.8	-0.9	714.0	710.8	708.5	77	48	60	NE 1	W 1	W 3	6	10	10	0.3	∞² II
12	0.4	6.2	2.3	3.0	-1.9	710.4	711.3	713.3	97	42	52	WNW 0	W 2	W 2	10	2	9	0.0	● ✳ $5^3/_4$–6
13	0.8	1.4	7.1	3.1	-1.9	712.1	708.8	703.1	65	90	56	WNW 0	WNW 0	W 4	10*	10≡*	10●	6.9	✳ $7^1/_4$-$16^1/_2$, ● $16^1/_2$-22, ≡II
14	1.1	4.2	1.4	2.2	-3.0	708.1	708.4	709.7	53	46	59	W 0	WNW 2	W 1	10	10	10	0.9	✳ ⸗ $8^3/_4$-$9^1/_4$. ✳° $16^1/_2$-$17^3/_4$
15	-0.4	5.9	0.8	2.1	-3.2	709.0	711.0	715.9	100	59	58	W 0	W 1	W 1	10*	5	0	0.1	✳ 5–$8^3/_4$
16	-2.8	5.6	1.4	1.4	-4.1	717.2	715.7	715.1	61	42	65	NNE 0	W 1	W 0	2	0	0	.	
17	0.0	9.4	3.7	4.4	-1.2	714.8	714.6	717.6	70	41	58	W 0	W 1	E 1	10	2	0	.	
18	-0.2	10.0	4.5	4.8	-1.0	720.8	719.9	720.8	67	40	60	NE 0	WSW 1	NNE 1	0	0	0	.	
19	-0.1	12.0	7.2	6.3	0.4	720.7	717.8	716.7	76	38	48	NE 1	NNW 1	W 0	2	3	0	.	
20	6.2	13.0	3.5	7.6	1.5	716.2	714.6	715.2	57	41	86	WSW 1	SW 3	SW 3	9	9	10	.	
21	3.4	8.0	5.2	5.5	-0.8	712.8	710.3	709.0	73	58	67	W 1	WSW 2	W 1	10	10	10	0.0	●° 19–n
22	1.0	6.3	0.9	2.7	-3.7	709.9	708.4	711.4	61	45	55	W 1	SW 3	W 1	0	1	0	.	
23	-2.9	8.4	1.4	2.3	-4.3	713.6	713.5	717.2	60	**35**	55	W 1	WSW 2	W 0	0	0	0	.	
24	-1.8	8.3	5.6	4.0	-2.7	719.4	717.9	717.8	63	38	37	NNE 0	SW 1	W 1	4	8	0	.	
25	3.5	13.1	5.7	7.4	0.5	718.7	717.1	720.2	54	38	44	NE 0	SW 2	W 2	6	0	0	.	
26	1.1	10.4	5.6	5.7	-1.3	**721.9**	719.3	718.8	69	39	59	NE 1	W 1	NNE 1	8	8	0	.	
27	6.3	14.7	7.3	9.4	2.2	716.2	713.7	714.2	66	48	64	NE 1	SW 2	N 1	10●	2	0	0.0	● $7^1/_4$-$7^3/_4$
28	3.8	12.2	6.6	7.5	0.2	713.7	711.7	712.3	79	48	58	NNE 1	SW 1	NNE 1	5	1	0	.	
29	1.6	14.2	8.0	7.9	0.4	710.3	706.7	705.1	74	39	45	NE 1	WSW 2	NNE 2	0	1	0	.	Ψ $19^3/_4$
30	4.2	**16.6**	11.6	10.8	3.2	703.8	**701.6**	702.8	62	**35**	46	NE 1	SW 2	NE 2	6	3	6	**8.2**	
31	6.3	12.4	5.8	8.2	0.4	706.5	706.6	711.6	98	46	57	W 1	W 2	WSW 1	10	10	10	2.7	● n–n zeitw., ≡ a
																		Summe	
Mittel	0.4	7.8	3.5	3.9	—	713.5	712.2	713.2	72	47	60				6.3	4.6	3.9	19.1	

$\lambda = 8°\ 57'$, $\beta = 46°\ 0'$,
$H_b = 276.2$ m, $G = -0.01$ mm

Lugano

März 1944.
Beobachter: *G. Vicari.*

Tag	Lufttemperatur 7³⁰	13³⁰	21³⁰	Mittel	Abweich. vom Normalst	Luftdruck 7³⁰	13³⁰	21³⁰	Relative Feuchtigkeit 7³⁰	13³⁰	21³⁰	Windrichtung und Stärke 7³⁰	13³⁰	21³⁰	Bewölkung 7³⁰	13³⁰	21³⁰	Niederschlag	Witterung
1	0.8	13.2	6.4	6.8	1.8	724.8	725.4	729.7	78	22	25	N 1	NNE 2	NNE 2	9	0	0	.	
2	0.8	11.8	3.6	5.4	0.3	733.1	732.9	733.3	47	29	62	N 1	SE 1	N 1	0	0	0	.	
3	0.2	11.4	4.6	5.4	0.1	731.5	730.1	728.6	68	37	60	N 1	SSE 1	N 1	1	5	0	.	
4	2.0	11.8	4.2	6.0	0.6	727.9	728.2	731.1	69	18	22	S 1	NNE 2	NNE 2	0	0	10	.	
5	2.8	6.4	4.0	4.4	-1.1	732.1	733.0	735.0	23	22	23	NNE 2	NNE 2	NNE 2	5	10	5	.	
6	4.4	11.4	4.4	6.7	1.0	734.3	734.2	735.9	23	21	25	NNE 2	NNE 2	NNE 1	10	2	10	.	
7	0.8	10.0	1.8	4.2	-1.6	737.4	736.9	738.9	48	31	64	NNE 1	ESE 1	N 1	6	10	4	.	
8	-0.4	11.8	5.4	5.6	-0.3	741.1	740.1	739.7	78	36	61	N 1	SE 1	N 1	4	3	10	.	
9	2.6	6.6	2.8	4.0	-2.1	738.7	739.2	740.3	84	72	78	N 1	S 1	N 1	10	10	0	.	
10	-0.4	11.8	6.2	5.9	-0.3	739.2	737.6	736.5	88	44	59	N 1	S 1	NNE 1	2	7	8	.	
11	1.2	10.8	5.2	5.7	-0.6	735.4	731.9	727.6	85	51	63	N 1	S 1	N 1	1	10	9	.	
12	4.4	11.0	4.8	6.7	0.2	729.2	731.8	731.7	37	23	30	NNE 2	NNE 3	NE 1	2	0	0	.	
13	0.4	13.2	6.2	6.6	0.0	732.1	727.9	**723.1**	53	27	43	N 1	ESE 1	E 0	10	10	2	.	
14	2.8	12.4	4.6	6.6	-0.1	727.8	728.8	731.1	42	26	34	N 1	NE 2	NE 1	9	10	0	.	
15	1.6	14.2	5.8	7.2	0.3	731.7	732.1	737.4	48	21	26	E 1	NNE 2	NNE 2	4	1	0	.	
16	0.6	13.6	4.4	6.2	-0.8	739.5	738.4	737.7	43	27	39	N 1	S 1	N 1	6	0	0	.	
17	1.4	13.8	8.2	7.8	0.7	738.4	737.6	738.9	54	34	35	N 1	S 1	N 1	10	2	0	.	
18	2.0	14.8	8.0	8.3	1.0	743.0	742.8	743.2	53	38	54	N 1	S 1	N 1	0	0	3	.	
19	2.8	13.6	6.8	7.7	0.3	743.1	741.1	738.8	78	46	59	N 1	S 1	N 1	7	10	2	.	
20	2.2	19.8	8.8	10.3	2.8	735.4	732.6	734.5	88	21	30	SE 0	NE 2	ENE 1	10	10	4	.	
21	4.2	16.0	7.8	9.3	1.6	732.4	728.4	727.8	47	23	38	N 1	NE 2	NNE 2	10	8	0	.	
22	6.6	15.0	5.2	8.9	1.1	729.3	728.1	733.2	29	21	23	NNE 2	NNE 2	NNE 3	0	0	0	.	
23	3.2	10.2	3.6	5.7	-2.2	735.0	736.4	739.4	32	22	30	N 1	NNE 2	SSE 1	0	10	0	.	
24	-0.4	15.6	13.8	9.7	1.6	740.1	737.0	735.6	39	25	25	N 1	SSE 1	NNE 2	6	6	0	.	
25	11.2	15.2	7.2	11.2	3.0	735.1	740.1	**743.3**	28	21	24	NNE 3	NNE 3	S 1	1	0	0	.	
26	1.2	14.2	7.8	7.7	-0.6	743.1	740.7	738.0	38	31	41	NNE 1	S 1	N 1	1	0	0	.	
27	13.4	**20.2**	13.8	15.8	7.3	733.9	732.9	734.8	33	22	26	NNE 3	NNE 3	NNE 3	0	0	0	.	
28	4.2	12.8	6.8	7.9	-0.7	737.2	736.4	735.7	62	46	55	N 1	S 1	N 1	0	3	0	.	
29	2.2	14.8	7.6	8.2	-0.5	733.6	730.6	729.9	82	44	60	N 1	S 1	NE 1	3	0	0	.	
30	7.0	12.2	9.0	9.4	0.5	728.3	727.9	729.2	83	56	93	E 0	SSE 1	SW 1	0	10	10	0.1	●° n (30./31.)
31	7.8	16.4	10.4	11.5	2.5	728.9	728.6	730.5	94	42	28	SE 0	E 1	NNE 2	10	5	0	.	
																		Summe	
Mittel	3.0	13.1	6.4	7.5	—	734.6	733.9	734.5	57	32	43				4.4	4.6	2.5	0.1	

$\lambda = 7°\ 35'$, $\beta = 47°\ 33'$,
$H_b = 318$ m, $G = 0.11$ mm.

Basel

März 1944.
Beobachter: *Astronom.-Meteorol. Anstalt.*

1	0.3	0.5	0.1	0.3	-2.2	725.9	728.6	731.3	92	80	96	WSW 1	WSW 1	SSE 1	10	10	10	0.7	☼° n-12 m.U., ✳ $2^3/_4$-$3^1/_4$
2	-0.9	4.7	1.7	1.8	-0.8	730.5	730.5	731.4	94	79	93	ESE 1	W 2	WNW 1	10*	3	10*	6.1	✳ $6^1/_2$-n zeitw.
3	-1.1	2.6	-1.0	0.2	-2.5	731.3	730.5	729.8	90	67	79	SW 1	WSW 1	WSW 0	10	10	1	.	✳ n-$1^1/_4$, ☼° 8-10 m.U.
4	-2.7	-0.7	-2.9	-2.1	-4.9	730.2	730.7	732.9	85	74	96	SW 1	SSW 1	WNW 0	0	10	10*	2.2	☼° $12^1/_2$-$13^1/_4$, ✳ $20^1/_2$-$23^1/_4$
5	-5.3	0.4	-0.8	-1.9	-4.9	736.2	737.1	739.6	94	75	70	ENE 0	N 1	N 1	10	10	1	.	✳ $5^1/_2$-$7^1/_4$ ⊠
6	-3.1	2.6	-0.5	-0.3	-3.4	739.7	738.9	740.2	84	39	57	WNW 1	NNE 1	NNE 1	10	10	10	.	
7	-1.4	0.8	-0.3	-0.3	-3.5	739.7	739.4	740.0	81	74	90	N 1	N 1	N 1	10	10	10	.	
8	0.4	2.8	2.0	1.7	-1.6	739.7	740.0	740.7	96	82	85	WNW 1	N 1	NNW 1	10	10	10	.	
9	-2.4	4.2	0.9	0.9	-2.6	739.4	738.5	739.0	94	60	68	WNW 1	NNW 1	E 1	9	9	0	.	
10	-4.1	7.2	2.8	2.0	-1.6	738.4	737.3	736.3	89	46	75	E 1	WSW 1	SSE 0	8	8	9	.	⌴ l, ☋ III
11	-1.3	2.0	2.3	1.0	-2.7	734.7	732.5	728.9	89	93	89	SW 1	W 2	WSW 3	10	10	10●	1.6	●✳ $16^1/_2$-17, ✳ 21. 22, ☋ $6^1/_2$
12	-0.1	4.2	2.2	2.1	-1.8	731.4	733.3	733.8	89	65	79	SW 1	WSW 1	SSW 1	5	10	10	.	✳ $0^3/_4$-$1^3/_4$, ☼° a, p ztw., *) ⊠
13	4.2	7.2	2.5	4.6	0.6	728.3	725.1	726.0	82	70	84	SSW 1	WSW 2	WSW 2	10	10	10●	6.3	●- $6^1/_2$-$7^1/_4$, ● $18^1/_4$-20^1 a, *)
14	1.1	2.3	0.1	1.2	-2.9	728.2	728.6	729.8	77	80	89	SW 2	WNW 1	WSW 1	10	10	1	0.4	✳ $12^1/_4$, ☼° $15^3/_4$-$16^1/_2$, ☄ $14^3/_4$
15	-2.4	4.9	1.7	1.4	-2.8	739.8	733.3	736.8	95	53	82	ESE 0	WNW 1	SSW 1	0	10	0	.	✳fl. 17, ⌴ l
16	-2.4	8.4	-0.1	2.0	-2.4	737.7	736.9	735.8	91	47	87	ESE 1	W 1	SE 0	0	4	0	.	⌴ l
17	-2.3	10.5	4.6	4.3	-0.2	736.3	737.3	739.6	93	47	81	SSE 1	NW 1	WNW 1	9	6	5	.	⌴ l
18	-0.4	10.5	4.2	4.8	0.2	741.7	741.8	741.5	100	50	76	SSW 0	SSW 1	SSE 1	9	1	0	.	≡ $8^1/_4$-9, ⌴ l, ⊕ $16^1/_2$
19	0.4	14.7	10.3	8.5	3.8	739.9	737.8	736.5	89	42	49	E 1	W 1	WSW 1	9	9	10	.	⌴ ⊕° l
20	4.3	7.2	2.3	4.6	-0.3	737.3	737.4	736.8	74	63	94	NNW 1	WSW 1	WSW 1	6	10	10	2.8	● 16-$19^1/_2$
21	3.5	5.8	2.7	4.0	-1.0	732.0	730.6	731.7	82	81	70	WSW 2	W 2	WNW 1	10	10	9	0.5	
22	-0.9	1.2	1.2	0.5	-4.6	731.7	732.0	732.8	90	94	82	WSW 1	W 1	W 1	10	9	10	1.1	✳ $6^3/_4$-$7^1/_4$, 10-$10^1/_2$, 13 ⊠
23	-2.5	3.6	-0.6	0.2	-5.1	736.1	737.9	739.2	96	60	77	WNW 1	WNW 1	NNE 0	8	9	0	.	✳ $2^1/_2$-2 ⊠
24	-2.5	9.0	5.4	4.0	-1.4	739.9	740.2	740.1	86	45	65	S 0	SW 1	SW 1	10	9	10	.	
25	3.5	10.0	2.6	5.4	-0.1	741.6	743.1	**744.5**	85	46	54	NW 1	SE 1	ENE 1	9	6	0	.	
26	-0.4	8.5	6.3	4.8	-0.8	743.8	742.1	739.2	69	46	49	ENE 1	ENE 1	SW 0	10	10	0	.	
27	7.0	10.9	6.4	8.1	2.3	737.2	737.5	736.9	77	65	75	WSW 0	NNW 1	E 1	10	9	9	.	☽ $5^3/_4$-$6^1/_2$
28	-0.8	11.7	3.7	4.9	-1.0	735.9	734.2	732.7	95	36	60	WNW 1	ENE 1	S 1	1	0	0	.	⌴ l
29	0.6	16.2	7.5	8.1	2.1	729.5	726.4	724.0	76	31	69	E 1	WNW 1	SSE 1	7	7	0	.	
30	2.8	10.8	3.8	5.8	-0.4	723.0	**722.5**	723.8	96	60	90	W 1	N 1	NW 1	10	10	10	0.9	● $19^1/_4$
31	2.7	4.0	1.1	2.6	-3.7	725.5	728.1	734.4	96	88	87	WNW 1	SW 1	S 1	10	10	9	4.5	● $1^3/_4$-$2^3/_4$, ● ✳ $8^3/_4$-$12^1/_4$
																		Summe	
Mittel	-0.2	6.1	2.3	2.7	—	734.9	734.5	735.0	88	63	77				7.8	8.4	6.3	27.1	*) 12. ⊕ $17^1/_2$ 13 $21^3/_4$-$22^1/_2$, ☄ p

März 1944.
Beobachter: *Observatorium.*

Säntis

$\lambda = 9° 20'$, $\beta = 47° 15'$,
$H_b = 2500.1$ m, $G = -0.27$ mm.

Tag	Lufttemperatur					Luftdruck			Relative Feuchtigkeit			Windrichtung und Stärke			Bewölkung			Niederschlag	Witterung
	7^{30}	13^{30}	21^{30}	Mittel	Abweich. vom Normalst	7^{30}	13^{30}	21^{30}	7^{30}	13^{30}	21^{30}	7^{30}	13^{30}	21^{30}	7^{30}	13^{30}	21^{30}		
1	-12.2	-11.2	-13.8	-12.4	-4.0	549.3	550.6	553.0	96	94	93	NNW 1	NW 2	WSW 3	10≡*	10≡*	10≡	5.0	✳ n-19½, ≡ n-n
2	-11.0	-9.6	-10.9	-10.5	-2.2	552.8	552.9	553.8	100	98	100	W 4	W 4	W 3	10≡*	10≡*	10≡*	23.1	✳ 6⅜-9, 12-n, ≡ n-n m.U.
3	-16.0	-12.2	-16.4	-14.9	-6.6	552.0	551.4	551.0	90	91	89	WNW 3	W 4	W 3	10≡*	10≡*	10≡*	5.9	✳ n-14, 20½-n, ≡ ⊹ n-n
4	-17.4	-15.9	-18.2	-17.2	-9.0	550.0	550.7	552.0	90	82	91	NW 2	WNW 2	NNW 0	10≡*	10≡	10≡*	3.3	✳ n-9½, 21-n, ≡ n-15, 19¼-n
5	-18.8	-17.2	-17.2	-17.7	-9.6	553.5	554.8	557.1	91	92	92	NE 3	NE 3	NE 4	10≡*	10≡	10≡	3.1	✳° n-11½, ≡ ⊹ n-n, ⋁° 16½
6	-17.8	-17.4	-17.5	-17.6	-9.5	556.5	556.5	557.5	88	83	78	NE 4	NE 3	NE 3	10≡*	10≡*	10≡	0.4	⊹ ✳ n-14, ● ✳ p ztw., ≡ n-n, ⋁ l
7	-11.9	-12.4	-12.4	-12.2	-4.2	557.8	558.0	559.3	82	84	82	NE 4	ENE 4	ENE 4	10≡	10≡	10≡	.	≡ n-15¼, 19½-n, ⸝ n-n
8	-9.7	-10.2	-10.2	-10.0	-2.1	560.1	560.6	561.1	95	92	94	ENE 3	NE 3	NE 3	7	8≡	6	.	≡ 8-13¾, ⊕ 16½
9	-11.4	-10.4	-9.2	-10.3	-2.4	558.9	559.0	559.6	88	88	65	NE 4	NE 3	NE 3	1	1	0	.	
10	-8.6	-8.2	-9.8	-8.7	-0.9	559.2	559.7	558.6	45	38	100	NE 3	NE 2	WNW 2	6	7	10≡*	0.4	≡ ✳° 21-n
11	-11.0	-10.4	-11.8	-11.1	-3.4	556.5	553.8	550.3	93	48	100	W 3	W 4	W 5	3	10	10≡*	9.7	✳ 17½-n, ⊹ ≡ 15½-n
12	-15.3	-13.0	-14.2	-14.2	-6.5	551.6	553.5	555.3	96	92	92	NW 2	NW 2	WSW 3	10≡*	10≡*	10≡	10.2	✳ n-18, ≡ n-n
13	-8.4	-8.0	-10.8	-9.1	-1.5	551.7	549.0	**548.5**	98	100	100	W 5	W 6	NW 4	10≡*	10≡*	10≡*	20.3	✳ 6½-n, ≡ ⊹ n-n, ⋁ ll
14	-15.6	-14.6	-15.2	-15.1	-7.6	549.0	549.1	550.8	100	96	92	W 4	W 3	W 3	10≡*	10≡*	10≡*	7.0	✳ ≡ ⊹ n-n, ⋁ 16½
15	-15.2	-13.4	-14.0	-14.2	-6.7	551.6	554.0	557.2	89	97	100	WSW 2	W 2	W 3	1	10≡	10≡*	6.0	✳ 14-n, ≡ n-n m.U., [⊹ abds.
16	-14.8	-12.3	-11.6	-12.9	-5.5	557.9	558.4	558.7	94	63	55	WNW 3	W 3	WSW 3	9	6	1	.	
17	-10.0	-7.4	-10.0	-9.1	-1.8	558.4	559.8	561.6	46	96	95	WSW 3	N 2	NNW 1	8	10	10≡	1.0	✳° 12⅜-18 m.U., ≡ 13¼-n
18	-9.0	-6.8	-9.3	-8.4	-1.1	562.9	**564.4**	564.3	43	37	84	N 3	WNW 1	W 2	1	1	2	.	
19	-8.4	-6.2	-7.5	-7.4	-0.2	563.5	563.0	560.8	63	47	95	W 3	W 3	W 5	9	8	10≡	12.5	≡ 19½-n, ⊕ ll
20	-8.5	-11.6	-11.7	-10.6	-3.5	559.2	558.5	558.0	93	95	92	WNW 3	WSW 4	WNW 2	10≡	10≡	10≡	15.6	✳° 17-n, ≡ ⊹ n-n, ⋁ 16½
21	-11.6	-10.3	-13.4	-11.8	-4.7	553.6	551.9	552.3	88	73	73	WSW 4	WSW 4	NNW 2	10≡*	10≡*	10≡*	28.4	✳ ≡ n-n, ⋁ l, ⸝ n-p
22	-17.3	-14.5	-17.0	-16.3	-9.3	551.1	551.2	553.0	98	98	97	NW 2	WSW 2	WSW 3	10≡*	10≡*	10≡	8.8	✳ n-17 m.U., ≡ n-n, ⋁ l
23	-16.8	-15.2	-12 2	-14.7	-7.8	554.4	557.0	559.8	76	78	32	NNW 2	N 1	NE 3	3	10≡	1	.	≡ n-13½ m.U., ⋁ l
24	-11.8	-9.9	-10.2	-10.6	-3.7	560.5	561.6	561.0	48	28	90	WNW 3	W 3	W 3	9	10	10≡*	10.8	✳ ll, 15½-n m.U., ≡ 17¼-n
25	-13.7	-14.9	-13.6	-14.1	-7.3	560.7	562.8	**564.4**	83	58	45	N 3	N 1	N 3	10≡*	3	1	0.2	✳ n-9, ≡ n-10⅜, ⋁ l
26	-10.4	-8.3	-7.3	-8.7	-2.0	564.3	563.9	562.7	51	90	90	N 1	WNW 2	W 3	10*	10≡*	10≡*	20.5	✳ 7-n, ≡ 9-n
27	-8.0	-7.0	-10.2	-8.4	-1.7	560.6	560.7	559.9	92	87	88	WSW 3	N 2	W 1	10≡*	10≡*	10≡	12.6	✳ n-19½, ≡ n-n, ⊹ 7-9½
28	-11.4	-7.2	-10.0	-9.5	-2.9	557.9	558.3	557.6	26	**9**	**9**	N 3	NNE 2	W 4	1	6	3	.	
29	-9.2	-6.8	-6.8	-7.6	-1.1	554.3	553.6	552.8	35	58	80	WSW 4	W 4	W 4	7	4	10	.	
30	-6.7	**-5.0**	-5.4	-5.7	0.8	550.8	550.9	551.5	80	86	100	W 3	W 3	W 3	10	10	10≡*	11.5	≡ ✳ 19-n, ⸜ 19¼
31	-6.0	-7.4	-13.4	-8.9	-2.5	551.4	552.2	555.5	100	100	96	W 4	NW 3	NW 2	10≡	10≡*	10≡*	**29.5**	✳ n-n m.U., ⸝ ⊹ ≡ n-n, [⸜ a zeitw.
																		Summe	
Mittel	-12.1	-10.8	-12.0	-11.6	—	555.9	556.2	556.7	79	77	84				7.9	8.5	8.2	245.8	

März 1944.
Beobachter: Frl. *F. Lombardi.*

St. Gotthard (Hospiz)

$\lambda = 8° 34'$, $\beta = 46° 33'$,
$H_b = 2095.7$ m, $G = -0.25$ mm.

1	-9.6	-7.0	-10.0	-8.9	-2.4	577.9	580.2	583.0	100	100	100	N 3	N 3	N 3	10≡	10≡	10≡	13.2	✳ ⸝ zeitw., ≡ n-n
2	-11.2	-3.8	-6.8	-7.3	-0.9	584.4	584.4	584.7	78	26	72	NW 0	SW 0	S 0	2	5	10	3.0	
3	-10.4	-6.0	-10.8	-9.1	-2.7	583.1	582.2	581.7	90	32	90	NW 2	N 1	N 2	10≡	5	10≡	3.2	✳ ⊹ ztw., ≡ n-9½, 19-n
4	-14.0	-12.0	**-15.4**	-13.8	-7.5	580.3	580.6	581.7	50	78	78	N 2	N 2	N 3	5≡	10≡	10≡	6.5	⸝ ✳ abds., ≡ n-n
5	-14.8	-13.6	-15.0	-14.5	-8.2	582.4	583.7	585.6	76	76	76	N 3	N 3	N 3	10≡	10≡	10≡	15.7	✳ zeitw., ≡ ⸝ n-n
6	-14.6	-13.0	**-15.4**	-14.3	-8.1	585.5	585.5	587.3	80	83	85	N 3	N 3	N 3	10≡	10≡	10≡	7.2	✳ ≡ ⸝ n-n
7	-13.6	-11.0	-12.4	-12.3	-6.2	587.5	587.5	588.6	83	74	62	N 2	N 2	N 3	10	10	5	.	
8	-9.2	-2.4	-11.2	-7.6	-1.5	589.8	590.0	590.4	80	63	98	NE 1	N 0	N 1	0	5	10≡	2.2	≡ 17¼-n
9	-10.8	-7.6	-11.8	-10.1	-4.1	588.5	588.7	589.5	84	80	78	N 1	N 1	N 1	8	4	0	.	
10	-9.8	0.2	-8.8	-6.5	-0.5	588.5	588.9	587.7	51	45	75	N 1	NW 0	N 2	2	5	5	.	
11	-11.0	-6.6	-8.2	-8.6	-2.7	586.1	584.9	580.4	85	63	83	N 2	N 2	N 3	2	5	10≡	14.7	✳ ⊹ 18-n, ⸝ n, ≡ 17¼-n
12	-12.8	-9.8	-12.7	-11.8	-6.0	580.7	583.7	584.9	84	64	89	N 3	N 3	N 3	10≡	10≡	10≡	20.0	≡ ⸝ n-n
13	-6.2	-2.4	-5.2	-4.6	1.2	583.2	581.8	**577.2**	100	100	100	N 2	N 1	N 4	10*≡	10*≡	10*≡	35.0	✳ ≡ n-n, ⸝ 19-n
14	-12.0	-10.0	-12.4	-11.5	-5.8	578.5	580.0	580.7	89	100	87	N 3	N 2	N 2	10*≡	10≡	10≡	12.7	✳ ⸝ n-10⅜, ≡ n-n
15	-11.4	-8.6	-12.4	-10.8	-5.1	582.0	584.1	586.7	88	71	85	N 3	N 2	N 2	10*≡	5	10≡	3.8	✳ ⸝ n-9¼, ≡ n-10⅜, [17-n
16	-10.6	-4.8	-7.8	-7.7	-2.1	588.1	588.6	588.9	74	31	18	N 2	N 1	N 1	0	0	0	.	
17	-5.0	-5.4	-8.8	-6.4	-0.9	588.5	589.3	591.3	**15**	24	80	W 0	N 1	N 1	3	5	3	0.5	✳ 14⅜-17½
18	-8.8	-5.2	-8.0	-7.3	-1.8	593.0	**594.2**	594.1	80	25	36	N 1	N 1	N 1	0	0	0	.	
19	-8.4	**2.4**	-4.0	-3.3	2.1	593.4	592.8	591.4	28	21	24	NW 0	W 0	N 0	0	1	0	0.3	
20	-5.4	-2.8	-8.2	-5.5	-0.1	588.8	588.5	587.4	100	100	100	NE 2	NE 2	NE 3	10≡	10≡	10*≡	15.8	✳ ⸝ 14-n, ≡ n-n
21	-7.4	-5.0	-8.6	-7.0	-1.7	584.7	582.9	581.1	100	100	100	NW 1	NW 2	NW 4	10*≡	10*≡	10*≡	29.4	✳ ≡ n-n
22	-11.6	-10.4	-14.2	-12.1	-6.9	580.7	580.9	583.0	88	78	100	N 3	N 3	N 4	10≡	8≡	10≡	14.7	≡ ⸝ n-n
23	-13.6	-11.0	-14.8	-13.1	-7.9	584.6	587.3	590.2	87	79	60	N 3	N 2	N 2	8	8	0	.	
24	-9.4	-7.4	-10.2	-9.0	-3.9	590.5	591.0	591.0	41	53	63	N 2	N 2	N 3	3	5	5	13.2	⸝ 18¼-n
25	-7.8	-7.2	-12.2	-9.0	-3.9	589.1	592.9	594.0	72	70	67	N 4	N 3	N 2	10≡	8≡	0	7.6	✳ zeitw., ≡ ⸝ n-15¼
26	-6.8	-5.6	-5.8	-6.1	-1.1	593.8	593.3	592.9	71	75	75	NE 3	NE 3	NE 3	8	10≡	0	15.6	≡ 8½-16⅜, ⸝ n-n
27	-5.2	-3.6	-6.8	-5.2	-0.3	589.9	589.7	589.0	88	88	93	NE 3	NE 2	NE 3	10≡	10≡	10≡	4.7	✳ ⸝ zeitw., ≡ n-n
28	-6.8	-4.6	-6.2	-5.9	-1.0	587.4	587.9	587.2	61	33	46	NW 1	N 1	N 1	0	0	0	.	
29	-4.4	-1.0	-4.0	-3.1	1.7	584.6	583.9	582.7	41	33	67	N 0	NW 0	W 0	0	0	10≡	.	≡ 20-n
30	-2.8	-0.8	-3.0	-2.2	2.6	581.4	583.0	582.1	52	45	100	S 1	S 1	S 1	5	5	10≡	7.2	✳° ztw. abds., ≡ 17⅜-n
31	-2.2	-0.4	-6.8	-3.1	1.6	582.1	582.8	584.9	100	39	100	S 0	S 0	N 4	10≡	8	10*≡	**37.0**	✳ 14-n, ≡ n-8⅜, 15½-n, [⸝ 17¼-n
																		Summe	
Mittel	-9.3	-6.0	-9.6	-8.3	—	585.8	586.3	586.5	75	63	77				6.3	6.5	6.7	282.1	

$\lambda = 7° 26'$, $\beta = 46° 57'$,
$H_b = 572.2$ m, $G = 0.00$ mm.

Bern

April 1944.
Beobachter: *Tellur. Observatorium.*

Tag	Lufttemperatur					Luftdruck			Relative Feuchtigkeit			Windrichtung und Stärke			Bewölkung			Niederschlag	Witterung
	7^{30}	13^{30}	21^{30}	Mittel	Abweich. vom Normalst	7^{30}	13^{30}	21^{30}	7^{30}	13^{30}	21^{30}	7^{30}	13^{30}	21^{30}	7^{30}	13^{30}	21^{30}		
1	0.1	6.7	2.5	3.1	−2.6	714.3	713.6	714.1	90	35	60	S 0	E 1	E 0	0	9	5	.	⊕ II, ⌴ I
2	**−0.2**	10.5	6.7	5.7	−0.1	713.1	710.5	708.0	90	42	82	NE 0	NE 1	NE 0	8	8	7	.	♈ III
3	5.3	15.4	11.2	10.6	4.6	708.0	706.3	707.0	90	46	97	S 0	W 1	SE 0	9	6	9	2.4	●tr. fr., ●$19^1/_2$-$20^3/_4$, $23^1/_4$-$24^1/_2$
4	9.1	12.1	9.6	10.3	4.2	710.0	710.6	712.7	88	85	98	SE 0	W 2	WSW 2	9	9	10●	7.6	● $1^1/_2$, 11–$14^3/_4$ m.U., $20^3/_4$-23
5	8.1	12.6	10.3	10.3	4.0	713.4	713.8	714.8	100	54	64	W 2	W 3	WSW 2	9	8	9	0.1	● $0^1/_4$–10 m.U.
6	5.8	14.2	10.1	10.0	3.6	714.9	714.0	714.1	85	40	67	SE 0	WNW 2	E 0	3	4	0	.	Ψ 20
7	4.4	14.7	12.4	10.5	3.9	713.7	712.7	712.8	93	46	71	E 0	SW 1	S 1	10	10	10	0.0	●° $21^1/_4$
8	10.1	14.9	10.1	11.7	5.0	711.3	709.9	710.4	87	71	100	N 0	NE 0	SE 0	9	10	10●	**20.5**	●° 10, ● $14^3/_4$–23 m.U.
9	8.2	14.3	11.3	11.3	4.4	710.2	710.6	712.2	98	64	87	SE 0	W 1	W 0	10●	10	10	7.1	● $4^1/_2$–$8^3/_4$, $13^1/_4$, $14^3/_4$–$15^1/_4$
10	8.1	12.0	8.7	9.6	2.6	714.4	714.9	714.3	95	46	83	W 1	NE 1	SE 1	9●	6	1	.	● $0^1/_4$–$7^3/_4$
11	4.9	13.8	9.2	9.3	2.1	713.9	713.1	712.8	88	42	79	NE 0	NE 2	W 0	0	6	0	.	⊕ zeitw., ⌓ I
12	5.4	15.6	11.1	10.7	3.3	712.3	711.1	709.4	88	30	62	SE 0	NW 1	E 1	2	2	3	.	⊕ zeitw., ⌓ I
13	7.2	16.8	10.1	11.4	3.9	709.8	709.0	710.8	83	38	82	S 1	NE 1	W 1	7	3	5	.	
14	7.1	16.8	12.0	12.0	4.3	710.5	708.2	707.2	82	46	76	S 0	NE 1	SW 0	1	8	1	.	⊕ zeitw., ⌓ I
15	9.2	17.5	11.9	12.9	5.0	707.5	706.1	705.1	89	47	83	SE 0	NW 1	SW 0	10	10	9	0.0	●°tr. $16^1/_2$
16	10.7	16.6	12.5	13.3	5.2	703.9	703.9	704.9	86	50	85	SE 1	W 2	NW 0	10	10	10	.	
17	9.1	15.8	13.1	12.7	4.4	702.2	**699.5**	701.8	98	63	83	NE 1	NE 3	NW 0	10	7	9	.	
18	10.3	15.1	9.3	11.6	3.1	706.4	707.8	710.8	87	57	99	SW 1	SW 1	SE 1	9	9	10●	13.7	● 16–n, ⛆ $16^3/_4$
19	8.5	11.9	10.5	10.3	1.7	713.7	714.6	715.4	97	70	80	SE 1	NE 1	NE 1	10	10	6	.	● n–$6^3/_4$
20	9.7	11.6	9.1	10.1	1.3	714.9	713.9	714.7	92	87	94	W 0	SE 0	SE 1	9	10	10	0.8	● 12–$15^3/_4$ m.U., ●° p zeitw.
21	8.8	13.4	10.1	10.8	1.8	717.2	718.1	720.5	74	51	74	NE 0	NE 2	N 0	8	9	10	.	
22	7.1	14.7	12.0	11.3	2.2	**721.5**	720.9	721.0	92	48	69	E 1	NNE 2	NE 2	9	7	0	.	⌓ I
23	8.0	16.7	13.1	12.6	3.3	721.4	720.8	721.0	89	55	47	NE 0	NE 2	NE 0	6	2	0	.	⌓ I
24	8.0	**20.5**	15.2	14.6	5.2	720.4	718.6	716.0	83	**25**	48	S 1	N 1	W 1	1	1	0	0.5	⌓ I
25	9.3	12.2	7.3	9.6	0.0	715.2	715.9	716.4	93	42	64	W 1	NNE 2	NE 1	10●	9	6	1.3	● $7^1/_4$–$8^1/_4$, ●° 16
26	4.8	8.1	6.4	6.4	−3.3	716.7	717.1	719.0	93	62	72	NE 3	ENE 3	NE 2	10	9	10	0.5	● 0, $7^1/_2$–$8^3/_4$, $14^1/_4$, $18^1/_2$
27	5.7	11.5	8.5	8.6	−1.3	718.1	717.5	716.9	80	48	54	NE 3	NE 3	E 1	7	4	0	.	
28	5.1	14.2	9.0	9.4	−0.6	715.8	714.3	715.2	87	37	74	SE 0	NNE 2	NE 1	1	3	10	0.1	● $18^1/_4$–$22^1/_4$ m.U., ⌓ I
29	6.2	10.3	5.3	7.3	−2.9	716.0	716.5	718.2	70	39	64	NE 2	NE 2	NE 0	9	4	1	.	
30	4.0	12.2	10.5	8.9	−1.4	718.2	718.0	717.5	83	48	66	S 0	NE 1	SW 1	9	7	9	.	
Mittel	6.9	13.8	10.0	10.2	—	713.3	712.7	713.2	88	50	75				7.1	7.0	6.0	Summe 54.6	

$\lambda = 6° 57'$, $\beta = 47° 0'$,
$H_b = 487.3$ m, $G = 0.02$ mm.

Neuchâtel

April 1944.
Beobachter: *Observatorium.*

1	1.5	8.9	5.2	5.2	−1.3	722.3	721.6	721.8	65	40	44	NE 0	SE 1	NE 1	0	6	7	.	⊕ II
2	**1.2**	10.5	7.5	6.4	−0.3	721.1	718.3	715.5	78	39	61	NE 0	S 0	N 0	6	5	3	.	
3	4.9	16.7	12.6	11.4	4.6	715.5	713.6	714.3	88	49	71	W 0	SW 2	NW 0	9	2	10	.	●°sch. 20
4	9.2	13.7	10.4	11.1	4.2	717.6	718.3	720.0	88	68	86	SW 1	SW 1	W 1	9	9	10	3.0	●°sch. $12^1/_4$, ● $20^1/_4$–n
5	9.5	12.8	10.9	11.1	4.0	721.2	721.9	722.6	81	58	68	W 1	W 2	W 1	9●	8	9	0.6	●sch. $7^1/_2$, $18^1/_2$-n zeitw.
6	7.8	17.6	10.9	12.1	4.9	722.3	721.6	721.7	81	45	61	SW 1	S 1	N 1	1	3	0	.	
7	6.0	13.9	12.2	10.7	3.3	721.5	720.3	720.1	85	58	69	NE 0	SW 1	NE 0	10	10	10	0.2	●°sch. $20^1/_2$
8	10.5	14.9	9.8	11.7	4.2	719.1	717.5	717.7	80	63	98	NE 0	E 1	W 0	10	10	10●	**15.5**	● $14^1/_2$–n
9	9.2	13.0	10.7	11.0	3.3	717.7	718.1	719.7	100	84	90	W 0	SW 1	W 0	10≡	10	7	3.1	●sch. 12, 16, ● n, ≡ n–9
10	8.3	15.9	10.5	11.6	3.8	722.0	722.4	721.9	81	57	64	S 0	SE 1	N 1	10	3	0	.	
11	5.8	16.4	10.6	10.9	2.9	721.6	720.8	720.2	87	48	62	NE 0	SE 1	N 0	0	4	0	.	⊕ II
12	6.0	16.1	10.7	10.9	2.8	719.9	718.6	716.6	81	46	63	N 1	SE 1	N 0	1	4	3	.	
13	8.0	18.8	11.7	12.8	4.5	717.2	716.5	718.2	84	44	75	NE 0	SE 1	SW 1	8	2	4	.	
14	8.3	17.5	13.0	12.9	4.5	718.1	715.9	714.7	86	50	64	NE 0	SE 1	W 1	0	6	0	.	
15	9.9	16.4	12.2	12.8	4.2	715.0	713.3	712.3	86	52	74	NE 0	E 1	SE 0	10	10	10	0.2	
16	10.7	12.4	12.2	11.8	3.0	710.9	711.4	712.3	90	83	68	SW 0	SW 1	SW 0	10	10●	10	1.3	●° n–n m.U.
17	10.3	19.1	14.3	14.6	5.7	709.2	**706.6**	708.9	83	53	68	E 0	E 2	N 2	10	2	10	.	
18	10.5	17.7	11.6	13.3	4.2	713.7	715.3	718.2	80	54	72	SW 1	SW 2	SE 0	2	4	9	0.6	⛆ ●^{2} 16–17
19	10.2	12.8	11.8	11.6	2.4	721.2	722.1	723.0	93	73	73	SE 0	E 1	NE 0	9	10	9	0.3	●° n (19./20.)
20	10.1	12.2	9.9	10.7	1.3	722.6	721.3	721.4	90	63	65	SW 0	NW 2	N 3	10	10	10	.	
21	8.9	15.6	8.7	11.1	1.5	725.0	725.8	728.3	85	58	77	S 1	SE 1	N 0	5	8	0	.	
22	6.6	16.9	13.6	12.4	2.7	729.1	728.5	728.5	83	53	57	N 0	E 1	NE 2	9	4	0	.	
23	10.5	19.7	13.2	14.5	4.6	**729.2**	728.3	728.5	73	45	56	E 2	SE 1	NE 0	6	0	0	.	
24	9.3	**21.0**	19.9	16.7	6.7	728.1	726.4	722.9	72	45	**25**	SE 0	SE 1	N 2	0	0	0	.	
25	11.0	13.4	8.2	10.9	0.7	722.7	723.3	724.2	64	41	61	N 2	N 3	N 3	9	7	3	.	●tr. p
26	6.7	9.5	7.9	8.8	−2.4	724.3	724.7	726.2	69	50	62	NE 2	N 4	NE 3	5	9	10	.	
27	6.0	15.0	10.2	10.4	−0.1	726.0	724.7	724.7	71	39	47	NE 3	NE 3	NE 2	1	1	0	.	
28	6.2	16.7	10.0	11.0	0.3	723.4	721.7	722.9	78	42	65	NE 0	SE 1	NE 0	1	6	9	.	
29	8.1	13.6	7.0	9.6	−1.2	723.6	724.1	725.8	63	45	60	E 1	E 1	NE 1	4	7	1	.	
30	5.7	13.5	11.8	10.3	−0.7	725.7	725.5	725.2	76	55	59	NE 0	SE 1	W 0	10	7	2	.	●tr. 13
Mittel	7.9	15.1	11.0	11.3	—	720.9	720.3	720.6	81	53	66				6.1	5.9	5.2	Summe 24.8	

April 1944.
Beobachter: Frl. *H. Nager*.

Altdorf

$\lambda = 8° 39'$, $\beta = 46° 53'$,
$H_b = 456.3$ m, $G = -0.05$ mm.

Tag	Lufttemperatur					Luftdruck			Relative Feuchtigkeit			Windrichtung und Stärke			Bewölkung			Niederschlag	Witterung
	7^{30}	13^{30}	21^{30}	Mittel	Abweich. vom Normalst.	7^{30}	13^{30}	21^{30}	7^{30}	13^{30}	21^{30}	7^{30}	13^{30}	21^{30}	7^{30}	13^{30}	21^{30}		
1	2.7	5.8	2.6	3.7	−3.3	724.2	724.2	725.3	53	40	53	NE o	NW o-1	S o	10	4	7	.	⊠
2	1.9	8.7	4.2	4.9	−2.2	723.5	720.8	718.5	70	42	78	SE o	N o	NW o	8	4	8	.	
3	3.8	16.2	12.3	10.8	3.5	717.6	715.6	717.1	91	32	36	NW o	NE o	SE o	8	1	10	.	
4	9.1	15.2	8.3	10.9	3.5	719.6	719.8	722.1	79	51	82	SE o	NW 1-2	SE o	10	10●	7	5.9	● $13^1/_2$-p
5	7.6	14.4	8.9	10.3	2.8	723.6	723.1	724.8	97	46	76	S o	SW 1	SE o	5	9	8	0.3	● T $16^1/_4$
6	6.2	14.8	9.7	10.2	2.5	724.6	724.0	724.8	83	43	56	S o	NW 1	SE o	2	2	5	.	
7	4.8	14.9	11.7	10.5	2.7	724.1	722.0	721.8	86	41	77	SE o	NW o	NW o	3	8	10	.	
8	10.6	18.2	11.8	13.5	5.6	721.3	719.5	719.3	64	33	70	NW o	SE o	N o	8	10	8	.	
9	8.8	16.1	10.2	11.7	3.6	719.9	719.5	722.5	87	50	92	N o	NW 1	NE o	6	7	10●	6.6	● III
10	8.9	12.7	7.4	9.7	1.5	723.8	724.9	725.4	97	50	73	NW o	N o	SE o	10●	10	2	0.4	● I
11	4.7	13.6	9.6	9.3	0.9	724.0	722.6	723.2	80	42	48	SE o	NW o-1	SE o-1	0	0	0	.	
12	5.2	14.7	9.8	9.9	1.4	722.3	720.7	719.7	75	36	57	E o	NW o-1	E o	0	1	0	.	
13	11.8	19.5	11.2	14.2	5.6	719.4	718.6	720.2	56	27	46	SE o	S 1	S o	4	2	0	.	
14	7.9	19.8	16.4	14.7	5.9	720.1	717.9	717.2	76	**26**	30	E o	S 2	S 2-3	0	2	0	.	
15	16.4	18.7	16.6	17.2	8.3	716.5	716.8	715.4	33	32	33	SE 2	S 2-3	S 3	10	10	7	.	
16	16.4	**20.7**	14.6	17.2	8.1	713.9	713.4	713.3	32	29	47	SE 1	SE 2-3	S 2	6	5	0	.	
17	16.8	**20.7**	15.6	17.7	8.5	710.5	**709.9**	711.2	37	30	40	SE 1	S 1-2	SE o	7	8	8	.	
18	11.3	16.8	8.8	12.3	2.9	715.6	716.9	721.3	73	50	97	NW o	NW 1-2	NW o	3	4	10●	10.4	● abds., ⛥ 19
19	8.7	13.6	11.7	11.3	1.8	723.7	724.3	725.7	93	64	79	NW o	NW 1	NW o	10	5	6	.	
20	10.2	14.4	9.5	11.4	1.8	724.9	722.6	725.4	76	53	93	W o	NW 2	NW o	8	10	10	6.4	● 17-$20^1/_2$
21	8.6	13.1	9.3	10.3	0.5	727.6	728.6	730.9	94	55	85	W o	W o	NW o	10●	8	7	0.4	● I
22	8.7	14.5	10.0	11.1	1.2	731.6	730.9	731.9	77	49	70	NW o	N o-1	NE o	9	6	0	.	
23	7.3	15.2	12.8	11.8	1.7	731.4	730.9	**732.1**	80	46	52	SE o	NW o	SE o	0	1	0	.	
24	7.8	18.2	12.3	12.8	2.6	730.5	728.4	725.9	65	32	47	E o	NW o	NW o	2	1	0	0.8	
25	10.5	13.0	8.8	10.8	0.5	724.1	726.0	726.2	80	59	50	E o	W o	NE o	10●	10	10	**18.5**	● n-n zeitw.
26	5.9	8.4	6.9	7.1	−3.4	726.4	727.2	729.1	72	56	80	N 1-2	NW 2	NW o	8	10	10	.	
27	5.4	12.3	7.8	8.5	−2.1	728.7	727.4	727.2	83	44	62	NW o	N 2	NW o	4	6	4	.	
28	5.4	14.3	11.3	10.3	−0.4	725.8	723.7	724.6	83	37	53	N o	NW 1	NW 1-2	2	5	10	0.3	● tr. zeitw. abds.
29	7.6	9.3	8.3	8.4	−2.5	725.4	726.6	728.2	60	50	43	NW 2-3	NW 2	NW o	10●	10	10	.	● I
30	7.2	10.7	8.6	8.8	−2.2	728.1	727.8	727.1	62	46	74	N o	NW 1	NW o	10	10	10	0.0	● tr. abds.
Mittel	8.3	14.6	10.2	11.0	—	723.1	722.5	723.3	73	43	63				6.1	6.0	5.9	Summe 50.0	

April 1944.
Beobachter: *Observatorium*.

Genf

$\lambda = 6° 9'$, $\beta = 46° 12'$,
$H_b = 405.0$ m, $G = -0.03$ mm.

1	2.2	8.3	6.5	5.7	−1.3	729.4	728.0	728.5	68	**22**	49	E o	NE 1	ENE o	0	7	5	.	⌴ I
2	3.6	9.8	7.6	7.0	−0.1	727.9	725.3	722.6	66	40	69	E o	NE o	ENE o	1	2	7	.	
3	9.0	18.2	14.2	13.8	6.5	722.5	720.2	721.8	81	47	64	ENE o	ESE 1	W 1	9	9	9	0.1	● tr. 7
4	11.8	14.8	10.2	12.3	4.9	725.4	725.7	727.9	80	72	91	ENE o	S o	ESE 1	8	9	9	4.2	● sch. $13^1/_4$, 20, n
5	9.6	16.2	11.4	12.4	4.8	729.3	729.4	730.6	87	44	66	NE o	W o	ESE o	9	7	5	.	
6	6.4	13.4	10.0	9.9	2.2	729.7	728.2	727.9	82	55	70	E o	NNE 1	ENE o	0	3	1	.	
7	6.8	13.2	10.0	10.0	2.2	728.0	727.2	727.0	88	52	72	E o	NNE 1	ENE o	3	8	5	.	●° sch. 17
8	9.0	16.0	10.3	11.8	3.8	725.5	728.8	724.6	83	62	95	S o	S o	ESE o	10	10	10●	8.4	● sch. $9^1/_2$, 11, ● $16^1/_2$-n
9	11.2	18.3	11.8	13.8	5.7	725.2	725.6	727.1	96	51	90	E o	ENE 1	ESE o	10●	9	10●	**11.4**	● ich. abds., n
10	9.8	13.6	10.0	11.1	2.8	728.4	729.0	728.5	79	50	74	NE 1	NNE 1	NE 1	8	0	0	.	
11	7.2	14.1	11.6	11.0	2.6	728.8	727.8	727.3	76	46	63	ENE o	ENE o	E o	1	0	1	.	
12	7.8	13.4	12.2	11.1	2.6	727.0	724.6	723.5	77	60	67	E o	NNE 1	E o	1	4	5	.	
13	9.8	18.0	11.1	13.0	4.3	724.2	723.6	725.5	79	41	76	E 1	NNE o	ENE o	8	2	1	1.4	⛥ ● $15^1/_2$-16
14	8.2	15.5	14.2	12.6	3.8	725.0	722.5	721.9	89	58	63	E o	NNE 1	SE 1	0	6	9	.	
15	10.4	17.5	11.7	13.2	4.2	722.8	720.2	718.8	82	44	76	NE o	E o	NNE 1	10	10	10	.	
16	11.8	11.4	10.2	11.1	2.0	717.9	718.7	719.0	73	86	95	NE o	ENE o	E o	10	10	10	3.3	● $11^1/_4$-n zeitw.
17	9.5	17.6	11.5	12.9	3.6	715.6	**712.9**	716.6	96	56	91	E o	NNE 1	S 1	10	4	10●	3.7	● ⛥ $19^1/_2$, ● III
18	11.5	16.5	12.7	13.6	4.2	721.2	722.5	725.2	68	55	67	S o	S 1	NW o	9	5	9	.	● tr. $9^1/_4$
19	10.6	13.4	12.4	12.1	2.5	728.3	729.2	730.2	80	67	76	E o	NNE o	SE o	10	10	10	.	
20	10.4	13.8	9.9	11.4	1.6	729.8	728.9	729.6	84	52	75	NE o	N o	ENE o	10	10	7	.	
21	9.8	14.6	11.0	11.8	1.9	731.9	732.6	734.9	79	57	67	NE o	NNE 1	E 1	8	2	0	.	
22	8.4	15.8	13.0	12.4	2.3	735.9	734.5	734.6	81	47	59	E o	NNE 2	E 1	0	3	0	.	
23	10.3	16.3	15.0	13.9	3.7	**736.8**	735.4	734.9	76	50	63	NE o	NNE o	E o	1	0	0	.	
24	10.0	**19.8**	18.2	16.0	5.6	735.1	732.9	730.5	74	41	46	E o	NNE o	NE o	0	0	0	.	
25	13.2	15.1	10.1	12.8	2.3	729.6	729.9	730.7	68	39	51	NNE 1	NNE 2	NNE 2	5	4	1	.	
26	7.5	10.1	8.8	8.8	−1.9	729.8	729.6	730.5	61	50	63	NNE 4	NNE 4	NNE 5	7	4	0	.	
27	6.9	12.9	10.6	10.1	−0.7	731.7	730.7	730.4	68	40	50	NNE 2	NNE 3	NE 1	8	0	0	.	
28	8.4	17.2	11.8	12.5	1.5	730.3	728.2	729.1	60	33	61	NNE 1	NNE 1	NNE 1	0	0	1	.	
29	9.7	15.0	8.9	11.2	0.1	730.0	729.8	731.5	61	26	44	NNE 1	NNE 1	NNE 2	0	0	0	.	
30	8.2	15.6	11.6	11.8	0.5	732.6	731.6	732.7	57	40	73	NE 1	NE 2	ENE o	1	1	4	.	
Mittel	9.0	14.8	11.3	11.7	—	727.8	727.1	727.5	77	49	69				5.2	4.6	4.6	Summe 32.5	

$\lambda = 8° 33'$, $\beta = 47° 23'$,
$H_b = 493.2$ m, $G = 0.03$ mm.

Zürich

April 1944.
Beobachter: *Meteorol. Zentralanstalt.*

Tag	Lufttemperatur					Luftdruck			Relative Feuchtigkeit			Windrichtung und Stärke			Bewölkung			Niederschlag	Witterung
	7^{30}	13^{30}	21^{30}	Mittel	Abweich. vom Normalst	7^{30}	13^{30}	21^{30}	7^{30}	13^{30}	21^{30}	7^{30}	13^{30}	21^{30}	7^{30}	13^{30}	21^{30}		
1	0.8	7.5	2.2	3.5	−2.9	721.4	721.3	721.8	82	35	65	WNW 1	NNW 1	E 1	7	3	5	.	
2	1.2	11.0	5.6	6.0	−0.6	720.6	718.2	715.3	80	40	66	E 0	SSW 1	N 1	10	4	3	.	
3	4.0	17.8	11.8	11.1	4.4	714.7	713.2	713.9	79	42	62	E 0	S 1	S 1	9	1	10●	3.0	●° 21½–24
4	11.3	16.6	11.5	13.2	6.3	716.6	716.6	718.1	76	52	70	W 1	WSW 2	ESE 1	8	8	10	7.2	● 1½–2½, 22¼–23
5	9.8	15.4	11.7	12.3	5.3	719.5	719.7	720.9	74	49	60	WSW 3	W 2	W 1	9●	9	10	0.2	● 1½–7⅝ zeitw., 22¼–23
6	9.4	15.6	10.6	11.9	4.7	721.3	721.0	721.5	78	47	65	WNW 1	WNW 1	NE 2	4	5	3	.	
7	5.7	15.2	11.2	10.7	3.4	720.9	719.4	719.4	90	50	83	ENE 0	N 1	E 1	7	10	10	0.2	
8	9.2	13.7	11.1	11.3	3.8	718.6	717.0	716.8	90	70	90	WNW 1	NNE 1	NNW 1	10	10	10	0.6	●° 4-4½, 18¼-19, 23½-24½
9	9.2	14.9	9.8	11.3	3.7	716.6	717.0	718.7	90	63	94	SSE 1	W 1	SE 2	10	10	10	7.5	●° 15⅝–16¼, 22⅝–23⅝
10	9.3	13.8	8.6	10.6	2.8	720.4	721.8	721.5	95	44	75	S 0	NW 1	S 1	10●	9	7	1.7	● 3¼–8⅜
11	4.3	15.9	10.0	10.1	2.2	721.3	720.1	719.6	90	35	62	SE 0	NNW 2	NE 0	0	2	0	.	
12	5.3	18.8	11.0	11.7	3.6	719.2	717.7	716.4	85	31	70	ENE 0	S 1	SE 1	1	8	0	.	△ I
13	7.9	20.7	11.6	13.4	5.4	716.4	715.7	716.7	82	33	77	ESE 0	NNE 1	NNE 0	7	3	3	4.3	●² 16¼–16⅝
14	8.1	20.1	15.4	14.5	6.1	717.3	715.0	713.5	82	40	42	SE 0	SSW 1	SE 1	1	3	0	.	△ I
15	11.4	19.4	14.8	15.2	6.7	714.0	712.9	711.5	76	43	47	ESE 1	SSE 1	SSE 1	10	9	10	.	
16	12.8	23.0	13.0	16.3	7.7	710.3	709.4	711.7	70	35	77	ENE 1	WNW 1	NW 1	5	9	1	.	
17	9.4	19.4	14.9	14.6	5.8	708.9	**707.2**	708.1	91	52	75	WNW 0	N 1	N 1	9	9	10	.	
18	10.8	18.0	8.9	12.6	3.7	712.8	714.4	717.8	88	50	96	WNW 1	W 1	SE 1	10	3	10●	17.5	● 18⅜–24½, ⊼ 18½–19⅜
19	9.2	14.6	11.7	11.8	2.7	720.5	721.4	722.6	85	60	77	SSE 0	SSW 1	ENE 1	10	9	10	.	
20	10.0	13.2	9.3	10.8	1.6	721.8	720.5	721.6	89	62	87	SSW 1	WNW 1	S 1	10	10	10●	0.2	●° 17⅜–22, △ I
21	8.4	13.1	8.7	10.1	0.7	724.1	725.4	727.6	83	62	89	NW 0	S 1	N 0	9	9	3	0.0	●° n-7, 15⅝
22	6.1	17.1	11.4	11.5	2.0	728.4	728.0	**729.0**	87	39	75	N 0	SSW 1	NE 1	10	6	0	.	△ I
23	7.4	18.3	12.7	12.8	3.1	728.4	728.0	728.0	89	39	64	WNW 0	NE 1	NE 0	5	3	3	.	
24	9.0	**23.9**	15.0	16.0	6.2	727.3	725.2	722.0	80	**19**	58	SE 0	S 1	SSE 1	1	1	0	0.6	△ I
25	9.6	11.0	8.1	9.6	−0.4	721.8	723.1	723.5	92	72	67	NNW 0	SE 1	NNW 1	10●	8	10	4.9	● 7¼–8⅜, 12⅝–13½, 22½–24
26	5.6	7.2	7.0	6.6	−3.5	724.3	725.4	727.0	87	73	71	NNW 1	NE 1	NE 1	10	10	10	0.4	● 6–6½, 9, 10–10¼
27	4.8	12.8	7.8	8.5	−1.7	726.3	725.1	724.3	85	41	65	NE 1	E 2	ENE 1	10	3	0	.	
28	5.3	14.8	9.8	10.0	−0.3	722.8	721.2	722.0	85	40	76	N 0	WNW 1	NNW 1	2	8	10	1.0	●° 17½–18½ m.U., △ I
29	6.1	10.1	6.3	7.5	−3.0	723.5	723.7	725.4	76	52	61	NNW 0	WNW 1	N 1	10	9	9	.	● 1½–2¼, ●tr. p
30	6.2	10.9	12.0	9.7	−1.0	724.9	724.8	723.3	71	64	60	NNW 0	SSW 1	S 1	10	10	10	.	
																		Summe	
Mittel	7.6	15.5	10.4	11.2	—	720.2	719.6	720.0	84	48	71				7.5	6.7	6.2	49.3	

$\lambda = 8° 30'$, $\beta = 47° 3'$,
$H_b = 1787.3$ m, $G = -0.20$ mm

Rigi-Kulm

April 1944.
Beobachter: *J. Wiget.*

1	−9.0	−7.0	−7.6	−7.9	−6.1	612.3	612.9	614.1	100	100	100	W 1	W 1	W 0	10≡	5	5	.	≡ I	✳
2	−4.8	3.0	2.8	0.3	2.0	613.0	612.5	611.8	42	65	68	W 1	W 1	E 0	9	4	5	.		✳
3	4.2	6.0	5.2	5.1	6.7	610.5	610.4	610.7	50	42	50	SE 1	S 0	W 1	7	1	10	2.0		✳
4	3.0	2.4	2.4	2.6	4.1	612.5	613.2	613.8	80	100	76	W 2	W 2	W 3	7	8	5	7.0		✳
5	0.6	0.8	0.4	0.6	2.0	614.5	615.3	615.8	85	100	80	W 3	W 3	W 4	5	10≡	10	0.8	≡ p zeitw.	✳
6	0.0	2.4	1.5	1.3	2.6	615.5	616.2	616.7	97	82	80	W 2	SW 2	NE 1	5	6	8	.		✳
7	5.0	8.2	6.5	6.6	7.8	615.7	616.0	616.0	24	23	25	SSW 1	SW 0	SW 1	5	8	10	.		✳
8	7.0	6.4	3.5	5.6	6.7	614.7	613.8	613.3	56	54	90	SE 0	SE 2	SE 1	9	10	10	.		✳
9	4.0	5.5	2.5	4.0	4.9	613.1	613.3	613.7	94	82	100	W 0	W 0	W 3	7	10	10	24.0	● ⊼ 17–17½	✳
10	0.4	0.4	0.0	0.3	1.1	615.0	616.4	616.2	100	62	55	E 0	W 0	E 1	10*≡	10	1	6.1	✳ ≡ I	✳
11	−0.8	4.2	1.8	1.7	2.4	614.9	615.5	615.3	70	32	78	E 2	SE 1	SE 1	0	2	1	.		✳
12	2.0	6.6	3.8	4.1	4.7	614.4	614.3	613.3	58	55	64	SW 1	S 0	S 1	0	4	4	.		✳
13	4.0	6.8	4.2	5.0	5.5	612.6	612.5	613.5	65	45	50	S 2	E 1	W 0	5	6	5	.		✳
14	3.2	7.8	5.6	5.5	5.8	612.8	612.8	611.6	75	38	36	SE 2	S 1	S 3	0	3	8	.		✳
15	4.2	7.6	5.2	5.7	5.9	610.7	611.1	610.2	60	45	48	S 3	S 3	S 3	10	10	10	.		✳
16	5.8	9.2	4.0	6.3	6.4	608.4	608.3	608.6	48	55	90	S 3	W 0	S 3	5	8	7	.		✳
17	5.2	8.0	5.0	6.1	6.1	606.5	**605.8**	607.2	52	40	48	S 3	S 3	S 0	9	8	6	.		
18	2.6	5.8	2.6	3.7	3.5	609.1	611.1	612.3	100	85	100	W 1	NE 0	SE 0	10≡	10	10≡	**32.5**	≡ 7-n zeitw.	
19	0.2	5.8	1.3	2.4	2.1	614.9	616.2	617.3	100	60	100	W 0	SE 0	E 0	10≡	10	8	.	≡ I	
20	2.0	2.4	−0.8	1.2	0.8	616.6	615.7	615.6	88	100	100	SW 1	S 0	W 1	10	10≡	10	7.1	△ 15⅝–16¼, ≡ II	
21	0.6	3.0	0.8	1.5	0.9	617.3	619.2	620.8	100	75	100	W 0	W 0	W 0	10≡	10	10	.	≡ I	
22	0.8	6.2	2.4	3.1	2.4	621.5	622.5	622.7	84	87	84	NE 0	E 0	E 0	10	5	5	.		
23	8.2	**10.5**	7.2	8.6	7.8	621.4	623.1	**623.6**	8	18	14	E 1	E 1	E 1	5	4	3	.		
24	8.5	10.4	8.0	9.0	8.0	622.4	622.2	620.1	11	48	40	E 1	W 0	E 0	2	1	1	.		
25	1.2	−2.2	−2.2	−1.1	2.2	615.9	616.8	616.4	100	80	100	W 1	W 1	W 1	10≡	10	8	26.1	✳ 13¼–15½, ⊼ a, ≡ I	
26	−4.0	−3.0	−3.0	−3.3	−4.5	615.9	616.5	617.7	100	100	100	ESE 2	E 2	SE 3	10≡	10≡	10≡	9.2	✳ n-n zeitw., ≡ n-n	✳
27	−3.6	−1.2	−1.8	−2.2	−3.6	617.6	618.1	618.0	100	100	85	E 2	E 1	SE 0	10≡	10≡	6	.	≡ n-14	✳
28	−1.9	−1.5	−0.2	−1.2	2.7	616.0	616.0	616.1	79	81	100	E 2	SW 1	W 0	3	3	10≡	1.6	≡ III	
29	−4.2	−3.4	−4.0	−3.9	−5.6	615.8	616.5	617.4	100	100	85	N 1	NW 1	NW 1	10≡	10	10	.	≡ I	
30	−3.4	−0.3	1.0	−0.9	−2.7	617.1	617.1	617.6	56	95	77	W 1	W 2	W 3	10	10	10	0.3		
																		Summe		
Mittel	1.4	3.7	1.9	2.3	—	614.6	615.0	615.3	73	68	74				7.1	7.2	7.2	116.7		

April 1944.
Beobachter: *P. Nogler.*

Bevers

$\lambda = 9° 53'$, $\beta = 46° 33'$,
H_b = ca. 1710 m, G = −0.23 mm.

Tag	Lufttemperatur					Luftdruck			Relative Feuchtigkeit			Windrichtung und Stärke			Bewölkung			Niederschlag	Witterung
	7^{30}	13^{30}	21^{30}	Mittel	Abweich. vom Normalst	7^{30}	13^{30}	21^{30}	7^{30}	13^{30}	21^{30}	7^{30}	13^{30}	21^{30}	7^{30}	13^{30}	21^{30}		
1	−6.0	−3.0	−9.2	−6.1	−4 5	617.6	619.8	620.7	85	41	52	E 1	W 1	NW 1	10*	3	0	0.4	✳ n–11
2	**−10.8**	4.0	−3.4	−3.4	−1.9	620.1	619.1	619.5	70	44	76	W 1	W 2	N 1	8	3	3	.	
3	−2.0	5.0	0.4	1.1	2.4	618.7	618.7	618.6	71	31	75	W 1	W 2	NW 1	6	2	10	.	
4	−0.2	9.4	1.0	3.4	4.6	619.2	619.7	620.6	87	32	95	S 1	W 2	W 1	10	6	8	.	
5	2.4	9.0	1.0	4.1	5.1	620.4	621.4	621.8	83	34	96	E 2	W 2–3	W 1	7	7	10	0.2	✳° △ $15^1/_2$–$16^1/_8$
6	−0.4	9.6	−0.8	2.8	3.7	621.6	622.2	622.8	78	31	73	S 0	W 2	W 1	4	0	0	.	
7	−2.8	10.0	4.0	3.7	4.4	623.6	623.4	623.4	77	41	90	W 1	W 2	S 1	3	8	10	.	
8	3.0	9.7	2.0	4.9	5.5	622.4	621.7	621.1	92	31	100	S 0	W 2	W 1	10	10	10	0.2	●° 14–16, 19–n
9	2.5	6.7	2.6	3.9	4.3	619.5	620.0	620.5	97	64	100	S 0	W 2	W 1	10	8	10	.	
10	3.0	9.0	3.4	5.1	5.4	620.4	621.1	621.6	88	62	70	SSW 0	SW 1–2	W 1	10	9	5	.	
11	0.0	12.0	0.2	4.1	4.2	621.4	621.3	621.4	83	32	60	SW 1	E 2	S 1	0	0	0	.	
12	−2.6	10.0	2.0	3.1	3.0	622.6	622.2	621.8	80	42	90	W 1	SW 2	S 1	2	3	0	.	
13	2.6	9.2	2.0	4.6	4.4	619.4	619.5	619.9	87	31	84	S 1	S 2–3	W 1	8	10	2	.	
14	0.0	10.2	4.2	4.8	4.4	620.1	619.2	619.6	94	40	70	W 1	S 2–3	W 1	0	4	0	.	
15	5.0	10.0	4.4	6.5	5.9	619.4	619.0	619.2	75	51	78	E 1	S 3–4	SW 1	10	10	10	.	
16	3.5	10.5	5.2	6.4	5.7	617.8	617.8	617.4	90	61	87	S 1	W 2–3	W 1	10	10	10	.	●° n (16./17.)
17	5.0	10.0	3.8	6.3	5.4	**615.2**	615.6	615.8	95	49	96	SW 1	S 2	W 1	10	10	10	**1.8**	● 13–14
18	3.0	9.0	0.0	4.0	2.9	615.4	617.6	618.7	90	81	94	S 1	W 2	W 0	6	10	10	.	● ▲sch. 13^{50}–14^{20}
19	3.0	9.1	1.6	4.6	3.3	619.9	622.1	623.3	88	61	84	S 1	SW 2	W 1	10	8	2	.	
20	−2.0	8.2	4.8	3.7	2.3	621.9	621.5	620.9	88	49	89	W 2	SW 2	W 1	10	10	10	**1.8**	●°sch. 16–19
21	3.2	9.0	0.0	4.1	2.5	623.8	625.0	626.2	98	64	88	S 1	SW 2–3	E 1	10	8	0	0.0	●° n–8
22	−0.9	12.4	3.0	4.8	3.0	627.1	627.6	629.8	87	32	65	SW 1	SW 2–3	W 1	2	10	0	.	
23	−0.2	**13.1**	4.2	5.7	3.7	**630.0**	628.6	629.8	83	**19**	39	S 1	S 2	SW 1	10	0	0	.	
24	0.2	8.4	6.0	4.9	2.7	629.6	627.6	625.5	73	32	53	S 0	S 1–2	SW 1	0	0	0	.	
25	2.0	4.0	0.6	2.2	−0.1	620.9	620.7	620.3	80	45	70	E 1	SW 2–3	NW 2	10	10	10	0.5	● ✳ △ $9^8/_4$–11
26	−2.2	5.2	0.8	1.3	−1.2	620.1	620.5	622.3	62	40	59	W 1–2	E 3	N 2	8	4	6	0.2	✳°sch. 10–16 zeitw.
27	0.8	10.0	1.3	4.0	1.3	623.7	623.4	623.1	68	31	63	NE 2	NW 2–3	NE 1	6	4	3	.	
28	0.0	9.5	1.8	3.8	0.9	621.1	620.7	620.1	83	34	90	S 1	SW 2–3	S 1	3	8	10	0.2	✳sch. $20^1/_2$–n zeitw.
29	1.6	4.5	−0.8	1.8	−1.3	619.4	621.0	622.0	80	34	50	NE 1	N 2–3	NE 2	10*	6	4	.	✳°sch. n–$12^1/_2$
30	1.0	4.2	2.6	2.6	−0.7	621.9	622.1	622.4	60	31	89	E 1	NE 2	N 2	10*	10*	10*	0.2	✳° n–n
																		Summe	
Mittel	0.4	8.3	1.6	3.4	—	621.1	621.3	621.7	82	42	77				7.1	6.4	5.4	5.5	

April 1944.
Beobachter: *Kapuzinerkloster.*

Sitten

$\lambda = 7° 21'$, $\beta = 46° 14'$,
H_b = 548.6 m, G = −0.11 mm.

1	**2.4**	10.1	6.5	6.3	−1.6	716.7	714.4	715.6	64	33	45	WSW 1	WSW 2	W 1	0	4	9	0.0	●° n (1./2.)
2	4.4	13.9	10.0	9.4	1.3	715.2	712.3	710.7	57	39	58	NE 1	W 1	W 0	5	2	10	.	
3	7.9	18.3	13.4	13.2	5.0	711.0	708.2	710.5	57	32	43	NE 1	NE 0	NE 1	9	3	10●	3.1	● $21^1/_2$–n
4	8.7	16.8	9 8	11.8	3.4	713.8	712.5	715.2	96	50	85	NE 1	SW 1	E 0	10●	7	7	**3.6**	● n–$7^3/_4$, ●° $16^1/_4$–$18^1/_2$ m.U.
5	8.4	17.0	11.3	12.2	3.7	716.5	715.3	717.3	98	41	55	W 0	W 1	W 0	3	7	6	0.0	● n–$5^3/_4$, ●tr. 19
6	6.9	17.1	11.0	11.7	3.0	717.2	715.6	716.0	70	37	43	NE 1	WSW 1	NE 3	0	3	0	.	
7	6.0	20.8	13.4	13.4	4.6	716.8	713.8	716.1	63	**31**	54	NE 1	E 1	E 1	4	6	10	.	
8	11.0	16.4	12.1	13.2	4.2	714.1	712.9	712.8	68	55	71	E 1	WSW 1	ENE 0	10	10	7	0.2	●° $10^3/_4$
9	8.3	17.8	13.5	13.2	4.1	712.8	711.7	713.8	75	46	65	NE 1	WSW 1	W 1	10	8	7	.	
10	10.5	15.4	9.9	11.9	2.6	715.4	715.3	715.8	81	53	60	W 1	SW 2	NE 1	10	4	2	0.4	● $8^1/_4$–9, $12^1/_4$
11	6.6	17.4	11.1	11.7	2.3	716.2	713.8	714.8	75	39	47	NE 1	WSW 1	NE 1	0	1	0	.	
12	6.8	18.4	13.1	12.8	3.2	715.2	712.5	711.8	66	33	45	NE 1	NE 1	NE 2	1	2	0	.	≮ 21
13	11.4	20.1	13.1	14.9	5.2	712.1	710.3	712.7	63	34	51	NE 1	SW 1	W 1	5	3	0	.	
14	8.5	19.8	15.9	14.7	4.8	713.3	710.1	710.7	70	35	41	NE 0	NE 1	NE 3	0	7	0	.	
15	12.4	18.0	15.5	15.3	5.3	710.6	709.3	708.8	53	41	44	NE 1	NE 5	E 3	10	7	10	.	⸗ p
16	14.2	18.9	13.2	15.4	5.2	707.4	706.1	706.5	51	39	56	SW 1	ENE 5	W 1	10	9	1	.	⸗ p
17	14.2	19.0	11.4	14.9	4.6	704.4	**701.4**	705.9	52	37	73	ENE 2	NE 5	NNE 3	8	4	10	0.3	●° a, ●tr. 20, ● 21–n,
18	8.6	17.8	11.8	12.7	2.2	708.7	708.6	711.8	80	46	60	NE 1	WSW 2	W 1	2	6	0	.	[⸗ a, p
19	10.6	17.8	11.6	13.3	2.7	715.4	714.7	717.0	86	47	68	N 1	SW 3	W 1	8	4	1	.	≮ (21)
20	10.2	15.0	11.2	12.1	1.3	717.3	714.8	715.8	78	58	63	NNE 1	W 2	W 1	10	9	10	.	●tr. p
21	9.8	16.6	12.6	13.0	2.1	719.1	718.6	721.3	78	45	59	W 1	W 1	WSW 1	9	6	0	.	
22	6.8	18.4	12.6	12.6	1.5	723.5	721.2	721.7	83	47	54	NE 1	W 1	NE 2	2	7	0	.	
23	9.3	**21.6**	14.8	15.2	4.0	**723.9**	721.4	722.2	61	35	49	NE 1	W 1	NW 1	0	0	0	.	
24	10.6	21.5	15.4	15.8	4.4	723.2	721.0	717.8	53	34	41	NE 1	W 1	NE 1	1	1	0	.	
25	11.4	14.5	7.8	11.2	−0.3	715.3	716.3	717.3	63	55	88	NE 1	NE 2	N 0	10	6	10	1.1	●tr. a, ● $12^3/_4$–$13^1/_4$, $19^1/_2$– [$20^1/_2$
26	8.8	14.9	8.4	10.7	−1.0	715.8	714.9	717.6	72	37	53	W 0	NW 2	W 0	4	4	0	.	
27	5.8	17.2	11.2	11.4	−0.4	718.8	715.0	716.8	71	38	46	NE 1	W 2	W 3	0	0	3	.	⸗ p
28	6.8	17.1	14.8	12.9	0.9	717.6	714.3	714.6	72	44	39	NE 1	W 1	N 1	0	0	5	.	
29	10.0	17.1	9.7	12.3	0.2	716.0	715.1	717.6	68	33	47	W 1	NE 2	W 1	1	2	0	.	
30	7.7	19.2	12.8	13.2	0.9	719.3	716.1	719.2	56	39	49	W 1	SW 3	W 2	3	4	3	.	
																		Summe	
Mittel	8.8	17.5	12.0	12.8	—	715.4	713.6	714.9	69	41	55				4.8	4.5	4.0	8.7	

$\lambda = 8° 57'$, $\beta = 46° 0'$,
$H_b = 276.2$ m, $G = -0.01$ mm.

Lugano

April 1944.
Beobachter: *G. Vicari.*

Tag	Lufttemperatur 7³⁰	13³⁰	21³⁰	Mittel	Abweich. vom Normalst	Luftdruck 7³⁰	13³⁰	21³⁰	Relative Feuchtigkeit 7³⁰	13³⁰	21³⁰	Windrichtung und Stärke 7³⁰	13³⁰	21³⁰	Bewölkung 7³⁰	13³⁰	21³⁰	Niederschlag	Witterung
1	7.0	14.4	8.6	10.0	0.9	736.7	736.7	738.9	25	14	16	NNE 2	NNE 2	N 1	0	0	0	.	
2	3.2	16.2	7.8	9.1	−0.2	740.5	739.0	739.1	37	24	35	NW 1	S 1	NNE 1	0	0	8	.	
3	4.2	10.6	7.6	7.5	−1.9	739.2	737.6	737.6	64	47	66	NW 0	ESE 1	N 1	2	10	8	.	
4	6.2	18.2	11.4	11.9	2.3	738.0	736.9	738.5	71	33	72	NNE 1	ESE 1	E 1	10	1	5	.	
5	7.6	18.6	13.4	13.2	3.5	739.1	737.1	738.0	88	41	30	NE 1	S 1	NE 1	0	1	0	.	●°sch. p
6	6.8	20.2	12.4	13.1	3.3	739.1	737.7	738.3	54	28	37	NNE 1	S 1	N 1	0	0	0	.	
7	9.0	17.8	12.0	12.8	2.8	741.6	740.6	741.3	56	48	64	SE 0	S 1	NNE 1	2	9	10	.	●°sch. abds.
8	10.6	12.2	10.8	11.2	1.1	740.2	740.8	739.3	75	82	97	N 0	W 0	WSW 1	10	10●	10	7.7	●° 11–n
9	10.0	10.8	10.2	10.3	0.1	738.6	738.7	738.8	95	92	70	W 1	SE 0	N 1	10	10	8	2.8	●° n–11
10	7.8	18.4	15.2	13.8	3.4	737.7	736.3	737.0	84	47	43	N 1	S 1	SE 0	8	10	5	.	
11	8.8	18.4	12.6	13.3	2.8	738.5	737.6	738.1	57	41	67	N 1	S 1	NNE 1	1	2	6	.	
12	10.2	12.8	12.0	11.7	1.1	739.8	739.0	737.3	86	74	75	S 0	SW 1	S 1	10	10●	8	10.5	● 13–13½, K● n
13	9.8	14.2	11.0	11.7	0.9	737.6	736.7	737.0	92	56	66	SE 1	S 0	N 1	9	8	0	2.9	● a zeitw.
14	8.2	20.4	14.4	14.3	3.4	737.9	736.8	736.5	77	36	67	N 0	S 1	ENE 1	1	5	10	.	
15	12.2	16.0	13.8	14.0	3.0	737.5	737.4	737.0	78	49	66	NNE 1	S 0	S 1	10	10	10	.	
16	11.4	14.8	12.2	12.8	1.6	735.9	735.4	734.5	73	58	77	SE 0	NNW 0	W 0	10	10	10●	5.9	●°sch. a. ● n
17	10.8	12.6	10.2	11.2	−0.1	732.7	**731.3**	732.1	94	64	99	NNW 1	WNW 1	NNE 1	10	10	10●	19.8	●° 8–13½, 17–n m.U.
18	10.0	15.6	11.4	12.3	0.9	733.8	734.3	735.0	88	49	68	NE 1	ESE 1	N 1	6	9	4	.	
19	8.0	18.4	12.4	12.9	1.3	737.1	738.5	741.3	88	48	85	NE 1	S 1	SSE 1	8	5	5	1.3	● 18¼–18½, ●° n
20	11.4	13.2	11.4	12.0	0.3	741.3	739.8	738.5	96	72	90	E 0	WSW 2	NNE 1	10	10	10	4.4	● 13½–15
21	10.2	20.4	13.4	14.7	2.9	740.3	739.8	743.2	77	41	46	NNW 0	S 1	NE 1	8	1	0	.	
22	10.0	22.4	17.8	16.7	4.7	744.3	742.6	744.0	56	28	24	N 1	S 1	S 1	1	9	0	.	
23	10.6	22.4	16.4	16.5	4.4	**748.1**	745.9	746.2	63	35	50	N 1	S 1	NNE 1	9	7	0	.	
24	11.0	**23.8**	16.8	17.2	5.0	746.9	744.0	741.7	68	31	47	E 0	SSE 1	NNE 1	0	0	0	.	
25	11.8	20.0	13.8	15.2	2.8	736.5	734.2	735.0	75	24	28	SE 0	NE 3	ENE 2	10	10	1	.	
26	13.2	20.2	14.0	15.8	3.3	735.4	736.0	739.9	26	21	30	N 2	N 3	NNE 2	5	2	0	.	
27	9.2	19.6	11.8	13.5	0.9	741.0	739.0	740.7	47	35	51	N 1	S 1	N 1	5	0	0	.	
28	8.2	18.4	12.8	13.1	0.3	739.8	736.9	736.4	65	38	54	NE 0	SW 1	S 1	0	2	6	.	
29	10.0	19.8	12.2	14.0	1.1	735.7	735.0	738.5	64	19	37	N 1	ENE 3	ENE 2	9	0	0	.	
30	7.6	21.2	16.2	15.0	1.9	739.0	736.8	737.8	53	22	29	W 0	ENE 3	NNE 2	0	1	0	.	
Mittel	9.2	17.4	12.5	13.0	—	739.0	737.9	738.6	69	43	56				5.5	5.4	4.5	Summe 55.3	

$\lambda = 7° 35'$, $\beta = 47° 33'$,
$H_b = 318$ m, $G = 0.11$ mm.

Basel

April 1944.
Beobachter: *Astronom.-Meteorol. Anstalt.*

Tag	Lufttemperatur 7³⁰	13³⁰	21³⁰	Mittel	Abweich. vom Normalst	Luftdruck 7³⁰	13³⁰	21³⁰	Relative Feuchtigkeit 7³⁰	13³⁰	21³⁰	Windrichtung und Stärke 7³⁰	13³⁰	21³⁰	Bewölkung 7³⁰	13³⁰	21³⁰	Niederschlag	Witterung
1	−0.2	8.2	3.4	3.8	−2.7	737.8	737.3	737.4	90	39	68	W 0	NNE 1	ESE 1	2	0	5	.	⌴ I, Ψ III,
2	2.5	12.5	8.8	7.9	1.3	735.8	733.4	730.4	61	32	50	ESE 2	E 1	E 1	8	2	3	.	Ψ 20⅝
3	6.0	17.1	15.2	12.8	6.1	729.4	728.0	727.9	59	45	60	E 1	E 1	S 1	10	5	10	0.3	● 20⅝
4	12.6	18.0	10.8	13.8	6.9	731.6	732.1	734.2	70	48	89	WSW 1	W 2	SW 2	6	5	10●	6.2	●° 12–13, ●K 20⅝–21¾, ⌒ 18¼
5	9.9	13.5	10.4	11.3	4.3	734.9	735.8	736.3	86	61	80	SW 1	WSW 2	SW 1	9	10	10	0.5	● 2½, 6¼–7¼, 15, 20⅝
6	10.1	17.0	9.4	12.2	5.0	737.0	736.5	737.0	73	41	83	W 1	WNW 1	WSW 1	8	7	0	.	
7	5.0	12.8	10.0	9.3	2.0	736.2	734.9	734.6	95	66	84	SSW 0	NNW 1	S 0	10≡	10	10	0.1	≡ 4½–9½, ⌓ I, ⊕ 11½, 15
8	8.1	12.8	10.2	10.4	3.0	733.9	732.4	732.2	92	77	97	NW 1	WNW 1	SSE 0	10	10	10●	12.5	● 3½, 14⅝–23¼ m.U.
9	10.1	14.0	11.8	12.0	4.4	731.7	732.3	734.4	98	77	80	E 1	WNW 1	WNW 1	10	10	10	7.5	● 0¼–6⅝ zeitw., 13½–13⅝,
10	9.0	15.1	8.2	10.8	3.1	736.9	737.2	736.8	78	47	70	SW 1	NE 1	NNW 0	10	5	0	.	● n–5⅝ [22⅝–n
11	6.2	16.7	10.2	11.0	3.1	736.8	735.4	734.8	78	46	73	ENE 1	NNW 1	ESE 1	0	6	0	.	
12	6.6	18.9	11.4	12.3	4.3	734.2	732.6	731.3	74	33	60	ESE 1	N 1	ESE 1	0	7	0	.	⊕ 11
13	7.6	20.2	12.2	13.3	5.2	731.6	731.3	732.5	76	35	76	E 1	W 1	SW 2	10	0	10●	0.5	● 20½–21⅝
14	8.9	21.5	12.4	14.3	6.0	732.6	729.9	728.8	84	41	68	ESE 1	ESE 1	S 0	0	5	1	.	⊕ 17
15	10.7	21.0	13.3	15.0	6.6	729.1	727.8	727.0	76	41	72	E 1	ESE 1	SE 1	10	10	10	.	
16	12.4	18.2	12.0	14.2	5.6	725.5	725.5	726.7	66	54	89	ESE 0	W 1	NNW 1	10	10	10	0.4	● 8½–9, ●° 14–15½ m.U., 16½–
17	9.4	14.8	12.5	12.2	3.5	724.9	**723.1**	724.0	92	72	73	ENE 0	NNE 1	WSW 1	10	10	10	1.5	● 23⅝–n [16⅜
18	10.2	14.8	9.3	11.4	2.5	728.3	730.6	733.4	93	72	88	WNW 1	NNW 1	WNW 1	10	9	10	.	● n–1⅜, 5⅝
19	9.1	13.2	9.1	10.5	1.5	736.3	737.3	738.1	91	72	92	WNW 0	NNW 1	WSW 1	10	10	10	.	
20	9.6	14.7	10.2	11.5	2.4	737.3	736.2	737.2	91	61	73	ESE 0	WNW 1	W 1	10	10	10	0.0	● 7–7¼
21	8.7	12.2	7.0	9.3	0.0	740.1	741.3	743.4	86	68	91	SSW 0	W 1	S 1	10	10	0	.	
22	5.4	17.6	10.5	11.2	1.8	744.2	743.7	**744.8**	89	49	84	ESE 1	WNW 1	W 1	10	9	0	.	⌓ I, ⊕ a
23	7.9	19.9	9.6	12.5	2.9	744.2	743.6	743.4	86	43	67	SSE 0	WNW 1	S 1	2	6	0	.	⌓ I
24	10.4	**24.2**	15.2	16.6	6.9	742.6	740.5	737.4	62	**26**	43	ESE 1	WNW 1	SW 1	0	0	0	0.4	
25	9.9	13.5	8.8	10.7	0.9	738.3	738.9	739.8	71	50	63	NNW 1	NNW 1	NNW 1	10	9	10	.	● 6–7¼
26	6.3	9.0	6.0	7.1	−2.9	740.7	741.1	743.1	74	58	76	N 2	NNE 2	NNW 1	8	9	0		
27	4.2	15.6	8.8	9.5	−0.6	742.5	740.7	739.9	84	39	68	WNW 1	ESE 1	NNE 0	1	7	0	.	⌓ I
28	6.4	19.5	10.1	12.0	1.7	738.6	736.6	738.1	71	45	71	E 1	NW 0	W 1	0	6	10	.	
29	6.6	11.9	3.3	7.3	−3.1	740.0	740.3	741.0	70	44	83	NNW 1	NNW 1	S 1	7	6	0		
30	5.8	12.5	13.0	10.4	−0.1	741.2	740.7	738.7	82	62	57	SW 1	WSW 1	WSW 1	10	10	7	0.0	●° 7¼, 9, 10⅝–11¼
Mittel	7.8	15.7	10.1	11.2	—	735.8	735.2	735.5	80	52	74				7.0	7.1	5.5	Summe 29.9	

April 1944.
Beobachter: *Observatorium.*

Säntis

$\lambda = 9° 20'$, $\beta = 47° 15'$,
$H_b = 2500.1$ m, $G = -0.27$ mm.

Tag	Lufttemperatur 7³⁰	13³⁰	21³⁰	Mittel	Abweich. vom Normalst	Luftdruck 7³⁰	13³⁰	21³⁰	Relative Feuchtigkeit 7³⁰	13³⁰	21³⁰	Windrichtung und Stärke 7³⁰	13³⁰	21³⁰	Bewölkung 7³⁰	13³⁰	21³⁰	Niederschlag	Witterung
1	-14.2	-11.2	-13.3	-12.9	-6.5	557.4	558.5	559 9	92	85	33	W 2	WSW 2	W 3	10≡*	4	10	0.9	✳ 6⁹/₄–12, ≡ n-p ztw., ⋁ l
2	-8.6	-3.0	-2.8	-4.8	1.5	559.6	559.8	559.4	86	88	44	W 3	W 3	W 4	10	10≡	3	.	≡ 9¹/₂–16¹/₄
3	-0.8	0.8	0.1	0.0	6.2	558.9	558.8	559.1	42	34	70	W 2	SSE 2	W 3	7	2	10	3.5	
4	-2.6	-1.0	-3.1	-2.2	4.0	560.3	561.0	561.9	94	96	98	W 2	W 3	WSW 3	10≡	10≡	10≡	23.0	✳ n-n zeitw., ≡ n-n
5	-4.2	-3.6	-4.3	-4.0	2.1	560.7	561.4	562.6	100	100	100	W 3	W 4	W 3	10≡	10≡	10≡	**29.6**	✳ n-n ztw., ≡ n-n, ⋁ (16¹/₂)
6	-4.4	-4.3	-4.2	-4.3	1.7	562.2	563.1	564.0	98	92	92	W 3	W 3	W 2	10≡	10≡	6	.	≡ n-20¹/₂, ⋁ l
7	-3.6	-0.2	-0.7	-1.5	4.4	563.7	564.0	564.4	32	52	45	W 3	W 2	W 3	6	10	10	.	⊕ 10¹/₂
8	0.2	4.0	-1.2	1.0	6.9	563.6	562.9	561.2	86	47	92	WSW 2	S 2	SW 2	10	10	8	0.2	✳ 18–18⁵/₄
9	0.0	0.8	-1.4	-0.2	5.6	560.7	561.4	562.3	80	88	100	SW 2	SW 2	W 1	4	10*	10≡	21.5	✳ ≡ 10⁵/₄-n zeitw.
10	-2.8	-3.4	-6.4	-4.2	1.5	562.4	563.2	563.5	100	97	96	W 2	WSW 2	NE 1	10≡*	10≡	1	12.1	✳ n–10¹/₄, ≡ n–15¹/₂
11	-2.7	-1.6	-3.4	-2.6	3.0	562.4	563.2	563.1	9	16	24	NNE 2	ENE 2	SW 1	1	1	1	.	
12	-1.2	0.0	-2.4	-1.2	4.3	561.9	562.3	561.6	54	53	81	WSW 2	SW 2	SSW 2	1	8	3	.	
13	0.4	0.2	-1.9	-0.4	5.0	561.0	561.2	561.8	62	70	92	E 1	E 1	SSW 1	8	4	1	.	
14	-0.4	1.2	0.6	0.5	5.8	561.2	561.0	560.5	84	54	41	E 2	SW 2	SE 2	2	3	5	.	
15	-0.2	3.4	-0.8	0.8	6.0	559.9	560.2	559.0	75	54	71	S 3	S 2	SSW 3	10	10	10	.	
16	0.6	3.0	0.6	1.4	6.4	558.0	557.7	557.7	78	62	82	SSW 3	SSW 3	SW 4	9	10	7	.	
17	1.2	3.2	0.4	1.7	6.6	555 8	**555.6**	555.7	88	55	82	S 3	SW 3	SE 2	9	10	6	.	
18	0.6	2.6	-2.4	0.3	5.1	557.4	559.4	560.8	70	73	100	SW 2	SW 1	NNE 2	2	10	10≡*	22.4	✳△sch. 13¹/₄-n ztw., ≡ 15-n,
19	-3.1	-1.6	-3.1	-2.6	2.0	562.2	563.9	564.8	100	94	84	NW 2	WSW 1	W 1	10≡	10	1	.	≡ n–12, p ztw. [⋉ abds.
20	-3.1	0.2	-3.2	-2.0	2.5	563.8	563.3	563.3	96	79	100	WNW 2	W 2	NNW 2	10	10≡	10≡*	6.9	✳° 15¹/₂-n m.U., ≡ 9¹/₂-n m.U.
21	-3.6	-1.3	-3.8	-2.9	1.4	564.7	566.2	568.2	100	88	100	WNW 1	WNW 0	NW 2	10≡*	10≡	3	4.6	✳ 6⁹/₄–12, 18¹/₄, ≡ n-21 m.U.
22	-3.4	-0.3	-3.6	-2.4	1.8	568.3	569.5	570.3	92	98	98	NW 2	N 2	ENE 2	6	10≡	3	.	✳° 10, ≡ 10–21 m.U.
23	3.3	3.8	1.3	2.8	6.8	570.7	571.5	**571.8**	7	4	6	NE 2	N 1	N 2	7	3	0	.	
24	6.3	4.8	1.2	4.1	7.9	570.7	570.5	567.6	21	28	44	N 0	WSW 1	W 3	2	1	1	1.6	[⋉ 17¹/₄
25	-3.0	-5.3	-7.4	-5.2	-1.5	562.9	563.4	562.7	100	100	100	NW 3	N 2	N 3	10≡*	10≡	10≡*	21.4	✳△sch. 6¹/₄-n ztw., ≡ n-n,
26	-8.8	-7.4	-7.0	-7.7	-4.2	562.2	563.5	564.8	94	88	96	NE 2	NE 3	NE 3	10≡*	10≡*	10≡*	2.9	✳ n-n m.U., ≡ n-n
27	-8.2	-5.6	-6.8	-6.9	-3.6	564.2	565.1	564.6	91	98	98	NE 4	NE 2	NNE 0	3	10≡	10≡	.	≡ 7–7¹/₂, 12⁵/₄-n
28	-3.7	-2.3	-4.7	-3.6	-0.5	562.8	562.9	562.7	64	90	100	NNW 2	NW 2	NW 1	2	10≡	10≡	1.6	✳ 18–19¹/₂, ≡ 13–n
29	-8.8	-7.8	-9.7	-8.8	-5.9	561.6	562.4	563.4	100	96	95	N 3	WNW 3	NW 3	10≡	10≡*	10≡	11.3	✳ 8¹/₂–20¹/₂ m.U., ≡ n-n
30	-8.7	-5.0	-4.2	-5.9	-3.2	563.1	564.1	564.7	96	97	98	WSW 2	W 2	W 3	10≡*	10≡*	10≡*	10.6	✳ ≡ n-n, ⋁ ll
Mittel	-2.9	-1.2	-3.3	-2.5	—	562.1	562.7	562.9	76	73	79				7.2	8.2	6.6	Summe 174.1	

April 1944.
Beobachter: Frl. *F. Lombardi.*

St. Gotthard (Hospiz)

$\lambda = 8° 34'$, $\beta = 46° 33'$,
$H_b = 2095.7$ m, $G = -0.25$ mm.

1	-10.6	-7.7	-9.4	-9.2	-4.6	587.6	588.5	589.8	100	81	80	N 2	N 2	N 2	8	0	5	.	
2	-4.2	-0.8	-4.6	-3.2	1.3	590.0	591.5	590.1	21	20	29	S 0	S 0	S 0	5	0	5	.	
3	-4.8	0.2	-4.0	-2.9	1.6	589.1	588.9	589.4	47	32	84	S 0	S 0	S 2	0	0	10	.	≡ 18¹/₄–19
4	-3.0	4.8	-1.4	0.1	4.5	589.8	590.5	591.7	81	42	80	W 0	NW 0	NW 1	5	0	5	2.8	✳° 17–18¹/₄, ≡ 16⁵/₄–19⁵/₄
5	-1.8	-0.8	-1.0	-1.2	3.1	591.7	591.9	592.2	74	85	55	NW 0	NE 1	N 1	5	5	0	0.4	✳° 15¹/₄–16⁵/₄
6	-0.5	0.5	-2.0	-0.7	3.5	592.5	593.9	594.6	55	60	60	N 1	N 1	N 1	0	0	0	.	
7	2.0	3.8	0.8	2.2	6.3	593.5	594.3	594.8	28	21	100	S 1	S 2	S 0	2	8	10≡●	2.3	●° 21¹/₄-n, ≡ 20¹/₂-n
8	1.2	0.8	-1.4	0.2	4.2	593.2	592.8	591.8	100	100	100	S 0	S 1	SE 1	10≡	10≡●	10≡	8.0	● 11¹/₄-14¹/₄, ✳° p-n, ≡ n-n
9	-0.8	1.0	0.0	0.1	3.9	590.7	591.4	591.6	100	100	78	S 0	S 0	S 0	10≡	10≡	10	2.5	●° zeitw., ≡ n-17¹/₄
10	-1.2	-1.0	-2.0	-1.4	2.2	591.6	592.3	592.8	100	100	100	N 1	N 1	N 1	10≡	10≡	10≡	0.8	✳ 14–16¹/₄, ≡ n-22
11	-5.2	1.4	-3.4	-2.4	1.1	591.6	592.1	592.4	78	16	40	N 1	N 1	N 1	0	0	0	.	
12	-2.2	3.0	-0.8	0.0	3.3	591.9	592.1	591.2	45	40	80	NW 0	S 1	S 0	4	8	10≡	8.0	≡ 17-n
13	-1.2	1.8	0.0	0.2	3.3	590.5	590.6	590.9	100	55	57	S 0	S 0	S 0	10≡	8	0	.	≡ n-9¹/₄
14	0.0	2.5	0.0	0.8	3.7	590.7	590.8	590.9	56	37	56	S 0	S 1	S 1	6	10	8	1.8	
15	-0.2	0.5	-0.8	-0.2	2.5	590.1	590.6	589.8	100	100	100	S 1	S 1	SE 2	10≡*●	10≡*●	10≡*●	10.2	● ✳ ≡ n-n
16	-0.6	-0.5	0.6	-0.2	2.3	588.5	588.2	587.9	100	100	100	S 1	S 2	S 2	10≡	10≡*	10≡*	**78.9**	✳ 8⁵/₄-n, ≡ n-n
17	-1.4	0.8	-1.0	-0.5	1.8	586.6	**584.8**	585.1	100	100	100	S 2	SE 3	S 2	10≡*	10≡	10≡*	28.0	✳ n-9⁵/₄, ✳● s-n ztw., ≡ n-n
18	-1.0	3.0	0.8	1.1	3.2	587.3	588.6	589.8	100	73	100	S 0	S 0	S 0	10≡	5	10≡	1.0	≡ n–10¹/₄, 19¹/₄–n
19	-1.2	1.8	0.0	0.2	2.1	591.4	593.1	594.4	100	80	90	N 1	N 1	N 1	10≡	5	5	.	≡ n-9¹/₂
20	2.2	4.8	-2.0	1.7	3.4	592.4	592.5	592.2	50	32	100	W 0	SW 0	NW 2	5	10	10≡	2.1	≡ 20-n, ⊹ abds.
21	-1.0	0.4	-1.2	-0.6	0.9	594.4	595.3	597.5	56	37	56	N 0	N 1	N 1	10≡	8	5	.	≡ n-10
22	-2.2	0.4	0.0	-0.6	0.7	597.5	598.5	599.7	61	57	100	N 2	N 1	N 1	3	5	10≡	.	≡ 20-n
23	0.4	5.6	1.0	2.3	3.4	600.3	600.7	**601.0**	10	24	54	S 1	S 1	S 0	1	0	0	.	
24	0.6	**7.4**	1.0	3.0	3.9	600.2	599.7	597.2	17	14	51	W 0	W 0	W 0	0	0	0	.	
25	0.0	-1.0	-2.5	-1.2	-0.5	592.5	591.4	590.4	83	84	100	N 1	N 1	N 3	7≡	10	10≡	16.2	✳ 9⁵/₄-17⁵/₄ m.U., ≡ 16-n,
26	-5.8	-3.3	-5.0	-4.7	-4.2	590.3	592.2	593.7	100	100	88	N 3	N 3	N 3	10≡	10≡	10≡	3.0	✳ ztw., ≡ ⌐ n-n [⌐ abds.
27	-5.0	-1.5	-3.5	-3.3	-3.0	594.1	594.1	593.9	74	40	70	N 1	N 1	N 2	0	0	10	.	
28	-3.5	0.0	-5.8	-3.1	-3.0	592.1	591.8	591.3	70	57	100	N 2	N 2	N 2	3	0	10≡	3.2	≡ 20¹/₄-n, ⊹ abds. zeitw.
29	-3.8	-3.5	-5.2	-4.2	-4.3	590.7	591.5	592.5	84	70	52	N 2	N 3	N 3	8	8	2	0 1	
30	-7.0	-1.4	-1.0	-3.1	-3.4	592.8	592.8	593.4	100	70	40	N 2	N 2	NE 4	10≡	8≡	8	.	≡ n-14
Mittel	-2.1	0.8	-1.8	-1.0	—	591.9	592.3	592.5	73	61	77				6.1	5.6	6.8	Summe 164.3	

$\lambda = 7°\ 26'$, $\beta = 46°\ 57'$,
$Hb = 572.2$ m, $G = 0.00$ mm.

Bern

Mai 1944.
Beobachter: *Tellur. Observatorium.*

Tag	Lufttemperatur					Luftdruck			Relative Feuchtigkeit			Windrichtung und Stärke						Bewölkung			Niederschlag	Witterung
	7^{30}	13^{30}	21^{30}	Mittel	Abweich. vom Normalst	7^{30}	13^{30}	21^{30}	7^{30}	13^{30}	21^{30}	7^{30}		13^{30}		21^{30}		7^{30}	13^{30}	21^{30}		
1	9.0	15.4	11.4	11.9	1.5	718.1	717.5	717.3	85	38	68	SE	0	NE	1	SE	0	8	8	9	.	♆ III, ⊿ l
2	9.7	20.6	14.6	15.0	4.4	716.8	714.9	714.3	75	28	40	S	0	WSW	2	SW	1	9	4	1	.	⊕ l
3	11.1	20.4	15.3	15.6	4.9	712.6	710.7	711.6	71	28	33	S	0	W	3	W	1	1	4	7	.	
4	11.2	17.6	13.7	14.2	3.3	712.1	709.9	710.1	86	42	52	S	0	WNW	2	W	1	10	7	10	0.5	
5	10.1	17.6	13.1	13.6	2.6	709.5	707.4	708.0	97	44	68	W	2	WSW	3	SW	1	10●	9	10	5.0	● 6¼–8¾, 18¼–n m.U.
6	8.4	9.8	8.0	8.7	−2.4	709.2	710.4	712.9	86	86	95	W	0	SW	1	SW	1	10●	10●	10●	3.4	● n–7¾ m.U., 11¾–24 m.U.
7	7.2	7.5	5.1	6.6	−4.7	713.8	714.5	715.9	93	84	64	N	0	NNE	2	E	0	10	9	8	0.0	● 0½, 10¾, ●° 13¼–13¾
8	4.8	11.1	6.7	7.5	−3.9	716.6	716.5	718.1	64	34	63	NE	1	NE	2	N	1	1	1	1	.	
9	3.5	13.5	10.4	9.1	−2.4	718.1	716.8	716.6	79	38	48	NE	2	ENE	3	NE	1	1	1	3	.	⊿
10	7.1	14.6	11.1	10.9	−0.8	714.8	714.2	715.0	74	61	70	W	0	NE	0	SE	0	6	9	2	0.0	●tr. p zeitw.
11	9.7	14.2	9.0	11.0	−0.8	715.7	715.5	715.3	83	34	86	SE	0	N	1	NE	0	5	7	2	0.0	●° p zeitw., ⊿ l
12	7.8	16.6	12.5	12.3	0.4	713.7	712.0	711.5	84	43	71	S	0	NE	1	NE	0	1	1	0	.	⊿ l
13	10.1	20.9	14.9	15.3	3.2	712.4	710.9	711.2	82	28	63	SE	0	NW	1	S	0	0	1	1	.	⊿ l
14	11.0	15.0	10.1	12.0	−0.2	711.9	712.9	714.1	83	81	98	S	0	W	1	SE	1	10	9	9	9.6	● 10–10¼, 18–20¼ m.U.,
15	9.1	7.2	5.8	7.4	−4.6	713.3	713.3	712.6	100	92	94	NE	1	NE	2	NE	1	10●	10	10	0.1	● 3½–8 zeitw. [K° 19
16	4.5	7.5	6.6	6.2	−6.2	711.4	711.7	712.8	99	83	93	NE	1	N	0	SE	0	10	10	10	0.0	●° 18, 18½
17	6.6	10.6	7.1	8.1	−4.5	712.0	711.1	712.0	83	51	88	NW	0	N	1	NE	0	9	9	9	0.0	●tr. p
18	7.0	12.9	11.0	10.3	−2.4	712.0	711.1	710.2	89	36	64	SE	0	E	1	E	0	1	6	4	.	
19	8.0	13.3	8.7	10.0	−2.8	709.2	708.3	709.0	83	59	100	SW	0	NW	1	NE	0	10	10	10	1.6	● 14½–23¼
20	9.1	17.0	16.0	14.0	1.1	707.0	704.3	**701.4**	93	48	56	SE	0	NE	1	NE	1	9	6	6	11.2	● 0¼, ☾ 21¾
21	9.3	13.5	10.2	11.0	−2.1	703.6	704.2	705.1	95	58	73	W	2	WSW	2	SW	0	10●	10	5	2.7	● 4½–9¼
22	7.0	5.7	5.7	6.1	−7.1	708.1	711.6	714.4	100	96	94	N	1	NNE	2	SE	0	10●	10●	10	0.3	● 6-8¼ m.U., 13-13¾, 19¾-
23	6.5	11.7	8.0	8.7	−4.6	715.0	715.3	716.2	74	33	68	E	0	NE	2	NE	0	1	4	3	.	[20½
24	6.9	13.2	9.6	9.9	−3.5	717.2	717.2	718.2	82	40	58	SE	0	NE	2	NE	1	1	4	0	.	⊿ l
25	7.7	17.4	12.9	12.7	−0.8	720.3	719.7	720.7	80	28	58	E	0	SW	1	SW	0	2	1	1	.	⊿ l
26	11.7	20.9	16.7	16.4	2.7	**722.1**	721.1	721.0	77	28	50	SE	0	NNW	1	N	0	9	6	1	.	♆ III
27	14.0	23.9	20.6	19.5	5.7	720.7	719.5	719.4	75	37	59	E	0	ENE	3	ENE	2	1	1	1	.	⊿ l
28	15.4	24.7	21.7	20.6	6.7	720.4	719.7	719.2	85	50	50	E	0	NNE	1	NE	1	1	4	1	.	⊿ l
29	16.5	**25.7**	20.4	20.9	6.9	719.2	716.8	715.8	82	46	52	SW	0	NE	1	NE	0	1	1	1	.	⊿ l
30	18.0	**25.7**	19.0	20.9	6.8	716.8	714.9	714.7	64	37	88	SE	0	NE	0	SE	0	1	2	9	0.0	●° 17¾, 20¼
31	17.2	24.7	15.1	19.0	4.8	715.4	713.3	713.8	85	36	90	SE	0	NE	1	NNW	2	2	2	9	6.0	● 16½–17¾, 21¼–22
																					Summe	
Mittel	9.5	15.8	12.0	12.4	—	714.2	713.5	713.8	83	49	70							5.5	5.7	5.3	40.4	

$\lambda = 6°\ 57'$, $\beta = 47°\ 0'$,
$Hb = 487.3$ m, $G = 0.02$ mm.

Neuchâtel

Mai 1944.
Beobachter: *Observatorium.*

1	9.6	17.5	12.6	13.2	2.1	725.8	725.1	724.7	71	43	62	NE	1	SE	1	NW	0	6	7	8	.	
2	9.1	21.7	16.2	15.7	4.4	724.5	722.6	721.6	81	34	44	SW	1	SW	2	SW	1	8	4	0	.	
3	12.4	22.9	15.7	17.0	5.6	720.0	718.2	719.1	65	**26**	34	SW	1	W	3	NW	1	0	5	2	.	
4	12.5	18.9	14.7	15.4	3.8	719.5	717.5	717.3	62	43	50	W	1	S	1	NW	3	10	5	10	0.2	●° n (4./5.)
5	10.5	15.5	13.2	13.1	1.4	716.8	715.2	715.4	84	59	63	W	1	SW	3	NW	3	10	9	10	0.3	●°sch. 18½, ●° n
6	10.8	13.3	10.2	11.4	−0.4	716.3	717.3	720.0	65	49	65	W	2	W	3	W	1	10	9	8	.	●tr.
7	9.3	12.5	6.1	9.3	−2.7	721.4	721.9	723.6	80	53	68	SW	1	SE	0	NW	0	10	9	9	.	
8	6.3	15.3	9.1	10.2	−1.9	724.5	724.5	725.5	53	36	51	NE	3	E	2	NE	3	0	0	0	.	
9	5.5	16.9	12.4	11.6	−0.6	725.8	724.5	723.9	66	35	45	NE	3	E	3	NE	3	0	1	3	.	
10	8.2	17.3	12.8	12.8	0.4	722.6	721.8	722.5	72	54	53	E	0	S	1	NW	1	8	9	1	.	●°sch. 16½
11	9.3	18.0	11.9	13.1	0.6	723.3	722.9	723.0	77	35	58	NE	1	NE	1	NE	2	2	7	1	.	
12	9.6	20.1	15.7	15.1	2.5	721.3	719.5	718.8	81	41	54	E	1	E	3	NE	2	0	0	0	.	
13	9.8	23.0	17.6	16.8	4.0	720.1	718.4	718.4	84	42	51	SE	1	SE	1	E	0	0	1	0	.	
14	12.0	17.2	11.0	13.4	0.5	719.4	720.3	721.7	76	71	89	NE	0	SW	1	NW	1	10	7	4	2.8	● 9–10, K▲ ● 18¼–19
15	11.3	10.8	8.0	10.0	−3.0	720.8	720.9	720.4	92	76	78	S	1	NE	2	NE	2	8	10	10	.	
16	6.4	8.4	6.8	7.2	−5.9	719.2	719.6	720.6	88	82	87	NE	1	NE	0	NW	0	10	10	8	.	●tr. seit 10½
17	6.8	11.9	8.6	9.1	−4.2	719.8	718.8	719.8	87	51	63	E	1	NW	2	NW	1	9	6	9	.	
18	7.9	17.3	12.8	12.7	−0.7	719.8	718.5	717.6	83	36	53	SE	1	SE	1	N	1	1	1	5	.	
19	8.5	10.9	8.6	9.3	−4.2	717.0	716.4	716.5	85	86	98	SW	1	SW	1	SW	0	10	10●	8	4.6	● 8½–n m.U.
20	8.7	17.7	15.3	13.9	0.3	714.6	711.9	**708.5**	98	72	67	SW	0	S	1	NW	0	10	2	10	17.0	
21	9.4	13.0	11.7	11.4	−2.4	710.7	711.5	711.8	97	78	64	SW	1	SW	2	NW	3	10●	10	3	2.4	● n–a m.U.
22	9.3	9.4	8.2	9.0	−4.9	715.3	719.1	721.9	66	70	71	NW	1	NE	1	NE	1	9	10	10●	0.1	●tr. III
23	7.6	12.9	9.7	10.1	−3.9	722.6	723.0	723.6	77	50	62	E	1	NE	1	N	2	2	6	3	.	
24	8.3	17.1	10.1	11.8	−2.3	725.0	725.1	725.6	78	46	68	NE	1	NE	2	NE	0	9	6	1	.	
25	8.0	19.4	16.2	14.5	0.3	728.1	727.3	727.9	85	40	35	NE	0	SW	1	NW	2	0	0	0	.	
26	10.1	23.3	19.2	17.5	3.1	**729.7**	728.7	728.2	82	41	47	E	1	S	1	NE	2	2	1	1	.	
27	14.1	27.6	22.2	21.3	6.8	728.2	726.9	726.7	76	39	53	SE	1	E	3	NE	2	1	0	0	.	
28	17.3	**28.0**	22.7	22.7	8.1	728.1	727.1	726.5	73	45	48	E	2	S	1	NE	2	0	1	0	.	
29	16.2	27.8	23.0	22.3	7.6	726.8	724.3	723.1	72	46	42	E	1	S	1	NE	1	0	0	1	.	
30	16.5	**28.0**	21.0	21.8	7.0	724.1	722.3	722.1	75	43	64	SE	0	S	1	SW	1	0	1	9	.	
31	16.8	27.5	15.8	20.0	5.1	722.8	720.8	721.0	81	38	90	S	1	S	1	NW	1	2	1	3	0.3	●tch. 18¾, ● seit 20½
																					Summe	
Mittel	10.3	18.1	13.5	14.0	—	721.7	721.0	721.2	78	50	61							5.1	4.8	4.4	27.7	

Mai 1944.
Beobachter: Frl. *H. Nager.*

Altdorf

$\lambda = 8° 39'$, $\beta = 46° 53'$,
$H_b = 456.3$ m, $G = -0.05$ mm.

Tag	Lufttemperatur 7³⁰	13³⁰	21³⁰	Mittel	Abweich. vom Normalst	Luftdruck 7³⁰	13³⁰	21³⁰	Relative Feuchtigkeit 7³⁰	13³⁰	21³⁰	Windrichtung und Stärke 7³⁰	13³⁰	21³⁰	Bewölkung 7³⁰	13³⁰	21³⁰	Niederschlag	Witterung
1	11.1	15.9	10.2	12.4	1.2	727.3	727.2	727.2	58	34	61	SW 0–1	NW 1	SW 0	8	8	10	.	
2	8.8	20.7	13.7	14.4	3.1	726.3	724.1	723.7	84	27	48	NE 0	NW 0–1	SE 0	3	2	0	.	
3	10.6	21.8	18.8	17.1	5.6	722.1	719.1	719.3	72	27	26	SE 0	NW 1–2	NW 2	0	3	8	0.2	● 20½
4	13.6	17.8	13.8	15.1	3.5	721.2	719.6	719.2	55	46	67	NE 0–1	NW 2	NW 0	9	7	9	.	
5	12.8	17.4	13.3	14.5	2.7	718.4	717.0	717.2	75	48	93	NW 0	NW 0	W 0	10	8	10	.	
6	12.2	10.9	9.4	10.8	−1.1	718.3	719.8	722.9	77	78	95	NE 0	NW 1	N 0	10	10●	10	0.8	● II, ☽ abds. zeitw.
7	9.9	9.3	6.9	8.7	−3.4	723.3	724.7	726.4	85	68	84	NE 0	N 0	N 0	10	10☽	10☽	1.1	☽ p–n
8	8.6	12.6	7.0	9.4	−2.8	727.2	726.9	728.7	84	35	66	NE 0	NW 1	N 0	10	4	7	.	
9	5.2	13.4	9.3	9.3	−3.0	728.6	727.8	727.1	79	54	76	NE 0	NW 0	N 0	0	0	2	.	
10	8.6	16.6	12.6	12.6	0.1	724.1	723.5	725.2	78	45	73	N 0	NW 0	NW 0	8	6	10●	3.4	● 20½–n
11	9.5	14.2	9.8	11.2	−1.4	726.2	725.6	725.9	89	47	77	E 0	NW 0	NW 0	10●	10	10	1.9	● I, ⛆ 6½
12	8.4	16.6	12.3	12.4	−0.4	723.7	721.8	721.5	85	49	73	NE 0	NW 1	NW 0	4	6	2	.	
13	10.6	21.1	15.0	15.6	2.7	722.1	720.7	721.3	80	35	53	SW 0	N 1	SE 0	4	3	4	.	
14	14.9	17.8	13.7	15.5	2.5	721.0	721.7	723.9	68	50	69	E 0	NW 2	NW 2–3	7	10	10●	1.9	● III
15	11.0	10.7	9.1	10.3	−2.9	723.4	723.0	722.4	94	77	90	SE 0	NW 1	NW 0	10	10	10	3.1	
16	7.9	9.0	7.4	8.1	−5.2	721.1	721.6	723.4	89	77	94	NW 0	NW 0–1	NW 0	10●	10	10●	4.2	● I, III, ☽ p
17	7.6	10.0	7.7	8.4	−5.0	722.0	721.5	722.1	95	69	90	NE 0	NW 0	NW 0	10	10☽	10	1.1	☽ p–n zeitw.
18	8.2	12.1	9.2	9.8	−3.7	722.1	721.2	720.7	96	56	78	S 0	NW 0	SE 0	10	10	4	.	
19	8.9	15.3	11.8	12.0	−1.7	717.5	716.8	718.8	84	50	73	SW 0	NE 1–2	SE 0	5	8	4	.	
20	9.3	17.3	17.4	14.7	0.9	716.6	713.3	711.2	86	54	32	SE 0	NW 0–1	SE 0–1	0	6	2	1.3	
21	12.4	12.7	11.4	12.2	−1.7	711.6	714.0	714.9	85	62	94	NW 0	NW 0	NW 0	10●	10	10●	28.3	● I, III
22	10.1	9.4	6.0	8.5	−5.5	716.6	720.4	724.7	77	63	64	NW 1	NW 1	E 0	10●	10●	10	9.8	● I, II
23	7.1	12.3	7.8	9.1	−5.0	725.2	724.1	726.5	84	33	77	NW 0	NW 0	SE 0	7	9	7	.	
24	6.6	14.8	9.8	10.4	−3.8	727.5	726.8	728.7	79	41	65	NW 0	NW 2	SE 0	6	7	4	.	
25	8.7	18.2	11.8	12.9	−1.4	729.8	728.8	730.3	78	36	71	SE 0	NW 2	NE 0	4	5	7	.	
26	10.5	19.1	15.3	15.0	0.6	731.9	730.6	731.7	78	40	74	NW 0	NW 0–1	NW 0	1	8	7	.	
27	12.4	22.5	17.7	17.5	3.0	730.9	729.1	729.5	80	43	63	NE 0	NW 0	SE 0	0	0	0	.	
28	14.9	21.8	19.8	18.8	4.2	730.1	729.7	729.5	80	54	60	S 0	NW 0	SE 0–1	0	1	2	.	
29	15.2	23.5	23.3	20.7	6.0	728.8	726.7	725.5	85	50	60	SE 0	NW 0	SE 2	0	2	0	.	
30	16.7	26.2	22.3	21.7	6.9	726.1	724.0	724.2	70	42	36	E 0	NW 1	SE 1	0	0	0	.	
31	16.5	26.5	16.9	20.0	5.1	724.9	722.1	723.7	58	37	76	SW 0	NW 1	SW 0	2	2	10	9.5	● ⛆ 19
																		Summe	
Mittel	10.6	16.4	12.6	13.2	—	723.7	723.0	723.8	80	49	70				5.7	6.3	6.4	66.6	

Mai 1944.
Beobachter: *Observatorium.*

Genf

$\lambda = 6° 9'$, $\beta = 46° 12'$,
$H_b = 405.0$ m, $G = -0.03$ mm.

1	10.4	18.2	13.1	13.9	2.5	732.8	731.9	732.2	74	42	65	E 0	NNE 1	ENE 0	0	2	4	.	
2	10.2	23.6	16.4	16.7	5.1	732.1	729.8	729.0	70	29	46	NE 0	W 1	S 0	0	2	1	.	
3	13.0	23.6	18.4	18.3	6.6	727.8	726.3	726.6	64	32	41	E 0	SW 1	NE 0	0	2	6	.	
4	13.7	20.8	15.9	16.8	4.9	726.7	725.5	725.0	59	43	54	ESE 0	W 1	S 1	2	4	9	0.5	● n (4./5.)
5	12.2	20.1	16.2	16.2	4.2	724.6	722.5	723.0	78	46	53	E 0	S 1	S 1	10	9	10	0.7	● n (5./6.)
6	12.4	14.7	10.5	12.5	0.3	723.8	725.2	727.4	63	57	75	S 1	S 1	NE 0	10	9	9	0.1	●° abds.
7	10.0	11.8	8.2	10.0	−2.3	728.2	728.6	730.1	84	62	64	NE 0	NNE 1	NNE 2	9	10	10	.	
8	7.0	12.2	10.0	9.7	−2.8	730.5	730.2	731.9	63	51	53	NE 1	N 1	NE 1	4	0	0	.	
9	6.2	13.3	13.7	11.1	−1.5	733.3	730.6	730.6	70	52	48	ENE 0	NE 1	NE 1	0	0	10	.	
10	11.6	21.2	12.6	15.1	2.4	729.6	728.8	729.9	65	36	72	E 0	S 1	NE 0	4	9	0	.	
11	10.2	19.8	12.9	14.3	1.4	730.2	728.9	728.5	70	27	58	ESE 0	NE 2	NE 2	0	3	0	.	
12	10.0	19.2	15.3	14.8	1.8	728.1	726.0	725.6	73	43	64	NNE 1	N 1	NNE 0	0	1	0	.	
13	12.0	20.4	18.1	16.8	3.7	726.8	725.1	725.2	71	53	57	E 0	N 1	E 0	0	2	5	0.1	
14	14.4	18.2	13.9	15.5	2.2	727.1	727.9	728.1	74	65	71	S 0	W 0	E 1	10●	9	6	0.7	● I, n, T 18⅔
15	11.0	16.6	10.2	12.6	−0.8	727.5	725.3	725.9	86	58	74	ENE 0	NNE 2	NNE 2	10	5	10	.	
16	8.5	13.3	8.8	10.2	−3.3	726.0	726.3	727.5	83	53	68	NNE 0	S 1	E 0	10	8	0	.	
17	8.6	14.8	10.4	11.3	−2.4	726.8	725.4	726.7	67	37	56	E 0	NE 1	ENE 0	0	5	2	.	
18	10.6	18.6	12.2	13.8	0.0	726.9	725.1	724.2	56	31	57	SE 0	W 1	E 0	1	6	1	8.0	● n (18./19.)
19	7.5	9.5	9.7	8.9	−5.0	724.4	723.9	723.4	94	95	93	ESE 0	NNE 0	NE 0	10●	10●	9	13.7	● a–n zeitw.
20	10.2	16.0	13.1	13.1	−0.9	721.3	718.9	716.9	89	68	87	NE 0	NNE 1	S 1	10	8	10●	6.6	● III, ● ⛆ 19¼, T 18½
21	12.6	16.8	13.0	14.1	−0.1	718.4	719.0	719.6	76	56	63	S 1	SSW 1	S 1	10	9	8	0.8	●° n (21./22.)
22	9.9	12.4	9.2	10.5	−3.8	722.9	725.6	728.1	89	58	69	NW 0	NE 1	NE 1	10●	9	3	.	●° I
23	8.8	12.4	10.4	10.5	−3.9	729.5	729.2	730.1	63	52	62	NE 1	NE 1	NNE 0	2	1	0	.	
24	10.2	15.9	12.4	12.8	−1.7	731.5	731.6	732.1	62	44	70	NNE 1	NNE 1	NE 0	1	0	1	.	
25	10.2	16.6	16.2	14.3	−0.4	735.1	734.6	735.3	71	47	54	NE 0	NNE 1	ENE 0	1	0	2	.	
26	11.7	19.9	17.2	16.3	1.5	737.0	735.5	734.6	73	40	55	ENE 0	NNE 1	ENE 0	3	2	0	.	
27	16.4	24.2	22.8	21.1	6.2	734.7	733.6	733.0	64	48	57	NE 0	N 1	NE 0	0	0	1	.	
28	19.0	24.6	21.8	21.8	6.8	734.8	734.2	732.9	88	56	69	N 1	NNE 0	E 0	3	2	1	.	
29	20.1	23.8	24.0	22.6	7.4	734.4	730.8	729.8	68	60	60	NE 0	NNE 0	W 1	0	3	6	.	
30	19.9	27.5	19.6	22.3	7.0	731.3	729.4	730.3	81	41	67	ENE 0	S 1	S 1	0	2	7	0.2	●° 19
31	17.6	26.2	18.8	20.9	5.5	729.8	728.0	727.8	73	46	75	NE 0	NNW 1	N 1	0	3	2	.	
																		Summe	
Mittel	11.8	18.3	14.4	14.8	—	728.8	727.9	728.1	73	49	63				3.9	4.4	4.3	31.4	

$\lambda = 8°\ 33'$, $\beta = 47°\ 23'$,
$Hb = 493.2$ m, $G = 0.03$ mm.

Zürich

Mai 1944.
Beobachter: *Meteorol. Zentralanstalt.*

Tag	Lufttemperatur 7³⁰	13³⁰	21³⁰	Mittel	Abweich. vom Normalst	Luftdruck 7³⁰	13³⁰	21³⁰	Relative Feuchtigkeit 7³⁰	13³⁰	21³⁰	Windrichtung und Stärke 7³⁰	13³⁰	21³⁰	Bewölkung 7³⁰	13³⁰	21³⁰	Niederschlag	Witterung
1	9.4	16.4	13.3	13.0	2.2	724.7	724.2	723.3	76	50	59	WNW 1	SSW 1	SE 1	6	8	9	.	
2	11.9	21.9	16.1	16.6	5.6	722.8	721.2	720.2	73	36	53	SSE 0	W 1	WSW 1	8	6	3	.	
3	13.2	23.2	15.1	17.2	6.1	718.8	716.3	717.2	66	32	38	SSE 1	WSW 3	W 2	1	4	1	0.0	
4	11.6	17.0	14.5	14.4	3.1	718.9	717.1	716.2	70	53	*53	WNW 1	WNW 1	WNW 0	9	9	9	0.2	
5	11.8	19.0	11.3	14.0	2.6	715.2	713.6	714.7	80	50	90	SW 2	WSW 3	WNW 1	10●	10	10	4.6	●° 7-9½ m.U., ● 23-23½, ⊕ p
6	9.6	10.1	8.0	9.2	−2.4	715.7	717.0	719.4	85	79	94	WNW 1	W 1	W 1	10●	10●	10●	6.5	● 0¼–8 ztw., 14½–21¾ m.U.
7	7.1	7.2	4.9	6.4	−5.3	720.7	721.9	723.2	92	84	92	NW 1	WNW 1	E 1	10●	10●	9	3.9	● 4–15¾ m.U., ●° 17½
8	3.8	12.9	7.7	8.1	−3.8	724.6	724.3	725.8	77	37	51	NNE 1	E 1	NE 1	1	2	1	.	
9	4.4	15.8	10.7	10.3	−1.8	726.1	725.1	724.3	77	37	59	NNE 1	ENE 1	NE 3	1	1	7	.	
10	6.8	15.7	10.9	11.1	−1.1	721.6	721.0	721.7	80	48	94	W 1	WNW 0	E 1	9	8	10●	2.5	● 19¼–22¼ m.U.
11	10.5	17.3	10.1	12.6	0.2	722.7	722.5	722.6	82	37	85	WNW 1	NNW 0	SSE 1	8	6	10	0.2	●° 6-6¾, 14, 16½-17, ☇●° 15½
12	8.8	18.9	13.5	13.7	1.2	720.7	719.1	718.5	83	44	61	NNE 1	ENE 2	ENE 1	2	5	0	.	
13	10.1	21.7	15.4	15.7	3.0	719.1	718.0	717.7	76	35	66	ENE 0	W 1	ESE 1	1	1	1	.	△ I
14	13.6	14.6	12.1	13.4	0.6	718.0	719.5	720.4	72	77	85	ESE 0	WNW 0	S 1	10	10	10●	4.4	●° 10½–22¾ zeitw.
15	8.6	7.6	6.4	7.5	−5.4	720.8	721.1	720.1	91	88	85	NNE 1	N 1	NE 1	10●	10	10	0.9	● 2¾–3¼, ●° 3¼–13½ m.U.
16	5.2	7.3	6.9	6.5	−6.6	718.4	718.8	719.7	92	80	91	N 1	WNW 1	SE 1	10	10	10	0.9	● 9¾–11¼, 15¼–16½,
17	6.7	10.2	8.7	8.5	−4.7	719.2	718.3	719.3	91	64	85	WNW 1	E 0	ESE 1	10	10	10	0.1	[●tr. 17¼
18	8.7	15.5	9.6	11.3	−2.0	718.9	718.3	717.2	85	53	82	SSE 1	S 1	E 1	9	5	1	.	●° 3¼–6
19	8.7	18.5	10.8	12.7	−0.8	716.0	714.1	715.7	80	45	86	WNW 1	N 1	ENE 1	5	9	10	0.0	●tr. 17¾
20	10.6	22.9	16.3	16.6	3.0	713.9	710.9	**708.0**	83	37	72	ESE 0	NNE 1	NE 1	7	5	1	0.0	
21	12.8	13.1	10.8	12.2	−1.5	708.9	710.6	711.6	79	89	94	W 1	SSW 1	WNW 0	10	10	8	9.5	● 7¾–15 m.U.
22	7.5	6.9	6.2	6.9	−7.0	714.2	718.1	721.5	93	88	89	N 1	NNW 1	ESE 0	10●	10●	10●	2.5	● 5¼–8¼, 12½–13½,
23	6.3	12.4	8.7	9.1	−4.9	722.1	722.2	723.2	87	40	68	ESE 0	NNW 1	ENE 1	9	9	10	.	[●° 20¾–21¾
24	7.7	16.4	8.9	11.0	−3.1	724.6	724.7	725.1	80	37	71	N 1	SSE 1	NNE 1	9	3	1	.	
25	8.1	19.5	13.4	13.7	−0.5	727.1	726.3	727.2	80	**30**	59	ENE 0	W 1	WNW 0	4	1	3	.	
26	13.7	23.0	16.9	17.9	3.5	**728.5**	728.0	728.2	67	41	68	SSE 1	WSW 1	ESE 1	9	6	8	.	
27	13.6	26.3	19.7	19.9	5.4	728.0	727.3	726.7	79	36	70	S 0	ENE 2	NE 1	1	1	1	.	
28	16.3	27.7	20.8	21.6	7.0	727.4	726.9	726.4	80	42	55	N 1	ENE 1	NE 1	1	3	1	.	
29	14.9	27.8	22.0	21.6	6.9	726.3	724.0	722.5	72	44	53	WNW 0	ENE 1	ENE 1	1	1	0	.	
30	17.6	**29.4**	21.4	22.8	8.0	723.4	721.5	720.6	81	32	65	E 0	WNW 1	NW 1	0	1	1	.	
31	19.6	27.8	19.9	22.4	7.5	721.8	719.7	719.9	73	43	66	WNW 1	S 1	SW 2	2	3	10	1.7	
																		Summe	
Mittel	10.3	17.6	12.6	13.5	—	720.9	720.4	720.6	80	51	72				6.2	6.0	6.0	37.9	

$\lambda = 8°\ 30'$, $\beta = 47°\ 3'$,
$Hb = 1787.3$ m, $G = -0.20$ mm

Rigi-Kulm

Mai 1944.
Beobachter: *J. Wiget.*

1	−0.2	4.4	3.2	2.5	0.5	618.2	619.4	619.3	100	56	66	W 2	W 1	W 2	10≡	7	8	.	≡ n–8½
2	4.2	8.0	7.0	6.4	4.2	618.4	618.4	617.8	50	39	44	W 2	SW 1	W 2	3	1	7	.	
3	5.6	9.0	5.8	6.8	4.4	615.6	614.8	614.2	45	34	50	SW 1	SW 2	SW 3	3	4	9	.	
4	1.0	5.8	4.8	3.9	1.4	613.8	612.4	612.8	100	75	71	W 3	W 1	W 2	10≡	9	10	.	≡ I
5	2.4	6.0	4.6	4.3	1.6	611.7	611.8	610.6	96	70	80	SW 1	SW 2	W 3	10	7	10	1.5	
6	1.4	0.0	−0.4	0.3	−2.6	611.2	612.0	613.3	100	100	100	SW 1	W 2	W 3	10≡	10≡	10	5.3	✳ 13½–18, ≡ n–18¼
7	−0.4	1.4	−4.0	−1.0	−4.1	614.1	615.1	615.4	100	78	100	W 1	W 0	NE 1	10*≡	10*≡	10≡	10.2	✳ n–n zeitw., ≡ n–n
8	−4.8	−0.6	−4.8	−3.4	−6.7	616.1	617.3	617.8	100	100	82	E 1	E 0	E 1	6	5	5	.	
9	0.8	3.0	3.5	2.4	−1.1	618.1	619.1	618.8	31	85	72	E 2	SE 1	SE 2	0	1	6	.	
10	11.0	7.0	4.0	7.3	3.7	617.0	617.1	617.3	14	72	95	S 0	W 2	W 2	8	5	10	1.1	
11	1.2	4.6	3.0	2.9	−0.9	617.0	617.8	617.6	95	66	70	W 2	SE 0	E 0	10	7	10	.	
12	2.2	6.6	4.0	4.3	0.3	615.4	615.5	615.2	75	80	70	E 1	E 1	SW 2	4	5	5	.	
13	5.2	8.8	8.0	7.3	3.1	615.4	615.5	616.4	85	67	54	SW 3	W 0	W 0	7	4	4	.	
14	9.0	6.2	5.0	6.7	2.4	615.6	615.5	616.2	45	100	100	W 1	W 1	W 1	9	10−	10●	17.8	● 20¼–n, ≡ 12–n
15	2.4	7.4	2.5	4.1	−0.4	615.4	615.1	614.2	100	72	100	W 1	W 0	W 0	10●≡	10≡	10≡	2.7	● I, ≡ n–n m.U.
16	0.4	0.0	−2.2	−0.6	−5.3	612.3	612.7	613.5	100	100	100	W 0	W 0	W 1	10≡	10*≡	10*≡	6.7	✳ II, III, ≡ n–n
17	−1.0	0.4	0.2	−0.1	−4.9	612.7	612.6	613.5	95	80	90	SE 1	E 0	SE 0	10	10≡	10	0.7	≡ II
18	−0.6	3.2	3.2	1.9	−3.1	613.2	613.7	613.6	100	72	70	W 1	W 1	S 0	10	10	9	.	≡ a zeitw.
19	5.3	7.2	4.2	5.6	0.5	612.3	611.7	611.9	41	57	90	SE 2	SE 3	S 1	7	7	7	.	
20	6.0	9.6	6.4	7.3	2.1	611.0	610.4	608.2	52	64	50	SE 2	S 1	S 1	5	5	3	0.6	
21	4.0	2.5	1.0	2.5	−2.9	**606.7**	607.0	607.5	100	100	100	W 1	SW 2	SW 1	10●−	10−	10	27.6	● n–11, ≡ n–n m.U.
22	−0.8	−1.8	−3.8	−2.1	−7.0	609.1	611.7	613.7	100	100	100	SW 1	W 1	W 1	10*≡	10*≡	10	22.6	✳ 7–p zeitw., ≡ n–18¼
23	−1.0	1.0	−1.0	−0.3	−5.9	614.9	616.2	616.6	66	60	90	SE 1	W 1	W 1	5	8	6	.	
24	1.0	2.0	2.5	1.8	−3.9	617.2	618.3	619.2	82	85	74	SE 1	W 1	W 1	5	10	5	.	
25	4.4	5.4	6.2	5.3	−0.5	620.9	621.7	622.2	65	75	47	W 1	SW 1	W 2	4	3	8	.	
26	5.8	11.2	7.5	8.2	2.2	623.8	624.1	624.3	62	50	62	SW 2	SW 2	SE 1	5	7	5	.	
27	10.2	12.4	12.2	11.6	5.5	624.1	**624.6**	624.2	50	68	65	SE 1	NE 1	E 1	2	1	2	.	
28	14.0	15.8	12.5	14.1	7.9	624.0	624.3	624.6	34	68	88	E 1	SE 0	S 1	0	2	3	.	
29	17.4	17.1	12.0	15.5	9.2	623.1	621.7	621.7	50	70	60	S 0	W 0	S 3	3	3	2	.	
30	13.9	16.6	15.2	14.9	8.5	621.7	620.9	619.9	70	54	**29**	W 0	SE 0	S 1	0	3	4	.	
31	10.4	12.6	9.8	10.9	4.4	619.7	618.9	618.0	69	74	69	W 0	W 0	W 0	4	4	10	6.1	● 18½–20¼
																		Summe	
Mittel	4.2	6.2	4.3	4.9	—	616.1	616.4	616.4	73	74	75				6.5	6.4	7.4	102.9	

Mai 1944.
Beobachter: *P. Nogler.*

Bevers

$\lambda = 9° 53'$, $\beta = 46° 33'$,
H_b = ca. 1710 m, $G = -0.23$ mm.

Tag	Lufttemperatur 7³⁰	13³⁰	21³⁰	Mittel	Abweich. vom Normalst	Luftdruck 7³⁰	13³⁰	21³⁰	Relative Feuchtigkeit 7³⁰	13³⁰	21³⁰	Windrichtung und Stärke 7³⁰	13³⁰	21³⁰	Bewölkung 7³⁰	13³⁰	21³⁰	Niederschlag	Witterung
1	4.2	5.0	4.8	4.7	1.2	622.4	623.5	624.5	66	31	56	NE 1	E 2–3	SE 1	10	8	10	.	
2	7.2	14.0	3.1	8.1	4.5	623.8	623.7	623.4	45	31	65	NE 1–2	WSW 1–2	W 1	6	0	0	.	
3	2.9	17.0	9.4	9.8	6.0	621.4	619.8	618.9	80	24	39	SW 1	S 2	NE 1–2	0	6	9	.	
4	6.4	16.5	7.8	10.2	6.2	618.4	618.0	617.7	50	31	50	NW 2	W 2	W 1	8	6	10	1.0	
5	5.0	9.0	4.2	6.1	1.9	617.6	617.3	617.7	100	85	92	W 1	SW 1	W 0	10●	6	10	2.9	● n–11¾
6	4.0	8.8	3.2	5.3	0.9	618.1	618.5	619.3	88	89	100	W 1	W 2	W 1	10	10	10●	*22.6	● 1¾–n
7	2.0	4.0	4.8	3.6	−1.0	620.1	620.5	621.0	85	100	100	SW 1	E 2	E 1	10*	10*	10*	*27.3	✳ n–n
8	0.2	10.0	1.7	4.0	−0.8	621.4	622.4	624.6	92	71	76	E 2	NE 2	W 1	10	10	0	.	✳ n–7
9	5.4	13.2	1.2	6.6	1.6	626.5	626.5	626.7	78	31	70	SE 1	W 2	NE 0	0	6	0	0.0	●° 18–22
10	2.2	10.9	5.2	6.1	1.0	624.8	623.3	622.5	75	71	98	E 0	W 2	S 1	6	8	10	.	
11	7.2	9.0	3.4	6.5	1.2	622.1	622.5	623.0	60	48	78	NW 1–2	W 1–2	NW 0	6	10	10	0.2	●sch. 10⅜–19½ zeitw.
12	5.8	12.5	4.3	7.5	2.0	621.5	621.3	621.0	73	31	94	NE 1	W 2–3	W 1	7	10	3	.	
13	5.8	20.4	5.4	10.5	4.9	621.1	621.9	622.3	87	21	70	E 1	S 1–2	S 0	8	4	2	.	
14	7.5	15.0	7.4	10.0	4.2	622.0	621.4	621.5	70	88	97	SW 0	W 2	S 1	7	10	10	0.1	● 19–n
15	7.2	16.0	7.6	10.3	4.3	620.4	620.1	619.4	70	31	73	SW 1	SW 2	W 1	8	5	6	.	
16	6.0	9.5	5.0	6.8	0.7	618.1	618.2	618.1	92	89	88	W 0	W 2	W 1	10●	10●	10	1.7	● n–17
17	4.6	11.4	3.4	6.5	0.2	618.1	618.6	618.8	84	34	99	N 1	W 2–3	W 1	8	6	10	.	
18	4.8	15.3	5.0	8.4	2.0	618.5	619.7	620.0	78	41	75	S 1	NW 0	W 1	10	4	2	.	
19	5.6	9.0	4.0	6.2	−0.4	619.4	619.3	619.1	78	71	97	S 1	W 2	W 1	10	10	6	0.0	●°sch. 14½–18 zeitw.
20	6.2	15.5	6.6	9.4	2.7	617.4	615.4	614.2	83	82	81	SW 1	S 2	SW 1	6	10	10	0.0	●°sch. 14–15
21	7.0	7.0	2.0	5.3	−1.6	**612.1**	613.6	614.2	80	97	100	S 0	W 2	W 1	10●	10●	10	2.3	● n–18½
22	2.6	7.0	**0.0**	3.2	−3.8	613.5	615.2	619.0	98	81	74	NW 0	W 1	N 1	10●	10*	10*	0.0	●° I, ✳° II, III
23	3.5	5.6	1.0	3.4	−3.7	620.0	620.3	622.7	53	42	57	NW 1–2	W 2–3	N 1	6	6	6	.	
24	2.8	12.0	3.2	6.0	−1.3	623.2	624.8	625.2	62	21	64	E 2	SW 2–3	W 1	5	0	0	.	
25	2.8	16.4	5.2	8.1	0.7	626.7	627.8	628.4	73	30	67	W 1	W 2	W 0	6	2	10	.	
26	5.2	14.8	10.2	10.1	2.6	629.2	629.8	630.2	65	21	57	S 1	SW 2	W 0	8	6	6	.	
27	10.8	19.2	3.2	11.1	3.4	630.1	629.6	630.6	67	38	58	SW 1	S 1–2	E 2	4	3	0	.	
28	10.2	**26.4**	10.2	15.6	7.8	**630.8**	630.7	630.3	75	21	82	SW 1	SW 1	W 0	0	2	2	.	
29	9.2	21.5	11.4	14.0	6.1	630.1	**629.8**	629.0	87	23	98	S 1	S 2	S 1	0	2	0	.	
30	11.0	22.8	10.8	14.9	6.9	628.3	627.3	626.7	74	24	79	S 1	SW 2	W 1	0	2	0	.	
31	10.3	22.0	10.6	14.3	6.2	625.6	624.0	623.8	71	**20**	83	S 1	W 2	E 1	0	0	0	.	
																		Summe	
Mittel	5.7	13.4	5.3	8.1	—	622.0	622.1	622.4	75	49	78				6.4	6.2	5.9	58.1	

Mai 1944.
Beobachter: *Kapuzinerkloster.*

Sitten

$\lambda = 7° 21'$, $\beta = 46° 14'$,
$H_b = 548.6$ m, $G = -0.11$ mm.

1	11.8	19.0	13.7	14.8	2.4	719.0	718.3	719.1	62	36	45	NNW 0	SW 2	NW 1	1	3	0	.	
2	10.3	22.2	15.8	16.1	3.5	719.7	716.9	716.3	61	34	43	NE 1	W 1	NNW 1	0	2	1	.	
3	11.5	23.7	18.6	17.9	5.2	715.7	712.6	712.7	59	33	38	NE 1	NE 1	W 1	1	2	8●	**3.0**	● 21–21⅝ m.U., ⸗ 14½–p
4	14.2	21.5	16.4	17.4	4.5	713.5	710.6	710.8	57	41	48	W 1	SW 2	WSW 2	6	1	9	0.0	◑ (6)
5	13.5	20.0	14.5	16.0	3.0	712.1	709.8	709.6	70	49	53	W 0	E 1	N 1	10●	8	2	0.4	● 7¼–9¼ m.U., ☋ III
6	10.8	16.6	12.2	13.2	0.0	710.7	711.3	713.6	79	61	64	N 1	W 3	ENE 1	10≡	8	8	0.0	●° p zeitw., ≡ I
7	9.8	13.0	11.8	11.5	−1.8	715.4	715.3	715.6	78	66	62	NE 0	W 2	W 2	6	10	10	.	●tr. 12⅝
8	8.7	16.4	13.0	12.7	−0.8	717.3	716.2	717.6	71	46	50	W 2	WSW 3	WSW 2	5≡	3	0	.	≡ I
9	9.0	21.2	14.8	15.0	1.4	720.0	716.7	718.0	62	**32**	57	NE 1	WSW 1	W 1	1	3	4	.	
10	11.3	17.2	11.5	13.3	−0.5	716.7	715.0	715.7	70	53	95	WNW 1	W 4	NE 0	8	9	10≡	1.9	●° 7⅜, 16–19¾ m.U., ≡ III
11	10.6	17.6	11.7	13.3	−0.6	717.7	716.2	716.0	83	36	53	NE 0	NE 1	NE 0	4	7	1	.	
12	8.6	20.6	15.8	15.0	1.0	715.8	712.4	712.8	71	38	48	NE 1	WNW 1	W 0	0	2	2	.	
13	12.4	23.6	16.9	17.6	3.4	715.0	712.2	713.3	65	38	44	NE 1	W 2	N 1	1	1	2	.	
14	13.0	17.0	12.8	14.3	0.0	714.1	715.1	716.1	67	60	91	NW 1	W 1	NW 1	10	10	10●	2.7	●tr. a, ●° 14–15½, 21¼–n
15	12.1	20.1	11.9	14.7	0.3	715.0	711.8	712.6	80	47	68	N 1	WSW 2	W 2	3	4	6	.	
16	8.9	14.7	11.1	11.6	−3.0	712.7	711.6	713.3	85	55	58	W 1	W 3	WNW 0	10≡	4	1	.	≡ I
17	8.6	16.1	12.3	12.3	−2.4	714.0	710.9	712.7	77	41	42	NE 0	W 2	W 1	5	6	8	.	
18	10.1	18.3	11.2	13.2	−1.6	714.2	711.7	712.3	63	40	48	NE 1	W 1	NE 1	1	3	7	.	
19	11.4	14.5	11.1	12.3	−2.6	710.8	710.0	711.2	57	57	75	NE 0	W 3	W 0	10	10	10	0.0	●tr. 12⅜–13½, 19
20	12.2	22.5	16.4	17.0	1.9	709.5	705.5	**704.3**	62	40	44	NE 1	W 2	ENE 0	1	8	2	0.2	
21	11.9	20.2	15.0	15.7	0.5	705.3	704.6	705.4	99	42	50	WSW 1	SW 2	WSW 1	10●	7	6	1.2	●° 5¼–5⅝, ● 6¼–7⅜
22	12.1	14.6	9.2	12.0	−3.3	708.8	710.8	714.5	72	53	56	W 2	SW 3	W 1	7	5	2	0.2	●° 5–5⅜, 8–9 m.U.
23	**7.9**	16.9	10.4	11.7	−3.7	716.5	714.4	716.3	64	39	50	NE 1	W 2	W 1	1	1	1	.	
24	9.1	18.8	12.0	13.3	−2.2	718.5	717.1	718.9	66	42	54	NE 1	SW 3	W 1	1	2	0	.	
25	10.6	20.6	16.4	15.9	0.2	722.4	720.4	722.0	65	41	42	NE 1	SW 2	W 1	1	1	1	.	
26	13.6	23.5	19.0	18.7	2.9	**724.5**	722.1	722.2	58	39	41	NE 1	WSW 2	W 1	2	2	0	.	
27	16.0	27.6	21.3	21.6	5.7	722.8	719.8	720.4	60	39	53	NE 0	WSW 3	NW 1	0	1	0	.	
28	19.1	28.2	22.0	23.1	7.1	722.4	722.1	720.6	59	46	55	NE 1	WNW 2	NE 1	1	2	0	.	
29	20.5	**28.8**	22.3	23.9	7.8	721.5	717.7	718.3	62	45	36	NE 1	WSW 1	NNE 0	0	2	2	.	
30	18.5	28.5	20.9	22.6	6.4	719.4	716.0	716.5	50	36	46	NE 1	SW 2	NNE 1	0	3	2	.	
31	18.0	27.5	21.4	22.3	6.0	717.7	714.3	714.9	63	42	49	NE 1	W 2	W 0	1	3	7	.	
																		Summe	
Mittel	12.1	20.3	15.0	15.8	—	716.1	714.2	714.9	68	44	53				3.8	4.3	3.9	9.6	

$\lambda = 8°\ 57'$, $\beta = 46°\ 0'$,
$H_b = 276.2$ m, $G = -0.01$ mm

Lugano

Mai 1944.
Beobachter: *G. Vicari.*

Tag	Lufttemperatur 7³⁰	13³⁰	21³⁰	Mittel	Abweich. vom Normalst	Luftdruck 7³⁰	13³⁰	21³⁰	Relative Feuchtigkeit 7³⁰	13³⁰	21³⁰	Windrichtung und Stärke 7³⁰	13³⁰	21³⁰	Bewölkung 7³⁰	13³⁰	21³⁰	Niederschlag	Witterung
1	10.8	24.4	15.8	17.0	3.7	738.3	738.2	740.8	58	22	27	E 1	NE 2	N 1	1	1	1	.	
2	9.4	21.8	14.8	15.3	1.9	741.6	739.2	738.4	67	40	65	E 0	S 1	N 1	9	9	0	.	
3	10.0	19.0	14.2	14.4	0.8	738.5	736.4	733.9	83	54	68	NW 1	S 1	N 1	1	10	1	.	
4	11.0	23.2	16.2	16.8	3.1	733.6	732.4	733.0	85	36	61	N 0	S 1	N 1	10	3	5	.	
5	14.2	14.8	13.2	14.1	0.3	734.5	734.6	734.4	76	70	100	S 0	ESE 0	N 0	10	10	10●	2.0	●° 8–9½, 20–23 m.U.
6	13.0	12.8	13.0	12.9	−1.1	736.2	735.2	736.2	78	96	97	N 0	SE 1	N 0	10	10●	10●	11.4	●tr. 9, ● 11–21 zeitw.
7	12.2	14.2	11.8	12.7	−1.4	737.0	736.5	736.8	94	78	94	E 0	S 0	N 1	10	10●	10●	14.7	● 6–n m.U.
8	11.2	17.2	13.2	13.9	−0.3	737.0	738.2	742.4	75	29	78	NNE 1	S 1	N 1	10	8	10	.	
9	10.6	15.0	12.0	12.5	−1.9	745.3	744.9	745.4	67	49	67	N 1	S 1	N 1	9	9	4	.	
10	10.8	16.8	10.2	12.6	−1.9	744.1	741.3	740.4	78	47	70	SW 0	W 1	N 1	9	10	6	.	
11	9.4	22.8	14.2	15.5	0.9	738.7	737.7	739.3	85	22	55	N 1	NNE 2	N 1	4	3	9	.	
12	11.4	20.2	15.4	15.7	0.9	739.7	738.1	738.1	71	46	58	E 0	S 1	N 1	10	4	2	.	
13	11.6	23.2	16.8	17.2	2.3	737.7	736.0	737.2	77	36	52	N 0	S 1	N 2	1	1	0	.	
14	13.0	21.0	18.0	17.3	2.3	738.1	736.9	736.1	88	51	60	E 0	S 1	N 1	3	9	10	.	●tr. 14
15	12.2	23.8	14.4	16.8	1.6	735.3	734.2	735.4	79	44	72	S 1	S 1	N 1	1	6	4	30.6	⛆ 17½–18, 23–24, ● n
16	12.2	13.2	13.0	12.8	−2.5	735.4	734.9	733.4	96	91	93	NE 1	WSW 1	N 1	10●	10	5	22.2	● n–15 m.U., ⛆ ▲ 22½–n
17	11.2	14.0	12.2	12.5	−2.9	734.9	734.5	735.0	96	67	92	NNE 1	WSW 1	NE 1	10●	9	10●	10.1	● 9–15 zeitw., 20–n m.U.
18	10.4	18.6	14.0	14.3	−1.3	735.7	735.6	736.5	87	42	67	NNE 1	S 1	N 1	7	6	0	.	
19	12.4	15.6	11.4	13.1	−2.6	736.6	736.4	736.9	74	61	90	N 1	SSW 0	NNE 1	10	10	10●	3.1	● 15–16, 17–n m.U.
20	12.0	15.2	13.2	13.5	−2.3	734.1	732.9	730.8	88	65	94	NE 0	ESE 0	N 1	10	10	10	18.3	● 9–13, 19–20 m.U., n
21	12.2	16.0	13.2	13.8	−2.2	728.0	728.8	729.5	94	60	80	NNE 1	SSE 1	NE 1	10	10	10	35.5	⛆ ● n (21./22.)
22	12.2	20.2	13.4	15.3	−0.8	729.2	729.6	734.3	54	26	24	NE 1	NW 1	NE 2	9	9	1	.	
23	11.0	19.0	13.4	14.5	−1.7	736.4	736.7	738.7	39	26	36	NW 1	SE 1	N 1	4	0	0	.	
24	11.4	18.8	14.2	14.8	−1.6	741.2	741.8	743.1	53	41	54	WSW 1	SE 1	N 1	10	2	10	.	
25	11.6	20.8	16.4	16.3	−0.2	745.1	744.5	744.5	75	45	61	NE 1	SE 1	N 1	0	1	8	.	
26	14.0	25.2	18.6	19.3	2.7	745.6	744.1	743.9	75	38	50	E 0	SSE 1	N 1	7	0	0	.	
27	15.4	26.2	19.4	20.3	3.5	744.5	744.3	744.4	68	42	53	E 0	S 1	NNE 1	1	0	0	.	
28	18.0	24.2	19.2	20.5	3.6	748.4	747.0	745.6	64	43	67	SSE 0	S 1	N 1	10	1	0	.	
29	17.6	23.8	19.0	20.1	3.1	747.7	746.0	744.6	88	44	64	ENE 0	S 1	N 1	10	9	0	.	
30	16.4	26.2	20.6	21.1	3.9	743.8	742.1	741.1	83	43	60	NE 0	SE 1	NNE 1	0	1	0	.	
31	16.4	27.2	20.8	21.5	4.2	740.8	739.2	738.0	82	41	54	E 0	SSE 1	N 1	0	0	0	.	
																		Summe	
Mittel	12.4	19.8	15.0	15.7	—	738.8	738.0	738.3	77	48	67				6.6	5.8	4.7	147.9	

$\lambda = 7°\ 35'$, $\beta = 47°\ 33'$,
$H_b = 318$ m, $G = 0.11$ mm.

Basel

Mai 1944.
Beobachter: *Astronom.-Meteorol. Anstalt.*

1	10.0	19.4	13.6	14.3	3.6	740.5	739.3	738.5	79	50	65	SSE 1	WSW 1	SSW 1	9	8	2	.	⊕ 14
2	10.6	21.7	13.3	15.2	4.4	738.1	736.6	735.5	68	38	62	E 1	W 1	SSW 1	9	7	0	.	⊕ 8
3	14.0	22.8	14.4	17.1	6.1	733.8	732.1	733.5	62	26	51	ESE 0	WSW 3	W 1	0	8	8	.	
4	9.8	16.9	13.7	13.5	2.4	734.7	732.9	731.4	65	54	56	W 1	WNW 1	SW 1	10	9	10	.	
5	12.5	19.0	11.1	14.2	3.0	730.6	729.4	730.2	65	41	87	SSW 1	WSW 3	WSW 1	10	10	10●	2.1	●° n, ● 19¾–22¾ m.U., [⊕ 14
6	10.1	15.0	9.8	11.6	0.2	731.2	732.0	735.2	79	49	76	SW 1	W 1	WSW 1	10	9	9	.	● 1¼–1½
7	5.1	8.2	4.4	5.9	−5.6	737.3	738.7	739.3	78	57	71	WNW 2	W 1	WNW 1	10	10	4	.	
8	4.7	13.2	6.1	8.0	−3.7	741.0	740.1	741.4	71	44	69	SSW 0	N 1	WNW 0	0	1	0	.	
9	4.4	17.4	11.3	11.0	−0.8	742.4	740.4	740.0	73	34	55	SSW 0	NNE 1	ENE 1	0	0	1	.	⌙ 7
10	7.1	16.2	10.6	11.3	−0.6	737.5	736.4	736.6	68	55	71	WNW 1	NNW 0	S 1	3	10	8	.	
11	10.1	18.8	8.5	12.5	0.4	738.3	738.0	737.9	76	37	93	NNW 0	WNW 1	ESE 1	7	3	0	2.0	● 17¾
12	8.5	21.2	13.7	14.5	2.3	736.9	734.6	733.7	81	44	60	NNW 0	ENE 1	ENE 1	0	2	0	.	⌙ 1
13	11.0	24.0	15.3	16.8	4.4	724.3	732.9	732.7	69	36	60	SE 1	NNW 1	SE 1	0	0	0	.	
14	11.9	14.5	10.4	12.3	−0.2	723.3	734.9	735.8	77	88	95	E 1	WNW 1	SSE 1	10	10	2	4.6	● 8½–11, 19–2[illegible]
15	5.7	7.4	6.2	6.4	−0.2	737.6	737.4	736.4	88	85	84	WNW 1	WNW 1	WNW 1	10	10	10	.	[⛆ 18½–19½
16	4.4	11.4	7.4	7.7	−5.1	734.8	734.6	734.5	90	70	89	W 1	SSE 1	SSW 0	10	10	10	.	
17	7.7	12.9	8.8	9.8	−3.1	735.1	734.3	734.6	80	53	86	SSW 1	WSW 1	SW 1	9	10	10	.	● 20–20½
18	10.6	16.8	8.8	12.1	−0.9	734.4	733.6	732.5	73	39	78	ESE 1	WSW 1	SSW 1	0	3	8	.	
19	9.4	14.9	10.0	11.4	−1.8	731.7	730.9	731.1	75	60	95	ESE 0	W 1	ENE 0	8	10	10●	3.1	● 14½–21½ m.U.
20	8.3	23.2	13.6	15.0	1.7	729.3	726.6	728.5	98	47	82	E 1	WNW 1	WSW 1	10	2	0	14.5	≡ 1–8½
21	11.8	14.3	11.6	12.6	−0.8	724.5	726.1	727.3	96	84	82	SSW 1	SW 1	W 1	10●	10●	10	12.7	● 0½–17¾ m U., ⛆ 2
22	8.0	9.7	7.3	8.3	−5.2	730.7	734.4	737.0	86	65	89	NW 1	N 1	WNW 0	9	10	10	0.5	● 0¾–6 m.U.
23	8.8	14.9	8.8	10.8	−2.9	738.0	738.2	739.2	78	46	73	SW 1	WNW 1	WNW 1	2	2	10	.	● 3–3¾, ⏢ 1
24	8.4	16.9	8.6	11.1	−2.7	740.7	740.6	740.8	78	43	83	WNW 1	N 1	SSW 1	2	4	0	.	⏢ 1
25	9.2	21.3	10.5	13.7	−0.2	742.7	741.8	742.5	70	38	81	E 1	WNW 1	SSW 1	1	0	0	.	⏢° 1
26	14.6	22.6	14.9	17.4	3.4	744.1	743.5	743.3	72	43	74	SSE 0	WNW 1	SSW 1	10	1	2	.	Ψ III
27	15.1	27.4	21.4	21.3	7.2	743.5	742.0	741.3	68	45	59	ENE 1	NNW 1	NE 1	0	0	0	.	
28	19.6	28.0	20.0	22.8	8.8	742.7	741.7	741.1	67	44	55	WNW 1	W 1	E 1	1	5	0	.	Ψ III
29	18.7	29.1	17.6	21.8	7.5	741.3	739.0	737.4	54	39	72	ENE 1	SSW 1	ESE 1	1	0	0	.	
30	19.3	29.8	21.6	23.6	9.2	738.3	736.3	735.6	55	46	67	ESE 1	SSW 1	SW 1	0	1	10	.	Ψ III
31	20.6	27.8	18.8	22.4	7.9	739.8	734.9	734.6	62	43	72	E 1	NNW 1	SW 1	0	1	5	.	●tr. 16¼–16¾, ☿ 15¼
																		Summe	
Mittel	10.6	18.6	12.[illegible]	13.7	—	736.7	735.9	735.9	74	50	74				5.3	5.4	4.8	39.5	

Mai 1944.
Beobachter: *Observatorium.*

Säntis

$\lambda = 9° 20'$, $\beta = 47° 15'$,
$H_b = 2500.1$ m, $G = -0.27$ mm.

Tag	Lufttemperatur					Luftdruck			Relative Feuchtigkeit			Windrichtung und Stärke			Bewölkung			Niederschlag	Witterung
	7^{30}	13^{30}	21^{30}	Mittel	Abweich. vom Normalst	7^{30}	13^{30}	21^{30}	7^{30}	13^{30}	21^{30}	7^{30}	13^{30}	21^{30}	7^{30}	13^{30}	21^{30}		
1	-4.8	-2.8	-2.0	-3.2	-0.7	564.4	566.0	566.2	100	100	100	W 3	NW 3	W 2	10≡	10≡	10≡	.	≡ n-n m.U., ⋁ II
2	-2.4	-0.6	-0.1	-1.0	1.3	565.4	565.7	564.9	98	96	89	W 3	W 3	W 4	10≡	7	9	.	≡ n-11½ m.U., ⸗ p-n
3	-0.3	0.7	-1.4	-0.3	1.8	563.0	562.3	561.7	57	82	100	WSW 4	WSW 3	W 4	3	3	10	1.6	△sch. 20¼, ⸗ n-n
4	-3.3	-1.3	-1.0	-1.9	0.0	560.9	561.0	560.9	100	100	100	W 3	W 3	W 3	10≡	10≡	10≡	.	≡ n-n, ⋁ (10½)
5	-1.8	0.0	-0.8	-0.9	0.8	559.2	559.2	559.2	100	98	100	WSW 3	W 3	WSW 3	10≡	10≡	10≡	8.5	✳△ 8¼-21 m.U., ≡ n-n
6	-1.2	1.2	-4.0	-1.3	0.3	558.9	559.8	561.3	98	84	100	SW 2	WSW 2	W 3	10≡	10≡	10≡*	4.7	✳ 17-n, ≡ n-n
7	-4.0	-4.0	-6.0	-4.7	-3.3	561.4	561.8	562.3	100	96	98	WSW 1	W 2	WSW 1	10≡*	10≡*	10≡	4.3	✳ 7-18 m.U., ≡ n-n
8	-7.4	-4.0	-7.0	-6.1	-4.9	562.4	564.1	565.2	95	78	81	WSW 1	SW 1	WSW 2	10≡	10	1	.	≡ n-17 m.U.
9	0.0	-1.0	-0.2	-0.4	0.7	566.1	567.4	567.3	8	25	45	NE 1	SSW 2	SSE 3	1	1	8	.	
10	7.3	8.6	-1.2	4.9	5.8	566.0	565.4	565.1	13	39	100	WSW 2	WSW 2	W 2	9	10	10≡*	10.2	✳° 20½-n, ≡ 18-n
11	-4.4	-1.8	-3.1	-3.1	-2.3	564.0	565.2	565.0	100	92	100	WNW 3	N 2	NE 3	10≡*	10≡*	10≡	6.7	✳ n-20¼ stw., ≡ n-n m.U.
12	0.8	2.0	-0.8	0.7	1.4	563.3	563.6	563.1	58	76	100	E 2	E 0	W 2	1	10≡	10≡	.	≡ 12⅝-n m.U.
13	-0.2	2.8	1.8	1.5	2.0	563.1	563.9	564.7	100	72	63	W 3	W 2	W 2	10≡	9	0	.	≡ n-11¼
14	3.1	1.4	0.0	1.5	1.9	564.1	564.2	564.3	75	94	100	W 3	WSW 2	W 2	10	10≡*	10≡	12.0	● 10⅝-11¼, ✳ 12¼-14, ≡
15	-1.2	2.4	-0.2	0.3	0.6	563.0	562.9	561.9	90	83	78	WNW 2	SW 1	WNW 1	10≡	10≡	3	4.4	✳° n-6½, ≡ n-20½ [11½-n
16	-0.4	-0.2	-5.2	-1.9	-1.7	560.1	560.1	560.8	97	90	100	SSW 1	W 0	WNW 2	10	10≡	10≡	5.6	✳ 15⅝-21 m.U., ≡ 8-n
17	-6.4	-2.2	-3.8	-4.1	-4.1	559.9	559.8	560.7	100	96	98	NE 2	ESE 1	SSE 0	10≡	10≡	10	4.6	✳ 16¼-20 m.U., ≡ n-21⅝
18	-3.8	1.2	-1.4	-1.3	-1.4	560.5	561.1	561.7	91	90	90	N 0	SSW 2	WSW 2	10	10≡	1	.	≡ 8-17½ zeitw.
19	3.7	2.0	0.0	1.9	1.7	560.8	560.4	560.4	38	75	81	SSW 2	SE 3	S 2	3	10	10	.	✳° 16¼-16⅝ m.U.
20	4.5	5.8	1.8	4.0	3.7	559.3	558.7	556.7	53	64	79	S 2	SSW 2	SE 3	1	10	3	.	
21	0.6	-1.6	-2.0	-1.0	-1.4	554.9	554.9	556.2	96	100	100	SSW 2	W 5	W 3	10≡*	10≡*	10≡	19.0	✳ △ 6⅝-17, ≡ 7-n
22	-4.6	-4.7	-8.4	-5.9	-6.4	556.2	558.6	560.9	100	93	95	NW 2	WNW 2	N 2	10≡*	10≡*	10≡*	18.4	✳ 6-n m.U., ≡ n-n
23	-8.9	-5.2	-6.9	-7.0	-7.6	561.1	562.5	563.9	92	95	96	NW 2	W 2	W 2	10	10≡	10≡	.	✳ n-7, 17-20 m.U., ≡
24	-6.2	-1.0	-4.8	-4.0	-4.7	564.4	565.7	566.6	96	82	97	NW 1	WSW 1	W 2	10	10≡	0	.	≡ 11-18 [11½-n
25	-1.8	-0.4	-1.2	-1.1	-1.9	567.8	569.0	569.9	74	69	98	WSW 2	W 3	W 4	4	4	2	.	≡ 15⅝-19 m.U., ⸗ III
26	-0.1	3.1	2.2	1.7	0.8	570.8	571.7	572.8	47	34	92	W 3	W 3	W 3	10	10	10	.	✳sch. 12, ⸗ a, p zeitw.
27	5.9	6.2	6.8	6.3	5.3	572.8	573.7	573.6	70	82	62	N 2	E 2	E 2	1	1	1	.	≡ 17¼-19
28	11.1	10.0	8.4	9.8	8.7	573.4	574.0	573.9	18	20	56	NE 1	ENE 2	NE 2	1	1	1	.	
29	9.8	10.7	8.2	9.6	8.4	572.4	572.0	571.3	23	46	80	NNE 3	SE 2	SSW 2	2	1	0	.	
30	8.6	12.0	8.6	9.7	8.4	570.7	570.5	570.0	39	40	77	WSW 2	SW 2	SW 1	1	1	3	.	
31	8.8	10.8	3.7	7.8	6.4	568.5	568.2	566.9	53	70	100	E 2	SSW 2	W 3	2	5	10●	19.7	⛉ ● 20¼-n, ≡ 19¼-n m.U.
																		Summe	
Mittel	0.0	1.6	-0.7	0.3	—	563.8	564.3	564.5	73	76	89				7.1	7.8	6.8	119.7	

Mai 1944.
Beobachter: Frl. *F. Lombardi.*

St. Gotthard (Hospiz)

$\lambda = 8° 34'$, $\beta = 46° 33'$,
$H_b = 2095.7$ m, $G = -0.25$ mm.

1	0.8	1.8	0.0	0.9	0.4	593.8	595.0	595.4	45	34	42	NE 3	NE 2	NE 3	5	8	5	.	
2	1.0	5.2	3.8	3.3	2.7	595.1	595.7	594.8	38	17	31	NE 2	W 1	W 0	2	0	0	.	
3	4.2	8.6	3.8	5.5	4.7	593.9	592.2	591.1	17	21	21	W 0	W 0	NE 2	0	0	5	.	
4	1.2	4.6	1.8	2.5	1.6	591.1	590.5	590.2	67	47	80	NE 2	W 1	W 0	5	0	5	.	≡ 8⅝-9½
5	3.2	4.2	2.0	3.1	2.0	589.3	589.3	588.5	32	75	100	S 0	S 0	S 0	10	10≡	10≡	3.1	● ° p zeitw., ≡ 13-n
6	1.8	3.2	-1.2	1.3	0.1	589.0	589.3	590.8	71	75	88	S 0	S 0	N 1	10	10●	10≡	3.5	●n-15 stw., ✳ 16½-18, ≡ 20-n
7	-0.8	-1.2	-3.6	-1.9	-3.2	590.9	591.1	591.7	100	100	100	N 1	N 1	N 2	10≡	10≡	10≡	3.4	✳ ⸸ 16⅝-19, ≡ n-n
8	-5.4	3.4	-5.6	-2.5	-3.9	591.5	593.3	594.8	100	67	100	N 2	N 1	N 1	10≡	5	0	.	≡ n-10¼
9	-6.8	6.8	0.8	0.3	-1.2	595.5	596.4	596.7	61	5	100	N 0	S 0	S 1	0	1	10≡	.	≡ 9¼-n
10	2.0	5.2	-1.0	2.1	0.5	595.5	595.1	594.2	10	25	30	S 0	S 0	S 0	3	5	10≡	.	≡ 19½-n
11	-3.0	1.0	-2.0	-1.3	-3.0	594.5	595.1	593.9	30	50	30	N 2	N 1	N 1	10≡	10	6	0.5	✳° selt 8⅝, ≡ n-8¼
12	1.0	7.0	-2.2	1.9	0.1	592.6	592.2	593.9	30	25	30	N 1	S 1	S 1	4	10	10≡	.	≡ 17-n
13	1.0	7.0	-1.0	2.3	0.4	592.5	593.5	594.1	50	28	40	N 1	N 1	N 1	0	2	0	.	
14	4.0	7.0	1.0	4.0	2.0	593.3	593.6	592.9	40	40	80	S 1	N 1	N 1	10	10	10≡	0.3	●° 14-14¼, ≡ 21-n
15	2.0	4.0	-1.0	1.7	-0.4	592.5	592.5	591.5	88	30	90	N 1	N 1	N 1	10≡	2	10●	1.8	● 20-n, ≡ n-9
16	0.5	4.0	3.5	2.7	0.5	589.1	590.5	590.4	100	85	90	S 1	S 1	S 1	10*≡	10	10	9.8	✳° n-17 zeitw., ≡ zeitw.
17	-3.0	-1.0	-1.5	-1.8	-4.1	589.5	589.3	590.1	100	100	100	N 1	N 1	N 2	10	10*	10≡	15.0	✳ 9-17, 16-n, ⸸ zeitw.
18	-1.0	3.0	-1.0	0.3	-2.1	590.0	590.5	591.5	100	60	90	N 1	N 1	N 1	10≡	10	10≡	5.6	●✳° 15-16½, ≡ n-10½, 20-n
19	1.0	1.0	-1.0	0.3	-2.2	590.1	590.5	588.9	90	90	100	S 1	S 1	S 1	10*≡	10≡	10≡	2.8	✳° n-9¼, ≡ n-n
20	2.0	2.5	1.0	1.8	-0.8	588.5	588.0	586.4	100	100	80	S 1	S 1	S 1	10≡	10●≡	10≡	13.8	● 10⅝-18½, ≡ n-n
21	4.0	4.5	-1.5	2.3	-0.4	584.5	584.9	585.0	50	50	100	S 1	S 1	S 1	10	10	10≡	6.5	● ✳ 20½-n, ≡ 17-n
22	-1.0	-3.0	-6.0	-3.3	-6.1	585.1	587.6	590.1	100	100	100	N 1	N 2	N 3	10≡	10≡	10≡	8.6	● ⸸ seit 15, ≡ n-n,
23	-4.5	-3.0	-3.0	-3.5	-6.4	591.8	592.3	594.7	100	100	100	N 3	N 2	N 1	10	2	0	.	[⸗ abds.
24	-7.0	2.0	-1.5	-2.2	-5.5	594.2	595.8	596.0	80	65	50	N 1	N 1	N 1	2	2	0	.	
25	0.5	6.0	1.4	2.6	-0.5	597.5	599.4	599.6	50	28	30	N 1	N 1	N 1	0	0	0	.	
26	3.0	8.0	-1.0	3.3	0.1	599.7	600.0	600.0	40	28	25	N 1	N 1	N 1	2	2	0	.	
27	7.0	13.5	7.2	9.2	5.9	600.1	600.2	602.2	25	25	43	N 1	N 1	NW 0	0	0	0	.	
28	7.4	13.4	8.4	9.7	6.3	602.4	602.2	602.3	85	32	89	S 1	S 1	S 1	5	0	0	.	
29	7.4	8.5	2.5	6.1	2.6	601.2	599.6	600.0	65	60	80	S 1	S 1	S 1	8	10	10≡	.	≡ 20½-n
30	9.0	14.0	7.0	10.0	6.4	599.8	599.1	598.7	20	20	25	S 0	S 1	S 1	0	0	0	.	
31	8.5	15.0	6.0	9.8	6.2	597.4	596.6	596.3	20	18	18	S 1	S 1	S 1	0	0	0	.	
																		Summe	
Mittel	1.3	5.0	0.5	2.3	—	593.3	593.6	593.8	61	52	67				6.0	5.5	6.2	74.7	

$\lambda = 7° 26'$, $\beta = 46° 57'$
$H_b = 572.2$ m, $G = 0.00$ mm.

Bern

Juni 1944.
Beobachter: *Tellur. Observatorium.*

Tag	Lufttemperatur 7^{30}	13^{30}	21^{30}	Mittel	Abweich. vom Normalst	Luftdruck 7^{30}	13^{30}	21^{30}	Relative Feuchtigkeit 7^{30}	13^{30}	21^{30}	Windrichtung und Stärke 7^{30}	13^{30}	21^{30}	Bewölkung 7^{30}	13^{30}	21^{30}	Niederschlag	Witterung
1	15.3	22.7	14.5	17.5	3.2	713.3	712.5	712.5	86	37	97	SE 0	W 2	SE 1	2	7	9	11.0	● 2-2¼, p ztw., 18¾-24 m.U.,
2	14.9	20.0	16.3	17.1	2.6	714.0	713.6	713.9	83	36	67	W 1	WNW 2	NE 0	3	2	9	.	[K 20¾-23½
3	14.2	17.4	14.6	15.4	0.8	714.1	714.3	714.9	83	58	73	NE 0	NE 1	NE 1	9	9	6	.	
4	14.4	20.2	16.8	17.1	2.4	715.1	714.3	712.7	73	38	58	E 0	NE 1	NE 0	9	1	1	.	Ψ III
5	14.5	**24.2**	12.0	16.9	2.1	711.5	709.0	711.3	82	**27**	97	S 0	WNW 2	S 1	5	9	10●	18.5	● 18¼-22¼, K 18½, △ I
6	11.2	12.4	10.1	11.2	-3.7	709.0	707.8	707.3	93	80	88	W 1	W 1	WSW 1	10	10	9	5.2	● 0-22 zeitw.
7	8.8	9.1	9.0	9.0	-6.0	705.4	706.5	709.1	97	87	73	SW 1	S 0	WSW 2	10●	10	10	2.9	● 2½-8¾, 12¾-13¼, 21½-
8	9.0	15.2	12.4	12.2	-2.9	710.4	709.9	710.7	93	40	60	S 0	WSW 2	SW 0	9	8	7	.	● 3¼-4, ⊕ II [22½ m.U.
9	10.2	18.3	14.8	14.4	-0.8	709.8	707.7	706.6	80	42	86	S 0	NW 0	NE 0	7	9	9	0.3	● 15¼-15¾, ⊕ 13¼-13¾
10	13.1	11.9	10.5	11.8	-3.5	**705.3**	705.9	707.4	89	96	97	W 1	WSW 2	WSW 1	10●	9●	10●	7.6	● 7-13¾ m.U., 19¼-n
11	11.1	16.2	13.6	13.6	-1.8	710.4	711.0	713.9	84	39	63	S 0	NW 1	NE 0	8	4	6	.	● n-1¾
12	12.0	18.9	15.5	15.5	0.0	716.1	717.4	**717.6**	80	43	86	SE 1	WNW 1	NE 0	3	9	1	.	△ I
13	14.4	22.4	19.0	18.6	3.0	717.3	715.2	714.7	83	43	62	E 0	W 1	SW 0	1	1	1	3.1	△ I
14	14.4	20.3	13.0	15.9	0.2	713.6	713.3	716.3	98	50	53	S 0	WSW 3	N 1	9	7	7	.	● 5-8½ m.U., T 7-8 zeitw.
15	12.3	17.7	13.0	14.3	-1.5	717.2	716.7	717.2	64	31	51	W 0	N 1	NE 0	5	2	3	.	
16	10.5	15.1	11.8	12.5	-3.4	715.8	713.6	713.3	82	79	94	SE 0	NW 1	SW 0	5	9	10	9.5	● 12¾-18¾ zeitw., △ I
17	10.8	9.4	8.3	9.5	-6.5	709.5	709.9	710.9	100	84	89	W 1	NW 2	NW 1	10●	10●	10●	7.6	● 5-n m.U.
18	**7.8**	11.0	9.3	9.4	-6.7	710.2	709.5	709.3	95	74	99	SE 0	NE 1	NE 0	10	10	10●	6.3	● n-3¼ m.U., 16¾-n, ●° p
19	9.1	14.5	12.5	12.0	-4.2	706.3	705.8	707.1	98	78	97	E 0	NE 1	NE 0	10	9	7	0.6	● n-8¾, ●° a
20	13.0	18.3	14.8	15.4	-0.9	707.7	708.0	709.5	97	54	82	SE 0	NE 2	NE 0	9	5	3	.	● 5¾-6
21	14.3	18.8	15.9	16.3	-0.1	709.6	709.1	709.4	88	71	88	NE 0	NE 1	NE 1	7	8	2	.	
22	13.2	21.5	17.2	17.3	0.8	709.3	707.7	707.4	94	43	68	SE 0	NNE 2	NE 0	9	3	6	.	≡ fr., △ I
23	14.1	21.7	15.5	17.1	0.5	708.0	707.5	709.1	93	43	58	SE 0	WNW 1	N 1	9	5	9	.	
24	12.0	16.8	12.9	13.9	-2.7	710.5	710.6	711.0	81	58	63	NE 1	NNE 2	NE 1	4	3	1	.	
25	11.4	20.7	16.5	16.2	-0.5	710.7	710.3	710.9	78	44	73	NE 0	W 1	SE 0	0	1	1	2.3	△ I
26	13.8	19.0	14.9	15.9	-0.9	711.3	710.2	708.6	97	57	94	E 0	WSW 3	NE 0	2	10	4	4.6	● 5-16 zeitw., K● 23¼-24
27	14.1	18.9	13.0	15.3	-1.6	707.3	707.7	710.6	93	68	97	NW 0	W 1	W 0	10●	7	9	4.9	✱● 0¾-1¼, ● 5¾-19¼ ztw.
28	13.4	20.0	14.6	16.0	-1.0	712.0	711.6	714.1	93	56	96	NE 0	NW 2	SE 0	9	7	2	1.1	●tr. 7¾, 13¾, ● 20¾-21
29	14.0	23.6	18.3	18.6	1.6	714.4	711.8	708.4	82	33	89	SE 1	N 0	S 0	1	2	9	15.9	● 21-n m.U., K 21¾
30	14.8	20.4	16.8	17.3	0.2	712.1	712.3	712.9	80	40	55	W 1	W 3	NE 0	2	4	9	.	● 0-3¼ m.U.
Mittel	12.5	17.9	13.9	14.8	—	711.2	710.7	711.3	87	54	78				6.6	6.3	6.3	Summe 101.4	

$\lambda = 6° 57'$, $\beta = 47° 0'$,
$H_b = 487.3$ m, $G = 0.02$ mm.

Neuchâtel

Juni 1944.
Beobachter: *Observatorium.*

Tag	Lufttemperatur 7^{30}	13^{30}	21^{30}	Mittel	Abweich. vom Normalst	Luftdruck 7^{30}	13^{30}	21^{30}	Relative Feuchtigkeit 7^{30}	13^{30}	21^{30}	Windrichtung und Stärke 7^{30}	13^{30}	21^{30}	Bewölkung 7^{30}	13^{30}	21^{30}	Niederschlag	Witterung
1	15.6	20.0	13.9	16.5	1.5	720.7	720.0	719.8	92	80	99	S 1	W 1	NW 0	3	7	7	**20.2**	● 11¾-n ztw., K 13¾-14¼
2	15.8	21.0	17.2	18.0	2.8	721.4	721.2	720.9	72	55	64	SW 1	S 1	N 2	3	5	9	.	[abds.
3	15.7	18.0	15.6	16.4	1.1	721.5	721.6	722.1	65	61	58	N 2	N 2	N 3	8	8	2	.	
4	14.5	23.0	17.8	18.4	3.0	722.7	721.7	720.0	71	45	59	E 1	SE 1	N 1	4	2	2	.	
5	14.2	22.7	12.7	16.5	1.0	718.9	716.5	718.6	83	52	98	NE 1	SW 2	SW 1	5	10●	10	10.4	●^{2}sch. 17¾-n zeitw.
6	12.6	12.7	11.5	12.3	-3.3	716.3	715.4	714.8	75	71	74	SW 2	SW 2	W 1	9	10	10	1.3	●° a m.U., n
7	10.8	13.1	10.2	11.4	-4.3	**712.6**	713.3	716.5	71	55	69	W 2	NW 2	W 2	9	9	9	0.3	● n (7./8.)
8	10.5	16.6	12.5	13.2	-2.6	718.0	717.5	718.0	73	56	65	SW 1	SW 1	SW 1	8	7	1	.	●°sch. 15
9	11.2	19.9	16.7	15.9	0.0	717.3	715.3	713.9	76	52	66	SW 1	S 1	NE 1	10	9	10●	1.0	●° 21½-n
10	13.3	13.3	11.2	12.6	-3.4	712.4	713.4	715.0	92	91	96	W 1	SW 2	SW 1	10●	10	10●	19.4	● n-12½, 16½-n
11	12.2	18.9	14.4	15.2	-0.9	717.7	718.6	721.2	83	54	61	SW 1	S 1	SW 0	7	3	1	.	
12	12.1	19.1	17.0	16.1	-0.1	723.9	725.0	**725.3**	82	58	78	E 1	SW 1	NE 0	7	10	7	.	
13	13.8	**24.5**	19.8	19.4	3.1	724.9	722.8	721.8	91	51	62	SE 1	S 1	SW 0	1	1	0	.	
14	17.4	21.4	14.4	17.7	1.3	720.7	721.2	723.4	80	59	56	SW 1	N 2	N 3	8	4	4	.	
15	13.7	19.6	14.6	16.0	-0.5	724.7	724.5	724.7	54	45	54	NE 1	NE 1	N 3	0	3	0	.	
16	11.5	17.9	12.8	14.1	-2.5	723.7	721.2	720.7	80	66	85	E 1	SW 0	SW 1	4	9	10	6.8	● 11¾-12, 16-n m.U.
17	11.7	11.3	**9.0**	10.7	-6.0	716.9	717.4	718.8	95	70	92	SW 1	NW 2	SW 0	10	10	10	0.4	●° 16½-n m.U.
18	10.1	14.3	10.4	11.6	-5.2	717.5	716.7	716.8	85	69	97	NE 1	E 2	NE 0	10	8	10●	2.1	●° 17-n m.U.
19	10.4	13.6	13.9	12.6	-4.3	713.7	713.4	714.3	97	92	89	NE 0	E 0	N 1	10●	10	3	1.6	● n a, n
20	14.9	23.8	16.7	18.5	1.5	715.0	715.3	716.9	98	46	71	E 1	E 2	NE 1	9	3	9	.	
21	15.7	22.4	17.8	18.6	1.6	716.9	716.7	716.6	87	56	63	NE 1	E 2	NE 2	9	7	3	.	
22	14.3	23.2	19.4	19.0	1.9	716.8	715.1	714.6	89	46	55	NE 1	E 1	N 2	3	4	7	.	
23	16.3	23.7	15.7	18.6	1.4	715.3	714.9	716.1	85	42	54	NE 1	W 2	N 3	2	1	2	.	
24	13.3	22.5	15.0	16.9	-0.4	718.1	717.8	718.4	68	43	49	E 2	E 2	N 2	2	2	0	.	
25	12.6	22.9	18.1	17.9	0.5	718.4	717.8	718.2	72	42	60	E 1	SE 1	W 1	0	0	5	.	
26	15.7	20.9	15.3	17.3	-0.2	718.6	717.5	715.8	82	60	83	E 1	SW 2	N 1	3	10	4	1.8	● 15¼-17¼
27	15.0	19.7	13.1	15.9	-1.6	714.6	715.0	717.8	94	60	94	SW 0	SW 3	W 1	10	9	7	9.2	●° n-a, ● 17-19
28	14.9	19.2	16.8	17.0	-0.6	719.5	719.3	721.5	91	77	81	E 1	SW 1	SW 1	9	10●	3	0.8	●sch. 11¾-14 zeitw.
29	13.9	**24.5**	19.6	19.3	1.6	722.2	719.3	715.9	89	**41**	72	E 1	SE 1	NW 1	0	2	10	2.2	● 20½-21, n
30	16.1	22.5	17.4	18.7	0.9	719.5	719.8	721.3	79	42	56	SW 1	W 3	NW 0	3	2	8	.	
Mittel	13.7	19.5	15.0	16.1	—	718.7	718.2	718.7	82	58	72				5.9	6.2	5.8	Summe 77.5	

Juni 1944.
Beobachter: Frl. *H. Nager.*

Altdorf

$\lambda = 8° 39'$, $\beta = 46° 53'$,
$H_b = 456.3$ m, $G = -0.05$ mm.

Tag	Lufttemperatur					Luftdruck			Relative Feuchtigkeit			Windrichtung und Stärke			Bewölkung			Niederschlag	Witterung
	7^{30}	13^{30}	21^{30}	Mittel	Abweich. vom Normalst	7^{30}	13^{30}	21^{30}	7^{30}	13^{30}	21^{30}	7^{30}	13^{30}	21^{30}	7^{30}	13^{30}	21^{30}		
1	15.6	19.5	16.7	17.3	2.3	722.7	722.8	722.8	84	62	90	E 0	NW 0	SW 0	4	8	10	10.7	● 13, abds. zeitw.
2	15.5	21.9	17.5	18.3	3.2	722.7	723.1	723.7	74	48	60	E 0	NW 1	N 0	10	8	10●	0.3	● III
3	16.4	17.1	14.1	15.9	0.7	723.7	724.1	724.5	72	56	87	NE 0	NW 0	NE 0	10	10	9	.	
4	13.4	20.4	15.1	16.3	1.0	725.4	723.5	722.7	82	52	66	NE 0	NW 0–1	NW 0	6	4	0	.	
5	15.1	**23.4**	13.9	17.5	2.1	720.8	717.8	720.8	60	43	95	E 2	NW 1	NW 0	2	7	10●	17.3	● III
6	13.2	15.3	10.8	13.1	−2.3	718.1	716.8	717.1	92	59	94	NW 0	W 0	NW 0	10●	10	10●	9.0	● I, III
7	10.4	12.4	**9.3**	10.7	−4.8	714.7	715.2	718.4	93	63	92	W 0	NW 0	E 0	10●	10	10	4.7	● I, abds. zeitw.
8	10.5	14.2	11.4	12.0	−3.6	719.4	719.7	720.6	72	46	86	NE 0	NW 0	NW 0	7	9	10	0.3	
9	9.9	18.4	14.4	14.2	−1.5	719.3	717.3	716.5	85	44	83	N 0	NW 0	NW 0	2	8	9	.	
10	14.6	14.8	12.8	14.1	−1.7	713.7	715.1	716.7	79	66	93	SE 0	NW 1	NW 0	9	10●	10●	4.4	● II, III
11	12.0	17.2	13.9	14.4	−1.5	719.8	720.3	723.8	74	42	70	S 0	NW 0	NW 0	9	8	8	.	
12	11.9	20.1	15.1	15.7	−0.2	726.4	726.9	728.1	81	49	70	E 0	NW 1	E 0	2	7	6	.	
13	13.2	22.0	17.5	17.6	1.6	726.9	724.5	724.6	80	47	90	E 0	NW 0–1	SE 0	0	2	7	1.7	
14	16.4	16.5	13.1	15.3	−0.8	722.8	723.2	726.1	85	87	94	SE 0	E 0	E 0	4	10●	10●	23.4	● II, III
15	12.8	18.8	14.3	15.3	−0.9	726.9	726.0	**727.0**	85	**39**	55	W 0	NW 1	N 0	9	6	7	.	
16	11.5	17.9	12.4	13.9	−2.4	725.6	722.7	722.9	73	45	91	SE 0	NW 1–2	NW 0	4	10	10	3.4	● seit 17 zeitw.
17	12.8	12.5	9.5	11.6	−4.7	718.4	719.2	720.6	88	77	94	NW 0	W 0–1	NW 1	9	10●	10●	**28.2**	● I, II
18	9.0	11.5	10.3	10.3	−6.1	719.7	719.1	719.3	94	73	94	W 0	NW 0–1	NW 0	10●	10	10●	6.7	● I, III
19	10.6	16.5	12.0	13.0	−3.5	716.0	**713.8**	716.7	94	84	91	NW 0	NW 0–1	NW 0	10	10	10	5.4	
20	14.1	18.0	14.7	15.6	−1.0	717.1	717.5	719.7	95	75	95	NW 0	W 0–1	NW 0	10	10●	10	0.3	● II
21	13.8	21.1	14.8	16.6	0.0	719.3	718.7	719.2	98	54	90	NW 0	NW 1	W 0	10	8	4	.	
22	13.9	20.3	16.3	16.8	0.1	718.8	716.8	717.1	84	55	76	W 0	E 0	NW 0	10	7	7	.	
23	16.4	18.8	15.2	16.8	0.0	717.1	716.9	718.5	79	60	85	NW 0	NW 1	NW 0	9	10	10	0.3	● abds. zeitw.
24	13.3	17.1	14.7	15.0	−1.9	720.0	720.1	721.7	71	54	75	NW 0	NW 1	N 0	10	6	7	.	
25	11.8	19.0	14.1	15.0	−1.9	720.3	719.1	720.7	83	51	93	NE 0	N 0–1	E 0	0	1	2	1.2	⛆ 17½
26	14.2	21.6	15.7	17.2	0.2	720.7	718.5	718.9	78	46	83	SW 0	E 0	NW 0	2	9	10	.	
27	17.4	21.4	14.8	17.9	0.8	715.6	716.7	720.4	55	54	94	NE 1	NW 1	SW 0	6	9	10●	9.1	● ⛆ III
28	15.1	19.8	14.3	16.4	−0.7	721.0	721.7	723.9	91	65	90	S 0	NW 0	SE 0	4	10	7	3.3	●sch. zeitw.
29	13.9	22.7	22.7	19.8	2.6	724.0	721.4	718.8	83	48	31	SE 0	NW 0–1	S 2	1	5	6	6.7	● n (29./30.)
30	15.7	21.8	16.2	17.9	0.6	721.6	721.0	722.9	80	45	77	NE 0	NW 1	NW 0	5	7	10	.	
Mittel	13.5	18.4	14.2	15.4	—	720.6	720.0	721.2	82	56	83				6.5	8.0	8.3	Summe 136.4	

Juni 1944.
Beobachter: *Observatorium.*

Genf

$\lambda = 6° 9'$, $\beta = 46° 12'$,
$H_b = 405.0$ m, $G = -0.03$ mm.

1	19.2	18.7	19.2	19.0	3.5	728.0	727.9	727.3	63	77	77	S 0	E 0	WNW 0	3	8	7	5.2	● T 11⅝, n
2	19.5	23.3	18.4	20.4	4.8	728.8	727.8	728.1	60	43	60	WNW 0	E 0	ENE 1	6	2	8	.	
3	16.0	21.5	16.7	18.1	2.4	728.3	727.8	728.5	74	49	56	NE 0	NNE 2	ENE 1	10	5	1	.	
4	15.7	22.2	19.4	19.1	3.2	729.3	728.1	726.8	68	42	59	NNE 0	NE 1	ENE 0	0	1	3	.	
5	17.8	25.7	14.3	19.3	3.3	725.9	724.2	725.8	63	41	83	NNE 0	SW 1	E 1	2	9	10●	9.5	● T 16, ● III
6	14.7	14.8	11.5	13.7	−2.4	723.9	723.3	722.8	66	64	86	SW 1	SW 1	S 1	9	10	9	0.0	●°sch. p
7	12.4	16.3	11.0	13.2	−3.0	**720.0**	720.8	724.3	83	47	73	WSW 1	SW 2	ESE 1	10	7	9	.	
8	12.3	19.6	13.9	15.3	−1.0	725.3	724.8	725.2	68	40	59	E 1	WSW 1	SE 1	1	3	0	.	
9	13.4	23.1	16.1	17.5	1.1	724.3	722.0	720.4	65	42	74	E 0	NNE 1	NE 0	1	8	5	3.5	●°sch. 14¼, ● abds., n
10	14.0	16.5	12.3	14.3	−2.2	720.2	721.0	722.3	90	69	92	W 1	SE 0	E 0	10●	5	9	**12.2**	● n–n m.U.
11	13.6	17.6	15.0	15.4	−1.2	725.0	725.7	728.2	75	49	66	E 0	NNE 1	NE 0	5	1	0	.	
12	12.7	20.6	17.8	17.0	0.3	731.1	731.8	**732.0**	72	48	71	ENE 0	NNE 1	NE 0	1	2	0	.	
13	16.8	25.2	21.2	21.1	4.3	731.8	729.6	729.0	79	54	62	NE 1	NE 0	SE 0	0	1	0	.	
14	20.4	23.0	17.6	20.3	3.4	728.1	729.1	729.8	66	48	50	NE 1	SW 1	NE 1	9	2	2	.	
15	13.4	19.8	15.5	16.2	−3.8	731.9	731.0	731.4	68	41	55	NE 1	NNE 1	E 1	0	0	0	.	
16	13.8	21.8	13.5	16.4	−0.7	730.7	727.7	727.5	63	44	80	NE 1	W 1	E 1	3	9	9	2.5	●sch. 9–n zeitw.
17	13.4	14.0	**10.8**	12.7	−4.5	724.8	724.8	725.7	86	59	80	S 1	N 2	ENE 1	10●	10	10	1 8	● I, ●° 14⅜–n zeitw.
18	12.3	15.8	12.3	13.5	−3.8	724.2	723.1	723.1	73	52	80	NE 1	NNE 2	ENE 1	9	9	10	0.5	●° abds.–n zeitw.
19	11.5	16.6	16.3	14.8	−2.6	720.6	720.0	721.2	92	75	76	E 1	SE 0	ENE 0	10●	10	6	0.2	●°sch. a zeitw.
20	16.2	21.5	18.3	18.7	1.2	722.1	722.0	723.1	82	61	71	ESE 0	NNE 2	NNE 1	9	7	5	.	
21	16.2	22.3	19.2	19.2	1.6	723.9	722.7	723.4	79	43	63	NNE 1	N 1	NE 1	6	1	1	.	
22	17.3	21.0	19.5	19.3	1.7	723.3	721.8	722.0	75	65	63	NE 1	NE 1	ENE 1	2	8	8	0.5	● ⛆ 22¼, T 12⅝
23	17.2	**26.0**	18.4	20.5	2.8	722.3	721.6	722.7	82	43	56	NE 0	NE 1	NE 1	0	3	2	.	
24	15.0	21.8	16.7	17.8	0.0	724.5	723.8	725.1	70	41	59	NNE 1	NNE 1	NNE 2	0	1	0	.	
25	14.6	24.8	20.5	20.0	2.1	725.4	724.4	725.3	66	**36**	53	NE 1	W 1	SSE 1	0	0	1	.	
26	20.1	22.1	18.2	20.1	2.1	725.5	724.1	722.5	64	58	80	SE 1	W 1	NE 1	2	10	9	0.4	● n (26./27.)
27	16.4	20.2	15.2	17.3	−0.8	721.9	722.8	724.9	76	62	92	SSW 1	W 1	NE 0	10●	9	8	5.0	●°sch. a, ⛆ ●sch. 16¼
28	16.4	24.4	17.2	19.3	1.2	726.7	725.6	728.4	83	48	80	E 0	S 1	NE 0	9	8	3	1.4	● ⛆ 17½
29	16.7	23.8	21.6	20.7	2.5	728.8	725.8	724.4	76	51	55	E 0	NNE 1	W 1	1	1	10●	5 0	● ⛆ 21¼–n
30	19.0	23.4	19.4	20.6	2.3	727.0	726.9	726.9	64	43	58	S 1	S 1	ESE 1	2	2	3	.	
Mittel	15.6	20.9	16.6	17.7	—	725.8	725.1	725.6	73	51	69				4.7	5.1	4.9	Summe 47.7	

$\lambda = 8°\ 33'$, $\beta = 47°\ 23'$,
$H_b = 493.2$ m, $G = 0.03$ mm.

Zürich

Juni 1944.
Beobachter: *Meteorol. Zentralanstalt.*

Tag	Lufttemperatur 7³⁰	13³⁰	21³⁰	Mittel	Abweich. vom Normalst	Luftdruck 7³⁰	13³⁰	21³⁰	Relative Feuchtigkeit 7³⁰	13³⁰	21³⁰	Windrichtung und Stärke 7³⁰	13³⁰	21³⁰	Bewölkung 7³⁰	13³⁰	21³⁰	Niederschlag	Witterung
1	16 8	21 7	17.2	18.6	3.6	719.7	719.2	718.8	77	53	86	SE 0	NW 1	WNW 1	3	9	9	7.0	☇● 16⁸/₄, 17⁸/₄-18¹/₂, ● 22⁸/₄-n
2	15.6	21.4	16.6	17.9	2.8	720.2	720.4	720.6	72	43	70	WNW 1	NW 1	ENE 1	2	4	9	.	● n-3¹/₄ zeitw.
3	14.4	18.2	12.9	15.2	0.0	720.9	721.0	721.9	83	63	72	NW 0	S 0	NNE 1	10	9	1	.	●° mtgs.
4	13.9	22.4	16.6	17.6	2.3	722.1	721.1	719.4	77	37	68	N 0	SW 1	ENE 1	8	2	1	.	
5	14.8	24.5	12.3	17.2	1.8	718.0	715.4	717.9	76	33	95	ENE 0	W 2	SW 1	7	9	10●	16.5	● 19¹/₂-23¹/₂
6	12.1	12.6	11.6	12.1	−3.4	715.1	714.1	713.6	86	80	72	W 1	WNW 2	SW 2	10●	10●	10	2.6	● 0-8 m.U., 13¹/₂-15¹/₄
7	8.9	11.8	10.2	10.3	−5.3	712.2	712.9	715.2	91	65	80	WNW 1	W 2	SW 1	10●	10	10	4.7	● 4-11¹/₄ m.U., 17¹/₄, 22¹/₄-23⁸/₄
8	9.8	15.0	11.1	12.0	−3.7	716.7	716.5	717.2	72	53	85	WSW 2	NW 1	NW 0	9	9	10	0.0	●°sch. 3¹/₄ [m.U.
9	12.5	21.1	13.2	15.6	−0.2	716.4	714.3	713.6	74	37	93	SSE 2	WSW 0	ENE 1	9	6	10	3.8	● 18-n m.U.
10	13.6	12.3	11.4	12.4	−3.5	711.1	712.5	713.7	91	94	91	ESE 1	NW 2	W 1	10●	10●	10●	34.0	● n-n m.U.
11	10.3	16.8	13.7	13.6	−2.4	717.2	718.0	720.7	90	48	75	W 0	N 1	WNW 0	8	4	9	1.7	● n-3⁸/₄, 9¹/₄-9⁸/₄
12	12.8	19.6	15.0	15.8	−0.3	722.9	724.0	724.9	77	48	90	S 1	SSW 1	W 1	7	9	1	.	
13	13.7	24.6	17.6	18.6	2.4	724.2	721.7	721.1	87	41	74	W 1	W 1	NW 1	1	1	2	0.2	
14	16.6	17.1	14.7	16.1	−0.1	719.7	719.9	722.9	87	73	51	SE 1	WNW 3	NW 1	5	8	10	7.9	● 11¹/₂-12¹/₂
15	13.2	19.1	14.4	15.6	−0.7	724.0	723.6	724.0	63	39	59	WNW 1	W 1	WNW 1	7	4	9	.	
16	11.6	17.9	12.2	13.9	−2.5	722.5	720.2	719.6	78	50	90	SE 1	SSW 1	W 1	9	9	10●	6.9	●° 13, ● 17-21⁸/₄ m.U.
17	11.7	11.2	9.0	10.6	−5.9	715.6	716.1	717.3	94	88	91	WSW 1	WNW 2	W 1	10●	10●	10	13.4	● 5¹/₄-20¹/₂ m.U.
18	8.4	12.0	10.0	10.1	−6.4	716.8	716.4	715.9	95	78	96	NW 1	SE 1	SSE 1	10●	10●	10●	18.0	● 5⁸/₄-n m.U.
19	9.9	15.8	14.6	13.4	−3.2	712.8	712.6	713.6	99	72	94	SSE 1	NE 1	NNE 1	10●	9	10	3.9	● n-8⁸/₄, 19⁸/₄-23⁸/₄ zeitw.
20	14.4	20.5	14.0	16.3	−0.4	714.3	715.2	716.6	85	54	91	NNE 1	N 1	NE 1	9	9	9	0.4	● 1¹/₄-2¹/₄, ●⁸sch. 14⁸/₄-15¹/₄
21	14.8	19.1	15.4	16.4	−0.4	716.4	716.3	716.3	92	66	85	NNE 1	NNW 1	NE 1	10	6	6	0.4	●° 6⁸/₄-7¹/₄, ●sch. 17¹/₂
22	14.4	24.9	18.1	19.1	2.3	715.8	714.6	713.7	84	38	75	NNE 0	NNE 1	N 1	9	3	7	.	
23	14.1	20.7	15.6	16.8	−0.1	714.6	714.6	715.8	83	51	60	WNW 1	W 2	N 1	10	2	10	.	
24	10.9	15.8	13.2	13.3	−3.7	717.9	718.1	718.2	72	56	83	N 1	N 1	NE 1	10	9	1	.	
25	10.9	22.6	16.6	16.7	−0.3	717.9	717.2	717.4	80	38	79	WSW 1	NW 1	SE 1	0	1	1	.	△ I
26	17.1	23.2	15.3	18.5	1.4	718.1	716.2	715.6	72	48	91	ESE 0	WNW 1	SE 1	8	9	9	4.5	● 14-15⁸/₄, ●sch. 19¹/₄
27	15.8	17.9	16.9	16.9	−0.3	713.6	714.4	716.6	82	68	66	NNW 1	NW 1	SSW 1	4	9	7	0.6	☇● 1, ●⁸sch. 16
28	15.7	19.2	15.6	16.8	−0.4	718.4	718.4	720.5	81	59	95	SSE 0	W 2	SE 1	5	8	9	1.9	☇● 14¹/₂-17, ●° 22¹/₄
29	14.4	26.6	21.8	20.9	3.6	721.2	718.6	714.9	83	33	44	S 1	NNW 1	SSE 0	1	1	9	18.2	● 22⁸/₄-n
30	15.6	21.1	16.8	17.8	0.5	718.6	718.8	719.8	76	46	61	W 1	WNW 2	NW 0	6	3	9	0.0	● n-4
Mittel	13.3	18.9	14.5	15.5	—	717.8	717.4	717.9	82	55	79				7.2	6.7	7.6	Summe 146.6	

$\lambda = 8°\ 30'$, $\beta = 47°\ 3'$,
$H_b = 1787.3$ m, $G = 0.20$ mm

Rigi-Kulm

Juni 1944.
Beobachter: *J. Wiget.*

1	8.8	9.2	10.2	9.4	2.8	617.2	617.3	616.7	80	100	80	W 2	W 2	W 2	7	10	10	8.0	
2	6.2	7.2	6.5	6.6	−0.1	616.5	617.2	617.2	100	100	100	SW 2	W 2	W 1	10≡	10	10	.	≡ I
3	5.2	4.8	6.8	5.6	−1.2	616.8	617.1	617.3	100	100	72	W 0	W 0	W 0	10≡	10	5	4.2	≡ seit 6
4	7.0	12.0	8.5	9.2	2.3	617.4	617.5	617.4	74	65	77	SE 0	W 0	SE 0	7	2	3	.	
5	10.0	13.6	9.2	10.9	4.0	615.9	615.1	613.6	59	59	80	SW 2	W 1	SW 3	4	6	10●≡	34.5	● 19¹/₂-n, ≡ III
6	3.2	2.2	1.4	2.3	−4.7	611.5	610.9	610.1	100	100	100	W 3	W 2	W 3	10●≡	10	10≡	17.4	● ✳ ≡ n-n zeitw.
7	−0.2	−0.2	−0.8	0.4	−7.5	607.8	608.1	609.3	100	100	100	W 3	W 3	W 2	10*≡	10*≡	10	17.4	✳ ≡ n-n zeitw.
8	−0.8	2.0	−0.5	0.2	−7.0	611.3	612.5	612.6	100	100	100	W 2	W 2	W 2	8	10	10●	0.7	● III, ≡ p-n zeitw.
9	3.8	10.8	7.2	7.3	0.1	612.6	612.4	612.0	48	42	76	W 2	SW 1	W 2	7	8	10	0.8	
10	7.2	4.2	4.2	5.2	−2.1	609.9	609.2	609.4	75	100	100	W 2	W 3	W 3	10	10●≡	10	55.8	● 7⁸/₄-n zeitw., ≡ II
11	1.0	5.8	6.8	4.5	−2.9	612.4	614.1	615.4	100	68	77	W 2	W 1	SW 1	10≡	5	7	.	
12	5.4	10.2	9.5	8.4	1.0	618.6	620.5	620.6	72	60	70	W 1	SW 1	SE 1	4	10	3	.	
13	10.7	14.9	11.5	12.1	4.6	620.4	619.7	619.3	50	86	87	S 0	W 0	W 2	0	3	8	.	
14	10.0	7.2	4.4	7.2	−0.4	617.4	616.1	617.9	74	100	100	W 2	W 4	E 1	7	10●	10≡	34.3	●ᵛ a-17 zeitw., ≡ n-n zeitw.
15	3.6	6.2	6.4	5.4	−2.3	618.1	618.9	619.5	80	70	62	SW 1	SE 0	SW 1	10	8	7	.	
16	5.6	8.4	3.6	5.9	−1.8	617.6	616.6	616.2	66	65	100	SW 1	W 1	W 2	3	10	10●	6.8	● 18-n zeitw.
17	3.4	1.2	−0.4	1.4	−0.4	612.1	611.7	611.8	100	100	100	W 3	W 3	W 0	10≡	10*●≡	10*●≡	46.7	● ✳ △ a-n zeitw., ≡ n-n
18	0.0	1.4	1.2	0.9	−1.1	611.7	611.5	611.5	100	100	100	W 1	W 2	NE 1	10*≡	10*●≡	10*●≡	19.3	● 8¹/₄-n, ✳ ≡ n-n ✳
19	4.0	7.8	5.8	5.9	−2.1	609.4	609.5	610.6	100	82	100	E 0	E 1	E 1	10≡	10≡	9	8.2	● n-7¹/₄, ≡ n-n zeitw.
20	5.7	7.9	8.2	7.0	−1.0	611.5	612.5	613.4	100	100	80	E 1	W 1	NE 1	10≡	10●≡	7	0.3	● II, ≡ n-p
21	9.4	10.6	8.2	8.4	0.3	613.4	613.8	613.9	100	94	89	E 1	E 1	E 1	10≡	10≡	4	.	≡ n-p zeitw.
22	9.0	9.9	8.8	9.1	0.9	613.3	613.3	612.9	96	95	64	E 0	E 0	NW 1	10	6	7	.	≡ zeitw.
23	7.5	8.2	6.9	7.2	−1.0	612.1	612.6	612.5	100	100	100	W 1	W 1	NW 1	10≡	10≡	10	.	≡ n-n m.U.
24	4.9	8.8	6.1	6.5	−1.8	612.9	613.7	614.3	100	66	76	SW 0	SW 0	NE 0	10≡	10≡	5	.	
25	9.6	12.8	11.0	11.1	2.7	614.0	614.5	615.1	44	52	47	W 0	SW 1	SW 1	0	3	4	0.6	● 17⁸/₄-18¹/₄
26	11.5	15.0	9.9	11.8	3.3	615.7	615.1	614.1	60	54	75	SE 2	S 1	S 2	5	8	10	12.0	● ☇ 14-15
27	8.9	13.1	8.9	10.0	1.5	612.3	612.6	613.2	81	55	100	WNW 1	SW 1	SW 2	7	7	10●≡	12.1	● 17-n, ☇ 16¹/₄, ≡ III
28	9.8	12.9	10.2	10.7	2.1	615.4	616.0	616.8	70	62	66	W 0	SW 0	W 2	8	10	4	6.4	● 16-17
29	11.4	13.4	13.8	12.9	4.2	618.3	617.7	615.2	44	50	40	SSW 0	S 0	S 3	0	2	3	43.3	
30	6.2	9.6	10.0	8.6	−0.2	615.6	616.1	616.4	95	88	70	W 3	E 1	W 0	3	7	7	.	● 0¹/₄-0⁸/₄
Mittel	6.2	8.3	6.7	7.0	—	614.3	614.5	614.5	81	80	83				7.3	8.2	7.8	Summe 328.8	

Juni 1944.
Beobachter: *P. Nogler.*

Bevers

$\lambda = 9° 53'$, $\beta = 46° 33'$,
H_b = ca. 1710 m, G = –0.23 mm.

Tag	Lufttemperatur					Luftdruck			Relative Feuchtigkeit			Windrichtung und Stärke			Bewölkung			Niederschlag	Witterung
	7^{30}	13^{30}	21^{30}	Mittel	Abweich. vom Normalst	7^{30}	13^{30}	21^{30}	7^{30}	13^{30}	21^{30}	7^{30}	13^{30}	21^{30}	7^{30}	13^{30}	21^{30}		
1	10.8	16.0	10.0	12.3	4.1	623.4	622.5	622.9	84	50	84	S 1	SW 1-2	W 1	10	10	8	2.0	●°sch. a zeitw., ●° 16–17½
2	11.4	16.0	6.2	11.2	2.9	621.8	622.3	623.0	78	42	85	W 0	W 2	W 0	8	6	5	.	
3	9.2	16.0	8.2	11.1	2.7	622.3	622.7	623.0	75	48	68	W 1	W 2	SW 1	10	7	4	.	
4	10.9	**23.0**	11.0	15.0	6.5	623.2	623.4	623.5	93	41	83	SW 1	SW 2	W 1	0	0	0	.	
5	11.3	17.3	9.4	12.7	4.1	621.7	620.8	619.7	75	88	100	W 1	SW 3	NW 1	8	8	10●	*25.5	● 19–n
6	4.4	11.8	6.0	7.4	–1.3	617.3	614.1	614.9	94	58	85	W 1	W 2	NW 1-2	10	10	8	10.2	● 14½–n
7	8.4	11.0	4.0	7.8	–1.0	612.0	**611.7**	615.3	70	53	85	W 1	SW 3	NW 1-2	9	8	10	0.2	●sch. 16–21 zeitw.
8	4.2	12.3	3.6	6.7	–2.2	616.7	617.0	619.1	64	42	73	W 1	NW 2	N 1	10	8	3	.	
9	6.4	13.8	7.2	9.1	0.1	618.7	618.6	619.4	78	40	85	NW 0	NW 1	NW 2	3	7	0	.	
10	10.0	12.2	7.6	9.9	0.8	616.8	616.0	615.6	75	81	88	W 0	W 2-3	NE 1-2	10	10	10	1.0	● 14¾–17
11	7.0	15.2	6.7	9.6	0.4	617.4	619.2	622.2	85	68	64	NE 1	W 2	NE 1	10	6	0	0.4	●sch. n–10
12	6.0	17.3	8.5	10.6	1.3	624.6	625.0	**627.6**	75	33	74	W 1	SW 2	S 1	2	6	6	.	
13	8.6	18.9	10.8	12.8	3.4	626.9	625.4	625.4	78	45	87	SW 1	SW 2-3	S 0	0	2	0	.	
14	13.4	17.4	7.8	12.9	3.4	623.8	623.2	623.2	76	61	90	NE 1	W 2	W 1	6	8	10	1.8	● ⊼ 15–18
15	9.4	16.4	5.4	10.4	0.8	623.9	624.8	625.5	64	42	67	W 1	SW 2	W 1	4	6	0	.	
16	6.6	14.8	8.8	10.1	0.4	624.1	621.7	620.5	75	50	94	W 0	W 2-3	W 1-2	10	10	10●	4.0	● 16½–n
17	6.8	13.3	**2.4**	7.5	–2.3	618.0	617.6	617.0	85	82	100	S 0	N 2	W 1	10	10	10●	18.8	● 14½–n
18	3.6	7.2	5.2	5.3	–4.6	615.6	615.9	616.2	87	81	80	S 1	W 2	W 1	10*	10*	10	2.1	✳° n–16
19	7.0	14.0	8.2	9.7	–0.3	615.7	615.0	616.3	80	52	94	NE 2	SW 1-2	W 1	10	8	10	2.5	● 13½–19
20	9.0	16.4	6.8	10.7	0.6	616.0	617.3	619.5	80	61	100	W 0	W 2	W 0	10	8	10	.	●sch. 17–18
21	8.6	15.0	10.6	11.4	1.3	619.1	619.1	619.3	88	58	73	W 0	W 1	W 1	10	6	10	0.4	●°sch. 14½–16
22	11.0	20.0	8.2	13.1	2.9	618.9	618.8	618.6	68	61	93	S 0	W 1-2	W 1	5	8	8	.	
23	9.2	16.0	10.0	11.7	1.4	617.4	617.5	617.6	83	62	80	E 1	W 2	SW 1	10	8	10	.	
24	10.6	20.0	6.9	12.5	2.1	617.9	619.2	620.2	50	**31**	64	SW 2	S 2	W 1	6	6	0	.	
25	6.8	14.0	10.3	10.4	0.0	620.8	621.7	622.4	70	42	90	W 1	S 2	W 1	0	4	8	.	
26	10.2	15.4	9.4	11.7	1.2	623.0	622.2	621.0	84	60	86	N 1	NW 2	W 0	10	10	10	10.0	●² 9¾–10¼
27	8.6	13.2	8.8	10.2	–0.4	620.2	620.4	620.6	92	88	90	E 0	W 2	W 1	10●	10●	8	2.0	●° n–18
28	11.0	14.7	9.0	11.6	1.0	621.9	623.1	624.3	82	81	97	SE 1	W 1-2	S 0	8	10●	10	12.6	●° n–20
29	6.2	19.0	12.0	12.4	1.7	625.5	624.7	623.9	90	42	78	W 1	W 2	NW 0	10	6	8	(	
30	11.2	20.8	7.0	13.0	2.2	621.8	622.1	622.5	78	41	80	E 1	W 2	W 1	5	3	0	.	● n–7
																		Summe	
Mittel	8.6	15.6	7.9	10.7	—	620.2	620.1	620.7	79	56	84				7.5	7.3	6.5	94.3	

Juni 1944.
Beobachter: *Kapuzinerkloster.*

Sitten

$\lambda = 7° 21'$, $\beta = 46° 14'$,
H_b = 548.6 m, G = –0.11 mm.

1	16.8	24.7	20.0	20.5	4.1	716.0	714.2	714.6	75	48	59	NE 1	SW 2	W 1	6	8	8	1.2	
2	18.0	24.4	19.6	20.7	4.2	715.5	713.9	713.9	82	45	48	WSW 0	W 2	W 2	6	2	1	0.0	● 5–6¼ m.U., ●° n (2./3.)
3	18.2	23.8	18.4	20.1	3.5	715.4	713.2	714.9	65	46	54	W 1	W 5	WSW 2	8	3	5	.	
4	15.8	24.6	18.4	19.6	2.9	716.9	714.3	714.2	71	45	54	NE 1	SW 2	N 1	3	1	3	.	
5	16.6	**27.2**	14.2	19.3	2.5	714.1	710.1	712.7	68	38	92	NE 1	SW 3	WSW 2	2	7	10●	7.1	● 19–n m.U.
6	15.6	18.7	15.5	16.6	–0.3	710.9	708.5	708.7	75	47	57	WSW 1	W 1	WSW 1	7	9	9	0.0	● 8¼–8¾
7	12.8	14.2	**12.0**	13.0	–4.0	707.0	706.6	710.4	72	63	55	WSW 1	WSW 2	WSW 2	10	5	5	.	
8	13.7	20.2	14.4	16.1	–1.0	712.3	710.6	712.1	57	38	50	WSW 2	WSW 3	WSW 1	2	3	1	.	
9	14.1	22.2	17.8	**18.0**	0.8	712.8	709.1	709.0	54	41	51	NE 1	WSW 2	WSW 1	2	4	8	0.0	●° n (9./10.)
10	15.2	16.0	13.8	15.0	–2.3	707.2	707.5	709.1	68	78	76	NE 1	W 1	W 2	10	10	10●	0.9	● ☔ 11¼–13¼, ● 21¼– [21½
11	14.6	19.9	15.4	16.6	–0.7	711.6	711.4	714.9	66	39	44	W 1	WSW 3	W 0	4	2	1	.	
12	14.0	23.7	18.0	18.6	1.2	719.3	717.8	719.0	61	38	56	NE 0	W 1	W 0	1	8	0	.	
13	17.6	26.2	21.7	21.8	4.3	**719.6**	715.7	716.2	60	44	49	NE 1	WSW 3	W 2	1	2	1	.	
14	18.7	18.6	18.3	18.5	0.9	715.5	715.7	716.3	65	67	53	NE 1	WSW 5	WSW 2	3	8●	2	0.9	● 10¼, 11¼–13¾ m.U.
15	16.2	22.4	16.6	18.4	0.7	718.4	716.3	717.6	53	38	46	S 0	WSW 2	W 1	1	1	0	.	
16	14.2	22.6	14.3	17.0	–0.8	718.0	713.7	714.8	59	43	83	NE 1	WSW 2	NW 0	1	6	10	0.5	● 19–20¼ m.U.
17	14.9	17.0	13.1	15.0	–2.9	711.4	710.1	711.6	75	45	65	W 1	WSW 2	WSW 1	8	9	9●	0.0	●° 12½, III
18	14.1	17.6	14.4	15.4	–2.5	710.7	708.7	709.7	56	45	55	SW 1	SW 2	W 1	9	9	3	.	
19	12.8	20.8	16.8	16.8	–1.2	708.7	**706.5**	707.9	66	44	68	NE 1	W 1	W 2	9	8	8	.	
20	15.4	23.8	17.4	18.9	0.8	709.5	708.0	710.9	83	46	68	W 1	W 2	W 1	9	4	10	0.0	● 16¾
21	16.5	23.5	18.8	19.6	1.4	711.5	709.5	709.9	74	50	58	W 1	WSW 2	WNW 1	10	5	4	.	
22	16.5	25.9	19.8	20.7	2.4	710.9	708.1	708.6	76	45	55	NNW 1	SW 1	WNW 1	4	7	4	.	
23	17.8	24.8	19.4	20.7	2.3	709.8	707.7	708.9	72	44	51	NE 0	SW 1	WSW 3	8	7	4	.	
24	17.1	23.5	18.4	19.7	1.3	711.3	709.2	711.0	60	44	51	W 1	SW 3	W 2	1	2	0	.	
25	15.6	24.0	19.6	19.7	1.2	712.7	710.8	712.8	63	49	51	NE 1	SW 2	NE 1	0	3	8	.	
26	19.4	20.8	17.9	19.4	0.8	713.8	712.6	711.4	57	58	63	NE 0	W 1	NE 1	2	10●	3	0.4	●° 13–13½, 22–23¾,
27	16.4	21.4	16.0	17.9	–0.8	709.6	710.1	713.6	85	66	82	WSW 1	W 0	WSW 0	9	8	10	1.4	● 17–n zeitw. [◺ 23½
28	16.6	23.5	15.6	18.6	–0.2	714.3	712.7	716.4	79	50	82	NE 0	WSW 1	NE 1	9	7	3	1.4	●° ☔ 15¼, ● 20–20¾
29	16.9	27.0	23.1	22.7	3.9	717.2	713.1	711.5	67	**34**	40	NE 1	ENE 1	ENE 1	1	4	6	**10.0**	● 23¼–n
30	17.3	23.6	18.8	19.9	1.0	714.3	712.8	713.8	77	50	55	W 1	SW 2	ENE 1	1	5	1	0.0	● n–2¼, ◺T 0–0¼
																		Summe	
Mittel	16.0	22.2	17.3	18.5	—	713.2	711.3	712.5	68	48	59				4.9	5.6	4.9	23.8	

$\lambda = 8° 57'$, $\beta = 46° 0'$,
$H_b = 276.2$ m, $G = -0.01$ mm

Lugano

Juni 1944.
Beobachter: *G. Vicari.*

Tag	Lufttemperatur					Luftdruck			Relative Feuchtigkeit			Windrichtung und Stärke			Bewölkung			Niederschlag	Witterung
	7^{30}	13^{30}	21^{30}	Mittel	Abweich. vom Normalst	7^{30}	13^{30}	21^{30}	7^{30}	13^{30}	21^{30}	7^{30}	13^{30}	21^{30}	7^{30}	13^{30}	21^{30}		
1	15.4	25.4	20.4	20.4	3.0	738.4	737.4	737.1	78	41	64	E 0	S 1	NNE 1	0	1	6	.	
2	17.8	25.0	20.6	21.1	3.6	736.9	735.8	735.7	83	47	60	NE 0	S 1	NNW 1	0	9	6	0.2	●°sch. n (2./3.)
3	18.6	21.4	19.2	19.7	2.0	736.8	736.6	737.1	72	65	70	S 0	S 1	NNE 1	9	9	4	0.1	●°sch. p, $18^1/_2$
4	16.4	25.8	20.2	20.8	3.0	739.1	738.5	738.9	77	45	58	S 0	S 1	N 0	3	3	10	.	
5	18.8	24.8	20.2	21.3	3.4	738.2	736.1	733.4	77	45	54	E 0	SSE 1	N 1	10	8	10	27.3	⛆ ● 22–n
6	15.2	19.4	16.6	17.1	−0.9	731.2	729.1	727.8	82	64	66	N 1	NW 1	N 1	8	10●	3	1.5	●° $12^3/_4$–14
7	14.4	20.0	17.6	17.3	−0.9	727.4	**726.1**	728.2	68	54	28	N 0	S 1	NNE 2	1	9	7	0.5	●°sch. 18
8	16.4	23.0	15.2	14.9	−3.4	732.0	732.0	733.6	27	22	41	NNE 2	E 1	NNE 1	3	3	0	.	
9	14.2	22.2	16.4	17.6	−0.8	736.0	734.9	734.0	63	38	53	N 1	S 1	NNE 1	4	3	3	.	
10	16.4	17.6	13.8	19.3	0.8	732.4	732.0	732.1	72	48	97	N 0	SSE 1	NNE 1	10	10	10●	9.4	● $17^1/_2$-n, T ◁ III
11	13.4	23.2	17.4	18.0	−0.6	732.7	732.6	736.7	88	46	71	N 1	S 1	N 1	5	2	1	.	◁ III
12	15.4	24.2	19.2	19.6	0.8	740.9	740.9	741.6	75	47	64	S 0	SE 1	N 1	4	1	2	.	
13	17.0	24.0	20.0	20.3	1.4	**743.0**	741.4	740.2	73	45	59	N 1	S 1	N 1	8	5	2	.	
14	18.2	25.8	21.4	21.8	2.8	738.6	735.6	735.5	79	46	30	N 1	S 1	NNE 2	0	4	0	0.9	●°sch. 16
15	18.0	26.6	22.0	22.2	3.1	738.0	737.5	737.9	43	26	23	N 1	S 1	N 1	0	0	0	.	
16	16.6	23.2	17.2	19.0	−0.2	741.2	738.9	736.6	50	41	93	WSW 1	S 1	NNE 1	10	10	10●	1.8	● 20–$21^1/_2$
17	16.4	19.8	16.0	17.4	−1.9	733.6	731.1	730.0	74	52	34	N 0	S 1	E 2	7	9	9	7.9	●^{2} 16, ⛆ 15–$15^1/_2$
18	16.2	20.0	17.4	17.9	−1.5	728.5	728.3	728.9	28	27	35	N 2	N 2	NW 1	10	10	5	.	
19	15.2	19.2	15.4	16.6	−2.9	728.5	730.2	732.0	68	56	83	N 1	S 1	N 1	10	10	10	5.6	
20	14.0	19.8	15.6	16.5	−3.1	733.8	733.6	734.6	93	47	72	W 0	SE 0	N 1	10●	10	10	.	● n–$7^1/_2$, ●tr. 15
21	14.4	24.2	20.8	19.8	0.1	733.7	732.7	733.2	77	43	58	N 1	S 1	E 0	0	2	8	0.4	●° n (21./22.)
22	17.4	22.0	16.0	18.5	−1.3	734.4	732.4	733.0	80	56	92	S 1	SW 1	N 0	9	10	10●	4.8	●tr. p, ● 17–23 m.U.
23	14.2	22.8	19.2	18.7	−1.2	732.4	731.0	730.9	90	47	73	N 1	S 1	N 1	0	3	5	.	
24	16.4	**27.2**	22.4	22.0	2.0	730.6	730.8	732.4	70	24	52	S 1	SSW 1	N 1	0	0	3	13.2	● $21^1/_2$-n, ◁ III
25	15.4	19.0	18.4	17.6	−2.5	737.4	738.3	738.5	94	52	63	SSE 1	E 0	W 1	10	10	6	8.2	
26	15.8	19.6	17.2	17.5	−2.7	739.6	738.9	737.0	96	61	93	NE 1	ENE 1	NE 1	10●	10	10●	6.6	● 6–10, 15–n, m.U.
27	16.6	17.4	17.2	17.1	−3.2	736.0	735.5	735.8	85	83	79	NE 1	WSW 0	NE 1	10	10	10●	6.4	● $8^1/_2$–$11^1/_2$, 14–15, $21^1/_2$–$22^1/_2$
28	17.2	19.2	16.2	17.5	−2.9	737.5	737.7	739.6	77	58	94	SW 1	SE 1	N 1	10	10	0	6.6	●° $7^1/_2$–11, 14–17
29	15.0	25.8	18.2	19.7	−0.8	740.4	739.1	737.9	83	46	70	NE 0	S 1	ENE 1	0	1	8	5.4	●n (29./30.) zeitw.
30	18.0	25.8	20.2	21.3	0.7	735.9	734.7	734.9	83	47	66	N 1	S 1	N 1	4	1	1	.	
Mittel	16.2	22.5	18.2	19.0	—	735.5	734.7	734.8	73	47	63				5.5	6.1	5.3	Summe 106.8	

$\lambda = 7° 35'$, $\beta = 47° 33'$,
$H_b = 318$ m, $G = 0.11$ mm.

Basel

Juni 1944.
Beobachter: *Astronom.-Meteorol. Anstalt.*

1	18.9	**28.3**	16.9	21.4	6.8	734.5	733.3	734.3	70	51	96	SE 1	SSE 1	S 1	1	2	10●	3.5	● $16^1/_4$, $19^3/_4$–23 m.U., ⛆
2	14.8	21.8	14.0	16.9	2.2	736.2	736.1	736.0	78	51	90	SW 1	WNW 2	SSW 1	10	2	2	.	Ψ III [16–22 zeitw.
3	13.9	21.0	15.0	16.6	1.8	736.7	736.6	737.3	85	54	73	WNW 1	NW 1	WNW 1	10	3	8	.	●° 6
4	14.4	24.2	14.8	17.8	2.9	737.7	736.4	734.3	75	46	78	SE 1	SSW 1	SSW 1	10	2	2	.	⊕ I
5	15.2	24.4	12.8	17.5	2.5	732.9	730.8	732.6	72	52	91	E 1	WSW 1	WSW 1	5	10	10	5.8	● $19^1/_4$–21, $22^3/_4$–$23^1/_2$, T p
6	12.3	13.6	12.2	12.7	−2.4	730.8	729.9	729.1	87	69	73	WSW 1	SW 1	WSW 1	10	10	10	3.2	● $1^1/_4$–$2^3/_4$, ●^{2} 14
7	9.4	14.2	9.5	11.0	−4.2	727.8	728.2	731.0	91	59	79	SW 1	W 1	WSW 1	10	9	10	.	● $0^3/_4$–$9^1/_2$ zeitw.
8	10.2	16.5	12.5	13.1	−2.2	732.5	732.1	732.5	82	54	77	SSW 1	WNW 1	SSW 1	10	9	10	.	●° 6, 7
9	12.1	22.2	13.8	16.0	0.6	731.5	729.6	728.7	75	46	92	ESE 1	WSW 1	N 1	10	9	10	4.0	● $14^1/_2$, 16, 17–18
10	14.1	14.6	11.4	13.4	−2.1	**726.8**	727.2	729.1	88	87	97	ESE 1	SSE 1	SSW 1	10	9●	10●	17.5	● $0^3/_4$–n zeitw., ⊕ 15
11	12.2	18.8	11.1	14.0	−1.6	732.2	733.2	735.7	83	51	84	WNW 1	WNW 1	SSW 1	8	3	0	.	● n–$5^1/_2$
12	12.8	22.5	14.5	16.6	0.9	737.9	739.1	**740.0**	74	60	94	ESE 1	N 0	SSW 1	4	10	0	.	● $15^1/_2$, ⊕ 14
13	14.5	25.4	16.2	18.7	2.9	739.5	737.0	736.0	94	57	87	ENE 0	W 1	SSW 1	4	1	0	.	≡ $4^1/_2$–$7^1/_4$, ⧋ I
14	20.3	15.8	13.6	16.6	0.7	735.3	736.4	738.4	64	72	73	W 0	W 2	SSW 1	7	10	0	.	
15	13.9	20.4	11.0	15.1	−0.9	739.8	739.1	739.5	69	42	81	E 0	NW 1	S 1	3	4	0	.	⧋ I
16	11.2	21.7	12.6	15.2	−0.9	738.1	735.3	735.0	74	45	95	ENE 1	SW 1	ENE 1	7	10	10	6.1	● 15–$17^1/_2$, ⧋ I
17	12.1	14.8	9.2	12.0	−4.2	731.5	731.8	733.4	91	75	93	WSW 1	SW 1	WNW 1	10●	10	10●	5.9	● $2^3/_4$–$22^1/_2$ m.U.
18	9.9	14.0	12.3	12.1	−4.2	732.7	732.0	731.5	89	74	97	W 0	NW 1	SW 1	10	10	10●	5.3	● 3–$3^3/_4$, $8^1/_2$, $19^3/_4$–n
19	12.7	17.2	14.2	14.7	−1.7	728.3	728.2	729.2	98	82	98	NNW 1	E 0	NE 1	10≡●	10	10	5.7	● n–$12^3/_4$, 18–$20^1/_4$, m.U., ≡
20	15.3	20.4	15.1	16.9	0.4	730.1	730.5	731.8	92	69	91	WNW 1	NNW 1	WSW 1	10	10	9	.	● $0^1/_4$–$3^3/_4$, $4^1/_4$, $12^1/_2$ [3–$9^1/_2$
21	14.3	23.6	16.8	18.2	1.6	732.0	731.7	731.6	96	61	85	WNW 0	ESE 1	ENE 1	10	7	9	.	● $14^1/_2$, ≡ 3–$7^1/_2$, T p
22	16.7	24.2	17.0	19.3	2.6	731.4	730.1	739.4	81	48	84	ENE 0	NE 1	WSW 1	4	1	10	.	⧋ I
23	13.3	20.8	14.9	16.0	−0.6	730.7	730.7	731.4	82	54	59	WNW 1	WNW 1	NNW 1	10	5	3	.	
24	11.5	19.0	12.5	14.3	−2.5	733.9	733.7	733.5	72	51	76	NW 1	WSW 1	WSW 1	7	3	0	.	
25	12.8	23.0	16.3	17.3	0.4	733.4	732.4	732.4	76	43	79	S 0	NNW 1	SSW 0	0	0	0	0.6	
26	13.8	20.7	14.9	16.5	−0.5	732.7	732.0	730.0	86	70	89	NE 1	NNE 1	E 1	8	10	9	6.8	● 4–$7^3/_4$ m.U., ⛆ ● $12^1/_4$–$19^3/_4$
27	15.7	23.1	14.3	17.7	0.6	728.2	728.9	731.3	85	62	88	ESE 1	WSW 2	ENE 1	10●	9	3	.	●° $7^1/_2$ [m.U.
28	16.1	19.0	16.7	17.3	0.2	733.7	733.9	735.2	80	86	83	ESE 0	S 1	ESE 0	9●	9●	1	4.8	● $6^1/_2$–$14^1/_2$ m.U.
29	17.8	27.3	19.0	21.4	4.2	735.6	733.1	730.2	77	**39**	82	ESE 1	ESE 1	SE 1	0	1	10●	4.7	⛆ ● 21–$22^1/_4$, ● $22^3/_4$–n m.U.
30	17.4	22.0	15.3	18.2	0.9	733.6	734.2	734.9	70	44	82	W 1	WNW 2	SSW 1	10	3	7	.	● n–$2^3/_4$ m.U., Ψ III [⧋ I
Mittel	13.9	20.5	14.0	16.1	—	733.2	732.8	733.2	81	59	85				7.6	6.3	6.1	Summe 73.9	

Juni 1944.
Beobachter: *Observatorium.*

Säntis

$\lambda = 9° 20'$, $\beta = 47° 15'$,
$H_b = 2500.1$ m, $G = -0.27$ mm.

Tag	Lufttemperatur 7³⁰	13³⁰	21³⁰	Mittel	Abweich. vom Normalst	Luftdruck 7³⁰	13³⁰	21³⁰	Relative Feuchtigkeit 7³⁰	13³⁰	21³⁰	Windrichtung und Stärke 7³⁰	13³⁰	21³⁰	Bewölkung 7³⁰	13³⁰	21³⁰	Niederschlag	Witterung
1	3.0	5.0	4.0	4.0	2.5	565.9	565.9	565.5	100	98	100	W 3	W 3	W 3	10●≡	10≡	10≡	8.9	● △ 7¹/₄, ⊼ ● 13³/₄, *) ⊠
2	1.8	2.1	1.8	1.9	0.3	564.1	565.4	565.8	100	100	100	W 4	W 3	W 2	10≡	10≡	10≡	0.6	● n-6³/₄, ≡ n-n m.U., ⌿ a ⊠
3	1.2	2.6	0.0	1.3	-0.4	565.1	565.4	566.1	100	97	100	W 2	W 2	N 0	10≡	10≡	10≡	1.5	● 6³/₄–9 m.U., ≡ n-n ⊠
4	0.5	6.4	4.1	3.7	1.9	565.8	566.7	566.3	87	68	49	WSW 2	WSW 2	WSW 2	2	9	1	.	≡ n-7¹/₄ m.U. ⊠
5	4.4	9.8	0.5	4.9	3.0	564.6	564.2	562.1	75	63	100	W 3	SSW 1	W 2	3	9	10●≡	39.5	● ≡ 15¹/₄-n zeitw. ⊠
6	-0.9	-0.8	-3.1	-1.6	-3.6	559.1	557.7	557.5	100	100	100	W 2	WSW 3	W 3	10≡*	10≡	10≡*	**45.3**	✳ 7-n m U., ≡ n-n, ⌿ p ⊠
7	-3.4	-2.2	-4.7	-3.4	-5.5	**555.7**	556.0	557.7	100	100	100	W 3	W 3	W 2	10≡*	10≡	10≡*	24.1	✳ n-n m U., ≡ n-n ⊠
8	-4.8	-3.0	-2.6	-3.5	-5.6	558.4	559.6	560.8	97	97	100	W 3	W 3	WNW 3	10≡	10≡	10≡*	5.4	✳ 20-n, ≡ n-n, ⌿ p ⊠
9	-3.4	1.6	1.8	0.0	-2.2	560.2	561.1	560.9	94	84	100	W 4	W 2	WSW 3	8	10	10	1.7	●° 17–19 m.U., 16³/₄-n ztw., *) ⊠
10	3.0	0.8	-0.3	1.2	-1.1	558.7	558.0	558.6	71	100	100	WSW 2	W 3	W 3	10	10≡●	10≡*	35.9	● 8³/₄, ●△✳ 12³/₄-n m.U.*) ⊠
11	-2.6	-0.6	-1.3	-1.5	-3.9	560.1	561.8	564.6	98	98	98	WNW 2	W 3	W 2	10≡*	10≡	3	4.6	✳ n-10, ≡ n-21 m.U. ⊠
12	0.0	2.4	2.7	1.7	-0.8	566.4	568.8	**570.0**	89	75	100	WSW 3	WSW 3	W 2	3	10	10≡	.	≡ n-7¹/₄, 17-n ⊠
13	5.2	8.4	5.4	6.3	3.7	569.0	569.0	568.2	47	54	100	WSW 3	WSW 2	W 2	1	1	10≡	.	≡ 17-n ⊠
14	4.4	2.0	-1.4	1.7	-1.0	566.4	564.8	566.1	93	100	100	WSW 3	W 4	NW 2	10	10≡●	10≡	25.4	● 7³/₄-17¹/₂ ztw., ⊼△ 13¹/₂, ⊠
15	-2.6	0.2	-1.7	-1.4	-4.2	565.8	566.6	567.4	100	83	100	WNW 2	W 2	WNW 1	10≡	8	10≡	.	≡ n-n m.U. [≡ n-n, ⌿ a, p ⊠
16	0.7	2.8	0.0	1.2	-1.6	565.4	564.9	563.3	54	61	100	W 3	W 3	W 3	9	10	10≡	5.0	✳ 15¹/₂–19³/₄ m.U., ≡ 15³/₄-n ⊠
17	-0.8	-2.3	-3.8	-2.3	-5.2	560.0	558.7	559.6	100	100	100	WSW 3	W 2	NW 1	10≡*	10≡*	10≡*	42.8	✳ 7¹/₄-n m.U., ≡ n-n ⊠
18	-3.6	-1.4	-0.6	-1.9	-4.9	558.8	559.2	559.8	96	83	100	N 2	N 2	NNE 2	10≡*	10≡	10≡*	3.5	✳ n-9³/₄, 14¹/₂-n, ≡ n-n ⊠
19	0.0	1.8	2.4	1.4	-1.7	557.8	558.5	560.0	100	93	100	NNE 3	ENE 3	NNE 3	10≡	10	10≡●	1.4	✳ n-6³/₄, ● 19³/₄-n, ≡ n-n m.U. ⊠
20	1.8	3.6	2.2	2.5	-0.7	560.3	561.6	562.7	97	82	100	NNE 2	NE 1	NE 2	10≡	10≡●	10≡	1.8	● 13¹/₄-n ztw., ≡ n-n m.U. ⊠
21	2.4	4.4	2.4	3.1	-0.2	562.0	563.0	563.2	92	93	91	NE 2	NE 1	NE 2	8	10	4	3.7	● 12³/₄-n m.U., ≡ 8³/₄- ⊠
22	4.4	8.6	3.4	5.5	2.1	562.1	562.4	561.8	69	61	76	NNE 0	WSW 1	WNW 1	10	10	7	.	[18 m.U. ⊠
23	2.4	3.3	1.4	2.4	-1.1	560.5	561.0	561.4	100	100	100	W 3	W 3	WNW 2	10≡	10≡	10≡	.	≡ n-n ⊠
24	-1.0	1.2	-0.6	-0.1	-3.6	561.0	562.1	562.9	100	68	98	W 2	W 2	WSW 2	10≡	8≡	0	.	≡ n-16, ⊀ III ⊠
25	4.0	8.4	4.8	5.7	2.1	562.9	564.4	565.4	**14**	47	65	WSW 2	SW 1	SSW 2	1	1	8	.	≡ 20¹/₄–20¹/₂, ⊤ 19 ⊠
26	7.8	**10.4**	4.5	7.6	3.9	565.3	564.7	563.7	53	58	78	SSW 0	SW 2	SSW 2	2	9	10	0.4	●° 15¹/₄–16³/₄ m.U. ⊠
27	5.8	9.1	1.7	5.5	1.7	561.5	562.1	562.9	61	73	100	SSW 3	SSW 2	W 4	6	10≡	10	18.4	⊼ ● 17¹/₄–21¹/₂, *) ⊠
28	4.6	2.8	2.6	3.3	-0.6	564.3	565.1	566.8	82	94	100	SSE 2	N 1	W 2	2	10≡●	10≡	19.3	●△ 11¹/₄–16¹/₂ zeitw., ≡ ⊠
29	5.1	9.6	6.6	7.1	3.1	567.5	567.0	565.1	67	58	58	WSW 2	SW 2	SSW 3	1	4	3	18.2	⊀ III, ⌿ II [9–n m.U. ⊠
30	1.6	4.1	2.8	2.8	-1.3	563.9	564.8	565.5	100	93	100	W 4	W 3	W 2	10≡	10≡	10≡	.	≡ n-n, ⌿ I ⊠
Mittel	1.4	3.4	1.2	2.0	—	562.6	563.0	563.4	84	83	94				7.5	9.0	8.5	Summe 308.3	

*) **1.** ≡ n–n m.U. **9.** ⌿ p, ⊕ 10¹/₂ **10.** ≡ 9¹/₂–n **27.** ≡ 13–21¹/₄ m.U.

Juni 1944.
Beobachter: Frl. *F. Lombardi.*

St. Gotthard (Hospiz)

$\lambda = 8° 34'$, $\beta = 46° 33'$,
$H_b = 2095.7$ m, $G = -0.25$ mm.

1	8.0	12.5	3.0	7.8	4.1	596.1	596.0	595.6	50	**20**	80	S 1	N 1	N 1	2	4	10●	2.0	● 20¹/₄-n
2	5.0	8.0	2.0	5.0	1.2	595.1	594.5	595.2	85	50	100	N 1	N 1	N 1	4	4	10	.	
3	4.0	6.0	3.8	4.6	0.7	595.2	595.3	595.0	100	100	100	N 1	N 1	N 1	10≡	10≡	10≡	.	≡ n-n
4	4.0	10.7	7.0	7.2	3.2	595.0	595.0	595.3	65	21	55	N 1	N 1	N 1	0	0	8	.	
5	5.8	9.0	4.2	6.3	2.2	594.1	593.1	590.9	90	100	100	S 0	S 1	S 1	8	10≡	10●≡	4.3	●° 16³/₄-n zeitw., ≡ 10-n
6	3.8	3.8	0.4	2.7	-1.5	588.7	587.2	586.7	87	81	100	W 1	SW 1	NW 1	5	10	10≡	1.0	≡ 16-n
7	0.0	0.6	-2.4	-0.6	-4.9	585.3	**584.7**	586.4	80	100	100	N 1	N 1	N 2	6	10*≡	8≡	4.2	✳° seit 10¹/₂ zeitw., ≡ 9³/₄-n
8	-2.0	2.4	0.0	0.1	-4.3	588.0	589.0	590.5	100	100	100	N 2	N 1	N 1	5	5	5	.	
9	5.8	8.4	4.0	6.1	1.6	590.6	590.7	590.3	65	80	85	S 0	S 0	S 0	0	8	10●	5.7	●° 14¹/₄-n
10	3.8	3.0	1.2	2.7	-1.9	588.2	587.7	587.8	80	95	100	S 1	SE 1	SE 1	10	10●	10●*	12.2	● seit 9¹/₄, ●✳ 15³/₄-n
11	0.8	5.0	2.0	2.6	-2.1	588.6	590.1	593.8	100	75	100	N 1	N 1	N 1	10≡	4	0	.	≡ n-10
12	2.4	7.4	2.2	4.0	-0.8	595.8	597.5	**598.8**	64	65	54	N 1	N 1	N 1	0	5	3	.	
13	5.8	**13.0**	8.8	9.2	4.3	598.5	597.9	597.3	68	70	100	W 1	S 1	S 0	5	5	10≡	.	≡ 20-n
14	7.4	8.5	3.2	6.4	1.4	595.4	594.5	594.6	50	85	100	S 0	NE 0	N 2	0	10●	10≡	4.8	● seit 11 zeitw., ≡ 15¹/₂-n
15	1.2	6.5	1.8	3.2	-1.9	595.4	595.8	596.5	100	58	100	N 1	N 1	N 1	10≡	2	10≡	.	≡ n-10¹/₄, 19¹/₄-n
16	5.0	10.2	4.2	6.5	1.4	595.5	594.2	592.7	64	71	100	S 0	S 1	S 1	5	5	2	1.0	●sch. 16¹/₄-20 zeitw.
17	5.4	1.0	**-2.5**	1.3	-3.9	589.3	588.1	587.2	52	100	100	W 0	N 1	N 2	5	10*≡	10*≡	5.7	● seit 10¹/₄, ✳ 12¹/₂-n,
18	-2.0	-0.8	-0.8	-1.2	-6.5	586.7	587.1	588.0	100	100	100	N 1	N 1	N 1	10≡	10≡	10≡	2.4	●°✳° ztw., ≡ n-n [≡ n-n
19	1.4	6.4	4.0	3.9	-1.5	586.3	586.9	588.0	100	72	100	N 1	N 1	N 0	10≡	8	10≡	0.3	≡ n-11, 19-n
20	4.8	7.0	4.7	5.5	0.0	588.9	589.9	591.5	100	95	100	W 0	W 0	NW 0	10≡	10≡	10≡	.	≡ n-n
21	5.6	9.0	5.8	6.8	1.2	589.8	590.9	591.5	61	75	100	N 1	NE 1	N 1	0	5	10≡	.	≡ 18-n
22	6.8	10.2	5.6	7.5	1.8	591.3	590.5	590.6	85	74	100	W 0	N 1	N 1	10	5	10≡	0.3	≡ 18³/₄-n, ⊼ 16³/₄–17, ◠ 17-18
23	6.8	10.0	5.2	7.3	1.5	589.7	589.8	589.7	80	71	100	N 1	NE 1	N 1	7	5	10≡	3.0	● 18¹/₂-20, ≡ 17-n
24	2.2	8.4	3.4	4.7	-1.2	589.6	590.5	591.9	100	71	100	N 1	N 1	N 1	10	0	10≡	.	≡ 18¹/₄-n
25	5.2	11.2	6.7	7.7	1.7	592.5	593.5	594.3	74	84	100	SW 0	SW 0	S 0	5	5	10≡	5.2	● n (25./26.), ≡ 19¹/₄-n
26	5.4	5.4	5.4	5.4	-0.7	594.2	593.9	593.8	100	100	100	S 0	S 0	SE 1	10≡	10●≡	10●≡	**35.7**	● 8¹/₄-n, ≡ n-n
27	5.0	5.0	4.8	4.9	-1.3	590.8	592.3	592.3	100	100	100	SE 2	SE 2	SE 1	10●≡	10●≡	10●≡	12.0	● ≡ n-n
28	6.2	7.4	5.0	6.2	-0.1	593.2	593.6	595.6	81	95	74	S 0	S 0	NE 1	5	10≡	5	4.2	●°sch. zeitw., ≡ 11–17³/₄
29	6.5	11.0	8.2	8.6	2.2	596.2	597.1	594.8	61	60	95	NW 0	S 1	NE 1	0	10	10	6.7	● ⊼ n (29./30.)
30	8.0	11.0	5.8	8.3	1.8	593.8	593.7	594.4	70	71	96	NW 1	N 0	N 1	0	3	10≡	.	≡ 18³/₄-n
Mittel	4.3	7.2	3.6	5.0	—	591.9	592.0	592.4	80	78	95				5.7	6.8	8.7	Summe 110.7	

$\lambda = 7° 26'$, $\beta = 46° 57'$,
$H_b = 572.2$ m, $G = 0.00$ mm.

Bern

Juli 1944.
Beobachter: *Tellur. Observatorium.*

Tag	Lufttemperatur 7³⁰	13³⁰	21³⁰	Mittel	Abweich. vom Normalst	Luftdruck 7³⁰	13³⁰	21³⁰	Relative Feuchtigkeit 7³⁰	13³⁰	21³⁰	Windrichtung und Stärke 7³⁰	13³⁰	21³⁰	Bewölkung 7³⁰	13³⁰	21³⁰	Niederschlag	Witterung
1	14.3	22.4	17.8	18.2	1.0	713.9	713.5	714.4	83	30	81	SE 0	W 2	W 0	8	3	3	.	
2	16.9	26.2	20.4	21.2	3.9	714.5	712.6	711.2	80	35	78	SE 0	W 1	E 0	7	3	3	.	⊿ l
3	18.7	16.5	18.0	17.7	0.3	708.7	709.8	708.4	72	08	90	S 0	W 0	SE 1	9	9●	10	23.1	● 12½–14¼, 21–24, m.U.
4	12.8	11.6	11.4	11.9	−5.5	708.3	709.0	709.5	94	90	91	W 1	SE 1	SE 0	10●	10●	9	5.5	● 0⅜–17 m.U.
5	12.8	18.0	14.7	15.2	−2.3	710.2	710.6	711.3	86	50	73	SE 0	NE 1	SE 0	4	9	1	.	
6	13.4	21.8	18.4	17.9	0.3	711.0	709.7	708.9	78	49	74	NE 0	NW 1	NE 0	0	0	1	.	⊿ l
7	17.0	26.6	18.3	20.6	3.0	709.7	709.0	710.3	78	38	93	SE 0	NE 1	S 1	1	1	9	8.0	● 17½–22¼ m.U., K$_\alpha$ 19–
8	16.8	21.5	18.0	18.8	1.1	709.5	708.7	708.1	90	76	95	SE 0	N 1	W 0	3	10	9	5.3	● 16 [22½, ⊿ l
9	14.5	15.7	14.6	14.9	−2.8	708.6	709.3	711.8	97	93	94	NW 0	W 1	W 1	10●	10●	9	8.6	● 5⅜–20 m.U.
10	14.7	19.6	15.1	16.5	−1.3	711.5	710.4	712.2	83	55	64	W 1	WSW 2	W 0	10	9	8	4.6	● 13⅜–15
11	12.4	15.5	11.8	13.2	−4.6	712.4	712.8	714.5	93	68	97	S 0	SW 2	W 1	9	9	9●	5.2	● 4¼–21⅝ zeitw.
12	12.1	16.2	13.1	13.8	−4.1	715.3	714.7	714.6	93	47	84	SE 0	NW 2	NE 0	9	7	9	.	● 1⅜–3½ zeitw.
13	11.9	19.6	15.3	15.6	−2.3	713.8	712.4	712.4	88	42	70	SE 0	W 1	NE 0	1	4	5	.	⊿ l
14	12.4	21.9	18.2	17.5	−0.4	712.3	711.9	713.0	92	38	71	SE 0	NW 1	N 0	3	3	9	0.0	●tr. III, ⊿ l
15	16.0	22.6	18.5	19.0	1.1	713.5	713.1	714.5	88	37	80	S 0	W 1	S 0	3	4	2	.	
16	15.6	21.3	18.0	18.3	0.3	715.7	715.6	**715.9**	88	67	88	SW 0	NNE 1	E 0	9	9	2	.	⊿ l
17	14.4	23.7	18.3	18.8	0.8	715.0	713.4	712.5	98	38	58	SE 1	NE 1	NE 1	3	1	0	.	⊿ l
18	13.7	24.1	20.1	19.3	1.3	711.9	711.6	712.2	91	45	72	NE 0	N 0	N 0	0	5	0	.	
19	15.6	24.7	19.6	20.0	2.0	712.8	711.9	711.7	89	33	51	SE 0	N 1	NE 0	4	6	1	.	
20	15.4	25.0	21.0	20.5	2.5	711.0	710.0	708.8	86	42	75	S 0	NE 1	E 0	0	1	1	19.7	
21	15.0	18.0	14.9	16.0	−2.0	708.5	708.0	707.9	98	90	97	E 1	NE 1	SW 0	10	8	10	**41.4**	● 4⅝–24 m.U., K$_\alpha$ 4⅝, 11–12¼, 16
22	13.5	14.7	14.0	14.1	−3.9	**706.7**	708.4	711.0	96	80	80	SW 2	SW 1	SW 2	10●	9	10	7.7	● 4⅝–14½ m.U., 22⅜–23½
23	13.4	16.9	15.0	15.1	−2.9	713.1	714.3	715.1	92	82	82	NW 0	SW 0	NE 0	9	9	10	1.3	● 2¼–3¼, 7½–11 m.U.
24	13.7	19.4	16.5	16.5	−1.5	715.4	715.0	715.2	92	48	65	NE 0	NE 1	NE 1	9	9	1	.	
25	13.5	21.9	18.7	18.0	0.0	715.4	714.4	714.2	89	50	71	E 0	NE 1	SW 0	0	6	1	.	⊿ l
26	16.1	**26.7**	21.9	21.6	3.7	714.9	714.2	712.5	90	37	79	SE 0	W 0	W 0	0	2	8	12.5	⊿ l
27	16.8	21.1	18.8	18.9	1.0	714.5	713.9	714.4	91	72	85	NW 1	NW 0	SW 0	9	9	9	0.1	●^{2} 1½–4¼, ●^{0} 13¼, 14¼
28	16.8	19.9	17.7	18.1	0.2	714.3	714.0	714.2	91	50	84	S 0	W 1	SE 0	9	9	9	.	⊿ l
29	15.6	21.0	18.0	18.2	0.3	713.6	712.3	711.8	94	54	79	NE 0	N 0	NE 0	7	8	2	0.1	⊿ l
30	16.5	19.9	16.9	17.8	0.0	712.0	712.1	713.9	87	53	63	S 0	W 2	W 0	5	7	7	.	● 1¼
31	14.3	19.9	16.8	17.0	−0.8	714.9	714.9	**715.9**	88	47	80	SW 0	NW 2	S 0	9	9	9	.	
																		Summe	
Mittel	14.7	20.4	17.1	17.4	—	712.4	712.0	712.3	89	56	79				5.8	6.4	5.7	143.1	

$\lambda = 6° 57'$, $\beta = 47° 0'$,
$H_b = 487.3$ m, $G = 0.02$ mm.

Neuchâtel

Juli 1944.
Beobachter: *Observatorium.*

1	15.0	24.3	19.1	19.5	1.6	721.5	721.6	721.8	77	39	62	SE 1	SE 1	N 0	9	7	8	.	
2	16.3	28.4	22.4	22.4	4.5	722.0	720.1	718.2	82	41	58	SE 0	SE 1	N 1	5	2	4	.	
3	18.5	18.6	17.5	18.2	0.2	716.7	717.0	715.3	84	81	76	W 2	SW 1	W 1	9	10	10●	**27.0**	● 11¼–12, 20½–n, T 20⅝
4	12.6	14.2	**12.1**	13.0	−5.1	715.7	716.5	717.1	93	89	98	W 0	SW 1	NW 0	10●	10●	8	4.1	● n–p m.U.
5	13.5	19.3	15.8	16.2	−2.0	717.6	717.8	718.4	85	61	71	SW 1	E 1	N 1	8	7	0	.	
6	14.5	24.3	18.9	19.2	1.0	718.3	717.2	716.0	85	54	66	E 2	SE 1	N 1	0	0	0	.	
7	16.3	**28.5**	19.0	21.3	3.0	717.1	716.3	717.3	85	44	85	SE 1	E 1	NW 0	0	2	8	3.1	● 17–17⅝, ●^{2} K$_\alpha$ 17½, ● n
8	18.1	22.1	17.2	19.1	0.7	716.7	716.0	715.2	92	72	90	SW 1	N 2	NW 0	6	10	10	5.9	K$_\alpha$ ● 14½–15
9	15.7	17.7	16.8	16.7	−1.7	715.9	716.9	719.1	92	75	73	SW 0	SW 1	SW 2	10	10	9	2.3	● n–n m.U.
10	14.7	15.5	15.8	15.3	−3.2	719.2	718.3	719.7	77	95	61	SW 3	W 2	NW 2	8	10●	5	12.0	● n–14, n
11	12.8	15.7	13.8	14.1	−4.5	719.8	720.4	722.1	87	64	71	SW 1	W 1	SW 3	10	8	10	0.8	●sch. 13⅜, ● n
12	13.4	18.2	15.0	15.5	−3.1	722.7	722.6	721.9	77	51	57	SW 1	NW 2	NW 2	10	3	6	.	
13	13.0	21.2	15.7	16.6	−2.1	721.3	720.0	719.7	82	49	62	NE 0	E 1	N 0	0	3	1	.	
14	13.6	20.3	19.5	17.8	−0.9	720.1	719.3	720.0	84	66	66	N 0	W 1	NW 2	6	7	9	1.3	●sch. 12⅜
15	17.0	25.2	20.1	20.8	2.1	720.9	720.7	721.9	78	50	59	NE 0	E 0	NE 0	5	4	3	.	
16	16.8	21.9	18.3	19.0	0.2	723.1	722.9	**723.4**	87	63	69	NE 0	SW 0	N 0	7	7	0	.	
17	16.7	28.2	19.9	21.6	2.8	722.4	720.5	719.8	84	44	56	E 0	E 1	NE 1	0	2	0	.	
18	16.1	25.1	20.8	20.7	1.9	719.4	718.9	719.5	80	48	62	E 1	SW 1	N 1	0	2	0	.	
19	17.2	25.4	20.7	21.1	2.3	720.2	719.2	719.1	87	41	52	E 0	S 0	N 1	3	5	0	.	
20	16.5	27.9	21.8	22.1	3.3	718.5	717.3	715.5	83	**37**	56	NE 0	S 0	N 0	0	1	1	7.1	
21	16.4	20.1	15.4	17.3	−1.5	715.9	715.2	715.2	98	73	98	NE 0	NE 3	NE 0	10	8	10●	20.4	● K$_\alpha$ 4–6, ●sch. 8⅝, ● 15–n
22	13.4	16.9	15.2	15.2	−3.7	**713.9**	715.9	718.6	93	69	82	SW 1	SW 2	SW 2	10●	9	10	5.9	● n–n m.U.
23	14.5	20.3	16.1	17.0	−1.9	720.7	721.7	722.6	80	57	74	SW 1	SW 1	E 0	10●	5	8	0.1	●^{0} n–a
24	15.5	23.2	16.8	18.5	−0.4	723.2	722.5	722.6	80	57	71	NE 0	SE 1	N 1	10	5	0	.	
25	14.4	23.3	18.9	18.9	0.0	723.1	722.0	721.7	89	58	73	NE 0	SE 0	SE 0	0	5	4	.	
26	16.8	28.4	22.3	22.5	3.6	722.4	721.5	719.9	86	52	70	SE 0	S 1	NW 0	0	4	10	2.6	● K$_\alpha$ n (26./27.)
27	17.4	23.2	20.2	20.3	1.4	722.1	721.1	721.9	85	59	62	SW 0	SW 2	W 0	10	7	9	0.3	●^{2} n (27./28.)
28	18.0	25.6	18.7	20.8	2.0	721.7	721.3	721.6	77	48	61	SW 0	S 1	N 2	10	4	8	.	
29	16.6	25.7	19.7	20.7	1.9	721.0	719.8	719.2	81	49	**68**	E 0	SE 0	N 0	1	4	8	1.1	● n (29./30.)
30	17.6	23.6	18.0	19.7	0.9	719.3	719.6	721.1	75	45	57	W 1	NW 2	NW 2	10	4	8	.	
31	16.8	20.6	17.7	18.4	−0.4	722.4	722.6	**723.4**	68	60	68	W 1	SE 0	NW 0	7	8	7	.	
																		Summe	
Mittel	15.7	22.3	18.0	18.7	—	719.8	719.4	719.6	84	58	69				5.9	5.0	5.6	94.0	

Juli 1944.
Beobachter: Frl. *H. Nager.*

Altdorf

$\lambda = 8° 39'$, $\beta = 46° 53'$,
$H_b = 456.3$ m, $G = -0.05$ mm.

Tag	Lufttemperatur					Luftdruck			Relative Feuchtigkeit			Windrichtung und Stärke			Bewölkung			Niederschlag	Witterung
	7^{30}	13^{30}	21^{30}	Mittel	Abweichung vom Normalst.	7^{30}	13^{30}	21^{30}	7^{30}	13^{30}	21^{30}	7^{30}	13^{30}	21^{30}	7^{30}	13^{30}	21^{30}		
1	15.4	22.2	17.1	18.2	0.9	723.6	722.6	724.7	79	47	75	NW 0	NW 1	NW 0	10	5	4	.	
2	17.2	25.5	19.8	20.8	3.4	724.2	721.8	721.5	82	46	66	N 0	W 0–1	E 0–1	7	5	3	.	
3	22.3	24.0	16.8	21.4	4.0	717.8	717.6	718.1	42	47	97	SE 2	NW 2	SE 0	7	9	10	20.2	● 14–n zeitw.
4	15.6	14.3	13.4	14.4	−3.1	717.2	718.0	719.2	94	80	91	N 0	N 0	W 0	10●	10●	10●	13.0	● n–n
5	14.3	18.3	13.4	15.3	−2.2	719.4	719.2	721.7	83	53	79	W 0	NW 0	E 0–1	9	10	4	0.1	
6	12.7	20.7	16.8	16.7	−0.9	720.7	719.1	719.1	97	48	81	E 0	NW 0	NW 0	0	0	0	.	
7	18.3	15.6	21.7	18.5	0.9	718.6	718.0	719.4	62	45	63	NW 0	NW 1	SE 0–1	0	0	6	.	
8	19.6	21.6	21.4	20.9	3.2	718.5	717.4	717.1	78	76	40	E 0	W 0	SE 0–1	4	10	10	.	
9	18.6	20.4	15.0	18.0	0.3	717.4	718.1	721.5	86	64	71	NE 0	NW 0–1	NW 2–3	10	10	10●	1.3	● III
10	15.6	20.5	15.8	17.3	−0.4	720.7	719.8	721.6	86	57	86	N 0	NE 0	NE 0	9	8	10	5.9	●sch. p–n zeitw.
11	13.8	16.2	13.3	14.4	−3.4	721.8	722.1	723.7	93	67	92	E 0	NW 0	NW 0	10●	9	10●	10.2	● I, III
12	12.3	15.7	14.1	14.0	−3.8	723.7	723.6	724.6	88	62	85	S 0	NW 1–2	NW 0	10●	10	10	0.2	● I
13	13.9	20.4	17.0	17.1	−0.7	723.5	721.1	722.5	75	46	63	N 0	NW 1	N 0	8	3	10	.	
14	14.8	22.8	17.4	18.3	0.5	721.9	720.8	722.5	85	42	80	N 0	NW 1	NW 0	5	5	10	0.6	
15	15.0	23.5	19.2	19.2	1.3	722.9	722.0	724.3	89	47	73	NE 0	NW 3	NW 0	1	4	10	.	
16	17.5	19.0	16.5	17.7	−0.2	725.1	725.0	726.0	85	76	93	NW 0	NW 0	NW 0	10	10	10	2.3	●sch. p
17	16.5	23.7	17.8	19.3	1.4	724.7	722.1	722.3	89	42	60	NW 0	NW 1–2	NE 0	7	5	4	.	
18	14.7	21.7	18.9	18.4	0.5	721.1	720.8	721.8	86	55	77	NE 0	W 0–1	W 0	0	5	8	.	
19	17.0	22.9	18.8	19.6	1.7	721.9	720.6	721.0	87	48	80	NW 0	NW 1–2	NW 0	6	10●	10	.	● $13^1/_2$–p
20	16.0	23.3	17.3	18.9	1.0	720.3	719.2	719.1	84	53	93	NE 0	N 0	SE 0	0	7	4	6.4	●² ⛆ 17
21	19.6	17.8	17.0	18.1	0.1	718.7	719.5	716.8	56	90	87	NW 1	NW 0	NW 0	10	10●	10	28.7	● II
22	14.4	18.7	14.5	15.9	−2.1	715.5	716.9	720.3	92	54	90	SW 0	NE 0	NE 0	10●	9	10	6.2	● I, abds. zeitw.
23	14.1	16.6	15.3	15.3	−2.7	722.6	724.4	725.1	93	72	91	E 0	NW 0	NW 0	10●	10	10	1.5	● I
24	15.3	19.9	16.9	17.4	−0.6	725.4	724.5	725.1	87	56	83	NW 0	NW 1–2	NW 0	10	7	8	.	
25	13.8	22.0	17.7	17.8	−0.2	724.9	723.7	724.5	93	54	83	N 0	NW 1	SW 0	0	1	0	.	
26	16.4	26.3	20.1	20.9	2.9	724.6	723.4	721.9	84	45	68	W 0	NW 0–1	NW 0	0	0	0	6.8	
27	17.3	22.4	18.0	19.2	1.2	724.2	722.7	724.6	95	57	92	W 0	NW 0	NW 0	10●	3	10●	18.3	● I, ●²sch. abds., ⛆ 6
28	17.5	22.1	19.5	19.7	1.7	723.9	722.6	724.4	92	45	87	E 0	NW 1	W 0–1	9	9	10●	12.5	● ($12^1/_2$), III
29	15.5	21.8	18.0	18.4	0.4	723.2	722.5	721.6	94	55	86	NW 0	NW 0–1	NW 0	10	7	10●	0.3	● III
30	18.2	19.8	19.6	19.2	1.2	721.4	722.9	723.2	83	55	84	NW 0	NW 1	W 2	9	9	10	.	
31	16.4	19.4	16.2	17.3	−0.6	724.3	724.8	725.7	83	57	82	E 0	S 0	W 0	9	9	10	1.1	● abds. zeitw.
Mittel	16.1	20.6	17.2	18.0	—	721.7	721.2	722.1	84	56	80				6.8	6.7	7.8	Summe 135.6	

Juli 1944.
Beobachter: *Observatorium.*

Genf

$\lambda = 6° 9'$, $\beta = 46° 12'$,
$H_b = 405.0$ m, $G = -0.03$ mm.

1	16.1	22.8	20.6	19.5	1.1	728.7	728.2	728.1	72	40	71	E 0	NNE 1	NE 0	0	1	0	.	
2	17.2	26.4	20.8	21.5	3.0	728.9	726.8	725.2	76	43	69	NNE 0	NNE 1	ENE 0	8	5	3	.	
3	18.5	22.4	16.2	19.0	0.4	724.3	723.7	723.3	77	63	90	SE 1	W 1	ESE 1	10●	9	10●	30.2	●² T $7^1/_2$, ●tr. $19^1/_2$, ●sch. n,
4	15.0	16.5	13.8	15.1	−3.5	722.9	723.6	724.3	87	68	95	SE 1	SSE 1	E 1	10	9	9	2.5	●sch. seit $20^1/_2$ [⛆ seit 20
5	15.6	19.7	16.0	17.1	−1.6	724.7	724.7	724.9	77	46	89	E 1	NNE 1	NE 1	5	2	1	.	
6	16.4	21.8	20.2	19.5	0.7	725.3	723.8	722.9	75	56	62	E 1	NNE 1	NE 0	0	0	0	.	
7	19.4	26.7	21.3	22.5	3.6	723.9	723.1	724.0	76	56	77	ENE 0	NNE 1	NE 0	1	1	9	.	
8	19.1	23.6	20.2	21.0	2.0	723.7	723.6	722.3	80	60	83	NE 0	S 1	S 0	2	9	10●	15.2	●° $21^1/_2$, ● ⛆ seit $22^3/_4$
9	15.8	17.8	17.0	16.9	−2.1	723.2	724.5	726.7	85	87	81	E 0	E 0	E 1	10●	10	9	0.1	●°sch. a, n
10	14.6	21.2	18.2	18.0	−1.1	727.0	725.7	726.9	91	60	66	NE 0	SW 2	NW 0	10	9	9	.	
11	15.4	18.4	15.0	16.3	−2.9	727.5	727.9	729.5	66	60	72	S 1	NNE 1	SE 1	9	9●	9	0.2	●°sch. $11^1/_4$, $13^1/_2$
12	15.6	19.0	15.7	16.8	−2.5	729.9	729.4	728.9	71	54	74	E 0	NNE 1	E 0	3	2	0	.	
13	14.4	20.4	18.8	17.9	−1.4	728.3	726.6	726.3	72	47	59	E 0	NNE 1	ENE 1	0	1	0	.	
14	16.4	24.5	20.0	20.3	0.9	727.0	726.3	726.7	73	57	60	NE 0	NNE 1	NE 0	2	3	5	.	
15	18.3	27.1	21.8	22.4	3.0	727.9	727.5	728.6	71	41	57	E 0	NE 1	SE 0	1	3	1	.	
16	19.4	25.4	22.2	22.3	2.9	730.1	729.3	729.8	77	49	56	NE 0	NNE 1	NE 1	4	4	0	.	
17	19.1	25.5	21.4	22.0	2.6	728.7	726.9	725.9	74	48	65	NE 0	NNE 1	NE 1	0	1	0	.	
18	18.9	28.4	23.0	23.4	3.9	726.3	725.2	726.4	69	46	43	E 1	NE 1	E 0	0	2	3	.	
19	21.7	25.2	21.5	22.8	3.3	727.0	725.5	725.5	66	53	66	E 0	NNE 1	NE 1	5	1	0	.	
20	19.2	26.5	23.6	23.1	3.6	725.2	723.8	722.3	71	52	73	E 0	NNE 1	NE 0	0	2	5	0.1	
21	20.8	19.6	16.0	18.8	−0.7	722.1	721.4	721.7	77	97	91	NNE 1	SW 1	NE 1	9	10●	10●	38.3	● a–n m.U., ⛆ 14
22	14.0	18.0	14.0	15.3	−4.2	722.3	723.4	726.7	91	77	83	SE 1	W 1	NE 1	9	7	8	5.5	●sch. $11^1/_2$–n zeitw.
23	16.0	19.7	18.1	17.9	−1.6	728.4	728.7	729.2	96	73	77	NE 0	NNE 1	ENE 0	9	9	8	.	
24	17.4	21.9	19.3	19.5	0.0	729.6	728.9	729.1	78	50	74	NE 0	NNE 1	NE 0	1	3	1	.	
25	17.3	22.2	20.6	20.0	0.5	729.8	728.5	728.4	79	63	82	ENE 1	NNE 1	NE 1	0	2	8	.	
26	19.2	24.8	25.2	23.1	3.7	729.3	727.8	727.2	76	69	53	E 0	NE 1	SE 1	0	2	9	1.4	
27	18.5	26.6	22.0	22.4	3.0	729.1	728.3	728.7	83	52	64	NW 1	WSW 1	S 1	9	7	8	.	
28	20.6	23.6	19.5	21.2	1.8	728.9	728.0	728.5	68	54	66	E 0	NE 1	NE 0	8	5	0	.	
29	17.0	23.2	19.3	19.8	0.4	728.0	726.4	726.1	76	45	78	NE 0	NNE 1	SE 0	0	1	0	.	
30	19.5	22.6	18.0	20.0	0.7	726.8	727.4	728.8	77	50	63	S 1	S 1	S 1	10	9	3	.	
31	17.8	22.5	19.2	19.8	0.5	729.4	729.0	730.1	72	54	67	ESE 0	NNE 1	ENE 1	3	4	2	.	
Mittel	17.5	22.7	19.3	19.8	—	726.9	726.2	726.6	77	57	71				4.5	4.6	4.5	Summe 93.5	

$\lambda = 8° 33'$, $\beta = 47° 23'$,
$H_b = 493.2$ m, $G = 0.03$ mm.

Zürich

Juli 1944.
Beobachter: *Meteorol. Zentralanstalt.*

Tag	Lufttemperatur					Luftdruck			Relative Feuchtigkeit			Windrichtung und Stärke			Bewölkung			Niederschlag	Witterung
	7^{30}	13^{30}	21^{30}	Mittel	Abweich. vom Normalst	7^{30}	13^{30}	21^{30}	7^{30}	13^{30}	21^{30}	7^{30}	13^{30}	21^{30}	7^{30}	13^{30}	21^{30}		
1	16.1	22.8	16.8	18.6	1.2	720.5	720.3	721.2	73	36	82	NW 0	NNW 2	ENE 0	9	5	8	0.1	● $19^{3}/_{4}$
2	17.6	27.3	20.2	21.7	4.2	721.0	719.5	718.0	81	38	82	WNW 1	WNW 1	E 1	9	3	1	.	
3	19.0	23.8	17.7	20.2	2.7	715.2	715.6	714.8	78	54	88	SE 1	NW 1	ESE 1	9	10	9	8.5	K ● $15^{1}/_{4}$–$16^{1}/_{2}$
4	14.0	14.9	13.2	14.0	−3.6	714.2	715.1	715.6	94	81	89	WNW 1	SSW 1	WSW 0	10●	10	9	6.7	● $2^{1}/_{4}$–16 m.U., ●tr. III
5	14.0	18.8	13.4	15.4	−2.3	716.5	717.3	718.2	75	54	85	WSW 1	W 1	E 1	10	9	1	.	
6	12.6	24.1	18.4	18.4	0.7	718.1	716.6	715.6	85	43	79	NE 1	N 1	NE 0	2	0	1	.	△ I
7	17.0	28.0	22.4	22.5	4.7	716.0	715.5	716.1	81	42	61	NE 0	NW 1	NW 1	1	2	10	.	△ I
8	18.9	25.0	19.8	21.2	3.3	716.0	714.8	714.4	83	61	88	NW 1	WNW 1	NW 1	2	9	10	8.2	△ I
9	15.6	20.2	16.9	17.6	−0.3	715.1	714.7	717.4	96	66	74	SSW 1	W 2	W 1	10●	9	9	2.4	● $6^{3}/_{4}$–$7^{1}/_{4}$. ●° $7^{1}/_{4}$–$8^{1}/_{4}$
10	16.4	18.6	14.4	16.5	−1.5	717.5	717.1	718.7	72	73	75	WNW 2	NNW 1	W 1	9	8	8	7.8	● 13–$19^{1}/_{4}$ zeitw.
11	12.4	14.6	13.4	13.5	−4.5	718.9	719.1	720.5	92	81	76	S 1	WNW 1	W 1	10●	9	9	1.2	● $4^{3}/_{4}$–$17^{1}/_{4}$ m.U.
12	12.6	14.1	12.8	13.2	−4.9	721.8	721.6	721.4	87	78	81	W 0	NW 1	W 1	10	10	9	0.3	● $0^{1}/_{4}$–1, $12^{1}/_{4}$, $13^{1}/_{4}$
13	13.9	20.6	14.2	16.2	−1.9	720.3	719.1	719.2	82	52	78	S 0	WNW 1	W 0	1	6	6	.	△ I
14	14.3	23.3	18.0	18.5	0.3	719.1	718.5	719.4	79	42	80	W 0	NW 1	WNW 0	5	5	10	.	●tr. $13^{3}/_{4}$
15	16.8	24.6	18.8	20.1	1.9	720.1	719.8	721.2	85	44	71	WNW 0	WNW 1	NW 1	3	3	9	.	
16	16.6	22.2	16.4	18.4	0.2	722.0	722.2	722.7	80	60	95	NW 1	NNW 1	ESE 1	10	8	9	5.7	● 14–$16^{1}/_{2}$ m.U., $19^{1}/_{4}$–$19^{3}/_{4}$
17	16.1	24.8	17.4	19.4	1.1	721.7	720.2	719.6	90	39	74	ESE 0	WNW 1	NE 2	10	3	4	.	
18	14.1	24.6	18.7	19.1	0.8	718.8	718.6	718.5	81	44	79	NNE 1	ESE 1	NNE 0	0	2	4	.	△ I
19	16.1	26.2	19.4	20.6	2.3	719.2	718.5	718.3	80	40	63	N 0	NNW 1	NW 1	5	2	1	.	△ I
20	16.0	27 7	19.6	21.1	2.8	717.6	716.5	715.4	80	36	72	NW 1	SSW 1	ESE 1	0	1	3	6.9	
21	15.1	16.4	16.6	16.0	−2.4	716.1	715.8	713.9	97	94	86	SE 1	SE 1	WNW 1	10●	10●	10●	15.1	● $6^{1}/_{4}$–$14^{1}/_{2}$ m.U., $21^{1}/_{2}$–$24^{1}/_{4}$,
22	14.3	15.2	14.6	14.7	−3.7	712.7	714.5	716.6	92	84	85	SSW 1	WSW 1	W 1	10●	10●	10	18.0	● $1^{1}/_{2}$–$24^{3}/_{4}$ m.U. [K fr.
23	14.4	15.8	15.0	15.1	−3.3	719.3	721.2	722.2	89	76	81	NW 1	WNW 2	NW 1	10●	10	9	0.0	● $6^{1}/_{4}$–$7^{1}/_{2}$
24	14.4	20.6	16.0	17.0	−1.4	722.6	722.1	722.2	84	53	83	NW 0	NNW 1	ESE 1	5	9	9	.	
25	13.7	25.2	17.8	18.9	0.5	722.1	721.1	720.9	86	43	78	NNE 1	NW 0	ENE 0	1	1	7	.	△ I
26	17.4	30.7	21.4	23.2	4.8	721.3	720.8	718.5	84	35	70	SE 1	WNW 1	E 1	2	2	9	9.4	△ I
27	16.8	22.0	18.0	18.9	0.6	720.8	720.3	721.0	92	60	92	SE 1	NNW 1	SE 1	10●	6	7	1.1	● $4^{3}/_{4}$–$18^{3}/_{4}$ zeitw., K $6^{1}/_{4}$
28	17.7	21.8	18.3	19.3	1.0	720.9	720.5	720.9	77	63	77	NW 1	WNW 1	WSW 0	9	6	10	0.1	●° $22^{1}/_{4}$
29	17.2	22.2	18.7	19.4	1.1	720.3	719.0	718.1	80	55	85	SSW 0	NNW 0	WNW 1	9	9	10	1.0	
30	16.9	22.1	17.5	18.8	0.5	718.6	718.5	720.4	80	53	65	WNW 1	WSW 1	NW 1	6	5	9	.	K ● $3^{1}/_{2}$
31	16.9	21.4	17.0	18.4	0.2	721.5	721.4	722.4	69	56	75	S 1	W 1	WNW 1	8	9	10	0.0	●° 14
Mittel	15.6	21.9	17.2	18.2	—	718.9	718.6	718.8	83	56	79				6.6	6.2	7.4	Summe 92.5	

Rigi-Kulm

$\lambda = 8° 30'$, $\beta = 47° 3'$,
$H_b = 1787.3$ m, $G = -0.20$ mm.

Juli 1944.
Beobachter: *J. Wiget.*

1	7.8	11.8	10.0	9.9	1.1	617.3	618.0	618.7	77	75	66	W 2	SW 1	SW 1	8	5	7	.	
2	11.2	16.8	14.2	14.1	5.2	618.9	618.4	618.0	62	56	44	W 2	W 1	S 0	7	5	4	.	
3	15.0	13.2	15.2	14.5	5.5	615.3	615.3	614.0	43	95	40	S 2	W 0	W 0	7	10	6	25.7	● $14^{3}/_{4}$–$15^{1}/_{2}$, ≡ zeitw.
4	5.6	4.0	4.0	4.5	−4.6	612.0	612.3	612.7	100	100	86	W 2	W 1	W 2	10●≡	10≡	10	28.5	● n–$14^{3}/_{4}$, ≡ I, II
5	3.3	9.7	10.0	7.7	−1.4	613.1	614.6	615.3	100	62	48	W 2	W 0	SW 0	10●≡	10	5	0.3	● 7–$7^{3}/_{4}$, ≡ I
6	10.4	15.6	13.8	13.3	4.1	615.2	615.7	615.5	34	38	36	SE 1	SSW 1	SE 0	0	0	0	.	
7	15.4	17.4	13.4	15.4	6.1	615.5	616.0	616.1	32	49	60	SE 2	SE 0	SE 0	0	3	8	.	
8	13.5	15.4	13.4	14.1	4.7	615.1	614.9	614.1	64	64	65	S 3	S 2	S 3	4	8	9	12.7	
9	8.2	9.8	8.0	8.7	−0.7	613.4	613.6	614.4	100	100	100	W 0	W 2	W 2	10≡	10●≡	10≡	36.3	● K $6^{1}/_{4}$–7, ● $13^{1}/_{4}$–$16^{3}/_{4}$, ≡ n-n
10	6.4	9.6	7.5	7.8	−1.7	615.0	615.0	615.0	79	85	106	SW 2	W 1	W 2	10	7	10≡	14.2	≡ n-n m.U.
11	3.4	5.0	4.0	4.1	−5.5	614.7	615.2	615.3	100	100	100	W 2	W 2	W 3	10●≡	10	10●≡	40.9	● ≡ n-n m.U.
12	3.0	4.0	4.2	3.7	−5.9	617.0	617.2	617.2	100	100	100	W 1	W 1	W 1	10≡	10≡	10≡	2.4	
13	5.4	10.2	7.0	7.5	−2.2	616.5	616.4	616.2	85	76	100	SW 1	SW 1	W 1	5	7	10≡	.	≡ zeitw.
14	8.8	11.6	8.9	9.8	0.0	616.2	616.8	617.0	45	67	92	W 0	W 0	NW 1	6	5	8	8.6	● n (14./15.)
15	10.8	10.3	10.0	10.4	0.6	617.4	618.1	618.9	79	100	90	SW 0	W 0	W 1	5	10≡	8	.	≡ seit $12^{1}/_{2}$ zeitw.
16	9.8	11.8	9.5	10.4	0.5	619.4	619.8	620.2	90	78	85	W 0	W 1	W 0	8	8	5	8.2	● $14^{1}/_{4}$–15
17	8.4	11.4	13.0	10.9	1.0	618.8	618.5	617.4	97	80	63	E 0	W 0	N 1	4	4	3	.	
18	12.0	11.6	10.5	11.4	1.5	616.2	617.0	616.9	65	80	64	SW 0	SW 1	W 0	0	4	4	.	
19	11.0	13.2	12.2	12.1	2.1	617.3	617.4	617.3	76	88	74	W 1	W 0	NW 1	7	7	6	.	
20	12.9	14.7	12.8	13.5	3.5	616.0	616.3	615.8	73	80	50	S 0	W 0	SW 0	0	4	2	.	
21	9.4	9.6	9.5	9.5	−0.5	614.4	614.7	613.3	76	86	90	W 3	W 2	W 1	10	10●	10	26.3	● 12–$13^{3}/_{4}$, $17^{1}/_{2}$–$18^{1}/_{4}$
22	6.5	5.4	5.2	5.7	−4.3	610.8	612.0	612.8	97	100	100	SW 1	W 2	W 3	10	10≡	10≡	15.2	● ≡ a, p zeitw.
23	5.4	6.0	6.5	6.0	−4.0	615.9	617.1	618.1	100	100	100	W 3	W 2	W 2	10●≡	10≡	10≡	13.7	● n–$13^{1}/_{2}$, ≡ n-n
24	7.7	11.0	7.7	8.8	−1.3	618.5	618.8	619.1	98	80	100	SW 0	W 0	NE 0	10≡	10≡	10	.	≡ n-n zeitw.
25	11.0	12.6	13.2	12.3	2.2	619.0	619.6	620.0	74	55	74	SW 0	W 1	W 1	0	3	2	.	
26	15.0	17.4	17.6	16.7	6.6	620.3	620.9	619.7	27	35	35	SW 2	SW 1	SSE 2	3	2	5	24.2	
27	9.2	12.3	10.2	10.6	0.5	618.6	618.7	618.7	80	82	100	W 3	W 1	W 2	10	5	10	22.4	● △ K $4^{3}/_{4}$–$6^{1}/_{4}$, $16^{1}/_{4}$–$16^{3}/_{4}$
28	8.8	9.2	8.2	8.7	−1.4	618.3	618.0	618.1	100	100	100	WSW 1	W 1	NW 1	8	10≡	10	25.8	≡ II, ● n zeitw.
29	9.6	12.4	12.0	11.3	1.2	617.4	617.3	617.0	70	72	84	S 0	SW 1	S 1	10	10	10	.	≡ zeitw.
30	8.9	9.0	8.0	8.0	−1.5	616.9	616.3	616.8	100	100	100	SW 1	W 1	W 2	10≡	10≡	10	0.6	≡ I, II
31	6.2	9.0	7.5	7.6	−2.5	617.9	618.8	618.9	100	72	100	W 1	W 1	W 1	10	10	10≡	.	≡ III
Mittel	9.0	11.0	9.9	10.0	—	616.4	616.7	616.7	78	79	79				6.8	7.3	7.5	Summe 306.≡	

Juli 1944.
Beobachter: *P. Nogler.*

Bevers

$\lambda = 9° 53'$, $\beta = 46° 33'$,
H_b = ca. 1710 m, G = –0.23 mm.

Tag	Lufttemperatur					Luftdruck			Relative Feuchtigkeit			Windrichtung und Stärke			Bewölkung			Niederschlag	Witterung
	7^{30}	13^{30}	21^{30}	Mittel	Abweich. vom Normalst	7^{30}	13^{30}	21^{30}	7^{30}	13^{30}	21^{30}	7^{30}	13^{30}	21^{30}	7^{30}	13^{30}	21^{30}		
1	10.4	20.6	13.6	14.9	4.1	622.8	623.7	624 7	73	26	66	NE 1	SW 1	W 0	8	3	10	.	●° 21
2	11.3	22.4	12.6	15.4	4.5	624.8	624.4	624.2	66	52	79	SW 0	S 2	W 1	10	8	4	.	●sch. 14
3	13.0	20.3	10.0	14.4	3.4	622.6	621.0	620.4	72	64	100	W 1	W 2–3	S 0	10	8	10●	18.2	● $16^3/_4$-n
4	11.8	13.2	12.8	12.6	1.6	617.2	616.8	616.8	80	58	75	W 1	W 2	W 1	10	10●	10●	2.1	● n-n
5	8.7	15.1	8.3	10.7	–0.4	618.3	620.0	621.3	67	67	70	W 1	W 2	W 1	10●	10●	0	2.0	● n-16
6	8.0	20.3	11.6	13.3	2.1	622.0	622.6	623.0	63	30	78	SE 1	SW 1	W 0	0	0	0	.	
7	11.2	20.0	11.0	14.1	2.9	623.4	623.4	623.4	78	34	82	W 1	SW 2	W 1	0	2	4	.	
8	15.2	20.4	10.4	15.3	4.0	622.8	622.2	621.0	72	31	97	SW 0	SW 3	W 1	8	6	10●	8.0	● $18^3/_4$-n
9	12.0	14.0	11.2	12.4	1.0	619.6	620.0	619.0	85	84	70	W 0	W 1	NW 2	10	10●	10	2.7	● 10–15
10	12.2	18.4	10.0	13.5	2.1	620.4	620.2	619.8	61	48	91	W 1	SW 2	NE 2	4	4	10	0.9	● $17^1/_2$–20 zeitw.
11	11.4	17.0	8.0	12.1	0.6	619.6	620.6	620.9	62	61	78	S 1	SW 2	NE 2	8	8	10●	2.4	●°sch. 14–n zeitw.
12	7.3	13.0	7.8	9.4	–2.1	621.8	622.5	623.0	72	81	72	NE 1	S 2	W 1	10	8●	4	0.4	●°sch. seit 13 zeitw.
13	**6.5**	**24.0**	10.2	13.6	2.1	621.8	621.6	621.0	75	**21**	78	W 1	SW 2	SW 1	0	0	0	.	
14	11.8	17.5	7.2	12.2	0.6	621.6	621.4	621.2	74	35	77	S 0	SW 1–2	W 1–2	8	6	10	.	
15	10.4	21.0	8.3	13.2	1.6	622.5	623.4	624.1	74	31	88	W 1	S 2	W 1	8	5	7	.	
16	12.4	16.2	10.6	13.1	1.5	624.8	625.0	625.4	78	48	94	S 1	SW 2	W 1	8	10	10	0.4	●°sch. a, p zeitw.
17	8.8	14.0	11.5	11.4	–0.3	624 0	623.6	622.8	90	40	63	SW 1	NE 2	W 1	10	8	10	.	
18	8.8	18.8	9.6	12.4	0.7	622.0	621.5	623.0	85	36	86	SW 0	SW 2	W 1	0	8	3	2.0	● 16–17
19	13.0	19.2	12.0	14.7	3.0	622.6	621.7	622.8	72	36	74	W 1	SW 2	N 1–2	8	10	6	.	
20	9.6	16.4	12.0	12.7	1.0	622.4	622.5	622.4	82	71	86	S 1	SW 2	W 1	0	10	10	3.2	●sch. 14–n zeitw.
21	10.6	15.2	9.6	11.8	0.0	621.2	624.9	619.5	88	96	100	E 0	W 1	W 1	10	10●	8	10.8	● $10^1/_2$–$16^1/_2$
22	9.1	13.2	8.0	10.1	–1.7	**615.4**	616.9	618.8	100	87	94	W 0	W 1	N 2	10●	10●	8	**22.7**	● n–16
23	9.8	14.0	10.8	11.5	–0.3	620.6	622.6	623.7	88	55	74	E 1	S 0	SW 0	10●	10	10	.	● n–12
24	9.4	21.4	10.4	13.7	1.9	624.0	624.2	626 6	84	34	83	S 0	SE 1	S 0	10	4	0	.	
25	8.0	17.0	10.6	11.9	0,1	625,6	626.0	626.6	96	32	72	SW 0	SW 2	W 1	10	1	2	.	
26	11.6	23.6	13.2	16.1	4.4	627.1	**627.2**	**627.2**	78	31	80	SW 1	SW 1	W 2	2	0	0	.	
27	9.5	18.6	10.6	12.9	1.2	626.1	625.7	625.3	87	68	99	W 1	W 2	SW 1	10	8	4	10.3	●° 10–$11^1/_4$, ●sch. 18–$20^1/_2$
28	11.3	14.1	10.6	12.0	0.3	624.0	623.3	624.1	88	73	96	S 0	W 1	W 1	10	10●	10	1.3	● 11
29	11.4	13.7	11.0	12.0	0.3	623.0	622.3	623.1	84	85	97	NE 1–2	W 1	W 0–1	10	10●	10●	8.7	●sch. n–n zeitw.
30	12.6	17.9	10.1	13.5	1.9	622.1	622.4	622.9	87	85	94	S 0	SE 1–2	SSW 1	10	7	9	4.6	●sch. 10–n zeitw.
31	10.2	14.7	10 6	11.8	0.2	623.1	623.6	624.3	86	74	60	SW 0	NW 1–2	NNW 1	7	8	10	2.1	●° $9^1/_4$, 20
																		Summe	
Mittel	10.6	17.6	10.5	12.9	—	622.2	622.5	722.7	79	54	82				7.4	6.8	6.7	102.8	

Juli 1944.
Beobachter: *Kapuzinerkloster.*

Sitten

$\lambda = 7° 21'$, $\beta = 46° 14'$,
H_b = 548.6 m, G = –0.11 mm.

1	16.4	24.9	20.6	20.6	1.6	716.2	714.2	715.5	67	46	46	NE 0	WSW 3	WSW 1	2	3	5	.	
2	19.3	28.0	21.4	22.9	3.9	717.3	713.8	713.2	60	45	59	NE 1	WSW 2	WSW 1	6	4	7	.	
3	20.0	17.2	18.5	18.6	–0.5	711.8	712.4	710.5	61	95	83	NE 1	SSW 1	WNW 1	8	10●	8	**25.6**	⛆ ● 12–$13^3/_4$, ● $16^1/_2$–17
4	15.7	11.2	**10.4**	12.4	–6.8	710.9	711.8	712.4	80	90	97	WSW 1	ENE 3	ENE 0	10	10	9	9.0	●o–$14^1/_2$, $18^1/_2$–$19^3/_4$, ≡ a, p
5	13.2	22.0	15.8	17.0	–2.2	712.4	711.2	712.4	79	50	67	ENE 0	WSW 1	WSW 0	8	4	0	.	
6	15.6	26.0	19.6	20.4	1.1	713.9	710.5	711.4	64	40	60	NE 2	W 1	NNE 0	0	0	0	.	
7	19.2	**29.6**	21.2	23.3	4.0	712.8	710.2	712.1	60	**38**	60	NE 1	NE 0	W 0	0	1	5	.	△ l
8	20.6	22.3	19.4	20.8	1.5	711.4	710.4	710.2	68	66	77	NE 0	W 2	W 0	2	10	4	.	△ l
9	18.2	17.3	17.4	17.6	–1.8	709.6	711.4	713.1	80	82	71	WSW 2	W 0	W 2	10	10	10	0.7	● $9^1/_4$–$12^1/_4$ m.U., △ l
10	16.8	22.3	18.4	19.2	–0.2	714.1	712.3	713.7	73	58	57	S 1	WSW 1	W 1	10	5	4	0.1	● $6^1/_2$, $10^1/_4$ ● $5^3/_4$, 8
11	15.3	19.4	15.4	16.7	–2.7	713.6	713.7	715.5	73	50	65	W 2	WSW 3	W 1	9	8	10	.	
12	15.4	21.0	16.2	17.5	–2.0	716.8	714.6	715.3	66	48	58	W 1	W 3	W 3	3	4	0	.	△ l
13	15.4	23.0	18.9	19.1	–0.4	715.8	712.5	713.0	66	48	57	NNE 0	W 2	W 1	2	1	1	.	△ l
14	16.4	24.6	18.6	19.9	0.4	714.5	712.5	713.9	72	42	59	NE 0	W 3	W 0	4	4	1	.	△ l
15	16.9	25.4	20.7	21.0	1.5	715.8	713.7	715.4	70	51	54	NE 1	WSW 2	W 1	1	2	5	.	△ l
16	18.5	25.6	21.4	21.8	2.2	717.7	716.2	716.6	66	44	55	NE 1	W 1	WSW 1	3	9	3	.	
17	18.8	26.4	21.0	22.1	2.5	716.5	713.2	712.7	66	48	55	NE 1	W 1	W 0	1	2	1	.	
18	18.6	26.0	22.2	22.3	2.7	713.6	711.9	713.3	63	47	47	NNE 0	W 2	W 1	0	2	1	.	
19	18.3	27.2	20.2	21.9	2.3	714.9	712.6	713.0	64	44	57	ENE 1	WSW 2	NNE 1	3	7	0	0.0	● $17^1/_4$
20	18.1	27.5	21.5	22.4	2.8	713.2	710.6	710.3	65	49	55	NE 0	SW 1	NE 1	1	3	2	0.1	
21	20.1	22.9	16.5	19.8	0.2	710.1	709.4	709.9	73	64	100	WSW 1	W 1	WSW 1	8	8	10●	14.0	● $4^3/_4$, $9^1/_4$, $15^1/_2$–$21^1/_2$ m.U.
22	16.8	19.1	17.4	17.8	–1.7	**708.5**	709.9	712.8	86	56	60	WSW 2	WSW 2	WSW 2	10	5	9	3 9	● n–$12^1/_4$, $18^3/_4$–$21^1/_4$, m.U.
23	15.6	21.0	17.7	18.1	–1.4	715.6	715.3	716.2	75	53	63	WSW 1	WSW 2	WSW 0	8	7	6	0.0	●tr. $8^3/_4$
24	16.4	23.8	18.8	19.7	0.2	717.3	715.1	716.1	84	49	63	NE 1	WSW 2	WSW 0	9	2	2	.	
25	16.6	25.4	20.2	20.7	1.2	717.8	715.1	716.6	76	52	63	NE 1	W 2	WSW 0	1	2	1	.	
26	18.8	28.4	22.8	23.3	3.9	**718.0**	715.6	715.1	64	40	56	NE 1	WSW 2	NE 2	0	1	1	4.7	
27	17.7	25.9	21.2	11.6	2.2	717.2	715.1	715.7	96	51	61	NNE 1	WSW 2	WSW 2	8	4	8	1.3	● $4^1/_2$–9 m.U., ●° $16^3/_4$,
28	17.9	24.2	19.5	20.5	1.1	717.2	713.8	715.3	88	51	69	NNE 0	WSW 4	WSW 1	5	3	10●	0.0	●° n, $21^1/_4$, ⸗ p [⛆ $4^1/_2$–5
29	18.8	24.6	19.9	21.1	1.7	715.2	713.1	713.2	77	49	61	W 1	WSW 2	SSW 0	8	3	7	.	
30	17.6	23.1	18.8	19.8	0.5	714.0	712.5	714.9	74	52	55	NE 1	WSW 2	W 3	3	6	4	.	△ l
31	18.0	24.4	18.7	20.4	1.1	716.4	715.2	715.8	63	42	56	NE 1	W 2	WNW 0	3	4	1	.	
																		Summe	
Mittel	17.5	23.5	19.0	20.0	—	714.5	712.9	713.7	72	53	62				4.7	4.6	4.4	59.4	

$\lambda = 8°\ 57'$, $\beta = 46°\ 0'$,
$H_b = 276.2$ m, $G = -0.01$ mm

Lugano

Juli 1944.
Beobachter: *G. Vicari.*

Tag	Lufttemperatur					Luftdruck			Relative Feuchtigkeit			Windrichtung und Stärke			Bewölkung			Niederschlag	Witterung
	7^{30}	13^{30}	21^{30}	Mittel	Abweich. vom Normalst	7^{30}	13^{30}	21^{30}	7^{30}	13^{30}	21^{30}	7^{30}	13^{30}	21^{30}	7^{30}	13^{30}	21^{30}		
1	18.8	27.4	22.0	22.7	2.1	737.2	736.5	737.4	73	50	70	N 1	ENE 1	N 1	5	2	0	.	
2	20.8	27.2	22.0	23.3	2.6	739.0	738.0	737.8	76	51	79	NNE 1	SE 1	N 1	10	1	6	19.6	⛆ 23, ● n
3	19.0	23.4	17.8	20.1	−0.7	737.8	735.4	734.3	92	61	93	N 1	SE 0	N 1	9	10	10●	34.0	● $14^1/_2$–n m.U., ⛆ n
4	17.2	15.4	16.2	16.3	−4.5	731.0	731.2	729.8	92	93	55	NNE 1	N 1	NNE 1	10●	10●	9	22.5	● 9–17
5	19.2	27.0	19.2	21.8	0.9	730.4	731.4	733.4	28	24	56	NNW 2	W 1	N 1	0	1	0	.	
6	15.2	25.6	21.2	20.7	−0.3	736.5	736.7	736.5	53	43	55	N 1	S 1	N 1	0	0	0	.	
7	16.6	27.0	22.2	21.9	0.9	738.2	737.1	737.4	77	47	65	N 0	S 1	N 1	0	1	2	.	
8	20.0	25.4	18.2	21.2	0.1	737.2	736.1	735.8	77	53	83	NNE 0	S 1	N 1	10	10	10	28.6	● $17^1/_2$–n zeitw., ⛆ $18^1/_2$–$19^1/_2$
9	17.2	16.0	16.8	16.7	−4.4	733.8	734.5	732.8	93	86	75	ESE 1	N 1	NNE 1	10	10	3	28.1	⛆ ● $4–4^1/_2$, $10–12^1/_2$
10	14.8	25.8	20.4	20.3	−0.9	733.4	732.6	733.0	82	36	60	NNE 1	S 1	N 1	2	0	7	.	
11	16.2	27.6	19.6	21.1	−0.1	733.0	731.8	734.5	83	24	76	E 0	N 1	SW 1	4	1	10	.	
12	17.0	26.0	20.8	21.3	0.0	736.5	735.6	736.0	46	24	26	NNE 1	N 2	NNW 2	0	6	0	.	
13	14.8	24.6	20.0	19.8	−1.5	737.1	735.7	735.5	62	42	62	NNE 1	S 1	NNE 1	0	0	1	.	
14	18.4	25.0	20.8	21.4	0.1	736.9	735.9	737.0	74	51	70	NNE 0	S 1	N 1	8	6	9	3.0	●tr. $15^1/_2$, ● $23–24^1/_2$
15	18.2	25.2	20.8	21.4	0.0	739.0	738.5	738.9	88	52	65	S 0	S 1	NNE 1	8	4	1	.	
16	19.0	26.0	21.6	22.2	0.8	739.4	738.4	738.4	80	53	72	NE 1	SE 1	N 1	9	9	1	.	●tr. 16
17	16.4	27.6	22.2	22.1	0.7	737.8	735.3	734.4	72	42	62	NE 1	S 1	N 1	0	0	0	.	
18	20.2	26.0	21.6	22.6	1.1	737.2	736.9	736.7	64	47	66	SSE 1	S 1	NNE 1	9	9	4	.	
19	18.8	27.6	21.8	22.7	1.2	737.0	735.5	735.9	87	50	62	NNE 1	S 1	NNE 1	0	3	7	19.2	● 23, ⛆ n (19./20.)
20	18.2	26.2	21.4	21.9	0.4	737.0	735.9	735.6	93	53	75	NNE 1	S 1	N 1	10	3	3	4.2	
21	18.6	17.2	16.6	17.5	−4.1	735.5	735.0	733.5	92	91	94	W 0	NNE 1	NNE 1	10	10●	10●	129.4	● n–n m.U., ⛆ $9^1/_2$–10
22	15.8	24.6	18.8	19.7	−1.9	729.1	**729.0**	731.1	94	40	44	NW 1	S 1	NW 1	10●	1	6	2.0	● $7–7^1/_2$
23	17.6	27.6	20.8	22.0	0.4	733.7	734.3	736.0	54	27	37	NW 1	N 2	NNE 1	9	8	1	.	
24	17.0	25.4	20.4	20.9	−0.7	738.2	738.3	738.8	66	60	65	N 1	SE 1	NNE 1	4	6	5	.	
25	19.0	26.2	21.0	22.1	0.0	740.6	740.0	740.7	81	50	75	NNE 0	S 1	N 1	4	6	0	.	
26	19.8	27.4	22.8	23.3	1.7	**741.9**	741.0	740.7	84	54	71	NNE 1	SSE 1	N 1	6	3	0	.	
27	20.6	24.2	21.0	21.9	0.3	738.8	737.9	737.2	85	48	84	SE 1	S 1	N 1	10	0	1	21.2	● $9^1/_4$–$11^1/_2$ m.U., ⛆ $9^1/_4$–
28	19.2	22.8	19.6	20.5	−1.1	737.5	737.7	738.5	82	58	86	N 0	S 1	N 1	9	9	10	1.2	● $16^1/_2$–17 [$9^3/_4$
29	19.2	24.6	20.4	21.4	−0.1	737.1	736.5	736.7	83	52	80	ENE 0	WSW 1	N 1	10	8	9	0.8	●ich. n (29./30.)
30	19.0	22.0	19.8	20.3	−1.2	736.9	736.5	736.3	78	55	83	S 0	SE 1	N 1	10	10	1	.	
31	16.8	**28.6**	22.2	22.5	1.0	736.6	736.1	737.1	87	**23**	27	NE 1	N 2	N 2	2	0	0	.	
																		Summe	
Mittel	18.0	24.9	20.3	21.1	—	736.5	735.8	736.1	77	49	67				6.1	4.7	4.1	313.8	

$\lambda = 7°\ 35'$, $\beta = 47°\ 33'$,
$H_b = 318$ m, $G = 0.11$ mm.

Basel

Juli 1944.
Beobachter: *Astronom.-Meteorol. Anstalt.*

1	15.9	24.3	18.5	19.6	2.2	735.6	735.3	735.9	77	47	80	E 0	N 1	SSW 1	8	9	6	.	⛆ (7), Ψ III
2	20.5	30.2	21.1	23.9	6.5	735.8	734.1	732.6	67	47	78	NE 1	SSW 1	SW 1	3	3	4	.	Ψ III
3	18.8	22.4	17.8	19.7	2.2	730.0	730.9	730.0	84	71	89	SSW 1	WNW 1	NNW 1	8	10●	10	20.7	● $14^1/_4$–$15^1/_4$, 21, 23–n, ⛆ 20–21
4	13.0	18.8	14.1	15.3	−2.3	730.3	730.2	730.7	95	66	86	SW 2	SW 1	SSW 1	10●	10	9	2.2	● n–$9^1/_2$, $10^3/_4$, 21
5	16.0	20.3	15.0	17.1	−0.5	731.9	732.4	733.0	76	56	84	W 1	SW 1	WNW 0	9	7	0	.	
6	15.9	25.0	20.1	20.3	2.6	733.4	731.6	730.2	74	47	66	ENE 1	SSE 1	ESE 1	0	0	0	.	⛆
7	21.1	30.6	20.1	23.9	6.1	730.9	730.4	731.5	72	44	85	SSW 0	WNW 1	WSW 1	0	5	10	0.2	● $23^1/_4$–$23^1/_4$, T 15, ◁ $21^1/_4$, ⛆
8	20.8	23.3	18.5	20.9	3.1	731.3	730.9	729.9	78	73	93	WNW 1	WNW 1	SSW 0	9	10	10	28.6	● 17–$17^3/_4$, $23^1/_4$–$23^2/_4$, T ◁ 22, ⛆
9	16.4	20.8	16.4	17.9	0.0	732.4	730.7	733.0	95	73	82	WSW 0	WSW 1	SW 1	10●	9	0	0.5	● $0^1/_4$–$9^1/_4$ zeitw., ⛆ $0^1/_4$
10	15.6	19.1	15.1	16.6	−1.3	732.9	732.4	734.2	86	74	69	WNW 1	W 2	WSW 1	10●	10	9	0.8	● $5^1/_4$, $7^1/_2$, $13^1/_2$, 14, ⊕ ($17^1/_2$)
11	13.8	17.1	13.5	14.8	−3.2	734.3	734.8	736.3	79	70	79	WSW 1	WSW 2	SW 1	10	9	10	0.6	● $21^3/_4$–$22^1/_4$, $23^1/_2$–24
12	13.5	17.4	13.1	14.7	−3.3	737.3	737.0	736.6	83	64	89	WSW 1	WNW 1	SSW 1	10	10	10	.	● $0^3/_4$–$1^1/_4$, ⛆ 7
13	16.0	20.4	**12.6**	16.3	−1.7	735.6	734.7	734.4	73	53	90	SSE 0	WNW 1	W 0	0	4	2	.	
14	15.1	23.0	17.6	18.6	0.5	734.1	734.2	734.2	73	58	79	ESE 1	W 1	WSW 1	7	8	9	.	●tr. 12–14 zeitw.
15	18.8	25.4	16.6	20.3	2.2	735.5	735.2	736.2	73	49	82	SSW 0	WNW 1	SSW 1	1	3	0	.	
16	16.2	24.1	16.4	18.9	0.8	737.7	737.6	737.7	84	60	89	NW 0	NNE 1	S 1	9	7	1	.	
17	17.2	25.7	18.6	20.5	2.4	736.8	735.5	735.0	78	**87**	68	E 1	NNW 1	ENE 1	0	0	6	.	
18	14.9	25.1	17.8	19.3	1.1	734.2	733.4	733.6	77	49	81	WSW 1	NE 1	SSW 1	0	3	0	.	
19	18.1	26.8	17.8	20.9	2.7	734.7	733.8	733.5	75	45	80	E 0	W 1	WSW 1	5	3	0	.	
20	17.1	28.6	18.8	21.5	3.3	732.8	731.7	730.2	74	43	81	ENE 1	W 1	SW 1	0	0	0	8.4	⛆
21	15.7	18.8	15.9	16.8	−1.4	730.4	729.3	728.7	96	87	90	SE 1	ESE 1	ESE 1	10●	10	10	17.6	● 5–$23^1/_2$ zitw., ⛆ $4^1/_4$–$7^3/_4$ m.U.
22	14.5	16.6	14.4	15.2	−3.0	**728.0**	729.8	731.7	96	80	94	WSW 1	WSW 1	SSE 0	10●	10	10	5.8	● $0^3/_4$–13 m.U.
23	15.1	17.0	15.4	15.9	−2.4	734.7	736.6	737.4	86	72	88	WSW 1	W 1	WSW 1	10	10	10	.	
24	14.5	22.1	14.3	17.0	−1.3	**738.1**	737.6	737.4	87	51	87	SSE 0	WNW 1	WSW 1	10	9	1	.	⛆°
25	14.1	25.5	17.8	19.1	0.8	737.7	736.1	735.8	83	50	83	ESE 0	N 1	ENE 0	0	1	8	.	⛆
26	19.8	**30.9**	23.0	24.6	6.4	735.6	735.4	733.7	68	41	73	NE 1	WSW 1	SW 1	0	3	10●	4.9	
27	18.1	24.2	16.8	19.7	1.5	735.8	725.5	735.7	91	72	88	WNW 1	SSW 1	SSW 1	10●	4	1	5.9	● $1^1/_2$–$13^1/_4$ zeitw., ⛆ 1–2
28	17.7	23.4	16.7	19.3	1.1	736.2	735.7	736.4	89	59	85	SSE 0	WNW 1	SSW 1	10●	8	10	1.6	● $1^1/_2$–10 zeitw.
29	16.8	24.8	18.6	20.1	1.9	735.6	734.3	733.5	87	50	85	SSW 0	W 1	S 1	3	9	10	.	⛆
30	17.4	21.7	16.8	18.6	0.5	733.9	734.2	735.7	83	60	75	SSE 0	WNW 1	WNW 1	10	6	9	0.2	●° 9, 11
31	16.0	23.5	16.6	18.7	0.6	736.7	736.7	737.7	80	52	90	WSW 1	NW 1	S 1	10●	9	8	0.2	● $6^3/_4$–$7^1/_2$, 15, 16
																		Summe	
Mittel	16.6	23.1	17.0	18.9	—	734.1	733.8	734.0	81	58	83				6.2	6.4	5.9	98.2	

Juli 1944.
Beobachter: *Observatorium.*

Säntis

$\lambda = 9° 20'$, $\beta = 47° 15'$,
$H_b = 2500.1$ m, $G = -0.27$ mm.

Tag	Lufttemperatur					Luftdruck			Relative Feuchtigkeit			Windrichtung und Stärke			Bewölkung			Niederschlag	Witterung
	7^{30}	13^{30}	21^{30}	Mittel	Abweich. vom Normalst	7^{30}	13^{30}	21^{30}	7^{30}	13^{30}	21^{30}	7^{30}	13^{30}	21^{30}	7^{30}	13^{30}	21^{30}		
1	2.3	6.1	4.0	4.1	−0.1	565.6	566.8	567.9	98	57	88	WSW 3	WSW 3	W 3	10	9	10	.	●tr, $10^3/_4$, ≡ n–19 m.U.
2	4.8	9.0	7.2	7.0	2.7	567.7	567.9	567.4	100	78	69	W 3	W 3	W 2	10≡	6	1	.	≡ n–9
3	10.6	11.7	6.0	9.4	5.1	565.4	564.8	563.7	37	83	92	SW 2	SE 1	SE 2	9	10■	10●	25.1	●K $15^3/_4$–$17^1/_4$, ● 21-n, ≡ 13–$17^1/_2$
4	3.8	0.0	0.0	1.3	−3.1	560.7	560.1	560.7	100	100	100	WSW 2	W 3	W 3	10≡●	10≡*	10≡●	26.1	● ✳ 7–n, ≡ n–n [m.U.
5	−0.2	1.7	1.6	1.0	−3.5	560.9	562.8	564.5	100	92	72	WSW 2	WSW 2	SW 2	10■	10	1	0.6	✳ $8^1/_2$–$9^1/_2$, ≡ n–17 m.U.
6	7.5	11.2	9.8	9.5	4.9	564.4	565.5	566.2	4	6	38	WSW 2	SW 1	S 2	0	0	1	.	
7	12.4	13.4	9.3	11.7	7.1	566.1	566.2	566.6	29	45	91	ENE 1	S 2	SE 2	1	1	10	.	
8	10.7	11.9	6.8	9.8	5.1	565.4	565.2	563.9	45	40	84	S 3	SSW 3	SSW 3	2	9	10●	0.2	●tr. 18, ● $20^3/_4$–n
9	8.5	8.1	4.2	6.9	2.1	562.6	562.4	563.4	62	100	100	SSW 2	NW 1	WSW 2	10	10≡	10≡●	81.5	● $13^3/_4$–n, ≡ 11–n
10	1.2	3.2	2.1	2.2	−2.6	563.1	562.9	563.7	100	100	100	WSW 4	W 4	WSW 3	10≡●	10■	10≡	26.3	● $15^1/_4$–n m U., ≡ n–n m.U.
11	−0.6	−0.2	−0.7	−0.5	−5.4	562.5	562.6	563.5	100	100	100	W 3	WSW 3	W 3	10≡*	10≡	10≡*	49.4	✳ 7–n m.U., ≡ n–n
12	−0.9	0.0	−0.3	−0.4	−5.3	564.2	564.9	565.2	100	100	100	W 3	W 2	WNW 3	10≡*	10≡	10≡	13.4	✳ 7–9, $15^1/_2$, ≡ n–n ✳
13	−0.6	3.6	2.8	1.9	−3.1	564.2	564.7	564.9	95	91	100	W 3	WSW 2	W 3	10≡	9	10≡	0.3	≡ n–14 zeitw., 14–n ✳
14	1.4	6.0	3.4	3.6	−1.4	564.7	565.4	566.3	90	76	98	WSW 2	W 2	W 2	8	5	3	.	≡ $17^3/_4$–$20^1/_2$
15	5.2	9.6	5.3	6.7	1.6	566.5	567.1	568.2	89	70	100	W 2	WSW 2	W 2	8	9	10≡	.	≡ 12–n m.U.
16	4.1	4.6	4.0	4.2	−0.9	568.1	568.6	568.7	98	98	100	W 2	W 2	NW 2	10≡	10≡●	10≡	12.8	● $13^1/_4$–18 zeitw., ≡ n–n
17	3.4	5.2	3.5	4.0	−1.1	567.1	566.9	566.2	100	94	96	W 2	WNW 2	WNW 2	10≡	10≡	8	.	● n–$5^1/_2$, ≡ n–20
18	5.8	8.2	5.2	6.4	1.2	565.1	566.0	566.5	52	78	93	WSW 2	W 3	W 2	0	5	10	.	≡ 18–19
19	4.4	6.4	5.2	5.3	0.1	566.1	566.4	566.5	100	98	96	W 2	W 3	WNW 2	10≡	10≡	8	1.6	● 11–$13^3/_4$, ≡ n–18
20	8.1	11.4	7.6	9.0	3.8	565.2	565.8	568.3	56	68	65	WSW 2	WSW 2	WSW 2	1	5	2	0.2	≡ 16–17
21	5.8	5.2	5.6	5.5	0.2	563.5	563.8	562.1	98	82	92	W 4	NNE 1	ESE 2	10≡●	10	9	22.9	● $7^1/_4$–$7^3/_4$, 12, ≡ 7–9, 14–
22	1.8	1.2	0.9	1.3	−4.0	**558.8**	559.5	561.2	100	100	100	W 4	W 4	W 4	10≡●	10≡	10≡●	55.2	● ≡ n–n [$14^3/_4$
23	1.6	2.6	2.6	2.3	−3.0	563.1	565.6	566.8	100	100	100	W 4	W 3	WSW 3	10≡●	10≡	10≡	22.4	● n–13, ≡ n–n
24	2.8	6.6	4.0	4.5	−0.8	566.8	567.5	567.9	100	84	100	W 2	WSW 2	WSW 2	10≡	10≡	10≡	.	≡ n–n
25	5.7	9.6	7.4	7.6	2.2	567.6	568.7	569.3	74	53	57	WSW 3	SW 2	WSW 3	1	2	2	.	
26	8.9	**14.4**	12.0	11.8	6.4	569.7	**570.8**	570.1	31	25	33	WSW 3	SW 2	SW 2	7	3	8	0.7	[⌒ a
27	5.2	6.2	5.0	5.5	0.1	567.6	567.7	567.8	100	72	100	W 4	SW 2	W 3	10≡	10	10≡●	26.2	● $8^1/_4$–$9^1/_2$, $15^1/_2$-n ztw., ≡n-n m.U.,
28	4.2	7.0	3.8	5.0	−0.4	567.1	567.0	567.1	100	94	88	WSW 2	SW 2	NW 2	10≡	10≡●	10	23.4	● $13^1/_4$–$19^3/_4$ ztw., ≡ n–$19^1/_2$ m.U.
29	5.0	8 3	5.8	6.4	1.0	566.1	566.1	566.0	66	85	90	N 1	SW 1	W 2	10	10≡	9	1.1	●° 14–15, ≡ 11–16
30	5.0	5.6	3.2	4.6	−0.8	565.0	565.2	566.0	100	100	100	WSW 2	W 2	WNW 3	10≡	10■	10≡●	20.4	● 6–7, 17–n m.U., ≡ n–n
31	1.2	3.3	1.9	2.1	−3.3	565.8	566.8	567.1	100	88	100	WNW 3	W 3	WNW 3	10≡	10≡	10≡	6.3	● $18^3/_4$, ≡ n–n m.U.
																		Summe	
Mittel	4.5	6.5	4.5	5.2	—	565.1	565.5	565.8	81	79	88				8.0	8.2	8.1	416.1	

Juli 1944.
Beobachter: Frl. *F. Lombardi.*

St. Gotthard (Hospiz)

$\lambda = 8° 34'$, $\beta = 46° 33'$,
$H_b = 2095.7$ m, $G = -0.25$ mm.

1	8.8	13.0	6.6	9.5	2.9	594.6	595.0	597.2	74	58	78	SW 1	N 1	N 1	5	5	8≡	.	≡ $17^1/_2$–n
2	8.2	15.4	10.2	11.3	4.6	596.8	596.3	596.1	68	70	89	NW 1	S 1	S 0	5	8	8	.	
3	9.0	9.5	6.2	8.2	1.4	594.7	593.7	593.9	84	100	100	S 0	S 1	S 1	8≡	10●	10●≡	**56.3**	● 11-n m.U., K 14–$16^1/_2$, ≡ I, III
4	5.8	2.8	2.4	3.7	−3.2	589.1	588.5	589.0	100	100	100	S 0	N 1	N 2	10●≡	10●*≡	10≡	26.7	● n–17, ●✳ $11^1/_2$–16, ≡ n–n
5	2.4	6.8	3.6	4.3	−2.7	589.4	591.2	592.7	100	68	78	N 2	N 2	N 2	10≡	8	8	.	≡ n–10
6	5.7	14.4	8.0	9.4	2.3	593.3	594.1	594.7	42	55	75	NW 1	S 0	S 0	0	0	0	.	
7	9.0	15.4	10.7	11.7	4.5	595.0	595.2	595.6	71	70	81	S 0	S 1	S 1	0	0	8	.	
8	9.0	9.5	7.0	8.5	1.2	594.4	594.0	593.1	98	100	100	SE 0	S 1	SE 1	10≡	10●≡	10●≡	20.3	● $8^1/_4$–n, ≡ n–n
9	6.6	6.8	6.0	6.5	−0.9	590.9	591.4	591.1	100	100	100	S 0	S 1	N 1	10●≡	10≡	10≡	15.7	● n–$13^1/_4$, 16–$18^1/_2$, ≡ n–n
10	4.8	11.0	6.8	7.5	0.0	592.0	592.4	592.9	88	100	80	N 1	N 1	NW 0	5	4	8	0.5	● $19^1/_4$–21
11	4.7	5.5	4.0	4.7	−2.9	591.4	592.0	592.4	80	80	100	N 1	N 1	N 1	5	10	10●≡	6.6	● $18^1/_4$–n, ≡ III
12	**2.0**	4.8	2.8	3.2	−4.5	593.1	593.8	594.3	100	92	100	N 1	N 1	N 1	10≡	8≡	10≡	.	≡ n–n
13	4.7	10.4	6.8	7.3	−0.5	594.4	593.1	593.5	89	61	100	N 1	N 1	NE 1	0	0	10≡	.	≡ $18^3/_4$–n
14	5.2	11.0	6.2	7.5	−0.4	593.8	593.7	594.9	88	75	78	NE 1	NE 1	NE 1	5	5	0	.	
15	8.8	14.0	9.2	10.7	2.7	595.3	596.0	597.0	80	74	100	S 1	S 1	S 1	5	2	10≡	.	≡ 18–n
16	8.0	9.4	8.4	8.6	0.5	596.7	597.1	597.4	80	91	100	N 1	N 1	N 1	5	8	10≡	0.3	≡ $17^1/_4$–n
17	7.0	12.8	6.4	8.7	0.5	595.8	595.5	594.6	85	70	78	N 1	N 1	N 1	5	5	5	.	
18	7.7	14.0	8.8	10.2	1.9	593.9	594.4	594.9	61	75	64	W 0	SW 0	NW 1	0	8	5	.	
19	7.8	14.0	9.8	10.5	2.2	594.9	595.2	595.1	63	60	89	N 1	N 1	N 1	5	10	3	.	
20	8.7	15.0	11.0	11.6	3.2	594.3	594.5	594.2	80	64	88	S 0	S 1	S 1	5	2	10	1.9	● seit $16^1/_4$ zeitw.
21	8.0	9.2	8.2	8.5	0.1	592.9	592.4	590.6	100	100	100	S 1	S 1	S 1	10■	10●≡	10●≡	40.6	● $11^1/_4$–n, ≡ n–n
22	3.8	7.0	4.2	5.0	−3.4	**587.7**	588.6	590.5	82	80	100	N 1	N 1	N 1	5	5	10■	0.7	●sch. 14–n zeitw., ≡ 18–n
23	4.0	7.0	5.8	5.6	−2.9	592.0	594.3	595.7	80	80	100	NE 3	N 1	N 2	8	10	10≡	.	≡ 16–n
24	6.0	12.0	7.2	8.4	−0.1	595.6	595.5	596.4	80	74	100	N 1	W 1	NW 1	0	5	10≡	.	≡ 18–n
25	8.0	15.6	8.2	10.6	2.1	596.9	597.2	598.2	85	71	85	S 1	S 1	S 0	8	3	8	.	
26	8.4	**17.0**	12.2	12.5	4.0	598.9	**599.1**	**599.1**	71	70	100	S 0	S 1	S 1	0	0	0	13.1	
27	8.8	14.0	8.0	10.3	1.8	596.5	596.0	596.4	100	60	100	NW 0	N 1	N 1	10●	8	8	0.9	K ● n–$7^3/_4$, ● $12^3/_4$–$13^1/_4$
28	7.2	12.3	6.8	8.8	0.3	595.5	594.8	595.4	89	91	100	N 1	N 1	N 1	8	8	10	.	
29	6.4	12.2	8.2	8.9	0.4	594.7	594.6	594.3	89	72	100	N 1	S 0	SE 0	10	8	10≡	2.1	● $19^1/_4$–$22^1/_4$, ≡ III
30	8.8	11.6	7.2	9.2	0.7	593.7	593.8	594.8	85	85	100	S 0	S 1	N 1	8	8	10≡	.	✳ 17–n
31	5.4	8.8	5.8	6.7	−1.8	594.9	595.3	595.8	95	80	95	N 1	NW 1	N 1	8	6	8	.	
																		Summe	
Mittel	6.7	11.0	7.2	8.3	—	594.0	594.1	594.6	84	78	92				5.9	6.3	8.0	185.7	

$\lambda = 7°\ 26'$, $\beta = 46°\ 57'$,
$H_b = 572.2$ m, $G = 0.00$ mm.

Bern

August 1944.
Beobachter: *Tellur. Observatorium.*

Tag	Lufttemperatur 7³⁰	13³⁰	21³⁰	Mittel	Abweich. vom Normalwert	Luftdruck 7³⁰	13³⁰	21³⁰	Relative Feuchtigkeit 7³⁰	13³⁰	21³⁰	Windrichtung und Stärke 7³⁰	13³⁰	21³⁰	Bewölkung 7³⁰	13³⁰	21³⁰	Niederschlag	Witterung
1	14.5	21.0	17.5	17.7	0.0	714.9	713.7	713.2	86	45	73	SE 1	NE 2	ENE 2	1	3	1	.	◬ I
2	14.6	21.7	17.9	18.1	0.4	712.4	711.3	712.4	87	52	72	E 0	NNE 2	NE 1	1	2	1	.	◬ I
3	15.1	20.9	18.3	18.1	0.5	712.8	712.9	713.2	93	63	84	NE 1	NNE 2	NW 0	7	4	4	.	◬ I
4	16.4	20.9	16.9	18.1	0.5	714.6	714.3	714.7	87	61	84	NE 1	NNE 2	NE 1	3	5	3	.	◬ I
5	14.7	19.2	16.6	16.8	−0.7	714.2	713.9	713.9	93	61	77	NE 1	ENE 2	E 0	8	5	9	.	◬ I
6	14.5	21.6	15.2	17.1	−0.4	714.4	713.6	714.5	92	52	94	SE 0	NE 1	SE 1	9	9	10	3.9	● 17¼–21½ m.U., ⊼ 17¼
7	13.7	21.5	16.9	17.4	0.0	714.6	713.6	713.7	92	57	82	SE 0	NE 1	ESE 2	1	6	1	.	
8	13.7	22.1	17.3	17.7	0.3	713.0	711.1	710.1	83	46	83	S 0	ENE 1	SE 2	1	7	3	.	◠ 18½, ◬ I
9	15.9	19.8	15.3	17.0	−0.3	710.0	710.9	712.1	93	73	96	SE 0	W 2	SE 0	10	9	3	0.2	●tr. a zeitw., ● 12¼-14 m.U.
10	14.3	23.3	19.5	19.0	1.8	713.3	713.5	714.9	92	43	78	SE 0	N 1	N 0	1	5	0	.	◬ I
11	16.6	25.1	20.1	20.6	3.4	715.9	715.8	716.1	87	54	84	SE 0	NE 1	SW 0	0	1	0	.	◬ I
12	18.4	27.2	22.4	22.7	5.6	717.4	716.4	716.4	88	41	72	SE 0	W 1	SW 0	0	1	0	.	◬ I
13	18.5	28.8	23.9	23.7	6.7	716.6	715.1	714.8	92	32	64	S 0	W 1	SW 0	2	2	3	.	◬ I
14	19.1	27.2	22.0	22.8	5.8	714.1	712.9	712.5	88	48	78	E 0	NE 1	NE 1	0	2	0	.	◬ I
15	16.9	25.5	22.5	21.6	4.7	712.7	711.2	711.0	94	65	73	NE 0	N 1	ENE 2	10	1	10	0.3	●° 21
16	18.6	25.0	18.6	20.7	3.9	711.5	711.0	712.4	87	54	78	SE 1	NW 1	SE 1	6	9	7	4.1	● 1¼–2¾, 13–16¾ m.U.
17	16.3	24.0	18.3	19.5	2.7	713.8	713.5	714.3	98	56	93	S 0	SE 1	NE 0	9	6	1	.	●², 1, ● 5¾-7¼
18	16.3	23.6	20.5	20.1	3.4	714.0	712.2	711.3	91	68	80	S 0	NE 1	SW 0	1	3	0	.	◬ I
19	16.5	27.1	21.5	21.7	5.1	711.9	710.4	709.6	90	35	74	S 0	N 1	SE 1	1	1	0	.	◬ I
20	17.9	25.6	21.9	21.8	5.2	710.2	709.6	709.0	82	46	75	NW 1	NE 1	S 0	7	5	7	0.0	●°tr. 21⅜
21	18.2	26.1	22.3	22.2	5.7	708.2	707.9	708.7	92	53	85	S 1	NE 1	SE 0	7	8	1	.	◬ I
22	17.9	27.5	22.8	22.7	6.3	712.6	712.2	712.2	80	54	78	SE 1	NE 1	NE 0	9	9	0	.	
23	18.4	29.3	23.6	23.8	7.4	714.0	712.6	711.4	92	53	58	SE 1	NE 1	N 0	0	1	0	.	◬ I
24	20.6	26.5	21.1	22.7	6.4	712.8	713.3	715.8	87	57	85	SE 0	NNE 2	SE 1	0	1	10	15.9	●tr. 18⅜, 19¼
25	17.3	22.9	21.4	20.5	4.3	716.7	716.7	716.8	97	71	91	SE 0	N 1	NE 0	8	7	0	.	● 0½–3½, ⊼ 2½–3¾
26	19.3	26.6	20.3	22.1	6.0	717.6	716.5	717.2	93	50	89	SW 0	NW 0	S 0	9	5	7	0.5	●° 14¾, 17½
27	17.5	25.3	21.0	21.4	5.3	716.9	716.1	715.7	94	51	62	W 0	N 0	S 1	7	7	1	.	● 4–4¼, ⊕ II
28	17.0	26.0	21.3	21.4	5.4	714.9	713.0	713.5	82	52	57	S 0	W 2	WNW 1	8	4	8	0.3	▽ III
29	17.2	20.7	17.4	18.4	2.5	712.5	711.5	710.6	93	90	98	S 0	S 0	SE 0	9	10●▲	9	18.9	● 5, ⊼▲● 13½–15, ● 15–
30	17.5	28.9	20.8	22.4	6.6	710.6	710.3	710.3	97	37	95	SE 0	WSW 1	NE 0	9	7	5	1.9	● 0⅜–6½ m.U. [23¼ m.U.
31	17.6	23.5	18.6	19.9	4.2	712.2	710.8	712.6	97	69	98	SW 1	NE 0	E 0	10	8	10●	44.1	● 5¼–9, 18–24 m.U., ⊼ 21¾–24
																		Summe	
Mittel	16.8	24.3	19.8	20.3	—	713.6	712.8	713.1	90	55	80				5.0	4.9	3.7	90.1	

$\lambda = 6°\ 57'$, $\beta = 47°\ 0'$,
$H_b = 487.3$ m, $G = 0.02$ mm.

Neuchâtel

August 1944.
Beobachter: *Observatorium.*

1	15.7	24.6	17.8	19.4	0.7	722.4	721.1	720.5	82	51	65	E 0	E 1	N 1	3	3	0	.	
2	16.3	26.2	19.5	20.7	2.0	719.6	718.7	719.7	83	45	68	E 1	E 3	NE 2	0	1	0	.	
3	16.9	25.4	21.3	21.2	2.5	720.4	720.5	720.7	80	52	59	NE 2	E 2	N 1	8	1	9	.	
4	18.2	23.3	17.4	19.6	1.0	721.8	721.4	722.0	78	60	79	NE 1	NE 2	N 2	4	8	7	11.3	⊼ ●²sch. 15¼–17 m.U.
5	16.3	23.2	18.3	19.3	0.7	721.9	721.2	721.2	80	55	69	NE 2	E 2	N 1	5	1	6	.	
6	16.0	22.3	17.1	18.5	0.0	721.9	721.3	722.1	87	64	81	E 0	S 1	NE 2	10	8	6	0.2	●° 17½–18, T 15–17
7	14.6	21.9	17.5	18.0	−0.5	722.0	721.1	721.3	97	59	75	NE 0	N 0	NW 0	10	7	0	.	●tr. 15½, T° p
8	14.5	26.0	19.7	20.1	1.7	720.5	718.6	717.2	92	43	64	E 1	S 1	NE 0	0	2	1	.	
9	17.5	17.8	15.8	17.0	−1.3	717.2	718.7	719.4	82	83	87	NE 0	SW 2	SW 0	10	10●	0	0.3	●sch. 10⅜–17¼
10	14.6	27.5	22.5	21.5	3.2	720.9	721.0	722.1	93	48	44	E 1	NE 1	N 2	7	5	2	.	
11	16.7	29.4	22.8	23.0	4.8	723.5	723.2	723.3	88	47	58	SE 1	SE 1	N 1	0	0	0	.	
12	18.1	30.1	26.1	24.8	6.7	724.8	723.8	723.4	86	39	49	E 1	SW 1	N 1	0	1	0	.	
13	19.2	30.7	26.0	25.3	7.2	723.9	722.5	721.9	84	42	44	E 0	S 1	N 1	0	1	0	.	
14	19.8	31.7	24.6	25.4	7.4	721.5	720.2	719.4	84	45	60	SE 0	SE 1	NE 1	0	3	1	.	
15	18.8	28.9	20.6	22.8	4.9	720.1	718.5	718.6	74	55	92	NE 1	SE 1	N 0	6	0	10●	1.6	● 19–21½, ⊼ seit 18½
16	18.7	26.7	18.7	21.4	3.5	718.9	717.8	719.7	93	53	96	NW 0	SW 1	NE 1	8	4	9	11.1	●²sch. 15, 20¼, 21. n, T seit
17	16.6	22.7	19.1	19.5	1.7	721.1	720.9	721.5	98	74	83	W 0	S 0	N 0	6	9●	0	0.4	●° 13½–14, T p [22
18	17.0	26.9	22.1	22.0	4.3	721.4	719.7	718.6	95	62	65	E 1	SE 1	N 1	10≡	0	0	.	≡ I
19	17.4	28.9	22.0	22.8	5.1	719.1	717.7	716.4	90	47	53	E 0	S 1	NE 0	0	0	0	.	
20	18.9	28.7	21.8	23.1	5.5	717.4	716.9	715.6	87	50	70	SE 1	S 1	N 0	7	3	2	.	T° p
21	19.2	29.6	23.8	24.2	6.7	715.2	715.0	715.6	88	56	55	E 0	S 1	NW 0	5	7	0	.	
22	18.9	31.5	26.9	25.8	8.4	719.7	719.4	719.2	87	42	44	NE 0	E 2	NE 2	9	6	0	.	
23	19.9	34.7	28.5	27.7	10.3	721.4	719.7	718.5	84	35	42	E 1	E 2	NE 3	0	0	0	.	
24	22.3	29.2	24.3	25.3	8.0	720.0	720.8	722.5	74	55	49	E 1	N 2	N 3	0	1	9	1.0	● n (24. 25.)
25	19.0	28.5	23.1	23.5	6.3	724.2	724.1	723.8	91	55	73	NW 1	E 2	NE 0	2	2	0	2.3	
26	19.6	27.3	22.5	23.1	6.0	725.1	724.0	724.6	97	58	76	NW 0	S 1	SW 2	10	3	4	1.9	●²sch. 7. 8, ●° 17½–18, n,
27	18.9	28.3	21.1	22.8	5.8	724.3	723.3	722.9	91	48	74	SW 0	S 1	SW 0	8	2	0	0.2	[T° a
28	18.1	28.2	21.5	22.6	4.7	721.9	721.4	721.3	92	55	66	NE 0	SW 1	SW 2	7	4	5	0.9	●sch. 7. 12, ●° n, ⊼ 6–7½
29	19.7	21.4	19.2	20.1	2.3	719.7	718.0	717.0	79	77	96	SW 1	W 1	SW 1	10	10	10	22.0	●²sch. 12–n zeitw. ⊼ 12–13, T
30	20.8	27.9	22.8	23.8	6.1	717.6	717.6	717.7	77	57	82	W 2	SW 3	NE 0	10	7	6	3.0	● ⊼ 22–23½ [p n
31	18.7	25.0	18.7	20.8	3.2	719.3	718.0	719.7	92	65	86	SW 1	SW 3	NW 2	10●	9	10●	36.1	● n–7⅝, ●sch. ⊼ 15¼–n zuw.
																		Summe	
Mittel	18.0	26.9	21.4	22.1	—	720.9	720.2	720.3	86	54	68				5.3	3.8	3.1	92.3	

August 1944.
Beobachter: Frl. *H. Nager.*

Altdorf

$\lambda = 8° 39'$, $\beta = 46° 53'$,
$H_b = 456.3$ m, $G = -0.05$ mm.

Tag	Lufttemperatur					Luftdruck			Relative Feuchtigkeit			Windrichtung und Stärke			Bewölkung			Niederschlag	Witterung
	7^{30}	13^{30}	21^{30}	Mittel	Abweich. vom Normalst.	7^{30}	13^{30}	21^{30}	7^{30}	13^{30}	21^{30}	7^{30}	13^{30}	21^{30}	7^{30}	13^{30}	21^{30}		
1	16.8	20.8	16.0	17.9	0.0	723.5	722.9	723.5	85	50	82	SW 0	NW 1	NW 0	10	8	7	.	
2	15.6	22.9	18.3	18.9	1.0	722.2	720.6	722.1	88	48	76	NW 0	NW 0	W 0	10	6	8	.	
3	15.6	21.8	18.4	18.6	0.7	722.8	722.6	723.2	89	49	82	NW 0	NW 1-2	NW 0-1	2	5	10	.	
4	17.5	21.8	15.3	18.2	0.4	723.6	723.7	724.9	86	54	89	N 0	NW 1	E 0	10	6	7	4.0	●² ⊤ 17
5	14.2	20.5	16.3	17.0	−0.8	724.0	723.2	723.7	93	55	89	E 0	NW 0-1	E 0	4	6	8	0.2	● 18
6	16.5	23.5	16.3	18.8	1.0	723.9	722.8	725.0	80	45	90	E 0	NW 2	NW 0	7	4	10●	8.0	● III
7	15.3	22.6	16.3	18.1	0.4	723.9	722.6	724.6	92	45	90	N 0	NW 0-1	NW 0	8	7	8	1.4	●sch. seit 15
8	14.3	22.8	17.8	18.3	0.6	722.6	720.2	720.2	88	45	70	E 0	NW 0-1	E 0	6	5	10	.	
9	16.1	23.3	17.8	19.1	1.4	719.2	719.7	721.9	90	49	83	E 0	NW 0	NW 0	7	7	10	.	
10	15.1	24.2	19.8	19.7	2.1	723.0	722.8	725.0	87	44	90	N 0	NW 1	E 0-1	2	3	5	.	
11	16.9	25.0	20.0	20.6	3.0	725.5	725.7	726.1	84	51	81	NE 0	NW 1	E 0	0	1	0	.	
12	17.5	27.5	22.3	22.4	4.9	727.0	725.5	726.1	92	44	73	NE 0	N 0-1	NE 0	0	2	5	.	
13	20.1	28.3	21.9	23.4	5.9	726.3	723.8	724.5	74	44	72	SE 0	NW 1-2	N 0	6	7	5	.	
14	18.7	27.5	21.3	22.5	5.1	723.6	722.1	722.2	89	51	80	E 0	NW 1-2	NW 0	1	3	8	.	
15	20.1	26.3	22.8	23.1	5.7	722.1	721.4	722.0	80	44	63	N 0	NW 0-1	SE 1	10	5	10●	1.0	●² III
16	18.0	28.2	17.9	21.4	4.1	721.3	719.3	722.5	77	39	90	SE 0	N 1-2	W 0	6	5	10	1.7	●° seit 18½
17	17.5	22.1	17.8	19.1	1.9	723.5	723.3	724.3	91	66	84	SW 0	SW 0	NW 0	10●	9	4	1.4	● ☾
18	15.7	23.9	20.1	19.9	2.7	723.7	721.2	721.2	86	53	80	W 0	NW 0-1	SW 0	0	4	10	.	
19	16.6	27.3	20.3	21.4	4.3	721.1	719.3	719.5	88	47	63	E 0	SW 1	E 0	1	3	0	0.6	
20	19.8	27.7	19.9	22.5	5.5	718.5	718.3	718.5	60	40	76	S 0	NW 2	NW 0	0	4	0	.	
21	26.0	30.1	26.4	27.5	10.5	717.2	716.9	719.9	31	27	29	SE 3	S 2-3	SE 2	3	10	2	.	
22	21.0	27.3	20.3	22.9	6.0	721.8	720.9	723.2	64	41	73	NW 0	NW 1	NE 0	10	7	0	0.9	
23	20.1	28.4	22.3	23.6	6.8	722.8	721.7	720.9	81	41	71	NW 0	NW 1	NW 0	0	0	0	3.6	
24	20.3	28.5	24.1	24.3	7.6	721.8	720.7	725.1	78	48	58	N 0	NW 1-2	NW 0	0	4	10	4.4	
25	20.0	24.9	22.0	22.3	5.6	725.2	724.5	725.1	91	61	86	NW 0	NW 0	N 0	1	8	10	.	
26	20.2	26.4	21.5	22.7	6.1	725.8	724.7	727.4	85	54	73	N 0	NW 1	NW 0	10	2	10	.	● 17¾
27	19.6	25.9	21.2	22.2	5.7	726.1	724.8	726.0	86	47	61	NW 0	NW 0	SE 0-1	3	7	10	.	● 17, 21¼-n
28	17.4	28.3	19.5	21.7	5.3	724.0	722.5	723.7	72	42	80	E 0	NW 1-2	NW 0-1	5	7	10●	.	● abds. zeitw.
29	17.5	23.2	17.8	19.5	3.2	720.7	720.6	721.0	81	55	93	NE 0	E 0	NW 0	10	8	10	.	
30	18.9	23.3	19.5	20.6	4.4	720.2	720.0	720.2	87	63	83	NNW 0	W 0	NW 0	10	10	10	.	
31	23.7	26.8	20.3	23.6	7.5	720.8	719.0	721.6	43	53	91	NW 3	NW 0	SW 0	10	6	10	21.0	● III
																		Summe	
Mittel	18.1	25.2	19.8	21.0	—	722.8	721.9	723.1	81	48	78				5.2	5.5	7.0	48.2	

August 1944.
Beobachter: *Observatorium.*

Genf

$\lambda = 6° 9'$, $\beta = 46° 12'$,
$H_b = 405.0$ m, $G = -0.03$ mm.

1	17.5	23.2	20.1	20.3	1.0	729.2	727.2	726.1	73	53	72	NE 1	NNE 1	NNE 1	0	1	0	.	
2	17.5	24.7	20.3	20.8	1.6	726.2	724.9	725.8	77	56	68	ESE 0	NNE 1	NNE 1	0	1	0	.	
3	18.0	22.1	19.6	19.9	0.7	727.3	727.5	727.7	78	73	92	NE 1	NNE 1	NE 0	9	2	9	0.1	● 19, ⊤ 17¼
4	18.4	23.0	19.4	20.3	1.1	728.6	728.0	728.6	78	55	70	ENE 0	NNE 1	NE 0	0	9	5	.	
5	17.1	23.1	20.0	20.1	1.0	728.6	728.0	728.2	82	64	76	NE 0	NNE 1	NNE 0	5	4	6	.	
6	17.5	21.5	18.8	19.3	0.2	729.0	728.1	728.5	76	69	81	NE 0	NNE 1	NE 0	1	6	3	0.8	●sch. seit 17¼, ⊤ 17
7	17.6	23.2	21.0	20.6	1.6	729.1	727.7	727.6	80	58	69	NE 1	NE 1	NE 1	1	3	5	.	
8	16.5	25.2	21.2	21.0	2.0	727.2	725.2	723.9	77	47	65	ENE 0	N 1	ESE 0	0	2	9	2.5	⊀ 21
9	16.9	20.2	19.0	18.7	−0.2	724.7	725.1	726.3	94	78	76	SE 1	N 1	NE 0	10●	7	2	4.2	● a, abds.
10	19.0	24.7	21.8	21.8	3.0	727.7	727.6	728.6	81	50	69	ESE 1	NNE 1	NE 0	0	2	0	.	
11	19.1	26.8	24.0	23.3	4.5	730.3	729.9	730.3	77	49	59	SE 0	NNE 1	E 0	0	0	0	.	
12	20.8	28.0	24.5	24.4	5.7	731.6	730.3	730.5	77	59	64	ENE 0	NE 1	ENE 0	0	0	0	.	
13	21.5	29.8	25.0	25.4	6.8	730.8	729.1	728.6	70	48	61	E 0	NNE 1	E 1	0	0	0	.	
14	22.4	28.3	25.0	25.2	6.7	728.2	726.5	725.7	66	56	76	E 1	NNE 1	E 1	0	1	0	.	
15	21.0	27.1	26.0	24.7	6.2	726.5	724.9	724.4	78	53	50	NE 0	NNE 1	S 1	1	0	3	.	
16	21.8	26.6	22.4	23.6	5.2	725.3	725.1	726.9	84	45	69	NE 0	SW 1	S 1	1	8	9	.	
17	20.4	26.4	21.7	22.8	4.5	727.9	727.0	728.1	80	53	78	E 0	N 1	E 0	3	3	2	.	
18	19.2	25.5	23.0	22.6	4.4	728.2	726.1	725.3	79	54	61	NE 0	NNE 1	E 0	0	1	0	.	
19	19.7	26.8	23.7	23.4	5.3	726.0	723.9	723.0	70	54	69	NE 0	NNE 1	NE 0	0	1	0	.	
20	23.3	29.0	22.8	25.0	7.0	724.4	723.4	722.3	61	58	70	S 1	NNE 1	NE 0	7	3	0	.	
21	21.2	29.0	23.5	24.6	6.6	722.1	721.4	722.3	72	51	67	NE 0	NE 0	SE 0	7	5	2	.	
22	21.4	29.2	24.8	25.1	7.2	726.3	725.5	725.6	70	44	69	E 0	NNE 1	NE 0	4	7	1	.	
23	23.0	32.7	27.8	27.8	10.0	727.5	725.2	725.2	74	39	52	E 0	NNE 1	NE 1	0	1	5	.	
24	25.5	30.6	24.5	26.9	9.2	726.9	727.0	728.5	68	46	71	NNE 1	SW 1	NNE 1	4	2	8	.	
25	20.8	26.6	24.2	23.9	6.3	731.1	730.8	731.0	83	65	75	NE 0	NNE 1	NE 0	7	3	5	8.2	
26	21.0	23.8	18.4	21.1	3.6	731.3	731.6	732.4	87	78	96	E 0	E 1	SE 1	10	8	10●	2.7	● K$_\lambda$ 3¾, ●° n-n zeitw., [⊤ a, 20½
27	19.5	30.0	21.8	23.8	6.4	731.3	730.2	729.7	92	44	86	E 0	NE 1	E 0	4	3	2	.	
28	20.8	29.8	19.2	23.3	6.0	729.3	727.5	728.2	80	37	81	E 0	SSW 2	S 0	3	7	8	3.7	● K$_\lambda$ 17¼
29	21.0	29.0	19.8	23.3	6.1	727.0	725.2	725.2	69	51	88	NNE 1	S 1	ESE 1	9	10	9	13.0	● K$_\lambda$ seit 14¼, ●² ▲sch. 17¼
30	22.0	30.5	26.0	26.2	9.1	725.2	725.1	724.5	75	47	65	SSE 1	SW 1	ESE 1	4	2	10●	3.4	●sch. 5, III
31	19.2	27.2	19.1	21.8	4.8	726.4	725.6	727.0	90	54	89	NE 1	W 1	SW 1	10●	8	10●	5.2	● I, abds., K$_\lambda$ 17¼, 20¾
																		Summe	
Mittel	20.0	26.6	22.2	22.9	—	727.8	726.8	727.0	77	55	72				3.2	3.5	4.0	43.8	

$\lambda = 8°\ 33'$, $\beta = 47°\ 23'$, $H_b = 493.2$ m, $G = 0.03$ mm.

Zürich

August 1944.
Beobachter: *Meteorol. Zentralanstalt.*

Tag	Lufttemperatur 7³⁰	13³⁰	21³⁰	Mittel	Abweich. vom Normalst	Luftdruck 7³⁰	13³⁰	21³⁰	Relative Feuchtigkeit 7³⁰	13³⁰	21³⁰	Windrichtung und Stärke 7³⁰	13³⁰	21³⁰	Bewölkung 7³⁰	13³⁰	21³⁰	Niederschlag	Witterung
1	16.4	19.1	16.2	17.2	−1.0	721.6	720.9	720.2	78	69	92	WNW 1	N 1	E 1	9	10	10	0.4	● 13⅝, 19⅝
2	16.2	22.9	17.4	18.8	0.6	719.3	718.5	719.6	86	49	80	NNW 0	ESE 1	NNE 1	10	3	1	.	
3	16.3	24.2	19.2	19.9	1.8	720.0	719.8	720.1	82	52	73	NE 0	ESE 1	ENE 1	9	4	4	.	△ I
4	16.0	22.3	17.8	18.7	0.6	721.1	721.6	721.5	86	60	74	N 1	ESE 1	NE 1	10	8	9	.	
5	14.8	19.3	16.7	16.9	−1.1	721.4	721.2	720.4	87	67	90	ESE 0	ENE 1	S 0	10	10	10	.	
6	16.2	23.2	15.6	18.3	0.3	721.0	720.4	721.2	83	53	93	SSW 0	NW 1	SE 1	10	5	10●	2.7	●° 18½-24¼ m.U., K$_s$ 18-19
7	16.3	24.5	16.8	19.2	1.3	720.9	720.1	720.5	87	47	80	SSW 0	W 1	SSE 1	7	3	9	0.3	K$_s$ ● 17⅝-18½
8	14.2	25.5	19.9	19.9	2.1	719.8	717.6	716.7	86	38	77	SE 0	WNW 1	ESE 1	2	2	9	.	
9	17.1	23.6	17.8	19.5	1.7	716.6	716.9	718.8	76	54	93	NNW 0	WNW 2	S 1	9	9	10	0.5	●° 17⅝, 20⅝-22½
10	16.7	26.0	18.8	20.5	2.8	719.9	720.3	721.5	88	44	84	WNW 1	SW 0	WNW 0	9	6	0	.	
11	16.2	27.7	20.2	21.4	3.8	722.6	722.6	722.5	89	44	78	WNW 0	N 1	NE 0	0	1	0	.	△ I
12	17.7	30.5	21.8	23.3	5.7	723.9	722.8	722.8	85	36	80	NE 0	WNW 1	S 1	0	1	0	.	△ I
13	19.0	31.0	24.3	24.8	7.3	723.0	721.6	721.6	85	32	60	S 1	NW 2	NE 1	1	1	0	.	
14	19.9	28.9	21.7	23.5	6.1	721.0	720.1	719.7	84	50	75	WNW 0	NNW 1	NE 2	1	2	1	.	
15	16.8	25.0	22.9	21.6	4.3	719.5	718.5	717.7	81	61	75	WNW 1	NE 1	NW 1	10	0	10	0.2	K$_s$ ● 22⅝-23½
16	19.7	28.8	17.4	22.0	4.8	718.1	717.2	719.1	83	41	91	SSE 1	NW 1	SE 1	6	6	10	5.4	● 16½-20¼ m.U., K$_s$ 16½-
17	18.4	22.8	18.9	20.0	2.8	719.9	720.4	720.9	83	63	89	SW 1	WNW 1	WNW 0	9	9	7	.	●° 11¼-12 [17¼
18	16.4	27.2	21.4	21.7	4.6	720.6	718.8	717.9	90	44	73	WNW 0	E 1	ENE 1	0	1	0	.	△ I
19	17.3	29.6	20.4	22.4	5.4	718.1	717.2	716.3	87	35	73	ENE 0	SSW 1	S 1	0	1	0	.	△ I
20	17.7	29.6	21.4	22.9	6.0	716.1	716.3	715.4	84	40	80	NNW 1	W 0	N 0	2	3	0	.	△ I
21	19.2	30.1	21.9	23.7	6.9	714.5	714.4	715.3	84	42	69	ENE 0	WNW 1	ESE 1	8	8	0	.	
22	19.4	31.4	22.4	24.4	7.6	719.0	719.3	719.1	76	33	74	E 0	ESE 1	E 0	9	4	1	.	
23	20.6	33.2	23.4	25.7	9.0	720.4	719.8	718.5	79	36	71	NW 1	ESE 1	ENE 1	1	0	0	.	△ I
24	20.2	28.8	23.9	24.3	7.7	719.6	719.7	722.2	90	55	60	ESE 0	NW 2	WNW 1	0	3	10	0.1	K$_s$ ●° 22½-23
25	20.8	28.6	22.1	23.8	7.3	723.6	723.1	723.4	75	52	72	N 1	NNE 1	NE 1	10	2	1	.	
26	20.0	29.8	22.6	24.1	7.7	723.8	722.9	723.7	86	45	79	WNW 1	W 0	W 1	6	2	10	0.0	K$_s$ ● 19⅝-20
27	20.0	29.4	23.0	24.1	7.8	723.1	722.3	722.1	89	38	71	ESE 1	W 2	SE 1	1	3	9	.	
28	18.2	27.0	18.2	21.1	4.9	720.9	720.2	719.9	90	42	92	NNW 0	SSE 1	ESE 1	4	7	9	10.3	K$_s$ ● 16¼-17⅝, 18⅝-19½
29	17.9	22.6	17.3	19.3	3.1	719.0	717.7	717.5	92	68	91	SSE 0	SSE 0	S 1	10●	10	10	32.6	K$_s$ ●7-7⅝ ●11⅝-n m.U., K$_s$ abds.
30	18.4	25.1	20.2	21.2	5.1	717.3	717.1	717.2	90	64	94	S 1	NNE 1	ESE 1	10	6	9	12.7	● 0-8 m.U., 22⅝-23⅝, K$_s$ 0⅝, 23
31	18.0	24.6	17.2	19.9	3.9	719.5	716.8	719.5	93	62	91	SE 1	WNW 1	WNW 1	10●	9	10	32.5	● 0-10, 17¼-n, m.U., K$_s$ 0, 17¼, n
																		Summe	
Mittel	17.8	26.5	20.0	21.4	—	720.2	719.5	719.8	85	49	80				5.9	4.5	5.5	97.7	

$\lambda = 8°\ 30'$, $\beta = 47°\ 3'$, $H_b = 1787.3$ m, $G = -0.20$ mm.

Rigi-Kulm

August 1944.
Beobachter: *J. Wiget.*

1	7.1	8.4	8.2	7.9	−2.2	618.1	618.1	617.9	100	95	85	W 1	W 1	NE 2	10≡	10≡	7	0.3	≡ I, II
2	8.0	10.6	7.4	8.7	−1.4	616.4	616.6	616.8	85	90	94	E 1	NE 1	NE 1	8	5	5	.	
3	9.8	11.9	11.2	11.0	0.9	617.0	617.8	618.2	78	97	95	E 1	E 1	NE 1	2	10≡	7	.	≡ 11⅝-p zeitw.
4	10.4	12.4	9.2	10.7	0.6	618.2	618.5	618.6	64	65	100	W 0	E 0	E 1	5	7	8	.	≡ zeitw.
5	9.2	9.5	8.6	9.1	−0.9	617.7	618.2	618.0	64	100	100	E 1	E 1	SE 1	3	10≡	7	.	≡ II
6	11.0	12.5	9.2	10.9	0.9	618.0	618.2	618.5	56	55	68	SW 0	SW 0	W 1	5	8	10●	38.4	● K$_s$ 17⅝-18½, ● III
7	9.4	12.1	9.5	10.3	0.3	618.6	618.4	618.3	72	74	85	W 1	W 1	W 0	4	4	10●	10.3	● 17¼-22¼, ● K$_s$ 17¼-
8	10.6	13.0	10.2	11.3	1.3	618.2	616.7	615.8	75	60	70	SW 0	SE 1	SW 1	5	5	10	0.9	● 18¼-19 [18¼
9	11.8	14.2	10.2	12.1	2.2	615.0	615.7	616.9	56	72	78	S 1	S 2	W 1	8	7	10	2.3	● n (9./10.)
10	12.0	14.0	11.0	12.3	2.4	617.8	619.0	619.4	80	64	58	NE 1	S 1	N 0	4	5	4	.	
11	12.2	16.6	14.5	14.4	4.5	620.5	621.5	622.2	80	80	62	SE 1	SE 1	SE 1	0	3	2	.	≡ zeitw.
12	15.2	16.6	15.2	15.7	5.9	622.8	622.6	621.8	52	70	72	W 0	SW 0	W 0	0	2	5	.	
13	14.4	18.5	15.2	16.0	6.2	622.0	621.7	621.6	69	64	52	W 0	W 0	W 0	5	4	4	.	
14	15.4	15.8	14.0	15.1	5.4	619.8	619.9	619.0	78	88	90	SE 0	NE 1	W 0	0	4	4	.	
15	15.8	16.8	16.2	16.3	6.6	618.2	618.2	617.5	56	55	50	SW 1	W 0	W 3	3	2	8	0.8	
16	13.4	15.0	10.5	13.0	3.4	617.6	617.5	617.9	77	76	100	W 1	NW 1	W 2	5	5	10●	19.4	● p-n, K$_s$ 15⅝-16½
17	9.8	13.2	11.5	11.5	2.0	618.1	618.9	619.3	100	70	75	W 3	W 1	W 0	10	8	5	.	≡ zeitw.
18	12.0	15.0	14.0	13.7	4.2	618.6	618.1	617.8	60	70	75	E 1	E 0	E 0	0	2	4	.	
19	13.2	15.6	15.4	14.7	5.3	617.5	617.4	617.1	60	54	73	W 1	WSW 0	W 0	0	3	4	.	
20	17.0	17.5	17.2	17.2	7.9	616.3	616.0	615.7	37	55	57	W 0	S 1	S 2	4	4	5	.	
21	15.6	19.2	16.4	17.1	7.8	615.2	615.7	618.0	46	38	42	S 2	S 2	S 2	5	6	7	.	
22	17.2	20.8	21.0	19.7	10.5	618.8	619.9	619.8	38	30	26	SW 0	SE 1	E 2	7	5	6	.	
23	22.2	24.0	20.0	22.1	13.0	621.0	621.3	619.8	21	23	35	S 0	E 0	SE 1	0	0	0	.	
24	16.4	16.2	13.8	15.5	6.4	619.2	620.4	620.6	60	82	100	S 2	W 1	W 1	0	3	10●	21.1	● III, ▲ K$_s$ 20¼-21¼
25	13.2	14.2	14.6	14.0	5.0	621.8	622.2	622.3	98	100	100	E 2	E 2	E 1	5	10≡	4	.	≡ II
26	15.8	17.6	12.0	15.1	6.2	622.6	622.7	622.5	69	42	100	SW 1	W 1	W 1	4	3	10	23.7	● ▲ K$_s$ 18¼-19
27	12.5	16.2	14.2	14.3	5.5	621.7	621.6	621.7	59	73	62	W 1	W 1	SW 1	3	6	7	1.1	
28	14.8	16.4	14.2	15.1	6.3	620.1	619.7	618.9	42	64	62	SW 1	ESE 1	W 2	5	5	10	2.2	
29	12.4	15.2	13.0	13.5	4.8	617.9	617.5	616.4	72	48	69	W 2	W 2	W 3	10	10	10	29.9	● seit 15 zeitw., ● K$_s$ n
30	14.8	17.2	15.5	15.8	7.2	619.3	617.2	617.9	69	51	63	W 3	WSW 3	W 3	10	7	10	0.6	● n (3.) 31.) zeitw.
31	10.8	17.4	14.5	14.2	5.7	617.9	617.0	617.2	100	40	68	W 3	SW 3	W 1	10≡	5	10	46.6	● K$_s$ 19¼-n zeitw., ≡ I
																		Summe	
Mittel	13.0	15.3	13.1	13.8	—	618.7	618.8	618.8	67	66	73				4.5	5.4	6.9	197.6	

August 1944.
Beobachter: *P. Nogler.*

Bevers

$\lambda = 9° 53'$, $\beta = 46° 33'$,
H_b = ca. 1710 m, G = –0.23 mm.

Tag	Lufttemperatur					Luftdruck			Relative Feuchtigkeit			Windrichtung und Stärke			Bewölkung			Niederschlag	Witterung
	7^{30}	13^{30}	21^{30}	Mittel	Abweich. vom Normalst	7^{30}	13^{30}	21^{30}	7^{30}	13^{30}	21^{30}	7^{30}	13^{30}	21^{30}	7^{30}	13^{30}	21^{30}		
1	8.1	10.4	9.0	9.2	–2.4	623.3	623.0	622.8	93	87	91	SW 1	W 1–2	S 1	10	10	10	1.4	●° n–n m.U.
2	12.0	16.2	11.7	13.3	1.8	621.7	623.5	622.8	79	57	74	SW 1	W 3	W 1	5	6	6	.	
3	9.4	24.2	11.7	15.1	3.6	623.3	623.4	623.8	87	59	77	SW 0	NNW 1	NW 1	4	4	2	2.3	
4	9.8	12.6	10.6	11.0	–0.4	624.3	623.9	624.5	94	70	89	NW 0	NW 1	N 2	10	10	8	4.2	● n–10
5	11.4	14.3	8.8	11.5	0.1	623.7	624.1	624.8	71	87	100	E 2	NE 2	N 1 2	8	10●	10	5.2	● 12¼–n
6	7.4	14.2	10.6	10.7	–0.7	624.5	624.2	624.6	82	76	95	N 1	N 2	N 2	7	10	10●	2.4	● 15¼–n
7	11.3	14.2	9.8	11.8	0.5	624.3	624.3	624.8	87	79	97	E 1	NE 1–2	NE 1	8	10	10	4.2	●° n–n m.U.
8	6.8	16.4	10.8	11.3	0.0	623.7	622.7	622.4	94	63	84	SW 0	W 2	W 0	10	10●	4	0.8	● 12–13¾
9	11.0	15.6	9.6	12.1	0.9	622.1	622.6	623.3	86	61	86	SW 0	E 2	W 1	10	8	4	.	
10	9.0	18.6	11.4	13.0	1.8	623.6	625.5	626.1	90	61	93	SE 1	E 2	W 1	2	6	4	0.9	● 19
11	11.1	21.2	15.0	15.8	4.7	627.1	626.9	628.0	88	41	90	SW 0	S 1–2	W 1–2	2	4	6	.	
12	13.2	20.1	5.4	12.9	1.8	629.0	625.2	628.3	86	46	90	SW 0	W 1	S 1	0	4	2	.	
13	13.7	23.6	13.8	17.0	6.0	627.3	626.1	626.6	82	41	97	SW 1	SW 2	W 2	2	3	6	6.2	● ⊼ 19–21½
14	10.2	22.0	14.6	15.6	4.7	626.1	624.7	624.3	91	31	90	S 1	W 2	SW 0	6	7	0	.	
15	15.0	21.3	16.2	17.5	6.6	624.4	624.3	624.2	77	42	82	SW 0	SW 2–3	W 0	8	4	10	1.3	
16	12.4	20.4	13.2	15.3	4.5	624.6	625.2	624.3	82	31	79	E 1	SW 2	W 1	10	4	0	14.3	● 6½–7
17	11.3	18.3	11.2	13.6	2.9	624 2	622.2	621.1	87	61	99	S 1	W 2	W 0–1	8	8	10	4.0	●sch. n–n zeitw.
18	12.2	17.4	11.8	13.8	3.1	624.5	624.6	624.3	94	60	100	W 0	S 1	S 0	10	10	10●	10.1	● 14–n zeitw.
19	11.1	20.3	13.2	14.9	4.3	623.4	623.4	623.3	87	61	90	SE 1	W 2	W 1	7	8	2	.	
20	12.2	20.8	12.7	15.2	4.7	623.3	622.3	623.1	83	48	87	S 1	SW 2	SW 1	0	6	0	.	
21	10.6	20.2	14.2	15.0	4.6	623.0	623.3	624.4	88	46	70	SW 0–1	SW 2	W 1	10	7	6	.	
22	14.2	26.0	13.8	18.0	7.6	625.6	626.6	627.0	68	41	75	S 1	SW 2	W 1	5	3	0	.	
23	11.2	28.9	14.6	18.2	7.9	627.8	627.3	627.0	88	42	86	S 1	SW 2	W 1–2	0	0	0	.	
24	11.3	22.7	16.4	16.8	6.6	626.4	626.6	626.9	93	51	93	S 0	SW 2	W 1	0	0	8	.	
25	17.2	20.3	11.3	16.3	6.2	627.6	628.2	628.6	89	64	90	S 0	SW 1–2	W 1	10	8	10	.	
26	15.6	22.0	16.6	18.1	8.1	629.0	628.8	628.5	79	61	86	S 0	W 2	S 1–2	10	6	6	.	
27	12.6	20.9	14.6	16.0	6.1	628.3	627.8	627.4	88	42	88	W 0	SW 2	S 1	10	3	6	.	
28	13.0	18.0	8.5	13.2	3.4	626.7	625.2	626.0	82	62	100	E 1	W 2	W 1	7	8	10	12.4	●² 12–13, ● ⊼ 15–17½
29	8.6	17.0	10.3	12.0	2.3	625.1	624.4	623.8	93	80	86	S 0	W 2–3	NE 1	10	10	10	.	
30	16.2	22.0	14.0	17.4	7.8	623.6	624.6	626.0	72	78	85	NE 0	N 1	NE 1	10	8	10	4.9	● 17–18
31	14.6	16.4	14 0	15.0	5.5	624.8	624.9	625.1	80	60	95	W 2	SW 2	W 1	10	10	10	39.8	● 11½–n m.U.
Mittel	11.7	19.2	12.2	14.4	—	625.0	624.8	625.1	85	58	88				6.7	6.6	6.4	Summe 114.4	

August 1944.
Beobachter: *Kapuzinerkloster.*

Sitten

$\lambda = 7° 21'$, $\beta = 46° 14'$,
H_b = 548.6 m, G = –0.11 mm.

1	16.3	24.4	19.6	20.1	0.8	716.8	713.6	713.5	65	45	60	NE 1	WSW 2	W 0	1	4	1	.	
2	17.0	24.6	21.1	20.9	1.7	714.0	711.6	712.6	65	51	60	NE 1	SW 1	W 1	1	2	1	.	
3	18.3	24.6	21.1	21.3	2.1	714.6	712.9	714.5	75	56	61	ENE 0	WSW 2	W 3	2	2	4	.	
4	17.5	26.4	16.2	20.0	0.9	716.3	714.4	716.3	78	46	83	W 1	W 2	N 1	5	7	1	1.5	● 17½–18½
5	16.8	23.4	16.1	18.8	–0.3	716.3	714.0	717.2	77	56	97	NE 1	WSW 2	WSW 0	1	5	10●	11.9	●tr. 16, ● 18–22 m.U.
6	15.7	22.3	18.0	18.7	–0.3	717.0	715.4	717.1	79	55	83	NE 1	WSW 1	WSW 0	8	9	10●	1.2	● 18½, 19¾–21¾
7	16.4	25.0	19.1	20.2	1.2	717.2	714.4	715.4	80	46	58	NE 1	WSW 2	WSW 0	3	4	10	.	
8	16.3	23.8	14.3	18.1	–0.8	715.1	712.4	712.1	73	48	60	NE 0	W 2	NE 1	1	7	8	.	
9	18.3	20.8	18.7	19.3	0.5	711.9	713.4	714.0	75	67	75	NW 1	W 1	W 0	10	10	9	0.0	● 8½, 9–10¼ m.U.
10	17.5	25.3	20.4	21.1	2.3	715.4	714.3	716.0	73	43	62	ENE 0	W 1	NE 1	1	2	0	.	
11	17.8	27.7	22.6	22.7	4.0	718.6	716.8	718.8	75	47	65	ENE 0	WSW 2	NNE 1	0	2	0	.	
12	19.4	29.0	23.4	23.9	5.3	719.8	717.4	718.0	72	53	52	ENE 0	WSW 1	NE 2	1	1	1	.	
13	21.0	29.6	24.5	25.0	6.4	719.1	715.9	716.2	69	47	48	NE 0	WSW 1	W 1	3	2	1	.	
14	19.7	29.4	23.9	24.3	5.8	716.4	713.6	713.2	71	46	58	ENE 1	WSW 2	NE 2	0	1	1	.	
15	20.8	29.0	21.8	23.9	5.5	714.5	712.0	713.8	71	50	76	NE 0	WSW 2	NE 1	2	2	9	0.4	
16	18.9	26.6	18.0	21.2	2.9	714.1	712.0	715.7	78	54	88	NE 1	WSW 1	NE 2	3	6	10	10.3	● 15¼–19¼ m.U., ⊼ 16¾–
17	17.6	23.4	19.1	20.0	1.7	716.1	715.3	715.5	90	64	72	NE 0	WSW 1	NE 2	9●	6	1	0.0	●° l, ●tr. 20 [19, n
18	17.2	25.7	21.9	21.6	3.4	716.4	713.4	713.0	80	47	68	NE 0	WSW 2	NE 3	1	2	3	.	
19	18.9	28.4	21.6	23.0	4.9	714.5	711.8	712.1	82	43	55	NE 1	SW 2	NE 2	1	1	0	.	
20	20.4	27.4	22.3	23.4	5.4	712.4	711.0	711.1	61	50	62	NE 1	WSW 1	NE 1	7	5	2	.	
21	21.3	28.7	24.7	24.9	6.9	711.1	710.2	712.0	58	39	44	NE 0	ENE 2	NE 0	4	8	0	.	
22	19.5	29.8	24.2	24.5	6.6	715.7	713.4	714.9	60	40	52	NE 0	ENE 0	NE 2	10	6	0	.	
23	20.7	32.9	26.0	26.5	8.7	716.8	713.5	713.4	53	37	46	ENE 0	NE 0	ENE 0	0	1	1	.	
24	21.7	29.6	22.5	24.6	6.9	715.6	713.6	716.8	63	49	87	ENE 1	W 2	W 0	1	2	10	9.8	● 20¾–n, ⊲ 20–n
25	19.4	26.8	22.3	22.8	5.2	718.9	717.4	718.6	86	60	79	NE 0	W 2	W 1	2	3	2	.	● n–1, ⊼ 0–0¼
26	21.2	28.0	22.0	23.7	6.1	719.5	717.9	719.2	76	50	70	NNE 0	W 1	E 0	6	5	10	.	⊤ 18¾
27	18.8	26.7	21.2	22.2	4.7	719.3	717.4	718.3	85	56	54	ENE 1	WSW 2	NE 0	4	7	1	.	⊤ 17
28	17.4	24.7	19.7	20.6	3.2	717.7	715.2	717.0	73	51	80	ENE 0	W 1	NE 1	4	6	9	1.9	● 19½–20, ⊼ 18½
29	17.8	23.6	19.7	20.4	3.1	715.7	713.3	715.4	84	58	85	NE 1	N 0	NE 0	8	10	6	8.0	●° 10½, ● ⊼ p–20½
30	17.4	23.1	21.3	20.6	3.4	714.8	713.7	714.9	91	80	88	NE 1	WNW 0	ENE 1	8	10●	8	14.1	● 4¾–p m.U., ⊼ 20–20¾
31	18.1	21.5	19.6	19.7	2.6	715.6	715.8	716.1	93	78	100	NE 2	ENE 1	N 1	10	7	10●	8.9	● n–a m.U., ● 17¾–n
Mittel	18.5	26.2	20.9	21.9	—	716.0	714.1	715.3	74	52	69				3.8	4.7	4.5	Summe 68.0	

$\lambda = 8° 57'$, $\beta = 46° 0'$,
$H_b = 276.2$ m, $G = -0.01$ mm.

Lugano

August 1944.
Beobachter: *G. Vicari.*

Tag	Lufttemperatur 7^{30}	Lufttemperatur 13^{30}	Lufttemperatur 21^{30}	Lufttemperatur Mittel	Abweich. vom Normalst	Luftdruck 7^{30}	Luftdruck 13^{30}	Luftdruck 21^{30}	Relative Feuchtigkeit 7^{30}	Relative Feuchtigkeit 13^{30}	Relative Feuchtigkeit 21^{30}	Windrichtung und Stärke 7^{30}	Windrichtung und Stärke 13^{30}	Windrichtung und Stärke 21^{30}	Bewölkung 7^{30}	Bewölkung 13^{30}	Bewölkung 21^{30}	Niederschlag	Witterung
1	15.4	26.4	22.6	21.5	0.1	737.7	735.5	734.7	67	37	32	N 1	W 1	N 1	0	1	0	.	
2	17.2	26.4	21.8	21.8	0.4	734.2	734.2	734.6	61	51	71	WSW 1	S 1	N 1	0	0	7	.	
3	17.0	27.8	22.2	22.3	1.0	736.1	735.7	736.4	82	46	70	NNE 1	SSE 1	N 1	0	0	4	22.3	● K n (3./4.)
4	16.8	24.8	18.2	19.9	−1.4	739.3	738.5	738.8	86	44	93	N 1	S 1	NNE 1	1	4	9	2.1	●sch. p zeitw.
5	18.2	19.2	17.4	18.3	−2.9	739.4	739.8	739.9	75	86	86	N 0	WSW 1	NE 1	9	10	10	11.3	●sch. a, p, zeitw., ● n
6	16.4	18.8	19.2	18.1	−3.1	740.2	740.7	740.1	94	67	80	N 0	SSE 1	S 1	10	10	10	3.9	●° p, ● 23–n
7	16.0	23.8	17.6	19.1	−2.0	740.0	738.5	740.6	93	55	82	N 1	SSE 1	NNE 1	10	4	10	2.2	●sch. abds., n
8	16.6	21.2	17.6	18.5	−2.5	738.9	737.8	736.9	87	68	90	NNE 1	WSW 1	N 1	9	8	9	8.8	● 12¹/₂–13, K ● 15–16
9	17.0	20.0	18.8	18.6	−2.4	737.2	737.5	738.2	83	67	72	NNE 1	WSW 1	N 1	10	10	10	.	
10	15.2	25.8	20.4	20.5	−0.4	738.4	737.8	739.8	85	43	84	N 1	S 1	SE 1	0	1	10	1.2	●sch. 19–19¹/₂
11	17.2	27.0	21.8	22.0	1.2	742.1	741.6	742.1	88	57	78	N 1	SSE 1	NNW 1	0	9	1	.	
12	18.4	28.4	22.6	23.1	2.3	742.5	741.2	741.2	85	47	72	N 1	S 1	N 1	0	0	0	.	
13	19.8	29.2	23.4	24.1	3.4	740.9	739.3	738.7	83	54	70	N 0	S 1	N 1	0	0	0	.	
14	21.0	29.2	23.8	24.7	4.1	738.5	737.3	736.5	85	57	78	NE 1	SE 1	N 1	3	2	0	.	
15	21.4	27.2	23.8	24.1	3.6	737.4	736.9	736.9	83	63	73	N 1	SSE 1	N 1	9	8	6	3.0	
16	19.2	28.0	19.8	22.3	1.8	737.9	737.4	738.6	90	48	84	NNW 1	SE 1	WSW 1	9	3	10●	14.4	●sch. 18–19, ● 20¹/₂–n, K 2, [21
17	16.8	25.0	21.0	20.9	0.5	738.0	737.4	738.0	85	44	88	N 1	SSE 0	N 1	3	4	3	0.9	●sch. 20¹/₂
18	17.6	23.0	19.4	20.0	−0.3	737.7	737.4	738.0	79	75	90	N 1	NNW 0	NW 1	7	9	3	2.9	●sch. 13¹/₂–15 zeitw.
19	17.6	27.0	21.6	21.7	1.5	737.6	736.4	736.7	89	52	73	NNE 1	SE 1	N 1	1	2	0	.	
20	18.0	27.6	22.4	22.7	2.6	737.0	735.9	736.0	83	51	77	N 1	S 1	N 1	0	4	0	.	
21	19.6	27.4	21.4	22.8	2.7	736.9	736.9	737.7	84	55	72	NNW 1	ESE 0	N 1	9	5	0	.	
22	18.8	28.4	22.6	23.3	3.3	738.7	738.0	738.9	78	47	83	NNE 1	S 1	N 1	7	5	0	.	
23	18.4	29.8	24.0	24.1	4.2	739.2	737.9	739.0	77	47	78	N 1	S 1	N 1	0	0	0	.	
24	20.8	29.2	23.8	24.6	4.8	739.8	738.8	740.1	87	47	71	N 1	S 1	N 1	0	0	0	.	
25	21.6	27.0	22.2	23.6	3.9	742.7	742.2	743.1	74	54	74	N 1	SE 1	N 1	10	10	0	.	
26	19.6	28.6	22.2	23.5	3.9	743.9	742.5	742.7	81	46	65	N 1	S 1	N 1	2	0	1	.	
27	19.2	28.2	22.4	23.3	3.8	742.1	740.7	741.1	83	49	72	N 1	SE 1	N 1	0	1	1	.	
28	21.2	27.6	21.8	23.5	4.1	741.2	739.8	739.3	82	46	70	NW 0	S 1	NE 1	8	1	4	.	
29	19.6	23.6	20.4	21.2	1.9	738.9	738.1	738.2	80	68	89	ENE 1	WSW 0	NE 1	10	10	6	0.2	●° 17¹/₂–18
30	19.4	25.0	22.2	22.2	3.0	738.2	738.5	739.5	87	63	85	NE 1	S 1	NE 1	10	10	10	2.0	
31	20.4	22.4	22.0	21.6	2.5	739.1	739.5	738.9	87	71	80	NE 1	NE 1	NE 1	10	10	10	.	● 0–2
Mittel	18.4	25.9	21.3	21.9	—	739.1	738.4	738.7	83	55	77				4.7	4.5	4.3	Summe 75.2	

$\lambda = 7° 35'$, $\beta = 47° 33'$,
$H_b = 318$ m, $G = 0.11$ mm.

Basel

August 1944.
Beobachter: *Astronom.-Meteorol. Anstalt.*

Tag	Lufttemperatur 7^{30}	Lufttemperatur 13^{30}	Lufttemperatur 21^{30}	Lufttemperatur Mittel	Abweich. vom Normalst	Luftdruck 7^{30}	Luftdruck 13^{30}	Luftdruck 21^{30}	Relative Feuchtigkeit 7^{30}	Relative Feuchtigkeit 13^{30}	Relative Feuchtigkeit 21^{30}	Windrichtung und Stärke 7^{30}	Windrichtung und Stärke 13^{30}	Windrichtung und Stärke 21^{30}	Bewölkung 7^{30}	Bewölkung 13^{30}	Bewölkung 21^{30}	Niederschlag	Witterung
1	15.4	22.1	16.0	17.8	−0.3	737.0	736.2	735.3	90	64	88	E 0	NNE 0	S 0	10	7	0	.	△ l
2	15.4	24.7	18.6	19.6	1.6	734.9	733.7	734.6	92	56	78	S 0	NNE 1	ENE 0	10	6	0	.	
3	15.0	24.8	18.5	19.4	1.4	735.3	735.1	735.2	90	59	93	ESE 0	WSW 1	SW 0	10	5	2	.	T 17, △ l
4	17.4	24.0	16.9	19.4	1.5	736.5	736.1	736.9	80	59	95	SSW 0	NNE 1	SW 1	2	8	3	.	△ l
5	16.0	21.9	17.3	18.4	0.6	736.7	736.2	735.6	84	62	85	WNW 0	E 1	ESE 0	6	8	2	.	T 20, △ l
6	17.6	25.4	19.3	20.8	3.0	736.1	735.5	735.6	82	57	88	SE 1	WNW 1	SSW 1	10	6	10●	.	T 16, 21–23
7	17.0	27.4	16.6	20.3	2.6	736.1	735.1	735.3	90	43	85	ENE 1	WSW 1	S 0	0	8	0	.	T 16–17
8	15.8	25.5	17.8	19.7	2.1	734.6	732.5	731.6	79	47	81	E 1	NNE 1	S 0	3	6	0	.	T° 18
9	15.4	22.7	18.1	18.7	1.1	731.8	732.5	733.3	85	64	88	ESE 1	W 1	W 0	10	10	0	.	● 12³/₄
10	16.2	27.0	19.6	20.9	3.4	735.3	735.4	736.4	88	49	78	ESE 1	NNW 1	SSE 0	1	6	0	.	≡ 6¹/₂–7, △ l
11	18.1	29.1	19.6	22.3	4.9	738.1	737.6	737.4	71	40	83	ESE 1	NE 1	NE 0	0	0	0	.	
12	18.8	32.3	22.3	24.5	7.2	738.6	737.5	737.6	82	37	70	ENE 1	NNW 1	S 1	0	0	0	.	
13	21.4	33.1	21.4	25.3	8.0	737.7	736.3	736.6	71	35	78	NE 0	SSW 1	SSW 1	0	3	0	.	
14	18.0	28.6	19.8	22.1	4.9	736.3	735.1	734.9	79	53	70	W 1	WNW 1	W 1	0	0	0	.	
15	16.4	27.4	22.7	22.2	5.1	734.7	733.0	732.4	77	49	72	W 1	ENE 1	WSW 1	5	0	10	.	
16	21.4	27.8	18.8	22.7	5.7	732.5	732.2	733.9	76	51	94	E 1	WNW 1	ENE 1	8	10	5	32.1	● 3, K ● 14³/₄–16³/₄
17	18.2	25.0	18.5	20.6	3.6	734.9	735.3	735.7	92	64	92	ENE 1	S 0	SSW 1	10	8	0	0.8	● 5³/₄, 15³/₄–16, T 16³/₄–17¹/₄
18	16.0	28.5	20.3	21.6	4.7	735.8	733.9	732.6	96	53	83	ESE 0	ESE 1	E 1	10≡	0	0	.	≡ 6–7¹/₂
19	19.1	32.9	22.2	24.7	7.9	732.8	731.5	730.4	79	49	66	ESE 1	SSW 1	SE 1	0	1	0	.	△ l
20	20.7	29.4	21.0	23.7	7.0	731.6	730.9	730.0	68	43	86	ESE 1	SE 1	E 0	1	7	3	.	
21	18.0	29.3	21.2	22.8	6.2	729.6	729.3	729.7	89	51	90	E 0	ESE 1	ENE 1	6	8	0	.	△ l
22	20.1	30.7	21.5	24.1	7.6	733.6	733.6	733.5	72	41	86	ESE 1	ENE 1	W 0	10	9	0	.	
23	23.4	34.1	26.0	27.8	11.3	734.9	734.1	732.8	67	37	54	E 1	ENE 1	NNE 1	0	0	0	.	△ l
24	22.2	29.2	22.3	24.6	8.2	734.5	735.2	737.2	77	52	69	ESE 1	W 1	WSW 1	0	1	10●	3.6	T abds.
25	18.0	24.4	20.6	21.0	4.7	739.4	739.1	738.6	90	65	86	WSW 1	WNW 1	SSW 1	9	8	0	.	K 4–4¹/₂
26	17.7	29.6	21.6	23.0	6.8	739.0	738.[illegible]	738.6	92	51	81	E 0	WNW 0	SW 1	5	4	0	0.3	● 8³/₄–9¹/₄, 17–17¹/₄, △ l
27	20.4	28.9	20.4	23.2	7.1	738.0	737.2	736.8	76	46	85	ESE 1	NW 1	S 0	8	5	0	.	
28	18.5	23.9	18.7	20.4	4.4	736.2	734.7	734.2	84	74	93	WSW 0	E 1	E 1	6	3	0	14.5	K ● 8¹/₄–19¹/₂ m. U.
29	17.7	21.8	19.1	19.5	3.5	733.8	732.6	731.8	95	82	94	ENE 1	ESE 1	ESE 1	10	10●	10	18.0	● 15³/₄–16³/₄, K ● 22¹/₄–n m. U., T p
30	18.9	26.0	20.1	21.7	5.8	732.3	732.4	731.8	91	60	88	WSW 0	WSW 2	ENE 0	10	2	1	18.8	● n–3 m. U., 23³/₄–n, K p–n m. U.
31	18.4	27.4	16.6	20.8	5.0	733.4	731.0	735.2	94	55	95	E 1	SW 1	WSW 1	10	10	10●	35.6	● n–22 ztw., ▲ 14³/₄, / p ztw.
Mittel	18.1	27.2	19.8	21.7	—	735.2	734.5	734.6	83	53	83				5.5	5.1	2.1	Summe 124.3	

August 1944.
Beobachter: *Observatorium.*

Säntis

$\lambda = 9° 20'$, $\beta = 47° 15'$,
$H_b = 2500.1$ m, $G = -0.27$ mm.

Tag	Lufttemperatur					Luftdruck			Relative Feuchtigkeit			Windrichtung und Stärke			Bewölkung			Niederschlag	Witterung
	7^{30}	13^{30}	21^{30}	Mittel	Abweich. vom Normalst	7^{30}	13^{30}	21^{30}	7^{30}	13^{30}	21^{30}	7^{30}	13^{30}	21^{30}	7^{30}	13^{30}	21^{30}		
1	**2.3**	3.3	3.0	2.9	−2.5	566.0	566.0	566.0	100	100	100	W 2	W 3	N 3	10≡	10≡●	10≡	13.5	● n, 11–20 m.U., ≡ n-n
2	3.4	5.4	2.8	3.9	−1.5	564.9	565.6	566.3	100	82	100	NW 2	N 1	N 1	10≡●	8	0	.	● n-8, ≡ n-19 m.U.
3	6.4	7.5	5.6	6.5	1.1	566.1	567.1	567.6	65	90	44	ENE 2	ESE 1	NNE 1	1	10≡	4	.	≡ 12–19
4	5.2	8.0	2.9	5.4	0.1	567.1	567.6	567.7	93	82	100	N 1	N 1	NE 2	10	10≡	10≡	.	● 14½, ≡ 11–n m.U.
5	6.7	8.0	4.7	6.5	1.2	566.6	567.1	567.2	56	70	89	NE 2	S 1	SE 2	1	10≡	2	.	●sch. 17, ≡ 12–18 m.U.
6	5.8	9.2	5.8	6.9	1.6	567.1	567.6	567.7	71	80	79	N 1	SSW 1	ENE 0	6	10≡	10	1.6	● 13¾–16 m.U., ≡ 12–14½
7	4.2	7.3	5.0	5.5	0.2	566.9	567.4	567.4	93	81	54	WSW 2	WSW 2	W 1	10	10	8	5.6	●sch. 15¼–18½ ztw., ≡ 15–20 m.U.
8	7.4	11.2	5.9	8.2	2.9	566.3	566.0	565.5	58	63	82	WSW 1	SW 2	WSW 1	1	9	10≡	7.3	●K 17–17½, ≡ 12½-n m.U.
9	7.2	10.6	6.0	7.9	2.7	**564.6**	565.1	566.0	57	70	100	WSW 1	SW 1	WSW 2	10	10≡	10≡	3.7	● 16½–17 m.U., ≡ 13–n m.U.
10	7.2	9.8	6.8	7.9	2.7	566.9	568.1	569.5	86	76	90	WSW 1	W 1	WNW 1	2	10≡	1	0.1	●°sch. 13¾, ≡ 11–19 m.U.
11	10.4	13.6	10.2	11.4	6.2	570.2	571.5	572.0	52	62	70	SE 1	WSW 2	W 2	1	2	1	.	
12	10.0	14.0	10.6	11.5	6.3	572.1	572.5	**572.6**	82	77	51	WNW 2	WSW 2	WNW 2	0	4	1	.	
13	10.4	13.1	9.0	10.8	5.7	571.5	571.2	570.9	98	80	98	NW 3	WNW 3	NW 2	10≡	10≡	1	.	≡ 7–9, 12½–17 m.U.
14	11.0	14.0	10.3	11.8	6.7	569.5	569.6	568.9	90	70	65	NW 1	WSW 1	WNW 2	1	10	1	.	≡ 12–16 m.U.
15	11.6	14.6	11.4	12.5	7.4	567.9	568.4	568.0	92	58	72	WNW 2	SW 2	W 3	1	2	9	.	
16	9.4	14.8	7.4	10.5	5.5	567.4	567.5	567.6	72	62	68	SE 3	WSW 2	WNW 3	9	8	10	0.7	●tr. 17, ≡ 17–18
17	6.4	7.6	6.3	6.8	1.8	567.1	567.8	568.7	100	98	73	WSW 3	WNW 3	NNW 1	10≡	10≡	10	1.3	●°sch. 7½, ≡ n-17
18	8.9	11.2	9.0	9.7	4.8	567.8	567.8	567.3	63	71	84	ENE 1	SSW 1	SW 1	1	10≡	3	1.4	● 17¾–18½, ≡ 13–19
19	7.6	11.8	9.6	9.7	4.8	566.6	567.3	567.1	97	39	68	WNW 3	SW 2	WNW 2	1	2	1	.	≡ n-6 m.U.
20	10.5	14.2	11.0	11.9	7.1	566.2	566.9	566.6	60	73	71	WNW 2	SW 2	SSW 2	1	10≡	2	.	≡ 13–14
21	12.2	14.6	11.6	12.8	8.0	565.5	566.6	567.3	52	44	38	SW 2	WSW 2	W 1	8	7	6	.	
22	14.3	15.9	15.2	15.1	10.4	569.3	570.9	571.6	24	21	25	N 2	SSW 1	E 2	4	7	4	.	
23	17.8	**18.1**	15.5	17.1	12.5	572.0	572.2	570.6	**20**	24	24	NNE 1	N 1	W 2	1	1	0	.	
24	16.3	17.6	11.5	15.1	10.5	569.7	570.6	571.5	48	56	100	W 1	WSW 2	NNW 2	1	1	9	.	
25	10.2	13.4	10.9	11.5	7.0	571.7	572.2	572.5	100	76	95	ESE 2	S 1	WSW 2	6	9	5	0.1	●°sch. 16¼, ≡ n-19½ m.U.
26	13.3	14.2	9.7	12.4	8.0	572.3	**572.6**	**572.6**	49	76	100	W 1	SW 1	NW 1	3	9	9	3.7	K ●° 18½-n
27	12.0	11.8	8.7	10.8	6.4	571.0	571.5	571.4	64	67	85	WSW 2	WNW 2	WNW 2	1	3	9	.	
28	11.4	12.1	8.2	10.6	6.3	569.7	569.3	568.5	55	92	100	W 2	SSW 2	WNW 3	7	10≡	10≡	6.3	●sch. 13¼, K 19¾–20, *)
29	7.0	7.4	6.0	6.8	2.6	567.2	566.6	565.5	96	67	100	WNW 3	NNW 3	WNW 5	10	10	10≡	**41.6**	● ✳sch. 12¾, 16¼, n *)
30	7.6	9.2	10.6	9.1	5.0	566.0	567.6	568.2	94	70	75	WNW 4	W 4	WNW 4	10	10	8	11.3	●° 13¼–13¾, ≡ n-6¾, *)
31	7.6	11.4	9.0	9.3	5.3	567.5	567.5	567.8	100	55	100	WNW 4	WNW 3	WNW 3	10	9	10≡	**41.6**	● 6½–12, ●K 21¼, *)
																		Summe	
Mittel	9.1	11.4	8.4	9.6	—	568.1	568.6	568.6	74	69	77				5.1	7.8	5.9	139.8	

*) **28.** ≡ 13-n m.U. **29.** ≡ 16¼-n m.U. **30.** 18–19½, ⌒ n-n **31.** ≡ ⌒ a, 17-n

August 1944.
Beobachter: Frl. *F. Lombardi.*

St. Gotthard (Hospiz)

$\lambda = 8° 34'$, $\beta = 46° 33'$,
$H_b = 2095.7$ m, $G = -0.25$ mm.

1	**5.2**	8.2	5.8	6.4	−2.1	595.1	594.8	594.4	91	84	90	NE 1	NE 1	NE 1	8	5	8	.	
2	6.8	11.2	**8.0**	8.7	0.2	595.1	**593.5**	594.4	100	51	100	NE 1	N 1	N 1	10≡	5	10≡	.	≡ n-8¾, 18¾-n
3	6.2	13.8	6.2	8.7	0.2	594.5	594.9	595.7	89	54	100	N 1	N 1	N 1	0	3	10≡	0.1	≡ 18¼-n
4	7.0	10.4	7.0	8.1	−0.3	595.7	595.3	596.1	81	80	82	W 0	N 1	N 0	8	5	8	0.8	● 18¼-19
5	5.8	12.0	7.2	8.3	−0.1	595.3	595.4	596.0	75	78	100	NW 0	S 0	S 1	0	8	10●	4.2	● 17¾-n
6	9.0	11.8	7.4	9.4	1.0	595.9	596.2	595.9	80	82	100	S 0	S 0	S 1	8	8	10≡	3.2	● 18¾-20½, ≡ 19-n
7	7.4	11.2	6.8	8.5	0.1	595.7	595.7	596.4	85	85	100	S 0	SW 0	NW 1	5	5	10≡	0.6	● 11–12¾, ≡ 20-n
8	8.2	11.0	6.9	8.7	0.4	595.0	595.9	594.7	80	100	100	S 0	S 0	S 0	8	10	10≡	1.6	≡ 20-n, ● n
9	6.0	7.0	6.8	6.6	−1.7	594.8	594.4	595.0	100	100	100	S 1	S 1	SE 1	10	10	10	2.5	● 13–16, ≡ n-n
10	8.8	15.7	9.9	11.5	3.2	595.2	596.3	597.6	70	58	100	S 0	S 0	S 0	0	5	10	.	≡ 20-n
11	8.4	17.2	13.0	12.9	4.7	598.7	599.7	600.3	85	69	81	SW 0	S 0	S 0	0	2	4	.	
12	10.8	17.6	13.2	13.9	5.7	600.5	600.3	600.5	85	54	72	S 0	N 1	N 1	0	5	10	.	
13	13.0	20.0	12.0	15.0	6.9	599.3	598.9	599.3	62	59	68	NW 1	S 0	N 1	0	3	0	.	
14	10.8	18.4	13.7	14.3	6.2	597.7	597.3	596.6	75	71	70	N 1	N 0	S 0	1	5	5	.	
15	12.6	18.2	13.0	14.6	6.6	596.3	596.3	597.9	80	75	85	SW 1	S 1	S 0	5	5	10●	14.4	●K 19¾–21¼, ● n
16	13.0	14.4	9.8	12.4	4.5	595.9	596.0	596.0	62	81	85	SE 1	S 1	S 0	5	5	8	12.1	● 13¾–17¼
17	8.8	12.4	9.6	10.3	2.4	595.8	596.3	596.0	88	80	100	N 1	NE 1	NE 1	8	8	10≡	.	≡ 19-n
18	9.0	16.2	10.0	11.7	3.9	596.2	595.9	595.9	80	65	100	N 1	N 1	S 0	0	5	10≡	1.0	● 20¼–21, ≡ 18¼-n,
19	9.6	16.0	11.0	12.2	4.5	595.2	595.3	595.6	80	80	80	S 1	S 1	S 1	0	2	3	.	[K T seit 17¼
20	11.0	17.2	11.5	13.2	5.6	595.0	595.1	595.2	64	72	94	S 1	SE 0	SE 0	0	5	8	.	
21	10.4	12.4	10.8	11.2	3.6	594.7	595.3	596.5	93	81	73	S 1	S 1	S 1	10	10	3	.	
22	10.2	21.0	15.2	15.5	8.0	597.3	599.5	599.8	57	45	51	S 0	S 1	S 0	5	2	0	.	
23	17.0	**22.4**	15.2	18.2	10.8	599.5	599.0	598.9	50	**30**	64	S 0	NE 0	NE 1	0	0	0	.	≡ 19¼–21
24	13.2	19.0	14.0	15.4	8.1	597.7	598.7	599.6	80	70	100	S 1	S 1	S 1	10	2	10≡	0.5	≡ 20-n, K abds.
25	12.4	16.8	12.4	13.9	6.7	599.8	600.1	600.8	100	78	100	S 0	S 1	S 1	10≡	5≡	10≡	.	● 20¼, ≡ n-n
26	13.9	17.8	16.0	15.9	8.7	**601.2**	601.0	600.9	61	60	100	S 1	S 1	S 1	0	3	10≡	.	≡ 20½-n
27	15.5	18.0	12.3	15.3	8.2	599.9	599.4	599.9	72	80	82	S 0	N 1	N 0	0	2	8	4.1	●K 18–19½
28	9.8	13.0	10.2	11.0	4.0	598.6	597.8	597.6	71	60	64	S 0	S 1	N 1	5	10	5	5.0	●K 14¾–15½, ● n
29	11.2	11.5	9.4	10.7	3.8	596.6	596.9	596.0	89	80	100	S 0	S 1	SE 2	10	10	10●≡	8.3	●sch. 12¼-n zeitw., ≡ 19-n
30	9.2	9.8	13.0	10.7	3.9	595.4	597.0	597.6	85	93	82	SE 0	SE 0	SE 1	8	10●	10≡	13.5	● 13¼–16¼, n, ≡ 20-n
31	9.8	11.0	10.8	10.5	3.8	596.6	597.2	596.8	100	100	100	SE 1	SE 1	SE 1	10●≡	10●≡	10●≡	**19.2**	● ≡ n-n
																		Summe	
Mittel	10.0	14.6	10.6	11.7	—	596.8	596.9	597.2	80	73	88				4.6	5.6	7.7	91.1	

$\lambda = 7° 26'$, $\beta = 46° 57'$,
$H_b = 572.2$ m, $G = 0.00$ mm.

Bern

September 1944.
Beobachter: *Tellur. Observatorium.*

Tag	Lufttemperatur 7³⁰	13³⁰	21³⁰	Mittel	Abweich. vom Normalst.	Luftdruck 7³⁰	13³⁰	21³⁰	Relative Feuchtigkeit 7³⁰	13³⁰	21³⁰	Windrichtung und Stärke 7³⁰	13³⁰	21³⁰	Bewölkung 7³⁰	13³⁰	21³⁰	Niederschlag	Witterung
1	16.2	17.8	16.3	16.8	1.2	713.8	713.9	711.9	100	96	98	SE 1	NE 0	NE 0	10●	10●	5	33.0	● 0¹/₄-18³/₄ m.U., ⋉ a, p, ≡22-n
2	16.1	18.9	11.0	15.3	−0.2	709.9	709.1	712.8	96	93	98	NW 1	W 1	N 0	9	10●	10	23.6	● 2³/₄-24 nw., ≡ n-3, ⋉ 15¹/₄-16
3	10.3	12.2	9.6	10.7	−4.6	715.5	718.0	718.1	88	74	92	WSW 2	WSW 2	S 0	9	10	1	3.9	● 0¹/₄-14 m.U.
4	8.2	17.6	13.3	13.0	−2.2	716.7	714.5	713.2	84	48	92	S 0	NE 1	S 0	1	0	0	.	
5	12.0	21.5	15.5	16.3	1.2	712.1	711.2	711.2	89	44	78	S 0	W 2	S 0	1	6	5	.	⊕ 13⁵/₄-14³/₄, ⏢ I
6	13.5	22.3	17.3	17.7	2.8	711.1	709.4	708.2	87	55	93	S 0	NW 1	SW 0	2	1	0	.	⏢ I
7	13.8	12.7	11.2	12.6	−2.2	707.1	711.7	713.2	92	85	77	S 0	WSW 2	W 0	9	10	4	2.5	● 9⁵/₄-13¹/₂ m.U., ⏢ I
8	10.5	15.9	9.0	11.8	−2.9	712.9	712.1	716.5	88	50	92	SE 1	WSW 3	W 0	1	9	1	0.1	● 16, 17, ⏢ I
9	7.5	15.1	12.3	11.6	−2.9	716.8	715.7	715.5	90	48	72	SE 1	WSW 1	NE 1	8	5	7	.	
10	11.0	13.0	10.4	11.5	−2.9	716.2	716.8	718.1	86	81	98	NE 0	NE 1	N 1	9	9	10	0.6	● 8⁵/₄, 13⁵/₄-19³/₄ m.U.
11	9.5	13.3	11.6	11.5	−2.7	718.2	718.2	718.5	92	75	86	NNE 1	NE 2	NE 1	9	9	6	.	
12	8.9	14.2	12.7	11.9	−2.2	718.9	718.5	718.0	96	78	94	NE 1	NNE 1	N 0	8	1	3	.	⏢ I
13	10.5	15.9	14.1	13.5	−0.4	717.0	716.8	716.2	100	82	100	W 0	W 0	NE 0	10≡	10	10	13.7	● 13¹/₄-n m.U., ≡ n-8
14	14.5	18.1	15.8	16.1	2.3	715.4	715.2	715.9	98	78	96	S 0	W 2	S 0	10	9	7	0.5	● n-10¹/₄ m.U., 23⁵/₄
15	14.6	20.9	16.6	17.4	3.8	716.2	716.1	716.7	94	60	93	S 0	SW 1	S 0	8	4	3	.	
16	13.6	21.7	15.9	17.1	3.6	717.6	717.0	717.8	93	53	97	S 0	NE 1	SE 1	4	3	10⁻	2.0	● 16¹/₂-19⁵/₄
17	14.6	17.8	15.1	15.8	2.5	716.8	717.2	717.5	93	79	97	SE 0	W 2	SE 0	10	10●	10	2.5	● 13¹/₂-18 m.U.
18	14.6	16.2	14.3	15.0	1.8	717.1	716.8	716.7	98	90	94	SW 0	NE 0	N 0	10●	9	10	5.4	● 7¹/₄-12⁵/₄ m.U., ⊕ II
19	14.1	18.3	15.0	15.8	2.8	715.6	713.1	712.2	95	67	94	N 0	NE 0	W 0	10	5	0	11.6	
20	13.7	14.0	12.7	13.5	0.6	713.3	714.5	716.0	98	96	94	W 0	NW 0	SE 1	10●	9●	0	11.2	● 3-18¹/₂ zeitw., ≡ 22⁵/₄-n
21	9.5	15.1	12.3	12.3	−0.4	716.1	715.1	713.3	100	78	96	S 0	N 1	NE 0	10≡	1	0	.	≡ n-8¹/₂
22	10.7	18.2	13.6	14.2	1.7	712.9	712.2	712.5	94	57	94	SE 1	SW 1	SE 0	9	2	0	0.8	⏢
23	12.1	14.6	13.1	13.3	0.9	712.8	713.1	714.7	98	97	99	S 0	W 1	S 0	10●	10●	10●	15.6	● 6¹/₂-n zeitw.
24	13.2	17.8	7.5	12.8	0.6	712.5	709.9	712.7	98	52	96	SE 0	WSW 3	WSW 2	9	7	10●	14.6	● n-4, 8¹/₂-22⁵/₄, m.U.
25	7.1	10.7	8.2	8.7	−3.4	713.8	715.2	717.3	66	48	96	WSW 2	WSW 3	SW 0	2	9	10	0.9	● 1¹/₄, 16¹/₂, 18-20¹/₄ m.U.
26	8.5	11.1	10.7	10.1	−1.8	716.4	715.6	715.2	88	79	98	SW 0	SE 0	SE 1	10	10	9	6.0	● 8, 12¹/₂-23⁵/₄ m.U., ☋ 21-22
27	9.8	10.9	7.9	9.5	−2.2	712.5	711.9	712.8	98	68	83	SE 1	W 2	W 1	9	9	10	0.9	● 4¹/₂-12¹/₂ m.U.
28	6.6	10.3	5.3	7.4	−4.1	712.9	713.4	716.4	91	58	98	SE 1	NE 1	NE 0	9	9	5	2.3	● 14³/₄, ● △ 14¹/₄-15
29	5.3	10.6	6.1	7.3	−4.0	717.3	716.8	717.4	92	55	95	NE 1	ENE 1	SE 0	1	4	2	.	⏢ I
30	3.5	13.1	7.6	8.1	−3.0	718.0	717.2	716.0	97	37	96	S 0	NE 1	SE 0	1	1	0	.	⏢ I
Mittel	11.1	15.6	12.1	12.9	—	714.8	714.5	715.1	93	69	93				7.3	6.7	5.3	Summe 151.7	

$\lambda = 6° 57'$, $\beta = 47° 0'$,
$H_b = 487.3$ m, $G = 0.02$ mm.

Neuchâtel

September 1944.
Beobachter: *Observatorium.*

1	16.6	17.7	16.8	17.0	0.5	720.7	721.3	719.1	97	98	99	W 0	SW 0	N 0	10●	10●	9	27.2	● ²ach. n-14¹/₂ m.U., ⋉ n-13¹/₄
2	17.0	17.4	11.7	15.4	−1.0	717.4	716.4	720.6	98	91	95	NE 0	W 2	W 2	10●	10●	10●	28.8	● n-n m.U., ⋉ 15¹/₄-16
3	11.0	14.4	11.6	12.3	−4.0	722.9	725.5	725.5	86	68	78	W 2	W 2	N 1	6●	7	0	0.8	● n-10 m.U.
4	8.9	19.2	13.9	14.0	−2.2	724.4	722.2	720.5	96	61	86	E 1	E 1	N 0	0	0	0	.	
5	12.0	24.1	16.5	17.5	−1.4	719.5	718.6	718.5	97	56	83	SE 0	SW 2	SW 0	1	4	7	.	
6	14.8	24.5	17.6	19.0	3.0	718.5	716.9	715.3	91	61	85	NE 1	SE 1	SE 0	8	0	0	.	
7	15.8	13.0	11.8	13.5	−0.3	714.3	719.2	720.7	93	69	72	SE 0	SW 3	NW 1	10	10●	0	12.7	● 8-14 m.U.
8	11.5	13.4	11.4	12.1	−3.6	720.6	719.9	724.0	86	73	78	N 0	W 3	W 2	9	9●	7	2.0	● 13¹/₄-18¹/₂ m.U., n
9	8.9	18.2	13.4	13.5	−2.1	724.5	723.2	723.2	97	59	73	NE 0	SE 1	NE 0	1	3	7	0.1	● ² n (9./10.)
10	11.8	16.1	12.0	13.3	−2.1	723.8	724.5	726.8	81	68	74	NE 0	NE 2	NE 2	10	8	0	.	
11	11.4	17.6	14.0	14.3	−1.0	726.0	726.0	726.0	76	62	71	NE 2	NE 3	NE 2	10	3	3	.	
12	10.5	18.2	15.9	14.9	−0.3	726.0	726.2	725.5	88	67	72	NE 1	NE 2	NE 2	2	0	0	.	
13	12.3	15.1	14.1	13.8	−1.2	724.7	724.5	723.8	82	85	99	NE 1	E 0	NE 0	3	10●	10●	14.1	● 10¹/₂-n m.U.
14	15.2	18.1	16.3	16.5	1.6	722.7	722.8	723.3	98	88	95	W 0	S 1	W 0	10	10●	10●	0.6	● n-n m.U.
15	15.8	22.4	16.6	18.3	3.6	723.8	723.3	723.9	96	67	90	W 0	S 1	S 0	10	1	1	.	
16	14.6	22.3	17.0	18.0	3.4	725.1	724.6	726.4	99	68	88	S 0	S 1	W 0	10	3	8	.	≡ n-10¹/₂
17	16.8	17.6	15.6	10.7	2.3	724.2	724.9	725.1	92	92	96	NE 1	SE 0	SW 0	10	10●	10	4.7	● 7⁵/₄-n m.U.
18	15.1	18.7	15.9	16.6	2.4	724.7	724.5	724.4	96	86	97	SW 1	S 0	S 1	10●	8	10●	2.7	● n-8¹/₂, 19¹/₂-n. m.U.
19	15.2	20.8	16.2	17.4	3.3	723.1	720.7	719.4	98	68	87	S 0	SW 0	W 0	10	1	7	12.7	
20	14.4	16.8	12.2	14.5	0.6	720.5	721.9	723.6	98	88	98	SW 0	SW 0	SW 0	10●	8	0	7.6	● n-12, 16-n
21	12.4	16.4	12.6	13.8	0.1	723.7	722.7	721.0	95	84	88	N 0	NE 0	N 0	10	10	0	.	●
22	12.9	19.2	13.9	15.3	1.7	720.4	719.6	719.9	96	64	93	N 0	SE 0	SE 0	10	1	0	0.3	
23	13.4	14.8	15.1	14.4	1.0	720.3	720.6	722.2	96	94	92	NE 0	W 2	SW 1	10	10●	10	5.1	● 6-n m.U.
24	13.7	17.6	10.0	13.8	0.6	719.9	717.4	720.0	90	73	76	W 0	SW 3	SW 2	3	10	10	6.3	● 16¹/₂-n
25	8.9	11.0	10.4	10.1	−2.9	721.7	723.1	725.0	64	69	76	SW 3	SW 2	W 1	8	9	10●	.	
26	9.9	13.3	12.2	11.8	−1.0	723.9	723.4	722.6	82	72	98	W 2	SW 2	W 1	9	10	8	5.7	● 14-n
27	11.2	11.7	9.2	10.7	−1.9	719.9	719.6	720.5	92	65	66	W 1	NW 2	W 1	7	10	8	0.2	● [illegible]
28	7.4	9.5	6.9	7.9	−4.5	720.4	721.3	724.4	94	91	91	N 0	NE 1	NE 0	9	8	7	4.2	● ²ach. 12¹/₄
29	5.8	14.4	8.2	9.5	−2.7	725.0	724.7	725.1	88	63	83	E 1	E 2	NE 0	0	1	4	.	
30	4.7	15.0	10.4	10.0	−2.0	725.7	725.0	723.6	98	59	81	NE 0	S 1	NE 0	10	0	0	.	
Mittel	12.3	17.0	13.3	14.2	—	722.3	722.1	722.7	91	74	85				7.5	6.1	5.2	Summe 155.8	

September 1944.
Beobachter: Frl. *H. Nager.*

Altdorf

$\lambda = 8° 39'$, $\beta = 46° 53'$,
$H_b = 456.3$ m, $G = -0.05$ mm.

Tag	Lufttemperatur 7³⁰	13³⁰	21³⁰	Mittel	Abweich. vom Normalst	Luftdruck 7³⁰	13³⁰	21³⁰	Relative Feuchtigkeit 7³⁰	13³⁰	21³⁰	Windrichtung und Stärke 7³⁰	13³⁰	21³⁰	Bewölkung 7³⁰	13³⁰	21³⁰	Niederschlag	Witterung
1	18.6	22.0	16.6	19.1	3.1	723.8	723.1	721.8	92	74	92	E 0	N 0	SE 0	10	9	8	21.1	●² ⛆ 10
2	18.8	**25.9**	13.2	19.3	3.4	719.2	717.2	722.9	74	56	95	W 1	N 0	NW 1	9	9	10●	**26.4**	●² abds. zeitw.
3	12.5	15.0	9.8	12.4	−3.4	723.8	727.3	728.6	80	62	87	E 0	NW 0-1	W 0	10●	10	7	1.1	●° l
4	8.1	17.9	11.3	12.4	−5.3	726.4	723.7	723.3	84	38	86	E 0	NW 0	SW 0	0	0	0	.	
5	10.3	21.3	15.4	15.7	0.1	721.2	720.3	721.0	91	43	81	NE 0	NW 0	SE 0	0	3	4	.	
6	14.3	24.3	20.9	19.8	4.3	720.3	718.7	718.1	90	**31**	35	SE 0	SE 2-3	SW 1	0	2	0	.	
7	21.6	18.0	13.0	17.5	2.1	**715.1**	719.3	723.9	35	55	91	SE 1-2	NW 2	NW 0	1	10	10●	19.4	● 14¹/₂-n
8	11.4	15.3	11.0	12.6	−2.7	722.6	721.8	726.9	90	62	93	S 0	E 0-1	NW 0	8	10	8	6.7	
9	8.0	17.0	13.1	12.7	−2.5	726.9	724.9	725.4	94	41	80	NE 0	NW 1-2	NE 0	1	3	10	0.2	
10	12.4	14.7	12.7	13.3	−1.8	726.3	726.6	728.6	87	63	93	NE 0	NW 0	NW 0	10●	10	10●	2.0	● n-n zeitw.
11	12.4	15.2	11.8	13.1	−1.9	728.1	728.5	**728.9**	94	63	90	N 0	NW 0-1	E 0	10	10	0	.	
12	11.4	15.5	11.3	12.7	−2.2	728.7	728.5	728.0	90	70	93	NW 0	NW 1	SE 0	6	4	0	.	
13	12.5	16.8	14.3	14.5	−0.2	727.0	726.4	**725.8**	94	72	93	NW 0	NW 1	SE 0	6	4	0	1.0	
14	14.4	17.5	15.5	15.8	1.2	725.4	725.2	725.7	95	84	94	NW 0	NW 0	NW 0	10	10●	8	4.5	☽ II
15	13.9	20.8	16.0	16.9	2.4	726.3	725.2	726.9	95	60	90	NW 0	NW 0	NW 0	2	4	2	.	
16	13.8	20.5	17.2	17.2	2.8	727.5	726.6	728.1	93	60	90	NW 0	NW 0	N 0	3	6	10	.	
17	15.5	20.3	16.8	17.5	3.3	726.6	726.4	728.0	93	64	84	NW 0	NW 0-1	NW 0	8	8	10	.	
18	15.1	19.9	16.0	17.0	2.9	726.6	725.5	723.6	90	71	90	NW 0	NW 1	NW 0	8	4	10	.	
19	12.1	20.0	14.3	15.5	1.5	725.7	722.4	721.9	77	55	87	N 0	N 0	N 0	3	2	0	0.5	
20	14.5	16.8	13.9	15.1	1.3	722.5	724.6	726.0	92	80	94	S 0	NW 0	W 0	10●	10●	10	1.1	● l, II
21	10.5	17.7	13.3	13.8	0.1	725.8	724.1	723.5	93	62	85	W 0	W 0-1	NW 0	1	4	0	.	
22	9.8	17.3	13.0	13.4	−0.1	722.4	721.7	722.7	89	57	87	SW 0	W 0	NW 0	3	4	0	.	
23	12.5	17.3	14.3	14.7	1.4	722.1	722.3	724.8	90	73	94	SE 0	SE 0	SE 0	7	10	10●	3.9	● 14⁸/₄-n
24	11.8	18.0	10.0	13.3	0.1	722.4	722.2	722.1	93	75	80	SE 0	NW 1	NW 1	7	5	10●	9.4	● III
25	6.9	11.8	9.0	9.2	−3.8	722.7	724.3	728.1	90	58	92	SE 0	E 0	NW 0	7	10	10●	2.7	● III
26	9.3	13.8	11.1	11.4	−1.4	725.9	724.0	725.4	90	60	94	NW 0	NE 0	SW 0	10	9●	10●	8.6	● II, III
27	10.3	14.1	9.1	11.2	−1.5	722.3	719.7	722.3	95	56	84	SE 0	NW 3	NW 0-1	6	10	10●	5.8	● III
28	8.1	9.9	8.9	9.0	−3.5	722.5	723.3	726.5	90	62	65	SW 0	W 0	SW 0	10●	10	10	2.4	● l, ☽ abds.
29	8.0	12.5	8.4	9.6	−2.7	727.1	726.5	726.9	90	59	90	W 0	NW 1	NW 0	10	7	8	.	
30	**4.1**	12.8	6.4	7.8	−4.3	727.7	727.2	726.7	89	47	90	SE 0	NW 0-1	SE 0	1	0	0	.	
Mittel	12.1	17.3	12.9	14.1	—	724.4	723.9	725.1	88	60	87				5.9	6.6	6.2	Summe 116.8	

September 1944.
Beobachter: *Observatorium.*

Genf

$\lambda = 6° 9'$, $\beta = 46° 12'$,
$H_b = 405.0$ m, $G = -0.03$ mm.

Tag	Lufttemperatur 7³⁰	13³⁰	21³⁰	Mittel	Abweich. vom Normalst	Luftdruck 7³⁰	13³⁰	21³⁰	Relative Feuchtigkeit 7³⁰	13³⁰	21³⁰	Windrichtung und Stärke 7³⁰	13³⁰	21³⁰	Bewölkung 7³⁰	13³⁰	21³⁰	Niederschlag	Witterung
1	19.9	21.7	18.8	20.5	3.6	727.5	726.9	725.5	83	87	97	SSW 1	NNE 0	ENE 0	9	8	0	15.8	● ⛆ seit 8³/₄, ● n
2	18.8	17.8	12.8	16.5	−0.3	723.3	724.0	728.6	95	93	86	N 1	S 1	NE 0	8	10●	10	**34.0**	●sch., ● p
3	14.2	18.4	14.3	15.6	−1.1	732.4	732.8	732.3	67	50	67	SW 1	NNE 1	NE 0	9	3	0	.	
4	10.7	19.0	17.2	15.6	−1.0	731.3	728.8	727.4	81	55	82	E 0	N 1	NE 1	0	0	0	.	
5	15.3	23.5	19.4	19.4	2.9	726.4	725.7	725.5	78	**42**	76	E 0	SW 1	E 1	4	9	1	.	
6	19.0	**25.0**	20.1	21.4	5.0	725.0	723.7	722.1	76	52	79	E 0	SW 1	W 0	1	1	0	6.3	
7	16.7	13.0	12.7	14.1	−2.2	**721.5**	727.5	728.3	90	79	80	S 1	SSE 1	NE 0	10●	10●	0	14.0	● n-p
8	12.2	18.2	12.1	14.2	−1.9	727.8	727.7	731.6	78	50	82	NE 0	S 2	NNE 0	8	5	0	6.0	●sch. 14⁸/₄, ◠ 15¹/₂
9	9.2	17.0	13.8	13.3	−2.7	731.5	729.9	730.1	86	52	75	E 0	NNE 1	E 0	2	3	5	.	
10	12.4	15.6	13.2	13.7	−2.2	730.9	731.2	732.2	86	66	81	E 0	NE 0	NE 2	9	9	0	.	
11	12.9	15.8	14.8	14.5	−1.3	732.7	732.5	733.0	78	69	73	NE 1	NNE 1	NE 1	10	6	10	.	
12	13.6	17.8	15.8	15.7	0.0	**733.4**	732.3	732.7	82	70	84	NE 1	NNE 1	ENE 0	9	1	0	2.3	
13	13.9	15.8	15.6	15.1	−0.4	731.9	731.3	730.9	93	91	98	NE 0	NE 0	ESE 0	10●	10	10●	20.0	● n-n m.U.
14	16.0	20.8	17.3	18.0	2.6	730.3	729.9	730.3	98	76	93	SE 0	ESE 0	NE 0	10	8	0	0.7	● ° a
15	14.8	21.5	17.6	18.0	2.7	731.0	730.0	731.0	95	70	93	ENE 0	NNE 1	ENE 0	9	1	0	.	
16	16.0	19.4	18.4	17.9	2.8	732.1	731.2	731.8	93	90	90	E 0	NE 1	ENE 0	8	7	8	11.0	
17	17.0	17.9	15.0	16.6	1.6	731.7	731.9	732.1	98	90	98	ESE 0	E 0	SE 0	10●	10●	10●	25.0	● n-n m.U.
18	14.7	18.4	15.2	16.1	1.3	731.9	731.2	731.4	97	84	98	NE 0	NE 0	E 0	10●	9	10	1.5	● ° n-n zeitw.
19	13.6	19.2	17.2	16.7	2.0	730.0	727.1	726.5	100	66	92	E 0	NNE 1	S 0	10≡	5	10●	18.8	● abds.-n m.U., ≡ l
20	15.2	18.0	15.1	16.1	1.6	728.1	728.4	730.8	98	79	90	E 1	NE 1	SE 1	10●	4	0	.	
21	13.7	17.9	14.5	15.4	1.1	730.7	728.8	728.1	89	73	92	E 0	NNE 1	E 0	10	1	0	.	
22	11.0	20.0	15.7	15.6	1.5	727.4	726.5	726.9	90	71	85	E 1	NE 1	NE 0	1	2	1	.	
23	16.4	16.6	16.1	16.4	2.5	727.2	728.1	729.4	81	89	89	ESE 0	S 1	E 1	10	10●	9	14.3	● n-n m.U., ◠ 17¹/₄
24	15.5	20.0	11.4	15.6	1.9	727.8	725.9	727.9	98	54	69	S 1	S 2	S 2	9	5	10	0.5	● seit 15¹/₄
25	10.0	13.6	9.0	10.9	−2.6	729.7	731.0	732.3	70	56	84	E 0	SW 1	ESE 1	1	9	2	.	
26	8.6	16.8	12.7	12.7	−0.6	732.4	731.2	730.3	85	65	99	ENE 0	SSE 0	NE 0	9	8	10●	3.0	● 18³/₄-n
27	12.7	13.8	10.2	12.2	−0.9	727.1	727.1	727.6	82	59	72	ESE 1	NNE 1	E 1	9	9	7	.	
28	9.1	13.0	10.6	10.9	−2.0	727.6	727.4	730.5	81	55	70	E 0	NNE 2	NNE 2	9	5	2	1.2	● seit 10³/₄ zeitw.
29	9.0	13.6	10.3	11.0	−1.7	731.3	731.0	732.5	72	57	73	NNE 2	NNE 2	E 0	3	1	0	.	
30	**5.4**	14.5	9.5	9.8	−2.7	732.7	731.7	730.5	91	54	87	E 0	NNE 1	E 1	2	0	0	.	
Mittel	13.6	17.8	14.5	15.3	—	729.5	729.1	729.7	86	68	85				7.3	5.6	3.8	Summe 174.4	

λ = 8° 33′, β = 47° 23′,
H_b = 493.2 m, G = 0.03 mm.

Zürich

September 1944.
Beobachter: *Meteorol. Zentralanstalt.*

Tag	Lufttemperatur 7³⁰	13³⁰	21³⁰	Mittel	Abweich. vom Normalst	Luftdruck 7³⁰	13³⁰	21³⁰	Relative Feuchtigkeit 7³⁰	13³⁰	21³⁰	Windrichtung und Stärke 7³⁰	13³⁰	21³⁰	Bewölkung 7³⁰	13³⁰	21³⁰	Niederschlag	Witterung
1	14.2	16.9	17.0	16.0	0.1	720.8	720.4	718.6	95	87	95	SE 1	N 1	NE 1	10●	9●	9	22.0	● 2 1/4–16 3/4 m.U., K 11, 11 3/4
2	17.3	22.4	12.6	17.4	1.6	716.3	715.6	719.2	92	69	86	ESE 0	WNW 1	SW 2	9	9	10●	23.6	● 4–5 3/4, 15 1/2–22 3/4, K 15 1/2–16
3	11.1	13.1	10.7	11.6	-4.1	721.2	724.0	724.9	87	73	88	SW 2	WSW 2	SE 1	10	10	1	0.5	● 3 3/4–9 1/4, 12–13 1/4, m.U.
4	8.6	21.6	14.0	14.7	-0.9	723.4	721.3	719.6	94	34	90	SE 0	SE 0	S 0	1	0	0	.	△ I
5	13.4	25.5	18.4	19.1	3.6	718.4	717.7	717.4	84	30	59	SE 1	W 1	ESE 1	1	3	7	.	△ I
6	15.2	25.2	17.9	19.4	4.0	717.6	716.1	714.5	88	48	76	SE 0	N 1	S 1	1	2	0	.	△ I
7	14.6	15.5	12.4	14.2	-1.0	713.0	717.6	719.7	90	87	85	SSW 0	WSW 2	ESE 1	2	10●	9	1.3	● [squall symbol] 12 1/2–14 1/2, ● 16–16 3/4, △ I
8	11.1	19.0	11.9	14.0	-1.1	719.7	718.8	723.1	85	47	67	SE 1	SSW 1	SW 1	5	7	0	1.9	● 16–16 1/4, ● [squall symbol] 16 1/2–17, △ I
9	9.8	17.4	13.0	13.4	-1.6	723.7	722.5	722.4	83	40	71	SE 1	NW 1	N 1	3	4	10	.	△ I
10	11.3	15.2	11.9	12.8	-2.0	723.4	723.9	725.4	83	63	80	N 1	N 1	N 1	10	9	10	0.0	
11	10.2	17.0	12.0	13.1	-1.6	725.6	725.6	725.8	83	57	81	N 0	E 1	NE 2	8	9	0	.	
12	9.4	18.4	14.0	13.9	-0.7	726.4	725.8	724.9	88	57	74	NNW 1	NE 1	NE 2	10	2	0	.	
13	9.9	19.1	15.6	14.9	0.5	724.2	723.2	722.7	88	60	92	WNW 0	W 1	NW 1	4	9	9	4.4	
14	15.3	16.5	16.1	16.0	1.7	722.0	721.9	722.4	94	90	94	NW 0	WSW 1	SSE 1	10●	10	10●	6.9	● 2 1/2–22 1/4 m.U.
15	15.8	21.6	16.1	17.8	3.6	722.9	722.6	723.0	94	57	94	SSE 0	WNW 1	SSW 0	10	3	0	0.0	
16	14.8	24.6	16.9	18.8	4.8	724.3	724.0	724.5	95	49	93	SSW 0	WSW 1	N 1	10≡	4	0	.	≡ n–9
17	16.6	20.4	16.4	17.8	3.9	723.8	723.7	724.4	88	60	91	E 0	W 1	SSE 1	10	10	10	0.0	●° 17 1/4, 20 1/4–21
18	14.3	18.9	15.7	16.3	2.6	724.0	723.7	723.3	89	71	88	NW 1	NNW 1	NNW 1	10	9	9	.	△ I
19	14.4	20.5	16.3	17.1	3.5	722.4	719.8	718.8	84	57	92	NNW 1	W 1	NW 1	9	5	9	0.3	[comma-shaped symbol] 6 1/4–7 3/4, ● 7 3/4–18 1/2
20	13.9	14.8	12.8	13.8	0.4	719.6	721.1	722.8	91	90	95	NW 0	SSE 1	SSE 1	10●	10●	5	8.1	
21	12.5	15.7	12.3	13.5	0.3	723.0	722.3	720.5	92	74	95	WNW 1	NNW 0	N 0	10	9	0	.	
22	12.2	20.6	13.9	15.6	2.5	719.5	718.9	719.1	93	53	91	N 0	SW 0	SSE 1	10	3	0	0.1	△ I
23	13.5	16.8	14.8	15.0	2.1	719.1	719.6	721.2	91	80	90	ESE 0	SE 0	SW 1	9	10●	10	13.7	●° 6 3/4–7 1/2, ● 13 1/2–18 1/4
24	13.9	20.9	7.9	14.2	1.5	719.2	715.6	719.1	94	53	86	SSE 1	SW 2	SW 2	10●	7	10	6.6	● 1 1/4–8 1/4, 18–24 1/2, m.U.
25	8.4	10.0	9.6	9.3	-3.2	719.9	721.7	723.8	63	64	83	WSW 2	W 2	SW 1	7	10	10	0.2	
26	10.7	12.5	11.3	11.5	-0.8	722.5	721.9	721.7	66	67	95	WSW 2	SSW 1	SSE 1	10	10	10●	10.8	● 8 1/2–n m.U.
27	10.9	11.0	8.2	10.0	-2.1	719.2	718.1	719.5	95	71	79	NE 0	WNW 2	W 1	9●	10	10	1.0	● n–1 1/4, 7 1/2–9
28	7.4	8.8	7.6	7.9	-4.0	719.4	720.8	723.6	92	81	94	WNW 0	ENE 3	NNW 1	10	9	10●	0.3	●° 6 1/2–7 1/4, 11 1/2–13 1/2 m.U., III
29	4.0	11.5	6.3	7.3	-4.4	724.7	724.1	724.3	92	57	92	NNW 0	NNE 1	ENE 0	2	3	2	.	
30	5.8	15.0	6.8	9.2	-2.3	725.0	724.2	723.1	92	45	92	ESE 0	WSW 1	N 1	10≡	2	1	.	≡ n–10 1/2, △ I
Mittel	12.0	17.6	13.0	14.2	—	721.5	721.2	721.8	88	62	86				7.7	6.9	5.7	Summe 102.6	

λ = 8° 30′, β = 47° 3′,
H_b = 1787.3 m, G = –0.20 mm.

Rigi-Kulm

September 1944.
Beobachter: *J. Wigel.*

Tag	Lufttemperatur 7³⁰	13³⁰	21³⁰	Mittel	Abweich. vom Normalst	Luftdruck 7³⁰	13³⁰	21³⁰	Relative Feuchtigkeit 7³⁰	13³⁰	21³⁰	Windrichtung und Stärke 7³⁰	13³⁰	21³⁰	Bewölkung 7³⁰	13³⁰	21³⁰	Niederschlag	Witterung
1	9.2	12.8	14.0	12.0	3.5	618.5	618.3	617.8	100	57	40	W 3	W 3	W 3	10●≡	10	10	25.9	● n–n m.U., ≡ I
2	14.6	13.2	7.5	11.8	3.4	615.7	615.4	615.8	44	92	100	S 3	W 1	W 4	8	8	10●≡	52.0	● 15–n m.U., ≡ 14–n m.U.
3	2.2	2.5	3.0	2.6	-5.7	616.1	618.0	619.8	100	100	95	W 4	W 3	W 2	10●≡	10≡	0	6.0	● n–15 m.U., ≡ n–17
4	8.0	12.8	12.5	11.1	2.9	618.9	618.9	617.7	7	18	22	SW 1	SSW 1	SW 0	1	1	1	.	
5	12.2	13.0	12.2	12.5	4.4	616.8	616.8	616.4	34	36	23	W 0	SW 0	SW 3	2	5	9	.	
6	10.8	13.2	11.5	11.8	3.8	616.1	615.5	615.0	62	52	50	SE 0	S 3	SSE 3	2	1	1	.	
7	12.7	6.2	2.4	7.1	-0.8	612.6	613.2	614.9	50	100	89	SSE 3	W 4	W 3	2	10≡	8	17.5	● 12–18 1/2, ≡ 9–18 1/2
8	3.7	5.2	1.4	3.4	-4.5	615.7	615.4	616.8	77	90	100	SW 1	W 0	W 3	6	10	5	14.9	● 16–17 1/4, ≡ zeitw.
9	1.6	5.6	3.6	3.6	-4.2	618.4	618.2	618.1	81	74	100	W 1	SW 0	E 0	1	7	10	.	
10	2.6	3.6	3.4	3.2	-4.5	618.0	618.4	619.4	100	100	100	E 1	E 1	E 1	10	10≡	10≡	0.6	≡ 10 1/4–n
11	4.4	6.6	4.5	5.2	-2.4	619.6	620.6	620.7	100	94	100	SE 0	SE 0	E 1	5	4	10≡	.	≡ zeitw.
12	9.2	12.2	10.2	10.5	3.0	621.7	622.2	621.5	62	54	61	SW 0	SE 1	E 1	4	3	4	.	
13	12.0	15.2	10.0	12.4	5.0	621.0	621.0	620.6	58	43	66	S 0	E 0	W 1	5	7	7	6.6	
14	8.8	9.6	9.0	9.1	1.8	619.1	619.1	619.5	100	100	100	W 1	W 1	W 0	10●≡	10≡	8	23.4	● n, I. ≡ I, II
15	8.8	12.2	10.2	10.4	3.2	620.1	620.4	620.8	100	85	100	SSW 1	SW 0	SW 0	3	4	4	.	≡ zeitw.
16	10.0	13.0	10.0	11.0	3.9	621.5	622.0	622.0	91	42	100	W 1	SW 0	E 1	4	5	8	1.2	
17	10.8	10.6	7.8	9.7	2.7	620.4	620.7	621.4	66	100	100	W 1	W 1	W 1	7	10≡	10	4.3	● 16–18 m.U., ≡ 12–18
18	8.0	13.2	7.8	9.7	2.8	620.5	620.4	619.4	100	60	100	E 1	SE 0	SE 0	10≡	9	10≡	.	≡ n–n zeitw.
19	7.6	11.2	8.8	9.2	2.4	618.9	617.8	618.0	100	74	90	SW 1	S 1	SW 0	8	5	8	1.9	≡ a zeitw.
20	7.4	6.0	6.2	6.5	-0.2	616.7	617.5	618.2	68	100	80	SW 1	W 2	W 1	10●	10●≡	10●	13.8	● n–n, ≡ seit 8
21	6.0	9.4	6.4	7.3	0.7	618.6	618.6	617.4	87	45	80	SW 1	SW 1	W 1	1	2	0	.	
22	7.4	10.3	8.2	8.6	2.1	616.1	616.5	616.6	71	53	62	W 2	SW 1	W 2	3	5	3	.	
23	8.4	9.4	7.0	8.3	1.9	616.9	616.9	617.6	65	87	80	S 1	S 0	SW 3	7	10	10	14.3	● 13 1/2–18 1/2
24	6.0	7.2	4.5	5.9	-0.4	616.1	614.9	614.2	100	95	100	W 3	W 2	W 3	10●≡	10	10	7.0	● I. ● ✱ seit 19 1/2, ≡ zeitw.
25	-2.4	-1.2	-1.5	-1.7	-7.8	613.7	616.0	616.6	100	100	100	W 3	W 2	W 3	5	10	10✱	5.6	
26	0.0	4.0	3.6	2.5	-3.5	617.0	617.3	616.0	100	100	100	W 3	W 3	W 3	10	10●≡	10≡	18.4	● II, ≡ II, III
27	3.0	2.3	-1.2	1.4	-4.5	615.1	613.7	613.5	100	100	100	W 1	W 2	W 0	7	10●≡	10	13.6	● seit 13, ✱ 14 1/2–15 1/4, ● seit 16, ≡ zeitw.
28	-2.0	-1.6	-2.5	-2.0	-7.8	613.3	614.3	616.1	100	100	100	N 0	E 2	E 1	10✱≡	10✱≡	10✱≡	13.5	✱ n–n zeitw., ≡ n–n
29	-1.8	0.4	-0.5	-0.6	-6.2	617.6	617.9	618.5	100	100	100	E 2	E 1	E 1	10≡	5	4	.	≡ zeitw. [✱]
30	2.0	4.6	2.2	2.9	-2.0	618.5	619.0	618.6	15	80	66	W 0	SW 0	SW 0	1	1	0	.	
Mittel	6.4	8.1	6.1	6.8	—	617.6	617.8	618.0	78	78	84				6.1	7.0	7.0	Summe 240.5	

September 1944.
Beobachter: *P. Nogler.*

Bevers

$\lambda = 9° 53'$, $\beta = 46° 33'$,
Hb = ca. 1710 m, $G = -0.23$ mm.

Tag	Lufttemperatur 7³⁰	13³⁰	21³⁰	Mittel	Abweich. vom Normalst	Luftdruck 7³⁰	13³⁰	21³⁰	Relative Feuchtigkeit 7³⁰	13³⁰	21³⁰	Windrichtung und Stärke 7³⁰	13³⁰	21³⁰	Bewölkung 7³⁰	13³⁰	21³⁰	Niederschlag	Witterung
1	14.2	18.6	10.2	14.3	4.9	625.2	625.3	625.8	82	87	98	S 1	SW 2	SW 1	8	10	10●	8.4	⛆ ●sch. n-n zeitw.
2	10.0	**20.0**	11.0	13.7	4.4	624.8	621.8	619.2	90	82	92	W 0	W 1–2	E 1	6	8	10●	**30.2**	● ⛆ 18–21, ● n
3	6.4	12.1	6.3	8.3	−0.8	620.2	624.5	625.3	83	72	55	W 1	NNW 2	N 0	9	7	10	.	
4	2.0	15.2	7.0	8.1	−0.9	626.0	624.6	625.4	85	40	85	W 1	W 2	W 1	0	0	0	.	
5	6.2	16.4	10.0	10.9	2.0	623.9	623.5	623.3	73	41	90	S 1	SW 2	NE 1	0	6	3	.	
6	9.7	15.0	10.2	11.6	2.8	623.0	622.6	622.4	96	62	96	SW 1	W 2	NW 1	10	8	10	.	
7	10.6	16.0	9.8	12.1	3.5	622.0	622.2	620.6	91	73	98	N 1	NW 2	W 1	8	10	8	5.5	●°sch. 17–n zeitw.
8	11.6	13.0	7.0	10.5	2.0	621.2	619.2	623.2	76	44	93	E 2	W 2–3	NW 1	10	10	2	0.3	●°sch. a, p, zeitw.
9	5.2	14.0	7.8	9.0	0.6	623.5	623.7	623.6	88	39	81	NE 0	SW 2	W 1	10	2	6	.	
10	6.6	8.7	6.8	7.4	−0.8	623.7	624.8	625.3	96	67	97	NE 1	NW 1	N 1	10	10●	6	1.3	●° n–18½
11	6.2	10.7	7.0	8.0	−0.1	626.0	626.7	627.6	98	90	95	NE 0	NW 2	N 1	10●	10	4	0.4	● n–11 zeitw.
12	8.5	16.5	7.5	10.8	2.8	629.0	629.3	**629.6**	82	**38**	92	SW 1	SW 2	W 1	4	2	0	.	
13	5.2	15.5	9.6	10.1	2.3	628.3	627.5	626.6	100	41	93	S 1	SW 2–3	S 1	0	6	10	.	
14	10.0	14.7	10.0	11.6	3.9	625.6	625.6	625.4	87	78	100	S 0	W 1–2	SW 1	10	10●	7	10.6	● n–18 m.U.
15	10.0	17.4	10.6	12.7	5.1	625.7	626.6	627.0	95	65	90	S 0	SW 2	W 0	6	5	10●	6.7	● 19½–n
16	11.8	16.0	10.2	12.7	5.3	627.5	627.8	627.8	88	89	94	S 1	W 2	SW 1	7	10●	6	2.3	●° n–17 m.U., ● n
17	11.0	15.2	10.0	12.1	4.8	627.6	626.8	626.5	86	58	90	SE 1	E 2	N 1–2	10	8	8	.	
18	9.6	13.8	7.3	10.2	3.0	626.9	626.5	627.1	89	61	96	E 1	W 2	NW 1	10	10	3	.	
19	4.0	14.0	9.0	9.0	2.0	625.7	624.7	623.3	98	68	86	SW 0	S 1–2	W 1	10	0	2	0.8	
20	9.6	11.4	8.0	9.7	2.8	623.6	623.6	624.6	90	81	100	W 0	W 1	W 0–1	10●	10●	10●	20.0	● n–n
21	11.4	13.4	5.4	10.1	3.3	624.4	623.9	623.6	73	71	94	S 0	W 2	NW 1	8	6	0	0.1	●°sch. p zeitw.
22	2.0	15.0	7.4	8.1	1.5	622.7	623.2	623.6	98	61	90	SE 1	SW 2	W 1	10	3	0	.	
23	8.8	10.6	8.0	9.1	2.6	624.0	623.8	624.6	83	76	100	SW 1	S 1–2	W 1	5	8	10	4.7	●sch. 9–12, 17–19 zeitw.
24	8.6	12.8	9.6	10.3	3.9	622.8	620.8	618.6	88	64	86	W 1	NW 1–2	NE 1	10	5	10●	9.7	●sch. n–n zeitw.
25	2.0	8.3	3.8	4.7	−1.5	619.7	621.5	622.7	85	65	73	SW 0	W 2	NW 0	0	5	6	1.7	●sch. p zeitw.
26	2.1	6.2	6.3	4.9	−1.2	623.2	622.9	622.9	90	88	89	E 0	W 2–3	NW 1	10	10	10	4.0	●sch. 14½–17 zeitw.
27	1.0	12.0	2.6	5.2	−0.8	621.0	619.1	**618.3**	100	83	96	W 0	W 2–3	W 1	10	10	10●	10.7	● 19⅜–n
28	1.0	7.0	1.6	3.2	−2.6	618.8	620.3	621.2	94	89	83	E 1	NE 2	N 1	10	10*	8	3.2	✳ n–16
29	2.0	7.0	1.3	3.4	−2.3	622.5	623.2	623.8	72	61	74	NE 1	NW 1	N 2	8	6	2	.	⛇
30	**−2.3**	9.0	−1.2	1.8	−3.7	624.6	624.1	624.2	96	48	83	ESE 1	W 1	N 0–1	0	0	0	.	
Mittel	6.8	13.2	7.3	9.1	—	624.1	624.0	624.1	88	66	90				7.3	6.8	6.0	Summe 120.6	

September 1944.
Beobachter: *Kapuzinerkloster.*

Sitten

$\lambda = 7° 21'$, $\beta = 46° 14'$,
$Hb = 548.6$ m, $G = -0.11$ mm.

1	17.9	23.2	18.3	19.8	2.8	715.7	716.0	715.4	99	72	100	N 0	WNW 1	ENE 1	8	8	3	9.1	● a, p, m.U., ⛆ 10¼–11¼, 15
2	18.1	22.6	14.0	18.2	1.3	713.7	710.7	715.7	82	70	72	NNE 1	WSW 1	WSW 2	8	10	10●	**12.8**	● n–n m.U., ⛆ 16¾–18
3	12.8	19.0	11.0	14.3	−2.5	717.0	719.4	720.4	66	45	73	WSW 1	WSW 2	W 1	9	6	0	.	
4	10.2	19.6	14.8	14.9	−1.8	719.7	716.2	716.0	74	48	69	NE 1	ENE 1	NE 1	1	0	0		△ l
5	12.0	21.9	16.7	16.9	0.3	714.9	713.3	713.7	87	55	77	NE 1	WNW 1	NE 1	6	9	10	.	△ l
6	15.2	**23.6**	17.3	18.7	2.3	713.5	711.5	711.9	84	**43**	61	NE 1	ENE 2	ENE 1	1	4	0	.	
7	14.6	17.4	12.2	14.7	−1.6	**710.7**	712.6	715.0	77	84	100	ENE 1	WSW 0	W 1	6	9	10●	2.7	● 11¾–12, 15, 18½–n
8	10.0	18.2	12.0	13.4	−2.8	714.6	713.5	718.9	89	53	69	NE 0	WSW 0	W 0	2	7	2	.	☄ p
9	7.3	17.6	11.7	12.2	−3.9	719.7	716.7	717.2	90	49	74	NE 1	WSW 2	W 0	1	1	0	.	
10	10.4	13.8	11.6	11.9	−4.1	718.1	718.7	719.9	94	87	100	NE 1	WNW 0	W 0	10●	10●	10●	1.6	●° 7¼–23 m.U.
11	11.0	18.7	12.5	14.1	−1.7	719.8	718.8	720.9	96	62	96	WNW 0	WSW 2	W 0	3	7	10	.	
12	14.0	20.9	15.0	16.6	0.9	**721.0**	719.2	720.2	85	58	90	W 0	W 2	WNW 0	3	3	0	.	
13	13.8	18.4	15.8	16.0	0.4	719.4	718.3	718.4	90	79	100	NE 1	WNW 2	W 0	6	10●	10≡	2.4	● 13½–20, ≡ 20–n
14	14.9	20.1	16.0	17.0	1.5	717.9	717.0	718.0	100	73	100	WSW 0	W 0	W 0	10≡	8	4	1.8	● 5¼–8½ m.U., ≡ l
15	15.1	22.8	17.1	18.3	3.0	719.1	717.3	718.7	98	55	82	WNW 0	WSW 1	N 0	10	3	0	.	
16	14.6	22.0	17.6	18.1	2.9	720.1	718.5	719.4	95	56	88	NE 0	WSW 1	NNE 1	3	7	0	0.0	●° n (16./17.)
17	15.3	19.1	16.8	17.1	2.0	719.0	718.9	719.7	97	79	97	NNE 1	W 2	W 0	9	10●	10●	1.9	● 12–n m.U.
18	16.3	19.2	15.2	16.9	2.0	719.1	718.4	719.0	98	74	95	NNW 0	WSW 1	W 0	10≡	10	10	0.3	●° 18–20, ≡ a
19	12.8	19.9	15.4	16.0	1.2	718.0	714.6	714.6	85	59	85	NNE 0	WSW 1	NNE 1	4	2	0	2.9	
20	13.7	15.1	12.7	13.8	−0.8	716.1	717.2	718.4	97	80	96	NE 0	NE 0	NE 1	10●	10●	0	3.2	● n–19 m.U.
21	10.3	19.1	14.0	14.5	0.1	718.6	716.0	715.7	100	58	85	NE 0	W 2	NE 1	1	2	0	.	△ l
22	10.0	19.4	15.0	14.8	0.5	715.5	713.5	714.9	96	55	79	NE 0	W 2	NE 1	2	2	0	.	△ l
23	13.3	15.8	14.9	14.7	0.6	715.2	715.6	717.8	95	92	93	NE 0	NE 1	WSW 1	10	10	10	6.7	● 10⅜–17¾ m.U., △ l
24	12.0	20.2	13.6	15.3	1.4	715.7	712.0	711.9	100	56	65	WSW 0	WSW 1	W 4	2	2	4	1.0	△ l, ☄ 20¼, ● n
25	9.4	12.9	9.8	10.7	−3.0	715.8	716.7	719.4	65	50	73	WSW 0	WSW 2	W 2	3	8	3	.	
26	8.4	13.4	11.0	10.9	−2.6	719.6	718.6	717.6	84	62	95	WSW 0	WSW 0	ENE 0	9	8	10●	1.9	● 18, 19¼–n, △ l
27	10.8	13.4	9.8	11.3	−2.0	715.0	712.9	713.5	100	86	70	ENE 0	WSW 1	W 2	10	10	8	1.0	● 11¼–12⅝
28	8.2	12.4	8.6	9.7	−3.4	712.9	713.6	716.5	79	54	68	WSW 0	W 2	W 0	9	5	9	.	
29	**4.0**	13.6	8.4	8.7	−4.2	718.9	717.1	718.9	94	53	79	NE 0	W 2	NE 2	1	1	0	.	△ l
30	6.6	14.2	9.4	10.1	−2.6	720.3	718.4	718.0	97	52	78	ENE 0	WNW 1	NE 1	7	0	0	.	△ l
Mittel	12.1	18.3	13.6	14.7	—	717.2	716.0	717.2	90	63	84				5.8	6.1	4.4	Summe 49.3	

$\lambda = 8° 57'$, $\beta = 46° 0'$,
$H_b = 276.2$ m, $G = -0.01$ mm

Lugano

September 1944.
Beobachter: *G. Vicari.*

Tag	Lufttemperatur					Luftdruck			Relative Feuchtigkeit			Windrichtung und Stärke			Bewölkung			Niederschlag	Witterung
	7^{30}	13^{30}	21^{30}	Mittel	Abweich. vom Normalst	7^{30}	13^{30}	21^{30}	7^{30}	13^{30}	21^{30}	7^{30}	13^{30}	21^{30}	7^{30}	13^{30}	21^{30}		
1	21.0	23.0	18.8	20.9	1.9	738.9	738.8	739.3	85	64	94	NNE 1	N 1	N 1	9	10	10●	7.2	●sch. 13–n zeitw.
2	19.2	23.6	17.4	20.1	1.2	738.5	736.5	733.5	86	62	93	NW 1	N 0	NNE 1	10	10	10●	32.8	⊼ ● 17–18, ● 19½–21½
3	16.2	23.2	16.8	18.7	−0.1	734.5	736.3	740.2	36	21	27	NNE 2	NNE 2	NNE 2	0	0	0	.	
4	11.0	**23.8**	16.0	16.9	−1.8	742.3	741.4	740.8	52	36	70	N 1	S 1	N 1	0	0	0	.	
5	13.4	23.2	17.8	18.1	−0.4	740.4	739.4	739.1	77	43	65	N 1	S 1	N 1	4	9	7	.	
6	15.2	20.2	16.2	17.2	−1.2	738.6	738.6	738.8	83	63	87	N 1	SSE 0	N 1	9	10	10	3.8	● 15–16½
7	15.8	18.0	17.0	16.9	−1.4	737.0	737.1	736.4	85	70	90	NE 1	WNW 0	N 1	10	10	10●	3.2	● 8–10, 19–n
8	16.8	21.4	17.4	18.5	0.3	736.2	736.6	738.1	93	53	74	N 1	ESE 1	N 1	10	9	6	.	
9	12.2	23.0	16.4	17.2	−0.8	740.0	739.9	739.6	65	40	64	N 1	SE 1	N 1	0	3	0	0.9	
10	14.6	19.2	15.2	16.3	−1.6	740.3	740.9	741.6	90	53	87	NNE 1	N 1	NNE 1	10●	10	10	10.0	● 5–8, n
11	14.0	18.0	14.8	15.6	−2.2	742.7	743.4	744.1	94	67	82	NNE 1	WSW 1	N 1	10●	10	10	1.8	● 7½–10
12	14.8	23.2	17.6	18.5	0.9	744.7	744.3	745.0	86	50	74	N 1	S 1	N 1	7	3	3	.	
13	15.8	18.2	15.4	16.5	−1.0	**745.3**	745.0	744.2	78	48	90	NNE 1	SSW 0	N 1	10	10	10●	1.2	● 19½–22½ m.U.
14	15.2	21.4	17.6	18.1	0.7	742.8	741.4	741.2	90	47	71	W 1	S 1	N 1	10	8	6	.	
15	16.2	20.6	17.4	18.1	0.9	742.5	742.3	743.4	79	52	79	N 1	S 1	N 1	10	10	0	.	
16	16.6	20.4	18.0	18.3	1.2	744.3	744.4	744.8	86	54	78	N 1	S 1	N 1	10	10	10	.	
17	16.6	22.0	18.4	19.0	2.1	744.5	744.5	744.2	84	47	71	N 1	S 1	NNE 1	10	9	10	.	
18	16.2	19.0	14.6	16.6	−0.2	744.6	744.7	744.5	77	44	78	NNE 1	SSW 1	NNE 1	10	10	4	.	
19	12.0	21.6	16.4	16.7	0.1	742.8	740.4	740.6	88	44	70	N 1	S 1	NNE 1	8	5	10	0.8	
20	13.6	14.4	13.8	13.9	−2.5	740.7	741.7	742.0	92	98	99	N 1	W 0	ENE 0	10●	10●	10●	21.6	● 6½–n
21	11.0	20.4	15.4	15.6	−0.6	740.9	739.6	739.3	95	51	81	N 1	S 1	N 1	0	1	4	.	
22	12.2	20.8	15.2	16.1	0.1	738.6	738.2	739.8	86	53	85	N 1	S 1	N 1	0	6	0	1.6	
23	15.0	16.4	15.2	15.5	−0.4	740.7	741.2	742.1	96	93	90	N 1	W 0	ENE 0	10	10	10●	5.3	● n–6½, a zeitw., 18½–n
24	14.6	16.8	16.4	15.9	0.2	739.8	738.5	734.4	92	84	94	N 1	S 0	NNE 1	10	10	10	7.2	●sch. a–n zeitw.
25	13.0	19.8	14.2	15.7	0.2	**733.4**	734.6	738.9	27	18	30	NNE 2	ENE 3	NE 1	0	0	0	.	
26	9.0	19.2	12.8	13.7	−1.6	740.8	739.0	738.7	68	33	75	N 1	SSE 1	NNW 1	0	6	8	.	
27	10.6	16.6	11.0	12.7	−2.4	737.7	735.5	734.4	83	59	77	N 1	S 1	ENE 1	8	10	10●	3.1	● 18½–22 m.U.
28	13.4	15.0	14.2	14.2	−0.7	**733.4**	733.9	736.8	33	33	25	NNE 2	N 2	NNE 3	10	10	1	.	
29	14.2	19.6	12.2	15.3	0.6	738.3	738.4	740.5	27	32	68	NNE 3	SE 1	S 1	0	0	0	.	
30	**6.8**	18.4	9.4	11.5	−3.0	741.8	740.4	740.9	79	41	84	N 1	S 1	NNE 1	0	0	0	.	
Mittel	14.2	20.0	15.6	16.6	—	740.2	739.9	740.2	76	52	75				6.5	7.0	5.6	Summe 100.5	

$\lambda = 7° 35'$, $\beta = 47° 33'$,
$H_b = 318$ m, $G = 0.11$ mm.

Basel

September 1944.
Beobachter: *Astronom.-Meteorol. Anstalt.*

1	15.0	16.2	15.4	15.5	−0.2	735.7	736.3	733.7	97	89	98	SE 0	W 0	ESE 0	10●	10●	0	9.2	● 1½–19½ zeitw.
2	17.2	18.8	12.8	16.3	0.7	730.3	731.0	733.4	93	94	83	ESE 2	ENE 1	S 1	7	10●	10	18.0	● 3½–20¾ zeitw., ⊼ 4
3	12.6	14.0	10.4	12.3	−3.2	736.7	739.6	740.0	77	73	92	WSW 2	WSW 2	ESE 1	8	10	1	.	
4	8.2	22.3	14.6	15.0	−0.4	738.5	736.0	734.2	96	53	70	W 1	ESE 1	ESE 1	7	0	0	.	≡ 6–7¼
5	13.0	**27.8**	16.8	19.2	3.9	732.8	732.1	732.0	82	**37**	81	ENE 1	WNW 1	ESE 1	1	1	0	.	
6	16.4	27.2	17.2	20.3	5.1	732.3	731.1	729.4	77	52	95	E 1	SSE 1	WNW 0	8	2	0	.	● 7¾
7	15.4	13.7	10.0	13.0	−2.1	**728.0**	733.5	734.8	89	86	86	E 1	WSW 1	ENE 0	9	10	0	2.5	● n, 8½–9¼, 10½–13
8	11.4	15.2	9.4	12.0	−2.9	735.2	734.4	738.5	86	66	88	E 0	WNW 2	SSE 1	8	8	0	0.7	● 16¼–16¾, 19, ⌐ p ztw., [⊤ mtgs.
9	7.4	17.5	11.8	12.2	−2.6	739.0	738.1	738.1	93	53	86	ESE 1	NW 1	SSE 1	0	8	9	.	
10	10.0	17.1	12.8	13.3	−1.4	739.4	740.0	741.1	87	61	80	W 1	SSE 1	NNE 0	10	10	10	.	
11	7.4	18.6	11.7	12.6	−2.0	**742.2**	740.9	741.2	91	55	79	WNW 0	NNW 1	ENE 1	10	1	0	.	
12	8.4	20.2	15.0	14.5	0.1	741.6	741.2	740.3	88	48	64	WNW 1	ESE 1	ESE 1	1	1	0	.	⊕ 10
13	12.5	21.7	15.1	16.4	2.1	739.3	738.2	738.1	71	62	97	E 1	NNW 1	WNW 0	5	10	10●	**21.1**	● 15¾–n
14	15.1	19.8	16.8	17.2	3.0	737.1	737.0	737.5	98	85	95	ESE 1	WNW 1	ESE 1	10≡●	10	9	2.7	● n–11, 17½–18, ≡ 5–10½
15	15.4	24.0	17.4	18.9	4.9	738.3	737.6	738.3	98	63	95	ESE 1	NW 0	NW 1	10	5	10	.	≡ 6¾–7¼
16	15.0	23.7	17.8	18.8	4.9	739.5	739.2	740.0	98	71	95	ESE 1	WNW 1	W 1	10≡	8	10	2.1	≡ n–9½
17	15.0	16.5	14.6	15.4	1.6	739.3	739.6	739.9	97	92	93	WNW 1	WNW 1	WNW 1	10≡	10●	10	1.0	● 13½–18½ ztw., ≡ 6½–
18	13.0	16.5	14.4	14.6	1.0	740.1	739.8	739.3	90	78	95	W 0	W 1	WNW 1	10	10	10	.	● 2¼–3, 5¼–5¾ [12
19	14.0	21.3	15.1	16.8	3.3	737.9	735.4	734.3	97	69	94	WNW 0	NW 1	NNW 1	7	3	10	5.0	
20	14.2	17.1	14.1	15.1	1.8	735.1	736.3	737.7	97	85	98	SSE 0	ENE 0	ESE 1	10●	10●	0	6.5	● 6–14¾ m.U.
21	12.0	16.5	11.3	13.3	0.1	738.2	737.6	735.9	96	80	99	SE 1	NNE 0	ESE 0	10	10	0	.	≡ 0–7, 23–n
22	10.8	22.2	14.4	15.8	2.8	734.4	733.9	734.0	98	59	95	ESE 0	ESE 1	E 1	10≡	3	0	.	≡ n–8¾, ⊕ 17¾
23	13.3	15.2	14.6	14.4	1.5	734.0	734.6	735.9	93	91	97	E 1	ESE 1	ESE 1	10	10●	1	7.3	● 7¾–16, 17½, ⌒ 18
24	13.6	16.9	10.1	13.5	0.8	734.3	731.6	733.6	96	70	75	E 0	NW 2	WSW 1	10	10	5	6.9	● 14–19¾ m.U.
25	8.2	10.7	10.0	9.6	−3.0	735.2	737.3	739.2	70	73	87	WSW 1	W 1	SW 1	4	10●	10	0.6	● 8½, 13½–16¼ m.U.
26	10.8	12.4	11.8	11.7	−0.7	737.5	737.2	737.0	81	89	96	SSW 1	WSW 1	S 0	10●	10	10	7.4	● 6¾–8¼, 12½–21 m.U.
27	10.4	11.6	9.2	10.4	−1.9	734.4	734.3	734.9	96	69	75	ESE 1	WSW 1	WSW 1	10	10	8	1.0	● 5½–7
28	8.1	11.8	7.9	9.3	−2.8	735.2	736.5	739.5	92	66	92	WNW 1	NNW 1	WSW 1	10	8	6	.	
29	5.6	14.1	6.5	8.7	−3.3	740.6	740.2	740.2	94	56	93	ENE 1	WNW 1	SSE 1	10≡	0	1	.	≡ 1½–9
30	**3.4**	17.6	10.5	10.5	1.3	740.0	739.6	738.4	83	55	88	ESE 1	W 1	S 1	10≡	5	8	.	≡ 3–9½
Mittel	11.8	17.9	13.0	14.2	—	736.8	736.7	737.0	90	69	89				8.2	7.1	4.9	Summe 92.0	

September 1944.
Beobachter: *Observatorium.*

Säntis

$\lambda = 9° 20'$, $\beta = 47° 15'$,
$H_b = 2500.1$ m, $G = -0.27$ mm.

Tag	Lufttemperatur					Luftdruck			Relative Feuchtigkeit			Windrichtung und Stärke			Bewölkung			Niederschlag	Witterung
	7^{30}	13^{30}	21^{30}	Mittel	Abweich. vom Normalst	7^{30}	13^{30}	21^{30}	7^{30}	13^{30}	21^{30}	7^{30}	13^{30}	21^{30}	7^{30}	13^{30}	21^{30}		
1	6.3	6.2	8.0	6.8	2.8	567.7	567.0	567.6	100	88	75	WNW 4	WNW 5	WNW 4	10≡●	9	4	36.7	●≡ n-12½, ●sch. 14⅝, 🌧 n-n
2	8.4	11.6	0.0	6.7	2.8	566.3	565.5	562.4	60	72	100	WSW 3	WSW 3	WNW 4	10	9	10≡*	59.6	●*≡ 16¼-n m.U., ⛆ 18-18½, 🌧
3	−2.0	−1.6	−3.4	−2.3	−6.1	563.0	565.1	567.5	100	100	100	WNW 3	WNW 3	WNW 3	10≡*	10≡*	1	16.8	* n-17, ≡ n-20⅝ [111
4	0.0	7.0	6.7	4.6	0.9	567.4	568.0	567.7	45	47	50	WNW 2	W 3	W 1	1	1	0	.	
5	6.6	11.3	6.0	8.0	4.4	566.1	566.5	566.1	56	54	35	WNW 2	W 2	WNW 2	1	3	3	.	
6	6.8	9.1	6.4	7.4	3.8	565.5	565.1	564.4	69	62	75	ESE 2	WSW 3	W 2	1	3	0	.	
7	8.6	3.6	−0.2	4.0	0.5	562.7	563.3	563.5	62	100	100	SW 2	WNW 4	WNW 3	1	10≡*	10≡*	31.7	● 13-21 ztw., * 21-n, ≡ 🌧 11-n
8	−1.2	0.2	−3.0	−1.3	−4.7	563.5	563.4	564.9	100	100	100	WNW 1	W 1	WNW 2	9	10≡*	10≡	16.0	* 12⅝-21 m.U., ≡ 12¼-n
9	−3.2	3.4	0.3	0.2	−3.1	565.7	565.9	566.0	96	89	100	W 2	SW 2	SW 1	0	9	10≡	.	≡ n-5⅝, 14-16, 19-n
10	0.2	3.1	−0.4	1.0	−2.2	566.0	566.9	567.8	100	78	100	SW 0	W 0	NE 1	10≡*	10	10≡*	1.2	* 6⅝-9⅝, 14⅝-n, ≡ n-n [m.U.
11	0.4	5.1	1.8	2.4	−0.7	567.9	568.9	569.5	94	58	70	E 2	SW 1	WNW 2	9	1	0	.	
12	3.2	7.0	5.0	5.1	2.0	570.0	**571.0**	570.8	93	72	78	W 2	WSW 1	WNW 2	1	2	1	.	
13	6.6	10.6	6.2	7.8	4.8	570.0	570.1	569.2	72	62	96	W 2	SW 1	SE 2	2	9	10	1.2	
14	5.2	5.5	5.0	5.2	2.3	567.6	567.6	568.5	100	100	100	W 2	WNW 3	W 2	10≡●	10≡	10≡●	22.0	● n-n m.U., ≡ 6-n
15	4.3	9.0	5.0	6.1	3.3	568.6	569.3	569.8	100	72	98	W 2	W 1	W 2	2	10≡	10≡	1.0	≡ n-n m.U.
16	5.0	10.2	5.2	6.8	4.1	570.1	570.8	570.9	100	58	80	W 2	W 2	ESE 1	10≡	10≡	1	0.2	●sch. 16½, 18¼, ≡ n-20
17	6.8	10.1	5.4	7.4	4.8	569.7	569.9	570.0	73	53	100	SE 2	SW 1	SW 1	9	10≡	10≡	0.4	● 18-18⅝, ≡ 13-n
18	5.4	8.4	4.6	6.1	3.6	569.1	569.4	569.2	82	69	100	SE 2	SE 1	SSE 3	6	8	3	.	≡ 14-21
19	4.2	9.0	4.3	5.8	3.4	567.5	566.5	565.8	29	59	98	WSW 1	SW 1	SW 2	1	9	0	0.6	≡ 14-17½ m.U.
20	4.1	4.2	1.8	3.4	1.1	565.7	566.3	567.0	73	96	100	SSW 1	SSE 2	WNW 2	10	10	10≡●	10.7	● 6-n m.U., ≡ 14½-n
21	0.9	3.8	1.6	2.1	−0.1	566.9	566.9	566.1	98	91	88	W 2	SSW 1	W 1	7	10≡	0	.	● 12, ≡ 10-17⅝
22	2.4	6.4	3.4	4.1	2.0	564.5	565.3	566.0	33	64	92	W 3	WSW 2	W 3	1	7	1	.	
23	3.9	5.0	2.6	3.8	1.8	565.8	565.5	566.4	80	96	100	SSE 1	SW 3	W 3	10	10	10≡	9.9	● 12, 15½-18 m.U., ≡ 11½-n m.U.
24	2.4	6.0	−4.8	1.2	−0.7	564.6	562.7	**559.6**	100	86	100	W 3	SW 3	W 4	10≡	5	10≡*	37.3	● n, 16⅝, ⛆ ●△ 17½-20⅝, *
25	−6.4	−5.2	−4.0	−5.2	−7.0	**559.6**	562.2	564.6	100	100	100	W 4	W 4	W 2	10≡	10≡	10≡	6.2	*15-20, ≡n-n [20⅝-n, ≡6⅝-n 🌧
26	−4.0	0.0	−0.1	−1.4	−3.1	564.0	564.2	565.0	96	100	100	W 4	W 5	WNW 3	10	10≡	10≡*	43.4	● * 17-n, ≡ 8½-n 🌧
27	−2.0	0.2	−6.8	−2.9	−4.5	562.7	561.5	560.5	97	96	100	W 3	WSW 1	NW 2	10	10≡	10≡	8.0	* 13⅝-19½ m.U., ≡ 9⅝-n 🌧
28	−5.8	−5.4	−5.6	−5.6	−7.1	560.4	561.3	563.7	100	100	100	W 2	NE 2	NNE 2	10≡	10≡*	10≡	9.6	* 8¼-19½ m.U., ≡ n-n 🌧
29	−5.8	−4.1	**−7.0**	−5.6	−7.0	564.1	565.0	565.5	100	96	40	NNE 2	ENE 1	NNE 3	10≡	10≡	1	.	≡ n-19½ m.U. 🌧
30	−2.6	−0.2	−0.4	−1.1	−2.4	565.9	566.6	565.9	**12**	24	84	N 2	N 1	S 1	1	1	0	.	🌧
Mittel	2.0	4.6	1.5	2.7	—	565.9	566.3	566.4	81	78	89				6.4	7.9	5.8	Summe 312.5	

September 1944.
Beobachter: Frl. *F. Lombardi.*

St. Gotthard (Hospiz)

$\lambda = 8° 34'$, $\beta = 46° 33'$,
$H_b = 2095.7$ m, $G = -0.25$ mm.

1	9.8	**12.0**	9.4	10.4	3.7	596.9	596.3	597.0	100	82	81	SE 1	NE 2	NW 1	10●≡	10	8	25.4	● ⛆ 11¼-15¼ m.U., ≡ n-11
2	9.4	11.0	7.8	9.4	2.8	596.1	594.1	592.2	91	100	100	S 1	S 1	N 2	10≡	10≡	10≡●	36.5	● ⛆ 14⅝-n, ≡ n-n
3	1.8	3.7	1.4	2.3	−4.2	592.1	594.5	595.9	100	82	100	N 1	N 2	N 2	10≡	8≡	6≡	0.6	≡ n-n
4	2.8	11.0	7.0	6.9	0.5	596.6	597.0	596.7	52	51	61	N 1	S 0	S 1	0	0	0	.	
5	5.2	11.2	7.2	7.9	1.6	595.3	595.6	595.2	61	80	100	S 0	SE 1	SE 1	2	5	10≡	.	≡ 19⅝-n
6	6.0	7.4	6.5	6.6	0.4	594.3	594.6	594.0	95	95	100	SE 1	SE 1	S 0	10≡	10≡	10●≡	2.8	● 17-n, ≡ n-n
7	5.8	6.2	5.7	5.9	−0.2	592.2	592.5	592.5	100	100	100	SE 0	SE 1	SE 1	10≡	10●≡	10●≡	**40.0**	● 10½-n, ≡ n-n
8	2.4	3.0	2.2	2.5	−3.5	592.3	592.6	593.5	100	100	70	NE 2	SE 1	N 1	10≡	10●≡	0≡	14.2	▲ 7-8, ● 10⅝-15½
9	−1.0	7.4	5.8	4.1	−1.8	594.8	595.3	595.1	88	58	67	N 1	N 1	S 0	0≡	0	5	1.0	
10	4.3	3.4	2.4	3.4	−2.4	595.5	595.6	596.9	100	100	100	NE 1	NE 1	SE 1	10≡	10●≡	10●≡	15.0	● 10½-n, ≡ n-n
11	2.0	8.0	5.2	5.1	−0.6	596.9	597.4	598.7	93	88	67	N 1	S 1	NW 0	7≡	10≡	4≡	.	≡ n-n m.U.
12	4.4	12.4	7.0	7.9	2.3	599.1	599.5	**599.8**	79	71	100	S 0	S 0	S 0	1	3	10≡	0.9	≡ 18-n
13	7.0	10.0	6.4	7.8	2.3	599.2	599.1	597.9	100	92	100	S 0	S 0	S 0	10≡	10≡	10●≡	1.5	●◡ 19-n, ≡ n-n
14	5.4	9.0	7.6	7.3	1.9	597.2	596.7	597.1	100	84	100	S 0	S 0	S 0	10	10	10≡	2.1	● 16¼-18 m.U., ≡ 17-n
15	6.0	**12.0**	8.0	8.7	3.4	597.3	598.8	598.9	100	90	100	N 1	S 1	S 0	0	5	10≡	2.1	●° 19-n zeitw., ≡ 19-n
16	7.2	11.0	8.2	8.8	3.7	599.1	599.5	599.6	100	100	100	S 0	S 0	S 0	10≡	10≡	10≡	0.9	≡ n-n
17	6.7	7.2	6.4	6.8	1.8	598.8	599.0	599.2	94	98	100	S 0	S 0	S 0	10≡	10≡	10≡	3.8	● 15-16⅝, ≡ n-n
18	6.0	6.6	9.8	7.5	2.6	598.6	598.6	598.6	100	100	78	S 0	S 0	S 0	10≡	10≡	8	1.5	≡ n-17
19	3.0	8.8	5.2	5.7	0.9	596.7	595.9	595.3	64	85	100	S 0	S 0	S 0	0	3	10≡	1.2	≡ 19-n
20	4.4	5.2	4.8	4.8	0.2	594.9	595.6	596.5	100	95	94	SE 0	SE 0	SE 0	10●≡	10●≡	5≡	9.0	●° ≡ n-n
21	2.2	8.6	4.8	5.2	0.7	595.9	595.6	594.9	100	63	84	N 1	N 1	N 1	3	3	0	.	
22	3.0	9.8	6.4	6.4	2.0	593.7	594.2	594.3	61	80	100	S 0	S 0	S 0	0	3	10≡	0.3	≡ 18¼-n
23	6.0	6.0	4.8	5.6	1.4	596.2	595.2	596.1	95	100	100	E 1	E 1	E 1	10≡	10≡	10●≡	21.6	● 8¼-10½, 14⅝-n, ≡ n-n
24	4.8	6.2	5.0	5.3	1.2	594.3	593.0	590.8	90	98	100	SE 1	SE 0	SE 0	8	10	10	9.6	● 15½-18, * n
25	−3.2	1.4	−2.2	−1.3	−5.2	589.4	591.3	594.0	84	69	100	N 3	N 3	N 2	0	5	10≡	3.3	*° 15¼-17⅝, ≡ 17-n
26	−1.0	4.8	1.4	1.7	−2.1	594.1	594.3	594.3	84	80	100	W 1	N 1	N 1	5	5	10≡	3.2	● 9¼-11⅝, 15-17, ≡ 16-n
27	−0.4	6.0	−1.2	1.5	−2.1	591.9	590.0	589.5	62	90	100	N 1	S 0	N 2	0	8	10≡	8.5	*° 15-18¼, ≡ 17½-n
28	−2.4	−1.0	−2.0	−1.8	−5.3	**588.7**	590.4	592.1	100	100	100	N 2	N 3	N 3	10≡	10≡	10≡	2.5	≡ n-n
29	−2.2	−1.0	−1.8	−1.7	−5.0	593.5	594.1	594.8	100	100	100	N 1	N 2	N 2	10≡	2	10≡	.	≡ n-10, 17½-n
30	**−4.0**	−1.0	0.0	−1.7	−4.8	594.6	595.3	595.0	50	**40**	58	N 1	N 1	N 1	1	0	0	.	
Mittel	3.4	6.9	4.6	5.0	—	595.2	595.4	595.6	88	86	92				6.2	7.0	7.9	Summe 207.5	

$\lambda = 7°\ 26'$, $\beta = 46°\ 57'$,
$H_b = 572.2$ m, $G = 0.00$ mm

Bern

Oktober 1944.
Beobachter: *Tellur. Observatorium.*

Tag	Lufttemperatur					Luftdruck			Relative Feuchtigkeit			Windrichtung und Stärke			Bewölkung			Niederschlag	Witterung
	7^{30}	13^{30}	21^{30}	Mittel	Abweich. vom Normalst	7^{30}	13^{30}	21^{30}	7^{30}	13^{30}	21^{30}	7^{30}	13^{30}	21^{30}	7^{30}	13^{30}	21^{30}		
1	3.3	13.6	8.0	8.3	−2.6	713.5	710.6	712.1	98	63	96	S o	W 1	W 1	2	9	10	6.8	● 15–20¼ m.U., △ l
2	6.0	6.8	2.8	5.2	−5.5	712.5	713.7	716.2	92	83	99	W 1	SE 1	SE o	9	8	7	0.4	● △ 13–16¼ zeitw.
3	2.4	8.4	3.7	4.8	−5.7	**716.7**	715.4	714.2	100	55	95	E o	E o	S o	10≡	4	0	.	≡ n–9
4	3.6	10.9	6.3	6.9	−3.4	711.5	710.5	711.1	87	56	98	SE o	WNW 1	NW o	7	9	10	2.7	● 17–22½
5	6.0	7.0	6.8	6.6	−3.5	708.7	708.5	710.3	92	86	92	NNE 1	N o	NE o	10	10	10	0.0	● 0¾–7½ zeitw.
6	5.1	8.3	8.1	7.2	−2.7	711.0	707.6	706.1	98	92	98	SE 1	NNE 1	W 1	10	10	10●	2.4	● 21–22¾ m.U.
7	6.2	13.0	8.5	9.2	−0.5	710.8	710.9	709.6	100	75	100	SE o	NE 1	SW o	10≡	9	9	0.6	● 23¾–24, ≡ n–8
8	5.2	12.9	10.2	9.4	−0.1	710.7	709.2	707.4	100	74	94	NE o	NE 1	N 1	10	3	9	.	≡ 7¾–a
9	9.8	10.0	9.2	9.7	0.4	705.4	705.2	705.5	94	97	97	NE 1	NE o	SW o	10	10	10	1.6	● 13¼–23¼ zeitw.,
10	7.8	10.6	7.4	8.6	−0.5	706.4	707.7	710.7	98	62	94	E o	WSW 3	W 2	9	9	10●	3.0	● 20¾–n
11	6.3	10.7	7.1	8.0	−0.9	713.2	712.4	712.5	98	76	97	SW o	NE o	SE 1	10	6	0	0.0	● n–7¼, ●°tr. a zeitw.
12	6.5	13.7	10.0	10.1	1.4	711.9	709.3	709.7	98	67	95	SE o	NE 1	SW o	7	9	10	0.7	● 22¾–23, ⊕ p zeitw.
13	8.7	9.6	8.6	9.0	0.5	709.5	709.5	711.1	99	92	97	SE o	SW o	S o	10●	10	10	0.9	● 4¼–12¾ zeitw.
14	6.6	11.8	8.1	8.8	0.5	710.3	710.0	711.6	100	67	98	W o	WNW 2	S o	9	9	0	0.9	●° 15–15½
15	6.7	12.0	9.5	9.4	1.3	711.1	709.0	707.9	100	72	96	SE o	NW 1	W o	10≡	8	7	0.7	● 0–1¾, ≡ n–10, ◑ II, ⊕ p
16	9.3	12.5	10.8	10.9	2.9	706.0	704.8	**703.4**	98	86	99	S o	W 1	W o	10●	10●	10●	22.2	● 6¾–n zeitw.
17	8.3	12.6	8.4	9.8	2.0	706.0	708.2	710.3	98	46	78	SW o	W 2	N o	10●	3	9	1.8	● n–8¾
18	7.4	**13.8**	10.1	10.4	2.8	708.1	704.4	706.1	90	78	84	S 1	SE o	WSW 1	9	9	10	**23.1**	● 7¾–23½ m.U.
19	7.8	9.3	7.0	8.0	0.6	705.5	707.1	711.5	82	78	93	SSW 3	WSW 3	WSW 2	9	7	10	17.9	● 7¾–n m.U., ◠ 8¾, mtgs.
20	4.0	10.1	6.9	7.0	−0.2	712.5	709.3	705.8	100	60	95	E o	W o	SE o	10≡	5	9	.	● n–1½, ≡ n–8½
21	6.7	11.5	6.1	8.1	1.1	704.7	703.9	704.7	97	63	96	SE o	N 1	W o	7	7	0	.	Ψ 18½, △ l
22	6.0	9.0	7.2	7.4	0.5	706.3	707.3	708.3	97	62	91	S o	NE 1	NW o	8	9	10	1.6	
23	6.6	9.7	7.2	7.8	1.1	708.4	708.1	707.9	100	75	94	S o	NW 1	S o	10	10	9	0.0	● 3–6½, 17¼–18½, m.U.
24	5.8	8.1	3.6	5.8	−0.7	703.7	703.9	707.3	95	79	93	E o	NE 1	W 1	9	10	10●	0.4	● 21¼–22¾, △ l
25	3.9	6.4	7.5	5.9	−0.4	709.0	709.4	710.2	98	97	88	NE 1	NE 1	SE o	10	10	10	0.1	☽° a
26	8.1	8.5	7.4	8.0	1.9	709.0	708.1	708.1	74	82	83	E 1	NE 1	S o	10	10	10	0.7	
27	6.3	7.7	6.1	6.7	0.7	706.6	705.2	704.7	98	87	97	SE o	W o	SE o	10	10	9	0.6	● 3–4¼, 11½, 18½
28	3.9	6.9	2.9	4.6	−1.2	706.8	707.3	707.0	63	**42**	88	W 2	W 2	SW o	9	4	9	.	● 1¾–3¾
29	**−0.8**	2.5	0.8	0.8	−4.8	705.3	704.3	704.1	98	88	96	E o	NE 1	NNE 1	9	9	10	.	Ψ III, ⌴ l
30	2.1	6.6	4.1	4.3	−1.2	703.5	704.9	708.2	95	60	93	E o	NW 1	S o	10	9	10	0.0	Ψ III
31	3.1	8.0	2.0	4.4	−0.9	710.9	711.6	712.8	100	60	96	S o	NE o	S o	9	2	6	.	●° fr., Ψ III
																		Summe	
Mittel	5.8	9.8	6.8	7.5	—	708.9	708.3	708.9	95	73	94				9.1	8.0	8.2	89.1	

$\lambda = 6°\ 57'$, $\beta = 47°\ 0'$,
$H_b = 487.3$ m, $G = 0.02$ mm.

Neuchâtel

Oktober 1944.
Beobachter: *Observatorium.*

1	6.8	11.8	8.4	9.0	−2.8	721.2	718.5	719.7	98	83	89	NE o	SW 1	W 1	10	10	8	6.7	● 13¼–n m.U.
2	6.8	8.5	5.8	7.0	−4.6	719.8	721.6	723.8	72	61	74	NW 3	N 3	NE 1	8	9●	0	0.2	● 13¼ 2, 16¾
3	2.7	13.9	5.4	7.3	−4.1	**724.6**	722.9	721.8	97	58	88	NE o	SE 1	N o	0	1	0	.	
4	4.8	8.9	6.9	6.9	−4.3	719.2	718.2	718.6	92	81	96	NE o	SE o	NE o	8	10●	10●	1.1	●° 13¼, ● 19½–n
5	6.4	8.1	7.8	7.4	−3.6	716.3	716.0	717.9	94	89	88	N o	NE 1	NE 1	10	10	10	0.5	● n–a m.U.
6	7.6	10.3	10.2	9.4	−1.4	718.0	715.2	714.2	91	85	96	NE 2	NE 2	SE 1	10	10	10●	1.3	● 21¼–n
7	6.9	13.3	10.3	10.2	−0.4	718.1	718.3	716.9	100	80	95	NE o	SW o	N o	5	10	3	0.4	●° n (7./8.)
8	6.8	**16.6**	12.0	11.8	1.4	718.4	716.6	714.8	98	67	82	SW o	E 1	NE 1	8	1	10	.	
9	10.9	11.5	9.8	10.7	0.5	712.7	712.6	712.7	93	89	96	NE 1	NE o	SW 1	10	10	10	8.4	● 13¾–n m.U.
10	8.7	12.7	7.8	9.7	−0.3	713.7	715.2	718.2	89	71	86	W 1	SW 3	W 1	6	7	10●	2.2	● 21–n
11	7.0	13.9	8.5	9.8	0.0	720.7	719.9	719.9	96	74	89	W 1	S 1	S o	10●	5	0	0.1	●° l
12	6.7	13.9	10.3	10.3	0.7	719.7	717.0	717.2	98	77	93	NE o	SW 1	W 1	7	8	10●	1.5	●tr. seit 14, ● 19½–n
13	9.7	11.4	9.5	10.2	0.8	716.7	717.0	718.6	98	72	82	W o	N 1	W o	10●	10	10	1.2	● n–a
14	7.6	12.2	7.6	9.1	−0.1	717.6	717.6	718.9	88	78	95	SW 1	SW 2	SW o	8	10	2	0.6	●tr. p, ● n
15	8.4	12.9	10.0	10.4	1.4	718.7	716.7	715.3	98	76	93	S o	SE 1	SW o	10	8	10	.	
16	10.3	12.4	12.8	11.8	3.0	713.2	711.9	**710.5**	97	96	92	SW o	W 1	W 1	10	10●	10●	**49.6**	● n–14 m.U., ● 21–n
17	8.8	14.6	10.4	11.3	2.7	713.0	715.9	717.8	93	**53**	73	NW 1	W 2	W 2	10●	1	10	0.1	● l
18	11.3	13.0	10.7	11.7	3.3	715.7	712.3	713.4	75	85	78	SW 2	SW 3	W 2	9	10	10	13.8	● seit 7¾
19	8.2	9.4	7.6	8.4	0.2	712.6	714.8	719.0	90	85	89	W 2	SW 3	SW 1	10	9	10	11.9	● n–n m.U.
20	4.4	11.0	6.6	7.3	−0.8	720.1	717.1	713.1	97	71	93	NW 1	S o	S o	4	6	3	5.5	● n (20./21.)
21	8.7	12.0	7.4	9.4	1.5	711.5	711.0	712.1	89	75	91	W o	NE o	SW o	6	9	1	.	
22	7.9	11.8	8.8	9.5	1.8	714.2	714.7	715.9	86	76	89	NE 2	SE 1	N o	10	10	10	.	
23	7.6	9.9	8.1	8.5	1.0	715.9	715.7	715.3	94	82	76	NE o	SW 1	W 1	10	10	6	0.1	
24	7.0	8.8	4.6	6.8	−0.6	716.9	711.6	714.8	93	84	97	NE 1	SW 2	SW 1	10	10	10●	2.5	● seh. 9¼, ● 17½ n
25	4.8	7.8	8.9	7.2	0.0	716.5	717.0	717.8	98	94	88	W 1	NE 1	E 1	10●	10	10	0.3	● n–a zeitw.
26	9.0	9.9	8.0	9.2	2.2	716.3	715.5	715.6	78	78	81	NE 2	NE 2	NE 1	10	10	10	.	
27	7.7	10.0	7.2	8.3	1.4	714.0	712.6	711.9	94	84	82	N o	E o	NW o	10	10	4	.	
28	4.5	7.6	4.1	5.4	−1.3	714.1	715.0	714.5	65	58	80	W 1	SW 1	NW o	4	9	9	.	
29	**1.1**	6.1	3.5	3.6	−2.9	712.7	711.7	711.5	96	73	85	NE o	NE 1	NE 1	6	10	5	.	△ fr
30	3.4	6.7	4.4	4.8	−1.6	710.7	712.3	715.8	89	77	87	NE 1	SE 1	N o	10	9	9	.	
31	4.2	11.3	4.3	6.6	0.4	718.4	719.3	720.2	92	64	84	N 1	S 1	NW o	6	2	8	.	
																		Summe	
Mittel	7.0	11.0	8.0	8.7	—	716.3	715.9	716.4	91	77	87				8.2	8.2	7.4	108.0	

Oktober 1944.
Beobachter: Frl. *H. Nager.*

Altdorf

$\lambda = 8° 39'$, $\beta = 46° 53'$,
$H_b = 456.3$ m, $G = -0.05$ mm.

Tag	Lufttemperatur					Luftdruck			Relative Feuchtigkeit			Windrichtung und Stärke			Bewölkung			Niederschlag	Witterung
	7^{30}	13^{30}	21^{30}	Mittel	Abweich. vom Normalst	7^{30}	13^{30}	21^{30}	7^{30}	13^{30}	21^{30}	7^{30}	13^{30}	21^{30}	7^{30}	13^{30}	21^{30}		
1	4.7	13.7	9.0	9.1	−2.8	723.4	719.8	721.2	94	48	92	E 0	NW 0	NW 0	5	4	10	23.1	● 17
2	6.4	5.4	5.4	5.7	−6.1	721.4	724.1	726.2	90	88	90	NW 0	NW 1	SE 0	10●	10●	10	10.1	● n–n m.U.
3	5.3	11.3	4.0	6.9	−4.7	**726.8**	725.1	724.8	93	50	85	SE 0	W 1	SE 0	7	6	0	.	
4	1.3	11.5	7.9	6.9	−4.5	721.4	719.6	721.1	89	39	89	SE 0	NW 1	SE 0	2	2	10●	3.8	●° 19½–n
5	7.2	10.4	8.9	8.8	−2.4	718.3	718.2	720.0	95	76	94	E 0	W 0–1	SE 0	10●	10●	10●	2.1	☽° n–n
6	8.3	8.0	12.7	9.7	−1.3	721.0	716.1	715.4	94	45	70	NW 2	NW 1	NW 1	10	7	10●	0.7	● 18–n zeitw.
7	13.1	**18.7**	13.8	15.2	4.3	720.5	719.9	719.2	40	**30**	55	S 2	E 2–3	E 2	4	7	10●	9.0	● III
8	10.0	13.8	9.6	11.1	0.4	720.0	718.8	717.3	95	62	90	S 0	NW 0	NW 0	10	8	10	0.3	
9	9.5	13.3	11.1	11.3	0.8	714.6	713.6	714.9	93	54	95	NW 0	NW 0	NW 0	8	10●	10	5.3	● fr., II
10	9.0	12.6	9.3	10.3	0.0	715.6	715.6	720.1	95	63	92	E 0	NW 1	NW 0	8	10	10	1.1	● 16½–18½
11	8.9	11.8	6.6	9.1	−1.1	722.6	722.7	723.1	93	64	92	NW 0	NW 0–1	E 0	10●	8	0	3.1	● I
12	5.4	14.2	12.0	10.5	0.5	722.3	718.6	719.0	90	50	75	E 0	NW 1	NW 0	3	4	7	.	
13	9.3	13.3	10.2	10.9	1.1	718.8	718.5	721.1	87	69	90	NW 0–1	N 1	NW 0	8	9	10	.	
14	9.2	13.1	10.5	10.9	1.2	719.6	719.1	721.6	92	63	95	SE 0	NW 0	NW 0	6	6	10	2.4	● 18–21
15	9.1	13.8	10.6	11.2	1.7	721.0	718.3	717.4	95	58	85	NW 0	NW 0–1	NW 0	8	1	10	.	
16	11.3	16.6	17.1	15.0	5.7	715.1	712.9	**711.7**	79	49	36	NW 0	NW 1	S 2	10	7	10	0.1	
17	12.3	13.7	7.9	11.3	2.1	714.0	717.5	717.2	93	58	85	NE 0	N 0	NW 0	10☽	7	8	4.5	☽ I
18	7.2	15.8	10.2	11.1	2.1	718.7	713.1	715.5	90	55	95	SE 0–1	SE 2	NW 1	7	8	10●	16.3	● mtgs., III
19	8.8	10.8	8.4	9.3	0.4	714.6	715.6	720.7	90	74	85	SE 0	SE 0–1	NW 0	10●	10	10●	8.2	● I, III
20	5.2	11.9	7.8	8.3	−0.4	722.5	718.7	715.2	95	49	84	NE 0	NW 0	NW 0	6	0	10	.	
21	8.9	15.0	6.4	10.1	1.6	714.3	712.5	714.7	77	34	84	NW 0	SE 1–2	E 0	10	7	0	.	
22	7.0	10.8	8.2	8.7	0.3	716.8	716.5	718.3	86	66	94	S 0	NW 1–2	NW 0	10	10	10●	4.0	● III
23	7.8	7.9	7.9	7.9	−0.3	718.4	717.8	717.9	96	95	95	NW 0	NW 0	NW 0	10●	10	10	2.2	● I, abds. zeitw.
24	5.2	10.0	8.1	7.8	−0.3	713.5	713.1	716.4	95	62	93	NE 0	NE 0	NW 0	8	8	10	0.2	
25	7.4	9.5	5.6	7.5	−0.4	719.0	719.5	721.0	90	75	94	NE 0	NW 0	NW 0	10	10	7	.	
26	5.3	10.2	7.8	7.8	0.0	719.3	717.9	718.1	95	95	94	NW 0	NW 0	E 0	10	10	10	0.1	
27	7.7	8.9	7.4	8.0	0.4	715.8	714.1	714.1	96	99	95	NE 0	NE 0	NE 0	10☽	10	10	6.3	☽ I, abds.
28	6.5	7.0	1.2	4.9	−2.6	714.4	717.1	717.5	65	54	87	NW 2–3	NW 0–1	W 0	10●	10	0	0.6	● I
29	**0.1**	6.3	3.8	3.4	−3.9	715.1	713.6	713.5	86	46	90	W 0	W 0	NW 0	6	7	10	.	
30	4.8	7.0	4.8	5.5	−1.7	713.0	714.4	718.4	91	60	92	NW 0	NW 0–1	SE 0	10	9	10	1.7	
31	4.2	9.7	2.1	5.3	−1.7	720.5	722.3	723.1	96	59	90	E 0	NW 0	NW 0	10	3	0	.	☽ fr.
																		Summe	
Mittel	7.3	11.5	8.3	9.0	—	718.5	717.6	718.6	89	61	87				8.3	7.4	8.1	105.2	

Oktober 1944.
Beobachter: *Observatorium.*

Genf

$\lambda = 6° 9'$, $\beta = 46° 12'$,
$H_b = 405.0$ m, $G = -0.03$ mm.

1	5.5	15.0	9.5	10.0	−2.3	728.5	726.3	727.2	92	80	90	E 0	SE 1	NNE 1	0	10	10	4.5	● 14–n m.U.
2	6.8	11.0	7.4	8.4	−3.7	728.0	728.8	729.0	72	50	66	E 1	NNE 1	NE 1	1	9	0	.	
3	7.0	12.2	5.8	8.3	−3.6	**731.3**	729.8	729.1	74	45	85	ENE 1	NNE 1	SE 1	1	0	0	.	
4	4.3	12.5	9.5	8.8	−3.0	726.4	725.1	725.2	87	63	76	E 1	S 1	NE 1	9	9	9	1.0	● n (4./5.) zeitw.
5	8.1	9.7	8.3	8.7	−2.9	723.1	722.8	725.2	86	79	89	NE 1	NE 1	E 0	10	10	10	0.8	●°sch. a, p
6	8.8	10.6	9.6	9.7	−1.7	724.2	722.3	720.9	84	80	96	NE 1	NNE 1	S 0	10	10	10	3.5	● 18¾–n m.U.
7	8.0	13.0	8.1	9.7	−1.5	725.8	724.9	725.5	86	77	89	E 1	NNE 1	NE 1	10	10	2	6.4	● seit 15¾ zeitw.
8	4.4	13.4	10.9	9.6	−1.4	725.4	723.6	721.9	97	71	93	ENE 0	NNE 1	SE 0	4	3	8	0.5	
9	10.8	11.2	10.4	10.8	0.0	719.7	719.7	720.4	95	90	90	SE 0	NE 0	SSE 1	10	10●	5	1.9	● n–n zeitw.
10	9.5	11.2	8.2	9.6	−1.1	722.2	723.8	726.5	79	90	92	S 1	SW 1	S 1	9	10	10●	2.2	● abds.
11	8.9	**15.4**	9.4	11.2	0.7	728.1	726.7	727.1	86	62	86	N 1	NNE 1	ENE 0	7	2	1	.	
12	7.1	12.6	10.2	10.0	−0.3	726.1	724.5	724.3	95	79	80	SE 1	E 0	E 0	3	10●	10	12.7	● seit 13½ zeitw.
13	10.0	12.2	9.2	10.5	0.4	723.9	724.5	726.0	95	86	88	ESE 0	ESE 1	ESE 0	10●	10●	10	1.3	● n–p m.U., n
14	5.0	13.0	10.3	9.4	−0.5	725.6	724.9	726.3	97	70	90	E 0	SE 1	NE 1	10≡	5	10	1.3	● abds., ≡ I
15	8.6	13.8	12.0	11.5	1.7	725.0	723.5	722.5	97	78	86	NE 0	ENE 0	NE 0	10≡	6	9	6.6	● n (15./16), ≡ I
16	11.7	**15.4**	14.4	13.8	4.2	720.5	718.9	718.2	96	89	86	ENE 0	E 0	SW 1	10●	10	10●	14.7	● I, III
17	11.8	14.8	9.9	12.2	2.8	721.3	723.9	725.6	90	49	79	NW 1	SSE 1	NE 1	9	1	0	.	
18	14.0	14.4	12.9	13.8	4.6	724.0	721.9	722.4	46	78	55	S 1	SW 1	NW 1	10	10●	10	9.0	● a, p zeitw., ☿ 16½
19	11.0	9.7	7.9	9.5	0.5	722.3	724.2	727.8	63	86	76	S 1	ESE 0	E 0	9	10●	10●	10.5	● n–n m.U.
20	4.0	11.5	9.4	8.3	−0.6	727.6	724.0	721.2	100	63	95	E 0	NE 1	S 1	10≡	3	10●	3.7	● 21¾–n, ≡ I
21	9.6	11.1	9.6	10.1	1.4	718.5	718.1	718.7	79	86	95	W 1	NE 1	ENE 0	8	10●	7	0.7	●° a, p zeitw.
22	8.6	11.3	8.2	9.4	0.9	721.1	721.7	722.9	92	73	97	ENE 0	NE 1	SE 0	10	10	0	2.2	● seit 14
23	8.0	11.3	9.5	9.6	1.3	723.3	723.0	722.8	93	86	80	E 0	ENE 0	ESE 0	9	8	10	2.0	
24	7.6	4.6	3.3	5.2	−3.0	**717.7**	720.2	722.8	94	90	97	WSW 0	ESE 0	E 0	10●	10●	10●	21.8	● n–n
25	3.4	7.0	8.0	6.1	−1.9	723.7	723.7	724.3	97	86	86	ESE 0	ESE 0	E 0	10	10	10	.	
26	5.6	11.4	10.5	9.1	1.3	722.8	721.5	722.3	94	69	73	E 0	NNE 2	NE 1	10	8	10	.	
27	8.1	11.4	8.5	9.3	1.6	721.0	719.5	719.5	90	72	83	E 0	NE 1	ENE 1	8	10	10	.	●°sch. 22
28	6.0	8.6	3.2	5.9	−1.6	722.5	722.3	721.7	56	55	87	NE 0	NNE 0	ESE 1	3	9	1	.	
29	**1.1**	7.0	5.6	4.6	−2.7	719.8	718.4	718.6	90	91	78	ESE 0	NE 1	ENE 0	10	9	10	.	⌴ I
30	4.4	9.3	6.4	6.7	−0.5	718.0	719.5	722.8	90	70	85	ESE 0	S 1	E 0	9	7	7	.	●°sch. 10½, ●fr. 15½
31	4.0	11.2	5.3	6.8	−0.2	726.1	726.3	727.0	93	**39**	84	ESE 0	W 1	ESE 0	6	3	5	.	
																		Summe	
Mittel	7.5	11.5	8.7	9.2	—	723.7	723.2	723.7	87	74	85				7.9	7.8	7.2	107.3	

$\lambda = 8°\ 33'$, $\beta = 47°\ 23'$,
$H_b = 493.2$ m, $G = 0.03$ mm.

Zürich

Oktober 1944.
Beobachter: *Meteorol. Zentralanstalt.*

Tag	Lufttemperatur 7³⁰	13³⁰	21³⁰	Mittel	Abweich. vom Normalst	Luftdruck 7³⁰	13³⁰	21³⁰	Relative Feuchtigkeit 7³⁰	13³⁰	21³⁰	Windrichtung und Stärke 7³⁰	13³⁰	21³⁰	Bewölkung 7³⁰	13³⁰	21³⁰	Niederschlag	Witterung
1	6.3	14.6	9.1	10.0	−1.3	720.2	717.2	717.8	95	60	93	S 1	WNW 2	W 2	10	9	10	5.3	● 16½–21¾, ≡ 8–9
2	7.1	6.8	6.1	6.7	−4.4	719.2	720.4	723.0	90	68	83	WNW 1	WNW 3	WNW 1	9	10	10	0.0	● 2½–3¼
3	4.2	11.5	5.1	6.9	−4.0	**724.1**	722.3	720.8	94	44	92	NW 0	ENE 1	SE 1	4	3	0	.	
4	5.0	13.4	7.6	8.7	−2.0	718.5	717.1	718.0	90	44	86	ESE 0	WNW 1	NW 1	9	3	10	.	
5	7.0	8.9	8.2	8.0	−2.5	715.9	715.5	716.8	86	75	85	NNE 1	NNE 2	NW 0	10	10	10	.	
6	7.8	10.9	9.6	9.4	−1.0	718.3	715.2	712.0	90	77	94	NE 1	NE 1	WNW 1	10	9	5	.	●° 22¾–23
7	8.1	**17.3**	9.9	11.8	1.6	717.8	717.8	715.9	95	60	90	N 1	NNW 1	NW 1	3	9	0	0.1	△ l
8	8.0	16.7	11.7	12.1	2.1	717.5	716.0	714.5	95	60	90	NW 0	N 1	ESE 1	9	3	10	0.0	●° 0¾–1½
9	10.8	11.4	9.8	10.7	0.9	712.4	711.4	711.7	90	92	95	NNW 1	NNW 1	NW 0	10	10●	10	9.4	☽° 7–8½, ● 11¾–23¾ m.U.
10	9.6	12.0	9.5	10.4	0.7	713.0	714.2	716.9	90	60	71	S 1	W 2	WNW 1	4	9	9	1.3	●° 1–3, 16¾–17½
11	7.6	12.0	7.3	9.0	−0.5	719.7	719.8	719.4	87	66	94	WSW 1	SSE 1	SE 1	10●	9	0	0.4	●° 5¾–9¾
12	6.9	15.8	10.6	11.1	1.8	719.1	716.2	715.9	94	60	90	ESE 1	NW 1	NW 0	2	4	8	.	⊕ a, △ l
13	10.0	11.4	9.8	10.4	1.3	715.9	716.2	717.8	91	73	85	NE 0	WNW 1	W 1	7	10	10	.	△ l
14	7.6	14.9	8.5	10.3	1.4	716.8	716.3	718.4	93	51	96	NNW 1	W 1	SW 0	4	9	1	0.0	●° 17¼–18, △ l
15	8.3	16.4	11.6	12.1	3.3	718.0	715.4	714.3	96	52	86	SE 1	NNW 1	SE 1	9	2	9	.	
16	11.1	14.0	11.4	12.2	3.6	712.4	710.7	**709.4**	90	80	93	ESE 1	NNW 1	NNE 0	10	9	10	9 8	●° 7¾–8¼, 22½–n
17	9.2	15.7	11.1	12.0	3.6	712.2	714.6	716.5	94	46	62	WNW 1	WNW 2	SW 2	10●	4	9	2.6	● n–9¾
18	12.2	14.7	11.4	12.8	4.6	714.1	710.9	711.6	61	68	79	W 1	SW 1	SSW 3	9	9	10	**11.1**	● 9¼–23¾ m.U., ☄ zeitw.
19	9.4	11.2	7.9	9.5	1.4	710.7	712.5	716.9	71	64	87	SSW 3	WSW 4	WSW 2	8	9	9	4.8	●° 6¼–10¾, ● 15¼–21, m.U.,
20	5.8	13 9	8.2	9.3	1.4	719.3	716.3	712.2	95	**41**	88	S 0	SSW 1	NNE 0	4	2	10	0.0	● 3¼–3½ [☄ a, p
21	8.6	13.6	7.8	10.0	2.3	711.5	710.4	711.5	88	61	88	SSE 1	ESE 1	NE 1	9	9	0	.	
22	7.2	9.0	7.6	7.9	0.4	713.6	714.2	715.2	89	74	89	W 0	NNW 1	NE 1	10	10	10	0.7	
23	6.9	9.7	7.6	8.1	0.7	715.1	715.0	714.6	96	77	94	NE 0	S 1	SE 1	10	10	10●	3.4	●° 1½–5½, ☽ 8–9¾,
24	5.5	11.7	8.6	8.1	0.9	711.1	710.4	713.0	96	66	86	SE 0	NNW 1	WSW 1	10	9	10	0.1	●° 3¼ [● 18½–23
25	5.8	9.0	9.9	8.2	1.2	716.2	716.7	717.5	95	76	84	N 1	ENE 1	NNE 1	10	10	10	0.0	≡ a
26	8.8	9.7	8.4	9.0	2.2	716.2	715.1	714.7	81	76	84	E 1	WNW 1	NNW 1	10	10	10	0.5	●° 23¾–n
27	7.8	8.8	7.8	8.1	1.4	713.2	711.4	710.9	94	85	93	WNW 1	SSE 1	WNW 1	10	10	10●	2.7	●° n–1¾, ● 20–22¼, ≡ a
28	4.9	8.3	3.3	5.5	−1.0	712.6	714.2	714.1	80	47	88	W 2	W 1	NE 1	10	9	9	.	●° ☄ 3¾–7¼ [zeitw.
29	**−0.3**	5.2	3.2	2.7	−3.7	712.2	711.3	711.0	96	65	86	E 0	NNE 1	NE 1	10	9	7	.	● 8¾–9, ⌴ l
30	3.7	6.2	2.4	4.1	−2.1	710.1	712.0	715.1	90	73	94	N 1	WNW 1	ESE 1	10	10	8	.	
31	2.9	8.6	3.6	5.0	−1.1	717.7	718.6	719.5	94	61	95	N 0	NNW 1	SE 1	10	5	0	.	
Mittel	7.2	11.7	8.3	9.0	—	715.6	715.0	715.4	90	65	88				8.4	7.8	7.5	Summe 52.2	

$\lambda = 8°\ 30'$, $\beta = 47°\ 8'$,
$H_b = 1787.3$ m, $G = -0.20$ mm.

Rigi-Kulm

Oktober 1944.
Beobachter: *J. Wiget.*

1	2.2	3.2	0.0	1.8	−3.6	615.0	613.6	613.1	40	79	100	SW 0	W 2	NNW 1	4	7	10	**21.0**	
2	−0.9	−2.6	−3.8	−2.4	−7.6	612.8	613.6	615.6	100	100	100	SE 0	SSW 0	ESE 0	10	10	10	9.0	✳
3	−3.7	−0.5	−3.3	−2.5	−7.6	**616.4**	616.0	614.9	100	100	100	NE 2	WSW 1	W 2	3	5	1	.	✳
4	−0.8	1.7	−0.8	0.0	−4.9	612.9	612.7	613.2	90	85	87	WSW 1	SW 0	SW 0	5	3	10	0.2	
5	−0.4	4.9	1.8	2.1	−2.7	610.6	610.6	611.1	100	74	100	SE 1	SE 2	SE 2	10	10	10	.	≡ zeitw.
6	6.2	**9.5**	7.5	7.7	3.1	613.5	612.5	612.1	62	47	52	SE 3	S 4	S 5	9	7	8	2.6	
7	5.0	8.2	6.2	6.5	2.1	614.0	614.3	613.9	37	42	48	S 1	S 3	S 3	5	7	5	2.6	
8	4.2	5.8	5.4	5.1	0.8	613.4	611.7	609.9	60	62	82	SE 2	SE 2	SE 2	8	4	8	.	
9	3.5	6.0	4.4	4.5	0.4	609.2	608.9	609.0	100	95	100	SE 3	W 1	W 1	8	10≡	10≡	11.6	●° zeitw., ≡ II, III
10	1.8	1.4	0.2	1.1	−2.8	609.1	610.2	611.5	100	100	100	SW 0	W 1	SW 1	5	10≡	10≡	11.5	≡ II, III
11	−0.8	1.4	−0.4	0.1	−3.7	613.8	614.5	614.8	100	100	86	W 3	W 2	SW 0	10*≡	10	3	1.0	✳ ≡ n–11½ zeitw. [✳]
12	4.0	7.8	3.6	5.1	1.5	614.9	613.3	613.2	78	45	100	SW 0	S 3	W 0	4	5	6	.	
13	2.2	3.2	2.2	2.5	−0.9	612.2	612.1	612.7	100	100	100	NE 1	NE 0	NE 0	10≡	10≡	10≡	0.5	≡ n–n
14	1.8	4.2	3.5	3.2	−0.1	612.5	613.9	613.2	100	55	100	W 1	W 2	W 1	5	8	5	0.4	
15	1.4	6.2	6.0	4.5	1.4	612.5	612.9	612.1	100	68	49	S 1	SW 1	W 2	3	7	10	.	
16	5.8	9.0	4.1	6.3	3.3	610.4	609.8	608.3	56	46	70	S 2	W 0	W 1	10	8	10	5.7	
17	3.8	3.1	2.0	3.0	0.2	608.3	611.4	613.3	100	100	100	W 1	W 1	W 2	10≡	10≡	7	0.4	≡ I, II
18	6.1	7.6	2.6	5.4	2.7	611.6	609.5	608.9	56	60	95	W 3	W 3	W 4	8	7	10●≡	4.2	● n–n, ≡ III
19	−0.6	−0.3	−2.2	−1.0	−3.6	607.2	608.4	610.7	100	98	100	W 3	W 4	W 4	10*≡	10	10*≡	7.0	✳ ≡ I, III
20	−2.0	0.0	5.4	1.1	−1.3	613.5	612.0	608.8	100	95	**19**	W 2	S 1	SW 2	5	2	4	.	
21	2.3	4.0	2.0	2.8	0.5	608.3	607.3	608.7	59	63	72	S 3	S 3	S 2	10	5	8	.	
22	0.5	0.5	−1.2	−0.1	−2.3	609.0	609.6	610.3	92	100	100	SE 1	W 1	W 1	7	10≡	10≡	2.2	≡ 11–n
23	−1.0	−0.3	−0.7	−0.7	−2.8	610.5	610.4	608.3	100	100	100	W 1	W 1	W 2	10*≡	10≡	10≡	0.4	✳ n–(6¼, ≡ n–n
24	−1.4	2.0	0.6	0.4	−1.5	606.8	606.4	608.0	100	78	100	W 2	SE 3	E 1	10≡	6	10≡	.	≡ n–9½, 17¼–n
25	2.2	4.6	0.0	2.3	0.5	610.2	611.6	612.5	66	45	100	E 3	SE 1	SE 2	9	3	10≡	.	≡ 17½–n
26	1.0	0.2	0.0	0.4	−1.3	611.3	610.7	610.7	72	100	100	E 2	SE 1	SE 1	0	10≡	10≡	3.9	≡ 12–n, ● ✳ n
27	−0.4	−0.8	−1.5	−0.9	−2.5	608.9	607.9	607.3	100	100	100	W 0	E 0	W 1	10≡	10≡	10*≡	18.8	✳ III, ≡ n–n
28	−4.7	−4.0	**−6.0**	−5.1	−6.6	606.6	608.2	608.3	100	100	100	W 2	W 1	W 1	10*	7	3	3.3	✳ n–8¼, ≡ I [✳]
29	−4.8	−2.5	−0.8	−2.7	−4.0	606.2	606.4	606.5	100	82	70	SE 1	SE 2	SE 2	9	7	4	.	[✳]
30	−0.8	−0.8	−4.0	−1.9	−3.1	**605.2**	606.4	608.8	70	85	100	SE 3	S 2	E 1	10	5	10	0.5	[✳]
31	−3.2	−1.2	−3.2	−2.5	−3.6	611.5	612.8	613.4	100	83	74	W 1	SW 1	W 1	7	7	0	.	
Mittel	0.9	2.0	1.0	1.5	—	611.0	610.9	611.1	85	80	87				7.5	7.4	7.8	Summe 106.8	

Oktober 1944.
Beobachter: *P. Nogler.*

Bevers

$\lambda = 9° 53'$, $\beta = 46° 33'$,
H_b = ca. 1710 m, G = –0.23 mm.

Tag	Lufttemperatur					Luftdruck			Relative Feuchtigkeit			Windrichtung und Stärke			Bewölkung			Niederschlag	Witterung
	7^{30}	13^{30}	21^{30}	Mittel	Abweich. vom Normalst	7^{30}	13^{30}	21^{30}	7^{30}	13^{30}	21^{30}	7^{30}	13^{30}	21^{30}	7^{30}	13^{30}	21^{30}		
1	–3.2	10.6	5.2	4.2	–1.1	620.4	618.1	616.5	89	48	67	SW 1	SW 2	N 2	0	0	10	0.7	
2	1.4	4.9	–0.2	2.0	–3.2	616.4	618.2	619.6	86	75	75	NE 1–2	N 2	N 1	10*	10*	10	4.4	✳ n–n
3	0.1	4.4	–3.0	0.5	–4.5	621.3	621.2	621.0	78	46	80	N 2	NW 2–3	N 1	10	0	0	.	
4	–6.0	7.2	2.1	1.1	–3.7	619.0	618.8	618.8	80	81	94	SW 0	NW 2	W 1	0	4	10●	2.8	●° $21^1/_2$–n
5	1.8	4.3	1.6	2.6	–2.0	617.4	618.2	619.4	99	68	100	NE 2	NW 2	N 1	10*	6	4	2.1	✳ n–11
6	4.0	10.5	6.9	7.1	2.7	621.4	619.9	620.0	97	84	90	W 2	NW 2	NE 1–2	10	10●	10●	27.0	● 12–n
7	5.0	11.0	4.8	6.9	2.7	622.0	621.8	621.5	90	81	94	S 1	W 2	SW 1	6	10	8	1.1	●sch. p
8	5.0	11.5	4.8	7.1	3.1	619.9	619.5	617.9	85	62	92	S 1	SW 2	SW 1	10	4	8	1.0	
9	4.0	7.8	2.4	4.7	0.8	615.7	615.4	615.3	100	88	100	N 0	NW 1–2	N 1	10●	10●	5	17.2	● n–$20^3/_4$
10	1.2	7.6	2.4	3.7	0.0	615.8	616.3	617.8	100	88	97	S 1	SW 1–2	NW 1	10	10	6	0.2	● 14–$16^3/_4$
11	2.0	7.4	–1.2	2.7	–0.8	619.6	620.2	621.2	95	61	94	N 0	W 2	NW 0	10	6	0	.	
12	–3.0	10.0	4.2	3.7	0.4	622.2	621.5	620.7	97	52	87	S 1	SW 1–2	W 1	0	2	4	.	
13	2.3	10.0	4.4	5.6	2.5	619.4	619.4	619.3	95	58	90	S 1	NE 2	N 1	8	10	6	.	
14	3.6	10.0	3.2	5.6	2.7	618.9	619.3	619.7	97	80	96	W 0	NW 2	W 1	10	5	6	.	
15	4.6	10.0	5.2	6.6	3.9	619.7	619.5	618.9	90	64	88	SW 0	WSW 2	W 1	10	6	10	.	
16	3.0	9.0	6.0	6.0	3.5	617.7	617.7	616.4	90	88	90	WSW 1	W 2	N 1	10	10	10	2.6	●°sch. 10, ● 15–$15^1/_2$
17	5.4	9.0	0.0	4.8	2.5	614.5	617.7	619.2	94	89	98	W 1	SW 2	W 1	10●	10●	0	14.8	● n–$14^1/_2$
18	0.1	10.0	2.6	4.2	2.1	618.7	615.9	614.4	95	88	100	NW 2	SW 2–3	W 1	10	10	10●	8.4	● $18^1/_4$–n
19	–1.2	10.0	1.0	3.3	1.4	612.5	613.6	617.0	90	84	94	SW 1–2	NW 2–3	NE 1–2	6	10*	10*	3.2	✳ ⊹ $12^1/_2$–$13^1/_2$, ✳ 20–n
20	–0.8	6.8	–0.6	1.8	0.1	619.3	618.8	617.4	94	68	90	N 1	NE 2	N 0	5	0	0	0.4	
21	0.6	3.8	1.0	1.8	0.3	615.6	614.9	615.1	100	67	73	S 0–1	NE 1	N 2	10*	10	6	0.8	● n–13
22	0.1	4.0	1.4	1.8	0.5	615.2	615.4	615.2	100	89	100	NE 0	NE 1–2	NW 1	10*	10●	10●	8.2	✳° n–$10^1/_2$, ● $10^1/_2$–n m.U. ⊠
23	1.8	5.2	1.0	2.3	1.2	615.6	615.6	615.8	94	81	80	S 0	NW 2	N 0–1	10	10	10	.	⊠
24	–0.8	6.0	0.0	1.7	0.7	616.0	616.3	616.2	90	62	98	W 0	NW 2	N 1	8	10	0	0.0	✳° mtgs.
25	–1.0	7.0	–0.4	1.9	1.1	618.2	618.8	619.7	94	48	94	S 1	W 2	NW 1	6	3	7	.	
26	–5.2	8.0	–2.0	0.3	–0.3	618.3	616.3	614.4	97	81	92	WNW 1	NW 1–2	NW 0	0	0	10	0.1	
27	1.2	4.2	0.6	2.0	1.6	612.5	611.5	610.9	100	88	97	E 1–2	NW 2	N 0	10●	10	10	2.3	●° n–11
28	0.2	2.2	–3.6	–0.4	–0.6	611.4	611.6	613.8	97	88	71	N 0	NW 2	N 1	10*	10*	10	.	✳°sch. n–15 ⊠
29	–7.2	0.8	–1.2	–2.5	–2.5	614.1	613.4	612.8	86	89	100	N 1	N 1	N 1	10	10*	10*	3.2	✳ $11^1/_2$–n ⊠
30	–1.0	3.0	–0.6	0.5	0.7	611.5	613.5	615.6	100	91	100	E 2	ENE 1	N 0	10*	10	10*	8.0	✳ n–13, 17–n ⊠
31	–1.4	1.2	–7.8	–2.7	–2.4	617.8	619.4	620.8	85	61	84	WNW 1	W 1–2	N 0	10	3	4	.	⊠
																		Summe	
Mittel	0.5	7.0	1.3	2.9	—	617.4	617.3	617.5	93	74	91				8.0	7.1	6.9	108.5	

Oktober 1944.
Beobachter: *Kapuzinerkloster.*

Sitten

$\lambda = 7° 21'$, $\beta = 46° 14'$,
H_b = 548.6 m, G = –0.11 mm.

1	5.0	14.4	8.7	9.4	–3.1	715.9	712.1	713.3	100	57	93	NE 0	W 2	W 2	3	1	10	1.8	● $16^1/_4$–21 m.U.
2	8.3	9.6	6.0	8.0	–4.3	713.5	714.7	717.3	78	61	77	W 0	WSW 2	W 1	7	10	6	0.0	
3	3.1	11.6	5.9	6.9	–5.2	718.8	716.8	716.7	87	48	75	ENE 0	W 1	NE 1	1	1	0	.	⊿ l
4	1.4	12.9	8.6	7.6	–4.3	714.8	711.2	712.2	100	46	83	NE 1	WSW 2	WNW 0	1	2	10	1.2	⊿ l
5	7.1	12.1	8.6	9.3	–2.4	710.4	709.7	712.4	100	64	89	WNW 0	WNW 0	W 0	10●	10	10	0.1	● $1^1/_4$–11 m.U.
6	6.8	18.4	11.1	12.1	0.6	712.2	709.0	709.3	100	42	100	W 1	ENE 5	ENE 1	10	9	10●	15.4	● $14^1/_4$–n m.U., ⊿ l, ⸗ p
7	8.4	17.9	11.9	12.7	1.4	713.3	712.5	712.8	83	30	74	ENE 1	ENE 5	NE 1	2	9	10●	5.3	● 21–n, ⸗ $11^1/_4$–$21^1/_4$ m.U.
8	7.5	15.9	9.7	11.0	–0.1	712.9	710.4	709.7	97	63	97	NE 0	SW 2	WSW 0	8	2	0	.	
9	8.8	11.8	10.1	10.2	–0.7	707.6	707.0	707.9	77	79	100	NE 0	W 0	WSW 1	7	10●	10	3.1	● $13^1/_2$–$14^1/_2$, 21–n, ≡ abds.
10	8.2	12.6	9.3	10.0	–0.7	709.0	709.5	712.5	100	71	82	W 0	WSW 1	WNW 1	9	9	10	2.4	●° 17, ⊿ l
11	7.6	13.4	8.5	9.8	–0.7	715.6	714.4	715.3	100	54	82	NW 0	WNW 1	NE 1	10	4	0	.	● n–$6^1/_2$
12	6.4	15.4	10.7	10.8	0.5	715.2	711.6	712.3	91	44	89	NNE 0	NE 1	WSW 0	8	7	10	.	
13	8.7	14.3	10.0	11.0	0.9	711.3	710.5	713.0	100	70	87	WSW 0	WSW 2	WSW 0	7	8	10	.	⊿ l
14	8.3	15.8	9.8	11.3	1.4	713.0	711.0	713.4	98	58	85	W 0	WSW 2	WSW 0	7	4	2	.	⊿ l
15	8.9	15.4	11.2	11.8	2.1	714.2	711.0	711.0	98	51	87	NE 0	ENE 0	W 0	9	7	10	0.8	⊿ l
16	9.8	13.9	12.2	12.0	2.4	710.0	708.2	706.6	100	64	78	W 0	WSW 0	NNE 0	10●	10	10	8.5	● n–$9^1/_4$
17	10.1	14.4	8.4	11.0	1.6	708.0	710.1	713.0	100	65	88	NNE 1	SW 3	N 1	10●	3	1	3.6	● n–$9^1/_4$
18	6.4	11.6	9.8	9.3	0.1	712.6	709.2	708.5	98	85	100	N 0	NNW 0	SW 1	5	10	10●	21.1	◕ 12–n m.U., ⊼ 18
19	7.2	12.2	6.9	8.8	–0.2	709.2	709.7	714.0	100	46	98	NNE 1	WSW 2	W 2	5	8	6●	2.2	● n–$7^1/_2$, $12^3/_4$–n, zeitw.
20	4.0	12.0	8.8	8.3	–0.5	714.9	712.0	709.4	94	47	73	WSW 1	ENE 1	ENE 0	0	2	10	0.0	● n (20./21.)
21	7.2	14.6	7.4	9.7	1.1	707.8	705.5	707.0	89	46	83	WSW 0	W 0	WSW 0	8	8	0	0.0	
22	4.4	12.0	8.8	8.4	–0.1	709.0	708.1	709.8	98	62	84	W 0	WSW 1	W 0	3	7	2	0.0	●° 16
23	8.1	11.9	8.3	9.4	1.1	710.1	709.7	709.9	89	62	84	W 0	W 2	W 0	10●	8	10	0.0	●° $6^3/_4$–$7^3/_4$
24	6.2	9.0	4.8	6.7	–1.4	707.0	705.1	709.2	100	78	84	N 1	W 2	WNW 2	9	10	10	.	⊿ l
25	4.8	11.3	6.7	7.6	–0.3	711.6	710.2	712.1	97	68	100	WSW 1	WSW 1	W 0	9	3	4	.	
26	3.8	12.1	8.3	8.1	0.4	710.5	707.9	709.2	93	58	80	W 0	W 1	E 0	1	1	10	.	⊿ l
27	7.2	10.4	8.7	8.8	1.2	707.9	705.7	706.0	88	67	68	ENE 1	W 2	W 0	9	10	8	.	
28	5.6	8.9	3.0	5.9	–1.5	707.0	708.1	709.2	81	46	70	WNW 2	W 3	NNE 1	9	2	2	.	
29	1.1	7.4	3.8	4.1	–3.1	707.5	706.2	705.9	89	60	94	NNE 1	NE 0	WNW 0	3	10	9	0.3	⊔ l
30	3.9	7.2	5.8	5.6	–1.4	705.2	707.3	710.6	100	76	90	NW 0	NW 1	WNW 0	10	9	9	.	●° fr.
31	3.6	9.7	4.2	5.8	–1.1	713.6	713.7	715.8	100	44	60	NNW 0	NNW 1	NE 1	8	2	3	.	⊿ l
																		Summe	
Mittel	6.4	12.6	8.3	9.1	—	711.3	709.9	711.1	94	58	85				6.7	6.3	6.8	65.8	

$\lambda = 8°\ 57'$, $\beta = 46°\ 0'$,
$H_b = 276.2$ m, $G = -0.01$ mm

Lugano

Oktober 1944.
Beobachter: *G. Vicari.*

Tag	Lufttemperatur 7³⁰	13³⁰	21³⁰	Mittel	Abweich. vom Normalst	Luftdruck 7³⁰	13³⁰	21³⁰	Relative Feuchtigkeit 7³⁰	13³⁰	21³⁰	Windrichtung und Stärke 7³⁰	13³⁰	21³⁰	Bewölkung 7³⁰	13³⁰	21³⁰	Niederschlag	Witterung
1	7.8	18.6	12.2	12.9	−1.5	737.7	733.8	732.7	85	36	68	N 1	SSE 0	N 1	0	0	10	0.5	●° 20¹/₄–21¹/₄ m.U.
2	14.8	16.4	13.4	14.9	0.7	730.9	731.5	734.9	26	22	24	NNE 2	NNE 3	NNE 3	9	10	5	.	
3	12.6	20.0	7.8	13.5	−0.5	736.5	735.6	736.9	24	18	50	NNE 3	NNE 2	N 1	5	0	0	.	
4	5.2	13.2	9.8	9.4	−4.4	737.2	736.7	737.6	64	63	97	N 1	WSW 0	NE 1	0	10	10●	32.8	●sch. a, p zeitw., ● 17¹/₂–n
5	8.2	7.8	7.8	7.9	−5.7	736.1	735.4	738.0	94	81	96	NNW 1	NNW 2	NE 0	10●	10●	10	33.4	● n–n m.U.
6	9.8	12.4	14.8	12.3	−1.1	738.6	736.9	736.5	94	91	85	N 1	W 0	S 2	10	10	10●	52.9	● 15–n, ⛵ 20
7	11.8	14.6	16.4	14.3	1.1	740.0	**740.9**	738.5	88	82	57	N 1	W 0	WNW 1	10	10	10	27.1	● a, p zeitw.
8	13.2	16.4	13.4	14.3	1.3	737.8	735.9	734.6	93	62	90	W 0	S 0	SW 1	10	7	10●	47.3	⛵ ●² 0-1, ● fr., 18¹/₂-n m.U.
9	10.6	11.0	10.4	10.7	−2.1	731.8	730.9	731.4	93	94	91	WNW 1	NW 1	W 1	10●	10●	10●	44.0	● n–n m.U.
10	9.6	10.4	9.4	9.8	−2.8	733.3	734.8	735.8	92	92	92	W 1	SW 0	N 1	10●	10●	10	17.6	● n–15 m.U.
11	7.0	15.6	10.2	10.9	−1.5	737.0	736.8	738.1	93	52	83	NNW 1	SSW 1	NW 1	3	0	0	.	
12	7.2	16.8	11.2	11.7	−0.6	739.4	738.8	738.2	89	53	83	NW 1	S 1	N 1	6	6	2	1.2	
13	10.8	12.2	11.0	11.3	−0.8	736.8	736.6	736.8	93	91	94	W 1	W 1	N 1	10●	10●	10	10.9	●° n–n m.U.
14	10.8	14.8	11.2	12.3	0.4	736.5	735.6	735.7	94	68	92	NE 1	SW 0	N 1	10●	9	5	0.1	●° n–8
15	7.4	16.4	12.6	12.1	0.4	736.6	735.8	736.1	93	54	90	NNW 1	E 1	N 1	4	3	6	.	
16	11.2	12.4	11.8	11.8	0.3	734.7	734.0	733.8	93	93	94	NNW 1	S 0	N 1	10●	10	10	21.4	● 7¹/₂–18¹/₂ m.U.
17	12.0	14.2	12.0	12.7	1.4	730.9	732.2	734.8	94	79	92	NNE 1	S 1	N 1	10●	8	3	3.8	● 0¹/₂–9¹/₂
18	9.4	14.4	12.8	12.2	1.1	736.4	734.7	730.6	85	64	94	NNW 1	SSE 1	NW 0	10	10	10●	13.9	● 20–n m.U.
19	6.6	18.4	12.6	12.5	1.6	728.0	728.3	732.5	86	27	29	NNW 1	NNE 1	NNE 2	1	0	0	.	
20	12.0	17.4	9.2	12.9	2.2	735.1	734.2	734.7	33	28	65	NNW 2	SE 1	N 1	0	0	0	5.4	
21	8.2	9.4	8.2	8.6	−2.0	733.8	733.1	732.6	94	84	94	W 1	W 1	NNE 1	10●	10	10●	4.0	●° n–a m.U., ●° abds.-n
22	6.2	11.6	10.2	9.3	−1.1	732.3	732.1	732.2	88	63	90	N 1	S 0	NE 0	8	10	10	0.9	●° abds., n
23	9.2	13.0	8.2	10.1	−0.1	732.7	732.1	732.1	93	55	84	NNE 0	SE 0	N 1	10	7	0	.	
24	8.0	11.0	9.8	9.6	−0.4	730.8	731.3	733.3	89	82	97	WNW 1	NW 0	SE 1	10	10	10●	10.7	● a, abds., n zeitw.
25	9.2	14.2	9.4	10.9	1.1	735.7	735.8	737.0	94	55	83	N 1	SSW 1	S 1	10	7	10	.	
26	7.6	15.2	11.2	11.3	1.7	734.7	731.6	731.1	88	47	70	N 1	S 1	N 1	5	2	10	.	
27	9.6	15.4	12.4	12.5	3.1	727.8	**724.2**	724.7	88	49	73	NNW 1	N 1	W 1	10	2	5	.	
28	10.2	15.6	7.2	11.0	1.8	726.5	727.7	730.7	76	38	58	S 1	WNW 1	ESE 1	9	8	0	.	
29	6.4	7.2	6.4	6.7	−2.3	731.0	731.7	731.0	64	83	96	W 1	W 0	NW 0	10	10●	10●	20.0	● 12¹/₂–n m.U.
30	6.4	8.0	6.2	6.9	−1.9	729.9	733.4	735.4	98	82	93	N 0	W 0	NW 1	10●	10	10●	28.9	● n–n m.U.
31	5.4	10.4	5.4	7.1	−1.5	738.0	739.0	740.8	94	56	87	N 1	ESE 1	N 1	10	4	2	.	
																		Summe	
Mittel	9.2	13.7	10.5	11.1	—	734.3	733.9	734.5	83	63	80				7.7	6.9	6.7	376.8	

$\lambda = 7°\ 35'$, $\beta = 47°\ 33'$,
$H_b = 318$ m, $G = 0.11$ mm.

Basel

Oktober 1944.
Beobachter: *Astronom.-Meteorol. Anstalt.*

1	7.0	14.9	9.0	10.3	−1.3	735.2	732.6	734.1	94	74	93	E 1	ENE 1	WSW 1	10	10	10	6.5	● 14¹/₄–20 m.U.
2	6.8	9.3	5.6	7.2	−4.2	735.3	736.7	739.2	93	74	93	WSW 1	WNW 1	S 1	9	8	9	.	● 0¹/₂–5¹/₂
3	2.8	14.6	4.3	7.2	−4.0	**739.7**	738.0	736.6	96	52	93	SSE 0	SSE 1	SSW 0	10≡	1	0	.	≡ 6–8¹/₂
4	3.9	8.4	7.5	6.6	−4.4	733.9	733.6	734.1	92	87	96	ESE 1	WNW 1	WNW 0	10	10●	10●	3.4	● 13¹/₂–14³/₄, 21–23³/₄, m.U.,
5	6.4	8.0	7.9	7.4	−3.4	732.1	731.6	732.8	98	90	92	NW 1	WNW 1	SSW 0	10●	10	10	0.2	● 1–10¹/₂ m.U., ≡ 6¹/₂–9¹/₂
6	6.6	9.8	7.6	8.0	−2.6	734.2	731.2	728.1	94	88	98	NW 0	NNE 1	WSW 1	10≡	10	0	0.1	≡ 7³/₄–10
7	8.6	13.2	7.9	9.9	−0.5	733.4	734.2	732.1	98	83	98	ESE 1	NNW 0	S 1	10≡	10	0	.	≡ 4¹/₂–10¹/₂
8	6.2	15.4	8.7	10.1	−0.1	733.2	732.1	730.3	99	62	91	ENE 0	W 1	SSW 1	10≡	2	3	.	≡ 6¹/₂–10¹/₂
9	8.1	9.1	8.7	8.6	−1.4	728.4	727.9	727.5	99	99	98	WNW 1	WSW 1	WSW 0	10≡●	10≡●	10	12.7	● 12¹/₂–24¹/₂ m.U., ≡ 6¹/₂–
10	7.7	13.2	7.9	9.6	−0.2	728.3	729.5	732.4	98	69	88	S 0	SSE 1	WSW 0	3	10	10●	3.8	≡ 7³/₄–8¹/₄, ●° III	10
11	7.9	12.2	7.9	9.3	−0.2	734.7	734.6	734.1	93	78	90	SSW 1	ESE 1	E 1	10●	9	0	0.1	● 3¹/₄–7³/₄
12	8.2	17.6	11.1	12.3	3.0	733.7	731.2	731.2	88	59	87	E 1	ENE 1	ESE 0	1	9	10●	0.9	●° III, ● 22¹/₂, ⊕ 12–15
13	10.3	12.6	10.0	11.0	1.9	731.0	732.1	733.1	92	80	88	WSW 1	W 1	SSE 1	10	10	10	0.6	● 5¹/₄–11¹/₄ m.U.,
14	6.1	13.8	8.5	9.5	0.6	732.0	732.0	733.4	97	63	93	SE 1	NNW 0	E 1	5	10	0	.	● 22¹/₂–23, ≡ 5¹/₂–7¹/₄
15	6.8	18.0	12.1	12.3	3.6	733.1	730.5	728.8	96	57	76	ESE 1	ENE 1	ESE 1	6●	6	9	0.2	≡ 7¹/₄–9¹/₂
16	11.2	14.3	14.7	13.4	4.9	726.8	725.3	**724.4**	88	83	78	ENE 1	E 1	WNW 3	10	10	10	26.4	● 8, 11¹/₄, 15¹/₂, 22–n
17	8.8	15.1	10.0	11.3	3.0	727.4	730.4	731.8	95	51	74	SSE 1	WSW 1	SSE 1	9●	3	10	.	● n–7¹/₂
18	11.3	19.8	12.9	14.7	6.6	728.7	724.6	726.7	85	57	65	E 1	SW 1	SW 2	10	10	5	5.4	● 6³/₄–16¹/₂ zeitw.
19	10.5	10.6	8.2	9.8	1.9	725.8	728.0	732.4	70	83	88	SW 2	S 2	WSW 2	10	9	7	3.5	● 3¹/₄–3³/₄, 12, ⛵ a zeitw.
20	6.2	13.4	9.9	9.8	2.1	734.0	731.4	727.0	93	67	73	SSE 1	E 1	E 1	2	8	9	2.1	● 13¹/₄, 17³/₄–20³/₄ m.U.
21	8.0	14.6	6.6	9.7	2.2	726.1	725.7	727.1	92	57	98	ENE 1	E 1	WSW 1	8	9	0	.	● 0–2¹/₄ m.U.
22	6.1	10.7	8.4	8.4	1.0	729.4	729.9	731.0	97	83	92	ENE 0	WNW 1	WNW 0	10≡	10	10	.	≡ 6¹/₄–8¹/₂
23	8.0	11.0	7.5	8.8	1.6	730.8	730.5	730.1	96	79	94	WNW 0	WNW 1	SSW 1	10	10	9	1.1	● 15¹/₂
24	7.0	10.7	6.2	8.0	1.0	729.2	729.5	729.9	94	76	84	E 1	WNW 1	WNW 1	10	10	10	.	◑ 5¹/₂–7
25	5.0	8.4	8.2	7.2	0.4	732.2	732.8	733.3	90	86	93	WSW 1	WNW 1	SSE 0	10	10	5	.	
26	7.5	11.2	9.0	9.2	2.5	732.4	731.0	730.8	98	78	89	WSW 1	WNW 0	WSW 1	10	10	10	.	
27	8.4	9.0	8.3	8.6	2.1	729.1	727.6	726.7	93	92	87	WNW 1	WNW 1	SW 0	10	10	10	1.7	◑ 9³/₄, ● 10–10³/₄
28	5.0	7.2	4.3	5.5	−0.8	729.4	730.1	729.8	74	72	92	W 2	W 1	ENE 1	9	10	5	.	⛵ 4¹/₄–6¹/₄
29	−1.6	6.9	3.9	3.1	−3.1	728.2	727.9	726.9	100	73	77	SSW 0	NNW 1	ESE 1	9	10	2	.	⌊
30	2.4	5.5	2.3	3.4	−2.6	726.5	727.8	730.9	96	85	98	WNW 1	SSW 0	ESE 0	10	10	10	.	
31	1.0	10.8	2.1	4.6	−1.3	733.7	734.4	735.0	98	60	96	ESE 0	ESE 0	SSE 1	10●	2	2	.	≡ 5¹/₂–10³/₄
																		Summe	
Mittel	6.7	11.9	8.0	8.9	—	730.2	730.7	731.0	93	74	89				8.7	8.6	6.6	68.7	

Oktober 1944.
Beobachter: *Observatorium.*

Säntis

$\lambda = 9° 20'$, $\beta = 47° 15'$,
$H_b = 2500.1$ m, $G = -0.27$ mm.

Tag	Lufttemperatur					Luftdruck			Relative Feuchtigkeit			Windrichtung und Stärke			Bewölkung			Niederschlag	Witterung
	7^{30}	13^{30}	21^{30}	Mittel	Abweich. vom Normalst	7^{30}	13^{30}	21^{30}	7^{30}	13^{30}	21^{30}	7^{30}	13^{30}	21^{30}	7^{30}	13^{30}	21^{30}		
1	0.0	−0.6	−4.2	−1.6	−2.7	562.8	560.8	559.3	83	63	100	W 2	WSW 3	W 3	4	3	10≡*	34.4	✳ $17^3/_4$-n, ≡ $14^1/_2$-n, ☂ p
2	−6.4	−7.2	−7.2	−6.9	−7.9	559.0	560.0	561.9	100	100	97	NW 3	N 3	N 2	10≡*	10≡*	10≡*	46.0	✳ ≡ n-n
3	−8.8	−5.4	−7.4	−7.2	−8.1	562.7	562.5	561.9	100	96	29	NNE 2	NE 1	W 3	10≡	10≡	0	.	≡ n-16 m.U., ⋁ l
4	−5.4	−2.0	−4.1	−3.8	−4.6	559.9	560.0	559.9	68	57	95	W 3	SW 2	S 3	1	1	10	.	
5	−2.4	−1.3	0.6	−1.0	−1.6	558.7	559.0	561.1	90	93	75	NE 2	ESE 3	ESE 2	10	10	8	.	✳° $7^1/_4$
6	2.6	3.8	4.2	3.5	3.0	563.3	562.0	560.5	58	56	58	SE 3	SE 5	SE 4	10	9	4	.	☂ a-n
7	1.7	2.8	2.2	2.2	1.8	563.0	563.8	562.5	32	54	52	SW 4	SW 3	SW 5	4	8	1	0.2	☂ a, p-n, ✳ n
8	0.2	3.2	1.6	1.7	1.5	562.2	561.9	560.3	89	86	61	SSW 2	S 2	SE 2	9	4	10	.	
9	2.2	2.4	−1.2	1.1	1.0	558.1	557.2	556.9	60	78	100	SE 2	NE 2	WSW 2	9	10	10	5.7	● 11-12, ✳ ≡ $16^1/_4$-19
10	−1.7	1.0	−3.9	−1.5	−1.5	557.4	558.3	559.5	94	90	100	SW 2	SW 1	W 3	7	10≡	10≡*	9.8	✳ 16-n, ≡ 11-n
11	−4.9	−3.0	−3.5	−3.8	−3.6	560.6	561.9	562.6	100	95	87	W 3	W 3	W 4	10≡*	10≡	1	2.7	✳ 7-11, ≡ n-$15^1/_4$, ☂ III,
12	−1.8	0.9	0.4	−0.2	0.1	563.1	562.0	561.2	85	39	52	W 2	SSW 3	SSW 3	7	9	8	.	⊕ II [⋁ ($10^1/_2$)
13	−0.5	0.8	−1.0	−0.2	0.3	560.6	560.3	561.2	72	86	100	S 2	SSW 2	SW 2	2	10	10≡	.	≡ $19^1/_4$-n
14	−0.8	−0.1	−2.9	−1.3	−0.7	560.5	560.9	561.5	92	45	100	W 2	W 2	WNW 4	7	5	10≡*	0.5	✳ $20^1/_2$-n, ≡ 8-9, $15^3/_4$-
15	−2.8	1.0	0.4	−0.5	0.3	561.2	560.7	560.5	87	88	53	WSW 2	SW 2	WSW 2	3	3	10	.	[n, ☂ III
16	1.2	4.2	1.9	2.4	3.3	558.8	558.2	557.2	57	58	64	WSW 2	SW 2	SW 3	10	8	10	0.3	
17	0.0	−1.8	−1.8	−1.2	−0.1	556.6	558.2	560.1	100	100	41	W 2	W 4	W 4	10≡*	10≡	4	12.1	✳ 6-11, ≡ n-$15^1/_2$, ⋁ ($10^1/_2$)
18	0.0	1.6	−1.8	−0.1	1.1	559.4	557.9	555.7	93	91	100	W 5	W 4	W 5	6	10	10≡*	35.3	✳≡ ☂ n-n ztw., ● 18-$18^3/_4$
19	−4.4	−4.8	−5.4	−4.9	−3.6	552.7	554.7	558.3	100	100	100	W 6	W 5	W 3	10≡*	10≡*	10≡*	71.2	✳ ☩ ≡ ☂ n-n, ⋁ l
20	−6.4	−5.0	−1.4	−4.3	−2.8	560.4	559.4	558.0	93	70	48	W 2	WSW 3	W 3	10≡	1	10	.	✳ n-7, ≡ n-$8^1/_2$, ☩ 17-n
21	−4.6	−2.4	−4.0	−3.7	−2.1	556.0	555.9	556.5	91	84	78	S 3	SSW 2	S 1	10	10	1	0.3	✳° $8^1/_2$-11
22	−3.8	−1.0	−4.8	−3.2	−1.5	556.8	557.1	557.5	94	54	98	N 2	SE 0	N 2	7	9	10≡*	7.6	≡ ✳ $19^1/_2$-n
23	−5.0	−3.2	−4.2	−4.1	−2.2	557.1	557.5	557.3	100	98	100	W 2	W 2	WSW 2	10≡*	10≡	10≡	0.2	✳ n-$8^1/_2$, $14^1/_2$-16, ≡ n-n
24	−5.5	−2.8	−2.8	−3.7	−1.7	554.5	555.0	557.1	86	76	88	SSW 3	S 3	ESE 3	8	10	5	.	
25	−1.8	−0.3	−1.5	−1.2	0.9	559.3	560.3	560.9	75	65	79	SE 3	ENE 2	SE 2	10	3	1	.	
26	−1.3	−0.4	−4.9	−2.2	0.1	559.6	558.8	557.2	48	46	98	ESE 2	E 2	NNE 2	1	1	6≡	0.8	≡ $21^3/_4$-n
27	−4.8	−5.0	−5.2	−5.0	−2.6	555.5	554.4	553.5	100	100	100	NNW 3	NW 2	WNW 2	10≡*	10≡	10≡*	33.3	✳ n-9, 17-n, ≡ n-n, ⋁ ($16^1/_2$)
28	−7.4	−10.7	−11.7	−9.9	−7.4	552.7	554.2	554.7	100	100	89	W 4	W 3	SW 1	10≡*	10≡	0	8.9	✳ n-$9^3/_4$, ≡ n-18, ☂ ☩
29	−8.3	−5.4	−5.0	−6.2	−3.5	553.5	554.1	554.0	78	68	85	SSW 3	SE 2	SE 3	10	9	8	.	✳° $16^1/_4$-17 [n-12
30	−5.4	−4.4	−5.7	−5.2	−2.4	552.9	554.5	556.9	74	81	81	ENE 2	SSW 3	SE 2	4	6	10	0.3	✳ n (30./31.)
31	−7.5	−4.4	−8.3	−6.7	−3.8	558.1	559.4	560.5	100	98	85	W 2	WSW 2	W 2	10≡	10≡	1	0.1	✳ 14-15, ≡ n-$16^3/_4$ m.U.
																		Summe	
Mittel	−3.0	−1.6	−3.0	−2.5	—	558.6	558.7	558.9	84	78	80				7.7	7.7	7.0	269.7	

Oktober 1944.
Beobachter: Frl. *F. Lombardi.*

St. Gotthard (Hospiz)

$\lambda = 8° 34'$, $\beta = 46° 33'$,
$H_b = 2095.7$ m, $G = -0.25$ mm.

1	0.2	5.0	0.8	2.0	−1.0	591.6	589.8	588.4	71	80	100	NE 1	N 1	N 1	0	0	10≡	4.3	● $18-18^3/_4$, ≡ $18^3/_4$-n
2	−3.2	−3.0	−5.0	−3.7	−6.5	587.3	588.5	590.4	100	100	100	NE 2	NE 2	N 3	10≡	8≡	10≡	4.3	≡ n-nm.U.
3	−5.4	−3.0	−3.2	−3.9	−6.5	591.4	592.4	591.6	89	85	64	N 3	N 2	N 1	10≡	0	0	.	≡ n-$9^1/_2$
4	−3.4	0.8	−0.6	−1.1	−3.6	589.8	589.5	589.4	51	78	100	N 0	S 0	S 1	0	10	10*≡	26.5	✳ 17-n, ≡ $18^3/_4$-n
5	−1.8	0.0	0.2	−0.5	−2.8	587.6	588.2	590.7	100	100	100	S 1	S 1	S 0	10*≡	10●*≡	10●*≡	26.4	● ✳ ≡ n-n
6	0.8	2.0	2.4	1.7	−0.4	592.3	592.3	589.2	100	100	100	SE 1	SE 1	SE 3	10	10	10●≡	31.2	● n-n ztw., ≡ $18^1/_2$-n, ⋉ seit 20
7	0.6	1.2	1.8	1.2	−0.8	593.5	593.9	591.5	92	94	75	SE 0	SE 0	SE 3	7	10	10●	31.2	✳ $14-16^1/_4$, ● $17^3/_4$-n, ⋉▲ s.$19^3/_4$
8	0.8	1.8	2.0	1.5	−0.3	592.0	591.0	589.6	100	95	68	S 1	E 0	SE 0	10≡	8	8	21.2	✳ $11^3/_4$-$12^3/_4$, ● seit 15 ztw. ≡ n-10
9	0.0	1.0	−0.4	0.2	−1.4	587.0	585.7	586.2	100	95	100	S 0	NW 0	S 0	10*≡	10*≡	10≡	33.4	✳ n-12, ● ✳ $13^1/_2$-n ztw., ≡ n-n
10	−1.0	0.0	−1.2	−0.7	−2.2	587.7	587.7	588.9	100	100	95	S 0	S 0	S 0	10*≡	10≡	8≡	3.7	✳ n-$12^3/_4$, ● ✳ $13^3/_4$-15
11	−2.0	1.4	0.2	−0.1	−1.4	590.4	591.4	592.3	90	64	58	NE 1	NE 1	NE 0	8	5	0	.	
12	−1.2	3.6	0.2	0.9	−0.2	592.2	592.1	591.5	61	70	100	NW 0	S 1	S 1	0	2	10≡	1.0	≡ $17^3/_4$-n
13	0.2	0.4	0.6	0.4	−0.5	590.0	589.9	590.6	100	100	100	S 0	S 0	S 0	10≡	10●*≡	10●≡	8.9	● ✳ 10-n zeitw., ≡ n-n
14	0.4	3.0	1.0	1.5	0.7	590.2	590.3	590.9	100	80	100	S 0	S 0	S 1	10≡	8≡	10≡	.	≡ n-10, $18^1/_4$-n
15	−1.4	3.6	0.8	1.0	0.4	590.6	590.6	590.1	90	74	100	N 0	S 0	S 1	0	5	10≡	.	≡ 19-n
16	0.6	5.0	1.4	2.3	1.9	588.7	588.2	586.9	100	100	100	S 1	S 0	SE 0	10≡	10≡	10●≡	23.4	⊙ 15-n, ≡ n-n
17	1.0	3.0	0.8	1.6	−0.6	586.3	588.0	589.9	100	81	64	SE 1	NE 1	NE 1	10●≡	5	0	2.0	● n-$10^1/_4$, ≡ n-9
18	2.0	2.0	0.2	1.4	1.4	590.4	589.2	585.5	71	73	100	S 0	SE 1	SE 0	5	8	10*≡	26.4	✳ $18^3/_4$-n, ≡ $17^1/_2$-n
19	−1.0	0.2	−1.0	−0.6	−0.5	584.1	585.3	587.1	90	88	100	W 0	NW 1	NE 1	8≡	8≡	10≡	14.9	✳ 14-n zeitw., ≡ n-n
20	−3.0	−1.4	−1.5	−2.0	−1.7	590.0	589.1	588.4	100	63	72	NE 1	SW 0	S 0	10≡	0	1	1.0	≡ n-9
21	−3.0	−1.2	−2.0	−2.1	−1.6	586.2	585.8	586.0	100	95	97	S 0	S 0	S 0	10*≡	10≡	10≡	2.2	✳° n-$12^3/_4$, ≡ n-n
22	−2.4	1.0	−1.8	−1.1	−0.4	585.8	586.2	586.4	82	80	100	N 1	N 1	N 1	8	10	10≡	5.5	✳ 14-17, ≡ $16^3/_4$-n
23	−5.0	−1.0	−3.8	−3.3	−2.5	586.4	586.9	586.8	100	100	100	N 1	N 1	N 1	10≡	10	10≡	2.2	≡ n-11, 14-n
24	−2.4	−1.8	−2.6	−2.3	−1.3	584.7	584.1	585.6	100	100	100	S 0	E 2	E 2	10*≡	10*≡	10≡	15.5	✳° n-$14^3/_4$, ≡ n-n
25	−1.0	1.4	−1.8	−0.5	0.7	589.2	589.4	590.5	90	81	91	SE 0	S 0	S 0	10	5	3	.	
26	0.6	4.0	−2.4	0.7	2.0	588.8	587.5	585.8	60	60	100	S 0	W 0	N 1	2	0	10≡	0.7	≡ $16^1/_2$-n
27	−2.6	−1.8	−2.6	−2.3	−0.8	584.0	582.6	582.1	100	100	100	N 2	N 2	N 2	10≡	10≡	10≡	9.4	≡ n-n, ☩ zeitw.
28	−4.2	−5.4	−8.2	−5.9	−4.2	582.2	584.2	584.3	100	100	98	N 2	N 2	N 0	10≡	10≡	0	1.1	≡ n-19
29	−6.4	−4.2	−4.6	−5.1	−3.3	583.6	583.8	583.2	89	89	100	E 0	SE 0	SE 1	8	10	10*≡	27.0	✳ $9^1/_4$-11, $15^1/_4$-n, ≡ 16-n
30	−4.0	−3.0	−4.2	−3.7	−1.7	582.0	583.4	586.2	100	100	100	E 0	N 1	N 0	10*≡	10*≡	10≡	17.2	✳ n-15, ≡ n-n
31	−6.4	−3.8	−5.8	−5.3	−3.1	588.4	589.5	591.0	90	90	92	NE 0	E 0	SE 0	8	8	8	4.5	✳° 10-18 zeitw.
																		Summe	
Mittel	−1.7	0.3	−1.3	−0.9	—	588.2	588.3	588.3	91	88	93				7.9	7.4	8.0	345.1	

$\lambda = 7°\ 26'$, $\beta = 46°\ 57'$,
$H_b = 572.2$ m, $G = 0.00$ mm

Bern

November 1944.
Beobachter: *Tellur. Observatorium.*

Tag	Lufttemperatur 7³⁰	13³⁰	21³⁰	Mittel	Abweich. vom Normalwert	Luftdruck 7³⁰	13³⁰	21³⁰	Relative Feuchtigkeit 7³⁰	13³⁰	21³⁰	Windrichtung und Stärke 7³⁰	13³⁰	21³⁰	Bewölkung 7³⁰	13³⁰	21³⁰	Niederschlag	Witterung
1	−0.4	5.5	3.8	3.0	−2.2	711.8	710.4	708.1	96	76	100	W 0	NW 0	NW 0	8	10	10●	4.7	● 18–21¼ m.U., ≡ fr., ⌙ l
2	3.2	5.0	5.9	4.7	−0.3	702.0	700.0	700.8	100	98	98	NE 1	NW 1	W 1	10≡	10	10●	3.8	● 4–23¾ zeitw., ≡ l
3	4.7	5.0	1.4	3.7	−1.2	703.1	705.9	711.0	98	70	95	NE 0	NNE 1	W 0	9	10	1	.	● 1¼, 2¼, 5½
4	−0.5	7.2	2.4	3.0	−1.7	714.1	714.9	716.8	97	55	93	S 0	WSW 1	S 1	9	1	1	.	⌙ l
5	−0.9	7.9	5.5	4.2	−0.4	717.9	717.6	717.9	98	56	89	SW 0	W 1	SE 0	1	3	10	.	⌙ l
6	3.0	11.1	7.8	7.3	2.9	717.1	715.1	715.4	97	48	84	SW 0	WSW 3	W 2	8	9	10	0.8	● 16–16¼, ≡ n-8, ⌓ l
7	7.3	7.3	10.1	8.2	3.9	712.3	709.7	705.9	94	93	85	WSW 3	WSW 3	WSW 4	10●	10●	10●	31.4	● 5½–n m.U.
8	9.6	9.3	11.8	10.2	6.0	704.9	705.3	701.4	87	98	82	WSW 3	WSW 0	WSW 3	10●	10●	10●	23.1	● n–n m.U.
9	6.8	4.0	−0.1	3.6	−0.4	704.0	705.8	707.6	81	68	100	WNW 2	WNW 3	WSW 1	10	10●*	10	2.2	● n–14 m.U., ✳ 13–23¼ m.U.
10	−0.1	−0.1	0.2	0.0	−3.9	711.7	713.8	714.4	86	91	94	W 1	WSW 3	WSW 2	9	9*	10	2.9	✳ 1⁸/₄, 7¾, 11–20½ m.U.
11	0.4	2.5	0.3	1.1	−2.6	713.9	714.4	713.4	100	73	87	W 1	WSW 2	SW 0	10*≡	9	8	0.4	✳ 1–18 ztw., ✳° n, ≡ n-8¼
12	−1.5	2.2	0.5	0.4	−3.2	711.3	710.7	710.0	97	62	72	SW 0	W 1	W 1	9	10	10	1.5	✳ 21⁸/₄, 22, ⊕ ll
13	−1.4	0.0	0.3	−0.4	−3.8	703.8	701.4	702.2	100	96	100	W 1	SE 0	S 0	10*≡	10*	10	10.7	✳ 6½–18 m.U., ≡ n-mtgs.
14	0.6	2.2	2.2	1.7	−1.6	700.0	696.3	**693.7**	100	96	96	SE 0	N 0	SSW 2	10≡	10●	10●	5.8	✳● 0⁸/₄–21½ ztw., ≡ n-10
15	0.5	3.1	0.6	1.4	−1.8	695.7	699.3	702.7	100	74	100	W 2	WSW 2	S 0	10*≡	9	10*≡	6.9	✳7¼–9½, 19¼–23½, ≡ n-8
16	1.2	1.5	−0.8	0.6	−2.4	708.4	711.4	715.2	98	97	100	S 0	W 2	S 0	9	9	10≡	1.6	●✳△ 13¼, ≡ 18¼–n [abds.
17	−3.0	3.1	−0.1	0.0	−2.9	716.6	716.0	716.0	97	64	97	SW 0	S 0	SW 0	9	9	0	.	⌙ l
18	−1.4	3.9	−0.4	0.7	−2.0	715.5	715.1	714.6	98	78	100	S 0	SE 0	SE 1	9	1	10≡	.	≡ 18½–n, ⌙ l
19	−1.4	5.1	1.6	1.8	−0.8	714.3	713.6	713.3	98	66	90	S 1	S 0	S 1	7	9	0	.	⌙ l
20	0.9	12.0	9.4	7.4	5.0	710.6	706.8	707.3	93	55	65	S 1	SW 3	WSW 4	7	9	2	12.9	● 14½–n m.U.
21	3.5	2.9	1.5	2.6	0.3	713.5	716.3	718.2	97	93	98	WSW 3	WSW 2	S 0	10●	9●	3	0.6	● n–19 m.U.
22	0.0	2.2	3.0	1.7	−0.5	716.5	714.2	712.0	97	95	98	S 0	SSW 1	S 1	9	10●	10	11.4	✳● 11⁸/₄–n ztw., ≡ 8-9, ⌙ l
23	6.0	11.8	10.0	9.3	7.3	707.4	706.8	706.9	100	87	98	SE 0	WSW 4	SW 1	10●≡	10●	9	21.7	● n–n m.U., ≡ n-10
24	9.5	11.9	10.1	10.5	8.6	706.1	704.7	702.8	90	64	85	SW 2	WSW 3	W 2	9	10	10	4.1	● n–7½, 18–23¼ m.U.
25	8.4	8.8	5.2	7.5	5.8	699.6	700.3	703.2	94	93	96	W 0	W 2	W 0	10	10●	9	7.4	● 1¼–24⁸/₄ zeitw.
26	3.6	6.2	0.8	3.5	1.9	708.0	709.4	711.8	78	52	97	WSW 2	W 2	SW 0	4	4	1	.	
27	−1.9	3.1	−0.2	0.3	−1.1	712.8	713.5	717.0	100	62	96	SE 0	NE 0	N 0	9≡	4	1	.	≡ n–11 m.U., ⌙ l
28	−0.8	0.0	−2.1	−1.0	−2.3	720.1	718.9	718.6	97	75	95	NE 1	WSW 1	SE 0	9	3	7	0.4	☋ lll, ⌙ l
29	0.1	1.6	2.1	1.3	0.1	716.5	716.8	717.6	90	93	99	S 0	S 0	E 0	10*	10	9	1.0	✳ 7½, ●✳ 9–11⁸/₄, ☽ 17¼
30	2.4	4.9	3.3	3.5	2.5	718.9	719.9	**721.3**	100	93	86	NE 0	NE 1	NE 1	10	9	9	0.0	● 2, ☽° 13¼
Mittel	1.9	5.0	3.2	3.4	—	710.3	710.1	710.6	95	77	92				8.8	8.2	7.3	Summe 155.3	

$\lambda = 6°\ 57'$, $\beta = 47°\ 0'$,
$H_b = 487.3$ m, $G = 0.02$ mm.

Neuchâtel

November 1944.
Beobachter: *Observatorium.*

1	2.1	5.6	4.5	4.1	−2.0	719.5	718.0	715.4	98	88	98	NW 1	E 0	W 0	10	10	10●	8.9	● 11½–12, 18–n, ⌙ fr.
2	4.4	5.6	7.0	5.7	−0.2	709.5	707.7	707.8	98	97	89	NE 0	SW 1	W 1	10●	10●	9	3.6	● n–n m.U.
3	5.7	6.8	2.2	4.9	−0.9	710.5	713.4	718.5	75	62	83	N 1	NW 3	W 0	8	3	1	.	
4	0.7	9.1	4.6	4.8	−0.8	721.6	722.7	724.4	96	61	81	N 0	S 1	NW 0	8	0	0	.	⌙ fr.
5	0.6	6.9	7.7	5.1	−0.4	725.7	725.5	726.5	98	82	76	N 0	SE 1	W 1	10	9	10	0.1	
6	6.8	10.0	8.0	8.3	3.0	724.6	723.2	723.1	83	69	89	W 1	SW 3	W 1	10	9	10	1.2	●° 7¾, 14–n m.U.
7	7.6	7.3	9.2	8.0	2.8	720.1	717.8	713.9	91	95	97	SW 2	SW 4	SW 3	10●	10●	10●	62.2	● n n
8	8.4	9.4	10.7	9.5	4.5	712.7	712.7	709.0	94	97	96	SW 3	SW 3	SW 3	10●	10●	10●	20.6	● n–n m.U.
9	6.9	4.3	2.0	4.4	−0.5	711.4	713.7	715.5	81	79	76	W 1	SW 2	SW 2	10	3	10*	5.1	●tr. a, ✳ 14¼–n zeitw.
10	0.5	1.3	0.8	0.9	−3.8	719.8	722.0	722.7	72	82	96	W 1	SW 2	W 2	10	10	10*	6.0	✳fl., ✳ 16½–n
11	2.6	4.7	1.4	2.9	−1.7	721.6	722.6	721.3	85	72	77	W 2	SW 1	W 1	10●	9	7	1.6	● ✳ n–n
12	−1.0	3.7	1.8	1.5	−2.9	718.9	718.5	717.8	87	68	75	W 1	SW 2	W 2	7	10	10	2.8	✳fl. abds.
13	−0.6	0.7	1.4	0.5	−3.8	711.5	708.5	709.6	98	98	95	SW 3	W 1	W 1	10*	10*	10	12.4	✳ n–14, ● ✳ p–n m.U.
14	2.2	2.6	3.0	2.6	−1.5	707.2	703.6	**700.8**	93	96	93	W 2	SW 3	W 2	10	10●	10●	21.3	● n–n
15	1.3	3.9	1.3	2.2	−1.8	702.4	706.9	710.0	96	71	98	SW 1	SW 3	W 1	10	10	10*	3.8	● n–a m.U., ● ✳ n
16	3.4	6.7	2.2	4.1	−0.8	715.7	718.9	722.8	82	75	80	W 1	NW 2	W 1	10	4	1	.	
17	−1.3	3.5	0.8	1.0	−3.7	724.4	724.0	723.7	96	85	93	NE 0	S 1	SE 0	9	9	0	.	⌙ fr.
18	0.0	7.0	1.2	2.7	−1.9	723.2	722.5	722.1	98	76	98	NE 0	SE 0	E 0	8	1	0	.	⌙ fr.
19	0.9	4.0	3.5	2.8	−1.7	722.2	721.5	721.1	100	95	93	NE 0	SE 0	NE 0	10≡	9	0	.	≡ n–12 m.U.
20	3.0	14.5	10.0	9.2	4.0	718.2	714.2	714.9	98	65	69	SW 0	SW 4	W 4	6	10	10●	30.3	● 13⁸/₄–n m.U., ⛆ 18⁸/₄–19⁸/₄
21	4.2	4.5	1.3	3.3	−0.9	721.5	723.9	726.3	87	89	91	W 3	SW 1	NW 1	10●	4	0	2.1	● n–13 m.U.
22	1.1	3.0	5.9	3.3	−0.8	724.2	722.2	719.6	96	93	94	W 1	SW 2	W 2	10	10●	10	28.2	✳fl. seit 10⁸/₄, ● ✳ p–n
23	9.4	11.5	10.4	10.4	5.5	715.1	714.4	714.1	98	95	97	SW 3	SW 3	SW 1	10●	10●	10●	27.8	● n–n
24	9.4	9.6	9.3	9.4	4.6	713.4	712.0	710.6	96	96	95	W 2	SW 3	SW 3	10	10	10●	25.1	● n–n m.U.
25	9.1	9.5	7.2	8.6	3.9	706.9	707.3	710.6	97	77	71	SW 3	W 2	W 3	10●	10	10	6.1	● n–15½ m.U.
26	5.2	7.1	1.5	4.6	0.1	715.5	717.1	719.3	69	56	82	W 2	W 2	N 0	7	7	0	.	
27	−1.3	4.2	0.8	1.2	−3.2	720.4	721.5	724.7	96	81	81	N 0	SE 1	NE 0	6	2	0	.	⌙ fr.
28	0.1	1.2	−1.8	−0.2	−4.5	727.8	727.9	726.5	89	80	94	NE 1	NE 1	NE 0	10	10	3	0.2	⌙ fr., △ vh. n (28–29.)
29	0.5	3.1	1.3	1.6	−2.5	724.3	724.4	725.5	96	88	95	E 0	E 1	NE 0	10	10	2	.	
30	3.6	5.9	2.0	3.8	−0.2	726.6	727.9	**729.3**	98	84	86	NE 1	NE 1	NE 0	10	10	0	.	
Mittel	3.2	5.9	4.0	4.4	—	717.9	717.8	718.3	91	82	88				9.3	8.0	6.1	Summe 275.4	

November 1944.
Beobachter: Frl. *H. Nager.*

Altdorf

$\lambda = 8° 39'$, $\beta = 46° 53'$,
$H_b = 456.3$ m, $G = -0.05$ mm.

Tag	Lufttemperatur					Luftdruck			Relative Feuchtigkeit			Windrichtung und Stärke			Bewölkung			Niederschlag	Witterung
	7^{30}	13^{30}	21^{30}	Mittel	Abweich. vom Normalst	7^{30}	13^{30}	21^{30}	7^{30}	13^{30}	21^{30}	7^{30}	13^{30}	21^{30}	7^{30}	13^{30}	21^{30}		
1	0.2	7.7	5.1	4.3	−2.6	721.8	720.1	717.7	85	55	86	E o	NW o-1	NW o	4	10	10	.	
2	5.0	7.8	4.4	5.7	−1.0	711.7	707.4	710.7	90	78	94	E o	NW o-1	NW o	10	9	8	2.7	
3	6.5	5.1	4.0	5.2	−1.4	712.2	716.0	721.5	96	82	85	NW o	N 1	SE o	10●	10●	10	1.5	● n-p zeitw.
4	2.4	8.6	2.1	4.4	−2.1	724.3	724.8	727.5	88	51	88	E 1	NW o	W o	4	2	2	.	
5	0.5	8.7	3.3	4.2	−2.1	727.8	727.4	728.1	94	56	90	NE o	NW o	NW o	0	0	7	.	
6	3.7	11.3	7.0	7.3	1.1	727.3	725.1	724.8	75	44	87	E o	E o-1	NE o	2	6	10	0.0	
7	7.1	7.8	7.9	7.6	1.5	721.3	718.3	714.3	84	96	97	SE o	E o	E o-1	10●	10●	10●	34.7	● n-n
8	7.7	7.6	8.3	7.9	2.0	714.7	714.7	710.2	93	94	97	E 2	NW o	NW o-1	10●	10●	10●	34.8	● n-n
9	8.7	6.9	2.6	6.1	0.3	712.0	714.1	716.1	70	37	52	NE 2-3	N 1-2	NW 1	10●	10	10	8.5	● !, ● ✳ abds.
10	1.5	2.3	3.1	2.3	−3.3	718.8	722.1	722.7	79	63	59	NW 2-3	NW 2	NW 2-3	10●*	10*	10	12.4	● ✳ !, ✳ !! ✳
11	3.1	2.2	1.3	2.2	−3.3	723.0	723.3	723.0	64	75	87	NW 2	NW 2-3	NW o-1	10	10*	10	5.6	✳ !! ✳
12	−0.8	3.3	0.0	0.8	−4.6	721.3	720.4	720.4	87	49	74	SE o	E o	E o	7	6	10	.	
13	0.1	1.1	0.4	0.5	−4.7	714.0	711.6	712.4	63	87	96	S o	SE o	S o	10	10*	10*	14.2	✳ !!, !!!
14	0.6	3.8	5.7	3.4	−1.7	709.7	705.4	**703.5**	97	80	30	S o	E o	SE 1-2	10*	10	10	3.8	✳
15	1.7	3.0	1.2	2.0	−3.0	704.7	708.8	713.1	95	89	92	NE o	E o	NW o	10	10	10	9.2	● abds. zeitw. ✳
16	0.9	2.3	1.3	1.5	−3.3	718.3	721.3	725.9	96	94	96	E o	SE o	E o	10*	10	10	4.3	✳ !, ● p zeitw. ✳
17	−0.8	5.1	1.3	1.9	−2.8	727.8	725.8	726.4	76	55	90	E o	NE o	E o	7	7	0	.	✳
18	−0.6	6.4	−0.4	1.8	−2.8	725.6	724.5	724.9	97	80	95	NE o	NE o	E o	3	3	0	.	
19	−1.1	6.3	1.6	2.3	−2.1	724.5	723.4	723.6	90	54	70	S o	S o	E o	4	3	4	.	
20	2.0	**14.9**	**8.8**	8.6	4.3	720.3	715.8	716.2	88	**29**	69	E o	E 2-3	NE o	10	10	10	9.5	● $18^1/_2$
21	7.7	5.8	4.4	6.0	1.8	720.4	725.0	728.7	55	63	72	NW 3	NW 2	E o	10●	10●	9	7.7	● !, !!
22	1.1	4.0	3.9	3.0	−1.0	726.8	724.1	721.8	78	65	47	SE o	SE o	SE o	6	10	10●	18.3	● !!!
23	7.0	8.5	9.2	8.2	4.3	717.3	716.2	716.4	97	98	97	SE o	SE o	SE o	10●	10●	10●	**38.0**	● n-n
24	7.3	10.4	8.3	8.7	5.0	716.2	713.6	712.4	96	53	90	SE o	SE o	SE o	8●	10	10	0.8	● !
25	7.2	11.4	6.1	8.2	4.6	709.2	707.9	713.4	95	64	88	SW o	NW 1	NW o	10	10	10●	8.7	● p-n zeitw.
26	3.5	6.7	2.4	4.2	0.7	717.9	719.3	722.2	95	63	75	NE o	SE o	SE o	10	6	0	.	
27	−1.2	3.6	−0.4	0.7	−2.6	722.9	723.7	728.1	84	46	70	E o	E o	SE o	0	0	0	.	
28	**−3.0**	2.5	−2.0	−0.8	−4.0	730.5	728.8	729.2	80	45	74	SE o	NW o	NE o	0	0	2	.	
29	0.4	3.3	2.0	1.9	−1.2	726.3	726.9	728.6	72	63	90	E o	NW o	NE o	10	10	10	4.5	✳ !4, ● 17-20
30	2.7	3.3	3.5	3.2	0.3	729.4	729.9	**732.4**	98	78	95	NE o	NW o	SW o	10●	10	10	0.2	● !, ❩ abds.
																		Summe	
Mittel	2.7	6.1	3.6	4.1	—	719.9	719.5	720.5	85	66	81				7.5	7.7	7.7	219.4	

November 1944.
Beobachter: *Observatorium.*

Genf

$\lambda = 6° 9'$, $\beta = 46° 12'$,
$H_b = 405.0$ m, $G = -0.03$ mm.

1	4.0	6.2	4.7	5.0	−1.9	726.0	725.1	722.5	87	91	97	ESE o	E o	ESE o	10	10	10	17.0	● 10
2	5.7	7.4	8.6	7.2	0.5	715.6	714.3	715.0	96	94	85	ENE o	ENE o	S o	10	10	10	3.8	● n-n zeitw.
3	6.0	9.0	5.9	7.0	0.4	717.7	720.6	725.1	91	68	82	NE o	ESE o	E o	4	9	3	.	
4	−0.4	10.2	4.2	4.7	−1.7	729.2	729.9	731.8	96	58	91	E o	ENE o	E o	0	0	0	.	⌊ !
5	0.6	10.4	5.9	5.6	−0.7	733.2	732.8	732.9	96	64	88	ESE o	NE o	E o	0	4	0	.	⌊ !
6	6.4	12.0	10.2	9.5	3.4	732.6	731.2	731.2	82	56	65	NNE o	ENE o	ESE o	8	10	10	0.6	●sch. 15, abds.
7	8.6	9.4	12.2	10.1	4.1	729.1	727.4	724.6	86	82	72	S 1	SW 2	SW 2	10●	10●	10●	**31.5**	● n-n
8	10.8	12.6	13.2	12.2	6.3	722.2	720.8	718.9	85	79	81	SE 1	SW 1	SW 2	10●	10	10●	14.4	● n-n m.U.
9	10.4	7.2	1.3	6.3	0.6	719.0	721.9	724.0	62	57	96	WNW 1	SE 1	SE 1	9	8	6	2.6	● p, ✳ 17
10	1.6	1.6	1.6	1.6	−4.0	729 3	731.3	731.2	91	74	85	N o	SE 1	SE 1	10	10	10	0.9	✳ p-n ✳
11	2.6	4.6	0.3	2.5	−3.0	730.3	730.4	728.8	83	66	89	ESE o	NNE 1	ENE o	10	9	2	.	✳ △ a
12	**−1.7**	4.2	0.8	1.1	−4.2	726.8	726.4	725.9	94	62	85	SE o	NE 1	NE 1	2	6	6	2.2	✳ n (12./13), ⌊ !
13	−0.4	4.0	3.8	2.5	−2.7	719.2	715.8	717.9	97	87	75	NE o	SW 1	S o	10	10	10●	10.7	● $10^1/_2$-n ✳
14	4.4	4.7	6.0	5.0	−0.1	714.9	711.1	**708.8**	80	84	73	SW 1	NW 1	S 1	10	10●	10	11.8	● n-n m.U.
15	3.2	5.3	3.4	4.0	−0.9	711.7	715.2	718.5	83	58	86	S 1	S 1	S 1	10	9	7●	10.4	●°sch. zeitw., ● n
16	3.7	7.2	1.6	4.2	−0.6	724.5	727.0	730.1	91	60	93	NE o	SE 1	ESE o	10	6	0	2.8	● a
17	−0.4	5.0	2.1	2.2	−2.5	731.6	730.3	731.4	98	69	93	ESE o	NE o	ESE o	7	7	0	.	⌊ !
18	−0.4	9.2	3.8	4.2	−0.4	730.5	729.3	729.3	98	64	87	SE o	ENE o	NE o	7	0	0	.	⌊ !
19	0.2	9.0	7.0	5.4	1.0	729.1	728.2	728.5	98	71	80	E o	NE o	ENE o	6	7	0	0.2	⌊ !
20	11.0	**15.0**	12.7	12.9	8.6	725.6	723.3	724.5	68	65	48	SW 1	SW 1	SW 2	7	10	2	6.4	●°sch. a, ● p
21	6.3	7.4	1.8	5.2	1.0	730.3	731.8	733.4	63	60	89	SW 1	NE 2	SE o	6	8	0	.	●°sch. a
22	0.2	4.8	5.0	3.3	−0.8	732.1	730.1	728.1	89	74	97	ESE o	E o	E o	10	10●	10●	22.1	△ $11^1/_2$, ● ❩ p-n, ⌊ !
23	12.2	13.8	12.9	13.0	9.1	724.1	723.2	722.4	86	81	85	SW 1	SW 2	S 1	10●	10	8	13.8	● n-n m.U.
24	11.3	12.4	10.6	11.4	7.6	721.4	720.3	719.0	85	77	86	S o	SE 1	ESE o	10	10	10●	9.2	● n-n m.U.
25	11.0	9.8	9.0	9.9	6.2	715.0	715.5	718.0	82	81	57	S o	ENE 1	ESE 1	10	10	5	3.0	● a, p
26	4.0	9.3	3.4	5.6	2.0	723.2	724.3	726.1	80	**52**	83	E o	E o	NE o	6	4	0	.	
27	−1.2	4.2	2.4	1.8	−1.6	727.8	728.4	731.4	98	67	86	E o	NE o	ENE o	0	3	0	.	⌊ !
28	0.4	2.8	−0.1	1.0	−2.3	735.0	734.2	733.9	98	72	97	E o	NNE o	E o	7	9	0	.	⌊ !
29	1.2	4.1	2.0	2.4	−0.8	731.8	731.7	732.5	86	79	96	ESE o	ENE o	ESE o	10	10	8	1.2	❩ △ $8^1/_4$, ●sch. a, p
30	4.0	7.2	6.2	5.8	2.7	733.7	734.5	**735.6**	93	80	74	ESE o	ENE o	NE 1	10	9	7	.	
																		Summe	
Mittel	4.2	7.7	5.4	5.8	—	725.8	725.5	726.0	87	71	83				7.6	7.9	5.1	164.6	

$\lambda = 8°\ 33'$, $\beta = 47°\ 23'$,
$H_b = 493.2$ m, $G = 0.03$ mm.

Zürich

November 1944.
Beobachter: *Meteorol. Zentralanstalt.*

Tag	Lufttemperatur					Luftdruck			Relative Feuchtigkeit			Windrichtung und Stärke			Bewölkung			Niederschlag	Witterung
	7^{30}	13^{30}	21^{30}	Mittel	Abweich. vom Normalst	7^{30}	13^{30}	21^{30}	7^{30}	13^{30}	21^{30}	7^{30}	13^{30}	21^{30}	7^{30}	13^{30}	21^{30}		
1	−0.4	6.0	4.7	3.4	−2.5	718.9	717.1	714.8	98	75	93	ESE 0	WNW 1	NW 0	10≙	10	10●	4.2	● 21¼-n, ≡ n 9¼, ⌴ l
2	4.2	6.5	6.8	5.8	0.1	709.1	705.5	707.3	95	85	90	NNW 1	ENE 1	WNW 1	10●	10	10	3.7	● 3¾-8¼, 14½-15, 23¾-24¾,
3	3.5	4.6	3.2	3.8	−1.8	710.1	712.9	717.5	89	81	87	WNW 1	WNW 1	SSE 1	9	9	9	0.1	● 0¾-2 [≡ a
4	2.3	9.8	4.3	5.5	0.1	720.5	721.5	723.7	90	47	84	ESE 0	WNW 1	SE 1	9	6	4	.	
5	2.7	11.5	7.2	7.1	1.8	724.5	724.4	724.4	93	48	81	SE 0	WNW 1	SSE 1	1	5	10	.	
6	7.1	11.9	9.2	9.4	4.3	723.5	721.4	721.5	74	48	69	SSW 1	SSW 2	W 2	7	9	10	0.0	● ☄ 16¼
7	9.9	8.5	9.8	9.4	4.4	717.5	714.5	710.6	64	80	92	WSW 3	WSW 3	WSW 4	10●	10●	10●	39.0	● tr. l, ● 8-n
8	5.0	5.3	10.5	7.1	2.3	712.2	712.2	706.7	96	96	89	NNE 1	NNE 0	SW 2	10●	10●	10●	**41.4**	● n-n, ≡ p
9	6.7	3.5	0.8	3.7	−1.0	709.6	711.5	713.0	90	88	82	WNW 1	WNW 3	W 2	10	10✱	10	5.3	● n-4½, ● ✱ 13¼-15¾
10	0.8	1.2	0.8	0.9	−3.6	716.4	719.2	720.1	90	86	96	WNW 2	WSW 2	WSW 0	10	10	10	4.6	✱° 8¾-5¼, 11¾-22½, m.U.
11	1.6	3.2	1.3	2.0	−2.4	720.3	720.4	720.0	93	84	94	W 0	WNW 1	SW 1	10	10	9	1.6	✱° 8¾-10¾, 17¾-20½, m.U.
12	0.7	3.7	1.0	1.8	−2.4	717.8	717.3	716.7	88	58	82	S 1	WSW 2	SW 1	7	9	10*	0.7	✱ 21½, 23
13	−0.2	0.3	0.6	0.2	−3.9	710.8	708.4	708.9	92	94	99	SSW 1	SSE 1	S 0	10*	10*	10	12.2	✱ 7¼-14, ≡ a
14	0.4	3.9	2.1	2.1	−1.8	706.6	703.2	**700.1**	100	86	99	SE 1	SSE 0	NW 1	10*	10	10●	5.0	✱ 1¾-9¾, ● 14½-16, 21-24¾
15	1.6	4.8	2.1	2.8	−1.0	702.0	705.6	709.6	96	66	90	WNW 1	SSW 1	SW 1	10	3	10*	1.6	✱ 8-8½, 11¼, ✱ ● abds.-n
16	2.9	1.5	1.1	1.8	−1.8	714.4	718.1	722.3	82	96	99	SSW 1	WNW 1	SSE 1	10	10	3	3.1	● ✱ 8¾-9¾, ✱△ 12¾-13¾
17	0.4	1.6	1.1	1.0	−2.5	723.7	722.8	722.8	100	90	97	SE 0	NNW 0	NW 0	10≡	10	0	.	≡ a
18	0.8	8.9	3.0	4.2	0.9	722.1	721.6	720.9	99	69	97	ESE 1	SSW 1	SE 1	9	8	0	.	⌴ l
19	0.7	11.4	4.9	5.7	2.5	720.7	720.1	719.8	99	53	90	ESE 1	SSE 1	SE 1	2	4	0	.	
20	4.6	10.2	10.4	8.4	5.4	716.9	713.2	712.6	87	59	75	ESE 1	SSE 1	SSW 3	5	9	9	18.6	● 15½-21¼ m.U.
21	4.8	4.8	2.8	4.1	1.2	718.9	722.2	725.2	96	86	95	WSW 2	W 1	SSW 1	10●	9	9	2.2	● 0¼-8¼, 16½-17¼
22	0.8	3.4	4.1	2.8	0.1	723.0	720.2	718.1	100	80	100	NNW 0	S 1	SW 1	10	10●	10	16.0	● 13¼-n m.U., ≡ a, ⌴ l
23	9.0	11.7	11.6	10.8	8.2	713.0	711.8	712.5	94	93	88	SSW 2	WSW 3	WSW 2	10●	10●	10	33.6	● n-n m.U.
24	10.9	**12.9**	12.0	11.9	9.5	712.0	710.2	709.0	80	67	69	SSW 2	WSW 2	WSW 2	10	10	10	4.0	● n-9½ m.U., 22½-24
25	11.0	8.6	6.1	8.6	6.3	705.6	706.1	709.7	74	93	90	WSW 3	WNW 2	SE 1	10●	10●	9	8.9	● 2¼-7½, 13¼-20¼ m.U.
26	3.0	6.5	1.8	3.8	1.7	714.4	716.5	718.8	89	61	93	NW 1	WNW 1	NW 0	2	9	4	.	● 0¼
27	0.2	1.4	0.4	0.7	−1.3	719.7	720.7	724.4	100	95	99	NW 0	NW 0	NW 0	10≡	10≡	10	0.2	≡ a, p, ⌴ l
28	0.1	2.8	**−1.0**	0.6	−1.2	726.9	725.8	725.0	94	68	95	N 0	ENE 1	ESE 1	7	8	9	.	
29	1.2	2.5	3.2	2.3	0.6	723.2	723.4	725.1	88	94	100	ESE 1	ENE 1	SSE 1	10	10●	10	8.0	● ✱ 12½-20½ m.U.,
30	3.0	5.3	1.8	3.4	1.9	726.2	727.1	**729.0**	98	91	100	NNW 1	NNW 1	NNE 0	10	10	9	.	● ° 1½-2
Mittel	3.3	5.9	4.3	4.5	—	716.7	716.5	717.0	91	77	90				8.6	8.9	8.1	Summe 214.0	

$\lambda = 8°\ 30'$, $\beta = 47°\ 3'$,
$H_b = 1787.3$ m, $G = 0.20$ mm

Rigi-Kulm

November 1944.
Beobachter: *J. Wiget.*

1	−3.0	1.2	0.0	−0.6	−1.6	613.0	612.5	609.2	38	44	100	SE 1	S 2	SE 2	5	10	10●*	1.7	● ✱ III
2	1.9	3.8	−1.0	1.6	0.7	605.7	601.9	603.4	72	62	100	SE 2	SE 3	W 2	10	9	10≡	3.8	✱ n (2, 3.)
3	−2.5	−4.3	−6.0	−4.3	−5.1	605.0	606.3	609.9	100	100	100	W 1	W 1	W 1	10≡	10	10≡	.	≡ I, III
4	−5.4	−3.4	−3.8	−4.2	−4.9	613.2	614.8	616.3	100	100	100	SW 1	W 2	W 3	5	1	2	.	
5	−2.8	−4.0	−1.8	−2.9	−3.5	617.3	617.3	618.3	100	95	100	W 1	W 1	W 1	0	2	5	.	
6	−2.0	0.0	0.2	−0.6	−1.1	616.9	616.4	616.3	83	80	100	W 3	W 2	W 4	4	10	10	0.4	
7	−0.7	−0.4	1.0	0.0	−0.4	612.9	610.4	608.0	100	100	100	W 4	W 4	W 5	10	10	10	11.5	
8	0.8	1.3	2.6	1.6	1.3	607.5	607.8	605.9	100	100	100	W 2	W 2	W 4	10●≡	10●≡	10●	43.4	● n-n, ≡ I, II
9	−1.4	−5.7	−8.6	−5.2	−5.4	605.3	605.5	606.6	100	100	100	W 3	W 3	E 2	10*≡	10≡	10*≡	19.2	✱ I, III, ≡ n-n
10	−8.2	−8.8	−7.0	−8.0	−8.1	607.7	611.0	611.3	100	100	100	E 2	W 3	W 4	10*≡	10*≡	10≡	5.9	✱ ≡ n-n
11	−7.9	−7.0	−8.8	−7.6	−7.6	612.6	612.1	610.2	100	100	100	SW 2	W 3	W 3	10≡	10*≡	10*≡	17.0	✱ 8-n, ≡ n-n
12	−9.8	−8.2	−9.0	−9.0	−8.9	609.5	609.3	609.5	100	100	100	W 2	W 2	W 3	7	10	10*≡	0.8	✱ 18¼-n, ≡ zeitw.
13	−8.8	−5.8	−6.5	−7.0	−6.8	603.7	601.7	601.2	58	100	100	W 1	W 3	W 3	10*≡	10*≡	10*≡	15.1	✱ ≡ n-n
14	−5.4	−3.8	−4.0	−4.4	−4.1	601.2	598.8	**596.2**	100	100	100	W 3	SW 1	SW 4	10*≡	10	10	1.8	✱ ≡ I
15	−6.6	−7.0	−7.8	−7.1	−6.7	596.5	599.6	602.9	100	100	100	W 2	W 3	W 3	10≡	10≡	10≡	15.0	≡ n-n m.U.
16	−6.2	−6.4	−7.5	−6.7	−6.1	602.6	610.7	613.2	100	100	100	W 2	W 2	W 2	10≡	10	10	0.4	≡ I
17	−7.8	−2.8	1.4	−3.1	−2.4	615.6	616.1	617.1	100	100	60	W 1	W 1	W 1	7	7	8	.	
18	2.0	5.4	3.4	3.6	4.4	617.1	616.8	616.1	34	20	22	W 1	SW 1	SW 1	4	4	2	.	
19	3.2	5.5	6.0	4.9	5.8	616.1	615.9	616.3	18	22	30	W 1	SW 2	SW 3	2	5	4	.	
20	7.0	**7.6**	2.5	5.7	6.7	613.9	611.5	609.9	32	33	75	W 2	SW 1	SW 4	9	10	8	2.8	
21	−3.0	−4.7	−5.0	−4.2	−3.1	611.4	614.3	616.6	100	100	100	SW 4	W 2	SE 1	10≡	10≡	10≡	8.5	✱ 12-13½, ≡ n-n
22	−4.8	−6.2	−2.4	−4.5	−3.3	614.9	613.4	613.0	100	100	100	W 2	W 4	W 4	10	10≡	10≡	21.0	● ✱ ≡ zeitw.
23	3.4	4.2	3.9	3.8	5.1	609.5	608.3	609.5	100	100	100	W 4	W 4	W 4	10●	10●	10	**44.2**	● n-n zeitw., ≡ I, II
24	1.2	2.6	1.6	1.8	3.2	609.2	608.3	607.2	100	62	100	W 2	W 3	W 4	10	10	10	2.7	≡ zeitw.
25	2.0	1.2	−2.0	0.4	1.9	603.7	602.8	604.6	100	100	100	W 2	W 3	W 2	10	10●≡	10*≡	9.6	● ≡ 13-14, ✱ ≡ 14-n
26	−4.8	−4.5	−5.0	−4.8	−3.2	608.3	609.8	611.1	100	100	100	W 3	W 2	W 2	10≡	10≡	10≡	.	≡ n-n
27	−7.2	−3.9	−7.4	−6.2	−4.5	611.7	612.6	615.3	100	100	100	W 1	SW 1	W 1	0	0	0	.	
28	−5.1	−2.2	−2.8	−3.4	−1.6	616.9	617.5	617.6	100	93	50	ESE 0	SW 0	W 0	0	1	5	.	
29	−1.8	−1.4	−1.8	−1.7	0.2	616.2	615.9	617.2	82	100	100	W 3	W 3	W 2	10	10*	10*	5.9	✱ ≡ II, III
30	−2.6	−1.8	−3.8	−2.7	−0.7	618.2	**620.8**	619.5	100	100	100	E 1	W 0	W 0	10≡	10≡	10≡	4.2	≡ n-n
Mittel	−2.8	−2.0	−2.6	−2.5	—	610.4	610.7	611.0	87	87	91				7.8	8.3	8.5	Summe 237.9	

November 1944.
Beobachter: *P. Nogler.*

Bevers

$\lambda = 9° 53'$, $\beta = 46° 33'$,
Hb = ca. 1710 m, $G = -0.23$ mm.

Tag	Lufttemperatur					Luftdruck			Relative Feuchtigkeit			Windrichtung und Stärke			Bewölkung			Niederschlag	Witterung
	7^{30}	13^{30}	21^{30}	Mittel	Abweich. vom Normalst	7^{30}	13^{30}	21^{30}	7^{30}	13^{30}	21^{30}	7^{30}	13^{30}	21^{30}	7^{30}	13^{30}	21^{30}		
1	-11.0	1.2	0.0	-3.3	-2.8	621.3	619.5	617.4	88	81	100	E 0-1	E 1	E 1	10	10*	10*	2.8	✳ 13-n
2	-0.8	2.0	0.0	0.4	1.1	613.0	610.7	610.8	100	84	100	NE 0	E 1	E 1-2	10*	10*●	5	12.4	✳ ● n-19
3	0.8	2.6	-2.4	0.3	1.2	610.4	614.4	616.1	100	89	60	NE 0	N 1	N 1-2	10	10*	3	2.4	✳ n-15½ m.U.
4	-11.0	-0.8	-7.2	-6.3	-5.2	620.8	621.5	623.5	92	60	94	N 1-2	W 1	NW 1	0	4	1	.	
5	-10.2	1.2	-6.0	-5.0	-3.7	621.6	620.7	624.2	94	63	88	SW 0	SW 1	W 1	0	0	0	.	
6	-11.2	1.7	-5.2	-4.9	-3.4	623.4	622.2	621.5	95	62	86	S 0	W 2	W 1	0	0	0	.	
7	-4.8	4.5	2.0	0.6	2.3	618.6	616.3	612.4	88	56	92	S 0	SSW 2	S 1	10	10*	10●	18.6	✳°sch. seit 13 zeitw.,
8	1.8	5.2	2.6	3.2	5.1	612.1	612.4	611.0	98	60	95	NE 1	S 3	NE 1-2	10●	10	10	20.0	● n-10 [● 20½-n
9	2.0	4.4	-5.7	0.2	2.3	609.1	609.4	609.8	83	41	53	W 1-2	W 2-3	N 1-2	10●	10*	8	6.8	● n-9, ✳°sch. a, p zeitw.
10	-6.2	-5.5	-6.7	-6.1	-3.8	611.4	614.3	614.5	91	81	92	W 0-1	E 1	NE 1-2	10*	10*	10*	20.7	✳ n-n
11	-6.8	-5.6	-6.5	-6.3	-3.8	614.7	615.3	615.9	96	88	94	S 0	W 0	W 1	10*	10*	10*	6.2	✳ n-n
12	-15.0	-7.0	-13.2	-11.7	-9.0	615.3	618.3	615.1	89	51	86	N 0	N 1-2	NW 1	8	0	0	.	
13	-7.0	-7.8	-11.0	-8.6	-5.7	611.1	609.3	609.4	70	89	88	E 0	NW 2	NW 1	10*	10*	2	0.7	✳° n-15
14	-7.8	-3.0	-5.0	-5.3	-2.2	606.8	606.2	604.8	84	66	94	W 1	NW 1	W 0	7	10	10*	4.9	✳ 20-n
15	-5.0	0.4	-11.4	-5.3	-2.0	602.9	605.4	610.6	95	61	84	E 0	W 1-2	NW 1	10*	10*	10	0.9	✳²sch. n-n zeitw.
16	-11.2	-4.0	-6.4	-7.2	-3.7	614.4	617.6	619.9	92	54	80	N 0	W 1-2	W 1	8	10	10*	0.7	✳°sch. n-n zeitw.
17	-14.6	-3.5	-7.0	-8.4	-4.7	623.8	624.2	624.6	88	61	85	W 1	W 2	W 1	10	2	10	.	
18	-10.0	0.3	-7.6	-5.8	-1.9	623.7	623.1	623.6	100	67	88	W 1	SW 1-2	NW 1	3	10	0	.	
19	-12.0	0.0	-9.7	-7.2	-3.1	623.0	623.7	624.0	88	68	95	WNW 1	W 1-2	W 0	0	2	3	.	
20	-10.8	3.8	1.4	-1.9	2.4	622.7	620.0	617.6	90	75	100	W 1	S 2	E 2	10	10	10●	1.6	●sch. 15½-n zeitw.
21	-0.8	1.6	-3.8	-1.0	3.5	615.4	619.5	621.9	85	81	80	NE 2	NE 2	NW 1	10*	10*	10*	0.3	✳° n-n, ☄ a
22	-11.3	-2.0	-3.0	-5.4	-0.7	622.7	620.6	619.5	98	55	87	W 1	E 1	NE 1	10	10	10	0.1	△ 21-n
23	0.0	4.2	1.0	1.7	6.6	616.3	615.5	614.6	100	100	100	E 1	E 1-2	E 0	10●	10●	10●	7.7	● n-n
24	-0.6	4.5	1.2	1.7	6.8	614.2	614.0	613.4	84	68	83	NW 0	E 1	E 1	10	10	10	0.0	
25	1.2	4.0	1.3	2.2	7.5	611.0	610.6	610.3	97	81	94	S 1-2	S 2	SW 1	10*	10	10	.	✳°sch. n-15
26	-1.4	1.6	-10.8	-3.5	2.0	613.7	615.9	618.5	80	61	90	W 1	W 1	W 0	10	6	0	.	
27	-15.8	-6.6	-13.8	-12.1	-6.4	618.8	618.8	621.2	83	60	75	SW 1	E 1	NE 1	0	2	0	.	
28	-18.2	-8.2	-13.6	-13.3	-7.4	624.1	624.1	624.4	87	61	74	N 1	NW 2	N 1	0	0	10	.	
29	-8.6	-1.6	-4.2	-4.8	-1.2	622.7	622.8	622.9	74	81	97	SW 0	W 2	SW 1	10	10	8	0.0	✳°sch. n-n zeitw.
30	-9.4	-1.0	-8.0	-6.1	0.1	624.0	624.6	626.1	98	61	85	W 1	W 1-2	SW 0	2	2	0	.	
Mittel	-7.2	-0.5	-5.3	-4.3	—	616.8	617.0	617.3	90	69	87				7.3	7.3	6.3	Summe 106.8	

November 1944.
Beobachter: *Kapuzinerkloster.*

Sitten

$\lambda = 7° 21'$, $\beta = 46° 14'$,
Hb = 548.6 m, $G = -0.11$ mm.

1	1.9	8.0	4.0	4.6	-2.1	714.9	712.8	711.4	73	50	100	NE 0	NE 0	NE 1	6	10	9	3.7	● p-18⅜/4
2	4.3	8.9	6.6	6.6	0.1	705.1	702.8	703.0	96	81	100	ENE 1	SW 2	NNW 0	10	10●	7	6.4	● 12-14
3	6.0	8.9	3.4	6.1	-0.2	705.0	706.4	712.2	100	64	79	W 0	W 1	W 1	10≡	9	2	0.0	● n-7¼, ≡ a
4	1.7	8.8	3.2	4.6	-1.6	717.3	717.0	719.9	80	52	84	NE 1	NE 1	NW 0	0	0	0	.	
5	0.2	8.2	2.8	3.7	-2.3	720.7	719.6	720.7	100	55	89	NNW 1	NW 1	NE 0	1	1	0	.	
6	0.1	8.4	5.8	4.8	-1.0	721.0	719.2	718.6	96	56	90	NE 1	NE 0	NE 0	3	5	10	.	
7	6.8	7.9	10.3	8.3	2.6	715.6	714.6	710.7	78	97	75	NW 0	NE 0	WSW 2	10	10●	10●	55.3	● 9⅜/4-n
8	7.8	9.0	8.8	8.5	3.0	709.8	709.4	706.9	100	95	100	W 0	W 0	W 0	10●≡	10●	10●≡	41.4	● n-n, ≡ I, III
9	8.5	9.4	1.9	6.6	1.2	704.6	706.6	709.6	100	47	80	WSW 0	W 2	W 0	10●	9	10	5.0	● n-10⅜/4, ● ✳ 15-20 m.U.
10	0.8	1.6	0.2	0.9	-4.3	713.3	716.4	716.6	83	73	92	W 2	W 2	W 3	10*	10	10*	3.3	✳ n-8, △ 19½, ✳ 21- [21½
11	0.8	3.7	-0.3	1.4	-3.6	715.5	716.0	716.0	100	71	86	W 1	W 2	W 1	10*	8	0	1.6	✳ n-11 m.U.
12	-2.8	2.2	-1.8	-0.8	-5.7	713.8	713.8	713.6	79	48	68	N 1	NE 1	NE 2	7	8	0	2.2	⌊ fr.
13	-3.1	-2.0	-1.6	-2.2	-6.9	708.3	705.2	705.4	100	100	100	NE 2	NE 0	ENE 0	10*	10*	10*	33.5	✳ n-19⅜/4
14	-1.7	0.4	0.4	-0.3	-4.8	703.3	700.5	699.1	100	97	100	NE 0	NE 1	ENE 0	10*	10*	10*	19.0	✳ n-n m.U.
15	0.2	3.2	0.8	1.4	-3.0	698.0	702.2	706.0	100	78	100	ENE 0	NE 0	NE 0	10	6	10*	15.1	✳ abds.-n
16	1.1	3.8	-0.2	1.6	-2.6	711.2	714.0	717.6	100	80	85	NE 0	NE 1	NE 1	10≡	7	0	0.3	✳ n-7, ✳fl. a, ☰ I
17	-2.9	2.7	0.8	0.2	-3.9	720.0	719.1	718.8	85	60	88	NE 1	NE 1	NE 0	3	7	0	.	
18	-1.6	4.5	0.0	1.0	-2.9	718.7	717.5	717.2	100	70	100	NE 2	NE 1	NE 0	8	1	0	.	⌊ I
19	-2.5	6.6	2.3	2.1	-1.6	718.0	717.2	717.8	91	51	80	NE 1	NE 0	NE 0	5	8	0	.	⌊ I
20	1.6	7.6	4.3	4.5	0.9	715.3	711.5	710.9	82	57	100	NE 1	NE 0	NNE 1	5	7	10●	14.5	● 16¼-n
21	3.8	7.4	2.3	4.5	1.1	715.0	717.8	720.2	93	49	79	NNE 1	W 1	W 1	10●	8	0	0.3	● n-7⅜/4, ☄ (2½)
22	0.2	0.8	0.8	0.6	-2.6	720.3	719.4	716.8	77	99	100	NNE 1	NNE 0	ENE 0	9	10*≡	10●≡	27.2	✳△ 11⅜/4-15½, ● 16-n, ≡
23	1.9	3.4	6.0	3.8	0.7	712.7	711.3	709.6	100	100	100	ENE 0	ENE 0	ENE 0	10●≡	10●≡	7	38.9	● n-20, ≡ n-16 [13-n
24	5.1	7.4	5.2	5.9	3.0	709.8	708.4	707.4	100	93	100	ENE 0	ENE 0	ENE 1	10●	10	10	4.6	● n-n m.U., ≡ a m.U.
25	4.8	5.7	5.7	5.4	2.6	704.0	702.9	704.8	100	100	96	ENE 1	ENE 0	ENE 1	10●≡	10●≡	5	4.7	● n-20¼ m.U., ≡ n-p
26	3.0	6.6	2.4	4.0	1.4	709.9	711.5	714.3	80	65	78	ENE 2	ENE 1	NNW 0	9	2	8	.	
27	-1.2	2.4	-0.2	0.3	-2.1	715.3	715.4	719.4	82	56	75	NNW 0	NNW 1	NNW 0	0	1	1	.	⌊ I
28	-4.0	1.4	-2.2	-1.6	-3.9	722.3	721.2	721.6	85	46	72	NNW 0	NNW 1	NNW 0	0	0	1	.	⌊ I
29	0.4	4.8	3.2	2.8	0.7	719.7	719.2	720.0	65	59	79	NNW 1	NNW 0	NNW 1	10	8	7	.	
30	1.4	5.6	3.1	3.4	1.5	721.0	721.0	722.8	100	62	83	NNW 0	NNW 0	NNW 1	5	1	10	.	
Mittel	1.4	5.2	2.6	3.1	—	713.3	713.0	713.6	91	70	89				7.4	6.9	5.6	Summe 277.0	

$\lambda = 8° 57'$, $\beta = 46° 0'$,
$H_b = 276.2$ m, $G = -0.01$ mm

Lugano

November 1944.
Beobachter: *G. Vicari.*

Tag	Lufttemperatur 7³⁰	13³⁰	21³⁰	Mittel	Abweich. vom Normalst	Luftdruck 7³⁰	13³⁰	21³⁰	Relative Feuchtigkeit 7³⁰	13³⁰	21³⁰	Windrichtung und Stärke 7³⁰	13³⁰	21³⁰	Bewölkung 7³⁰	13³⁰	21³⁰	Niederschlag	Witterung
1	4.2	7.4	5.8	5.8	−2.7	740.7	739.8	737.6	86	68	99	NNW 1	E 0	WSW 1	10	10●	10	8.3	● 12½–20½ m.U.
2	5.8	7.0	6.2	6.3	−2.0	731.9	729.0	728.3	97	92	97	NNW 0	NW 0	NNW 1	10●	10●	10	14.0	● n–16½
3	7.0	9.8	8.4	8.4	0.3	727.8	727.6	731.6	94	84	38	NNW 1	SE 0	NNE 2	10	10	0	2.7	● a zeitw.
4	3.4	12.8	5.8	7.3	−0.6	737.6	739.5	742.4	64	34	81	N 1	SSE 1	N 1	0	0	0	.	
5	2.8	12.4	5.4	6.9	−0.9	743.2	742.5	742.7	86	44	80	NNW 1	S 0	N 1	0	0	0	.	
6	2.2	11.8	5.2	6.4	−1.2	742.0	740.9	739.7	85	44	82	N 1	S 0	N 1	0	8	0	.	
7	3.2	12.0	7.0	7.4	0.0	736.8	733.9	730.0	85	46	83	N 1	WSW 1	NNE 1	10	9	0	.	
8	9.4	16.8	11.0	12.4	5.1	725.9	726.2	728.0	68	44	83	SE 1	SSE 1	SSE 1	2	1	10●	0.2	●° abds.–n
9	7.8	15.0	6.2	9.7	2.6	725.3	723.0	728.3	93	50	23	NNW 1	E 0	NNE 2	3	6	0	.	
10	3.6	9.4	3.8	5.6	−1.4	731.4	733.8	737.3	47	32	54	NNE 1	NNE 1	N 1	8	6	7	.	
11	2.8	9.8	3.6	5.4	−1.4	736.4	735.9	736.2	63	27	40	NNE 1	NNE 3	WSW 1	2	0	0	.	
12	2.8	10.4	3.2	5.5	−1.2	734.2	734.0	735.1	33	22	40	N 0	NNW 2	NNW 1	0	0	2	.	
13	1.4	1.8	1.6	1.6	−4.9	732.6	730.7	730.0	55	97	95	N 1	N 1	W 0	10	10*	10	1.9	✳ 10–13½, ●° ✳ 13½–16
14	1.4	5.2	1.4	2.7	−3.7	728.2	726.3	723.8	89	51	96	N 1	ESE 1	W 1	10	10	10●*	6.3	●° ✳ abds.–n
15	0.8	7.4	1.8	3.3	−2.9	720.0	722.7	728.1	98	53	88	N 1	SSW 1	N 1	10	0	0	.	
16	−0.2	9.2	2.6	3.9	−2.2	733.2	735.4	739.0	63	36	66	N 1	S 0	N 1	0	0	0	.	
17	0.2	9.8	3.0	4.3	−1.6	743.0	744.3	745.4	53	33	56	N 1	SSW 1	NW 1	3	0	0	.	
18	1.0	9.6	3.4	4.7	−1.1	744.1	743.3	743.3	63	37	67	N 1	S 0	NNW 1	8	8	0	.	
19	1.0	10.8	3.8	5.2	−0.4	743.1	742.6	743.4	77	41	82	WNW 1	W 1	N 1	3	8	3	.	
20	4.8	6.4	5.4	5.5	0.0	742.4	741.1	736.4	78	78	99	NNW 1	N 1	NNW 1	10	10	10●	6.3	● 17½–n
21	3.0	12.0	9.8	8.3	2.9	733.0	735.1	739.8	97	23	22	NNW 1	NNE 2	NNE 2	4	4	0	.	
22	4.4	9.8	4.6	6.3	1.1	742.0	740.9	738.8	33	32	60	NNE 1	ESE 0	NNE 1	10	10	10	.	
23	3.2	9.2	3.2	5.2	0.1	734.8	732.7	731.4	63	45	64	NNE 1	N 1	NNW 1	7	10	0	.	
24	1.8	6.8	5.4	4.7	−0.2	730.9	730.7	732.1	87	72	88	NNE 1	S 1	W 0	0	7	10	.	
25	4.6	6.0	5.8	5.5	0.7	729.4	728.9	729.1	87	95	99	NNW 1	WNW 1	WSW 0	10●	10	10●	2.7	●° 7¼–n m.U.
26	4.0	9.2	3.2	5.5	0.8	731.5	732.6	736.3	99	64	99	N 1	SSE 1	NNE 1	10	7	10	.	≡ 20–n
27	0.8	9.8	2.0	4.2	−0.3	738.3	737.7	740.4	73	33	64	N 1	SE 1	N 1	2	0	0	.	
28	−1.4	7.6	0.8	2.3	−2.1	742.6	743.1	744.5	63	38	58	N 1	WSW 1	NNE 1	0	0	0	.	
29	2.0	8.8	1.6	4.1	−0.2	742.1	740.5	741.1	56	33	55	N 1	SSW 1	N 1	10	3	0	.	
30	0.0	10.2	2.4	4.2	0.1	741.5	743.1	745.2	72	46	84	NNE 1	NNE 1	N 1	0	0	0	.	
Mittel	2.9	9.5	4.4	5.6	—	735.5	735.3	736.2	74	50	71				5.4	5.2	3.7	Summe 42.4	

$\lambda = 7° 35'$, $\beta = 47° 33'$,
$H_b = 318$ m, $G = 0.11$ mm.

Basel

November 1944.
Beobachter: *Astronom.-Meteorol. Anstalt.*

1	0.2	6.8	5.1	4.0	−1.8	734.5	732.8	730.2	98	78	92	ENE 1	WNW 1	WNW 0	8	10	10	5.5	● 21½–n, ⌙ l
2	4.5	5.4	4.7	4.9	−0.7	724.9	722.2	723.4	97	95	97	WSW 1	WNW 1	SSW 0	10●≡	10●	10●	9.5	● n–18¼ m.U., ≡ 7½– [14⅝ m.U.
3	3.7	7.0	4.4	5.0	−0.5	726.3	728.8	733.3	93	66	82	WSW 1	WSW 1	SSW 1	10	10	10	.	
4	3.6	12.1	6.2	7.3	1.9	736.3	737.0	739.0	90	54	82	E 1	SW 1	E 1	9	8	10	.	
5	4.0	10.4	5.4	6.6	1.4	739.7	739.8	740.0	90	70	92	ESE 1	ENE 1	ENE 0	2	10	9	.	●° 14–14½
6	8.8	12.7	8.2	9.9	4.8	738.4	736.5	737.4	76	54	85	S 1	SW 1	SSW 1	10	10●	10●	2.3	● 6, 16, 19¼–20⅝
7	8.4	10.7	11.3	10.1	5.1	733.3	729.6	726.4	84	79	82	SW 2	SW 3	W 4	10●	10●	10●	40.7	● 3½–23¼ m.U., ☄ 7⅝–24
8	3.8	5.6	13.1	7.5	2.6	728.6	727.9	721.9	97	96	81	WSW 1	E 0	SW 3	10●	10●	6	19.9	● 0–23⅝ m.U., ☄ 20½–24
9	6.1	5.7	1.7	4.5	−0.2	720.1	727.9	729.5	81	74	90	W 2	WSW 1	WSW 2	10	10	10	5.5	● 0¾–11¼ m.U. ✳ 14⅝–18¼
10	1.0	1.8	2.4	1.7	−2.9	733.2	736.2	736.6	81	85	89	NW 2	W 2	WSW 2	10	10	10●	6.0	✳ 3–14¼ zeitw., ● 21–21½
11	2.1	6.0	2.6	3.6	−0.9	736.6	736.7	736.0	96	69	80	WNW 1	WSW 2	WSW 1	10●	9	10	1.3	● 4–14⅝ m.U.
12	1.3	3.4	2.7	2.5	−1.8	733.8	733.5	732.5	83	65	75	WSW 1	WSW 1	WSW 1	10	10	10	0.2	⌙ l
13	0.0	0.0	0.5	0.5	−3.7	726.2	724.0	725.0	98	94	98	ESE 1	ESE 0	SW 0	10*	10	10	6.5	✳ 7–12¼ [m.U.
14	0.4	2.7	2.5	1.9	−2.2	722.1	718.3	715.2	98	91	89	E 1	E 1	W 1	10●	10	10●	3.0	✳ 2–5½, ● 5½–21 m.U., △ 14⅝
15	2.1	3.4	2.8	2.8	−1.2	717.6	721.6	724.5	89	85	84	WSW 1	WNW 1	NNE 1	10	10	10	1.2	● 6–6½, 9¼, 17
16	2.0	4.6	1.5	2.7	−1.1	731.0	734.0	738.1	94	74	94	WSW 1	W 1	SSW 1	10	10	5	.	☽ 5¼–6, ● 6½–7¼
17	−0.3	5.0	2.4	2.4	−1.3	739.0	737.9	737.6	98	72	82	ESE 1	ESE 1	E 1	9	9	10	.	≡ 2½–3½, ⌙ l
18	1.1	9.6	2.9	4.5	0.9	737.0	736.4	736.0	89	62	88	E 1	ENE 1	ESE 1	10	3	0	.	
19	0.8	8.7	6.1	5.2	1.7	735.4	734.7	734.9	92	69	81	ESE 1	ENE 1	E 1	4	10	3	.	⌙ l
20	5.4	17.8	11.9	11.7	8.4	730.9	727.4	728.4	80	43	54	E 1	SW 3	SW 2	3	9	5	4.3	● 13⅝–22¼ m.U., ☄ p
21	4.3	6.8	3.5	4.9	1.7	735.5	738.4	741.1	82	71	85	WSW 2	WSW 1	SSE 1	10	9	10	.	● 1–7¼ m.U., 10, 14½, ☄ p
22	0.8	4.5	5.4	3.6	0.5	738.4	734.9	733.0	92	82	87	E 1	E 1	E 1	10	10	10	7.6	● 12½, ☽ p, ● 23⅝
23	12.2	14.2	12.5	13.0	10.1	727.8	727.2	727.8	80	80	85	WSW 1	WSW 3	WSW 1	10●	10	8	9.5	● 12¼ m.U., ☄ mtgs.
24	10.3	13.5	11.0	11.0	8.8	727.2	725.4	723.7	89	72	83	WSW 1	WSW 2	SSW 1	10	10	10●	6.7	● 0½–12 m.U., 20–23, ◠ 11
25	11.6	8.9	5.8	8.8	6.1	720.2	722.1	724.9	75	89	82	SW 1	W 1	SW 1	10	10●	9	4.8	● 1–15¾ m.U., ☄ 11½, 11½
26	5.2	7.4	1.0	4.5	1.9	730.2	732.1	734.5	69	61	90	WSW 2	WSW 1	S 0	7	9	0	.	
27	−2.5	4.4	−0.4	0.5	−1.9	735.6	736.9	740.8	100	74	96	E 1	NNW 1	SSW 0	10≡	3	10	.	≡ 4½–8¾, ⌙ l
28	0.5	3.8	−1.1	1.1	−1.2	743.6	741.9	740.9	87	65	92	ENE 0	E 1	SE 1	10	5	2	0.3	≡ 9⅝–10½, ☂ III
29	1.2	3.2	4.0	2.8	−0.6	738.7	739.1	740.8	87	93	97	E 1	E 1	ESE 0	10	10●	10	1.3	✳ 3¼–3½, ● 11½–18⅝
30	3.8	5.4	3.9	4.4	2.3	742.3	743.4	745.1	97	91	93	ESE 0	NW 1	S 1	10●	10	10	.	0–12¼ [m.U.
Mittel	3.6	7.1	4.8	5.2	—	732.4	732.1	732.6	89	75	86				9.1	9.1	8.2	Summe 136.1	

November 1944.
Beobachter: *Observatorium.*

Säntis

$\lambda = 9° 20'$, $\beta = 47° 15'$,
$H_b = 2500.1$ m, $G = -0.27$ mm.

Tag	Lufttemperatur					Luftdruck			Relative Feuchtigkeit			Windrichtung und Stärke			Bewölkung			Niederschlag	Witterung
	7^{30}	13^{30}	21^{30}	Mittel	Abweich. vom Normalst	7^{30}	13^{30}	21^{30}	7^{30}	13^{30}	21^{30}	7^{30}	13^{30}	21^{30}	7^{30}	13^{30}	21^{30}		
1	-7.2	-2.6	-3.6	-4.5	-1.4	560.0	559.4	557.4	28	36	100	SW 2	WSW 2	WSW 3	9	10	10≡*	0.8	* ≡ 20¹/₂-n, ⊕ zeitw.
2	-2.4	-1.2	-3.6	-2.4	0.8	553.8	550.8	551.9	83	85	95	SW 3	SW 4	WSW 3	10	10	4	7.1	* 11³/₄-12¹/₄, ⊹ 12-15
3	-5.9	-7.0	-9.9	-7.6	-4.3	552.2	553.2	556.8	100	100	100	WNW 3	WNW 2	W 3	10≡	10≡	10≡	7.2	* n-7, 14-18 ztw., ≡ n-n
4	-8.4	-4.3	-5.2	-6.0	-2.5	560.5	562.1	564.0	65	83	92	WSW 3	WSW 3	W 3	6	2	1	.	
5	-4.2	-4.4	-4.5	-4.4	-0.8	564.4	564.8	564.8	76	70	64	W 3	W 4	W 3	1	1	0	.	
6	-6.8	-5.0	-4.0	-5.3	-1.6	562.9	562.9	561.6	95	58	100	W 5	W 4	W 5	10≡	6	10≡*	13.6	* ⊹ ≡ 18-n, ≡ 6⁸/₄-11 m.U.
7	-5.4	-4.4	-2.6	-4.1	-0.3	558.3	555.2	551.8	100	100	100	W 5	W 6	W 6	10≡*	10≡*	10≡*	75.1	* ⊹ ≡ n-n
8	-5.2	-3.4	-0.5	-3.0	1.0	553.9	553.8	551.7	100	100	100	WNW 3	NW 3	W 5	10≡*	10≡*	10≡*	**94.4**	* n-n m.U., ≡ n-n, ⊹ n-16,
9	-5.1	-10.1	-13.8	-9.7	-5.6	551.9	551.0	550.7	100	100	100	W 3	NW 2	NW 3	10≡*	10≡*	10≡*	43.4	*⊹≡n-n, ⋁ I [⌿ abds., ⋁ I
10	-13.0	-13.0	-12.6	-12.9	-8.7	553.0	555.4	556.2	100	100	100	WNW 2	NW 3	WNW 3	10≡*	10≡*	10≡*	30.6	* ⊹ ≡ n-n, ⌿ (16¹/₂)
11	-12.9	-11.6	-13.2	-12.6	-8.3	556.9	557.1	556.5	100	100	100	W 2	W 2	NW 3	10≡*	10≡*	10≡*	31.8	* ≡ n-n, ⊹ 9-n, ⋁ I
12	-14.4	-12.8	-13.6	-13.6	-9.2	554.8	554.5	553.9	100	95	100	WNW 2	WSW 2	W 3	10≡	4	10≡*	6.3	* ≡ n-n m.U., ⊹ 13¹/₄-n
13	-14.2	-11.2	-10.5	-12.0	-7.4	549.8	548.2	549.2	100	100	100	WSW 2	W 2	W 2	10≡*	10≡*	10≡*	20.5	* ≡ n-n
14	-10.0	-8.6	-8.6	-9.1	-4.4	547.7	546.4	544.5	100	72	93	W 3	WSW 3	W 4	10≡*	10	10≡*	14.1	*⊹≡ n-11, 16-n m.U., ⌿ III
15	-11.0	-11.1	-12.0	-11.4	-6.6	**544.1**	546.5	550.0	94	100	100	W 4	W 4	W 3	10≡	10≡*	10≡*	16.9	* ⊹ ≡ ⌿ n-n m.U., ⋁ II
16	-11.8	-11.2	-11.3	-11.4	-6.5	553.5	556.2	560.0	100	95	100	W 3	NW 3	NW 3	10≡	10≡*	10≡	6.8	* 8¹/₄-17, ≡ ⊹ n-n, ⋁ I
17	-12.4	-6.7	-4.0	-7.7	-2.7	562.1	563.2	564.3	37	32	67	W 3	W 3	W 3	9	7	10	.	⊕ ⌿ (10¹/₂)
18	-2.6	-1.0	-1.0	-1.5	3.6	564.6	564.7	564.5	44	36	**23**	W 3	W 3	W 3	3	9	0	.	
19	-2.5	-1.0	-0.2	-1.2	4.1	563.8	563.9	564.2	42	52	67	W 4	W 4	W 3	2	5	0	.	⌿ n-n
20	**1.6**	1.2	-3.0	-0.1	5.3	562.5	559.8	556.7	66	58	100	W 4	WSW 3	W 4	6	10	10≡*	12.8	≡* 17-n, ⊕ (10¹/₂), ⌿ a, abds.
21	-7.8	-9.6	-10.2	-9.2	-3.7	556.9	560.0	562.7	100	100	100	W 6	NW 3	NW 2	10≡*	10≡*	10≡	14.9	*⊹ n-20¹/₂ m.U. ≡ n-n, ⌿ a, ⋁ I
22	-11.6	-5.0	-1.0	-5.9	-0.3	561.3	559.9	560.3	53	98	100	WSW 3	W 4	W 5	10	10≡*	10≡	31.3	* 13-15¹/₂, ≡ 12³/₄-n, ⌿ a-n, ⊹ p,
23	0.0	0.0	-1.0	-0.3	5.4	556.7	554.8	556.9	100	100	100	W 6	W 6	W 4	10≡	10=	10≡*	63.8	* 19¹/₂-n, ≡ ⌿ n-n [← 19⁸/₄-21
24	-2.9	-2.2	-2.2	-2.4	3.4	555.9	554.6	554.4	100	100	100	W 4	W 5	W 4	10≡*	10=	10≡*	33.2	* 6¹/₂-9, 16³/₄-n, ≡ ⌿ n-n
25	-2.1	-2.0	-8.0	-4.0	1.9	551.8	551.3	551.5	100	100	100	W 3	WSW 3	W 4	10=	10≡*	10≡*	33.6	* n-n m.U., ≡ n-n, ⊹ ⌿ 13-n,
26	-8.8	-8.4	-10.0	-9.1	-3.1	554.7	556.4	558.2	100	91	96	W 4	SW 3	WSW 2	10≡*	6	10≡	0.2	*⊹ ⌿ n-8¹/₂, ≡ n-n [⋁ (10¹/₄)
27	-12.0	-10.0	-11.2	-11.1	-5.1	558.4	559.5	561.9	48	45	**23**	SW 3	WSW 2	NNE 2	1	1	1	.	
28	-10.2	-8.4	-7.8	-8.8	-2.7	563.8	564.1	564.4	24	25	32	NNE 2	N 2	W 2	1	1	8	0.1	
29	-7.2	-4.7	-4.8	-5.6	0.6	562.5	563.1	564.2	96	100	100	W 4	WSW 3	N 2	10≡	10≡	10≡	6.4	* n-17¹/₂ ztw., ≡ 6⁸/₄-n,
30	-7.6	-7.8	-9.1	-8.2	-1.9	564.6	565.0	**566.1**	85	87	45	SE 1	N 1	E 2	1	10≡	1	.	≡ 13-17¹/₄ [⋁ II
Mittel	-7.5	-6.2	-6.8	-6.8	—	557.2	557.3	557.7	81	81	87				8.0	8.1	7.8	Summe 564.9	

November 1944.
Beobachter: Frl. *F. Lombardi.*

St. Gotthard (Hospiz)

$\lambda = 8° 34'$, $\beta = 46° 33'$,
$H_b = 2095.7$ m, $G = -0.25$ mm.

1	-7.0	-4.6	-6.8	-6.1	-3.8	590.6	590.0	588.5	81	95	100	S 0	S 0	SE 1	5	10*≡	10≡	4.0	*° 12⁸/₄-17¹/₄, ≡ 11¹/₄-n
2	-2.6	-2.0	-2.4	-2.3	0.2	583.6	581.8	581.8	100	100	100	E 0	E 1	SE 1	10*≡	10*≡	10*≡	18.0	* ≡ n-n, ⊹ 15-n
3	-2.4	-4.0	-7.0	-4.5	-1.9	581.8	585.7	586.5	90	90	100	SE 0	N 1	N 3	10	10≡	10≡	8.3	≡ 10-n, * ⌿ 14-n
4	-9.0	-1.4	-6.0	-5.5	-2.7	590.2	592.1	594.1	81	68	75	N 1	N 0	N 0	0	0	0	.	
5	-6.0	1.0	-4.6	-3.2	-0.3	594.8	594.9	594.5	58	66	68	N 0	S 0	S 0	0	0	0	.	
6	-5.6	-2.0	-2.6	-3.4	-0.4	593.6	593.2	592.7	52	52	70	N 0	NE 0	N 0	0	5	0	0.2	
7	-1.8	-0.2	-1.4	-1.1	2.1	590.2	587.0	584.9	85	88	100	NE 0	NE 0	NE 0	10*	10*≡	10*≡	**42.5**	* n-n, ≡ 12³/₄-n
8	-0.8	0.0	-0.4	-0.4	2.9	583.8	583.6	583.7	100	87	91	NE 3	NE 3	NE 1	10*≡	8	8	16.0	* ⌿ n-16, ≡ n-12³/₄
9	-0.8	-3.2	-8.7	-4.2	-0.8	581.3	580.7	580.2	94	83	100	NE 3	N 3	N 4	10*≡	5≡	10≡	18.7	*≡ n-10¹/₂, ≡ 17-n. ⌿ p
10	-10.6	-10.0	-12.8	-11.1	-7.6	582.2	585.1	584.8	100	100	100	N 4	N 3	N 4	10≡	10≡	10■	27.6	* zeitw., ≡ ⌿ n-n
11	-10.7	-8.4	-10.6	-9.9	-6.2	586.1	586.9	586.5	100	100	100	N 3	N 3	N 3	10≡	10≡	5≡	16.7	* zeitw., ≡ n-n m.U.
12	-13.4	-12.0	-13.0	-12.8	-9.0	585.0	585.4	585.2	70	70	66	N 2	N 2	N 1	5	3	3	2.6	
13	-11.8	-11.0	-10.2	-11.0	-7.1	581.1	579.6	579.5	90	100	100	S 1	S 1	S 1	10*≡	10*≡	10≡	16.8	*° 6-17, ≡ n-n, ⊹ ztw.
14	-10.2	-8.8	-10.8	-9.7	-5.7	578.3	577.0	575.1	95	96	98	S 0	SE 0	SE 1	8	10≡	10≡	12.4	*° 9-11, ≡ 12-n
15	-9.2	-7.2	-10.4	-8.9	-4.8	**573.7**	576.4	580.5	89	90	83	NE 0	NE 1	N 1	8	8	5	4.8	*° ⊹ zeitw.
16	-7.8	-7.0	-9.2	-8.0	-3.8	584.6	587.5	589.7	90	90	91	E 0	N 0	N 1	10*	0	10≡	0.5	* n-8¹/₄, ≡ 18-n, ⊹ abds.
17	-9.4	-4.6	-4.8	-6.3	-2.0	592.7	593.8	594.0	71	43	38	NE 0	S 0	S 0	5	2	2	.	[zeitw.
18	-5.2	**3.0**	0.8	-0.5	3.9	594.5	594.4	594.1	35	33	34	N 0	N 0	S 0	0	2	0	.	
19	-2.8	0.0	-0.8	-1.2	3.3	593.6	593.7	593.9	39	51	53	S 0	S 0	S 0	0	5	0	.	
20	-3.0	-2.8	-2.8	-2.9	1.7	592.9	591.1	589.8	71	85	100	S 0	S 2	S 2	5	10	10*≡	23.4	* 16-n, ≡ 18-n
21	-5.4	-6.2	-8.4	-6.7	-2.0	585.9	588.4	591.6	94	95	95	NE 3	NE 3	NE 3	10≡	10≡	10≡	14.3	* ⌿ ≡ n n
22	-8.4	-3.2	-2.8	-4.8	0.0	592.1	591.2	590.6	81	95	95	N 0	SE 1	SE 0	5	10*	10	20.9	*° seit 13 zeitw.
23	1.0	2.0	0.0	1.0	5.9	587.9	587.7	587.2	95	90	100	E 0	N 1	NW 1	10●	10●	10●*	30.4	● n-n, * 17-n
24	-1.0	2.7	0.8	0.8	5.8	585.5	585.3	585.5	94	62	83	N 1	SW 0	W 0	8≡	8	8≡	3.0	≡ I, III
25	-2.8	-1.2	-2.2	-2.1	3.0	582.1	581.4	581.7	100	98	100	S 0	S 0	S 0	10≡	10*≡	10≡	8.0	* 11¹/₄-17, ≡ n-n
26	-7.2	-7.8	-9.8	-8.3	-3.1	585.2	586.5	588.5	81	71	63	N 1	N 1	N 1	0	2	0	.	
27	-11.0	-8.2	**-13.6**	-10.9	-5.6	588.5	589.0	591.5	55	47	78	N 0	NW 1	N 1	0	0	0	.	
28	-11.4	-4.8	-7.8	-8.0	-2.6	593.4	593.9	594.2	37	43	**32**	NE 1	NE 1	NE 0	0	0	5	.	
29	-5.5	-2.4	-5.2	-4.4	1.1	592.8	592.5	593.2	90	99	100	NW 1	NW 1	NW 2	8	8	10≡	7.2	* 9¹/₄-11, * ⊹ seit 14,
30	-7.0	-3.6	-6.8	-5.8	-0.3	594.4	594.6	**595.9**	89	88	100	N 1	N 1	N 2	5	5	10≡	.	≡ 16⁸/₄-n [≡ 17¹/₂-n
Mittel	-6.3	-3.9	-6.0	-5.4	—	587.4	587.7	588.0	80	79	84				6.1	6.4	6.5	Summe 296.3	

$\lambda = 7° 26'$, $\beta = 46° 57'$,
$H_b = 572.2$ m, $G = 0.00$ mm

Bern

Dezember 1944.
Beobachter: *Tellur. Observatorium.*

Tag	Lufttemperatur					Luftdruck			Relative Feuchtigkeit			Windrichtung und Stärke			Bewölkung			Niederschlag	Witterung
	7^{30}	13^{30}	21^{30}	Mittel	Abweich. vom Normalst	7^{30}	13^{30}	21^{30}	7^{30}	13^{30}	21^{30}	7^{30}	13^{30}	21^{30}	7^{30}	13^{30}	21^{30}		
1	−0.4	1.6	0.0	0.4	−0.5	721.0	720.0	719.4	96	93	98	NE 0	NE 1	SW 0	8	8	10	.	≡ 8–10, ⌴ l
2	−0.6	2.2	0.2	0.6	−0.1	717.3	715.2	713.8	94	81	97	S 1	S 0	SE 1	10	9	4	.	⊕ mtgs.
3	4.2	4.8	3.1	4.0	3.4	715.2	715.6	712.6	74	59	98	W 1	W 2	WSW 1	9	10	10●	4.4	● $17^{3}/_{4}$–$23^{3}/_{4}$
4	8.0	7.2	6.2	7.1	6.6	707.7	707.1	707.4	79	96	84	WSW 4	WSW 4	WSW 3	10	10●	10	19.6	● 1–$1^{3}/_{4}$, $6^{1}/_{2}$, 7, 13–$23^{3}/_{4}$ m.U.
5	2.9	4.8	3.7	3.8	3.5	708.8	709.1	708.2	98	61	72	W 1	WSW 2	SW 1	9	9	5	2.2	● $0^{1}/_{4}$–8 m.U., ●°✳° 16
6	0.8	5.5	3.4	3.2	3.0	702.9	703.1	706.0	100	93	96	S 0	SW 2	SW 0	10●≡	10●	10	3.2	✳● 5–8, ●° a, ● 14–$20^{1}/_{4}$
7	2.1	4.6	3.1	3.2	3.1	704.0	700.1	**694.0**	93	78	99	SW 1	SE 0	SE 1	9	10	10	**46.8**	● $16^{1}/_{2}$–n m.U. [m.U., ≡ l
8	2.6	2.3	1.0	2.0	2.0	694.4	695.6	696.9	98	88	89	W 2	SW 2	W 0	10●	9	3	6.8	● n–$13^{3}/_{4}$ m.U., ✳ a zeitw.
9	0.2	1.6	−1.2	0.2	0.3	699.2	701.1	703.9	91	67	83	W 1	WSW 2	SW 0	9	8	0	0.0	✳ $2^{3}/_{4}$–$3^{3}/_{4}$ m.U., ✳° 16 ⊠
10	−2.4	1.9	−2.9	−1.1	−0.9	707.1	707.5	705.1	87	**50**	86	SE 1	WSW 2	W 0	9	1	0	0.6	✳° $6^{3}/_{4}$ ⊠
11	−1.2	1.8	5.1	1.9	2.2	700.7	698.1	698.4	95	93	90	S 1	E 0	W 2	10	10	10	9.5	✳$4^{1}/_{2}$–$11^{1}/_{4}$, ●14–$23^{3}/_{4}$ m.U. ≡ p ⊠
12	4.2	5.9	1.4	3.8	4.2	703.3	705.9	711.0	83	81	85	WSW 2	WSW 3	SW 1	9	9	1	2.2	● $5^{1}/_{4}$, $9^{3}/_{4}$, $14^{1}/_{2}$–15, △ $14^{3}/_{4}$
13	−0.1	1.6	0.1	0.5	1.0	714.0	715.4	716.6	100	95	100	W 0	SE 0	E 0	9*≡	10	10	0.1	✳ $6^{3}/_{4}$–$10^{1}/_{4}$ ztw., ≡ n–8 ⊠
14	−1.6	0.1	−0.2	−0.6	0.0	715.2	713.5	712.5	94	93	93	SE 1	NE 2	SE 0	9	10	9	.	⌴ l ⊠
15	−5.2	−0.4	−3.4	−3.0	−2.3	710.8	709.3	709.4	93	72	92	S 0	SE 0	S 0	9	9	3	.	⌴ l ⊠
16	−3.1	1.6	−0.6	−0.7	0.1	711.4	712.0	713.7	92	68	90	S 0	SE 0	SE 0	9	9	0	.	⌴ l ⊠
17	−4.5	2.5	−0.6	−0.9	−0.1	711.6	711.3	712.0	98	56	88	W 0	SE 0	S 0	1	8	8	.	⌴ l ⊠
18	−0.9	2.7	1.5	1.1	2.0	712.5	713.8	714.4	92	66	92	S 0	SW 0	W 0	9	10	10	0.0	●° $14^{1}/_{4}$, $15^{1}/_{2}$ ⊠
19	−0.2	2.7	0.1	0.9	1.9	714.4	714.0	715.4	100	81	92	E 0	N 0	N 0	9	9	0	.	≡ a, ⊕ p ⊠
20	−1.8	−1.3	−3.1	−2.1	−1.1	716.7	716.6	718.1	100	98	100	NE 1	NE 1	NNE 1	10≡	10	10	0.0	☽° $21^{1}/_{2}$–22, ≡ n-a, ⌴ l
21	−2.7	−1.5	−1.1	−1.8	−0.7	719.0	719.5	720.8	96	88	75	NE 1	NE 2	E 2	10	10	10	.	
22	−2.4	−1.3	−2.7	−2.1	−1.0	719.8	718.4	718.6	73	64	69	NE 2	NE 1	NE 2	9	9	10	.	
23	−4.2	−3.6	−4.7	−4.2	−3.0	719.5	718.3	716.8	73	66	70	NE 3	ENE 3	E 1	10	9	10	.	
24	−6.7	−4.6	−7.0	−6.1	−4.9	717.7	718.2	718.5	76	68	87	NE 2	NE 2	N 0	2	9	0	.	⌴ l, ◑ II
25	−7.4	−5.2	−5.2	−5.9	−4.6	718.0	717.0	717.5	94	86	94	SE 0	N 0	NE 0	10	9	10	.	
26	−6.7	−5.9	−6.1	−6.2	−4.9	717.7	716.8	716.2	96	93	96	W 0	NW 0	SW 0	10	10	10	.	
27	−7.8	−5.0	−7.6	−6.8	−5.4	716.5	716.1	717.0	96	84	100	S 1	SE 1	S 0	10	1	9≡	.	≡ 20–n
28	−9.7	−4.9	−7.5	−7.4	−6.0	717.1	716.3	716.4	97	98	99	S 1	SE 0	NE 0	10≡	2≡	0	.	≡ n–p
29	−4.8	−3.4	−4.5	−4.2	−2.7	717.1	717.0	716.2	87	70	64	NNE 3	ENE 3	ENE 3	6	9	9	.	⌴ l
30	−6.8	−4.4	−5.0	−5.4	−3.9	715.3	714.8	715.8	73	64	72	E 2	NE 3	S 0	1	1	9	0.0	
31	−5.0	−2.1	−3.9	−3.7	−2.2	713.9	713.6	712.9	71	96	94	S 0	NW 0	SW 1	10	9	9	3.0	✳ $8^{1}/_{2}$–$14^{1}/_{2}$, $21^{1}/_{2}$–$22^{3}/_{4}$
																		Summe	
Mittel	−2.0	0.4	−1.2	−0.9	—	712.2	712.0	712.1	90	79	86				8.5	8.3	6.7	98.4	

$\lambda = 6° 57'$, $\beta = 47° 0'$,
$H_b = 487.3$ m, $G = 0.02$ mm.

Neuchâtel

Dezember 1944.
Beobachter: *Observatorium.*

1	0.0	3.3	0.5	1.3	−0.6	**729.0**	728.0	727.5	89	87	89	NE 1	E 2	N 1	2	2	10	.	⌴ fr.
2	0.8	4.1	4.2	3.0	1.2	725.0	723.0	721.6	85	79	81	NW 1	SW 1	SW 1	10	10	5	0.7	
3	3.9	6.2	4.0	4.7	3.0	723.4	723.4	720.9	83	**64**	93	W 1	W 3	W 4	9	10	10●	8.9	● 4–5, $16^{1}/_{2}$–n
4	6.9	**8.4**	6.6	7.3	5.7	716.1	715.1	714.8	94	82	80	W 4	W 3	SW 2	10●	10●	10	11.9	● n–n
5	3.4	6.4	4.4	4.7	3.2	716.3	717.0	715.9	95	65	75	W 1	W 2	W 1	9	8	9	6.9	● n–a zeitw.
6	2.9	5.7	3.4	4.0	2.6	710.3	710.6	713.5	97	94	83	SW 3	SW 2	W 1	10●	10●	6	9.1	● n–14
7	3.6	5.7	5.5	4.9	3.6	711.5	707.6	701.3	85	79	98	W 2	SW 2	SW 2	9	10	10●	27.7	● 14–n
8	5.0	3.8	1.9	3.6	2.4	**700.8**	703.0	704.2	83	82	81	SW 2	SW 3	NW 1	10●	10	2	5.7	● n–9, ●ach. 14, ● ✳ n
9	1.0	2.6	0.6	1.4	0.3	706.5	708.6	711.5	87	74	79	W 1	SW 2	W 0	9	10	10	0.3	✳° a zeitw.
10	0.5	4.2	1.0	1.9	0.9	714.5	715.2	712.5	81	67	82	W 1	SW 2	W 2	8	4	10	2.0	
11	3.0	3.3	5.8	4.0	3.1	708.0	705.7	706.2	83	97	91	SW 4	SW 3	SW 3	10	10●	10●	**35.8**	● n–n
12	5.3	6.5	2.7	4.8	4.0	710.8	713.4	718.6	83	80	70	SW 1	W 2	W 1	10	8	1	1.2	●tr. zeitw.
13	1.0	2.1	1.6	1.6	0.8	721.7	723.2	724.6	98	96	98	W 1	E 1	NE 1	10	9	10	0.5	●° ✳° n–$13^{1}/_{2}$ m.U.
14	1.0	1.7	0.9	1.2	0.5	723.2	721.5	720.2	82	79	85	NE 2	NE 2	NE 1	10	10	9	.	
15	−1.2	1.3	−1.0	−0.3	−0.9	718.3	717.2	717.2	90	84	94	E 0	S 1	N 0	10	10	8	.	
16	−1.8	1.0	−0.1	−0.3	−0.8	719.1	719.8	721.4	96	89	91	NE 0	E 0	NE 0	10	7	8	.	⌴ fr.
17	−2.5	2.9	1.2	0.5	0.1	719.3	719.2	719.8	98	83	91	N 0	E 0	NE 0	6	4	10	.	⌴ fr.
18	0.6	2.0	2.1	1.6	1.2	720.0	721.9	722.0	94	96	100	NE 0	W 1	W 0	10	10●	10≡	4.4	● 12–n, ⌴ fr., ≡ III
19	1.2	5.0	2.0	2.7	2.4	722.0	721.9	723.3	100	74	84	NE 0	NE 1	NE 1	9	9	9	.	
20	−0.8	−1.0	−1.8	−1.2	−1.4	724.7	724.6	726.4	94	94	92	NE 1	NE 1	NE 1	10	10	10	.	⌴ fr.
21	−1.7	−0.3	−0.4	−0.8	−1.0	727.0	727.6	728.9	82	81	81	NE 1	NE 1	NE 1	10	10	10	.	
22	−1.4	−0.4	−3.2	−1.7	−1.8	728.0	726.5	726.5	74	67	74	NE 1	NE 2	NE 3	10	8	0	.	
23	−4.0	−3.3	−4.7	−4.0	−4.0	727.6	726.1	725.0	73	68	70	NE 3	NE 3	NE 3	10	9	2	.	
24	−5.9	−3.0	−4.7	−4.5	−4.5	725.5	726.4	726.6	70	65	74	NE 3	NE 2	NE 2	8	8	3	.	
25	−5.1	−4.1	−6.2	−5.1	−5.0	726.0	725.1	725.7	81	82	87	NE 1	E 1	NE 1	10	10	5	.	
26	−5.9	−4.8	−5.5	−5.4	−5.2	726.0	724.9	724.3	88	86	90	N 1	NE 1	NE 0	10	10	9	.	
27	−4.8	−3.7	−4.5	−4.3	−4.1	724.2	724.3	725.0	88	85	93	NE 1	SW 1	NW 1	10	10	10	.	
28	−7.1	−4.2	−6.0	−5.8	−5.5	725.1	724.5	724.7	92	91	95	NW 1	E 1	NE 0	9	10	1	.	⌴ fr.
29	−3.5	−1.9	−4.0	−3.1	−2.8	724.7	724.7	723.8	87	70	69	NE 3	NE 4	NE 4	9	4	7	.	
30	−5.6	−3.1	−3.8	−4.2	−3.8	723.0	722.8	723.9	73	66	70	NE 3	NE 2	NE 1	8	1	9	.	
31	−3.2	−0.1	−2.2	−1.8	−1.4	722.1	721.6	720.8	83	**64**	82	N 0	E 1	NE 0	10	7	10*	3.2	✳ $7^{1}/_{2}$–n zeitw.
																		Summe	
Mittel	−0.5	1.5	0.0	0.3	—	720.0	719.8	719.9	87	80	85				9.5	8.3	7.5	118.3	

Dezember 1944.
Beobachter: Frl. *H. Nager.*

Altdorf

$\lambda = 8° 39'$, $\beta = 46° 53'$,
$H_b = 456.3$ m, $G = -0.05$ mm.

Tag	Lufttemperatur 7³⁰	13³⁰	21³⁰	Mittel	Abweich. vom Normalst	Luftdruck 7³⁰	13³⁰	21³⁰	Relative Feuchtigkeit 7³⁰	13³⁰	21³⁰	Windrichtung und Stärke 7³⁰	13³⁰	21³⁰	Bewölkung 7³⁰	13³⁰	21³⁰	Niederschlag	Witterung
1	−0.7	3.9	−1.0	0.7	−2.1	731.8	730.5	730.0	93	63	90	E 0	N 0	SE 0	3	0	2	.	
2	−1.9	3.3	−0.7	0.2	−2.5	727.4	724.8	724.6	94	74	94	SE 0	SE 0	SE 0	7	10	7	1.0	
3	3.2	6.3	3.3	4.3	1.7	724.2	724.4	722.3	92	63	95	E 1	E 0	E 0	10●	10	10●	14.8	● n–n zeitw.
4	5.4	8.1	5.5	6.3	3.9	717.1	714.2	716.6	98	93	88	E 0	NW 1	SE 0–1	10●	10●	10●	25.7	● n–n
5	3.0	4.9	2.4	3.4	1.1	718.0	718.3	718.8	95	93	89	S 0	S 0	E 0	10●	9	10	3.1	● l
6	5.8	7.1	8.6	7.2	5.0	712.4	712.3	716.0	47	77	95	SE 2	E 0–1	E 0	10●	10	10	3.2	● l, abds. zeitw.
7	1.8	5.1	7.4	4.8	2.7	714.5	709.5	706.5	92	65	45	E 0	NW 0–1	SE 0	10	10	10	0.2	
8	6.5	3.0	1.9	3.8	1.8	703.8	705.8	707.2	70	87	94	W 1	NW 1	E 0	10●	10●	10	8.2	● l, ll
9	1.3	3.9	−0.9	1.4	−0.5	708.6	710.6	714.4	92	58	70	NW 0	NW 0	E 0	10●	7	0	0.6	● l
10	−1.8	1.9	−2.9	−0.9	−2.7	717.3	717.7	715.3	72	45	63	SE 0	W 0	W 0	10	3	0	.	
11	5.0	7.4	8.8	7.1	5.4	710.7	707.7	706.9	28	28	32	S 2–3	S 2–3	S 3	10	10	10	0.0	● abds. zeitw.
12	3.5	7.2	3.4	4.7	3.1	713.6	715.0	720.9	82	76	95	SW 0	NE 0	NW 0	10	6	10	3.4	● 17-n
13	1.2	1.4	1.3	1.3	−0.2	724.0	725.6	727.4	95	95	96	S 0	NW 0	SW 0	10	10	10	4.0	✳ 10–12½
14	−1.2	1.7	−2.0	−0.5	−1.9	725.7	723.8	723.1	87	83	70	SE 0	E 0	E 0	4	2	0	.	
15	−4.5	1.0	−2.3	−1.9	−3.2	720.8	719.3	719.3	87	65	87	SE 0	SE 0	SE 0	2	10	0	.	
16	−3.9	2.9	−0.6	−0.5	−1.7	721.6	722.3	724.3	85	67	83	SE 0	SE 0	SE 0	0	10	0	.	
17	7.2	9.8	9.1	8.7	7.6	720.5	721.3	721.8	29	25	29	SE 3	SE 1	SE 2	3	2	3	.	
18	7.5	5.8	1.6	5.0	4.0	722.5	723.9	724.4	33	60	80	SE 1	NW 0	E 0	6	8	4	.	
19	1.3	4.6	1.9	2.6	1.7	724.6	724.3	726.3	89	78	93	NW 0	NW 0	NW 0	10	10	10	.	
20	2.0	2.0	1.8	1.9	1.0	727.3	727.0	728.6	88	88	92	NW 0	NW 0	NW 0	10≡	10≡	10≡	.	≡ n–n
21	0.1	0.7	0.4	0.4	−0.4	729.3	730.2	731.6	86	80	84	NW 0	NW 0	NW 0	10≡	10	10≡	.	≡ l, lll
22	0.0	0.8	−1.2	−0.1	−0.8	730.8	729.2	729.9	61	70	95	E 0	E 0	E 0	10	10	7	.	
23	−1.8	−1.1	−2.2	−1.7	−2.3	730.6	729.4	728.3	55	50	53	E 0–1	E 0	NW 0	10	10	10	.	
24	−5.1	−1.9	−3.0	−3.3	−3.9	728.7	729.0	729.4	71	59	70	NE 0	NW 0	E 0	10	6	10	.	
25	−2.8	−1.1	−3.7	−2.5	−3.0	728.8	727.8	728.4	71	65	78	E 0–1	E 0	SE 0	10	10	10	.	
26	−3.0	−1.6	−3.4	−2.7	−3.1	728.3	727.2	726.6	80	70	75	E 0	SE 0	SE 0	10	10	10	.	
27	−1.7	−1.1	−5.1	−2.6	−3.0	726.5	726.3	728.2	45	70	90	SE 0	S 0	SW 0	8	7	8	.	
28	−5.3	−2.0	−6.3	−4.5	−4.8	727.7	726.9	727.6	98	85	76	SW 0	NW 0	SE 0	10≡	0	0	.	≡ l
29	−4.1	−1.3	−6.0	−3.8	−4.1	728.3	728.3	727.0	76	58	58	SW 0	SE 0	SE 0	10	10	3	.	
30	−7.8	−3.0	−4.8	−5.2	−5.4	726.5	725.9	726.8	62	50	62	SE 0–1	SE 0–1	E 0	3	2	10	.	
31	−3.4	−2.1	−5.5	−3.7	−3.9	724.1	722.0	721.9	64	53	63	E 0	E 2	NW 2	10*	10*	10*	8.4	✳ 7½–n
																		Summe	
Mittel	0.2	2.5	0.2	1.0	—	722.5	721.9	722.6	75	67	77				8.3	7.8	6.9	72.6	

Dezember 1944.
Beobachter: *Observatorium.*

Genf

$\lambda = 6° 9'$, $\beta = 46° 12'$,
$H_b = 405.0$ m, $G = -0.03$ mm.

1	3.0	6.0	0.6	3.2	0.2	735.9	734.4	734.6	84	67	92	E 0	NE 0	E 0	6	5	0	.	
2	0.5	4.5	4.2	3.1	0.2	732.5	730.3	729.2	94	80	81	ESE 0	ENE 0	NNE 0	10	5	3	0.1	●sch. n
3	4.4	8.1	4.5	5.7	3.0	731.3	731.5	730.3	83	59	90	SE 0	S 0	WSW 0	4	10	10●	4.0	● 18½–n
4	8.6	10.4	9.4	9.5	6.9	726.0	725.0	725.8	85	78	71	SW 1	SSW 2	SW 1	10	10	10	6.8	● a, p
5	5.5	7.2	6.1	6.3	3.8	724.8	725.0	725.1	84	67	74	S 0	SW 0	SSW 1	6	9	9	2.9	●sch. a, n
6	6.6	7.7	5.0	6.4	4.0	718.1	718.6	721.4	76	82	87	SW 1	SW 1	S 0	10	8	3	0.7	● n–p, ◠ 13⅜
7	3.8	6.4	8.4	6.2	3.9	719.3	715.7	710.5	87	73	93	E 0	WSW 0	SW 0	7	10●	10●	30.5	● p–n
8	6.6	4.6	3.2	4.8	2.6	709.0	711.0	712.9	79	77	82	ESE 2	S 0	NNE 0	10	6	5	8.6	✳ n (8./9.)
9	0.8	2.9	1.0	1.6	−0.5	714.9	716.8	719.7	96	82	85	ENE 0	S 0	WSW 0	9	8	10*	2.0	✳ lll
10	−0.8	4.4	0.0	1.2	−0.8	723.0	722.7	720.4	98	65	78	SE 0	E 0	ENE 0	7	1	8	1.3	
11	2.6	4.0	8.0	4.9	3.0	716.5	713.6	716.4	86	90	75	SW 0	S 0	SW 1	10	10●	10●	10.0	● n–n m.U.
12	7.0	6.2	2.4	5.2	3.4	719.0	722.2	726.3	80	88	83	SW 1	SW 1	E 0	10	9●	0	.	● ll
13	1.8	4.3	2.8	3.0	1.3	729.3	730.2	730.9	82	91	87	SE 0	NE 0	NE 1	10	6	5	0.3	
14	0.0	2.5	0.7	1.1	−0.5	729.6	728.1	727.8	96	71	87	ESE 0	NE 0	E 0	10	8	9	.	
15	−4.8	1.4	−0.6	−1.3	−2.8	725.7	724.0	724.6	100	71	94	E 0	E 0	SE 1	5	10	10	.	⌊ l
16	−1.2	4.2	1.6	1.5	0.1	726.6	727.1	728.3	98	65	89	SE 0	E 0	E 0	10≡	3	10	.	≡ ⌊ l
17	−1.2	4.0	2.4	1.7	0.4	726.5	725.9	726.6	96	78	93	ENE 0	NE 1	ESE 1	8	5	5	.	⌊ l
18	1.2	3.2	5.0	3.1	1.9	727.3	728.9	729.4	88	93	100	ESE 0	ESE 0	ESE 0	10	10●	10●≡	7.0	● 10–n; ≡ lll
19	2.4	5.9	3.2	3.8	2.7	729.1	729.1	730.0	100	82	97	SSE 0	NE 0	E 0	10≡	8	10≡	.	≡ l, lll
20	0.4	2.5	0.5	1.1	0.0	731.8	731.5	733.2	100	84	90	ESE 0	NE 0	NNE 1	10≡	10	10	.	≡ l
21	0.2	0.8	1.2	0.7	−0.3	734.2	734.7	735.6	87	71	76	NE 1	NE 1	NNE 2	10	10	10	.	
22	0.0	0.6	−0.2	0.1	−0.8	734.6	732.8	732.7	74	68	70	NNE 1	NE 1	NE 1	10	7	10	.	
23	−2.2	−2.8	−3.8	−2.9	−3.7	734.2	732.4	729.8	75	76	73	NE 1	NNE 2	NE 2	10	10	10	.	
24	−4.6	−2.2	−4.3	−3.7	−4.5	733.5	733.0	732.8	78	76	77	ENE 0	NE 0	ENE 0	8	3	4	.	
25	−4.5	−1.7	−5.0	−3.7	−4.4	733.2	731.9	732.3	88	96	100	E 0	E 1	E 0	10	10	10	.	
26	−3.8	−2.3	−2.8	−3.0	−3.6	732.6	732.0	731.8	95	96	96	NE 0	NNE 1	NE 0	10	10	10	.	
27	−5.2	−3.1	−4.2	−4.2	−4.8	732.2	731.4	732.6	100	96	100	E 0	NE 0	E 0	10	5	10	.	
28	−4.3	−2.4	−5.4	−4.0	−4.5	732.9	732.1	731.1	95	96	90	E 0	E 0	E 0	10	4	8	.	
29	−1.2	−1.0	−1.8	−1.3	−1.8	731.4	729.0	729.3	80	79	79	NE 2	NE 2	NE 3	8	5	3	.	
30	−3.8	−1.0	−1.4	−2.1	−2.5	728.9	729.2	730.2	73	77	75	NE 1	ENE 1	NE 1	7	3	6	.	
31	−4.1	−1.6	−2.0	−2.6	−3.0	730.0	729.8	728.7	95	96	100	E 0	E 0	ESE 0	10	9	10	0.7	✳ seit 10½
																		Summe	
Mittel	0.5	2.7	1.2	1.5	—	727.6	727.1	727.4	88	80	86				9.2	7.6	7.9	74.9	

$\lambda = 8°\ 33'$, $\beta = 47°\ 23'$,
$Hb = 493.2$ m, $G = 0.03$ mm.

Zürich

Dezember 1944.
Beobachter: *Meteorol. Zentralanstalt.*

Tag	Lufttemperatur					Luftdruck			Relative Feuchtigkeit			Windrichtung und Stärke			Bewölkung			Niederschlag	Witterung
	7^{30}	13^{30}	21^{30}	Mittel	Abweich. vom Normalst.	7^{30}	13^{30}	21^{30}	7^{30}	13^{30}	21^{30}	7^{30}	13^{30}	21^{30}	7^{30}	13^{30}	21^{30}		
1	0.0	2.2	1.4	1.2	−0.2	728.5	727.5	726.3	100	87	93	NNW 1	NNE 1	WNW 1	10*	10	10	.	≡ a, ⌴ I
2	0.6	5.0	3.2	2.9	1.6	723.9	721.7	720.5	93	72	79	SSW 1	SSW 1	NW 1	10	9	3	0.2	
3	4.2	6.7	4.5	5.1	3.9	721.9	721.8	718.2	78	64	92	WNW 2	WSW 2	SSW 3	7	9	10●	9.1	● ⛆ 18–23⅜
4	8.7	8.8	7.4	8.3	7.2	712.7	712.0	712.5	83	80	64	SW 3	WSW 3	WSW 1	10●	9	10	8.3	●° ⛆ 4–15½ zeitw., 23¼–n
5	4.4	5.6	4.5	4.8	3.8	714.5	715.2	714.8	84	70	71	W 2	W 2	SSW 2	8	9	1	1.7	● n–2⅝ m.U., 10⅝–11½
6	1.0	6.8	4.1	4.0	3.1	709.5	709.0	712.3	99	79	92	SE 1	WSW 2	WSW 1	10●*	10	10	1.4	● ✳ 6¼–10
7	4.7	5.7	4.6	5.0	4.2	710.7	706.9	700.8	75	78	95	WSW 1	S 1	SSE 1	9	10	10●	44 0	● 17¾–n
8	5.1	3.0	2.7	3.6	2.8	700.2	702.0	703.2	92	92	81	WSW 2	S 2	WSW 2	10●	10	9	5.0	● n–11 m.U.
9	1.6	1.6	1.4	1.5	0.8	705.4	707.6	710.6	82	83	76	WSW 1	WNW 1	SW 1	9	7	8	0.2	✳ 3⅜–4¼, ✳fl. a, p zeitw.
10	0.7	4.2	−0.9	1.3	0.7	713.5	714.2	711.8	76	56	75	SSW 2	SSW 2	SE 1	9	3	0	1.6	
11	0.0	3.1	5.8	3.0	2.5	707.4	704.8	704.2	96	88	80	SSE 1	S 0	SW 2	10*	10	10●	5.2	✳° 5¼–9, ● 16–23½ ✳
12	4.8	6.6	2.2	4.5	4.1	710.0	711.9	717.6	83	80	88	SSW 2	W 3	WNW 1	8	9	7	2.2	● ⛆ 11¼–14 m.U.
13	0.7	2.4	1.1	1.4	1.1	720.6	722.2	724.1	98	92	100	WNW 0	W 0	N 1	10*	9	10	1.1	✳ ● 7¼–8¼
14	0.4	1.1	1.4	1.0	0.7	723.0	721.1	719.6	93	90	90	W 1	NNE 1	NE 1	9	10	10	.	✳ ● 0½–1¼
15	−1.3	2.2	−1.4	−0.2	−0.4	717.4	715.9	716.2	92	71	95	S 1	SE 1	SE 0	2	10	1	.	
16	−3.3	−0.2	0.1	−1.1	−1.2	717.9	719.2	720.3	100	91	95	SE 0	SE 0	SE 1	3≡	6≡	9	.	≡ I, II, ⌴ I
17	−3.4	4.5	−0.7	0.1	0.1	718.4	718.3	718.8	100	56	95	NNW 0	NNW 1	NW 1	1≡	4	8≡	0.1	≡ I, III, ⌴ I
18	−1.8	3.6	0.3	0.7	0.7	719.3	720.5	721.3	98	76	96	NNE 0	NW 0	NNW 0	9	10≡	0	0.0	≡ II
19	0.0	3.0	−1.0	0.7	0.8	721.9	721.6	723.1	96	76	93	ESE 0	NNW 0	NNE 1	10	10	9	.	≡ a, ⌴ I
20	−1.8	−2.2	−2.8	−2.3	−2.1	724.5	724.3	725.9	96	95	96	ENE 1	NE 1	ENE 1	10	10	10	.	
21	−1.9	−0.8	−1.1	−1.3	−1.1	726.4	727.2	728.4	97	95	92	NW 1	NW 0	ENE 1	10	10	10	.	
22	−1.8	−1.2	−3.0	−2.0	−1.7	727.2	726.4	727.1	85	77	78	NE 1	N 1	NNE 0	10	9	9	.	
23	−4.1	−3.1	−4.3	−3.8	−3.4	727.8	726.8	725.6	76	72	77	E 1	ESE 1	NE 1	10	9	10	.	
24	−6.4	−4.2	−6.1	−5.6	−5.2	725.8	726.1	725.7	79	74	93	NE 2	NE 2	ESE 0	8	3	0	.	
25	−5.2	−4.6	−7.4	−5.7	−5.2	725.5	724.8	724.9	90	86	98	ENE 1	NNE 1	E 0	10	10	8	.	
26	−5.7	−5.1	−6.9	−5.9	−5.3	725.1	724.3	723.3	94	92	99	NNW 1	W 0	E 1	10	10	1	.	
27	−5.8	−4.0	−6.4	−5.4	−4.8	723.3	723.0	724.0	93	87	98	W 0	WSW 0	SW 1	10	5	9	0.0	≡ III
28	−7.2	−4.2	−6.7	−6.0	−5.3	724.0	723.6	724.6	99	92	99	S 1	SSW 0	SSW 0	10≡	10≡	10≡	0.0	≡ n–n
29	−4.3	−1.6	−4.3	−3.4	−2.7	725.7	725.5	724.6	94	75	76	NNW 1	NE 1	ENE 1	10	6	9	.	
30	−5.4	−3.3	−4.8	−4.5	−3.7	723.2	723.1	723.0	82	70	85	ENE 1	NNW 1	NNE 1	9	4	10	0.0	
31	−2.7	−1.1	−3.0	−2.3	−1.5	720.1	719.9	719.4	72	83	96	WNW 1	WNW 1	N 1	10*	9	10	1.9	✳° 7–12, p m.U., ✳ 18, [20¼–21¼
Mittel	−0.8	1.3	−0.5	−0.0	—	719.2	719.0	719.1	90	80	88				8.7	8.4	7.5	Summe 82.0	

$\lambda = 8°\ 30'$, $\beta = 47°\ 3'$,
$Hb = 1787.3$ m, $G = 0.20$ mm

Rigi-Kulm

Dezember 1944.
Beobachter: *J. Wiget.*

1	−6.2	−1.3	−1.8	−3.1	−1.0	619.4	619.0	618.9	100	44	45	E 2	SW 1	SW 1	1	3	4	.	✳
2	2.0	4.0	−0.8	1.7	3.9	617.1	616.3	614.3	28	30	50	SW 2	W 2	W 4	4	10	5	2.2	✳
3	−4.4	−5.8	−4.0	−4.7	−2.4	614.4	613.9	613.4	—	—	—	SW 1	W 3	W 4	10≡	10≡	10*≡	5.0	✳ 18–n, ≡ n–n ✳
4	0.0	−0.2	−4.0	−1.4	1.0	608.7	605.6	608.5	—	—	—	W 4	W 4	W 4	10●*≡	10	10	21.1	● ✳ ≡ I ✳
5	−5.0	−5.6	−6.0	−5.5	−3.0	608.5	606.8	608.8	—	—	—	E 1	W 3	W 3	10*≡	9	10	1.8	✳ ≡ I ✳
6	−4.8	−2.0	−3.0	−3.3	−0.7	604.6	604.4	606.1	—	—	—	SW 2	W 3	W 3	10*≡	10≡	10*≡	9.5	✳ I, III, ≡ n–n ✳
7	−5.0	−4.7	−2.0	−3.9	−1.2	605.8	603.4	599.3	—	—	—	W 2	W 1	W 3	10≡	10	10*≡	6.6	✳ 18–n zeitw., ≡ I, III ✳
8	−2.4	−6.4	−7.2	−5.3	−2.5	596.6	596.7	598.2	—	—	—	W 3	W 3	W 3	10*≡	10≡	10≡	13.4	✳ I, ≡ n–n ✳
9	−8.0	−8.1	−9.4	−8.5	−5.6	599.5	601.0	603.2	—	—	—	W 3	W 2	W 2	7	10	10	.	≡ zeitw. ✳
10	−9.6	−8.6	−10.0	−9.4	−6.4	605.9	606.3	606.5	—	—	—	W 3	W 2	W 2	10	4	3	0.3	✳
11	−4.8	−2.5	−1.6	−3.0	0.1	601.9	600.9	599.4	60	65	100	W 3	W 0	SW 3	10≡	10	10*	4.9	✳ 16–n, ≡ I ✳
12	−3.8	−3.2	−5.0	−4.0	−0.9	605.3	606.6	609.3	100	100	100	SW 2	W 2	W 3	10	7	10≡	3.7	✳ 14–19, ≡ III
13	−7.2	−6.5	−8.5	−7.4	−4.2	612.6	613.7	614.6	100	100	100	W 2	W 1	W 1	10*	10≡	5	4.0	✳ I, ≡ II ✳
14	−7.8	−6.4	−6.5	−6.9	−3.6	613.5	612.5	612.0	100	78	78	E 1	E 1	S 1	10≡	10≡	0	.	≡ I, II ✳
15	−4.4	−3.0	−4.2	−3.9	−0.5	610.3	610.3	610.4	60	45	39	SW 1	SW 1	SW 1	1	10	7	.	✳
16	−3.2	0.0	−2.8	−2.0	1.4	611.6	612.3	613.7	25	27	40	W 1	W 0	E 1	5	7	8	.	✳
17	−2.4	0.0	−0.8	−1.1	2.4	612.6	613.1	613.4	100	44	45	S 2	S 2	S 2	0	5	5	.	✳
18	−0.7	0.0	−0.2	−0.3	3.3	613.7	614.3	614.2	28	30	50	SE 1	WSW 1	SW 0	6	8	9	.	✳
19	−0.8	2.3	1.5	1.0	4.6	615.0	615.0	615.4	—	—	—	S 1	S 2	S 2	8	9	5	.	✳
20	1.2	2.5	1.0	1.6	5.3	616.5	616.1	616.3	—	—	—	NE 1	ENE 1	E 1	7	4	7	.	✳
21	−4.0	−5.4	−9.0	−6.1	−2.4	616.2	616.9	617.2	—	—	—	W 1	NNW 1	W 0	8	2	10≡	.	≡ 16–n ✳
22	−7.4	−7.0	−9.0	−7.8	−4.0	616.2	615.5	615.6	—	—	—	NE 2	E 2	E 3	3	1	0	.	✳
23	−10.0	−10.8	−12.2	−11.0	−7.2	615.8	615.1	616.6	—	—	—	E 3	E 3	E 3	0	0	4	.	✳
24	−9.0	−2.4	−2.4	−4.6	−0.8	614.2	615.5	616.1	35	33	30	E 2	E 2	E 2	3	8	1	.	✳
25	−3.6	−2.0	−3.6	−3.1	0.8	616.0	615.2	615.1	33	28	25	SE 1	E 2	E 3	0	0	0	.	✳
26	−4.0	−2.2	−1.0	−2.4	1.5	615.9	614.9	615.1	18	17	14	SE 1	E 2	E 2	0	0	0	.	✳
27	−1.8	−1.9	−4.5	−2.7	1.2	615.2	614.8	615.3	9	13	11	SE 3	SW 1	W 1	0	0	0	.	✳
28	−6.8	−4.7	−7.8	−6.4	−2.4	615.3	615.0	615.3	12	16	20	NE 1	SW 0	E 1	0	0	0	.	✳
29	−11.8	−12.4	−13.4	−12.5	−8.5	614.1	613.9	613.3	100	100	100	E 3	ESE 2	E 2	10≡	10≡	10≡	.	≡ n–n ✳
30	−12.4	−13.0	−12.6	−12.5	−8.5	611.8	611.8	612.5	41	60	30	E 3	E 3	E 1	1	0	5	.	✳
31	−10.4	−10.2	−12.1	−10.9	−6.8	610.8	610.2	609.7	100	100	100	W 3	W 2	W 2	10*≡	10*≡	10≡	13.8	✳ seit 7¼ a. II, ≡ n–n ✳
Mittel	−5.1	−4.1	−5.2	−4.8	—	611.4	611.2	611.5	—	—	—				5.9	6.4	6.1	Summe 86.3	

Dezember 1944.
Beobachter: *P. Nogler.*

Bevers

$\lambda = 9° 53'$, $\beta = 46° 33'$,
H_b = ca. 1710 m, G = –0.23 mm.

Tag	Lufttemperatur					Luftdruck			Relative Feuchtigkeit			Windrichtung und Stärke			Bewölkung			Niederschlag	Witterung
	7³⁰	13³⁰	21³⁰	Mittel	Abweich. vom Normalst	7³⁰	13³⁰	21³⁰	7³⁰	13³⁰	21³⁰	7³⁰	13³⁰	21³⁰	7³⁰	13³⁰	21³⁰		
1	-14.6	-6.5	-11.6	-10.9	-4.5	626.7	626.5	625.9	94	46	76	W 1	W 2	NW 1	10	4	2	.	
2	-12.6	-2.6	-6.1	-7.1	-0.5	624.1	621.9	620.6	88	61	81	W 1	W 2	W 0	3	6	3	.	
3	-7.0	-2.2	-4.3	-4.5	2.2	618.9	618.9	618.8	84	86	92	SW 1	NW 2–3	NW 1	6	8	10*	3.4	✳ 20-n
4	-0.4	2.6	-2.8	-0.2	6.7	614.7	613.9	614.3	88	95	100	W 1	NW 2	N 1	10*	10*	10*	8.0	✳ n-n
5	-3.0	0.0	-13.6	-5.5	1.5	613.5	614.1	615.1	100	50	86	E 1–2	W 2	W 1	10	4	0	0.1	✳ n-10
6	-0.4	-3.0	-12.2	-5.2	2.0	612.8	611.6	613.0	86	65	94	E 0	NE 1–2	NW 1	10	4	0	0.0	✳° a
7	-14.2	-1.8	-4.0	-6.7	0.6	612.4	610.7	608.5	87	51	97	W 1	NW 2	W 0	3	10	10*	8.8	✳ 18-n
8	-1.2	0.0	-5.2	-2.1	5.3	603.6	602.8	603.2	100	96	95	NE 1	NW 1	N 1	10*	10*	10	14.3	✳ n-19
9	-13.4	-11.4	-14.0	-12.9	-5.3	606.0	606.9	609.9	87	68	89	W 1	W 0	W 1	6	7	0	.	
10	-22.0	-13.0	-22.4	-19.1	-11.4	612.9	613.7	614.2	88	51	86	W 1	W 1	W 0	0	0	0	.	
11	-8.3	-4.0	-4.2	-5.5	2.3	611.5	610.1	609.7	42	88	90	E 1	W 1	W 0	10	10*	10*	3.6	✳ 10-n
12	-4.0	-1.0	-11.4	-5.5	2.5	611.7	613.5	616.1	95	66	95	W 0	NW 2	N 0	10	10	2	.	
13	-9.2	-3.4	-6.2	-6.3	1.8	618.5	618.8	620.0	94	50	82	E 1	NW 2	W 1	10	10	3	.	
14	-14.0	-6.6	-15.2	-11.9	-3.7	620.3	619.7	619.3	95	51	96	N 1	W 2	NW 0	0	0	0	.	
15	-15.8	-5.6	-14.6	-12.0	-3.7	617.5	617.9	618.3	93	64	91	SW 0–1	W 2	W 1	6	10	6	.	
16	-13.9	-4.3	-11.0	-9.7	-1.2	619.7	622.2	622.5	90	62	92	S 1	SW 2	W 0	10	10	4	.	
17	-13.6	-2.0	-6.8	-7.5	1.1	622.7	622.7	622.8	95	52	88	E 1–2	NW 2	W 0	10	7	0	.	
18	-9.2	-3.6	-11.0	-7.9	0.8	622.1	621.9	622.1	98	61	94	S 1	SW 2	W 1	8	6	0	.	
19	-12.0	-3.7	-6.4	-7.4	1.4	622.7	623.7	623.5	99	52	97	SW 1	W 2	SW 1	6	7	0	.	
20	-11.4	-4.3	-10.4	-8.7	0.2	622.7	622.4	622.3	97	60	93	W 0	W 1	SW 1	0	0	0	.	
21	-10.2	-4.0	-12.2	-8.8	0.2	621.6	623.1	623.5	97	71	100	W 0	W 1	SW 0	6	6	10	.	
22	-18.0	-11.5	-19.0	-16.2	-7.1	622.9	622.8	622.4	100	60	87	SW 1	NW 2	N 1	10	0	0	.	
23	-23.0	-13.0	-14.0	-16.7	-7.6	620.9	620.5	620.1	87	57	95	NW 1	W 2	W 1	0	0	0	.	
24	-16.2	-7.4	-16.2	-13.3	-4.1	622.8	623.8	624.6	95	66	88	E 1–2	W 2	N 1	2	0	0	.	
25	-19.0	-11.0	-12.8	-14.3	-5.0	624.0	624.2	624.0	87	52	79	NE 1	W 2	N 1	0	0	0	.	
26	-20.8	-12.2	-19.1	-17.4	-8.1	623.1	623.0	622.8	81	53	80	NW 1	NW 1	NW 0–1	0	0	0	.	
27	-20.0	-10.4	-17.8	-16.1	-6.7	623.0	622.6	622.5	81	51	74	N 1	NW 1	N 1	0	0	0	.	
28	-21.0	-12.3	-21.5	-18.3	-8.9	621.7	620.7	620.5	78	57	75	N 0	W 1	N 1	0	0	0	.	
29	-19.5	-10.8	-19.6	-16.6	-7.1	619.7	619.3	618.7	78	51	80	NE 1–2	NW 1	NE 1	0	0	0	.	
30	-26.0	-13.0	-19.2	-19.4	-9.9	618.7	618.0	617.1	81	64	72	W 0	N 1–2	NE 1	0	0	0	.	
31	-10.0	-10.5	-11.8	-10.8	-1.2	613.6	612.9	612.0	88	80	97	W 0	NW 2–3	N 2	10*	10*	10*	0.9	✳ ⫩ n-n
																		Summe	
Mittel	-13.0	-6.2	-12.2	-10.5	—	618.3	618.2	618.3	89	63	88				5.4	4.8	2.9	39.1	

Dezember 1944.
Beobachter: *Kapuzinerkloster.*

Sitten

$\lambda = 7° 21'$, $\beta = 46° 14'$,
H_b = 548.6 m, G = –0.11 mm.

1	-1.2	3.8	-0.4	0.7	-1.1	723.2	722.0	722.2	82	58	80	NNW 0	N 0	N 0	1	1	1	.	⌊ l
2	-1.6	3.9	0.2	0.8	-0.8	720.4	718.1	717.1	75	60	78	N 0	N 1	N 0	1	9	2	.	⌊ l
3	3.4	6.7	1.9	4.0	2.5	717.3	717.8	717.4	85	66	100	N 1	WSW 1	WSW 0	7	10	10●	9.8	● 18-n
4	2.4	10.9	7.8	7.0	5.6	712.5	709.8	710.2	100	57	71	W 0	NW 3	W 1	10●≡	10	10●	18.4	● n-10, 17³/₄-n
5	4.9	7.2	3.3	5.1	3.9	710.3	710.8	711.2	70	62	73	SW 1	WSW 3	W 1	7	7	10	5.9	● n-6¹/₄
6	0.6	1.8	1.1	1.2	0.1	707.6	707.5	709.4	100	98	100	W 0	WSW 1	W 0	10*≡	10●*	10≡	6.8	● n-5³/₄, ✳ n-14¹/₂ m.U.
7	-0.8	1.8	0.4	0.5	-0.5	708.1	705.2	702.7	100	89	100	W 0	W 0	W 0	10≡	10	10*	54.0	● 17-17³/₄, ✳ 17³/₄-n
8	0.6	2.4	-0.6	0.8	-0.1	698.0	697.5	700.0	100	90	82	W 0	SW 1	NE 0	10*≡	10	0	4.2	✳ n-12¹/₂ m.U.
9	-0.9	0.5	-1.8	-0.7	-1.4	702.4	703.7	706.9	99	93	78	NE 1	NE 0	NE 1	10*≡	4	6	1.4	✳ 7-10
10	-3.8	-2.1	-5.2	-3.7	-4.3	710.4	711.3	710.9	86	65	76	NE 1	NE 1	NE 1	3	1	0	1.5	
11	-3.2	-0.5	-0.8	-1.5	-2.0	708.0	705.5	705.0	98	93	100	ENE 1	ENE 0	ENE 0	10*≡	10*≡	10*≡	21.7	✳ ≡ 5¹/₂-n
12	-0.6	3.5	1.8	1.6	1.2	707.3	709.3	712.8	100	82	100	ENE 0	ENE 0	ENE 1	10≡	10≡	10≡	1.4	✳ n, 6¹/₄, 10–12¹/₄, 19³/₄, [≡ n-n m.U.
13	-1.0	1.5	0.5	0.3	0.0	716.4	717.4	718.4	81	77	78	ENE 0	ENE 0	ENE 1	10	7	10	.	
14	-4.7	-2.6	-5.4	-4.2	-4.4	718.1	716.0	715.9	73	62	83	NE 1	NE 0	NE 0	0	0	0	.	⋁ l
15	-7.3	-0.9	-4.0	-4.1	-4.2	714.2	712.5	712.8	92	61	85	NE 1	NE 0	NE 0	0	9	0	.	⋁ l
16	-2.6	2.0	-1.3	-0.6	-0.6	714.0	714.3	717.0	80	64	83	NE 0	NE 0	NE 0	10	9	0	.	⋁ l
17	0.0	3.5	2.2	1.9	2.0	716.7	716.8	717.4	61	48	55	NE 2	NE 0	NE 0	0	2	0	.	⋁ l
18	1.0	4.3	2.2	2.5	2.6	716.6	716.5	716.6	64	62	81	NE 1	NE 0	NE 0	4	10	9	.	
19	0.9	4.8	1.6	2.4	2.6	716.8	716.1	717.6	81	63	88	NE 0	NE 0	NE 0	10	6	4	0.0	
20	-0.2	1.4	1.0	0.7	1.0	718.3	717.9	720.0	100	82	100	NE 0	NE 0	NE 0	8	6	10	.	⋁ l
21	0.3	1.6	0.5	0.8	1.1	719.9	720.9	722.4	91	80	89	NE 0	ENE 0	NNW 0	10	9	10	.	
22	-1.0	1.4	-1.4	-0.3	0.1	721.3	720.9	720.9	100	65	64	NNW 1	NNW 0	NNW 1	10	10	8	.	
23	-7.8	-3.6	-5.8	-5.7	-5.2	720.8	718.8	717.1	90	71	85	NNW 0	NNW 1	NNW 0–1	8	0	10	.	
24	-5.3	-2.1	-6.4	-4.6	-4.1	721.4	719.4	720.5	53	54	83	N 1	N 0	N 0	3	3	0	.	
25	-9.5	-4.4	-6.9	-6.9	-6.3	720.7	718.6	719.7	100	77	95	N 1	N 0	N 0	0	0	0	.	⋁ l
26	-7.6	-3.3	-6.5	-5.8	-5.2	720.0	718.4	718.5	81	64	76	N 1	N 0	N 0	0	0	0	.	⋁ l
27	-9.1	-5.0	-7.1	-7.1	-6.4	718.7	714.1	719.8	85	71	76	N 1	N 0	N 1	0	0	0	.	⋁ l
28	-8.1	-3.6	-6.6	-6.1	-5.4	719.6	718.6	718.5	65	55	65	N 0	N 0	N 1	0	0	0	.	⋁ l
29	-10.2	-6.6	-9.6	-8.8	-8.1	717.6	717.4	716.7	78	68	75	N 1	N 0	N 1	0	0	0	.	⋁ l
30	-11.8	-9.1	-9.0	-10.0	-9.2	717.5	716.1	718.0	76	73	77	N 1	E 1	E 0	0	1	2	.	
31	-9.8	-3.2	-2.7	-5.2	-4.4	716.7	714.3	713.4	80	75	85	E 1	E 1	W 3	10	10	10	2.0	✳ 12-13
																		Summe	
Mittel	-3.0	0.5	-1.8	-1.4	—	715.2	714.3	715.1	85	70	83				5.5	5.6	4.9	127.1	

$\lambda = 8° 57'$, $\beta = 46° 0'$,
$H_b = 276.2$ m, $G = -0.01$ mm.

Lugano

Dezember 1944.
Beobachter: *G. Vicari.*

Tag	Lufttemperatur					Luftdruck			Relative Feuchtigkeit			Windrichtung und Stärke			Bewölkung			Niederschlag	Witterung
	7^{30}	13^{30}	21^{30}	Mittel	Abweich. vom Normalst	7^{30}	13^{30}	21^{30}	7^{30}	13^{30}	21^{30}	7^{30}	13^{30}	21^{30}	7^{30}	13^{30}	21^{30}		
1	−0.2	9.4	1.4	3.5	−0.5	746.4	746.4	747.0	75	42	70	N 1	SW 1	N 1	0	0	0	.	⌐ |
2	−0.2	6.6	1.2	2.5	−1.4	745.0	743.0	741.0	73	51	65	N 1	E 0	N 1	5	8	4	.	⌐ ⌐ |
3	−0.2	8.8	3.6	4.1	0.3	737.7	737.2	738.8	72	41	75	N 1	W 1	NNE 1	0	1	10	.	⌐ |
4	1.0	8.8	5.8	5.2	1.6	735.5	731.9	730.4	94	53	70	N 1	SSW 1	S 1	10	9	2	.	
5	2.6	7.8	3.8	4.7	1.2	730.9	731.4	732.9	99	64	40	NNE 1	S 1	NNE 1	10=	0	0	0.0	≡ n−7½
6	2.6	4.8	−0.2	2.4	−1.0	732.9	732.0	731.7	65	76	94	SSE 1	W 1	NNW 1	10●	10	0	0.4	● a zeitw.
7	−1.4	5.2	1.0	1.6	−1.7	731.9	731.3	729.0	89	62	99	N 1	SSE 0	WSW 1	3	10	10●*	12.5	● ✳ 18½-n, ⌐ |
8	0.6	1.4	3.8	1.9	−1.3	721.9	719.2	**717.9**	99	97	70	W 0	NE 0	S 1	10●*	10●	10	**23.9**	● ✳ n-p
9	1.2	8.8	0.6	3.5	0.3	722.9	724.6	728.7	55	28	66	WSW 1	SSW 1	NNE 1	10	1	0	.	
10	−2.4	8.0	−1.0	1.5	−1.6	731.8	732.0	733.9	58	31	52	NNE 1	SSW 1	N 1	0	0	0	.	⌐² |
11	−1.0	3.0	1.0	1.0	−2.0	733.7	731.9	731.8	59	44	85	N 1	N 1	N 1	10	10	10	.	
12	1.2	7.2	0.0	2.8	−0.1	732.2	733.2	735.1	87	47	90	NNW 1	NNW 1	NNW 1	10	8	0	.	
13	−0.4	**11.8**	5.4	5.6	2.7	736.0	736.3	738.7	88	19	37	N 1	NNE 2	SSW 1	0	0	0	.	
14	0.2	10.2	1.4	3.9	1.1	738.7	737.7	738.8	58	34	63	N 1	WSW 1	N 1	0	0	0	.	
15	1.0	6.8	1.4	3.1	0.4	737.4	736.8	738.2	66	48	65	NNE 1	S 0	N 1	9	8	6	.	
16	0.8	6.4	1.8	3.0	0.4	740.7	741.9	743.6	72	48	70	N 1	S 0	NNE 1	10	9	10	.	
17	1.4	5.8	3.4	3.5	0.9	744.2	744.1	743.9	75	58	75	W 1	NNW 0	NNE 1	10	10	10	.	
18	3.0	7.0	3.6	4.5	2.0	742.8	742.6	742.3	78	57	77	SSW 0	S 0	NNE 1	10	10	10	.	
19	3.2	7.0	4.4	4.9	2.5	742.7	742.9	743.8	83	61	83	N 1	SE 0	N 1	10	10	9	.	
20	3.8	6.6	4.8	5.1	2.7	743.1	742.8	743.2	88	66	84	N 0	WSW 0	W 0	10	10	10	2.1	
21	4.2	4.0	3.6	3.9	1.6	742.8	743.5	743.7	99	85	87	NNE 1	S 0	NNE 1	10●	10	10	0.4	● n−9½
22	2.8	6.8	1.8	3.8	1.6	744.6	743.7	743.9	82	48	73	SSW 1	W 0	SSW 1	10	1	10	.	✳fl. 20-21
23	−0.8	−0.8	−1.2	−0.9	−3.1	745.9	745.0	745.5	57	53	66	SW 1	WSW 1	WSW 1	10	10	10	0.0	
24	−2.4	3.8	−2.2	−0.3	−2.4	746.7	746.5	**747.7**	74	43	70	NNW 1	SSE 1	NNE 1	10	3	0	.	
25	−4.2	4.2	−2.0	−0.7	−2.7	746.9	745.9	745.6	75	43	69	N 1	ENE 0	N 1	0	0	0	.	
26	−3.8	6.6	−1.4	0.5	−1.5	745.2	744.1	744.8	64	34	56	NNW 1	N 1	N 1	0	0	0	.	
27	−4.0	6.0	−2.8	−0.3	−2.2	744.8	743.5	744.0	58	33	55	N 1	SE 1	NNW 1	0	0	0	.	
28	−4.6	5.4	−3.0	−0.7	−2.5	742.4	740.4	739.6	54	34	52	N 1	WSW 1	N 1	0	0	2	.	
29	−3.2	8.2	−1.6	1.1	−0.7	738.6	739.4	741.1	58	**17**	53	NNE 1	NNE 3	NNE 1	0	0	0	.	
30	−5.4	3.8	−4.0	−1.9	−3.6	739.7	737.7	736.6	58	38	60	N 1	S 0	N 1	0	0	0	.	
31	−6.8	6.6	1.6	0.8	−0.9	733.9	733.2	734.0	78	23	32	NNW 1	NNE 3	NNE 1	0	8	10	.	
Mittel	−0.3	6.3	1.2	2.4	—	738.7	738.1	738.6	74	48	68				5.7	5.0	4.6	Summe 39.3	

$\lambda = 7° 35'$, $\beta = 47° 33'$,
$H_b = 318$ m, $G = 0.11$ mm.

Basel

Dezember 1944.
Beobachter: *Astronom.-Meteorol. Anstalt.*

1	0.2	4.8	0.6	1.9	−0.1	744.9	743.5	742.0	100	74	92	ENE 1	NNE 1	E 1	10=	0	2	.	≡ 5-12, Ψ III
2	1.1	4.8	−0.1	1.6	−0.3	738.8	737.6	736.0	87	67	96	ESE 1	E 0	SSW 0	10	9	9	1.8	Ψ ⌐ |
3	3.1	6.0	8.0	5.7	4.0	737.7	737.8	733.1	87	70	72	SW 1	WNW 2	WSW 1	3	10●	10	1.4	● 2½-3¾ m.U., 18½
4	10.2	10.2	8.3	9.6	8.0	727.7	728.3	728.6	72	68	67	WSW 3	WSW 2	WSW 2	10	10	10	4.0	● 5⅜-20½ zeitw., Ψ |
5	4.5	6.8	4.8	5.4	3.9	730.8	731.1	730.3	81	57	68	SW 1	WSW 2	SSW 1	4	9	7	1.1	● 1¼-1¾
6	3.8	6.7	3.0	4.5	3.1	724.3	725.1	728.2	92	84	87	ENE 1	W 2	SSW 1	10●	10	5	6.2	● 5⅜-12½ m.U.
7	4.6	7.6	9.0	7.1	5.8	725.9	721.1	**718.6**	76	68	65	SSW 1	SE 1	SSE 2	10	10	10	**9.0**	● 14⅜-19¾ m.U.
8	5.4	5.0	2.5	4.3	3.1	715.3	717.3	718.3	85	72	72	WSW 1	WSW 1	S 1	10	10	10	3.8	● 0-11¼ m.U.
9	1.0	2.3	−1.0	0.8	−0.3	721.2	723.4	726.3	94	84	93	WSW 1	SSW 1	WNW 0	9	9	5	.	✳ 0-7¼ m.U.
10	−0.6	4.5	−0.8	1.0	0.0	729.3	729.9	726.6	92	63	86	ESE 1	ENE 0	ESE 1	10	9	0	.	⌐ |
11	5.2	8.3	7.3	6.9	5.9	721.2	718.7	719.7	69	61	83	SSW 1	WSW 2	WSW 4	10	10	10●	5.4	● 12¼-22½ zeitw.
12	5.7	5.5	2.7	4.6	3.7	724.6	728.1	733.4	74	80	77	S 1	W 2	WSW 1	10	10●	8	2.3	● 8½-14¾ zeitw.
13	1.6	3.8	2.6	2.7	1.9	736.5	738.4	740.2	98	88	96	ENE 1	SSE 0	WNW 1	10●	10●	10	0.5	● 1¼-13½ zeitw.
14	−0.8	−0.2	0.6	−0.1	−0.8	739.4	737.5	735.7	100	96	96	N 0	NNW 1	WNW 0	10=	10	10	.	≡ 3-13¼
15	−1.6	2.4	−1.0	−0.1	−0.7	732.9	731.5	731.4	96	74	86	ESE 1	ENE 1	ESE 1	0	10	0	.	⌐ |
16	−1.6	2.8	1.2	0.8	0.2	733.1	733.9	735.6	92	70	78	ENE 1	ESE 1	E 1	9	8	0	.	
17	0.4	6.2	3.6	3.4	2.9	732.7	732.8	733.5	82	**63**	63	ESE 2	E 1	E 2	0	2	10	.	⌐ |
18	2.6	5.2	3.7	3.8	3.4	734.4	735.9	736.8	69	69	80	ESE 1	ESE 1	ENE 1	9	10	10	1.0	● 14-16¼
19	3.0	6.0	1.7	3.6	3.3	737.4	737.4	739.0	73	70	96	ESE 1	ESE 1	WSW 1	10	10	10	.	≡ 17-21
20	−1.0	−0.8	−1.2	−1.0	−1.2	740.6	740.8	742.2	84	88	86	E 1	ENE 1	NE 1	10	10	10	.	
21	−1.3	−0.4	−0.1	−0.6	−0.8	743.1	743.6	**745.2**	95	92	96	WNW 1	WNW 1	WNW 0	10	10	10	.	
22	−1.6	0.7	−3.0	−1.3	−1.4	743.7	742.8	743.6	81	57	80	ESE 1	ENE 1	ENE 1	10	2	0	.	
23	−4.1	−3.6	−6.3	−4.7	−4.7	744.6	743.6	742.4	72	76	96	NNE 1	NNW 1	WNW 1	10	10	5	.	
24	−5.0	−3.8	−7.5	−5.4	−5.3	742.0	742.8	742.6	68	82	93	NE 2	WNW 1	SSW 1	8	1	0	.	
25	−9.0	−2.4	−6.5	−6.0	−5.9	741.7	740.4	739.8	97	75	89	ESE 0	ENE 1	NNE 0	2	0	0	.	⌐ |
26	−7.3	−1.1	−6.5	−5.0	−4.8	741.1	740.3	738.9	92	69	90	ESE 1	ESE 1	E 1	0	0	0	.	≡ 9¾-10¼, ⌐ |
27	−7.1	−1.4	−6.4	−5.0	−4.7	738.9	738.4	739.4	88	73	91	ESE 1	ESE 1	E 1	0	0	0	.	⌐ |
28	−8.1	−1.2	−6.4	−5.2	−4.9	739.9	739.4	741.1	93	76	93	E 1	E 1	E 1	0	0	0	.	⌐ |
29	−4.5	−0.7	−3.9	−3.0	−2.6	742.4	742.0	741.1	96	72	69	ESE 0	NNW 1	ENE 1	10=	7	0	.	≡ 0-10½
30	−8.7	−5.3	−5.0	−6.3	−5.9	740.9	739.9	739.3	97	88	88	WNW 1	NW 1	SSW 1	10	1	10	.	≡ 8-8½, ⌐ |
31	−3.8	0.3	−1.5	−1.7	−1.2	737.0	736.8	736.4	91	76	82	NNE 1	W 1	WNW 1	10*	10	3	1.2	✳ 7½-10, 16-19
Mittel	0.5	2.6	0.1	0.7	—	735.0	734.8	734.9	86	74	84				7.5	7.0	5.6	Summe 37.7	

Dezember 1944.
Beobachter: *Observatorium.*

Säntis

$\lambda = 9° 20'$, $\beta = 47° 15'$,
$H_b = 2500.1$ m, $G = -0.27$ mm.

Tag	Lufttemperatur					Luftdruck			Relative Feuchtigkeit			Windrichtung und Stärke			Bewölkung			Niederschlag	Witterung
	7^{30}	13^{30}	21^{30}	Mittel	Abweich. vom Normalst.	7^{30}	13^{30}	21^{30}	7^{30}	13^{30}	21^{30}	7^{30}	13^{30}	21^{30}	7^{30}	13^{30}	21^{30}		
1	-6.6	-4.5	-4.0	-5.0	1.5	**566.1**	566.0	566.0	26	36	35	NNE 2	NNE 1	N 2	3	3	4	.	
2	-4.6	-3.2	-6.8	-4.9	1.6	564.6	563.4	560.3	30	42	58	WSW 3	W 4	W 5	10	10	6	12.0	
3	-9.2	-9.8	-6.2	-8.4	-1.9	559.5	559.4	557.1	100	100	100	WNW 4	W 4	W 5	10≡*	10≡	10≡*	33.8	✳ n-11, 18-n, ≡ ☂ 🌨 n-n, ⋁(10½)
4	-4.4	-4.0	-8.4	-5.6	1.0	554.1	552.4	553.7	100	100	100	W 5	W 6	W 4	10≡*	10≡*	10≡*	**60.5**	✳ n-7, 12½-n, ✳ ☂ 🌨 n-n, ⋁
5	-9.6	-10.4	-10.4	-10.1	-3.4	553.9	554.2	554.5	100	100	100	W 4	WSW 3	W 3	10≡*	10≡*	10≡*	17.4	✳ n-n m.U., ≡ n-n
6	-8.4	-6.4	-8.4	-7.7	-0.9	551.0	550.5	552.9	100	100	100	WSW 4	W 4	W 4	10≡*	10≡*	10≡*	23.7	✳ ≡ ☂ 🌨 n-n, ⋁ I
7	-9.8	-7.6	-7.0	-8.1	-1.2	552.3	550.4	545.9	85	65	100	WSW 4	SW 3	WSW 5	10	10	10≡*	5.7	✳ ≡ ☂ 🌨 18-n
8	-6.0	-10.2	-11.8	-9.3	-2.4	544.7	**544.3**	544.7	100	100	100	W 4	W 3	W 4	10≡*	10≡*	10≡*	21.0	✳ ≡ ☂ 🌨 n-n
9	-13.1	-12.8	-14.4	-13.4	-6.4	545.8	547.2	549.7	100	91	92	WSW 3	WSW 3	W 3	10≡*	10≡*	10≡	4.8	✳ n-20 m.U., ≡ ☂ n-n, ⋁ I
10	-14.8	-13.6	-13.2	-13.9	-6.8	551.6	552.6	552.2	92	93	45	W 3	W 3	WSW 3	10≡	10≡	0	2.7	✳ 9-12½, ≡ n-15
11	-8.9	-7.6	-4.8	-7.1	0.1	549.0	548.2	548.2	100	98	100	W 5	SW 3	W 5	10≡*	10≡	10≡*	18.5	✳ ≡ n-9, 17¼-n, 🌨 n-n
12	-7.8	-7.0	-12.4	-9.1	-1.9	552.3	553.7	556.1	97	96	98	W 3	WSW 4	W 5	10≡*	10≡	10≡*	19.2	✳ ≡ n-8¼, 11¼-n, 🌨 ☂ n-n
13	-11.0	-10.4	-11.6	-11.0	-3.7	558.6	559.6	560.8	98	100	100	W 2	NW 2	NNE 2	10≡	10≡*	10≡	5.9	✳ 8-15, ≡ n-n, ⋁ I
14	-12.0	-9.2	-9.6	-10.3	-2.9	559.8	559.0	558.4	88	71	60	NE 3	ESE 2	SW 2	3	1	0	.	≡ n-7 m.U.
15	-9.7	-9.2	-9.3	-9.4	-2.0	556.5	556.2	556.8	65	55	40	W 4	W 3	W 4	1	10	1	.	🌨 n-n
16	-7.2	-4.8	-6.2	-6.1	1.4	558.8	560.1	561.6	25	31	42	W 2	SW 2	N 1	2	10	6	.	
17	-5.6	-3.1	-3.6	-4.1	3.5	559.9	560.7	561.6	43	36	42	SW 2	N 2	NE 2	0	9	3	.	
18	-5.4	-2.4	-3.4	-3.7	3.9	561.2	561.9	562.6	49	39	48	E 2	W 2	NNE 1	6	7	4	.	
19	-4.4	**-1.6**	-2.0	-2.7	5.0	562.5	563.2	564.0	55	70	62	SW 2	S 2	SE 0	10	7	10	.	
20	-4.1	-2.9	-4.6	-3.9	3.8	563.8	563.6	563.5	34	16	32	N 2	NNE 2	NW 2	9	10	1	.	⊕ (10½, II)
21	-6.8	-8.2	-10.1	-8.4	-0.6	562.5	562.7	563.5	48	62	43	WNW 2	NNW 2	NNE 3	10	3	1	.	✳° 10
22	-12.3	-11.6	-11.6	-11.8	-4.0	562.2	561.8	562.1	23	26	31	NNE 2	ENE 3	ENE 4	1	1	0	:	🌨 III
23	-13.6	-14.8	-17.8	-15.4	-7.6	561.1	560.5	558.3	54	40	88	NE 4	NE 4	E 4	0	1	1	.	≡ 16⅜-21, 🌨 n-n
24	-12.1	-8.4	-6.8	-9.1	-1.2	560.8	562.7	563.6	58	44	41	SE 4	SE 3	SE 3	5	3	0	.	🌨 I
25	-6.9	-7.1	-8.3	-7.4	0.5	562.8	562.5	563.1	31	15	27	ESE 2	SE 2	SE 3	0	0	0	.	
26	-6.2	-6.2	-7.0	-6.5	1.4	562.7	562.3	562.5	21	28	19	ENE 3	E 2	SE 3	0	0	0	.	
27	-8.1	-6.6	-9.1	-7.9	0.1	562.0	561.8	562.0	17	21	21	SSW 3	S 1	S 2	0	0	0	.	
28	-10.2	-9.8	-12.2	-10.7	-2.7	561.1	561.0	560.4	**11**	19	18	WNW 2	W 1	NW 2	0	1	1	.	
29	-17.2	**-18.3**	-17.2	-17.6	-9.6	559.2	558.9	558.1	94	92	38	NE 3	NE 3	ENE 4	10≡*	0	0	.	✳° 6½-7½, ≡ n-11, 14-
30	-17.7	-17.2	-15.1	-16.7	-8.6	556.8	556.8	557.5	47	25	15	NE 4	NE 3	N 3	1	1	10	0.9	🌨 a [15, 🌨 III
31	-15.8	-16.8	-18.0	-16.9	-8.8	554.5	554.2	553.4	98	98	97	WNW 3	W 1	N 2	10≡*	10≡*	10≡*	18.1	✳ ≡ n-n
																		Summe	
Mittel	-9.3	-8.6	-9.4	-9.1	—	557.8	557.8	557.9	64	62	61				6.2	6.4	5.1	244.2	

Dezember 1944.
Beobachter: Frl. *F. Lombardi.*

St. Gotthard (Hospiz)

$\lambda = 8° 34'$, $\beta = 46° 33'$,
$H_b = 2095.7$ m, $G = -0.25$ mm.

1	-5.8	-3.2	-7.4	-5.5	0.1	595.2	**596.0**	595.8	71	70	65	N 1	N 0	N 0	0	0	0	.	
2	-5.2	**-0.8**	-2.4	-2.8	2.9	594.1	593.3	590.9	54	42	45	N 0	N 0	N 0	1	5	5	0.4	
3	-5.8	-5.4	-5.4	-5.5	0.3	589.8	590.3	589.3	94	92	90	NE 3	NE 2	NE 1	10≡	5≡	10*≡	20.1	✳ 16¼-n, ≡ n-n
4	-3.4	-1.2	-2.7	-2.4	3.5	586.3	585.1	584.7	92	94	100	S 0	SW 1	SW 1	10*≡	10	10*≡	**32.0**	✳ n-8¼, 14-n, ≡ n-10,
5	-7.4	-6.0	-8.2	-7.2	-1.3	583.9	585.0	585.5	87	88	79	N 2	N 1	N 1	8	8	0	4.2	[16-n
6	-9.5	-7.6	-8.0	-8.4	-2.4	582.9	582.6	583.5	93	95	81	S 2	S 1	S 0	10≡*	10≡*	5	2.0	✳ n-14½, ≡ n-17
7	-6.8	-6.6	-8.2	-7.2	-1.1	582.6	582.0	579.2	68	89	100	SE 0	S 1	SE 2	5	10	10≡*	28.7	✳ 16¼-n, ≡ ☂ 17-n stw.
8	-4.6	-4.4	-9.8	-6.3	-0.1	574.4	**573.4**	573.6	98	98	98	SE 0	S 0	N 3	10≡*	10≡*	10≡	15.2	✳ n-14, 🌨 17-n, ≡ n-n
9	-10.7	-10.4	-15.6	-12.2	-6.0	576.5	577.4	580.1	77	91	79	N 1	N 1	N 1	10≡	5	0	.	≡ n-8¼
10	-16.2	-12.8	-16.0	-15.0	-8.7	582.3	583.1	584.2	74	52	50	N 0	N 0	N 0	0	0	0	.	
11	-11.0	-11.4	-11.6	-11.3	-4.9	582.1	581.0	580.9	75	85	90	SE 1	SE 2	SE 2	10	10	10	8.8	✳ 15⅜-16½, ✳ ☂ 17-
12	-7.0	-6.0	-8.0	-7.0	-0.6	582.7	583.9	586.7	95	84	95	SE 1	S 0	S 0	5	5	10≡	1.2	≡ 18-n [n zeitw.
13	-10.8	-7.2	-10.4	-9.5	-3.0	588.3	589.2	590.0	86	90	90	N 1	N 2	N 3	5	10≡	10≡	5.4	✳ 🌨 15-n, ≡ 10-n
14	-11.4	-8.3	-10.7	-10.1	-3.6	589.6	588.7	589.1	65	60	53	N 1	N 1	N 0	0	0	0	.	
15	-7.8	-6.6	-8.8	-7.7	-1.1	587.3	586.8	587.6	75	75	62	E 1	E 1	E 1	0	5	2	.	
16	-8.8	-6.8	-8.0	-7.9	-1.3	589.6	590.6	591.1	68	80	87	SE 0	S 0	S 1	5	10	5	.	
17	-8.0	-6.8	-5.8	-6.9	-0.3	592.3	592.5	592.9	80	80	85	E 2	SE 2	E 1	5	8	10	.	
18	-5.2	-4.2	-6.2	-5.2	1.5	592.2	592.1	592.4	85	85	80	S 1	SE 1	SE 0	10	10	4	.	
19	-4.4	-1.4	-2.8	-2.9	3.8	592.7	593.0	593.5	75	85	68	S 0	S 0	S 0	5	10*	5	0.3	✳ 13¼-14
20	-3.0	-2.2	-4.8	-3.3	3.4	593.2	592.7	593.0	62	63	67	NE 1	N 0	N 1	0	0	0	.	
21	-6.8	-7.8	-14.4	-9.7	-2.9	592.2	592.3	593.1	84	91	93	NE 1	N 1	N 2	5	5	10≡	.	≡ 17½-n
22	-14.0	-10.8	-11.4	-12.1	-5.3	592.2	591.2	592.0	88	62	42	N 1	N 1	N 1	3	0	0	.	
23	-13.4	-11.0	-16.7	-13.7	-6.9	591.2	590.1	589.2	69	62	89	N 2	N 2	N 0	0	0	5	0.4	≡ 16½-19 zeitw.
24	-11.0	-6.0	-10.0	-9.0	-2.1	591.9	593.0	595.0	65	65	58	SE 1	SE 1	N 1	8	2	0	.	
25	-10.0	-6.8	-10.7	-9.2	-2.3	592.9	592.6	593.2	61	62	63	S 0	S 0	S 0	0	0	0	.	
26	-10.4	-9.0	-10.8	-10.1	-3.2	592.6	592.3	592.4	40	55	38	NE 0	S 0	S 0	0	0	0	.	
27	-8.0	-7.0	-12.8	-9.3	-2.4	592.5	592.2	592.4	**15**	26	24	SE 0	SE 0	N 0	0	0	0	.	
28	-12.8	-9.7	-13.6	-12.0	-5.0	591.3	591.0	590.5	31	40	55	N 0	N 1	N 1	0	0	2	.	
29	-16.8	-14.2	-17.0	-16.0	-9.0	589.5	589.1	589.1	90	81	61	N 2	N 1	N 1	2	0	0	.	
30	**-18.0**	-14.2	-17.4	-16.5	-9.5	586.8	586.3	587.0	57	55	85	N 2	N 2	N 3	0	0	5	1.5	
31	-15.2	-13.8	-15.0	-14.7	-7.7	584.7	583.3	582.0	92	95	100	N 2	N 3	N 4	10≡	10≡	10≡	30.2	≡ n-n, 🌨 zeitw.
																		Summe	
Mittel	-9.3	-7.4	-10.0	-8.9	—	588.3	588.1	588.4	73	74	73				4.4	4.8	4.5	150.4	

Ergänzende Witterungsnotizen zu den Tabellen Seite 1—72

Januar

Bern. Alpen klar: 1. 6. 7. 8. je I, II, 9. I, II, 14. I, 23. II, 24. II, 28. I, II, 30. I. — Alpen hell: 15. II. — Alpen schwach sichtbar: 3. u. 14. II. — Neblig: 10. zeitw., 17. Nm. Ab., 18. früh, 19. d. g. T., 20. Vm. zeitw., 21. Vm., 29. Vm. — Schneehöhe: 1. 1 cm, 2. 2, 5. 2, 6. Spuren, 27. 3. — **Neuchâtel.** Hochnebel: 16. bis 19. je d. g. T., 20. nachts bis 15h. — Schneehöhe: 5. 1 cm. — **Altdorf.** Neblig: 13. Vm., 15. u. 19. Nm. Ab. — **Zürich.** Alpen hell: 24. Nm. — Alpen sichtbar. 9., 27., 30. je Nm. — Alpen schwach sichtbar: 14. Nm., 28. Vm., 29. Nm. — Dunst: 1. Vm., 2. Vm. Nm., 7. Nm., 8. Nm., 9. Vm., 12. Vm., 14. früh, 15. 20. 21. je Nm., 22. d. g. T., 24. Nm., 28. Vm., 29. d. g. T., 30. Nm. — Neblig: 6. Nm., 7. 8. 11. je Vm., 14. Ab., 21. Vm., 31. Nm. — Talneblig: 17. bis 19. je d. g. T., 20. u. 30. Vm. — Sicht (Nebel): 6. I 100 m, 7. Vm. 300, II 900, 8. I 150, II. 800, 11. III 100, 13. Vm. 300, 14. I 200, 15. I 100, 21. Ab. 700, 31. I 400, II 800, III 50. — Neuschnee: 1. 1 cm, 2. 5 cm, 5. 10, 6. 1½, 27. 1. — Schneehöhe: 2. 6 cm, 7. 7. — Schneegrenze: 26. 500 m. — **Rigi-Kulm.** Nebelmeer: 15. 800 m, 16. 1000, 17. 800, 18. 800, 19. 1000, 20. 800, (je 1). — Neuschnee: 1. 15 cm, 2. 10, 5. 22, 6. 5, 11. 18, 12. 7, 22. 5, 24. 7, 26. u. 27. nicht meßbar. — Schneehöhe: 7. 60 cm, 14. 68, 21. 40, 28. 50. — **Bevers.** Neuschnee: 5. 7 cm, 6. 1, 13. 1, 24. 1, 26. 3, 27. 3. — **Sitten.** Dunst: 2. 3. 6. 7. je 1, 8. u. 9. II, 10. u. 11. d. g. T., 12. II, 14. II, 16. III, 17 u. 18. II, III, 19. d. g. T., 20. u. 21. III, 28. I, II. — Neuschnee: 5. 2 cm, 25. 2, 27. 11. — Schneehöhe: 28. 4 cm. — **Lugano.** Nordföhn: 1. nachts bis 9h, 4. 13½ bis 22h, 5. 7 bis 22h, 24. 11 bis 15h, 26. 6 bis 21½h, 29. 14 bis 17½h. — **Basel.** Dunst: 6. 7. 8. je II, 16. I, 17. u. 18. II, 27. I. — Morgenrot: 14. — Abendrot: 22. — Neuschnee: 1. ½ cm. 2. 1, 5. 2. — Schneehöhe: 1. 1 cm, 2. 2, 5. 2, 6. 1½, 7. 1½, 8. 1, 9. ½. — **Säntis.** Spitzenentladungen: 24. 10½h. — Neuschnee: 1. 65 cm, 2. 5. 6. 11. 12. 13. je nicht meßbar, 15. 5, 22. 18, 24. bis 28. je n. m. — Schneehöhe: 7. 210 cm, 14. 230, 21. 200, 28. 240. — Schneegrenze: 7. Bodensee, 14. 1000 m, 21. 2100. — **St. Gotthard.** Neblig: 28. nachts –9h. — Neuschnee: 1. nicht meßbar, 4. 2 cm, 5. n. m., 11. 10, 13. 7, 22. 3, 24. n. m., 25. 5, 26. 27. 28. je n. m. — Schneehöhe: 7. 45 cm, 14. 60, 21. 55, 28. 95.

Februar

Bern. Alpen klar: 7. I. — Alpen hell: 2. I, 3. u. 7. II. — Alpen schwach sichtbar: 4. II. — Neblig: 3. Vm., 11. Ab., 28. u. 29. Vm. zeitweise. — Schneehöhe: 5. 5 cm, 6. 6, 7. 4, 8. 7, 9. 6, 10. 12, 11. 20, 12. 25, 13. 22, 14. 20, 15. 17, 16. 16, 17. 15, 18. 15, 19. bis 23. je 14, 24. 25. 26. je 13, 27. 12. — **Neuchâtel.** Schneehöhe: 5. 2 cm. — **Altdorf.** Neblig: 26. Vm., Nm., 28. Vm. — Föhn: 28. Nm. Ab. — **Zürich.** Alpen sichtbar: 7. Nm. — Alpen schwach sichtbar: 7. Nm. — Dunst: 1. Nm., 2. Vm., Nm., 7. Vm., 9. Vm., Nm., 14. u. 16. Nm., 17. Vm., Nm., 18. 19. 21. Nm., 22. Vm., 23. 24. Vm., Nm., 25. 27. 28. je Nm. — Neblig: 3. Vm., 11. Nm., 12. Vm., 14. Vm., 15. Vm., Nm., 16. Vm., 26. Nm., 28. Vm., 29. Vm., Nm. — Talneblig: 10. Vm., Nm., 19. 21. 27. je Vm. — Sicht (Nebel): 1. I 50 m, 3. Vm. 200, 9. I. 200, 26. I. 100, II. 900, 29. I. 250, Vm. 150, II 500, III 600. — Wolkenröte: 7. Vm. — Neuschnee: 5. 3 cm, 7. 3, 8. 5, 9. 13, 10. 9, 11. 4, 12. 5, 13. 4, 14. 6, 15. ½, 21. 2½, 22. ½. — Schneehöhe: 11. 24 cm, 14. 27, 16. 21, 18. 18, 21. 18, 23. 14, 25. 14. — **Rigi-Kulm.** Talneblig: 1. I, 2. I. — Nebelmeer: 17. u. 20. 1600 m, 23. 1400, 24. 900, 25. 800 je I. — Neuschnee: 4. 5 cm, 5. u. 6. nicht meßbar, 7. 10, 8. 7, 9. 24, 10. n. m., 11. 30, 12. 26, 13. 16, 14. 6, 22. 3. — Schneehöhe: 4. 30 cm, 11. 110, 18. 135, 24. 100. — **Bevers.** Neuschnee: 4. 1 cm, 5. 11, 6. 48, 7. 22, 9. 7, 10. 30, 11. 7, 12. 10, 13. 7, 28. 2. — **Sitten.** Dunst: 1. I, II (im Tal), 2. II, 3. I, II, 15. II, 16. III, 18. III, 23. Vm. — Neuschnee: 8. 5½ cm, 9. 3, 11. 20. — Schneehöhe: 5. 1 cm, 6. ½, 11. 28, 18. 14, 25. 10. — **Lugano.** Nordföhn: 4. 14h bis 6. 21½h, 8. 14h, bis 10. 1½h, 10. 18½h, bis 14. 9½h. — Schneehöhe: 23. 8 cm. — **Basel.** Dunst: 24. II, 25. I, II, III, 26. II, 28. III, 29. II. — Gewitter: 8. 16–16¼h. — Neuschnee: 6. 2 cm, 7. 1½, 11. 14, 12. 2, 14. 2. — Schneehöhe: 5. ½ cm, 6. 2, 7. 3½, 11. 14, 12. 10, 13. 6, 14. 5, 15. 5, 16. 3½, 17. bis 20. je 2, 21. 22. 23. je 1½, 24. 1, 25. u. 26, ½. — **Säntis.** Spitzenentladungen: 8. (10½h, stark). — Föhnmauer: 27. II. — Neuschnee: 3. 28 cm, 4. u. 5. nicht meßbar, 6. 80, 7. 42, 8. n. m., 9. 65, 10. n. m., 11. 60, 12. 55, 13. 28, 14. n. m. — Schneehöhe: 4. 270 cm, 11. 480, 18. 450, 25. 400. — Schneegrenze: 4. 1000 m, 11. 18. 25. je Bodensee. — **Sankt Gotthard.** Neblig: 3. bis 11h, 7. 17h bis nachts. — Nebelmeer im Süden: 21. 15–17¾h. — Neuschnee: 3. 3 cm, 4. 2, 5. u. 6. nicht meßbar, 8. 5, 9. 15, 10. 12, 11. u. 12. n. m., 22. 10, 23. 5, 28. 15, 29. 55. — Schneehöhe: 4. 90 cm, 11. 100, 17. 100. 25. 105.

März

Bern. Alpenklar: 11. II, 16. I, II, 17. I, 19. I II, 29. I, II. Alpen hell: 24. I, 28. II, 30. I. — Alpen sichtbar: 17. u. 23. II. — Alpen schwach sichtbar: 12. 18. 24. je II, 26. I, 30. II. — Neblig: 2. Vm. zeitweise. — Gewitter: 31. † 4h, 10²⁶h, 10⁵⁶h. — Schneehöhe: 1. 9 cm, 2. 6, 3. 7, 4. 5, 5. 6, 6. 8, 7. 6, 8. 6, 9. 5, 10. 5, 11. 4, 12. 5, 13. 4, 14. 1, 15. 5. — **Neuchâtel.** Joran: 11. 12–19h, 30. 19¾–22h. — Schneehöhe: 15. 6 cm. — **Altdorf.** Neblig: 28. Vm. — **Genf.** Schneehöhe: 15. 7 cm. — **Zürich.** Alpen sichtbar: 25. Nm., 30. Vm. — Alpen schwach sichtbar: 24. Nm. — Dunst: 1. u. 2. Nm., 3. u. 4. Vm., 5. Vm., Nm., 6. Vm., 7. 8. 9. je Vm., Nm., 10. Nm., 11. u. 14. Vm., 15. Vm., Nm., 16. Nm., 17. u. 18. Vm., Nm., 19. Vm., 22. Nm., 23. u. 24. Vm., Nm., 26. Vm., 28. u. 29. Vm., Nm., — Neblig: 1. Vm., 6. Nm., 18. Vm. — Talneblig: 7. 10. 15. 16. 17. 22. 23. je Vm. — Wolkenröte: 19. Ab. — Gewitter: 31. Nah-↯ 8—8½h, schwach, Zug aus WNW. — Neuschnee: 1. 21 cm., 3. 4½, 4. 1, 5. 3½, 6. 1, 7. 5, 9. 14, 12. 13. 14. je 1, 22. ½, 23. 2. — Schneehöhe: 10. 14 cm. — **Rigi-Kulm.** Nebelmeer: 10. 1600 m. — Neuschnee: 1. 45 cm., 2. 16, 3. nicht meßbar, 4. 7, 5. 10, 6. u. 7. 10, 8. 3, 12. 10, 13. bis 15. je n. m., 16. 3, 18. 3, 20. 4, 21. 25, 22. 20, 23. 16, 25. 12, 27. 13, 28. 4, 31. n. m. — Schneehöhe: 3. 135 cm, 10. 145, 17. 130, 24. 180, 31. 125. — Elmfeuer: 13. Nm. zeitw. — **Bevers.** Neuschnee: 1. 11 cm, 8. 1, 12. 12, 13. 4, 14. 5, 15. 30, 20. 1, 21. 16, 22. 9, 25. 4, 27. 22, 28. 38. — **Sitten.** Dunst: 6. u. 8. I, 19. III, 25. II — Schneehöhe: 12. ½ cm, 15. 1. — **Lugano.** Nordföhn: 1. 11–22h, 4. 8½h bis 6. 20½h, 11. 23h bis 12. 19h, 13. 23½ bis 14. 5h, 8½h–20h, 15. 12½–23½h, 20. 11½–20½h, 21. 12h bis 22. 23½h, 23. 8½–18½h, 24. 17h bis 25. 20½h, 27. 5½ bis 28. 3h, 31. 19–21½h. — **Basel.** Dunst: 8. II, 17. II, III, 18. I, II, 27. u. 28. I, 30. II. — Abendrot: 3. 18h, 26. 19h. — Schneehöhe: 4. 2 cm, 12. ½. — **Säntis.** Gewitter: 30. Nah-↯ im SE, 19¹⁵h, 31. Nah-↯ im E 5h, im E 10½h, im N 16½h. — Neuschnee: 1. 18 cm, 2. nicht meßbar, 3. 40, 4. 8, 5. 12, 6. u. 7. n. m., 11. 1, 12. 27, 13. bis 15. je n. m., 16. 12, 18. 1, 20. bis 23. 25. 27. je n. m., 28. 15, 31. n. m. — Schneehöhe: 3. 460 cm, 10. 440, 17. 480, 24. 490, 31. 500. — Schneegrenze: 3. 10. 17. je Bodensee, 24. 600 m, 31. 600. — **St. Gotthard.** Neblig: 9. nachts bis 10h, 23. d. g. T. — Neuschnee: 1. 30 cm, 2. nicht meßbar, 3. 4, 4. 10, 5. bis 7., 12. bis 16. je n. m., 18. 3, 21. 15, 22. 23. 25. bis 28. je n. m., 31. 5. — Schneehöhe: 3. 170 cm, 10. 170, 17. 180, 24. 220, 31. 200.

April

Bern. Alpen klar: 3. u. 6. I, II, 7. I, II, III, 8. I, 11. u. 12. I, II, 13. I, 14. I, II, 15. u. 16. I, 23. II, 24. I, II. — Alpen hell: 15. II, 23. I, Alpen sichtbar: 2. II. — Alpen schwach sichtbar: 1. II, 4. u. 5. I, II, 8. 9. 13. 16. je II, 17. u. 30. I, II. — Neblig: 8. Ab. zeitw. — Gewitter: 18. ↯ 16⁴⁴h, T. 16–17¾h. — **Neuchâtel.** Joran: 13. 16½–19½h, 21. 14–20½h, 24. 18½–22¾h, 28. 16–19½h, 30. 14½–17½h. — **Altdorf.** Föhn: 14. Nm. bis 17. Nm. — Schneehöhe: 1. 3 cm. — **Zürich.** Alpen hell: 13. Nm. — Alpen sichtbar: 2. 7. 14. 15. je Nm., 16. d. g. T., 17. Vm., 24. Nm. — Alpen schwach sichtbar: 3. u. 4. d. g. T., 6. u. 8. Vm., 11. u. 12. d. g. T., 13. 14. 15. 24. je Vm. Föhnmauer: 11. Nm. — Dunst: 1. d. g. T., 2. 3. 7. 8. 9. 11. je Vm, 12. d. g. T., 13. u. 15. Vm., 16. Nm., 17. u. 18. Vm., 19. d.

g. T., 20. Nm., 22. d. g. T., 23. Nm., 24. Vm., 25. Nm., 27. u. 28. d. g. T. — Tal neblig: 3. Nm., 22. Vm., — Gewitter: 18. Nah-K[1], 18[37]–19[40]h. — Schneegrenze: 16. 1200 m. — **Rigi-Kulm.** Neuschnee: 1. nicht meßbar, 19. 8 cm, 26. 7, 27. 8. — Schneehöhe: 7. 70 cm, 14. 35. — **Bevers:** Neuschnee: 1. 6 cm, 2. 2, 29. 1. — **Sitten.** Dunst: 14. I, 29. I. — **Lugano.** Nordföhn: 1. 7½–19h, 22. 14½–21h, 25. 11¾ bis 26. 24h, 29. 9h bis 30. 1h, 11½–nachts. — **Basel.** Dunst: 17. I, 18. u. 19. I, II, 20. 27. 29. je I. — Abendrot: 1. 19h. — Gewitter: 4. K 21h. — **Säntis.** Föhnmauer: 9. 15. 16. 17. je I. — Gewitter: 18. Nah-K im SE u. N 19[10]–20h, 25. Nah-K im E 17[10]–17[20]h. — Neuschnee: 1. 38 cm, 2. 4, 4. 4, 5. u. 6. nicht meßbar, 10. 14, 11. 8, 19. 13, 21. 6, 25. ½, 26. u. 27. n. m. 29. 1. — Schneehöhe: 7. 500 cm, 14. 450, 21. 410, 28. 400. — Schneegrenze: 7. 900 m, 14. 1500, 21. 1700, 28. 1000. — **St. Gotthard.** Neblig: 1. nachts–10h, 29. d. g. T. — Nebel auf dem Paß: 5. nachts–17h. — Neuschnee: 1. nicht meßbar, 5. 5 cm, 9. 2, 13. 5, 16. 5, 17. 30, 18. 15, 26. n. m. — Schneehöhe: 7. 165 cm, 14. 115, 21, 140, 28. 110.

Mai

Bern. Alpen klar: 2. II, 3. u. 9. I, II, 26. I, 27, I, II, 28. u. 30. I. — Alpen hell: 4. u. 26. II. — Alpen sichtbar: 2. I, 5. II, 10. I, 28. u. 30. II. — Alpen schwach sichtbar: 8. II, 14. u. 19. I, 31. II. — Neblig: 16. nachts–8½h. — Gewitter: 14. K° 19h, 20. ◁ im SW 21[45]h, 30. Fern-K 17[15]–19[50]h im S–SE, 31. Fern-K 16[10]–18[00]h im SE-NE, Fern-K 20[50]–22[00]h im W–NW–N. — **Neuchâtel.** Joran: 1. 17–18h, 4. 16½–22h, 5. 21¼–23h, 13. 19–22h, 14. 18¼–19¾h 21. seit 15¼h, 25. 18–23h, 26. 17¾–21¼h, 30. 16¼–20¼h, 31. 14¾–19h. — Gewitter: 14. K 18[10]–19h, 20. Fern-K im SW seit 21h, 30. Fern-T im SW Ab. — **Altdorf.** Föhn: 29. seit 21h. — **Zürich.** Alpen sichtbar: 3. d. g. T., 20. und 27. Nm. — Alpen schwach sichtbar: 2. d. g. T. 5. Nm., 9. d. g. T., 26. u. 27. Vm., 28. Nm., 30. d. g. T. 31. Nm. — Dunst: 1. u. 11. Nm., 12. u. 13. d. g. T., 15. 17. 18. je Nm. 19. 20. 22. 23. 24. 25. 28. je Vm. 29. u. 30. d. g. T. — Neblig: 16. u. 17. Vm., 20. früh. — Gewitter: 11. Nah-K° 15[15]–15[40]h. 31. Fern K ab 23[00]h. — **Rigi-Kulm.** Tal neblig: 23. I. — Neuschnee: 8. 6 cm, 23. 10. — **Bevers.** Neuschnee: 8. 25 cm. — **Sitten.** Dunst: 14. I, II, 15. II, 16. II, 17. u. 18. I, II, 23. u. 24. II, 25. 27. 29. je I. — **Lugano.** Nordföhn: 1. 12½–17h, 11. 12½–15½h, 22. 13¼h bis 23. 4h. — **Basel.** Dunst: 2. 11. 13. je I, 16. I, II, 19. II, 24. 27. 28. 29. je I. — Abendrot: 2. u. 3. 20h, 26. 20½h. — Gewitter: 14. K° 18½–19½h im S, Zug W–E, 21. K 2h, 30. ◁ 23h im SW, 31. T 15¼h. — **Säntis.** Föhnmauer: 20. I schwach. — Gewitter: 20. ◁ im N und WSW III, 31. Fern-K im N und E 19[20]–23h. — Spitzenentladungen: 11. zeitw. — Neuschnee: 1. nicht meßbar, 6. 1 cm, 7. 3, 8. 8, 11. 13, 12. 3, 15. 1, 16. 8, 17. 7, 18. 6, 22. 7, 23. 15. — Schneehöhe: 5. 380 cm, 12. 350, 19. 350, 26. 330. — Schneegrenze: 5. 1800 m, 12. 1800 m, 19. 1900, 26. 1900. — **St. Gotthard.** Nebel auf dem Paß: 4. seit 20½h, 23. d. g. T., 24. bis 10h, 28. 19½h–nachts. — Neblig: 28. nachts bis 10h, 29. nachts bis 10¾h. — Neuschnee: 12. 2 cm, 16. 2, 17. 5, 18. 10, 19. 5, 22. 5, 23. 10. — Schneehöhe: 5, 60 cm, 12. 40, 19. 30, 26. 25.

Juni

Bern. Alpen klar: 12. 13. 16. 29. 30. je I. — Alpen hell: 9. I, II, 13. u. 29. II. — Alpen sichtbar: 5. 14. 27. je I. — Alpen schwach sichtbar: 8. u. 10. I, 12. 15. 16. je II. — Gewitter: 1. T 13[45]h, 14[15]h, K 20[40]–21[30]h, 22[15]–23[30]h, 5. Ferner T in NW 15[40]–15[50]h, K 18[20]–18[35], 14. T 6[58]–8[00]h zeitw., 26. Fern-K im W 4[25]–4[55]h, Fern-K im Aaretal 13[30]h, K 23[05]–23[30]h im NE, 27. K 0[45]–1[10]h, 29. K seit 21[50]h, T bis 23h. — **Neuchâtel.** Joran: 5. 17½–19½h, 8. 17½–21½h, 11. 18–21¼h, 13. 18–21¼h, 14. seit 13½h, 22. 18–21½h, 29. 22h bis 30. 1¼h. — Gewitter: 1. 13¾–14¼, Ab., 5. Ferner T Ab., 26. Ferner T Vm., 29. K nachts. — **Altdorf.** Föhn: 29. Ab. — **Zürich.** Alpen klar: 12. Vm. — Alpen hell: 9. Vm., 29. d. g. T. — Alpen sichtbar: 13. u. 26. Nm., 28. u. 30. Vm. — Alpen schwach sichtbar: 13. Vm. — Dunst: 3. Vm., 4. d. g. T. 5. 13. 21. 22. je Vm., 23. d. g. T. 25. u. 29. Vm. — Wolkenröte: 2. Ab. — Gewitter: 1. Nah-K 16[15]–16[45]h; Nah-K 17[45]–18[15]h; Nah K Ab., 26. Fern-K 14[30]–14[50], T im S–SE, 27. Nah-K (kurz) 1h; Fern-K 16[50]h u. 17[45]h im SSW–SSE, 28. Nah-K 13[55]–14[20]h SW–SSE. — **Rigi-Kulm.** Nebelmeer: 22. I strichweise, 30. I strichweise. — Neuschnee: 18. 7 cm. — **Sitten.** Dunst: 5. 12. 13. je I. — **Lugano.** Nordföhn: 7. 21h bis 8. 1h, 7–7½h, 14. 21½ bis 15. 5½, 17. 20½–21½, 18. 0½–19h, — **Basel.** Dunst: 1. I, 3. I, II, 13. 16. 20. 22. 23. 29. je I. — Gewitter: 1. T im S 10[38]h; 15½h, K 16–17[10]h, K 20–22h, 5. T im S 14[30]–15[35]h, 15[45]h, 14. K 2h, 21. T 15h, T 18h im SE, 26. K 12–13h im SW–NE, K 17[35]–18[50]h im NE–SW, 29. K 20[57]–22[15]h im SW–SE. — **Säntis.** Föhnmauer: 10. I schwach. — Nebelregen: 12. 17[10]–18[00]h. — Gewitter: 1. Nah-K im E 13[30]–14[10]h, 5. Fern-K im N u. E 14[30]–16[00]h; Fern-K im N 18[15]–19[10]h, 14. Nah-K im E 13[30]h, 24. ◁ im S III, 25. T° im S 19h, 27. Nah-K im SE 17[30]–18[30]h, 29. ◁ im W. III. — Neuschnee: 6. 2 cm, 7. 17, 8. 15, 9. 3, 11. 13, 12. 3, 18, 23, 19. 4. — Schneehöhe: 2. 190 cm, 9. 200 cm, 23. 80 cm. — Schneegrenze: 2. 2100 m, 9. 2000 m, 16. 2200, 23. 2300, 29. Gipfel schneefrei — **St. Gotthard.** Neblig: 8. 23. 25. je d.g.T. — Nebel auf dem Paß: 4. Nm., 6. zeitw. — Neuschnee: 8. u. 18. 2 cm. — Schneehöhe: 2. 5 cm.

Juli

Bern. Alpen klar: 3. I, 6. u. 7. I, II, 18. I, 26. I, II. — Alpen hell: 1. I, II, 2. 8. 13. je I, 25. II. — Alpen sichtbar: 2. II, III, 5. III, 14. I, 21. I, II. — Alpen schwach sichtbar: 25. I. — Gewitter: 3. ◁ im W 21½h, Fern-K im NW 22h, 7. Ferner T seit 17¾h, K 19–20h im S, K 21[25]–22[30]h im SE, 8. ◁ 23h, Ferner T 15[55]h im NW, 21. K 4[40]h, K 11–12[15]h, K 16[00]h, 26. ◁ im NW III, 27. K 01[15]h, Ferner T 14[15]h im NW. — **Neuchâtel.** Joran: 1. 18–20½h, 3. 20¼–21¼h, 7. 15¾–19¾h, 8. 13½–15h, 18. 19–21½h, 19. 17½–21h, 20. 20½–22h, 24. 19h–nachts, 29. 17½–nachts. — **Zürich.** Alpen hell: 6. Vm. — Alpen sichtbar: 1. früh, 2. d. g. T., 3. Vm., 5. u. 6. Nm., 7. Vm., 26. Nm., 27. Vm. — Alpen schwach sichtbar: 7. Nm., 17. Nm., 26. Vm. — Dunst: 8. Vm., 12. u. 13. Nm., 14. 15. 17. je Vm., 18. d. g. T., 19. Vm., 20. d. g. T. 25. u. 26. Vm. — Gewitter: 3. Nah-K 15[10]–16[30]h, Zug SW–NE, 7. Fern-K Ab., 21. Nah-K 6¼h, 27. Nah-K 6¼h, kurz, 30. Nah-K 3½h, starker T. — Schneegrenze: 3. 2200 m. — **Rigi-Kulm.** Talnebel: 6. 8. 18. 25. je I strichweise. — **Sitten.** Hochnebel: 5. I. 1150 m, 29. I. 1250 m. — **Lugano.** Nordföhn: 5. nachts–11h, 11. 13–17h, 12. 12–19½h, 23. 10½–18½h, 31. 11–13h, 16–18h, 22–23h. — **Basel:** Dunst: 2. 7. 8. je I, 20. I, II, 25. I, II. — Gewitter: 3. K 20–21h im W, 7. T° 15h, ◁ seit 21[40] im N, Fern-K 22½h; 8. T ◁ 22h, 9. K 0[45]h, 21. K 4[15]–6[10]h im SW–NE; K 6[48]–7[40]h im W–E; T 8[50]h, 27. K 1–2h. — **Säntis.** Nebelregen: 10. 8½–11h, 12. nachts–7h, 13. 14. nachts, 23. 13h bis 5½h, 27. 17½—19h, 28. 6¾–7½h. — Gewitter: 2. ◁ im S III, 3. Nah-K im SW u. E 15[45]–17[05]h, 7. ◁ im NW III, 8. ◁ im NE III, 9. Fern-K im E 14–15[30]h. — Neuschnee: 12. 10 cm. — **St. Gotthard.** Neblig: 2. 20½h–nachts, 11. nachts–10h, 14. d. g. T, 17. nachts–10h 22. 28. 30. 31. je d. g. T. — Nebel auf dem Paß: 7. 21h–nachts, 14. 19h–nachts, 16. I, 17. 18h–nachts, 24. I, 25. 19h–nachts. — Nebelmeer im Süden: 26. I, 27. d. g. T.

August

Bern. Alpen klar: 11. 19. 21. 22. 23. je I. — Alpen hell: 10. I, 19. 21. 22. 23. je II, 28. I, 31. II. — Alpen sichtbar: 29. I. — Alpen schwach sichtbar: 11. II, 20. I, 30. II, 31. I. — Gewitter: 3. ◁ im NW 21[30]–22[10]h, 4. Ferner T 16[37]h, 6. K ca. 17¼h, 7. Fern-K im Aaretal 16[15]–16[50]h, 15. Ferner T seit 19½h, ◁ zeitw. Ab.; Fern-K im W 21[00]h, 16. Fern-K im SE und E 13[05]–14[45]h, Fern-K im NW 21[36]–22[30]h, 17. Ferner T im E u. NE 15[54]–16[30]h 20. ◁ im S u. SW 20[45]–21[50]h, (einzelne T), 25. K 2[00]–3[00]h, 28. Ferner T 17[40]h, 29. K 13[02]–13[35]h, 14[05]–15[00]h; T 16[31]h 18[18]h im N 19[19]h; Fern-K im WNW–NE, 19[55]–21[00]h u. 21[30]–22[15]h, 30. ◁ im W 21[30]h, Fern-K im NW–N 22[09]–22[55]h, ◁ bis 24h, 31. Ferner T 18[32]h; Fern-K im NW–N 15[53]–16[40]h; Fern-K im W–NW–N 19[00]–19[50]h, T über Station 19[42]h; ◁ im W 21[45]h; K 21[50]–23[55]h, über Station 23[09]h. — **Neuchâtel.** Hochnebel: 18. nachts–8½h. — Joran: 6. 17–18½h, 7. 13¾–17½h, 8. 18¾h–nachts, 12. 19–21¾h, 13. 7–21½h, 16. 14¾–18½h, 20. 19½–20¼h, 26. 15¼–18¼h. — **Altdorf.** Föhn: 21. d. g. T. — **Zürich.** Alpen sichtbar: 29. u. 31. Nm. — Alpen schwach sichtbar: 7. Vm., 21. d .g. T. 22. Nm., 23. u. 28. d. g. T., 29. u. 31. Vm. — Föhnmauer: 21. Vm. — Dunst: 1. Vm., 4. d. g. T., 5. 8. 9. je Vm., 10. Nm., 11. u. 12. Vm., 13. 14. 15 je d. g. T., 18. Vm., 19. d. g. T., 20. u. 21. Vm., 22. d. g. T., 23. Nm., 24. Vm., 25. d. g. T., 26. u. 28. Vm., 30. Nm. — Neblig: 10. Vm.

— Gewitter: 6. Nah-K 18⁰⁰–19⁰⁰h, Zug S–N, 7. Nah-K 17⁴⁵–18³⁰h; Fern-K 19³²h (kurz); 15. Fern-K 21⁴¹h (kurz); Nah-K 22⁰⁰–22⁴⁵h, 16. Nah-K 16¹⁵–17¹⁵h, Zug W–E (im SSW–W), 24. Fern-K 21³⁰–22²⁰h, 26. Fern-K 5–6h, T im N; Nah-K 19³⁸–20⁰⁰h, 28. Nah-K 16¹⁰–16³⁰h; Nah-K° 18⁵⁰h; Nah-K² 19²²h (kurz), 29. Nah-K (7¹⁰h einz. T), Fern-K 13–13¹⁵h, T im N; Nah-K 20½–24h mehrere Staffeln, 30. Nah-K² 0⁵⁰h; Nah-K 22⁵⁰h, 23³⁰h, 31. Nah-K 0²⁵h, Nah-K 17²⁰–17⁴⁰h, Zug WNW–ESE; Nah-K 23–24h. — **Rigi-Kulm.** Nebelmeer: 3. 1200 m, 4. u. 5. 1700 m, 15. 1100, 18. Talnebel strichweise. — **Sitten.** Dunst: 2. I, II, 3. I, 5. I, 26. II. — **Basel.** Dunst: 1. bis 6. 10. 11. je II, 12. I, 14. u. 15. I, II, 19. u. 26. I. — Gewitter: 4. ⊀ im E 12³⁰h; Fern-K 13¹⁵–15h, 5. T° 20h, 6. T° 16h, T 21–23h, 7. T im SE 16–17h, 8. T° 18h, 15. Fern-K° im S 20–22h, 16. K 14⁵⁰–16²⁰h, 16³⁰–16⁴⁵h, T im E 16⁵⁵h, 17. T im NE, 16⁴⁰–17¹⁰h, 20. ⊀ im S III, 24. ⊀ 21h, T° im S 21⁴⁵h, 25. K 4–4³⁰h, 28. K° 1⁵⁵–8³⁰h, T im W–E bis 11½h; K 16³⁵–17⁴⁰h; K 18⁰⁰–19³⁰h, 29. T 7⁰⁰–7¹⁵h, 14³²h, 15¹⁵–15⁴⁰h; K 22⁴⁰–23h, 30. ⊀ nachts–0³⁰h, T bis 1h; K 14¹⁰–15h, 15³⁵–17h, K 19¹⁵–20³⁰h. — **Säntis.** Gewitter: 6. T° im S 14h, Fern-K im N u. S 15³⁰–17h, 7. Fern-K im SE 16²⁰–17¹⁰h; Ferner T im NW 18–18½h, 8. Nah-K im S 17–17½h, 9. Fern-K im NW 15½–17h, Fern-K im NW 17½–19h, 13. ⊀ im E u. SE III, 14. ⊀ im E III, 16. ⊀ im SE III, 18. T° im S 17–17½h, 19. ⊀ im W u. E III, 25. ⊀ im SE–SW III, 26. T° im NW 9–9½h, T im N–E–SE 15³⁵–17⁰⁰h; Nah-K im SSW-E Ab., 27. ⊀ im SW–E–NE 19h–nachts, 28. Nah-K 19⁴⁰–20⁰⁰h, 31. Nah-K 21¹⁵–21³⁰h (mäßig). — **St. Gotthard.** Neblig: 1. d. g. T., 4. nachts–9h. — Nebel auf dem Paß: 3. I, 12. III. — Nebelmeer im Süden: 19. 14h–nachts, 20. 18h–nachts, 27. nachts–10h.

September

Bern. Alpen klar: 4. u. 5. I, II, 6. 7. 9. 25. je I. — Alpen hell: 8. u. 16. I. — Alpen sichtbar: 6. II, 17. I. — Alpen schwach sichtbar: 15. I, 21. u. 25. II, 26. I. — Neblig: 13. Ab., 14. nachts bis Vm. — Gewitter: 1. K 5⁵⁰–8⁰⁵h über Station 7²⁴h; K 9³⁰–10²¹h; K 13⁰⁸–14²⁰h, 2. Fern-K im W 3³⁵–3⁵⁸h; K 15¹⁵–16⁰⁰h, 16. Ferner T im SE 16–17h. — **Neuchâtel.** Joran: 9. 18–23h, 16. 15¼–17h, 19. 19–20½h. — **Altdorf.** Föhn: 6. Nm., Ab. — **Zürich.** Alpen hell: 9. Vm., — Alpen sichtbar: 2. Vm., 4. u. 5. d. g. T., 6. Vm., 9. Nm., 25. Vm., 26. Vm., 30. Nm. — Alpen schwach sichtbar: 6. Nm., 7. Vm., 8. Vm., 22. Nm., 23. Vm. — Föhnlücke: 23. Vm. — Dunst: 4. d. g. T., 7. Vm., 12. u. 13. d. g. T., 15. u. 18. Nm., 19. 21. 22. 28. 29. je d. g. T., 30. Vm. — Neblig: 15. Vm., — Talneblig: 16. 18. 22. je Vm. — Sicht: 16. I, 100 m, 30. Vm. 300. — Hochnebel: 15. 18. 22. je Vm. — Gewitter: 1. Nah-K° 9²⁹h (T); Nah-K° 11⁰²h; Nah-K° 14⁴⁰h, 2. Nah-K 15³⁰–16⁰⁰h. — **Rigi-Kulm.** Talnebel: 4. u. 30. Vm. — Nebelmeer: 11. 1700 m, 12. 1100, 13. 800, 15. 1700, 17. 1200–2000, 21. 700 je I. — Neuschnee: 28. 2 cm, 29. 5. — **Sitten.** Dunst: 11. III, 12. I, 13. I, 16. III, 24. I. — Hochnebel: 27. I, II (1150 m). — **Lugano.** Nordföhn: 3. 1½–22½h, 25. 3½–18h, 28. 4½ bis 29. 12½h. — **Basel.** Dunst: 2. I, 13. 14. 16. 18. 21. 22. je II. — Gewitter: 2. K 4h, 8. T 11⁴³h, T 12⁵⁵h im W. — **Säntis.** Föhnmauer: 6. 7. 23. je I. — Nebelregen: 14. 11h–nachts, 26. 12¹⁵h–17h. — Gewitter: 2. K 18–18³⁰h, 24. Nah-K im S 17⁵⁰h (kurz); Nah-K im SE 20¹⁵–20⁴⁵h. — Neuschnee: 3. 6 cm, 4. 6, 8. 4, 9. 6, 25. bis 28. je nicht meßbar, 29. 7. — Schneehöhe: 29. 20 cm. — Schneegrenze: 4. 2000 m, 29. 1700. — **St. Gotthard.** Neblig: 21. nachts–9h, 24. d. g. T., 27. 11h–nachts. — Nebel auf dem Paß: 9. nachts–8½h, 14. 14¾h–nachts, 25. nachts–10h. — Nebelmeer im Süden: 12. I, 15. I, 21. 20½–nachts.

Oktober

Bern. Alpen klar: 12. I, II, 18. I, 20. II. — Alpen hell: 4. I, 15. u. 18. II. — Alpen sichtbar: 16. u. 17. II, 21. I. — Alpen schwach sichtbar: 3. II, 19. I. — Neblig: 6. vor 7h, 7. III, 10. nachts–8h. — **Neuchâtel:** Hochnebel: 1. Vm, 15. bis 10h, 20. 8¾–9h. — **Altdorf.** Föhn: 7. Nm., 16. Ab., 21. Nm. — **Zürich.** Alpen hell: 18. Vm. — Alpen sichtbar: 4. 8. 11. je Nm., 12. Vm., 15. Nm., 16. Vm., 20. u. 21. Nm. — Alpen schwach sichtbar: 3. u. 12. Nm., 20. Vm. — Dunst: 3. d. g. T., 4. Vm., 5. d. g. T. 6. Nm., 7. Vm., 10. Nm., 12. d. g. T., 13. Vm., 15. Nm., 16. d. g. T., 20. u. 21. Vm., 25. u. 26. d. g. T., 27. Nm., 31. Nm. — Neblig: 23. 27. 31. je Vm. — Talneblig: 6. 7. 15. 29. 30. je Vm. — Talnebel: 1. I. — Sicht (Nebel): 25. u. 27. je Vm. 300 m. — Wolkenröte: 20. Ab. — Schneegrenze: 18. 1700 m. — **Rigi-Kulm.** Nebelmeer: 6. 1200 m, 5. 9. 1800, 22. 1700, 25. 1400, 26. 1550, 30. 1400, 31. 1700 je I. — Talnebel: 1. u. 8. — Neuschnee: 2. 2 cm, 3. 13. 11. 5, 20. 5, 23. 2, 28. 8, 29. 2. — **Bevers.** Neuschnee: 22. 2 cm, 23. 1, 28. 4, 30. 6, 31. 10. — **Sitten.** Dunst: 8. III, 10. I, III, 13. I, 31. I. — Hochnebel: 15. I, 1250 m, 17. I, 700, 18. III, 700. — **Lugano.** Nordföhn: 2. 2h bis 3. 17½h, 19. 14–21½h, 20. 7½–9½h, 27. 13½–17h (ESE). — **Basel.** Dunst: 10. I, 22. II, 26. II, 27. I, II. — Abendrot: 18. (17½h). — **Säntis.** Großes Lichtermeer: 11. u. 15. III. — Föhnmauer: 6. I, 7. II, 16. (16½h), 24. I. — Neuschnee: 2. 23 cm, 3. nicht meßbar, 10. 4, 11. 8, 12. 2, 17. ½, 18. u. 19. n. m., 20. 45, 22. n. m., 23. 8, 24. n. m., 27. 1, 28. 28, 29. 6, 31. ½. — Schneehöhe: 6. 50 cm, 13. 30, 20. 65, 27. 50. — Schneegrenze: 6. 1300 m, 13. 2000, 20. 1500, 27. 1800. — **St. Gotthard.** Neblig: 11. nachts–10h. — Nebel auf dem Paß: 28. III. — Neuschnee: 5. 20 cm, 9. 3, 10. 15, 19. 15, 20. 10, 24. 1, 25. 5, 28. verweht, 30. 25, 31. 10. — Schneehöhe: 27. 15 cm.

November

Bern. Alpen klar: 5. I, II, 6. I, 18. II, 19. u. 20. I, II, 22. u. 26. I. — Alpen hell: 4. u. 6. II, 28. I. — Alpen sichtbar: 20. III. — Alpen schwach sichtbar: 12. u. 24. II. — Neblig: 2. Vm., 4. nachts–9h, 13. Nm. Ab., 14. Nm., 16. früh, 17. Vm., 22. Nm. — Schneehöhe: 13. 2 cm, 16. 8. — **Neuchâtel.** Hochnebel: 1. I, 19. Vm. zeitw. — **Altdorf.** Föhn: 14. 17h–nachts, 20. Nm. — Schneehöhe: 14. 16 cm. — **Genf.** Schneehöhe: 13. 3 cm. — **Zürich.** Alpen sichtbar: 5. Nm., 6. u. 20. d. g. T., 22. Vm., 24. Nm. — Alpen schwach sichtbar: 4. Vm. — Dunst: 2. Nm., 3. u. 4. d. g. T., 10. Vm., 13. Nm., 14. Vm., 15. Vm., 16. d. g. T., 18. Nm., 20. 29. 30. Vm. — Neblig: 2. u. 4. I, 17. Nm. — Talneblig: 1. 18. 19. 22. je Vm., 28. u. 29. d. g. T., 30. Nm. — Sicht (Nebel): 1. Vm. 70 m, 2. Vm. 300, 17. Vm. 300, 22. Vm. 200. 27. d. g. T. 250. — Wolkenröte: 18. Vm., 19. Ab., 20. u. 22. Vm. — Neuschnee: 10. 3 cm, 11. 2, 13. 1, 14. 8. — **Rigi-Kulm.** Neuschnee: 3. 5 cm, 10. 30, 11. 5, 12. 25, 13. 2, 14. 30, 15. 3, 16. 20, 22. 5, 26. nicht meßbar, 30. 3. — Schneehöhe: 10. 30 cm, 17. 85. — **Bevers.** Neuschnee: 2. 4 cm, 10. 12, 11. 48, 12. 15, 14. 3, 15. 10, 22. 3. — **Sitten.** Hochnebel: 13. d. g. T. 700 m, 15. I 850 m. — Neuschnee: 10. 2 cm, 11. 2½, 14. 4, 15. 11½. — Schneehöhe: 14. 48 cm, 17. 35, 24. 8. — **Lugano.** Nordföhn: 3. 20–23h, 9. 14½–22h, 10. 10–21h, 11. 10–17½h, 12. 4½–6½h, 10–14½h, 21. 10½h bis 22. 3h. — **Basel.** Dunst: 1. 17. 18. 19. 27. je II, 28. I, II, 29. I, II, 30. II. — Morgenrot: 17. 19. 20. 22. — Schneehöhe: 13. 1 cm, 14. 1. — **Säntis.** Föhnmauer: 20. II. — Nebelregen: 23. nachts–19½h. — Neuschnee: 2. 2 cm, 3. 4. 7. 8. 9. je nicht meßbar, 10. 45 cm, 11. 42, 12. 40, 13. 8, 14. 23, 15. 16. 17. 21. bis 26. je n. m., 30. 5 cm. — Schneehöhe: 3. 80 cm., 10. 150, 24. 230. — Schneegrenze: 3. 1200 m, 10. 600, 17. Bodensee, 24. 1600. — **St. Gotthard.** Neblig: 8. 17h–nachts. — Neuschnee: 1. 5 cm, 2. 5, 3. 15, 4. nicht meßbar, 8. 35, 9. 10, 10. 11. 12. je n. m., 13. 2, 14. 20, 15. 15, 16. 2, 21. u. 22. n. m., 24. 5, 25. 5, 30. n. m. — Schneehöhe: 3. 45 cm, 10. 65, 17. 100, 24. 100.

Dezember

Bern. Alpen klar: 1. I, 10. II, 15. I, 16. II, 17. I, II, 18. u. 30. I. — Alpen hell: 2. II, 10. 12. 16. je I. — Alpen sichtbar: 3. 7. 9. 15. 18. je II. — Alpen schwach sichtbar: 3. I. — Neblig: 6. Vm., 11. Mitt., 19. früh, 20. d. g. T., 26. Vm., 28. Nm. — Schneehöhe: 9. 2 cm, 13. 4. — **Altdorf.** Föhn: 7. 16h–nachts, 11. d. g. T., 17. d. g. T., 18. Vm. — **Genf.** Schneehöhe: 9. 4 cm, 10. 2, 11. 1. — **Zürich.** Alpen hell: 10. Nm. — Alpen sichtbar: 7. d. g. T., 12. u. 15. Vm. — Alpen sichtbar: 7. Nm., 12. u. 15. Vm. — Föhnlücke: 12. Vm. — Dunst: 2. 7. 8. je Vm., 13. Nm., 14. u. 15. d. g. T., 17. Nm., 18. Vm., 22. d. g. T., 23. Vm., 24. u. 25. d. g. T., 27. Nm., 29. u. 30. d. g. T. — Neblig: 6. 19. 21. je Vm., 28. Nm., 29. Vm., 30. Nm. — Talneblig: 1. 18. 19. je Nm., 20. u. 21. d. g. T., 25. Nm., 26. d. g. T., 27. Vm. — Talnebel: 16. u. 17. Vm. — Sicht (Nebel): 1. Vm. 100 m, 16. I 500, II 900, 17. I 600, 27. III 800, 28. I 250, II 600, III 500. — Neuschnee: 9. 1 cm, 11. 2½, 13. ½. — Schneegrenze: 7. 800 m. — **Rigi-Kulm.** Nebelmeer: 2. 700 m, 20. 1100, 21. 1500, 22. 1700, 23. 1700, 25. 1100, 26. 1100, 27. 900, 28. 700. — Talnebel: 15. 24. 29.

je strichweise. — Neuschnee: 1. 5 cm, 4. nicht meßbar, 5. 16, 7. n. m. 8. 10. 9. n. m. 12. 5, 13. 6, 14. 5. — Schneehöhe: 1. 20 cm, 8. 35, 15. 40, 29. 35. — **Bevers.** Neuschnee: 4. 10 cm, 5. 15, 8. 25, 9. 40, 12. 8. — **Sitten.** Dunst: 2. II, 20. II, III, 21. d. g. T., 22. I, II, 23. II, III, 29. II, 30. II. — Hochnebel: 6. II 800 m. — Neuschnee: 11. 4 cm. — Schneehöhe: 15. 32, 29. 22. — **Lugano.** Nordföhn: 13. 8½–21h. — Schneehöhe: 9. 1 cm. — **Basel.** Dunst: 15. 17. 19. 24. bis 30. je II. — Morgenrot: 18. — **Säntis.** Föhnmauer: 19. II. — Spitzenentladungen: 4. I, 12. III. — Neuschnee: 3. bis 9. je nicht meßbar, 10. 8 cm, 11. bis 13. je n. m., 19. 12, 31. n. m. — Schneehöhe: 1. 240 cm, 8. 280, 15. 300, 22. 280, 29. 240. — Schneegrenze: 1. 1300 m, 8. 1200, 15. 600, 22. 700. — **St. Gotthard.** Neblig: 5. nachts–14h, 12. d. g. T., 13. nachts–10h. — Neuschnee: 4. 20 cm, 5. 25, 6. 5, 7. 3, 8. 25, 9. 14. 24. je n. m. — Schneehöhe: 1. 100 m, 8. 130, 15. 120, 21. 110, 29. 90.

Säntis Nebelmeer

(Höhe ü. M. in Hektometern, ( ) = strichweise)

Januar

	1.	2.	3.	6.	7.	11.	13.	14.	15.	16.	17.	18.	19.	20.	21.	22.	28.	29.	30.	31.
7³⁰	—	—	—	—	—	—	23	—	11	10	9	9	9	9	—	19	—	(13)	(6)	7
10³⁰	—	—	20	—	(17)	—	19	—	10	10	10	9	9	12	—	(16)	—	—	(6)	7
13³⁰	(18)	—	19	(9)	(17)	—	(15)	—	11	10	10	9	10	11	(15)	(14)	(18)	—		7
16³⁰	—	—	(16)	—	—	—	15	—	10	(9)	10	9	10	(12)	—	—	19	—	—	7
21³⁰	—	24	(16)	—	—	(13)	14	17	10	(9)	9	9	10	—	—	—	(17)	—	—	7

Februar

	1.	17.	18.	19.	20.	21.	22.	23.	24.	25.	26.	27.	28.
7³⁰	7	15	25	20	14	18	22	14	(9)	9	8	(7)	18
10³⁰	7	16	22	19	14	18	20	14	(10)	9	9	—	12
13³⁰	(7)	17	23	18	16	19	19	14	—	—	8	—	—
16³⁰	—	20	24	17	17	20	19	14	—	—	—	(18)	—
21³⁰	(7)	23	22	17	17	22	18	14	(8)	—	(8)	18	—

März

	7.	8.	9.	10.	16.	23.	28.
7³⁰	—	—	23	(12)	—	22	(9)
10³⁰	—	—	23	(15)	—	—	—
13³⁰	—	—	22	—	(20)	—	—
16³⁰	23	19	22	—	—	20	—
21³⁰	—	23	20	—	—	—	—

April

	10.	19.	23.	27.
7³⁰	—	—	(6)	16
10³⁰	—	—	—	21
13³⁰	—	—	—	—
16³⁰	24	—	—	—
21³⁰	—	(18)	—	—

Mai

	15.	17.	19.
7³⁰	—	—	—
10³⁰	—	—	—
13³⁰	—	—	—
16³⁰	—	—	—
21³⁰	17	22	(23)

Juni

	21.	22.
7³⁰	19	(13)
10³⁰	—	—
13³⁰	—	—
16³⁰	—	—
21³⁰	—	—

Juli

	6.	7.	9.	18.	25.	29.
7³⁰	(8)	(7)	24	(11)	(8)	(16)
10³⁰	—	—	—	(15)	—	—
13³⁰	—	—	—	—	—	—
16³⁰	—	—	—	—	—	—
21³⁰	—	—	—	—	—	—

August

	3.	4.	5.	6.	10.	14.	15.	18.	24.	25.	27.
7³⁰	12	14	16	(12)	8	(7)	13	(8)	—	(23)	(21)
10³⁰	—	—	20	18	—	(9)	12	—	—	—	—
13³⁰	—	—	—	—	—	—	—	—	(23)	—	—
16³⁰	—	—	—	—	—	—	—	—	—	—	—
21³⁰	—	—	—	—	—	—	—	—	—	—	—

September

	1.	4.	11.	12.	13.	15.	17.	18.	19.	21.	22.	27.
7³⁰	—	6	15	11	9	(23)	12	15	(15)	8	9	(12)
10³⁰	—	—	18	11	—	—	12	19	(22)	—	(11)	—
13³⁰	9	—	19	—	—	—	—	—	—	—	—	—
16³⁰	—	—	19	—	—	—	—	—	—	—	—	—
21³⁰	8	—	17	—	—	—	—	—	—	—	—	—

Oktober

	4.	5.	6.	7.	8.	9.	10.	12.	13.	14.	15.	22.	24.	25.	26.	29.	30.	31.
7³⁰	—	15	13	(6)	(10)	16	18	(6)	—	(17)	(6)	14	(15)	16	15	(7)	14	—
10³⁰	—	15	12	(7)	(12)	16	22	—	20	—	(10)	17	(15)	15	16	(10)	14	(19)
13³⁰	—	13	(12)	—	(14)	17	—	—	21	—	—	18	(15)	15	18	(12)	14	—
16³⁰	22	14	(11)	—	(18)	—	—	—	21	—	—	21	14	17	20	(12)	16	—
21³⁰	—	14	—	—	16	—	—	—	—	—	—	—	—	16	—	12	(17)	—

November

	1.	2.	5.	17.	19.	27.	28.	30.
7³⁰	(6)	(9)	(12)	(6)	(6)	(7)	16	25
10³⁰	(7)	(9)	—	(7)	(6)	(8)	14	24
13³⁰	(8)	10	—	(7)	—	(10)	13	—
16³⁰	—	—	(20)	—	—	(19)	(12)	—
21³⁰	—	—	20	(6)	—	20	—	24

Dezember

	1.	2.	7.	14.	16.	17.	18.	19.	20.	21.	22.	23.	24.	25.	26.	27.	28.	29.	30.
7³⁰	10	8	(20)	—	(6)	(6)	(6)	(7)	11	15	18	16	(13)	10	9	8	7	—	13
10³⁰	11	(8)	—	18	(7)	(7)	—	(8)	11	17	16	16	(10)	10	9	8	7	18	14
13³⁰	13	—	—	18	—	—	—	—	12	18	16	16	(12)	10	9	8	7	22	(12)
16³⁰	11	—	—	18	—	—	—	—	13	18	16	18	—	10	9	(7)	(7)	20	—
21³⁰	10	—	—	19	—	—	—	9	15	19	15	21	—	(9)	8	(7)	(7)	(15)	—

Jungfraujoch: Lufttemperaturen

Tag	Januar			Februar			März			April			Mai			Juni		
	7^{30}	13^{30}	21^{30}	7^{30}	13^{30}	21^{30}	7^{30}	13^{30}	21^{30}	7^{30}	13^{30}	21^{30}	7^{30}	13^{30}	20^{30}	7^{30}	13^{30}	20^{30}
1	-20.8	-14.0	-11.5	-7.8	-8.0	-10.4	-19.6	-19.6	-21.3	**-23.8**	-18.8	-15.1	-11.0	-11.0	-10.4	-3.6	-2.2	-3.2
2	-13.2	-10.6	-11.6	-10.2	**-7.0**	-8.4	-19.0	-16.8	-18.8	-9.0	-8.0	-6.4	-10.2	-8.2	-5.2	-4.2	-4.4	-4.4
3	-12.6	-12.5	-12.9	-8.0	-7.8	-10.4	-18.6	-18.2	-18.6	-7.6	-5.4	-6.6	-6.6	-5.8	-8.6	-2.6	-2.4	-6.0
4	-13.8	-19.2	-24.0	-14.8	-19.2	-26.5	-24.2	-23.4	-26.4	-8.4	-8.4	-9.8	-11.4	-6.8	-6.4	-3.2	-1.2	-1.4
5	-24.8	**-26.2**	-22.0	-24.2	-24.0	-24.0	**-27.3**	-23.8	-23.4	-12.8	-11.2	-11.9	-6.8	-7.6	-7.6	-1.8	0.0	-2.0
6	-14.6	-12.8	-14.6	-24.8	-25.6	-25.8	-21.8	-20.0	-16.8	-13.8	-9.6	-8.7	-8.4	-7.4	-8.6	-6.2	-5.2	-7.6
7	-13.8	-13.6	-13.4	-19.6	-16.0	-12.2	-15.6	-12.4	-13.6	-6.0	-3.2	-5.0	-9.1	-8.4	-10.0	-8.6	-7.8	-11.0
8	-12.6	-10.8	-12.0	-14.6	-17.6	-23.1	-15.8	-13.8	-13.8	-4.8	-3.4	-8.2	-12.4	-12.6	-10.4	**-13.0**	-10.0	-9.0
9	-13.0	-12.6	-13.3	-23.4	-24.2	-23.2	-14.1	-14.0	-15.4	-8.2	-6.6	-7.6	-6.2	-1.4	-4.0	-5.8	-3.8	-3.6
10	-10.2	-11.8	-11.2	-17.9	-20.3	-24.3	-12.8	-12.2	-14.0	-9.0	-7.4	-11.4	-3.8	-2.0	-6.4	-3.8	-2.6	-6.0
11	-11.6	-12.4	-10.2	-26.8	-26.8	-27.0	-17.2	-16.0	-18.6	-8.4	-6.0	-8.8	-11.2	-10.2	-9.0	-8.9	-5.6	-6.8
12	-9.8	-9.8	-10.0	**-27.8**	-27.0	-27.6	-24.2	-22.0	-17.0	-9.0	-7.8	-9.4	-7.2	-3.9	-6.6	-4.2	-2.2	-1.4
13	-8.5	-7.6	-7.0	-26.2	-25.0	-20.2	-12.8	-12.6	-15.5	-9.3	-7.4	-8.8	-7.0	-4.6	-5.2	0.2	**1.0**	-0.8
14	-7.4	-9.5	-12.8	-20.4	-21.0	-18.5	-24.2	-24.0	-23.2	-8.6	-8.0	-8.1	-5.0	-3.8	-6.8	-2.2	-2.8	-6.6
15	-8.4	-7.8	-7.8	-16.2	-14.8	-16.2	-21.6	-22.0	-23.2	-8.6	-7.8	-7.2	-8.8	-5.6	-6.0	-8.0	-6.2	-4.6
16	-5.2	-3.6	-3.5	-16.0	-17.4	-17.8	-18.0	-16.8	-15.3	-6.2	-7.4	-7.4	-5.8	-5.4	-9.6	-3.2	-3.0	-5.2
17	**-2.8**	-5.0	-6.2	-17.4	-16.0	-19.0	-14.8	-16.4	-17.0	-7.4	-6.9	-7.2	-9.8	-6.7	-9.0	-6.8	-7.5	-10.4
18	-7.4	-5.5	-8.3	-19.1	-18.0	-21.6	-13.2	-12.0	-13.4	-9.6	-6.9	-9.0	-10.2	-7.3	-8.0	-11.2	-6.2	-6.8
19	-9.4	-7.2	-8.3	-20.0	-17.2	-17.6	-12.4	-11.4	-14.6	-9.4	-7.2	-7.4	-7.0	-6.4	-7.0	-5.4	-2.4	-2.8
20	-8.9	-10.8	-11.6	-16.2	-14.4	-16.8	-15.2	-15.2	-17.8	-8.2	-7.2	-10.4	-7.2	-5.3	-7.0	-2.0	-2.6	-3.8
21	-10.2	-11.3	-14.3	-17.2	-15.6	-18.4	-17.2	-16.6	-18.8	-10.8	-9.4	-8.0	-6.0	-7.2	-7.8	-4.6	-0.6	-1.8
22	-13.4	-12.0	-10.0	-21.0	-22.4	-23.6	-23.0	-22.4	-25.4	-7.4	-7.2	-4.8	-11.2	-11.8	**-16.8**	-4.0	-1.9	-3.2
23	-7.6	-10.2	-14.2	-23.6	-21.2	-21.4	-24.0	-20.6	-16.0	-4.6	-4.1	-4.8	-13.0	-10.8	-10.0	-4.2	-3.0	-3.5
24	-18.8	-19.6	-8.0	-21.6	-17.6	-15.8	-16.2	-15.4	-14.8	-4.1	**-3.0**	-4.6	-10.2	-8.0	-8.8	-9.0	-3.0	-2.8
25	-10.2	-14.6	-17.4	-13.8	-10.6	-12.0	-18.4	-18.0	-10.0	-9.8	-12.4	-14.8	-6.8	-5.0	-6.2	-1.8	-0.2	-1.8
26	-20.2	-22.6	-18.0	-14.8	-14.2	-14.6	-10.4	**-9.4**	-12.5	-16.1	-13.2	-11.0	-4.8	-3.2	-2.4	-3.4	-1.4	-2.2
27	-10.3	-9.8	-10.8	-14.6	-14.8	-16.0	-12.0	-13.2	-15.8	-8.0	-5.6	-7.1	1.0	2.0	2.0	-3.2	-1.6	-3.6
28	-10.8	-9.2	-8.2	-16.6	-14.8	-15.0	-14.2	-13.0	-14.0	-8.2	-9.6	-11.2	3.6	**4.6**	2.8	-3.0	-2.0	-3.0
29	-8.2	-7.5	-8.0	-17.0	-15.4	-18.0	-14.8	-13.2	-12.6	-14.2	-13.8	-14.8	3.6	2.8	-1.2	-2.4	-0.8	-1.0
30	-8.2	-8.8	-7.4				-13.0	-12.2	-12.2	-14.4	-11.8	-11.6	-1.2	0.4	-1.8	-3.4	-2.2	-0.8
31	-7.4	-5.6	-5.7				-13.4	-13.6	-20.0				-1.4	0.2	-2.0			
Mittel	-11.4	-11.4	-11.4	-18.3	-17.7	-18.8	-17.4	-16.5	-17.1	-9.5	-8.2	-8.9	-6.8	-5.4	-6.6	-4.8	-3.1	-4.2

Tag	Juli			August			September			Oktober			November			Dezember		
	7^{30}	13^{30}	20^{30}	7^{30}	13^{30}	20^{30}	7^{30}	13^{30}	20^{30}	7^{30}	13^{30}	21^{30}	7^{30}	13^{30}	21^{30}	7^{30}	13^{30}	21^{30}
1	-0.4	0.6	-1.4	**-4.4**	-3.2	-3.4	3.2	0.0	2.6	-4.0	-4.0	-10.6	-10.0	-8.6	-7.6	-9.2	-8.6	-7.5
2	-1.4	-0.6	0.6	-2.6	1.1	-0.8	2.6	2.0	-3.2	-13.8	-15.0	-15.4	-7.8	-7.8	-7.4	-7.8	-7.4	-9.4
3	-0.6	0.6	-0.6	-1.6	1.8	-0.8	-9.0	-9.0	-5.7	**-15.6**	-11.0	-9.2	-11.4	-12.6	-16.0	-15.4	-15.0	-8.8
4	-3.2	-5.6	-6.2	-1.8	-0.4	-2.0	-0.3	2.6	2.4	-9.0	-10.8	-10.2	-11.4	-10.4	-10.6	-9.8	-10.8	-12.4
5	**-7.6**	-6.4	-6.6	-1.2	0.3	-2.4	2.9	**3.8**	2.5	-9.2	-8.2	-6.2	-8.6	-7.0	-8.4	-16.6	-19.2	-18.8
6	1.6	3.4	2.2	-2.0	0.6	-1.0	-0.7	-1.6	-0.2	-5.6	-4.2	-5.0	-9.8	-9.4	-11.0	-12.2	-13.0	-16.6
7	4.8	4.6	0.8	-2.2	-0.8	-2.6	0.2	-0.4	-2.8	-10.0	-9.0	-7.0	-11.0	-9.8	-8.4	-15.4	-12.6	-9.0
8	-0.8	0.0	-1.4	-3.0	0.0	-1.0	-5.0	-4.1	-7.6	-10.4	-7.4	-8.2	-7.8	-6.4	-6.0	-12.0	-15.0	-21.4
9	-1.2	-1.0	-2.6	-1.9	-0.8	-1.0	-5.3	-2.9	-5.8	-6.0	-5.6	-7.2	-9.2	-16.8	**-22.6**	-21.8	-22.2	-23.0
10	-3.0	-3.3	-6.8	-1.0	1.2	2.0	-5.0	-3.4	-3.2	-9.0	-7.2	-8.4	-22.0	-22.0	-20.4	-22.8	-22.0	-20.2
11	-6.9	-6.0	-6.0	1.4	3.4	3.6	-5.0	-2.1	-2.4	-10.2	-8.0	-6.4	-19.8	-20.6	-21.4	-15.8	-12.8	-10.8
12	-7.2	-5.8	-6.4	4.4	5.8	4.8	-3.6	-0.2	-0.2	-6.2	-4.4	-5.2	-22.2	-21.8	-20.4	-15.4	-15.6	-17.0
13	-4.8	-3.0	-2.2	5.4	6.2	4.0	0.2	1.6	-0.3	-6.8	-5.8	-6.2	-16.8	-15.8	-16.0	-19.6	-19.2	-18.8
14	-4.8	-2.8	-1.8	4.4	4.8	4.5	-0.7	-0.2	-1.6	-7.0	-6.6	-7.4	-17.4	-15.6	-14.4	-16.8	-14.0	-14.8
15	-1.4	0.4	-1.0	3.8	5.6	3.2	-2.2	-0.6	-0.4	-7.4	-4.8	-5.0	-18.6	-19.8	-17.8	-13.0	-14.0	-13.4
16	-2.6	-2.2	-2.2	1.0	1.4	1.0	-2.4	-1.3	-0.2	-5.2	-3.8	-6.0	-18.6	-18.8	-20.4	-10.8	-9.9	-11.2
17	-3.8	-1.1	-1.8	0.0	-0.2	-0.2	-1.3	-0.2	-1.2	-5.8	-9.0	-3.8	-11.0	-8.1	-7.0	-11.8	-9.0	-8.0
18	-1.0	-0.8	-1.8	0.4	1.8	1.9	-1.1	-0.2	-2.2	**-2.4**	-3.8	-8.2	-6.8	**-2.6**	-3.6	-7.1	**-7.0**	-9.0
19	-3.4	-1.2	-0.6	0.2	3.0	3.0	-1.8	-1.2	-3.0	-12.6	-8.0	-12.2	-4.6	-4.6	-6.0	-10.2	-9.0	-8.8
20	-0.2	2.0	2.0	2.3	2.8	1.7	-3.0	-2.0	-4.8	-14.2	-7.3	-4.6	-5.4	-4.8	-9.4	-9.2	-7.0	-8.4
21	0.8	-0.6	-0.8	0.8	2.4	4.4	-8.0	-4.0	-2.8	-8.6	-9.6	-10.6	-16.0	-17.8	-19.0	-12.0	-13.0	-12.8
22	-4.0	-4.8	-5.8	4.6	6.8	7.6	-3.4	-1.6	-2.0	-10.0	-10.1	-11.0	-14.2	-7.0	-6.0	-16.3	-15.2	-19.8
23	-5.4	-3.0	-1.8	7.8	**8.4**	6.8	-3.1	-2.0	-3.2	-11.4	-10.8	-9.8	-3.8	-5.1	-7.8	-15.4	-15.0	-22.6
24	-4.0	-2.6	-3.4	6.6	7.3	2.6	-1.6	-2.6	-5.0	-11.2	-10.2	-9.8	-9.8	-8.6	-7.4	-22.0	-17.0	-17.0
25	-5.8	-2.9	5.2	2.6	5.0	3.2	-13.2	-11.8	-11.0	-9.2	-8.8	-9.6	-7.6	-8.2	-10.8	-15.4	-16.2	-19.0
26	2.4	4.8	4.6	2.4	4.8	1.9	-3.2	-3.6	-5.4	-8.0	-5.8	-7.0	-19.2	-16.8	-15.2	-14.2	-13.6	-16.2
27	0.4	-0.8	-0.8	2.1	2.9	1.8	-10.4	-7.0	-10.8	-11.4	-9.8	-12.2	-15.4	-15.6	-15.2	-18.2	-18.2	-15.0
28	-0.8	0.0	-1.0	1.2	2.6	0.2	**-13.4**	-12.4	-13.0	-14.8	**-15.6**	-14.0	-14.6	-11.6	-9.4	-14.6	-16.6	-15.4
29	-1.2	0.8	0.2	1.2	1.3	1.2	-10.8	-8.4	-10.0	-14.6	-12.8	-12.4	-9.0	-9.0	-13.0	-17.0	-17.0	-14.2
30	-0.2	0.8	-3.0	1.0	3.1	4.4	-5.4	-3.8	-2.2	-11.6	-12.4	-13.0	-12.8	-13.0	-13.4	-17.5	-16.6	-20.0
31	-5.4	-3.4	-3.6	2.4	3.0	1.3				-15.8	-14.6	-14.0				-22.4	-25.0	**-27.0**
Mittel	-2.3	-1.3	-1.7	1.1	2.7	1.6	-3.7	-2.5	-3.4	-9.6	-8.5	-8.9	-12.4	-11.9	-12.4	-14.8	-14.4	-15.0

1944 **Tägliche Maxima und Minima der Lufttemperatur** **Zürich**

(Nach den Aufzeichnungen des Thermographen)

Tag	Januar		Februar		März		April		Mai		Juni		Juli		August		Septemb.		Oktober		Novemb.		Dezember	
	Max	Min.	Max.	Min	Max	Min.	Max.	Min.	Max	Min.	Max.	Min.	Max.	Min.	Max.	Min.	Max.	Min.	Max.	Min.	Max.	Min.	Max.	Min.
1	2.3	-3.2	7.7	-2.0	1.7	-1.2	8.7	0.0	18.5	8.3	25.6	14.8	23.9	12.7	22.5	14.4	18.6	14.1	16.4	4.7	6.8	-0.5	2.4	-0.6
2	4.6	-0.3	6.1	-0.6	5.2	-1.0	12.5	**-0.8**	22.8	9.0	22.5	14.7	28.4	15.2	24.9	14.2	22.7	12.4	9.2	6.0	7.1	3.9	5.6	0.3
3	5.8	3.1	**14.0**	4.4	2.8	-1.5	18.4	2.1	23.2	10.0	20.7	12.9	26.5	16.0	24.8	14.0	15.4	9.9	12.9	3.6	4.9	2.6	6.7	3.8
4	4.5	-2.1	7.0	-2.0	4.8	-3.0	18.9	8.8	18.8	9.9	23.5	11.4	16.8	13.1	23.3	14.1	22.3	7.9	13.9	3.4	10.2	1.3	**10.2**	5.5
5	1.9	-5.1	0.2	-1.8	2.7	-3.9	16.0	7.6	20.0	10.2	25.6	12.0	19.9	12.3	22.0	13.2	**26.5**	12.1	9.7	6.9	12.2	2.5	6.5	3.0
6	-2.9	-8.1	2.0	-3.9	-0.5	-3.0	16.9	7.8	10.9	7.6	14.6	11.2	25.6	**10.6**	24.7	13.9	**26.5**	14.5	12.0	7.6	13.9	7.0	7.7	1.0
7	-1.0	-8.0	0.5	-6.1	1.7	-3.0	15.9	4.2	8.0	4.8	12.9	**8.0**	30.4	14.0	25.5	13.9	20.0	12.2	**17.7**	7.9	10.4	7.9	7.7	3.6
8	0.8	**-8.4**	3.0	-0.4	2.7	-1.4	14.6	8.9	13.4	2.0	16.9	8.1	26.6	17.1	26.7	**12.5**	19.2	9.4	17.0	7.8	11.5	4.7	7.2	2.5
9	7.1	-2.6	3.1	-0.8	2.1	1.2	17.2	8.0	17.0	**1.9**	21.8	9.7	21.5	15.6	24.6	14.7	19.2	8.7	12.5	9.6	11.3	0.3	4.7	0.1
10	6.1	4.8	5.1	-4.1	6.7	**-4.8**	14.3	6.2	19.3	5.3	14.3	11.1	21.7	12.6	27.2	15.4	15.3	11.2	12.1	9.0	1.2	0.2	4.4	-2.0
11	5.6	3.5	-0.8	-4.3	5.4	-2.3	17.8	3.3	18.9	7.6	19.3	9.6	18.0	11.9	29.1	14.7	18.1	9.8	12.5	7.0	4.3	1.1	6.0	-1.7
12	8.2	3.2	2.9	-3.7	5.1	-1.7	19.5	3.9	20.3	5.9	22.5	9.1	18.2	12.0	31.1	16.0	19.7	8.3	16.6	6.8	4.5	0.5	7.4	1.6
13	9.4	3.8	0.9	-4.7	5.9	0.4	21.2	5.9	23.6	7.7	25.8	11.6	20.9	12.1	31.6	17.1	20.3	8.8	12.4	8.9	1.2	-0.7	3.1	0.7
14	6.7	0.9	0.3	-3.9	3.9	-0.9	20.9	6.8	16.4	9.7	20.5	13.4	24.6	11.2	29.7	18.1	18.3	14.8	16.1	7.2	3.9	0.4	2.0	0.4
15	5.2	1.5	0.7	-3.1	6.7	-3.2	20.7	9.9	11.1	5.8	20.5	11.4	26.4	15.0	27.4	16.0	23.5	14.9	17.2	7.2	4.9	0.8	2.5	-2.2
16	4.6	0.8	1.1	-2.5	7.4	-2.5	23.7	9.9	7.7	5.0	19.7	9.3	23.8	14.0	30.0	17.2	25.0	13.7	15.0	10.9	3.6	0.8	1.5	-3.5
17	1.9	-0.9	-0.7	-3.6	6.9	-3.1	21.4	8.9	11.1	5.6	12.6	8.3	25.6	14.3	24.8	17.1	22.5	15.5	16.4	9.1	3.2	-0.4	5.1	-3.7
18	-0.9	-2.2	-4.4	-7.3	9.8	-1.3	19.2	8.8	17.2	6.5	12.5	8.1	25.4	12.4	28.0	15.5	19.7	13.6	15.6	10.6	10.4	0.2	4.2	-1.8
19	-0.5	-1.9	-2.3	-7.6	12.4	-1.0	15.9	8.0	18.9	5.7	17.5	9.4	27.0	14.3	30.5	16.2	22.9	13.8	11.2	7.7	11.5	0.8	3.1	-1.4
20	3.5	-2.1	-3.5	-6.6	8.3	1.8	14.5	9.0	22.9	8.1	20.7	13.5	28.5	13.7	30.2	16.2	14.9	12.6	14.4	5.4	**14.3**	3.7	-1.2	-3.0
21	6.9	-0.8	-3.6	-6.6	3.9	0.1	14.4	6.4	13.9	9.2	22.4	13.0	20.6	14.6	31.2	17.3	18.1	11.0	14.3	6.8	7.4	1.8	-0.6	-2.2
22	7.2	0.5	-1.2	-7.2	2.7	-1.5	17.8	4.5	10.2	4.9	24.9	12.2	16.9	13.5	32.5	16.8	21.5	10.2	9.1	7.0	6.2	0.0	-0.8	-3.5
23	11.1	0.0	-2.6	-6.2	4.2	-3.6	21.2	6.1	13.1	4.5	21.3	13.5	17.5	13.4	**34.2**	18.5	17.1	12.9	9.8	6.7	13.0	5.2	-2.7	-4.4
24	7.6	1.8	0.5	-7.4	7.0	-3.4	**25.4**	6.6	16.6	6.9	18.8	10.4	22.8	12.4	30.9	18.9	21.0	7.8	13.3	5.1	13.9	8.4	-3.0	-6.8
25	9.0	1.9	2.2	**-8.6**	7.2	-0.9	13.9	5.8	21.5	5.3	24.1	8.1	26.1	11.7	29.8	20.3	10.6	7.7	10.2	5.7	11.1	5.6	-4.5	-7.6
26	5.3	0.9	1.0	-7.0	4.5	-2.0	10.2	4.7	26.6	11.3	24.7	13.1	**31.1**	15.4	30.7	18.6	12.6	9.7	10.0	8.0	6.5	0.5	-5.0	-7.3
27	8.9	0.2	7.1	-5.7	8.3	1.6	15.2	4.2	27.4	11.2	21.8	13.7	24.5	16.8	30.0	19.1	13.8	7.6	9.1	7.3	1.4	-0.6	-3.2	-6.6
28	**13.0**	6.6	4.6	-1.3	10.8	-1.2	16.0	3.4	28.6	14.3	22.9	14.1	22.8	16.3	28.8	17.4	10.6	6.1	8.4	1.3	3.3	**-1.2**	-3.1	**-8.2**
29	11.0	0.9	1.7	-3.2	**15.1**	0.3	10.8	4.5	28.2	12.1	**27.9**	12.3	24.0	15.9	23.0	17.1	13.2	**3.5**	6.4	**-0.9**	3.7	-1.0	-0.9	-8.1
30	10.8	-2.2			13.5	3.9	12.6	4.2	**30.7**	14.5	22.3	14.3	23.1	15.6	26.0	17.0	16.3	4.5	6.7	2.2	5.7	1.4	-2.7	-6.2
31	2.2	-2.2			6.3	0.6			28.7	16.3			21.7	14.9	27.5	15.8			10.3	2.1			-1.0	-6.1
Mittl. Max.	5.35		1.81		5.97		16.86		18.89		20.70		23.57		27.85		18.85		12.53		7.45		2.24	
Mittl. Min.	-0.51		-4.06		-1.34		5.92		7.97		11.41		13.89		16.17		10.64		6.41		1.91		-2.08	
Differenz	5.86		5.87		7.31		10.94		10.92		9.29		9.68		11.68		8.21		6.12		5.54		4.32	
Abs. Max.	13.0		14.0		15.1		25.4		30.7		27.9		31.1		34.2		26.5		17.7		14.3		10.2	
Abs. Min.	-8.4		-8.6		-4.8		-0.8		1.9		8.0		10.6		12.5		3.5		-0.9		-1.2		-8.2	
Differenz	21.4		22.6		19.9		26.2		28.8		19.9		20.5		21.7		23.0		18.6		15.5		18.4	

Stündliche Monatsmittel der Lufttemperatur

	Januar	Februar	März	April	Mai	Juni	Juli	August	Septemb.	Oktober	Novemb.	Dezemb.	Jahr
1^{30}	1.32	-2.69	0.42	7.95	10.08	12.75	15.37	17.77	12.15	7.92	3.81	-0.51	7.20
2^{30}	1.20	-2.72	0.23	7.55	9.72	12.51	14.93	17.34	11.99	7.75	3.71	-0.56	6.97
3^{30}	1.00	-2.80	-0.05	7.16	9.33	12.23	14.64	16.97	11.77	7.63	3.62	-0.54	6.75
4^{30}	0.98	-2.86	-0.19	6.77	9.04	11.92	14.46	16.65	11.69	7.53	3.62	-0.61	6.58
5^{30}	0.87	-2.96	-0.37	6.60	8.78	11.94	14.52	16.48	11.60	7.41	3.42	-0.73	6.46
6^{30}	0.82	-3.12	-0.56	6.79	9.06	12.48	14.79	16.84	11.56	7.22	3.40	-0.80	6.54
7^{30}	0.85	-3.15	-0.25	7.59	10.30	13.29	15.64	17.81	12.02	7.22	3.31	-0.81	6.99
8^{30}	0.97	-2.95	0.37	8.82	11.49	14.43	16.67	18.97	12.90	7.86	3.40	-0.89	7.67
9^{30}	1.22	-2.49	1.61	10.37	13.10	15.72	18.20	20.66	14.20	8.64	3.83	-0.44	8.72
10^{30}	1.89	-1.68	2.67	12.16	14.55	16.86	19.55	22.27	15.15	9.53	4.68	-0.08	9.80
11^{30}	2.68	-0.72	3.67	13.91	15.82	17.95	20.58	24.06	15.75	10.53	5.32	-0.49	10.84
12^{30}	3.79	0.05	4.05	14.77	16.46	18.40	21.50	25.58	17.04	11.42	5.88	1.13	11.67
13^{30}	4.32	0.50	4.59	15.46	17.55	18.89	21.92	26.53	17.55	11.72	5.94	1.31	12.19
14^{30}	4.57	0.78	4.41	15.77	17.56	19.24	21.86	26.98	17.63	11.62	5.80	1.37	12.30
15^{30}	4.21	0.25	4.38	15.39	17.72	19.01	21.74	26.53	17.44	11.40	5.80	1.06	12.08
16^{30}	3.56	-0.18	4.27	15.14	17.38	18.88	21.64	26.13	16.70	10.87	5.42	0.64	11.70
17^{30}	2.96	-0.88	3.78	14.70	16.94	18.19	21.45	25.05	16.05	9.85	4.73	0.18	11.08
18^{30}	2.66	-1.31	2.98	13.52	15.83	17.59	20.55	23.60	14.74	9.10	4.60	-0.09	10.31
19^{30}	2.39	-1.65	2.24	11.88	14.46	16.48	19.10	21.60	13.78	8.70	4.36	-0.37	9.41
20^{30}	2.20	-1.74	1.94	11.12	13.17	15.27	17.88	20.55	13.31	8.48	4.24	-0.49	8.83
21^{30}	1.88	-1.96	1.60	10.45	12.61	14.45	17.19	19.96	13.01	8.21	4.26	-0.52	8.43
22^{30}	1.77	-2.11	1.23	9.70	11.95	14.04	16.67	19.30	12.66	8.12	4.19	-0.57	8.08
23^{30}	1.65	-2.28	1.04	9.16	11.41	13.59	16.21	18.71	12.35	7.96	3.97	-0.76	7.75
0^{30}	1.51	-2.50	0.85	8.72	10.68	13.08	15.74	18.26	12.10	7.86	3.82	-0.65	7.46
Mittel	2.14	-1.72	1.87	10.89	13.12	15.38	18.03	21.03	13.97	8.94	4.38	-0.13	8.99

1944 **Tägliche Maxima und Minima der Lufttemperatur** Säntis

(Nach den Aufzeichnungen des Thermographen)

Tag	Januar		Februar		März		April		Mai		Juni		Juli		August		Septemb.		Oktober		November		Dezember	
	Max.	Min.	Max.	Min.	Max.	Min.	Max.	Min.	Max.	Min.	Max.	Min.	Max.	Min.	Max.	Min.	Max.	Min.	Max.	Min.	Max.	Min.	Max.	Min.
1	-9.4	-19.3	-1.0	-5.3	-10.0	-13.8	-10.9	**-14.6**	-2.0	-5.5	5.5	2.9	6.6	2.0	3.3	**1.7**	9.3	5.8	0.2	-4.6	-2.6	-8.4	-3.7	-8.0
2	-7.2	-9.4	-2.6	-5.9	-9.5	-12.7	-2.1	-11.8	0.1	-2.7	2.7	1.4	9.4	4.3	5.6	2.8	**11.9**	-0.6	-4.7	-7.8	-0.4	-3.8	-3.2	-7.8
3	-6.9	-9.4	**-0.8**	-4.7	-11.4	-16.7	1.4	-2.5	1.5	-2.6	2.8	0.0	14.3	5.1	7.6	4.0	-0.6	-3.7	-4.9	-8.8	-4.5	-10.3	-4.4	-10.0
4	-8.2	-15.7	-6.2	-17.0	-15.9	-18.7	-0.9	-3.4	-0.4	-3.3	5.7	-0.8	5.6	-0.1	8.0	2.8	7.6	-3.3	-2.0	-7.0	-3.6	-10.4	-3.6	-8.8
5	-14.2	**-19.6**	-14.4	-15.9	-16.8	**-18.8**	-3.0	-4.2	0.2	-2.5	9.8	-0.9	2.4	-0.5	8.6	2.6	11.3	5.6	1.2	-3.9	-3.9	-5.9	-7.6	-11.1
6	-8.8	-18.6	-14.1	**-21.0**	-17.0	-18.4	-2.8	-4.7	0.5	-4.6	-0.4	-3.3	11.8	1.7	10.2	4.6	9.1	5.7	**4.2**	1.3	-4.0	-6.8	-6.4	-10.5
7	-8.8	-10.4	-7.2	-17.8	-10.9	-15.6	-0.2	-7.0	-3.4	-7.0	-1.5	-5.1	13.5	8.7	8.0	4.2	10.6	-2.7	3.0	1.3	-2.6	-5.4	-6.0	-9.9
8	-6.6	-9.4	-7.7	-14.8	-9.0	-10.6	4.0	-1.9	-3.2	-8.1	-2.5	**-5.7**	12.3	6.1	11.5	4.7	6.2	-3.2	3.2	0.2	-0.5	-5.6	-5.8	-13.3
9	-7.0	-10.5	-12.7	-16.0	-8.0	-12.7	1.6	-2.0	0.2	-7.8	2.3	-3.8	10.8	2.4	10.6	5.7	3.4	-3.6	3.4	-1.5	-1.0	-13.9	-12.3	-14.6
10	-5.6	-6.8	-11.7	-16.8	-7.6	-10.0	-2.0	-7.1	8.6	-2.3	4.0	-1.4	4.2	0.3	10.5	5.3	3.2	-0.7	1.0	-4.0	-12.0	-13.5	-12.8	-14.9
11	-4.9	-6.1	-15.0	-19.9	-10.2	-12.2	-1.0	-7.9	-1.7	-4.4	-0.3	-3.0	0.3	**-1.6**	13.6	6.5	5.1	-0.7	-2.8	-4.9	-11.6	-13.9	-4.5	-12.6
12	-4.0	-5.7	-16.4	-19.9	-12.3	-15.6	1.0	-3.5	2.0	-3.7	3.2	-1.5	0.4	-1.2	14.1	9.6	7.3	2.1	1.1	-3.6	-12.0	**-14.4**	-7.0	-12.4
13	-3.1	-5.9	-18.0	-20.0	-7.5	-14.5	2.4	-2.5	3.4	-1.6	9.2	2.3	4.1	-1.0	13.4	-8.3	10.6	5.5	1.0	-1.1	-10.5	-14.3	-9.9	-12.6
14	-3.6	-8.0	-14.0	-18.5	-14.6	-15.9	2.0	-2.8	3.1	-1.0	4.7	-1.9	6.5	0.9	14.4	8.2	6.0	4.9	1.2	-3.3	-8.6	-11.0	-8.4	-12.1
15	-3.6	-5.8	-12.2	-14.6	-12.3	-16.1	3.4	-0.8	3.3	-1.3	1.3	-2.7	9.6	3.6	14.8	10.0	9.0	4.1	1.0	-3.3	-9.1	-12.4	-8.1	-10.0
16	0.8	-4.6	-10.6	-15.3	-11.6	-15.0	3.2	-0.3	2.1	-5.5	3.2	-2.4	5.0	3.7	14.9	7.0	10.2	4.7	4.2	0.4	-10.8	-12.2	-4.8	-8.1
17	**1.6**	-0.2	-10.5	-17.0	-7.4	-11.1	3.2	0.0	-2.1	-6.4	-0.3	-4.0	5.2	3.0	7.6	6.0	10.1	4.9	1.2	-3.3	-3.0	-13.3	-3.0	-6.3
18	1.0	-3.2	-15.0	-18.6	-6.8	-11.3	3.4	-2.5	1.6	-5.0	0.0	-4.7	8.2	3.0	11.2	6.1	8.6	4.1	3.9	-3.3	-0.7	-3.0	-2.4	-5.5
19	-2.1	-4.3	-9.8	-15.7	-5.8	-9.7	-1.0	-3.1	4.5	-1.4	2.5	0.0	7.3	4.1	11.8	7.2	9.0	3.7	-4.4	-5.6	-0.2	-3.0	**-1.6**	-4.7
20	-3.6	-5.9	-10.9	-14.2	-7.7	-12.2	0.3	-4.0	5.8	0.0	3.4	1.0	11.5	4.6	14.3	9.0	4.3	1.3	-1.4	-6.4	**2.2**	-6.0	-2.1	-5.6
21	-5.0	-8.1	-10.7	-16.6	-9.8	-15.5	-1.1	-4.3	1.2	-2.6	5.3	1.7	7.9	4.7	14.7	10.1	4.1	0.5	-2.4	-4.6	-7.1	-10.5	-5.8	-11.3
22	-3.7	-10.6	-11.6	-16.8	-14.5	-17.5	0.0	-4.0	-2.9	-10.0	8.6	2.6	4.7	0.7	16.8	12.2	6.4	1.7	-1.0	-5.3	-0.4	-11.6	-11.3	-13.5
23	-2.2	-9.7	-10.4	-15.9	-11.9	-16.9	4.0	-2.9	-5.2	**-11.8**	3.3	0.4	3.5	0.9	**18.6**	14.5	5.6	2.4	-3.2	-5.2	0.0	-2.4	-12.1	-18.2
24	-4.0	-12.8	-7.9	-11.6	-9.5	-12.6	**6.9**	0.3	-0.7	-7.0	1.8	-1.0	6.8	2.4	17.8	11.0	6.0	-5.6	-2.6	-5.5	-1.7	-2.9	-6.8	-16.2
25	-3.1	-11.5	-2.8	-8.2	-10.3	-15.6	0.0	-8.0	0.8	-5.5	8.5	0.3	9.8	3.8	13.4	10.0	-3.6	-6.6	0.0	-2.5	-1.2	-8.0	-6.0	-9.4
26	-10.8	-13.8	-7.0	-8.7	-6.0	-12.4	-7.0	-9.1	3.1	-1.3	**10.4**	4.4	**14.4**	7.6	14.4	9.3	0.0	-4.6	0.4	-4.9	-7.3	-11.5	-5.7	-7.8
27	-4.3	-10.1	-4.7	-9.3	-6.5	-11.5	-5.1	-8.6	7.4	3.3	9.1	1.6	10.8	4.2	12.0	8.5	0.2	-6.9	-3.9	-5.6	-10.0	-12.0	-6.6	-10.2
28	-4.1	-5.0	-5.8	-9.5	-7.2	-13.4	-2.2	-6.2	11.2	8.1	8.2	1.9	7.0	3.8	14.4	7.4	-4.8	**-7.0**	-5.6	-11.7	-7.7	-11.1	-8.6	-14.2
29	-2.4	-5.1	-6.3	-11.6	-6.7	-9.8	-5.8	-10.0	11.4	6.9	9.7	2.5	8.3	4.0	9.1	6.0	-4.1	**-7.0**	-5.0	-11.0	-4.4	-8.9	-14.6	**-18.8**
30	-2.2	-3.7			**-4.5**	-7.2	-3.8	-10.4	**12.0**	6.4	4.7	0.6	5.6	2.4	11.0	6 5	-0.2	-5.0	-4.0	-6.2	-6.0	-9.1	-13.8	-18.5
31	0.6	-3.3			-5.5	-13.8			10.9	3.3			3.3	0.9	12.2	7.3			-4.4	-8.5			-15.5	-18.7
Mittl. Max.	-4.69		-9.59		-9.83		-0.40		2.37		4.16		7.46		11.88		5.19		-0.71		-4.84		-7.24	
Mittl. Min.	-8.79		-14.38		-13.80		-4.99		-2.79		-0.62		2.73		7.07		-0.14		-4.52		-9.18		-11.47	
Differenz	4.10		4.79		3.97		4.59		5.16		4.78		4.73		4.81		5.33		3.81		4.34		4.23	
Abs. Max.	1.6		-0.8		-4.5		6.9		12.0		10.4		14.4		18.6		11.9		4.2		2.2		-1.6	
Abs. Min.	-19.6		-21.0		-18.8		-14.6		-11.3		-5.7		-1.6		1.7		-7.0		-11.7		-14.4		-18.8	
Differenz	21.2		20.2		14.3		21.5		23.3		16.1		16.0		16.9		18.9		15.9		16.6		17.2	

Stündliche Monatsmittel der Lufttemperatur

	Januar	Februar	März	April	Mai	Juni	Juli	August	Sept.	Okt.	Nov.	Dez.	Jahr
1^{30}	-7.05	-12.21	-12.05	-3.83	-1.25	0.83	4.08	8.00	1.59	-2.96	-7.05	-9.25	-3.43
2^{30}	-7.07	-12.03	-12.21	-3.83	-1.34	0.67	3.98	7.94	1.69	-2.94	-7.08	-9.39	-3.47
3^{30}	-7.05	-12.09	-12.26	-3.97	-1.39	0.60	3.92	7.85	1.65	-3.02	-7.21	-9.39	-3.53
4^{30}	-7.00	-12.38	-12.29	-3.95	-1.23	0.53	3.81	7.84	1.65	-3.04	-7.32	-9.31	-3.56
5^{30}	-6.96	-12.43	-12.25	-3.99	-0.97	0.80	3.85	8.01	1.49	-3.07	-7.50	-9.26	-3.52
6^{30}	-7.07	-12.52	-12.33	-3.51	-0.35	1.12	4.20	8.56	1.59	-3.11	-7.56	-9.46	-3.37
7^{30}	-6.92	-12.55	-12.06	-2.92	0.03	1.37	4.49	9.09	1.96	-3.03	-7.47	-9.34	-3.11
8^{30}	-6.82	-11.92	-11.86	-2.40	0.35	1.89	4.89	9.63	2.46	-2.70	-7.22	-9.33	-2.75
9^{30}	-6.56	-11.39	-11.55	-2.11	0.62	2.33	5.38	10.18	3.02	-2.25	-6.91	-8.89	-2.34
10^{30}	-6.32	-11.06	-11.27	-1.87	0.73	2.86	5.89	10.59	3.59	-1.91	-6.56	-8.75	-2.01
11^{30}	-6.28	-11.12	-11.14	-1.71	0.89	2.97	6.03	10.79	3.84	-1.91	-6.48	-8.69	-1.90
12^{30}	-6.35	-11.01	-10.97	-1.45	1.28	3.29	6.27	11.28	4.25	-1.75	-6.39	-8.66	-1.68
13^{30}	-6.22	-10.94	-10.80	-1.23	1.62	3.37	6.49	11.45	4.65	-1.60	-6.25	-8.57	-1.50
14^{30}	-6.34	-11.08	-10.82	-1.03	1.57	3.22	6.46	11.41	4.41	-1.66	-6.19	-8.82	-1.57
15^{30}	-6.47	-11.34	-11.05	-1.36	1.36	2.98	6.24	11.14	3.93	-1.86	-6.39	-9.26	-1.84
16^{30}	-6.63	-11.61	-11.11	-1.63	0.96	2.62	6.03	10.59	3.59	-2.08	-6.48	-9.39	-2.10
17^{30}	-6.65	-12.16	-11.37	-2.05	0.65	2.42	5.84	10.01	3.37	-2.43	-6.60	-9.52	-2.37
18^{30}	-6.63	-12.38	-11.62	-2.52	0.34	2.05	5.54	9.51	2.81	-2.76	-6.59	-9.53	-2.65
19^{30}	-6.67	-12.06	-11.84	-2.98	0.00	1.66	5.22	9.00	2.30	-2.92	-6.61	-9.51	-2.87
20^{30}	-6.61	-12.40	-12.01	-3.20	-0.44	1.36	4.82	8.58	1.71	-2.92	-6.70	-9.54	-3.11
21^{30}	-6.60	-12.41	-11.97	-3.25	-0.65	1.17	4.49	8.39	1.45	-2.99	-6.77	-9.40	-3.21
22^{30}	-6.66	-12.55	-11.95	-3.29	-0.78	1.16	4.30	8.24	1.36	-3.04	-6.80	-9.40	-3.29
23^{30}	-6.58	-12.69	-12.10	-3.51	-0.94	1.01	4.23	8.19	1.33	-3.03	-6.90	-9.44	-3.37
0^{30}	-6.56	-12.77	-12.07	-3.48	-1.01	0.90	4.14	8.16	1.33	-3.02	-6.97	-9.50	-3.40
Mittel	-6.67	-11.96	-11.71	-2.71	0.00	1.79	5.02	9.35	2.54	-2.58	-6.83	-9.23	-2.75

Temperatur-Minima 1944 (Ablesungen an den Minimumthermometern)

Januar

Tag	Bern	Neuchâtel	Genf	Basel	Altdorf	Bevers	Lugano
1	−6.2	−3.8	−1.5	−3.7	−3.0	−13.0	−0.4
2	−1.0	−0.8	−0.9	−0.6	−0.8	−11.0	−3.4
3	0.9	1.3	−2.0	4.1	−0.6	−15.0	−2.8
4	−1.1	−1.0	−0.1	0.2	0.3	−15.0	−3.2
5	−4.0	−2.7	−1.7	−2.7	−4.7	−12.2	0.4
6	−8.5	−5.9	−5.2	−7.8	**−8.7**	**−23.0**	−3.8
7	**−9.4**	**−8.2**	**−8.8**	**−8.1**	−8.6	−19.0	**−5.0**
8	−8.1	−7.5	−8.0	−6.6	−7.5	−14.9	−3.2
9	−4.3	−2.1	−4.0	−4.4	−2.8	−14.4	−1.0
10	1.7	2.6	1.8	4.8	1.3	−13.0	−1.8
11	2.1	3.6	1.6	0.3	1.1	−8.6	−2.0
12	1.3	3.5	1.3	2.4	2.5	−8.8	−0.8
13	1.5	1.6	−0.3	4.4	1.1	−9.0	−1.4
14	−0.9	1.0	−1.1	0.6	0.0	−11.0	0.2
15	−1.3	1.7	1.1	1.2	0.0	−14.0	−1.2
16	−1.0	−0.2	1.3	−1.5	−0.6	−14.0	−1.2
17	−2.6	−1.2	−0.5	−3.1	−1.6	−14.4	−3.0
18	−4.0	−2.4	−1.6	−1.4	−2.1	−15.0	−3.0
19	−2.9	−2.4	−1.8	−1.0	−1.5	−12.4	−2.4
20	−2.9	−2.0	−1.3	−1.2	−2.6	−14.0	−2.6
21	−1.8	−1.7	−1.8	1.3	−1.7	−14.2	−2.8
22	−0.5	−1.0	0.6	0.7	0.4	−14.4	−2.0
23	−2.5	0.9	−1.0	−0.2	−0.8	−14.5	−1.6
24	0.9	2.0	3.3	2.7	1.8	−12.0	−0.8
25	1.0	1.9	3.7	2.2	3.0	−10.5	1.2
26	0.7	1.0	1.7	2.6	2.0	−8.0	−0.2
27	0.6	0.4	0.2	1.1	1.0	−9.0	0.2
28	0.6	1.6	0.5	**7.7**	1.8	−7.0	0.0
29	−1.9	0.0	−1.3	3.1	0.7	−6.4	0.6
30	−4.2	−2.0	−3.3	−0.9	−1.4	−12.1	2.8
31	−4.6	−3.6	−3.3	0.0	−2.0	−12.2	2.0
Mittel	−2.0	−0.8	−1.1	−0.1	−1.1	−12.7	−1.4

Februar

Tag	Bern	Neuchâtel	Genf	Basel	Altdorf	Bevers	Lugano
1	−4.1	−2.0	−3.0	−2.2	−1.7	−12.3	0.2
2	−2.3	−0.5	−2.8	0.5	−1.0	−14.0	−1.2
3	2.3	3.8	0.1	6.3	1.5	−1.5	0.0
4	−2.1	−2.3	−2.2	−0.7	0.0	−7.6	3.8
5	−2.0	−1.5	−1.3	−0.8	−1.2	−10.5	2.2
6	−4.5	−2.0	−2.3	−3.9	−4.5	−16.5	2.4
7	−8.2	−6.2	−5.0	−6.7	**−8.8**	−23.2	−2.0
8	−1.5	−1.0	−0.8	−0.5	−1.2	−8.0	−2.0
9	−1.4	−0.9	−0.5	0.7	−1.2	−9.0	0.6
10	−2.7	−1.9	−1.0	−2.0	−1.1	−12.1	0.0
11	−3.5	−3.4	−2.6	−3.1	−2.5	−13.0	1.2
12	−4.1	−4.1	−3.4	−3.4	−4.6	−14.7	1.4
13	−6.1	−7.1	−3.6	−4.2	−3.6	−21.0	0.4
14	−5.1	−5.8	−3.0	−3.3	−4.7	−16.0	−0.2
15	−4.2	−2.4	−4.7	−1.9	−7.8	−18.8	−3.0
16	−2.8	−1.2	−0.2	−1.9	−3.8	−19.0	−3.4
17	−3.5	−2.9	−1.3	−1.8	−5.1	−22.0	**−4.0**
18	−7.4	−6.6	−4.7	−6.0	−4.5	−22.1	−2.6
19	−8.9	−7.4	−6.0	−6.5	−5.9	−19.8	−0.8
20	−8.6	−7.5	−5.2	−5.4	−6.1	**−23.8**	−2.6
21	−7.2	−6.4	−5.3	−6.0	−5.7	−19.0	−2.8
22	−8.0	−7.6	−5.9	−5.5	−5.8	−17.0	−3.6
23	−6.3	−6.0	−4.7	−4.4	−7.8	−17.0	−3.4
24	−7.2	−5.5	−4.4	−7.7	−7.3	−19.5	−1.6
25	**−11.6**	**−9.0**	**−7.7**	**−9.6**	−6.1	−19.4	−2.6
26	−9.3	−8.1	−7.0	−6.6	−5.0	−17.2	−2.2
27	−4.7	−4.1	−0.3	−3.8	−4.7	−14.2	−1.0
28	−0.3	0.1	0.0	−2.2	−1.9	−5.6	1.4
29	−0.3	−0.1	0.0	−0.3	0.6	−10.6	1.6
Mittel	−4.7	−3.8	−3.1	−3.2	−3.9	−15.3	−0.8

März

Tag	Bern	Neuchâtel	Genf	Basel	Altdorf	Bevers	Lugano
1	−1.1	−0.5	−0.5	−0.2	0.9	−16.5	−1.2
2	−1.8	−0.9	−1.2	−0.9	−0.6	−18.3	−0.4
3	−0.3	0.5	2.7	−1.8	−0.4	−16.2	−0.8
4	−4.5	−2.4	−2.0	−2.9	−3.0	−17.7	−0.6
5	**−7.3**	**−5.9**	−3.6	**−8.2**	−2.8	−13.0	1.8
6	−3.5	−2.0	−1.7	−3.1	−2.0	−11.0	3.0
7	−3.5	−2.6	−2.0	−2.2	−5.8	−14.2	−0.4
8	−2.3	−1.1	−0.4	−0.3	**−6.2**	−12.0	−1.2
9	−0.8	0.2	1.7	−2.4	−3.2	−7.6	0.0
10	−4.0	−2.7	0.6	−4.2	0.3	−16.0	**−2.0**
11	−3.0	−2.6	−2.3	−2.1	−1.8	−9.5	0.0
12	−2.1	−1.1	1.7	−0.2	0.2	−10.1	−1.4
13	0.1	0.0	0.4	1.7	0.2	−12.3	−1.0
14	−0.8	−0.9	0.3	0.1	0.3	−9.6	1.4
15	−2.9	−1.0	−0.5	−2.4	−1.0	−18.5	0.4
16	−5.3	−4.1	−3.7	−2.6	−2.1	−16.6	−1.0
17	−3.6	−2.4	−0.9	−2.9	−2.6	−16.0	−0.2
18	−2.1	−0.4	−0.3	−0.4	−1.7	−16.2	0.4
19	−1.7	−1.5	−1.6	0.3	−1.2	−12.4	0.8
20	1.0	3.1	3.8	2.3	1.6	−5.7	0.4
21	1.0	2.4	2.6	2.3	0.3	−7.0	3.0
22	−1.5	−1.7	−0.9	−1.2	−4.0	−10.4	4.4
23	−3.0	−3.4	−3.3	−2.5	−4.2	−14.6	0.4
24	−4.5	−4.0	**−4.0**	−3.8	−2.3	**−21.5**	**−2.0**
25	−1.1	2.6	3.3	2.6	0.8	−12.0	7.2
26	−2.3	−0.8	0.4	−1.1	−0.7	−17.5	−1.0
27	0.9	1.6	0.4	4.0	1.7	−2.8	3.0
28	−1.3	0.2	2.3	−1.5	2.1	−14.6	2.6
29	−1.6	−1.6	−1.7	−0.5	0.9	−13.5	0.4
30	2.3	3.4	5.6	2.6	3.6	−5.6	5.2
31	1.3	1.5	5.4	0.9	4.0	−5.2	6.2
Mittel	−1.9	−0.9	0.0	−1.0	−0.9	−12.7	0.9

April

Tag	Bern	Neuchâtel	Genf	Basel	Altdorf	Bevers	Lugano
1	**−1.3**	−0.2	**−0.9**	**−1.7**	0.9	−9.5	3.8
2	−1.2	**−0.5**	−0.2	0.0	**0.5**	**−16.0**	**0.6**
3	2.8	3.7	5.7	5.7	2.9	−9.5	2.2
4	7.9	8.5	9.8	9.8	7.1	−2.5	4.4
5	6.5	8.0	8.0	8.8	7.5	−1.5	5.4
6	5.0	5.9	4.7	9.4	5.8	−2.0	4.2
7	2.9	4.0	4.2	2.5	4.4	−7.1	5.4
8	8.4	8.6	7.3	7.8	9.4	1.3	7.8
9	8.0	8.3	9.6	10.1	7.3	1.4	8.2
10	6.1	7.8	9.2	8.2	7.4	0.0	5.4
11	1.8	3.4	3.3	2.7	3.6	−2.5	6.0
12	3.3	3.3	4.0	4.5	4.3	−6.5	8.2
13	5.1	6.1	7.7	6.2	9.1	−0.5	8.4
14	5.1	5.6	5.6	5.7	6.5	−4.0	5.6
15	8.7	8.7	9.4	9.3	11.8	4.4	10.0
16	9.1	10.0	9.9	11.7	10.3	0.7	10.0
17	8.4	8.4	8.3	7.5	**9.8**	3.0	9.0
18	9.1	8.5	9.3	9.3	8.8	0.0	8.2
19	8.1	9.2	9.6	8.3	8.7	−0.2	6.4
20	8.5	8.8	9.5	9.1	8.8	−3.2	10.0
21	7.4	6.0	7.3	6.1	8.6	−1.0	8.2
22	4.2	4.0	6.0	2.3	6.8	−4.4	7.2
23	5.7	7.6	7.2	2.9	5.5	−5.2	7.4
24	5.4	6.2	6.7	4.3	6.3	−3.5	8.2
25	6.2	7.7	9.7	8.7	7.8	−6.8	9.2
26	4.3	4.6	6.6	5.6	5.1	−2.2	11.0
27	3.7	4.6	5.7	1.3	5.2	−5.3	5.8
28	1.9	4.0	6.0	1.5	4.0	−6.0	5.4
29	4.1	5.4	7.2	3.3	7.3	−1.0	6.4
30	2.3	2.8	5.3	2.8	5.7	−3.0	5.0
31							
Mittel	5.3	6.0	6.7	5.8	6.6	−3.1	6.8

Mai

Tag	Bern	Neuchâtel	Genf	Basel	Altdorf	Bevers	Lugano
1	5.5	6.2	6.2	5.8	7.4	−1.5	7.2
2	5.9	6.1	6.3	6.7	6.6	−0.4	**7.0**
3	6.7	9.6	7.8	6.9	8.2	−3.0	7.6
4	9.4	11.1	9.7	7.8	12.6	4.0	8.2
5	9.9	9.9	11.3	10.9	11.9	−4.0	13.2
6	7.6	9.5	9.6	9.7	9.4	2.6	12.2
7	4.2	5.5	7.6	4.4	6.9	0.5	11.0
8	2.5	4.1	4.8	−1.1	6.5	−1.7	9.4
9	**0.9**	3.6	4.2	**−1.7**	**3.8**	**−11.0**	**7.0**
10	5.2	6.6	6.0	3.7	7.3	2.0	8.4
11	7.0	6.9	5.9	5.8	9.2	3.0	7.4
12	4.4	6.2	5.6	2.4	6.3	0.0	9.6
13	7.1	7.8	7.4	4.9	8.3	1.0	9.4
14	9.4	10.2	11.9	9.8	10.8	−1.0	10.0
15	5.5	7.6	8.0	5.7	9.1	3.8	9.6
16	4.3	5.7	7.5	4.4	7.4	4.0	11.4
17	5.0	4.6	**3.0**	4.2	7.5	1.0	9.6
18	5.4	4.5	4.0	4.0	7.7	1.4	8.2
19	5.0	6.3	6.7	2.2	6.8	3.7	9.8
20	7.7	6.9	8.9	7.4	7.2	2.5	10.2
21	9.3	9.0	10.9	11.3	11.3	2.0	11.0
22	5.5	7.7	8.8	7.1	6.0	0.0	9.2
23	3.4	**3.5**	6.0	5.9	5.9	1.0	8.6
24	3.2	5.1	4.5	6.4	4.3	2.8	8.6
25	3.8	4.4	5.4	2.2	5.7	−3.8	8.6
26	6.9	7.5	7.2	8.5	8.3	−0.6	9.8
27	9.6	10.6	10.9	8.4	10.3	3.2	12.8
28	12.7	14.1	14.0	13.8	11.9	2.0	16.0
29	12.9	13.9	15.5	13.3	13.3	3.0	16.2
30	13.5	13.9	16.1	12.5	15.8	3.5	13.2
31	14.1	15.0	15.2	15.7	14.7	3.4	14.0
Mittel	6.9	7.9	8.3	6.7	8.7	0.8	10.1

Juni

Tag	Bern	Neuchâtel	Genf	Basel	Altdorf	Bevers	Lugano
1	12.7	12.1	14.5	15.6	14.3	5.2	13.2
2	13.3	12.4	16.0	14.0	15.2	5.0	15.8
3	13.4	14.4	14.0	13.0	14.1	2.6	15.2
4	9.9	11.6	11.8	7.8	12.7	1.2	13.0
5	10.6	10.9	12.0	10.2	11.7	2.3	17.0
6	10.0	10.0	11.0	11.2	10.8	1.4	12.6
7	8.6	8.9	10.0	8.5	9.3	3.2	12.0
8	**6.8**	**7.0**	7.7	8.9	8.8	2.0	11.2
9	**6.8**	8.0	**7.0**	8.1	**7.8**	−2.0	11.0
10	10.1	10.6	11.7	11.4	12.2	2.5	13.8
11	9.3	8.7	10.3	10.0	10.9	5.0	**10.8**
12	7.9	7.6	8.7	7.9	9.4	−1.8	11.2
13	10.5	10.9	12.3	10.1	12.6	0.2	14.0
14	13.0	13.9	15.6	12.9	13.1	7.6	15.6
15	10.1	9.8	10.3	8.2	11.5	2.5	16.0
16	7.5	8.8	9.0	7.2	9.6	−1.0	13.8
17	7.1	8.5	9.4	9.2	9.8	**−3.0**	14.2
18	7.4	8.0	8.8	8.8	8.8	0.8	13.0
19	8.7	9.0	10.6	12.3	9.6	2.5	12.0
20	11.7	12.7	13.3	14.2	10.3	5.8	12.8
21	10.8	13.3	14.8	12.9	11.6	4.5	11.2
22	11.5	11.7	13.3	10.6	11.6	4.5	13.6
23	12.9	13.0	15.3	11.3	13.7	3.8	11.8
24	10.9	10.5	11.6	8.2	13.3	6.9	13.2
25	7.5	8.8	10.3	**5.0**	9.8	0.5	14.0
26	**12.7**	13.1	17.3	12.4	11.9	5.0	14.8
27	12.5	12.3	14.7	14.3	14.5	7.4	16.4
28	11.8	11.9	13.3	13.6	14.2	7.2	14.6
29	10.5	10.9	11.6	12.8	11.3	3.6	11.6
30	12.9	13.2	13.3	14.3	14.7	7.0	15.4
Mittel	10.3	10.8	12.0	10.8	11.6	3.1	13.5

Temperatur-Minima 1944

Tag	Juli							August							September						
	Bern	Neu-châtel	Genf	Basel	Altdorf	Bevers	Lugano	Bern	Neu-châtel	Genf	Basel	Altdorf	Bevers	Lugano	Bern	Neu-châtel	Genf	Basel	Altdorf	Bevers	Lugano
1	11.8	11.8	12.0	12.4	13.5	3.5	15.0	12.2	12.6	**12.4**	12.7	15.2	7.2	**13 6**	16.2	15.7	18.5	14.9	16.6	9.7	18.8
2	14.0	13.3	14.6	15.7	14.0	8.2	18.4	11.9	14.0	13.7	13.5	14.3	7.0	15.8	11.0	11.2	11.7	12.7	13.2	7.7	17.2
3	14.9	15.6	15.8	15.2	16.3	5.8	17.0	12.9	14.4	15.0	**11.5**	14.6	**4.2**	15.6	9.6	10.2	11.9	10.4	9.8	3.5	14.6
4	10.9	11.6	13.3	12.9	13.4	7.7	15.4	14.4	15.4	14.3	13.6	15.3	9.1	15.0	6.1	6.8	7.2	6.8	8.0	−2.0	9.6
5	10.3	10.6	12.2	13.2	12.9	5.9	14.8	12.6	13.5	15.2	12.5	13.5	7.4	15.6	9.7	10.3	12.1	11.0	10.3	1.0	10.6
6	**8.9**	11.0	11.2	**9.2**	**10.3**	0.5	12.6	13.3	14.8	13.3	14.6	14.3	7.2	15.2	11.8	13.8	15.7	14.0	13.3	8.2	14.4
7	13.0	13.1	14.7	13.2	15.5	5.7	14.2	11.8	**12.2**	13.3	13.6	14.1	7.8	14.2	11.2	11.8	12.4	9.5	13.0	9.2	14.8
8	14.2	15.9	18.0	16.8	17.3	6.7	17.6	**11.6**	**12.2**	13.3	12.9	**12.9**	5.0	14.8	9.0	9.2	8.7	9.2	11.0	7.0	15.6
9	14.1	14.0	14.8	16.0	15.0	8.4	16.0	14.2	15.4	16.2	13.5	14.9	7.4	14.8	5.6	7.4	7.0	6.5	8.0	2.5	10.8
10	13.3	13.9	14.0	13.7	14.8	8.4	**11.6**	12.4	12.4	15.1	13.0	14.2	5.7	**13.6**	10.2	10.5	11.4	9.5	8.7	4.2	13.8
11	11.4	11.0	14.3	13.1	13.3	5.8	13.8	13.8	14.3	15.3	14.3	15.3	4.3	16.0	8.9	10.2	11.8	6.2	11.8	5.0	13.2
12	10.6	11.0	11.5	12.2	12.3	4.5	14.4	15.8	15.8	17.5	15.9	16.8	5.4	17.2	7.4	9.3	13.0	6.9	11.0	5.0	12.4
13	10.3	**9.1**	**9.8**	10.5	11.6	**−0.2**	12.6	16.9	16.6	17.6	17.2	17.9	8.2	17.4	9.0	10.6	13.8	11.3	11.3	4.4	14.4
14	10.3	10.2	12.0	10.8	13.8	4.5	17.0	17.0	17.8	17.4	15.7	17.7	8.0	19.2	13.8	13.8	14.8	15.0	13.9	7.4	14.2
15	12.7	13.3	14.3	11.8	14.3	5.9	16.6	15.8	17.3	19.2	13.6	18.8	11.4	19.6	14.0	14.9	13.3	13.8	13.7	7.7	14.6
16	13.7	14.0	14.0	13.6	16.5	7.2	17.0	17.0	17.3	18.8	18.5	17.3	11.2	18.4	12.6	13.4	14.8	15.0	13.1	9.7	15.4
17	13.1	12.8	15.2	12.0	14.3	5.0	14.6	15.9	15.9	19.2	17.4	17.5	6.4	15.6	14.2	15.3	15.0	14.6	15.1	8.4	15.8
18	12.9	13.0	15.3	9.7	14.7	1.6	16.4	14.2	15.0	16.0	14.4	15.0	8.8	16.6	14.3	14.3	13.7	12.9	15.1	7.2	14.6
19	13.9	14.6	16.7	11.8	16.2	6.7	17.4	15.3	15.0	15.8	15.5	15.9	8.2	16.6	14.1	14.4	12.3	13.8	12.1	2.5	10.2
20	13.1	13.6	15.0	10.9	14.6	3.8	16.8	16.4	15.8	18.0	16.4	18.8	8.4	16.2	12.7	11.4	14.7	14.1	13.9	7.2	12.8
21	14.4	15.2	15.8	14.3	16.1	6.7	16.6	16.7	17.1	17.7	15.9	26.0	6.7	18.0	9.2	11.4	12.0	11.3	10.5	5.0	10.0
22	11.9	12.1	13.3	14.2	14.4	5.9	14.8	16.5	17.6	18.8	17.4	20.3	6.2	16.8	9.8	11.3	8.7	10.4	9.5	1.5	11.0
23	11.9	12.7	12.0	14.4	14.1	5.5	14.6	16.4	18.5	19.2	18.1	20.1	7.7	17.2	11.8	12.6	14.3	13.1	12.2	6.3	13.2
24	12.4	12.6	15.6	13.8	14.8	5.0	15.4	18.7	20.2	22.1	18.5	20.3	9.8	19.4	7.5	7.0	11.0	9.0	10.0	4.0	13.4
25	10.7	10.7	12.8	9.5	12.8	4.5	17.2	16.7	17.4	18.5	17.5	19.3	11.3	21.0	6.1	7.5	6.9	7.9	6.9	0.0	12.2
26	13.9	13.6	15.6	15.4	14.7	4.2	17.6	17.7	18.0	18.3	17.3	19.3	11.0	18.2	7.2	9.4	5.7	10.0	8.8	0.1	7.4
27	16.4	16.6	17.0	16.8	17.3	8.7	18.0	16.9	17.5	17.8	17.1	19.3	8.7	17.6	7.9	9.0	10.0	9.1	9.1	0.0	8.2
28	15.7	15.3	17.3	15.3	16.3	7.9	17.8	15.9	16.7	17.9	17.2	16.4	6.9	19.6	5.3	6.9	8.2	7.8	8.1	0.0	10.0
29	14.3	13.6	14.6	13.5	15.3	9.2	16.8	16.4	18.0	18.5	17.0	16.9	4.8	17.6	3.9	4.8	7.8	3.8	7.8	0.3	11.8
30	14.3	15.2	16.7	16.6	16.7	10.0	17.6	16.9	18.4	19.3	18.4	17.8	10.4	17.6	**2.4**	**3.6**	**3.7**	**3.3**	**4.1**	**−4.4**	**5.2**
31	13.8	15.3	13.5	13.9	15.8	**8.1**	15.2	17.4	17.9	18.6	16.0	19.3	11.2	19.4							
Mittel	12.8	13.1	14.3	13.3	14.6	5.9	15.8	15.2	16.0	16.9	15.5	17.1	7.8	16.9	9.8	10.6	11.4	10.5	11.0	4.3	12.7

Tag	Oktober							November							Dezember						
	Bern	Neu-châtel	Genf	Basel	Altdorf	Bevers	Lugano	Bern	Neu-châtel	Genf	Basel	Altdorf	Bevers	Lugano	Bern	Neu-châtel	Genf	Basel	Altdorf	Bevers	Lugano
1	2.9	5.2	4.3	6.1	4.4	−5.5	6.0	−0.4	1.6	2.0	0.2	0.2	−12.5	2.6	−0.6	−0.5	0.1	−0.3	−1.0	−15.2	−1.4
2	2.8	4.9	6.3	5.5	5.4	−0.8	10.8	3.0	4.2	4.2	4.5	4.4	−0.9	5.0	−0.8	0.3	−0.4	−1.1	−1.9	−13.8	−1.4
3	2.2	1.7	3.3	1.8	4.0	−3.0	7.8	1.4	2.0	5.4	3.7	4.0	−2.4	5.8	−0.2	3.1	2.9	−0.1	−2.9	−8.5	−1.2
4	1.6	2.8	2.2	3.1	1.3	−7.5	**3.6**	−1.2	−0.3	−0.4	3.5	1.8	−12.5	2.4	3.3	3.8	3.9	5.0	3.3	−5.0	−0.2
5	5.3	6.1	7.0	6.4	5.3	−1.2	7.0	−0.9	0.3	−0.4	4.0	0.4	−10.2	1.6	2.9	3.2	5.0	3.2	2.4	−13.6	0.6
6	4.3	7.2	6.0	6.6	2.0	−4.2	7.4	2.6	6.3	3.4	3.9	3.3	−12.0	1.4	0.8	1.6	3.0	3.0	1.4	−16.0	−0.2
7	5.4	6.7	6.5	5.9	11.8	−3.0	10.6	6.9	6.7	7.8	6.5	6.0	−7.8	2.0	1.2	2.5	2.9	2.0	1.8	−16.4	−2.6
8	4.3	6.0	3.7	5.7	9.6	2.6	10.8	8.0	6.7	8.9	3.8	6.8	0.0	5.2	1.0	1.7	2.0	2.5	1.9	−5.5	−0.4
9	9.2	9.6	10.0	7.9	9.0	2.2	9.6	−0.4	1.1	0.7	0.5	2.6	−6.0	6.2	−1.2	0.4	−0.4	−1.0	−0.9	−14.0	0.4
10	7.2	7.7	7.7	7.3	8.8	0.0	8.6	−0.4	0.0	−0.1	0.8	0.8	−8.0	2.6	−2.9	−0.9	−1.1	−1.2	−2.9	−23.0	−3.6
11	6.2	6.5	7.2	7.8	6.6	−2.0	5.8	0.2	0.6	0.0	1.9	1.3	−8.0	1.6	−2.7	0.4	−0.4	−0.8	−2.7	−23.0	−3.0
12	5.8	5.9	6.0	7.5	5.4	−3.7	6.4	−1.8	−1.3	**−2.7**	0.9	−0.8	−17.0	0.8	1.4	2.3	2.3	2.3	3.4	−12.0	−0.8
13	8.3	9.3	8.9	9.8	5.8	−1.2	10.0	−1.4	−0.8	−1.2	0.0	−0.3	−13.2	−0.2	−0.2	0.9	0.2	1.5	1.2	−12.6	−2.2
14	5.8	6.0	4.2	5.5	9.2	2.0	10.0	0.5	1.1	3.2	0.4	0.6	−12.0	0.4	−2.4	−0.2	−0.7	−1.2	−2.0	−15.6	−0.6
15	6.0	7.5	5.3	6.8	9.1	2.0	6.8	0.5	1.1	2.2	1.4	1.2	−12.0	−0.4	−5.3	−1.8	−5.8	−3.1	−4.5	−17.2	−0.4
16	9.3	9.3	11.0	11.0	10.7	3.0	10.2	−0.8	0.6	1.1	1.3	0.9	−13.5	−1.4	−5.0	−3.2	−2.0	−1.9	−3.9	−17.0	−0.4
17	7.9	8.3	9.5	8.8	7.9	0.0	11.0	**−3.3**	−1.8	−1.5	−0.5	−0.8	−15.0	−0.4	−4.5	−2.8	−2.7	0.3	−0.6	−16.5	−0.2
18	6.5	9.7	9.0	9.5	7.2	−1.0	8.2	−1.8	−0.6	−1.0	1.0	−0.6	−10.8	−0.4	−1.9	−0.7	0.0	2.4	1.6	−11.0	1.8
19	6.4	7.2	7.6	8.2	8.3	−1.2	5.6	−2.3	−0.5	0.0	0.5	−1.1	−12.5	−0.4	−0.5	0.7	2.4	1.7	1.3	−13.0	1.6
20	4.0	4.1	3.3	6.2	5.2	−1.5	9.2	0.2	1.8	5.2	4.8	0.8	−12.0	1.6	−3.1	−2.0	−0.4	−1.2	1.5	−13.2	1.6
21	6.1	6.2	8.7	6.6	6.4	−1.0	6.8	1.5	1.2	1.2	3.1	3.9	−4.0	1.8	−3.0	−2.3	−0.2	−1.3	0.1	−13.2	3.4
22	5.5	7.1	7.1	5.7	5.1	−0.5	5.2	−0.9	−0.7	−0.1	0.3	1.1	−13.0	3.2	−2.7	−3.3	−0.2	−3.0	−1.2	−21.5	1.6
23	6.5	7.4	6.9	7.5	7.7	0.0	8.0	3.2	5.7	4.5	5.4	3.9	−3.2	1.8	−4.7	−4.8	−4.2	−6.3	−2.2	−24.0	−1.4
24	3.6	4.4	2.9	6.2	5.2	−0.8	6.6	8.8	8.8	7.2	10.3	7.0	−2.0	0.6	−7.0	−6.1	−5.8	−7.5	−5.1	−18.6	−3.6
25	3.4	4.0	2.8	5.0	5.6	−2.0	8.2	5.2	6.4	8.1	5.0	6.1	0.0	2.8	−9.0	−6.3	−5.5	**−9.0**	−3.7	−19.5	−5.0
26	6.9	8.3	5.0	7.2	5.0	−6.0	6.4	0.8	1.4	2.9	1.0	2.4	−10.8	3.2	−0.7	−7.3	−5.0	−8.0	−3.4	−21.2	−4.6
27	6.1	7.0	7.8	8.3	7.4	−1.0	8.4	−2.3	−1.7	−2.2	**−2.5**	−1.2	−16.2	−1.0	−7.8	−6.2	**−6.0**	**−9.0**	−5.1	−20.5	−5.0
28	2.8	3.0	2.8	4.3	1.2	−4.0	7.2	−2.1	−2.0	−1.1	−1.1	**−3.0**	−18.5	**−2.2**	−10.2	**−8.3**	−5.9	−8.1	−0.7	−21.5	−5.2
29	**−1.1**	**0.1**	**−0.4**	**−1.6**	**0.1**	**−0.7**	3.8	−2.5	**−2.0**	−1.0	−0.9	−1.9	−15.0	−1.4	−7.8	−6.0	−5.9	−7.8	−6.1	−22.0	−5.0
30	1.0	2.6	3.8	2.3	3.8	−3.0	5.2	1.7	0.7	1.5	3.8	1.8	−10.5	−1.2	−6.8	−5.8	−4.2	**−9.0**	**−7.8**	**−20.0**	−6.4
31	2.0	3.7	2.9	1.0	2.1	−7.8	4.2								−6.1	−5.8	−5.0	−5.5	−5.5	−19.6	**−6.8**
Mittel	5.0	6.0	5.8	6.1	6.0	−1.9	7.6	0.7	1.5	1.9	2.3	1.7	−9.7	1.5	−3.0	−1.7	−1.2	−2.0	−1.6	−19.4	−1.9

Temperatur-Maxima 1944 (Ablesungen an den Maximumthermometern)

Tag	Januar							Februar							März						
	Bern	Neuchâtel	Genf	Basel	Altdorf	Bevers	Lugano	Bern	Neuchâtel	Genf	Basel	Altdorf	Bevers	Lugano	Bern	Neuchâtel	Genf	Basel	Altdorf	Bevers	Lugano
1	0.1	1.2	2.6	2.9	0.6	-8.5	7.0	4.1	1.4	0.4	4.0	1.3	1.5	12.2	2.5	4.0	4.5	2.4	3.0	1.0	13.8
2	4.1	5.8	5.5	5.3	2.9	1.0	8.0	2.9	4.5	3.9	6.7	5.0	4.8	9.0	3.6	3.9	6.0	7.0	4.1	1.5	14.4
3	4.7	4.5	5.0	7.7	3.7	-1.4	8.4	**10.3**	**9.4**	**11.4**	**14.7**	**9.8**	**6.5**	13.6	4.2	4.5	9.1	4.9	3.6	1.2	13.8
4	4.7	4.4	5.3	6.4	5.1	1.0	12.4	8.1	5.1	9.6	9.2	5.0	2.0	**14.4**	1.8	3.2	2.7	2.0	0.7	-3.8	14.6
5	0.0	1.6	2.1	1.5	0.6	-1.5	7.4	-0.2	0.7	1.5	1.8	4.8	-7.3	11.0	-0.2	2.0	1.3	1.5	0.1	-6.3	6.8
6	-2.5	-0.8	0.5	-0.5	-2.9	-7.3	3.8	1.6	2.9	2.9	3.0	0.3	-7.4	9.4	-0.4	2.5	2.3	2.6	-0.4	-4.5	11.4
7	-1.2	-0.3	0.2	1.1	1.1	-5.5	5.6	0.4	0.5	1.3	1.8	1.1	-3.2	10.6	0.1	2.2	1.5	0.8	0.2	-3.5	11.2
8	1.0	0.9	1.6	0.8	-0.6	-5.5	6.0	3.7	5.7	6.1	4.4	3.7	2.2	13.4	1.7	3.0	4.0	2.8	3.0	0.6	13.2
9	5.4	5.4	7.8	5.3	3.4	-3.8	5.6	2.0	2.7	3.3	3.4	1.1	-4.2	12.2	1.5	5.0	3.8	6.3	3.8	0.8	10.4
10	4.7	5.1	4.5	8.1	5.8	1.0	7.2	2.0	1.1	2.8	4.1	1.7	-3.2	4.8	4.8	7.4	5.2	9.6	6.1	1.2	12.6
11	6.4	7.4	**9.9**	5.5	4.2	4.2	9.2	-1.2	-0.2	1.0	-1.1	-0.9	-4.8	8.4	6.5	8.3	9.8	2.8	5.5	-1.2	13.2
12	6.8	8.4	9.0	10.2	4.2	3.5	8.4	0.4	0.3	0.4	1.6	-0.5	-5.2	8.0	5.0	6.7	6.0	5.6	4.9	-4.0	11.8
13	7.7	6.6	7.4	10.7	6.8	2.0	9.2	-1.8	-0.2	-0.2	-0.2	-1.5	-7.0	8.8	6.8	5.2	6.8	9.2	7.0	-2.6	14.4
14	6.6	3.7	2.2	5.9	5.8	3.2	8.4	-0.5	1.2	0.0	0.2	0.1	-6.5	8.2	2.4	2.9	6.0	2.8	3.2	-2.8	13.2
15	4.9	6.4	5.6	5.4	1.9	2.5	2.4	-0.1	0.0	1.6	0.6	0.5	-4.4	10.8	4.2	6.4	5.6	6.6	3.5	-2.5	14.8
16	1.3	2.1	4.9	5.1	1.3	-3.5	9.2	0.6	2.2	2.5	1.3	0.5	-5.0	10.8	5.4	6.7	5.2	8.9	9.0	-1.0	14.6
17	-0.2	1.2	1.8	0.5	0.9	-2.4	2.0	-0.7	-1.5	1.1	-0.1	0.9	-6.0	9.0	7.9	10.0	9.0	10.5	7.0	2.0	15.6
18	-0.5	-0.1	0.6	0.0	-0.2	-2.4	0.2	-3.3	-1.7	-0.4	-1.3	-2.0	-7.0	5.2	8.3	10.9	9.0	11.6	8.4	2.1	16.4
19	-1.0	-0.2	1.1	2.0	0.5	-2.4	8.6	-3.8	-1.8	-2.0	-1.5	-1.8	-5.6	3.4	11.4	12.6	13.6	15.2	12.5	**5.2**	14.6
20	0.7	1.1	1.8	4.2	0.0	-2.5	8.2	-5.0	-3.9	-3.2	-2.6	-2.3	-5.3	5.4	8.3	10.1	11.5	10.3	6.7	2.0	**21.4**
21	5.0	4.9	5.2	7.4	5.6	-0.8	8.8	-4.2	-2.2	-3.0	-2.3	-2.3	-6.2	6.6	4.6	5.0	8.2	8.2	6.0	-1.5	18.0
22	4.5	4.9	3.3	10.1	5.6	-2.8	9.6	-4.0	-2.3	-2.8	-2.1	-2.0	-4.8	0.2	2.7	4.7	6.1	5.1	1.3	-2.8	15.4
23	8.2	9.0	8.4	12.4	**9.4**	0.0	5.0	-2.9	-1.8	-1.8	-2.1	-1.5	-4.5	2.0	3.2	5.5	5.4	5.7	5.2	-4.0	12.2
24	6.4	8.1	9.2	8.8	6.5	-1.4	15.0	-1.3	-0.6	-0.6	1.1	2.4	-2.0	9.4	8.9	8.8	8.2	10.3	6.0	2.5	18.0
25	7.3	7.3	9.0	10.4	6.9	-1.8	6.2	1.0	2.3	2.0	2.6	-0.3	1.0	12.4	5.9	9.5	9.2	10.7	6.8	-2.4	16.2
26	4.6	4.6	6.0	6.6	5.2	-4.2	12.0	3.7	2.2	4.1	5.3	1.6	1.0	13.0	7.9	10.2	10.4	13.4	3.7	3.3	15.0
27	7.0	7.9	9.7	10.7	4.0	5.5	12.8	6.2	4.4	6.5	5.2	5.4	0.0	4.4	10.3	12.5	12.6	11.4	5.8	3.5	21.2
28	**9.4**	**11.3**	5.3	10.6	7.2	5.5	13.0	3.0	4.0	4.8	0.7	8.6	1.2	4.4	10.2	12.2	11.2	13.0	10.5	1.8	14.4
29	7.3	2.4	1.6	**13.5**	6.5	**7.3**	**24.6**	4.6	3.2	6.9	2.1	3.0	-0.2	6.2	14.2	15.4	16.5	**17.1**	**17.0**	4.0	15.4
30	6.2	0.8	-0.2	11.2	5.5	3.5	17.6								**15.0**	**16.0**	**17.3**	12.1	12.5	3.6	14.2
31	4.2	-0.2	-0.8	8.6	1.4	1.5	13.6								11.0	10.2	12.9	7.9	7.5	**5.2**	17.6
Mittel	4.0	4.1	4.5	6.4	3.5	-0.5	8.9	0.9	1.3	2.1	2.1	1.4	-2.8	8.5	5.8	7.3	7.8	7.7	5.6	-0.1	14.5

Tag	April							Mai							Juni						
	Bern	Neuchâtel	Genf	Basel	Altdorf	Bevers	Lugano	Bern	Neuchâtel	Genf	Basel	Altdorf	Bevers	Lugano	Bern	Neuchâtel	Genf	Basel	Altdorf	Bevers	Lugano
1	8.2	9.8	8.6	9.6	7.5	-1.6	16.4	17.1	19.3	18.6	21.8	17.5	5.5	25.4	23.6	24.0	26.8	29.2	25.7	17.5	25.4
2	14.1	13.3	11.0	14.5	13.7	5.0	17.0	21.8	22.7	23.6	23.0	24.5	14.8	23.6	21.8	22.8	23.9	23.3	22.0	19.8	27.6
3	17.8	18.8	19.8	19.8	17.0	5.5	11.4	21.5	23.6	23.7	23.5	23.6	17.6	20.6	18.7	21.0	21.5	22.1	17.3	16.5	25.4
4	16.0	15.8	17.4	19.7	15.3	10.0	19.2	19.3	21.5	21.1	20.6	20.5	16.6	26.4	21.6	24.4	23.2	25.6	25.0	**25.1**	27.2
5	14.6	15.1	17.0	16.0	14.8	9.0	20.6	18.7	18.2	20.2	19.9	20.5	10.6	16.6	24.6	25.7	26.7	26.3	23.9	18.5	27.2
6	17.0	18.3	15.0	18.5	19.2	10.0	23.4	13.1	15.9	15.4	17.7	12.8	10.6	13.6	13.4	13.7	16.7	17.3	15.3	13.6	22.0
7	16.4	16.6	13.6	14.4	18.3	10.0	20.6	9.1	13.9	12.4	11.5	10.2	5.2	14.8	12.2	14.9	16.4	16.1	12.5	14.5	23.2
8	15.2	15.5	16.0	14.4	18.5	10.0	13.2	12.3	15.9	13.8	14.7	16.8	10.2	21.4	16.7	17.3	20.0	19.2	15.4	14.5	24.6
9	15.2	13.9	18.4	15.5	16.6	7.0	14.6	15.2	17.7	15.2	19.3	21.0	14.0	18.0	19.9	21.2	23.9	23.0	22.1	14.3	24.4
10	15.0	16.8	14.8	17.7	13.1	9.5	20.4	16.2	19.7	21.4	18.8	19.0	12.2	18.6	17.4	16.5	18.8	19.2	17.0	14.0	18.8
11	16.6	17.6	15.5	18.6	19.7	12.0	19.6	16.2	19.9	19.8	20.3	16.5	9.2	25.2	18.2	20.1	19.8	20.6	17.5	16.8	25.0
12	18.5	18.6	14.1	21.4	17.8	10.2	18.8	18.2	21.2	19.6	22.0	20.6	13.0	22.0	21.2	20.5	21.4	23.1	20.2	21.0	26.4
13	18.5	20.1	19.0	21.7	23.8	9.8	18.6	23.2	24.0	25.4	25.9	24.6	21.0	25.2	25.1	25.5	27.2	27.6	26.9	19.5	27.8
14	18.6	18.9	17.8	21.9	20.3	10.5	21.6	18.2	18.8	21.0	19.6	18.0	16.0	23.4	20.7	22.5	24.5	21.4	18.9	19.3	27.2
15	18.1	16.8	17.8	21.8	18.7	10.4	19.4	10.1	14.0	17.0	11.3	12.5	16.5	25.4	19.1	21.2	20.2	21.6	18.8	18.0	**28.4**
16	17.3	13.7	12.0	19.1	20.7	10.5	15.6	7.6	10.2	14.3	12.9	9 4	9.5	16.2	18.7	20.2	23.8	21.9	18.4	15.0	25.2
17	18.7	20.0	18.0	17.2	22.8	10.7	14.4	11.6	16.8	17.1	15.3	11.4	12.2	16.4	12.9	16.6	18.2	15.4	13.8	14.6	21.4
18	16.7	18.8	16.7	15.7	20.0	9.7	18.6	15.4	18.6	19.6	19.4	12.1	15.8	21.8	12.2	15.6	16.2	15.4	12.4	8.3	22.0
19	14.5	14.2	14.5	14.3	18.3	9.5	20.0	14.1	11.9	10.0	15.9	18.3	9.4	17.0	16.2	16.9	18.4	18.2	16.5	15.0	19.8
20	13.3	14.2	14.4	15.6	15.0	8.8	16.0	18.7	20.3	18.8	24.4	24.0	16.0	17.6	20.1	24.6	22.6	23.6	18.3	17.6	22.6
21	15.0	16.6	15.1	14.4	13.1	9.2	22.4	15.3	15.6	18.2	14.9	13.6	7.0	17.6	21.4	24.5	23.3	24.1	24.4	16.5	27.0
22	17.2	18.9	17.8	20.1	17.5	13.0	24.6	10.2	12.9	12.8	12.8	10.1	8.5	22.6	23.4	**26.5**	23.2	25.9	26.4	23.2	23.6
23	20.7	21.1	19.0	22.5	23.5	**14.9**	23.6	12.7	15.5	14.2	15.4	13.3	8.6	21.4	22.0	24.3	26.0	21.5	19.1	16.5	26.0
24	**23.8**	**23.2**	**22.2**	**26.2**	**26.4**	8.7	**25.4**	14.6	18.2	16.5	18.4	15.5	13.5	21.0	17.7	22.9	22.0	20.2	18.3	21.0	**28.4**
25	13.7	16.2	18.2	15.2	13.0	8.6	21.6	19.7	20.5	21.7	22.3	21.5	17.6	22.4	23.6	24.8	26.3	24.9	25.7	16.5	23.4
26	8.8	12.1	11.5	10.5	8.7	12.0	21.4	23.5	24.5	22.0	24.5	19.6	16.5	26.8	21.2	24.4	23.4	25.0	21.6	16.0	20.6
27	14.1	15.9	14.0	16.3	14.4	11.3	21.6	25.4	28.5	26.9	29.3	30.5	25.0	27.6	20.2	20.8	21.2	24.0	24.5	14.6	20.0
28	15.2	18.4	17.6	19.8	15.3	9.5	20.4	26.4	29.0	27.2	30.4	29.0	**28.0**	25.8	21.3	22.3	25.8	22.7	19.8	15.5	19.8
29	11.1	15.3	15.1	12.4	11.6	4.7	21.0	27.1	29.2	27.2	31.1	31.6	22.0	25.6	**25.7**	26.3	**28.8**	**31.1**	**31.3**	20.5	27.2
30	13.6	16.1	16.1	14.9	11.6	4.6	23.2	**28.0**	**29.8**	**28.6**	**32.0**	**33.0**	23.5	28.6	21.3	24.0	23.4	22.8	21.8	23.2	28.0
31								26.5	28.7	28.1	30.1	30.0	22.0	**28.8**							
Mittel	15.8	16.7	15.9	17.3	16.9	9.1	19.5	17.6	19.9	19.7	20.6	19.4	14.5	21.9	19.7	21.5	22.5	22.4	20.4	17.2	24.5

Temperatur-Maxima 1944

Tag	Juli							August							September						
	Bern	Neuchâtel	Genf	Basel	Altdorf	Bevers	Lugano	Bern	Neuchâtel	Genf	Basel	Altdorf	Bevers	Lugano	Bern	Neuchâtel	Genf	Basel	Altdorf	Bevers	Lugano
1	23.6	25.9	27.5	26.5	25.3	21.0	29.0	21.7	25.5	24.2	24.3	21.0	12.0	30.6	18.6	18.9	21.7	18.5	22.3	19.5	28.2
2	27.4	**30.5**	26.5	31.9	27.4	23.0	28.4	22.6	27.2	24.7	25.6	26.4	17.1	28.6	20.4	19.5	21.0	21.3	25.9	**20.0**	26.4
3	22.2	23.4	23.2	25.8	25.0	21.0	24.6	22.9	26.8	24.4	26.9	25.8	24.6	29.4	15.2	15.9	18.8	16.9	15.0	13.5	24.6
4	18.0	15.0	19.4	20.3	16.1	14.0	19.4	21.5	26.6	24.5	25.6	24.4	13.5	26.4	19.9	20.7	20.8	24.1	23.9	19.5	24.6
5	19.4	20.8	20.7	24.3	18.3	16.4	28.2	20.0	24.2	23.5	24.6	20.7	16.5	20.6	22.8	24.1	24.0	**29.8**	22.1	17.0	24.0
6	24.4	25.2	23.1	27.3	29.6	22.0	28.0	22.8	24.9	24.3	27.0	23.5	17.4	20.8	**23.6**	**25.1**	**25.5**	28.8	**26.5**	15.2	20.6
7	**28.1**	29.4	29.4	32.0	32.3	20.1	28.8	23.6	25.1	26.0	28.5	22.6	16.4	26.6	17.3	17.0	20.2	17.6	23.7	17.0	18.4
8	22.4	22.9	24.3	24.8	22.6	21.0	27.4	24.4	27.0	25.5	29.0	25.5	17.5	25.6	17.2	18.7	19.0	20.8	17.0	14.5	24.0
9	17.2	19.4	20.6	22.4	20.4	16.0	20.8	20.2	20.8	21.2	23.8	25.7	16.3	22.2	16.4	19.0	18.1	19.2	17.4	14.0	24.6
10	20.2	20.7	22.5	22.4	20.5	19.8	28.0	24.8	27.9	26.3	29.5	28.5	20.2	28.0	13.4	17.8	15.6	18.7	14.7	10.5	20.4
11	16.9	17.5	19.7	18.1	17.4	18.0	28.6	26.7	30.6	28.4	31.3	30.5	24.3	28.6	14.6	18.3	16.5	20.3	15.2	11.0	22.0
12	17.4	19.2	19.8	18.2	16.5	13.0	27.6	30.1	31.9	31.6	33.9	31.1	25.0	30.2	16.6	18.8	18.8	21.6	18.0	16.5	24.4
13	20.8	22.1	21.7	22.6	22.4	24.0	27.0	29.9	32.6	30.7	34.4	30.1	24.0	30.8	16.6	15.4	16.4	22.4	20.2	16.0	18.6
14	22.8	22.7	26.0	25.4	22.8	19.3	26.2	28.2	33.1	30.4	30.3	29.5	23.0	31.2	20.5	19.8	21.8	21.7	17.8	15.0	23.2
15	24.5	26.7	27.6	26.4	24.0	21.3	27.6	27.3	30.2	30.4	29.2	28.1	22.7	29.6	22.4	23.0	22.1	25.9	22.0	18.0	21.8
16	22.5	24.7	26.2	25.4	21.4	17.0	28.2	25.4	28.6	29.6	30.9	28.2	21.5	29.8	23.1	23.6	23.0	26.0	24.7	16.0	22.0
17	24.0	28.6	26.6	26.7	23.7	15.3	30.2	24.6	24.7	26.5	27.2	22.3	19.6	28.0	18.7	18.5	18.6	17.8	20.8	16.0	22.6
18	25.5	26.5	29.6	28.8	24.0	**26.7**	28.2	25.8	28.0	27.7	29.8	29.0	22.5	27.2	17.1	19.5	18.5	17.1	19.9	14.1	19.6
19	26.6	28.6	26.7	28.1	26.0	24.0	28.4	28.6	30.0	32.2	33.2	30.7	22.0	28.6	19.8	22.0	20.5	22.3	23.4	14.5	23.0
20	27.7	29.3	**30.5**	31.2	26.2	19.8	27.6	27.8	29.6	30.2	31.5	31.0	23.0	29.4	15.2	17.8	18.3	18.5	16.8	11.5	14.6
21	19.5	21.5	24.0	22.9	21.2	17.0	19.6	29.0	31.2	30.8	32.9	30.5	20.6	29.4	17.4	18.2	18.6	19.8	21.0	13.7	23.0
22	17.9	19.5	20.2	18.5	18.7	14.0	26.8	28.9	32.9	30.9	33.3	32.5	27.5	30.0	20.2	20.3	20.2	23.9	22.9	15.6	23.4
23	17.5	21.1	20.2	18.5	17.5	17.5	29.0	**31.2**	**35.4**	**34.3**	**36.4**	**33.5**	**29.2**	**31.4**	15.1	15.8	17.0	17.0	17.3	10.6	16.8
24	20.5	24.5	22.5	23.2	23.0	23.0	27.8	28.6	30.0	31.4	30.9	31.0	23.5	31.2	18.7	19.6	20.8	20.0	19.0	13.3	19.0
25	25.6	25.1	26.6	26.7	27.0	17.5	28.0	25.4	28.9	27.2	27.5	26.0	20.3	29.2	11.4	12.2	14.1	11.5	12.0	8.5	20.8
26	28.0	29.5	27.4	**34.2**	**33.5**	24.2	29.2	26.6	29.4	26.0	31.8	30.0	22.6	30.2	11.6	13.7	17.4	13.7	13.8	12.5	21.8
27	22.9	25.7	27.4	25.5	23.5	22.6	25.6	27.8	29.5	30.6	32.0	26.6	22.8	29.6	11.6	13.7	14.7	12.5	15.0	12.6	18.4
28	21.7	25.7	25.4	24.7	22.1	17.5	24.0	28.7	29.9	30.1	26.3	28.3	20.6	29.4	10.7	12.9	13.0	13.9	9.9	7.2	17.6
29	22.6	26.2	25.3	27.8	24.5	17.2	26.8	22.4	23.8	29.8	23.8	23.2	17.5	24.6	11.8	15.0	14.6	15.2	12.5	7.5	21.2
30	21.8	24.5	25.2	23.3	21.8	19.3	25.0	29.4	29.9	31.0	26.5	25.4	22.5	27.6	14.5	16.2	14.8	18.2	17.2	9.5	19.8
31	20.6	23.3	23.0	23.6	19.4	15.8	**30.4**	27.3	27.7	27.2	29.5	27.0	17.6	25.0							
Mittel	22.3	24.1	24.5	25.1	23.0	19.3	26.9	25.9	28.5	28.1	29.3	27.4	20.8	28.1	17.1	18.4	18.8	19.8	18.9	14.0	21.7

Tag	Oktober							November							Dezember						
1	14.1	12.4	16.6	16.9	14.1	**11.8**	20.8	6.4	6.5	6.6	7.5	7.7	1.5	8.8	3.7	4.1	6.3	5.2	3.9	−6.2	10.0
2	8.0	11.2	11.4	11.7	7.5	5.7	17.4	7.1	7.7	8.6	7.4	7.8	2.6	7.2	3.9	6.1	5.3	6.1	3.3	−2.0	8.2
3	10.6	14.3	12.3	15.3	14.0	4.5	**21.6**	7.1	9.0	9.8	7.3	6.5	3.0	10.4	6.6	7.2	8.3	8.0	6.3	0.5	9.0
4	11.2	10.3	13.8	11.0	12.0	7.5	14.8	9.4	10.5	10.8	12.1	8.7	0.0	13.2	**10.0**	**9.0**	10.8	11.2	9.0	**3.0**	9.8
5	7.7	8.4	10.0	8.7	10.4	5.0	8.4	9.4	9.5	10.9	10.6	8.7	1.5	12.4	6.2	6.9	9.9	8.6	5.0	0.5	8.4
6	9.8	11.3	10.6	11.6	16.5	10.5	15.2	11.8	10.7	12.0	13.7	11.5	2.0	12.4	6.1	6.3	8.0	6.9	7.1	−2.1	4.8
7	13.5	15.7	13.1	13.8	**20.4**	11.6	17.6	10.6	9.7	12.2	12.4	8.2	6.0	13.4	7.4	7.1	8.7	9.0	9.5	−1.5	5.6
8	14.3	**16.6**	13.4	17.5	15.0	11.5	17.8	12.2	11.0	13.2	13.1	9.8	**6.2**	**18.6**	6.3	5.4	**11.2**	**11.6**	6.6	0.6	4.2
9	10.8	12.2	11.2	9.4	13.3	8.5	11.6	12.2	7.1	13.2	13.2	8.7	4.5	16.0	3.0	3.9	4.0	5.1	3.9	−5.0	9.0
10	11.8	13.9	11.2	16.1	13.0	8.2	11.2	0.7	2.4	3.0	2.6	3.1	−5.0	9.8	2.4	4.7	4.6	5.2	5.4	−13.0	8.6
11	12.1	14.9	15.6	14.6	14.0	8.0	17.6	3.9	5.8	5.2	6.1	3.1	−5.6	10.2	5.7	6.4	8.8	9.7	8.8	−4.0	3.0
12	15.1	14.3	13.0	17.9	16.5	10.8	17.2	2.7	4.5	4.4	4.4	3.3	−6.0	11.0	7.8	7.4	8.6	8.6	7.2	0.0	7.2
13	10.2	12.0	12.4	13.1	13.3	10.7	12.6	1.3	2.2	4.7	2.7	1.4	−7.0	3.0	2.5	3.1	4.4	4.1	2.2	−2.5	**13.2**
14	12.8	13.3	14.0	14.6	14.5	10.5	17.0	3.5	4.3	6.2	5.1	5.7	−2.0	5.6	0.9	2.3	3.4	2.6	3.8	−6.2	10.6
15	13.2	13.9	13.8	18.4	14.5	10.0	17.8	3.9	4.3	6.2	6.4	3.2	1.0	8.0	0.4	1.7	1.8	2.4	1.0	−5.2	8.0
16	13.0	14.1	15.4	17.7	17.3	9.6	12.6	5.3	7.2	7.4	5.3	3.0	−3.0	9.6	2.6	2.0	4.6	3.6	7.0	−4.0	8.2
17	13.7	15.3	15.5	16.1	13.8	9.0	16.0	3.7	4.6	5.2	5.2	5.1	−3.5	10.4	4.1	3.5	4.6	6.9	**9.8**	−2.0	6.0
18	**15.4**	13.5	**17.6**	**20.0**	18.0	10.2	15.6	5.1	8.4	12.2	9.9	6.4	1.8	10.4	3.6	3.6	3.5	5.2	7.5	−3.0	7.0
19	10.9	10.4	13.3	13.1	10.8	11.2	19.2	6.6	6.4	11.4	9.0	6.5	0.6	10.8	4.0	5.9	6.0	6.2	4.6	−3.0	7.0
20	11.4	12.5	12.3	15.5	11.9	7.0	19.0	12.4	**15.3**	**16.4**	**19.3**	**14.9**	3.9	7.4	0.1	−0.6	4.2	1.7	2.9	−4.0	6.8
21	13.1	14.1	11.9	15.2	15.0	4.5	9.4	9.8	6.1	12.5	11.9	7.8	2.0	13.0	−0.6	0.2	2.4	−0.1	1.4	−4.0	4.6
22	9.6	12.8	11.5	12.3	10.8	4.5	12.0	3.4	6.2	5.0	5.4	6.8	−1.3	9.8	−0.7	0.5	2.0	1.3	1.1	−11.5	7.2
23	10.3	10.4	13.2	12.1	9.5	6.0	13.4	12.2	11.6	13.9	14.9	9.2	5.0	9.4	−2.7	−2.5	0.7	−2.9	−0.9	−13.0	−0.6
24	9.9	10.8	8.6	12.1	10.4	6.2	12.0	**12.5**	10.6	13.0	14.0	10.4	4.8	8.2	−4.0	−2.6	−1.0	−3.3	−1.1	−7.0	4.9
25	8.2	9.3	8.4	11.0	9.5	7.7	15.2	10.5	10.0	12.7	13.5	11.5	5.0	6.2	−4.8	−3.8	−1.7	−1.7	−0.7	−10.7	4.6
26	9.1	10.5	11.4	11.5	10.2	8.1	16.2	6.7	8.0	9.4	7.9	6.7	2.0	10.4	−4.9	−4.0	−1.4	−1.1	−1.2	−11.9	7.0
27	8.1	10.5	11.4	9.5	8.9	4.5	18.4	3.6	5.2	4.4	5.5	3.6	−6.4	10.2	−3.8	−3.2	−1.8	−1.2	−0.8	−10.4	6.4
28	8.1	8.9	10.8	8.6	7.0	2.2	16.0	0.7	1.8	3.5	3.8	2.8	−8.0	9.0	−3.7	−3.6	−1.2	−0.2	−1.5	−12.0	5.8
29	4.3	6.4	7.0	7.3	6.5	1.0	8.0	3.0	4.0	4.5	4.1	3.7	−1.2	9.6	−2.8	−1.5	−0.8	1.2	−1.3	−10.5	8.6
30	7.1	8.7	9.3	7.7	7.3	3.5	9.2	5.5	6.4	7.2	5.5	4.5	−1.0	10.6	−3.6	−1.7	−0.2	−2.9	−2.8	−12.5	3.8
31	9.8	12.0	11.5	11.2	9.7	1.2	11.0								−1.4	0.1	−0.4	0.7	0.5	−10.0	7.8
Mittel	10.9	12.1	12.3	13.3	12.4	7.5	14.9	6.8	7.2	8.9	8.7	6.7	0.2	10.2	1.8	2.4	4.0	3.8	3.5	−5.6	6.9

Tagesmittel der Abkühlungsgrösse in mgcal/cm² · sec.

1944 (Davoser Frigorimeter nach Dorno und Thilenius) — Ablesung: Sommer 7^{30} h, Winter 8^{00} h Zürich

Tag	Januar	Februar	März	April	Mai	Juni	Juli	August	Sept.	Oktober	Nov.	Dez.
1	25.3	20.0	28.3	16.3	13.7	12.4	6.2	8.5	13.9	19.2	15.4	*18.5
2	27.7	21.6	30.0	14.9	13.4	11.0	**4.4**	8.9	24.5	15.7	19.9	21.2
3	40.6	32.9	22.1	14.4	16.9	10.3	12.7	8.4	18.9	13.4	20.6	**42.7**
4	30.9	39.2	23.9	23.6	15.8	7.1	18.3	9.7	9.0	15.4	17.3	41.3
5	20.0	36.3	20.8	**27.6**	**20.4**	16.6	10.7	8.0	8.7	17.2	17.9	30.4
6	20.4	24.6	21.0	13.4	17.7	**24.0**	5.7	8.8	**6.1**	17.0	32.8	24.8
7	18.4	28.9	19.3	11.0	17.5	19.3	**5.1**	8.1	16.1	13.9	**56.6**	36.0
8	18.3	29.3	20.2	12.3	17.2	16.2	9.1	5.9	17.7	12.1	34.9	29.8
9	30.0	**42.0**	22.2	16.0	17.8	13.4	16.8	9.0	11.5	16.5	33.6	27.3
10	33.4	25.4	15.8	15.1	13.3	20.3	14.7	5.4	13.3	24.9	32.3	24.8
11	18.5	22.0	28.6	11.2	13.0	10.8	19.0	4.1	14.0	16.0	26.8	26.3
12	19.2	22.2	30.5	10.4	10.7	8.6	12.5	**3.5**	12.2	11.5	33.6	23.6
13	**14.4**	21.5	**40.7**	11.9	8.7	7.1	9.4	4.5	9.0	15.1	20.1	18.1
14	14.8	18.8	31.4	9.7	13.2	14.4	6.7	7.1	11.2	13.4	20.8	18.5
15	17.5	20.8	18.6	11.5	19.7	11.4	6.9	6.4	7.3	**11.4**	28.3	17.2
16	18.1	20.7	15.8	11.5	15.0	16.0	9.0	9.7	7.7	17.7	19.8	16.1
17	19.7	25.4	15.4	13.2	13.3	21.7	8.7	7.4	10.5	22.0	16.0	16.1
18	19.2	27.1	**14.6**	15.9	13.2	15.8	5.5	5.7	11.2	31.9	16.3	**15.3**
19	21.2	24.9	24.5	13.3	12.6	11.4	5.6	4.6	7.7	**32.4**	**15.3**	18.8
20	17.2	22.3	30.4	16.6	9.7	10.0	7.1	4.6	12.7	14.3	42.8	23.3
21	16.1	23.8	33.5	12.3	20.1	9.6	15.4	4.1	9.9	15.1	*25.0	19.7
22	20.0	25.0	20.5	13.0	15.7	7.7	**23.1**	4.0	8.7	13.1	*28.0	23.1
23	**41.6**	26.0	20.2	**9.0**	14.0	12.8	12.7	4.3	15.3	14.8	*35.0	28.1
24	31.0	22.3	19.4	9.2	11.3	10.7	7.5	5.6	**29.8**	16.7	*28.0	23.4
25	41.4	17.1	20.2	18.6	10.9	**6.8**	5.0	5.0	25.3	14.1	*28.0	21.1
26	32.3	17.1	19.2	19.4	8.6	11.3	7.7	5.3	18.6	13.7	*17.0	21.1
27	29.6	**15.7**	20.3	15.1	8.2	12.1	9.8	5.6	17.2	21.0	*17.0	19.6
28	18.4	19.2	16.1	13.1	7.2	9.9	8.8	8.4	14.1	19.0	*16.0	19.2
29	**14.4**	22.3	16.1	14.9	5.5	13.3	7.2	14.7	13.6	18.0	*20.0	30.2
30	**14.4**		17.7	19.5	**5.2**	10.0	10.5	9.0	11.8	15.2	*16.0	21.2
31	17.7		24.4		8.3		10.6	**16.1**		14.6		25.1
Summe	721.7	714.4	701.7	433.9	407.8	382.0	312.4	220.4	407.5	526.3	751.1	741.9
Mittel	23.3	24.6	22.6	14.5	13.2	12.4	10.1	7.1	13.6	17.0	25.0	23.9

Monats- und Jahresübersichten sämtlicher schweiz. meteorologischen Stationen

In die hier folgenden Uebersichten werden die Beobachtungsresultate aller schweizerischen Stationen, soweit es die Zuverlässigkeit und Vollständigkeit derselben gestatten, aufgenommen. Zu beachten ist:

1. Die Minima und Maxima bei Luftdruck, Temperatur und die Minima bei der relativen Feuchtigkeit sind stets den üblichen Terminbeobachtungen entnommen (7^{30} 13^{30} 21^{30}, resp. 7^{30} 13^{30} 20^{30}).
2. Die Monatsmittel der Temperatur werden aus den 3 Terminbeobachtungen in der Weise abgeleitet, daß der Abendbeobachtung (21^{30}) das doppelte Gewicht beigelegt ist [$m = \frac{1}{4}$ ($7^{30} + 13^{30} + 2 \cdot 21^{30}$)]. Bei den wenigen Stationen, die eine andere Kombination der Beobachtungsstunden haben, wird eine nach den stündlichen Werten von Bern und Säntis berechnete Reduktion angebracht.
3. Als Tage mit Niederschlag werden diejenigen gezählt, an denen wenigstens 0.3mm gemessen wurden. Eine zweite Rubrik enthält die Zahl der Tage mit Niederschlagsmengen von mindestens 1.0mm.
4. Tage mit mehreren Gewittern werden als «Gewittertage» nur einfach gezählt.
5. Als heitere (trübe) Tage werden solche bezeichnet, deren mittlere Bewölkung < 2 (> 8) Zehntel ist.
6. Bei der Uebersicht der Windverteilung wird nur die Häufigkeit der verschiedenen Windrichtungen mit Index > 0 berücksichtigt.
7. λ bezeichnet die geographische Länge in Graden von Greenwich, β die geographische Breite, H_b die Höhe des Stationsbarometers über dem Meer in Metern, H die Höhe der Station (des Regenmessers) über Meer, G ist die Korrektion, welche an den Luftdruckdaten für deren Reduktion auf die Normalschwere (45^0 Breite und das Meeresniveau) noch anzubringen ist, h_r die Höhe des oberen Randes des Regenmessers über dem Erdboden. Die Stationen, bei denen die Höhe (des Barometergefäßes) bis auf den Dezimeter angegeben ist, sind an das schweizerische Präzisionsnivellement angeschlossen. Alle Höhen sind auf Pierre du Niton 373.6m bezogen.

NB. Die Schwerekorrektionen *(G)* sind vom Jahrgang 1936 an auf Grund neuer Berechnungen von Herrn Prof. Niethammer, Basel, eingesetzt worden.

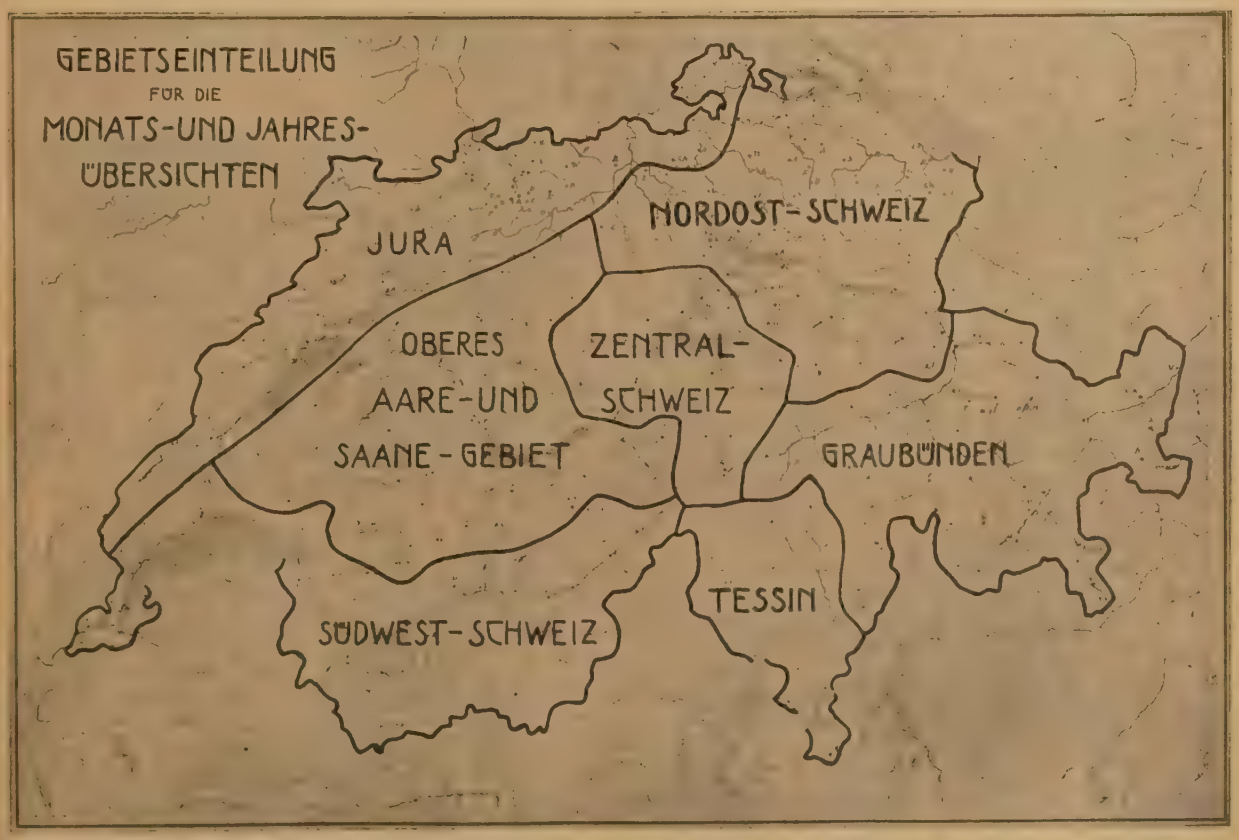

Reihenfolge der Gebiete: Nordostschweiz, Zentralschweiz, Jura, Oberes Aare- und Saanegebiet, Südwestschweiz, Graubünden, Tessin.

Zürich

$\lambda = 8° 33'$, $\beta = 47° 23'$, $H_b = 493.2^m$, $G = 0.03$ ‰, $h_r = 1.4^m$

1944	Luftdruck					Luft-Temperatur								Relative Feuchtigkeit					
	Mittel	Minimum	Tag	Maximum	Tag	7^{30}	13^{30}	21^{30}	Mittel	Minimum	Tag	Maximum	Tag	7^{30}	13^{30}	21^{30}	Mittel	Minimum	Tag
Januar	726.0	712.9	25	734.0	17	0.8	4.3	1.9	2.2	-8.3	8	10.7	29	91	71	88	83	32	23
Februar	716.4	697.3	28	729.6	6	-3.1	0.5	-2.0	-1.6	-8.6	25	12.4	3	90	70	88	83	52	25
März	718.6	706.8	30	729.0	25	-0.2	4.6	1.6	1.9	-4.4	10	14.6	29	87	62	78	76	32	29
April	719.9	707.2	17	729.0	22	7.6	15.5	10.4	11.0	0.8	1	23.9	24	84	48	71	67	19	24
Mai	720.6	708.0	20	728.5	26	10.3	17.6	12.6	13.3	3.8	8	29.4	30	80	51	72	68	30	25
Juni	717.7	711.1	10	724.9	12	13.3	18.9	14.5	15.3	8.4	18	26.6	29	82	55	79	72	33	5. 29
Juli	718.8	712.7	22	722.7	16	15.6	21.9	17.2	18.0	12.4	11	30.7	26	83	56	79	73	35	26
August	719.8	714.4	21	723.9	12	17.8	26.5	20.0	21.1	14.2	8	33.2	23	85	49	80	71	32	13
September	721.5	713.0	7	726.4	12	12.0	17.6	13.0	13.9	4.0	29	25.5	5	88	62	86	79	30	5
Oktober	715.3	709.4	16	724.1	3	7.2	11.7	8.3	8.9	-0.3	29	17.3	7	90	65	88	81	41	20
November	716.7	700.1	14	729.0	30	3.3	5.9	4.3	4.5	-1.0	28	12.9	24	91	77	90	86	47	4
Dezember	719.1	700.2	8	728.5	1	-0.8	1.3	-0.5	-0.1	-7.4	25	8.8	4	90	80	88	86	56	10.17
Jahr	719.2	697.3	II	734.0	I	7.0	12.2	8.4	9.0	-8.6	II	33.2	VIII	87	62	82	77	19	IV

Winterthur

$\lambda = 8° 44'$, $\beta = 47° 30'$, $H =$ ca. 485^m, $G = 0.05$ ‰, $h_r = 1.5^m$

Januar	—	—	—	—	—	0.6	3.6	1.2	1.7	-9.6	7	9.4	28. 29	89	74	88	84	34	23
Februar	—	—	—	—	—	-3.6	-0.1	-2.5	-2.2	-11.0	26	10.4	3	91	70	88	83	53	1
März	—	—	—	—	—	-1.0	3.9	0.5	1.0	-6.0	10	11.4	29	87	61	77	75	41	18
April	—	—	—	—	—	7.4	14.5	9.6	10.3	0.0	1	21.4	16	85	51	71	69	35	24
Mai	—	—	—	—	—	10.2	16.0	11.7	12.4	2.4	8	27.2	30	81	56	71	69	36	3
Juni	—	—	—	—	—	13.5	18.6	13.8	14.9	8.2	7	25.6	5	83	58	80	74	38	5
Juli	—	—	—	—	—	15.8	21.5	16.3	17.5	12.0	12	28.0	26	86	56	82	75	39	26
August	—	—	—	—	—	17.7	24.9	19.3	20.3	14.0	5	29.8	23. 24	86	53	79	73	40	23
September	—	—	—	—	—	11.3	16.5	12.1	13.0	1.8	30	24.0	5	92	69	91	84	38	5
Oktober	—	—	—	—	—	6.9	10.9	7.7	8.3	0.8	29	16.2	7	93	69	91	84	47	3
November	—	—	—	—	—	2.6	5.4	3.6	3.8	-3.2	19	11.4	5. 24	94	81	93	89	49	5
Dezember	—	—	—	—	—	-1.4	0.4	-1.6	-1.1	-9.4	28	7.2	4	89	79	88	85	59	10
Jahr	—	—	—	—	—	6.7	11.3	7.6	8.3	-11.0	II	29.8	VIII	88	65	83	79	34	I

Winterthur. Stationsverlegung am 10. Mai nach Oberwinterthur, gleiche Höhe.

Frauenfeld

$\lambda = 8° 54'$, $\beta = 47° 34'$, $H_b = 432.9^m$, $G = 0.06$ ‰, $h_r = 1.5^m$

Januar	731.5	718.1	25	739.8	17	0.8	3.6	1.7	1.9	-9.6	8	10.2	28	86	71	83	80	35	23
Februar	722.1	702.6	28	735.3	6	-3.3	-0.1	-2.0	-1.8	-10.5	25	11.5	3	85	66	80	77	48	10.22
März	724.3	712.1	30	735.1	25	-1.0	4.1	1.3	1.4	-4.7	23	12.2	30	83	56	71	70	33	25
April	725.5	712.8	17	735.0	22	7.2	14.7	9.8	10.4	0.0	2	22.2	16	82	43	66	64	23	16.24
Mai	726.2	713.4	20	734.0	26	10.8	16.6	12.1	12.9	4.6	7	28.4	30	73	46	67	62	29	3
Juni	723.2	716.4	10	730.2	12	13.8	18.7	13.9	15.1	9.4	18	25.5	5	75	51	77	68	30	15
Juli	724.1	714.1	23	728.3	15.16	16.1	21.8	16.8	17.9	12.3	12	28.4	26	78	50	75	68	35	26
August	725.2	719.9	21	729.3	26	17.9	25.2	19.5	20.5	14.6	6	30.5	23	80	47	75	67	34	23
September	727.0	718.5	7	732.4	12	11.2	17.0	12.3	13.2	2.2	30	23.6	6	86	60	85	77	30	5
Oktober	720.9	714.6	16	729.7	3	6.7	11.4	7.8	8.4	-1.2	29	16.4	7	87	59	85	77	41	3
November	722.2	705.2	14	735.0	30	2.5	5.4	3.6	3.8	-3.0	19	12.7	20	89	75	87	84	42	26
Dezember	724.8	705.7	8	734.7	1	-1.4	0.5	-1.5	-1.0	-10.2	28	7.8	4	84	73	80	79	50	10
Jahr	724.8	702.6	II	739.8	I	6.8	11.6	7.9	8.6	-10.5	II	30.5	VIII	82	58	78	73	23	IV

Kreuzlingen (West)

$\lambda = 9° 10'$, $\beta = 47° 39'$, $H_b = 445.6^m$, $G = 0.06$ ‰, $h_r = 1.4^m$

Januar	729.8	716.1	25	738.4	15	0.7	3.7	1.6	1.9	-7.6	8	9.8	28	87	73	84	81	37	23
Februar	720.5	701.0	28	733.5	6	-3.3	-0.2	-2.2	-2.0	-10.4	25	11.6	3	86	70	81	79	52	22
März	722.6	712.4	30	735.4	25	-0.7	3.9	0.9	1.3	-5.6	4	11.6	29	83	62	73	73	39	25
April	724.0	711.8	17	733.5	22	7.6	14.1	9.1	10.0	-0.4	1	21.6	16	81	52	70	68	29	24
Mai	724.7	712.4	20	732.4	27	10.5	16.5	11.3	12.4	4.2	7. 8	26.2	30	76	53	71	67	34	3
Juni	721.6	714.8	10	728.7	12	13.6	18.3	13.0	14.5	8.4	8	25.2	5	80	56	78	71	35	25
Juli	722.6	716.1	22	726.7	24	16.1	21.6	16.2	17.5	11.8	12	27.6	26	79	55	79	71	38	17.19
August	723.8	718.4	21	728.1	12	18.2	24.6	18.8	20.1	15.0	1. 5	30.6	23	81	55	80	72	41	21. 23
September	725.4	716.9	7	731.0	12	12.0	16.5	11.9	13.1	4.4	29	22.6	2. 6	87	68	86	80	35	5
Oktober	719.3	713.3	16	728.0	3	7.2	11.3	7.8	8.5	-0.6	29	16.2	7	87	68	86	80	52	14
November	720.6	704.1	14	733.8	30	2.8	5.7	3.6	3.9	-1.6	19	13.4	20	89	75	87	84	46	6
Dezember	723.4	704.0	8	733.1	21	-1.4	0.6	-1.2	-0.8	-9.4	28	7.8	4	85	77	82	81	55	2. 7
Jahr	723.2	701.0	II	738.4	I	6.9	11.4	7.6	8.4	-10.4	II	30.6	VIII	83	64	80	76	29	IV

Beobachter: Meteorolog. Zentralanstalt

Zürich

Bewölkung				Niederschlag			Zahl der Tage								Windverteilung									1944
7^{30}	13^{30}	21^{30}	Mittel	Summe	Maximum	Tag	●	●≧1.0	✳	▲	⛆	≡	heiter	trüb	N	NE	E	SE	S	SW	W	NW	Calmen	
8.5	6.5	8.1	7.7	73	16	4	14	11	6	—	—	9	2	20	2	1	3	7	8	13	18	11	30	Januar
8.6	7.6	7.8	8.0	92	28	29	14	13	11	—	—	5	2	20	20	10	4	5	5	6	10	10	17	Februar
8.5	8.1	7.6	8.1	56	9	30	18	14	13	1	1	—	3	23	6	8	3	7	10	7	21	11	20	März
7.5	6.7	6.2	6.8	49	18	18	11	8	—	—	1	—	3	14	9	9	5	8	13	4	11	9	22	April
6.2	6.0	6.0	6.1	38	10	21	10	8	—	—	1	—	6	12	11	14	10	6	6	5	17	7	17	Mai
7.2	6.7	7.6	7.2	147	34	10	18	15	—	—	3	—	2	12	10	8	2	9	5	6	20	16	14	Juni
6.6	6.2	7.4	6.7	93	18	22	14	13	—	—	3	—	2	13	5	3	6	8	4	4	17	26	20	Juli
5.9	4.5	5.5	5.3	98	33	29	9	6	—	—	9	—	8	9	7	8	9	11	8	1	9	13	27	August
7.7	6.9	5.7	6.8	103	24	2	14	11	—	—	2	2	2	13	11	5	2	10	5	12	11	9	25	September
8.4	7.8	7.5	7.9	52	11	18	12	9	—	—	—	3	—	17	11	9	5	10	6	5	16	15	16	Oktober
8.6	8.9	8.1	8.5	214	41	8	19	18	9	—	—	7	—	20	2	2	4	11	10	16	15	11	19	November
8.7	8.4	7.5	8.2	82	44	7	11	11	8	—	—	7	—	19	8	12	6	5	9	12	11	9	21	Dezember
7.7	7.0	7.1	7.3	1097	44	XII	164	137	47	1	20	33	30	192	102	89	59	97	89	91	176	147	248	Jahr

Beobachter: G. Groß, A. Meyer

Winterthur

8.5	7.3	8.3	8.0	73	13	25	15	12	5	—	—	1	1	19	1	2	—	1	11	21	—	1	56	Januar
9.7	7.8	8.4	8.6	86	21	29	16	14	14	—	—	?15	--	22	2	5	—	—	1	16	3	—	60	Februar
8.1	7.8	7.4	7.8	45	9	13	17	11	13	—	1	3	—	20	1	5	1	—	—	16	1	3	66	März
6.6	6.3	6.7	6.5	33	11	4	10	7	—	—	1	—	3	11	2	9	—	—	1	15	4	1	58	April
5.8	5.3	5.5	5.5	35	9	21	10	9	—	—	—	2	8	10	—	—	—	—	—	—	—	—	—	Mai
6.9	6.5	6.5	6.6	133	22	10	20	16	—	—	4	1	3	10	2	3	2	3	4	—	—	—	76	Juni
6.5	5.4	5.5	5.8	84	16	21	16	13	—	—	4	—	4	8	—	1	—	3	3	1	—	—	85	Juli
5.8	3.7	4.2	4.6	114	40	29	9	9	—	—	7	3	6	4	1	6	1	2	—	—	—	—	83	August
7.0	6.8	4.2	6.0	85	18	2	14	11	—	—	—	6	2	9	—	3	2	4	9	—	—	—	72	September
8.1	7.4	6.3	7.3	57	18	19	10	10	—	—	—	3	—	15	2	8	2	2	5	1	—	—	73	Oktober
8.7	8.7	7.9	8.4	212	54	7	19	19	7	—	—	6	—	21	—	1	1	5	14	—	1	—	68	November
8.2	7.7	6.2	7.4	89	41	7	13	10	9	—	—	4	1	15	—	8	5	2	6	—	—	—	72	Dezember
7.5	6.7	6.4	6.9	1046	54	XI	169	141	48	—	17	?44	28	164	—	—	—	—	—	—	—	—	—	Jahr

Beobachter: S. Dannacher

Frauenfeld

8.8	7.6	8.4	8.3	43	7	26	13	12	4	—	—	4	—	18	1	7	1	3	5	28	13	1	34	Januar
9.8	8.2	8.2	8.7	78	20	29	15	15	13	—	—	3	—	23	1	19	19	2	3	16	6	3	18	Februar
8.2	8.4	7.8	8.1	41	8	30	16	13	12	—	1	—	2	21	1	15	10	6	4	23	9	3	22	März
7.5	7.1	6.2	6.9	26	6	9	9	8	—	—	1	—	2	12	5	18	7	7	7	10	4	4	28	April
6.0	5.7	5.7	5.8	35	12	21	11	9	—	—	1	3	8	13	5	13	11	7	4	14	6	3	30	Mai
7.3	7.1	6.8	7.1	116	23	18	17	14	—	1	2	1	2	12	1	6	11	11	5	15	3	2	36	Juni
7.1	6.2	6.8	6.7	73	19	21	15	10	—	—	1	2	3	14	3	5	5	4	2	23	11	1	39	Juli
6.0	4.4	4.5	5.0	148	56	29	7	7	—	1	2	1	6	5	3	12	9	8	4	6	4	4	43	August
7.4	6.7	5.1	6.4	75	18	2	12	9	—	—	—	5	3	11	2	4	9	8	4	8	5	3	47	September
8.7	7.7	7.2	7.9	44	14	19	10	8	—	—	—	3	2	15	3	11	11	6	3	15	7	1	36	Oktober
9.2	9.0	8.3	8.8	161	44	7	19	17	6	—	—	7	—	22	—	4	2	—	8	27	8	—	41	November
9.0	8.0	7.0	8.0	78	36	7	14	10	8	—	—	4	—	19	1	17	7	1	7	16	8	—	36	Dezember
7.9	7.2	6.8	7.3	918	56	VIII	158	132	43	2	8	33	28	185	26	131	102	63	56	201	84	25	410	Jahr

Beobachter: P. Zwick

Kreuzlingen (West)

8.2	7.1	8.5	7.9	65	12	25	13	10	2	—	—	7	1	18	—	—	2	—	—	33	12	2	44	Januar
9.1	8.0	7.7	8.3	80	17	29	15	15	13	—	—	5	2	20	—	4	15	1	—	13	14	—	40	Februar
7.3	7.4	7.2	7.3	37	8	13	15	10	11	—	—	—	3	17	—	2	18	—	—	15	18	—	40	März
7.1	6.3	5.4	6.3	33	10	5	12	8	—	—	—	1	2	8	1	—	14	—	—	5	15	—	55	April
6.0	4.9	5.6	5.5	60	14	31	13	12	—	—	2	1	8	11	—	2	17	—	—	12	18	2	42	Mai
6.9	6.6	6.3	6.6	116	17	18	19	15	—	—	4	2	2	10	—	1	10	—	—	12	29	—	38	Juni
6.2	5.9	6.2	6.1	79	18	21	15	13	—	—	1	—	4	9	—	—	9	—	—	14	28	—	42	Juli
5.5	4.0	3.7	4.4	124	49	29	8	7	—	—	6	1	7	5	—	—	20	—	—	7	12	—	54	August
7.0	6.1	4.5	5.9	90	27	2	13	11	—	—	1	4	3	12	—	—	11	—	1	12	16	—	50	September
8.5	6.7	7.5	7.6	61	23	19	13	10	—	—	—	3	—	14	—	—	17	1	—	12	12	1	50	Oktober
9.0	8.0	6.9	8.0	214	69	7	20	17	5	—	—	7	—	18	—	—	1	—	—	24	16	—	49	November
8.8	7.0	6.3	7.4	99	33	7	14	11	8	—	—	8	1	17	—	1	13	—	—	11	15	—	53	Dezember
7.5	6.5	6.3	6.8	1058	69	IX	170	139	39	—	14	39	33	159	1	10	147	2	1	170	205	5	557	Jahr

Haidenhaus

$\lambda = 9° 0'$, $\beta = 47° 39'$, $H_b = 694.4^m$, $G = -- \,^m/_m$, $h_r = 1.7^m$

1944	Luftdruck					Luft-Temperatur								Relative Feuchtigkeit					
	Mittel	Minimum	Tag	Maximum	Tag	7^{30}	13^{30}	21^{30}	Mittel	Minimum	Tag	Maximum	Tag	7^{30}	13^{30}	21^{30}	Mittel	Minimum	Tag
Januar	—	—	—	—	—	−0.2	2.1	0.7	0.8	−9.0	6	8.0	30	87	81	87	85	45	30
Februar	—	—	—	—	—	−4.3	−2.1	−4.0	−3.6	−11.5	19	9.5	3	89	79	86	85	60	1. 22
März	—	—	—	—	—	−1.6	1.7	−0.6	−0.3	−6.0	10.23	8.5	30	82	74	79	78	40	29. 30
April	—	—	—	—	—	7.3	12.0	8.7	9.2	0.0	1	18.5	16	84	73	78	78	52	2
Mai	—	—	—	—	—	10.0	14.1	10.4	11.2	2.0	22	25.5	30	*78	*70	*77	*75	?	—
Juni	—	—	—	—	—	13.2	16.3	12.9	13.8	8.0	7	23.0	5	78	73	79	77	36	25
Juli	—	—	—	—	—	16.0	19.7	16.2	17.0	11.5	4. 11	25.5	26	76	64	73	71	40	1
August	—	—	—	—	—	18.3	22.8	19.0	19.8	13.0	5	29.0	24	75	60	72	69	35	19
September	—	—	—	—	—	11.7	15.1	12.0	12.7	5.0	29. 30	21.0	6	84	71	78	78	48	5
Oktober	—	—	—	—	—	6.6	9.5	7.0	7.5	−0.5	29	14.5	16	88	75	84	82	56	12
November	—	—	—	—	—	2.1	3.8	2.5	2.7	−2.5	28	11.0	20	89	80	88	86	55	26
Dezember	—	—	—	—	—	−3.0	−1.1	−2.7	−2.4	−12.0	28	6.0	4	89	80	85	85	53	17
Jahr	—	—	—	—	—	6.3	9.5	6.8	7.4	−12.0	XII	29.0	VIII	83	73	81	79	?	—

St. Gallen (Bruggen)

$\lambda = 9° 20'$, $\beta = 47° 24'$, $H_b = 678.8^m$, $G = -0.01 \,^m/_m$, $h_r = 1.5^m$

Januar	709.4	697.0	25	717.5	15	−0.8	3.3	0.3	0.8	−13.7	6	9.4	30	86	69	85	80	38	23
Februar	700.0	681.6	28	712.7	6	−4.6	−0.4	−3.7	−3.1	−11.5	26	10.4	3	90	69	89	83	46	7
März	702.3	691.7	30	712.8	25	−2.2	3.1	−1.0	−0.3	−7.5	4	11.9	30	84	59	84	76	34	25
April	704.2	692.8	17	713.6	22	6.3	12.8	7.1	8.3	−1.5	1	20.4	24	82	54	81	72	24	24
Mai	705.1	693.6	21	712.7	26	9.3	14.6	9.7	10.8	2.1	9	25.6	30	82	57	81	73	34	3
Juni	702.4	696.1	10	709.3	12	12.3	16.9	11.7	13.1	6.6	7	23.5	5	87	60	89	79	36	22
Juli	703.5	697.3	22	707.5	16	15.0	20.0	14.6	16.1	10.6	4	27.2	26	85	58	89	77	41	26
August	704.8	699.9	21	708.7	26	16.6	23.8	17.0	18.6	12.6	3	29.2	23	87	54	87	76	33	11
September	706.0	698.4	7	710.7	12	10.8	15.6	10.4	11.8	2.6	30	23.5	2	89	66	92	82	37	5
Oktober	699.8	694.8	16	707.7	3	5.8	10.0	6.1	7.0	−2.6	29	17.8	18	90	65	92	82	40	14
November	700.8	684.9	14	712.6	30	1.5	4.9	2.9	3.0	−4.4	17	10.8	24	84	70	84	79	43	19
Dezember	702.8	684.8	8	712.0	1	−3.1	0.3	−2.7	−2.1	−10.8	27	7.8	2	86	72	84	81	42	2. 17
Jahr	703.4	681.6	II	717.5	I	5.6	10.4	6.0	7.0	−13.7	I	29.2	VIII	86	63	86	78	24	IV

Heiden

$\lambda = 9° 32'$, $\beta = 47° 27'$, $H_b = *811.4^m$, $G = -0.03 \,^m/_m$, $h_r = 1.7^m$

Januar	697.4	684.3	25	705.4	15	−0.8	2.6	0.3	0.6	−11.5	6	9.7	30	83	69	80	77	29	23
Februar	687.9	669.2	28	700.1	6	−5.1	−2.0	−4.5	−4.0	−14.3	22	10.7	3	88	73	86	82	41	28
März	690.3	679.6	13	700.7	25	−2.5	0.6	−1.9	−1.4	−8.1	23	7.8	29	79	66	81	75	27	29
April	692.7	681.5	17	702.1	22	6.8	11.0	6.9	7.9	−1.7	1	19.7	16	66	55	74	65	30	24
Mai	693.6	681.6	21	701.5	26	9.0	12.7	8.8	9.8	1.6	9. 22	23.7	30	69	58	77	68	31	3
Juni	690.9	684.5	10	698.0	12	11.6	14.5	10.6	11.8	5.1	11	21.3	5	77	64	83	75	33	29
Juli	692.3	685.9	22	696.3	16	14.9	17.9	13.6	15.0	9.2	12	25.5	8	74	60	84	73	34	19
August	693.6	688.6	21	697.5	25	16.9	21.5	16.4	17.8	11.9	2	27.9	21	76	61	82	73	31	21
September	694.5	686.5	7	699.1	12	10.7	14.5	10.9	11.7	2.4	29	22.9	5	83	69	82	78	37	5
Oktober	688.1	682.5	30	695.9	3	5.4	8.3	5.6	6.2	−1.1	29	14.5	7	86	72	86	81	41	16
November	688.8	672.6	14	700.4	30	1.5	3.9	2.7	2.7	−3.9	28	9.9	20. 24	80	71	79	77	28	19
Dezember	690.7	672.6	8	700.1	1	−3.0	−0.4	−2.5	−2.1	−12.5	30	7.9	2	82	72	77	77	31	2
Jahr	691.7	669.2	II	705.4	I	5.4	8.8	5.6	6.3	−14.3	II	27.9	VIII	79	66	81	75	27	III

*Heiden. Diese Höhe gilt seit Juli 1938, wurde aber erst im August 1944 ermittelt.

Altstätten

$\lambda = 9° 33'$, $\beta = 47° 23'$, $H_b = 462.9^m$, $G = 0.01 \,^m/_m$, $h_r = 1.5^m$

Januar	728.8	715.2	25	737.2	15	−1.0	3.1	0.0	0.5	−11.8	6	9.0	29	90	72	88	83	52	7
Februar	719.2	699.5	28	732.3	6	−4.2	0.3	−2.5	−2.2	−13.2	24	9.8	3	90	65	81	79	50	4. 7. 22
März	721.4	709.8	30	732.4	25	−0.8	4.0	0.2	0.9	−4.2	8	11.4	30	82	60	81	74	36	25
April	722.8	710.3	17	732.0	22	8.0	14.6	9.1	10.2	0.0	1	22.8	16	79	52	72	68	32	24
Mai	723.4	711.0	20	731.6	26	10.4	17.1	11.3	12.5	3.8	9	28.0	30	77	54	82	71	35	2
Juni	720.5	714.0	10	727.6	12	14.1	18.8	13.4	14.9	8.4	18	25.4	29	76	56	78	70	39	22. 29
Juli	721.5	715.5	22	725.8	16	16.7	21.7	16.1	17.7	11.8	12	28.2	8	79	58	82	73	45	6. 20
August	722.6	717.3	21	726.9	12	18.2	25.3	18.8	20.3	13.2	8	31.8	23	79	55	78	71	33	21
September	724.3	715.4	7	729.8	12	11.9	17.7	12.4	13.6	3.8	30	24.8	2	91	63	90	81	40	23
Oktober	718.2	711.5	16	726.9	3	6.9	12.1	7.2	8.3	−0.8	29	17.8	7	93	63	91	82	43	28
November	719.5	702.7	14	732.0	30	2.0	5.9	3.6	3.8	−3.2	28	12.6	6	90	70	83	81	48	17
Dezember	722.2	703.0	8	731.6	1	−2.3	1.2	−0.9	−0.7	−12.0	28	9.8	17	89	72	84	82	37	11
Jahr	722.0	699.5	II	737.2	I	6.7	11.8	7.4	8.3	−13.2	II	31.8	VIII	85	62	82	76	32	IV

Altstätten. Die in den früheren Jahrgängen angegebene Höhe von 474 m war unrichtig.

Beobachter: **J. und E. Sommer**

Haidenhaus

Bewölkung				Niederschlag			Zahl der Tage								Windverteilung									1944
7^{30}	13^{30}	21^{30}	Mittel	Summe	Maximum	Tag	● *	● * ≦1.0	*	▲	K	≡	heiter	trüb	N	NE	E	SE	S	SW	W	NW	Calmen	
7.8	7.1	7.6	7.5	46	7	26	11	11	4	—	—	—	3	19	—	—	—	—	—	48	—	1	44	Januar
8.2	8.1	8.1	8.1	77	16	29	16	13	14	—	—	1	4	23	—	9	—	—	—	22	1	3	52	Februar
8.0	8.4	7.6	8.0	47	*18	30	14	10	10	—	—	—	2	20	—	11	—	—	1	21	1	—	59	März
6.8	6.2	5.7	6.2	38	8	5	11	10	—	—	—	—	3	9	—	8	—	1	—	17	1	—	63	April
5.2	5.3	5.6	5.4	40	15	21	12	10	—	—	3	—	10	12	—	14	—	2	—	17	—	--	60	Mai
6.3	6.0	6.9	6.4	124	21	17	16	13	—	—	3	4	4	11	1	2	—	—	—	23	—	—	64	Juni
6.0	5.3	6.0	5.8	79	28	21	11	11	—	—	2	—	5	9	—	3	—	—	1	25	—	—	64	Juli
4.3	2.8	4.5	3.9	131	52	29	7	7	—	—	4	2	7	3	—	5	—	—	—	16	—	—	72	August
6.1	5.6	5.3	5.7	78	20	2	11	11	—	—	—	5	6	11	—	6	—	—	—	16	—	—	67	September
7.7	7.2	8.0	7.6	63	23	19	8	7	—	—	—	—	—	14	—	9	—	1	—	22	—	—	62	Oktober
8.5	8.6	8.8	8.6	186	62	7	19	16	9	—	—	3	1	24	—	—	—	—	—	44	—	2	44	November
8.1	7.1	7.1	7.4	91	34	7	11	11	7	—	—	5	1	16	—	11	—	—	—	29	1	—	52	Dezember
6.9	6.5	6.8	6.7	1000	62	XI	147	130	44	—	12	20	46	171	1	78	—	4	2	300	4	6	703	Jahr

Beobachter: **P. Flückiger**

St. Gallen (Bruggen)

7.3	6.3	7.7	7.1	63	9	10	13	13	6	—	—	4	5	16	2	4	—	36	1	17	16	2	15	Januar
9.1	7.8	8.7	8.5	111	18	29	18	15	16	—	—	2	1	21	1	26	—	13	2	4	14	3	24	Februar
7.9	7.8	8.1	7.9	73	14	31	20	15	18	—	1	1	1	20	—	14	2	24	2	6	26	2	17	März
6.9	6.8	5.7	6.5	62	13	20	10	8	—	—	1	—	3	10	5	17	3	33	2	4	9	5	12	April
6.5	6.1	6.0	6.2	135	70	31	12	11	—	—	1	2	5	12	4	19	3	23	3	3	19	3	16	Mai
6.7	7.1	6.8	6.9	170	30	14	20	18	—	—	3	—	3	10	—	18	3	28	—	4	19	6	12	Juni
7.2	5.6	6.9	6.6	109	25	9	14	11	—	—	1	1	2	10	2	13	—	31	4	8	17	7	11	Juli
5.1	4.5	5.1	4.9	152	53	31	10	8	—	—	5	1	5	4	4	13	2	42	4	2	9	6	11	August
6.8	6.9	5.2	6.3	147	31	2	15	15	—	—	—	3	2	9	2	16	—	36	2	6	11	2	15	September
7.0	7.3	7.7	7.3	82	17	18	13	11	—	—	—	—	—	12	2	19	1	25	1	8	11	4	22	Oktober
7.2	7.8	8.1	7.7	181	45	7	20	15	9	—	—	3	—	16	1	5	1	32	3	18	14	6	10	November
7.9	7.0	6.9	7.3	48	12	4	13	11	8	—	—	4	2	17	1	16	1	28	1	14	13	—	19	Dezember
7.1	6.7	6.9	6.9	1333	70	V	178	151	57	—	12	21	29	157	24	180	16	351	25	94	178	46	184	Jahr

Beobachter: **Frau F. Niederer-Tobler**

Heiden

6.7	6.0	6.2	6.3	88	12	10	14	14	8	—	—	6	6	13	1	2	3	3	21	19	11	6	27	Januar
8.5	7.6	7.4	7.8	138	25	29	19	18	17	—	—	5	2	19	22	9	3	2	6	8	12	13	12	Februar
7.5	7.7	7.3	7.5	106	17	26	19	15	17	—	1	2	2	15	21	3	2	—	10	24	9	9	15	März
6.5	6.3	4.8	5.9	96	22	25	13	12	—	—	—	—	6	8	29	3	2	5	14	16	6	8	7	April
5.6	5.3	5.1	5.3	139	55	31	13	11	1	1	2	3	7	10	23	15	4	3	9	17	8	13	1	Mai
6.1	6.9	6.5	6.5	191	40	5	20	18	—	—	3	2	4	11	16	11	3	3	19	14	12	10	2	Juni
6.6	5.5	6.4	6.2	132	50	9	14	13	—	—	1	—	5	13	18	11	—	8	14	17	13	3	9	Juli
4.3	3.4	3.5	3.7	137	54	31	11	10	—	—	4	2	15	5	17	12	1	2	18	15	6	13	9	August
5.8	5.5	4.4	5.2	193	39	2	13	13	—	—	2	2	8	8	9	13	1	4	14	22	10	6	11	September
7.1	6.7	6.8	6.9	150	35	2	15	14	—	—	1	4	2	7	13	9	2	6	20	18	12	11	2	Oktober
6.7	7.0	8.1	7.3	222	57	7	21	18	9	—	—	1	4	18	6	3	2	7	25	25	13	4	5	November
6.8	7.1	5.2	6.4	71	21	4	14	12	12	—	—	7	4	12	12	14	—	3	28	13	10	13	—	Dezember
6.3	6.3	6.0	6.2	1663	57	XI	186	168	64	1	14	34	65	139	187	105	23	46	198	208	122	109	100	Jahr

Beobachter: **B. Heldstab**

Altstätten

7.6	6.4	7.3	7.1	107	18	10	12	11	5	—	—	3	4	16	—	1	2	—	1	5	10	1	73	Januar
9.3	8.3	7.1	8.2	123	32	2	14	13	12	—	—	3	—	18	5	1	1	—	—	1	12	2	65	Februar
8.3	8.1	7.4	7.9	117	23	31	17	14	13	—	—	—	1	19	6	3	2	—	1	—	15	4	62	März
7.2	7.0	6.3	6.8	83	17	25	13	11	—	—	—	—	2	10	8	4	4	—	1	4	14	—	55	April
6.2	6.3	6.2	6.2	73	20	31	12	11	—	—	1	—	4	13	3	2	9	—	7	2	6	3	61	Mai
6.8	7.2	7.6	7.2	168	34	5	19	17	—	1	2	2	1	13	5	—	9	—	3	1	9	5	58	Juni
6.9	6.5	7.1	6.8	133	47	9	15	13	—	—	1	—	2	14	1	—	3	1	—	4	10	—	74	Juli
5.4	5.0	5.4	5.3	110	33	31	11	9	—	—	4	1	6	5	6	1	8	—	1	1	15	—	61	August
7.3	6.6	5.2	6.4	184	36	2	15	15	—	—	2	—	3	11	6	—	3	—	—	2	3	1	75	September
8.2	7.1	7.6	7.6	151	36	2	11	11	—	—	—	3	—	15	5	—	3	—	—	5	2	—	78	Oktober
7.3	7.5	8.4	7.7	214	55	8	17	16	8	—	—	3	1	18	1	1	1	—	1	8	6	—	72	November
8.8	7.1	6.8	7.6	84	29	4	13	11	4	—	—	8	2	15	4		8	—	3	3	6	1	68	Dezember
7.4	6.9	6.9	7.1	1547	55	XI	109	152	42	1	10	23	26	167	50	13	53	1	18	36	108	17	802	Jahr

Säntis

$\lambda = 9° 20'$, $\beta = 47° 15'$, $H_b = 2500.1^m$, $G = -0.27$ $^m/_m$, $h_r = 1.3^m$

1944	Luftdruck					Luft-Temperatur								Relative Feuchtigkeit					
	Mittel	Minimum	Tag	Maximum	Tag	7^{30}	13^{30}	21^{30}	Mittel	Minimum	Tag	Maximum	Tag	7^{30}	13^{30}	21^{30}	Mittel	Minimum	Tag
Januar	564.3	552.1	25	572.9	16.17	-6.9	-6.2	-6.6	-6.6	-18.2	5	1.0	18	66	59	64	63	3	17
Februar	553.9	543.0	28	568.3	1	-12.6	-10.9	-12.4	-12.1	-19.8	13	-0.8	3	78	76	82	79	22	25
März	556.3	548.5	13	564.4	18. 25	-12.1	-10.8	-12.0	-11.7	-18.8	5	-5.0	30	79	77	84	80	9	28
April	562.6	555.6	17	571.8	23	-2.9	-1.2	-3.3	-2.7	-14.2	1	6.3	24	76	73	79	76	4	23
Mai	564.2	554.9	21	574.0	28	0.0	1.6	-0.6	0.1	-8.9	23	12.0	30	73	76	89	79	8	9
Juni	563.0	555.7	7	570.0	12	1.4	3.3	1.2	1.8	-4.8	8	10.4	26	84	83	94	87	14	25
Juli	565.5	558.8	22	570.8	26	4.5	6.5	4.5	5.0	-0.9	12	14.4	26	81	79	88	83	4	6
August	568.4	564.6	9	572.6	12.26	9.1	11.4	8.4	9.3	2.3	1	18.1	23	74	69	77	73	20	23
September	566.2	559.6	24. 25	571.0	12	2.0	4.6	1.5	2.4	-7.0	29	11.6	2	81	78	89	83	12	30
Oktober	558.7	552.7	19. 28	563.8	7	-3.0	-1.6	-3.0	-2.6	-11.7	28	4.2	6. 16	84	78	80	81	32	7
November	557.4	544.1	15	566.1	30	-7.5	-6.2	-6.8	-6.8	-14.4	12	1.6	20	81	81	87	83	23	18. 27
Dezember	557.8	544.3	8	566.1	1	-9.3	-8.6	-9.4	-9.2	-18.3	29	-1.6	19	64	62	61	62	11	28
Jahr	561.5	543.0	II	574.0	V	-3.1	-1.5	-3.2	-2.8	-19.8	II	18.1	VIII	77	74	81	77	3	I

Sargans

$\lambda = 9° 26'$, $\beta = 47° 3'$, $H_b = 508.0^m$, $G = -0.05$ $^m/_m$, $h_r = 1.5^m$

Januar	—	—	—	—	—	-0.9	2.4	0.2	0.5	-8.6	7	9.4	23	92	80	93	88	46	31
Februar	—	—	—	—	—	-3.8	-0.2	-2.0	-2.0	-11.9	20	8.7	3	96	81	95	91	60	21
März	—	—	—	—	—	-1.0	3.1	0.4	0.7	-4.7	8	10.6	30	93	71	91	85	45	29
April	—	—	—	—	—	7.7	15.8	10.1	10.9	0.4	2	22.9	24	81	52	74	69	30	14
Mai	—	—	—	—	—	10.5	17.8	12.4	13.3	4.8	8	29.7	30	83	61	77	74	37	2
Juni	—	—	—	—	—	12.8	19.1	13.7	14.8	8.2	17	26.9	5	94	62	87	81	44	5. 15
Juli	—	—	—	—	—	16.1	22.0	16.9	18.0	11.4	12	30.2	7	88	65	88	80	34	8
August	—	—	—	—	—	18.0	26.4	19.8	21.0	13.7	3	32.6	23	86	59	81	75	75	21
September	—	—	—	—	—	11.8	18.1	13.0	14.0	4.2	30	26.1	6	97	69	94	87	46	6
Oktober	—	—	—	—	—	7.0	12.3	8.5	9.2	0.9	29	20.4	16	95	69	90	85	41	7
November	—	—	—	—	—	1.9	5.5	3.2	3.4	-2.9	28	13.8	26	93	78	91	87	51	20
Dezember	—	—	—	—	—	-1.2	1.9	-0.8	-0.2	-9.1	30	8.4	17	88	77	91	80	36	11
Jahr	—	—	—	—	—	6.6	12.0	7.9	8.6	-11.9	II	32.6	VIII	90	69	88	82	30	IV

Bad Ragaz

$\lambda = 9° 30'$, $\beta = 47° 0'$, $H_b = ca\ 521^m$, $G = -0.06$ $^m/_m$, $h_r = 1.6^m$

Januar	724.2	711.1	25	732.6	15	-1.7	2.0	-0.5	-0.2	-11.2	7	9.4	23	88	74	86	83	35	23
Februar	714.2	694.8	28	727.5	7	-4.6	-0.4	-2.5	-2.5	-16.2	20	10.3	28	86	71	81	79	38	28
März	716.6	705.1	30	727.5	25	-1.2	2.7	0.2	0.5	-5.0	8	9.9	29	82	63	79	75	36	29
April	718.2	705.8	17	727.1	22	7.9	14.6	9.9	10.6	-0.5	2	22.0	24	72	49	63	61	30	14
Mai	718.7	706.6	21	727.1	26	11.0	16.4	12.0	12.9	5.0	8. 22	26.9	30	74	55	69	66	34	2
Juni	715.9	709.3	10	723.3	12	13.9	18.2	13.9	15.0	8.1	18	25.2	26	77	59	75	70	36	26
Juli	717.0	711.2	22	721.4	16	16.7	21.0	16.7	17.8	11.5	12	29.5	8	77	59	75	70	34	8
August	718.2	713.5	21	722.4	12	18.6	25.2	19.6	20.8	13.9	6	31.6	23	75	55	72	67	34	21
September	719.7	712.1	7	724.7	12	12.2	17.6	12.8	13.8	6.7	30	27.5	2	86	62	83	77	37	6
Oktober	713.5	708.0	16	721.9	3	6.7	12.4	8.7	9.1	0.2	29	19.2	7	88	63	78	76	39	7
November	715.1	699.3	14	726.9	30	1.9	5.6	3.2	3.5	-2.5	12	13.3	20	85	70	83	79	39	20
Dezember	717.5	698.4	8	727.1	1	-1.5	1.1	-1.1	-0.6	-10.6	30	8.9	18	79	70	80	76	37	17
Jahr	717.4	694.8	II	732.6	I	6.7	11.4	7.7	8.4	-16.2	II	31.6	VIII	81	62	77	73	30	IV

Glarus

$\lambda = 9° 4'$, $\beta = 47° 3'$, $H_b = 479.6^m$, $G = -0.04$ $^m/_m$, $h_r = 1.6^m$

Januar	728.0	715.3	25	736.2	15	-2.0	1.7	-1.3	-0.7	-14.1	6	5.8	28	88	68	86	81	37	26
Februar	718.1	698.4	28	731.4	6. 7	-4.7	-0.5	-3.5	-3.0	-12.9	7	5.6	3	84	64	82	77	40	21
März	720.4	708.6	30	731.1	25	-1.6	2.7	-0.3	0.1	-7.2	8	8.0	29	83	56	78	72	28	29
April	721.7	708.8	17	730.9	22	6.0	13.9	7.9	8.9	0.2	1	21.0	16	79	38	70	62	20	17
Mai	722.3	709.6	20	730.5	26	9.0	16.2	10.9	11.8	1.1	9	26.6	30	81	44	74	66	22	2
Juni	719.5	712.9	10	726.0	13	12.0	18.0	13.4	14.2	8.2	17	24.6	26	89	51	83	74	26	29
Juli	720.5	714.9	22	724.8	16	14.9	21.0	15.9	16.9	8.4	6	26.6	7	87	49	83	73	21	26
August	721.6	716.3	21	726.8	26	16.2	24.7	18.2	19.3	11.4	8	29.6	23	88	43	82	71	22	21
September	723.2	715.4	7	728.0	12	10.9	17.0	11.8	12.9	3.3	30	22.9	2	93	54	92	80	32	4.5.9
Oktober	717.0	710.8	16	725.8	3	6.5	11.5	7.8	8.4	-0.1	4	19.6	6	92	58	86	79	26	6
November	718.8	701.8	14	730.9	30	1.1	4.4	2.2	2.5	-5.1	19	10.3	7	89	74	90	84	31	1
Dezember	721.0	702.2	1	730.8	8	-2.6	1.0	-1.7	-1.2	-11.4	28	10.2	4	97	84	91	91	48	17
Jahr	721.0	698.4	II	736.2	I	5.5	11.0	6.8	7.5	-14.1	I	29.6	VIII	88	57	83	76	20	IV

Beobachter: **E. Hostettler**

Säntis

Bewölkung				Niederschlag			Zahl der Tage								Windverteilung									1944
7^{30}	13^{30}	21^{30}	Mittel	Summe	Maximum	Tag	● *	≧*	*	▲	K	≡	heiter	trüb	N	NE	E	SE	S	SW	W	NW	Calmen	
6.1	6.2	5.6	6.0	212	38	12	13	13	13	—	—	17	6	12	9	7	2	—	—	15	54	6	—	Januar
6.2	6.7	5.2	6.0	241	42	3	13	13	13	—	—	16	8	13	5	21	8	7	5	9	23	7	2	Februar
7.9	8.5	8.2	8.2	246	30	31	22	20	22	—	2	26	2	20	12	16	2	—	—	6	42	14	1	März
7.2	8.2	6.6	7.3	174	30	5	15	14	15	—	2	18	2	13	8	9	4	2	8	16	31	9	3	April
7.1	7.8	6.8	7.2	120	20	31	13	13	11	—	—	23	4	15	4	5	6	3	7	17	41	6	4	Mai
7.5	9.0	8.5	8.3	308	45	6	21	19	9	—	2	26	—	19	5	7	1	—	5	13	51	5	3	Juni
8.0	8.2	8.1	8.1	416	82	9	19	16	6	—	1	26	2	21	2	—	2	3	5	22	53	6	—	Juli
5.1	7.8	5.9	6.3	140	42	29.31	13	12	—	—	3	24	4	11	11	4	3	4	5	18	31	16	1	August
6.4	7.9	5.8	6.7	313	60	2	18	16	9	—	2	22	4	12	4	3	3	6	4	15	43	10	2	September
7.7	7.7	7.0	7.5	270	71	19	16	11	16	—	—	18	—	11	6	5	4	12	10	19	33	3	1	Oktober
8.0	8.1	7.8	8.0	565	94	8	21	20	21	—	—	22	2	21	4	1	1	1	—	12	59	12	—	November
6.2	6.4	5.1	5.9	244	61	4	14	13	14	—	—	15	7	13	11	13	6	7	4	10	36	5	1	Dezember
6.9	7.7	6.7	7.1	3249	94	XI	198	180	149	—	12	253	41	181	81	91	42	45	53	172	497	99	18	Jahr

Beobachter: **K. Albrecht**

Sargans

6.2	4.7	5.3	5.4	131	31	4	13	11	8	—	—	3	8	9	5	4	30	5	6	1	12	5	25	Januar
7.4	7.0	7.0	7.1	196	36	8	14	13	12	—	—	3	4	13	—	—	24	6	5	—	19	22	11	Februar
7.5	7.0	7.2	7.2	165	26	31	16	15	13	—	—	—	3	15	—	12	28	7	—	—	16	10	20	März
5.9	5.5	5.2	5.5	68	24	18	10	8	—	1	1	—	5	5	—	—	22	5	16	2	32	1	12	April
5.5	5.8	5.1	5.5	51	8	17	12	11	—	—	—	—	7	9	—	4	18	13	7	—	29	1	21	Mai
6.1	7.0	7.1	6.7	115	15	5	21	18	—	—	4	—	—	10	—	—	21	5	5	1	45	—	13	Juni
6.1	6.3	6.7	6.4	132	21	27	15	13	—	—	2	—	3	11	—	—	12	13	2	3	35	1	27	Juli
4.3	5.0	4.6	4.6	35	11	29	11	8	—	—	4	1	6	4	—	—	15	11	12	4	25	—	26	August
5.5	6.6	5.7	5.9	124	39	2	14	14	—	1	1	1	4	8	—	4	18	7	4	3	29	2	23	September
7.3	6.2	6.1	6.5	111	28	2	14	12	—	—	—	1	—	7	—	3	23	7	12	2	19	5	22	Oktober
6.6	7.3	7.2	7.0	277	65	7	19	15	5	—	—	—	3	15	2	8	23	5	8	—	11	9	24	November
6.5	6.3	4.6	5.8	105	28	31	11	10	5	—	—	6	3	10	—	4	30	13	11	—	9	5	21	Dezember
6.2	6.2	5.9	6.1	1510	65	XI	170	148	43	2	12	15	46	116	7	39	264	97	88	16	281	61	245	Jahr

Beobachter: **Frl. G. Müller**

Bad Ragaz

6.9	5.1	5.8	5.9	75	13	10	11	10	6	—	—	5	7	10	1	—	—	8	1	2	1	8	72	Januar
7.9	6.7	6.9	7.2	147	33	8	15	14	13	—	—	2	2	12	1	—	1	6	1	2	14	17	45	Februar
8.8	7.6	7.6	8.0	134	27	31	14	14	11	—	—	—	2	19	—	—	—	4	—	7	19	19	44	März
7.5	6.2	6.1	6.6	38	19	25	9	6	—	—	—	—	4	11	—	—	—	22	—	12	13	22	21	April
6.9	6.1	5.7	6.2	41	9	17	11	11	—	—	—	—	7	11	2	—	—	5	—	10	29	21	26	Mai
6.6	6.8	7.1	6.8	88	14	17	15	12	—	—	—	—	—	11	2	—	—	6	1	5	29	8	39	Juni
7.0	6.3	7.5	6.9	109	19	27	14	10	—	—	1	—	3	15	2	—	1	5	—	5	24	14	42	Juli
5.4	5.0	5.4	5.3	33	9	31	8	7	—	—	—	—	6	8	—	—	1	8	5	4	17	18	40	August
6.0	6.1	6.1	6.1	133	53	2	13	12	—	—	1	—	5	9	—	—	1	7	1	2	16	12	51	September
8.0	6.5	6.9	7.1	99	23	2	15	13	—	—	—	2	—	11	—	—	—	16	—	4	10	14	49	Oktober
7.9	7.7	8.2	7.9	219	58	7	17	15	4	—	—	—	2	21	—	—	3	14	2	—	7	7	57	November
7.0	6.2	5.4	6.2	78	23	4	9	8	3	—	—	4	4	12	—	—	—	14	—	1	4	3	71	Dezember
7.2	6.4	6.6	6.7	1194	58	XI	151	137	37	—	2	13	42	150	8	—	7	115	11	54	183	163	557	Jahr

Beobachter: **E. Wehrli**

Glarus

6.3	4.5	5.5	5.4	110	18	10	13	12	8	—	—	2	9	11	2	—	—	4	1	—	7	7	72	Januar
8.1	7.4	7.2	7.6	159	24	8	15	13	13	—	—	2	2	19	5	—	1	1	—	—	7	32	41	Februar
8.1	7.5	7.3	7.6	154	26	31	21	16	18	—	—	—	3	19	3	—		2	1	—	8	20	59	März
6.2	6.1	5.0	5.8	62	26	25	13	9	—	—	1	—	4	8	3	—	—	5	5	1	8	16	52	April
5.7	6.3	5.4	5.8	62	22	21	12	10	—	—	1	—	8	12	2	—	—	1	1	—	10	29	50	Mai
6.1	7.3	7.2	6.9	172	24	17	24	18	—	—	2	—	1	12	1	—	—	1	2	1	5	31	49	Juni
6.1	6.6	6.8	6.5	228	37	3	17	16	—	—	1	—	4	14	5	—	—	2	1	—	3	31	51	Juli
4.6	4.3	5.2	4.7	80	20	31	14	11	—	—	1	—	5	4	2	—	1	1	2	—	4	25	58	August
4.6	5.6	5.4	5.2	164	35	2	15	14	—	—	1	—	7	7	—	—	—	1	—	4	12	22	51	September
7.6	6.2	7.5	7.1	121	18	27	17	15	—	—	1	—	—	13	2	—	—	2	1	2	10	18	58	Oktober
6.4	7.1	7.2	6.9	374	83	23	20	18	7	—	—	—	6	17	—	—	—	1	1	2	7	18	61	November
6.7	6.6	5.0	6.1	96	33	4	12	12	7	—	—	—	5	13	—	—	2	3	2	1	3	15	67	Dezember
6.4	6.3	6.2	6.3	1782	83	XI	193	164	53	—	8	4	54	149	25	—	4	24	17	11	84	264	669	Jahr

Elm

$\lambda = 9° 10'$, $\beta = 46° 55'$, $H = 959^m$, $G = -\,^m/_m$, $h_r = 1.6^m$

1944	Luftdruck					Luft-Temperatur								Relative Feuchtigkeit					
	Mittel	Minimum	Tag	Maximum	Tag	7^{30}	13^{30}	21^{30}	Mittel	Minimum	Tag	Maximum	Tag	7^{30}	13^{30}	21^{30}	Mittel	Minimum	Tag
Januar	—	—	—	—	—	-2.6	0.2	-1.4	-1.3	-13.4	6	5.0	31	78	64	77	73	38	23
Februar	—	—	—	—	—	-5.9	-1.3	-4.4	-4.0	-16.6	20	6.8	28	85	69	86	80	29	24
März	—	—	—	—	—	-3.8	1.2	-2.7	-2.0	-10.2	7	8.4	30	84	66	86	79	40	29
April	—	—	—	—	—	4.3	11.1	5.5	6.6	-2.8	1	19.0	24	76	50	72	66	26	24
Mai	—	—	—	—	—	7.9	13.6	9.1	9.9	0.8	9	25.2	30	77	56	78	70	27	2
Juni	—	—	—	—	—	10.3	15.4	11.1	12.0	4.8	8	22.8	26	82	65	86	78	32	26
Juli	—	—	—	—	—	12.7	18.0	14.0	14.7	6.6	6	25.2	26	85	64	87	79	38	6
August	—	—	—	—	—	14.2	21.9	17.1	17.6	9.8	5	29.4	12	86	61	82	76	34	21
September	—	—	—	—	—	8.7	14.0	10.1	10.7	0.2	30	24.2	2	92	74	90	85	36	6
Oktober	—	—	—	—	—	4.7	9.0	5.9	6.4	-2.2	4	18.4	6	90	68	88	82	30	4
November	—	—	—	—	—	-0.3	2.6	0.6	0.9	-7.2	28	11.4	20	86	75	88	83	38	20
Dezember	—	—	—	—	—	-4.4	-2.0	-3.9	-3.5	-15.0	30	5.6	11	78	69	78	75	28	17
Jahr	—	—	—	—	—	3.8	8.8	5.1	5.7	-16.6	II	29.4	VIII	83	65	83	77	26	IV

Auen (Linthal)

$\lambda = 8° 59'$, $\beta = 46° 54'$, $H_b = 830.3^m$, $G = -0.11\ ^m/_m$, $h_r = 1.5^m$

Januar	698.0	685.4	25	705.3	16	-1.4	2.4	-0.9	-0.2	-11.2	6	8.0	30.31	75	58	73	69	30	30
Februar	687.9	669.3	28	699.7	1	-5.3	-0.1	-4.3	-3.5	-12.0	19.23	9.2	28	82	56	81	73	31	28
März	690.5	679.3	30	701.1	25	-2.3	2.4	-1.6	-0.8	-7.8	7	8.2	19.29	81	54	81	72	30	19
April	692.7	681.3	17	701.7	23	5.4	11.8	6.2	7.4	-1.8	1	22.4	24	68	42	67	59	21	24
Mai	693.6	681.6	21	701.7	26	8.9	14.9	9.3	10.6	1.8	9	26.9	30	71	50	71	64	25	2
Juni	691.1	684.9	7	698.2	12	12.0	16.7	11.3	12.8	6.0	7	23.8	29	74	54	81	70	25	30
Juli	692.5	686.2	22	696.7	16	14.0	19.4	14.1	15.4	8.3	11	26.5	26	78	54	82	71	32	6
August	694.0	689.3	21	697.7	12	16.3	23.4	17.5	18.7	11.8	8	30.2	23	73	50	76	66	30	21
September	694.8	687.6	7	699.3	12	10.0	15.6	10.4	11.6	2.1	30	24.6	6	87	62	87	79	29	6
Oktober	688.4	682.5	30	696.3	3	5.3	9.7	6.5	7.0	-0.6	29	17.6	6	86	60	82	76	30	7
November	689.3	673.9	14	700.4	30	0.6	4.1	0.8	1.6	-5.6	28	9.3	6	82	63	83	76	35	1
Dezember	691.1	672.9	8	699.8	21	-3.1	0.5	-2.7	-2.0	-12.4	30	6.6	17	74	59	72	68	30	28
Jahr	692.0	669.3	II	705.3	I	5.0	10.1	5.6	6.6	-12.4	XII	30.2	VIII	78	55	78	70	21	IV

Oberiberg

$\lambda = 8° 47'$, $\beta = 47° 2'$, $H_b = 1090^m$, $G = -0.10\ ^m/_m$, $h_r = 1.7^m$

Januar	674.7	662.4	25	682.2	15	-2.9	3.0	-2.2	-1.1	-15.9	6	9.4	31	78	54	76	69	34	31
Februar	664.7	649.0	29	676.8	1.6	-6.8	-1.1	-5.8	-4.9	-15.4	23	10.3	3	86	60	85	77	40	25
März	667.3	657.6	30	676.7	25	-4.8	1.9	-3.2	-2.3	-11.4	16	8.4	30	84	54	84	74	31	24
April	670.2	659.2	17	678.9	23	3.3	10.9	3.8	5.4	-4.4	1	18.0	17.24	78	47	79	68	28	14
Mai	671.2	660.3	20	679.2	27	7.8	13.7	6.8	8.8	0.7	8	26.8	30	76	54	83	71	35	3
Juni	669.0	662.9	7	676.1	12	10.4	15.6	9.2	11.1	3.4	17	24.8	29	76	57	85	73	35	29
Juli	670.5	664.5	22	674.4	16	12.9	18.5	12.5	14.1	7.2	5	28.2	7	78	57	84	73	38	6.7
August	672.0	667.3	21	676.2	26	14.7	22.4	14.9	16.7	9.6	2	29.8	23	82	52	84	73	35	7.23
September	672.5	665.1	7	676.2	12	8.3	14.9	8.4	10.0	-0.8	30	23.2	2	87	62	88	79	39	4
Oktober	665.7	659.6	30	672.9	3	3.1	9.4	4.0	5.1	-3.5	28	18.7	6	88	61	88	79	40	7
November	666.4	650.6	14	677.5	30	-1.0	3.5	0.5	0.9	-9.3	28	9.0	20	83	66	81	77	35	1
Dezember	667.6	650.7	8	676.3	1	-5.6	-0.4	-5.2	-4.1	-18.0	30	5.2	2	80	61	78	73	31	27
Jahr	669.3	649.0	II	682.2	I	3.3	9.4	3.6	5.0	-18.0	XII	29.8	VIII	81	57	83	74	28	IV

Einsiedeln

Die Abendbeobachtung erfolgt um 20^{30} h.

$\lambda = 8° 45'$, $\beta = 47° 8'$, $H_b = 913.9^m$, $G = -0.08\ ^m/_m$, $h_r = 1.5^m$

Januar	689.3	676.8	25	697.2	15	-1.6	1.7	-0.4	-0.2	-12.4	6	7.4	28	81	64	78	74	40	9.31
Februar	679.5	660.6	28	691.8	6	-5.3	-1.7	-3.8	-3.8	-12.4	24	7.2	3	84	67	80	77	45	27
März	682.1	671.8	30	691.8	25	-3.0	1.2	-1.2	-1.2	-7.6	8	8.5	30	80	59	73	71	24	26
April	684.5	672.9	17	693.0	22.23	4.9	10.6	6.9	7.2	-0.7	1.2	17.0	16.24	77	51	66	65	26	24
Mai	685.4	674.2	21	693.1	26	8.3	13.0	10.8	10.2	2.4	9	22.4	30	75	56	64	65	31	3
Juni	683.0	676.8	10	690.0	12	11.5	15.2	12.6	12.6	6.2	18	21.6	5	77	63	70	70	37	29
Juli	684.4	678.2	22	688.2	16	13.9	18.1	15.7	15.4	9.7	12	24.1	26	80	57	71	69	35	26
August	685.9	681.2	21	689.9	12	15.7	22.1	18.2	18.3	12.2	8	27.3	21	80	52	73	68	30	21
September	686.6	678.9	7	690.5	11	10.0	14.3	10.9	11.4	2.4	30	21.2	2	84	64	80	76	30	23
Oktober	679.9	674.2	30	687.6	3	5.0	8.8	6.0	6.4	-0.6	29	14.7	16	85	66	84	78	38	16
November	680.9	664.7	14	692.1	30	1.1	3.4	2.1	2.0	-6.6	12	9.0	6	80	68	80	76	43	6
Dezember	682.4	665.1	8	691.2	1	-3.5	-0.7	-2.8	-2.4	-12.6	30	7.6	4	79	68	73	73	38	28
Jahr	683.7	660.6	II	697.2	I	4.8	8.8	6.2	6.3	-12.6	XII	27.3	VIII	80	61	74	72	24	III

Beobachter: J. Kubli

Elm

Bewölkung				Niederschlag			Zahl der Tage								Windverteilung									1944
7^{30}	13^{30}	21^{30}	Mittel	Summe	Maximum	Tag	● ✳	●✳ >1.0	✳	▲	⛥	≡	heiter	trüb	N	NE	E	SE	S	SW	W	NW	Calmen	
5.3	4.6	3.9	4.6	96	21	4	12	10	9	—	—	—	10	8	—	—	—	—	—	—	—	—	93	Januar
6.8	6.8	7.4	7.0	149	22	4	12	12	10	—	—	—	5	16	13	—	—	—	5	—	—	—	69	Februar
7.8	7.5	7.2	7.5	113	19	13	19	18	18	—	—	—	4	20	9	—	—	—	1	—	—	—	83	März
7.0	6.8	6.6	6.8	59	19	25	15	13	—	—	—	—	3	11	3	—	—	—	13	—	—	—	74	April
6.6	6.2	6.3	6.4	65	16	21	11	10	—	—	—	—	6	15	15	—	—	—	1	—	—	—	77	Mai
6.1	8.0	7.7	7.3	122	22	18	18	16	—	—	—	—	2	13	6	—	—	—	3	—	—	—	81	Juni
6.7	7.5	7.9	7.4	149	25	4	19	15	—	—	1	—	3	15	13	—	—	—	3	—	—	—	77	Juli
3.8	5.5	7.2	5.5	62	12	31	14	11	—	—	—	—	7	8	10	—	—	—	6	—	—	—	77	August
6.7	7.2	7.3	7.1	168	48	2	17	15	—	—	—	—	4	14	15	—	—	—	2	—	—	—	73	September
7.8	8.2	8.3	8.1	122	21	18	16	16	1	—	—	—	—	14	6	—	1	—	10	—	—	—	76	Oktober
6.9	7.2	7.4	7.2	317	81	7	19	19	11	—	—	—	5	15	9	—	—	—	3	—	—	—	78	November
5.0	4.6	4.5	4.7	89	44	4	7	7	7	—	—	4	13	10	2	—	—	—	7	—	—	—	84	Dezember
6.4	6.7	6.8	6.6	1511	81	XI	179	162	56	—	1	4	62	159	101	—	1	—	54	—	—	—	942	Jahr

Beobachter: J. Zweifel

Auen (Linthal)

5.3	4.4	5.0	4.9	152	32	26	13	12	5	—	—	3	11	10	5	2	1	2	—	—	—	—	83	Januar
7.2	6.6	8.4	7.4	222	28	8	13	13	11	—	—	—	4	19	2	—	2	—	2	—	—	—	81	Februar
8.3	7.9	7.4	7.9	221	33	31	16	16	15	—	—	2	2	20	6	—	1	—	—	—	—	—	86	März
6.4	6.1	6.3	6.3	41	9	9	8	7	—	—	—	2	5	10	3	—	—	—	8	—	—	—	79	April
6.1	5.6	5.7	5.8	65	18	21	11	11	—	—	—	4	8	12	9	—	1	—	—	—	—	—	83	Mai
6.6	8.2	8.9	7.9	136	24	5	16	16	—	—	2	3	1	17	2	—	—	—	1	—	—	—	87	Juni
7.3	7.5	7.3	7.4	186	34	11	17	15	—	—	3	1	4	18	1	—	—	—	1	—	—	—	91	Juli
5.0	5.7	6.0	5.6	75	27	24	15	12	—	—	3	3	5	9	1	—	—	—	2	—	—	—	90	August
5.9	7.0	6.4	6.4	163	45	2	13	13	—	—	1	4	6	12	2	—	2	—	—	—	—	—	86	September
7.8	7.9	7.8	7.8	127	25	19	13	13	—	—	—	11	—	15	1	—	1	—	1	—	—	—	90	Oktober
7.1	7.4	6.6	7.0	318	58	23	18	18	7	—	—	2	6	18	1	—	—	—	—	—	—	—	89	November
6.0	6.5	5.2	5.9	99	26	4	8	8	7	—	—	2	8	14	1	1	—	—	3	—	—	—	88	Dezember
6.6	6.7	6.8	6.7	1805	58	XI	161	154	45	—	9	37	60	174	34	3	8	2	18	—	—	—	1033	Jahr

Beobachter: A. Holdener

Oberiberg

5.5	4.3	4.1	4.6	128	26	10	13	11	7	—	—	—	10	6	1	—	—	—	5	6	6	1	74	Januar
8.4	7.8	7.6	7.9	217	35	10	15	14	14	—	—	—	4	21	2	—	—	—	—	2	11	1	71	Februar
4.8	4.7	3.9	4.5	189	31	31	21	20	19	—	1	—	4	19	2	4	—	1	6	3	10	1	66	März
6.8	6.6	5.6	6.3	82	25	25	11	11	2	—	—	—	4	11	1	1	2	2	6	5	2	2	69	April
5.9	7.0	5.3	6.1	76	13	22	14	13	—	—	1	1	7	12	2	3	1	—	2	5	1	3	76	Mai
6.6	8.0	7.4	7.3	245	36	27	19	17	—	—	2	—	1	14	2	—	2	—	1	7	3	4	71	Juni
6.7	7.4	6.9	7.0	210	37	11	18	13	—	—	2	—	3	14	—	3	1	1	3	3	2	2	78	Juli
4.9	6.2	5.3	5.5	95	34	31	13	8	—	1	4	—	5	8	1	—	2	1	1	4	3	1	80	August
5.9	7.7	5.8	6.5	210	44	2	18	17	—	—	3	—	3	12	—	—	3	—	—	1	8	—	78	September
7.9	7.6	7.5	7.7	160	*30	18	18	16	4	—	—	—	—	15	1	1	1	1	7	6	2	3	71	Oktober
7.7	8.1	7.9	7.9	433	91	7	20	20	13	—	—	1	3	22	1	2	—	1	7	5	3	3	68	November
5.5	6.7	5.4	5.9	134	45	4	12	11	11	—	—	—	7	13	—	—	—	1	2	4	2	1	83	Dezember
6.4	6.8	6.1	6.4	2179	91	XI	192	171	70	1	13	2	51	167	13	14	12	8	40	51	53	22	885	Jahr

Beobachter: P. C. Merkt

Einsiedeln

6.4	4.4	5.4	5.4	110	23	10	14	13	7	—	—	2	9	10	—	—	—	5	1	14	16	5	52	Januar
8.2	8.0	7.1	7.8	163	28	29	19	14	18	—	—	1	3	19	2	2	2	8	—	11	9	6	47	Februar
7.6	7.3	7.2	7.4	164	28	31	20	19	18	—	1	—	4	18	2	7	4	3	3	18	9	10	37	März
6.9	7.1	6.9	7.0	78	22	25	12	10	1	1	1	—	3	12	10	5	—	1	1	9	7	9	48	April
5.7	6.3	6.5	6.2	61	11	14	12	10	—	—	1	2	6	12	5	7	4	—	3	5	7	10	52	Mai
6.5	7.5	7.7	7.2	227	38	5	21	17	—	—	5	—	1	12	8	—	—	2	1	5	8	11	55	Juni
6.4	6.4	7.4	6.7	175	29	11	16	13	—	—	3	—	3	13	7	2	1	—	2	4	8	13	56	Juli
4.8	4.9	6.0	5.2	122	37	31	11	8	—	—	1	2	5	6	17	1	1	1	4	1	2	9	57	August
6.0	7.1	5.4	6.2	179	48	2	16	16	—	—	1	5	6	11	5	3	—	1	1	3	9	7	61	September
8.0	7.4	6.7	7.4	133	28	1	19	16	2	—	1	6	—	13	2	—	1	2	4	13	4	11	56	Oktober
7.2	7.5	8.0	7.6	275	47	8	20	20	9	—	—	2	1	17	—	—	—	1	5	18	17	1	48	November
6.3	7.8	5.2	6.4	94	24	4	12	11	9	—	—	5	3	14	3	4	2	6	4	10	3	5	56	Dezember
6.7	6.8	6.6	6.7	1781	48	IX	192	167	64	1	14	25	44	157	61	31	15	30	29	111	99	97	625	Jahr

Luzern

$\lambda = 8° 19'$, $\beta = 47° 3'$, $H_b = 497.8^m$, $G = -0.02$ ‰, $h_r = 1.5^m$

1944	Luftdruck					Luft-Temperatur								Relative Feuchtigkeit					
	Mittel	Minimum	Tag	Maximum	Tag	7^{30}	13^{30}	21^{30}	Mittel	Minimum	Tag	Maximum	Tag	7^{30}	13^{30}	21^{30}	Mittel	Minimum	Tag
Januar	725.9	713.0	25	734.0	15	0.5	3.4	1.7	1.8	−8.7	7	9.8	28	87	79	83	83	52	24
Februar	716.5	696.5	28	729.3	6	−2.9	−0.2	−1.7	−1.6	−8.3	25	10.2	3	86	77	83	82	64	4. 7
März	718.6	706.8	30	728.5	25	−0.1	4.2	1.4	1.7	−4.1	5	11.6	29	65	62	63	63	47	29. 30
April	719.9	706.6	17	728.2	22. 23	7.2	14.4	10.6	10.7	−0.3	1	20.3	24	87	60	72	73	42	24
Mai	720.6	708.1	20	728.6	26	9.9	16.7	13.3	13.3	3.7	9	27.6	30	86	60	74	73	35	3
Juni	717.8	711.3	10	724.7	12	13.5	18.4	15.2	15.6	9.0	18	24.4	29	86	67	80	78	45	29
Juli	718.9	713.3	22	722.7	16	15.8	21.7	18.2	18.5	12.0	6	27.7	26	87	64	80	77	49	26
August	719.9	714.7	21	723.9	12	17.6	24.8	20.4	20.8	14.2	8	29.3	23	89	63	82	78	54	13. 22
September	721.4	713.4	7	726.1	12	12.0	16.6	13.3	13.8	3.4	30	23.6	6	89	72	86	82	54	25
Oktober	715.4	709.4	16	723.7	3	6.9	11.1	8.2	8.6	−0.7	29	15.3	7	93	73	89	85	50	28
November	716.9	699.4	14	728.7	30	2.9	5.8	4.5	4.4	−2.5	17	12.8	24	91	79	87	86	58	6
Dezember	719.0	699.7	8	728.4	1	−0.9	1.4	−0.3	0.0	−8.1	28	9.5	4	88	79	86	84	60	5
Jahr	719.2	696.5	II	734.0	I	6.9	11.5	8.7	9.0	−8.7	I	29.3	VIII	86	70	80	79	35	V

Walchwil

$\lambda = 8° 30'$, $\beta = 47° 6'$, $H = 452^m$, $G = —$ ‰, $h_r = 1.5^m$

Januar	—	—	—	—	—	0.8	3.1	1.3	1.6	−7.8	6	9.1	25	85	75	84	81	48	26
Februar	—	—	—	—	—	−2.3	−0.2	−1.7	−1.5	−6.6	19	11.2	3	84	71	79	78	56	21
März	—	—	—	—	—	−0.2	3.6	1.3	1.5	−4.1	7	13.1	30	81	64	74	73	41	29
April	—	—	—	—	—	7.2	14.2	10.4	10.5	0.8	2	23.6	24	83	55	64	67	29	24
Mai	—	—	—	—	—	10.1	16.6	12.8	13.1	3.0	9	26.7	28	81	56	68	68	37	3
Juni	—	—	—	—	—	14.2	18.5	14.6	15.5	8.4	17	25.4	5	78	61	76	72	44	5
Juli	—	—	—	—	—	16.5	21.1	17.0	17.9	10.2	17	28.4	20	81	62	75	73	42	20
August	—	—	—	—	—	18.8	24.6	20.0	20.9	15.0	7. 8	30.1	23	82	59	75	72	38	21
September	—	—	—	—	—	13.1	15.9	13.1	13.8	5.2	29	21.2	24	85	70	83	79	41	6
Oktober	—	—	—	—	—	7.8	11.1	8.3	8.9	1.6	28	15.8	1	89	71	85	82	52	1
November	—	—	—	—	—	3.3	5.6	4.4	4.4	−1.8	28	13.0	24	84	79	83	82	46	6
Dezember	—	—	—	—	—	−0.5	1.3	−0.2	0.1	−7.0	30	10.0	4	83	75	79	79	50	3
Jahr	—	—	—	—	—	7.4	11.3	8.4	8.9	−7.8	I	30.1	VIII	83	66	77	75	29	IV

Rigi-Kulm

$\lambda = 8° 30'$, $\beta = 47° 3'$, $H_b = 1787.3^m$, $G = -0.20$ ‰, $h_r = 1.8^m$

Januar	618.2	606.5	25	625.6	15. 16	−2.6	−1.6	−1.9	−2.0	−13.0	6	6.6	31	66	64	61	64	12	7
Februar	608.1	593.7	28	621.0	1	−8.5	−7.2	−8.3	−8.1	−16.0	22	3.5	3	86	83	85	85	26	1
März	610.5	602.5	1	619.2	25	−7.4	−5.4	−7.6	−7.0	−13.4	5	1.0	30	87	85	86	86	12	26
April	615.0	605.8	17	623.6	23	1.4	3.7	1.9	2.2	−9.0	1	10.5	23	73	68	74	72	8	23
Mai	616.3	606.7	21	624.6	27	4.2	6.2	4.3	4.7	−4.8	8	17.4	29	73	74	75	74	29	30
Juni	614.4	607.8	7	620.5	12	6.2	8.3	6.7	7.0	−0.8	7. 8	15.0	26	81	80	83	82	40	29
Juli	616.6	610.8	22	620.9	26	9.0	11.0	9.9	10.0	3.0	12	17.4	7. 26	78	79	79	79	27	26
August	618.8	615.0	9	622.8	12	13.0	15.3	13.1	13.6	7.1	1	24.0	23	67	66	73	69	21	23
September	617.8	612.6	7	622.2	12	6.4	8.1	6.1	6.7	−2.5	28	15.2	13	78	78	84	80	7	4
Oktober	611.0	605.2	30	616.4	3	0.9	2.6	1.0	1.4	−6.0	28	9.5	6	85	80	87	84	19	20
November	610.7	596.2	14	620.8	30	−2.8	−2.0	−2.6	−2.5	−9.8	12	7.6	20	87	87	91	88	18	19
Dezember	611.4	596.6	8	619.4	1	−5.1	−4.1	−5.2	−4.9	−13.4	29	4.0	2	*64	*62	*60	*62	?	—
Jahr	614.1	593.7	II	625.6	I	1.2	2.9	1.5	1.8	−16.0	II	24.0	VIII	77	76	78	77	7	IX

Pilatus-Kulm

Die Abendbeobachtung erfolgt um 20^{30} $\lambda = 8° 16'$, $\beta = 46° 59'$, $H_b = 2068^m$, $G = -0.23$ ‰, $h_r = 2.0^m$

Januar	593.0	580.7	25	600.4	17	−4.4	−2.2	−3.9	−3.6	−15.0	1	5.0	18	67	65	65	66	23	18
Februar	582.3	568.7	28	596.3	1	−10.2	−7.2	−10.0	−9.3	−18.5	22	2.4	1. 3	82	82	84	83	28	25
März	585.0	577.6	1. 13	593.2	26	−9.0	−5.2	−7.8	−7.5	−18.0	7	0.2	19	82	82	83	82	39	18
April	590.1	580.9	17	598.7	23	−0.3	2.6	−0.2	0.4	−9.0	1	9.2	24	73	72	82	76	12	23
Mai	591.5	581.8	21	601.0	28	2.7	5.2	2.6	3.1	−6.0	8	18.0	28	75	76	83	78	32	9
Juni	590.3	582.7	7	596.9	12	4.5	7.1	4.1	4.7	−3.0	7	14.0	13	83	82	88	84	55	4
Juli	592.4	585.9	22	596.7	26	7.6	10.3	7.8	8.1	2.0	12	20.2	7	79	82	88	83	37	6
August	594.5	590.8	9	598.4	25. 26	11.0	14.6	11.5	12.0	6.0	1	22.6	23	72	71	75	73	32	22. 23
September	*593.5	—	—	—	—	*4.5	*7.5	*4.6	*5.2	—	—	—	—	*76	*75	*80	*77	—	—
Oktober	*586.0	—	—	—	—	*−0.7	*2.1	*−0.3	*0.2	—	—	—	—	*80	*77	*84	*80	—	—
November	585.5	570.9	14	593.9	30	−4.3	−2.4	−3.8	−3.7	−11.4	12	3.0	2	82	80	85	82	39	28
Dezember	585.7	571.4	8	593.9	1	−6.3	−4.5	−6.5	−5.9	−17.0	29	2.2	19	60	57	60	59	15	27
Jahr	589.2	568.7	II	601.0	V	−0.4	2.3	−0.2	0.3	−18.5	II	22.6	VIII	76	75	80	77	?	—

Pilatus: Luftdruckwerte zu tief.

Beobachter: **Kloster Wesemlin**

Luzern

Bewölkung				Niederschlag			Zahl der Tage								Windverteilung									1944
7^{30}	13^{30}	21^{30}	Mittel	Summe	Maximum	Tag	●	●≥1.0	✶	▲	⛆	≡	heiter	trüb	N	NE	E	SE	S	SW	W	NW	Calmen	
7.5	6.1	8.1	7.2	46	7	10	11	11	5	—	—	11	3	13	20	2	3	25	7	4	5	6	21	Januar
9.9	8.9	8.9	9.2	136	73	29	17	11	15	—	—	7	—	27	31	11	2	4	3	2	2	14	18	Februar
8.6	6.9	7.8	7.8	63	14	31	19	17	15	—	2	1	2	18	21	8	1	17	6	—	4	6	30	März
6.6	5.7	6.4	6.2	61	22	9	9	7	—	1	2	—	5	9	25	7	5	19	6	1	2	6	19	April
6.3	5.5	6.3	6.0	45	12	14	11	10	—	—	—	1	7	13	38	13	7	12	1	1	5	8	8	Mai
6.6	7.4	7.7	7.2	177	32	17	16	14	—	1	4	—	1	12	24	7	9	16	2	1	4	3	24	Juni
6.1	6.4	6.7	6.4	108	23	3	14	11	—	—	3	—	6	12	19	5	7	17	4	3	4	7	27	Juli
6.0	5.0	5.5	5.5	250	111	24	11	10	—	1	6	3	4	7	31	11	8	22	2	—	—	5	14	August
7.2	7.3	6.0	6.8	119	26	2	16	16	—	—	1	5	3	12	15	6	6	26	3	1	4	7	22	September
8.2	7.8	7.8	7.9	81	18	18	16	15	—	—	1	5	—	17	22	6	1	15	2	1	6	10	30	Oktober
8.2	8.3	8.3	8.3	163	41	8	20	20	8	—	—	9	—	20	15	6	2	20	2	6	10	4	25	November
8.8	8.2	7.7	8.2	54	18	7	13	9	7	—	—	5	—	19	18	13	1	10	3	1	3	12	32	Dezember
7.5	7.0	7.3	7.2	1303	111	VIII	173	151	50	3	19	47	31	179	279	95	52	203	41	21	49	88	270	Jahr

Beobachter: **A. Wyss**

Walchwil

7.8	7.1	6.7	7.2	61	14	10	10	10	2	—	—	3	4	16	3	—	—	—	—	—	3	3	84	Januar
9.8	8.4	7.7	8.6	*130	45	29	*16	*13	*14	—	—	1	—	22	4	7	—	—	—	—	6	—	70	Februar
7.7	7.5	7.2	7.5	73	?	—	*19	*14	*15	—	1	—	4	19	5	5	2	—	—	—	5	3	73	März
6.3	5.5	5.7	5.8	75	31	18	8	7	—	—	1	—	6	12	4	1	5	1	1	1	1	2	74	April
5.6	5.5	5.3	5.5	60	?	—	10	7	—	—	—	—	8	11	1	7	5	—	—	—	4	6	70	Mai
6.3	6.7	6.7	6.6	202	37	10	16	14	—	—	2	—	2	10	6	1	—	—	—	—	—	4	79	Juni
6.5	5.6	5.9	6.0	112	?	—	12	12	—	—	2	—	5	11	—	—	—	—	—	—	—	—	—	Juli
5.1	3.5	3.8	4.1	122	31	16	11	10	—	—	3	—	8	2	—	—	—	—	—	—	—	—	—	August
6.8	7.1	6.0	6.6	154	28	1	16	15	—	—	—	—	4	12	—	—	—	—	—	—	—	—	—	September
7.3	7.6	7.3	7.4	90	12	19	15	14	—	—	—	—	3	18	6	6	—	—	—	—	7	2	72	Oktober
7.0	7.8	7.5	7.4	158	48	8	18	15	6	—	—	—	5	18	4	1	2	—	—	—	14	4	65	November
8.3	6.9	6.5	7.2	61	20	7	10	8	3	—	—	—	2	16	—	—	—	—	—	—	—	—	—	Dezember
7.0	6.6	6.4	6.7	1298	48	XI	161	139	40	—	9	4	51	167	—	—	—	—	—	—	—	—	—	Jahr

Beobachter: **J. Wiget**

Rigi-Kulm

6.2	5.6	6.2	6.0	90	25	10	14	12	14	—	—	14	8	13	—	1	2	6	--	26	44	—	14	Januar
7.8	7.4	7.5	7.6	183	37	29	14	14	14	—	—	22	3	18	4	6	16	5	9	8	26	—	13	Februar
7.9	8.0	8.3	8.1	153	23	31	23	20	23	—	2	21	2	21	—	1	19	—	1	14	43	1	14	März
7.1	7.2	7.2	7.2	117	33	18	11	9	8	—	2	12	2	13	1	1	12	7	12	5	21	2	29	April
6.5	6.4	7.4	6.8	103	28	21	12	10	7	—	—	11	2	13	—	2	7	10	6	15	31	—	22	Mai
7.3	8.2	7.8	7.8	329	56	10	19	15	5	—	2	19	—	16	—	2	8	2	3	13	38	2	22	Juni
6.8	7.3	7.5	7.2	306	41	11	17	15	—	—	2	16	2	15	1	—	—	2	7	11	41	3	28	Juli
4.5	5.4	6.9	5.6	198	47	31	14	10	—	2	7	8	2	5	—	6	12	7	9	6	27	1	25	August
6.1	7.0	7.0	6.7	241	52	2	18	17	4	—	—	18	4	13	—	—	12	2	6	10	35	—	25	September
7.5	7.4	7.8	7.6	107	21	1	19	14	11	—	—	15	—	14	1	2	4	18	13	5	35	—	15	Oktober
7.8	8.3	8.5	8.2	238	44	23	21	18	19	—	—	18	1	22	—	—	3	5	1	12	64	—	5	November
5.9	6.4	6.1	6.1	86	21	4	12	11	12	—	—	14	6	12	1	3	26	4	7	11	36	—	5	Dezember
6.8	7.1	7.4	7.1	2151	56	VI	194	165	117	2	15	188	32	175	8	24	121	68	74	136	441	9	217	Jahr

Beobachter: **Pilatusbahn**

Pilatus-Kulm

4.9	4.9	4.3	4.7	84	18	4	14	12	14	—	—	13	11	8	—	4	—	14	6	66	1	—	2	Januar
7.0	6.7	6.2	6.6	189	43	29	14	14	14	—	—	19	5	16	4	29	4	15	—	32	—	1	2	Februar
8.3	7.8	7.2	7.8	265	57	31	22	21	22	—	1	22	3	18	11	9	2	13	2	56	—	—	—	März
7.1	6.6	7.1	6.9	133	46	25	13	9	11	—	1	12	2	13	7	9	—	10	4	48	—	9	3	April
5.6	7.0	5.7	6.1	54	16	22	12	9	9	—	1	18	6	13	4	7	2	23	12	33	—	2	10	Mai
5.9	7.4	6.6	6.6	212	45	17	18	18	5	3	6	19	2	12	—	—	11	15	24	9	2	—	29	Juni
6.5	8.5	7.3	7.4	160	26	28	17	16	—	—	—	23	1	13	3	—	5	1	8	48	20	—	8	Juli
4.6	6.4	5.2	5.4	175	39	6	11	11	—	2	6	10	4	3	10	6	3	8	16	31	10	1	8	August
*6.0	*7.0	*7.0	*6.7	136	16	2	16	16	*4		—	*18	*4	*13	--	--	--	--	--	--	--	--	--	September
*7.3	*7.4	*7.8	*7.5	142	40	1	16	16	*10	—	—	*15	* —	*14	—	—	—	—	—	—	—	—	—	Oktober
7.4	8.3	8.1	7.9	229	29	8	22	22	21	—	—	22	2	20	—	5	—	3	1	63	6	11	1	November
5.9	5.4	4.5	5.3	107	28	4	12	12	12	—	—	14	8	10	9	12	1	10	—	52	3	4	2	Dezember
6.4	7.0	6.4	6.6	1886	57	III	187	176	122	5	15	205	48	153	—	—	—	—	—	—	—	—	—	Jahr

Sarnen

$\lambda = 8° 15'$, $\beta = 46° 54'$, $H_b = \text{ca. } 474^m$, $G = -0.03$ m/m, $h_r = 1.7^m$

1944	Luftdruck					Luft-Temperatur								Relative Feuchtigkeit					
	Mittel	Minimum	Tag	Maximum	Tag	7^{30}	13^{30}	21^{30}	Mittel	Minimum	Tag	Maximum	Tag	7^{30}	13^{30}	21^{30}	Mittel	Minimum	Tag
Januar	727.7	713.8	25	736.1	15	−0.5	3.2	0.5	0.9	−9.8	6	9.8	25	94	76	88	86	44	24
Februar	717.9	698.4	28	731.3	6	−2.6	0.3	−1.7	−1.4	−7.4	17	10.2	3	89	73	85	82	56	7. 15
März	720.1	708.0	30	730.2	25	−0.2	4.5	1.0	1.6	−4.6	6	12.0	29	87	61	83	77	38	29
April	721.4	706.9	17	730.2	23	7.1	14.3	9.3	10.0	0.2	1	20.4	17	88	50	76	71	32	17
Mai	722.1	709.3	20	730.3	26	10.3	16.5	11.8	12.6	4.8	9	26.8	30	84	54	79	72	30	3
Juni	719.2	712.7	10	726.3	12	14.0	18.6	14.4	15.3	8.8	17	24.0	29	84	59	87	77	45	15
Juli	720.2	715.4	21	724.5	16	16.3	21.2	17.3	18.0	12.7	4	27.3	26	87	60	86	78	45	2
August	721.3	715.7	21	725.8	12. 26	17.2	24.6	18.8	19.8	11.5	9	28.3	24	93	57	90	80	43	22
September	723.0	714.6	7	727.7	12	11.7	17.0	12.6	13.5	3.2	30	23.1	2	96	67	95	86	43	4
Oktober	716.8	710.8	16	725.4	3	6.9	11.2	7.8	8.4	−0.3	29	15.6	7	98	67	96	87	50	4. 20
November	718.4	701.4	14	730.1	30	2.5	5.9	3.8	4.0	−3.5	12	13.4	24	93	74	91	86	50	6
Dezember	720.6	702.0	8	729.9	21	−0.8	1.6	−0.6	−0.1	−7.4	28	12.2	4	89	77	89	85	47	4
Jahr	720.7	698.4	II	736.1	I	6.8	11.7	7.9	8.6	−9.8	I	28.3	VIII	90	64	87	80	30	V

Engelberg

Die Abendbeobachtung erfolgt um 20^{30} h. $\lambda = 8° 25'$, $\beta = 46° 49'$, $H_b = 1017.8^m$, $G = -0.12$ m/m, $h_r = 1.6^m$

Januar	680.2	668.3	25	687.4	15	−2.8	1.0	−2.0	−1.4	−13.5	6	7.2	30	73	60	71	68	35	30
Februar	670.4	651.9	28	683.3	6	−6.2	−2.2	−5.0	−4.7	−13.3	20	7.5	3	78	66	77	74	30	28
März	672.9	663.3	13	682.0	25	−3.8	0.6	−2.3	−2.0	−9.7	8	9.3	30	76	63	74	71	31	24
April	675.5	664.5	17	683.9	23	3.3	10.0	5.5	6.0	−3.1	1	17.8	24	72	51	62	62	36	12
Mai	676.4	665.8	21	684.3	26	6.7	12.7	9.4	9.2	0.1	9	23.6	30	74	53	65	64	32	30
Juni	674.2	668.4	7	680.8	12	10.0	14.0	11.1	11.2	3.7	18	20.7	29	77	60	76	71	37	29
Juli	675.5	670.0	22	679.5	16	12.4	16.8	14.1	13.9	7.5	6	23.3	7. 26	78	59	77	71	37	7
August	677.1	672.6	21	681.1	12	13.9	21.0	16.4	16.7	9.7	8	27.1	23	75	53	74	67	30	15
September	677.6	671.0	7	681.3	12	8.5	13.4	9.6	10.2	0.1	30	19.3	5	88	77	92	86	37	5
Oktober	671.3	665.5	30	678.4	3	3.8	7.2	4.8	5.1	−2.3	29	13.4	16	94	79	92	88	33	7
November	672.1	657.2	14	682.2	30	−0.4	2.4	0.8	0.7	−8.5	12	8.2	7	90	79	90	86	45	1
Dezember	673.4	656.7	8	681.8	1	−4.6	−1.9	−4.3	−3.7	−14.1	30	8.1	4	80	71	78	76	34	27. 28
Jahr	674.7	651.9	II	687.4	I	3.4	7.9	4.8	5.1	−14.1	XII	27.1	VIII	80	64	77	74	30	II VIII

Engelberg: Beobachterwechsel im März

Altdorf

$\lambda = 8° 39'$, $\beta = 46° 53'$, $H_b = 456.3^m$, $G = -0.05$ m/m, $h_r = 1.5^m$

Januar	729.4	715.3	25	737.5	15.16	−0.3	3.2	0.3	0.9	−8.7	6	7.2	29. 28	86	71	83	80	33	24. 26
Februar	719.4	699.3	28	733.3	6	−2.8	0.4	−1.6	−1.4	−8.8	7	9.8	3	79	66	77	74	32	28
März	721.6	708.8	30	732.2	25	−0.1	4.1	1.2	1.6	−6.2	8	12.2	30	80	57	73	70	32	29
April	722.9	709.9	17	732.1	23	8.3	14.6	10.2	10.8	1.9	2	20.7	16.17	73	43	63	60	26	14
Mai	723.5	711.2	20	731.9	26	10.6	16.4	12.6	13.0	5.2	9	26.5	31	80	49	70	66	26	3
Juni	720.6	713.8	19	727.0	15	13.5	18.4	14.2	15.1	9.3	7	23.4	5	82	56	83	74	39	15
Juli	721.7	715.5	22	726.0	16	16.1	20.6	17.2	17.8	12.3	12	26.3	26	84	56	80	73	40	8
August	722.6	716.9	21	727.4	26	18.1	25.2	19.8	20.7	14.2	5	30.1	21	81	48	78	69	27	21
September	724.4	715.1	7	728.9	11	12.1	17.3	12.9	13.8	4.1	30	25.9	2	88	60	87	78	31	6
Oktober	718.2	711.7	16	726.8	3	7.3	11.5	8.3	8.8	0.1	29	18.7	7	89	61	87	79	30	7
November	720.0	703.5	14	732.4	30	2.7	6.1	3.6	4.0	−3.0	28	14.9	20	85	66	81	77	29	20
Dezember	722.3	703.8	8	731.8	1	0.2	2.5	0.2	0.8	−7.8	30	9.8	17	75	67	77	73	25	17
Jahr	722.2	699.3	II	737.5	I	7.1	11.7	8.2	8.8	−8.8	II	30.1	VIII	82	58	78	73	25	XII

Göschenen

$\lambda = 8° 35'$, $\beta = 46° 40'$, $H_b = 1107.2^m$, $G = -0.16$ m/m, $h_r = 2.7^m$

Januar	672.6	660.5	25	680.1	15	−1.2	0.5	−0.7	−0.5	−11.6	6	4.4	23	72	67	71	70	40	24
Februar	662.4	646.6	28	674.8	1	−5.2	−2.2	−4.8	−4.2	−12.4	21	6.2	2. 3	81	76	86	81	43	1
März	664.8	654.5	13	675.0	25	−3.6	−0.5	−3.1	−2.6	−9.8	7	6.0	30	85	79	87	84	48	19
April	668.4	658.8	17	676.8	23	4.9	9.0	5.6	6.3	−3.6	1	14.6	24	75	65	75	72	48	24
Mai	669.0	661.0	22	677.1	26	7.6	12.6	8.7	9.4	1.2	8	23.5	30	77	67	77	74	52	29
Juni	666.9	660.6	7	674.2	12	10.6	15.1	11.2	12.0	5.0	7	21.4	5	79	65	81	75	52	10
Juli	668.4	662.6	22	671.5	26	13.4	17.3	13.6	14.5	8.2	12	23.4	7	80	67	81	76	52	2
August	670.1	666.9	9	674.4	26	15.8	20.9	16 9	17.6	11.0	5	27.2	23	73	64	78	72	52	20
September	670.4	665.0	24	674.5	16	10.4	13.7	11.0	11.5	3.2	30	20.4	5	76	73	79	76	52	4
Oktober	663.7	656.0	27	670.9	3	5.3	7.8	5.8	6.2	−0.4	31	13.4	6	81	72	83	79	52	12
November	664.6	650.0	15	675.4	30	0.9	2.4	1.5	1.6	−5.0	12	9.4	2	77	74	80	77	51	19
Dezember	666.0	651.2	8	674.8	1	−2.8	−1.0	−2.1	−2.0	−12.0	30	7.4	19	75	70	71	72	51	26
Jahr	667.3	646.6	II	680.1	I	4.7	8.0	5.3	5.8	−12.4	II	27.2	VIII	78	70	79	76	40	I

Beobachter: P. Ch. Durrer

Sarnen

Bewölkung 7^{30}	13^{30}	21^{30}	Mittel	Niederschlag Summe	Maximum	Tag	Zahl der Tage •/*	•* ≥1.0	*	▲	☈	≡	heiter	trüb	Windverteilung N	NE	E	SE	S	SW	W	NW	Calmen	1944
7.6	5.6	6.2	6.5	39	9	4	11	7	2	—	—	6	4	15	—	18	—	—	—	8	—	—	67	Januar
9.4	8.2	8.8	8.8	115	49	29	14	12	11	—	—	2	—	23	—	26	—	—	—	7	—	—	54	Februar
7.9	7.1	7.0	7.3	66	13	31	17	16	14	—	—	—	2	19	—	30	—	—	—	2	—	—	61	März
6.0	5.2	5.1	5.4	64	22	18	9	8	—	—	1	—	4	5	—	35	—	—	—	1	—	—	54	April
5.5	5.5	5.7	5.6	41	14	31	9	8	—	—	1	—	5	8	—	36	—	—	—	3	—	—	54	Mai
5.0	6.8	7.1	6.6	127	17	10	19	17	—	—	4	—	1	8	—	30	—	—	—	2	—	—	58	Juni
6.2	6.6	6.6	6.5	122	41	3	12	12	—	—	—	—	1	9	—	28	—	—	—	4	—	—	61	Juli
5.3	5.2	5.3	5.3	100	34	31	12	9	—	1	8	—	3	2	—	29	—	—	—	—	—	—	64	August
7.3	7.2	5.8	6.8	105	18	2	19	18	—	—	2	1	2	11	—	26	—	—	—	5	—	—	59	September
8.4	6.9	7.7	7.7	95	16	1	18	15	—	—	1	1	—	14	—	25	—	—	—	1	—	—	67	Oktober
7.8	7.4	7.7	7.6	159	25	7	18	17	9	—	—	1	—	19	—	21	—	—	—	10	—	—	59	November
8.5	8.3	7.2	8.0	59	21	4	10	10	3	—	—	2	1	19	—	20	—	—	—	3	—	—	70	Dezember
7.2	6.7	6.7	6.8	1092	49	II	168	149	39	1	17	13	23	152	—	324	—	—	—	46	—	—	728	Jahr

Beobachter: P. N. Kaeser, P. A. Jenny

Engelberg

Bewölkung 7^{30}	13^{30}	21^{30}	Mittel	Niederschlag Summe	Maximum	Tag	Zahl der Tage •/*	•* ≥1.0	*	▲	☈	≡	heiter	trüb	Windverteilung N	NE	E	SE	S	SW	W	NW	Calmen	1944
5.1	3.9	3.8	4.3	88	20	4	12	12	7	—	—	1	14	7	—	11	—	10	—	6	—	7	59	Januar
8.8	7.8	8.5	8.4	233	35	29	16	14	15	—	—	1	3	23	—	12	—	10	—	35	—	6	24	Februar
8.1	7.6	7.3	7.7	187	30	31	23	20	21	—	—	2	3	19	—	6	—	11	—	38	—	10	28	März
6.4	5.7	6.7	6.3	83	30	25	10	8	—	—	2	1	5	13	—	12	—	14	—	33	—	10	21	April
5.5	5.9	6.5	6.0	77	17	21	12	11	1	—	1	3	5	10	—	3	—	16	—	39	—	6	29	Mai
6.1	7.9	7.9	7.3	204	32	17	19	16	—	—	2	—	1	13	—	11	—	24	—	27	—	13	15	Juni
6.6	7.1	7.7	7.1	157	25	21	15	14	—	—	3	1	4	16	—	12	—	10	—	24	—	17	30	Juli
4.5	5.8	5.8	5.4	100	26	6	11	10	—	—	3	1	3	5	—	14	—	14	—	23	—	14	28	August
5.4	7.3	6.7	6.5	145	30	2	18	14	—	—	2	4	5	12	1	8	—	15	—	31	—	14	21	September
7.6	7.2	7.5	7.4	155	28	1	23	18	3	—	2	3	2	17	—	14	—	16	—	21	—	13	29	Oktober
6.7	7.6	7.5	7.3	320	44	23	19	18	11	—	—	4	5	17	—	18	—	25	—	13	—	13	21	November
6.9	6.2	5.8	6.3	120	33	4	12	12	11	—	—	2	6	14	—	10	—	22	—	15	—	6	40	Dezember
6.5	6.7	6.8	6.7	1869	44	XI	190	167	69	—	15	23	56	166	1	131	—	187	—	305	—	129	345	Jahr

Beobachter: **Frl. H. Nager**

Altdorf

Bewölkung 7^{30}	13^{30}	21^{30}	Mittel	Niederschlag Summe	Maximum	Tag	Zahl der Tage •/*	•* ≥1.0	*	▲	☈	≡	heiter	trüb	Windverteilung N	NE	E	SE	S	SW	W	NW	Calmen	1944
8.2	6.2	7.0	7.1	78	22	26	12	12	4	—	—	4	3	17	—	2	1	1	—	—	—	7	82	Januar
9.8	8.5	8.9	9.1	154	32	29	14	12	12	—	—	2	—	25	4	2	1	2	2	—	—	17	59	Februar
8.5	7.6	8.5	8.2	102	17	31	19	16	13	—	—	—	3	20	2	2	3	1	1	1	1	22	60	März
6.1	6.0	5.9	6.0	50	19	25	10	5	—	—	2	—	5	9	3	—	—	5	7	1	—	15	59	April
5.7	6.3	6.4	6.1	67	28	21	12	11	—	—	2	—	6	12	1	2	—	4	—	1	—	20	65	Mai
6.5	8.0	8.3	7.6	136	28	17	19	15	—	—	2	—	1	13	1	1	1	—	1	—	2	17	67	Juni
6.8	6.7	7.8	7.1	136	29	21	16	14	—	—	2	—	3	16	—	—	2	3	—	—	4	18	66	Juli
5.2	5.5	7.0	5.9	48	21	31	11	9	—	—	1	—	4	5	2	—	1	4	1	1	—	22	62	August
5.9	6.6	6.2	6.2	117	26	2	16	15	—	—	1	—	5	14	—	—	1	2	—	1	2	15	69	September
8.3	7.4	8.1	7.9	105	23	1	19	16	—	—	—	—	—	18	1	—	1	4	1	—	2	14	70	Oktober
7.5	7.7	7.7	7.6	219	38	23	18	17	8	—	—	—	2	19	2	1	5	1	—	—	—	13	68	November
8.3	7.8	6.9	7.7	73	26	4	10	9	2	—	—	3	1	18	—	—	5	8	3	—	1	4	72	Dezember
7.2	7.0	7.4	7.2	1285	38	XI	176	151	39	—	10	9	33	186	16	10	21	35	16	5	12	184	799	Jahr

Beobachter: O. Lendenmann

Göschenen

Bewölkung 7^{30}	13^{30}	21^{30}	Mittel	Niederschlag Summe	Maximum	Tag	Zahl der Tage •/*	•* ≥1.0	*	▲	☈	≡	heiter	trüb	Windverteilung N	NE	E	SE	S	SW	W	NW	Calmen	1944
5.0	4.5	4.0	4.5	102	29	26	11	10	8	—	—	1	12	10	15	—	—	—	41	—	—	—	42	Januar
8.3	7.1	6.9	7.4	230	35	8	15	14	13	—	—	—	2	16	22	—	—	—	31	—	—	—	34	Februar
7.4	7.0	5.9	6.8	220	37	21	19	17	19	—	—	—	4	13	35	—	—	—	15	—	—	—	43	März
6.5	6.3	5.5	6.1	48	9	9	11	10	2	—	—	—	7	11	20	—	—	—	36	—	—	—	34	April
5.7	5.4	5.7	5.6	49	14	21	8	8	—	—	—	—	7	10	27	—	—	—	26	—	—	—	40	Mai
7.2	7.4	7.6	7.4	46	?	—	13	12	—	—	—	1	2	14	24	—	—	—	23	—	—	—	43	Juni
7.5	7.4	7.2	7.4	130	44	3	12	11	—	—	—	—	4	17	22	—	—	—	13	—	—	—	58	Juli
4.5	5.7	6.3	5.5	46	10	15	11	10	—	—	1	1	8	8	22	—	—	—	27	—	—	—	44	August
6.4	7.5	7.1	7.0	96	25	7	13	13	—	—	1	4	3	17	23	—	—	—	28	—	—	—	39	September
8.3	7.7	8.7	8.2	143	21	8	20	17	3	—	—	12	1	21	17	—	—	—	26	—	—	—	50	Oktober
7.0	6.9	6.5	6.8	243	57	7	16	16	10	—	—	2	6	19	14	—	—	—	35	—	—	—	41	November
5.7	6.2	3.0	5.0	95	33	4	9	9	9	—	—	2	9	8	5	—	—	—	51	—	—	—	37	Dezember
6.6	6.6	6.2	6.5	1448	57	XI	158	147	64	—	2	23	65	164	241	—	—	—	352	—	—	—	505	Jahr

St. Gotthard

$\lambda = 8°34'$, $\beta = 46°33'$, $H_b = 2095.7^m$, $G = -0.25$ $^m/_m$, $h_r = 1.8^m$

1944	Luftdruck					Luft-Temperatur								Relative Feuchtigkeit					
	Mittel	Minimum	Tag	Maximum	Tag	7^{30}	13^{30}	21^{30}	Mittel	Minimum	Tag	Maximum	Tag	7^{30}	13^{30}	21^{30}	Mittel	Minimum	Tag
Januar	594.4	583.2	25	602.1	17	−6.2	−3.8	−5.6	−5.3	−15.6	5	4.7	31	51	48	51	50	5	16
Februar	583.9	572.1	29	598.2	1	−11.0	−8.4	−11.4	−10.6	−17.7	18	2.8	3	69	63	75	69	18	1
März	586.2	577.2	13	594.2	18	−9.3	−6.0	−9.6	−8.6	−15.4	4. 6	2.4	19	75	63	77	72	15	17
April	592.2	584.8	17	601.0	23	−2.1	0.8	−1.8	−1.2	−10.6	1	7.4	24	73	61	77	70	10	23
Mai	593.5	584.5	21	602.4	28	1.3	5.0	0.5	1.8	−7.0	24	15.0	31	61	52	67	60	5	9
Juni	592.1	584.7	7	598.8	12	4.3	7.2	3.6	4.7	−2.5	17	13.0	13	80	78	95	84	20	1
Juli	594.2	587.7	22	599.1	26	6.7	11.0	7.2	8.0	2.0	12	17.0	26	84	78	92	85	42	6
August	597.0	593.5	2	601.2	26	10.0	14.6	10.6	11.4	5.2	1	22.4	23	80	73	88	80	30	23
September	595.4	588.7	28	599.8	12	3.4	6.9	4.6	4.9	−4.0	30	12.0	1. 15	88	86	92	89	40	30
Oktober	588.3	582.0	30	593.9	7	−1.7	0.3	−1.3	−1.0	−8.2	28	5.0	1. 16	91	88	93	91	51	4
November	587.7	573.7	15	595.9	30	−6.3	−3.9	−6.0	−5.6	−13.6	27	3.0	18	80	79	84	81	32	28
Dezember	588.3	573.4	8	596.0	1	−9.3	−7.4	−10.0	−9.2	−18.0	30	−0.8	2	73	74	73	73	15	27
Jahr	591.1	572.1	II	602.4	V	−1.7	1.4	−1.5	−0.9	−18.0	XII	22.4	VIII	75	70	80	75	5	I V

Jura

Basel (Binningen)

$\lambda = 7° 35'$, $\beta = 47° 33'$, $H_b = 317.3^m$, $G = 0.11$ $^m/_m$, $h_r = 1.5^m$

Januar	741.8	728.2	25	749.9	15	1.0	5.1	2.2	2.6	−7.8	6	12.2	23	88	72	86	82	35	23
Februar	732.8	713.5	28	745.6	6	−2.0	1.0	−1.1	−0.8	−9.6	25	13.8	3	87	72	84	81	50	26
März	734.7	722.5	30	744.5	25	−0.2	6.1	2.3	2.6	−5.3	5	16.2	29	88	63	77	76	31	29
April	735.5	723.1	17	744.3	22	7.8	15.7	10.1	10.9	−0.2	1	24.2	24	80	52	74	69	26	24
Mai	736.2	723.5	20	744.1	26	10.6	18.6	12.0	13.3	4.4	7. 9	29.8	30	74	50	74	66	26	3
Juni	733.1	726.3	10	740.0	12	13.9	20.5	14.0	15.6	9.2	17	28.3	1	81	59	85	75	39	29
Juli	734.0	728.0	22	738.1	24	16.6	23.1	17.0	18.4	12.6	13	30.9	26	81	58	83	74	37	17
August	734.8	729.3	21	739.4	25	18.1	27.2	19.8	21.2	15.0	3	34.1	23	83	53	83	73	35	13
September	736.8	728.0	7	742.2	11	11.8	17.9	13.0	13.9	3.4	30	27.8	5	90	69	89	83	37	5
Oktober	731.0	724.4	16	739.7	3	6.7	11.9	8.0	8.6	−1.6	29	19.8	18	93	74	89	85	51	17
November	732.4	715.2	14	745.1	30	3.6	7.1	4.8	5.1	−2.5	27	17.8	20	89	75	86	83	43	20
Dezember	734.9	713.6	7	745.2	21	−0.5	2.6	0.1	0.6	−9.0	25	10.2	4	86	74	84	81	53	17
Jahr	734.8	713.5	II	749.9	I	7.3	13.1	8.5	9.3	−9.6	II	34.1	VIII	85	64	83	77	26	IV V

Basel: H_h bisher mit 318 m angegeben, wurde genauer bestimmt.

La Chaux-de-Fonds

$\lambda = 6° 50'$, $\beta = 47° 7'$, $H_b = 989.9^m$, $G = -0.03$ $^m/_m$, $h_r = 1.3^m$

Januar	682.6	671.1	25	689.2	15	−2.3	2.4	−0.7	−0.3	−14.9	6	10.2	31	86	72	85	81	35	31
Februar	672.8	655.4	28	684.8	6	−6.3	−2.5	−5.6	−5.0	−16.6	20	6.7	1	88	77	88	84	42	25
März	675.4	664.7	30	684.2	25	−3.8	0.9	−2.3	−1.9	−11.5	16	9.9	19. 30	85	66	80	77	33	26
April	677.7	665.7	17	686.1	23	4.9	10.5	6.5	7.1	−3.5	1	19.1	24	76	54	75	68	29	24
Mai	678.7	667.7	20	686.8	26	7.7	13.2	8.7	9.6	1.0	7	24.5	28	73	53	66	64	37	18
Juni	676.4	670.3	7	684.3	12	10.8	14.8	11.0	11.9	5.3	17	22.1	29	75	57	78	70	35	29
Juli	677.8	672.1	22	681.4	16	13.1	17.8	14.0	14.7	8.1	12	26.3	26	77	58	75	70	35	26
August	679.1	674.0	21	683.8	12	15.2	22.1	17.2	17.9	11.5	8. 10	31.3	23	80	55	74	70	40	8. 13
September	679.8	673.5	7	684.9	11	9.2	13.9	9.8	10.7	0.4	30	21.9	5	83	64	86	78	30	4. 5
Oktober	673.3	667.4	30	680.8	3	3.8	7.2	4.7	5.1	−3.1	29	13.9	12	88	73	83	81	43	12. 20
November	674.2	658.0	14	684.7	30	0.8	2.9	1.1	1.5	−7.1	17	9.5	19	91	80	90	87	47	19
Dezember	675.4	657.9	7	684.7	1	−3.1	−0.1	−2.4	−2.0	−11.2	28	5.9	2	80	68	77	75	35	27
Jahr	676.9	655.4	II	689.2	I	4.2	8.6	5.2	5.8	−16.6	II	31.3	VIII	82	65	80	75	29	IV

Neuchâtel

$\lambda = 6° 57'$, $\beta = 47° 0'$, $H_b = 487.3^m$, $G = 0.02$ $^m/_m$, $h_r = 1.3^m$

Januar	727.2	714.2	25	734.9	16	0.6	3.0	1.4	1.6	−8.0	7	8.5	23	90	83	90	88	48	23
Februar	717.4	697.9	28	730.1	6	−2.6	0.3	−1.6	−1.4	−8.8	25	8.0	3	88	76	82	82	60	9
März	719.4	707.1	30	728.3	25	0.4	5.7	2.5	2.8	−4.6	5	13.7	29	79	59	69	69	34	26
April	720.6	706.6	17	729.2	23	7.9	15.1	11.0	11.2	1.2	2	21.0	24	81	53	66	67	39	27
Mai	721.3	708.5	20	729.7	26	10.3	18.1	13.5	13.8	5.5	9	28.0	28.30	78	50	61	63	26	3
Juni	718.5	712.6	7	725.3	12	13.7	19.5	15.0	15.8	9.0	17	24.5	13.29	82	58	72	71	41	29
Juli	719.6	713.9	22	723.4	16. 31	15.7	22.3	18.0	18.5	12.1	4	28.5	7	84	58	69	70	37	20
August	720.5	715.0	21	725.1	26	18.0	26.9	21.4	21.9	14.5	8	34.7	23	86	54	68	69	35	23
September	722.4	714.3	7	726.8	10	12.3	17.0	13.3	14.0	4.7	30	24.5	6	91	74	85	83	56	5
Oktober	716.2	710.5	16	724.6	3	7.0	11.0	8.0	8.5	1.1	29	16.6	8	91	77	87	85	53	17
November	718.0	700.8	14	729.3	30	3.2	5.9	4.0	4.3	−1.8	28	14.5	20	91	82	88	87	56	26
Dezember	719.9	700.8	8	729.0	1	−0.5	1.5	0.0	0.3	−7.1	28	8.4	4	87	80	85	84	64	3.31
Jahr	720.1	697.9	II	734.9	I	7.2	12.2	8.9	9.3	−8.8	II	34.7	VIII	86	67	77	77	26	V

Beobachter: **Frl. F. Lombardi**

St. Gotthard

Bewölkung				Niederschlag			Zahl der Tage								Windverteilung									1944
7^{30}	13^{30}	21^{30}	Mittel	Summe	Maximum	Tag	● *	●* ≧1	*	▲	⛆	≡	heiter	trüb	N	NE	E	SE	S	SW	W	NW	Calmen	
3.9	3.5	4.2	3.9	141	34	4	12	11	12	—	—	13	13	8	21	36	1	1	5	—	2	3	24	Januar
6.7	5.8	6.6	6.4	401	54	28	19	19	19	—	—	20	5	14	44	6	2	7	10	1	1	2	14	Februar
6.3	6.5	6.7	6.5	283	37	31	23	21	23	—	—	20	4	15	61	10	—	—	3	—	—	5	14	März
6.1	5.6	6.8	6.2	164	74	16	16	14	15	—	—	20	4	11	38	2	—	3	16	—	—	2	29	April
6.0	5.5	6.2	5.9	75	15	17	13	11	10	—	—	19	9	13	42	6	—	—	27	—	2	—	16	Mai
5.7	6.8	8.7	7.1	111	36	26	18	16	4	—	1	20	—	11	44	4	—	6	8	1	2	2	23	Juni
5.9	6.3	8.0	6.7	186	56	3	13	9	1	—	1	16	2	13	42	5	—	1	20	1	1	5	18	Juli
4.6	5.6	7.7	6.0	91	19	31	15	12	—	—	4	17	4	9	15	7	—	7	24	1	—	2	37	August
6.2	7.0	7.9	7.0	208	40	7	24	20	4	1	2	24	3	14	29	4	3	10	5	—	1	1	37	September
7.9	7.4	8.0	7.8	345	33	9	26	25	21	1	1	27	—	18	19	9	2	7	9	—	—	1	46	Oktober
6.1	6.4	6.5	6.3	296	43	7	20	19	20	—	—	16	8	16	25	10	1	4	5	—	—	5	40	November
4.4	4.8	4.5	4.6	150	32	4	14	11	14	—	—	11	12	8	33	5	5	9	5	2	—	—	34	Dezember
5.8	5.9	6.8	6.2	2451	74	IV	213	188	143	2	9	223	64	150	413	104	14	55	137	6	9	28	332	Jahr

Jura

Beobachter: **Astronom.-Meteorol. Anstalt**

Basel (Binningen)

7.5	7.3	7.0	7.3	40	10	26	11	9	2	—	—	6	2	14	5	3	21	8	9	19	10	4	14	Januar
8.6	8.7	8.2	8.5	63	20	2	15	12	12	—	1	2	3	22	3	9	12	9	—	11	15	15	13	Februar
7.8	8.4	6.3	7.5	27	6	13	11	7	9	—	—	1	3	16	12	2	8	3	10	17	18	12	11	März
7.0	7.1	5.5	6.5	30	13	8	9	4	—	—	—	1	1	13	15	2	14	6	4	13	12	10	14	April
5.3	5.4	4.8	5.2	40	15	20	7	6	—	—	2	1	7	9	7	5	8	5	15	13	17	10	13	Mai
7.6	6.3	6.1	6.7	74	18	10	13	12	—	—	3	—	2	13	6	6	5	8	15	13	12	14	11	Juni
6.2	6.4	5.9	6.2	98	29	8	12	9	—	—	4	—	4	12	5	5	4	3	14	17	16	12	17	Juli
5.5	5.1	2.1	4.2	124	36	31	8	6	—	1	5	2	6	3	6	8	13	12	6	7	10	4	27	August
8.2	7.1	4.9	6.7	92	21	13	15	13	—	—	1	9	2	11	4	2	16	10	9	8	11	12	18	September
8.7	8.6	6.6	8.0	69	26	16	12	10	—	—	—	10	—	16	1	2	15	7	12	10	13	6	27	Oktober
9.1	9.1	8.2	8.8	136	41	7	18	17	6	—	—	5	—	23	2	1	20	5	7	20	17	6	12	November
7.5	7.0	5.6	6.7	38	9	7	12	11	2	—	—	6	4	14	6	9	19	12	9	10	11	6	11	Dezember
7.4	7.2	5.9	6.9	831	41	XI	143	116	31	1	16	43	34	166	72	54	155	88	110	158	162	111	188	Jahr

Beobachter: **Police locale**

La Chaux-de-Fonds

5.4	6.4	6.2	6.0	127	28	25	14	14	9	—	—	4	9	13	--	—	—	—	—	16	1	—	76	Januar
8.4	7.6	7.3	7.8	211	46	9	17	14	16	—	—	1	4	19	—	1	—	—	—	6	2	1	77	Februar
7.2	6.3	5.9	6.5	85	15	13	13	12	13	—	1	1	6	15	2	9	—	—	—	10	2	1	69	März
6.8	6.0	5.0	5.9	44	13	8	11	7	1	—	1	—	5	11	3	5	1	—	--	4	—	4	73	April
4.1	6.1	3.4	4.5	48	18	20	8	6	—	—	2	2	10	6	1	3	—	—	—	6	1	—	82	Mai
6.2	6.9	5.3	6.1	114	23	10	16	15	—	—	3	2	4	9	1	1	—	—	—	13	3	1	71	Juni
6.3	6.7	4.4	5.8	113	30	3	12	12	—	—	2	—	3	6	—	—	—	—	1	7	—	—	85	Juli
4.0	5.4	2.4	3.9	216	94	31	12	12	—	2	8	—	9	2	—	2	—	—	—	1	—	—	90	August
5.7	7.1	4.4	5.7	196	54	2	18	18	—	—	2	—	7	8	—	—	—	—	—	9	2	1	78	September
7.4	9.0	7.6	8.0	141	40	16	17	16	3	—	—	2	1	19	—	2	1	2	2	10	—	1	75	Oktober
8.8	8.7	7.2	8.2	397	79	7	19	18	10	—	—	5	1	20	—	—	—	—	—	15	4	1	70	November
5.3	5.5	4.4	5.1	173	38	4	13	13	8	—	—	—	10	11	—	2	—	—	2	11	1	1	76	Dezember
6.3	6.8	5.3	6.1	1865	94	VIII	170	157	60	2	19	17	69	139	7	25	2	2	5	108	16	11	922	Jahr

Beobachter: **Observatorium**

Neuchâtel

8.1	8.2	6.9	7.7	53	11	21.28	12	9	3	—	—	6	2	18	—	7	3	1	2	26	11	4	39	Januar
9.0	7.4	7.8	8.1	65	12	9	13	11	11	—	—	3	2	20	1	33	7	—	1	9	12	2	22	Februar
6.7	6.3	6.3	6.4	24	12	13	6	4	6	—	—	—	4	11	5	25	7	2	1	10	15	6	22	März
6.1	5.9	5.2	5.7	25	16	8	7	4	—	—	1	1	4	9	10	8	8	11	2	10	5	1	35	April
5.1	4.8	4.4	4.8	28	17	20	6	4	—	—	1	—	9	8	2	21	10	6	10	13	6	11	14	Mai
5.9	6.2	5.8	6.0	78	20	1	14	11	—	—	2	—	5	8	13	10	14	4	5	21	9	3	11	Juni
5.9	5.6	5.6	5.7	94	27	3	14	12	—	—	5	—	5	8	8	2	6	6	2	17	7	6	39	Juli
5.3	3.8	3.1	4.1	92	36	31	12	9	—	—	6	1	9	2	11	12	14	6	8	11	2	2	27	August
7.5	6.1	5.2	6.3	136	29	2	16	13	—	—	2	—	3	10	1	12	4	2	5	9	12	2	43	September
8.2	8.2	7.4	7.9	108	50	16	16	12	—	—	—	—	1	17	3	16	2	5	2	14	14	3	34	Oktober
9.3	8.0	6.1	7.8	275	62	7	18	18	7	—	1	1	—	17	1	4	1	2	2	26	27	4	23	November
9.5	8.3	7.5	8.4	118	36	11	14	11	5	—	—	1	—	20	2	32	5	—	1	15	18	4	16	Dezember
7.2	6.6	5.9	6.6	1096	62	XI	148	118	32	—	18	13	44	148	57	182	81	45	41	181	130	48	325	Jahr

Chaumont

$\lambda = 6° 49'$, $\beta = 47° 1'$, $H_b =$ ca 1115^m, $G = -0.06$ $^m/_m$, $h_r = 1.3^m$

1944	Luftdruck					Luft-Temperatur								Relative Feuchtigkeit					
	Mittel	Minimum	Tag	Maximum	Tag	7^{30}	13^{30}	21^{30}	Mittel	Minimum	Tag	Maximum	Tag	7^{30}	13^{30}	21^{30}	Mittel	Minimum	Tag
Januar	670.9	659.9	25	677.3	15	−0.8	2.3	0.1	0.4	−9.8	6	10.6	29	80	73	81	78	29	30
Februar	661.5	645.0	28	672.5	1	−5.8	−3.4	−5.3	−5.0	−12.8	22	8.0	1	93	91	92	92	38	1
März	664.0	654.8	30	671.4	25	−3.7	0.0	−2.5	−2.2	−9.0	5	6.8	30	88	77	86	84	51	29
April	666.7	656.6	17	673.8	23	4.5	9.5	5.3	6.2	−5.0	1	17.2	24	85	67	79	77	38	24
Mai	667.0	657.5	20	674.4	28	7.2	12.7	7.6	8.8	0.8	8	24.0	30	80	63	75	73	40	2
Juni	665.1	659.4	7	671.8	12	9.6	13.6	9.6	10.6	4.0	17.18	19.6	29	90	73	86	83	46	29
Juli	666.5	660.8	22	669.9	31	12.1	16.5	12.8	13.5	7.4	4. 12	24.0	26	90	72	87	83	44	26
August	667.8	663.7	21	671.7	25	15.5	20.8	16.5	17.3	11.0	5	28.4	23	89	67	82	79	51	19
September	668.6	662.6	7	672.4	12	8.7	11.7	9.0	9.6	0.8	25	18.2	6	96	87	93	92	64	5. 16
Oktober	662.6	657.3	30	668.9	2. 3	3.2	5.7	3.8	4.1	−1.6	29	10.8	7	96	90	94	93	65	31
November	663.7	650.1	15	672.3	30	0.0	1.5	0.3	0.5	−6.0	12	8.2	23	97	92	96	95	64	4
Dezember	664.0	646.8	8	672.2	1	−3.4	−1.8	−3.2	−2.9	−11.4	24	3.8	2. 4	87	85	86	86	32	27
Jahr	665.7	645.0	II	677.3	I	3.9	7.4	4.5	5.1	−12.8	II	28.4	VIII	89	78	86	84	29	I

Solothurn

$\lambda = 7° 32'$, $\beta = 47° 13'$, $H = 470^m$, $G = —$ $^m/_m$, $h_r = 1.5^m$

Januar	—	—	—	—	—	−0.4	2.6	0.6	0.9	−10.4	7	10.3	28	94	78	91	88	39	5
Februar	—	—	—	—	—	−3.4	0.0	−2.0	−1.9	−12.6	25	9.7	3	86	66	80	77	47	25
März	—	—	—	—	—	−0.2	5.5	1.9	2.3	−5.4	5	14.3	29	82	53	68	68	30	29
April	—	—	—	—	—	8.0	15.6	10.1	10.9	0.7	1	23.2	24	80	44	66	63	26	24
Mai	—	—	—	—	—	10.2	18.1	12.5	13.3	5.1	8	30.0	30	76	43	62	60	28	13.-18 18
Juni	—	—	—	—	—	13.5	20.1	14.3	15.5	8.7	7	27.0	29	77	47	71	65	29	29
Juli	—	—	—	—	—	15.1	22.3	16.8	17.8	12.3	4.12.14	30.4	7	83	53	71	69	30	20
August	—	—	—	—	—	17.4	26.7	19.8	20.9	13.1	10	32.2	13	86	43	73	67	28	8. 13
September	—	—	—	—	—	11.6	17.4	12.4	13.4	2.6	30	26.5	6	90	58	90	80	32	5
Oktober	—	—	—	—	—	6.5	11.5	7.4	8.2	0.0	29	16.0	8	92	62	90	81	36	3
November	—	—	—	—	—	2.1	5.7	3.2	3.6	−4.6	17	12.6	20	94	74	91	86	45	26
Dezember	—	—	—	—	—	−1.3	0.9	−1.2	−0.7	−8.8	26	7.7	4	88	73	82	81	52	10
Jahr	—	—	—	—	—	6.6	12.2	8.0	8.7	−12.6	II	32.2	VIII	86	57	78	74	26	IV

Weißenstein

$\lambda = 7° 30'$, $\beta = 47° 15'$, $H_b = 1285^m$, $G = -0.08$ $^m/_m$, $h_r = 1.5^m$

Januar	658.2	646.3	25	665.4	15	−0.4	1.1	0.0	0.2	−10.4	6	8.9	29	71	69	70	70	11	15
Februar	648.2	631.3	28	660.4	1	−6.5	−5.5	−6.6	−6.3	−14.2	18	5.6	1	88	86	87	87	19	1
März	651.0	641.8	30	659.7	25	−4.6	−2.6	−3.9	−3.8	−10.8	5	4.9	30	84	78	82	81	12	26
April	654.2	643.2	17	662.7	23	3.4	7.4	4.8	5.1	−6.3	1	16.2	24	77	58	68	68	18	23
Mai	655.3	645.1	21	664.0	26	6.0	10.3	7.1	7.6	−2.0	7	22.2	30	71	58	66	65	29	18
Juni	653.2	646.5	7	660.2	12	8.4	11.8	8.7	9.4	2.2	17	19.2	29	80	64	78	74	39	5
Juli	654.8	648.7	22	658.7	16	11.3	14.2	12.1	12.4	5.8	12	23.2	7	80	71	76	76	36	7
August	656.6	652.0	21	660.7	25	14.7	18.7	15.9	16.3	9.9	5	26.2	23	78	60	71	70	28	23
September	656.5	649.9	7	660.4	16	8.2	10.5	8.4	8.9	0.8	25. 29	18.0	6	87	80	87	85	40	5
Oktober	649.6	643.2	30	656.4	3	2.4	4.2	3.1	3.2	−2.8	29	10.3	6	92	85	90	89	48	12
November	650.1	633.4	14	660.5	30	−0.6	0.5	−0.1	−0.1	−6.0	10	8.2	19	90	86	86	87	19	28
Dezember	651.1	634.7	8	659.7	1	−3.7	−2.8	−3.8	−3.5	−11.8	23	4.2	2	79	75	75	76	16	27
Jahr	653.2	631.3	II	665.4	I	3.2	5.6	3.8	4.1	−14.2	II	26.2	VIII	81	72	79	77	11	I

Langenbruck

$\lambda = 7° 46'$, $\beta = 47° 21'$, $H_b = 740.4^m$, $G = 0.02$ $^m/_m$, $h_r = 1.6^m$

Januar	704.5	693.4	25	712.0	15	−1.1	1.6	−0.3	0.0	−11.0	6	6.4	23	83	76	83	81	37	23
Februar	694.7	677.1	28	707.4	6	−4.6	−1.6	−3.5	−3.3	−10.0	26	8.2	3	81	72	80	78	48	25
März	697.1	685.9	30	706.6	25	−1.8	2.6	−0.6	−0.1	−6.8	10	10.0	29	77	59	71	69	32	24
April	699.1	686.3	17	708.0	22	6.7	12.4	7.5	8.5	−1.3	1	20.4	24	73	51	67	64	30	24
Mai	699.9	688.2	20.21	707.9	26	9.9	14.9	10.2	11.3	2.6	7	26.5	30	68	53	65	62	31	3
Juni	697.3	691.1	10	704.7	12	12.9	16.5	11.9	13.3	7.2	17	21.4	29	75	58	74	69	41	25
Juli	698.7	693.2	22	702.5	16	15.7	19.0	14.7	16.0	9.4	12	26.6	7	73	60	73	69	41	17
August	699.9	694.5	21	703.9	26	17.0	22.8	17.5	18.7	13.4	1	28.8	23	80	58	75	71	40	23
September	700.9	693.0	7	705.1	11.12	10.1	14.8	10.7	11.6	2.5	30	21.8	5	86	69	82	79	38	5
Oktober	694.6	689.0	16.30	702.5	3	5.6	8.8	6.2	6.7	0.1	29	13.4	12	87	73	83	81	55	12
November	695.6	679.3	14	707.5	30	1.9	3.9	2.5	2.7	−5.0	17	11.5	20	85	76	83	81	53	26
Dezember	697.5	679.3	8	706.9	1. 22	−2.3	−0.6	−1.8	−1.6	−9.4	28	6.6	4	82	75	78	78	54	19
Jahr	698.3	677.1	II	712.0	I	5.8	9.6	6.3	7.0	−11.0	I	28.8	VIII	79	65	76	73	30	IV

Beobachter: Frl. B. Humbert

Chaumont

Bewölkung				Niederschlag			Zahl der Tage								Windverteilung									1944
7^{30}	13^{30}	21^{30}	Mittel	Summe	Maximum	Tag	•	•* >1.0	*	▲	⛆	≡	heiter	trüb	N	NE	E	SE	S	SW	W	NW	Calmen	
5.5	5.6	5.3	5.5	52	10	26	12	10	7	—	—	8	10	11	1	—	5	—	—	6	7	—	74	Januar
8.5	7.9	7.0	7.8	78	15	29	12	12	11	—	—	11	4	19	1	1	7	1	—	2	5	2	68	Februar
7.2	6.5	5.2	6.3	37	11	13	8	7	7	—	—	10	3	12	—	3	19	—	—	1	3	—	67	März
5.9	5.4	4.1	5.1	33	14	8	7	5	—	—	2	—	6	8	1	2	8	—	—	2	1	2	74	April
5.1	5.2	3.7	4.7	24	9	20	7	5	—	—	2	2	9	7	—	1	14	—	—	1	1	1	75	Mai
6.7	6.4	5.0	6.0	79	24	10	12	12	—	—	2	7	2	6	—	2	7	—	—	2	2	—	77	Juni
5.6	6.5	4.4	5.5	92	21	3	14	13	—	—	2	3	4	6	—	—	2	—	—	3	7	—	81	Juli
4.6	4.6	3.0	4.1	109	54	31	12	9	—	—	8	2	8	3	—	1	12	—	—	1	3	—	76	August
6.6	6.5	4.4	5.8	124	30	2	15	14	—	—	1	7	5	8	—	—	7	1	—	1	7	2	72	September
7.8	7.8	7.5	7.7	98	30	16	17	14	1	—	—	15	1	15	—	—	4	2	—	7	6	—	74	Oktober
7.8	8.3	6.0	7.4	248	42	7	20	19	11	—	—	8	—	14	—	1	—	—	1	9	6	2	71	November
6.5	7.0	5.6	6.4	110	18	11	14	14	13	—	—	5	4	10	—	1	14	—	—	3	8	1	66	Dezember
6.5	6.5	5.1	6.0	1084	54	VIII	150	134	50	—	17	78	56	119	3	12	99	4	1	38	56	10	875	Jahr

Beobachter: B. u. G. Glutz

Solothurn

9.1	8.0	7.9	8.3	100	28	26	14	13	5	—	—	11	1	21	1	1	3	—	—	4	20	10	54	Januar
9.2	8.3	8.5	8.7	99	15	2	14	12	12	—	—	3	1	23	1	23	5	—	—	1	5	6	46	Februar
6.8	6.7	6.4	6.6	28	12	13	10	5	6	—	—	—	4	13	—	15	10	3	—	2	13	10	40	März
6.0	5.4	5.2	5.5	40	21	8	8	5	—	—	—	—	6	8	1	7	9	4	—	4	5	9	51	April
5.5	5.2	4.6	5.1	39	12	14	8	6	—	—	1	—	9	7	—	13	7	3	—	3	7	6	54	Mai
6.3	6.1	6.3	6.2	90	24	29	14	13	—	—	2	2	1	8	1	4	2	1	—	1	9	15	57	Juni
6.3	6.4	5.7	6.1	158	36	3	15	13	—	—	4	1	3	9	—	—	4	—	—	1	3	14	71	Juli
5.4	4.5	4.0	4.6	155	49	31	9	9	—	—	8	2	5	3	—	3	9	4	—	4	6	3	64	August
8.3	6.5	5.0	6.6	119	25	2	17	13	—	—	1	5	1	11	1	8	4	2	—	2	5	7	61	September
9.3	7.7	7.4	8.1	123	38	16	18	13	—	—	—	6	—	18	—	3	11	2	—	5	7	7	58	Oktober
9.3	8.5	7.1	8.3	374	105	7	18	17	9	—	—	7	—	18	—	—	2	—	—	1	15	17	55	November
8.9	8.4	6.5	7.9	142	43	7	13	11	9	—	—	1	—	14	—	16	5	—	—	2	10	7	53	Dezember
7.5	6.8	6.2	6.8	1467	105	XI	158	130	41	—	16	38	31	153	5	93	71	19	—	3	105	111	664	Jahr

Beobachter: H. Reutener.

Weißenstein

6.3	6.5	6.3	6.4	113	26	26	14	13	11	—	—	11	7	13	6	2	9	3	2	19	35	15	2	Januar
8.6	8.7	8.4	8.6	118	17	2	20	16	19	—	—	17	3	24	29	14	2	4	—	10	13	11	4	Februar
7.8	7.9	6.9	7.5	36	16	13	16	7	14	—	—	13	2	16	15	13	7	2	1	10	22	23	—	März
7.3	6.8	5.8	6.6	51	23	8	9	6	1	—	—	7	2	14	14	8	2	13	4	14	12	19	4	April
6.0	6.5	5.1	5.9	48	11	20.21	9	8	—	—	—	7	4	11	6	11	9	6	3	10	16	23	6	Mai
8.8	7.0	6.2	7.3	130	23	29	18	14	—	—	—	8	1	9	8	11	3	4	1	22	22	16	3	Juni
6.9	7.2	6.0	6.7	191	45	21	17	16	—	—	—	7	2	13	4	—	1	8	6	13	11	44	6	Juli
5.7	6.1	4.0	5.3	143	38	31	11	11	—	—	2	3	3	4	13	14	4	4	3	17	2	26	10	August
6.8	7.8	5.4	6.7	105	16	2	16	13	1	—	—	10	2	11	3	9	3	6	2	31	13	11	12	September
8.5	8.5	7.9	8.3	140	46	16	19	18	2	—	—	19	—	20	28	9	2	3	4	23	11	12	1	Oktober
8.9	8.6	7.0	8.2	389	65	7	19	15	12	—	1	19	—	18	1	—	—	4	—	35	26	18	6	November
6.6	7.5	5.7	6.6	163	51	7	13	13	13	—	—	11	4	13	10	15	8	1	1	28	17	9	4	Dezember
7.4	7.4	6.2	7.0	1627	65	XI	181	150	73	—	3	132	30	166	140	106	50	58	27	232	200	227	58	Jahr

Beobachter: E. Müller

Langenbruck

7.5	6.4	7.0	7.0	106	21	10	14	10	6	—	—	5	3	12	—	3	1	2	2	3	9	4	69	Januar
8.8	8.4	8.5	8.6	137	19	8	18	13	17	—	—	—	2	24	5	10	10	1	1	2	5	11	42	Februar
7.3	7.6	6.6	7.2	53	12	13	14	10	12	—	—	—	3	15	7	7	1	1	1	—	7	10	59	März
6.5	5.6	5.3	5.8	48	23	8	10	7	—	—	—	—	7	11	9	6	3	—	—	3	6	11	52	April
5.2	5.3	5.5	5.3	41	12	21	10	7	—	—	2	—	7	10	7	8	9	2	—	2	10	6	49	Mai
6.5	6.8	5.9	6.4	126	20	29	17	14	—	—	2	—	2	10	5	5	—	1	—	—	10	8	61	Juni
6.8	6.5	6.3	6.5	148	36	3	15	13	—	—	2	—	4	14	3	3	1	2	—	1	9	8	66	Juli
4.8	4.3	2.8	4.0	157	64	31	9	9	—	—	5	—	11	2	1	6	10	2	1	1	3	3	66	August
6.1	7.3	5.3	6.2	96	19	2	16	15	—	—	—	2	4	12	6	8	3	—	1	—	4	7	61	September
7.4	8.0	7.7	7.7	105	30	16	15	12	—	—	—	1	1	20	4	5	4	2	1	5	1	8	63	Oktober
7.7	8.8	7.0	7.8	247	56	7	21	18	11	—	—	2	—	18	2	2	—	2	—	4	10	6	64	November
8.4	7.5	6.6	7.5	77	25	7	15	12	10	—	—	—	1	14	4	6	9	—	1	3	9	7	54	Dezember
6.9	6.9	6.2	6.7	1341	64	VIII	174	140	56	—	11	10	45	162	53	69	51	15	8	24	83	89	706	Jahr

70378

Aarau

$\lambda = 8° 2'$, $\beta = 47° 23'$, $H_b = 406.1^m$, $G = 0.07$ m/m, $h_r = 1.6^m$

1944	Luftdruck					Luft-Temperatur								Relative Feuchtigkeit					
	Mittel	Minimum	Tag	Maximum	Tag	7^{30}	13^{30}	21^{30}	Mittel	Minimum	Tag	Maximum	Tag	7^{30}	13^{30}	21^{30}	Mittel	Minimum	Tag
Januar	734.2	720.9	25	742.4	15	0.5	3.0	1.2	1.5	-10.2	8	11.2	28	86	70	84	80	42	26
Februar	724.9	705.3	28	737.8	6	-2.7	0.3	-1.7	-1.4	-11.2	25	9.4	3	79	59	76	71	45	16.21
März	726.7	714.8	30	736.8	25	0.0	4.8	1.7	2.1	-3.4	17	12.4	19	78	46	64	63	28	29
April	727.7	715.0	17	736.2	22	7.3	14.7	10.3	10.6	0.4	2	20.4	16.24	76	34	61	57	18	24
Mai	728.4	716.2	20	736.2	26	9.8	17.7	12.8	13.3	4.6	9	28.6	30	68	37	61	55	24	3
Juni	725.6	719.2	10	732.5	12	13.4	18.8	14.7	15.4	9.2	7	25.0	5	72	45	68	62	26	5
Juli	726.9	720.9	22	731.1	16	16.1	21.6	17.8	18.3	11.6	10	27.4	26	73	44	63	60	29	7
August	727.4	722.1	21	732.1	25	17.6	25.4	19.9	20.7	13.4	8	30.0	23	78	40	69	62	26	19
September	729.4	721.0	7	734.4	12	11.7	17.1	12.4	13.4	3.4	30	23.4	6	84	50	83	72	20	7
Oktober	723.4	717.7	16	732.6	3	7.4	11.8	7.9	8.8	0.2	29	16.8	7	82	53	82	72	25	3
November	725.1	708.4	14	737.0	30	2.8	5.8	3.7	4.0	-1.6	28	11.8	23	89	66	86	80	39	4. 6
Dezember	727.4	708.9	8	736.9	1. 21	-1.0	1.3	-1.0	-0.4	-8.4	25	9.8	4	79	64	80	74	43	3
Jahr	727.3	705.3	II	742.4	I	6.9	11.9	8.3	8.9	-11.2	II	30.0	VIII	79	51	73	67	18	IV

Aarau. H. Amsler † im April, Stationsverlegung im Juni, neues H_b = 408.9 m. Alle Luftdruckwerte sind auf die alte Höhe bezogen.

Beznau

$\lambda = 8° 14'$, $\beta = 47° 33'$, $H =$ ca. 330^m, $G = —$ m/m, $h_r = 1.5^m$

Januar	—	—	—	—	—	1.6	4.2	2.3	2.6	-7.6	8	11.2	28	86	69	83	79	24	23
Februar	—	—	—	—	—	-2.0	0.9	-0.8	-0.7	-7.6	26	9.4	3	81	60	74	72	40	21
März	—	—	—	—	—	0.2	5.2	1.9	2.3	-4.0	5	12.0	30	78	50	69	66	26	29
April	—	—	—	—	—	7.5	14.8	9.4	10.3	1.4	1	20.4	24	81	38	74	64	20	24
Mai	—	—	—	—	—	10.6	17.5	13.0	13.5	3.6	8	27.6	30	71	39	61	57	22	3
Juni	—	—	—	—	—	14.0	18.9	14.8	15.6	10.4	7. 17	24.8	5	74	48	74	65	28	25
Juli	—	—	—	—	—	16.3	22.1	17.9	18.6	13.4	14	27.4	26	78	45	73	65	27	20
August	—	—	—	—	—	18.0	25.8	20.0	20.9	15.0	1. 8	32.6	23	79	43	73	65	25	23
September	—	—	—	—	—	12.3	17.3	13.0	13.9	4.0	29	23.4	6	82	58	82	74	28	8
Oktober	—	—	—	—	—	7.9	11.8	8.5	9.2	2.2	30	15.4	7	*92	*70	*90	*84	?	—
November	—	—	—	—	—	3.9	6.7	4.8	5.1	-0.6	28	12.8	23	95	82	93	90	56	5
Dezember	—	—	—	—	—	-0.4	2.0	-0.2	0.3	-8.6	26	8.4	4	92	83	91	89	63	4
Jahr	—	—	—	—	—	7.6	12.3	8.7	9.3	-8.6	XII	32.6	VIII	82	57	78	72	20	IV

Hallau

$\lambda = 8° 27'$, $\beta = 47° 42'$, $H_b = 449.5^m$, $G = 0.09$ m/m, $h_r = 1.3^m$

Januar	729.8	716.3	25	738.2	15	0.6	3.1	1.6	1.7	-7.9	7	9.6	28	93	80	90	88	54	9
Februar	720.6	701.9	28	733.5	6	-3.2	0.2	-1.7	-1.6	-10.1	26	9.6	3	86	71	80	79	55	19
März	722.8	711.2	30	733.3	25	-0.8	4.6	1.2	1.5	-4.3	15	12.0	29	83	57	72	71	35	29
April	724.1	713.4	16	733.5	22	7.3	14.7	10.3	10.6	-0.6	1	21.4	16	84	47	68	66	29	24
Mai	724.8	712.5	20	732.6	26	10.3	17.3	13.0	13.4	3.6	8	28.3	30	75	46	64	62	30	3
Juni	721.8	715.3	10	728.9	12	13.3	18.5	14.3	15.1	9.5	8	25.0	5	83	52	75	70	33	4
Juli	722.7	716.4	22	726.9	16	15.9	21.7	17.5	18.2	13.1	11.12	28.0	26	85	53	73	70	36	20
August	723.9	718.6	21	728.1	25	17.6	25.2	20.1	20.7	13.5	8	32.6	23	86	51	77	71	36	13
September	725.5	717.1	7	731.0	12	11.4	16.9	12.7	13.4	1.3	30	23.2	6	91	66	89	82	39	5
Oktober	719.4	713.5	16	728.1	3	6.8	11.2	8.1	8.6	-0.9	29	16.2	7	94	65	87	82	43	3
November	720.6	703.5	14	733.3	30	2.4	5.6	3.4	3.7	-3.7	19	11.8	23	95	79	93	89	50	26
Dezember	723.3	704.2	8	733.0	1	-1.6	0.9	-1.2	-0.8	-10.3	26	8.0	4	89	77	86	84	57	25
Jahr	723.3	701.9	II	738.2	I	6.7	11.7	8.3	8.7	-10.3	XII	32.6	VIII	87	62	79	76	29	IV

Lohn

$\lambda = 8° 40'$, $\beta = 47° 45'$, $H_b = 643^m$, $G = 0.06$ m/m, $h_r = 1.6^m$

Januar	712.4	698.8	25	720.8	15	-0.5	1.9	0.5	0.6	-7.7	6. 7	8.5	28	92	81	89	87	40	23
Februar	703.3	684.8	28	715.9	6	-4.4	-1.5	-3.1	-3.0	-10.7	19	8.5	3	86	71	79	79	55	24
März	705.6	694.3	30	716.2	25	-1.6	2.5	0.0	0.2	-6.5	4	10.3	29	78	60	71	70	34	25
April	707.5	696.4	17	717.0	22	7.3	12.8	9.2	9.6	-0.2	2	19.5	24	76	50	64	63	29	24
Mai	708.2	696.5	20.21	715.8	26	10.4	15.1	11.5	12.1	3.7	16	26.7	30	69	50	64	61	30	3
Juni	705.0	699.3	7	712.6	12	12.8	16.1	12.8	13.6	8.0	17	23.3	5	76	55	71	67	37	25
Juli	706.4	699.7	22	710.4	24	15.9	19.6	16.3	17.0	11.8	4	27.0	7	78	59	71	69	36	7
August	707.8	702.7	21	711.9	25	18.6	23.6	19.5	20.3	14.2	1	30.7	23	76	53	69	66	36	23
September	709.0	700.8	7	713.9	11.12	11.6	15.2	12.1	12.8	5.5	29	21.7	6	86	71	80	79	45	5
Oktober	702.8	696.4	18	711.0	2	6.3	9.6	7.3	7.6	0.5	29	15.2	7	91	72	85	83	50	2
November	703.6	687.1	14	716.0	30	1.8	3.9	2.6	2.7	-1.9	17	10.3	23	93	84	90	89	57	6. 26
Dezember	706.1	687.6	8	715.4	1	-2.6	-0.7	-2.1	-1.9	-9.7	28	5.8	4	86	79	84	83	51	17
Jahr	706.5	684.8	II	720.8	I	6.3	9.8	7.2	7.6	-10.7	II	30.7	VIII	82	65	76	75	29	IV

Beobachter: H. Amsler-Baumann, W. Amsler

Aarau

Bewölkung				Niederschlag			Zahl der Tage								Windverteilung									1944
7^{30}	13^{30}	21^{30}	Mittel	Summe	Maximum	Tag	● *	●* ≧1.0	*	▲	⛆	≡	heiter	trüb	N	NE	E	SE	S	SW	W	NW	Calmen	
8.6	6.8	8.2	7.9	87	18	10	13	11	2	—	—	4	1	20	2	1	4	1	1	11	28	2	43	Januar
9.2	6.8	7.8	7.9	82	13	10	14	14	11	—	—	1	1	19	—	3	24	6	2	6	17	4	25	Februar
6.6	6.5	6.9	6.7	29	8	13	13	8	10	—	1	—	3	14	4	3	15	3	5	16	22	8	17	März
5.7	5.4	4.3	?5.1	31	11	7	8	6	—	—	—	—	5	?4	6	9	4	—	2	10	28	19	12	April
4.3	5.0	4.0	4.4	40	11	14	9	8	—	—	2	—	9	5	4	5	15	1	1	14	24	17	12	Mai
6.8	6.2	5.9	6.3	112	20	29	16	14	—	—	2	—	1	9	5	4	6	2	—	21	26	16	10	Juni
6.1	6.3	5.4	5.9	106	25	3	13	12	—	—	3	—	4	7	2	7	1	—	1	13	20	10	39	Juli
6.5	4.4	3.2	4.7	97	31	29	9	7	—	—	6	5	5	5	2	4	5	2	1	3	19	4	53	August
8.7	7.0	4.1	6.6	89	12	26	18	14	—	—	—	15	2	9	2	3	—	3	—	4	9	1	68	September
9.3	7.7	7.1	8.0	66	18	16	12	8	—	—	—	9	—	20	—	3	2	—	—	9	7	1	71	Oktober
8.4	8.9	7.2	8.2	197	49	7	21	19	8	—	—	11	1	19	—	—	—	—	—	9	18	1	62	November
9.1	7.4	4.1	6.9	60	27	7	10	9	5	—	—	17	—	9	—	4	9	—	—	5	7	—	68	Dezember
7.4	6.5	5.7	6.5	996	49	XI	156	130	36	—	14	62	32	140	27	46	85	18	13	121	225	83	480	Jahr

Beobachter: K. Sutter

Beznau

9.2	7.8	8.5	8.5	107	24	10	15	14	2	—	—	—	—	22	8	—	1	—	61	—	7	—	16	Januar
9.5	8.4	8.6	8.8	84	13	8	12	10	10	—	—	2	1	23	28	—	7	1	26	—	10	—	15	Februar
7.4	7.6	6.8	7.3	43	18	13	10	7	7	—	—	—	2	15	25	—	5	1	33	1	5	1	22	März
6.9	6.5	5.9	6.4	45	12	4	7	6	—	—	1	1	3	10	22	—	7	—	21	—	7	—	33	April
6.3	5.5	5.4	5.7	17	5	6	6	5	—	—	1	3	5	10	26	—	5	—	19	1	9	—	33	Mai
6.9	6.5	6.1	6.5	115	17	29	16	15	—	—	8	2	2	12	14	—	2	—	33	1	1	4	35	Juni
6.5	5.8	6.5	6.3	70	15	21	15	11	—	—	2	1	4	10	15	2	4	—	33	—	4	3	32	Juli
6.7	4.2	4.3	5.1	110	48	29	8	5	—	—	6	5	3	4	14	1	4	1	18	—	8	2	45	August
8.7	6.8	4.6	6.7	102	19	20	15	14	—	—	—	15	2	12	17	—	4	—	30	—	5	—	34	September
9.5	7.4	8.0	8.3	64	22	16	10	6	—	—	—	13	—	19	19	—	5	—	25	—	8	1	35	Oktober
9.2	8.8	8.3	8.8	232	47	7	21	19	9	—	—	5	—	22	7	—	3	1	54	—	7	—	18	November
5.9	7.0	5.1	6.0	99	27	7	13	11	5	—	—	4	—	14	26	—	3	3	37	1	3	1	19	Dezember
7.7	6.9	6.5	7.0	1088	48	VIII	148	123	33	—	18	51	22	173	221	3	50	7	390	4	74	12	337	Jahr

Beobachter: Hs. Huber-Rupli

Hallau

9.2	7.2	8.0	8.1	58	10	10	14	11	2	—	—	6	—	19	5	3	—	—	—	34	2	1	48	Januar
9.3	8.2	7.9	8.5	29	9	9	12	7	10	—	—	3	2	23	14	24	2	—	—	18	2	—	27	Februar
7.6	7.5	6.4	7.2	27	7	13	9	7	7	—	—	—	2	15	10	14	1	3	3	23	4	2	33	März
6.6	6.0	5.2	5.9	22	8	4	5	5	—	—	1	1	5	8	11	7	2	7	5	9	1	—	48	April
4.6	5.4	5.8	5.3	12	3	21	5	4	—	—	1	—	10	10	5	15	2	1	3	18	3	1	45	Mai
6.3	7.1	6.2	6.5	118	24	1	16	16	—	1	7	—	3	11	1	6	—	2	4	28	3	4	42	Juni
5.8	5.9	6.4	6.0	86	25	21	13	11	—	—	2	—	3	9	3	3	—	4	1	33	3	—	46	Juli
4.9	4.0	3.2	4.0	113	40	6	9	7	—	—	8	—	8	3	12	8	1	7	4	8	—	1	52	August
7.6	6.3	5.5	6.5	59	12	2	13	10	—	—	—	4	3	12	5	2	3	1	6	16	—	—	57	September
8.8	6.9	7.2	7.6	61	19	19	9	7	—	—	—	5	—	15	5	10	2	—	1	21	1	—	53	Oktober
9.2	8.5	6.5	8.1	201	49	7	19	16	8	—	—	3	—	16	3	—	1	—	—	33	4	1	48	November
7.9	6.3	6.1	6.8	110	37	7	12	10	5	—	—	2	2	13	6	10	4	3	—	19	3	—	48	Dezember
7.3	6.6	6.2	6.7	896	49	XI	136	111	32	1	19	24	38	154	80	102	18	28	27	260	26	10	547	Jahr

Beobachter: A. Läuchli

Lohn

8.5	7.0	7.4	7.6	70	14	23	15	12	8	—	—	7	1	17	1	6	1	1	5	20	29	3	27	Januar
8.6	8.2	7.3	8.0	45	11	9	14	10	12	—	—	4	3	19	8	25	5	1	1	10	8	8	21	Februar
7.3	7.9	6.6	7.3	33	9	13	16	10	12	—	—	—	2	13	6	17	3	1	2	17	15	8	24	März
6.6	6.2	4.7	5.8	30	8	4	10	8	—	—	1	1	5	9	7	14	4	5	1	5	5	6	43	April
5.0	5.8	5.5	5.4	24	11	14	9	5	—	—	—	—	8	8	4	18	7	6	2	13	13	7	23	Mai
6.4	7.3	6.7	6.8	82	14	18	15	13	—	—	1	3	1	11	1	4	4	—	2	7	27	6	39	Juni
6.3	6.1	6.4	6.3	71	21	21	14	10	—	—	2	—	4	10	1	8	4	1	2	13	20	—	44	Juli
4.6	4.1	4.0	4.2	89	23	31	7	7	—	—	7	1	11	2	5	11	7	2	3	9	11	1	44	August
6.6	6.9	4.8	6.1	68	15	2	14	9	—	—	—	4	3	11	1	12	2	2	4	4	17	2	46	September
7.9	7.4	7.3	7.5	62	26	19	13	10	—	—	—	4	1	16	2	14	8	1	5	15	15	2	31	Oktober
8.5	8.5	5.9	7.6	208	64	7	19	18	12	—	—	6	2	16	5	2	2	—	—	29	26	1	25	November
7.7	6.8	5.7	6.7	129	35	7	13	12	9	—	—	5	3	11	3	25	1	—	2	24	9	1	28	Dezember
7.0	6.8	6.0	6.6	911	64	XI	159	124	53	—	11	35	44	143	44	156	48	20	29	166	195	45	395	Jahr

Bern

$\lambda = 7° 26'$, $\beta = 46° 57'$, $H_b = 572.2^m$, $G = 0.00\ ^m/_m$, $h_r = 1.5^m$

1944	Luftdruck					Luft-Temperatur								Relative Feuchtigkeit					
	Mittel	Minimum	Tag	Maximum	Tag	7^{30}	13^{30}	21^{30}	Mittel	Minimum	Tag	Maximum	Tag	7^{30}	13^{30}	21^{30}	Mittel	Minimum	Tag
Januar	719.3	707.2	25	726.8	16	−1.3	2.7	−0.1	0.3	−9.4	7	7.7	23	93	72	93	86	30	23
Februar	709.5	690.4	28	722.0	6	−3.9	−0.5	−2.7	−2.4	−10.9	25	9.5	3	92	72	89	84	57	9
März	711.6	700.1	30	720.5	25	−0.7	4.4	1.2	1.5	−5.5	5	13.2	30	87	56	76	73	28	29
April	713.1	699.5	17	721.5	22	6.9	13.8	10.0	10.2	−0.2	2	20.5	24	88	50	75	71	25	24
Mai	713.8	701.4	20	722.1	26	9.5	15.8	12.0	12.3	3.5	9	25.7	29.30	83	49	70	67	28	2.3-13 25.26
Juni	711.1	705.3	10	717.6	12	12.5	17.9	13.9	14.6	7.8	18	24.2	5	87	54	78	73	27	5
Juli	712.2	706.7	22	715.9	16.31	14.7	20.4	17.1	17.3	11.4	4	26.7	26	89	56	79	75	30	1
August	713.2	707.9	21	717.6	26	16.8	24.3	19.8	20.2	13.7	7.8	29.3	23	90	55	80	75	32	13
September	714.8	707.1	7	718.9	12	11.1	15.6	12.1	12.7	3.5	30	22.3	6	93	69	93	85	37	30
Oktober	708.7	703.4	16	716.7	3	5.8	9.8	6.8	7.3	−0.8	29	13.8	18	95	73	94	87	42	28
November	710.3	693.7	14	721.3	30	1.9	5.0	3.2	3.3	−3.0	17	12.0	20	95	77	92	88	48	6
Dezember	712.1	694.0	7	721.0	1	−2.0	0.4	−1.2	−1.0	−9.7	28	8.0	4	90	79	89	86	50	10
Jahr	712.5	690.4	II	726.8	I	5.9	10.8	7.7	8.0	−10.9	II	29.3	VIII	90	63	84	79	25	IV

Freiburg

$\lambda = 7° 9'$, $\beta = 46° 47'$, $H_b = 670^m$, $G = —\ ^m/_m$, $h_r = 1.6^m$

Januar	—	—	—	—	—	−0.4	3.4	0.3	0.9	−10.6	6	8.9	28	83	66	84	78	37	23
Februar	—	—	—	—	—	−4.1	−0.3	−3.3	−2.8	−10.9	25	9.0	3	88	64	85	79	50	9
März	—	—	—	—	—	−1.0	4.3	0.8	1.2	−7.8	5	12.8	30	77	51	66	65	31	24.29
April	—	—	—	—	—	6.7	13.5	9.1	9.6	−0.8	2	20.0	24	78	46	67	64	25	24
Mai	—	—	—	—	—	9.5	16.1	11.3	12.1	3.3	9	25.7	30	74	46	63	61	26	26
Juni	—	—	—	—	—	12.8	18.0	13.5	14.5	7.6	17	23.4	5.29	75	49	71	65	31	25
Juli	—	—	—	—	—	14.9	20.7	16.3	17.1	11.4	11	26.6	26	78	50	70	66	35	1
August	—	—	—	—	—	17.3	24.5	19.0	20.0	13.9	7.8	31.2	23	76	48	73	66	36	13.23
September	—	—	—	—	—	11.1	15.7	11.6	12.5	3.1	30	22.1	6	87	63	85	78	37	5
Oktober	—	—	—	—	—	5.4	9.7	6.6	7.1	−1.4	29	14.6	18	91	65	87	81	45	28
November	—	—	—	—	—	2.1	5.2	3.2	3.4	−3.2	28	13.2	20	85	71	83	80	46	6
Dezember	—	—	—	—	—	−2.1	0.3	−1.4	−1.2	−11.4	28	7.9	4	83	73	81	79	42	2
Jahr	—	—	—	—	—	6.0	10.9	7.3	7.9	−11.4	XII	31.2	VIII	81	58	76	72	25	IV

Langnau i. E.

$\lambda = 7° 47'$, $\beta = 46° 56'$, $H = 685^m$, $G = —\ ^m/_m$, $h_r = 1.6^m$

Januar	—	—	—	—	—	−1.8	2.9	−0.5	0.0	−12.6	6	7.7	23	92	74	93	86	35	23
Februar	—	—	—	—	—	−4.5	0.2	−3.5	−2.8	−13.0	25	8.6	3	89	66	88	81	45	19
März	—	—	—	—	—	−1.6	4.4	−0.2	0.6	−7.0	16	12.0	30	88	53	81	74	29	24
April	—	—	—	—	—	6.0	13.7	7.8	8.8	−1.2	1	19.8	24	88	50	84	74	34	1. 12
Mai	—	—	—	—	—	9.3	16.2	10.3	11.5	3.4	9	25.8	29.30	83	48	80	70	27	3
Juni	—	—	—	—	—	12.8	17.9	12.9	14.1	7.0	7	23.8	5	84	56	88	76	36	12. 29
Juli	—	—	—	—	—	15.1	20.6	15.4	16.6	10.6	4	26.8	7	84	53	88	75	36	7
August	—	—	—	—	—	16.2	24.5	17.5	18.9	13.0	7.8	29.4	23	91	49	90	77	39	19
September	—	—	—	—	—	10.2	15.9	10.9	12.0	2.0	30	22.0	16	96	68	96	87	40	4. 5
Oktober	—	—	—	—	—	5.2	10.2	6.1	6.9	1.4	30	15.2	8	97	69	97	88	42	3
November	—	—	—	—	—	1.3	4.9	2.7	2.9	−5.0	17	11.8	23	95	77	92	88	48	6
Dezember	—	—	—	—	—	−3.0	0.7	−2.2	−1.7	−12.4	27	9.4	4	89	73	90	84	48	28
Jahr	—	—	—	—	—	5.4	11.0	6.4	7.3	−13.0	II	29.4	VIII	90	61	89	80	27	V

St. Beatenberg

$\lambda = 7° 48'$, $\beta = 46° 41'$, $H_b = 1148^m$, $G = -0.13\ ^m/_m$, $h_r = 1.1^m$

Januar	670.0	659.0	25	676.7	27	−0.6	2.6	0.0	0.5	−11.6	6	8.8	30.31	68	59	66	64	22	23
Februar	659.9	643.2	28	672.2	1	−5.7	−2.5	−5.1	−4.6	−13.8	23	7.2	1	81	70	82	78	40	1
März	662.5	653.3	30	670.9	25	−3.5	0.2	−2.9	−2.3	−10.0	5	5.2	30	79	65	77	74	43	26
April	665.4	652.7	17	673.6	23	5.1	9.7	5.4	6.4	−4.6	1	17.4	24	72	55	71	66	35	24
Mai	666.3	655.6	20	674.2	26	8.5	13.0	8.0	9.4	1.2	7.8	23.4	30	73	60	74	69	28	3
Juni	664.0	657.8	7	671.0	12	10.4	14.8	10.2	11.4	3.2	7	20.4	5	82	66	82	77	46	5
Juli	665.6	659.5	22	669.3	16	13.2	17.5	13.1	14.2	6.6	4	24.2	26	81	66	81	76	48	26
August	667.2	662.4	21	671.2	26	16.0	21.2	15.9	17.3	11.0	4	28.4	23	76	62	77	72	35	23
September	667.5	660.8	7	671.2	16	9.8	13.4	9.5	10.6	2.8	29	19.4	6	83	75	86	81	51	4. 25
Oktober	660.9	654.9	30	667.7	3	3.9	7.0	4.4	4.9	−2.1	29	11.4	16.18	85	78	89	84	43	7
November	661.9	645.9	14	671.8	30	0.7	2.8	1.0	1.4	−5.9	12	9.0	20	80	74	82	79	36	19
Dezember	662.8	646.5	8	671.3	1	−3.0	−0.7	−3.2	−2.5	−11.6	30	5.3	2	73	68	73	71	33	27
Jahr	664.5	643.2	II	676.7	I	4.6	8.3	4.7	5.6	−13.8	II	28.4	VIII	76	67	78	74	22	I

Beobachter: Tellur. Observatorium

Bern

Bewölkung				Niederschlag			Zahl der Tage								Windverteilung									1944
7^{30}	13^{30}	21^{30}	Mittel	Summe	Maximum	Tag	• *	•* ≧1.0	*	▲	⛆	≡	heiter	trüb	N	NE	E	SE	S	SW	W	NW	Calmen	
8.1	7.0	7.4	7.5	38	9	25	9	8	6	—	—	12	3	17	2	3	—	5	2	6	13	1	61	Januar
9.2	8.9	8.3	8.8	46	13	29	11	9	8	—	—	9	—	19	2	29	3	1	1	8	13	2	28	Februar
8.0	7.5	7.0	7.5	9	2	11.13	7	5	6	—	1	—	3	19	1	23	5	5	1	6	19	6	27	März
7.1	7.0	6.0	6.7	55	21	8	9	6	—	—	1	—	1	15	2	23	5	5	3	5	12	2	33	April
5.5	5.7	5.3	5.5	40	11	20	9	7	—	—	1	—	8	12	7	20	3	1	—	6	9	3	44	Mai
6.6	6.3	6.3	6.4	101	19	5	16	14	—	—	5	1	2	8	3	10	—	3	1	1	11	5	56	Juni
5.8	6.4	5.7	6.0	143	41	21	12	12	—	—	3	—	4	12	3	9	1	3	1	4	12	5	55	Juli
5.0	4.9	3.7	4.5	90	44	31	9	6	—	1	4	—	8	3	6	20	3	10	2	1	6	2	43	August
7.3	6.7	5.3	6.4	152	33	1	19	14	—	—	2	5	3	11	3	11	1	9	—	6	12	2	46	September
9.1	8.0	8.2	8.4	89	23	18	19	10	—	—	—	6	—	20	4	11	1	3	2	2	13	4	53	Oktober
8.8	8.2	7.3	8.1	155	31	7	21	17	11	—	—	12	—	19	1	4	—	1	6	13	24	2	39	November
8.5	8.3	6.7	7.8	98	47	7	10	9	7	—	—	9	—	16	1	15	5	5	4	10	11	—	42	Dezember
7.4	7.1	6.4	7.0	1016	47	XII	151	117	38	1	17	54	32	171	35	178	27	51	23	68	155	34	527	Jahr

Beobachter: Frau P. Gockel

Freiburg

7.5	6.6	7.2	7.1	26	6	25	10	8	5	—	—	2	6	18	—	4	1	—	1	38	4	5	40	Januar
9.3	8.0	7.9	8.4	62	23	29	12	11	10	—	—	—	—	20	—	34	1	—	1	27	—	2	22	Februar
8.0	7.1	6.8	7.3	25	9	31	13	8	10	1	1	—	2	14	1	31	1	—	1	27	8	1	23	März
6.5	6.8	6.4	6.6	34	13	8	8	6	—	—	2	—	3	13	4	25	1	—	3	22	8	3	24	April
5.0	5.0	5.8	5.3	33	10	6	7	7	—	—	2	—	8	11	4	27	—	—	3	26	8	7	18	Mai
6.5	5.9	5.9	6.1	78	15	5	15	14	—	—	5	—	2	8	3	16	—	—	—	33	7	6	25	Juni
6.0	6.7	5.9	6.2	130	42	21	12	11	—	—	3	—	4	12	4	12	—	—	5	33	15	1	23	Juli
4.9	4.6	3.5	4.3	107	61	31	11	10	—	—	7	—	10	4	2	21	1	2	5	27	6	4	25	August
7.4	7.1	6.3	6.9	131	24	2	21	19	—	—	3	2	3	14	4	13	—	1	1	30	8	1	32	September
7.7	8.0	8.2	8.0	69	18	16	15	12	—	—	—	—	1	19	2	18	—	—	1	27	7	5	33	Oktober
8.7	8.5	6.9	8.0	129	21	23	18	15	10	—	1	—	2	19	—	2	1	1	—	46	14	3	23	November
9.0	8.2	7.8	8.3	69	34	8	11	10	4	—	—	2	—	20	1	22	—	1	1	32	5	1	30	Dezember
7.2	6.9	6.6	6.9	893	61	VIII	153	131	39	1	24	6	41	172	25	225	6	5	22	386	90	39	318	Jahr

Beobachter: Frl. R. Zbinden

Langnau i. E.

6.3	5.8	6.5	6.2	63	13	26	13	9	5	—	—	5	7	11	—	1	39	1	1	5	28	—	18	Januar
8.7	8.3	8.3	8.4	128	33	29	13	13	11	—	—	—	3	24	—	9	49	2	1	3	11	3	9	Februar
8.5	7.7	7.1	7.8	52	7	20	16	13	14	—	2	—	3	19	—	4	33	1	2	7	26	3	17	März
7.2	7.0	5.8	6.7	70	24	18	11	7	—	—	—	—	5	16	—	5	39	—	1	5	27	3	10	April
5.6	6.5	5.6	5.9	53	16	21	10	10	—	—	2	—	8	13	3	3	45	—	1	1	20	3	17	Mai
7.3	7.8	7.0	7.4	135	26	5	16	15	—	—	5	—	1	17	1	4	33	2	—	6	30	3	11	Juni
7.0	7.3	6.7	7.0	147	25	3	14	12	—	—	3	—	5	15	4	1	40	1	—	—	28	—	19	Juli
5.3	5.6	3.4	4.8	133	63	31	10	10	—	—	6	—	7	4	1	3	55	2	3	2	20	1	6	August
7.4	7.4	5.2	6.7	156	31	2	19	19	—	—	2	1	3	10	—	1	35	1	4	3	25	—	21	September
9.2	8.5	8.0	8.6	126	28	18	18	15	1	—	1	1	—	21	4	1	29	1	3	2	21	3	29	Oktober
8.1	8.6	8.4	8.4	213	39	7	19	17	10	—	—	—	—	22	2	—	29	1	2	4	29	1	22	November
7.4	7.1	6.5	7.0	111	39	7	11	11	10	—	—	1	2	16	1	—	65	1	5	3	15	—	3	Dezember
7.3	7.3	6.5	7.1	1387	63	VIII	170	151	51	—	21	8	44	188	16	32	491	13	23	41	280	20	182	Jahr

Beobachter: B. Lutz

St. Beatenberg

5.2	4.5	4.2	4.6	119	33	26	12	10	8	—	—	1	13	8	—	1	1	—	—	—	1	2	88	Januar
7.5	7.2	7.9	7.5	244	44	29	17	15	16	—	—	—	3	17	1	—	—	1	—	2	—	1	82	Februar
6.8	6.5	7.1	6.8	103	16	13	20	14	19	—	—	2	5	15	1	—	1	—	—	1	—	1	89	März
5.6	5.4	5.7	5.6	55	15	25	11	8	2	—	—	3	7	10	1	—	1	3	—	2	1	2	80	April
5.2	5.4	4.7	5.1	66	14	20	13	12	—	—	—	5	10	11	—	—	2	3	1	1	—	—	88	Mai
5.4	6.3	6.2	6.0	157	28	17	17	15	—	—	4	3	3	9	—	2	2	2	—	2	—	4	78	Juni
5.4	5.6	5.6	5.5	177	43	9	16	12	—	1	3	2	5	7	—	2	1	4	1	1	—	—	84	Juli
4.0	4.9	4.2	4.4	143	40	24	15	14	—	1	3	—	7	4	2	1	1	—	1	—	—	—	88	August
5.5	6.6	5.8	6.0	158	27	2	19	17	—	—	1	9	5	9	2	1	1	1	2	—	—	1	82	September
7.4	7.4	7.7	7.5	145	43	1	19	16	3	—	—	8	—	16	1	1	1	1	1	—	—	1	87	Oktober
6.9	7.5	6.6	7.0	348	62	7	22	20	13	—	—	3	5	13	1	—	—	1	—	2	2	14	70	November
6.1	6.1	5.4	5.9	121	32	4	12	11	12	—	—	3	6	13	—	—	—	—	—	1	—	—	92	Dezember
5.9	6.1	5.9	6.0	1836	62	XI	193	164	73	2	11	39	69	132	9	8	9	16	6	12	4	26	1008	Jahr

Interlaken (Unterseen)

$\lambda = 7° 51'$, $\beta = 46° 42'$, $H_b = 568^m$, $G = -0.07$ ‰, $h_r = 1.5^m$

1944	Luftdruck					Luft-Temperatur								Relative Feuchtigkeit					
	Mittel	Minimum	Tag	Maximum	Tag	7^{30}	13^{30}	21^{30}	Mittel	Minimum	Tag	Maximum	Tag	7^{30}	13^{30}	21^{30}	Mittel	Minimum	Tag
Januar	719.7	706.8	25	728.6	16	-1.1	2.9	0.1	0.5	-8.6	6	6.8	13	88	69	83	80	40	23
Februar	709.7	690.0	29	722.9	6	-3.1	0.5	-1.9	-1.6	-9.2	23	8.6	3	83	72	79	78	49	4
März	712.1	702.3	30	721.8	25	-0.5	4.5	1.4	1.7	-5.0	5	10.9	29	79	59	72	70	38	19.29
April	713.6	699.8	17	722.0	23	7.4	14.0	9.0	9.8	0.2	1	19.4	24	77	48	67	64	26	17
Mai	714.4	702.8	20	722.3	26	10.6	17.1	11.6	12.7	4.5	7	27.8	30	75	48	69	64	21	3
Juni	711.7	706.0	7	718.3	12	13.4	18.9	13.5	14.8	7.1	7	25.4	5	75	52	79	69	34	5
Juli	712.9	707.1	22	716.3	31	15.6	21.2	16.2	17.3	9.6	4	27.2	7	78	53	76	69	36	7
August	714.1	708.6	21	719.0	12	17.0	24.2	18.6	19.6	13.2	8	29.0	24	78	53	78	70	38	23
September	715.6	707.7	7	719.5	12	11.2	16.7	11.9	12.9	3.9	30	22.2	2. 6	84	63	85	77	40	24
Oktober	709.4	703.7	21.24	717.3	3	6.3	10.7	7.2	7.9	1.2	29	14.1	8	86	63	85	78	34	29
November	711.2	694.8	14	721.7	30	2.2	4.7	2.6	3.0	-2.8	28	9.6	9	85	70	86	80	38	9
Dezember	712.9	695.5	8	721.9	1	-1.6	1.5	-0.6	-0.3	-9.0	28	9.5	4	81	68	79	76	50	23.30
Jahr	713.1	690.0	II	728.6	I	6.4	11.4	7.5	8.2	-9.2	II	29.0	VIII	81	60	78	73	21	V

Meiringen

$\lambda = 8° 12'$, $\beta = 46° 44'$, $H_b = 604.7^m$, $G = -0.08$ ‰, $h_r = 1.6^m$

Januar	717.1	704.2	25	724.5	15	-3.0	1.4	-1.4	-1.1	-11.0	6	5.6	25	95	72	88	85	42	26
Februar	706.7	686.4	28	719.0	1	-4.4	1.1	-2.5	-2.1	-9.6	23	9.5	28	88	60	83	77	28	24
März	709.1	697.9	30	718.9	25	-1.8	4.3	0.9	1.1	-6.0	16	10.8	30	86	54	75	72	33	29
April	710.5	693.7	17	719.2	23	6.2	14.9	10.2	10.4	0.3	1	21.0	24	82	43	62	62	28	14
Mai	711.0	699.4	20	719.7	26	8.3	18.1	13.2	13.2	1.8	9	27.4	30	87	45	65	66	28	2
Juni	708.6	702.1	10	715.5	12	10.8	19.3	14.5	14.8	7.0	9. 11	25.6	29	91	53	81	75	34	9
Juli	709.9	703.7	22	714.5	16	14.0	21.4	16.9	17.3	8.9	6	26.4	7	92	55	79	75	36	7
August	711.0	705.5	21	715.7	25	15.5	25.2	19.7	20.0	11.0	8	30.2	23	88	49	77	71	30	21
September	712.5	704.4	7	716.5	11	10.9	17.3	13.0	13.6	2.1	30	24.2	6	94	61	88	81	33	6
Oktober	706.2	700.3	21	714.7	3	6.1	12.0	7.7	8.4	-1.2	29	20.6	6	95	58	91	81	24	7
November	707.8	692.4	15	718.6	30	0.7	4.2	2.2	2.3	-5.2	19	10.6	6	95	75	91	87	42	1
Dezember	709.8	691.9	8	718.8	1	-2.4	1.0	-1.4	-1.1	-9.8	28	9.2	4	86	70	85	80	27	17
Jahr	710.0	686.4	II	724.5	I	5.1	11.7	7.8	8.1	-11.0	I	30.2	VIII	90	58	80	76	24	X

Guttannen

$\lambda = 8° 17'$, $\beta = 46° 39'$, $H_b = ca. 1055^m$, $G = -0.15$ ‰, $h_r = 1.5^m$

Januar	677.5	665.5	25	684.4	15.27	-1.8	0.1	-1.4	-1.1	-12.5	6	6.9	23	80	74	79	78	38	23
Februar	667.2	650.7	28	679.7	1	-5.1	-1.9	-4.2	-3.8	-12.8	19	6.4	25	82	71	85	79	40	25
März	669.9	659.9	30	678.4	25	-3.5	1.0	-2.2	-1.7	-8.5	7	5.3	29	87	72	87	82	51	24
April	672.8	661.8	17	681.3	23	3.9	9.5	5.7	6.2	-2.8	1	18.0	24	82	59	77	73	30	24
Mai	673.6	662.9	20	681.8	26	7.2	13.9	9.3	9.9	0.5	9	25.3	30	83	57	77	72	33	2. 30
Juni	671.3	665.1	7	678.4	12	10.6	15.7	11.5	12.3	5.0	18	20.9	13	87	66	86	80	45	29
Juli	672.9	666.9	22	677.1	16	13.0	17.8	14.7	15.0	6.9	6	25.8	7	86	65	81	77	37	7
August	674.4	670.3	21	678.8	26	14.7	22.0	16.8	17.6	10.2	5	29.7	23	82	57	79	73	38	22
September	674.8	668.8	7	678.6	11	9.5	13.8	10.5	11.1	1.7	30	20.2	2	88	73	89	83	43	6
Oktober	668.2	662.0	30	675.6	3	5.0	8.6	5.9	6.4	-1.0	29	15.0	8	87	69	84	80	32	8
November	669.5	654.3	15	679.9	30	0.6	1.9	1.0	1.1	-6.0	28	10.2	2	86	82	85	84	45	19
Dezember	670.2	654.0	8	679.0	1. 21	-3.0	-1.4	-3.0	-2.6	-11.5	30	5.4	4	79	75	79	78	29	27
Jahr	671.9	650.7	II	684.4	I	4.3	8.4	5.4	5.9	-12.8	II	29.7	VIII	84	68	82	78	29	XII

Grimsel

$\lambda = 8° 20'$, $\beta = 46° 34'$, $H = 1962.5^m$, $G = —$ ‰, $h_r = 1.5^m$

Januar	604.2	593.8	25	611.5	17	-5.3	-2.0	-4.2	-3.9	-14.8	6	6.0	30	66	62	65	64	13	30
Februar	593.5	580.8	29	607.2	1	-10.4	-7.2	-9.8	-9.3	-17.4	18	0.7	3	*70	*66	*68	*68	?	—
März	596.0	588.2	1	603.9	18.26	-8.9	-5.0	-7.9	-7.4	-15.0	5. 7	3.0	29	81	78	80	80	30	10
April	601.2	593.6	17	609.6	23	-0.8	2.8	0.0	0.5	-9.0	1	12.0	24	72	62	76	70	13	23
Mai	602.3	—	—	—	—	2.4	6.9	2.7	3.7	—	—	—	—	65	52	71	63	—	—
Juni	600.6	—	—	—	—	5.8	8.7	5.3	6.3	—	—	—	—	61	60	89	70	—	—
Juli	603.0	596.9	22	607.4	26	7.9	10.9	8.4	8.9	0.2	4	19.2	26	71	64	80	72	22	6
August	605.4	602.0	9	609.2	26	10.5	15.4	11.3	12.1	5.8	5	21.0	15	58	50	70	59	22	23
September	604.1	599.1	27	608.2	12	5.1	8.5	5.6	6.2	-3.0	25	16.4	4	72	61	77	70	24	4
Oktober	597.0	590.7	30	602.1	7	0.2	2.0	0.1	0.6	-7.0	28	9.6	8	75	72	83	77	28	12
November	597.0	583.0	15	605.3	30	-4.2	-3.0	-4.1	-3.9	-11.4	12	2.4	18.20	78	77	79	78	23	18
Dezember	597.5	583.2	8	605.3	1	-7.2	-5.3	-7.1	-6.7	-15.8	30	2.6	19	65	64	60	63	18	26
Jahr	600.2	—	—	—	—	-0.4	2.7	0.0	0.6	-17.4	II	21.0	VIII	70	64	75	70	?	—

Beobachter: P. Furrer

Interlaken (Unterseen)

Bewölkung				Niederschlag		Zahl der Tage								Windverteilung								1944
7^{30}	13^{30}	21^{30}	Mittel	Summe	Maximum Tag	•	•* ≥1.0	*	▲	⛆	≡	heiter	trüb	N	NE	E	SE	S	SW	W	NW	Calmen	
7.1	4.5	6.0	5.9	65	17	26	11	10	2	—	—	2	6	11	—	—	28	1	3	11	5	—	45	Januar
8.7	6.5	8.3	7.8	167	39	29	14	13	12	—	—	—	2	18	—	—	12	3	6	15	4	2	45	Februar
6.9	6.0	6.2	6.4	62	9	21	14	12	10	—	—	—	6	13	—	—	18	4	4	20	11	1	35	März
4.8	4.4	5.2	4.8	35	13	25	8	7	—	—	—	—	8	7	—	1	29	—	7	27	9	1	16	April
4.6	4.3	4.8	4.6	42	7	7	11	11	—	—	—	—	12	8	—	—	24	1	6	26	13	—	23	Mai
4.8	5.7	6.6	5.7	120	18	17	16	16	—	—	1	—	3	8	—	—	15	2	11	25	15	—	22	Juni
4.9	4.8	4.5	4.7	159	32	4	14	14	—	—	1	—	9	7	—	1	20	3	7	23	19	—	20	Juli
3.2	4.0	3.8	3.7	98	27	31	15	12	—	—	1	—	9	3	—	4	28	—	5	21	12	1	22	August
5.7	5.8	5.8	5.8	113	18	20	18	16	—	—	—	—	8	10	—	1	15	2	5	33	19	—	15	September
7.4	6.3	7.6	7.1	117	28	1	17	16	—	—	—	—	—	14	1	—	11	2	7	25	18	—	29	Oktober
7.5	7.5	6.8	7.3	364	70	7	19	17	8	—	—	2	3	18	—	2	22	7	2	20	11	1	25	November
7.4	7.0	6.7	7.0	100	24	4	10	8	3	—	—	—	2	15	—	—	13	5	3	14	10	1	47	Dezember
6.1	5.6	6.0	5.9	1442	70	XI	167	152	35	—	3	4	68	132	1	9	235	30	66	260	146	7	344	Jahr

Beobachter: A. Michel

Meiringen

6.0	5.1	6.9	6.0	73	22	4	7	7	3	—	—	2	6	13	—	—	—	—	—	—	6	87	Januar
8.6	7.5	8.0	8.0	191	49	29	12	12	10	—	—	2	1	20	—	—	2	1	—	—	1	19	64	Februar
8.3	7.3	7.7	7.8	110	15	13	19	17	16	—	—	—	2	19	—	—	—	—	—	—	1	13	79	März
6.3	5.8	6.7	6.3	60	17	25	7	6	—	—	—	—	3	9	—	—	10	—	—	—	1	20	59	April
5.2	5.6	6.5	5.8	63	20	21	11	10	—	—	—	—	4	8	—	1	3	—	—	—	—	27	62	Mai
6.1	6.8	8.1	7.0	180	26	17	18	18	—	—	3	—	1	10	—	—	—	1	—	—	—	20	69	Juni
6.4	6.1	7.7	6.7	158	37	9	14	14	—	—	—	—	3	12	—	—	—	—	—	—	1	19	73	Juli
4.3	4.2	6.1	4.9	73	24	31	12	12	—	—	1	—	4	2	—	—	3	—	—	—	2	23	65	August
6.0	6.3	7.3	6.5	127	26	1	15	14	—	—	2	—	3	12	—	—	3	—	—	—	—	15	72	September
8.5	6.6	8.9	8.0	136	26	18	20	19	—	—	1	1	—	17	—	—	5	—	—	—	2	14	72	Oktober
7.2	7.5	8.1	7.6	341	50	7	19	19	9	—	—	—	1	20	—	—	1	—	—	—	—	9	80	November
7.1	6.6	7.4	7.0	92	26	4	11	11	4	—	—	—	2	16	—	1	3	—	—	—	1	5	83	Dezember
6.8	6.3	7.4	6.8	1604	50	XI	165	159	42	—	7	5	30	158	—	2	30	2	—	—	9	190	865	Jahr

Beobachter: Hs. Huber

Guttannen

5.0	4.0	3.8	4.3	106	33	4	12	11	7	—	—	—	14	9	1	1	—	4	—	—	—	4	83	Januar
7.4	7.1	7.8	7.4	251	41	29	14	12	11	—	—	—	5	19	—	2	—	12	—	—	—	16	57	Februar
7.8	7.5	7.3	7.5	202	28	13	20	20	20	—	—	—	4	19	—	1	—	1	—	—	—	19	72	März
6.2	5.8	6.6	6.2	77	25	25	9	9	—	—	—	—	6	13	—	—	—	19	—	—	—	14	57	April
5.8	5.8	5.9	5.8	72	20	21	10	10	—	—	—	1	8	14	3	—	1	7	—	—	—	18	64	Mai
6.2	7.9	7.6	7.2	147	39	17	13	11	—	—	—	—	—	15	—	—	—	8	—	—	2	10	70	Juni
6.3	6.7	7.9	7.0	161	39	21	13	12	—	—	—	—	6	17	1	—	—	10	—	—	—	15	67	Juli
4.1	4.4	5.4	4.6	78	23	6	10	9	—	—	—	—	8	7	—	—	2	11	—	—	—	10	70	August
5.6	6.6	7.1	6.4	149	37	2	14	14	—	—	—	—	4	15	1	—	—	7	—	—	—	7	75	September
8.4	7.0	7.6	7.7	211	37	1	19	19	3	—	—	1	1	18	—	—	—	22	—	—	—	5	66	Oktober
7.1	7.5	7.1	7.2	338	58	7	19	18	11	—	—	—	4	17	—	—	1	11	—	—	1	7	70	November
6.5	6.6	5.5	6.2	117	45	4	10	8	10	—	—	2	7	15	—	—	—	16	—	—	—	5	72	Dezember
6.4	6.4	6.6	6.5	1909	58	XI	163	153	62	—	—	4	67	178	6	4	4	128	—	—	3	130	823	Jahr

Beobachter: Grimselwärter

Grimsel

5.2	4.4	4.4	4.7	170	39	26	14	13	14	—	—	5	12	8	10	—	—	10	3	18	—	19	33	Januar
6.4	6.4	6.2	6.3	203	31	29	14	14	14	—	—	—	7	12	3	—	1	2	2	2	8	22	47	Februar
7.7	7.6	7.6	7.6	314	35	26	19	19	19	—	—	1	3	19	7	—	—	5	—	5	4	43	29	März
6.5	6.9	6.7	6.7	103	40	25	12	11	11	—	—	1	4	12	9	1	2	22	3	14	2	21	16	April
5.9	5.5	6.4	5.9	98	27	22	11	11	4	—	—	5	7	14	24	—	—	13	8	7	—	14	27	Mai
6.6	7.1	8.6	7.4	163	58	18	17	15	5	—	—	6	—	14	38	—	3	16	—	2	3	4	24	Juni
6.9	7.0	7.9	7.3	201	44	4	14	13	1	—	2	6	3	17	29	—	3	15	5	6	—	13	22	Juli
4.6	5.4	7.1	5.7	48	11	31	13	8	—	—	1	3	3	6	13	2	2	21	7	17	4	6	21	August
6.3	7.3	7.1	6.9	154	27	2	15	14	4	—	—	6	3	15	11	—	5	27	1	7	—	17	22	September
8.3	7.1	7.9	7.8	246	34	1	22	19	17	—	1	9	—	17	2	—	6	37	3	3	1	20	21	Oktober
7.4	7.5	7.1	7.3	400	88	7	19	19	19	—	—	2	4	19	3	—	—	32	2	12	—	23	18	November
5.8	5.7	3.7	5.1	127	47	4	12	11	12	—	—	1	10	10	3	—	1	36	2	19	—	16	16	Dezember
6.5	6.5	6.7	6.6	2227	88	XI	182	167	120	—	4	45	56	163	152	3	23	236	36	112	22	218	296	Jahr

Jungfraujoch

$\lambda = 7°59'$, $\beta = 46°35'$, $H_b = 3577.8^m$, $G = -0.38$ $^m/_m$, $h_r = 1.8^m$

1944	Luftdruck					Luft-Temperatur								Relative Feuchtigkeit					
	Mittel	Minimum	Tag	Maximum	Tag	7^{30}	13^{30}	21^{30}	Mittel	Minimum	Tag	Maximum	Tag	7^{30}	13^{30}	21^{30}	Mittel	Minimum	Tag
Januar	492.6	480.8	25	501.2	17	−11.4	−11.4	−11.4	−11.4	−26.2	5	−2.8	17	54	53	57	55	9	17
Februar	481.0	471.0	29	496.5	1	−18.3	−17.7	−18.8	−18.4	−27.8	12	−7.0	2	75	77	76	76	25	1
März	483.6	475.0	14	492.8	26	−17.4	−16.5	−17.1	−17.0	−27.3	5	−9.4	26	80	71	75	75	20	18
April	490.7	483.6	17	499.7	23	−9.5	−8.2	−8.9	−8.9	−23.8	1	−3.0	24	68	69	65	67	10	22
Mai	492.8	484.4	21	503.3	28	−6.8	−5.4	−6.6	−6.3	−16.8	22	4.6	28	63	68	72	68	10	9
Juni	492.3	484.8	7	498.9	12	−4.8	−3.1	−4.2	−4.1	−13.0	8	1.0	13	70	84	81	78	9	13
Juli	495.1	489.2	4	501.0	26	−2.3	−1.3	−1.7	−1.8	−7.6	5	5.2	25	74	82	82	79	20	6
August	498.4	493.6	9	502.9	23	1.1	2.6	1.6	1.7	−4.4	1	8.4	23	68	71	78	72	24	13
September	495.3	487.1	28	500.1	12	−3.7	−2.6	−3.4	−3.3	−13.4	28	3.8	5	72	76	79	76	19	9
Oktober	487.4	480.9	30	492.4	1	−9.6	−8.5	−8.9	−9.0	−15.6	3. 28	−2.4	18	79	81	80	80	28	1
November	486.3	470.6	15	494.4	18	−12.4	−11.9	−12.4	−12.3	−22.6	9	−2.6	18	71	73	74	73	13	19
Dezember	485.6	473.1	8	494.2	1	−14.8	−14.4	−15.0	−14.8	−27.0	31	−7.0	18	57	55	57	56	19	15
Jahr	490.1	470.6	XI	503.3	V	−9.2	−8.2	−8.9	−8.8	−27.8	II	8.4	VIII	69	72	73	71	9	I VI

Südwestschweiz

Genf

$\lambda = 6°9'$, $\beta = 46°12'$, $H_b = 405.0^m$, $G = -0.03$ $^m/_m$, $h_r = 1.7^m$

Januar	734.9	723.3	25	742.4	16	0.4	3.8	1.6	1.8	−8.2	7	9.9	11	92	82	90	88	52	23. 24
Februar	724.6	703.5	28	737.2	7	−1.8	1.4	−0.3	−0.2	−7.3	25	11.3	3	87	76	82	82	50	26
März	726.5	714.3	30	734.9	26	1.5	7.0	3.7	4.0	−2.6	16	17.2	30	77	53	65	65	23	29
April	727.5	712.9	17	736.3	23	9.9	14.8	11.3	11.6	2.2	1	19.8	24	77	49	69	65	22	1
Mai	728.3	716.9	20	737.0	26	11.8	18.3	14.4	14.7	6.2	9	27.5	30	73	49	63	62	27	11
Juni	725.5	720.0	7	732.0	12	15.6	20.9	16.6	17.4	10.8	17	26.0	23	73	51	69	64	36	25
Juli	726.6	721.4	21	730.1	16.31	17.5	22.7	19.3	19.7	13.8	4	28.4	18	77	57	71	68	40	1
August	727.2	721.4	21	732.4	26	20.0	26.6	22.2	22.8	16.5	8	32.7	23	77	55	72	68	37	28
September	729.4	721.5	7	733.4	12	13.6	17.8	14.5	15.1	5.4	30	25.0	6	86	68	85	80	42	5
Oktober	723.5	717.7	24	731.3	3	7.5	11.5	8.7	9.1	1.1	29	15.4	11. 16	87	74	85	82	39	31
November	725.8	708.8	14	735.6	30	4.2	7.7	5.4	5.7	−1.7	12	15.0	20	87	71	83	80	52	26
Dezember	727.4	709.0	8	735.9	1	0.5	2.7	1.2	1.4	−5.4	28	10.4	4	88	80	86	85	59	3
Jahr	727.3	703.5	II	742.4	I	8.3	12.9	9.9	10.3	−8.2	I	32.7	VIII	82	64	77	74	22	IV

Lausanne (Champ de l'Air)

$\lambda = 6°38'$, $\beta = 46°31'$, $H_b = 552.9^m$, $G = -0.02$ $^m/_m$, $h_r = 1.4^m$

Januar	721.2	709.6	25	728.5	16	0.4	3.3	1.3	1.6	−5.6	6	7.7	11	93	80	91	88	49	6
Februar	711.3	691.3	28	723.2	6	−2.7	0.1	−2.1	−1.7	−7.7	19	7.4	3	88	75	84	82	59	4
März	713.4	702.4	30	721.3	26	0.7	5.5	2.5	2.8	−4.5	5	14.4	30	79	60	68	69	36	20
April	714.7	700.5	17	722.8	23	8.6	14.7	10.7	11.2	1.0	1	20.4	24	78	55	67	67	36	24
Mai	715.5	704.8	20	723.7	26	11.4	17.5	13.1	13.8	5.7	8	26.5	29	78	55	64	66	36	18. 25
Juni	713.0	707.7	7. 19	719.1	12	14.4	19.6	14.9	16.0	8.7	7	24.2	22	82	58	72	71	36	8
Juli	714.0	709.3	21	717.4	16	16.7	22.3	17.9	18.7	12.2	4	27.0	26	84	59	71	71	42	1
August	714.7	709.5	21	719.7	26	19.0	25.6	21.2	21.7	16.0	5	32.3	23	84	58	71	71	41	23
September	716.6	709.5	7	720.0	12	12.9	16.9	13.3	14.1	6.2	29	22.7	6	91	72	85	83	51	3. 9
Oktober	710.8	705.4	30	717.9	3	7.0	10.4	7.9	8.3	1.4	29	14.9	17	92	75	88	85	42	3
November	712.7	695.8	14	721.4	30	3.6	6.2	4.6	4.7	−1.5	12	13.3	20	89	78	84	84	47	19
Dezember	713.6	697.5	8	722.2	1	0.1	1.9	0.4	0.7	−6.8	30	8.6	4	88	79	84	84	45	17
Jahr	714.3	691.3	II	728.5	I	7.7	12.0	8.8	9.3	−7.7	II	32.3	VIII	86	67	77	77	36	III/IV V/VI

Montreux-Clarens

$\lambda = 6°54'$, $\beta = 46°27'$, $H_b = 412^m$, $G = -0.03$ $^m/_m$, $h_r = 1.5^m$

Januar	734.3	722.6	25	741.6	17	0.5	4.4	1.9	2.2	−7.0	6	8.2	11	88	74	87	83	45	5
Februar	724.0	703.1	28	736.7	7	−2.4	1.9	−1.0	−0.6	−8.0	13. 15	9.4	3	86	65	80	77	45	11
März	725.9	714.0	30	734.5	26	0.8	6.4	3.8	3.7	−3.9	7	14.0	30	75	53	60	63	35	25
April	726.9	711.8	17	735.4	23	7.9	14.3	11.6	11.4	1.2	1	19.4	24	84	52	61	66	31	17
Mai	727.6	715.1	20	736.4	26	10.7	16.9	15.4	14.6	4.5	9	25.4	29	83	53	52	63	30	8. 26
Juni	724.9	719.6	7	731.5	13	14.8	19.7	17.4	17.3	10.0	18	24.0	23	82	55	62	66	35	22
Juli	726.0	721.3	21	729.8	16	16.4	22.2	19.4	19.4	12.0	13	26.5	19	88	57	63	69	32	6
August	726.6	721.1	21	731.0	26	18.3	25.5	21.9	21.9	14.8	5	30.0	22	91	55	67	71	30	11
September	728.9	720.3	7	732.7	12	12.7	17.6	14.1	14.6	5.0	29	23.5	6	95	73	93	87	46	10
Oktober	723.0	717.4	30	730.5	3	7.3	11.6	8.3	8.9	1.6	29	15.5	17	98	74	98	90	46	28
November	725.3	708.6	14	734.7	30	4.0	7.0	4.7	5.1	−6.0	28	13.0	20	91	76	89	85	44	20
Dezember	726.7	708.7	8	735.0	1	0.0	3.5	1.1	1.4	−7.0	30	12.2	4	90	72	86	83	51	30
Jahr	726.7	703.1	II	741.6	I	7.6	12.6	9.9	10.0	−8.0	II	30.0	VIII	88	63	75	75	30	V VIII

Beobachter: **Jungfraubahn**

Jungfraujoch

Bewölkung 7³⁰	13³⁰	21³⁰	Mittel	Niederschlag Summe	Maximum	Tag	Zahl der Tage ●/✱	●✱ ≥1.0	✱	▲	⚡	≡	heiter	trüb	Windverteilung N	NE	E	SE	S	SW	W	NW	Calmen	1944
4.9	4.6	4.5	4.7	—	—	—	—	—	—	—	—	10	9	5	52	1	—	4	5	1	—	30	—	Januar
5.7	5.9	5.6	5.7	—	—	—	—	—	—	—	—	17	8	11	19	—	1	23	8	—	—	36	—	Februar
7.6	6.2	7.2	7.0	—	—	—	—	—	—	—	—	21	4	15	46	—	1	9	3	1	—	33	—	März
6.5	6.9	6.3	6.6	—	—	—	—	—	—	—	—	23	2	11	30	—	1	26	6	--	1	26	—	April
4.1	5.2	5.1	4.8	—	—	—	—	—	—	—	—	16	9	8	25	—	3	29	12	—	—	23	1	Mai
6.4	7.1	6.6	6.7	—	—	—	—	—	—	—	—	21	4	12	25	—	—	18	7	—	2	38	—	Juni
5.9	6.9	5.4	6.1	—	—	—	—	—	—	—	—	21	4	9	38	—	—	15	10	—	—	30	—	Juli
5.0	5.3	5.8	5.4	—	—	—	—	—	—	—	—	17	6	7	19	—	—	39	11	1	—	22	1	August
4.8	6.6	6.2	5.9	—	—	—	—	—	—	—	—	15	5	9	27	—	—	31	9	1	—	21	1	September
7.7	7.3	7.3	7.4	—	—	—	—	—	—	—	—	25	3	17	11	—	—	52	5	1	4	20	—	Oktober
7.1	7.7	6.0	6.9	—	—	—	—	—	—	—	—	21	5	16	29	—	2	5	—	1	9	44	—	November
5.9	5.9	3.5	5.1	—	—	—	—	—	—	—	—	11	9	8	31	—	1	32	1	—	1	26	1	Dezember
6.0	6.3	5.8	6.0	—	—	—	—	--	—	—	—	218	68	128	352	1	9	283	77	6	17	349	4	Jahr

Südwestschweiz

Beobachter: **Observatorium**

Genf

7³⁰	13³⁰	21³⁰	Mittel	Summe	Maximum	Tag	●/✱	●✱ ≥1.0	✱	▲	⚡	≡	heiter	trüb	N	NE	E	SE	S	SW	W	NW	Calmen	1944
8.3	6.7	7.5	7.5	34	9	24	7	7	1	—	—	13	3	19	3	7	7	—	6	4	1	—	65	Januar
8.3	8.0	7.7	8.0	21	4	9. 10	9	6	6	—	—	5	1	18	8	22	5	1	9	—	—	—	42	Februar
5.8	5.2	5.0	5.3	18	8	30	5	4	3	—	1	1	8	9	16	23	4	1	5	1	3	—	40	März
5.2	4.6	4.6	4.8	33	11	9	6	6	—	—	1	—	7	8	12	17	5	2	2	—	1	—	51	April
3.9	4.4	4.3	4.2	31	14	19	7	3	—	—	1	—	10	8	13	16	1	—	13	1	4	—	45	Mai
4.7	5.1	4.9	4.9	48	12	10	12	9	—	—	4	—	8	6	9	22	9	3	7	6	7	—	27	Juni
4.5	4.6	4.5	4.5	94	38	21	6	6	—	—	3	—	9	7	10	21	8	5	7	2	3	1	36	Juli
3.2	3.5	4.0	3.6	44	13	29	9	8	—	1	4	—	10	3	14	20	6	3	6	4	1	—	39	August
7.3	5.6	3.8	5.6	174	34	2	16	14	—	—	1	1	5	9	9	14	7	2	9	4	—	—	45	September
7.9	7.8	7.2	7.6	107	22	24	20	17	—	—	1	3	1	18	5	19	5	6	8	3	2	2	43	Oktober
7.6	7.9	5.1	6.9	165	32	7	18	16	4	—	—	—	3	15	1	4	2	7	6	12	1	1	56	November
9.2	7.6	7.9	8.2	75	31	7	12	9	5	—	—	4	—	16	3	15	3	2	1	8	—	—	61	Dezember
6.3	5.9	5.5	5.9	844	38	VII	127	105	19	1	16	27	65	136	103	200	62	32	79	45	23	4	550	Jahr

Beobachter: **A. George**

Lausanne (Champ de l'Air)

7³⁰	13³⁰	21³⁰	Mittel	Summe	Maximum	Tag	●/✱	●✱ ≥1.0	✱	▲	⚡	≡	heiter	trüb	N	NE	E	SE	S	SW	W	NW	Calmen	1944
6.9	6.3	7.2	6.8	44	11	26	9	9	3	1	1	5	4	13	1	8	5	3	—	10	16	3	47	Januar
8.1	6.3	5.9	6.8	50	10	4	10	9	8	—	—	3	3	15	1	33	5	3	2	6	10	1	26	Februar
5.4	4.8	3.4	4.5	16	5	13	8	4	5	—	—	—	10	6	7	32	7	2	2	3	17	3	20	März
5.9	3.9	4.7	4.8	29	10	4	7	6	—	—	—	—	8	7	3	23	3	—	2	8	13	2	36	April
4.2	3.5	3.7	3.8	30	12	19	9	6	—	—	1	—	15	7	7	21	6	—	8	9	19	1	22	Mai
5.1	5.4	4.4	5.0	72	27	10	13	11	—	—	4	—	6	5	6	18	2	1	4	14	21	2	22	Juni
4.8	4.1	4.6	4.5	109	44	21	11	10	—	—	4	—	7	5	2	18	1	2	7	15	21	1	26	Juli
3.5	3.0	2.8	3.1	52	26	31	9	7	—	—	5	—	14	2	1	16	5	2	7	16	13	1	32	August
6.7	6.0	3.6	5.4	212	45	2	14	13	—	—	2	2	6	9	2	14	9	1	1	15	19	2	27	September
6.7	7.4	7.8	7.3	132	34	16	18	16	—	—	—	1	2	17	6	24	9	1	3	8	20	1	21	Oktober
7.2	7.5	6.1	6.9	190	23	13	18	16	5	—	—	2	5	14	5	11	8	6	6	8	32	5	9	November
7.2	7.1	5.9	6.7	133	57	7	11	11	4	—	—	1	4	14	2	13	17	4	2	8	26	8	13	Dezember
6.0	5.4	5.0	5.5	1069	57	XII	137	118	25	1	17	14	84	114	43	231	77	25	44	120	227	30	301	Jahr

Beobachter: **M. Thétaz**

Montreux-Clarens

7³⁰	13³⁰	21³⁰	Mittel	Summe	Maximum	Tag	●/✱	●✱ ≥1.0	✱	▲	⚡	≡	heiter	trüb	N	NE	E	SE	S	SW	W	NW	Calmen	1944
6.6	5.5	6.9	6.3	27	8	21	9	5	1	—	—	4	4	12	—	2	—	—	—	3	1	2	85	Januar
6.7	6.9	7.4	7.0	91	23	29	12	12	7	—	—	—	1	13	1	2	1	—	—	—	—	3	80	Februar
5.4	4.6	4.5	4.8	27	7	13	8	6	3	—	—	—	9	5	3	4	--	1	5	4	—	3	73	März
4.7	4.7	4.8	4.7	40	14	4	8	6	—	—	—	—	5	7	—	6	—	1	6	2	—	1	74	April
3.8	4.5	4.8	4.4	24	9	20	7	7	—	—	—	—	9	7	—	1	—	1	3	3	3	2	80	Mai
4.5	5.3	5.2	5.0	95	26	29	12	11	—	—	—	—	4	6	1	3	1	2	3	6	1	1	72	Juni
4.4	4.0	4.6	4.3	161	38	3	12	12	—	—	—	—	9	4	—	—	1	1	4	4	1	1	81	Juli
2.9	3.6	3.1	3.2	124	51	4	12	10	—	—	--	—	11	1	—	—	—	—	1	2	—	—	90	August
4.9	6.0	5.4	5.4	162	34	2	14	13	—	--	1	—	5	8	—	5	—	1	—	1	—	—	83	September
6.0	6.6	7.6	6.9	102	18	18	19	14	—	—	—	—	1	12	—	2	—	—	3	1	—	—	87	Oktober
6.8	7.1	6.1	6.7	234	30	8	16	15	5	—	—	—	4	14	2	5	—	—	—	6	--	2	75	November
5.8	5.8	5.5	5.7	104	30	4	11	11	3	—	—	—	4	9	1	1	—	—	7	2	1	2	79	Dezember
5.3	5.4	5.5	5.4	1191	51	VIII	140	122	19	—	1	4	66	98	8	31	3	7	32	34	7	17	959	Jahr

Rochers de Naye

$\lambda = 6° 59'$, $\beta = 46° 26'$, $H_b = 1986^m$, $G = —\ ^m/_m$, $h_r = 1.5^m$

1944	Luftdruck					Luft-Temperatur								Relative Feuchtigkeit					
	Mittel	Minimum	Tag	Maximum	Tag	7^{30}	13^{30}	21^{30}	Mittel	Minimum	Tag	Maximum	Tag	7^{30}	13^{30}	21^{30}	Mittel	Minimum	Tag
Januar	—	—	—	—	—	-2.1	-0.3	-1.8	-1.5	-14.0	5	7.8	30	60	57	62	60	11	29
Februar	—	—	—	—	—	-9.1	-6.9	-9.1	-8.6	-16.8	19	4.6	1	77	81	80	79	23	7
März	—	—	—	—	—	-7.6	-5.1	-7.1	-6.7	-15.8	5	2.0	29	81	83	88	84	24	17
April	—	—	—	—	—	0.5	2.5	0.5	1.0	-10.2	1	8.4	17	74	78	84	79	12	24
Mai	—	—	—	—	—	2.8	5.6	3.4	3.8	-3.8	22.23	16.1	28	77	79	82	79	25	9
Juni	—	—	—	—	—	5.1	7.5	5.4	5.8	-1.7	8	14.2	29	89	89	91	90	56	29
Juli	—	—	—	—	—	8.2	10.5	8.7	9.0	2.5	11	20.2	26	84	86	88	86	21	6
August	—	—	—	—	—	11.9	15.1	12.3	12.9	7.8	1	24.7	23	77	78	78	78	25	23
September	—	—	—	—	—	5.4	7.7	5.5	6.0	-3.6	25.29	16.4	4	79	84	82	82	8	3.4
Oktober	—	—	—	—	—	-0.6	2.0	-0.1	0.3	-7.8	28	7.9	12	86	82	86	85	41	3
November	—	—	—	—	—	-3.5	-1.7	-3.7	-3.2	-11.0	12	5.8	20	87	90	89	89	8	28
Dezember	—	—	—	—	—	-5.8	-4.6	-6.0	-5.6	-15.0	23	2.0	2	69	70	70	70	24	15
Jahr	—	—	—	—	—	0.4	2.7	0.7	1.1	-16.8	II	24.7	VIII	78	80	82	80	8	IX XI

Leysin

$\lambda = 7° 0'$, $\beta = 46° 21'$, $H_b = 1350^m$, $G = —\ ^m/_m$, $h_r = 1.5^m$

Januar	—	—	—	—	—	0.0	2.6	0.6	0.9	-10.0	5	8.4	30	63	56	59	59	24	30
Februar	—	—	—	—	—	-6.2	-2.9	-5.5	-5.0	-13.6	22	7.2	1	77	67	80	75	33	1
März	—	—	—	—	—	-3.4	0.4	-2.7	-2.1	-9.8	5. 7	8.0	30	59	62	39	53	36	4
April	—	—	—	—	—	5.4	9.4	5.6	6.5	-4.0	1	15.4	24	61	53	60	58	27	7
Mai	—	—	—	—	—	8.1	11.8	8.5	9.2	2.0	22	21.0	29	64	58	61	61	34	3
Juni	—	—	—	—	—	11.0	14.0	10.4	11.4	3.8	7	19.6	29	72	62	71	68	41	8
Juli	—	—	—	—	—	13.0	16.4	13.0	13.8	7.6	22	23.2	26	74	65	71	70	36	26
August	—	—	—	—	—	16.1	19.5	16.2	17.0	12.0	6	27.0	23	70	68	69	69	34	23
September	—	—	—	—	—	9.3	12.3	9.4	10.1	0.7	29	19.0	5	77	73	77	76	40	5
Oktober	—	—	—	—	—	3.5	6.5	4.1	4.5	-1.8	28	12.6	6	77	73	78	76	38	7
November	—	—	—	—	—	0.6	2.4	0.9	1.2	-7.0	12	11.6	20	74	72	77	74	27	28
Dezember	—	—	—	—	—	-2.6	-0.6	-2.2	-1.9	-11.2	23	4.8	19	64	61	60	62	22	27
Jahr	—	—	—	—	—	4.6	7.5	6.9	5.5	-13.6	II	27.0	VIII	69	64	67	67	22	XII

St. Bernhard

$\lambda = 7° 11'$, $\beta = 45° 52'$, $H_b = 2475.8^m$, $G = -0.32\ ^m/_m$, $h_r = 6.0^m$

Januar	566.7	556.0	25	573.9	16.17	-5.6	-4.6	-5.2	-5.1	-18.6	5	1.8	29	53	52	54	53	15	30
Februar	555.5	543.4	29	569.9	1	-12.0	-10.7	-12.5	-11.9	-19.4	13	-1.4	3	67	68	71	69	23	1
März	558.4	550.1	1	566.4	26	-10.1	-8.1	-9.8	-9.4	-18.8	6	0.6	30	66	66	68	67	19	24
April	564.1	555.6	17	572.9	23	-2.8	-0.6	-2.4	-2.0	-14.0	1	5.9	24	77	67	81	75	19	6
Mai	565.8	556.4	21	574.8	28	0.5	3.3	0.5	1.2	-5.6	22	12.8	27	65	51	74	63	21	16.18
Juni	564.7	557.6	7	571.4	12	2.9	5.7	2.9	3.6	-4.0	8	11.2	13	75	60	84	73	25	15
Juli	567.0	560.9	22	572.1	26	5.8	8.6	6.0	6.6	-0.2	4.5.12	15.4	26	71	60	75	69	17	6
August	569.7	565.6	9	573.7	12 25.26	8.6	11.9	9.1	9.7	3.0	5	20.4	23	67	52	71	63	17	23
September	567.8	561.0	28	572.4	12	3.2	5.3	3.5	3.9	-5.7	25	13.8	1	70	66	77	71	11	4
Oktober	560.2	553.4	30	564.4	1	-3.6	-2.0	-3.1	-2.9	-11.0	28	4.6	18	77	73	79	76	22	1
November	560.2	545.8	15	567.1	5.19.30	-6.6	-5.1	-6.5	-6.2	-16.4	12	0.8	18. 20	72	70	74	72	27	19
Dezember	559.9	545.5	8	568.0	1	-9.8	-8.5	-9.8	-9.5	-18.5	31	2.3	2	61	58	60	60	14	28
Jahr	563.3	543.4	II	574.8	V	-2.5	-0.4	-2.3	-1.8	-19.4	II	20.4	VIII	68	62	72	68	11	IX

Sitten

$\lambda = 7° 21'$, $\beta = 46° 14'$, $H_b = 548.6^m$, $G = -0.11\ ^m/_m$, $h_r = 2.4^m$

Januar	721.9	710.1	25	729.7	17	-1.7	3.3	0.4	0.6	-6.5	7	7.2	24	85	62	80	76	40	26
Februar	711.4	692.8	28	724.2	7	-3.6	1.9	-1.9	-1.4	-10.4	15.20	9.8	28	80	55	76	70	34	24
März	713.0	701.6	30	721.9	26	0.4	7.8	3.5	3.8	-4.6	7	16.6	30	72	47	60	60	35	23.30
April	714.6	701.4	17	723.9	23	8.8	17.5	12.0	12.6	2.4	1	21.6	23	69	41	55	55	31	7
Mai	715.1	704.3	20	724.5	26	12.1	20.3	15.0	15.6	7.9	23	28.8	29	68	44	53	55	32	9
Juni	712.3	706.5	19	719.6	13	16.0	22.2	17.3	18.2	12.0	7	27.2	5	68	48	59	58	34	29
Juli	713.7	708.5	22	718.0	26	17.5	23.5	19.0	19.8	10.4	4	29.6	7	72	53	62	62	38	7
August	715.1	710.2	21	719.8	12	18.5	26.2	20.9	21.6	14.3	8	32.9	23	74	52	69	65	37	23
September	716.8	710.7	7	721.0	12	12.1	18.3	13.6	14.4	4.0	29	23.6	6	90	63	84	79	43	6
Oktober	710.8	705.1	24	718.8	3	6.4	12.6	8.3	8.9	1.1	29	18.4	6	94	58	85	79	30	7
November	713.3	698.0	15	722.8	30	1.4	5.2	2.6	3.0	-4.0	28	10.3	7	91	70	89	83	46	28
Dezember	714.9	697.5	8	723.2	1	-3.0	0.5	-1.8	-1.5	-11.8	30	10.9	4	85	70	83	79	48	17
Jahr	714.4	692.8	II	729.7	I	7.1	13.3	9.1	9.6	-11.8	XII	32.9	VIII	79	55	71	68	30	X

Beobachter: Militärbeobachter

Rochers de Naye

Bewölkung				Niederschlag			Zahl der Tage								Windverteilung									1944
7^{30}	13^{30}	21^{30}	Mittel	Summe	Maximum	Tag	●/✱	●✱ ≥1.0	✱	▲	⚡	≡	heiter	trüb	N	NE	E	SE	S	SW	W	NW	Calmen	
5.2	5.5	4.4	5.0	163	31	26	13	13	13	—	—	14	8	9	4	14	9	—	12	30	11	5	8	Januar
6.5	6.8	6.4	6.6	441	64	4	14	14	14	—	—	20	6	15	7	17	5	2	19	18	2	—	17	Februar
7.3	7.0	6.8	7.0	131	41	11	12	12	12	—	—	22	3	14	7	29	7	1	9	13	15	8	4	März
6.7	7.5	6.4	6.9	100	25	25	9	9	8	—	—	15	3	12	4	21	13	2	18	17	9	2	4	April
5.2	6.8	5.4	5.8	71	19	20	13	10	9	1	2	12	3	12	5	9	17	4	16	14	12	7	9	Mai
6.9	8.4	7.2	7.5	245	53	29	15	14	4	1	3	24	1	24	2	10	4	1	9	20	21	1	22	Juni
6.5	7.5	7.0	7.0	315	85	21	15	15	—	1	3	15	1	15	4	6	2	2	15	18	19	6	21	Juli
5.0	6.3	4.4	5.2	90	16	29.31	13	11	—	—	7	11	7	8	7	17	11	5	14	15	12	2	10	August
6.4	7.8	5.7	6.6	254	43	2	19	19	3	—	2	17	3	12	6	4	3	—	28	24	15	3	7	September
7.4	8.3	8.1	7.9	198	39	18	16	15	12	—	—	17	1	19	1	11	9	6	23	22	9	1	11	Oktober
7.7	8.4	6.1	7.4	528	59	23	18	17	17	—	—	18	4	17	3	2	—	6	48	28	3	—	—	November
5.7	5.9	4.4	5.3	230	79	4	14	14	14	—	—	10	7	10	4	27	7	7	22	12	3	1	10	Dezember
6.4	7.2	6.0	6.5	2766	85	VII	171	163	106	3	17	195	47	167	54	167	87	36	233	231	131	36	123	Jahr

Beobachter: M. Baud

Leysin

7^{30}	13^{30}	21^{30}	Mittel	Summe	Maximum	Tag	●/✱	●✱ ≥1.0	✱	▲	⚡	≡	heiter	trüb	N	NE	E	SE	S	SW	W	NW	Calmen	1944
4.9	4.5	4.9	4.8	88	27	26	11	9	8	—	—	2	12	11	2	16	—	—	—	7	14	6	48	Januar
5.4	6.2	5.6	5.7	179	28	8	13	12	13	—	—	2	4	10	4	17	—	—	—	11	30	2	23	Februar
5.9	6.2	3.9	5.3	81	20	13	10	9	10	—	1	4	8	9	1	28	1	—	—	20	9	4	30	März
4.6	5.8	3.5	4.6	38	14	4	8	7	1	—	—	4	8	6	1	19	3	1	1	25	12	3	25	April
4.0	5.2	3.4	4.2	44	10	10	10	7	—	—	1	6	10	6	—	16	1	—	—	35	6	4	31	Mai
5.3	6.9	5.6	5.9	119	19	10	15	12	—	—	2	3	5	9	1	12	—	—	4	27	10	9	27	Juni
5.2	5.9	5.1	5.4	192	58	21	15	10	—	—	2	4	7	10	—	14	1	1	1	41	11	5	19	Juli
3.5	5.4	3.8	4.2	129	34	15	13	11	—	1	5	3	9	3	2	6	—	—	—	34	15	11	25	August
5.8	7.1	5.3	6.1	139	38	2	19	15	—	—	—	5	7	13	—	11	2	—	1	14	20	5	37	September
6.5	7.8	7.7	7.3	122	20	1	19	16	5	—	—	9	—	14	2	9	—	—	—	16	33	3	30	Oktober
6.9	8.4	6.3	7.2	342	55	7	18	17	10	—	1	3	5	17	1	10	—	—	1	10	37	5	26	November
5.2	5.7	5.1	5.3	135	33	7	13	12	13	—	—	1	9	11	3	10	—	—	1	8	51	6	14	Dezember
5.3	6.3	5.0	5.5	1608	58	VII	164	137	60	1	12	46	84	119	17	168	8	2	9	248	248	63	335	Jahr

Beobachter: Hospiz

St. Bernhard

7^{30}	13^{30}	21^{30}	Mittel	Summe	Maximum	Tag	●/✱	●✱ ≥1.0	✱	▲	⚡	≡	heiter	trüb	N	NE	E	SE	S	SW	W	NW	Calmen	1944
4.6	3.7	3.4	3.9	146	33	26	10	10	10	—	—	11	14	7	1	84	—	—	—	4	—	—	4	Januar
5.7	6.4	5.4	5.8	204	34	5	16	16	16	—	—	16	8	12	—	55	—	—	—	27	—	—	5	Februar
5.5	5.7	5.1	5.4	150	24	30	15	15	15	—	—	15	8	9	—	81	—	—	—	10	—	—	2	März
6.1	6.1	6.4	6.2	101	28	16	9	9	9	—	—	15	4	12	—	47	—	—	—	39	—	—	4	April
5.0	4.1	5.5	4.9	91	24	21	11	11	10	—	—	10	10	9	—	55	—	—	—	30	—	—	8	Mai
6.0	6.8	6.9	6.6	156	38	17	16	15	4	1	—	18	3	13	—	59	—	—	—	27	—	—	4	Juni
6.3	6.1	5.9	6.1	192	58	3	11	11	2	1	2	14	4	11	—	65	—	—	—	24	—	—	4	Juli
5.6	6.2	6.0	5.9	107	19	31	13	12	—	—	—	10	5	8	—	36	—	—	—	49	—	—	8	August
5.5	7.0	7.6	6.7	133	27	2	16	15	5	—	—	21	5	13	—	34	—	—	—	47	—	—	9	September
6.6	7.8	6.9	7.1	363	57	18	27	26	27	—	2	19	3	13	—	28	—	—	—	54	—	—	11	Oktober
6.0	6.2	5.4	5.9	540	86	23	21	20	21	—	—	13	10	15	—	53	—	—	—	18	—	—	19	November
5.3	5.5	2.9	4.6	171	32	4	13	13	13	—	—	12	11	8	—	45	—	—	—	39	—	—	9	Dezember
5.7	6.0	5.6	5.8	2354	86	XI	178	173	132	2	4	174	85	130	1	642	—	—	—	368	—	—	87	Jahr

Beobachter: Kapuzinerkloster

Sitten

7^{30}	13^{30}	21^{30}	Mittel	Summe	Maximum	Tag	●/✱	●✱ ≥1.0	✱	▲	⚡	≡	heiter	trüb	N	NE	E	SE	S	SW	W	NW	Calmen	1944
5.1	3.6	2.8	3.8	43	17	26	8	5	5	—	—	4	13	4	10	9	1	—	1	—	19	2	51	Januar
6.4	4.8	5.2	5.5	38	13	10	7	7	6	—	—	4	4	8	7	20	3	—	—	2	28	4	23	Februar
6.3	4.6	3.9	4.9	19	8	30	5	3	3	—	—	1	6	7	8	12	1	—	—	12	39	1	20	März
4.8	4.5	4.0	4.4	9	4	4	5	3	—	—	—	—	8	5	3	33	5	—	—	10	27	2	10	April
3.8	4.3	3.9	4.0	10	3	3	5	4	—	—	—	3	12	5	6	19	2	—	—	12	34	5	15	Mai
4.9	5.6	4.9	5.1	24	10	29	9	5	—	—	1	—	3	5	2	15	2	—	—	22	37	1	11	Juni
4.7	4.6	4.4	4.6	59	26	3	7	6	—	—	2	1	6	5	1	16	1	—	2	14	37	—	22	Juli
3.8	4.7	4.5	4.3	68	14	30	10	9	—	—	5	1	7	4	3	26	3	—	—	9	21	1	30	August
5.8	6.1	4.4	5.4	49	13	2	14	13	—	—	2	3	6	10	2	18	3	—	—	8	19	2	38	September
6.7	6.3	6.8	6.6	66	21	18	12	10	—	—	1	1	1	13	5	11	3	—	—	8	19	3	44	Oktober
7.4	6.9	5.6	6.6	277	55	7	18	16	9	—	—	7	4	14	6	20	3	—	—	1	12	4	44	November
5.5	5.6	4.9	5.3	127	54	7	11	11	9	—	—	7	10	10	13	10	5	—	—	3	5	3	54	Dezember
5.4	5.1	4.6	5.0	789	55	XI	111	92	32	—	11	32	80	91	66	209	32	—	3	101	297	28	362	Jahr

Montana

$\lambda = 7° 29'$, $\beta = 46° 19'$, $H_b = 1453.2^m$, $G = -0.21$ m/m, $h_r = 1.5^m$

1944	Luftdruck					Luft-Temperatur								Relative Feuchtigkeit					
	Mittel	Minimum	Tag	Maximum	Tag	7^{30}	13^{30}	21^{30}	Mittel	Minimum	Tag	Maximum	Tag	7^{30}	13^{30}	21^{30}	Mittel	Minimum	Tag
Januar	646.2	635.2	25	652.6	17	-2.0	3.0	-0.5	0.0	-12.0	6	9.9	29	54	42	53	50	15	30
Februar	635.7	620.4	28	648.9	1	-7.1	-2.2	-6.1	-5.4	-14.7	13	8.2	1	66	52	64	61	24	1
März	638.2	630.0	1	645.9	18	-4.8	1.5	-2.2	-1.8	-10.6	5	8.2	30	63	44	52	53	17	24
April	642.0	633.2	17	649.7	23	4.8	10.3	5.4	6.5	-5.1	1	17.5	24	57	41	52	50	24	24
Mai	642.8	633.1	21	650.0	26. 28	8.1	14.0	8.9	10.0	2.0	23	23.9	28	56	38	47	47	20	9
Juni	641.3	634.9	7	647.5	13	10.8	15.3	11.5	12.3	4.1	17	20.8	29	63	43	55	54	26	15
Juli	643.1	637.4	22	646.9	26	13.1	18.0	14.8	15.2	7.2	4	24.2	26	63	43	50	52	24	26
August	645.0	641.5	9	648.7	26	15.7	21.6	16.9	17.8	8.8	6	29.5	23	62	40	57	53	21	23
September	644.9	640.4	7	648.6	12	9.4	13.6	9.8	10.6	0.7	29	20.1	2	75	61	76	71	36	5
Oktober	638.2	631.5	30	643.8	3	3.4	7.5	4.0	4.7	-2.1	29	13.2	12	87	77	85	83	40	7
November	639.0	624.0	15	647.5	30	-1.2	1.6	-0.8	-0.3	-10.2	12	9.2	20	84	76	89	83	40	28
Dezember	639.4	623.6	8	647.3	1	-4.8	-1.0	-4.5	-3.7	-14.3	30	5.7	2	75	66	74	72	32	26. 28
Jahr	641.3	620.4	II	652.6	I	3.8	8.6	4.8	5.5	-14.7	II	29.5	VIII	67	52	63	61	15	I

Reckingen

$\lambda = 8° 14'$, $\beta = 46° 28'$, $H_b = 1332.4^m$, $G = -0.19$ m/m, $h_r = 1.6^m$

Januar	654.2	642.3	25	661.6	17	-7.8	-0.4	-5.9	-5.0	-18.4	6	3.3	13	85	51	81	72	33	17
Februar	643.9	629.8	29	657.8	1	-10.9	-3.3	-8.4	-7.7	-21.6	21	4.8	3	87	60	79	75	41	1.23.24
März	645.8	637.5	1	654.0	18	-7.7	1.0	-4.2	-3.8	-15.0	23	7.0	29	81	48	72	67	26	28
April	649.9	642.3	17	657.7	24	2.0	9.8	3.6	4.7	-5.4	1	18.1	24	81	41	69	64	20	23. 24
Mai	650.4	640.6	21	658.8	27	8.0	15.3	8.0	9.8	0.1	23	24.1	30	64	37	59	53	24	9
Juni	648.8	642.8	7	655.2	13	10.3	16.8	10.0	11.8	3.4	18	23.6	13	69	42	69	60	30	13. 30
Juli	650.7	645.0	22	654.7	26	13.0	19.2	12.6	14.4	0.9	4	25.8	26	74	43	69	62	26	6
August	652.7	648.3	2	657.0	26	13.5	23.3	14.7	16.6	9.6	10	29.6	23	80	37	75	64	26	23
September	652.1	648.1	7	656.0	16	6.8	14.8	8.5	9.7	-1.2	30	21.6	2	92	48	83	74	26	4
Oktober	646.0	639.9	30	651.1	3	2.2	8.3	3.4	4.3	-5.8	31	14.6	15	92	57	89	79	32	26
November	646.7	632.1	15	655.3	30	-4.4	0.7	-2.8	-2.3	-14.6	28	5.2	20	94	72	92	86	40	17
Dezember	647.7	631.7	8	656.1	1	-9.6	-3.4	-7.9	-7.2	-20.4	30	2.4	4	84	66	81	77	32	29
Jahr	649.1	629.8	II	661.6	I	1.3	8.5	2.6	3.8	-21.6	II	29.6	VIII	82	50	76	69	20	IV

Graubünden

Chur

$\lambda = 9° 32'$, $\beta = 46° 51'$, $H_b = 633^m$, $G = -0.10$ m/m, $h_r = 1.7^m$

Januar	713.8	700.9	25	722.1	15	-1.8	2.5	-0.6	-0.1	-9.6	7	10.2	23	84	60	80	75	25	23
Februar	703.7	686.1	28	716.9	7	-3.9	0.0	-2.4	-2.2	-12.4	20	9.8	3	78	59	74	70	29	25
März	706.0	694.4	13	717.1	25	-1.5	2.6	0.0	0.3	-4.8	22	11.3	30	75	54	72	67	36	28
April	708.2	697.0	17	713.6	27	7.0	14.4	9.2	9.9	-0.1	2	22.0	24	69	39	58	55	20	24
Mai	708.5	696.8	21	717.2	26	9.6	16.3	11.8	12.4	4.2	9	28.6	30	72	43	64	60	22	30
Juni	705.6	699.1	10	713.0	12	12.4	18.2	14.3	14.8	7.2	8	24.5	29	75	47	64	62	28	26
Juli	706.9	700.7	22	711.3	16	15.4	21.0	16.8	17.5	10.8	6	30.1	7	74	46	67	62	23	7
August	708.3	703.7	20	712.5	12	17.4	25.0	19.8	20.5	12.6	5	31.9	23	73	44	64	60	24	16
September	709.5	703.2	7	714.9	12	11.5	17.4	13.1	13.8	4.8	30	26.6	2	82	50	81	71	23	4
Oktober	703.5	698.4	27. 30	711.3	3	6.4	12.0	8.2	8.7	0.8	4	18.4	6	86	50	74	70	26	4
November	705.0	690.4	15	715.8	30	1.8	5.2	2.7	3.1	-2.9	13	13.0	20	77	58	76	70	29	1
Dezember	707.3	689.2	8	716.6	1	-2.0	1.3	-0.8	-0.6	-10.6	30	7.8	17	68	59	68	65	26	17
Jahr	707.2	686.1	II	722.1	I	6.0	11.3	7.7	8.2	-12.4	II	31.9	VIII	76	51	70	66	20	IV

Platta-Medels

$\lambda = 8° 51'$, $\beta = 46° 39'$, $H_b = 1378^m$, $G = -0.21$ m/m, $h_r = 1.2^m$

Januar	651.1	639.1	25	658.5	17	-4.4	3.0	-3.4	-2.1	-13.4	6	10.4	30	64	44	64	57	27	30
Februar	640.7	626.4	29	653.7	1	-7.5	-1.3	-6.4	-5.4	-18.0	21	7.0	2	70	50	67	62	30	1. 17
März	643.2	632.8	13	653.0	25	-6.0	1.7	-4.8	-3.5	-11.0	23	8.4	29	73	48	69	63	30	29
April	647.4	638.4	17	657.0	23	2.2	9.5	3.8	4.8	-5.4	1. 2	18.8	24	68	42	62	57	20	23
Mai	648.0	637.3	21	656.5	27	6.0	13.9	7.0	8.5	-1.0	9	25.0	28	66	39	63	56	25	3.4.9
Juni	645.9	637.8	7	653.5	12	9.3	15.6	9.6	11.0	2.8	8	21.2	12	*66	*40	*62	*56	?	—
Juli	647.7	641.3	22	653.2	16	11.6	18.9	12.2	13.7	6.8	6. 12	25.4	18	70	40	71	60	26	6. 14
August	649.9	646.4	2	654.8	12	14.0	21.6	15.0	16.4	9.4	5	31.0	23	67	42	67	59	25	23
September	649.6	643.0	27	653.9	12	8.1	14.4	8.8	10.0	0.0	30	20.0	12	69	47	69	62	27	4
Oktober	642.7	636.8	30	648.7	3	3.0	8.3	3.9	4.8	-3.6	31	14.0	6. 26	84	55	84	74	33	4
November	643.2	628.7	15	653.0	30	-1.5	3.3	-1.1	-0.1	-10.8	12	10.4	18	85	61	84	77	34	28
Dezember	645.0	629.0	8	653.3	1	-5.0	0.1	-4.8	-3.6	-12.4	10.23	7.2	20	78	58	76	71	26	27
Jahr	646.2	626.4	II	658.5	I	2.5	9.1	3.3	4.5	-18.0	II	31.0	VIII	72	47	70	63	20	IV

Beobachter: Sanatorium „La Moubra": E. Pralong

Montana

Bewölkung				Niederschlag			Zahl der Tage								Windverteilung									1944
7^{30}	13^{30}	21^{30}	Mittel	Summe	Maximum	Tag	• *	•* ≧1.0	*	▲	K	≡	heiter	trüb	N	NE	E	SE	S	SW	W	NW	Calmen	
5.3	3.6	3.5	4.1	86	28	25	8	7	8	—	—	1	10	5	—	—	—	—	—	—	5	7	81	Januar
6.3	5.0	5.2	5.5	115	26	4	12	10	12	—	—	—	5	10	—	1	10	—	—	—	18	3	55	Februar
6.1	5.0	4.0	5.0	46	10	30	10	10	10	—	—	—	6	7	1	—	—	—	—	3	22	5	62	März
4.9	5.2	4.3	4.8	22	7	25	4	4	1	—	—	3	8	8	2	1	12	—	—	1	1	2	71	April
3.5	3.2	2.7	3.1	6	3	14	4	3	—	—	—	—	16	4	1	—	5	1	—	3	4	2	77	Mai
4.9	5.8	5.6	5.4	37	16	29	12	8	—	—	1	—	2	7	—	—	2	—	—	4	8	1	75	Juni
5.3	5.2	5.1	5.2	68	23	3	10	6	—	—	1	1	5	7	—	3	2	—	—	3	4	—	81	Juli
3.7	4.5	5.2	4.5	66	14	31	11	9	—	—	1	—	8	4	—	2	3	—	—	2	1	—	85	August
5.8	6.1	5.2	5.7	93	24	1	15	13	—	—	—	2	6	11	—	—	3	—	—	1	2	2	82	September
6.6	6.4	7.3	6.8	112	40	18	15	13	4	—	—	3	1	11	—	20	14	—	—	1	4	4	50	Oktober
6.4	7.0	5.4	6.3	336	48	8	20	17	13	—	—	1	5	12	—	—	2	—	—	—	18	—	70	November
4.7	5.5	3.5	4.6	135	30	4	11	9	11	—	—	3	13	8	—	—	10	—	—	—	6	—	77	Dezember
5.3	5.2	4.8	5.1	1122	48	XI	132	109	59	—	3	14	85	94	4	27	63	1	—	18	93	26	866	Jahr

Beobachter: J. Stucky

Reckingen

5.3	4.4	3.7	4.5	43	15	25	6	6	6	—	—	—	11	6	—	2	—	—	—	—	—	19	72	Januar
5.4	5.0	4.8	5.1	55	10	4	12	11	12	—	—	—	8	8	—	6	—	—	—	—	—	28	53	Februar
6.4	5.8	4.5	5.6	95	29	21	12	11	12	—	—	—	5	8	—	16	—	—	—	—	—	23	54	März
5.7	6.3	5.3	5.8	1	1	17	2	—	1	—	—	—	3	9	—	32	—	—	—	—	—	5	53	April
4.9	5.3	3.9	4.7	7	3	16	5	2	—	—	—	—	9	6	—	25	—	—	—	3	—	15	50	Mai
6.5	7.0	5.5	6.3	50	18	10	15	12	—	1	—	—	—	8	—	25	—	2	—	7	—	7	49	Juni
6.2	6.0	4.8	5.7	124	51	4	10	9	1	—	1	—	3	9	—	6	—	2	—	30	—	5	50	Juli
4.5	5.8	5.9	5.4	62	15	15	13	11	—	1	1	—	4	6	—	6	—	4	—	16	—	4	63	August
6.7	6.9	5.8	6.5	84	15	2	15	11	—	—	—	—	3	12	—	5	—	—	—	26	—	1	58	September
7.7	7.6	7.1	7.5	191	30	18	19	16	5	—	—	—	—	16	—	1	—	7	—	6	—	7	72	Oktober
7.0	6.8	6.9	6.9	285	58	7	21	21	16	—	—	—	5	17	—	—	—	—	—	12	—	8	70	November
5.6	5.7	4.3	5.2	116	29	3	11	9	11	—	—	—	10	12	—	2	—	2	—	11	—	—	78	Dezember
6.0	6.1	5.2	5.8	1113	58	XI	141	119	64	2	2	—	61	117	—	126	—	17	—	111	—	122	722	Jahr

Graubünden

Beobachter: Kantonsschule

Chur

6.6	4.8	5.7	5.7	38	9	26	8	8	6	—	—	1	5	10	1	—	1	18	—	—	—	6	67	Januar
7.1	6.2	7.8	7.0	59	15	10	13	10	10	—	—	—	4	14	4	—	2	15	2	1	8	24	31	Februar
7.7	7.5	7.3	7.5	74	15	26	16	13	14	—	—	—	2	17	1	—	1	7	—	—	12	16	56	März
7.1	6.0	6.2	6.4	21	12	25	8	6	—	—	—	—	4	11	3	—	2	23	1	4	8	24	25	April
5.9	5.5	6.1	5.8	33	9	17	9	7	—	—	1	—	6	11	7	—	3	23	—	2	2	44	12	Mai
6.0	6.9	7.2	6.7	66	13	5	14	14	—	—	1	—	1	9	5	1	1	6	3	1	3	34	36	Juni
6.4	6.5	7.2	6.7	80	16	21	14	12	—	—	1	—	3	14	1	—	2	10	1	1	7	35	36	Juli
5.0	4.9	6.3	5.4	27	13	31	9	6	—	—	—	—	4	9	—	—	2	16	—	—	3	31	41	August
5.9	7.1	6.2	6.4	111	34	2	12	11	—	—	—	—	4	11	2	—	5	10	—	—	3	34	36	September
7.9	6.3	7.6	7.3	74	14	19	12	12	—	—	—	—	—	13	—	—	2	21	1	—	2	25	42	Oktober
7.9	7.6	8.1	7.9	157	52	7	15	12	7	—	—	—	3	22	2	—	8	15	—	—	4	16	45	November
6.5	6.7	6.3	6.5	60	16	4	10	8	4	—	—	—	4	14	1	—	3	35	1	—	2	11	40	Dezember
6.7	6.3	6.8	6.6	800	52	XI	140	119	41	—	3	1	40	155	27	1	32	199	9	9	54	300	467	Jahr

Beobachter: G. Riedi

Platta-Medels

5.3	4.8	4.6	4.9	53	18	4	6	6	6	—	—	3	9	5	1	3	—	1	5	—	—	—	83	Januar
7.9	6.6	7.7	7.4	184	32	11	15	14	15	—	—	7	3	16	4	8	11	1	10	2	—	—	51	Februar
8.1	7.4	7.2	7.6	93	16	21	15	14	14	—	—	9	2	16	9	11	2	2	4	—	—	3	62	März
6.6	6.4	6.6	6.5	34	10	16	7	7	1	—	—	4	4	11	8	1	2	2	24	—	—	1	52	April
5.5	6.4	5.7	5.9	55	20	17	12	9	2	—	—	5	6	14	5	1	2	4	13	—	—	—	68	Mai
7.0	7.0	7.5	7.2	40	12	26	13	12	—	—	—	4	—	13	7	2	—	2	14	—	—	3	62	Juni
6.7	6.6	7.0	6.8	145	40	3	15	12	—	—	2	9	4	14	16	4	—	3	12	—	—	1	57	Juli
5.1	6.3	6.3	5.9	61	10	15	12	12	—	—	4	4	3	10	4	2	—	3	29	1	—	1	53	August
7.1	7.5	7.2	7.3	164	75	2	16	13	1	—	2	7	2	15	1	2	—	1	22	1	—	—	63	September
8.3	7.3	8.5	8.0	158	24	6	21	16	8	—	—	13	—	18	3	3	—	1	27	—	—	—	59	Oktober
7.8	7.3	0.8	7.3	175	51	7	13	13	9	—	—	7	3	18	5	1	—	1	15	3	—	—	65	November
5.5	6.1	3.7	5.1	55	16	31	6	5	6	—	—	5	8	7	2	—	2	1	23	3	—	—	62	Dezember
6.7	6.6	6.6	6.6	1223	75	IX	151	133	62	—	8	77	44	157	65	38	10	22	198	10	—	9	737	Jahr

Arosa

$\lambda = 9°41'$, $\beta = 46°47'$, $H_b = 1865^m$, $G = -0.24$ ‰, $h_r = 1.6^m$

1944	Luftdruck					Luft-Temperatur								Relative Feuchtigkeit					
	Mittel	Minimum	Tag	Maximum	Tag	7^{30}	13^{30}	21^{30}	Mittel	Minimum	Tag	Maximum	Tag	7^{30}	13^{30}	21^{30}	Mittel	Minimum	Tag
Januar	612.4	601.0	25	619.9	17	-4.0	-0.5	-3.9	-3.1	-15.5	6	5.8	29	63	53	61	59	23	18
Februar	602.0	589.3	28	615.3	1	-9.8	-5.3	-9.5	-8.5	-19.0	19	6.8	3	75	64	78	72	33	1
März	604.4	595.8	13	613.1	25	-8.5	-4.1	-8.1	-7.2	-14.6	22	2.4	30	82	65	81	76	31	29
April	609.5	601.6	17	617.5	23	0.6	5.1	0.7	1.8	-9.6	1	12.2	24	69	50	71	63	18	23
Mai	610.6	600.7	21	619.1	27. 28	3.9	9.1	3.7	5.1	-3.6	8	20.9	29	70	53	73	65	26	30
Juni	608.9	601.9	7	616.4	12	6.4	10.7	6.1	7.3	-0.9	8	18.2	29	78	57	82	72	31	4
Juli	611.1	604.8	22	615.3	26	9.1	14.1	8.8	10.2	3.5	12	23.0	7	76	58	82	72	23	26
August	613.5	610.2	9	617.5	26	12.1	17.5	12.0	13.4	6.5	7	26.9	23	70	48	75	64	24	22. 23
September	612.3	606.5	24	616.6	12	5.6	11.1	5.7	7.0	-3.2	30	19.3	5	80	58	87	75	23	30
Oktober	605.4	599.7	30	610.3	7	0.7	5.6	0.9	2.0	-5.0	31	12.3	16	77	57	80	71	31	4
November	605.1	591.1	15	613.9	30	-3.8	-0.9	-2.7	-2.5	-11.1	12	7.0	18	73	59	76	69	20	28
Dezember	605.8	591.1	8	613.8	1	-7.3	-3.3	-7.1	-6.2	-17.0	29	5.0	2	62	49	62	58	22	26
Jahr	608.4	589.3	II	619.9	I	0.4	4.9	0.6	1.6	-19.0	II	26.9	VIII	73	56	76	68	18	IV

Davos-Platz

$\lambda = 9°49'$, $\beta = 46°48'$, $H_b = 1560.7^m$, $G = -0.21$ ‰, $h_r = 9.5^m$

Januar	636.0	623.8	25	643.8	17	-7.7	-1.5	-6.3	-5.4	-20.0	6	2.8	23	81	62	78	74	35	23
Februar	625.6	611.9	28	639.0	1	-11.6	-3.6	-8.9	-8.2	-21.4	21	5.1	3	77	56	75	69	37	28
März	628.0	619.6	1	637.9	25	-8.6	-1.6	-6.4	-5.5	-13.8	10	4.9	30	81	52	77	70	33	24
April	632.6	624.0	17	641.7	23	2.0	7.5	1.9	3.3	-8.2	2	13.9	24	69	43	72	61	18	23
Mai	633.6	622.8	21	642.0	28	7.1	11.1	5.3	7.2	-1.2	8	21.7	29	62	46	72	60	23	9
Juni	631.6	624.6	7	639.1	12	9.9	13.4	8.1	9.9	2.2	18	20.2	29	64	48	75	62	27	12
Juli	633.6	626.9	22	637.9	26	12.2	15.6	10.5	12.2	5.2	12	23.2	7	74	58	85	72	26	26
August	635.8	632.8	9. 20	639.9	26	13.9	19.5	13.2	15.0	8.7	7	27.4	23	80	53	88	74	30	22. 23
September	635.2	629.4	24	639.4	12	6.8	12.5	7.1	8.4	-1.4	30	20.2	2	93	62	94	83	32	19
Oktober	628.5	622.4	30	633.7	3	0.9	7.1	2.2	3.1	-6.5	29	13.8	6	96	63	90	83	34	16
November	628.5	613.8	15	638.1	30	-4.7	0.4	-3.2	-2.7	-14.6	28	6.4	20	91	72	85	83	30	1
Dezember	629.5	613.2	8	638.3	1	-9.9	-4.3	-8.9	-8.0	-22.6	30	2.0	4	82	72	80	78	55	11
Jahr	631.5	611.9	II	643.8	I	0.9	6.3	1.2	2.4	-22.6	XII	27.4	VIII	79	57	81	72	18	IV

Schuls

$\lambda = 10°18'$, $\beta = 46°48'$, $H_b = 1253.2^m$, $G = -0.17$ ‰, $h_r = 1.5^m$

Januar	661.1	648.7	25	670.7	17	-6.7	0.0	-5.3	-4.3	-17.0	6	4.8	28	75	48	76	66	33	1. 18
Februar	650.8	636.4	29	665.7	1	-8.2	-0.8	-6.9	-5.7	-17.6	7	7.4	3	78	47	78	68	30	25. 27
März	652.7	641.7	13	662.7	25	-5.8	3.1	-3.8	-2.6	-13.6	15	8.6	19	76	35	68	60	20	18. 28
April	657.1	649.0	17	666.9	24	3.5	12.9	4.9	6.5	-6.0	1	20.2	24	71	27	58	52	8	23
Mai	657.7	647.1	21	667.6	27	8.4	16.0	8.2	10.2	0.0	8	27.8	30	63	31	64	53	13	3
Juni	655.3	646.3	7	662.8	12	11.2	19.1	10.4	12.8	5.2	7	25.4	13	63	30	71	55	17	12. 25
Juli	657.1	651.2	22	660.9	26	14.0	20.6	13.7	15.5	9.2	5	28.2	20	67	35	65	56	14	26
August	659.5	655.5	15	664.1	26	14.8	24.4	15.5	17.5	10.4	1	32.8	23	76	34	76	62	16	22. 23
September	659.5	652.7	24	664.9	12	8.3	16.6	9.2	10.8	-2.0	30	23.0	2	91	42	89	74	17	19
Oktober	653.0	647.1	27	659.0	6	2.6	10.3	4.2	5.3	-4.4	4	15.8	8	96	46	86	76	19	4
November	653.4	639.0	15	663.3	30	-3.1	2.5	-2.5	-1.4	-11.6	28	7.4	5	83	57	84	75	28	1
Dezember	655.4	637.4	8	664.3	1	-9.4	-3.2	-8.3	-7.3	-16.6	30	4.8	3. 5	80	53	81	71	30	3
Jahr	656.0	636.4	II	670.7	I	2.5	10.1	3.3	4.8	-17.6	II	32.8	VIII	76	40	75	64	8	IV

Buffalora (Ofenpass)

$\lambda = 10°16'$, $\beta = 46°38'$, $H_b =$ ca 1977^m, $G = -$ ‰, $h_r = 1.5^m$

Januar	—	—	—	—	—	-11.6	-0.6	-10.4	-8.2	-25.0	6	6.4	31	97	56	92	82	27	30
Februar	—	—	—	—	—	-14.6	-4.4	-12.6	-11.0	-25.0	7. 20 21	5.2	3	99	68	100	89	37	26
März	—	—	—	—	—	-13.9	-1.5	-12.5	-10.1	-23.8	23	7.5	30	95	63	95	84	30	18
April	—	—	—	—	—	-1.5	8.0	-1.4	0.9	-9.6	1	14.0	24	81	52	90	74	25	23
Mai	—	—	—	—	—	3.7	11.8	2.8	5.3	-10.2	8	22.4	30	79	55	88	74	25	3
Juni	—	—	—	—	—	6.0	13.0	4.5	7.0	-1.2	8	20.0	25	78	59	88	75	30	4
Juli	—	—	—	—	—	7.6	14.8	7.4	9.3	0.8	18	24.5	26	79	61	89	76	25	26. 27
August	—	—	—	—	—	11.1	18.9	10.3	12.6	7.0	1. 2. 4. 7	26.0	21. 23	83	66	92	80	23	23
September	—	—	—	—	—	4.3	11.1	4.7	6.2	-4.8	25	19.0	1	93	78	93	88	31	30
Oktober	—	—	—	—	—	—	—	—	—	—	—	—	—	—	—	—	—	—	—
November	—	—	—	—	—	—	—	—	—	—	—	—	—	—	—	—	—	—	—
Dezember	—	—	—	—	—	—	—	—	—	—	—	—	—	—	—	—	—	—	—
Jahr	—	—	—	—	—	—	—	—	—	—	—	—	—	—	—	—	—	—	—

Wegen Wegzug des Beobachters unterbrochen.

Beobachter: **Lichtklimatisches Observatorium**

Arosa

Bewölkung				Niederschlag			Zahl der Tage								Windverteilung									1944
7^{30}	13^{30}	21^{30}	Mittel	Summe	Maximum Tag		● *	●* ≥1.0	*	▲	K	≡	heiter	trüb	N	NE	E	SE	S	SW	W	NW	Calmen	
5.5	4.6	4.4	4.8	65	19	4	9	9	9	—	—	—	10	8	—	—	—	1	–	3	7	5	77	Januar
6.8	6.5	6.5	6.6	138	36	5	14	13	14	—	—	—	4	12	—	—	—	7	—	4	10	7	59	Februar
8.0	8.3	7.8	8.0	143	24	21	20	16	20	—	—	2	2	19	—	–	—	12	1	1	9	4	66	März
7.5	7.0	7.0	7.2	30	8	25	11	9	6	—	—	1	2	16	—	—	1	6	1	11	3	3	65	April
6.4	6.4	6.7	6.5	57	14	7	12	10	7	—	—	8	5	14	–	–	3	17	4	1	2	4	62	Mai
7.4	7.9	8.1	7.8	133	25	17	14	13	4	—	—	2	—	18	—	1	2	18	—	4	4	1	60	Juni
6.7	7.2	8.1	7.3	151	25	21	16	16	—	—	3	3	3	19	–	–	6	18	–	1	1	1	66	Juli
5.4	6.8	7.2	6.5	91	29	31	18	14	-	1	5	2	2	13	—	1	1	16	1	5	3	5	61	August
6.6	7.3	7.0	7.0	161	36	2	17	14	4	—	2	5	3	14	—	–	—	20	1	2	3	1	63	September
8.0	7.4	6.7	7.4	115	15	6	17	15	12	—	—	6	—	13	-	–	1	14	1	5	4	4	64	Oktober
7.5	8.0	7.3	7.6	199	38	10	17	17	17	—	—	3	3	20	—	—	2	5	—	4	10	8	61	November
5.5	5.1	4.8	5.1	85	28	8	11	9	11	—	—	1	8	10	—	—	—	8	—	2	11	10	62	Dezember
6.8	6.9	6.8	6.8	1368	38	XI	176	155	104	1	10	33	42	176	—	2	16	142	9	43	67	53	766	Jahr

Beobachter: **Kurverein**

Davos-Platz

5.6	4.5	4.6	4.9	75	16	26	9	9	9	—	—	—	12	7	—	5	4	1	—	—	—	—	83	Januar
6.3	6.0	5.7	6.0	131	40	5	14	11	14	—	—	—	5	11	1	10	8	1	1	2	1	—	63	Februar
7.8	7.3	7.6	7.6	126	28	26	17	15	17	—	—	—	1	18	—	18	13	4	—	—	—	—	58	März
6.9	6.7	6.5	6.7	19	5	30	7	6	5	—	—	—	3	12	1	9	16	—	1	4	3	—	56	April
4.6	4.3	4.8	4.6	44	14	7	12	8	4	—	—	2	4	11	1	7	18	1	2	4	—	—	60	Mai
6.7	7.8	7.7	7.4	97	23	5	18	15	2	—	—	—	—	15	—	12	17	1	—	5	2	—	53	Juni
6.7	7.0	7.0	6.9	143	28	22	16	16	—	—	2	—	2	15	—	11	16	—	—	4	1	—	61	Juli
5.5	6.6	5.8	6.0	75	21	31	17	13	—	—	9	—	4	13	-	12	13	—	3	3	—	—	62	August
6.2	6.9	6.9	6.7	119	38	2	19	14	5	—	2	—	4	11	—	8	8	—	1	2	—	—	71	September
7.8	6.8	6.7	7.1	84	18	19	14	12	9	—	—	—	—	13	1	5	6	—	2	2	4	—	73	Oktober
7.1	7.6	7.2	7.3	205	53	7	17	16	16	—	—	—	4	18	1	2	5	—		4	4	—	74	November
4.8	4.5	4.6	4.6	68	19	4	10	6	10	—	—	2	12	7	2	3	4	—	1	3	1	—	79	Dezember
6.3	6.3	6.3	6.3	1186	53	XI	170	141	91	—	13	4	51	151	7	102	128	8	11	33	16	—	793	Jahr

Beobachter: **J. Stocker**

Schuls

4.4	3.6	3.6	3.9	21	8	4	5	4	5	—	—	—	15	8	1	—	1	—	1	1	2	1	86	Januar
7.2	5.8	5.7	6.2	39	14	5	7	7	6	—	—	—	5	12	—	2	—	—	--	5	5	—	75	Februar
6.8	6.6	6.1	6.5	44	12	11	7	6	7	—	—	—	1	13	2	3	5	—	1	6	4	—	72	März
5.8	5.9	6.0	5.9	7	4	30	4	3	—	—	—	—	3	8	1	3	5	—	—	4	5	4	68	April
5.7	4.9	5.8	5.5	60	33	7	10	9	1	—	—	—	5	10	—	3	3	1	3	5	3	2	73	Mai
5.6	6.7	6.7	6.3	69	28	5	14	12	—	—	—	—	3	10	4	2	2	—	1	4	1	2	74	Juni
5.4	6.0	5.9	5.8	66	16	22	13	10	--	—	1	—	5	6	—	1	5	—	1	10	1	—	75	Juli
4.7	5.7	5.3	5.2	46	15	31	13	11	-	-	1	—	4	7	—	—	6	4	—	4	1	1	77	August
6.3	6.6	5.9	6.3	87	33	2	13	13	—	—	1	2	4	10	—	—	4	—	--	2	—	—	84	September
7.2	7.0	6.2	6.8	55	?	—	15	15	2	—	—	4	—	13	—	2	2	—	—	4	2	—	83	Oktober
6.9	7.3	6.7	7.0	124	36	7	16	15	11	—	—	6	4	15	—	—	—	—	—	5	5	—	80	November
5.4	4 5	4.1	4.7	36	13	4	6	5	6	—	--	—	10	6	—	—	—	—	-	3	1	—	89	Dezember
5.9	5.9	5.7	5.8	654	36	XI	123	110	38	—	3	12	59	118	8	16	33	5	7	53	30	10	936	Jahr

Beobachter: **Ch. Waldburger**

Buffalora (Ofenpass)

3.8	4.3	3.0	3.7	14	?	—	4	4	4	—	—	—	13	6	1	3	5	7	—	3	37	7	30	Januar
5.3	6.3	4.6	5.4	47	?	—	6	6	6	—	—	—	8	10	2	6	2	6	—	1	32	8	30	Februar
6.0	5.9	4.6	5.5	59	14	13	7	6	7	—	—	—	6	6	3	9	1	6	—	7	33	24	10	März
4.8	5.3	5.4	5.2	32	10	9	7	7	4	—	—	—	5	4	—	22	3	18	3	11	11	16	6	April
3.3	3.5	4.5	3.8	76	44	31	10	10	4	—	—	—	13	4	2	13	3	31	—	17	10	16	1	Mai
5.4	6.3	5.6	5.8	168	27	5.17	11	11	4	1	—	—	5	8	1	28	2	13	—	9	7	29	1	Juni
5.0	5.2	5.0	5.1	224	60	27	11	11	—	—	—	1	7	9	—	21	2	18	1	17	11	22	1	Juli
4.2	4.9	5.3	4.8	181	30	31	15	15	—	—	—	1	8	6	1	22	5	20	—	24	11	10	—	August
5.4	6.3	5.8	5.8	103	27	27	8	8	2	—	—	2	7	8	1	22	13	7	—	6	11	18	12	September
—	—	—	—	—	—	—	—	—	—	—	—	—	—	—	—	—	—	—	—	—	—	—	—	Oktober
—	—	—	—	—	—	—	—	—	—	—	—	—	—	—	—	—	—	—	—	—	—	—	—	November
—	—	—	—	—	—	—	—	—	—	—	—	—	—	—	—	—	—	—	—	—	—	—	—	Dezember
—	—	—	—	—	—	—	—	—	—	—	—	—	—	—	—	—	—	—	—	—	—	—	—	Jahr

Sta. Maria

$\lambda = 10° 25'$, $\beta = 46° 36'$, $H_b = 1411^m$, $G = -0.21\ ^m/_m$, $h_r = 1.5^m$

1944	Luftdruck					Luft-Temperatur								Relative Feuchtigkeit					
	Mittel	Minimum	Tag	Maximum	Tag	7^{30}	13^{30}	21^{30}	Mittel	Minimum	Tag	Maximum	Tag	7^{30}	13^{30}	21^{30}	Mittel	Minimum	Tag
Januar	647.4	635.8	25	654.9	16	-1.0	1.9	-0.7	-0.1	-10.8	1	6.6	31	50	42	47	46	28	17.30
Februar	637.3	624.4	29	651.2	1	-6.4	-0.9	-5.1	-4.4	-13.2	19	8.2	2	62	46	58	55	31	2
März	639.2	629.2	13	649.0	25	-3.1	3.0	-2.8	-1.4	-8.8	22	8.0	19	55	36	53	48	21	10
April	644.4	637.7	17	652.9	23	4.7	10.7	5.1	6.4	-4.2	1	17.6	24	57	38	55	50	18	23
Mai	645.0	634.8	21	653.9	28	8.9	14.7	9.0	10.4	1.4	9	24.2	31	52	40	58	50	21	9
Juni	642.9	635.1	7	650.2	13	11.3	16.7	11.2	12.6	5.6	8	21.6	14	47	43	64	51	23	24
Juli	644.9	637.8	22	649.7	26	13.6	18.4	13.5	14.7	10.0	4	22.8	8	50	47	68	55	26	6
August	647.6	643.6	2	652.1	26	15.0	20.4	15.3	16.5	11.0	4	26.2	22	60	53	74	62	33	23
September	647.1	640.6	27	651.7	12	8.3	13.4	9.1	10.0	1.8	25	18.8	1	75	55	77	69	30	30
Oktober	640.7	633.6	27	646.1	6	3.7	7.5	4.1	4.9	-3.4	31	13.4	7	74	58	75	69	30	1
November	640.2	625.9	15	649.6	30	-1.7	1.7	-1.3	-0.7	-8.6	13	8.2	7	66	48	63	59	23	26
Dezember	641.9	624.9	8	650.1	1	-6.6	-3.8	-6.0	-5.6	-13.0	30	1.2	13	59	49	57	55	32	28
Jahr	643.2	624.4	II	654.9	I	3.9	8.6	4.3	5.3	-13.2	II	26.2	VIII	59	46	62	56	18	IV

Bevers

$\lambda = 9° 53'$, $\beta = 46° 33'$, $H_b =$ ca. 1711^m, $G = -0.23\ ^m/_m$, $h_r = 1.4^m$

Januar	624.1	612.2	25	632.7	17	-9.5	-1.7	-7.8	-6.7	-22.0	6	7.0	29	85	54	77	72	32	24
Februar	613.9	602.7	28	628.2	1	-13.1	-3.5	-10.5	-9.4	-22.6	20	6.0	3	86	68	83	79	41	1. 2
März	615.9	605.8	13	624.8	25	-9.7	-1.1	-6.8	-6.1	-17.2	15	4.7	19	81	53	74	69	32	23. 24
April	621.4	615.2	17	630.0	23	0.4	8.3	1.6	3.0	-10.8	2	13.1	23	82	42	77	67	19	23
Mai	622.2	612.1	21	630.8	28	5.7	13.4	5.3	7.4	0.0	22	26.4	28	75	49	78	67	20	31
Juni	620.3	611.7	7	627.6	12	8.6	15.6	7.9	10.0	2.4	17	23.0	4	79	56	84	73	31	24
Juli	622.5	615.4	22	627.2	26	10.6	17.6	10.5	12.3	6.5	13	24.0	13	79	54	82	72	21	13
August	625.0	621.1	17	629.0	12.26	11.7	19.2	12.2	13.8	5.4	12	28.9	23	85	58	88	77	31	14.16
September	624.1	618.3	27	629.6	12	6.8	13.2	7.3	8.7	-2.3	30	20.0	2	88	66	90	81	38	12
Oktober	617.4	610.9	27	622.2	12	0.5	7.0	1.3	2.5	-7.8	31	11.5	8	93	74	91	86	46	3
November	617.0	602.9	15	626.1	30	-7.2	-0.5	-5.3	-4.6	-18.2	28	5.2	8	90	69	87	82	41	9
Dezember	618.3	602.8	8	626.7	1	-13.0	-6.2	-12.2	-10.9	-26.0	30	2.6	4	89	63	88	80	46	1
Jahr	620.2	602.7	II	632.7	I	-0.7	6.8	0.3	1.7	-26.0	XII	28.9	VIII	84	59	83	75	19	IV

Sils-Maria

$\lambda = 9° 46'$, $\beta = 46° 26'$, $H_b = 1813.6^m$, $G = -\ ^m/_m$, $h_r = 1.5^m$

Januar	—	—	—	—	—	-8.3	-1.5	-7.2	-6.1	-17.8	6	5.3	29	71	44	70	62	22	6
Februar	—	—	—	—	—	-12.1	-5.0	-10.0	-9.3	-20.6	20	5.6	3	80	51	77	69	23	7
März	—	—	—	—	—	-9.9	-1.9	-7.4	-6.6	-15.8	2	3.6	31	74	38	66	59	24	16 28. 29
April	—	—	—	—	—	0.0	6.0	0.8	1.9	-10.2	2	12.8	24	72	41	70	61	18	23. 24
Mai	—	—	—	—	—	3.7	9.8	4.8	5.8	-3.0	24	17.6	27	61	46	73	60	23	25
Juni	—	—	—	—	—	7.6	12.9	7.6	8.9	1.1	18	17.2	3	60	47	80	62	22	12
Juli	—	—	—	—	—	9.3	15.0	10.2	11.2	5.0	12	18.6	1	78	51	84	71	27	31
August	—	—	—	—	—	10.4	17.1	12.2	13.0	6.2	10	25.0	23	89	56	92	79	20	23
September	—	—	—	—	—	5.5	10.3	6.6	7.2	-1.8	30	16.1	2	95	66	92	84	22	30
Oktober	—	—	—	—	—	0.3	5.0	1.0	1.8	-9.4	31	9.4	8	95	61	89	82	25	1
November	—	—	—	—	—	-6.1	0.0	-4.9	-4.0	-12.4	28	6.2	7	86	53	82	74	26	17
Dezember	—	—	—	—	—	-10.7	-4.8	-10.8	-9.3	-18.6	30	1.0	4	84	54	83	74	36	2
Jahr	—	—	—	—	—	-0.9	5.2	0.2	1.2	-20.6	II	25.0	VIII	79	51	80	70	18	IV

Vicosoprano

$\lambda = 9° 37'$, $\beta = 46° 21'$, $H = 1087^m$, $G = -\ ^m/_m$, $h_r = 1.5^m$

Januar	—	—	—	—	—	2.9	5.1	3.3	3.6	-5.1	5	12.0	29	42	36	41	40	21	30.31
Februar	—	—	—	—	—	-2.4	0.0	-2.1	-1.7	-8.8	19	10.2	2	49	47	55	50	21	7
März	—	—	—	—	—	-0.6	3.1	0.6	0.9	-6.3	5	7.7	27	44	38	43	42	21	28
April	—	—	—	—	—	6.5	11.1	7.3	8.0	-1.4	1	18.3	24	52	44	56	51	22	1.2. 24
Mai	—	—	—	—	—	10.3	14.2	10.2	11.2	4.7	9	21.4	27	56	48	65	56	18	9
Juni	—	—	—	—	—	13.3	17.0	13.0	14.1	7.3	18	22.1	13	54	48	63	55	24	24
Juli	—	—	—	—	—	15.5	19.2	15.4	16.4	11.8	9	22.3	8	57	50	67	58	27	31
August	—	—	—	—	—	16.1	21.1	16.6	17.6	11.9	10	26.7	23	70	54	76	67	35	23
September	—	—	—	—	—	10.6	17.1	11.1	12.5	5.4	28	19.9	2	73	63	78	71	25	30
Oktober	—	—	—	—	—	5.8	8.9	5.8	6.6	0.6	31	12.3	8	72	61	79	71	31	1
November	—	—	—	—	—	1.1	2.9	1.1	1.5	-6.4	13	11.3	8	57	50	69	56	19	28
Dezember	—	—	—	—	—	-2.2	-1.2	-2.0	-1.8	-9.3	25	4.9	3	52	51	51	51	21	28
Jahr	—	—	—	—	—	6.4	9.9	6.7	7.4	-9.3	XII	26.7	VIII	57	49	61	56	18	V

Beobachter: Eidg. Grenzwachtposten

Sta. Maria

Bewölkung				Niederschlag			Zahl der Tage								Windverteilung									1944
7^{30}	13^{30}	21^{30}	Mittel	Summe	Maximum	Tag	•	•* ≧1.0	*	▲	⛆	≡	heiter	trüb	N	NE	E	SE	S	SW	W	NW	Calmen	
3.4	3.2	1.8	2.8	5	2	23	4	3	4	—	—	—	14	—	—	8	—	9	—	44	—	23	9	Januar
4.2	4.4	4.1	4.2	18	5	29	7	6	7	—	—	—	8	3	—	4	—	3	—	28	1	24	27	Februar
5.2	5.2	4.2	4.9	14	6	21	5	4	5	—	—	—	2	3	—	5	—	7	—	31	—	34	16	März
4.5	4.7	4.5	4.6	10	6	20	2	2	—	—	—	—	3	2	—	13	—	4	—	17	—	33	23	April
4.8	4.3	4.8	4.6	69	25	7	8	8	1	—	—	—	8	3	—	14	—	2	—	15	—	40	22	Mai
4.6	5.8	5.4	5.3	111	26	5	14	13	—	—	1	—	2	3	—	15	—	3	—	18	—	24	30	Juni
4.9	5.6	5.4	5.3	94	30	22	12	12	—	—	4	—	4	5	—	12	—	5	—	15	—	27	34	Juli
4.4	5.3	6.0	5.2	67	27	31	10	8	—	—	2	—	2	6	—	10	—	3	—	8	—	28	44	August
5.3	5.9	5.4	5.5	106	38	2	14	12	2	—	—	—	6	7	—	13	—	3	—	19	—	24	31	September
6.0	6.3	6.3	6.2	93	14	18	16	12	3	—	—	—	—	8	—	9	—	3	—	22	—	23	36	Oktober
5.3	6.0	5.5	5.6	65	26	2	10	8	6	—	—	—	4	6	—	1	—	5	—	38	—	24	22	November
3.5	3.4	3.4	3.4	47	28	8	5	5	5	—	—	—	10	3	—	12	—	3	—	23	—	38	17	Dezember
4.7	5.0	4.7	4.8	699	38	IX	107	93	33	—	7	—	61	49	—	116	—	50	—	278	1	342	311	Jahr

Beobachter: P. Nogler

Bevers

4.6	4.8	2.5	4.0	21	8	5	7	5	7	—	—	—	10	4	10	5	11	—	4	7	27	11	18	Januar
6.8	6.3	5.1	6.1	76	19	5	12	12	11	—	—	—	6	13	12	16	7	—	—	6	14	22	10	Februar
7.9	6.7	6.4	7.0	49	9	14	11	10	11	—	—	—	1	12	25	11	6	2	2	7	19	15	6	März
7.1	6.4	5.4	6.3	6	2	17.20	4	2	2	1	—	—	5	9	4	5	8	—	18	14	31	4	6	April
6.4	6.2	5.9	6.2	58	*27	7	6	6	3	—	—	—	5	11	3	5	8	2	14	13	32	3	13	Mai
7.5	7.3	6.5	7.1	94	26	5	15	13	2	—	1	—	2	15	3	5	2	1	5	13	39	7	15	Juni
7.4	6.8	6.7	7.0	103	23	22	18	15	—	—	—	—	3	13	3	6	1	3	7	18	35	2	18	Juli
6.7	6.6	6.4	6.6	114	40	31	16	14	—	—	2	—	1	12	7	5	6	2	11	16	26	2	18	August
7.3	6.8	6.0	6.7	121	30	2	17	14	2	—	2	—	2	12	8	5	6	2	7	13	25	10	14	September
8.0	7.1	6.9	7.3	109	27	6	18	15	11	—	—	—	1	15	17	8	3	—	7	11	15	17	15	Oktober
7.3	7.3	6.3	7.0	107	21	10	15	11	13	—	—	—	6	17	7	7	13	—	6	5	25	9	18	November
5.4	4.8	2.9	4.4	39	14	8	6	5	6	—	—	—	11	4	11	6	5	—	2	8	26	18	17	Dezember
6.9	6.4	5.6	6.3	897	40	VIII	145	122	68	1	5	—	53	137	110	84	76	12	83	131	314	120	168	Jahr

Beobachter: A. Fluor

Sils-Maria

3.2	3.1	2.4	2.9	16	5	27	4	4	4	—	—	—	18	2	7	—	—	—	4	—	4	—	78	Januar
5.7	5.3	4.8	5.3	52	19	28	7	7	7	—	—	—	10	10	13	—	1	—	2	4	2	2	63	Februar
5.8	6.0	6.2	6.0	14	7	21	3	2	3	—	—	—	4	9	18	1	—	—	1	—	2	2	69	März
6.4	6.3	5.7	6.1	13	10	17	3	3	2	—	—	—	6	10	3	—	—	—	3	2	6	1	75	April
4.8	4.9	5.4	5.0	124	34	7	11	10	2	—	—	—	10	8	6	—	—	—	2	—	3	2	80	Mai
5.2	6.4	5.6	5.7	121	42	5	11	11	1	—	—	—	5	9	1	—	—	1	3	—	8	—	77	Juni
5.7	5.8	6.1	5.9	153	45	21	12	11	—	—	—	—	5	6	7	—	—	—	1	2	2	1	80	Juli
4.7	6.5	5.6	5.6	61	17	16	16	13	—	—	—	—	7	8	2	—	—	—	—	—	2	—	89	August
5.9	7.2	7.5	6.9	113	53	2	12	12	2	—	—	—	4	15	4	—	—	—	3	1	2	1	79	September
7.9	7.3	7.7	7.6	167	30	4	20	18	14	—	—	—	1	18	5	—	—	—	1	—	—	—	87	Oktober
5.9	6.9	6.5	6.4	80	19	2	10	9	8	—	—	—	5	13	—	—	—	—	3	—	—	—	87	November
3.8	4.4	2.4	3.5	57	28	8	3	3	3	—	—	—	13	4	3	—	—	—	7	—	—	—	83	Dezember
5.4	5.8	5.5	5.6	971	53	IX	112	103	46	—	—	—	88	112	69	1	1	1	30	9	31	9	947	Jahr

Beobachter: H. Roffler

Vicosoprano

3.3	3.1	1.9	2.8	4	2	23	2	2	2	—	—	—	17	4	3	57	—	—	—	1	—	1	31	Januar
5.4	5.2	5.4	5.3	62	23	29	6	5	6	—	—	—	10	11	6	31	—	—	—	7	—	3	40	Februar
5.2	5.5	4.7	5.1	6	6	30	2	1	1	—	—	—	5	7	—	62	—	—	—	4	—	1	26	März
6.0	6.0	5.6	5.9	42	23	17	6	5	—	—	—	—	6	9	1	33	—	—	—	4	1	—	51	April
5.1	6.2	5.7	5.7	181	40	6	10	10	—	—	1	—	5	9	1	30	—	—	1	9	1	—	51	Mai
5.6	7.1	6.2	6.3	146	35	5	17	14	—	—	1	—	2	10	—	37	—	—	—	5	2	—	46	Juni
5.8	6.5	6.5	6.3	170	47	21	12	11	—	—	5	—	1	7	2	25	—	—	—	5	2	—	59	Juli
5.7	6.2	6.6	6.2	82	19	16	13	11	—	—	1	—	3	8	—	11	—	—	—	2	1	—	79	August
6.3	7.2	6.9	6.8	246	89	2	16	14	—	—	3	1	3	15	—	22	—	—	—	3	2	—	63	September
7.6	7.0	7.2	7.3	233	34	9	18	16	2	—	—	—	2	15	1	20	—	—	—	2	1	—	69	Oktober
5.6	6.3	4.7	5.5	83	28	2	12	9	7	—	—	1	9	12	—	39	—	—	—	3	—	—	48	November
5.1	4.5	3.1	4.2	65	29	7	5	4	4	—	—	1	10	7	2	43	—	—	—	1	—	—	47	Dezember
5.6	5.9	5.4	5.6	1320	89	IX	119	102	22	—	11	3	73	114	16	410	—	—	1	46	10	5	610	Jahr

Splügen (Dorf)

$\lambda = 9°19'$, $\beta = 46°33'$, $H_b = \text{ca. } 1500^m$, $G = -0.21\ ^m/_m$, $h_r = 0.8^m$

1944	Luftdruck					Luft-Temperatur								Relative Feuchtigkeit					
	Mittel	Minimum	Tag	Maximum	Tag	7^{30}	13^{30}	21^{30}	Mittel	Minimum	Tag	Maximum	Tag	7^{30}	13^{30}	21^{30}	Mittel	Minimum	Tag
Januar	640.9	628.6	25	648.6	17	-6.7	-1.6	-5.4	-4.8	-15.2	6	8.0	29	74	54	68	65	23	29
Februar	630.4	617.1	29	643.7	1	-8.3	-3.5	-7.3	-6.6	-19.0	20	4.1	3	70	54	72	65	31	25
März	632.6	622.3	13	642.2	25	-8.3	-1.0	-5.4	-5.0	-15.4	16	6.1	19	79	46	71	65	21	29
April	637.5	629.6	17	646.3	23	2.0	7.3	2.5	3.6	-8.0	1	16.2	24	69	43	66	59	11	23
Mai	638.3	627.9	21	646.9	28	6.2	11.2	5.7	7.2	-1.4	8	22.0	28	65	44	68	59	19	9
Juni	636.3	629.0	7	643.3	12	9.6	12.4	8.2	9.6	3.0	7	18.2	29	65	49	73	62	27	4
Juli	638.3	630.4	22	643.0	26	11.8	15.7	11.0	12.4	7.0	4	24.2	26	69	49	76	65	23	6
August	640.6	637.8	2. 9	645.6	26	14.6	19.2	13.8	15.3	9.0	1	28.0	23	66	50	76	64	20	23
September	640.1	633.0	24	644.6	12	7.2	11.8	7.5	8.5	-0.2	30	17.4	4	79	55	82	72	26	4
Oktober	633.6	626.7	27	638.7	3	2.5	5.8	2.9	3.5	-4.4	28	11.3	6	79	57	80	72	32	1
November	633.3	618.9	15	642.7	30	-3.3	0.0	-2.9	-2.3	-11.4	28	5.0	5	76	60	77	71	28	29
Dezember	634.6	618.6	8	643.2	1	-7.7	-3.8	-7.3	-6.5	-20.0	30	4.2	19	70	58	71	66	31	27
Jahr	636.4	617.1	II	648.6	I	1.6	6.1	1.9	2.9	-20.0	XII	28.0	VIII	72	52	73	65	11	IV

Bernhardin

Die Abendbeobachtung erfolgt um 20^{30} h. $\lambda = 9°10'$, $\beta = 46°30'$, $H_b = 2073^m$, $G = -0.25\ ^m/_m$, $h_r = 7.9^m$

Januar	—	—	—	—	—	—	—	—	—	—	—	—	—	—	—	—	—	—	—
Februar	—	—	—	—	—	—	—	—	—	—	—	—	—	—	—	—	—	—	—
März	—	—	—	—	—	—	—	—	—	—	—	—	—	—	—	—	—	—	—
April	—	—	—	—	—	—	—	—	—	—	—	—	—	—	—	—	—	—	—
Mai	—	—	—	—	—	—	—	—	—	—	—	—	—	—	—	—	—	—	—
Juni	594.3	587.5	7	601.1	12	5.3	8.8	5.2	5.9	0.4	7. 18	13.0	1. 29	71	58	84	71	26	4
Juli	596.4	601.1	26	690.5	22	8.0	11.6	8.2	8.8	2.4	12	16.2	26	70	60	87	72	30	5. 19
August	599.2	595.6	2	603.4	26	10.4	14.1	11.4	11.6	5.2	1	24.0	23	71	63	86	73	14	23
September	597.7	591.6	27. 28	602.4	12	3.8	6.9	4.8	4.9	-3.4	25. 28	11.8	2	83	71	90	81	28	4. 30
Oktober	590.8	585.5	27	596.6	7	-0.7	1.6	-0.4	0.0	-7.0	28	7.4	1	79	70	88	79	27	19
November	—	—	—	—	—	—	—	—	—	—	—	—	—	—	—	—	—	—	—
Dezember	—	—	—	—	—	—	—	—	—	—	—	—	—	—	—	—	—	—	—
Jahr	—	—	—	—	—	—	—	—	—	—	—	—	—	—	—	—	—	—	—

Braggio

$\lambda = 9°7'$, $\beta = 46°18'$, $H_b = 1332^m$, $G = —\ ^m/_m$, $h_r = 1.5^m$

Januar	—	—	—	—	—	1.3	6.4	1.8	2.8	-6.6	5	14.1	29	54	42	54	50	22	6
Februar	—	—	—	—	—	-4.1	0.1	-3.5	-2.8	-9.7	21	11.1	1	69	61	67	66	32	2
März	—	—	—	—	—	-2.7	4.0	-0.7	0.0	-7.5	5	8.7	26.27	60	50	58	56	28	15
April	—	—	—	—	—	4.6	9.3	6.0	6.5	-3.3	1	14.9	23.24	69	56	67	64	26	23
Mai	—	—	—	—	—	8.1	13.4	9.2	10.0	1.9	9. 23	22.4	27	71	60	73	68	36	8
Juni	—	—	—	—	—	10.9	15.8	12.0	12.7	6.5	8	19.5	24	76	69	75	73	30	24
Juli	—	—	—	—	—	12.9	18.3	14.2	14.9	8.9	13	21.9	6. 19	80	64	78	74	40	5. 11
August	—	—	—	—	—	14.8	20.4	16.0	16.8	10.7	10	24.9	13	83	67	83	78	44	1
September	—	—	—	—	—	9.5	13.4	10.6	11.0	4.9	27. 28 / 29	18.7	2	84	72	85	80	36	3
Oktober	—	—	—	—	—	4.4	8.2	4.9	5.6	-0.1	31	13.6	1	82	75	85	81	28	3
November	—	—	—	—	—	-0.1	4.7	0.7	1.5	-6.1	14	10.5	8	70	59	68	66	28	28
Dezember	—	—	—	—	—	-3.0	0.9	-2.8	-1.9	-9.3	30	6.7	3	65	60	65	63	28	28
Jahr	—	—	—	—	—	4.7	9.6	5.7	6.4	-9.7	II	24.9	VIII	72	61	71	68	22	I

Tessin

Bellinzona

$\lambda = 9°1'$, $\beta = 46°12'$, $H_b = 236.6^m$, $G = -0.02\ ^m/_m$, $h_r = 1.6^m$

Januar	745.1	732.9	4	755.6	16	0.3	6.9	1.6	2.6	-5.8	18	21.2	29	71	42	67	60	11	24
Februar	735.8	721.5	29	748.0	1	1.1	6.3	2.3	3.0	-3.0	20	11.7	1	59	44	58	54	18	13.14
März	736.5	726.2	13	745.3	25	3.4	11.1	6.9	7.1	-0.9	24	17.9	27	53	30	41	41	17	15
April	740.2	733.1	17	750.0	23	9.3	17.8	13.0	13.3	1.5	2	24.2	23	64	39	51	51	13	1
Mai	739.9	729.7	21	749.5	28	13.2	21.3	15.5	16.4	6.4	9	31.0	30	66	38	59	54	15	8
Juni	736.4	727.4	7	744.2	13	16.7	23.9	18.7	19.5	12.0	28	29.1	21	61	39	58	53	16	24
Juli	737.5	730.8	22	743.0	26	18.8	25.6	20.6	21.4	14.8	4	28.8	2	67	44	64	58	20	31
August	739.8	735.1	2	744.8	26	19.1	27.2	22.0	22.6	15.8	10	32.0	14	84	47	82	71	30	1
September	741.4	735.0	2	746.5	12	14.1	19.8	15.6	16.3	5.0	30	23.2	2	82	48	77	69	18	3. 25
Oktober	736.0	726.2	27	743.1	31	8.7	13.8	10.1	10.7	3.0	4	18.3	3	82	55	79	72	17	3
November	737.7	723.5	15	747.6	17	3.0	8.6	4.1	5.0	-3.1	28	17.0	8	76	45	71	64	19	13.21
Dezember	740.8	722.5	8	749.5	24	-0.2	4.2	0.6	1.3	-7.0	30	12.2	5	73	49	70	64	17	29
Jahr	738.9	721.5	II	755.6	I	9.0	15.5	10.9	11.6	-7.0	XII	32.0	VIII	70	43	65	59	11	I

Beobachter: **Frau M. Schwarz-Felix**

Splügen (Dorf)

Bewölkung				Niederschlag			Zahl der Tage								Windverteilung								1944
7^{30}	13^{30}	21^{30}	Mittel	Summe	Maximum Tag		●	●★ ≥1.0	★	▲	☇	≡	heiter	trüb	N	NE	E	SE	S	SW	W	NW	Calmen	
3.3	2.5	2.1	2.6	25	13	26	3	3	3	—	—	—	18	2	—	2	27	—	—	5	59	—	—	Januar
6.0	5.7	5.4	5.7	58	10	28	8	8	8	—	—	—	7	9	—	—	49	1	—	1	36	—	—	Februar
4.7	5.5	4.0	4.7	81	24	21	8	8	8	—	—	—	7	4	—	—	81	—	—	--	12	—	—	März
4.6	4.9	4.7	4.7	32	14	16	6	4	—	—	—	—	5	4	—	1	41	—	—	—	48	—	—	April
4.0	4.8	4.6	4.5	129	34	17	10	9	3	—	—	—	12	5	—	2	61	—	—	1	29	—	—	Mai
5.1	6.8	5.7	5.9	146	24	5	16	16	—	—	2	—	—	10	—	—	56	—	—	—	34	—	—	Juni
6.0	6.5	5.8	6.1	186	46	21	15	14	—	—	2	—	4	10	—	1	55	—	—	2	35	—	—	Juli
4.6	5.5	4.7	4.9	111	45	31	14	12	—	—	2	—	5	5	—	—	21	—	—	2	70	—	—	August
5.8	6.3	5.1	5.7	161	69	2	14	11	3	—	—	—	6	8	—	1	37	—	—	3	49	—	—	September
6.7	5.9	5.3	6.0	160	28	7	18	17	4	—	—	—	2	10	—	—	33	—	—	4	56	—	—	Oktober
6.2	5.9	4.6	5.6	120	42	7	14	12	5	—	—	--	8	7	—	—	30	—	—	1	59	—	—	November
4.2	3.4	3.1	3.6	52	15	7	6	6	6	—	—	—	11	5	—	—	20	—	—	3	70	—	—	Dezember
5.1	5.3	4.6	5.0	1261	69	IX	132	120	40	—	6	—	85	79	—	7	511	1	—	22	557	—	—	Jahr

Beobachter: **E. Albertini**

Bernhardin

--	—	—	—	—	—	—	—	—	—	—	—	—	—	—	—	—	—	—	—	—	—	—	Januar
—	—	—	—	—	—	—	—	—	—	—	—	—	—	—	—	—	—	—	—	—	—	—	Februar
—	—	—	—	—	—	—	—	—	—	—	—	—	—	—	—	—	—	—	—	—	—	—	März
—	—	—	—	—	-	—	—	—	—	—	—	—	—	—	—	—	—	—	—	—	—	—	April
—	—	—	-	—	—	—	—	—	—	—	—	—	—	—	—	—	—	—	—	—	—	—	Mai
6.5	6.6	7.5	6.9	190	63	26	13	12	3	—	1	11	1	11	48	1	—	—	27	—	—	—	14	Juni
7.0	6.0	6.9	6.6	249	61	21	14	14	—	—	1	5	1	8	43	—	—	—	35	--	—	—	15	Juli
5.7	6.2	7.3	6.4	201	103	31	16	13	—	—	2	10	2	9	22	—	—	—	57	—	—	—	14	August
6.6	7.3	7.2	7.0	328	116	2	18	16	2	—	2	15	2	13	26	—	—	—	52	—	—	—	12	September
7.8	7.8	7.9	7.8	374	49	9	17	16	14	—	—	18	—	17	28	1	—	—	49	—	—	—	15	Oktober
—	—	—	—	—	—	—	—	—	—	—	—	—	—	—	—	—	—	—	--	—	—	—	—	November
—	—	—	—	—	—	—	—	—	—	—	—	—	—	—	—	—	—	—	—	—	—	—	—	Dezember
—	—	—	—	—	—	—	—	—	—	—	—	—	—	—	—	—	—	—	—	—	—	—	—	Jahr

Beobachter: **C. Berera**

Braggio

3.2	2.4	2.1	2.6	2	1	23	2	2	2	—	—	—	19	3	12	4	5	2	3	1	—	—	66	Januar
5.6	4.4	3.6	4.5	48	26	28	8	8	8	—	—	—	10	7	19	2	4	1	7	1	—	—	53	Februar
4.3	4.2	2.7	3.7	10	6	30	4	3	2	—	—	—	12	4	31	6	4	1	9	—	—	—	42	März
5.0	5.2	4.2	4.8	41	20	17	5	5	—	—	—	2	11	8	16	7	5	1	2	2	—	—	57	April
4.9	4.8	4.5	4.7	164	30	16	11	11	—	1	1	3	10	8	9	8	1	3	12	2	—	—	58	Mai
5.6	7.4	5.9	6.3	153	34	5	16	15	--	1	3	5	5	9	12	2	3	20	12	—	—	—	41	Juni
5.5	6.1	5.7	5.8	270	62	21	13	13	—	1	6	1	3	10	10	3	5	5	17	—	—	—	53	Juli
5.1	5.9	5.2	5.4	111	29	31	11	11	—	—	4	1	8	9	5	4	5	—	19	—	—	1	59	August
5.7	6.5	6.4	6.2	203	90	2	13	12	—	—	3	5	6	13	10	1	4	3	9	—	—	—	63	September
7.3	7.2	7.5	7.3	296	36	6	17	16	4	—	1	5	2	17	10	—	3	9	4	--	—	—	67	Oktober
5.6	5.5	4.9	5.3	80	20	2	11	10	5	—	—	1	7	10	10	1	2	—	1	2	—	—	74	November
5.1	5.2	4.5	4.9	42	18	7	5	5	5	—	—	1	11	10	10	1	4	—	1	—	1	—	76	Dezember
5.2	5.4	4.8	5.1	1420	90	IX	116	111	26	3	18	24	104	108	154	39	45	45	96	8	1	1	709	Jahr

Tessin

Beobachter: **A. Lienhard**

Bellinzona

4.9	3.3	2.6	3.6	0.3	0.2	26	-	—	—	—	—	3	8	3	12	17	—	—	10	1	—	—	53	Januar
6.5	4.8	4.7	5.3	41	24	28	4	3	3	—	-	—	6	8	10	24	—	-	11	1	-	-	41	Februar
5.6	5.1	2.9	4.5	2	2	30	1	1	—	—	—	—	8	5	9	33	—	—	12	1	—	—	38	März
6.2	5.8	4.9	5.6	58	24	17	7	7	—	—	-	—	4	10	10	17	—	—	14	2	—	—	47	April
6.0	5.7	4.7	5.5	188	37	7	10	10	—	—	1	1	7	10	6	20	--	—	29	2	—	1	35	Mai
5.8	6.6	6.2	6.2	95	33	5	15	12	-	—	2	—	3	10	6	23	—	—	22	2	-	—	37	Juni
6.1	4.8	5.4	5.4	307	75	21	15	13	-	—	7	—	5	7	21	17	1	1	24	--	—	-	29	Juli
4.7	4.5	5.5	4.9	58	17	3	8	8	—	—	3	-	4	9	2	8	-	—	22	7	--	-	54	August
6.3	6.7	6.5	6.5	166	79	2	13	11	—	—	2	-	6	15	8	15	1	—	11	5	—	—	50	September
8.3	6.9	6.9	7.4	330	55	6	16	15	—	—	1	1	2	14	7	29	-	-	8	5	-	-	44	Oktober
5.6	5.6	4.1	5.1	45	12	1	9	9	3	—	-	1	7	9	15	21	—	—	2	7	--	-	45	November
5.5	5.6	4.0	5.0	36	20	7	3	2	3	--	-	—	10	11	11	7	—	—	4	4	-	1	66	Dezember
6.0	5.4	4.9	5.4	1326	79	IX	131	91	9	—	16	6	70	111	117	231	2	1	169	37	—	2	539	Jahr

Bosco-Gurin

$\lambda = 8° 30'$, $\beta = 46° 19'$, $H_b = 1486^m$, $G = —$ mm, $h_r = 2.0^m$

1944	Luftdruck					Luft-Temperatur								Relative Feuchtigkeit					
	Mittel	Minimum	Tag	Maximum	Tag	7^{30}	13^{30}	21^{30}	Mittel	Minimum	Tag	Maximum	Tag	7^{30}	13^{30}	21^{30}	Mittel	Minimum	Tag
Januar	—	—	—	—	—	-1.1	1.0	-1.0	-0.5	-9.4	5	9.2	29	58	50	57	55	24	29
Februar	—	—	—	—	—	-5.7	-2.6	-5.9	-5.0	-13.8	21	7.2	2	67	61	70	66	38	7
März	—	—	—	—	—	-3.4	2.4	-2.4	-1.4	-8.6	23	9.0	26	59	46	60	55	28	24
April	—	—	—	—	—	3.4	8.9	3.9	5.0	-3.5	1	17.0	24	67	53	69	63	28	6
Mai	—	—	—	—	—	7.9	13.5	7.9	9.3	3.0	22.23	22.0	27	68	56	73	66	30	4
Juni	—	—	—	—	—	—	—	—	—	—	—	—	—	—	—	—	—	—	—
Juli	—	—	—	—	—	—	—	—	—	—	—	—	—	—	—	—	—	—	—
August	—	—	—	—	—	—	—	—	—	—	—	—	—	—	—	—	—	—	—
September	—	—	—	—	—	—	—	—	—	—	—	—	—	—	—	—	—	—	—
Oktober	—	—	—	—	—	—	—	—	—	—	—	—	—	—	—	—	—	—	—
November	—	—	—	—	—	—	—	—	—	—	—	—	—	—	—	—	—	—	—
Dezember	—	—	—	—	—	-5.1	-2.3	-4.9	-4.3	-12.6	29	4.0	3	62	55	62	60	26	27.28
Jahr	—	—	—	—	—	—	—	—	—	—	—	—	—	—	—	—	—	—	—

Bosco-Gurin: W. Sartori † im August. Stationsverlegung im November, neue Höhe ca. 1510 m, $h_r = 1.5$ m.

Locarno-Muralto

$\lambda = 8° 48'$, $\beta = 46° 10'$, $H_b = 238.7^m$, $G = 0.02$ mm, $h_r = 1.2^m$

Januar	746.7	733.5	4	757.1	16	1.5	7.1	3.4	3.9	-3.4	7	17.2	29	68	54	62	61	20	29
Februar	737.0	721.9	29	749.2	1	1.3	7.0	2.9	3.5	-1.8	17	11.6	8	61	50	57	56	25	6. 11. 12 13. 14
März	737.8	726.3	13	746.7	18	3.7	11.9	6.3	7.0	0.6	3	19.8	27	58	38	48	48	25	12. 24 25. 27
April	741.9	735.1	17	751.6	23	10.0	16.9	12.5	13.0	4.2	2	22.0	24	70	47	58	58	15	1
Mai	741.6	731.4	21	751.4	28	13.6	19.9	15.0	15.9	10.4	9. 17	26.4	27. 31	74	51	69	65	26	1
Juni	738.4	729.7	7	746.2	13	16.6	22.3	17.6	18.5	13.2	17	26.2	15	76	54	70	67	25	15
Juli	739.5	732.4	22	745.1	26	18.7	24.3	19.9	20.7	16.4	3	27.4	16.17	79	54	71	68	32	11
August	742.0	737.5	2	746.8	26	19.8	26.1	21.2	22.1	16.8	10	29.4	24	86	56	78	73	40	1
September	743.4	736.1	28	748.4	13	14.6	19.5	15.4	16.2	8.0	30	22.8	2	84	69	78	74	32	3
Oktober	737.6	727.7	27	744.2	31	9.0	13.5	10.0	10.6	5.0	31	18.4	3	85	67	82	78	27	2
November	739.1	723.5	15	749.3	17	3.5	8.7	4.7	5.4	-0.4	28	16.0	8	78	56	69	68	30	9. 12
Dezember	742.1	721.8	8	751.6	24	0.6	5.0	1.8	2.3	-4.2	30	9.6	5	74	60	68	67	25	29
Jahr	740.6	721.8	XII	757.1	I	9.4	15.2	10.9	11.6	-4.2	XII	29.4	VIII	74	54	67	65	15	IV

Locarno-Monti

$\lambda = 8° 48'$, $\beta = 46° 10'$, $H_b = 378.9^m$, $G = -0.01$ mm, $h_r = 1.2^m$

Januar	734.0	721.6	4	744.1	16	2.8	6.9	4.3	4.6	-2.8	7	21.0	29	54	50	52	52	21	29
Februar	724.4	709.7	29	737.0	1	1.5	5.6	2.9	3.2	-1.9	20	11.3	1	54	50	53	52	24	13
März	725.2	714.0	13	733.9	18	3.8	10.1	6.7	6.8	0.4	8	17.9	27	5	38	43	44	25	25
April	729.6	722.3	17	739.3	23	9.8	15.1	13.1	12.8	3.7	2	19.7	30	61	49	50	53	21	1
Mai	729.6	719.6	21	739.4	28	13.3	18.1	15.7	15.7	9.8	22	24.3	27	66	52	57	58	28	1. 8. 22
Juni	726.3	717.3	7	734.2	13	16.4	20.8	18.5	18.5	12.6	10	24.5	24	67	53	57	59	28	15
Juli	727.5	720.6	22	733.1	26	18.4	22.8	20.7	20.7	14.2	4	25.4	16	71	54	59	61	29	11
August	730.0	725.5	2	735.0	26	19.6	24.6	21.8	22.0	16.8	9	27.9	24	77	56	67	67	39	1
September	731.3	724.7	2	736.1	12.13	14.5	18.4	15.9	16.2	7.4	30	22.4	2	75	57	67	66	30	25. 30
Oktober	725.3	715.1	27	731.9	31	8.9	12.5	10.2	10.4	4.3	31	17.2	19	77	65	74	72	28	2. 19
November	726.6	719.6	25	735.9	17. 30	3.8	7.9	5.0	5.4	0.0	14	16.3	8	65	54	60	60	29	9
Dezember	729.3	709.3	8	738.1	24	0.9	4.2	1.9	2.2	-4.7	30	9.6	5	63	57	60	60	24	29
Jahr	728.3	709.3	XII	744.1	I	9.5	13.9	11.4	11.5	-4.7	XII	27.9	VIII	65	53	58	59	21	I IV

Lugano

$\lambda = 8° 57'$, $\beta = 46° 0'$, $H_b = 276.2^m$, $G = -0.01$ mm, $h_r = 1.7^m$

Januar	743.1	729.0	4	752.8	16	0.2	7.6	1.7	2.8	-4.3	7	20.0	29	71	50	67	63	16	24
Februar	733.5	718.6	29	746.2	1	0.6	7.5	2.1	3.1	-3.2	17	13.6	3	62	48	58	56	21	13
März	734.3	723.1	13	743.3	25	3.0	13.1	6.4	7.2	-0.4	24	20.2	27	57	32	43	44	18	4
April	738.5	731.3	17	748.1	23	9.2	17.4	12.5	12.9	3.2	2	23.8	24	69	43	56	56	14	1
Mai	738.4	728.0	21	748.4	28	12.4	19.8	15.0	15.6	9.4	2. 11	27.2	31	77	48	67	64	22	1. 11
Juni	735.0	726.1	7	743.0	13	16.2	22.5	18.2	18.8	13.4	11	27.2	24	73	47	63	61	22	8
Juli	736.1	729.0	22	741.9	26	18.0	24.9	20.3	20.9	14.8	10. 13	28.6	31	77	49	67	64	23	31
August	738.7	734.2	2	743.9	26	18.4	25.9	21.3	21.7	15.2	10	29.8	23	83	55	77	72	32	1
September	740.1	733.4	25. 28	745.3	13	14.2	20.0	15.6	16.4	6.8	30	23.8	4	76	52	75	68	18	25
Oktober	734.2	724.2	27	740.9	7	9.2	13.7	10.5	11.0	5.2	4	20.0	3	83	63	80	75	18	3
November	735.7	720.0	15	745.4	17	2.9	9.5	4.4	5.3	-1.4	28	16.8	8	74	50	71	65	22	12. 21
Dezember	738.5	717.9	8	747.7	24	-0.3	6.3	1.2	2.1	-5.8	31	11.8	13	74	48	68	63	17	29
Jahr	737.2	717.9	XII	752.8	I	8.7	15.7	10.8	11.5	-5.8	XII	29.8	VIII	73	49	66	63	14	IV

Beobachter: W. Sartori, A. Della Pietra

Bosco-Gurin

Bewölkung				Niederschlag			Zahl der Tage								Windverteilung									1944
7^{30}	13^{30}	21^{30}	Mittel	Summe	Maximum	Tag	●	≧1.0	✳	▲	⛆	≡	heiter	trüb	N	NE	E	SE	S	SW	W	NW	Calmen	
2.6	2.5	1.6	2.2	24	7	4	5	5	5	—	—	—	21	2	—	—	—	—	5	13	1	2	72	Januar
6.2	5.2	4.8	5.4	109	32	28	11	11	11	—	—	—	8	10	—	—	—	—	17	2	—	2	66	Februar
4.3	3.5	4.3	4.0	40	10	30	6	5	6	—	—	—	9	5	—	—	—	1	16	13	1	—	62	März
4.9	5.3	4.3	4.8	129	50	17	9	8	2	—	—	—	7	6	—	—	—	3	3	10	—	—	74	April
5.1	6.0	4.9	5.3	86	23	21	9	8	1	—	—	1	7	10	—	—	1	1	3	12	3	1	72	Mai
—	—	—	—	—	—	—	—	—	—	—	—	—	—	—	—	—	—	—	—	—	—	—	—	Juni
—	—	—	—	—	—	—	—	—	—	—	—	—	—	—	—	—	—	—	—	—	—	—	—	Juli
—	—	—	—	—	—	—	—	—	—	—	—	—	—	—	—	—	—	—	—	—	—	—	—	August
—	—	—	—	—	—	—	—	—	—	—	—	—	—	—	—	—	—	—	—	—	—	—	—	September
—	—	—	—	—	—	—	—	—	—	—	—	—	—	—	—	—	—	—	—	—	—	—	—	Oktober
—	—	—	—	—	—	—	—	—	—	—	—	—	—	—	—	—	—	—	—	—	—	—	—	November
5.0	6.0	4.5	5.2	47	17	7	9	8	9	—	—	6	10	10	1	1	—	—	—	2	6	7	76	Dezember
—	—	—	—	—	—	—	—	—	—	—	—	—	—	—	—	—	—	—	—	—	—	—	—	Jahr

Beobachter: Frau A. Mariani

Locarno-Muralto

2.8	2.7	2.3	2.6	▪	—	—	—	—	—	—	—	3	12	8	1	—	—	—	2	—	3	—	87	Januar
4.9	4.0	3.1	4.0	57	33	28	5	4	4	—	—	—	10	6	4	—	1	1	6	2	7	—	66	Februar
3.0	2.5	2.0	2.5	2	2	30	1	1	—	—	—	—	16	1	9	—	5	1	9	—	8	1	60	März
4.2	4.8	3.6	4.2	73	27	16	7	6	—	—	—	—	12	7	6	1	—	—	8	—	6	—	69	April
5.3	4.3	4.9	4.8	135	26	15	10	10	—	—	2	—	11	9	1	—	1	—	6	3	13	1	68	Mai
4.3	5.9	4.8	5.0	124	31	26	12	11	—	—	4	—	4	6	3	—	2	—	—	1	15	1	68	Juni
5.1	4.0	4.0	4.4	398	93	21	12	11	—	—	5	—	7	4	2	1	1	—	7	1	10	2	69	Juli
4.0	3.8	4.7	4.2	70	20	31	11	10	—	—	2	—	9	6	2	—	—	—	9	2	8	2	70	August
5.5	5.8	6.8	6.0	153	65	2	13	10	—	—	2	—	7	11	—	—	1	1	—	1	6	—	81	September
6.8	5.8	6.9	6.5	399	61	9	17	17	—	—	3	—	4	12	2	—	2	1	3	—	2	2	81	Oktober
3.8	4.1	3.8	3.9	47	19	2	8	7	1	—	—	—	10	5	3	—	—	1	—	—	4	—	82	November
4.8	4.6	3.7	4.4	33	17	7	2	2	2	—	—	—	12	8	1	2	—	1	—	—	—	—	89	Dezember
4.5	4.4	4.2	4.4	1491	93	VII	98	89	7	—	18	3	114	83	34	4	13	6	50	10	82	9	890	Jahr

Beobachter: Osservatorio Meteorologico Ticinese

Locarno-Monti

2.3	2.7	2.3	2.4	0.3	0.3	25	1	--	—	—	—	1	19	1	21	6	3	5	8	5	9	19	17	Januar
5.0	4.0	4.4	4.5	53	30	28	4	4	3	—	—	1	11	6	13	8	6	2	8	7	14	13	16	Februar
3.4	3.0	2.6	3.0	2	1	30	2	1	—	—	—	—	13	1	17	14	8	6	6	10	10	13	9	März
5.5	5.1	4.5	5.0	71	26	16	8	5	—	—	—	1	5	7	6	7	6	5	5	13	14	9	25	April
6.4	5.3	5.3	5.7	129	25	15	10	10	—	—	—	—	5	9	5	5	6	4	4	10	14	7	38	Mai
5.2	6.5	6.2	6.0	112	30	26	11	10	—	—	2	—	2	9	5	8	9	7	4	13	12	6	26	Juni
5.4	4.3	4.8	4.8	402	91*)	3	13	10	—	—	6	—	6	5	8	12	6	12	5	11	9	13	17	Juli
5.5	4.3	5.5	5.1	77	23	31	10	9	—	—	3	—	6	6	5	2	7	8	6	10	14	4	37	August
6.5	6.3	6.6	6.5	151	66	2	14	9	—	—	2	—	5	14	10	9	8	5	5	7	11	10	25	September
7.4	6.5	7.2	7.0	384	59	9	17	17	—	—	1	4	2	13	15	7	12	3	4	7	6	13	26	Oktober
5.5	5.6	4.4	5.2	44	18	2	7	7	2	—	—	2	6	9	21	8	5	6	7	6	6	8	23	November
5.7	5.3	4.7	5.2	31	17	7	3	3	2	—	—	—	8	10	12	7	7	5	5	1	4	12	40	Dezember
5.3	4.9	4.9	5.0	1456	91*)	VII	100	85	7	—	14	9	88	90	138	93	83	68	67	100	123	127	299	Jahr

*) Locarno-Monti: Zu wenig, Regenmesser vom Sturm umgeworfen.

Beobachter: G. Vicari

Lugano

4.0	4.4	1.7	3.5	0	0	—	—	—	—	—	—	3	11	1	45	13	3	2	6	2	5	3	14	Januar
6.5	5.8	3.5	5.3	49	22	28	5	5	2	—	—	—	6	6	36	15	2	1	12	3	3	2	13	Februar
4.4	4.6	2.5	3.8	0.1	0.1	30	—	—	—	—	—	—	10	—	45	20	4	5	14	1	—	—	4	März
5.5	5.4	4.5	5.1	55	20	17	8	8	-	—	--	—	6	7	22	15	6	3	17	3	3	1	20	April
6.6	5.8	4.7	5.7	148	36	21	9	9	—	1	3	—	6	10	30	11	1	6	16	1	3	3	22	Mai
5.5	6.1	5.3	5.6	107	27	5	16	13	-	—	2	—	3	9	31	9	2	3	22	2	2	2	17	Juni
6.1	4.7	4.1	5.0	314	129	21	13	12	—	—	7	—	6	6	39	12	2	6	16	1	2	4	11	Juli
4.7	4.5	4.3	4.5	75	22	3	12	11	—	—	3	—	11	7	40	12	1	8	16	2	4	2	8	August
6.5	7.0	5.6	6.4	101	33	2	14	12	—	—	1	—	6	13	47	12	2	2	15	-	2	1	9	September
7.7	6.9	6.7	7.1	377	53	6	19	17	—	—	2	—	4	15	32	6	2	3	8	2	10	10	20	Oktober
5.4	5.2	3.7	4.8	42	14	2	7	7	2	—	—	1	9	7	42	8	1	4	5	3	5	8	14	November
5.7	5.0	4.6	5.1	39	24	8	5	3	2	—	—	1	10	9	36	14	--	2	7	8	6	4	16	Dezember
5.7	5.5	4.3	5.2	1307	129	VII	108	97	6	1	18	5	88	90	445	147	26	45	154	28	45	40	108	Jahr

Baden

$\lambda = 8°19', \beta = 47°22', H_b = 386.6^m, h_r = 1.5^m$ — Beobachter: **Nordostschweiz. Kraftwerke**

1944	Luft-Temperatur								Relative Feuchtigkeit						Bewölkung				Niederschlag		Zahl der Tage						
	7^{30}	13^{30}	21^{30}	Mittel	Minimum	Tag	Maximum	Tag	7^{30}	13^{30}	21^{30}	Mittel	Minim.	Tag	7^{30}	13^{30}	21^{30}	Mitt.	Summe	Maxim. Tag	● *	●* ≧1.0	*	▲	K	≡	helle	trübe
Jan.	1.0	3.7	1.7	2.0	-9.5	8	10.4	28	91	73	89	84	34	23	9.0	7.4	8.0	8.1	75	16 4	14	12	3	—	—	—	1	20
Febr.	-2.9	0.9	-1.5	-1.3	-9.4	26	10.1	3	89	61	84	78	46	22	9.6	8.1	8.8	8.8	86	18 29	14	12	12	—	—	2	1	23
März	-0.1	5.1	1.7	2.1	-5.3	5	13.8	29	82	50	72	68	28	29	7.0	7.3	7.0	7.2	37	11 13	12	8	8	—	1	—	2	14
April	7.5	15.7	9.9	10.7	-0.3	2	23.7	24	82	42	71	65	18	24	6.7	6.3	5.6	6.2	33	11 4	7	6	—	—	—	—	5	12
Mai	10.2	17.9	12.6	13.3	3.1	8	29.4	30	76	43	67	62	24	3	5.5	4.8	6.1	5.5	26	7 21	8	7	—	—	—	1	8	11
Juni	13.4	19.3	14.3	15.3	8.3	8	26.2	29	79	50	76	68	29	5	6.6	6.8	6.1	6.5	114	20 29	17	15	—	—	3	1	2	11
Juli	15.6	22.0	16.8	17.8	10.6	13	29.4	7	83	50	77	70	31	20	6.3	6.3	6.0	6.2	95	18 21	14	12	—	—	2	1	5	11
Aug.	17.4	26.0	19.6	20.7	13.4	8	32.6	23	87	47	77	70	29	13	6.3	4.0	3.8	4.7	142	52 29	7	7	—	—	8	3	6	6
Sept.	12.0	17.2	12.3	13.5	3.6	29	24.4	6	85	58	81	75	33	5	8.3	6.8	5.3	6.8	104	16 26	17	14	—	—	—	7	2	12
Okt.	7.3	11.6	8.2	8.8	0.4	31	17.0	7	93	70	90	84	45	4	9.2	7.7	7.4	8.1	64	13 16	11	9	—	—	—	9	—	16
Nov.	3.2	6.1	3.7	4.2	-1.3	27	12.7	20	95	82	95	91	62	4	8.2	8.8	7.6	8.2	196	42 7	22	19	5	—	—	2	1	20
Dez.	-0.6	1.5	-0.7	-0.2	-8.1	28	9.8	4	90	79	89	86	60	5	8.8	6.7	6.3	7.3	71	23 7	11	10	4	—	—	1	1	14
Jahr	7.0	12.3	8.2	8.9	-9.5	I	32.6	VIII	86	59	81	75	18	IV	7.6	6.8	6.5	7.0	1043	52 VIII	154	131	32	—	14	27	34	170

Muri

$\lambda = 8°20', \beta = 47°16', H_b = 483^m, h_r = 0.9^m$ — Beobachter: **Frau K. Müller.**

Jan.	-0.1	2.9	1.1	1.2	-10.0	6	12.0	28	88	72	85	82	31	22	9.3	6.8	8.0	8.0	89	26 25	11	11	3	—	—	5	2	19
Febr.	-3.6	-0.8	-2.3	-2.2	-7.6	25.26	10.0	3	88	74	82	81	59	22	9.4	7.8	9.0	8.7	108	34 29	*13	*12	*9	—	—	3	—	20
März	-0.1	4.3	0.9	1.5	-5.4	10	14.4	29	81	60	74	72	39	28	6.3	6.3	5.9	6.2	59	13 30	*16	*14	*12	—	—	—	7	14
April	8.1	14.6	9.7	10.5	-1.4	2	22.6	24	76	49	64	63	28	24	5.3	4.3	4.9	4.8	25	8 24	6	5	—	—	—	1	6	4
Mai	11.2	17.0	11.5	12.8	4.2	7	26.6	30	73	53	69	65	35	3	4.4	4.2	5.9	4.8	52	13 14	12	11	—	—	—	—	10	10
Juni	13.8	17.5	13.8	14.7	7.2	17	24.8	5	79	58	74	70	35	12	6.6	6.5	7.6	6.9	171	28 10	16	14	—	—	3	1	2	14
Juli	16.4	20.6	16.5	17.5	12.2	11	26.8	26	80	62	77	73	40	26	5.5	6.0	6.3	5.9	91	15 3	12	10	—	—	—	—	5	13
Aug.	19.1	23.4	19.5	20.4	12.6	8	28.2	20	82	58	74	71	40	20	5.7	4.5	4.3	4.8	139	58 31	9	8	—	—	4	—	7	7
Sept.	11.9	16.3	12.6	13.4	4.2	30	22.3	5.6	89	67	90	82	36	5	8.3	7.1	6.2	7.2	130	28 1	18	15	—	—	—	4	2	12
Okt.	7.1	10.8	7.8	8.4	-0.4	29	16.0	8	94	71	91	85	50	3	8.9	8.6	7.1	8.2	92	18 9	16	12	—	—	1	—	21
Nov.	2.6	5.7	3.5	3.8	-3.2	27	12.8	20	93	79	91	88	50	4	8.6	8.8	7.7	8.4	203	38 8	20	20	8	—	—	5	—	21
Dez.	-1.4	0.5	-1.0	-0.7	-8.0	28	8.2	4	91	81	89	87	55	10	8.5	7.9	7.7	8.0	109	50 7	13	9	4	—	—	8	—	16
Jahr	7.1	11.1	7.8	8.4	-10.0	I	28.2	VIII	84	65	80	76	28	IV	7.2	6.6	6.7	6.8	1268	58 VIII	162	141	36	—	7	28	41	171

Rorschach (Mariaberg)

$\lambda = 9°30', \beta = 47°29', H = 455^m, h_r = 1.4^m$ — Beobachter: **Seminar: J. Schenk**

Jan.	1.4	3.9	2.3	2.5	-6.0	6. 7	10.4	28	87	75	82	81	34	9	7.4	7.3	7.5	7.4	75	15 26	12	12	1	—	—	7	4	17
Febr.	-2.7	-0.4	-2.1	-1.8	-8.7	22	10.6	3	85	75	81	80	55	3	9.1	8.2	7.2	8.2	120	22 29	16	16	13	—	—	4	2	19
März	0.0	3.3	1.2	1.4	-4.9	7	12.0	29	79	66	73	73	26	29	8.3	7.6	7.2	7.7	101	14 27	15	15	11	—	1	1	3	18
April	7.5	13.1	9.1	9.7	0.8	1. 2	20.4	16	81	60	68	70	30	16	6.4	7.0	4.5	6.0	104	24 4	10	10	—	—	1	—	7	10
Mai	10.0	15.4	11.1	11.9	3.8	8.22	24.8	30	76	54	73	68	27	2	6.1	6.3	6.2	6.2	142	57 31	11	11	—	—	1	—	6	14
Juni	13.2	17.8	13.7	14.6	7.4	18	23.2	30	82	60	76	73	28	30	7.6	6.3	6.7	6.9	168	29 5	18	18	—	—	1	—	3	14
Juli	16.4	20.6	16.8	17.6	11.0	14	26.2	8	77	60	72	70	30	19	8.3	6.0	6.5	6.9	129	54 9	14	14	—	—	2	—	2	14
Aug.	18.6	24.0	19.3	20.3	14.2	4	31.0	13	78	55	77	70	32	14.15	5.7	3.8	3.5	4.3	131	50 31	10	10	—	—	3	3	8	3
Sept.	12.6	16.8	12.7	13.7	6.2	28	24.4	5	85	66	85	79	44	6. 9	7.5	6.3	4.8	6.2	212	50 24	12	12	—	—	—	1	5	11
Okt.	7.4	10.5	7.8	8.4	-0.2	29	16.4	7	87	75	88	83	54	20.21	8.3	7.3	6.8	7.5	119	24 2	13	13	—	—	—	4	—	12
Nov.	3.5	5.7	4.4	4.5	-1.0	19	13.1	24	83	79	78	80	43	26	8.4	8.1	7.8	8.1	223	50 7	19	18	5	—	—	6	1	18
Dez.	-0.4	1.0	-0.5	-0.1	-7.2	29	8.0	7	81	76	79	79	40	7	9.4	7.4	6.9	7.9	62	19 4	12	12	5	—	—	9	—	19
Jahr	7.3	11.0	8.0	8.6	-8.7	II	31.0	VIII	82	67	78	76	26	III	7.7	6.8	6.3	6.9	1586	57 V	161	160	35	—	9	35	41	169

Schwäbrig (bei Gais)

$\lambda = 9°29', \beta = 47°23', H_b = 1156^m, h_r = 1.7^m$ — Beobachter: **Frl. M. Dreher**

Jan.	-0.7	1.2	0.0	0.1	-11.8	6	9.3	30	61	53	58	57	12	30	6.8	6.4	6.0	6.4	147	19 12	13	13	12	—	—	5	6	14
Febr.	-5.8	-3.9	-5.3	-5.1	-13.0	19	5.7	1	84	80	86	83	17	1	8.5	8.6	8.2	8.4	194	30 2	17	15	17	—	—	9	3	24
März	-4.5	-2.3	-4.0	-3.7	-8.6	4.22	4.8	30	89	85	90	88	49	29	9.1	8.9	8.1	8.7	208	32 31	22	21	22	—	1	11	—	21
April	4.9	8.1	5.5	6.0	-4.7	1	15.9	16	81	72	78	77	34	24	7.4	7.7	5.8	7.0	122	20 18	16	13	5	—	—	4	2	13
Mai	7.3	10.5	7.6	8.2	-0.9	8	21.8	30	82	74	83	80	45	2	6.9	7.2	6.6	6.9	128	40 31	12	11	4	1	1	4	3	12
Juni	10.0	12.3	9.4	10.3	2.9	7	20.8	26	85	79	88	84	56	29	7.8	8.3	7.3	7.8	242	43 5	19	18	—	1	5	4	—	16
Juli	13.2	16.0	12.6	13.6	6.8	12	25.3	8	84	77	86	82	47	8	7.5	7.6	7.5	7.5	216	79 9	15	14	—	—	2	3	2	18
Aug.	16.2	19.4	16.0	16.9	10.6	1	26.3	23	83	76	85	81	46	21	6.5	6.6	5.5	6.2	150	58 31	10	8	—	3	3	8	2	8
Sept.	9.5	12.1	9.0	9.9	2.4	28	18.6	2. 6	86	82	88	85	49	5	6.8	8.0	6.0	6.9	266	58 2	15	15	1	—	1	10	2	13
Okt.	4.0	6.4	4.6	4.9	-2.5	29	14.2	7	90	82	87	86	48	20	8.3	8.2	7.3	7.9	210	39 2	16	13	5	—	—	14	—	14
Nov.	0.0	1.7	0.9	0.9	-5.6	28	9.5	19	81	80	82	81	32	28	7.8	8.1	9.1	8.3	307	72 8	19	18	17	—	—	10	—	19
Dez.	-3.4	-2.1	-3.3	-3.0	-13.0	30	6.2	4	80	79	79	79	27	27	6.6	7.5	5.9	6.7	114	28 4	13	13	13	—	—	11	3	13
Jahr	4.2	6.7	4.4	4.9	-13.0	II XII	26.3	VIII	83	76	82	80	12	I	7.5	7.8	6.9	7.4	2304	79 VII	187	172	96	5	13	93	23	185

Ebnat

$\lambda = 9°\,8',\ \beta = 47°\,16',\ H = 649^m,\ h_r = 1.9^m$

Beobachter: Frl. M. Kuratle

1944	Luft-Temperatur								Relative Feuchtigkeit						Bewölkung				Niederschlag			Zahl der Tage							
	7^{30}	13^{30}	21^{30}	Mittel	Minimum	Tag	Maximum	Tag	7^{30}	13^{30}	21^{30}	Mittel	Minim.	Tag	7^{30}	13^{30}	21^{30}	Mitt.	Summe	Maxim.	Tag	•	•* >1.0	*	▲	⊼	≡	helle	trübe
Jan.	−1.9	2.7	−0.9	−0.2	−14.6	6	10.6	30	93	78	91	87	38	30	6.4	5.0	6.6	6.0	136	19	25	14	13	7	—	—	1	6	9
Febr.	−5.5	−0.9	−4.3	−3.8	−14.0	7	9.6	1	94	76	92	87	44	2	7.8	7.5	7.7	7.7	159	21	2	16	14	14	—	—	1	2	17
März	−2.5	2.8	−1.3	−0.6	−8.8	22	11.4	30	90	66	89	82	38	19	6.6	6.7	7.1	6.8	151	27	31	18	16	15	—	1	—	1	12
April	4.8	13.0	6.4	7.6	−1.2	3	21.2	16	89	59	83	77	34	24	5.6	5.7	5.5	5.6	77	18	26	12	11	—	—	1	—	4	6
Mai	7.9	15.0	10.3	10.9	0.0	9	25.8	30.31	88	58	82	76	35	30	5.3	5.6	6.2	5.7	92	32	31	11	11	—	1	2	—	5	8
Juni	11.9	17.4	12.0	13.3	6.6	18	25.0	25	85	60	89	78	42	15	6.4	6.7	6.2	6.4	239	36	17	19	19	—	—	5	—	1	9
Juli	14.4	20.8	15.0	16.3	10.8	12	27.3	26	86	58	89	78	36	26	5.8	4.9	6.0	5.6	157	24	22	18	14	—	—	—	—	3	5
Aug.	15.1	24.2	17.1	18.4	9.8	8	30.2	23	92	57	91	80	36	21	5.0	3.8	4.8	4.5	135	35	31	10	9	—	—	3	1	5	5
Sept.	10.2	16.1	10.5	11.8	0.8	30	24.0	2	94	65	96	85	41	5	6.0	6.3	5.7	6.0	207	53	2	15	15	—	—	—	3	3	9
Okt.	5.9	10.4	5.9	7.0	−2.6	29	16.2	16	93	68	95	85	46	4.14	7.0	6.8	6.4	6.7	121	28	19	14	12	—	—	1	1	—	10
Nov.	0.7	4.7	2.3	2.5	−5.6	19	11.0	6	91	74	94	86	30	6	6.3	7.0	7.5	6.9	368	83	7	20	20	8	—	1	—	5	14
Dez.	−3.4	0.3	−2.8	−2.2	−11.2	30	8.4	2	90	75	87	84	40	2	6.3	6.0	6.3	6.2	141	41	4	13	12	6	—	—	1	4	11
Jahr	4.8	10.5	5.8	6.7	−14.6	I	30.2	VIII	90	66	90	82	30	XI	6.2	6.0	6.3	6.2	1983	83	XI	180	166	50	1	14	8	39	115

Wald-Hittenberg

$\lambda = 8°\,56',\ \beta = 47°\,16',\ H = 912.3^m,\ h_r = 6.7^m$

Beobachter: Sanatorium

Jan.	0.0	1.9	0.9	0.9	−8.8	6	9.8	30	72	66	69	69	14	30	6.3	5.7	5.6	5.9	144	30	10	14	12	8	—	-	4	6	10
Febr.	−4.2	−2.1	−3.8	−3.5	−10.0	19	8.0	1	76	68	75	73	30	1	8.2	8.2	7.0	7.8	173	27	29	17	14	16	—	—	4	3	19
März	−2.3	0.4	−1.3	−1.1	−5.6	6.7.23	7.4	30	74	62	72	69	28	24.25	8.0	8.4	7.4	7.9	137	16	31	21	19	19	—	—	4	2	20
April	6.6	11.6	8.3	8.7	−1.6	1	18.2	16	61	44	51	52	20	14	7.2	6.4	4.1	5.9	87	22	18	11	10	1	—	1	2	4	10
Mai	9.0	13.2	10.5	10.8	2.8	7	24.3	30	64	52	56	57	23	3	5.7	6.3	5.8	5.9	99	24	31	13	11	—	—	1	2	6	13
Juni	11.6	15.4	12.2	12.8	6.0	18	22.4	29	71	55	65	64	27	29	6.9	7.7	7.2	7.3	274	53	14	17	17	—	1	3	2	1	13
Juli	14.1	18.2	15.4	15.8	9.0	12	24.4	26	71	53	62	62	26	26	6.3	6.2	6.8	6.4	181	36	22	16	14	—	—	—	1	3	13
Aug.	17.2	22.1	18.4	19.0	13.4	2	27.0	23	68	48	59	58	26	21	5.5	4.9	4.6	5.0	197	57	16	9	7	—	—	6	—	7	0
Sept.	11.2	14.6	11.3	12.1	4.8	30	21.0	2	77	62	77	72	32	5	6.0	7.3	4.7	6.0	202	38	2	18	16	—	—	1	3	4	9
Okt.	5.9	9.0	6.6	7.0	0.1	29	14.8	6	79	62	76	72	30	7	7.7	7.4	6.5	7.2	100	21	1	16	13	1	—	1	5	—	14
Nov.	2.0	3.5	2.6	2.7	−3.0	13	9.9	20	75	71	76	74	25	20	7.9	8.2	8.2	8.1	247	47	8	21	18	11	—	1	6	1	21
Dez.	−2.1	−0.2	−1.5	−1.3	−9.2	30	5.9	17	69	64	65	66	20	27	7.2	7.7	5.3	6.7	75	17	4	14	11	11	—	—	9	2	13
Jahr	5.8	9.0	6.6	7.0	−10.0	II	27.0	VIII	71	59	67	66	14	I	6.9	7.0	6.1	6.7	1916	57	VIII	187	162	67	1	14	42	39	161

Braunwald (ob Linthal)

$\lambda = 9°\,0',\ \beta = 46°\,56',\ H = 1189.5^m,\ h_r = 1.5^m$

Beobachter: Sanatorium

Jan.	−1.0	2.1	−0.4	0.1	−12.0	6	7.8	29.30	72	61	70	68	35	23.30	5.9	4.3	4.6	4.9	161	35	4	12	12	8	—	—	2	12	10
Febr.	−6.0	−1.7	−5.6	−4.7	−15.2	20	7.3	1	79	66	83	76	34	24	7.4	7.9	7.2	7.5	241	38	8	12	12	11	—	—	2	4	18
März	−4.4	0.5	−3.1	−2.5	−11.2	7	7.0	17	82	65	81	76	41	19	7.8	7.7	7.7	7.7	235	40	13	20	20	19	—	—	3	2	19
April	4.1	9.1	5.0	5.8	−4.6	1	17.0	24	69	52	69	63	30	24	6.0	5.2	5.2	5.5	62	31	25	13	9	3	—	—	3	6	7
Mai	7.5	12.0	7.7	8.7	0.4	8	21.4	29	73	58	74	68	35	2	5.2	5.8	6.0	5.7	64	14	20	10	9	1	—	—	6	5	9
Juni	9.9	13.4	9.9	10.8	3.8	18	20.0	5	78	64	80	74	40	12.25 16.29	6.5	7.1	7.6	7.1	156	22	5	18	15	—	—	2	4	2	14
Juli	12.8	16.4	12.6	13.6	7.6	12	*23.0	7	80	67	82	76	*35	6. 7	7.2	7.0	7.0	7.1	195	?	—	13	13	—	—	1	4	3	16
Aug.	15.4	19.8	15.5	16.5	10.2	5	26.8	22	74	63	79	72	36	21	5.1	5.2	5.7	5.3	73	19	31	13	12	—	—	2	2	6	6
Sept.	9.1	13.2	9.3	10.2	1.0	30	18.8	6	83	72	85	80	44	6	5.5	7.3	6.3	6.4	170	45	2	14	13	—	—	-	3	5	12
Okt.	4.5	7.9	4.8	5.5	−4.9	29	15.5	6	83	70	82	78	31	7	7.8	7.2	7.8	7.6	151	32	19	15	12	5	—	—	10	—	14
Nov.	−0.3	2.8	0.3	0.8	−8.0	12	10.8	20	76	68	81	75	34	28	6.6	7.5	7.1	7.1	527	142	7	19	19	10	—	—	2	5	16
Dez.	−4.2	−0.8	−3.8	−3.2	−14.2	30	7.8	11	69	63	68	67	33	28	5.1	6.3	5.9	5.8	149	51	4	10	10	10	—	—	4	10	13
Jahr	3.9	7.9	4.3	5.1	−15.2	II	26.8	VIII	77	64	78	73	30	IV	6.4	6.5	6.5	6.5	2184	142	XI	169	156	67	—	5	45	60	154

Vättis

$\lambda = 9°\,26',\ \beta = 46°\,55',\ H_b = 950^m,\ h_r = 1.5^m$

Beobachter: Frau M. Kressig, A. Jäger.

Jan.	−3.0	1.0	−1.8	−1.4	−13.2	6	10.4	31	91	80	90	87	38	23 30.31	5.6	4.0	3.4	4.3	73	17	4	11	10	7	—	—	—	11	8
Febr.	−5.0	−1.3	−3.9	−3.5	−16.4	20	6.8	3	93	84	92	90	46	25	7.0	6.1	6.1	6.4	156	27	7	13	11	12	—	—	—	7	15
März	−3.2	−0.1	−2.3	−2.0	−7.8	23	8.2	30	91	76	95	87	38	29	8.2	6.8	6.1	7.-	136	21	13	16	14	15	-	-	1	3	16
April	7.0	10.1	6.7	7.6	−2.2	1	16.8	23	74	63	76	71	33	7	7.5	6.5	5.5	6.5	11	3	25	7	5	2	—	—	—	4	12
Mai	8.8	13.1	9.1	10.0	−1.8	8	24.6	31	70	62	81	71	30	9.10	5.6	5.2	5.5	5.4	32	*9	17	9	8	1	—	-	-	8	9
Juni	13.4	15.7	12.6	13.6	5.8	18	21.0	5	70	67	75	71	30	30	6.4	6.2	6.7	6.4	—	—	—	—	—	—	—	—	—	4	10
Juli	—	—	—	—	—	—	—	—	—	—	—	—	—	—	—	—	—	—	—	—	—	—	—	—	—	—	—	—	—
Aug.	—	—	—	—	—	—	—	—	—	—	—	—	—	—	—	—	—	—	—	—	—	—	—	—	—	—	—	—	—
Sept.	—	—	—	—	—	—	—	—	—	—	—	—	—	—	—	—	—	—	—	—	—	—	—	—	—	—	—	—	—
Okt.	—	—	—	—	—	—	—	—	—	—	—	—	—	—	—	—	—	—	—	—	—	—	—	—	—	—	—	—	—
Nov.	−0.2	3.5	0.3	1.0	−6.6	12	11.5	20	—	—	—	—	—	—	7.0	7.1	7.1	7.1	202	55	7	17	15	10	-	-	4	17
Dez.	−3.9	−0.1	−3.5	−2.8	−14.4	30	6.2	2	—	—	—	—	—	—	5.6	5.6	4.2	5.1	64	27	4	11	5	10	—	—	1	9	10
Jahr	—	—	—	—	—	—	—	—	—	—	—	—	—	—	—	—	—	—	—	—	—	—	—	—	—	—	—	—	—

Vättis: Stationsverlegung im Oktober, neues H_b = Ex. m

Werthenstein

$\lambda = 8°\,6'$, $\beta = 47°\,3'$, $H_b = 594^m$, $h_r = 1.5^m$ — Beobachter: **D. Ineichen**

1944	Luft-Temperatur								Relative Feuchtigkeit						Bewölkung				Niederschlag			Zahl der Tage							
	7^{30}	13^{30}	21^{30}	Mittel	Minimum	Tag	Maximum	Tag	7^{30}	13^{30}	21^{30}	Mittel	Minim.	Tag	7^{30}	13^{30}	21^{30}	Mitt.	Summe	Maxim.	Tag	• *	• * ≧1.0	*	▲	⛆	≡	helle	trübe
Jan.	−0.8	3.8	0.4	1.0	−10.2	6	12.7	28	84	60	81	75	29	23	7.1	5.6	7.2	6.6	42	8	25	10	9	5	—	—	4	5	13
Febr.	−4.1	−0.9	−3.3	−2.9	−11.7	26	13.2	3	84	67	82	78	48	3	9.0	7.8	8.2	8.3	102	45	29	17	14	15	—	—	2	1	20
März	−1.3	3.9	0.1	0.7	−5.8	5	13.6	29	78	55	76	70	24	29	8.1	7.0	7.4	7.5	48	13	31	18	15	15	—	—	2	—	3	16
April	6.3	14.3	8.4	9.4	−2.4	1	21.9	24	81	50	74	68	28	24	6.7	5.8	6.0	6.2	47	15	18	11	7	—	—	—	1	—	7	15
Mai	9.7	16.2	10.3	11.6	3.9	7. 9	28.1	30	82	57	83	74	33	27	5.2	5.4	5.2	5.3	38	10	14	11	8	—	—	—	1	1	9	12
Juni	12.9	17.7	12.6	14.0	6.6	7	24.5	29	84	64	86	78	31	5	6.6	7.3	7.0	7.0	145	20	26	16	15	—	—	—	3	2	1	12
Juli	15.0	21.1	15.5	16.8	10.7	5	28.2	26	85	63	87	78	42	2	6.3	6.4	6.5	6.4	98	27	3	12	12	—	—	—	4	—	3	12
Aug.	16.2	25.1	17.2	18.9	12.1	2	30.1	23	87	58	92	79	41	19	5.1	4.5	4.4	4.7	163	40	31	13	12	—	1	9	1	6	6
Sept.	10.9	16.7	11.4	12.6	3.1	30	25.2	6	91	72	93	85	46	5	6.3	7.3	6.0	6.5	132	27	2	19	15	—	—	2	3	4	12
Okt.	5.7	10.8	6.6	7.4	−1.6	29	16.4	15	93	72	92	86	47	3	8.3	7.4	8.2	8.0	97	18	18	17	14	—	—	1	5	—	21
Nov.	2.0	5.3	3.2	3.4	−4.1	17	13.2	24	88	75	87	83	45	6	7.3	7.8	7.9	7.7	191	38	8	20	19	9	—	—	7	1	17
Dez.	−2.1	0.4	−1.7	−1.3	−11.8	28	9.2	4	86	76	86	83	54	17	8.7	7.9	6.9	7.8	86	36	7	12	8	6	—	—	2	1	19
Jahr	5.9	11.2	6.7	7.6	−11.8	XII	30.1	VIII	85	64	85	78	24	III	7.1	6.7	6.7	6.8	1189	45	II	176	148	50	1	23	27	41	175

Weggis

$\lambda = 8°\,26'$, $\beta = 47°\,2'$, $H = $ ca. 444^m, $h_r = 1.5^m$ — Beobachter: **Frau R. Zimmermann**

Jan.	1.4	3.9	1.9	2.3	−5.6	7	9.5	25	87	79	83	83	45	24.25 26	7.5	5.2	6.0	6.2	51	11	26	13	10	3	—	—	1	5	13
Febr.	−1.6	0.1	−1.3	−1.0	−6.5	19	8.7	3	81	72	81	78	55	17	9.3	8.3	8.5	8.7	145	65	29	14	13	12	—	—	2	—	19
März	0.8	4.3	1.7	2.1	3.2	5	9.6	30	78	65	78	74	45	20	6.6	5.3	6.2	6.0	75	13	31	19	18	13	—	1	—	4	11
April	8.4	13.4	9.6	10.3	1.1	2	20.0	17	83	59	70	71	34	14	4.1	3.5	5.0	4.2	97	40	18	8	8	—	—	2	—	10	5
Mai	11.1	16.3	11.7	12.7	6.0	7	27.0	31	74	61	74	70	35	2.3	3.9	3.5	4.1	3.8	58	15	22	10	9	—	—	1	—	12	6
Juni	14.3	18.7	14.1	15.3	9.8	7	24.0	22.29	73	62	80	72	40	15	5.5	5.8	6.3	5.9	206	35	17	18	16	—	—	4	—	3	9
Juli	16.1	20.7	16.7	17.6	12.0	6	26.0	26	76	62	79	72	35	14	5.4	4.3	5.5	5.1	166	32	27	16	14	—	—	3	—	5	6
Aug.	18.1	23.9	18.8	19.9	15.0	4.6.7	28.0	24	82	60	80	74	46	29	3.3	2.3	3.5	3.0	100	32	31	11	8	—	—	5	—	11	—
Sept.	12.9	16.9	12.8	13.9	6.4	29	23.0	2.6	84	71	83	79	47	25	5.1	5.2	5.3	5.2	115	27	2	16	16	—	—	1	—	8	5
Okt.	8.0	11.3	8.4	9.0	1.4	29	15.0	7. 8. 16	88	69	87	81	47	19	6.4	5.8	7.3	6.5	99	16	18	14	13	—	—	—	—	1	12
Nov.	4.1	6.1	5.1	5.1	−0.1	12	12.5	8	83	73	81	79	50	4.6. 7 26	6.0	6.5	7.1	6.5	153	29	22	20	20	4	—	—	—	6	14
Dez.	0.5	2.1	0.7	1.0	−5.0	28	12.5	4	83	72	79	78	50	10. 30	7.8	7.5	7.4	7.6	58	18	7	10	9	2	—	—	1	1	18
Jahr	7.8	11.4	8.4	9.0	−6.5	II	28.0	VIII	81	67	80	76	34	IV	5.8	5.3	6.0	5.7	1323	65	II	169	154	34	—	17	4	66	118

Lungern

$\lambda = 8°\,10'$, $\beta = 46°\,48'$, $H = $ ca. 745^m, $h_r = 1.7^m$ — Beobachter: **O. Imfeld**

Jan.	0.1	2.7	1.0	1.2	−9.3	6	8.3	28	74	63	69	69	29	23	6.7	5.6	6.6	6.3	75	14	26	11	10	2	—	—	5	7	14
Febr.	−3.8	−1.7	−2.9	−2.8	−9.1	18.19	11.0	3	83	70	79	77	44	1.27	9.0	8.6	8.4	8.7	154	20	29	16	14	14	—	—	2	2	24
März	−0.7	2.1	−0.5	−0.1	−5.2	4.5	11.0	30	75	68	70	71	51	2.14	8.5	7.5	7.3	7.8	117	26	13	23	16	21	—	—	—	2	18
April	6.8	12.5	8.4	9.0	−0.2	1	19.2	24	75*	60*	70*	70*	?	—	6.4	6.2	6.1	6.2	74	20	25	8	7	—	—	—	—	5	13
Mai	9.5	14.4	10.1	11.0	2.2	8	25.0	30	79	61	74	71	32	2	5.5	5.9	5.6	5.7	40	13	21	11	9	—	—	—	2	8	13
Juni	13.0	16.3	12.5	13.6	6.3	18	22.3	5	82	68	86	79	45	5	6.7	8.5	8.4	7.9	170	25	17	23	17	—	—	—	—	—	16
Juli	15.5	18.7	14.9	16.0	7.1	17	25.4	26	82	69	86	79	45	7	6.7	6.9	7.0	6.9	191	49	10	17	12	—	—	—	—	2	16
Aug.	17.8	22.5	17.9	19.0	13.4	1	28.4	23	76	63	78	72	39	21	4.4	6.1	6.2	5.6	76	28	31	12	9	—	—	—	—	5	6
Sept.	10.9	15.0	11.0	12.0	4.1	30	21.1	6	83	71	86	80	40	4	5.9	7.6	5.9	6.5	118	19	2	16	14	—	—	—	1	5	11
Okt.	6.3	9.3	6.4	7.1	0.1	28. 29	18.0	7	86	71	89	82	30	7	8.0	7.9	8.2	8.0	133	23	1	21	15	—	—	—	4	—	17
Nov.	2.6	4.5	3.2	3.4	−2.1	11.28	13.2	23	83	75	84	81	42	19	7.9	7.6	7.7	7.7	420	114	7	20	17	9	—	—	2	1	18
Dez.	−1.6	0.3	−0.9	−0.8	−8.1	27. 30	8.2	4	83	75	77	78	42	17	8.8	8.4	6.4	7.9	135	44	4	13	11	7	—	—	4	2	20
Jahr	6.4	9.7	6.8	7.4	−9.3	I	28.4	VIII	80	68	79	76	29	I	7.0	7.4	6.9	7.1	1703	114	XI	191	151	53	—	—	20	39	186

Gitschenen (Isenthal)

$\lambda = 8°\,30'$, $\beta = 46°\,54'$, $H = 1604^m$, $h_r = 1.8^m$ — Beobachter: **H. Suter**

Jan.	−0.8	0.7	−0.1	0.1	−11.0	5	7.4	30	—	—	—	—	—	—	5.1	4.1	4.3	4.5	88	22	4	14	12	14	—	—	4	12	8
Febr.	−7.1	−5.3	−6.8	−6.5	−14.2	22	5.3	3	—	—	—	—	—	—	7.3	7.4	6.9	7.2	214	31	29	15	14	14	—	—	7	4	13
März	−5.4	−3.6	−5.0	−4.7	−11.2	7	1.3	30	—	—	—	—	—	—	7.6	7.4	7.9	7.6	393	60	13	22	19	22	—	—	8	4	21
April	2.1	4.1	2.3	2.7	−6.4	1	11.1	24	—	—	—	—	—	—	6.1	6.0	5.8	6.0	111	37	25	12	9	7	—	1	1	5	9
Mai	4.9	7.7	5.4	5.9	−1.6	8	18.1	30	—	—	—	—	—	—	5.6	6.0	5.6	5.7	106	21	21	13	12	8	—	2	7	7	10
Juni	7.8	10.1	7.7	8.3	1.8	18	15.6	29	—	—	—	—	—	—	6.6	7.8	8.1	7.5	315	50	27	19	19	3	1	6	10	1	13
Juli	10.5	13.3	10.9	11.4	5.0	12	20.3	26	—	—	—	—	—	—	6.9	7.2	7.9	7.3	224	34	9	15	14	—	—	2	7	2	14
Aug.	14.0	17.3	14.3	15.0	8.8	1	24.6	23	—	—	—	—	—	—	4.7	6.3	6.5	5.8	115	31	31	13	12	—	—	4	2	4	6
Sept.	8.0	10.3	7.8	8.5	0.8	28. 29	16.8	13	—	—	—	—	—	—	5.3	7.0	5.4	5.9	197	35	2	20	18	3	—	2	8	4	9
Okt.	2.4	5.0	2.8	3.2	−3.7	29	11.4	16	—	—	—	—	—	—	7.1	7.1	7.5	7.2	195	44	1	22	17	12	—	1	13	—	14
Nov.	−1.0	0.7	−0.5	−0.3	−8.0	12	6.8	20	—	—	—	—	—	—	7.1	7.9	7.1	7.4	271	46	8	20	19	18	—	—	5	6	18
Dez.	−3.9	−2.2	−3.5	−3.3	−11.4	29	3.8	2	—	—	—	—	—	—	5.5	6.3	4.1	5.3	121	27	4	13	12	13	—	—	4	9	9
Jahr	2.6	4.8	3.0	3.4	−14.2	II	24.6	VIII	—	—	—	—	—	—	6.2	6.7	6.4	6.4	2350	60	III	198	177	114	1	18	76	58	144

Gurtnellen

$\lambda = 8° 37'$, $\beta = 46° 44'$, $H = 742^m$, $h_r = 1.5^m$

Beobachter: E. Bachmann

1944	Luft-Temperatur								Relative Feuchtigkeit						Bewölkung				Niederschlag			Zahl der Tage							
	7^{30}	13^{30}	21^{30}	Mittel	Minimum	Tag	Maximum	Tag	7^{30}	13^{30}	21^{30}	Mittel	Minim.	Tag	7^{30}	13^{30}	21^{30}	Mitt.	Summe	Maxim.	Tag	● *	●* >1.0	*	▲	⛆	≡	helle	trübe
Jan.	−0.7	1.2	−0.2	0.0	−9.2	6	8.2	23	83	78	81	81	28	23	5.4	3.9	4.4	4.6	61	18	26	10	10	6	—	—	4	11	9
Febr.	−3.6	0.0	−2.4	−2.1	−11.3	20	8.8	25	76	63	77	72	30	25	7.7	6.3	6.0	6.7	111	21	8	11	9	9	—	—	3	3	14
März	−1.5	1.9	−0.7	−0.3	−6.2	7. 8	8.8	29	79	63	80	74	36	29	7.8	6.8	5.6	6.7	119	29	20	15	15	13	—	—	4	3	14
April	7.4	12.4	9.3	9.6	−0.1	1	19.2	24	66	46	62	58	27	24	6.0	5.8	4.7	5.5	20	5	4	6	6	—	—	—	2	6	7
Mai	9.5	15.6	11.8	12.2	2.1	9	27.1	30	73	50	69	64	27	30	5.8	5.3	5.1	5.4	36	12	21	10	8	—	—	1	6	8	9
Juni	12.6	17.3	13.8	14.4	7.2	17	24.8	29	75	55	77	69	35	29	6.6	7.3	5.7	6.5	63	14	5	10	10	—	—	—	—	2	11
Juli	15.9	20.1	16.7	17.4	11.4	12	28.2	7	76	56	76	69	31	7	6.7	6.6	6.2	6.5	126	36	3	12	11	—	—	—	—	7	13
Aug.	16.9	24.4	19.6	20.1	11.1	12	32.0	23	75	50	73	66	34	23	4.6	5.2	4.9	4.9	46	8	25	11	11	—	—	1	2	5	6
Sept.	11.4	15.8	12.1	12.9	4.2	30	23.2	2	84	62	84	77	35	6	5.7	6.8	6.2	6.2	94	22	7	14	13	—	—	—	1	4	12
Okt.	7.1	10.5	7.7	8.3	0.0	29	19.0	12	85	64	82	77	29	12	8.2	7.0	6.8	7.3	97	17	18	19	15	—	—	—	—	1	14
Nov.	2.9	4.6	3.0	3.4	−2.8	28	13.2	2	79	70	79	76	36	20	6.2	7.3	6.0	6.5	228	58	7	18	18	7	—	—	1	6	15
Dez.	−1.0	0.9	−0.9	−0.5	−9.2	30	7.4	4	72	69	71	71	32	17	6.6	7.4	4.0	6.0	79	32	4	11	8	7	—	—	9	6	12
Jahr	6.4	10.4	7.5	8.0	−11.3	II	32.0	VIII	77	60	76	71	27	IV/V	6.4	6.3	5.5	6.1	1080	58	XI	147	134	42	—	2	32	62	136

Andermatt

$\lambda = 8° 35'$, $\beta = 46° 38'$, $H = 1442^m$, $h_r = 1.5^m$

Beobachter: P. B. Schönenberger

Jan.	−7.5	−4.5	−6.3	−6.2	−18.8	6	2.8	27	—	—	—	—	—	—	4.5	3.9	3.9	4.1	86	29	4	13	13	11	—	—	1	12	6
Febr.	−9.5	−5.0	−8.0	−7.7	−21.0	20	2.4	25	—	—	—	—	—	—	6.3	5.4	7.2	6.3	161	34	8	14	14	13	—	—	—	2	10
März	−8.2	−1.8	−5.6	−5.4	−15.3	7. 8	7.2	30	—	—	—	—	—	—	6.9	6.3	6.4	6.5	278	70	21	18	18	18	—	—	3	4	11
April	1.2	6.6	2.7	3.2	−5.5	1	13.9	24	—	—	—	—	—	—	5.8	5.1	6.6	5.8	53	9	16.25	11	11	2	—	—	2	4	8
Mai	5.4	10.0	6.2	6.8	−1.3	8	20.9	30	—	—	—	—	—	—	5.3	5.4	6.1	5.6	47	13	21	9	9	2	—	—	4	6	10
Juni	8.2	12.6	8.3	9.2	1.6	18	20.1	29	—	—	—	—	—	—	6.0	6.3	7.9	6.7	62	16	17	14	13	1	—	—	2	—	9
Juli	11.0	14.7	11.1	11.8	6.1	12	23.2	26	—	—	—	—	—	—	6.7	6.0	7.2	6.6	142	48	3	14	13	—	1	—	2	3	10
Aug.	12.3	18.8	13.9	14.6	6.9	15	24.8	22.23	—	—	—	—	—	—	4.3	4.9	6.4	5.2	55	12	15	13	11	—	—	3	1	4	6
Sept.	6.7	11.8	7.8	8.5	−2.4	30	20.0	2	—	—	—	—	—	—	6.2	6.7	6.1	6.3	96	27	2	14	13	2	—	1	6	3	9
Okt.	2.2	6.1	3.1	3.6	−7.0	31	11.2	15	—	—	—	—	—	—	7.7	6.5	7.5	7.2	149	23	7	20	17	7	—	—	5	—	14
Nov.	−3.3	−0.2	−2.7	−2.2	−14.0	28	6.8	2	—	—	—	—	—	—	6.2	6.8	6.5	6.5	277	69	7	18	18	16	—	—	1	6	15
Dez.	−8.0	−4.8	−7.4	−6.8	−21.6	30	6.6	19	—	—	—	—	—	—	5.1	5.1	4.0	4.7	105	38	4	9	9	9	—	—	2	9	8
Jahr	0.9	5.4	1.9	2.4	−21.6	XII	24.8	VIII	—	—	—	—	—	—	5.9	5.7	6.3	6.0	1511	70	III	167	159	81	1	4	29	53	116

Die Abendbeobachtung erfolgt um 20^{30}

Jura

LaBrévine (La Châtagne)

$\lambda = 6° 38'$, $\beta = 46° 59'$, $H =$ ca. 1077^m, $h_r = 1.5^m$

Beobachter: A. Pellaton

Jan.	−5.1	0.1	−3.9	−3.2	−27.7	6	5.5	16	85	72	86	81	19	23	6.5	6.5	6.2	6.4	66	11	25	14	14	8	—	—	—	7	15
Febr.	−7.6	−3.3	−6.9	−6.2	−24.2	20	5.4	3	84	70	83	79	29	25	8.3	8.1	8.0	8.1	131	19	9	17	16	16	—	—	—	3	23
März	−6.0	0.4	−4.8	−3.8	−18.1	16	7.1	29.30	83	59	79	74	25	24	6.9	6.7	5.5	6.4	45	9	14	13	11	13	—	—	—	5	12
April	3.8	10.6	4.8	6.0	−7.5	1	18.6	24	68	41	63	57	12	24	6.8	7.0	5.3	6.4	48	12	8	11	10	2	—	—	—	0	13
Mai	6.8	12.8	5.4	7.6	1.2	8	23.1	29	68	42	65	58	25	3	4.7	6.4	3.8	5.0	31	8	19	8	6	—	—	2	—	6	6
Juni	9.0	14.5	8.0	9.9	0.8	15	21.2	29	76	51	72	66	26	29	6.4	7.4	5.2	6.3	89	14	17	14	12	—	—	1	—	3	8
Juli	11.3	17.6	10.4	12.4	4.1	12	25.6	26	80	47	79	69	21	26	6.0	6.8	4.8	5.9	104	18	21	13	13	—	—	3	—	3	7
Aug.	14.0	21.7	13.4	15.6	5.5	8	29.2	23	76	41	71	63	23	8	4.4	6.0	3.2	4.5	145	87	31	14	11	—	—	5	1	5	2
Sept.	8.4	13.9	7.7	9.4	−3.4	30	20.6	5	86	57	88	77	21	5	6.4	7.5	5.2	6.4	176	46	1	19	18	—	—	—	1	3	11
Okt.	2.3	7.3	3.6	4.2	−8.3	29	13.2	12	91	68	91	83	34	3	7.5	8.8	8.0	8.1	124	30	16	23	20	4	—	—	—	1	17
Nov.	−0.9	2.1	−0.2	0.2	−15.6	17	9.0	19	91	83	91	88	35	19	8.4	8.5	7.8	8.2	299	46	7	20	20	11	—	—	1	1	20
Dez.	−5.2	−0.8	−4.9	−4.0	−19.6	28	5.6	4	83	63	82	76	33	16.17	6.5	6.2	5.5	6.1	120	28	7	16	15	15	—	—	1	6	12
Jahr	2.6	8.1	2.7	4.0	−27.7	I	29.2	VIII	81	58	79	73	12	IV	6.6	7.2	5.7	6.5	1378	87	VIII	182	166	69	—	11	4	43	146

Cernier

$\lambda = 6° 54'$, $\beta = 47° 4'$, $H_b = 800^m$, $h_r = 1.7^m$

Beobachter: Ecole d'Agriculture

Jan.	−1.1	2.4	−0.3	0.2	−10.8	6	7.8	31	80	71	80	77	43	31	6.4	6.5	6.5	6.5	86	13	10	11	10	5	—	—	5	6	15
Febr.	−3.4	−0.9	−4.1	−3.1	−12.4	19	7.4	3	74	66	75	72	48	1	8.7	8.4	6.8	8.0	114	22	9	12	11	10	—	—	—	3	19
März	−1.0	2.7	−0.4	0.2	−5.6	4	8.9	29	69	56	67	64	32	24	6.6	5.9	5.6	6.0	46	14	13	9	8	6	—	—	—	7	13
April	7.0	11.5	7.7	8.5	−1.1	1	19.1	24	69	52	64	62	25	24	5.2	4.1	4.9	4.7	32	13	8	9	6	—	—	—	1	10	4
Mai	10.4	15.0	10.9	11.8	4.4	4.16	26.0	29	62	49	57	56	30	2	4.2	4.7	4.4	4.4	27	10	20	5	5	—	—	—	1	11	8
Juni	12.2	16.2	12.0	13.1	6.6	17	22.8	29	79	63	79	74	37	2	6.0	6.5	5.7	6.1	91	18	1	14	13	—	—	—	—	2	9
Juli	14.5	18.4	14.6	15.5	9.0	12	25.1	2	87	73	87	82	52	7	5.6	6.2	4.9	5.6	87	28	3	12	12	—	—	1	—	5	10
Aug.	16.6	22.8	18.3	19.0	12.9	9	31.1	23	92	62	84	79	46	8.23	3.8	4.9	3.3	4.0	128	54	31	10	8	—	—	2	—	9	2
Sept.	11.2	15.1	11.1	12.1	4.8	29	21.0	6	91	77	95	88	52	4	6.3	6.7	3.3	5.4	143	39	2	13	13	—	—	—	1	6	6
Okt.	5.2	8.7	6.0	6.5	−0.8	29	14.6	9	94	78	92	88	52	2	6.6	8.3	6.3	7.1	135	*35	16	13	12	—	—	—	—	3	15
Nov.	1.4	4.0	2.3	2.5	−4.2	12.17	10.1	8	95	83	91	90	56	26	8.3	8.0	6.4	7.6	278	51	7	19	17	8	—	—	1	—	17
Dez.	−2.5	0.2	−1.5	−1.3	−10.0	27	6.4	3	89	83	87	87	41	30	8.1	7.4	6.5	7.3	136	35	3	14	12	11	—	—	4	4	18
Jahr	5.9	9.7	6.4	7.1	−12.4	II	31.1	VIII	82	68	80	77	25	IV	6.3	6.5	5.4	6.1	1303	54	VIII	141	127	40	—	3	13	66	136

Mont Soleil

$\lambda = 7° 0'$, $\beta = 47° 9'$, $H =$ ca. 1200 m, $h_r = 1.5$ m — Beobachter: H. Kocher

1944	Luft-Temperatur								Relative Feuchtigkeit						Bewölkung				Niederschlag			Zahl der Tage							
	7^{30}	13^{30}	21^{30}	Mittel	Minimum	Tag	Maximum	Tag	7^{30}	13^{30}	21^{30}	Mittel	Minim.	Tag	7^{30}	13^{30}	21^{30}	Mitt.	Summe	Maxim.	Tag	●	●✶ ≥1.0	✶	▲	⛆	≡	helle	trübe
Jan.	−0.7	2.3	−0.2	0.3	−8.6	6	10.0	29.30	80	75	79	78	34	18 29.30	5.9	6.0	6.2	6.0	109	15	10	15	15	8	—	—	4	8	15
Febr.	−6.1	−3.3	−5.9	−5.3	−13.6	19	5.4	1. 3	92	86	92	90	41	1	8.4	8.3	8.0	9.2	157	21	8	17	15	16	—	—	3	4	24
März	−3.5	−0.3	−3.3	−2.6	−9.2	5	7.0	30	88	79	88	85	37	26	7.9	7.1	5.9	7.0	71	14	13	14	14	13	—	1	10	3	16
April	4.8	9.4	4.9	6.0	−3.4	1	14.0	14	85	68	85	79	36	24	7.0	5.9	4.5	5.8	68	17	8	10	9	1	—	1	2	5	12
Mai	7.1	12.1	7.2	8.4	−0.8	7	22.0	29	81	67	81	76	48	3	5.3	5.5	3.2	4.7	46	19	20	9	8	—	—	2	3	9	7
Juni	9.9	13.7	9.0	10.4	3.4	17	20.0	29	87	74	89	83	54	29	7.4	6.7	4.8	6.3	129	32	10	16	15	—	—	2	2	1	10
Juli	12.0	16.5	12.0	13.1	6.4	12	24.0	26	90	77	88	85	56	26	6.8	6.7	4.5	6.0	125	28	3	13	13	—	—	3	4	4	10
Aug.	15.4	21.0	15.8	17.0	11.2	9	30.4	23	88	71	84	81	49	23	4.5	4.6	2.1	3.7	140	78	31	13	11	—	—	5	1	10	3
Sept.	9.2	12.4	8.9	9.9	2.0	28	20.8	6	94	85	93	91	52	4	6.5	7.1	4.5	6.0	163	33	2	19	18	1	—	1	3	4	10
Okt.	3.2	5.9	3.8	4.2	−2.0	29	12.4	8	95	88	94	92	67	20	8.3	8.4	7.9	8.2	140	33	16	17	16	2	—	—	9	2	21
Nov.	0.0	1.8	0.4	0.6	−5.4	10.11	8.0	19	95	91	94	93	71	19.26	9.0	8.7	6.9	8.2	373	63	7	21	20	10	—	—	14	—	19
Dez.	−3.4	−1.0	−3.2	−2.7	−11.8	24	4.6	2	83	79	82	81	34	27	6.2	5.9	4.8	5.6	125	46	4	13	12	12	—	—	7	6	10
Jahr	4.0	7.4	4.1	4.9	−13.6	II	30.4	VIII	88	78	87	84	34	I/XII	6.9	6.7	5.3	6.3	1646	78	VIII	177	166	63	—	15	62	56	157

Olten

$\lambda = 7° 54'$, $\beta = 47° 21'$, $H_b =$ ca. 400 m, $h_r = 1.5$ m — Beobachter: E. Naef

Jan.	0.3	3.1	1.2	1.5	−11.0	8	11.4	28	91	76	90	86	44	23	9.0	8.2	8.5	8.6	96	18	25	12	11	1	—	—	7	1	24
Febr.	−2.6	0.5	−1.5	−1.3	−13.0	25	10.0	3	83	66	80	76	50	25	9.5	8.4	7.7	8.5	96	14	29	14	11	12	—	1	6	1	22
März	0.0	5.3	2.1	2.4	−4.0	10	14.4	30	83	55	70	69	34	26	7.6	8.0	6.7	7.4	41	8	13	13	9	8	—	1	—	2	17
April	6.9	15.5	10.7	10.9	−0.4	2	22.0	24	86	44	67	66	25	24	7.3	7.1	6.4	6.9	37	16	8	7	7	—	—	—	1	2	15
Mai	9.7	18.1	13.1	13.5	3.0	9	29.8	30	78	45	65	63	30	13.25	6.0	6.1	6.1	6.1	37	10	21	8	8	—	—	1	1	5	13
Juni	13.3	19.8	15.2	15.9	9.2	18	27.4	29	81	50	72	68	30	29	8.1	7.3	6.7	7.4	108	22	29	17	14	—	—	1	2	1	9
Juli	15.6	22.4	17.4	18.2	12.6	12	28.2	2	82	52	70	68	34	17	6.4	6.7	6.2	6.4	122	24	21	14	12	—	—	2	1	2	12
Aug.	16.9	26.3	19.8	20.7	12.4	8	31.4	23	88	48	75	70	37	22	7.1	4.9	5.0	5.7	122	38	31	10	10	—	—	1	5	2	4
Sept.	11.1	17.4	12.8	13.5	2.8	29	24.0	16	94	61	87	81	34	5	8.6	7.3	6.0	7.3	112	19	23	16	16	—	—	—	11	1	13
Okt.	7.1	11.7	8.2	8.8	1.0	29	16.0	7	90	59	86	78	33	3	9.7	8.2	7.9	8.6	90	26	16	15	10	—	—	—	7	—	21
Nov.	2.8	5.6	3.8	4.0	−1.6	28	11.2	6.23	93	77	91	87	52	4	9.7	9.2	8.5	9.1	271	78	7	21	21	8	—	—	9	—	26
Dez.	−1.0	1.1	−1.0	−0.5	−8.0	26	9.4	4	85	74	86	82	55	3 5 22	9.6	8.4	7.5	8.5	100	37	7	14	11	7	—	—	9	—	21
Jahr	6.7	12.2	8.5	9.0	−13.0	II	31.4	VIII	86	59	78	74	25	IV	8.2	7.4	6.9	7.5	1232	78	XI	161	140	36	—	7	59	17	197

Rheinfelden

$\lambda = 7° 47'$, $\beta = 47° 33'$, $H_b = 283$ m, $h_r = 1.6$ m — Beobachter: Frl. A. Hoffmann

Jan.	1.1	4.7	2.0	2.5	−8.3	6. 8	10.1	27	92	75	92	86	53	21 26	8.2	6.4	7.9	7.5	75	17	26	13	12	2	—	—	2	1	15
Febr.	−1.7	1.6	−0.6	−0.3	−6.9	26	11.7	3	87	69	86	81	47	17	8.6	8.1	8.5	8.4	95	26	2	13	12	10	—	—	2	3	23
März	0.7	6.1	2.4	2.9	−3.3	5	14.1	29	87	57	76	73	32	25.26 28.29	7.3	7.5	7.2	7.3	28	7	13	13	7	9	—	—	2	2	17
April	8.7	16.3	10.1	11.3	0.7	1	22.4	24	83	44	79	69	27	24	6.9	6.1	6.0	6.3	34	15	8	7	6	—	—	1	—	4	14
Mai	11.5	18.9	12.6	13.9	4.5	8	28.5	29	76	45	74	65	27	3	5.4	5.1	5.3	5.3	23	11	21	5	4	—	—	—	—	8	11
Juni	14.5	20.6	14.6	16.1	10.0	8	26.2	29	83	49	85	72	32	25.29	7.1	6.2	6.4	6.6	124	33	5	17	15	—	1	1	2	3	11
Juli	17.1	23.3	17.3	18.8	13.4	13	29.3	26	81	51	85	72	35	1	6.3	5.9	5.9	6.0	123	32	21	14	11	—	—	—	—	5	12
Aug.	18.5	26.2	19.6	21.0	15.4	5	32.7	23	86	50	86	74	36	13	6.3	4.2	3.5	4.7	162	43	29	8	8	—	—	3	3	6	6
Sept.	12.8	18.0	12.7	14.1	4.5	30	24.3	5.16	83	65	84	77	43	5.11	8.1	6.4	5.3	6.6	97	18	13	15	14	—	—	—	6	4	11
Okt.	7.6	12.2	7.7	8.8	0.8	31	19.1	18	91	59	91	86	?	—	9.2	7.6	7.8	8.2	85	27	16	13	11	—	—	—	10	—	19
Nov.	3.4	7.3	4.4	4.9	−1.7	27	17.1	20	92	68	89	83	40	20	9.2	9.1	8.4	8.9	184	29	7	19	18	4	—	—	2	—	24
Dez.	*−1.0	*2.7	*0.2	*0.5	?	—	?	—	*87	*69	*84	*80	?	—	*7.8	*6.5	*5.8	*6.7	40	?	—	11	11	4	—	—	*5	*5	*14
Jahr	7.8	13.1	8.6	9.5	−8.3	I	32.7	VIII	86	58	84	76	27	IV V	7.5	6.6	6.5	6.9	1070	43	VIII	148	129	29	1	5	34	41	177

Schaffhausen

$\lambda = 8° 38'$, $\beta = 47° 42'$, $H_b = 448$ m, $h_r = 1.5$ m — Beobachter: Frau F. Meyer, A. Streckeisen

Jan.	0.4	3.5	1.0	1.5	−8.7	7	9.8	28	80	75	77	77	58	23	5.8	7.1	7.4	6.8	52	?	—	14	12	3	—	—	2	—	18
Febr.	−3.3	0.1	−2.1	−1.8	−10.3	26	10.0	3	72	67	70	70	44	10	9.2	7.7	7.7	8.2	26	6	8	9	7	6	—	—	1	1	19
März	−0.1	3.8	1.1	1.5	−4.8	23	12.3	29	72	60	63	65	35	29	7.6	7.2	7.0	7.3	28	?	—	11	5	*7	—	—	—	2	19
April	8.0	15.4	9.7	10.7	0.0	1	25.0	16	65	49	58	57	38	13	6.9	6.1	4.6	5.9	27	7	4	7	7	—	—	—	—	7	11
Mai	11.5	17.4	12.0	13.2	5.0	23	29.8	30	63	53	59	58	33	3	5.8	5.5	6.2	5.8	24	5	5	10	9	—	—	1	—	9	15
Juni	14.2	18.9	13.6	15.1	9.0	18	25.4	29	70	54	68	64	35	29	7.0	7.1	6.0	6.7	88	15	18	17	15	—	—	2	1	3	12
Juli	16.7	22.9	16.6	18.2	12.0	4.12	30.0	26	70	54	63	62	30	18.20	5.7	5.2	4.8	5.2	85	20	21	11	8	—	—	—	—	8	7
Aug.	18.2	26.0	19.7	20.9	12.3	17	33.0	23	82	55	69	69	41	8. 9	6.0	3.6	3.8	4.5	107	24	31	9	9	—	—	3	2	8	4
Sept.	11.4	17.0	12.6	13.4	3.6	29	24.2	6	94	75	93	87	46	5	6.6	6.0	4.8	5.8	61	18	2	14	8	—	—	—	6	5	11
Okt.	7.1	11.3	7.8	8.5	0.5	29	15.3	12	96	76	93	88	49	3	9.0	7.4	7.1	7.8	65	21	19	12	8	—	—	—	5	—	17
Nov.	2.4	4.9	3.3	3.5	−2.6	19	12.4	23	97	88	96	94	59	6.26	9.1	9.2	7.8	8.7	176	48	7	22	20	8	—	—	8	1	25
Dez.	−2.0	0.9	−1.8	−1.2	−10.0	26	8.0	5	94	85	92	90	69	25	8.0	6.9	6.3	7.1	117	31	7	14	10	8	—	—	6	3	12
Jahr	7.0	11.8	7.8	8.6	−10.3	II	33.0	VIII	80	66	75	73	30	VII	7.2	6.6	6.1	6.6	856	48	XI	150	118	32	—	6	31	47	170

Schaffhausen: Frau Meyer † im Juli. Stationsverlegung im August, gleiche Höhe.

Thun

$\lambda = 7°\,37'$, $\beta = 46°\,46'$, $H_b = 565^m$, $h_r = 1.9^m$ — Beobachter: Eidg. Munitionsfabrik E. Stucki

1944	Luft-Temperatur								Relative Feuchtigkeit						Bewölkung				Niederschlag			Zahl der Tage							
	7^{30}	13^{30}	21^{30}	Mittel	Minimum	Tag	Maximum	Tag	7^{30}	13^{30}	21^{30}	Mittel	Minim.	Tag	7^{30}	13^{30}	21^{30}	Mitt.	Summe	Maxim.	Tag	• *	•* ≧1.0	*	▲	⛆	≡	helle	trübe
Jan.	−1.5	2.6	−0.3	0.1	−11.6	6	7.9	23	89	68	86	81	30	24	4.1	5.3	6.1	5.2	36	8	26	9	8	3	—	—	2	6	14
Febr.	−3.4	0.0	−2.3	−2.0	−10.5	25	9.9	3	82	64	81	76	36	4	9.1	7.9	8.3	8.4	90	36	29	13	11	11	—	—	1	2	22
März	−0.3	4.8	1.5	1.9	−5.1	5	12.6	30	78	50	67	65	21	24	6.7	6.7	6.4	6.6	33	9	13	9	7	8	—	—	—	4	13
April	6.8	13.9	9.4	9.9	0.1	2	20.8	24	80	41	68	63	21	24	5.8	5.5	5.9	5.7	49	18	18	9	7	—	—	1	—	3	0
Mai	9.8	16.8	11.9	12.6	3.7	9	27.0	30	78	43	62	61	17	3	5.2	5.3	5.3	5.3	50	17	20	10	8	—	—	—	1	8	9
Juni	13.3	18.5	14.6	15.3	7.9	18	25.2	5	74	48	73	65	25	5	5.6	6.6	6.4	6.2	101	16	28	17	15	—	—	7	—	1	8
Juli	15.6	21.3	17.3	17.9	12.2	4	27.6	7	79	45	73	66	28	7	5.4	5.7	5.9	5.7	159	35	3	15	14	—	—	2	—	4	10
Aug.	17.2	24.7	19.4	20.2	13.8	3	31.4	23	82	45	77	68	31	23	4.2	4.4	4.2	4.3	157	67	31	13	12	—	—	3	—	8	3
Sept.	11.3	16.6	12.4	13.2	2.2	30	22.5	6	89	58	84	77	39	25	6.3	6.4	6.3	6.3	116	17	1	16	14	—	—	2	—	2	11
Okt.	6.4	10.6	7.3	7.9	0.9	29	15.9	8	90	61	89	80	33	3	7.6	7.2	8.1	7.6	64	13	18	16	14	—	—	1	—	1	14
Nov.	2.5	5.6	3.5	3.8	3.8	28	12.5	23	84	67	85	79	35	12	7.5	8.0	7.6	7.7	107	?	—	17	16	6	—	—	2	2	18
Dez.	−1.9	1.2	−1.1	−0.7	−9.4	29	10.1	4	83	68	80	77	46	3	7.6	7.4	7.5	7.5	54	24	7	8	6	3	—	—	3	1	16
Jahr	6.3	11.4	7.8	8.3	−11.6	I	31.4	VIII	82	55	77	71	17	V	6.3	6.4	6.5	6.4	1016	67	VIII	152	132	31	—	16	9	42	144

Heiligenschwendi

$\lambda = 7°\,41'$, $\beta = 46°\,45'$, $H_b = 1125^m$, $h_r = 1.4^m$ — Beobachter: Sanatorium

Jan.	0.3	4.1	1.1	1.7	−9.8	6	11.3	30	69	57	67	64	27	30	5.0	4.8	4.5	4.8	49	14	26	11	10	7	—	—	—	11	8
Febr.	−4.6	−1.3	−3.6	−3.4	−10.6	21	8.9	1	77	62	77	72	37	1	8.4	7.5	7.7	7.9	142	31	29	19	14	18	—	—	1	4	21
März	−2.4	2.2	−1.1	−0.6	−8.0	7	8.9	29	77	56	75	69	31	19	7.4	7.4	6.3	7.0	75	12	20	18	18	17	—	—	—	5	15
April	5.8	10.9	7.2	7.7	−2.0	1	18.1	24	76	58	70	68	35	24	6.2	3.6	5.7	5.2	73	22	18	10	10	2	—	3	1	4	11
Mai	8.8	13.2	10.1	10.3	2.3	8	23.4	30	75	58	69	67	31	3	4.7	6.0	5.7	5.5	94	44	20	12	11	—	—	1	3	9	10
Juni	10.9	14.6	12.0	12.0	4.8	7	20.0	5	80	64	78	74	42	15	5.9	7.4	7.0	6.8	143	23	29	17	16	—	1	4	2	—	12
Juli	13.3	17.2	14.4	14.5	8.3	4	23.5	26	83	67	81	77	45	7	5.9	6.3	7.2	6.5	195	34	3	16	16	—	—	3	1	2	15
Aug.	15.9	20.9	17.2	17.6	11.4	4	27.5	23	89	74	86	83	57	23	4.5	5.7	5.0	5.1	177	71	3	13	12	—	—	5	1	3	6
Sept.	9.7	13.1	10.5	10.8	2.2	28	18.9	6	92	84	90	89	57	5	5.6	7.6	6.1	6.4	212	29	20	17	16	1	—	3	3	4	13
Okt.	4.4	7.3	5.3	5.5	−0.3	29	12.2	16	91	85	91	89	61	3	8.1	8.2	7.1	7.8	115	25	2	18	18	3	—	1	7	1	17
Nov.	1.2	3.3	2.1	2.1	−3.8	28	10.2	20	86	81	85	84	49	17	7.2	8.2	7.1	7.5	152	16	22	21	19	11	—	—	3	3	16
Dez.	−2.1	0.6	−1.8	−1.2	−10.1	30	6.5	4	77	70	76	74	29	27	6.5	6.6	4.8	6.0	65	17	4	14	9	11	—	—	2	7	12
Jahr	5.1	8.8	6.1	6.4	−10.6	II	27.5	VIII	81	68	79	76	27	I	6.3	6.6	6.2	6.4	1492	71	VIII	186	169	70	1	20	24	53	156

Die Abendbeobachtung erfolgt um 20^{30}

Adelboden

$\lambda = 7°\,35'$, $\beta = 46°\,30'$, $H_b =$ ca. 1345^m, $h_r = 1.5^m$ — Beobachter: G. Gyger-Spori

Jan.	−2.4	0.2	−2.1	−1.6	−13.3	6	7.2	23	69	62	65	65	21	23	4.8	3.6	5.2	4.5	80	+17	4	9	9	5	—	—	1	12	8
Febr.	−7.1	−3.3	−7.0	−6.1	−16.4	22	6.1	28	76	69	77	74	31	28	6.7	6.2	6.7	6.5	136	26	29	16	15	15	—	—	1	1	11
März	−3.8	0.4	−3.6	−2.6	−10.0	5	10.0	30	80	66	79	75	27	30	7.2	7.2	7.7	7.4	94	13	12	19	19	18	—	—	1	2	16
April	2.5	7.9	4.2	4.7	−6.1	1	14.0	17	72	58	75	68	30	12.17	5.1	5.2	6.8	5.7	58	18	25	7	7	1	—	1	1	2	7
Mai	7.1	11.8	6.6	8.0	−0.1	8	22.2	28	70	52	68	63	26	2./.5/18	5.9	5.6	6.9	6.1	50	12	31	12	12	2	—	1	3	4	11
Juni	9.1	13.7	10.2	10.8	3.4	8	19.0	1	75	60	73	69	33	15	7.2	7.0	8.0	7.4	126	35	17	14	13	—	—	2	6	—	15
Juli	12.2	17.1	13.0	13.8	8.2	11	25.4	7	67	53	65	62	35	6./.7/25	5.7	6.7	7.5	6.6	152	30	21	10	10	—	—	2	1	2	8
Aug.	14.4	19.6	14.9	16.0	11.2	5. 8	27.6	23	71	58	72	67	29	24	4.0	5.2	6.8	5.3	112	28	16	12	11	—	2	3	—	1	2
Sept.	7.3	12.5	7.9	8.9	−2.0	28. 29	20.2	2	80	68	84	77	36	2	6.3	6.8	8.1	7.1	124	27	2	18	16	2	—	—	7	—	12
Okt.	2.8	7.9	3.9	4.6	−4.3	29	14.3	6	82	72	84	79	27	7	6.7	7.4	7.8	7.3	86	?	—	19	18	7	—	—	7	1	13
Nov.	0.3	5.1	0.2	1.5	−8.0	10	13.2	20	77	64	77	73	31	20	7.1	7.1	7.7	7.3	400	80	7	21	20	11	—	—	2	1	16
Dez.	−4.3	0.5	−4.0	−3.0	−15.0	31	7.0	19	70	57	72	66	32	7	6.0	5.8	5.9	5.9	105	33	4	11	10	9	—	—	—	5	8
Jahr	3.2	7.8	3.7	4.6	−16.4	II	27.6	VIII	74	62	74	70	21	I	6.1	6.1	7.1	6.4	1525	80	XI	168	160	70	2	9	30	31	127

Château d'Oex

$\lambda = 7°\,7'$, $\beta = 46°\,29'$, $H = 1010^m$, $h_r = 1.5^m$ — Beobachter: C. Delachaux

Jan.	−3.0	2.0	−2.1	−1.3	−14.1	6	8.9	23	77	51	76	68	12	23	5.4	5.4	4.2	5.0	85	20	26	12	7	7	—	—	1	9	8
Febr.	−7.2	−1.3	−5.5	−4.9	−17.6	20	6.8	3	84	50	85	73	35	1	6.	5.8	6.3	6.0	162	23	10	14	13	13	—	—	—	5	10
März	−4.2	3.1	−1.9	−1.2	−11.6	5	11.6	30	70	43	71	63	22	24.29	6.6	5.7	5.3	5.9	47	10	13	12	9	10	—	1	-	7	11
April	4.0	12.7	5.6	7.0	−2.6	1	20.6	24	74	37	74	62	18	12	5.5	6.2	4.5	5.4	57	19	4	8	7	1	—	1	—	7	6
Mai	7.9	15.3	8.5	10.1	2.6	8	25.6	30	64	39	71	58	16	2	4.5	5.8	4.4	4.9	29	5	21	13	8	—	—	2	2	8	8
Juni	10.5	17.1	10.9	12.3	5.3	17	23.4	29	72	45	77	65	20	29	5.7	7.6	6.4	6.6	129	29	29	14	12	-	—	3	—	2	9
Juli	11.9	19.2	13.4	14.5	9.0	13	26.2	26	79	45	78	67	23	26	5.2	6.2	5.2	5.5	165	56	21	13	10	—	—	3	—	6	9
Aug.	13.7	22.6	15.0	16.9	9.6	1	29.0	23	81	41	80	67	21	19	4.5	5.5	4.1	4.7	154	34	15	15	12	—	1	9	—	7	5
Sept.	8.6	14.9	9.7	10.7	−0.4	30	20.3	5. 6	89	54	89	77	22	5	6.9	6.9	5.6	6.5	146	35	2	18	15	—	—	1	-	4	12
Okt.	3.1	8.7	4.4	5.2	−2.4	29	13.4	14	93	57	91	80	28	4.31	7.6	7.9	7.9	7.5	125	35	1	17	13	-	—	-	—	—	14
Nov.	−0.4	3.3	0.7	1.1	−8.4	28	11.4	20	87	64	84	78	28	20	7.0	7.7	6.5	7.1	329	38	8	19	19	10	—	-	-	6	18
Dez.	−4.7	−0.3	−4.0	−3.2	−12 0	24.30	5.8	4	76	54	76	69	30	27.25	5.1	5.4	4.6	5.0	156	46	4	13	13	12	—	-	—	11	11
Jahr	3.4	9.8	4.6	5.6	−17.6	II	29.0	VIII	79	48	79	69	12	I	5.8	6.3	5.4	5.8	1584	56	VII	168	138	53	1	20	3	72	121

$\lambda = 7° 4'$, $\beta = 46° 39'$, $H_b = 727^m$, $h_r = 1.5^m$

Marsens

Beobachter: **E. Baeriswyl**

1944	Luft-Temperatur								Relative Feuchtigkeit						Bewölkung				Niederschlag			Zahl der Tage							
	7^{30}	13^{30}	21^{30}	Mittel	Minimum	Tag	Maximum	Tag	7^{30}	13^{30}	21^{30}	Mittel	Minim.	Tag	7^{30}	13^{30}	21^{30}	Mitt.	Summe	Maxim.	Tag	● *	●* ≥1.0	*	▲	K	≡	helle	trübe
Jan.	-1.5	3.1	0.0	0.4	-12.6	6	8.4	30	95	85	93	91	65	30	6.9	5.7	6.1	6.2	60	18	25	12	7	5	—	—	7	7	16
Febr.	-4.7	-0.8	-3.5	-3.1	-14.0	25	8.6	3	96	87	95	93	66	1	8.4	7.0	6.2	7.2	98	32	29	13	12	10	—	—	3	2	15
März	-1.7	3.8	0.4	0.7	-9.8	5	12.6	30	92	76	86	85	52	29	6.7	5.4	4.9	5.7	33	8	30	12	8	9	—	2	1	5	9
April	6.0	13.1	8.5	9.0	-1.2	1	19.6	24	94	72	88	85	52	24	5.7	5.3	5.1	5.4	41	11	8	10	8	—	—	—	—	7	10
Mai	9.2	16.2	11.3	12.0	1.8	9	25.2	28.30	95	72	85	84	54	18	4.6	5.1	3.9	4.5	18	5	19	10	8	—	—	2	2	10	10
Juni	13.0	18.3	13.4	14.5	8.6	7	23.4	1. 5	92	74	88	85	59	15	5.1	6.6	5.8	5.8	111	25	10	14	13	—	1	1	—	5	6
Juli	14.9	20.6	15.9	16.8	11.2	13	25.4	2.26	93	74	89	85	62	2	5.3	5.5	4.7	5.2	151	39	3	12	10	—	—	3	—	6	8
Aug.	16.4	23.7	18.2	19.1	12.4	2	29.8	23	95	74	91	87	58	19	3.8	3.8	2.2	3.3	128	85	31	13	11	—	—	7	1	14	2
Sept.	10.8	15.7	11.4	12.3	2.0	30	21.4	6	97	83	97	92	64	5	6.3	6.4	4.8	5.8	191	42	2	19	16	—	—	2	5	5	10
Okt.	5.0	9.5	6.5	6.9	-1.4	29	14.2	1	98	84	98	93	66	28	7.3	7.8	6.6	7.2	107	31	18	17	16	—	—	1	3	2	13
Nov.	2.0	5.3	2.9	3.3	-4.8	28	11.6	20	95	86	96	92	71	6.26	7.5	7.9	5.9	7.1	203	30	7	18	16	8	—	1	1	5	16
Dez.	-2.3	0.6	-1.4	-1.1	-9.6	30	7.6	4	94	88	94	92	69	2	7.2	6.1	5.5	6.3	126	47	7	11	9	4	—	—	8	3	10
Jahr	5.6	10.8	7.0	7.6	-14.0	II	29.8	VIII	95	80	92	89	52	III/IV	6.2	6.1	5.1	5.8	1267	85	VIII	161	134	36	1	19	31	71	125

$\lambda = 6° 55'$, $\beta = 46° 41'$, $H_b = 764^m$, $h_r = 1.5^m$

Romont

Beobachter: **Couvent des Capucins**

1944	Luft-Temperatur								Relative Feuchtigkeit						Bewölkung				Niederschlag			Zahl der Tage							
	7^{30}	13^{30}	21^{30}	Mittel	Minimum	Tag	Maximum	Tag	7^{30}	13^{30}	21^{30}	Mittel	Minim.	Tag	7^{30}	13^{30}	21^{30}	Mitt.	Summe	Maxim.	Tag	● *	●* ≥1.0	*	▲	K	≡	helle	trübe
Jan.	-0.8	2.3	0.4	0.6	-9.8	6	6.1	11	87	75	83	82	50	30.31	7.1	6.0	6.3	6.5	45	12	25	10	8	5	—	—	6	7	13
Febr.	-4.3	-1.5	-3.5	-3.2	-10.3	20	7.2	3	86	74	84	81	53	3	8.6	7.4	8.5	8.2	110	53	29	15	12	13	—	—	1	2	20
März	-1.2	2.8	0.3	0.5	-6.8	16	11.3	30	75	62	67	68	37	29	6.9	5.6	5.0	5.8	21	5	30	6	6	4	—	1	1	5	8
April	5.9	11.3	8.3	8.4	-2.0	1	15.7	24	79	54	68	67	40	1	5.1	4.0	5.2	4.8	31	11	8	5	4	—	—	1	—	8	7
Mai	8.6	14.8	10.9	11.3	2.1	9	24.0	30	77	56	65	66	32	13	4.9	4.5	4.8	4.7	41	9	20	10	8	—	—	1	2	11	9
Juni	12.2	17.4	13.1	14.0	7.6	7	21.8	1	78	55	71	68	43	11	5.7	6.0	5.8	5.8	82	20	10	13	12	—	—	2	—	5	7
Juli	14.6	20.3	15.8	16.6	11.0	13	24.1	20	79	57	71	69	40	1	5.6	4.4	5.1	5.0	142	41	21	13	12	—	—	3	—	9	9
Aug.	16.3	22.8	18.3	18.9	12.1	5	26.1	23	79	56	71	69	42	3.12	3.3	3.1	2.1	2.8	104	59	31	8	7	—	—	5	1	15	1
Sept.	11.0	15.0	11.6	12.3	2.7	30	19.7	6	86	71	84	80	52	4	7.4	6.3	4.7	6.1	156	41	2	17	11	—	—	1	3	3	11
Okt.	5.0	8.1	6.3	6.4	-1.3	29	12.1	17	95	81	91	89	48	3	7.4	6.7	7.3	7.1	97	25	18	14	10	—	—	1	2	2	13
Nov.	2.2	4.6	2.8	3.1	-3.3	12	10.0	6	88	75	85	83	52	19	7.3	7.5	6.6	7.1	147	29	7	18	16	9	—	1	1	4	17
Dez.	-2.1	-0.3	-1.9	-1.5	-9.1	28	7.5	4	90	83	88	87	49	2	7.0	7.1	5.7	6.6	147	72	7	11	10	7	—	—	2	2	11
Jahr	5.6	9.8	6.9	7.3	-10.3	II	26.1	VIII	83	67	77	76	32	V	6.4	5.7	5.6	5.9	1123	72	XII	140	116	38	—	16	19	73	126

Südwestschweiz

$\lambda = 7° 04'$, $\beta = 46° 6'$, $H_b = 477.7^m$, $h_r = 1.5^m$

Martigny

Beobachter: **E. Bachmann, A. Ziggerlig**

1944	Luft-Temperatur								Relative Feuchtigkeit						Bewölkung				Niederschlag			Zahl der Tage							
	7^{30}	13^{30}	21^{30}	Mittel	Minimum	Tag	Maximum	Tag	7^{30}	13^{30}	21^{30}	Mittel	Minim.	Tag	7^{30}	13^{30}	21^{30}	Mitt.	Summe	Maxim.	Tag	● *	●* ≥1.0	*	▲	K	≡	helle	trübe
Jan.	-1.9	2.2	0.7	0.4	-9.0	7	7.0	12	76	71	72	73	53	5	4.5	3.6	3.0	3.7	57	18	25	6	6	2	—	—	—	12	5
Febr.	-3.3	1.2	-0.8	-0.9	-11.4	15	7.8	28	72	62	67	67	44	25	6.2	6.1	5.9	6.1	70	15	10	10	10	8	—	—	—	8	13
März	0.8	6.4	4.5	4.0	-3.8	7	13.6	30	—	—	—	—	—	—	5.4	4.9	3.8	4.7	32	?	—	6	6	1	—	—	—	9	7
April	9.0	15.8	12.5	12.5	2.5	1	20.9	24	63	51	57	57	34	24	4.7	5.5	4.7	5.0	13	?	—	3	3	—	—	—	—	6	7
Mai	12.1	18.1	16.3	15.7	7.4	3	26.7	29	61	54	52	56	33	26	4.3	3.9	4.5	4.2	10	6	21	3	3	—	—	—	—	12	6
Juni	15.5	22.0	17.8	18.3	10.1	17	27.4	29	66	57	59	61	39	12.16	5.4	6.3	5.0	5.6	47	12	5	10	8	—	—	—	—	3	7
Juli	17.7	22.5	19.4	19.8	11.3	4	28.3	19	66	57	60	61	27	22	5.6	5.3	4.2	5.0	84	42	3	7	7	—	—	—	—	5	8
Aug.	—	—	—	—	—	—	—	—	—	—	—	—	—	—	—	—	—	—	70	14	28	10	10	—	—	—	—	—	—
Sept.	—	—	—	—	—	—	—	—	—	—	—	—	—	—	—	—	—	—	63	26	2	13	11	—	—	—	—	—	—
Okt.	—	—	—	—	—	—	—	—	—	—	—	—	—	—	—	—	—	—	*65	?	—	—	*10	—	—	—	—	—	—
Nov.	—	—	—	—	—	—	—	—	—	—	—	—	—	—	—	—	—	—	283	45	7	19	17	—	—	—	—	—	—
Dez.	—	—	—	—	—	—	—	—	—	—	—	—	—	—	—	—	—	—	143	56	—	—	11	—	—	—	—	—	—
Jahr	—	—	—	—	—	—	—	—	—	—	—	—	—	—	—	—	—	—	937	56	—	—	102	—	—	—	—	—	—

Beobachterwechsel im Oktober. Die Station wird als Regenmeß-Station weitergeführt.

$\lambda = 7° 37'$, $\beta = 46° 23'$, $H_b = 1415^m$, $h_r = 1.1^m$

Leukerbad

Beobachter: **Schw. G. Gränicher**

1944	Luft-Temperatur								Relative Feuchtigkeit						Bewölkung				Niederschlag			Zahl der Tage							
	7^{30}	13^{30}	21^{30}	Mittel	Minimum	Tag	Maximum	Tag	7^{30}	13^{30}	21^{30}	Mittel	Minim.	Tag	7^{30}	13^{30}	21^{30}	Mitt.	Summe	Maxim.	Tag	● *	●* ≥1.0	*	▲	K	≡	helle	trübe
Jan.	-2.5	2.5	-1.7	-0.9	-12.0	6	8.0	29 30 31	61	43	58	54	20	29.30	4.7	3.6	2.4	3.6	87	21	4	6	6	6	—	—	—	16	5
Febr.	-7.5	-1.9	-6.3	-5.5	-16.0	21	7.0	1	72	56	71	66	24	1.25	5.9	4.4	5.4	5.2	111	24	9	7	7	6	—	—	1	8	9
März	-4.7	1.6	-2.7	-2.1	-10.0	7.8	11.0	30	*63	*40	*59	*54	14	17	5.6	4.7	4.0	4.8	64	20	13	9	9	9	—	—	1	9	8
April	4.3	10.5	4.8	6.1	-6.0	1	17.6	23	69	45	67	60	24	1	5.6	5.3	4.5	5.1	20	12	25	3	3	1	—	—	2	6	7
Mai	8.2	13.7	8.1	9.5	1.8	8	22.3	28	66	49	63	59	28	3	4.1	4.7	4.1	4.3	16	8	21	5	4	—	—	—	2	10	7
Juni	11.6	15.6	10.4	12.0	4.2	7	22.2	4	68	51	75	65	29	4	5.0	5.4	4.5	5.0	69	12	5	13	12	—	—	2	—	6	8
Juli	12.6	18.0	12.5	13.9	5.0	4	24.5	26	77	53	74	68	35	26	4.5	4.8	4.3	4.5	111	32	3	9	9	—	—	3	2	7	5
Aug.	13.1	21.0	14.8	16.0	9.0	1	28.2	23	82	54	78	71	29	23	3.8	4.8	4.1	4.2	103	32	30	8	7	—	—	7	—	8	4
Sept.	7.9	13.7	9.0	9.9	0.8	29	19.5	6	81	65	87	78	44	19	5.4	6.1	4.5	5.3	107	25	2	12	12	—	—	2	4	6	5
Okt.	3.0	8.0	3.9	4.7	-2.2	28.29	12.9	6	84	64	85	78	34	7	6.7	6.5	7.5	6.9	133	33	18	15	11	4	—	1	4	—	13
Nov.	-1.5	1.8	-1.1	-0.5	-9.3	12	7.1	2	84	75	87	72	40	28	7.0	7.0	6.1	6.7	388	96	8	15	14	13	—	—	2	5	16
Dez.	-5.2	-0.7	-4.7	-3.8	-14.9	30	5.1	2	74	62	73	70	38	27.28	5.1	5.9	4.0	5.0	177	50	7	9	9	9	—	—	1	11	10
Jahr	3.3	8.6	3.9	4.9	-16.0	II	28.2	VIII	73	55	74	67	14	III	5.3	5.3	4.6	5.1	1386	96	XI	111	103	48	—	15	19	92	97

$\lambda = 7^\circ 51'$, $\beta = 46^\circ 12'$, $H_b = 1629^m$, $h_r = 1.5^m$

Grächen

Beobachter: St. Venetz

1944	Luft-Temperatur								Relative Feuchtigkeit						Bewölkung				Niederschlag			Zahl der Tage							
	7^{30}	13^{30}	21^{30}	Mittel	Minimum	Tag	Maximum	Tag	7^{30}	13^{30}	21^{30}	Mittel	Minim.	Tag	7^{30}	13^{30}	21^{30}	Mitt.	Summe	Maxim.	Tag	● *	●* >1.0	✱	▲	K	≡	helle	trübe
Jan.	-4.2	0.0	-3.3	-2.7	-13.4	6	7.1	29	—	—	—	—	—	—	4.2	4.4	3.7	4.1	22	18	26	2	2	2	—	—	—	8	5
Febr.	-8.4	-3.5	-7.1	-6.5	-15.7	13	6.1	1	—	—	—	—	—	—	5.2	5.2	4.7	5.0	37	25	29	4	4	4	—	—	—	11	9
März	-5.4	-0.5	-3.6	-3.3	-12.3	5	6.5	27	—	—	—	—	—	—	6.9	5.9	5.4	6.1	9	5	30	3	3	3	—	—	—	3	9
April	2.4	8.8	5.0	5.3	-5.5	1	16.3	24	—	—	—	—	—	—	6.3	5.6	5.3	5.7	22	17	17	2	2	1	—	—	—	5	9
Mai	5.3	12.2	7.7	8.2	-1.9	23	21.2	29	—	—	—	—	—	—	5.9	5.0	4.5	5.1	1	1	20	2	—	—	—	—	—	7	6
Juni	7.8	14.2	10.2	10.6	1.8	18	20.1	13	—	—	—	—	—	—	7.2	6.5	5.7	6.5	19	7	10	6	5	—	—	—	—	4	11
Juli	10.6	16.9	13.3	13.5	3.1	4	24.3	26	—	—	—	—	—	—	6.0	5.7	4.6	5.4	62	34	4	6	4	—	—	—	—	5	10
Aug.	13.6	20.9	16.3	16.8	8.8	11	28.0	23	—	—	—	—	—	—	4.9	5.5	5.0	5.1	51	18	30	8	7	—	—	1	—	5	8
Sept.	7.1	12.0	8.6	9.1	-1.6	29	17.8	1	—	—	—	—	—	—	6.9	6.0	6.5	6.5	45	11	2	8	8	—	—	—	—	2	11
Okt.	1.5	5.8	2.8	3.2	-3.9	31	9.7	26	—	—	—	—	—	—	7.4	7.0	6.7	7.0	138	61	6	13	13	4	—	—	—	2	13
Nov.	-2.9	0.6	-2.1	-1.6	-9.2	13	7.2	19	—	—	—	—	—	—	6.8	6.9	5.6	6.4	149	34	23	11	11	6	—	—	—	5	13
Dez.	-6.7	-3.3	-6.0	-5.5	-15.2	30	2.4	19	—	—	—	—	—	—	5.2	6.4	4.4	5.3	51	?	—	7	6	7	—	—	—	11	10
Jahr	1.7	7.0	3.5	3.9	-15.7	II	28.0	VIII	—	—	—	—	—	—	6.1	5.8	5.2	5.7	606	61	X	72	65	27	—	1	-	68	114

$\lambda = 7^\circ 45'$, $\beta = 46^\circ 8'$, $H_b = 1610^m$, $h_r = 0.8^m$

Zermatt

Beobachter: G. Brantschen

1944	7^{30}	13^{30}	21^{30}	Mittel	Minimum	Tag	Maximum	Tag	7^{30}	13^{30}	21^{30}	Mittel	Minim.	Tag	7^{30}	13^{30}	21^{30}	Mitt.	Summe	Maxim.	Tag	● *	●* >1.0	✱	▲	K	≡	helle	trübe
Jan.	-7.1	0.6	-5.6	-4.4	-16.3	6	8.2	29	67	48	65	60	32	5	2.7	2.6	2.3	2.5	25	8	26	5	5	5	—	—	3	20	5
Febr.	-11.0	-1.9	-9.5	-8.0	-19.5	21	5.8	3	69	47	65	60	30	6	4.7	3.7	4.3	4.2	31	15	10	6	5	6	—	—	1	13	7
März	-7.4	2.1	-4.9	-3.8	-13.3	16	8.8	30	68	45	65	59	33	31	5.2	3.9	3.6	4.2	17	5	13	8	6	8	—	—	—	10	8
April	1.1	11.3	3.8	5.0	-6.2	1	18.8	24	71	40	64	58	27	23.27	4.0	3.9	3.7	3.9	28	18	17	8	4	2	—	—	1	10	3
Mai	5.4	15.0	6.6	8.4	-0.3	9	25.3	28	69	41	62	57	22	4	4.2	4.0	4.5	4.2	15	9	21	6	3	—	—	—	2	10	7
Juni	8.8	17.6	8.8	11.0	3.3	18	23.3	13	72	42	71	62	26	8	4.4	5.2	5.2	4.9	27	6	20	14	11	—	—	1	1	5	4
Juli	10.2	18.9	10.5	12.5	2.8	4	25.0	26	74	46	69	63	32	26	4.3	4.1	3.7	4.0	86	28	4	9	8	1	—	2	4	9	3
Aug.	10.2	21.9	12.2	14.1	6.5	8	28.2	23	77	42	70	63	26	23	3.3	3.8	5.1	4.1	58	10	29	12	11	—	—	2	—	8	3
Sept.	5.7	14.6	6.9	8.5	-1.0	30	20.0	19	80	48	80	69	32	30	7.7	5.2	5.1	6.0	38	16	2	11	9	—	—	—	—	8	7
Okt.	0.8	7.9	2.2	3.3	-8.2	31	12.8	12	81	50	80	70	29	7	6.5	5.9	6.7	6.4	121	52	6	19	12	6	—	—	4	3	11
Nov.	-4.3	1.4	-3.9	-2.7	-11.6	12	8.0	18	75	56	76	69	28	27	5.8	5.6	4.3	5.2	155	42	22	17	12	14	—	—	1	10	8
Dez.	-8.9	-1.9	-8.2	-6.8	-18.0	30	4.8	19	69	48	69	62	24	26	3.9	4.6	3.7	4.1	52	21	7	8	6	8	—	—	3	12	4
Jahr	0.3	9.0	1.6	3.1	-19.5	II	28.2	VIII	73	46	70	63	22	V	4.7	4.4	4.4	4.5	653	52	X	123	92	50	—	5	20	118	70

$\lambda = 7^\circ 56'$, $\beta = 46^\circ 7'$, $H = ca. 1800^m$, $h_r = 1.5^m$

Saas-Fee

Beobachter: Ad. Imseng

1944	7^{30}	13^{30}	21^{30}	Mittel	Minimum	Tag	Maximum	Tag	7^{30}	13^{30}	21^{30}	Mittel	Minim.	Tag	7^{30}	13^{30}	21^{30}	Mitt.	Summe	Maxim.	Tag	● *	●* >1.0	✱	▲	K	≡	helle	trübe
Jan.	-6.3	-0.8	-5.3	-4.4	-14.7	1	7.2	28	50	38	48	45	8	28	2.7	1.8	3.2	2.6	30	13	25	6	4	6	—	—	2	20	3
Febr.	-10.0	-4.0	-9.4	-8.2	-19.1	19	4.0	26	53	39	48	47	19	17	4.5	3.7	3.4	3.9	36	12	9	6	6	6	—	—	—	9	6
März	-6.5	0.0	-4.9	-4.1	-13.4	5	7.0	29	51	33	44	43	17	18.25	4.5	3.1	4.4	4.0	20	8	30	7	7	7	—	—	—	9	5
April	2.3	7.8	3.6	4.3	-6.2	1	14.2	23	48	28	44	40	5	23	3.9	4.1	3.9	4.0	48	27	17	6	6	2	—	—	—	10	5
Mai	5.9	11.4	6.0	7.3	-0.5	8	21.5	27	51	29	44	41	5	26	4.1	3.3	3.5	3.6	29	6	21	9	9	1	—	—	-	10	4
Juni	8.6	13.6	8.5	9.8	1.8	18	18.4	13	58	32	56	49	16	15	4.4	5.0	5.4	4.9	37	6	5	15	12	—	—	—	—	5	5
Juli	10.4	16.0	10.8	12.0	2.6	4	23.1	26	61	32	53	49	10	6.26	3.9	4.1	3.4	3.8	112	30	4	9	9	1	—	—	—	10	3
Aug.	12.1	19.9	13.4	14.7	8.7	1	26.5	23	59	30	52	47	15	23	3.2	3.8	3.7	3.6	65	15	29	11	10	—	—	1	-	12	3
Sept.	6.2	11.6	7.3	8.1	-2.0	29	17.0	5.13	67	43	67	59	10	22	4.1	5.5	5.0	4.9	50	13	2	9	8	—	—	—	—	7	7
Okt.	1.0	5.3	2.0	2.6	-7.8	31	9.2	14	69	44	67	60	20	7.8	5.9	6.0	6.5	6.1	175	63	6	14	13	5	—	—	3	4	11
Nov.	-4.6	-0.7	-4.3	-3.5	-14.0	12	5.2	18	—	—	—	—	—	—	5.8	5.9	4.6	5.4	165	41	7	12	12	10	—	—	—	7	12
Dez.	-8.3	-3.8	-7.9	-7.0	-17.1	30	1.5	4	—	—	—	—	—	—	3.2	4.3	3.2	3.6	56	16	3	9	7	9	—	—	—	14	5
Jahr	0.9	6.4	1.6	2.6	-19.1	II	26.5	VIII	—	—	—	—	—	—	4.2	4.2	4.2	4.2	829	63	X	113	103	47	-	1	5	117	69

$\lambda = 9^\circ 38'$, $\beta = 46^\circ 59'$, $H_b = 953.8^m$, $h_r = 1.5^m$

Seewis

Beobachter: Frau B. Janett

1944	7^{30}	13^{30}	21^{30}	Mittel	Minimum	Tag	Maximum	Tag	7^{30}	13^{30}	21^{30}	Mittel	Minim.	Tag	7^{30}	13^{30}	21^{30}	Mitt.	Summe	Maxim.	Tag	● *	●* >1.0	✱	▲	K	≡	helle	trübe
Jan.	-2.4	2.7	-1.4	-0.6	-12.3	6	8.2	31	81	55	80	72	31	23	6.0	4.0	4.2	4.7	98	19	26	12	10	9	-	-	1	13	9
Febr.	-5.7	-0.4	-4.5	-3.8	-14.0	20	8.2	1	87	62	86	78	30	25	6.2	5.8	7.3	6.4	174	30	2	15	13	14	—	—	-	4	10
März	-3.3	2.3	-2.3	-1.4	-7.4	23	7.4	19	82	54	86	74	34	28	7.3	7.2	7.3	7.3	169	30	13	20	15	18	—	-	--	3	17
April	5.2	11.9	5.7	7.1	-2.1	2	21.8	24	74	47	74	65	25	24	6.7	5.2	5.2	5.7	49	17	25	15	10	3	—	—	1	4	10
Mai	8.8	14.8	8.8	10.3	2.0	7.8	28.0	30	72	51	75	66	27	9	5.4	5.2	4.6	5.1	48	10	16	15	10	--	-		3	8	8
Juni	11.0	17.4	11.1	12.9	6.0	17.18	25.3	29	75	56	82	71	36	26	5.5	5.5	6.1	5.7	92	21	5	21	14	—	-	-	1	5	9
Juli	14.6	20.4	13.7	15.6	9.2	11	29.1	3.7	74	53	84	70	31	7	6.0	4.6	6.0	5.5	154	27	27	18	14	-	-	-	2	6	11
Aug.	16.5	23.3	16.5	18.2	11.2	7	28.4	23	72	51	81	68	31	21	3.8	3.7	3.9	3.8	68	17	4	13	10	—	—	—	—	12	5
Sept.	10.7	16.3	10.1	11.8	3.4	30	24.0	2	83	59	92	78	34	4	5.2	5.1	6.0	5.4	149	41	2	16	14	--	-	---	4	7	6
Okt.	4.4	10.4	5.2	6.3	-1.1	29	18.1	6	91	60	89	80	35	7.15	7.4	5.4	6.1	6.3	120	25	19	16	15	1	—	—	7	1	8
Nov.	-0.3	3.4	0.4	1.0	-6.1	28	10.3	20	87	67	89	81	32	1	7.0	7.0	7.8	7.3	302	91	7	19	16	10	—	—	2	5	17
Dez.	-4.0	0.0	-3.4	-2.7	-13.3	30	6.1	2	77	62	76	72	34	27.28	5.6	6.6	4.8	5.7	104	35	3	11	8	11	—		2	8	12
Jahr	4.7	10.2	5.0	6.2	-14.0	II	29.1	VII	80	56	83	73	25	IV	6.0	5.4	5.8	5.7	1527	91	XI	191	149	66	—	—	23	76	122

Schiers

$\lambda = 9°41'$, $\beta = 46°58'$, $H_b =$ ca. 670m, $h_r = 1.5$m — Beobachter: M. Widmaier

1944	Luft-Temperatur							Relative Feuchtigkeit						Bewölkung				Niederschlag		Zahl der Tage							
	7^{30}	13^{30}	21^{30}	Mittel	Minimum	Tag	Maximum Tag	7^{30}	13^{30}	21^{30}	Mittel	Minim.	Tag	7^{30}	13^{30}	21^{30}	Mitt.	Summe	Maxim. Tag	● *	≧1.0	*	▲	≡	hell	trüb
Jan.	-3.1	0.4	-2.0	-1.7	-11.8	6	4.8	29,31	95	81	94	90	53	31	5.3	3.7	5.2	4.7	67	15	26	9	9	9	—	—	4	11	9
Febr.	-5.4	0.6	-3.0	-2.7	-12.5	7	10.4	28	88	65	86	80	38	28	6.8	6.7	7.1	6.9	106	23	2	15	12	13	—	—	4	4	15
März	*-2.8	*3.2	*-0.1	*0.1	-7.6	24	9.9	30	*87	*58	*82	*76	40	28.29	7.8	7.6	7.6	7.7	102	20	26	14	13	12	—	—	—	1	18
April	5.1	13.7	8.5	8.9	-4.0	2	23.2	24	84	50	71	68	29	24	7.2	6.4	5.7	6.4	29	9	25	11	7	—	—	—	1	2	10
Mai	8.4	16.8	12.1	12.3	2.4	9	29.0	30	85	51	69	68	32	2. 3	6.5	6.4	5.2	6.0	26	9	16	8	7	—	—	—	1	8	14
Juni	11.7	18.3	13.8	14.4	7.2	8	25.2	29	85	58	78	74	32	26	6.3	7.1	7.3	6.9	78	18	5	16	14	—	—	—	2	—	11
Juli	14.4	21.0	16.5	17.1	8.8	6	29.8	7	86	57	78	74	34	8	6.3	6.4	6.4	6.4	115	20	22	17	13	—	—	1	1	5	10
Aug.	15.9	24.9	19.0	19.7	12.6	8	31.0	22	87	54	78	73	36	21	5.1	5.1	5.2	5.1	44	12	18	8	7	—	—	3	2	5	7
Sept.	10.6	17.5	12.5	13.3	4.2	30	24.0	16	92	61	86	80	35	4	5.5	6.0	6.4	6.0	116	34	2	15	12	—	—	1	1	5	11
Okt.	5.6	11.8	7.4	8.0	-1.2	29	20.1	7	95	67	90	84	45	4. 7	7.4	6.5	7.4	7.1	86	19	2	13	13	—	—	—	3	—	12
Nov.	0.5	3.6	1.6	1.8	-5.0	17	10.2	2	92	80	91	88	53	9	7.5	8.0	7.8	7.8	235	63	7	18	16	9	—	—	3	1	19
Dez.	-4.2	-1.3	-3.2	-3.0	-12.4	30	3.8	6	88	77	87	84	51	23	6.4	6.4	5.2	6.0	78	26	3	7	5	7	—	—	4	5	11
Jahr	4.7	10.9	6.9	7.4	-12.5	II	31.0	VIII	89	63	82	78	29	IV	6.5	6.4	6.4	6.4	1082	63	XI	151	128	50	—	5	26	47	147

Flims

$\lambda = 9°17'$, $\beta = 46°50'$, $H =$ ca. 1100m, $h_r = 1.5$m — Beobachter: Erziehungsinstitut Briner

Jan.	-2.4	3.2	-1.0	-0.3	-11.2	6	9.0	31	75	54	71	67	29	31	5.7	4.1	4.2	4.7	75	18	26	11	11	9	—	—	—	10	7
Febr.	-5.8	-0.2	-4.4	-3.7	-13.4	20	8.8	1	80	59	78	72	36	1.25	6.9	6.4	7.1	6.8	165	28	9	15	15	13	—	—	—	4	12
März	-4.0	1.8	-2.7	-1.9	-7.8	4	8.6	30	86	59	83	76	36	29	7.8	7.1	7.4	7.4	151	25	21	18	16	18	—	—	2	4	17
April	5.6	10.7	5.2	6.7	-3.7	1	18.8	24	69	49	72	63	26	23	6.0	6.1	5.1	5.7	25	5	26	12	10	4	—	—	1	3	10
Mai	7.7	14.2	9.7	10.3	0.6	8	25.8	30.31	75	55	67	66	29	30	5.5	5.6	6.1	5.7	41	16	17	7	6	—	—	—	6	6	12
Juni	10.3	17.3	11.7	12.8	4.2	8	24.2	5	80	61	78	73	36	5	6.3	7.2	7.0	6.8	56	12	29	16	12	—	—	—	4	—	11
Juli	13.4	19.3	14.6	15.5	9.4	4	27.0	26	82	60	78	73	34	6	6.8	6.5	7.5	6.9	115	28	4	14	13	—	—	2	5	4	15
Aug.	15.2	23.5	17.1	18.2	11.7	1	30.0	24	77	53	74	68	25	23	4.4	5.6	5.9	5.3	61	?	—	11	10	—	—	—	—	7	10
Sept.	10.2	16.2	10.7	11.9	2.4	30	22.2	15	87	60	90	79	37	5	5.7	6.3	6.7	6.2	144	?	—	14	13	—	—	1	3	4	12
Okt.	4.3	9.6	5.4	6.2	-2.4	29	14.8	8	85	65	83	78	48	12 20.29	7.3	6.5	6.8	6.9	85	17	8	*15	*12	—	—	—	6	1	9
Nov.	-0.7	2.9	0.4	0.8	-6.0	28	10.0	2	81	72	83	79	37	19	7.6	7.1	7.8	7.5	228	?	—	17	17	13	—	—	7	3	19
Dez.	-3.7	0.2	-3.1	-2.4	-13.4	30	7.2	2	72	59	72	68	27	27	5.5	6.5	5.4	5.8	102	?	—	10	9	10	—	—	11	7	13
Jahr	4.2	9.9	5.3	6.2	-13.4	II XII	30.0	VIII	79	59	77	72	25	VIII	6.3	6.2	6.4	6.3	1248	?	—	160	144	67	—	3	45	53	147

Tschiertschen (ob Chur)

$\lambda = 9°36'$, $\beta = 46°49'$, $H = 1351$m, $h_r = 1.2$m — Beobachter: Gg. Meister

Jan.	-3.1	0.9	-2.6	-1.8	-15.6	6	6.8	31	—	—	—	—	—	—	5.4	3.3	4.5	4.4	45	17	4	9	7	9	—	—	—	12	7
Febr.	-7.5	-3.6	-7.2	-6.4	-15.5	21	7.3	2	—	—	—	—	—	—	7.9	5.9	7.7	7.2	109	21	8	16	14	16	—	—	—	4	13
März	-4.7	-1.1	-5.1	-4.0	-10.0	23	6.0	30	—	—	—	—	—	—	7.0	7.0	7.6	7.2	95	16	26	20	18	20	—	—	—	4	17
April	5.0	8.8	4.1	5.5	-6.5	1	16.1	24	—	—	—	—	—	—	6.8	5.8	6.2	6.3	27	12	25	9	5	2	—	—	1	4	11
Mai	8.2	11.3	7.0	8.4	-1.6	8	21.8	30	—	—	—	—	—	—	5.5	5.4	5.9	5.6	55	12	16	12	9	1	—	—	—	9	11
Juni	10.8	13.4	9.0	10.5	2.9	7.18	19.3	26	—	—	—	—	—	—	5.4	6.3	6.6	6.1	104	18	19	15	13	—	—	—	—	3	10
Juli	13.8	16.4	12.0	13.5	6.7	12	23.3	7	—	—	—	—	—	—	5.9	4.9	6.4	5.7	105	19	9	13	12	—	—	—	2	5	11
Aug.	16.5	19.7	15.3	16.7	9.5	1	26.4	24	—	—	—	—	—	—	4.8	5.6	5.4	5.3	52	23	31	12	10	—	—	1	1	4	8
Sept.	9.3	12.8	8.5	9.8	0.9	28	21.6	2	—	—	—	—	—	—	5.6	6.1	5.9	5.9	145	41	2	14	13	2	—	1	3	4	9
Okt.	3.5	7.1	3.7	4.5	-3.9	28	13.1	6	—	—	—	—	—	—	7.4	6.5	7.1	7.0	103	13	19	18	13	5	—	—	—	—	8
Nov.	-1.7	1.4	-1.4	-0.8	-8.9	28	9.0	20	—	—	—	—	—	—	7.3	6.9	7.9	7.4	146	46	7	17	15	14	—	—	—	3	15
Dez.	-5.4	-2.2	-5.0	-4.4	-16.2	30	5.3	2	—	—	—	—	—	—	5.1	4.5	5.2	4.9	78	20	8	10	9	10	—	—	—	7	7
Jahr	3.7	7.1	3.2	4.3	-16.2	XII	26.4	VIII	—	—	—	—	—	—	6.2	5.7	6.4	6.1	1064	46	XI	165	138	79	—	2	7	59	127

St. Moritz

$\lambda = 9°50'$, $\beta = 46°30'$, $H_b =$ ca. 1853m, $h_r = 2.7$m — Beobachter: J. Tuena

Jan.	-6.3	0.9	-5.0	-3.8	-18.3	6	8.8	29	72	55	66	64	25	30	3.5	3.3	2.4	3.1	8	4	4	4	4	4	—	—	—	16	2
Febr.	-11.4	-3.8	-9.8	-8.7	-19.3	19	6.1	3	84	66	82	77	38	1	5.6	5.5	3.6	4.9	23	7	5	12	7	12	—	—	—	9	8
März	-8.9	0.5	-6.9	-5.5	-14.4	15	7.0	19	80	57	76	71	30	16	6.3	5.0	3.6	5.0	22	7	26	9	7	9	—	—	—	4	4
April	1.0	7.5	1.1	2.7	-8.5	2	14.8	23	78	57	74	70	29	11	3.9	4.8	4.0	4.2	14	6	17	3	3	—	—	—	—	—	9
Mai	4.6	10.8	4.5	6.1	-3.2	8. 9	20.6	28	77	56	73	69	29	3	5.0	4.5	4.7	4.7	107	36	7	13	11	4	—	—	—	12	7
Juni	7.4	13.2	6.9	8.6	0.9	17	19.0	30	79	60	77	72	32	4	5.5	6.1	5.3	5.6	95	32	5	15	14	1	—	—	2	5	10
Juli	9.8	14.8	9.5	10.9	5.6	6.12	19.4	10	84	55	79	73	20	2	5.5	5.8	6.4	5.9	150	37	21	17	13	—	—	3	1	4	10
Aug.	11.1	17.5	12.1	13.2	6.8	8	26.8	23	87	55	86	76	29	23	5.4	5.6	4.8	5.3	70	32	31	13	10	—	—	2	1	5	8
Sept.	4.9	11.2	6.2	7.1	-3.4	30	17.8	2	92	60	87	80	35	4	6.3	6.4	6.3	6.3	100	46	2	13	12	2	—	1	2	2	9
Okt.	-0.1	5.8	0.9	1.9	-8.1	29	10.8	1	90	60	84	78	33	1	7.6	6.6	6.6	6.9	113	28	6	20	18	16	—	—	—	—	12
Nov.	-5.8	0.5	-4.6	-3.6	-15.2	28	6.4	24	77	58	74	70	35	18	5.3	6.4	6.0	5.9	79	19	2	14	10	14	—	—	—	8	14
Dez.	-10.3	-3.7	-9.8	-8.4	-22.0	30	3.2	2	75	58	70	68	31	28	4.2	3.7	2.8	3.6	42	25	8	6	6	6	—	—	—	13	4
Jahr	-0.3	6.3	0.4	1.7	-22.0	XII	26.8	VIII	81	58	77	72	20	VII	5.3	5.3	4.7	5.1	823	46	IX	139	115	68	—	6	6	78	97

$\lambda = 10° 20'$, $\beta = 46° 43'$, $H =$ ca. 1810^m, $h_r = 1.5^m$

Scarl (Unterengadin)

Beobachter: Eidg. Grenzwachtposten

1944	Luft-Temperatur								Relative Feuchtigkeit						Bewölkung				Niederschlag			Zahl der Tage							
	7^{30}	13^{30}	21^{30}	Mittel	Minimum	Tag	Maximum	Tag	7^{30}	13^{30}	21^{30}	Mittel	Minim.	Tag	7^{30}	13^{30}	21^{30}	Mitt.	Summe	Maxim.	Tag	● *	●* ≥1.0	*	▲	R	≡	helle	trübe
Jan.	−6.4	−2.3	−5.7	−5.0	−18.2	6	4.4	29	65	56	65	62	16	3	3.5	3.3	3.1	3.3	31	7	25	9	9	9	—	—	—	18	5
Febr.	−10.3	−5.7	−9.4	−8.7	−19.4	21	4.0	3	71	50	65	62	26	2	5.1	4.8	4.9	4.9	44	19	6	8	8	8	—	—	—	8	5
März	−8.2	−2.5	−6.2	−5.8	−15.0	23	4.0	29	65	46	57	56	17	28	6.0	6.0	6.0	6.0	85	15	26	8	8	8	—	—	—	2	14
April	0.7	7.0	2.2	3.0	−8.0	2	13.8	24	59	37	53	50	9	23	4.5	4.7	4.7	4.6	14	6	16	4	4	—	—	—	—	4	3
Mai	4.3	10.8	5.1	6.3	−5.6	9	20.0	30	57	37	52	49	11	9	5.4	4.7	5.5	5.2	62	?	—	9	8	2	—	—	1	8	7
Juni	7.7	13.9	8.2	9.5	1.4	7. 9	19.0	30	59	34	54	49	18	29	5.0	5.8	6.2	5.7	96	23	5	12	12	4	—	—	1	2	7
Juli	9.3	15.9	9.6	11.1	2.6	13	21.4	26	66	38	61	55	12	26	6.2	5.9	5.7	5.9	103	20	22	11	11	—	—	1	3	4	10
Aug.	11.5	18.8	12.8	14.0	7.2	9	25.4	23	75	42	64	60	16	23	4.8	5.6	6.0	5.5	57	18	30	8	8	—	—	—	1	1	9
Sept.	6.1	12.3	7.6	8.4	−3.0	30	18.4	5	83	47	77	69	20	19	6.6	6.3	7.6	6.8	108	25	16	14	14	4	—	1	—	5	17
Okt.	1.5	7.0	1.9	3.1	−4.8	29	13.4	22	74	46	70	63	24	4	7.3	7.0	6.9	7.1	89	15	5	17	17	11	—	—	2	2	14
Nov.	−4.1	−0.7	−4.0	−3.2	−13.4	12	8.2	4	66	53	67	62	23	28	5.6	6.4	6.0	6.0	113	27	7	17	17	16	—	—	1	6	19
Dez.	−9.2	−5.3	−8.4	−7.8	−19.0	30	2.4	2	57	46	57	53	7	26	3.7	3.2	3.4	3.4	56	24	8	6	5	6	—	—	—	13	4
Jahr	0.2	5.8	1.1	2.0	−19.4	II	25.4	VIII	66	44	62	57	7	XII	5.3	5.3	5.5	5.4	858	27	XI	123	121	68	—	2	9	73	114

$\lambda = 9° 9'$, $\beta = 46° 15'$, $H = 335^m$, $h_r = 1.3^m$

Grono

Beobachter: A. Parolini

Jan.	0.5	6.2	2.2	2.8	−5.0	18	21.2	29	57	43	53	51	16	29	—	—	—	—	1	1	10	1	1	—	—	—	—	—	—
Febr.	0.4	4.7	1.3	1.9	−3.3	20	12.2	1	52	40	52	48	18	14	—	—	—	—	40	12	28	6	6	5	—	—	—	—	—
März	1.1	8.2	2.5	3.6	−1.7	20	14.7	29	47	32	43	41	17	25	—	—	—	—	6	6	30	1	1	—	—	—	1	—	—
April	7.9	16.1	9.1	10.6	3.1	3	24.2	24	58	39	52	50	20	6,25	—	—	—	—	57	19	18	6	6	—	—	—	—	?	?
Mai	12.8	21.1	13.7	15.4	7.0	8	27.8	28	66	41	60	56	20	31	—	—	—	—	146	34	16	10	10	—	—	—	1	17	7
Juni	17.7	24.3	17.9	19.4	12.3	10	29.1	30	60	41	57	53	26	4.8.11	—	—	—	—	97	22	26	15	12	—	—	—	1	11	6
Juli	20.0	26.4	20.5	21.9	14.4	5	30.1	1	64	42	60	55	23	14.18	—	—	—	—	237	73	21	12	11	—	—	1	—	16	4
Aug.	20.9	27.8	22.2	23.3	15.6	10	30.2	15.23	70	44	66	60	30	10	—	—	—	—	88	39	3	9	9	—	—	1	—	14	6
Sept.	14.0	20.5	15.3	16.3	10.0	29	25.0	1	80	57	75	71	36	3	—	—	—	—	239	81	2	11	10	—	—	—	2	11	16
Okt.	7.8	13.7	8.4	9.6	4.0	31	19.9	1	81	57	75	71	22	3	—	—	—	—	283	61	6	14	13	—	—	1	1	6	13
Nov.	2.9	7.1	3.6	4.3	−1.6	14	13.1	8	74	55	71	67	38	17	—	—	—	—	34	13	2	6	5	2	—	—	1	14	6
Dez.	−1.6	3.8	1.0	1.1	−4.8	29	9.0	13	66	51	63	60	21	31	—	—	—	—	38	19	8	5	5	4	—	—	1	12	12
Jahr	8.7	15.0	9.8	10.8	−5.0	I	30.2	VIII	65	45	61	57	16	I	—	—	—	—	1266	81	IX	96	89	11	—	3	8	—	—

Tessin

$\lambda = 8° 36'$, $\beta = 46° 31'$, $H_b =$ ca. 1170^m, $h_r = 0.8^m$

Airolo

Beobachter: Fr. Burkhalter

Jan.	0.3	3.9	0.9	1.5	−6.4	6	11.0	29	56	44	53	51	24	30	2.7	2.4	1.5	2.2	30	9	23	6	6	6	—	—	—	20	3
Febr.	−3.9	0.1	−3.7	−2.8	−9.0	20	9.8	2	63	54	64	60	30	7	5.5	4.9	4.7	5.0	72	18	10	8	8	8	—	—	—	9	10
März	−1.3	3.4	−0.9	0.1	−7.0	4	8.2	29	58	42	57	52	26	16.28	4.3	4.0	3.8	4.1	19	8	30	7	5	7	—	—	—	8	4
April	5.5	10.8	5.6	6.9	−1.2	1	17.2	24	62	46	63	57	21	11	4.3	4.4	4.9	4.5	76	33	16	9	8	—	—	—	—	7	5
Mai	9.0	14.2	9.0	10.3	3.7	8	21.8	31	62	48	67	59	24	9	4.1	4.1	4.6	4.3	75	16	16	9	9	—	—	—	—	10	6
Juni	12.0	16.9	11.4	12.9	7.0	18	22.8	1	65	49	71	62	35	15.30	3.9	5.0	5.3	4.7	82	35	26	10	9	—	—	1	—	5	5
Juli	14.4	19.1	14.3	15.5	9.6	4	23.4	26	69	51	72	64	35	31	3.9	4.4	4.9	4.4	165	44	3	10	10	—	—	2	—	5	5
Aug.	15.6	20.9	15.8	17.0	12.4	7	28.0	23	76	57	80	71	36	3	3.6	4.6	5.7	4.6	112	27	31	16	13	—	—	7	—	5	4
Sept.	10.0	13.9	9.9	10.9	4.0	30	18.8	1	80	65	82	76	29	30	5.8	5.9	6.1	5.9	148	52	2	16	15	—	—	2	—	3	11
Okt.	3.9	7.7	4.5	5.2	−1.0	28	13.8	1	81	67	83	77	39	26	6.5	6.2	7.4	6.7	279	39	9	19	17	3	—	—	—	3	11
Nov.	−0.8	2.6	−0.4	0.3	−7.0	12	9.0	8	73	57	72	67	28	28	5.2	5.4	5.5	5.4	162	47	7	15	13	10	—	—	—	9	12
Dez.	−4.5	−1.6	−4.1	−3.6	−9.8	30	3.6	18	69	57	66	64	26	28	4.0	4.0	4.0	4.0	73	26	4	9	8	9	—	—	—	12	4
Jahr	5.0	9.3	5.2	6.2	−9.8	XII	28.0	VIII	68	53	69	63	21	IV	4.2	4.6	4.9	4.6	1293	52	IX	134	121	43	—	12	—	96	80

$\lambda = 8° 56'$, $\beta = 46° 28'$, $H = 544.1^m$, $h_r = 1.6^m$

Comprovasco

Beobachter: Frl. Pia Gianella

Jan.	1.8	8.3	3.1	4.1	−5.1	7	20.6	29	—	—	—	—	—	—	2.9	2.5	2.3	2.6	10	6	26	4	3	1	—	—	—	18	2
Febr.	−0.5	4.6	0.3	1.2	−6.9	20.21	12.4	1	—	—	—	—	—	—	5.4	4.2	4.3	4.6	44	24	28	7	6	7	—	—	1	10	7
März	1.8	9.2	3.9	4.7	−2.5	2	15.0	27	—	—	—	—	—	—	4.4	4.3	3.1	3.9	6	3	13	2	2	—	—	—	—	9	4
April	8.2	15.7	9.8	10.9	1.5	2	21.8	24	—	—	—	—	—	—	5.0	4.7	4.7	4.8	57	31	16	8	6	—	—	—	—	7	6
Mai	11.8	19.0	11.9	13.7	3.7	9	26.5	27	—	—	—	—	—	—	5.2	5.0	4.7	5.0	74	35	21	8	7	—	—	—	—	9	8
Juni	14.6	21.5	15.0	16.5	9.1	9	26.3	2	—	—	—	—	—	—	4.8	5.1	4.4	4.8	85	25	26	12	9	—	—	2	—	5	6
Juli	16.6	23.9	17.0	18.6	11.9	6	28.1	17	—	—	—	—	—	—	5.0	5.1	4.9	5.0	156	48	21	11	11	—	—	2	—	4	3
Aug.	17.6	25.3	18.5	20.0	12.1	10	29.4	23	—	—	—	—	—	—	4.5	5.5	5.7	5.2	101	39	31	13	11	—	—	7	—	6	5
Sept.	12.3	18.3	12.7	14.0	3.7	30	22.1	15	—	—	—	—	—	—	6.5	5.7	6.5	6.2	164	87	2	13	10	—	1	1	—	4	11
Okt.	7.1	12.1	8.0	8.8	3.0	4	16.5	1	—	—	—	—	—	—	6.8	6.9	6.9	6.9	251	33	9	17	13	—	—	1	2	3	13
Nov.	1.8	6.8	2.7	3.5	−3.9	14	16.6	8	—	—	—	—	—	—	5.4	5.5	4.5	5.1	78	26	7	13	11	3	—	—	2	9	9
Dez.	−1.2	2.8	−0.3	0.2	−8.3	30	11.1	3	—	—	—	—	—	—	5.1	4.6	4.2	4.6	51	24	7	6	5	4	—	—	—	11	9
Jahr	7.7	14.0	8.6	9.7	−8.3	XII	29.4	VIII	—	—	—	—	—	—	5.1	4.9	4.7	4.9	1077	87	IX	114	94	15	1	13	5	95	83

$\lambda = 8° 59'$, $\beta = 46° 1'$, $H = 910^m$, $h_r = 1.5^m$

Monte Brè (ob Lugano)

Beobachter: A. Rezzonico

1944	Luft-Temperatur 7.30	13.30	21.30	Mittel	Minimum	Tag	Maximum	Tag	Relative Feuchtigkeit 7.30	13.30	21.30	Mittel	Minim.	Tag	Bewölkung 7.30	13.30	21.30	Mitt.	Niederschlag Summe	Maxim.	Tag	Zahl der Tage ● *	●* ≥1.0	*	▲	K	≡	helle	trübe
Jan.	3.7	6.2	3.9	4.4	-3.4	5	17.0	29	—	—	—	—	—	—	2.0	2.9	1.4	2.1	1	1	23	1	1	—	—	—	1	17	1
Febr.	-0.7	2.1	-0.2	0.2	-5.2	23	10.4	1.2	—	—	—	—	—	—	5.5	4.6	4.3	4.8	45	22	29	5	5	5	—	—	4	5	7
März	1.0	5.8	2.9	3.2	-3.2	5	11.2	31	—	—	—	—	—	—	3.3	3.1	2.6	3.0	0.4	0.4	30	1	—	—	—	—	1	13	2
April	7.8	12.5	8.6	9.4	1.2	1	17.4	24	—	—	—	—	—	—	3.9	4.8	4.0	4.2	62	20	17	8	8	—	—	—	2	12	5
Mai	11.4	16.0	11.4	12.5	7.1	9	21.8	30	—	—	—	—	—	—	5.0	4.7	4.2	4.6	159	35	15	10	10	—	—	2	2	10	7
Juni	14.6	18.6	14.8	15.7	10.0	10	22.0	2.5	—	—	—	—	—	—	4.4	5.5	5.0	5.0	108	16	24	13	13	—	—	1	3	3	5
Juli	16.7	20.5	17.0	17.8	11.6	21	23.2	2	—	—	—	—	—	—	4.9	4.5	4.0	4.5	353	155	21	13	13	—	—	6	1	6	2
Aug.	18.1	22.0	18.4	19.2	13.8	6	25.4	15	—	—	—	—	—	—	4.5	4.0	4.6	4.4	60	14	3	11	11	—	—	2	—	9	5
Sept.	12.6	15.8	12.9	13.6	6.4	30	22.2	2	—	—	—	—	—	—	5.6	5.8	5.9	5.8	93	25	2	10	9	—	—	1	1	7	10
Okt.	7.4	9.7	7.6	8.1	2.8	29.30	13.8	8	—	—	—	—	—	—	7.0	6.5	6.8	6.8	413	54	8	18	18	—	—	—	8	4	14
Nov.	3.0	5.2	3.3	3.7	-1.2	15	12.6	8	—	—	—	—	—	—	4.1	4.4	3.6	4.0	35	11	2	6	6	2	—	—	5	10	6
Dez.	0.1	2.1	0.2	0.6	-5.8	30	6.0	5.20	—	—	—	—	—	—	5.4	5.0	4.1	4.8	13	7	7	5	4	3	—	—	2	11	10
Jahr	8.0	11.4	8.4	9.0	-5.8	XII	25.4	VIII	—	—	—	—	—	—	4.6	4.7	4.2	4.5	1342	155	VII	101	98	10	—	12	30	107	74

Meliorationsgebiet der St. Galler Rheinebene

Die Abendbeobachtungen erfolgen um 20.30 Uhr

$\lambda = 9° 31'$, $\beta = 47° 21'$, $H =$ ca. 540^m, $h_r = 1.6^m$

Eichberg

Beobachter: T. Bänziger

1944	Luft-Temperatur 7.30	13.30	21.30	Mittel	Minimum	Tag	Maximum	Tag	Relative Feuchtigkeit 7.30	13.30	21.30	Mittel	Minim.	Tag	Bewölkung 7.30	13.30	21.30	Mitt.	Niederschlag Summe	Maxim.	Tag	Zahl der Tage ● *	●* ≥1.0	*	▲	K	≡	helle	trübe
Jan.	-0.4	2.7	0.4	0.8	-10.6	6	10.0	28	87	69	85	80	36	23	6.7	5.5	6.7	6.3	109	15	4	15	13	4	—	—	1	4	12
Febr.	-4.2	0.4	-2.7	-2.4	-12.6	24	10.8	3	89	64	81	78	47	7. 22.24	9.1	7.9	7.5	8.2	133	25	2	15	13	13	—	—	3	1	19
März	-0.8	3.9	0.5	1.0	-6.8	22	12.0	30	81	59	78	73	34	29	8.8	7.8	7.5	8.0	156	31	31	18	15	15	—	1	2	—	18
April	7.6	14.2	9.1	10.0	-0.4	1	21.8	16	77	52	71	67	32	16	6.5	6.4	4.7	5.9	65	12	25	15	12	1	—	—	—	4	9
Mai	10.2	16.4	11.5	12.3	2.8	9	26.6	30	77	54	73	68	31	2	6.3	5.9	5.8	6.0	89	29	31	12	12	—	1	1	—	5	11
Juni	13.3	17.7	12.9	14.1	8.2	17	24.4	5	79	59	81	73	38	29	7.6	7.5	7.5	7.5	170	29	5	18	15	—	—	2	—	2	15
Juli	15.8	20.9	17.0	17.4	11.5	12	28.5	6	79	59	80	73	46	3	7.5	6.8	6.5	6.9	163	55	9	14	13	—	—	1	—	3	15
Aug.	18.1	24.6	19.2	20.2	14.1	2	31.1	21	79	56	75	70	32	21	5.2	4.3	4.0	4.5	95	34	31	8	7	—	—	4	—	6	4
Sept.	11.9	17.0	12.2	13.4	5.6	30	23.4	17	85	64	86	78	43	4	7.1	6.7	5.3	6.4	200	44	2	16	14	—	—	1	—	5	13
Okt.	6.8	12.0	7.5	8.6	-1.4	29	18.4	12	89	61	87	79	39	6	8.0	6.9	5.6	6.8	133	27	1	14	12	—	—	—	1	1	11
Nov.	2.1	5.8	3.5	3.6	-3.0	28	14.0	5	86	67	81	78	37	5	7.4	7.7	8.0	7.7	245	57	8	19	16	7	—	—	—	2	19
Dez.	-2.0	1.0	-1.2	-0.8	-12.2	28	9.9	17	86	73	80	80	30	11.17	7.9	7.7	6.0	7.2	84	25	4	13	12	5	—	—	—	2	15
Jahr	6.5	11.4	7.5	8.2	-12.6	II	31.1	VIII	83	61	80	75	30	VIII	7.3	6.8	6.3	6.8	1642	57	XI	177	154	45	1	10	7	35	161

$\lambda = 9° 34'$, $\beta = 47° 19'$, $H =$ ca. 426^m, $h_r = 1.6^m$

Oberriet

Beobachter: J. Stieger

1944	Luft-Temperatur 7.30	13.30	21.30	Mittel	Minimum	Tag	Maximum	Tag	Relative Feuchtigkeit 7.30	13.30	21.30	Mittel	Minim.	Tag	Bewölkung 7.30	13.30	21.30	Mitt.	Niederschlag Summe	Maxim.	Tag	Zahl der Tage ● *	●* ≥1.0	*	▲	K	≡	helle	trübe
Jan.	-0.9	3.0	0.6	0.8	-11.8	6	9.6	28	91	76	88	85	45	23	7.8	6.6	7.3	7.2	86	15	23	12	12	3	—	—	2	4	16
Febr.	-4.7	0.1	-2.7	-2.6	-17.4	24	10.6	3	92	72	88	84	49	7	9.3	8.4	7.4	8.4	111	21	2	17	13	15	—	—	2	—	20
März	-0.8	3.8	0.7	1.1	-7.0	8	11.6	29	84	64	83	77	31	29	8.7	8.3	7.2	8.1	117	24	31	19	14	16	—	1	—	1	21
April	7.4	14.8	10.4	10.6	0.4	1	22.4	16	85	54	75	71	23	14	7.3	7.4	5.8	6.8	67	14	25	15	13	1	—	1	—	2	13
Mai	10.4	17.0	12.6	12.9	4.0	9	27.2	29	83	58	78	73	23	3	6.4	6.3	6.2	6.3	68	25	31	11	10	—	1	1	—	6	13
Juni	13.6	18.3	14.2	14.9	8.8	8	25.0	29	86	65	86	79	34	29	7.0	7.5	7.7	7.4	115	20	5	17	17	—	—	2	—	2	15
Juli	16.6	21.5	17.1	17.9	12.8	25	27.6	8	87	65	89	80	50	2	7.2	6.8	7.3	7.1	156	70	9	14	13	—	—	1	—	2	13
Aug.	18.0	25.0	19.7	20.5	13.4	3	31.4	21	87	60	85	77	26	21	5.5	4.7	4.9	5.0	80	21	29	11	9	—	—	4	—	5	8
Sept.	11.8	17.4	12.6	13.6	2.8	30	23.8	2	91	70	92	84	48	5	7.0	6.7	5.6	6.4	185	47	2	15	13	—	—	2	—	5	11
Okt.	6.3	12.1	7.8	8.5	-2.2	29	17.4	7	94	69	93	85	47	4	8.7	7.5	6.2	7.5	110	29	18	14	11	—	—	1	2	—	13
Nov.	2.5	6.0	4.2	4.0	-4.5	29	11.6	6	89	75	85	83	55	14	7.9	8.0	8.2	8.0	207	64	8	19	17	7	—	1	1	2	22
Dez.	-1.5	1.4	-0.6	-0.3	-11.6	30	10.2	17	89	80	85	85	45	17	8.5	8.1	7.3	8.0	72	20	4	12	12	4	—	—	4	2	21
Jahr	6.6	11.7	8.1	8.5	-17.4	II	31.4	VIII	88	67	86	80	23	IV/V	7.6	7.2	6.8	7.2	1374	70	VII	176	154	46	1	14	11	31	186

$\lambda = 9° 37'$, $\beta = 47° 22'$, $H =$ ca. 419^m, $h_r = 1.6^m$

Kriebern (Zollamt)

Beobachter: E. Bänziger

1944	Luft-Temperatur 7.30	13.30	21.30	Mittel	Minimum	Tag	Maximum	Tag	Relative Feuchtigkeit 7.30	13.30	21.30	Mittel	Minim.	Tag	Bewölkung 7.30	13.30	21.30	Mitt.	Niederschlag Summe	Maxim.	Tag	Zahl der Tage ● *	●* ≥1.0	*	▲	K	≡	helle	trübe
Jan.	-0.4	2.5	0.8	0.9	-10.4	6	8.2	28	84	70	81	78	48	23	7.8	5.8	6.5	6.7	77	16	1	12	12	3	—	—	6	4	13
Febr.	-4.2	0.0	-2.3	-2.4	-15.8	24	9.8	3	84	64	78	75	51	7. 15.18	9.6	8.6	8.2	8.8	102	21	2	14	12	12	—	—	10	—	23
März	-0.7	3.7	1.0	1.1	-5.5	8	10.6	30	77	58	74	70	40	25.29	8.2	7.7	7.5	7.8	87	19	31	14	12	11	1	1	2	1	17
April	7.5	14.2	10.4	10.4	0.3	1	23.8	16	77	52	68	66	36	15.16	6.5	6.8	6.6	6.6	59	11	9	12	11	—	—	1	1	4	11
Mai	10.7	16.2	13.1	12.9	4.1	9	26.1	31	75	55	68	66	35	24	5.3	5.2	6.4	5.6	68	14	31	11	11	—	—	2	4	5	10
Juni	14.1	18.3	15.3	15.4	9.2	7.8	24.2	29	77	58	75	70	40	29	6.2	7.0	7.0	6.7	131	25	5	20	16	—	—	4	—	4	13
Juli	16.8	21.2	18.2	18.2	12.0	12	26.2	3.26	79	59	78	72	45	14	6.2	6.1	6.7	6.3	154	63	9	15	14	—	—	4	1	5	10
Aug.	18.1	24.4	20.2	20.5	14.4	3	31.0	21	80	59	76	72	38	21	4.6	3.6	5.1	4.4	110	33	31	9	8	—	—	6	—	6	3
Sept.	11.7	17.2	13.1	13.7	3.2	30	22.6	5	86	65	84	78	47	25	5.8	6.1	5.6	5.8	176	40	2	14	13	—	—	1	—	5	9
Okt.	6.5	11.7	7.9	8.5	-2.6	29	17.8	7	88	62	85	78	44	4	7.3	6.7	5.9	6.6	101	25	2	13	12	—	—	—	—	—	9
Nov.	2.6	5.6	4.0	3.9	-1.8	27.28	11.0	24	81	69	78	76	48	17	7.1	7.3	8.6	7.7	180	55	8	19	17	7	—	—	1	—	19
Dez.	-2.0	1.1	-0.6	-0.6	-11.5	30	8.2	7	84	70	79	78	37	11	8.2	7.0	7.2	7.5	58	13	4	12	12	3	—	—	8	1	16
Jahr	6.7	11.3	8.4	8.5	-15.8	II	31.0	VIII	81	62	77	73	35	V	6.9	6.5	6.8	6.7	1303	63	VII	165	150	36	1	19	33	35	153

Kriebern: E. Bänziger seit Mitte April, vorher diverse Grenzwachtbeamte.

Die Abendbeobachtungen erfolgen um 20.30 Uhr

Widnau (Zollamt)

$\lambda = 9° 39', \beta = 47° 25', H = \text{ca. } 404^m, hr = 1.6^m$

Beobachter: E. Eberle

1944	Luft-Temperatur								Relative Feuchtigkeit						Bewölkung				Niederschlag			Zahl der Tage							
	7^{30}	13^{30}	21^{30}	Mittel	Minimum	Tag	Maximum	Tag	7^{30}	13^{30}	21^{30}	Mitt.	Minimum	Tag	7^{30}	13^{30}	21^{30}	Mitt.	Summe	Maximum	Tag	•	≥ 1.0	*	▲	K	≡	helle	trübe
Jan.	0.3	3.5	1.8	1.8	-10.0	7	10.0	28	—	—	—	—	—	—	8.4	6.1	7.0	7.2	59	10	26	13	12	3	—	—	5	3	18
Febr.	-3.3	0.4	-1.6	-1.3	-15.2	24	11.4	3	—	—	—	—	—	—	9.9	8.4	7.8	8.7	94	26	2	15	12	13	—	—	8	—	23
März	0.5	3.9	1.7	1.8	-4.4	10	10.4	29	—	—	—	—	—	—	8.2	8.4	7.5	8.0	89	17	31	15	14	11	—	—	—	1	19
April	8.5	13.8	11.1	10.8	2.2	1	20.0	16	—	—	—	—	—	—	6.7	6.4	6.3	6.5	61	13	9	14	12	1	—	—	—	4	11
Mai	11.2	16.0	13.2	13.1	4.6	9	27.0	28	—	—	—	—	—	—	5.9	5.8	6.9	6.2	77	20	31	12	12	—	—	1	—	5	11
Juni	14.5	18.0	14.8	15.3	9.6	7	24.4	29	—	—	—	—	—	—	7.0	7.3	7.4	7.2	140	33	5	18	16	—	1	2	—	1	15
Juli	17.0	20.8	17.7	18.0	13.0	12	26.4	26	—	—	—	—	—	—	6.6	6.6	7.3	6.8	131	46	9	15	14	—	—	—	—	3	14
Aug.	18.6	24.0	20.1	20.5	14.6	5	29.6	23	—	—	—	—	—	—	4.9	3.9	5.1	4.6	119	47	21	11	9	—	—	4	—	6	5
Sept.	12.6	16.8	13.2	13.9	4.6	30	22.8	6	—	—	—	—	—	—	6.5	7.0	5.5	6.3	182	46	2	13	12	—	—	—	—	5	13
Okt.	7.4	11.6	8.2	8.9	0.0	29	17.6	7	—	—	—	—	—	—	8.1	7.2	6.4	7.2	111	29	2	14	11	—	—	—	2	—	13
Nov.	3.4	6.1	4.9	4.6	-1.0	27	11.4	7 / 23.24	—	—	—	—	—	—	8.0	7.7	8.5	8.1	170	49	8	17	14	7	—	—	1	1	21
Dez.	-1.0	1.7	0.3	0.2	-9.8	30	9.2	4	—	—	—	—	—	—	8.1	7.6	7.2	7.6	51	18	4	12	12	3	—	—	3	1	15
Jahr	7.5	11.4	8.8	9.0	-15.2	II	29.6	VIII	—	—	—	—	—	—	7.4	6.9	6.9	7.0	1284	49	XI	169	150	38	1	7	19	39	178

Heerbrugg

$\lambda = 9° 37', \beta = 47° 24', H = \text{ca. } 405^m, hr = 1.6^m$

Beobachter: Wild A.-G., M. Loser

Jan.	-0.2	3.3	1.7	1.5	-9.4	7	10.0	28	82	69	79	77	48	10	8.3	7.7	7.6	7.9	60	10	4	14	12	4	—	—	7	2	18
Febr.	-3.9	-0.1	-1.8	-2.1	-15.6	24	10.4	3	82	68	77	76	51	22	9.7	9.0	8.6	9.1	101	18	2	16	13	14	—	—	7	—	24
März	-0.4	3.3	1.4	1.2	-4.8	10	10.8	29	*70	*60	*65	*65	?	—	8.8	8.8	8.2	8.6	105	21	31	16	14	12	—	1	—	—	24
April	7.7	14.2	11.0	10.7	-0.8	1	20.6	24	70	51	62	61	34	16	7.1	7.1	6.0	6.7	65	15	9	13	11	—	—	—	—	2	9
Mai	11.3	16.4	13.4	13.3	26.8	30	4.8	23	73	56	64	64	35	3	6.5	6.8	6.4	6.6	83	25	31	12	10	—	—	1	—	5	13
Juni	14.2	18.3	15.3	15.4	8.8	8	24.6	26	76	58	74	69	37	29	7.3	7.7	7.6	7.5	133	30	5	20	15	—	—	—	—	2	15
Juli	16.9	21.2	18.7	18.4	12.2	12	28.0	7	77	58	72	69	41	14	7.3	6.9	7.1	7.1	137	49	9	15	15	—	—	—	—	1	15
Aug.	19.0	25.1	21.2	21.4	14.4	8	31.4	21	77	56	70	68	38	21	4.2	4.2	4.5	4.3	128	52	31	9	9	—	—	—	—	10	4
Sept.	12.5	17.5	13.7	14.3	5.8	30	24.4	6	84	63	80	76	47	4.6	7.1	7.3	6.1	6.8	186	43	2	15	12	—	—	—	4	3	12
Okt.	7.2	12.3	8.3	9.1	-0.7	29	18.0	7	89	61	84	78	40	4	8.6	7.7	7.0	7.8	123	31	2	14	11	—	—	—	3	—	15
Nov.	3.1	6.0	5.3	4.6	-0.6	27.29	12.0	5	82	70	74	75	46	17.19	8.3	8.5	8.6	8.5	195	55	8	20	16	6	—	—	2	—	22
Dez.	-1.3	1.3	0.0	-0.1	-10.4	28	9.8	4	83	72	79	78	35	11	8.5	8.1	7.0	7.9	59	23	4	12	11	3	—	—	10	1	17
Jahr	7.2	11.6	9.0	9.0	-15.6	II	31.4	VIII	79	62	73	71	34	IV	7.6	7.5	7.1	7.4	1375	55	XI	176	149	39	—	2	33	26	186

Windverteilung

Eichberg

1944	N	NE	E	SE	S	SW	W	NW	Calmen
Januar	16	4	—	1	4	6	26	7	29
Februar	19	5	1	—	3	6	28	10	15
März	22	8	2	3	2	7	18	6	25
April	11	11	3	2	4	14	31	5	9
Mai	9	10	8	1	1	11	23	10	20
Juni	16	5	10	—	1	2	35	4	17
Juli	9	7	5	4	5	11	21	14	17
August	6	15	6	3	2	11	19	4	27
September	13	5	7	1	1	13	15	6	29
Oktober	9	7	3	4	3	8	21	8	30
November	22	1	1	1	3	11	30	11	10
Dezember	19	6	1	1	3	15	18	3	27
Jahr	171	84	47	21	32	115	285	88	255

Oberriet

	N	NE	E	SE	S	SW	W	NW	Calmen
Januar	6	7	8	33	13	7	7	9	3
Februar	17	12	9	18	3	6	5	17	—
März	9	21	10	17	10	7	1	15	3
April	16	13	7	26	10	3	4	9	2
Mai	20	26	5	17	8	4	—	8	5
Juni	8	22	7	24	9	6	3	8	3
Juli	14	21	13	30	4	—	4	3	4
August	15	22	12	22	7	1	1	7	6
September	14	24	8	18	7	4	2	11	2
Oktober	13	20	11	21	7	4	5	9	3
November	9	6	10	27	15	7	7	4	5
Dezember	13	17	11	23	15	7	2	5	—
Jahr	154	211	111	276	108	56	41	105	36

Krießern (Zollamt)

	N	NE	E	SE	S	SW	W	NW	Calmen
Januar	4	2	1	2	14	18	4	1	47
Februar	7	12	2	—	3	7	10	7	39
März	13	8	4	2	8	12	5	2	39
April	9	10	2	1	7	8	1	—	52
Mai	11	13	—	—	1	3	4	3	58
Juni	15	8	—	—	1	4	1	—	61
Juli	8	14	—	—	1	6	5	—	59
August	6	22	1	1	—	7	4	—	52
September	3	18	—	—	—	12	2	—	55
Oktober	6	8	—	—	1	5	4	3	69
November	5	4	—	—	9	14	8	4	46
Dezember	1	10	—	2	3	9	1	3	64
Jahr	88	129	10	8	48	105	49	23	638

Widnau (Zollamt)

	N	NE	E	SE	S	SW	W	NW	Calmen
Januar	1	2	1	1	1	12	18	2	55
Februar	6	4	4	—	—	10	3	6	54
März	4	3	4	—	—	7	8	1	66
April	4	8	1	1	—	7	3	3	63
Mai	11	11	5	—	1	3	10	1	51
Juni	7	11	7	4	8	4	7	3	39
Juli	10	9	7	1	5	3	4	3	51
August	9	10	2	1	2	10	6	—	53
September	5	10	4	—	3	5	6	1	56
Oktober	6	6	2	1	3	6	3	—	66
November	1	2	1	—	2	10	19	2	53
Dezember	2	5	8	2	3	10	8	1	54
Jahr	66	81	46	11	28	87	95	23	661

Heerbrugg

Januar	—	9	—	7	—	27	2	7	1
Februar	—	28	—	7	—	46	5	1	—
März	—	30	2	7	1	51	1	1	—
April	2	26	1	10	—	50	—	—	1
Mai	—	44	—	9	—	33	4	2	1
Juni	—	31	2	12	—	39	2	4	—
Juli	1	35	1	9	2	35	2	8	0
August	—	33	—	7	—	49	—	2	2
September	—	39	1	3	—	35	7	5	—
Oktober	1	28	2	4	1	42	3	10	2
November	—	14	1	1	1	60	6	7	—
Dezember	—	17	2	7	—	48	11	4	4
Jahr	4	334	12	83	5	555	43	51	11

Anhang

zum Jahrgang 1944 der Annalen der

Schweizerischen Meteorologischen Zentralanstalt

Ergänzende Beobachtungen und Abhandlungen

Nr. 1

Übersicht über den Witterungsverlauf in der Schweiz im Jahre 1944

von M. Grütter

Das Jahr 1944 war für die Alpen und die Jurahöhen etwas zu kalt, für die Niederungen etwas zu warm. Die Abweichungen vom Normalwert betragen meist weniger als $^1/_2°$, sind also nur mäßig. Die thermische Veränderlichkeit in Zürich war mit 17.3° (+11.4°, —5.9°) nicht groß. Ungewöhnlich warme Monate waren Januar, April und August, ausgesprochen kalt Februar und März. — Die Sonnenscheindauer war in der Südwest- und Südschweiz ungefähr normal, zu klein in der Nordschweiz, im Jura und ganz besonders in den Alpen, wo die Werte den bisherigen Minima sehr nahe kommen. Besonders helle Monate waren der März in der Südschweiz, April und Mai in der Südwestschweiz. Sehr trübe war auf der Alpennordseite der Februar, in der ganzen Schweiz der September und der Oktober. — Während am Alpensüdfuß verhältnismäßig sehr wenig Niederschlag gefallen ist, ergaben sich für die übrigen Landesteile im ganzen mäßige Überschüsse, die größten (bis ein Drittel des Normalwerts) im Jura und in den Alpen, kleinere im Mittelland. Die Frühlingsmonate waren sehr trocken, besonders am Alpensüdfuß. Ganz auffallend große Niederschlagsmengen sind dagegen im November auf der Alpennordseite gefallen.

Näheren Aufschluß über die mittleren Verhältnisse und den Witterungsablauf jedes Monats gibt die folgende Zusammenstellung:

Der JANUAR war in der ganzen Schweiz zu warm. Die Temperatur weicht in der Nordschweiz bedeutend (um etwa 3.5 °) vom Normalwert ab. Gegen Süden werden die Überschüsse kleiner. — Der Bewölkungsgrad und entsprechend die Zahl der trüben Tage war für die Hochlagen (Gipfelstationen und Graubünden) relativ zu groß, im Mittelland und auf den Talstationen der Alpen (namentlich im Wallis) zu klein. Sion hatte nur halb so viele trübe Tage wie normal. Eher zu trübe erscheint auch die Nordschweiz und der Alpensüdfuß. Für die Sonnenscheindauer erhält man jedoch überall zu große Werte. Von den angeführten Stationen hat Bern den größten prozentualen Betrag erhalten. — Die Niederschlagsmengen sind im Alpengebiet und in der ganzen Nordhälfte der Schweiz zu groß (maximal um etwa 90% des Normalwerts). Dagegen hat der Alpensüdfuß überhaupt keinen Niederschlag erhalten, die Südwestschweiz etwa drei Viertel des Normalbetrags.

Die drei Störungsperioden, die man im Januar unterscheiden kann, wurden im wesentlichen durch Störungslinien verursacht, die bei höherem Druck über Südwesteuropa in der Hauptsache aus Nordwesten bis Westen kamen. Dabei war die Temperatur in den Niederungen etwa 5 ° über Null. Mäßig gestört waren zunächst die vier ersten Tage des Monats auf der Alpennordseite. Besonders am 4. gingen hier namhafte Regen- und Schneefälle nieder. Der nachfolgende rasche Druckanstieg nördlich der Alpen führte am 6. zu einer vollständigen Aufheiterung (mit Bise in der Westschweiz). Die zweite Störungsperiode setzte am 10. mit Regenwetter und Westwind ein. Mit dem 15. beginnt eine ausgesprochen antizyklonale Wetterlage mit heiterem Himmel in der Höhe und Hochnebel über den Niederungen der Alpennordseite (Obergrenze 900 m ü. Meer). Die dritte Störungsperiode, die die Tage vom 21. bis 27. umfaßt, brachte wechselnde Bewölkung, Westwind und mäßige Niederschläge. Die drei letzten Tage des Monats waren, abgesehen von zeitweiligen Nebeln in den Niederungen, unter Hochdruckeinfluß heiter.

Im FEBRUAR blieben die Temperaturen beträchtlich hinter den Normalwerten zurück. Nur am Alpensüdfuß wurde der Normalbetrag nahezu erreicht. Sonst betragen die Abweichungen in den Niederungen meist $2^1/_2$ bis 3°, auf den Hochstationen der Alpen und des Jura 3 bis 4°. — Die Trübung erscheint überall, namentlich aber im Alpengebiet zu groß. Der Bewölkungsüberschuß beträgt in der Westschweiz und im Wallis 10 bis 20 % des Normalwerts, in der übrigen Schweiz, besonders in den Alpen bedeutend mehr (bis zu 50 %). In Luzern wurden 27 statt 13 trübe und keine hellen Tage gezählt. Die Sonnenscheindauer war in Lugano etwas zu groß, in der Ostschweiz ungefähr normal, in der übrigen Schweiz beträgt sie nur die Hälfte der normalen. Auch die prozentualen Niederschlagsmengen zeigen ein Maximum im Alpengebiet der Zentralschweiz, wo etwa das zwei- bis dreifache des Normalwerts gemessen wurde. Ein leichtes Defizit ergibt sich für die Südwestschweiz, das Wallis und den Alpensüdfuß.

Auf der Alpennordseite war das Wetter während des ersten Monatsdrittels, abgesehen vom 1., unbeständig mit täglichen Niederschlägen, die bei hohem Druck über

Südwesteuropa durch weitere, meist aus Nordwesten kommende Störungen verursacht wurden. Eigentliche Störungslinien passierten am 4., 8. und 10. Abgesehen vom 3., an dem das Tagesmittel infolge eines Vorstoßes warmer Luft aus Westen 7 bis 10° erreichte, hielt sich die Temperatur in der Nähe des Nullpunktes. Am 10. beginnt eine Bisenlage. Die Temperatur sinkt unter Null, der Druck steigt langsam an. Mit dem 16. nimmt die Wetterlage leicht antizyklonalen Charakter an: heiterer Himmel in der Höhe, hochnebelartige Wolkendecke über den Niederungen (Obergrenze 1700—2300 m ü. M.), Temperatur in der Niederung 4 bis 6° unter Null. Die Bildung einer Depression über Südwesteuropa hatte dann vom 24. an auch für die Niederungen heiteres Wetter zur Folge. Mit der weiteren Entwicklung des Depressionssystems setzte am 27. eine allgemeine Trübung ein und am 29. nachmittags fielen besonders im Nordosten des Landes beträchtliche Niederschläge. — Der Südfuß der Alpen war vorwiegend bewölkt. Während der ersten Monatshälfte trat häufig Nordföhn auf. Niederschläge fielen erst am 22. und 23., dann wieder am 27. bis 29.

Auch der MÄRZ war sehr kalt. Im Mittelland betragen die Abweichungen vom Normalwert $1^1/_2$ bis 2°, auf den Hochstationen, auch im Jura und in Graubünden, wo zum Teil die bisher tiefsten Märztemperaturen gemessen wurden, 3 bis $3^1/_2$°. Dagegen war der Alpensüdfuß normal warm. — Der Bewölkungsgrad zeigt einen ungewöhnlich großen Überschuß in der Nordostschweiz, ein großes Defizit im Genferseegebiet und am Alpensüdfuß. Dieser starke Gegensatz zwischen Nordost- und Südwestschweiz kommt auch in der Zahl der hellen und trüben Tage zum Ausdruck: so hatte Montreux nur 5 statt 12 trübe Tage, Davos dagegen nur einen hellen statt deren 9. Ebenso erhält man für die Sonnenscheindauer in den nordöstlichen Landesteilen ein Defizit von etwa 35 %, im Genferseegebiet einen Überschuß von etwa 25 % des Normalwerts. — Niederschläge sind am Alpensüdfuß so gut wie keine gefallen, in der Südwestschweiz nur sehr wenig, etwa ein Drittel des Normalwerts (in Bern mit 9 mm das Minimum seit 1899), im nördlichen Mittelland etwa die Hälfte. Überschüsse finden sich wieder in den nordöstlichen Teilen des Alpengebiets.

Die ersten Tage des Monats waren noch gestört. Nach einem Vorstoß arktischer Kaltluft am 4. baute sich nordwestlich der Schweiz ein Hochdruckgebiet auf, das auf der Alpennordseite eine trübe Bisenlage zur Folge hatte. Am 11. und 13. verursachten Störungen aus Nordwesten in der Nordostschweiz namhafte Niederschläge. Nach dem Wiederanstieg des Drucks trat am 16. antizyklonales helles Wetter ein. Mitte Monat verschwand auch die winterliche Schneedecke im Mittelland. Leichte Störungen passierten dann wieder am 20. und 21. Am 21. wehte ein ziemlich kräftiger Westwind. Auch an den folgenden Tagen war das Wetter wechselnd, meist stark bewölkt mit zeitweiligen geringen Niederschlägen im Nordosten. Bedeutendere Beträge brachte eine von Westen her kommende Kaltfront am 31.

Für den APRIL ergeben sich sehr bedeutende positive Temperaturabweichungen, für Lausanne z. B. die größten seit 1893. Sie betragen im Alpengebiet der Ost- und Zentralschweiz sowie am Alpensüdfuß 1 bis $1^1/_2$°, im Mittelland und im Wallis 2 bis $2^1/_2$°. — Der Bewölkungsgrad war nur im Wallis und in der Südwestschweiz zu klein (in Genf um etwa ein Viertel des Normalwerts), sonst zu groß. Für Basel und Bern ergeben sich nur 1 statt 5 helle Tage, und die Zahl der trüben Tage ist im Mittelland um etwa 30 % zu groß. Für die Sonnenscheindauer erhält man jedoch auf der ganzen Alpennordseite etwa 20 bis 30 % Überschuß, ein Defizit in der Ostschweiz. — Die Niederschlagsmengen sind überall zu klein. Sehr bedeutend ist das Defizit im Wallis, im Tessin und in Graubünden. Hier sind weniger als 35 %, im Mittelland meist 60 bis 70 % des Normalbetrags gemessen worden.

Während der ersten zehn Tage des Monats herrschte bewölktes Wetter mit gelegentlichen Niederschlägen und kräftigem Westwind am 5. Vom 7. an verursachte ein Tiefdruckgebiet eine leichte Föhnlage hernach (am 9. und 10.) Niederschläge. Die folgenden Tage waren leicht bewölkt und abgesehen von vereinzelten lokalen Gewittern trocken. Eine neue Depression im Westen verursachte dann vom 15. bis 17. eine neue kräftigere Föhnlage und bedeckten Himmel. In der Nordostschweiz gingen am 18. abends größere Niederschlagsmengen nieder. Unter dem Einfluß eines Hochdruckgebiets, das sich nördlich der Alpen aufgebaut hatte, waren dann besonders die Süd- und die Westschweiz vom 22. an bis ans Monatsende trocken und vorwiegend leicht bewölkt. In der Nordostschweiz fielen dagegen am 25. morgens größere Niederschlagsmengen. Durch Zufuhr arktischer Kaltluft sank die Temperatur vom 24. bis 26. sehr beträchtlich. Am 26. notierte Genf stürmische Bise, Lugano stärkeren Nordföhn.

Auch der MAI war etwas zu warm. Die Abweichungen der Temperatur vom Normalwert betragen in der Westschweiz etwa 1 bis $1^1/_2$°, in der Nordostschweiz etwas mehr, in Graubünden und im Tessin etwas weniger als $^1/_2$°; für Chur ergibt sich ein leichtes Defizit. — Für den Bewölkungsgrad und die Zahl der trüben Tage erhält man in der Nordostschweiz und im Tessin, bzw. in Graubünden etwas zu große, sonst zu kleine Werte. Die Zahl der hellen Tage ist in der Westhälfte der Schweiz zu groß, in der Osthälfte meist zu klein. Genf hatte 10 statt 6, Davos 4 statt 6 helle Tage. Dementsprechend ist auch die Sonnenscheindauer überall, außer in der Nordschweiz, zu groß. Ein sehr großer Überschuß (von 45 Stunden) ergibt sich für Genf. — Der Mai zeichnete sich durch sehr geringe Niederschlagsmengen aus. Im Wallis wurde nur ein Viertel des Normalbetrags gemessen, im Mittelland 30 bis 40 %, im Alpengebiet 40 bis 60 %, in Lugano 86 %.

Zu Beginn des Monats stieg die Temperatur durch Zufuhr maritimer Luft aus Westen wieder an. Mit dem 4. geriet unser Land in den Störungsbereich eines über dem Kontinent liegenden Zyklonensystems. Am 6. und

7. brachte ein Kaltlufteinbruch der Ostschweiz und dem Tessin größere Niederschläge. Unter dem Einfluß des nachfolgenden Hochs trat bereits am Morgen des 8. eine vollständige Aufheiterung ein, die mehr oder weniger bis zum 13. anhielt. Nach Durchgang einer weiteren Störung am 14. verursachte eine Staulage auf der Alpennordseite trübes, regnerisches Wetter. Im Tessin traten Gewitterstörungen auf. Vom 18. bis 22. ging ein größeres Tiefdruckgebiet westostwärts über unser Land hinweg, dessen Vorderseite am 20. eine warme und ziemlich helle Föhnlage, dessen Rückseite am 21. und 22. größere Niederschläge zur Folge hatte. Nachher herrschte unter dem Einfluß eines neuen Hochs helles und gegen das Monatsende auch warmes Wetter.

Die JUNI-Temperaturen waren im Mittelland und im Alpengebiet um etwa 1° zu niedrig, in der Süd- und Südwestschweiz ungefähr normal. — Der Bewölkungsgrad war sehr groß, namentlich in der Nordost- und Ostschweiz, wo ein Überschuß von 30 % des Normalwerts festzustellen ist. Im Alpengebiet gab es strichweise gar keine hellen Tage (statt deren 5). Nur im Genferseegebiet entsprechen die Bewölkungsverhältnisse ungefähr dem Durchschnitt. Dementsprechend zeigt auch die Sonnenscheindauer ein nach Norden zunehmendes Defizit (46 Stunden in Zürich). — Obwohl auch die Zahl der Niederschlagstage fast in der ganzen Schweiz zu groß war, halten sich die Niederschlagsmengen meist unter dem Durchschnitt. Im Genferseegebiet, im Wallis und im Tessin ist wenig mehr als die Hälfte, im Jura etwa drei Viertel des Normalbetrags gefallen. Nur in der Nordostschweiz hat man einen Überschuß bis zu 20 %.

Die ersten Tage des Monats waren noch teilweise hell, warm und (von lokalen Gewittern am 1. abgesehen) trocken. Nach einem Einbruch maritimer Kaltluftmassen herrschte unter dem Einfluß kontinentaler Depressionen bis zum 11. bei leichtem Westwind meist trübes Wetter mit mäßigen Niederschlägen. Einer hellen Hochdrucklage folgte vom 16. bis 21. eine weitere Störungsphase. Während des letzten Monatsdrittels war dann das Wetter bei meist flacher Druckverteilung bewölkt, im Westen eher hell. Fast ganz heiter waren der 25. und der 29. Dagegen verursachte ein flaches Tiefdruckgebiet (über Südwesteuropa) am 26., 27. und 28. und eine weitere Störungslinie in der Nacht vom 29. zum 30. gewittrige Niederschläge.

Der JULI war nahezu normal warm. Die in der Südwestschweiz positiven, sonst vorwiegend negativen Abweichungen vom Normalwert betragen nirgends mehr als ½ Grad. — Der Bewölkungsgrad war in der Ostschweiz ziemlich groß, ungefähr 130 % des normalen, dagegen in Genf um zirka 10 % zu klein. Die Zahl der hellen Tage beträgt in Graubünden und in der Nordostschweiz etwa ein Drittel der normalen und die Sonnenscheindauer war in Davos um 41 Stunden zu kurz, in Genf um 3 Stunden zu lang. — Für die Niederschlagsmengen erhält man auf der Südseite der Alpen nahezu das Doppelte des Normalbetrags. Auch Graubünden und die Südwestschweiz weisen mäßige Überschüsse auf. Dagegen sind in der Nordostschweiz etwa 70 % des Normalbetrags gefallen.

Während der ersten zwei Tage war die Druckverteilung noch ziemlich flach, das Wetter im Nordosten bewölkt, im Südwesten hell. Mit dem 3. verstärkte sich das Hoch im Westen und steuerte eine Störung von Nordwesten her gegen die Alpen. Diese verursachte am 3. und 4. Gewitterstörungen und Niederschläge. Die Passage einer ziemlich tiefen Depression, die aus Westen kam, brachte dann am 6. und 7. zunächst helles, nachher bei sinkender Temperatur stark bewölktes Rückseitewetter mit Regenschauern. Durch den nachfolgenden Vorstoß des Hochs nach dem Kontinent waren die Tage vom 13. bis 20. vorwiegend leicht bewölkt. Dagegen herrschte während der Passage einer weiteren aktiven Depression, eingeleitet durch Gewitterstörungen, neuerdings schlechtes Wetter. Der 24. bis 26. waren wieder etwas heller. Weitere Störungslinien vermochten sich dann (wegen des Wiederaufbaus eines Hochdruckkerns über Frankreich mit östlichem Ausläufer) durch stärkere Bewölkung aber nur noch unbedeutende Niederschläge im Nordosten geltend zu machen.

Der diesjährige AUGUST war auf der Alpennordseite einschließlich der Westschweiz und des Alpengebiets der wärmste seit 1864 (bisheriges Maximum im August 1911). Nur am Alpensüdfuß wurden in einigen früheren Jahren höhere Augusttemperaturen gemessen. Die Abweichungen vom Normalwert betragen meist $3^1/_2$ bis $4^1/_2°$, in Lugano 1.2°. — Der Bewölkungsgrad zeigt im Westen des Landes ein bedeutendes Defizit und die Zahl der trüben Tage ist hier nur ein Drittel der normalen, die der hellen um ein Fünftel zu groß. Dagegen erscheinen der Alpensüdfuß, das Alpengebiet (besonders im Osten) und teilweise die Nordostschweiz zu stark bewölkt. In Graubünden gab es nur halb so viele helle Tage wie normal. Hier sowie in Lugano war die Sonnenscheindauer um etwa 10% zu klein, im Mittelland um 10 bis 15% zu groß. — Die Niederschlagsmengen waren im Jura und in der Gegend von Luzern zu groß. Im Genferseegebiet, in Graubünden und im Tessin ist weniger als die Hälfte des Normalbetrags gefallen, im Mittelland etwa 80 bis 100%.

Abgesehen von starker Bewölkung und geringen Niederschlägen in der Nordostschweiz am 1. war der Monatsanfang allgemein hell und normal warm. Mehr oder weniger bewölktes Wetter mit täglichen meist leichten Lokalgewittern herrschte dann vom Abend des 3. bis zum 9. vorwiegend unter dem Einfluß einer Depression im Süden bei hohem Druck im Westen. Mit Verlagerung des Hochs nach der Alpennordseite am 10. setzte heiteres Wetter ein, das zunächst bis zum 14. anhielt. Vom 15. abends bis zum 17. vormittags verursachte die Passage einer flachen Tiefdruckrinne vorübergehend starke Bewölkung und Gewitterniederschläge. Vom 18. vormittags bis zum 24. nachmittags herrschte bei tiefem Druck über Spanien wieder vorwiegend helles und trockenes

Wetter. Der 23. brachte das Temperaturmaximum. Seit dem 24. abends traten dann wieder täglich Lokalgewitter auf, wobei zunächst mehr die West- und die Zentralschweiz überregnet wurden. Ein Gewitterregen verursachte am 24. abends Hochwasserschäden in Luzern (111 mm). Nach einer kurzen Besserung am 27. drangen zu Ende des Monats feuchte, maritime Luftmassen von Westen her in unser Land ein. Sie brachten während der drei letzten Tage der ganzen Schweiz anhaltend starke Bewölkung und zum Teil bedeutende Gewitterniederschläge.

Der SEPTEMBER war in der Südwestschweiz und am Alpensüdfuß sowie auf den Hochstationen um höchstens 1° zu kalt, in der übrigen Schweiz normal warm. — Für den Bewölkungsgrad erhält man überall zu große Werte. Am Alpensüdfuß beträgt der Überschuß etwa 40 %, in der Westschweiz 10 % des Normalwerts. Namentlich war die Nordschweiz arm an hellen Tagen (ein Drittel der normalen Anzahl) und im Wallis und Tessin ist die Anzahl der trüben Tage die Doppelte der normalen. Das Sonnenscheindefizit beträgt allgemein etwa 25 %. — Die Niederschlagsmengen überschreiten im Genferseegebiet zum Teil das Doppelte des Normalbetrages. So große Beträge waren früher sehr selten, sind aber in den letzten Jahren hin und wieder vorgekommen. In der Nordschweiz sind ungefähr die normalen Beträge gemessen worden; in Graubünden sind sie um etwa 30 % zu groß. Dagegen ergibt sich ein beträchtliches Defizit für die Südschweiz. Die Anzahl der Regentage war jedoch in der ganzen Schweiz übernormal.

Beträchtliche Niederschläge gewittrigen Charakters gingen am 1. und 2. besonders im Jura, im Mittelland und im nordostschweizerischen Alpengebiet nieder. Eine Kaltfront, die am 2. nachmittags passierte, verursachte einen bedeutenden Temperatursturz (bis 12° in der Höhe). Am 3. folgten noch einige Rückseiteschauer, dagegen waren der 4. bis 6. hell und trocken. Am 7. fielen namhafte Niederschläge in der Westschweiz und im Säntisgebiet. Vom 8. bis 12. lag zwar der hohe Druck nordseits der Alpen, doch verursachte am 10. und 11. eine Depression über dem Mittelmeer eher stark bewölktes und unter Biseneinfluß kühles Wetter mit Niederschlägen im Tessin und im Wallis. Auch vom 13. bis 28. war das Wetter trotz übernormalem Druck unbeständig. Relativ hell, trocken und warm waren nur der 15., 16., 21. und 22. Die Niederschläge der übrigen Tage sind offenbar durch Frontausläufer von im Norden passierenden Depressionen verursacht. Nach einem sehr scharfen Einbruch polarer Kaltluft (Temperatursturz an der Front am 24.: 10 bis 12 °, die durch ein Hochdruckgebiet über dem Atlantik von Nordwesten her gegen das Alpengebiet gesteuert wurde, war das Wetter vom 25. an kühl mit täglichen Regenschauern. Die letzten zwei Tage des Monats waren im wesentlichen hell.

Der OKTOBER war in den Niederungen der Nordostschweiz etwas zu warm, sonst überall zu kalt. Die im ganzen mäßigen negativen Abweichungen vom Normalwert erscheinen am größten (bis —1½°) in der Westschweiz und auf den Gipfelstationen. — Der Bewölkungsgrad war stark übernormal, besonders in Graubünden, wo der Überschuß 40% des Normalbetrags erreicht, ferner in Lausanne, im Wallis und Tessin. Auch die Zahl der trüben Tage war in der südlichen Landeshälfte zu groß. Im Mittelland fehlen die hellen Tage gänzlich; Lausanne hatte 2 statt 7, Sion 1 statt 9. Die Sonnenscheindauer war ungewöhnlich gering im Jura (die Hälfte der normalen), in Zürich normal. In der übrigen Schweiz beträgt das Defizit etwa 30% des Normalwerts. — Im Tessin und im Engadin sind große Niederschlagsmengen gefallen. Sonst weichen die Beträge meist wenig von den normalen ab. In der Westschweiz sind sie etwas zu groß, in der Nord- und Nordostschweiz zu klein. Die Zahl der Regentage ist in der ganzen südlichen Landeshälfte erheblich zu groß, in der Nordschweiz etwas zu klein.

Nach einem Kaltlufteinbruch, der besonders im Alpengebiet namhafte Niederschläge verursachte, trat mit dem 3. unter Hochdruckeinfluß eine allgemeine Aufhellung ein. Es folgte eine Periode unbeständigen Wetters, die indessen vorwiegend nur in der Südschweiz mit größeren Niederschlägen verbunden war, so namentlich vom 6. bis 11. Diese Niederschlagsverteilung hängt mit dem Auftreten eines Tiefdruckgebiets über Frankreich und Ostspanien zusammen, wobei eine Bewegung der Tiefdruckzentren von Nordwesten gegen Südosten festzustellen ist. Am 16. fielen größere Niederschläge besonders in der Jurazone und am 18. anläßlich der Passage einer Kaltfront auf der ganzen Alpennordseite. Weitere Rückseiteschauer folgten am 19.; der 20. war unter dem Einfluß des nachfolgenden Hochs allgemein leicht bewölkt. Die oben erwähnte Situation mit ziemlich trockenem Wetter im Nordosten, Niederschlägen vor allem in der Südwest-, bzw. Südschweiz wiederholte sich am 24. sowie am 29. und 30. Im übrigen waren die Niederschläge während des letzten Monatsdrittels ziemlich gering bei vorwiegend starker Bewölkung.

Der NOVEMBER war im Mittelland sowie in der Nord- und Westschweiz etwas zu warm, im Jura, im Alpengebiet und am Alpensüdfuß etwas zu kalt. Die positiven Abweichungen vom Normalwert betragen meist weniger als 1°, die negativen erreichen auf dem Säntis —2°. — Der Bewölkungsgrad und die Zahl der trüben Tage waren in der West- und Südschweiz etwas zu klein, sonst zu groß, besonders in Graubünden. In Davos hatte man z. B. 18 statt 7 trübe und 4 statt 10 helle Tage, was selten vorkommt. Entsprechendes zeigt die Sonnenscheindauer. — Ungewöhnlich groß waren die Niederschlagsmengen. Im Wallis ist etwa das Fünffache des Normalbetrags gefallen, im übrigen Alpengebiet und im Jura sowie im nördlichen Mittelland das Zweieinhalb- bis Vierfache, im westschweizerischen Mittelland und im Genferseegebiet das Zwei- bis Dreifache des Normalbetrags. Dagegen erscheint der Alpensüdfuß mit etwa einem Drittel der Normalmenge trocken. In Neuenburg, Sion, Chur,

Engelberg, Davos? u. a. sind die bisher größten Novemberbeträge gemessen worden.

Nennenswerte Hochdrucklagen mit trockenem und einigermaßen hellem Wetter waren nur die Tage vom 4. bis 6., vom 17. bis 19. und vom 26. bis 28. November. Im übrigen war das Wetter während des ganzen Monats stark gestört. Auffallend große Niederschläge fielen im Jura am 7. (40—80 mm) und 8. (bis 60 mm), etwas geringere am 20., 22., 23. und 24. — Weiter fallen die großen Beträge im Unterwallis auf; z. B. hatte Sion am 7.: 55 mm, am 8.: 41 mm, am 13.: 34 mm, am 22.: 27 mm und am 23.: 39 mm. Im Alpengebiet fielen die bedeutendsten Mengen ebenfalls am 7. und 8., ferner am 23. (je 40—70 mm). Am 13. und 15. erscheinen die Freiburger und Waadtländer Alpen stark bevorzugt. Während der Störungsperioden vom 7. bis 10., vom 13. bis 15. und vom 22. bis 23. wanderten offenbar Depressionen in ziemlich stark nordsüdlicher Richtung über die Alpen hinweg. Damit hängen besonders die großen Niederschläge im Wallis zusammen. Die Niederschläge vom 7. und 8., vom 13. und vom 22. und 24. gehören der Vorderseite der Störung (fallender Druck) an. Am 7. und 23. herrschte bemerkenswert starker Westwind während des Regens. Am 22. erfolgte ein ausgesprochener Warmlufteinbruch aus Westen, der einen Temperaturanstieg von 8 Grad in der Niederung verursachte. Dagegen sind die Niederschläge vom 9., 20., 23. und 25. Kaltfront-, bzw. Rückseiteniederschläge.

Im DEZEMBER waren die Temperaturen des Mittellandes ungefähr normal, diejenigen der übrigen Schweiz zu niedrig. Doch weisen nur die hochgelegenen Stationen größere Abweichungen (— 2 Grad) vom Normalwert auf. — Auch die Bewölkungsverhältnisse waren im Mittelland meist normal. Ein namhaftes Bewölkungsdefizit ergibt sich lediglich für die Stationen am obern Genfersee, ein geringes ferner für das Tessin, das Engadin und Davos. Im übrigen Alpengebiet zeigen dagegen der Bewölkungsgrad sowohl wie die Zahl der trüben Tage einen mäßigen Überschuß. — Die Niederschlagsmengen waren am Alpensüdfuß ausgesprochen klein. Auch für die Hochstationen und für Basel erhält man zu kleine Werte. Dagegen ist in der Westschweiz etwa das Anderthalbfache, in Sion das Doppelte des Normalbetrags gefallen.

In der Zeit vom 2. bis 13. wanderten weitere tiefe und nahe Zyklonen aus nordwestlicher Richtung kommend im Nordosten unseres Landes vorbei und verursachten stark bewölktes Wetter mit fast täglichen Niederschlägen, zeitweise (z. B. am 3.) starken Westwind und Temperaturen von zirka 5 Grad über Null. Alpengebiet und Jurazone erhielten am 3. etwa 10—20 mm Niederschlag, am 4. 20—35 mm. Sehr große Beträge fielen am 7. im Mittelland (40—70 mm) und im Jura. Nach einer vorübergehenden Aufhellung (10.) verursachte ein Warmlufteinbruch aus WSW am 11. stärkere Niederschläge (10 bis 30 mm) in der Westschweiz. Vom 14. bis 29. war die Schweiz niederschlagsfrei, das Alpengebiet vorwiegend leicht bewölkt. In der Westschweiz und am Alpensüdfuß herrschte in der Zeit vom 15.—19. unter dem Einfluß einer Depression im Westen, die eine leichte Föhnlage verursachte, bedeckter Himmel vor. Während des letzten Monatsdrittels verursachte ein kontinentales Hochdruckgebiet eine kalte Bisenlage und eine anfangs geschlossene, später nachmittags aufreißende Hochnebeldecke über dem Mittelland (obere Grenze anfangs in 1600, vom 23. an in 1000 m Meereshöhe). Genf hatte am 30. sehr starke Bise. In der Nacht auf den 31. gingen die ersten Schneefälle dieses Winters nieder.

Monatswerte der wichtigsten meteorologischen Elemente 1944

	Höhe m	Januar	Febr.	März	April	Mai	Juni	Juli	Aug.	Sept.	Okt.	Nov.	Dez.	Jahr
Temperatur														
Basel	318	2.6	-0.8	2.6	10.9	13.3	15.6	18.4	21.2	13.9	8.6	5.1	0.6	9.3
La Chaux-de-Fonds	990	-0.3	-5.0	-1.9	7.1	9.6	11.9	14.7	17.9	10.7	5.1	1.5	-2.0	5.8
Zürich	493	2.2	-1.6	1.9	11.0	13.3	15.3	18.0	21.1	13.9	8.9	4.5	-0.1	9.0
Bern	572	0.3	-2.4	1.5	10.2	12.3	14.6	17.3	20.2	12.7	7.3	3.3	-1.0	8.0
Lausanne	553	1.6	-1.7	2.8	11.2	13.8	16.0	18.7	21.7	14.1	8.3	4.7	0.7	9.3
Genf	405	1.8	-0.2	4.0	11.6	14.7	17.4	19.7	22.8	15.1	9.1	5.7	1.4	10.3
Davos	1561	-5.4	-8.2	-5.5	3.3	7.2	9.9	12.2	15.0	8.4	3.1	-2.7	-8.0	2.4
Säntis	2500	-6.6	-12.1	-11.7	-2.7	0.1	1.8	5.0	9.3	2.4	-2.6	-6.8	-9.2	-2.8
Lugano	276	2.8	3.1	7.2	12.9	15.6	18.8	20.9	21.7	16.4	11.0	5.3	2.1	11.5
Abweichungen von den normalen Mitteln														
Basel	318	3.6	-1.9	-1.7	2.4	0.8	-0.6	0.3	4.0	0.1	0.1	1.2	0.5	0.7
La Chaux-de-Fonds	990	2.3	-3.9	-3.1	1.7	0.1	-1.3	-0.6	3.5	-1.0	-1.4	-0.4	-0.5	-0.3
Zürich	493	3.5	-2.4	-2.1	2.3	0.5	-1.1	-0.2	3.9	-0.1	0.3	0.8	0.1	0.4
Bern	572	2.5	-2.5	-1.7	2.1	0.2	-1.0	-0.6	3.5	-1.0	-0.5	0.4	0.2	0.1
Lausanne	553	2.0	-3.1	-1.5	2.6	1.1	-0.2	0.2	4.2	-0.3	-0.8	0.2	-0.2	0.3
Genf	405	1.8	-2.3	-0.9	2.3	1.5	0.5	0.4	4.5	0.0	-0.4	0.7	0.2	0.7
Davos	1561	1.8	-3.3	-3.0	1.1	0.4	-0.4	0.1	3.7	0.1	-0.4	-1.3	-2.2	-0.3
Säntis	2500	2.4	-3.1	-3.1	1.7	1.0	-0.8	0.0	4.7	-0.4	-1.1	-2.0	-2.2	-0.3
Lugano	276	1.4	-0.3	0.3	1.6	0.5	-0.2	-0.5	1.2	-0.6	-0.5	-0.9	-0.4	0.1
Niederschlag (mm)														
Basel	318	40	63	27	30	40	74	98	124	92	69	136	38	831
La Chaux-de-Fonds	990	127	211	85	44	48	114	113	216	196	141	397	173	1865
Zürich	493	73	92	56	49	38	147	93	98	103	52	214	82	1097
Bern	572	38	46	9	55	40	101	143	90	152	89	155	98	1016
Lausanne	553	44	50	16	29	30	72	109	52	212	132	190	133	1069
Genf	405	34	21	18	33	31	48	94	44	174	107	165	75	844
Davos	1561	75	131	126	19	44	97	143	75	119	84	205	68	1186
Säntis	2500	212	241	246	174	120	308	416	140	313	270	565	244	3249
Lugano	276	0	49	0.1	55	148	107	314	75	101	377	42	39	1307
Abweichungen von den normalen Mitteln														
Basel	318	2	21	-24	-34	-39	-28	12	39	15	-7	75	-14	18
La Chaux-de-Fonds	990	14	122	-14	-75	-72	-7	-11	93	87	8	293	59	497
Zürich	493	20	36	-17	-42	-72	13	-36	-34	-2	-42	145	9	-22
Bern	572	-8	-6	-53	-17	-47	-7	39	-16	69	0	87	35	76
Lausanne	553	-7	-7	-55	-42	-59	-25	16	-56	121	23	107	58	74
Genf	405	-7	-20	-30	-20	-37	-35	-9	-62	90	33	109	22	34
Davos	1561	26	78	69	-39	-21	-11	14	-59	25	18	145	5	250
Säntis	2500	-25	55	45	-90	-90	15	105	-153	84	90	386	-12	410
Lugano	276	-57	-9	-109	-102	-24	-85	150	-116	-80	169	-87	-38	-388
Monats- und Jahressummen der Sonnenscheindauer in Stunden														
Basel	318	71	40	104	156	229	178	207	234	115	57	28	58	1477
La Chaux-de-Fonds	990	87	48	101	155	208	168	191	235	117	57	39	87	1493
Zürich	493	58	40	92	167	215	185	188	256	133	92	41	36	1503
Bern	572	81	46	115	179	235	214	222	272	125	82	60	47	1678
Lausanne	553	79	81	182	208	274	240	259	285	134	85	68	68	1963
Genf	405	71	51	186	228	295	279	298	301	153	87	69	54	2072
Davos	1561	119	100	103	155	189	154	169	193	129	89	63	101	1564
Säntis	2500	124	109	79	107	142	83	107	182	126	100	48	119	1326
Lugano	276	148	159	255	198	225	210	252	239	136	106	141	114	2183
Abweichungen von den normalen Werten														
Basel	318	6	-60	-23	11	12	-53	-39	0	-47	-51	-36	1	-279
La Chaux-de-Fonds	990	11	-47	-17	29	34	-20	-24	23	-40	-67	-44	28	-134
Zürich	493	10	-57	-38	17	0	-46	-63	24	-31	-4	-11	-2	-201
Bern	572	21	-54	-10	41	30	-14	-19	35	-39	-25	2	2	-30
Lausanne	553	5	-29	39	42	42	-20	-4	25	-52	-40	-6	8	10
Genf	405	9	-52	34	45	45	-5	3	22	-49	-35	4	4	25
Davos	1561	17	-9	-46	-3	14	-22	-41	-16	-43	-44	-39	10	-222
Säntis	2500	2	-9	-55	-39	-10	-64	-59	2	-33	-38	-89	-4	-387
Lugano	276	21	12	74	15	11	-34	-40	-34	-65	-41	37	-3	-47

Liste des chutes de grêle en Suisse pendant l'année 1944

établie à l'aide des statistiques de la Station centrale de météorologie et de celles de la Société Suisse d'Assurances contre la Grêle à Zurich, par Ch. Golaz.

Canton	Avril		Mai							Juin																		
	18	21	11	14	16	21	22	30	31	1	2	3	5	7	8	14	15	16	17	19	21	22	24	25	26	27	28	29
Argovie	.	.	.	.	.	.	.	.	.	4	.	.	12	2	.	5	.	.	.	.	.	.	.	.	10	1	2	.
Appenzell	.	.	1	.	.	.	.	.	5	.	.	.	.	.	.	6	.	.	.	.	.	.	.	.	5	.	.	.
Bâle	.	.	.	.	.	.	.	.	.	8	.	.	5	.	.	.	.	.	.	.	.	.	.	.	12	.	.	.
Berne	7	.	.	3	.	.	.	15	5	2	.	.	8	.	.	5	.	.	3	.	.	1	.	.	6	3	5	20
Fribourg	.	.	.	.	.	.	.	.	.	9	1	.	.	.	.	.	.	.	1	.	.	.	.	.	.	.	.	4
St-Gall	4	.	.	.	.	.	.	.	19	.	.	1	2	.	.	16	1	.	.	.	.	.	.	.	9	.	.	.
Genève	.	.	.	1	.	.	.	.	.	.	.	.	.	.	.	.	.	.	.	.	.	.	.	.	.	.	.	.
Glaris	.	.	.	.	.	.	.	.	.	.	.	.	.	.	.	.	.	.	.	.	.	.	.	.	.	.	.	.
Grisons	.	.	.	.	1	.	.	.	.	.	.	.	.	.	.	.	.	.	.	.	.	.	.	.	.	.	.	.
Lucerne	.	.	.	.	.	.	.	.	.	.	.	.	3	2	.	15	.	.	2	1	3	.	.	.	14	.	.	4
Neuchâtel	.	.	.	.	.	.	.	.	.	.	.	.	1	.	.	.	.	.	.	.	.	.	.	.	.	.	.	.
Schaffhouse	.	.	.	.	.	.	.	.	.	.	.	.	.	.	.	.	.	.	1	.	.	.	.	.	5	.	.	.
Schwyz	.	.	.	.	.	.	.	.	.	.	.	.	.	.	.	1	.	.	.	.	.	.	.	.	4	4	.	.
Soleure	.	.	.	.	.	.	.	.	.	2	.	.	.	.	.	.	.	.	1	.	.	.	.	.	.	4	.	.
Tessin	.	4	.	.	2	2	.	.	.	.	.	.	.	.	.	.	.	1	8	1	.	4	5	.	.	.	.	.
Thurgovie	.	.	.	.	.	.	.	.	5	.	.	.	.	.	.	1	.	.	.	.	.	.	.	.	.	.	9	.
Unterwald	1	.	.	.	.	.	.	.	1	.	.	.	1	.	.	.	.	.	.	.	.	.	.	.	1	.	.	.
Uri	.	.	.	.	.	.	.	.	.	.	.	.	.	.	.	.	.	.	.	.	.	.	.	1	.	.	.	.
Vaud	.	.	.	.	.	.	.	7	.	.	.	.	8	.	.	.	.	.	.	.	.	.	.	.	.	.	.	2
Valais	.	.	.	.	.	.	.	.	.	.	.	.	.	.	.	.	.	.	.	.	.	.	.	.	.	.	.	1
Zurich	3	.	.	.	.	.	1	.	2	1	.	.	.	2	.	5	.	.	2	.	1	.	.	.	3	.	.	.
Zoug	.	.	.	.	.	.	1	.	.	.	.	.	.	.	1	2	.	.	1	.	.	.	.	.	3	.	.	.
Totaux	15	4	1	4	3	2	2	22	37	26	1	1	40	6	1	56	1	1	19	2	4	5	5	1	72	12	16	31
par mois	19		71							300																		

Canton	Juillet													
	2	3	4	5	7	8	9	10	16	20	21	22	24	26
Argovie	.	.	.	.	.	.	.	.	.	.	1	.	.	.
Appenzell	.	.	.	.	.	.	.	.	.	.	.	.	.	.
Bâle	.	.	.	.	.	.	.	.	.	.	.	.	.	.
Berne	.	.	.	.	40	8	.	.	.	8	17	.	.	.
Fribourg	.	.	.	.	14	15	.	.	1	.	30	.	.	.
St-Gall	.	.	.	.	.	.	.	.	.	.	.	1	1	.
Genève	.	.	.	.	.	.	.	.	.	.	5	.	.	.
Glaris	.	.	.	.	.	.	.	.	.	.	.	.	.	.
Grisons	.	.	.	.	.	.	.	.	.	.	.	.	.	.
Lucerne	.	.	.	.	.	.	.	.	1	.	14	.	.	1
Neuchâtel	.	.	.	.	.	.	.	.	.	.	3	.	.	.
Schaffhouse	.	.	.	.	.	.	.	.	.	.	1	.	.	.
Schwyz	.	.	.	.	.	.	.	.	.	.	.	.	.	.
Soleure	2	2	.	.	.	.	.	.	.	.	9	.	.	.
Tessin	5	7	2	1	1	4	10	1	.	.	4	1	.	1
Thurgovie	.	.	.	.	.	.	.	.	.	.	.	.	.	.
Unterwald	.	2	.	.	.	.	.	.	.	.	.	.	.	.
Uri	.	.	.	.	.	.	.	.	.	.	.	.	.	.
Vaud	.	.	2	.	5	2	.	.	.	.	43	.	.	.
Valais	.	.	.	.	2	.	.	.	.	.	.	.	.	.
Zurich	.	.	.	.	.	.	.	.	.	.	1	1	.	.
Zoug	.	.	.	.	.	.	.	.	.	.	.	.	.	.
Totaux	7	11	4	1	62	29	10	1	2	8	128	3	1	2
par mois	309													

Suite de la dite statistique.

Canton	Juillet			Août																				
	27	30	31	1	2	3	4	5	6	7	8	9	10	15	16	17	24	25	26	27	28	29	30	31
Argovie	.	.	.	.	.	.	.	.	5	2	.	.	.	1	16	.	1	.	.	.	2	.	4	20
Appenzell	.	.	.	.	.	.	.	.	.	.	.	.	.	.	2	.	.	.	2	.	1	.	.	.
Bâle	.	.	.	.	.	.	.	.	.	.	.	.	.	.	32	.	.	.	.	.	2	.	2	8
Berne	3	.	.	.	1	1	20	.	11	3	.	.	1	67	3	2	16	1	2	.	2	6	22	55
Fribourg	.	.	.	.	.	2	3	.	6	1	.	.	.	24	.	.	.	.	1	.	.	15	1	.
St-Gall	.	.	.	.	.	.	.	.	.	10	.	4	.	.	15	.	.	.	1	.	1	.	.	1
Genève	.	.	.	.	.	.	.	.	2	.	.	.	.	.	.	.	.	.	.	.	.	10	1	4
Glaris	.	.	.	.	.	.	.	.	.	.	.	.	.	.	.	.	1	.	.	.	.	.	.	.
Grisons	1	.	.	.	.	1	.	.	.	.	.	.	.	.	.	.	.	.	.	.	.	.	.	.
Lucerne	8	.	1	.	.	.	.	.	12	12	2	.	.	1	4	.	29	.	2	.	1	.	28	2
Neuchâtel	.	.	.	.	.	.	2	.	.	3	.	.	.	12	1	.	.	.	.	.	.	.	2	20
Schaffhouse	.	.	.	.	.	.	.	.	7	.	.	.	.	.	.	.	.	.	.	.	.	.	.	6
Schwyz	.	.	.	.	.	.	.	.	.	1	.	.	.	.	1	.	1	.	.	.	.	.	.	.
Soleure	.	.	.	.	.	.	.	.	.	.	.	.	.	.	7	3	.	.	5	.	1	.	5	24
Tessin	20	2	.	1	.	7	12	2	2	10	3	1	.	5	31	1	.	.	.	.	.	.	.	.
Thurgovie	.	.	.	.	.	.	.	.	.	.	.	5	.	.	2	.	.	.	.	.	.	.	4	2
Unterwald	2	.	.	.	.	.	.	.	.	2	.	.	.	.	3	1	4	.	2	.	.	.	.	.
Uri	.	.	.	.	.	.	.	.	.	.	.	.	.	.	.	.	.	.	.	.	.	.	.	.
Vaud	3	.	.	.	.	.	4	.	.	1	.	.	.	23	3	6	.	.	1	.	.	22	1	35
Valais	.	.	.	.	.	.	.	.	.	.	.	.	.	5	.	.	3	.	.	.	.	2	1	.
Zurich	.	.	.	.	.	.	.	.	1	10	.	2	.	.	1	.	.	.	.	1	12	.	3	35
Zoug	.	.	.	.	.	.	.	.	.	1	.	.	.	.	.	.	2	.	.	.	2	.	.	.
Totaux	37	2	1	1	1	11	41	2	46	56	5	12	1	138	121	13	57	1	16	1	22	55	74	212
par mois				886																				

Canton	Septembre							Octobre			Sommes
	1	2	3	8	13	16	24	2	7	19	
Argovie	.	1	.	.	.	.	.	.	.	.	89
Appenzell	.	.	.	.	.	.	.	.	.	.	22
Bâle	.	.	.	.	.	.	.	.	.	.	69
Berne	7	6	1	1	.	2	.	.	.	.	389
Fribourg	.	.	.	.	.	.	.	.	.	.	128
St-Gall	.	.	.	.	.	.	1	.	.	.	87
Genève	.	.	.	.	.	.	.	.	.	.	23
Glaris	.	.	.	.	.	.	.	.	.	.	1
Grisons	1	1	.	.	.	.	.	.	.	.	5
Lucerne	1	.	.	2	.	.	.	1	.	.	166
Neuchâtel	.	1	.	.	.	.	.	.	.	.	45
Schaffhouse	.	.	.	.	.	.	.	.	.	.	20
Schwyz	.	.	.	.	.	.	.	.	.	.	12
Soleure	.	.	.	.	.	.	.	.	.	.	65
Tessin	18	54	.	.	1	.	.	.	1	.	235
Thurgovie	.	.	.	.	.	.	.	1	.	4	33
Unterwald	.	.	.	.	.	.	.	.	.	.	20
Uri	.	.	.	.	.	.	.	.	.	.	1
Vaud	6	.	.	3	.	.	.	.	.	.	177
Valais	.	.	.	.	.	.	.	.	.	.	14
Zurich	.	1	.	.	.	.	.	.	.	.	88
Zoug	.	.	.	.	.	.	.	.	.	.	11
Totaux	33	64	1	6	1	2	1	2	1	4	1700
par mois	108							7			1700

Nr. 3

Monats- und Jahressummen

der Niederschlagsmessungen sämtlicher meteorol. Stationen I.—III. Ordnung im Jahre 1944

Bei Zählung der Niederschläge sind in dieser Tabelle nur die Tage mit mindestens 1,0 mm berücksichtigt worden. Die mit * bezeichneten Summen sind nach den Nachbarstationen interpoliert.

Stationen:	Höhe üb. Meer	Jan.	Febr.	März	April	Mai	Juni	Juli	Aug.	Sept.	Okt.	Nov.	Dez.	Jahr	Maxima		Zahl d. Tage
A. Rheingebiet																	
I. Quellgebiet bis Bodensee																	
Sedrun (Tavetsch)	ca 1401	73	205	162	40	40	44	132	54	100	147	254	85	1336	49	21. XI.	131
Platta (Medels)	1378	53	184	93	34	55	46	145	61	164	158	175	55	1223	75	2. IX.	133
Vial	ca 1280	67	116	66	31	68	63	146	65	208	118	149	45	1142	90	2. IX.	135
Val	1210	63	124	91	19	51	49	131	45	156	115	178	37	1059	72	2.IX.	104
Surrhein	ca 892	63	149	60	23	41	34	114	43	121	94	198	64	1004	63	2. IX.	101
Panix	ca 1300	73	150	161	38	59	52	119	46	98	89	236	78	1199	61	7. XI.	137
Vrin	ca 1454	63	126	108	*30	81	62	132	112	158	113	142	48	1175	64	2. IX.	122
Vals	ca 1248	30	44	59	30	84	80	141	61	142	113	115	49	948	53	2. IX.	121
Ilanz	ca 704	46	85	74	11	34	44	96	67	111	69	186	61	884	55	7. XI.	114
Flims	ca 1100	75	165	151	25	41	56	115	61	144	85	228	102	1248	?	—	144
Safienplatz	ca 1270	44	81	97	25	75	105	124	78	131	104	174	64	1102	49	7. XI.	133
Bernhardin-Paß	2073	—	—	—	—	—	190	249	201	328	374	—	—	—	—	—	—
Hinterrhein	ca 1624	23	74	46	75	128	126	201	112	229	292	109	35	1450	?87	30. X.	138
Splügen (Dorf)	ca 1500	25	58	81	32	129	146	186	111	161	160	120	52	1261	69	2. IX.	120
Avers am Bach	ca 1955	12	35	45	18	156	129	193	96	165	132	60	36	1077	54	2. IX.	123
Inner-Ferrera	ca 1480	9	9	21	25	144	153	177	131	243	154	91	44	1201	100	2. IX.	120
Andeer	ca 980	16	46	55	15	106	102	123	56	125	104	103	41	892	50	2. IX.	104
Thusis	ca 711	26	46	77	11	74	83	96	73	121	76	126	50	859	45	2. IX.	114
Bivio	ca 1780	38	142	125	27	118	155	143	91	160	146	103	59	1307	54	5. II.	138
Savognin	ca 1213	21	68	69	9	87	127	128	77	113	80	116	45	940	37	2. IX.	121
Weißfluhjoch	2660	—	—	—	84	86	198	159	108	203	128	—	—	—	—	—	—
Davos-Platz	1561	75	131	126	19	44	97	143	75	119	84	205	68	1168	53	7. XI.	141
Albula (Hospiz)	ca 2315	7	30	27	16	36	64	153	114	88	87	57	22	701	39	21. VII.	116
Filisur	ca 1040	18	45	55	3	73	117	116	68	94	82	135	61	867	51	7. XI.	120
Lenzerheide	ca 1477	34	79	100	10	45	100	106	89	100	88	141	58	950	54	7. XI.	128
Niesellas (Alvaschein)	ca 890	19	47	65	12	63	99	113	54	118	68	127	40	825	42	2. IX.	118
Tomils	ca 823	29	61	71	7	42	72	86	50	121	77	149	46	811	50	7. XI.	110
Arosa	1865	65	138	143	30	57	133	151	91	161	115	199	85	1368	38	10. XI.	155
Tschiertschen	1351	45	109	95	27	55	104	105	52	145	103	146	78	1064	46	7. XI.	138
Chur	633	38	59	74	21	33	66	80	27	111	74	157	60	800	52	7. XI.	119
Klosters	ca 1207	101	172	209	45	71	142	143	86	152	110	257	101	1589	55	7. XI.	157
St. Antönien	ca 1460	96	194	200	37	65	155	157	59	150	116	303	106	1638	73	5. II.	157
Schiers	670	67	106	102	29	26	78	115	44	116	86	235	78	1082	63	7. XI	128
Seewis	954	98	174	169	49	48	92	154	68	149	120	302	104	1527	91	7. XI.	149
Plantahof b. Landqu.	530	68	139	137	32	23	70	117	28	120	97	194	70	1095	53	7. XI.	122
Vättis	950	73	156	136	11	32	—	—	—	—	—	202	64	—	—	—	—
Bad Ragaz	ca 521	75	147	134	38	41	88	109	33	133	99	219	78	1194	58	7. XI	132
Sargans	507	131	196	165	68	51	115	132	35	124	111	277	105	1510	65	7. XI.	148
Sevelen	464	55	81	122	52	41	110	125	45	141	105	227	72	1176	82	7. XI.	133
Vaduz (Liechtenstein)	460	34	69	78	49	42	105	120	56	134	82	141	54	964	44	7. XI	126
Haag	448	60	95	128	49	75	145	162	66	180	144	195	60	1371	62	7. XI	142
Oberriet	426	86	111	117	67	68	115	156	80	185	110	207	72	1374	70	9. VII.	154
Kriesseren	419	77	102	87	59	68	131	154	110	176	101	180	58	1303	63	9. VII.	150
Eichberg	540	109	133	156	65	89	170	163	95	200	133	245	84	1642	57	8. XI.	154
Gätzisberg	760	128	153	160	91	96	209	172	118	236	190	269	92	1914	66	8. XI.	155

Stationen:	Höhe üb. Meer	Jan.	Febr.	März	April	Mai	Juni	Juli	Aug.	Sept.	Okt.	Nov.	Dez.	Jahr	Maxima		Zahl d. Tage
Altstätten	ca 474	107	123	117	83	73	168	133	110	184	151	214	84	1547	55	8. XI.	152
Heerbrugg	405	60	101	105	65	83	133	137	128	186	123	195	59	1357	55	8. XI.	149
Widnau	404	59	94	89	61	77	140	131	119	182	111	170	51	1284	49	8. XI.	150
Heiden	ca 810	88	138	106	96	139	191	132	137	193	150	222	71	1663	57	7. XI.	168
II. Bodensee bis Basel																	
Rorschach	455	75	120	101	104	142	168	129	131	212	119	223	62	1586	57	31. V.	160
St. Gallen (Bruggen).	679	63	111	73	62	135	170	109	152	147	82	181	48	1333	70	31. V.	151
Arbon	ca 409	51	66	47	64	108	122	136	102	126	76	183	51	1132	61	9. VII.	142
Amriswil	ca 455	50	88	43	35	91	137	86	106	117	59	177	62	1051	48	8. XI.	141
Altnau	458	58	88	47	24	53	108	56	132	99	62	201	94	1022	69	7. XI.	135
Kreuzlingen	446	65	80	37	33	60	116	79	124	90	61	214	99	1058	69	7. XI.	139
Haidenhaus	694	46	77	47	38	40	124	79	131	78	63	186	91	1000	62	7. XI.	130
Steckborn	ca 400	42	53	31	31	35	110	74	105	60	53	169	98	861	54	7. XI.	120
Eschenz	ca 417	52	62	31	31	36	115	66	119	71	64	177	107	931	50	7. XI.	116
Thayngen	ca 455	61	36	33	27	26	93	71	119	75	69	215	153	978	68	7. XI.	120
Buch (Schaffhausen).	433	39	31	23	25	23	98	68	68	70	64	165	102	776	54	7. XI.	105
Dießenhofen	ca 410	67	50	27	31	21	109	81	81	77	65	184	119	912	48	7. XI.	114
Lohn	ca 643	70	45	33	30	24	82	71	89	68	62	208	129	911	64	7. XI.	124
Merishausen	ca 535	82	41	33	30	22	112	98	138	79	80	220	143	1078	60	7. XI.	123
Schaffhausen . . .	448	52	26	28	27	24	88	85	107	61	65	176	117	856	48	7. XI.	118
Rheinau	ca 361	43	24	21	23	12	99	60	99	68	52	165	98	764	41	29. VIII	111
Flaach	362	63	59	47	34	19	125	77	99	93	60	196	113	985	67	7. XI.	120
Wil (bei Rafz) . . .	ca 410	69	58	40	41	21	128	80	113	79	68	197	99	993	51	7. XI.	113
Kaiserstuhl	ca 342	77	61	51	42	16	119	72	110	97	66	210	108	1029	62	7. XI.	127
Schleitheim	477	61	43	32	27	21	93	150	94	59	62	171	120	933	53	9. VII.	112
Hallau	450	58	29	27	22	12	118	86	113	59	61	201	110	896	49	7. XI.	111
Wilchingen	ca 415	76	40	34	32	15	120	96	81	93	77	262	118	1044	69	7. XI.	118
Laufenburg	ca 325	135	98	35	37	25	140	112	172	121	76	248	76	1275	58	29. VIII.	125
Frick	ca 350	111	88	40	48	19	129	100	162	117	69	209	68	1160	49	29. VIII	132
Wittnau	ca 415	88	74	34	32	25	138	100	150	118	86	195	39	1079	+56	29. VIII	136
Möhlin	ca 332	86	101	41	35	28	134	148	156	102	75	200	52	1158	48	29. VIII	128
Wintersingen . . .	444	82	107	34	39	25	153	147	145	88	80	212	51	1163	37	7. XI.	132
Rheinfelden	283	75	95	28	34	23	124	123	162	97	85	184	40	1070	43	29. VIII.	129
Kilchberg	ca 582	74	92	37	39	37	145	103	169	99	79	180	58	1112	75	29. VIII.	142
Böckten	ca 385	73	118	47	45	40	171	166	159	110	80	181	47	1237	49	29. VIII	139
Eptingen	ca 571	78	102	34	46	53	119	125	189	106	81	184	94	1211	68	16. VIII	146
Bennwil	ca 526	71	111	43	36	38	115	117	207	105	90	197	68	1198	84	29. VIII.	148
Waldenburg . . .	ca 533	82	107	52	43	41	121	120	139	94	88	205	75	1167	50	29. VIII	138
Lampenberg . . .	ca 536	72	102	36	40	41	111	101	159	107	81	198	53	1101	72	29. VIII	135
Reigoldswil	ca 497	65	96	40	39	50	134	106	140	114	96	202	62	1144	71	29. VIII.	134
Liestal	325	67	97	33	41	28	122	134	113	104	91	170	52	1052	42	29. VIII	142
Arisdorf	ca 430	50	85	28	30	25	116	117	109	88	74	180	43	945	41	7. XI.	115
Basel-Augst	ca 275	55	84	28	32	25	150	125	118	94	91	156	41	999	36	31. VIII	120
Mervelier	ca 560	73	118	49	39	54	127	121	138	113	124	194	90	1240	56	31. VIII	138
Bellelay	ca 930	87	113	46	50	48	145	146	128	145	118	325	112	1463	61	7. XI.	163
Delémont	ca 435	55	67	28	39	59	101	87	108	102	64	162	51	923	41	29. VIII	138
Seewen	ca 551	54	87	32	40	52	123	118	140	116	81	155	42	1040	51	29. VIII.	138
Grellingen	ca 328	56	104	39	33	51	141	122	120	111	84	162	50	1073	50	29. VIII	141
Pfeffingen	ca 394	55	78	22	32	49	120	116	115	100	86	154	45	972	40	29. VIII.	128
Aesch		52	79	24	32	44	112	101	107	92	76	152	54	925	33	31. VIII.	121
Neue Welt	ca 267	41	75	28	34	37	103	99	112	92	71	133	42	867	37	7. XI.	121
Therwil	ca 310	37	68	25	35	40	94	88	106	93	76	115	54	831	32	7. XI.	113
Basel-Binningen . .	318	40	63	27	30	40	74	98	124	92	69	136	38	831	41	7. XI.	116
Basel-Bernoullianum	277	36	66	27	33	32	75	99	120	95	68	140	40	831	42	7. XI.	119
III. Thur																	
Starkenbach	ca 894	172	225	293	109	95	210	210	90	215	204	365	151	2339	114	7. XI.	167
Ebnat	649	136	159	151	77	92	239	157	135	207	121	368	141	1983	83	7. XI.	166
Ricken	790	133	149	142	73	86	249	168	203	211	118	297	101	1930	56	8. XI.	167
Peterzell	ca 705	96	137	117	61	75	217	142	148	165	93	283	98	1632	68	7. XI.	160
Nollen	ca 740	49	94	48	42	88	163	88	111	120	59	201	53	1116	56	7. XI.	145

Stationen:	Höhe üb. Meer	Jan.	Febr.	März	April	Mai	Juni	Juli	Aug.	Sept.	Okt.	Nov.	Dez.	Jahr	Maxima		Zahl d. Tage
Degersheim	ca 814	61	153	121	83	91	204	126	154	160	81	218	65	1517	53	31. VIII.	165
Herisau	ca 777	81	138	96	74	82	189	106	137	151	82	196	67	1399	50	31. VIII.	148
Flawil	ca 616	71	139	86	59	100	166	107	131	164	69	195	61	1348	48	7. XI.	171
Säntis	2500	212	241	246	174	120	308	416	140	313	270	565	244	3249	94	8. XI.	180
Urnäsch	ca 837	101	163	149	85	138	233	182	142	190	120	278	91	1872	68	8. XI.	171
Befang b. Hundwil	870	107	191	151	101	99	198	141	155	173	109	294	86	1805	64	7. XI.	168
Appenzell	ca 781	73	134	116	97	95	197	173	125	176	122	215	73	1596	62	9. VII.	165
Schwäbrig	1156	147	194	208	122	128	242	216	150	266	210	307	114	2304	79	9. VII.	172
Teufen	ca 853	94	150	123	115	153	172	187	151	181	112	249	68	1755	60	7. XI.	166
Bischofszell	ca 562	52	97	56	45	86	138	81	103	118	50	173	53	1052	48	7. XI.	152
Sulgen	ca 483	48	89	40	35	62	140	76	99	105	51	184	69	998	53	7. XI.	140
Weinfelden	ca 446	49	94	40	27	63	125	72	114	86	53	196	89	1008	59	7. XI.	127
Raperswilen	ca 590	52	75	40	32	54	128	74	124	85	66	198	81	1009	61	7. XI.	134
Müllheim	ca 415	52	78	45	33	63	128	77	141	78	67	205	78	1045	54	7. XI.	130
Dußnang	ca 595	94	142	77	60	73	192	87	157	149	83	269	112	1495	64	7. XI.	152
Eschlikon	ca 502	72	109	52	39	53	158	78	145	116	67	232	84	1205	68	7. XI.	147
Wängi	ca 430	47	101	34	15	41	135	76	139	95	43	200	53	979	60	7. XI.	119
Aadorf	ca 538	61	101	54	32	47	148	84	160	110	60	226	102	1185	62	7. XI.	137
Affeltrangen	ca 495	43	73	46	41	47	142	80	153	101	59	175	55	1015	62	29. VIII.	135
Thundorf	ca 560	37	94	39	21	33	118	72	118	86	*50	172	55	895	58	7. XI.	102
Frauenfeld	433	43	78	41	26	35	116	73	148	75	44	161	78	918	56	29. VIII.	132
Kalchrain	ca 585	44	65	33	32	31	110	81	119	72	53	172	74	886	51	29. VIII.	121
Nieder-Neunforn	446	41	51	33	32	28	109	82	115	65	44	168	86	854	61	29. VIII.	120
Andelfingen	370	54	57	30	30	19	114	74	101	75	51	172	96	873	55	7. XI.	118
IV. Töß																	
Bauma	ca 643	85	138	83	50	66	187	96	121	136	72	227	83	1344	39	7./8. XI.	161
Sternenberg	ca 880	90	144	89	57	77	205	99	160	154	78	245	75	1473	46	7. XI.	165
Kollbrunn	ca 495	79	109	61	33	43	152	109	131	108	68	232	92	1217	61	29. VIII.	151
Fehraltorf	ca 536	65	115	56	41	64	165	94	121	116	59	204	62	1162	39	7. XI.	143
Winterthur	ca 448	73	86	45	33	35	133	84	114	85	57	212	89	1046	54	7. XI.	141
V. Glatt																	
Grüningen	ca 488	94	113	62	68	59	172	111	134	142	61	186	70	1272	45	31. VIII	149
Hinwil	ca 606	93	143	89	63	76	187	138	185	177	76	220	67	1514	44	31. VIII.	160
Pfäffikon	ca 505	71	138	63	45	61	182	95	137	131	63	223	70	1279	43	7. XI	154
Uster	ca 466	67	93	51	52	41	159	*110	*130	*120	*60	194	68	1145	?	—	139
Dübendorf	430	61	95	41	30	36	142	109	97	93	49	199	78	1030	41	7. XI.	132
Strickhof (Landwirtschaftl. Schule)	515	65	101	49	35	31	160	115	113	108	54	219	74	1124	44	8. XI.	143
Oerlikon	ca 450	65	78	39	25	25	132	110	107	90	49	208	67	995	40	8. XI.	123
Bülach	430	53	58	40	37	22	116	89	93	114	55	191	79	947	49	8. XI.	117
VI. Limmat																	
Weißtannen	ca 998	90	139	127	50	56	113	119	74	143	109	252	109	1381	64	7. XI.	158
Wallenstadt	ca 430	119	184	140	68	35	125	154	64	140	107	281	95	1512	59	23. XI.	142
Wallenstadtberg	ca 982	121	327	167	83	126	—	252	101	—	—	—	—	—	—	—	—
Obstalden	ca 690	112	100	190	60	62	178	144	66	190	119	292	86	1599	56	8. XI.	145
Auen (Linthal)	830	152	222	221	41	65	136	186	75	163	127	318	99	1805	58	23. XI	154
Urnerboden	1389	104	176	139	65	64	167	213	76	175	161	*450	*140	1930	?	—	139
Braunwald ob Linthal	1190	161	241	235	62	64	156	195	73	170	151	527	149	2184	142	7. XI.	156
Elm	959	96	149	113	59	65	122	149	62	168	122	317	89	1511	81	7. XI.	162
Glarus	480	110	159	154	62	62	172	228	80	164	121	374	96	1782	83	23. XI.	164
Klönthal	ca 838	97	166	173	66	76	195	207	82	214	134	323	105	1838	69	23. XI.	158
Weesen	ca 430	142	172	198	57	65	186	181	75	163	162	316	105	1822	61	2. X.	145
Oberkirch (b. Uznach)	ca 468	123	151	161	70	63	250	189	126	191	105	230	79	1738	46	17. II. 8. XI.	166
Vorder-Wäggithal	ca 740	124	170	200	94	91	316	217	110	217	139	324	96	2098	60	8. XI.	169
Lachen	ca 410	85	122	108	76	63	211	142	97	148	74	203	72	1401	46	8. XI.	156
Wald (Sanatorium)	912	144	173	137	87	99	274	181	197	202	100	247	75	1910	57	16. VIII	162
Bachtel	1120	*120	110	134	41	100	232	173	143	124	83	181	64	1505	48	31. VIII	155
Rapperswil	ca 412	81	112	91	65	62	177	111	122	126	62	173	53	1235	47	7. VIII	150
Männedorf	ca 415	78	129	72	71	63	184	112	107	148	62	201	66	1293	49	29. II.	146
Wädenswil	ca 475	95	127	84	68	67	216	138	127	158	86	243	88	1497	53	23. XI.	149

Stationen:	Höhe üb. Meer	Jan.	Febr.	März	April	Mai	Juni	Juli	Aug.	Sept.	Okt.	Nov.	Dez.	Jahr	Maxima		Zahl d. Tage
Horgen	ca 445	101	151	67	56	53	159	122	132	138	79	215	107	1380	50	7. XII.	138
Pfannenstiel	ca 853	85	162	77	60	71	207	130	138	148	77	240	67	1462	45	29. VIII	162
Küsnacht (Zürich)	ca 412	80	106	55	53	45	150	111	108	124	69	200	78	1179	36	8. XI.	143
Zollikon (Anst.f.Ep.)	ca 460	77	104	50	50	43	142	92	98	129	69	222	79	1155	44	8. XI.	135
Zürich (Met. Z.-A.)	493	73	92	56	49	38	147	93	98	103	52	214	82	1097	44	7. XII.	137
Oberiberg	1090	128	217	189	82	76	245	210	95	210	160	433	134	2179	91	7. XI.	171
Willerzell	ca 892	105	164	163	94	69	262	183	110	179	115	262	87	1793	45	2. IX.	172
Einsiedeln	914	110	163	164	78	61	227	175	122	179	133	275	94	1781	48	2. IX.	167
Schönenberg(Waldh.)	ca 700	105	180	104	67	76	254	113	116	164	117	236	88	1620	48	29. II.	158
Sihlbrugg	540	89	150	75	61	71	209	139	129	157	91	205	78	1454	38	8. XI.	156
Uetliberg (Bahnhof)	815	59	109	58	37	44	153	115	104	125	65	179	66	1114	40	29. II.	142
Dietikon	ca 392	94	92	38	24	30	151	107	119	114	63	226	81	1139	48	7. XI.	137
Otelfingen	ca 447	89	102	51	42	31	144	95	116	118	54	204	79	1125	53	29. VIII	133
Baden	387	75	86	37	33	26	114	95	142	104	64	196	71	1043	52	29. VIII	131
VII. Reuß																	
Andermatt (Dorf)	1442	86	161	277	53	47	62	142	55	96	149	277	105	1511	70	21. III.	159
Göschenen	1107	102	230	220	48	49	46	130	46	96	143	243	95	1448	57	7. XI.	147
Gurtnellen	742	61	111	119	20	36	63	126	46	94	97	228	79	1080	58	7. XI.	134
Altdorf	456	78	154	102	50	67	136	136	48	117	105	219	73	1285	38	23. XI.	151
Gitschenen (Isenthal)	1604	88	214	393	111	106	315	224	115	197	195	271	121	2350	60	13. III.	177
Isenthal	ca 1000	107	178	177	92	85	222	168	79	148	197	310	115	1878	47	23. XI.	160
Muotathal	ca 603	139	270	201	92	103	272	203	90	196	173	444	137	2320	72	8. XI.	168
Schwyz	517	104	187	127	69	70	293	156	78	178	131	342	117	1852	66	8. XI.	151
Sattel	ca 832	99	161	144	69	58	223	168	78	178	127	263	87	1655	59	8. XI.	150
Gersau	ca 450	77	130	111	44	110	195	149	105	140	99	225	110	1495	41	31. VIII	147
Weggis	444	51	145	75	97	58	206	166	100	115	99	153	58	1323	65	29. II.	154
Rigi-Kulm	1787	90	183	153	117	103	329	306	198	241	107	238	86	2151	56	10. VI.	165
Küßnacht (Schwyz)	440	68	*170	106	128	65	203	135	137	133	78	157	66	1446	66	18. IV.	148
Engelberg	1018	88	233	187	83	77	204	157	100	145	155	320	120	1869	44	23. XI.	167
Stans	ca 456	35	102	68	62	68	185	131	107	126	106	165	64	1219	43	31. VIII	144
Lungern	ca 745	75	154	117	74	40	170	191	76	118	133	420	135	1703	114	7. XI.	151
Sarnen	474	39	115	66	64	41	127	122	100	105	95	159	59	1092	49	29. II.	149
Pilatus-Kulm	2068	84	189	265	133	54	212	160	175	136	142	229	107	1886	57	31. III.	176
Luzern (Wesemlin)	498	46	136	63	61	45	177	108	250	119	81	163	54	1303	111	24. VIII.	151
Luzern (Reg.-Geb.)	ca 440	48	117	62	54	42	176	90	213	115	89	163	55	1224	82	24. VIII.	149
Flühli	ca 893	85	161	78	77	35	208	121	124	156	119	219	86	1469	?	—	160
Entlebuch	ca 722	70	194	72	67	50	170	142	246	147	135	293	109	1695	60	29. II.	168
Werthenstein	594	42	102	48	47	38	145	98	163	132	97	191	86	1189	45	29. II.	148
Buchsteg (Eigental)	ca 1050	89	210	146	101	78	302	137	190	189	164	323	133	2062	76	29. II.	178
Morgarten	ca 729	104	158	144	82	65	245	155	131	172	133	273	94	1756	49	8. XI.	150
Unter-Aegeri	ca 735	92	161	123	88	76	291	177	120	196	135	226	86	1771	53	11. VII.	158
Lorzetobel	ca 550	87	148	88	61	71	255	146	120	170	110	202	78	1536	49	14. VI.	158
Walchwil	452	61	*130	73	75	60	202	112	122	154	90	158	61	1298	48	8. XI.	139
Zug	ca 429	60	125	68	46	53	197	112	142	153	79	152	64	1251	59	29. II.	144
Ebertswil (b. Hausen a. Albis)	ca 625	90	167	73	62	73	201	132	127	160	105	194	80	1464	57	29. II.	157
Mettmenstetten	ca 483	51	92	37	38	37	146	99	115	126	57	134	57	989	37	29. II.	130
VIII. Aare																	
Grimsel	1962	170	203	314	103	98	163	201	48	154	246	400	127	2227	88	7. XI.	167
Guttannen	ca 1055	106	251	202	77	72	147	161	78	149	211	338	117	1909	58	7. XI.	153
Gadmen	1207	98	190	188	76	72	195	161	80	116	159	415	125	1875	93	7. XI.	178
Meiringen	605	73	191	110	60	63	180	158	73	127	136	341	92	1604	50	7. XI.	159
Brienz	ca 575	88	135	63	73	45	130	129	83	120	136	355	131	1488	80	23. XI.	150
Grindelwald	1050	78	144	93	66	42	123	194	73	105	133	283	93	1427	74	4. VII.	147
Eigergletscher	2323	90	235	197	74	59	*180	265	176	*150	200	352	120	2098	?	—	154
Lauterbrunnen	810	65	144	59	43	32	99	152	87	109	119	285	73	1267	54	4. VII.	142
Interlaken	568	65	167	62	35	42	120	159	98	113	117	364	100	1442	70	7. XI.	152
Beatenberg	1148	119	244	103	55	66	157	177	143	158	145	348	121	1836	62	7. XI.	164
Kandersteg	ca 1170	53	118	64	51	30	101	132	167	97	107	253	78	1251	58	15. VIII	154
Adelboden	ca 1345	80	136	94	58	50	126	152	112	124	86	400	105	1523	80	7. XI.	160
Frutigen	ca 820	51	123	65	44	32	104	121	139	125	101	283	95	1283	46	7. XI.	144
Kienthal	ca 970	48	149	81	63	44	110	127	130	109	108	229	84	1282	36	24. VIII	158

Stationen:	Höhe üb. Meer	Jan.	Febr.	März	April	Mai	Juni	Juli	Aug.	Sept.	Okt.	Nov.	Dez.	Jahr	Maxima		Zahl d. Tage
Zweisimmen	ca 960	90	135	67	72	45	96	138	201	116	94	363	163	1580	82	24. VIII.	151
Boltigen	ca 830	101	146	67	62	26	123	153	170	164	92	411	169	1684	79	8. XI.	139
Wimmis	ca 640	67	149	71	65	84	139	159	146	137	102	255	114	1488	51	29. II.	152
Heiligenschwendi	1125	49	142	75	73	94	143	195	177	212	115	152	65	1492	71	3. VIII.	169
Thun	565	36	90	33	49	50	101	159	157	116	64	107	54	1016	67	31. VIII.	132
Schwarzenegg	ca 910	54	132	60	83	72	134	180	130	205	103	167	66	1386	62	16. IX.	150
Großhöchstetten	ca 750	61	116	45	60	40	152	165	152	143	96	158	104	1292	73	31. VIII	148
Belp	ca 525	54	84	35	44	43	127	173	117	143	87	169	133	1209	72	31. VIII.	139
Bern	572	38	46	9	55	40	101	143	90	152	89	155	98	1016	47	7. XII.	117
Lauenen	ca 1260	87	122	56	38	29	134	143	152	138	105	340	143	1487	66	7. XI.	146
Gsteig bei Saanen	ca 1180	80	112	67	35	23	121	148	134	132	102	445	146	1545	96	7. XI.	145
Château-d'Oex	1010	85	162	47	57	29	129	165	154	146	125	329	156	1584	56	21. VII.	138
Jaun	ca 1030	119	228	89	93	44	210	200	153	207	137	399	170	2049	65	8. XI.	158
La Valsainte	ca 1032	85	205	69	67	41	195	217	148	211	130	263	124	1755	69	31. VIII	161
Marsens	727	60	98	33	41	18	111	151	128	191	107	203	126	1267	85	31. VIII	134
La Roche	770	47	99	14	52	28	107	176	122	160	92	160	98	1155	+84	31. VIII.	136
Romont	764	45	110	21	31	41	82	142	104	156	97	147	147	1123	72	7. XII.	116
Freiburg	670	26	62	25	34	33	78	130	107	131	69	129	69	893	61	31. VIII.	131
Gauglera	925	39	76	26	49	46	128	167	117	169	98	163	90	1168	77	31. VIII	140
Schwarzenburg	ca 800	48	89	40	44	34	140	187	110	174	84	179	105	1234	70	31. VIII.	139
Wahlendorf	ca 760	35	58	23	49	33	96	151	93	147	92	194	103	1074	42	1. IX.	126
Aarberg	ca 465	47	52	16	37	26	85	137	123	137	102	208	103	1073	55	31. VIII.	125
Rossenges s. Moudon	ca 700	48	63	30	35	48	81	125	94	224	107	186	141	1182	66	7. XII.	123
Moudon	515	38	59	24	31	35	61	96	116	156	75	136	122	949	69	31. VIII	110
Payerne	ca 445	39	52	16	36	28	72	98	89	170	101	160	83	944	40	2. IX.	118
Avenches	480	33	42	8	24	21	75	145	79	157	80	127	78	869	73	3. VII.	100
Witzwil	ca 448	44	51	16	25	17	87	117	110	132	96	201	114	1010	54	31. VIII	108
La Cure	ca 1165	86	89	30	48	46	102	149	166	186	191	403	182	1678	68	7. XI.	135
Le Sentier	ca 1024	82	115	49	54	56	120	148	113	221	178	413	171	1720	75	7. XI.	149
Vallorbe-Reposoir	930	90	144	49	50	64	72	107	73	227	139	325	204	1544	72	7. XI.	151
Montchérand	565	49	58	18	34	35	47	95	75	195	109	183	136	1034	42	1. IX.	120
L'Abergement	640	101	107	24	33	33	64	111	57	195	147	267	142	1281	50	7. XII.	120
Valleyres-s.-Rances	505	55	69	21	31	26	34	101	56	180	106	214	103	996	55	7. XI.	118
Bochuz	ca 440	42	48	15	33	30	52	108	60	184	108	153	88	921	38	2. IX.	113
Echallens	ca 625	30	57	26	29	43	69	156	157	159	163	261	181	1331	68	7. XII.	123
Corcelles	ca 560	44	48	14	43	40	80	109	81	178	123	177	100	1037	40	31.VIII./2.IX.	115
Yverdon	440	58	77	22	32	49	74	121	83	156	99	227	80	1078	44	8. XI.	122
Baulmes	ca 634	97	100	43	38	32	76	116	83	210	161	339	183	1478	82	7. XI.	136
L'Auberson	ca 1110	83	124	69	43	46	86	143	109	239	187	378	158	1665	81	7. XI.	152
St-Sulpice	ca 760	106	119	57	46	40	86	133	113	205	130	383	165	1583	82	7. XI.	141
Couvet	ca 750	73	118	44	50	34	89	101	104	191	118	291	152	1365	59	7. XI.	131
Champ du Moulin	ca 690	68	89	35	33	26	90	98	138	188	112	276	172	1325	63	7. XI.	127
Grandchamp-Areuse	ca 450	—	—	—	—	—	—	—	—	—	—	—	130	—	—	—	—
Chambrelien	ca 743	60	75	33	33	27	92	89	137	195	120*	300*	182	1343	?	—	127
La Brévine	ca 1077	66	131	45	48	31	89	104	145	176	124	299	120	1378	87	31. VIII	166
Les Ponts	1020	85	138	60	40	31	113	97	158	182	123	331	153	1511	77	31. VIII	144
Cernier	800	86	114	46	32	27	91	87	128	143	135	278	136	1303	54	31. VIII	127
Serrières	ca 470	29	40	12	25	22	71	84	79	121	78	175	99	835	38	7. XI.	103
Neuchâtel	487	53	65	24	25	28	78	94	92	136	108	275	118	1096	62	7. XI.	118
Chaumont	ca 1115	52	78	37	33	24	79	92	109	124	98	248	110	1084	54	31. VIII	134
Biel	ca 440	58	74	21	29	16	61	95	135	126	131	297	122	1165	65	16. X.	122
Evilard	ca 700	92	87	39	35	25	82	103	170	128	150	385	180	1476	83	7. XI.	135
Mont-Soleil	ca 1200	109	157	71	68	46	129	125	140	163	140	373	125	1646	78	31. VIII.	160
Courtelary	ca 699	71	98	42	49	31	89	100	130	135	103	258	124	1230	67	31. VIII	136
Weißenstein	1285	113	118	36	51	48	130	191	143	105	140	389	163	1627	65	7. XI	150
Solothurn	470	100	99	28	40	39	90	158	155	119	123	374	142	1467	105	7. XI	139
Marbach	ca 875	91	186	106	83	44	203	105	221	171	145	276	107	1798	57	24. VIII	159
Escholzmatt	ca 853	79	203	137	102	46	168	145	185	176	133	357	108	1839	75	8. XI.	163
Langnau i. E.	685	63	128	52	70	53	135	147	133	156	126	213	111	1387	63	31. VIII.	151
Wasen i. E.	ca 755	61	131	60	45	64	151	172	129	199	78	198	108	1396	47	1. IX.	150
Affoltern i. E.	795	67	135	54	50	54	136	165	140	175	79	231	118	1404	46	8. XI.	147
Burgdorf	ca 535	50	69	22	69	59	97	129	151	135	75	171	99	1126	55	31. VIII	132

Stationen:	Höhe üb. Meer	Jan.	Febr.	März	April	Mai	Juni	Juli	Aug.	Sept.	Okt.	Nov.	Dez.	Jahr	Maxima		Zahl d. Tage
Gerlafingen	454	69	53	30	43	69	88	145	138	126	96	274	115	1246	66	7. XI.	126
Herzogenbuchsee	ca 475	43	48	17	36	43	83	174	106	111	83	158	78	980	39	20. VII.	119
St. Urban	ca 452	76	103	41	30	55	124	176	125	128	109	289	108	1364	71	7. XI.	138
Luthern	ca 778	84	137	72	50	48	135	121	118	182	120	280	140	1487	60	7. XII.	166
Zofingen	ca 436	93	95	35	33	30	119	147	93	103	89	203	86	1126	76	7. XI.	132
Herbetswil	ca 526	83	97	31	38	47	95	134	100	89	127	207	109	1157	64	31. VIII.	133
Langenbruck	740	106	137	53	48	41	126	148	157	96	105	247	77	1341	64	31. VIII.	140
Balsthal	ca 503	74	89	29	40	42	106	138	94	97	92	178	95	1074	53	31. VIII.	134
Allerheiligen	ca 900	92	147	59	45	46	140	184	163	101	99	237	70	1383	57	7. XI.	147
Olten	ca 400	96	96	41	37	37	108	122	122	112	90	271	100	1232	78	7. XI.	140
Barmelweid	ca 770	115	85	44	24	39	129	141	104	105	80	178	76	1120	43	31. VIII.	147
Aarau	406	87	82	29	31	40	112	106	97	89	66	197	60	996	49	7. XI.	130
Kölliken	ca 431	100	98	40	37	33	112	105	91	105	80	273	99	1173	83	7. XI.	135
Beromünster	ca 656	82	128	56	34	37	165	110	153	141	82	206	83	1277	42	31. VIII.	140
Burg	ca 625	81	116	48	30	48	149	101	147	139	73	206	91	1229	42	7. XII.	133
Unter-Kulm	ca 470	79	96	42	24	53	129	102	143	130	79	214	85	1176	52	6. VIII.	138
Aesch (Hitzkirch)	ca 520	70	98	44	20	44	168	94	152	125	73	208	94	1190	55	7. XI.	129
Muri	483	89	108	59	25	52	171	91	139	130	92	203	109	1268	58	31. VIII	141
Bötzberg	ca 500	85	67	34	29	26	116	83	100	101	64	181	77	963	42	29. VIII.	135
Schinznach-Dorf	ca 375	105	93	40	25	26	114	103	115	93	70	193	93	1070	48	29. VIII.	129
Beznau	ca 330	107	84	43	45	17	115	70	110	102	64	232	99	1088	48	29. VIII	123
Oberweningen	ca 476	74	64	32	35	24	113	89	129	97	62	182	98	999	54	29. VIII.	129
B. Rhonegebiet I. Rhone und Genfersee																	
Furka (Galenhütten)	ca 2406	123	128	222	81	27	47	144	58	157	142	305	81	1515	49	11. III.	124
Reckingen	1332	43	55	95	1	7	50	124	62	84	191	285	116	1113	58	7. XI.	119
Fiesch	ca 1080	33	53	31	10	6	21	113	56	29	171	284	62	869	66	7. XI.	99
Binn	ca 1450	36	61	46	33	23	30	94	23	61	229	137	28	801	48	6. X.	88
Saas-Fee	ca 1800	36	36	20	48	29	37	112	65	50	175	165	56	829	63	6. X.	103
Zermatt	1610	25	31	17	28	15	27	86	58	38	121	155	52	653	52	6. X.	92
Grächen	ca 1629	22	37	9	22	1	19	62	51	45	138	149	51	606	61	6. X.	65
Visp	648	41	64	17	31	2	31	86	49	25	135	244	58	783	46	7. XI.	80
Kippel	ca 1376	103	179	102	17	7	40	113	122	86	122	440	132	1463	72	7. XI.	110
Leukerbad	1415	87	111	64	20	16	69	111	103	107	133	388	177	1386	96	8. XI.	103
Varen bei Leuk	ca 750	43	49	10	9	4	19	62	48	52	86	197	65	644	34	8. XI.	72
Siders	573	46	52	20	7	1	17	53	56	52	83	267	114	768	49	8. XI.	75
Montana	1453	86	115	46	22	6	37	68	66	93	112	336	135	1122	48	8. XI.	109
Grimentz	ca 1570	62	92	63	18	6	62	63	75	70	109	243	94	957	45	8. XI.	111
Hérémence	ca 1240	40	42	24	13	9	45	78	98	62	92	273	88	864	44	23. XI.	96
Sion	549	43	38	19	9	10	24	59	68	49	66	277	127	789	55	7. XI.	92
Bagnes (Châble)	ca 836	83	132	32	24	15	40	92	59	47	84	254	129	991	49	7. XII.	100
St. Bernhard	2476	146	204	150	101	91	156	192	107	133	363	540	171	2354	86	23. XI.	173
Bourg St-Pierre	ca 1633	62	85	44	32	33	75	113	74	71	213	219	69	1090	62	6. X.	118
Orsières	ca 890	41	*80	6	60	14	43	88	106	47	99	312	119	1015	?	—	83
Martigny-Ville	478	57	70	32	13	10	47	84	70	63	*65	283	143	937	56	7. XII.	102
Marécottes	1090	91	104	57	30	11	77	63	106	109	145	396	198	1387	84	7. XII.	129
Gryon	ca 1130	96	188	62	53	23	141	160	147	137	108	307	136	1558	41	15. VIII.	150
Les Plans	ca 1100	92	166	67	46	41	130	157	98	132	137	271	137	1474	?	—	131
Bex	430	45	95	40	22	21	110	118	87	106	98	220	106	1068	45	21. VII.	118
Val d'Illiez		53	79	44	36	44	132	154	138	158	126	332	153	1449	53	7. XII.	151
Diablerets-Village	1168	124	194	85	59	40	137	154	112	148	130	487	197	1867	91	7. XI.	123
Leysin	1350	88	179	81	38	44	119	192	129	139	122	342	135	1608	58	21. VII.	137
Chessel	380	42	74	44	22	25	121	178	79	146	104	275	114	1224	56	21. VII.	114
Porte du Scex (Vouv.)	478	45	79	38	19	21	94	134	91	144	110	288	121	1184	48	3. VII.	119
Rochers de Naye	1986	163	441	131	100	71	245	315	90	254	198	528	230	2766	85	21. VII.	163
Montreux-Clarens	412	27	91	27	40	24	95	161	124	162	102	234	104	1191	51	4. VIII.	122
Vevey	380	30	82	23	33	20	99	147	69	181	98	204	110	1096	42	21. VII.	117
Riex	445	35	73	19	38	28	91	124	51	196	131	257	152	1195	54	7. XII.	117
Tour de Gourze	925	34	78	24	39	35	105	148	60	214	142	248	159	1286	64	7. XII.	129
Lausanne	553	44	50	16	29	30	72	109	52	212	132	190	133	1069	57	7. XII.	118
Cossonay	ca 575	44	40	17	26	35	50	142	81	133	122	173	104	967	41	21. IX.	106
Morges	380	49	60	15	27	40	58	121	96	177	139	222	152	1156	68	7. XII.	112

Stationen:	Höhe üb. Meer	Jan.	Febr.	März	April	Mai	Juni	Juli	Aug.	Sept.	Okt.	Nov.	Dez.	Jahr	Maxima		Zahl d. Tage
Marcelin s. Morges .	ca 425	46	49	11	25	40	57	126	85	160	128	206	140	1073	64	7. XII.	105
Longirod	ca 900	57	53	23	31	47	55	111	49	210	149	301	149	1235	60	7. XII.	112
Nyon	ca 405	47	43	29	32	44	54	98	34	186	140	254	147	1108	63	7. XII.	116
Céligny	ca 435	50	58	28	27	42	67	115	46	191	132	282	150	1188	57	7. XII.	112
Genève	405	34	21	18	33	31	48	94	44	174	107	165	75	844	38	21. VII.	105
Jussy	ca 475	32	33	15	35	43	69	108	48	169	115	137	62	866	54	21. VII.	107
Compesières . . .	ca 476	37	27	20	34	40	52	90	46	165	97	123	66	797	36	21. VII.	99
Satigny	ca 460	44	55	23	40	42	41	103	51	184	115	269	145	1112	57	7. XII.	117
II. Doubs																	
Les Brenets	878	89	125	67	67	46	117	108	118	221	126	323	156	1563	64	2. IX.	145
Le Locle		86	143	67	50	38	119	96	111	185	122	331	140	1488	66	31. VIII.	154
La Chaux-de-Fonds .	990	127	211	85	44	48	114	113	216	196	141	397	173	1865	94	31. VIII.	157
Saignelégier . . .	ca 985	64	95	53	47	55	131	108	115	179	116	288	114	1365	58	7. XI.	148
Mormont	ca 550	83	95	19	37	45	127	115	81	106	110	248	107	1173	47	7. XI.	136
C. Pogebiet I. Tessin																	
Gotthard	2096	141	401	283	164	75	111	186	91	208	345	296	150	2451	74	16. IV.	188
Airolo	ca 1170	30	72	19	76	75	82	165	112	148	279	162	73	1293	52	2. IX.	121
Lago di Tremorgio .	1851	29	115	47	90	110	137	212	178	234	336	160	76	1724	80	2. IX.	129
Olivone	ca 893	17	58	20	76	53	74	—	—	207	234	107	51	—	?	—	—
Comprovasco . . .	544	10	44	6	57	74	85	156	101	164	251	78	51	1077	87	2. IX.	94
Biasca	ca 300	3	43	2	69	122	80	320	97	228	278	102	49	1393	112	2. IX.	93
Mesocco (Misox) . .	ca 785	12	*50	15	48	168	129	233	104	194	288	82	42	1365	70	2. IX.	—
Braggio	1332	2	48	10	41	164	153	270	111	203	296	80	42	1420	90	2. IX.	111
Grono	335	1	40	6	57	146	97	237	88	239	283	34	38	1266	81	2. IX.	89
Bellinzona	237	0	41	2	58	188	95	307	58	166	330	45	36	1326	79	2. IX.	91
Fusio	ca 1285	24	90	26	94	76	75	181	102	216	432	140	67	1523	95	2 IX.	111
Cevio	ca 430	2	88	3	96	68	99	274	150	155	399	48	42	1424	94	3. VII.	92
Bosco-Gurin . . .	1486	24	109	40	129	86	—	—	—	—	—	—	47	—	—	—	—
Mosogno	ca 790	0	28	2	85	94	94	284	140	115	410	50	26	1328	76	21. VII.	88
Camedo	ca 610	0	*50	0	110	211	99	324	145	167	497	55	12	1670	105	6. X.	—
Locarno-Muralto . .	239	0	57	2	73	135	124	398	70	153	399	47	33	1491	93	21. VII.	89
Locarno-Monti . . .	380	0	53	2	71	129	112	402	77	151	384	44	31	1456	91	3. VII.	85
Ascona	ca 203	0	60	1	69	148	126	413	97	151	392	46	39	1542	82	21. VII.	88
Brissago	ca 257	0	73	2	101	169	129	341	134	158	449	52	40	1648	86	21. VII.	92
Mezzana	ca 335	0	48	3	67	137	123	268	124	122	453	36	43	1424	112	8. X.	66
Monte Brè	910	1	45	0	62	159	108	353	60	93	413	35	13	1342	155	21. VII.	98
Lugano	276	0	49	0	55	148	107	314	75	101	377	42	39	1307	129	21. VII.	97
Piandanazzo (Val Colla)	1680	8	75	6	97	212	139	385	109	233	391	65	41	1761	125	21. VII.	116
Crana-Torricella . .	1010	0	65	2	76	224	173	396	90	200	447	58	38	1769	87	21. VII.	97
Ponte Tresa	ca 280	0	44	0	37	148	90	246	134	98	424	33	36	1290	92	21. VII.	83
II. Adda																	
Bernina-Hospiz . . .	ca 2309	11	43	11	11	129	135	147	101	160	264	212	200	1424	95	8. XII.	87
Cavaglià	ca 1701	7	43	13	40	129	129	159	101	164	189	91	134	1199	71	8. XII.	107
Brusio	ca 755	4	19	5	25	95	118	139	66	127	119	62	39	818	51	2. IX.	94
Vicosoprano . . .	1087	4	62	6	42	181	146	170	82	246	233	83	65	1320	89	2. IX.	102
Soglio	ca 1090	5	50	9	41	191	151	196	107	214	206	60	52	1282	73	2. IX.	96
D. Donaugebiet Inn																	
Sils-Maria	1814	16	52	14	13	124	121	153	61	113	167	80	57	971	53	2. IX.	103
St. Moritz	1853	8	23	22	14	107	95	150	70	100	113	79	42	823	46	2. IX.	115
Bevers	1711	21	76	49	6	58	94	103	114	121	109	107	39	897	40	31. VIII.	122
Buffalora	ca 1977	14	47	59	32	76	168	224	181	103	*90	*115	*60	1169	?	—	—
Süs	ca 1440	27	54	43	22	41	53	88	56	84	88	140	40	736	41	7. XI.	—
Scarl	ca 1810	31	44	85	14	62	96	103	57	108	89	113	56	858	27	7. XI.	121
Schuls	1253	21	39	44	7	60	69	66	46	87	55	124	36	654	36	7. XI.	110
Martinsbruck . . .	1040	38	54	52	14	57	76	59	53	82	58	129	32	704	37	7. XI.	106
E. Etschgebiet Rombach																	
Sta. Maria	1411	5	18	14	10	69	111	94	67	106	93	65	47	699	38	2. IX.	93

Monats- und Jahressummen im Jahre 1944

ausgedrückt in Prozenten der Normalmengen*)

Stationen	Höhe üb. Meer	Jan.	Febr.	März	April	Mai	Juni	Juli	Aug.	Sept.	Okt.	Nov.	Dez.	Jahr
Platta (Medels) . .	1378	96	354	119	37	46	38	107	41	124	103	180	76	97
Bernhardin	2073	—	—	—	—	—	98	118	87	137	125	—	—	—
Splügen	1500	45	112	98	29	88	100	107	64	102	94	105	73	87
Davos-Platz	1561	127	247	233	32	63	91	106	57	129	120	331	103	124
Chur	633	84	157	154	39	46	78	74	25	132	100	280	105	96
Sargans	507	172	280	199	70	46	82	78	23	102	103	355	121	117
Altstätten	474	153	189	150	83	62	106	79	70	150	153	278	101	119
St. Gallen	679	93	173	87	58	104	99	65	99	112	80	241	63	100
Kreuzlingen . . .	446	138	190	65	45	71	108	73	120	106	82	382	171	118
Lohn (Schaffh.) . .	643	137	102	60	48	30	85	76	96	86	83	359	211	107
Basel-Bernoullianum.	277	88	161	51	51	40	77	110	140	122	92	237	77	102
Glarus	480	134	204	181	59	54	104	118	44	129	109	430	99	125
Zürich	493	135	177	82	57	37	120	75	82	106	60	340	117	105
Einsiedeln	914	125	185	150	59	40	114	86	62	123	106	289	90	109
Altdorf	456	122	248	134	52	63	99	87	32	110	99	270	89	105
Rigi-Kulm	1787	74	147	99	65	52	132	116	83	135	70	192	65	102
Engelberg	1018	95	271	182	67	56	119	85	56	109	123	344	119	122
Luzern-Wesemlin . .	498	96	283	94	69	39	120	71	176	112	92	272	93	116
Guttannen	1055	95	235	155	51	50	96	96	49	110	143	289	91	115
Beatenberg	1148	135	298	94	45	49	89	101	88	133	125	378	120	124
Bern	572	79	90	14	72	43	89	128	83	171	101	228	153	104
Neuchâtel	487	87	108	35	35	34	78	99	93	158	116	344	148	112
Chaumont	1115	81	128	51	42	26	69	84	97	129	94	295	133	101
Affoltern i. E. . . .	795	106	218	64	53	47	97	132	109	172	81	308	153	121
Langenbruck . . .	740	136	188	63	51	37	96	114	137	94	104	313	84	113
Olten	400	143	148	55	46	37	85	96	102	114	92	343	119	110
Aarau	406	145	141	42	40	42	96	91	89	97	77	277	81	97
Muri (Aargau) . .	483	151	186	81	29	49	131	71	115	137	103	299	145	116
Reckingen	1332	60	86	104	1	8	60	141	73	90	163	331	130	106
Sion	549	100	90	41	23	25	53	109	105	102	116	543	212	134
St. Bernhard . . .	2476	84	131	71	47	51	96	148	78	89	169	270	81	110
Martigny	478	100	137	56	25	20	81	118	88	105	87	464	193	125
Montreux-Clarens .	412	50	162	38	50	26	83	132	98	169	105	325	142	113
Lausanne	553	76	85	21	38	33	73	109	47	214	122	224	168	103
Genève	405	72	42	29	48	41	61	121	46	205	108	209	110	95
St. Gotthard	2096	90	286	133	79	36	62	98	47	100	139	142	80	106
Airolo	1170	42	97	16	56	48	62	111	69	86	126	101	68	78
Braggio	1332	4	80	10	32	98	92	148	59	126	171	67	54	90
Locarno-Muralto . .	239	0	88	2	45	66	66	204	33	75	179	32	39	80
Lugano	276	0	80	0	34	77	58	180	40	58	190	31	49	76
Sils-Maria	1814	36	120	20	17	138	126	133	52	111	158	99	93	97
Bevers	1711	56	217	94	10	81	109	97	106	133	124	157	72	105
Schuls	1253	52	118	126	17	113	103	72	50	123	92	253	72	96

*) Normalperiode 1864—1940. Die mittleren Monats- und Jahressummen sind im Jahrgang 1941 im Anschluß an die vorstehende Tabelle veröffentlicht.

Ergebnisse

der im Alpengebiet aufgestellten Niederschlags-Totalisatoren für das hydrographische Jahr 1943/1944

Station	m ü. M.	Zeitdauer	Gemessene Werte	Red. Werte 1. X. 43 bis 30. IX. 44
			cm	cm
Suchetgebiet (Jura)				
Suchet (Chalet)	1465	29. IX. 1943 — 27. IX. 1944	149	150
Diableretsgebiet				
Becca d'Audon	2870	5. X. 1943 — 6. XI. 1944	?137	?124
Dent du Midigebiet				
Mont Ruan	2860	25. IX. 1943 — 25. IX. 1944	199	200
La Chaux-Derrière	2403	25. IX. 1943 — 25. IX. 1944	261	261
La Chaux-Devant	2354	25. IX. 1943 — 25. IX. 1944	232	233
Fontanabran	2420	27. IX. 1943 — 26. IX. 1944	205	206
Col de Tanneverge	2501	27. IX. 1943 — 24. IX. 1944	263	266
Lac de Barberine	1900	27. IX. 1943 — 24. IX. 1944	166	168
Bel'Oiseau	2425	27. IX. 1943 — 26. IX. 1944	108	109
Col du Grenairon	2650	24. IX. 1943 — 23. IX. 1944	76	77
Fenêtre de la Veudale	2490	24. IX. 1943 — 23. IX. 1944	165	165
Le Vieux Emosson	2170	24. IX. 1943 — 23. IX. 1944	224	225
Pointe de la Feniva	2180	24. IX. 1943 — 23. IX. 1944	191	192
Plateau d'Emosson	1800	8. X. 1943 — 26. IX. 1944	151	151
Château d'Eau	1850	8. X. 1943 — 26. IX. 1944	154	154
Emaney	1930	28. IX. 1943 — 27. IX. 1944	145	145
Mont Blancgebiet				
Col d'Orny	3169	5. IX. 1943 — 16. IX. 1944	233	223
Monte Rosagebiet				
Mondellipaß	2800	28. VIII. 1943 — 6. IX. 1944	193	186
Thäliboden	2485	28. VIII. 1943 — 6. IX. 1944	120	118
Galmen	2690	3. IX. 1943 — 6. IX. 1944	114	110
Seewinenberg	3025	6. IX. 1943 — 11. IX. 1944	333	323
Ofentalpaß	2800	27. VIII. 1943 — 5. IX. 1944	195	186
Stelli-Weißtal	2620	4. X. 1943 — 5. IX. 1944	116	124
Schwarzenberggletscher (Fuß Fluchthorn)	2968	6. IX. 1943 — 11. IX. 1944	136	130
Schwarzenbergkopf	2565	4. X. 1943 — 11. IX. 1944	120	127
Mattmarksee	2117	4. X. 1943 — 12. IX. 1944	70	75
Allalingletscher	3369	30. VIII. 1943 — 16. IX. 1944	165	157
Kessjen	2840	31. VIII. 1943 — 16. IX. 1944	103	100
Plattje	2228	5. X. 1943 — 14. IX. 1944	87	93
Furgghorn	3390	3. IX. 1943 — 7. IX. 1944	314	305
Gornergrat	3100	2. IX. 1943 — 5. IX. 1944	95	84
Simplongebiet				
Magenhorn	2170	28. IX. 1943 — 21. IX. 1944	97	99
Jungfraugebiet				
Mönchsgrat	3810	24. IX. 1943 — 19. IX. 1944	353	356
Trugberg	3530	30. IX. 1943 — 18. IX. 1944	227	237
Kranzberg	3180	1. X. 1943 — 19. IX. 1944	336	350
Konkordia	2890	22. IX. 1943 — 16. IX. 1944	143	133
Aletschwald	2040	1. XI. 1943 — 2. X. 1944	99	98
Grimsel- und Gelmergebiet				
Kl. Siedelhorn	2430	25. X. 1943 — 21. IX. 1944	315	326
Abschwung	2900	27. X. 1943 — 17. VI. 1944	168	222
Pavillon Dollfus	2415	26. X. 1943 — 16. VI. 1944	99	133
Oberaarjoch	3310	28. X. 1943 — 18. X. 1944	340	319
Oberaaralp	2257	26. X. 1943 — 18. X. 1944	151	142
Grimsel-Hospiz (Ost)	1978	3. X. 1943 — 19. IX. 1944	133	138
Grimsel-Hospiz (West)	1978	3. X. 1943 — 19. IX. 1944	137	141
Gelmer Bergli	2144	29. X. 1943 — 28. IX. 1944	159	162
Titlisgebiet				
Trübsee-Jochpaß	1800	4. X. 1943 — 5. X. 1944	214	207
Gotthardgebiet				
Albert Heimhütte SAC.	2560	9. X. 1943 — 2. XII. 1944	240	186
Calmot	2200	8. X. 1943 — 17. X. 1944	121	113
Rotondohütte SAC.	2585	11. X. 1943 — 30. IX. 1944	—	*
Andermatt	1443	28. XII. 1943 — 17. X. 1944	128	134
Lago Ritom	1960	22. XI. 1943 — 30. IX. 1944	149	162
Greinagebiet				
Greinaboden (West)	2327	21. X. 1943 — 19. X. 1944	189	175
Greinaboden (Ost)	2327	21. X. 1943 — 20. X. 1944	122	113
Alp Sutglatschèr	1420	20. X. 1943 — 23. X. 1944	141	128
Medelserhütte SAC.	2480	25. X. 1943 — 7. X. 1944	145	143
Alp Cugn	2154	22. X. 1943 — 23. X. 1944	114	105
Alp Nadels	1880	18. X. 1943 — 18. X. 1944	101	95
Alp Naustgel	1945	19. X. 1943 — 21. X. 1944	121	111
Rhätisches Alpengebiet				
Gemskanzel-Rheinwaldfirn	2916	10. X. 1943 — 30. IX. 1944	—	*
Älpetlistock-Splügenpaß	2393	9. X. 1943 — 26. IX. 1944	132	133
Muotaulta-Annarosa	2800	8. X. 1943 — 25. IX. 1944	136	139
Crapet-Prassignola	2650	7. X. 1943 — 30. IX. 1944	—	*
Piz Curvèr	2810	11. X. 1943 — 1. X. 1944	82	82
Piz Scalotta	2970	2. X. 1943 — 4. X. 1944	166	164
Julier-Hospiz	2310	24. IX. 1943 — 5. X. 1944	93	84
Albula-Hospiz	2315	26. X. 1943 — 3. X. 1944	100	99
Chuoza (Blockhaus)	1910	27. XI. 1943 — 20. IX. 1944	72	80
Silvrettagebiet				
Silvrettahütte	2370	25. IX. 1943 — 5. X. 1944	128	121
Eckhorn	3150	25. IX. 1943 — 28. XI. 1944	?121	?92
Taminagebiet				
Vättnerälpli	1885	18. XI. 1943 — 21. X. 1944	120	112
First (Wasserböden)	2200	20. XI. 1943 — 18. X. 1944	88	85
St. Martin	1396	19. XI. 1943 — 27. X. 1944	132	122
Panäraalp	2028	23. XI. 1943 — 25. X. 1944	136	128
Tödigebiet				
Claridenfirn	2710	17. IX. 1943 — 13. IX. 1944	339	323
Säntisgebiet				
Säntis	2504	30. IX. 1943 — 30. IX. 1944	327	327
Gebiet des Hohen Randen (Jura)				
Auf dem Hagen	915	1. X. 1943 — 2. X. 1944	82	81

* Totalisatoren wurden nicht geleert, interpolierte Werte aus zweijährigen Messungen folgen im nächsten Jahrgang

Ergebnisse einiger Totalisatoren, ausgedrückt in Prozenten der mittleren Jahresmenge

Station	m ü. M.	1943 bis 1944	Jahres-mittel	Anzahl Jahre	%
		cm	cm		
Suchetgebiet					
Suchet (Chalet)	1465	150	175	15	86
Diableretsgebiet					
Becca d'Audon	2870	124	162	21	77
Dent du Midigebiet					
La Chaux-Derrière	2500	261	286	17	91
Col de Tanneverge	2501	266	344	17	77
Le Vieux Emosson	2170	225	260	17	87
Plateau d'Emosson	1800	151	181	17	83
Mont Blancgebiet					
Col d'Orny	3169	223	312	23	71
Monte Rosagebiet					
Mondellipaß	2800	186	230	20	81
Galmen	2690	110	122	20	90
Seewinenberg	3025	323	286	20	113
Furgghorn	3390	305	320	17	95
Gornergrat	3100	84	120	20	70
Jungfraugebiet					
Mönchsgrat	3810	356	401	23	89
Kranzberg	3180	350	408	15	86
Konkordia	2890	133	145	23	92

Station	m ü. M.	1943 bis 1944	Jahres-mittel	Anzahl Jahre	%
		cm	cm		
Titlisgebiet					
Trübsee-Jochpaß	1800	207	215	16	96
Greinagebiet					
Greinaboden (West)	2327	175	190	6	92
Medelserhütte	2480	143	206	6	69
Alp Nadéls	1880	95	119	6	80
Alp Naustgel	1945	111	136	6	85
Rhätisches Alpengebiet					
Muotaulta-Annarosa	2800	139	143	20	97
Piz Curvèr	2810	82	111	20	74
Piz Scalotta	2970	164	190	20	86
Julier-Hospiz	2310	84	112	20	75
Silvrettagebiet					
Silvrettahütte	2370	121	146	25	83
Eckhorn	3150	92	137	20	67
Tödigebiet					
Claridenfirn	2710	323	347	25	93
Säntisgebiet					
Säntis	2504	327	395	16	83
Hoher Randengebiet					
Auf dem Hagen	915	81	86	17	94

In den vorstehenden Tabellen konnten außer den letztjährigen die Ergebnisse von 23 weiteren Totalisatoren aufgeführt werden. Von einigen Gebieten wurden uns in verdankenswerter Weise Messungen zur Verfügung gestellt [1]; die Verarbeitung erfolgte durch unsere Anstalt.

Die langjährigen Mittelwerte des Dent du Midi-, Monte Rosa- und Greinagebietes stammen aus der Publikation [2].

[1] a) Für das Dent du Midi-, Monte Rosa- und Taminagebiet von der Abteilung für Hydrologie der Versuchsanstalt für Wasserbau an der ETH.

b) Für das Gotthardgebiet z. T. vom Studiensyndikat der Urserenkraftwerke.

c) Für das Greina- und Rhätische Alpengebiet z. T. von den Rhätischen Werken für Elektrizität.

[2] O. Lütschg und Mitarbeiter R. Bohner: Zum Wasserhaushalt des Schweizer Hochgebirges. I. Bd., I. Teil, Allgemeines, I. Abtlg., Ergebnisse der Niederschlagsforschungen in unsern Hochgebirgslandschaften, Zürich 1945.

Die Niederschläge des Jahres 1944

Für die Alpensüdseite war das Jahr 1944 wieder sehr trocken. Das Niederschlagsdefizit beträgt hier 20 bis 30 % des Normalbetrages. Auch Genf weist ein leichtes Defizit auf. Dagegen hat die übrige Schweiz etwas zu viel Niederschlag erhalten. Sehr große Überschüsse (20 bis 30 %) wurden vielfach im Alpengebiet gemessen. Dagegen betragen dieselben im Mittelland nicht mehr als 15 % des Normalwertes.

Auf der Alpensüdseite waren nur der Juli und der Oktober ausgesprochen naß. Der Januar brachte überhaupt keine Niederschläge und auch März und April waren hier sehr trocken. Für die übrige Schweiz war der November ein ganz besonders nasser Monat, im östlichen Alpengebiet ferner der Februar und der März, in der Westschweiz besonders der September und der Dezember, im nördlichen Mittelland der Februar. Dagegen waren April und Mai allgemein sehr trocken, in der Westschweiz auch der März, für das gesamte Alpengebiet der August.

Bemerkenswert große Niederschläge (mehr als 30 mm) sind erstmals am 29. Februar im Bereich der Seen des nördlichen Alpenvorlandes gefallen. Die Kernzone des Niederschlagsgebietes ist bezeichnet durch die Stationen: Pfäffikon (Zürich) (37 mm), Zug (59), Weggis (65), Luzern (73), Escholzmatt (52), Meiringen (49), Wimmis (51). Es handelt sich um die durch Stau verstärkten Schneefälle einer tiefen Depression, die von der Biscaya herkommend in östlicher Richtung über die Alpen hinwegging.

Das Maximum der bedeutenden lokalen Gewitterniederschläge mit Hagel, die am 31. Mai auf der Nordabdachung der Appenzeller Alpen niedergingen, wurde in St. Gallen (70 mm) gemessen (Urnäsch 66, Rorschach 57).

Am 3. Juli verursachte ein Einbruch maritimer Kaltluft aus Westen Niederschlagsmengen von meist 30 bis 40 mm im Gebiet der Kantone Freiburg, Waadt und im Unterwallis (Avenches 73 mm, Clarens 38, Marsens 39, Leysin 46, Martigny 42) von 40 bis 95 mm im Tessin (Cevio 94 mm, Locarno-Monti 91).

Am 9. Juli findet sich ein Kerngebiet von Gewitterniederschlägen in der Umgegend der Stationen Arbon (61 mm), Schwäbrig (79), Säntis (82).

Am 21. Juli sind im Gebiet der Freiburger und Waadtländer Alpen 40 bis 70 mm gefallen, ferner in der Umgebung der Stationen Le Sentier (42 mm), Longirod (55), Céligny (52), Jussy (54). Auch das Tessin und das Bergell haben mehr als 40 mm erhalten. Das Maximum liegt über dem Monte Bré (155 mm).

Sehr bemerkenswert ist ein intensiver lokaler Starkregen, der am 24. August in Luzern niederging. Hier sind nach Feststellungen der Armeewetterwarte zwischen 20^{55} h und 21^{20} h mindestens 105 mm (total 111 mm) gefallen. Von Luzern aus erstreckt sich noch ein Niederschlagsgebiet mit mehr als 30 mm in Gestalt eines Streifens von 10 bis 20 km Breite westsüdwestwärts dem Voralpenrand entlang, bezeichnet durch die Stationen: Entlebuch (57 mm), Marbach (57), Beatenberg (40) bis Zweisimmen (82). Es handelt sich um die Niederschläge von Gewittern, die durch eine leichte westostwärts wandernde Störungslinie ausgelöst wurden. Hier liegt vermutlich ein ähnlicher Fall vor, wie bei dem denkwürdigen Starkregen im Rigigebiet am 9. September 1934.

Vom Atlantik her vordringende maritime Luft verursachte hauptsächlich in den nördlichen Landesteilen vom 28. August an einige Gewitterniederschläge. Das Ergebnis vom 29. August zeigt eine etwa 25 km breite, bandförmige Zone mit 40 bis 60 mm Niederschlag längs der nördlichen Landesgrenze (Birstal, Basel-Land bis Bodensee). Die 20 mm Isohyete verläuft über Neuenburg—Luzern—Säntis.

Ein etwas stärkerer Kaltlufteinbruch erfolgte dann in der Nacht vom 31. August auf den 1. September. Das Ergebnis ist ein Niederschlagsgebiet von mehr als 30 mm, das das ganze Mittelland und die Jurazone umfaßt mit einem Kerngebiet im Neuenburger und Berner Jura (La Brévine 87 mm, Les Ponts 77, La Chaux-de-Fonds 94, Courtelary 67) einem zweiten in den Freiburger Alpen (La Roche 84 mm, Marsens 85, Gauglera 77) und einem dritten im bernischen Mittelland (Belp 72 mm, Großhöchstetten 73).

Schließlich ergab sich noch für den 2. September ein Niederschlagsgebiet mit 40 bis 60 mm im Waadtland (Avenches 47 mm, Lausanne 45, Marsens 42) (Genferseegebiet meist 30 bis 40 mm) und im westschweizerischen Jura (Le Sentier 59 mm, L'Auberson 63, La Chaux-de-Fonds 54) und ein weiteres in der Ostschweiz, umfassend das Gebiet der Kantone Schwyz (Einsiedeln 48 mm), Glarus (Braunwald 45 mm), St. Gallen südl. Lichtensteig (Starkenbach 55 mm), Appenzell (Schwäbrig 58 mm) und Westgraubünden (Ragaz 53 mm, Chur 34, Platta 75, Innerferrera 100). Schließlich hat die Alpensüdseite nördlich Lugano mehr als 60 mm erhalten mit einem Maximum über Biasca (112 mm). Diese Niederschläge hängen in der Hauptsache mit einer scharfen Kaltfront zusammen, die am 2. nachmittags unser Land überquerte und einen Temperaturrückgang von 10 Grad verursachte. Über beträchtliche Hochwasserschäden wurde aus dem Wallis, dem Glarnerland, dem Engadin, Bergell und Misox berichtet.

Am 16. Oktober sind im Waadtland und in der ganzen Jurazone bis Liestal mehr als 30 mm Niederschlag gefallen. Der Kern liegt über den Stationen Neuenburg 50 mm), Biel (65), Weißenstein (46).

Die Niederschläge vom 7. und 8. November knüpfen sich an Depressionen, die etwa von WNW gegen ESE sehr nahe an der Schweiz vorübergezogen sind, wobei die Stauwirkung der Alpen als eine wesentliche Mit-

ursache anzusehen ist. Am 7. herrschte während des Regens anhaltend starker Westwind bei steigender Temperatur in der Höhe. Erst auf den 10. trat ein Temperaturrückgang (von 7 bis 10 Grad in der Höhe) ein. Während der Alpensüdfuß trocken geblieben ist, sind am 7. November mehr als 40 mm gefallen: Im ganzen Jura, im Gebiet der Kantone Solothurn, Aargau, Thurgau, St. Gallen und im ganzen Alpengebiet, die Südabdachung (Engadin) ausgenommen. Am 8. November waren die Beträge ähnlich verteilt, aber etwas kleiner. Wiederum erscheint der Jura und das Alpengebiet bevorzugt, dagegen tritt die Nordschweiz und Graubünden zurück. Die Niederschlagskerne beider Tage sind bezeichnet durch folgende Stationen: La Cure (am 7.: 68 mm, am 8.: 58 mm), Vallorbe (72, 43), L'Auberson (81, 47), Saint-Sulpice (82, 49), La Chaux-de-Fonds (79, 57), Evilard (83, 57), Solothurn (105, 52), Luthern (57, 51), Kölliken (83, 42), Olten (78, 34), Flaach (67, 33), Kreuzlingen (69, 47), Schwäbrig (54, 72), Starkenbach (114, 67), Oberiberg (91, 77), Escholzmatt (56, 75), Lungern (114, 68), Grimsel (88, 49), Interlaken (70, 45), Adelboden (80, 60), Boltigen (75, 79), Gsteig (96, 78), Kippel (72, 49), Sion (55, 41), Schiers (63, 45), Elm (81, 24). Diese beträchtlichen Wassermassen hatten u. a. im Sankt Immertal und im Val de Travers, im Thurgau und im Glarnerland Hochwasserschäden zur Folge.

Ganz ähnlich war der Fall vom 23. November. Bei steigender Temperatur und kräftigem Westwind sind an diesem Tag folgende Niederschläge gefallen: Die Messungen vom 23., bzw. 24. November morgens ergeben einerseits auf der Nordwestseite des westschweizerischen Jura 30 bis 45, bzw. 40 bis 55 mm (La Cure 39, 53 mm, Le Sentier 44, 52, Saint-Sulpice 41, 48, La Chaux-de-Fonds 31, 42, Evilard 34, 46, Weißenstein 44, 45), anderseits in den Berner, Unterwaldner, Schwyzer und Glarner Alpen 20 bis 35, bzw. 40 bis 100 mm (Diablerets 36, 75, Adelboden 52, 60, Lauterbrunnen 33, 35, Brienz 29, 80, Oberiberg 30, 66, Braunwald 42, 99, Glarus 24, 83, Ebnat 15, 67). Weitere kleinere Beträge fielen am 24. und 25. November. Da infolge der eingetretenen Erwärmung um etwa 10 Grad (die Nullgrenze lag am 23. um 8 h in 2500 m Höhe) auch eine erhebliche Schneeschmelze eintrat, kam es wiederum zu Hochwasser, u. a. zu Überschwemmungen der Aare in Bern und Solothurn, der Rhone in Genf, Überflutung durch Bieler- und Murtensee, Hochwasserschäden der Simme und der Kander, der Sionne und der Grande Eau (Aigle), im Val de Travers und im St. Immertal.

Am 4. Dezember haben das Alpengebiet und der westschweizerische Jura 30 bis 45 mm erhalten.

In der Nacht vom 7. zum 8. Dezember sind im westschweizerischen Juragebiet und in den tiefen Lagen des Mittellandes, insbesondere im Gebiet der Kantone Neuenburg, Freiburg, Waadt, Genf und im Unterwallis durchschnittlich 35 bis 50 mm Niederschlag gefallen. Einzelne größere Kerne sind bezeichnet durch die Stationen: Aadorf 56 mm, Muri (50), Luthern (60), Belp (56), Chambrelien (60), Vallorbe (63), La Cure (52), Morges (68), Echallens (68), Romont (72), Diablerets (50), Martigny (56), Sion (54). Es kam besonders im Broyetal zu größeren Hochwasserschäden.

M. Grütter.

Nr. 4

Ergebnisse der Registrierungen der Sonnenscheinautographen im Jahre 1944

U = Stationen mit Sonnenscheinautographen „Usteri"
N = Stationen mit Sonnenscheinautographen „Negretti & Zambra"
F = Stationen mit Sonnenscheinautographen „Fuess"

Monats- und Jahressummen der Sonnenscheindauer in Stunden

1944		Januar	Februar	März	April	Mai	Juni	Juli	August	September	Oktober	November	Dezember	Jahr
Zürich	N	58	40	92	167	215	185	188	256	133	92	41	36	1503
Säntis	U	124	109	79	107	142	83	107	182	126	100	48	119	1326
Hallau	U	54	47	95	169	209	162	198	245	128	78	37	60	1482
Wald	U	107	55	85	131	180	127	155	227	117	84	55	68	1391
Braunwald	F	108	68	65	156	179	127	132	213	125	85	59	74	1391
Unterägeri	U	89	40	82	151	187	142	172	233	116	83	55	37	1387
Luzern	N	78	23	98	170	216	152	189	232	115	89	51	36	1449
Jungfraujoch	N	134	106	127	169	228	173	184	201	134	87	69	110	1722
Beatenberg	U	124	50	81	133	180	107	154	180	117	71	56	55	1308
Bern	N	81	46	115	179	235	214	222	272	125	82	60	47	1678
Basel	N	71	40	104	156	229	178	207	234	115	57	28	58	1477
Allerheiligen	U	75	38	93	161	194	144	162	219	114	69	41	42	1352
Mont Soleil s. St. Imier	U	99	38	105	147	209	170	173	229	120	59	32	71	1452
La Chaux-de-Fonds	U	87	48	101	155	208	168	191	235	117	57	39	87	1493
Neuchâtel	U	45	43	148	191	250	229	234	263	126	75	45	27	1676
Genève	N	71	51	186	228	295	279	298	301	153	87	69	54	2072
Lausanne	N	79	81	182	208	274	240	259	285	134	85	68	68	1963
Montreux-Clarens	U	69	78	128	178	217	186	212	245	115	76	56	58	1618
Leysin	U	145	111	131	181	229	179	198	228	126	84	59	93	1764
Sitten	U	137	132	172	215	266	237	242	242	139	113	78	81	2054
Montana s. Sierre	U	159	127	183	210	267	231	241	260	145	123	83	106	2135
Wallenstadtberg	U	120	64	68	126	151	122	134	207	132	97	62	76	1359
Plantahof b. Landquart	U	91	81	83	150	201	164	178	221	138	93	54	72	1526
Arosa	N	129	100	100	156	196	162	171	200	133	105	78	112	1642
Davos-Platz	N	119	100	103	155	189	154	169	193	129	89	63	101	1564
St. Moritz	U	137	118	157	168	221	160	168	175	125	93	84	94	1700
Schuls	N	110	103	130	173	229	187	182	204	124	91	59	78	1670
Lugano	N	148	159	255	198	225	210	252	239	136	106	141	114	2183
Monte Brè	U	180	159	250	208	246	233	273	259	147	101	143	117	2317
Locarno-Monti	N	175	100	269	225	247	225	270	261	163	121	145	116	2377

1944 **Tägliche Dauer des Sonnenscheins in Stunden.**

Tag	Lugano	Genf	Montana s. Sierre	Chaux-de-Fonds	Bern	Luzern	Basel	Zürich	Davos	Säntis
Januar										
1	6.2	5.3	5.8	1.3	3.8	4.1	2.4	2.5	5.4	4.4
2	6.9	6.3	7.6	0.0	3.0	1.3	0.0	0.0	0.8	0.0
3	6.8	2.8	4.1	0.0	0.4	2.0	2.9	0.4	5.6	7.7
4	4.2	1.5	0.0	0.2	1.8	0.6	1.6	2.0	0.0	0.0
5	6.9	7.0	3.9	4.0	3.1	2.3	3.2	3.7	2.9	0.0
6	1.6	6.8	6.6	4.5	7.9	2.3	7.5	1.4	5.7	8.0
7	6.4	6.3	6.8	6.0	4.6	4.1	5.8	1.6	5.5	7.8
8	2.4	4.7	7.1	5.9	5.4	4.3	6.8	2.8	5.5	5.7
9	0.0	5.9	4.4	0.4	1.7	4.8	0.0	3.6	5.4	3.8
10	2.9	0.0	0.0	0.0	0.0	0.0	0.0	0.0	0.3	0.0
11	6.5	6.0	4.8	0.0	0.1	0.0	0.0	0.0	0.1	0.0
12	6.3	1.8	0.1	0.0	0.0	2.9	0.0	0.0	0.0	0.0
13	3.9	2.6	6.6	0.1	0.6	0.0	0.0	0.2	4.9	3.6
14	2.1	0.0	6.5	1.1	3.9	4.2	0.1	1.5	5.6	3.0
15	0.0	1.3	8.3	7.9	1.1	0.0	0.0	0.1	5.5	6.1
16	7.0	0.0	7.9	6.7	0.0	2.0	5.3	3.7	5.6	6.5
17	0.6	0.0	8.3	7.6	0.0	0.0	0.0	0.0	5.8	8.4
18	0.1	0.0	6.6	6.3	0.0	0.0	0.0	0.0	5.7	6.9
19	6.1	0.0	2.5	1.6	0.0	0.0	0.0	0.0	5.7	7.9
20	6.9	1.3	7.0	1.4	0.9	3.6	1.9	3.3	5.9	7.1
21	5.4	1.4	2.6	0.0	1.0	0.4	0.1	0.8	4.0	0.0
22	7.2	0.0	6.5	3.2	3.1	5.8	4.9	2.9	5.9	5.4
23	0.0	0.0	1.0	0.0	0.2	0.8	0.1	0.5	0.1	0.0
24	7.4	5.9	6.8	4.1	5.3	5.2	2.9	4.7	2.0	3.0
25	0.0	1.1	0.0	0.9	0.4	0.5	0.3	0.1	0.0	0.0
26	7.2	0.4	0.0	0.0	3.3	4.3	2.2	1.7	0.0	0.0
27	7.4	1.5	4.2	0.0	1.5	0.2	0.2	0.1	0.3	0.0
28	6.8	0.9	7.3	0.0	7.9	7.7	0.3	2.8	5.8	4.1
29	8.1	0.0	8.8	7.4	6.3	7.8	8.8	8.2	6.0	8.5
30	7.0	0.0	8.8	8.2	8.0	7.0	8.0	6.9	6.4	7.2
31	8.1	0.0	8.6	8.2	6.0	0.0	5.8	2.3	6.5	8.6
Mittel	4.8	2.3	5.1	2.8	2.6	2.5	2.3	1.9	3.8	4.0
Februar										
1	6.1	0.1	8.9	7.8	7.4	2.5	2.5	5.0	4.6	7.4
2	2.7	0.0	0.0	0.0	0.0	0.0	0.0	0.0	0.0	0.0
3	6.7	3.3	6.7	0.3	0.3	0.9	0.8	1.6	5.3	0.0
4	6.0	1.3	0.0	0.0	0.5	1.1	0.6	1.2	0.2	0.0
5	7.2	0.5	0.0	0.0	0.0	0.0	0.0	0.0	0.0	0.0
6	8.6	6.2	6.4	0.0	1.5	0.3	0.8	1.1	0.0	0.0
7	8.2	1.4	3.8	0.3	0.0	0.1	0.1	0.0	0.6	0.0
8	6.0	1.6	0.0	0.0	0.5	0.0	0.5	0.1	0.0	0.0
9	8.1	0.0	0.0	0.0	0.2	0.7	1.0	0.2	0.2	0.0
10	0.0	2.0	0.0	0.3	0.5	0.0	0.3	1.6	0.0	0.0
11	8.6	3.3	0.0	0.0	0.5	0.0	0.0	0.0	2.7	0.0
12	7.8	0.0	0.0	0.0	0.6	0.0	0.0	0.9	0.0	0.0
13	8.4	4.5	4.1	0.1	0.9	2.1	0.7	0.7	4.1	0.0
14	6.2	2.2	6.1	0.7	2.0	0.1	0.1	0.1	6.6	0.5
15	8.7	0.0	7.5	0.0	0.0	0.0	0.0	0.0	5.4	0.0
16	8.4	0.0	6.6	0.0	0.0	0.0	0.0	0.0	0.0	2.5
17	8.4	0.0	8.0	2.5	0.1	0.0	0.0	0.4	7.1	9.4
18	4.1	0.0	1.4	0.0	0.5	0.0	0.0	0.1	1.6	8.6
19	0.7	4.1	5.6	2.8	3.7	0.0	2.2	4.3	7.3	9.8
20	7.0	0.0	8.6	3.2	0.0	0.0	0.0	0.1	7.4	8.4
21	5.4	0.0	5.3	0.0	0.0	0.0	0.0	0.0	7.6	9.7
22	0.0	0.0	3.7	0.9	3.5	0.0	0.1	0.5	5.7	9.2
23	0.0	0.8	8.3	5.9	0.0	0.0	3.5	0.3	6.6	8.9
24	5.6	5.0	9.5	6.6	6.0	5.0	9.4	9.2	7.4	10.0
25	9.6	6.2	10.1	7.5	7.1	3.5	8.5	6.2	7.6	10.1
26	9.7	6.6	9.2	8.2	6.6	2.6	9.1	2.8	7.7	10.0
27	0.0	0.0	5.8	0.8	2.8	3.7	0.3	2.5	1.1	2.9
28	0.0	0.5	1.4	0.0	1.0	0.7	0.0	0.8	3.0	0.0
29	0.9	1.8	0.0	0.0	0.0	0.0	0.0	0.0	0.1	1.3
Mittel	5.5	1.8	4.4	1.7	1.6	0.8	1.4	1.4	3.4	3.7
März										
1	9.6	1.2	3.5	0.1	0.1	0.0	1.1	0.0	0.1	0.0
2	10.1	0.8	0.1	0.5	0.2	0.0	1.9	0.2	0.1	0.0
3	9.8	4.1	6.9	1.0	1.0	1.0	1.7	0.2	4.3	0.0
4	9.1	5.9	6.2	2.9	4.0	2.9	3.9	2.9	3.2	0.7
5	0.0	5.1	5.8	0.0	1.4	1.5	0.3	1.0	0.0	0.0
6	7.0	6.4	6.3	0.2	0.7	0.1	0.4	0.0	2.1	0.0
7	2.4	0.0	1.3	0.0	0.1	0.0	0.0	0.0	1.3	0.0
8	8.6	0.0	8.7	0.0	0.1	0.0	0.0	0.0	8.0	3.5
9	3.4	0.2	4.9	2.6	0.0	0.0	4.6	0.0	2.2	9.9
10	7.9	6.9	6.2	8.3	9.5	8.3	7.9	7.4	7.3	7.8
11	5.8	6.7	5.0	0.7	3.4	3.6	0.0	2.5	6.3	2.5
12	10.4	8.7	8.5	1.2	5.8	3.6	1.2	2.8	0.3	0.0
13	7.0	0.0	0.0	0.0	0.0	0.1	1.1	0.0	0.0	0.0
14	9.6	0.0	0.0	0.1	0.7	0.5	0.8	2.0	0.0	0.0
15	10.7	6.5	6.8	4.2	3.5	7.0	5.0	6.3	5.2	2.1
16	10.4	10.2	10.6	7.2	10.2	10.4	10.4	9.9	7.4	7.3
17	8.2	9.0	6.9	6.5	6.2	1.5	5.7	0.6	0.2	0.3
18	10.1	10.2	10.0	7.3	9.0	9.5	7.9	8.2	9.0	9.2
19	5.8	8.4	7.0	7.1	7.9	8.3	6.7	6.2	7.7	4.6
20	9.2	5.5	1.4	3.3	0.4	0.0	2.7	0.0	0.0	0.0
21	10.7	0.0	0.0	0.0	0.0	0.1	0.8	0.0	0.0	0.0
22	11.1	8.0	10.6	0.9	1.9	0.0	2.2	1.9	0.0	0.0
23	11.1	11.1	10.9	9.3	8.2	9.8	4.3	7.0	6.4	6.3
24	10.1	10.1	4.9	3.6	2.5	3.2	1.1	0.4	1.8	0.0
25	11.1	11.0	10.3	7.6	8.1	6.7	8.0	9.1	5.0	7.4
26	11.0	7.8	1.7	4.8	2.6	1.3	3.9	1.7	0.0	0.0
27	11.2	7.5	8.8	0.0	2.2	0.0	0.2	0.1	0.2	0.0
28	10.9	9.5	9.9	10.6	10.5	7.2	11.0	11.0	9.9	11.2
29	8.6	11.4	11.2	9.5	11.0	10.5	8.0	10.0	10.2	6.3
30	1.1	9.5	8.3	1.5	0.7	1.2	0.1	0.6	3.8	0.4
31	3.5	4.7	0.0	0.1	3.5	0.0	0.8	0.1	1.3	0.0
Mittel	8.2	6.0	5.9	3.3	3.7	3.2	3.3	3.0	3.3	2.6
April										
1	11.0	7.7	7.1	9.4	8.0	7.7	8.3	9.4	7.0	2.7
2	9.7	10.3	9.5	8.7	8.7	8.1	7.1	7.7	3.3	0.0
3	0.9	3.5	5.6	4.2	5.1	7.1	3.7	5.8	8.0	6.6
4	5.7	5.0	3.4	4.1	5.0	5.1	3.8	6.7	7.9	0.3
5	10.4	9.2	8.2	2.0	5.1	4.0	2.7	5.0	3.5	0.0
6	11.3	11.6	11.6	9.6	9.4	9.0	9.8	8.5	8.5	0.1
7	4.6	3.5	4.7	3.0	5.3	6.1	2.3	5.2	5.5	3.7
8	0.0	0.6	0.0	0.0	0.1	0.0	0.9	1.6	0.9	0.0
9	0.6	4.1	3.0	1.0	0.7	0.1	0.4	0.2	1.5	1.7
10	5.0	9.7	2.6	7.7	5.5	2.8	8.6	2.6	0.0	0.0
11	10.8	12.3	11.9	11.0	12.2	12.0	11.7	11.7	10.1	11.4
12	3.4	10.1	11.3	8.6	10.7	9.9	10.6	11.5	10.1	8.7
13	2.7	6.3	6.2	3.5	9.2	8.2	8.4	7.3	9.7	8.3
14	9.6	8.3	9.8	9.6	10.3	11.2	9.2	11.3	10.1	10.9
15	0.3	1.2	0.6	0.9	1.7	1.1	1.0	1.5	0.6	1.0
16	0.0	0.0	0.0	0.0	0.0	6.2	0.0	7.3	6.0	2.4
17	1.2	5.4	6.3	2.0	4.4	7.8	3.1	5.7	5.1	0.0
18	4.8	4.3	8.8	1.5	0.8	4.2	1.3	6.5	7.0	8.3
19	5.7	1.5	4.7	0.0	0.4	1.6	0.0	1.8	0.2	0.1
20	0.8	0.1	0.6	0.2	0.1	0.8	0.2	0.1	2.7	0.9
21	7.8	8.1	3.6	0.1	5.7	1.1	1.0	0.6	0.2	1.1
22	10.2	10.8	10.3	7.5	7.1	4.1	6.5	5.4	2.6	1.5
23	11.3	12.8	12.3	12.6	12.3	11.9	11.8	12.5	10.1	10.9
24	12.0	12.9	12.6	12.6	13.0	13.2	12.7	13.0	11.3	12.1
25	0.6	10.3	4.0	4.9	4.5	2.3	4.1	2.9	0.4	0.8
26	10.7	10.5	9.5	0.4	0.7	0.6	3.0	1.0	0.5	0.0
27	11.4	11.2	12.1	11.1	11.0	10.6	8.1	6.7	10.1	6.7
28	11.2	11.6	8.2	9.4	9.3	9.7	7.5	6.0	10.8	7.3
29	12.3	12.3	12.1	8.4	9.5	2.8	7.9	1.6	0.9	0.0
30	12.3	12.6	9.2	1.4	3.6	0.5	0.5	0.1	0.0	0.0
Mittel	6.6	7.6	7.0	5.2	6.0	5.7	5.2	5.6	5.2	3.6

Tägliche Dauer des Sonnenscheins in Stunden. 1944

Mai

Tag	Lugano	Genf	Montana s. Sierre	Chaux-de-Fonds	Bern	Luzern	Basel	Zürich	Davos	Säntis
1	11.9	12.7	9 7	10.4	7.0	7.0	8.8	5.3	2.5	0.7
2	10.8	12.0	11.3	9.5	9.9	9.9	8.1	9.4	10.1	5.3
3	11.8	12.4	11.0	11.1	9.7	10.5	10.8	9.5	11.5	9.9
4	11.5	10.8	8.8	4.6	4.4	4.8	3.0	5.8	7.1	0.0
5	0.0	3.4	2.5	2.2	5.3	5.5	2.4	4.8	3.3	0.0
6	0.0	1.5	0.5	2.6	0.0	0.0	3.6	0.0	0.0	0.0
7	0.0	0.0	0.0	1.0	0.0	0.0	2.6	0.0	0.0	0.0
8	5.2	13.2	8.1	13.4	13.3	11.4	13.4	13.8	3.9	3.3
9	9.4	11.7	12.5	13.5	12.4	12.5	13.9	12.7	10.6	12.2
10	1.1	6.3	2.8	3.1	2.8	3.2	1.8	4.7	6.7	4.0
11	7.2	12.7	7.5	9.4	6.0	4.6	2.9	4.4	1.3	0.7
12	8.6	13.0	12.4	12.2	13.1	11.0	12.9	12.8	10.1	9.0
13	12.3	12.2	13.1	9.2	12.6	12.2	12.2	13.6	8.2	5.5
14	5.6	3.5	0.8	1.9	1.0	0.8	0.7	0.4	5.0	1.8
15	7.8	8.9	8.0	0.0	0.0	0.0	0.0	0.0	6.2	0.7
16	0.6	4.4	4.9	0.0	0.0	0.0	0.1	0.0	0.4	0.0
17	1.9	12.9	6.2	0.0	2.1	0.0	1.9	0.0	0.1	0.0
18	10.7	10.9	10.9	11.6	9.4	5.3	11.1	6.6	7.5	0.4
19	0.1	0.2	0.5	0.0	0.6	5.1	0.7	3.1	3.1	4.1
20	0.0	7.9	9.4	6.6	7.4	9.8	7.7	9.6	5.7	8.8
21	0.4	4.2	6.5	0.9	2.7	0.7	0.0	0.1	0.8	0.0
22	7.8	2.7	5.3	1.5	2.6	0.0	0.6	0.4	0.3	0.0
23	12.5	13.5	12.0	6.3	12.7	7.5	10.4	2.8	2.8	1.6
24	9.0	13.2	13.0	6.5	11.7	8.6	10.7	9.8	9.2	0.9
25	12.2	12.5	12.8	12.6	12.3	12.9	11.7	12.5	11.4	10.2
26	12.5	13.2	11.5	12.3	13.3	6.4	7.9	3.4	3.4	0.0
27	12.9	13.9	13.6	0.0	14.2	14.4	14.5	14.5	10.7	12.7
28	7.9	13.2	13.5	14.0	13.0	13.8	13.7	14.1	12.1	13.7
29	7.9	11.7	13.4	13.8	14.2	14.3	14.6	14.3	11.4	13.7
30	12.7	12.6	13.3	10.6	11.5	13.6	14.3	13.9	12.1	12.6
31	12.6	13.7	11.0	7.6	9.5	10.3	12.2	12.8	11.6	10.4
Mittel	7.3	9.5	8.6	6.7	7.6	7.0	7.4	6.9	6.1	4.6

Juni

Tag	Lugano	Genf	Montana s. Sierre	Chaux-de-Fonds	Bern	Luzern	Basel	Zürich	Davos	Säntis
1	11.4	8.4	4.1	7.1	6.6	5.2	5.9	8.2	3.3	2.6
2	10.3	13.2	11.2	6.9	11.2	4.3	10.4	10.4	5.1	0.0
3	5.3	8.9	8.7	5.4	1.1	0.0	6.9	1.8	1.0	0.0
4	10.4	13.9	13.2	12.8	13.8	11.9	11.2	13.1	9.8	9.0
5	3.8	7.9	8.3	5.4	7.3	8.2	5.9	8.3	8.9	7.4
6	4.0	1.5	0.9	0.1	0.0	0.0	3.7	0.5	2.8	0.0
7	6.4	3.4	2.9	1.8	1.9	0.0	2.2	0.8	2.4	0.0
8	13.2	13.9	9.1	2.9	9.6	3.4	6.2	4.6	0.7	0.0
9	11.5	9.6	6.8	2.6	5.0	6.9	2.1	2.5	7.4	1.5
10	0.0	2.1	0.7	1.1	1.4	0.4	0.3	0.7	1.0	0.0
11	9.7	11.9	11.4	7.8	10.3	6.0	11.6	8.2	1.7	0.2
12	12.7	14.2	12.6	2.2	5.0	5.6	2.6	4.8	6.8	2.8
13	8.0	14.7	13.9	12.3	13.3	13.3	12.1	13.9	12.4	10.8
14	11.0	12.4	7.2	3.8	7.3	0.7	5.0	6.0	4.9	0.1
15	13.3	14.4	14.0	11.2	11.9	7.1	11.6	10.5	9.4	1.5
16	4.1	6.7	8.4	3.9	5.5	4.8	1.0	3.5	7.4	2.5
17	2.1	3.0	2.1	0.6	0.4	0.0	0.7	0.2	1.2	0.0
18	0.5	5.2	4.1	0.0	0.2	0.0	0.1	0.0	0.0	0.0
19	1.9	3.0	3.5	0.8	0.7	0.0	0.0	1.3	2.2	0.0
20	1.3	10.2	4.0	3.4	5.9	3.4	1.6	5.0	2.2	2.5
21	10.4	10.4	7.3	2.5	9.6	5.5	3.8	4.2	6.4	1.0
22	5.3	7.7	4.6	11.9	11.4	9.7	11.5	10.5	3.3	1.5
23	10.3	12.4	4.6	7.4	6.0	1.5	6.6	7.8	2.1	0.0
24	13.0	14.1	13.9	13.5	13.4	3.4	10.0	0.9	10.9	2.3
25	4.3	14.6	13.4	14.6	14.0	14.0	14.3	14.5	12.1	12.9
26	0.1	3.9	6.1	0.0	4.2	5.4	1.8	4.1	4.2	5.5
27	0.3	0.8	1.2	0.7	2.7	3.0	1.5	3.7	1.2	3.1
28	2.0	9.0	6.6	0.0	8.3	4.5	5.2	6.0	1.4	2.4
29	11.8	13.7	13.9	13.6	13.9	13.9	12.6	14.3	12.1	12.6
30	11.7	13.8	12.6	11.6	12.1	9.6	9.5	8.9	9.2	0.3
Mittel	7.0	9.3	7.7	5.6	7.1	5.1	5.9	6.2	5.1	2.7

Juli

Tag	Lugano	Genf	Montana s. Sierre	Chaux-de-Fonds	Bern	Luzern	Basel	Zürich	Davos	Säntis
1	11.6	14.0	10.3	6.0	7.1	5.9	4.6	4.0	6.6	1.1
2	8.2	9.6	10.2	8.0	11.6	12.4	13.3	11.2	7.1	2.8
3	2.7	2.0	3.1	2.3	5.0	6.1	2.3	5.4	6.6	4.8
4	0.3	2.8	0.0	0.3	0.0	0.0	0.1	0.0	0.0	0.0
5	13.0	13.2	8.0	7.1	7.1	3.5	8.3	1.8	1.7	0.1
6	13.1	14.6	13.9	14.3	14.8	14.4	14.8	14.5	12.1	14.0
7	10.8	13.5	12.0	10.5	11.0	12.0	10.6	11.9	11.9	11.3
8	4.1	4.5	4.6	2.3	3.2	5.7	4.8	6.5	7.3	7.3
9	1.2	0.0	0.0	0.0	0.0	0.1	1.7	0.7	1.8	2.1
10	12.1	6.3	4.3	3.7	3.7	3.1	5.1	2.0	5.8	0.0
11	9.2	4.7	3.4	0.9	2.3	0.0	0.1	1.0	3.8	0.0
12	13.2	13.1	8.4	0.2	4.0	2.6	1.1	2.2	1.4	0.0
13	12.8	14.3	12.2	10.9	13.5	9.4	8.0	7.5	12.1	5.9
14	8.5	12.0	7.7	6.0	10.8	8.3	9.7	10.9	5.3	7.5
15	8.2	13.8	13.5	9.9	11.0	10.4	12.1	12.0	7.9	2.6
16	6.2	13.1	6.9	6.1	6.1	1.8	6.9	1.2	0.6	0.0
17	12.8	13.9	12.5	13.7	13.7	11.9	14.0	8.3	1.3	0.0
18	5.1	12.2	12.0	13.8	13.7	13.3	14.0	14.0	11.7	12.2
19	10.2	10.9	7.1	12.7	12.0	10.0	13.2	12.2	8.5	1.0
20	8.9	12.3	13.1	9.9	13.7	13.0	13.2	13.0	8.3	8.4
21	0.0	3.1	1.9	0.1	1.0	0.3	0.3	0.2	0.9	0.2
22	8.2	4.2	4.3	1.5	2.2	2.0	0.0	0.1	0.0	0.0
23	1.3	4.6	1.6	0.1	1.3	0.0	0.0	0.2	0.0	0.0
24	9.4	12.4	9 4	4.2	6.7	1.9	4.4	4.1	6.7	0.0
25	10.6	13.0	13.3	10.7	12.7	13.1	11.8	13.5	11.8	13.2
26	11.4	12.8	13.3	12.7	13.1	12.4	12.4	12.2	11.6	10.8
27	7.8	9.6	7.2	6 2	5.2	4 5	6.1	4.2	5.1	0.0
28	0.8	8.5	7.7	3.7	1.2	2.4	2.3	3.5	5.4	0.8
29	6.1	12.4	5.6	5.6	6.2	4.4	5.4	1.9	2.3	0.9
30	3.7	4.6	5.9	5.9	5.9	2.0	5.5	6 9	1.5	0.0
31	11.3	11.2	7.3	2.0	3.6	1.9	0.8	0.9	1.6	0.0
Mittel	8.1	9.6	7.8	6.2	7.2	6.1	6.7	6.1	5.5	3.5

August

Tag	Lugano	Genf	Montana s. Sierre	Chaux-de-Fonds	Bern	Luzern	Basel	Zürich	Davos	Säntis
1	12.5	13.6	12.1	6.5	12.8	6.3	6.9	3.7	0.0	0.0
2	12.1	12.6	10.4	11.8	13.6	10.5	5.9	8.5	0.7	0.2
3	11.7	9.5	9.4	10.2	9.0	6.1	6.4	9.7	9.7	7.2
4	7.9	6.8	2.9	5.1	9.2	1.5	5.9	2.5	0.0	0.0
5	0.7	4.5	7.9	7.1	6.9	0.9	6.0	3.5	4.4	7.3
6	0.1	9.2	3.1	1.4	4.7	5.5	4.2	5.2	2.5	4.9
7	7.1	11.4	8.1	6.2	10.2	8.3	8.5	6.7	0.4	1.7
8	5.0	10.8	9.7	8.4	9.9	9.2	11.0	10.5	9.8	7.8
9	0.0	5.9	0.0	1.7	0.7	3.9	0.3	4.0	2.3	2.3
10	9.5	12.8	9.3	12.2	12.7	11.4	11.6	9.4	9.0	5.0
11	11.1	12.9	12.7	12.7	13.2	13.0	13.2	13.6	10.5	11.5
12	12.2	12.8	12.5	12.1	12.9	13.0	13.2	13.2	11.4	10.6
13	12.3	12.9	11.9	11.5	11.9	10.8	12.0	11.4	9.5	5.5
14	11.6	12.4	10.6	8.1	12.5	11.8	12.0	11.4	10.2	9.9
15	7.9	12.1	11.8	9.4	9.0	6.8	11.6	7.1	10.2	10.5
16	8.3	5.5	6.3	4.7	4.2	5.9	3.8	6.7	7.9	7.2
17	5.9	11.2	2.2	1.9	7.0	2.9	2.2	3.3	0.8	0.2
18	1.3	12.8	10.5	11.8	12.5	9.3	10.1	12.8	3.9	6.6
19	10.8	12.6	12.5	11.5	12.3	12.8	13.0	13.1	9.8	12.1
20	11.7	9.9	10.3	9.0	7.7	11.3	7.9	11.5	8.7	8.9
21	6.4	9.3	8.8	8.3	9.2	6.7	6.1	7.5	9.4	5.7
22	8.8	11.2	9.3	9.5	8.5	8.3	7.5	9.0	11.2	10.1
23	11.6	12.1	12.3	12.2	12.3	12.2	12.5	12.7	11.2	12.2
24	11.5	10.6	10.8	5.2	9.4	9.6	11.0	11.6	11.2	10.0
25	4.1	11.1	9.1	8.7	3.8	0.3	5.6	0.4	2.1	3.8
26	11.7	2.0	7 4	6.1	5.2	8.0	5.4	10.0	7.9	5.0
27	11.1	10.7	8.4	8.1	9.7	7.1	8.8	10.1	9 9	8.4
28	9.6	8.0	7.8	5.0	7.8	8.0	2.6	6.4	5.3	6.8
29	0.6	4.1	2 5	0.0	0.0	0.0	0.0	0.1	0.3	0.0
30	3.1	7.8	6.8	6.7	8.3	5.8	5.7	0.4	1.5	0.3
31	0.0	2.3	2.1	2.0	4.6	4.9	2.8	4.8	1.2	0.7
Mittel	7.7	9.7	8.4	7.6	8.8	7.5	7.5	8.3	6.2	5.9

1944

Tägliche Dauer des Sonnenscheins in Stunden.

September

Tag	Lugano	Genf	Montana s. Sierre	Chaux-de-Fonds	Bern	Luzern	Basel	Zürich	Davos	Säntis
1	2.9	0.4	1.2	0.4	0.4	0.0	0.4	0.3	1.8	0.0
2	1.1	0.0	0.7	0.6	0.2	1.7	1.1	1.8	3.1	2.8
3	11.9	9.7	7.5	2.7	3.7	1.6	0.9	3.0	1.7	0.0
4	0.0	12.3	11.7	11.5	12.1	12.0	11.0	12.3	10.2	12.0
5	8.8	5.6	4.3	8.5	8.2	8.5	10.9	9.5	9.4	8.9
6	0.7	11.7	11.2	6.3	11.6	11.9	9.8	12.1	5.2	11.4
7	0.0	3.5	1.7	2.9	0.7	4.0	1.8	3.8	5.8	4.0
8	6.5	7.8	6.4	2.6	8.2	4.5	3.8	5.2	4.3	0.2
9	9.5	7.9	11.0	5.6	6.8	6.7	5.0	8.4	7.7	7.8
10	0.1	0.1	0.0	0.3	0.0	0.4	0.9	0.3	0.0	0.0
11	3.1	4.8	4.9	9.7	0.1	0.0	9.4	4.8	0.2	9.1
12	9.9	6.2	10.3	9.7	8.8	2.8	10.4	7.0	8.8	9.1
13	0.0	0.0	1.8	1.3	0.1	1.9	5.2	5.7	9.3	7.9
14	4.5	2.9	0.6	0.3	1.5	0.6	0.5	0.0	0.2	0.0
15	2.5	9.0	5.8	5.2	8.8	9.7	6.8	7.6	3.3	2.8
16	0.5	5.2	5.3	4.0	8.0	7.9	3.1	8.5	2.4	2.1
17	1.5	0.0	0.0	0.0	0.1	0.2	0.0	1.2	4.7	2.5
18	0.0	0.0	0.8	0.0	0.1	0.4	0.0	1.4	5.1	6.9
19	7.9	6.0	9.4	4.2	4.8	5.4	6.6	7.9	9.8	8.7
20	0.0	4.8	0.0	0.4	0.0	0.0	0.0	0.0	0.0	0.8
21	9.5	7.0	9.1	10.2	7.0	5.4	3.2	4.4	1.8	0.0
22	9.0	9.6	10.1	8.5	6.0	7.6	8.2	6.3	9.7	10.2
23	0.0	0.4	0.0	0.1	0.0	0.0	0.0	0.0	1.3	0.0
24	0.4	4.5	7.7	1.8	4.6	4.7	0.5	5.3	4.4	3.6
25	11.0	4.5	4.5	0.4	1.7	1.9	0.1	0.2	2.4	0.0
26	9.9	1.1	0.2	0.0	0.0	0.0	0.0	0.0	0.0	0.0
27	2.8	2.0	0.1	0.0	0.7	1.5	0.0	0.7	4.7	1.7
28	1.6	6.1	1.3	2.7	0.9	0.1	2.1	0.1	0.0	0.0
29	10.3	9.9	9.6	9.3	10.0	5.4	6.6	8.0	3.1	2.3
30	10.4	9.9	7.9	8.0	10.1	8.6	6.5	7.4	8.7	10.7
Mittel	4.5	5.1	4.8	3.9	4.2	3.8	3.8	4.4	4.3	4.2

Oktober

Tag	Lugano	Genf	Montana s. Sierre	Chaux-de-Fonds	Bern	Luzern	Basel	Zürich	Davos	Säntis
1	10.3	4.5	4.7	0.1	5.0	5.3	0.4	4.7	9.4	6.6
2	3.2	5.9	0.3	1.8	1.9	0.0	2.5	0.1	0.0	0.0
3	9.4	9.8	8.1	9.2	6.6	6.6	8.2	7.4	5.5	3.4
4	4.5	5.0	9.4	0.1	5.4	6.3	0.1	6.8	7.1	8.1
5	0.0	0.0	0.5	0.0	0.0	0.0	0.0	0.5	1.1	2.6
6	0.0	0.5	2.8	0.1	0.0	0.1	0.0	0.4	0.2	0.5
7	0.9	3.3	4.8	4.7	3.4	8.0	0.4	7.3	7.7	6.7
8	3.7	4.6	6.7	7.8	6.1	3.8	4.3	7.1	1.7	4.0
9	0.0	0.0	0.7	0.0	0.0	0.0	0.0	0.0	0.7	0.0
10	0.0	0.0	0.4	0.9	2.1	0.0	0.7	0.6	1.5	1.1
11	9.6	9.0	2.7	2.8	4.1	1.9	1.6	2.5	0.1	0.8
12	7.6	0.0	7.8	0.6	5.6	9.2	5.7	8.0	7.6	7.4
13	0.0	0.0	1.6	0.0	0.0	0.0	0.0	1.6	1.5	3.3
14	2.8	2.0	4.7	1.6	1.9	6.7	1.9	5.3	1.3	3.8
15	6.8	1.6	6.2	0.0	4.6	7.6	5.3	7.7	6.6	7.8
16	0.0	0.0	0.1	0.0	0.0	0.3	0.0	0.0	1.6	1.9
17	3.8	8.2	5.4	5.3	6.6	6.5	6.5	6.3	1.0	0.1
18	1.5	0.6	1.2	0.7	0.4	1.9	0.2	1.4	1.3	0.4
19	8.9	1.8	2.6	0.7	3.7	4.0	0.5	0.6	1.4	0.0
20	9.3	7.5	8.4	8.4	7.0	9.2	7.8	8.5	6.1	6.9
21	0.0	0.0	2.9	1.9	3.5	3.7	1.3	3.6	0.5	0.6
22	0.0	1.0	6.3	0.1	0.1	0.0	0.8	0.0	0.3	6.7
23	0.9	1.1	0.4	0.0	0.3	0.0	0.0	0.0	0.3	0.3
24	0.0	0.0	2.3	0.0	1.0	0.0	0.1	1.4	2.3	1.1
25	2.4	0.0	4.6	0.0	0.0	0.0	0.4	0.1	7.0	7.3
26	6.4	1.1	9.5	0.0	0.0	0.0	0.0	0.0	7.2	10.1
27	7.8	0.1	1.3	0.0	0.0	0.0	0.0	0.0	0.0	0.0
28	0.8	5.3	6.4	2.3	5.8	2.5	3.1	2.2	0.0	0.0
29	0.2	3.7	0.6	1.9	0.1	1.5	0.7	1.9	1.7	3.1
30	0.4	1.6	0.9	0.0	1.1	0.1	0.1	1.2	2.2	4.6
31	4.7	8.4	8.6	5.6	5.6	3.7	4.7	5.1	3.7	0.8
Mittel	3.4	2.8	4.0	1.8	2.6	2.9	1.8	3.0	2.9	3.2

November

Tag										
1	0.0	0.0	0.4	0.0	0.5	0.0	0.8	0.4	0.0	0.0
2	0.0	0.0	0.6	0.0	0.0	0.0	0.0	0.2	0.0	0.1
3	2.0	1.1	0.1	0.4	0.0	0.0	0.1	0.0	0.0	0.0
4	8.6	8.2	8.5	5.0	7.1	5.9	4.2	4.6	6.8	0.6
5	8.7	8.2	9.0	1.3	8.2	8.2	0.9	8.3	6.8	8.4
6	6.5	1.8	4.6	2.1	3.2	5.3	1.6	3.2	5.0	1.7
7	7.0	0.0	0.0	0.0	0.0	0.0	0.0	0.0	0.0	0.0
8	6.9	0.0	0.0	0.0	0.0	0.0	0.0	0.0	0.0	0.0
9	7.9	1.6	0.0	0.6	2.4	2.0	1.2	2.4	0.0	0.0
10	5.8	0.0	0.5	0.0	0.0	0.1	0.0	0.0	0.0	0.0
11	7.9	1.2	0.0	0.0	1.0	0.1	0.2	0.8	0.0	0.0
12	6.3	4.4	5.4	2.4	2.3	3.1	0.3	2.4	5.0	0.0
13	0.0	0.0	0.0	0.0	0.0	0.0	0.0	0.0	0.0	0.0
14	0.5	0.0	0.0	0.0	0.0	0.2	0.0	0.0	3.0	0.0
15	6.4	1.4	2.8	5.4	2.2	2.8	0.9	1.6	0.4	0.0
16	7.7	4.1	2.8	0.0	2.0	2.5	0.3	0.2	0.9	0.0
17	7.0	3.9	2.3	2.0	2.6	0.2	3.4	0.2	4.7	1.1
18	7.4	8.0	8.7	5.8	6.1	7.1	4.8	6.0	4.4	4.9
19	2.8	4.9	5.2	2.9	4.8	5.7	2.9	6.5	5.0	6.6
20	0.0	2.1	1.1	1.8	1.8	1.4	0.8	0.6	1.0	0.4
21	4.0	1.6	0.1	0.0	0.6	0.1	0.6	0.1	0.0	0.0
22	0.0	0.0	0.0	0.0	0.0	0.0	0.0	0.0	0.0	0.0
23	3.0	0.3	0.0	0.0	0.0	0.0	0.1	0.0	0.0	0.0
24	4.2	0.0	0.0	0.0	0.1	0.4	0.2	0.6	2.4	0.0
25	0.0	0.0	0.6	0.0	0.0	0.0	0.0	0.0	1.4	0.0
26	5.2	6.5	6.7	1.4	5.6	1.9	0.2	0.6	4.8	2.3
27	6.8	7.0	8.3	3.3	6.2	0.0	2.6	0.4	5.9	8.4
28	7.1	3.1	8.0	4.5	3.0	4.1	2.3	2.1	5.8	8.9
29	4.4	0.1	0.2	0.0	0.0	0.0	0.0	0.0	0.0	0.0
30	7.0	0.0	7.3	0.0	0.0	0.0	0.0	0.1	0.1	4.8
31										
Mittel	4.7	2.3	2.8	1.3	2.0	1.7	0.9	1.4	2.1	1.6

Dezember

Tag										
1	6.9	6.9	7.8	6.0	3.6	0.0	2.9	0.0	5.7	8.4
2	3.7	1.7	3.1	2.0	1.3	2.1	0.5	2.9	4.4	3.2
3	6.7	4.7	3.8	0.0	0.1	0.0	0.8	0.1	0.5	0.0
4	2.0	0.0	0.0	0.0	0.0	0.0	0.0	0.1	0.0	0.0
5	5.6	2.8	2.8	0.0	3.3	1.6	2.5	1.1	0.3	0.0
6	0.1	0.3	0.0	0.0	0.1	0.8	0.1	1.0	3.9	0.0
7	2.1	0.0	0.0	0.0	0.4	0.7	0.0	1.3	1.8	1.2
8	0.0	0.6	0.4	0.0	0.0	0.0	0.0	0.0	0.0	0.0
9	5.4	2.6	0.0	0.5	3.4	3.8	1.7	2.3	2.7	0.0
10	6.9	6.0	6.1	5.1	5.8	3.9	1.7	4.9	5.6	0.8
11	0.0	0.0	0.0	0.0	0.0	0.0	0.0	0.0	0.0	0.0
12	3.4	3.9	0.5	0.2	1.9	2.0	0.4	0.6	4.3	0.0
13	6.4	1.9	1.0	0.0	0.0	0.0	0.0	0.0	0.2	0.0
14	6.8	0.4	7.9	3.9	0.2	0.0	0.0	0.0	5.4	8.0
15	0.8	0.0	2.1	0.6	0.4	2.5	1.5	3.7	2.2	2.9
16	1.3	2.1	0.0	2.4	1.1	0.9	3.3	0.0	0.0	1.4
17	0.0	2.4	6.6	5.4	6.5	6.7	6.3	5.5	5.4	8.0
18	0.0	0.0	0.0	0.0	0.0	0.3	0.0	0.6	5.5	5.5
19	0.0	0.5	0.0	2.8	1.1	0.0	1.7	0.0	3.7	3.2
20	0.0	0.0	5.5	5.4	0.0	0.0	0.0	0.0	4.9	6.4
21	0.0	0.0	0.2	0.0	0.0	0.0	0.0	0.0	0.0	2.4
22	5.2	0.5	0.0	3.7	0.1	0.0	3.4	0.2	4.7	8.2
23	0.0	0.0	7.7	5.3	0.1	0.0	0.9	0.0	5.3	7.9
24	4.6	4.9	3.6	5.7	4.3	0.2	2.9	3.0	2.7	4.5
25	6.7	0.0	7.9	6.2	0.0	0.0	3.5	0.0	5.3	8.1
26	6.7	0.0	7.9	7.3	0.0	0.0	5.4	0.0	5.4	8.2
27	6.8	1.3	7.9	7.3	2.9	0.2	6.8	2.2	5.4	8.3
28	6.8	2.7	7.9	7.1	5.0	3.2	6.6	0.0	5.4	8.4
29	6.8	1.8	7.9	5.0	0.1	2.8	3.7	3.4	5.3	5.9
30	6.7	5.7	7.8	5.4	5.6	4.0	0.5	3.1	5.3	8.0
31	5.9	0.0	0.0	0.0	0.1	0.1	0.4	0.1	0.0	0.0
Mittel	3.7	1.7	3.4	2.8	1.5	1.2	1.9	1.2	3.3	3.8

Nr. 5

Jahresbericht 1944 des Erdbebendienstes

der Schweizerischen Meteorologischen Zentralanstalt

von Dr. E. Wanner

Stationen:	**Zürich**	**Chur**	**Neuchâtel**	**Basel**	**Brig**
	Direktor: Dr. R. Billwiller *Bearbeiter:* Dr. E. Wanner	Prof. A. Kreis	Prof. Dr. E. Guyot	Prof. Dr. Th. Niethammer	Prof. Dr. Werlen

1. **Persönliches, statistische Bemerkungen und Besprechung einzelner Fälle.**
2. **Tabellarische Zusammenstellung der in der Schweiz im Jahre 1944 verspürten und auf den Erdbebenwarten registrierten Erdbeben.**

1. Persönliches, statistische Bemerkungen und Besprechung einzelner Fälle

Im Berichtsjahre wurden in unserem Lande nur 4 Erdbeben verspürt, dabei waren alle diese Erscheinungen nur von ganz lokaler Natur. Seit dem Jahre 1873 war die Anzahl der in unserem Lande verspürten Beben nie mehr so gering. Die Stöße verteilen sich auf die Tagesstunden wie folgt:

0—2 h	2—4 h	4—6 h	6—8 h	8—10 h	10—12 h	12—14 h	14—16 h	16—18 h	18—20 h	20—22 h	22—24 h
—	—	—	1	—	1	—	—	—	—	2	—

und auf die verschiedenen Monate:

Januar	Februar	März	April	Mai	Juni	Juli	August	September	Oktober	November	Dezember
—	—	—	1	—	1	1	—	—	1	—	—

Auf den schweizerischen Bebenwarten wurden im Jahre 1944 94 Nahebeben und 180 Fernbeben registriert. Die Konstanten der Instrumente waren:

Station 1944	Apparat	Maße in kg	Komponente	Vergrößerung für schnelle Schwingungen	Eigenperioden in Sek.	Dämpfung	Reibung in $^m/_m$	Registriergeschwindigkeit pro Minute	Mittlerer Zeitinterpolationsfehler in Sek
Zürich Juli 15.	U-S Q.-P.	20600	N–S	1400	2.8	3.6 : 1	0.2	ca. 90 $^m/_m$	± 0.1
			E–W	1400	2.8	3.6 : 1	0.6	90 $^m/_m$	± 0.1
			V	1600	0.9	2.0 : 1	0.6	90 $^m/_m$	± 0.1
	Mainka	450	N–S	130	8.0	3.3 : 1	1.5	25 $^m/_m$	± 0.5
			E–W	100	8.0	3.0 : 1	1.6	25 $^m/_m$	± 0.5
	Kreis	1050	V	140	7.0	2.3 : 1	1.0	30 $^m/_m$	± 0.5
Chur	U-S	13000	N 28° E	1210	2.7	2.5 : 1	1.2	60 $^m/_m$	± 0.1
			E 28° S	1350	2.7	2.0 : 1	1.5	60 $^m/_m$	± 0.1
			V	2100	1.7	1.9 : 1	1.7	60 $^m/_m$	± 0.1
Neuchâtel Nov. 24.	U-S	19000	N–S	1680	2.7	4.1 : 1	0.7	60 $^m/_m$	± 0.1
			E–W	1650	2.7	4.2 : 1	0.5	60 $^m/_m$	± 0.1
			V	2040	1.2	2.6 : 1	0.2	60 $^m/_m$	± 0.1
Basel	U-S	19750	N–S	2000	3.2	3.0 : 1	0.2	60 $^m/_m$	± 0.1
			E–W	2100	3.4	3.6 : 1	0.2	60 $^m/_m$	± 0.1
		19500	V	1930	3.5	4.4 : 1	0.3	60 $^m/_m$	± 0.1
Brig	Mainka	135	N–S	70	4.0	3.0 : 1	0.3	25 $^m/_m$	—
			E–W	70	4.0	3.0 : 1	0.3	25 $^m/_m$	—
	Wiechert	80	V	60	3.0	2.0 : 1	0.3	25 $^m/_m$	—

U-S Q.-P. = Universalseismograph Quervain-Picard.

2. Tabellarische Zusammenstellung der in der Schweiz verspürten und der an den Erdbebenstationen Zürich, Chur, Basel, Neuchâtel und Brig registrierten Erdbeben

Tabelle I. In der Schweiz verspürte Erdbeben 1944.

Z = Zürich. Ch = Chur. B = Basel. N = Neuchâtel Br = Brig (Vgl. auch Tafel)

Nr.	Datum	M.-E. Zeit 0—24h	Epizentralgebiet (gesperrt gedruckt) und erschütterte Gebiete	Grad Forel-Rossi	Grösste Ausdehnung	Zahl d. pos. Meldungen	Zahl d. neg. Meldungen	Registriert in	Bemerkungen über Charakter, Zahl der Stöße und Wirkungen
	1944	h m			km				
1	April 25.	7.06	Schwäbische Alb bei Balingen in der Schweiz vermutlich gespürt in Hallau Kanton Schaffhausen (vergleiche Tabelle II Nr. 28 und Karte 1)	II	—	1	—	Z, B, Ch, N	um zirka 7h von ruhender Person schwache Vibrationen wahrgenommen.
2	Juni 15.	20.05	Chavornay, Kanton Waadt Lokalbeben (vgl. Tabelle II Nr. 38 und Karte 2).	III	—	1	2	N, B, Z	schlagartiger schwacher Stoss.
3	Juli 19.	21.18	Sitten, Kanton Wallis, lokal (vgl. Tabelle II Nr. 48 und Karte 3).	IV	—	1	—	Z	zirka 3 Sekunden dauernde Vibrationen.
4	Okt. 13.	21.24	Rheintal, Kanton St. Gallen Lokalbeben verspürt in Heerbrugg IV, Widnau IV und in Dornbirn (Vorarlberg) III (vergleiche Tabelle II Nr. 74) und Karte 4.	IV	10	4	4	Ch, Z, B	schlagartiger Stoss mit Rollen.

Tabelle II. In der Schweiz 1944 registrierte Nahebeben.

Mittlere Zeit Greenwich;

Station	Meereshöhe	Lage	Untergrund
Erdbebenwarte Zürich (Z);	604 m;	Breite: 47° 22′ 7.2″ N; Länge: 8° 34′ 49.5″ E;	Molassesandstein u. Mergel, wechsellagernd.
Erdbebenwarte Chur (Ch);	630 m;	Breite: 46°50′59.5″ N; Länge: 9° 32′ 12.1″ E;	Bündnerschiefer der penninischen Decke.
Observatoire Neuchâtel (N);	487 m;	Breite: 46°59′50.6″ N; Länge: 6° 57′ 26.2″ E;	Gewachsener Kalkfels.
Erdbebenwarte Basel (B);	309 m;	Breite: 47°32′24″ N; Länge: 7° 34′ 58.5″ E;	Nagelfluhschichten.
Erdbebenwarte Brig (Br);	708 m;	Breite: 46°18′55″ N; Länge: 7° 59′ 44″ E;	Alluvium

Nr.	Datum	Station	Epizentralentfernung nach S–P	Max. Amplitude	Ungefähre Dauer der Registr.	Phasen, Bemerkungen Wo nichts weiteres bemerkt ist, beziehen sich die Ablesungen auf die Apparate Quervain-Piccard der Stationen Zürich, Chur, Neuchâtel und Basel.
	1944		km	μ	Min.	
1	Jan. 4.	N	760	—	5.0	ePn $12^h\ 49^m\ 2.8^s$ eSn $12^h\ 50^m\ 30.0^s$
		Z	750	1.0	5.0	ePn $12^h\ 49^m\ 9.2^s$ eS $12^h\ 51^m\ 9.2^s$
		B	—	—	5.0	e $12^h\ 50^m\ 4.6^s$ eS $12^h\ 50^m\ 54.0^s$
						Nach B.I. verspürt in den Hautes Pyrenées.
2	„ 4.	Z	32	2.5	0.5	iP $23^h\ 10^m\ 22.8^s$ iS $23^h\ 10^m\ 26.7^s$
		B	84	—	1.0	eP $23^h\ 10^m\ 35.9^s$ eS $23^h\ 10^m\ 47.0^s$
						Herd östlich von Winterthur; Herdtiefe zirka 10 km, nicht verspürt.
3	„ 5.	Z	86	2.0	1.5	eP $19^h\ 06^m\ 31.9^s$ i $19^h\ 06^m\ 33.0^s$ eS $19^h\ 06^m\ 44.3^s$
		B	123	—	1.0	eP $19^h\ 06^m\ 37.4^s$ eS $19^h\ 06^m\ 53.0^s$ Herdregion bei Balingen, schwäb. Alb.
4	„ 9.	Z	85	1.5	1.0	eP $05^h\ 26^m\ 12.3^s$ eS $05^h\ 26^m\ 23.1^s$ Nachstoss zu Nr. 3.
5	„ 9.	Z	—	0.5	0.5	S $18^h\ 05^m\ 47.2^s$ Nachstoss zu Nr. 3.
6	„ 11.	Ch	175	—	2.0	eP $11^h\ 01^m\ 57.3^s$ iP $11^h\ 02^m\ 03.0^s$ eS $11^h\ 02^m\ 19.4^s$
		Z	208	2.0	2.0	eP $11^h\ 02^m\ 07.7^s$ eS $11^h\ 02^m\ 33.3^s$
		B	340	—	2.0	eP? $11^h\ 02^m\ 12.9^s$ eS $11^h\ 02^m\ 57.0^s$
		N	315	—	3.0	eP? $11^h\ 02^m\ 29.1^s$ eS $11^h\ 03^m\ 08.0^s$ Herdregion Trentino Italien.
7	„ 11.	Ch	150	—	2.0	eP $16^h\ 48^m\ 11.7^s$ iS $16^h\ 48^m\ 30.0^s$
		Z	185	1.0	2.0	eP $16^h\ 48^m\ 22.7^s$ eS $16^h\ 48^m\ 45.8^s$ vermutlich Nachstoss zu Nr. 6.
8	„ 11.	Ch	165	—	2.0	eP $16^h\ 56^m\ 35.3^s$ eS $16^h\ 56^m\ 55.9^s$
		Z	220	1.5	2.0	eP $16^h\ 56^m\ 44.9^s$ eS $16^h\ 57^m\ 12.2^s$
		B	175?	—	2.0	eP? $16^h\ 57^m\ 02.0^s$ eS $16^h\ 57^m\ 24.0^s$ Nachstoss zu Nr. 6.
9	„ 11.	Ch	175	—	1.0	eP $17^h\ 22^m\ 22.8^s$ eS $17^h\ 22^m\ 45.0^s$
		Z	190?	0.5	1.0	eP? $17^h\ 22^m\ 34.3^s$ eS $17^h\ 22^m\ 58.8^s$
						Nach dem Seismogrammhabitus auch Nachstoss zu Nr. 6.
10	„ 21.	Z	90	1.0	1.0	eP $21^h\ 16^m\ 34.8^s$ eS $21^h\ 16^m\ 46.3^s$ vermutlich schwäbische Alb.
11	„ 25.	Z	—	0.5	2.0	$20^h\ 23^m\ 25.2^s$ schwache Spuren eines Nahebebens.
12	„ 28.	Z	—	0.5	2.0	eP? $05^h\ 15^m\ 42.7^s$ schwache Spuren eines Nahebebens.
13	Febr. 8.	Z	86	3.0	1.0	iP $12^h\ 34^m\ 31.7^s$ Dilat. iS $12^h\ 34^m\ 43.1^s$
		B	125	—	1.0	eP $12^h\ 34^m\ 36.3^s$ eS $12^h\ 34^m\ 52.0^s$
						Schwäbische Alb südöstlich von Ebingen
14	„ 11.	Z	360	2.5	2.0	ePn $06^h\ 33^m\ 33.5^s$ eS $06^h\ 34^m\ 28.1^s$
		B	480?	—	2.0	ePn? $06^h\ 33^m\ 41.8^s$ eS $06^h\ 34^m\ 56.0^s$
						Collmberg gibt iPn $06^h\ 33^m\ 53.0^s$ iS $06^h\ 35^m\ 19.0^s$ d = 520 km
						Nach diesen Daten Herdgebiet Karnische Alpen.
15	„ 25.	Z		5.0	0.3	iP $03^h\ 10^m\ 40.2^s$ eS? $03^h\ 10^m\ 42.1^s$ Emergenzwinkel zirka 80°.
		B	60		1.0	eP $03^h\ 10^m\ 56.2^s$ Min.-lücke. eS $03^h\ 11^m\ 01.0^s$
						Azimut von Zürich zirka 50°, Herddistanz 15 km, Herd NE von Zürich.
16	März 6.	Ch	134	1.5	2.0	eP $14^h\ 29^m\ 08.6^s$ eS $14^h\ 29^m\ 24.5^s$
		Z	160	—	2.0	iP $14^h\ 29^m\ 16.7^s$ eS $14^h\ 29^m\ 36.8^s$
17	„ 9.	N	130	—	1.0	eP $19^h\ 45^m\ 01.6^s$ eS $19^h\ 45^m\ 18.0^s$
		B	208	—	1.0	eP $19^h\ 45^m\ 05.8^s$ eS $19^h\ 45^m\ 32.0^s$
		Z	230	2.0	1.0	ePn $19^h\ 45^m\ 12.4^s$ eP $19^h\ 45^m\ 14.8^s$ eS $19^h\ 45^m\ 42.4^s$
						Haute Savoie; Gebiet von St. Gervais.

Bemerkung: Die Buchstabengruppen B. I. bzw. J. S. A. und U. S. C. G. S. sind gebräuchliche Abkürzungen für Bureau International, bzw. Jesuit Seismological Association und United States Coast and Geodetic Survey.

Tabelle II (Fortsetzung)

Nr.	Datum	Station	Epizentralentfernung nach S-P	Max. Amplitude	Ungefähre Dauer der Registr.	Phasen, Bemerkungen
	1944		km	μ	Min.	
18	März 15.	Ch	60?	—	1.0	ePn? $01^h\,31^m\,08.2^s$ $e\bar{P}$ $01^h\,31^m\,15.9^s$
		Z	440	1.5	2.0	ePn $01^h\,31^m\,16.3^s$ $e\bar{P}$ $01^h\,31^m\,27.5^s$ $e\bar{S}$ $01^h\,32^m\,24.2^s$
		B	520	—	2.0	ePn $01^h\,31^m\,24.1^s$ $e\bar{S}$ $01^h\,32^m\,46.0^s$
		N	490	—	2.0	ePn $01^h\,31^m\,31.8^s$ $e\bar{P}$? $01^h\,31^m\,50.0^s$ eSn $01^h\,32^m\,28.0^s$ Herdregion Ostalpen
19	„ 15.	Z	—	0.5	2.0	e $09^h\,09^m\,27.2^s$
		B	—	—	—	e $09^h\,09^m\,29.6^s$ Eventuell auch Registrierung eines Fernbebens
—	„ 15.	B	—	—	0.1	Detonationen um $21^h\,36^m\,14.5^s$ und $21^h\,47^m\,45.1^s$
20	„ 18.	Z	—	0.5	2.0	$e\bar{P}$? $13^h\,34^m\,03.1^s$ schwache Spuren von Nahebeben
21	„ 18.	Z	—	0.5	2.0	e $13^h\,45^m\,05.8^s$ schwache Spuren von Nahebeben
22	„ 21.	Ch	86?	—	1.0	$e\bar{P}$? $23^h\,28^m\,45.8^s$ $e\bar{S}$ $23^h\,28^m\,56.5^s$
		Z	210	1.0	1.5	$e\bar{P}$ $23^h\,28^m\,52.1^s$ $e\bar{S}$ $23^h\,29^m\,20.1^s$
		N	—	—	1.5	$e\bar{S}$ $23^h\,29^m\,26.0^s$
		B	—	—	2.0	e $23^h\,29^m\,12.0^s$ $e\bar{S}$ $23^h\,29^m\,27.0^s$
						Vermutlich Herdregion Trentino, überlagert von Beben Nr. 23.
23	„ 21.	Ch	156	—	1.0	$i\bar{P}$ $23^h\,29^m\,33.8^s$ $e\bar{S}$ $23^h\,29^m\,53.6^s$
		Z	210	1.5	2.0	$e\bar{P}$ $23^h\,29^m\,46.3^s$ $e\bar{S}$ $23^h\,30^m\,14.3^s$
		N	—	—	1.0	$e\bar{S}$ $23^h\,30^m\,26.0^s$
		B	—	—	1.0	$e\bar{S}$ $23^h\,30^m\,32.0^s$
						Nachstoss zu Nr. 22, Phasen nicht auf allen Stationen deutlich.
24	„ 22.	Ch	136	—	1.0	$e\bar{P}$ $02^h\,54^m\,09.0^s$ $e\bar{S}$ $02^h\,54^m\,26.2^s$
		Z	212	0.5	1.0	$e\bar{P}$ $02^h\,54^m\,21.2^s$ $e\bar{S}$ $02^h\,54^m\,49.3^s$ Nachstoss zu Nr. 22.
25	„ 29.	Z	273?	0.5	2.0	ePn $01^h\,01^m\,55.3^s$ $e\bar{S}$? $01^h\,02^m\,29.8^s$
		B	300	—	2.0	ePn $01^h\,02^m\,01.0^s$ $e\bar{S}$ $01^h\,02^m\,44.0^s$
		N	—	—	2.0	e_1 $01^h\,02^m\,32.3^s$ e_2 $01^h\,02^m\,56.0_s$
26	„ 30.	Z	23	10.0	0.5	$i\bar{P}$ $01^h\,45^m\,12.8^s$ $i\bar{S}$ $01^h\,45^m\,15.9^s$ Azimut SE. Emergenzwinkel $>70°$
		Ch	76	—	1.0	$i\bar{P}$ $01^h\,45^m\,21.7^s$ $i\bar{S}$ $01^h\,45^m\,31.7^s$ i? $01^h\,45^m\,28.6^s$
		B	86	—	1.0	$i\bar{P}$ $01^h\,45^m\,21.8^s$ $e\bar{S}$ $01^h\,45^m\,33.0^s$
		N	181	—	1.0	$i\bar{P}$ $01^h\,45^m\,28.6^s$ i $01^h\,45^m\,33.0^s$ $i\bar{S}$ $01^h\,45^m\,51.6^s$ Azimut 90°
						Nach den Daten von Zürich, unteres Zürichseegebiet, Gegend von Horgen nicht verspürt.
27	April 10.	Ch	5	—	5.0	$i\bar{P}$ $18^h\,37^m\,30.8^s$ $i\bar{S}$ $18^h\,37^m\,31.5^s$ Vertikalstoss, nicht verspürt.
28	„ 25.	Z	100	3.0	1.0	$i\bar{P}$ $06^h\,05^m\,42.7^s$ $e\bar{S}$ $06^h\,05^m\,55.6^s$
		B	127	—	2.0	$i\bar{P}$ $06^h\,05^m\,48.0^s$ $e\bar{S}$ $06^h\,06^m\,04.0^s$
		Ch	140	—	2.0	$e\bar{P}$ $06^h\,05^m\,54.0^s$ $e\bar{S}$ $06^h\,06^m\,11.7^s$
		N	193	—	2.0	$e\bar{P}$ $06^h\,05^m\,59.5^s$ Min.-Lücke $e\bar{S}$ $06^h\,06^m\,24.0^s$
						Schwäbische Alb. Balingen-Ebingen, in der Schweiz im Kt. Schaffhausen verspürt (vergleiche Tabelle I Nr. 1).
29	Mai 2.	Z	690	1.0	3.0	ePn $11^h\,52^m\,47.8^s$ $e\bar{S}$ $11^h\,54^m\,13.0^s$
		B	770	—	3.0	ePn $11^h\,54^m\,18.5^s$ $e\bar{S}$ $11^h\,55^m\,53.0^s$
30	„ 5.	Z	185	1.0	2.0	$e\bar{P}$ $13^h\,33^m\,26.8^s$ $e\bar{S}$ $13^h\,33^m\,50.4^s$
31	„ 9.	Z	102	0.5	1.0	$i\bar{P}$ $11^h\,04^m\,25.2^s$ $i\bar{S}$ $11^h\,04^m\,38.4^s$ Vermutlich schwäbische Alb.
32	„ 9.	N	124	0.5	1.0	$e\bar{P}$ $19^h\,19^m\,48.2^s$ i $19^h\,19^m\,50.0^s$ $e\bar{S}$ $19^h\,20^m\,04.0^s$
		B	165	—	1.0	$e\bar{P}$ $19^h\,19^m\,58.2^s$ $e\bar{S}$ $19^h\,20^m\,19.0^s$
		Z	166	—	1.0	$e\bar{P}$ $19^h\,19^m\,59.4^s$ $e\bar{S}$ $19^h\,20^m\,20.3^s$
						Walliser-Alpen SW von Zermatt; keine makroseismischen Meldungen
33	„ 21.	Ch	250	—	2.0	$i\bar{P}$ $21^h\,32^m\,23.8^s$ $e\bar{S}$ $21^h\,32^m\,55.3^s$
		Z	290	1.0	2.0	$e\bar{P}$ $21^h\,32^m\,45.9^s$ $e\bar{S}$ $21^h\,33^m\,22.5^s$
		B	—	—	2.0	e $21^h\,33^m\,13.1^s$ $e\bar{S}$ $21^h\,33^m\,40.0^s$
						Herdgebiet nicht näher bestimmbar, vermutlich Ostalpen.
34	„ 25.	Z	107	3.0	2.0	$e\bar{P}$ $16^h\,33^m\,30.5^s$ $e\bar{S}$ $16^h\,33^m\,44.3^s$
		B	130	—	2.0	$i\bar{P}$ $16^h\,33^m\,35.1^s$ $e\bar{S}$ $16^h\,33^m\,52.0^s$
		Ch	150	—	2.0	$e\bar{P}$ $16^h\,33^m\,39.9^s$ $e\bar{S}$ $16^h\,33^m\,59.0^s$
		N	—	—	1.0	$e\bar{P}$ $16^h\,33^m\,47.2^s$ Gebiet von Balingen-Ebingen. schwäbische Alb.
35	„ 27.	Z	560?	1.0	3.0	ePn? $23^h\,34^m\,04.2^s$ eS $23^h\,35^m\,31.2^s$
36	„ 29.	Z	95	2.0	1.0	$e\bar{P}$ $08^h\,51^m\,33.3^s$ $i\bar{S}$ $08^h\,51^m\,46.1^s$
		B	126	—	2.0	$e\bar{P}$ $08^h\,51^m\,38.7^s$ $i\bar{S}$ $08^h\,51^m\,55.0^s$
		Ch	152	—	2.0	ePn $08^h\,51^m\,43.8^s$ Dilat. $i\bar{P}$ $08^h\,51^m\,45.1^s$ Dilat. $i\bar{S}$ $08^h\,52^m\,02.9^s$ Nachstoss zu Nr. 34

Tabelle II (Fortsetzung)

Nr.	Datum	Station	Epizentral-entfernung nach S–P	Max. Amplitude	Ungefähre Dauer der Registr.	Phasen, Bemerkungen
	1944		km	μ	Min.	
37	Juni 11.	B	177	—	1.0	$e\bar{P}$ $23^h\,18^m\,33.4^s$ $e\bar{S}$ $23^h\,18^m\,55.5^s$
		Z	180	1.0	1.0	$e\bar{P}$ $23^h\,18^m\,37.3^s$ $e\bar{S}$ $23^h\,19^m\,00.0^s$
						Herd Walliser-Alpen im Gebiet des Grand Combin? Keine makroseismischen Meldungen!
38	„ 15.	N	49	—	0.5	$i\bar{P}$ $19^h\,05^m\,26.5^s$ $i\bar{S}$ $19^h\,05^m\,33.2^s$ Azimut 210°
		B	140	—	1.0	$i\bar{P}$ $19^h\,05^m\,39.4^s$ $e\bar{S}$ $19^h\,05^m\,57.0^s$
		Z	170	1.0	1.0	$i\bar{P}$ $19^h\,05^m\,48.2^s$ Dilat. $i\bar{S}$ $19^h\,06^m\,09.6^s$
						Herd bei Orbe, Kt. Waadt (vergleiche Tabelle I Nr. 2)
39	„ 18.	Ch	610	—	—	ePn $01^h\,58^m\,57.2^s$ $e\bar{S}$ $02^h\,00^m\,34.4^s$
		Z	—	0.5	—	ePn $01^h\,59^m\,03.7^s$ Dilat.
		B	400	—	3.0	ePn $01^h\,59^m\,09.6^s$ $e\bar{S}$ $02^h\,01^m\,00.0^s$
40	„ 27.	Z	30	15.0	1.0	$i\bar{P}$ $16^h\,17^m\,10.0^s$ $i\bar{S}$ $16^h\,17^m\,13.7^s$ Azimut 160° Emergenzwinkel 76°
		B	88	—	2.0	$e\bar{P}$ $16^h\,17^m\,18.5^s$ $i\bar{S}$ $16^h\,17^m\,30.0^s$
		Ch	75	—	2.0	$i\bar{P}$ $16^h\,17^m\,19.4^s$ $e\bar{S}$ $16^h\,18^m\,29.6^s$ Min.-Lücke
		N	150	—	2.0	iP $16^h\,17^m\,26.0^s$ $e\bar{P}$ $16^h\,17^m\,30.0^s$ $e\bar{S}$ $16^h\,17^m\,49.0^s$ Azimut 60°
						Nach den Daten von Zürich, Herdtiefe zirka 20 km, Herd unterhalb Horgen. Keine makroseismischen Nachrichten.
41	„ 29.	Z	70?	2.5	1.0	$e\bar{P}$ $20^h\,51^m\,09.7^s$ $i\bar{S}$ $20^h\,51^m\,18.9^s$ Keine makroseismischen Meldungen
42	„ 30.	Z	400	0.5	2.0	ePn $11^h\,39^m\,23.8^s$ $e\bar{S}$ $11^h\,39^m\,24.4^s$
43	Juli 4.	Z	370	0.5	2.0	ePn $12^h\,01^m\,32.3^s$ $e\bar{S}$ $12^h\,02^m\,27.5^s$
		B	—	—	2.0	$e\bar{S}$ $12^h\,02^m\,44.5^s$
44	„ 12.	Z	385?	0.5	2.0	ePn $05^h\,23^m\,43.7^s$ $e\bar{S}$? $05^h\,24^m\,41.6^s$
45	„ 17.	B	28	—	1.0	$e\bar{P}$ $08^h\,24^m\,42.1^s$ $e\bar{S}$ $08^h\,24^m\,45.0^s$
		Z	—	0.1	0.5	$e\bar{S}$ $08^h\,24^m\,45.0^s$ Schwache Spuren!
46	„ 18.	Z	—	0.6	—	e $09^h\,18^m\,54.5^s$ e $09^h\,24^m\,14.0^s$ e $09^h\,25^m\,33.3^s$
		Ch	28	—	1.0	$e\bar{P}$ $09^h\,24^m\,39.1^s$ $i\bar{S}$ $09^h\,24^m\,42.1^s$
						Registrierung von Zürich gestört, vermutl. durch Bombardierung von Friedrichshafen.
47	„ 18.	N	—	—	5.0	ePn $15^h\,20^m\,46.0^s$
		B	—	—	4.0	ePn $15^h\,20^m\,47.6^s$
		Z	—	0.5	4.0	ePn $15^h\,20^m\,57.6^s$ e $15^h\,23^m\,04.0^s$ Eventuell auch Vorläufer eines Fernbebens.
48	„ 19.	Z	160	1.0	1.0	$e\bar{P}$ $20^h\,18^m\,55.6^s$ $e\bar{S}$ $20^h\,19^m\,15.7^s$
						Gegend von Sitten, Wallis (vergleiche Tabelle I Nr. 3)
49	„ 21.	Ch	10.0	—	0.3	$i\bar{P}$ $04^h\,45^m\,18.9^s$ $i\bar{S}$ $04^h\,45^m\,20.1^s$ Lokal
		Z	-	0.1	0.5	$i\bar{S}$ $04^h\,45^m\,48.5^s$ Keine makroseismischen Meldungen!
50	Aug. 4.	N	275	1.0	2.0	ePn $19^h\,03^m\,51.5^s$ $e\bar{S}$ $19^h\,04^m\,31.0^s$
		Z	270	—	2.0	ePn $19^h\,04^m\,00.3^s$ $e\bar{S}$? $19^h\,04^m\,39.4^s$
		B	350	—	2.0	$e\bar{P}$ $19^h\,04^m\,12.6^s$ $e\bar{S}$ $19^h\,04^m\,57.0^s$
						Nach diesen Daten Herd nicht näher bestimmbar.
51	„ 17.	Z	93	1.0	0.5	$i\bar{P}$ $03^h\,39^m\,02.2^s$ $e\bar{S}$ $03^h\,39^m\,13.5^s$
		B	127	1.0	0.5	$e\bar{P}$ $03^h\,39^m\,06.1^s$ $e\bar{S}$ $03^h\,39^m\,22.0^s$ Südl. von Balingen, schwäbische Alb.
52	„ 17.	Z	100	1.5	2.0	$i\bar{P}$ $03^h\,57^m\,39.2^s$ $e\bar{S}$ $03^h\,57^m\,50.9^s$
		B	130	--	2.0	$e\bar{P}$ $03^h\,57^m\,43.8^s$ $e\bar{S}$ $03^h\,58^m\,00.0^s$ Nachstoss zu Nr. 51
53	„ 18.	N	220	—	2.0	ePn $21^h\,55^m\,17.5^s$ $e\bar{S}$ $21^h\,55^m\,47.0^s$
		B	270	—	2.0	ePn $21^h\,55^m\,22.2^s$ $e\bar{S}$ $21^h\,56^m\,00.0^s$
		Z	335	0.5	2.0	ePn $21^h\,55^m\,26.5^s$ $e\bar{P}$ $21^h\,55^m\,35.7^s$ $e\bar{S}$ $21^h\,56^m\,07.5^s$
						Nach diesen Daten Herdgebiet Westalpen, Dep. Isère, Frankreich.
54	„ 18.	N	220	—	2.0	ePn $22^h\,03^m\,11.6^s$ $e\bar{S}$ $22^h\,03^m\,42.0^s$ Nachstoss zu Nr. 53.
55	„ 18.	N	220	—	3.0	ePn $23^h\,01^m\,20.8^s$ $e\bar{S}$ $23^h\,01^m\,51.0^s$ Nachstoss zu Nr. 53. Schwache Spuren.
		Z	—	0.1	1.0	
56	„ 25.	N	100	—	1.0	$e\bar{P}$ $08^h\,20^m\,03.5^s$ $i\bar{S}$ $08^h\,20^m\,16.4^s$
		Z	157	1.0	1.0	$e\bar{P}$ $08^h\,20^m\,09.2^s$ $e\bar{S}$ $08^h\,20^m\,29.1^s$
		B	140	—	1.0	$e\bar{P}$ $08^h\,20^m\,10.0^s$ $e\bar{S}$ $08^h\,20^m\,28.0^s$
						Gebiet südlich von Sitten, Wallis. Keine makroseismischen Meldungen.
57	„ 25.	N	—	—	2.0	e_1 $16^h\,31^m\,40.9^s$ e_2 $16^h\,32^m\,03.0^s$
		B	—	—	2.0	e_1 $16^h\,31^m\,51.5^s$
		Z	—	0.5	2.0	e_1 $16^h\,32^m\,52.0^s$ Spuren eines Nahebens!

Tabelle II (Fortsetzung).

Nr.	Datum	Station	Epizentral-Entfernung nach S-P	Max. Amplitude	Ungefähre Dauer der Registr.	Phasen, Bemerkungen
	1944		km	μ	Min.	
58	Aug. 28.	Z	—	0.1	4.0	eS? 21h 01m 57.5s
59	„ 28.	B	—	—	2.0	e 23h 57m 59.3s eS? 23h 58m 53.0s
		N	—	—	2.0	e 23h 58m 01.6s
		Z	—	0.1	3.0	e 23h 58m 46.6s Vermutlich Spuren eines Nahebebens.
60	„ 29.	B	320?	—	4.0	ePn 08h 10m 19.7s eS? 08h 11m 07.0s
		N	260?	—	4.0	ePn 08h 10m 28.9s eS? 08h 11m 06.0s
		Z	—	0.5	5.0	Gestört durch Bogenwechsel.
61	„ 30.	B	—	—	1.0	e 15h 13m 02.9s eS? 15h 13m 04.0s Fraglich ob Bebenregistrierung.
62	Sept. 3.	Z	—	0.5	4.0	ePn? 23h 49m 36.7s
		B	270	—	2.0	ePn 23h 49m 42.1s eS 23h 50m 30.0s
		N	—	—	4.0	ePn 23h 50m 45.5s
63	„ 5.	Z	—	0.5	3.0	ePn 08h 31m 51.2s
		B	250	—	2.0	ePn 08h 32m 05.5s eS 08h 32m 40.0s
64	„ 16.	Z	—	0.1	2.0	e 01h 12m 59.0 Vermutlich Spuren eines Nahebebens!
65	„ 19.	B	190	—	3.0	eP 16h 38m 30.2s eS 16h 38m 55.0s
		N	240	—	3.0	ePn 16h 38m 33.2s eP 16h 38m 37.1s eS 16h 39m 06.0s
		Z	260	1.0	3.0	ePn 16h 38m 35.9s eP 16h 38m 42.3s eS 16h 39m 12.0s
						Vermutliches Herdgebiet Lothringen, östlich von Metz.
66	„ 27.	Z	—	1.0	3.0	ePn? 16h 09m 55.6s
		B	265	—	2.0	ePn 16h 10m 48.8s eS 16h 12m 26.0s
67	„ 27.	Z	—	1.0	3.0	e 17h 01m 33.7s
		B	—	—	3.0	e 17h 01m 40.3s
		N	—	—	3.0	e 17h 01m 43.2s
						Vermutl. Spuren eines Nahebebens, dem Fernbeben Nr. 131 überlagert, Phasen undeutlich.
68	Okt. 3.	Z	—	0.5	2.0	e 12h 32m 10.3s Spuren eines Nahebebens
69	„ 6.	Ch	—	—	2.0	e 07h 31m 44.0s
		Z	—	0.3	2.0	Gestört durch Bogenwechsel! Spuren eines Nahebebens.
70	„ 7.	Z	470	12.0	4.0	ePn 15h 37m 17.2s eS 15h 38m 13.0s
		B	520	—	5.0	ePn 15h 37m 25.7s e 15h 37m 53.0s eS 15h 38m 26.0s
		N	—	—	5.0	ePn 15h 37m 31.9s e 15h 38m 00.0s
		Ch	—	—	—	Keine Zeitmarken! Azimut zirka 60°, Ostalpen im Gebiet des Niedern-Tauern.
	„ 7.	Z	—	0.2	1.0	e 15h 44m 12.2s Evtl. im Zusammenhang mit den Sprengungen bei Kembs; siehe die folgenden Registrierungen!
	„ 7.	B	—	—	1.0	eP 15h 48m 42.5s
		Z	98	0.3	1.0	eP? 15h 48m 54.9s eS 15h 48m 07.2s Bombardierung des Staudammes von Kembs.
	„ 7.	B	—	—	1.0	eP 15h 59m 40.3s
		Z	90	0.2	1.0	eP 15h 59m 54.0s eS 16h 00.0m 05.1s Bombardierung von Kembs.
	„ 7.	B	—	—	2.0	eP 16h 05m 23.2s
		Z	90	0.2	1.0	eP? 16h 05m 36.8s eS 16h 05m 48.2s Bombardierung von Kembs.
	„ 7.	B	—	—	1.0	eP 16h 37m 01.8s
	„ 7.	B	—	—	2.0	eP 16h 39m 55.8s
		Z	93	0.6	1.0	eP 16h 40m 08.4s e 16h 40m 10.1s eS 16h 40m 20.2s
		N	95–105	—	1.0	eP 16h 40m 08.7s e 16h 40m 10.0s eS 16h 40m 22.0s Bombardierung von Kembs.
	„ 7.	B	—	—	2.0	eP 16h 47m 38.2s
		Z	101	0.2	1.0	eP 16h 47m 50.9s eS 16h 48m 03.6s Bombardierung von Kembs.
	„ 8.	B	—	—	1.0	eP 04h 45m 26.4s
		Z	96	0.1	1.0	eP? 04h 45m 38.2s eS 04h 45m 50.2s
						Diese Registrierung ist vermutlich auch im Zusammenhang mit der Bombardierung v. Kembs?
71	„ 10.	Z	495	1.0	4.0	ePn 18h 28m 58.0s eSn 18h 29m 56.0s
		B	—	—	4.0	eP? 18h 29m 27.5s e 18h 30m 55.0s
		N	—	—	—	Um 18h 28m schwache Spuren einer Registrierung
72	„ 13.	Z	350–380?	4.0	4.0	ePn? 03h 18m 17.0s eP 03h 18m 26.2s eS 03h 19m 09.6s
		N	—	—	4.0	ePn 03h 18m 21.9s
		B	320?	—	5.0	eP? 03h 18m 38.3s eS? 03h 19m 18.0s Herdregion Appennin südlich von Modena?
73	„ 13.	Z	410	7.0	4.0	ePn 03h 30m 26.8s eP? 03h 30m 51.4s eS 03h 31m 29.6s
		N	—	—	4.0	eP 03h 39m 45.8s
		B	430	—	4.0	eP? 03h 30m 46.7s e 03h 31m 23.0s eS 03h 31m 53.0s Nachstoss zu Nr. 72.

Tabelle II (Schluß)

Nr.	Datum	Station	Epizentralentfernung nach S–P	Max. Amplitude	Ungefähre Dauer der Registr.	Phasen, Bemerkungen
	1944		km	μ	Std.	
74	Okt. 13.	Ch	72	5.0	1.0	iP̄ 20h 23m 37.0s zirka, keine Zeitmarken, S̄-P = 09.5s, Azimut 57°
		Z	80	—	1.0	iP̄ 20h 23m 43.9s iS̄ 20h 23m 54.4s
		B	145	—	1.0	eP̄ 20h 23m 58.9s eS̄ 20h 24m 17.0s
						Gebiet von Dornbirn Vorarlberg, in der Schweiz verspürt (vergl. Tab. I Nr. 4).
75	„ 20.	Ch	550?	6.0	4.0	ePn 02h 09m 47.9s eS̄? 02h 11m 14.0s
		Z	600?	—	5.0	ePn 02h 09m 56.2s eS̄? 02h 11m 31.0s
		B	—	—	5.0	ePn 02h 10m 09.4s e 02h 12m 20.0s
		N	—	—	5.0	ePn 02h 10m 09.8s
76	„ 22.	Z	18	1.0	0.5	eP̄ 10h 09m 02.4s eS̄ 10h 09m 04.8s Keine makroseismischen Meldungen!
77	„ 25.	B	—	—	1.0	eP̄ 13h 05m 19.2s e 13h 05m 26.0s
78	„ 26.	Z	85	1.0	1.0	eP̄ 20h 44m 41.0s eS̄ 20h 44m 52.1s
		B	163	—	1.0	eP̄ 20h 44m 41.1s eS̄ 20h 45m 02.0s Keine makroseismischen Meldungen!
79	Nov. 3.	Ch	—	—	2.0	e 08h 16m 33.9s
		Z	—	2.0	2.0	e 08h 16m 40.2s Spuren eines Nahebebens!
80	„ 8.	Ch	240	—	3.0	eP̄ 12h 44m 25.3s iS̄ 12h 44m 55.3s
		Z	294	3.0	2.0	eP̄ 12h 44m 33.6s eS̄ 12h 45m 10.5s
		N	330	—	2.0	eP̄ 12h 44m 38.7s eS̄ 12h 45m 20.0s
		B	—	—	2.0	eP 12h 45m 03.4s e 12h 45m 31.0s
						Appennin, im Gebiet südlich von Parma, Italien.
81	„ 9.	N	76	—	3.0	eP̄? 00h 52m 57.1s Min.-Lücke iS̄ 00h 58m 07.0s
		B	206	—	3.0	eP̄ 00h 53m 04.2s eS̄ 00h 53m 30.0s
		Z	235	4.0	2.0	ePn? 00h 53m 07.7s eP̄ 00h 53m 16.3s eS̄ 00h 53m 39.7h
						Herdregion nach diesen Daten nicht näher bestimmbar, vermutlich Departement Haute Savoie, Frankreich.
82	„ 10.	Z	—	0.4	1.0	e 13h 28m 37.9s
		Ch	—	—	1.0	e 13h 28m 41.0s
						Schwache Registrierung eines Nahebebens!
83	„ 25.	Z	—	0.2	4.0	e 23h 56m 08.3s
		B	—	—	4.0	e 23h 58m 16.6s
						Spuren eines Nahebebens, Clermont Ferrand gibt um diese Zeit: ePn 23h 53m 07.0s iS̄ 23h 54m 49.0s d = 620 km.
84	„ 27.	N	240	—	—	ePn 05h 26m 46.9s eP̄ 05h 27m 49.8s eS̄ 05h 27m 17.0s
		B	288	5.0	3.0	ePn 05h 26m 54.8s eP̄ 05h 27m 00.0s eS̄ 05h 27m 36.0s
		Z	282	—	3.0	ePn 05h 26m 55.9s eP̄ 05h 27m 00.8s eS̄ 05h 27m 36.4s
						Westalpen, Gebiet von Susa-Modane, Clermont Ferrand gibt eP 05h 25m 03.0s
85	„ 27.	Z	280	1.5	2.0	ePn 05h 32m 20.4s eS̄? 05h 33m 10.5s
		B	—	—	2.0	e_1 05h 33m 13.1s e_2 05h 33m 43.0s
						Nach dem Seismogrammhabitus Nachstoss zu Nr. 84.
86	„ 27.	B	—	—	5.0	ePn 10h 12m 38.9s e 10h 14m 57.0s
		N	—	—	5.0	ePn 10h 12m 40.1s
		Z	—	4.0	5.0	ePn 10h 12m 47.0s Compr. e 10h 14m 25.5s
						Nach H. Jeffreys Explosion in Burton-on-Trent, England.
87	„ 30.	Z	65?	1.0	0.5	eP̄? 13h 01m 26.6s eS̄ 13h 01m 34.5s Vorbeben zu Nr. 88.
88	„ 30.	Z	88	2.0	1.0	eP̄ 13h 02m 55.5s e 13h 02m 56.4s iS̄ 13h 03m 06.8s Herd vermutl. schwäbische Alb!
89	Dez. 8.	N	—	—	2.0	e 13h 19m 15.5s
		Z	—	1.0	2.0	e 13h 19m 16.8s Vermutlich Spuren von Nahebeben!
90	„ 8.	N	—	—	1.0	e 14h 30m 56.3s Vermutlich Spuren von Nahebeben!
91	„ 14.	Z	215	0.5	2.0	eP̄ 13h 00m 13.5s eS̄ 13h 00m 40.6s
		B	—	—	1.0	e 13h 00m 49.6s
92	„ 24.	Ch	—	—	3.0	e 14h 57m 37.0s
		Z	—	0.5	2.0	e 14h 57m 40.6s Compr. Vermutlich Nahebeben!
93	„ 27.	Ch	—	—	4.0	ePn 23h 10m 51.4s
		Z	400–450?	5.0	4.0	ePn 23h 11m 00.4s eP̄ 23h 11m 15.0s eS̄? 23h 12m 09.0s
		B	460	—	4.0	eP̄ 23h 11m 10.5s eS̄ 23h 12m 08.0s Analyse unsicher!
94	„ 27.	Ch	—	—	3.0	ePn 23h 53m 30.2s
		Z	480?	4.0	3.0	ePn 23h 53m 37.6s eP̄? 23h 53m 52.5s eS̄? 23h 54m 53.0s
		B	490	—	3.0	eP̄ 23h 53m 46.6s eS̄ 23h 54m 48.0s Nachstoss zu Nr. 93.

Tabelle III. In der Schweiz 1944 registrierte Fernbeben.

Mittlere Zeit Greenwich.

Nr.	Datum	Station	Epizentral-entfernung nach S–P	Ungefähre Dauer der Registr.	Phasen, Bemerkungen (Wo nichts weiteres bemerkt ist, beziehen sich die Ablesungen auf die Apparate Quervain-Piccard.)
	1944		km	Std.	
1	Januar 2.	Z	—	0.2	eP $11^h\ 04^m\ 15.7^s$
		B	—	0.2	eP $11^h\ 04^m\ 23.7^s$
		N	—	0.2	eP $11^h\ 04^m\ 27.7^s$
2	„ 5.	Z	—	0 1	e $05^h\ 09^m\ 00.0^s$
		B	—	0.1	e $05^h\ 09^m\ 21.1^s$
		N	—	0.1	e $05^h\ 09^m\ 25.1^s$
3	„ 5.	Z	1900	0.2	eP $07^h\ 48^m\ 13.9^s$ Compr. eS $07^h\ 51^m\ 30.7^s$ Az. 130°
		B	1850	0.2	eP $07^h\ 48^m\ 21.8^s$ eS $07^h\ 50^m\ 36.0^s$
		N	2060	0.2	eP $07^h\ 48^m\ 23.3^s$ eS $07^h\ 50^m\ 54.0^s$
					Herd im Gebiet NE von Kreta. B. I gibt 36° N 29° E 0 = $07^h\ 43.9^m$
4	„ 5.	Z	11000	0.4	eP $21^h\ 25^m\ 59.4^s$ epP $21^h\ 25^m\ 16.3^s$ eSKS $21^h\ 36^m\ 30.5^s$
		N	—	0.3	eP $21^h\ 26^m\ 03.1^s$
		B	9950	0.4	eP $21^h\ 26^m\ 03.9^s$ eS $21^h\ 36^m\ 56.0^s$
					Herd etwas tiefer als normal; Gebiet der Philippinen?
5	„ 10.	B	10050	1.0	eP $20^h\ 22^m\ 50.8^s$ ePP $20^h\ 26^m\ 22.0^s$ eS $20^h\ 33^m\ 52.0^s$
		N	9900	0.5	eP $20^h\ 22^m\ 51.3^s$ ePP $20^h\ 26^m\ 20.0^s$
		Z	10100	1.0	eP $20^h\ 22^m\ 54.0^s$ Dilat. ePP $20^h\ 26^m\ 27.4^s$
		Ch	10550	1.0	eP $20^h\ 22^m\ 59.9^s$ Compr. ePP $20^h\ 26^m\ 33.2^s$ Dilat. eS $20^h\ 34^m\ 17.0^s$
					Azimut 290°; Pazifische Küste von Mexiko zirka 18° N 104° W.
6	„ 12.	Z	—	0.3	eP $20^h\ 46^m\ 07.7^s$ ePP? $20^h\ 49^m\ 49.8^s$
		Ch	—	0.3	eP $20^h\ 46^m\ 27.6^s$ ePP? $20^h\ 50^m\ 05.0^s$ eL $21^h\ 04^m\ 17.0^s$
					nach Pasadena Nachstoß zu Nr. 5.
7	„ 16.	N	11660	1.0	eP $00^h\ 03^m\ 30.1^s$ ePP $00^h\ 07^m\ 42.0^s$
		B	11300	1.0	eP $00^h\ 03^m\ 33.5^s$ ePP $00^h\ 07^m\ 35.0^s$
		Z	11550	1.3	eP $00^h\ 03^m\ 32.7^s$ ePP $00^h\ 07^m\ 41.1^s$ eSKS? $00^h\ 14^m\ 12.4^s$
		Ch	11–12000	1.5	eP $00^h\ 03^m\ 36.2^s$ e $00^h\ 05^m\ 56.0^s$ eSKS $00^h\ 14^m\ 13.0^s$
					nach der Presse große Verwüstungen in St. Juan (Argentinien), zirka 5000 Opfer, 10 000 Verwundete und 70 000 Obdachlose, Herd nach U. S. C. G. S. 31.5° S 68.0° W; (Distanz von Zürich 11 650 km).
8	„ 18.	Ch	—	0.1	e $23^h\ 18^m\ 58.4^s$
9	„ 20.	B	—	0.1	e $00^h\ 03^m\ 07.6^s$
		Z	—	0.1	e $00^h\ 03^m\ 31.6^s$
					evtl. auch Nahebeben!
10	„ 20.	B	—	0.1	eP $03^h\ 18^m\ 49.6^s$
		Z	—	0.1	eP $03^h\ 18^m\ 50.2^s$
		N	—	0.1	eP $03^h\ 18^m\ 52.2^s$
11	Febr. 1.	Ch	2110	1.0	eP $03^h\ 26^m\ 44.3^s$ iS $03^h\ 30^m\ 19.0^s$
		Z	2150	1.0	eP $03^h\ 26^m\ 50.3^s$ Dilat. eS $03^h\ 30^m\ 26.7^s$
		B	2330	1.0	eP $03^h\ 26^m\ 58.3^s$ eS $03^h\ 30^m\ 50.0^s$ Azimut 100°
		N	2240	1.0	eP $03^h\ 27^m\ 03.3^s$ eS $03^h\ 30^m\ 51.0^s$ Azimut 90°
					zirka 41° N 32° E, nach der Presse starke Zerstörungen in Gerede, Anatolien, zirka 100 Tote; fast die ganze Stadt zerstört.
12	„ 1.	Ch	—	0.2	eP $05^h\ 28^m\ 32.4^s$
		B	—	0.2	eP $05^h\ 28^m\ 32.6^s$
		Z	—	0.2	eP $05^h\ 28^m\ 33.0^s$
		N	—	0.2	eP $05^h\ 28^m\ 35.5^s$
					Beben Nr. 11 überlagert.
13	„ 1.	Ch	—	0.1	eP $06^h\ 12^m\ 49.0^s$
		Z	—	0.1	eP $06^h\ 12^m\ 57.5^s$
		B	—	0.1	eP $06^h\ 13^m\ 03.3^s$
		N	—	0.1	eP $06^h\ 13^m\ 08.3^s$
					Nachstoß zu Nr. 11.
14	„ 1.	Z	—	0.2	eP $07^h\ 45^m\ 08.4^s$
		B	—	0.2	eP $07^h\ 45^m\ 16.3^s$
					Nachstoß zu Nr. 11.
15	„ 1.	Ch	1800	0.1	eP $21^h\ 28^m\ 44.0^s$ eS $21^h\ 31^m\ 54.0^s$
		Z	—	0.1	eP $21^h\ 28^m\ 48.0^s$ e $21^h\ 34^m\ 20.7^s$
		B	2450	0.1	eP $21^h\ 28^m\ 55.3^s$ eS $21^h\ 47^m\ 57.0^s$
		N	—	0.1	eP $21^h\ 28^m\ 56.5^s$
					Nachstoß zu Nr. 11

Tabelle III (Fortsetzung)

Nr.	Datum	Station	Epizentral-entfernung nach S–P	Ungefähre Dauer der Registr.	Phasen, Bemerkungen
	1944		km	Min.	
16	Febr. 2.	Ch	1950	0.5	eP 03h 37m 08.7s eS 03h 40m 28.0s
		Z	1900?	0.5	eP 03h 37m 19.0s Dilat. eS? 03h 40m 36.9s
		B	2110	0.5	eP 03h 37m 28.0s eS 03h 41m 00.0s eL 03h 43m 55.0s
		N	2150	0.5	eP 03h 37m 30.5s eS? 03h 41m 07.0s
					Nachstoß zu Nr. 11.
17	„ 3.	B	—	0.1	eP 12h 26m 08.5s
		Z	—	0.1	eP 12h 26m 09.2s
		Ch	—	0.1	eP 12h 26m 10.0s e 12h 26m 15.0s
		N	—	0.1	eP 12h 26m 10.7s
					U. S. C. G. S. gibt 59.3° N 138° W, 0 = 12h 15m 12.0s.
18	„ 3.	Ch	—	0.2	eP 21h 01m 42.3s
		Z	—	0.2	eP 21h 01m 49.8s
					Nachstoß zu Nr. 11.
19	„ 4.	B	—	0.1	eP 21h 18m 23.2s Compr.
		Z	—	0.1	eP 21h 18m 23.4s
		Ch	—	0.1	eP 21h 18m 24.7s
		N	—	0.1	eP 21h 18m 27.3s
20	„ 5.	Z	—	0.6	eP 17h 32m 50.5s ePP? 17h 36m 10.0s Registrierung gestört durch Konstantenbestimmung.
		Ch	9800	0.7	eP 17h 32m 56.6s eS 17h 43m 43.0s
		B	10890	1.0	eP 17h 33m 00.3s ePP? 17h 36m 24.0s eS? 17h 44m 29.0s
		N	—	1.0	eP 17h 33m 00.4s
21	„ 7.	Ch	—	0.1	e 20h 01m 21.7s
		Z	—	0.1	e 20h 01m 25.8s
22	„ 10.	Ch	1900	0.2	eP 12h 09m 29.7s eS 12h 12m 47.0s
		Z	—	0.2	eP 12h 09m 34.9s e 12h 09m 40.9s
		B	2050	0.2	eP 12h 09m 46.3s eS? 12h 13m 16.0s e 12h 15m 49.0s
		N	—	0.2	eP 12h 09m 48.7s
					nach der Presse größere Zerstörungen in Anatolien.
23	„ 15.	Z	—	0.1	eP 03h 25m 06.8s Compr.
		B	—	0.1	eP 03h 25m 17.5s
24	„ 15.	B	—	0.1	eP 05h 45m 02.2s
		Z	—	0.1	eP 05h 45m 05.7s
25	„ 16.	B	—	0.1	eP 11h 23m 16.5s
		Z	—	0.1	eP 11h 23m 17.4s
		N	—	0.1	eP 11h 23m 19.2s
26	„ 18.	Z	—	0.1	eP 19h 30m 35.7s
		B	—	0.1	eP 19h 30m 38.3s
					evtl. auch Spuren eines Nahebebens?
27	„ 19.	B	2640	0.1	eP 11h 41m 09.2s eS 11h 45m 27.0s
		Z	—	0.1	eP 11h 41m 14.1s Dilat.
28	„ 20.	B	—	0.1	eP 19h 37m 18.4s
		Z	—	0.1	eP 19h 37m 20.5s
29	„ 21.	Z	—	0.1	eP 14h 23m 27.8s Compr.
30	„ 21.	B	2800	0.1	eP 15h 31m 46.5s eS 15h 36m 17.0s
		Z	—	0.1	eP 15h 31m 51.2s Dilat.
31	„ 21.	Z	—	0.1	e 17h 39m 04.8s
32	„ 23.	Z	—	0.1	eP 12h 37m 15.1s
33	„ 29.	B	9500	0.3	eP 03h 54m 49.6s eSKS 04h 04m 57.0s
		Z	9900	0.3	eP 03h 54m 52.6s Dilat. epP 03h 55m 40.0s ePP 03h 58m 30.s eSKS 04h 05m 09.8s
		Ch	9850	0.3	eP 03h 54m 54.5s ePP 03h 58m 43.0s eS 04h 05m 11.0s
					Tiefherdbeben h = 200 km, Südamerika nach U. S. C. G. S. 13.7° S 70.6° W, 0 = 03h 42m 00.0s.
34	„ 29.	Ch	8000	1.0	eP 16h 39m 38.6s eS 16h 49m 02.0s
		Z	8050	1.0	iP 16h 39m 44.2s Compr. ePP 16h 42m 28.9s ePPP 16h 44m 18.7s eS 16h 49m 12.2s Az. 110°
		B	8110	1.0	eP 16h 39m 47.6s Compr. e 16h 40m 00.0s ePP 16h 42m 37.0s eS 16h 49m 19.0s
		N	8150	1.0	iP 16h 39m 48.9s eS 16h 49m 23.0s Azimut 120°
					Indischer Ozean SW von Ceylon, zirka 0.0° N 74° E.
35	März 6.	Z	—	0.1	eP 18h 41m 09.2s
		B	—	0.1	eP 18h 41m 11.2s e 18h 41m 25.0s

Tabelle III (Fortsetzung)

Nr.	Datum	Station	Epizentral-entfernung nach S–P	Ungefähre Dauer der Registr.	Phasen, Bemerkungen
	1944		km	Std.	
36	März 9.	N	—	0.1	e $16^h\ 17^m\ 04.7^s$
37	„ 9.	Ch	5540	0.5	eP $22^h\ 12^m\ 42.9^s$ eS $22^h\ 19^m\ 57.7^s$
		Z	—	0.5	eP $22^h\ 12^m\ 45.0^s$
		B	5670	0.5	eP $22^h\ 12^m\ 49.8^s$ eS $22^h\ 20^m\ 13.0^s$
		N	—	0.5	eP $22^h\ 12^m\ 53.7^s$
					überlagert von Beben Nr. 38, vermutlich Vorbeben!
38	„ 9.	Ch	5530	1.0	eP $22^h\ 21^m\ 57.1^s$ iP $22^h\ 21^m\ 58.1^s$ iS $22^h\ 29^m\ 12.3^s$ Azimut 55°
		Z	5550	1.0	eP $22^h\ 22^m\ 01.2^s$ Compr. eS $22^h\ 29^m\ 13.0^s$ Azimut 45°
		B	5620	1.0	eP $22^h\ 22^m\ 05.0^s$ eS $22^h\ 29^m\ 25.0^s$ e $22^h\ 40^m\ 25.0^s$ e $22^h\ 41^m\ 0{,}3.0^s$
		N	5700	1.0	eP $22^h\ 22^m\ 07.9^s$ eS $22^h\ 29^m\ 34.0^s$
					Sibirien, Altai-Gebirge, vgl. auch Nr. 37.
39	„ 10.	Z	—	0.2	eP $06^h\ 52^m\ 20.9^s$
		Ch	—	0.1	eP $06^h\ 52^m\ 24.4^s$ eL $07^h\ 25^m\ 40.0^s$
		B	—	0.1	eP $06^h\ 52^m\ 24.6^s$
		N	—	0.1	eP $06^h\ 52^m\ 27.5^s$
40	„ 15.	Ch	1900?	0.2	eP $00^h\ 02^m\ 13.8^s$ eS $00^h\ 05^m\ 29.6^s$
		B	2490?	0.2	eP $00^h\ 02^m\ 30.6^s$ eS $00^h\ 06^m\ 35.6^s$
		Z	2160?	0.2	eP $00^h\ 02^m\ 31.7^s$ eS $00^h\ 06^m\ 09.5^s$
		N	—	0.2	e $00^h\ 06^m\ 16.7^s$
41	„ 15.	Ch	—	0.5	eP $05^h\ 12^m\ 15.8^s$
		Z	—	0.5	eP $05^h\ 12^m\ 19.1^s$
		B	—	0.5	eP $05^h\ 12^m\ 25.1^s$ e $05^h\ 23^m\ 05.0^s$
		N	—	0.5	eP $05^h\ 12^m\ 29.1^s$
42	„ 15.	Ch	—	0.1	e $06^h\ 25^m\ 44.0^s$
		Z	—	0.1	e $06^h\ 25^m\ 51.2^s$
43	„ 15.	Z	—	0.1	eP $09^h\ 09^m\ 27.2^s$
		B	—	0.1	eP $09^h\ 09^m\ 29.6^s$
44	„ 16.	Z	—	0.1	eP $12^h\ 47^m\ 50.7^s$
		Ch	—	0.1	eP $12^h\ 47^m\ 53.0^s$
45	„ 21.	Z		0.1	eP $22^h\ 22^m\ 16.0^s$ Compr.
		Ch	—	0.1	eP $22^h\ 22^m\ 17.1^s$
		B	—	0.1	eP $22^h\ 22^m\ 17.9^s$
		N	—	0.1	eP $22^h\ 22^m\ 21.8^s$
46	„ 22.	Ch	—	0.3	eP $01^h\ 00^m\ 50.2^s$ e $01^h\ 07^m\ 56.0^s$
		N	—	0.3	eP $01^h\ 01^m\ 14.3^s$
		Z	—	0.4	eP $01^h\ 01^m\ 21.4^s$
		B	—	0.3	eP $01^h\ 01^m\ 41.7^s$ e $01^h\ 10^m\ 06.0^s$
					nach U. S. C. G. S. 7° S 126° E, $0 = 00^h\ 43^m\ 00.0^s$.
47	„ 24.	B	2440	0.1	eP $21^h\ 41^m\ 24.4^s$ eS $21^h\ 45^m\ 29.0^s$
48	„ 24.	Z	—	0.1	eP $22^h\ 17^m\ 11.0^s$ Compr.
		Ch	—	0.1	eP $22^h\ 17^m\ 11.3^s$
		B	—	0.1	eP $22^h\ 17^m\ 11.8^s$
		N	—	0.1	eP $22^h\ 17^m\ 13.7^s$
49	„ 27.	Z	1560	0.2	eP $20^h\ 40^m\ 19.8^s$ eS $20^h\ 43^m\ 07.4^s$
50	„ 31.	B	—	0.1	e $03^h\ 10^m\ 18.3^s$ e $03^h\ 11^m\ 33.0^s$
		Ch	—	0.1	e $03^h\ 10^m\ 19.7^s$
		N	—	0.1	e $03^h\ 10^m\ 21.5^s$
		Z	—	0.1	e $03^h\ 10^m\ 21.6^s$
					vermutlich Vorläufer eines Tiefherdbebens!
51	April 1.	Z	—	0.1	e $03^h\ 58^m\ 11.3^s$
52	„ 1.	Z	—	0.2	eP $11^h\ 24^m\ 46.4^s$ Dilat.
53	„ 1.	Z	—	0.1	e $15^h\ 58^m\ 11.2^s$
54	„ 4.	N	—	0.1	e $12^h\ 19^m\ 46.4^s$
		Z	—	0.1	e $12^h\ 21^m\ 17.5^s$
55	„ 4.	Z	—	0.2	eP $23^h\ 09^m\ 23.5^s$ Compr.
		B	—	0.2	eP $23^h\ 09^m\ 29.6^s$
		N	—	0.2	eP $23^h\ 09^m\ 31.4^s$
56	„ 5.	Ch	1800	0.4	eP $04^h\ 44^m\ 36.1^s$ eS $04^h\ 47^m\ 52.0^s$
		Z	1980	0.5	eP $04^h\ 44^m\ 44.8^s$ Dilat. eS $04^h\ 48^m\ 56.3^s$
		B	2070	0.5	eP $04^h\ 44^m\ 52.2^s$ eS $04^h\ 48^m\ 24.0^s$ e $04^h\ 50^m\ 48.0^s$
		N	2060	0.5	eP $04^h\ 44^m\ 57.0^s$ eS $04^h\ 48^m\ 28.0^s$ Azimut zirka 100°. Anatolien!

Tabelle III (Fortsetzung)

Nr.	Datum	Station	Epizentral-entfernung nach S–P	Ungefähre Dauer der Registr.	Phasen, Bemerkungen
	1944		km	Std.	
57	April 5.	Ch	—	0.1	eP $06^h\ 56^m\ 26.0^s$
		Z	—	0.1	eP $06^h\ 56^m\ 28.7^s$
		N	—	0.1	eP $06^h\ 56^m\ 38.7^s$
		B	—	0.1	e $06^h\ 56^m\ 46.6^s$
58	„ 6.	Z	—	0.1	e $01^h\ 54^m\ 45.7^s$
59	„ 19.	Z	—	0.1	e $23^h\ 26^m\ 57.5^s$
		B	—	0.1	e $23^h\ 27^m\ 12.5^s$ e $23^h\ 29^m\ 20.0^s$
60	„ 23.	Z	—	0.1	e $11^h\ 16^m\ 48.6^s$ e $11^h\ 17^m\ 02.0^s$
		Ch	—	0.1	e $11^h\ 16^m\ 53.2^s$ e $11^h\ 17^m\ 03.4^s$
		B	—	0.1	e $11^h\ 16^m\ 53.8^s$ e $11^h\ 19^m\ 18.0^s$ Tiefherdbeben, nach Wellington 21.5° S 180° E, $0 = 10^h\ 57.8^m$, $h = 380$ km (Distanz von Zürich zirka 17 000 km).
61	„ 24.	Z	—	0.1	iP $02^h\ 09^m\ 38.2^s$
		Ch	—	0.1	iP $02^h\ 09^m\ 38.7^s$
		B	—	0.1	eP $02^h\ 09^m\ 39.4^s$
		N	—	0.1	eP $02^h\ 09^m\ 41.0^s$
62	„ 24.	Z	—	0.1	e $11^h\ 25^m\ 12.0^s$
		B	—	0.1	e $11^h\ 42^m\ 39.5^s$ evtl. auch Spuren einer Nahebebenregistrierung!
63	„ 26.	B	—	1.2	eP $02^h\ 12^m\ 02.5^s$ ePKP $02^h\ 13^m\ 51.5^s$
		Z	—	1.5	eP? $02^h\ 12^m\ 03.0^s$ ePKP $02^h\ 13^m\ 46.9^s$
		Ch	—	1.5	eP? $02^h\ 12^m\ 56.0^s$ ePKP $02^h\ 13^m\ 43.0^s$ e $02^h\ 23^m\ 16.0^s$
		N	—	1.5	ePKP $02^h\ 13^m\ 49.9^s$ nach U. S. C. G. S. 1° S 121° E, $0 = 01^h\ 53.9^m$, (Distanz von Zürich zirka 11 800 km).
64	„ 27.	Ch	12800?	1.5	ePKP $14^h\ 56^m\ 40.7^s$ ePS $15^h\ 07^m\ 27.0^s$
		Z	13000?	1.5	ePKP? $14^h\ 56^m\ 54.6^s$ ePP $14^h\ 57^m\ 52.5^s$ ePS $15^h\ 07^m\ 22.2^s$ ePPS $15^h\ 08^m\ 46.3^s$
		B	—	1.5	ePKP? $14^h\ 57^m\ 15.5^s$ ePP? $14^h\ 57^m\ 42.0^s$ e $15^h\ 05^m\ 11.0^s$
		N	12800?	1.5	ePP? $14^h\ 57^m\ 51.7^s$ ePS $15^h\ 07^m\ 31.0^s$ nach U. S. C. G. S. 1°S 131° E, $0 = 14^h\ 37^m\ 54.0^s$.
65	„ 29.	B	—	0.1	e $21^h\ 49^m\ 39.5^s$
66	Mai 4.	B	—	0.1	e $22^h\ 49^m\ 05.6^s$ e $22^h\ 49^m\ 25.0^s$
67	„ 5	B	—	0.1	e $01^h\ 07^m\ 58.0^s$
68	„ 6.	N	—	0.1	eP $00^h\ 22^m\ 28.0^s$
		B	—	0.1	eP $00^h\ 22^m\ 31.6^s$
		Z	—	0.1	eP $00^h\ 22^m\ 36.5$ Dilat. U. S. C. G. S. 22.4° N 44.8° W, $0 = 00^h\ 13^m\ 42.0^s$.
69	„ 19.	Z	—	1.0	e $00^h\ 38^m\ 17.2^s$
		B	—	1.0	e $00^h\ 38^m\ 57.0^s$ vermutlich eP $00^h\ 27^m\ 24.0^s$ in Wellington registriert. 3.5° S 155.5° E, $0 = 00^h\ 19.4^m$, $h = 140$ km.
70	„ 20.	B	—	0.2	e $23^h\ 35^m\ 41.3^s$
		Z	—	0.7	e $23^h\ 35^m\ 47.3^s$
71	„ 21.	B	—	0.2	e $00^h\ 21^m\ 05.1^s$
		Z	—	0.2	e $00^h\ 21^m\ 10.3^s$
72	„ 25.	B	17–18000	0.5	ePKP $01^h\ 25^m\ 16.8^s$ e $01^h\ 25^m\ 26.0^s$ epPKP $01^h\ 28^m\ 01.0^s$ e $01^h\ 39^m\ 25.0^s$
		Z	17–18000	0.5	ePKP $01^h\ 25^m\ 17.5^s$ Dilat. epPKP $01^h\ 27^m\ 48.7^s$ eSKS? $01^h\ 32^m\ 38.0^s$
		Ch	17–18000	0.7	ePKP $01^h\ 25^m\ 18.4^s$ e $01^h\ 25^m\ 43.3^s$
		N	—	0.7	ePKP $01^h\ 25^m\ 18.7^s$ nach Wellington 21° S 178° W, $0 = 01^h\ 06.5^m$ $h = 700$ km
73	„ 25.	Z	14–15000	1.5	ePKP $13^h\ 17^m\ 10.4^s$ ePP $13^h\ 18^m\ 48.4^s$ ePPP $13^h\ 21^m\ 54.0^s$
		Ch	—	1.5	ePKP $13^h\ 17^m\ 10.5^s$ eL $13^h\ 56^m\ 43.0^s$
		B	—	1.5	ePKP $13^h\ 17^m\ 11.9^s$
		N	—	1.5	ePKP $13^h\ 17^m\ 12.5^s$ nach Wellington 0.0° S 151.5°E $0 = 12^h\ 58{,}3^m$ (Distanz von Zürich 14 000 km)
74	„ 27.	Ch	1750	0.4	eP $23^h\ 56^m\ 24.7^s$ eS? $23^h\ 59^m\ 26.5^s$
		Z	1950	0.4	eP $23^h\ 56^m\ 34.0^s$ eS $23^h\ 59^m\ 53.9^s$
		B	—	0.5	eP $23^h\ 56^m\ 42.1^s$ eS $00^h\ 00^m\ 09.0^s$ Azimut 90°
		N	2020	0.5	eP $23^h\ 56^m\ 42.9^s$ Herd Westküste von Kleinasien, vermutlich etwas tiefer als normal!
75	„ 29.	Ch	—	0.1	eP $15^h\ 45^m\ 49.0^s$
		B	—	0.1	eP $15^h\ 46^m\ 04.9^s$

Tabelle III (Fortsetzung)

Nr.	Datum	Station	Epizentral-entfernung nach S–P	Ungefähre Dauer der Registr.	Phasen, Bemerkungen
	1944		km	Min.	
76	Mai 30.	Ch	—	0.3	e $10^h\ 07^m\ 45.4^s$ Dilat. i $10^h\ 08^m\ 08.7^s$ Compr. e $10^h\ 17^m\ 23.5^s$
		Z	—	0.3	e $10^h\ 07^m\ 53.3^s$ e $10^h\ 17^m\ 28.5^s$
		B	—	0.3	e $10^h\ 08^m\ 00.0^s$ e $10^h\ 08^m\ 16.0^s$ e $10^h\ 17^m\ 39.0^s$ vermutlich Tiefherdbeben!
77	Juni 3.	Ch	—	0.1	e $07^h\ 22^m\ 48.5^s$
		B	—	0.1	e $07^h\ 22^m\ 50.1^s$
78	„ 4.	Ch	—	0.1	e $19^h\ 28^m\ 11.6^s$ e $19^h\ 48^m\ 30.1^s$
79	„ 4.	Ch	—	0.1	e $20^h\ 06^m\ 21.6^s$
80	„ 6.	Ch	—	0.1	eP $12^h\ 00^m\ 18.9^s$
		Z	—	0.1	eP $12^h\ 00^m\ 26.2^s$
		B	—	0.1	eP $12^h\ 00^m\ 30.2^s$ e $12^h\ 02^m\ 28.0^s$
		N	—	0.1	eP $12^h\ 00^m\ 33.2^s$
81	„ 9.	B	—	0.7	e $22^h\ 11^m\ 43.0^s$
		Z	—	1.0	L-Wellen zwischen 21^h—22^h, nur schwache Spuren
82	„ 14.	Z	—	0.1	e $23^h\ 52^m\ 55.0^s$
83	„ 15.	Ch	—	0.1	eP $01^h\ 21^m\ 09.2^s$
		Z	—	0.1	eP $01^h\ 21^m\ 22.5^s$
		B	—	0.1	eP $01^h\ 21^m\ 24.6^s$ e $01^h\ 23^m\ 06.0^s$
		N	—	0.1	e $01^h\ 59^m\ 06.7^s$
84	„ 16.	B	—	0.5	eP $04^h\ 29^m\ 51.4^s$ e $04^h\ 34^m\ 27.0^s$
		Z	—	0.4	eP? $04^h\ 29^m\ 56.0^s$ Min.-Lücke
85	„ 16.	Z	—	1.0	eP $22^h\ 04^m\ 39.9^s$ e $22^h\ 14^m\ 45.8^s$
		Ch	—	1.0	eP $22^h\ 04^m\ 41.5^s$ eL $22^h\ 43^m\ 57.0^s$ nach U. S. C. G. S. 19° N 105° W, 0 = $21^h\ 51^m\ 30.0^s$
86	„ 21.	Ch	—	0.1	eP $11^h\ 18^m\ 04.1^s$
		Z	—	0.1	eP $11^h\ 18^m\ 04.2^s$
		B	—	0.1	eP $11^h\ 18^m\ 04.6^s$
		N	—	0.1	eP $11^h\ 18^m\ 13.1^s$ Wellington gibt 22° S 169.5° E 0 = $10^h\ 58.3^m$
87	„ 25.	Ch	1860	0.3	eP $04^h\ 20^m\ 15.1^s$ eS $04^h\ 23^m\ 29.6^s$
		Z	2000	0.3	eP $04^h\ 20^m\ 22.8^s$ eS $04^h\ 23^m\ 47.9^s$
		B	2040	0.5	eP $04^h\ 20^m\ 30.2^s$ eS $04^h\ 24^m\ 00.0^s$ e $04^h\ 26^m\ 34.0^s$
		N	2060	0.6	eP $04^h\ 20^m\ 33.7^s$ eS $04^h\ 24^m\ 04.0^s$ Azimut zirka 108°, Anatolien zirka 41° N 33° E
88	„ 25.	Ch	1850	0.3	eP $07^h\ 01^m\ 41.1^s$ eS $07^h\ 04^m\ 54.6^s$
		Z	—	0.3	eP $07^h\ 01^m\ 48.6^s$ gestört durch Bogenwechsel!
		N	2080	0.5	eP $07^h\ 02^m\ 00.8^s$ eS? $07^h\ 05^m\ 32.0^s$ e $07^h\ 07^m\ 59.0^s$
		B	1820	0.5	eP $07^h\ 02^m\ 01.1^s$ eS? $07^h\ 05^m\ 10.0^s$ e $07^h\ 07^m\ 11.0^s$ Nachstoß zu Nr. 87.
89	„ 25.	N	—	0.5	e $14^h\ 37^m\ 15.6^s$
		Ch	—	0.3	e $14^h\ 37^m\ 17.0^s$
		B	—	0.5	e $14^h\ 37^m\ 18.7^s$ e $14^h\ 40^m\ 49.0^s$ e $14^h\ 46^m\ 02.0^s$
		Z	—	0.5	e $14^h\ 37^m\ 37.5^s$ nach Wellington 22.5° S 169.5° E, 0 = $14^h\ 17.5^m$, h = 100 km.
90	„ 25.	N	—	0.5	eP $17^h\ 51^m\ 41.0^s$
		B	6170	0.5	eP $17^h\ 51^m\ 46.0^s$ eS $17^h\ 59^m\ 36.0^s$ Azimut 230°
		Ch	6130	0.5	eP $17^h\ 51^m\ 47.7^s$ eS $17^h\ 59^m\ 39.0^s$
		Z	6180	0.5	eP $17^h\ 51^m\ 48.6^s$ Dilat. ePP $17^h\ 53^m\ 48.0^s$ eS $17^h\ 59^m\ 39.0^s$ Azimut zirka 240°; zirka 1° S 20° W. SE vom St. Paul-Felsen, Atlantik.
91	„ 28.	N	—	1.0	eP $08^h\ 11^m\ 34.3^s$
		B	9500	1.0	eP $08^h\ 11^m\ 35.6^s$ eS $08^h\ 22^m\ 09.0^s$
		Z	9550	1.0	eP $08^h\ 11^m\ 37.7^s$ Compr. eS $08^h\ 22^m\ 13.5^s$
		Ch	9550	1.0	eP $08^h\ 11^m\ 42.5^s$ eS $08^h\ 22^m\ 18.5^s$ pazifische Küste von Mexiko.
92	Juli 10.	Z	—	0.2	eP $12^h\ 43^m\ 36.0^s$
		B	—	0.2	eP $12^h\ 43^m\ 36.1^s$
93	„ 10.	Z	—	0.1	eP $13^h\ 44^m\ 24.9^s$ Dilat. i $12^h\ 44^m\ 29.3^s$ Dilat.
		Ch	—	0.1	eP $13^h\ 44^m\ 25.4^s$
		N	—	0.1	eP $13^h\ 44^m\ 25.4^s$
		B	—	0.1	eP $13^h\ 44^m\ 27.7^s$
94	„ 16.	Z	—	0.2	eP $10^h\ 38^m\ 10.0^s$ Dilat., iP $10^h\ 38^m\ 15.4^s$ Dilat.
		Ch	—	0.2	eP $10^h\ 38^m\ 10.5^s$ iP $10^h\ 38^m\ 15.9^s$ Dilat.
		N	—	0.2	eP $10^h\ 38^m\ 10.8^s$ eP $10^h\ 38^m\ 14.2^s$
		B	—	0.2	eP $10^h\ 38^m\ 14.2^s$

Tabelle III (Fortsetzung)

Nr.	Datum	Station	Epizentral-entfernung nach S–P	Ungefähre Dauer der Registr.	Phasen, Bemerkungen
	1944		km	Std.	
95	Juli 17.	Ch	3220	0.4	eP $10^h\ 59^m\ 33.1^s$
		Z	3050	0.3	eP $10^h\ 59^m\ 36.8^s$ Compr. eS $11^h\ 04^m\ 23.9^s$
		B	3200	0.7	eP $10^h\ 59^m\ 43.1^s$ eS $11^h\ 04^m\ 37.0^s$
		N	—	0.5	eP $10^h\ 59^m\ 45.8^s$ eS $11^h\ 04^m\ 30.0^s$
					vermutliche Herdgegend Grenze zwischen Irak und Iran.
96	„ 18.	B	—	0.2	eP $15^h\ 20^m\ 46.0^s$
		N	—	0.2	eP $15^h\ 20^m\ 47.6^s$
		Z	—	0.2	eP $15^h\ 20^m\ 57.6^s$ e $15^h\ 23^m\ 04.0^s$
97	„ 19.	Z	9450?	1.0	eP? $10^h\ 34^m\ 30.9^s$ eS $10^h\ 45^m\ 04.2^s$
		B	9110?	1.0	eP? $10^h\ 34^m\ 52.0^s$ eS $10^h\ 45^m\ 09.2^s$
		N	—	1.0	eP? $10^h\ 34^m\ 57.4^s$
98	„ 20.	Z	—	0.2	e $08^h\ 58^m\ 30.4^s$ e $08^h\ 58^m\ 21.0^s$ e $09^h\ 18^m\ 04.6^s$
99	„ 20.	Z	2060	0.4	eP $10^h\ 41^m\ 31.9^s$ eS? $10^h\ 45^m\ 04.6^s$
		B	—	0.6	eP $10^h\ 41^m\ 39.2^s$
		N	—	0.5	eP $10^h\ 41^m\ 40.3^s$ Anatolien?
100	„ 23.	Z	—	0.2	eP $12^h\ 05^m\ 30.8^s$
		B	—	0.2	eP $12^h\ 05^m\ 36.6^s$
		N	—	0.2	eP $12^h\ 05^m\ 39.8^s$
101	„ 27.	B	8780	0.7	eP $00^h\ 16^m\ 20.0^s$ eS $00^h\ 26^m\ 22.0^s$
		Z	8500	0.7	eP $00^h\ 16^m\ 22.0^s$ Dilat. eS $00^h\ 26^m\ 12.1^s$ Azimut 360°
		N	8550	0.7	eP $00^h\ 16^m\ 23.7^s$ eS $00^h\ 26^m\ 16.0^s$ Alaska. Herd etwas tiefer als normal!
102	„ 27.	Z	8450	0.5	eP? $08^h\ 30^m\ 34.2^s$ eS $08^h\ 40^m\ 19.4^s$
		B	8470	0.5	eP $08^h\ 30^m\ 38.1^s$ eS $08^h\ 40^m\ 27.0^s$
		N	—	0.5	eP $08^h\ 30^m\ 41.0^s$ vermutlich Nachstoß zu Nr. 101.
103	„ 30.	Z	1600	0.3	eP $04^h\ 04^m\ 07.8^s$ eS $04^h\ 06^m\ 56.3^s$
		B	1660	0.3	eP $04^h\ 04^m\ 15.0^s$
		N	—	0.3	eP $04^h\ 04^m\ 17.2^s$ eS $04^h\ 07^m\ 12.0^s$
104	August 7.	N	9580	1.0	eP $03^h\ 38^m\ 49.4^s$ eS $03^h\ 49^m\ 27.0^s$
		B	9560	1.0	eP $03^h\ 38^m\ 53.4^s$ eS $03^h\ 49^m\ 30.0^s$
		Z	9600	1.0	eP $03^h\ 38^m\ 53\ 7^s$ eS $03^h\ 49^m\ 32.4^s$
105	„ 8.	Z	—	0.1	e $08^h\ 53^m\ 24.4^s$
106	„ 9.	Z	2050	0.5	eP $17^h\ 40^m\ 35.5^s$ eS $17^h\ 44^m\ 07.2^s$
		B	2150	0.5	eP $17^h\ 40^m\ 41.4^s$ eS $17^h\ 44^m\ 32.0^s$
		N	—	0.5	eP $17^h\ 40^m\ 43.7^s$ Mittelmeer östlich von Kreta.
107	„ 10.	N	—	1.0	e $02^h\ 04^m\ 39.8^s$
		B	—	0.7	e $02^h\ 04^m\ 43.4^s$
108	„ 14.	B	—	0.4	eP $11^h\ 18^m\ 47.2^s$ e $11^h\ 28^m\ 09.0^s$
		Z	—	0.4	eP $11^h\ 18^m\ 48.2^s$
		N	—	0.4	eP $11^h\ 18^m\ 50.0^s$
109	„ 14.	Z	10–11000	1.0	eP $14^h\ 34^m\ 56.3^s$ Compr. ePP $14^h\ 38^m\ 50.2^s$ eSKS $14^h\ 45^m\ 27.3^s$
		B	10450	1.0	eP $14^h\ 34^m\ 57.7^s$ eS $14^h\ 46^m\ 08.0^s$ [eS $14^h\ 46^m\ 01.6^s$
		N	—	1.0	eP? $14^h\ 50^m\ 00.5^s$
110	„ 15.	Z	—	0.3	e $02^h\ 32^m\ 41.8^s$
111	„ 15.	B	—	0.5	e $12^h\ 05^m\ 37.2^s$
112	„ 17.	Z	—	0.2	eP $13^h\ 32^m\ 15.1^s$
		N	—	0.3	eP $13^h\ 32^m\ 21.4^s$
		B	—	0.3	eP $13^h\ 32^m\ 23.3^s$
113	„ 17.	B	—	0.2	e $18^h\ 08^m\ 22.0^s$
114	„ 18.	Z	9000	0.5	eP $10^h\ 45^m\ 37.9^s$ Dilat. epP $10^h\ 46^m\ 11.5^s$ eS $10^h\ 55^m\ 48.8^s$ Azimut 30°
		B	—	0.7	eP $10^h\ 46^m\ 39.8^s$ Dilat. epP $10^h\ 46^m\ 13.0^s$ Azimut 50°
		N	9000	0.7	eP $10^h\ 45^m\ 42.6^s$ epP $10^h\ 46^m\ 16.0^s$ eS $10^h\ 55^m\ 53.0^s$
					Herd etwas tiefer als normal, zirka 120 km, Herdregion: Japan.
115	„ 19.	Z	—	0.1	e $20^h\ 12^m\ 54.6^s$
		B	—	0.1	e $20^h\ 13^m\ 28.0^s$
116	„ 20.	N	—	0.1	eP $16^h\ 27^m\ 16.7^s$ e $16^h\ 28^m\ 09.0^s$
		B	—	0.1	eP $16^h\ 27^m\ 22.0^s$ e $16^h\ 28^m\ 33.0^s$
		Z	—	0.1	eP $16^h\ 28^m\ 07.5^s$
117	„ 24.	Z	—	0.2	eP $16^h\ 05^m\ 08.7^s$
		B	—	0.2	eP $16^h\ 05^m\ 09.8^s$

Tabelle III (Fortsetzung)

Nr.	Datum	Station	Epizentral-entfernung nach 8–P	Ungefähre Dauer der Registr.	Phasen, Bemerkungen
	1944		km	Min.	
118	Aug. 24.	Z	—	0.2	eP $23^h\ 50^m\ 22.6^s$
		B	—	0.4	eP $23^h\ 50^m\ 54.0^s$
		N	—	0.4	eP $23^h\ 50^m\ 55.4^s$
119	„ 25.	B	—	0.2	eP $12^h\ 44^m\ 00.0^s$
		Z	—	0.2	eP $12^h\ 44^m\ 23.1^s$ iP $12^h\ 44^m\ 28.0^s$ Dilat.
		N	—	0.2	eP $12^h\ 44^m\ 24.0^s$
					Tiefherdbeben, nach Wellington 18.5° S 176° W $0 = 12^h\ 24.9^m$ $h = 100$ m
120	„ 30.	Z	—	0.3	eP $01^h\ 33^m\ 39.3^s$ e $01^h\ 35^m\ 11.9^s$
		B	—	0.4	eP $01^h\ 33^m\ 42.3^s$ e $01^h\ 38^m\ 30.0^s$
		N	—	0.1	eP $01^h\ 33^m\ 44.3^s$
121	Sept. 3.	N	—	0.2	eP $19^h\ 31^m\ 16.7^s$
		Z	—	0.2	eP $19^h\ 31^m\ 19.0^s$
		B	—	0.2	eP $19^h\ 31^m\ 20.7^s$
122	„ 3.	Z	—	0.2	eP $23^h\ 03^m\ 55.0^s$ Compr. e $23^h\ 07^m\ 05.0^s$
		B	—	0.2	eP $23^h\ 04^m\ 05.0^s$
		N	—	0.2	eP $23^h\ 04^m\ 06.9^s$
123	„ 5.	Z	—	0.1	eP $12^h\ 45^m\ 28.1^s$
124	„ 6.	Z	—	1.0	eP $13^h\ 36^m\ 49.6^s$ e $13^h\ 47^m\ 05.0^s$
125	„ 11.	Z	—	1.0	eP? $10^h\ 02^m\ 58.4^s$ ePKP $10^h\ 04^m\ 18.8^s$ e $10^h\ 11^m\ 47.2^s$
		B	—	1.0	eP? $10^h\ 03^m\ 10.9^s$ ePKP $10^h\ 04^m\ 15.0^s$ e $10^h\ 11^m\ 58.0^s$
					aus sehr großer Distanz.
126	„ 16.	Z	—	0.1	eP $04^h\ 55^m\ 35.4^s$
127	„ 19.	Z	—	0.1	eP $13^h\ 17^m\ 53.1^s$
		B	—	0.1	eP $13^h\ 17^m\ 58.2^s$
		N	—	0.1	eP $13^h\ 17^m\ 59.2^s$
128	„ 23.	Z	8500	1.2	eP $12^h\ 25^m\ 07.5^s$ eS $12^h\ 34^m\ 58.6^s$
		B	8560	1.0	eP $12^h\ 25^m\ 10.0^s$ eS $12^h\ 35^m\ 03.0^s$
		N	8560	1.0	eP $12^h\ 25^m\ 12.0^s$ e $12^h\ 25^m\ 18.0^s$ eS $12^h\ 35^m\ 07.0^s$ Hochland von Tibet?
129	„ 24.	Z	8700	0.2	eP $11^h\ 07^m\ 36.7^s$ Compr. eS $11^h\ 17^m\ 25.4^s$
		B	—	0.2	eP $11^h\ 07^m\ 37.4^s$
		N	—	0.2	eP $11^h\ 07^m\ 41.4^s$
					vermutlich sibirische Küstenprovinz, tiefer als normal.
130	„ 25.	B	—	0.1	e $16^h\ 27^m\ 32.5^s$
131	„ 27.	Z	9450	1.0	eP $16^h\ 33^m\ 38.6^s$ e $16^h\ 35^m\ 17.6^s$ eS $16^h\ 44^m\ 09.8^s$
		B	9220	1.0	eP $16^h\ 33^m\ 46\ 8^s$ eS $16^h\ 44^m\ 06.0^s$
		N	—	1.0	eP $16^h\ 33^m\ 50.8^s$
132	„ 30.	Z	—	0.5	eP $04^h\ 17^m\ 45.0^s$
		B	—	0.6	eP $04^h\ 17^m\ 55.3^s$ e $04^h\ 21^m\ 26.0^s$
133	Okt. 2.	Z	7780	0.4	eP $20^h\ 42^m\ 03.5$ Compr. epP? $20^h\ 42^m\ 19.1^s$ ePP $20^h\ 45^m\ 25.7^s$ eS $20^h\ 51^m\ 18.4^s$
		B	7670	0.7	eP $20^h\ 42^m\ 04.8^s$ Compr. i $20^h\ 42^m\ 21.0^s$ Compr. eS $20^h\ 52^m\ 19.0^s$
		N	—	0.6	eP $20^h\ 42^m\ 08.4^s$
		Ch	—	0.6	Ohne Zeitmarken registriert!
					Azimut zirka 30°, sibirische Küstenprovinz, Herd tiefer als normal.
134	„ 5.	Ch	—	0.1	e $16^h\ 16^m\ 10.1^s$
135	„ 5.	Ch	—	1.0	eP $17^h\ 48^m\ 03.9^s$ e $17^h\ 51^m\ 55.0^s$
		Z	—	1.0	eP $17^h\ 48^m\ 05.8^s$ Compr. e $17^h\ 51^m\ 51.0^s$
		B	—	1.0	eP $17^h\ 48^m\ 06.5^s$ e $17^h\ 51^m\ 54.0^s$ Compr. e $17^h\ 55^m\ 16.0^s$
		N	—	1.0	eP $17^h\ 48^m\ 06.8^s$ e $17^h\ 52^m\ 00.0^s$
					Wellington gibt als Herdtiefe $h = 200$ km. —
136	„ 6.	Ch	2280	0.5	eP $02^h\ 38^m\ 08.7^s$ eS $02^h\ 41^m\ 57.0^s$
		Z	1720	0.4	eP $02^h\ 38^m\ 19.0^s$ Dilat. eS $02^h\ 41^m\ 18,4^s$
		B	2000	0.5	eP $02^h\ 38^m\ 26.4^s$ Dilat. eS $02^h\ 41^m\ 51.0^s$ e $02^h\ 43^m\ 13.0^s$ e $02^h\ 43^m\ 28.0^s$
		N	2300?	0.5	eP $02^h\ 38^m\ 31.0^s$ eS? $02^h\ 42^m\ 21.0^s$
					Azimut zirka 120° Westküste von Anatolien!
137	„ 7.	Z	—	0.3	eP $21^h\ 38^m\ 00.2^s$
		B	—	0.5	eP $21^h\ 38^m\ 09.2^s$
		N	—	0.5	eP $21^h\ 38^m\ 10.9^s$

Tabelle III (Fortsetzung)

Nr.	Datum	Station	Epizentral-entfernung nach S-P	Ungefähre Dauer der Registr.	Phasen, Bemerkungen
	1944		km	Std.	
138	Okt. 10.	B	—	0.4	eP $01^h\ 35^m\ 03.0^s$ e $01^h\ 38^m\ 23.0^s$
		Z	—	0.2	eP $01^h\ 35^m\ 48.1^s$
		N	—	0.2	eP $01^h\ 35^m\ 54.7^s$
139	„ 11.	B	—	0.1	eP $10^h\ 04^m\ 53.0^s$
		N	—	0.1	eP? $10^h\ 04^m\ 55.9^s$ Min.-Lücke
		Z	—	0.1	eP $10^h\ 04^m\ 56{,}3^s$ Compr. Herd tiefer als normal
140	„ 17.	Ch	—	0.7	eP $18^h\ 46^m\ 40.0^s$ Dilat. ePP $18^h\ 50^m\ 06.1^s$ eL $19^h\ 08^m\ 30.0^s$
		Z	—	0.7	eP $18^h\ 46^m\ 42.6^s$ e $18^h\ 48^m\ 58.0^s$
		B	8200	1.0	eP $18^h\ 46^m\ 45.0^s$ eS $18^h\ 56^m\ 18.0^s$
		N	—	0.7	eP $18^h\ 46^m\ 52.0^s$
141	„ 17.	Ch	—	0.1	e $19^h\ 47^m\ 44.0^s$
		Z	—	0.1	e $19^h\ 47^m\ 47.2^s$
142	„ 18.	Ch	—	0.2	eP $12^h\ 58^m\ 13.8^s$ Compr.
		Z	—	0.3	eP $12^h\ 58^m\ 21.8^s$ e $12^h\ 58^m\ 25.8^s$
		B	—	0.5	eP $12^h\ 58^m\ 32.9^s$ e $12^h\ 58^m\ 53.0^s$
		N	—	0.2	eP $12^h\ 58^m\ 37.7^s$
143	„ 22.	Z	—	0.1	e $18^h\ 58^m\ 58.0^s$
144	„ 23.	B	9660	1.0	eP $23^h\ 52^m\ 52.3^s$ e $23^h\ 53^m\ 00.0^s$ eS $00^h\ 03^m\ 32.0^s$
		N	9670	1.0	eP $23^h\ 52^m\ 53.0^s$ eS $00^h\ 03^m\ 33.0^s$
		Z	9900	1.0	eP $23^h\ 52^m\ 57.3^s$ eS $00^h\ 03^m\ 46.6^s$
		Ch	9800	1.0	eP $23^h\ 53^m\ 01.9^s$ eS $00^h\ 03^m\ 50.6^s$ Zentralamerika?
145	„ 24.	Z	—	0.1	eP $00^h\ 40^m\ 30.6^s$ Compr.
		B	—	0.1	eP $00^h\ 40^m\ 32.1^s$
		N	—	0.2	eP $00^h\ 40^m\ 35.4^s$
146	„ 27.	B	—	0.1	e_1 $13^h\ 22^m\ 39.1^s$ e_2 $13^h\ 22^m\ 45.0^s$ evtl. auch Nahbebenregistrierung?
147	„ 29.	Ch	8670	0.7	eP $00^h\ 21^m\ 17.4^s$ eS $00^h\ 31^m\ 14.2^s$
		Z	8400	0.7	eP $00^h\ 21^m\ 24.1^s$ eS $00^h\ 31^m\ 09.4^s$
		B	8870	1.0	eP $00^h\ 21^m\ 28.5^s$ eS $00^h\ 31^m\ 34.0^s$
		N	—	1.0	e $00^h\ 23^m\ 13.7^s$
148	„ 29.	B	—	0.1	e $14^h\ 52^m\ 55.0^s$
149	„ 30.	N	—	0.1	eP $05^h\ 42^m\ 44.5^s$
		Z	—	0.1	eP $05^h\ 42^m\ 52.8^s$
150	„ 31.	Ch	—	0.2	eP $14^h\ 46^m\ 40.2^s$
		Z	—	0.1	eP $14^h\ 46^m\ 46.0^s$ e $14^h\ 50^m\ 02.3^s$
		B	—	0.1	eP $14^h\ 46^m\ 56.0^s$ e $14^h\ 48^m\ 59.0^s$
151	Nov. 7.	B	—	0.1	eP $09^h\ 57^m\ 59.4^s$
		Ch	—	0.1	iP $09^h\ 57^m\ 59.5^s$ Dilat.
		Z	—	0.1	iP $09^h\ 57^m\ 01.4^s$ Compr.
152	„ 12.	B	—	0.1	e $11^h\ 53^m\ 18.1^s$
		Z	—	0.1	e $12^h\ 53^m\ 50.0^s$
153	„ 15.	Ch	10330?	1.0	eP $21^h\ 01^m\ 16.8^s$ ePP $21^h\ 05^m\ 14.3^s$ eSKS $21^h\ 11^m\ 40.0^s$
		B	9670?	1.0	eP $21^h\ 01^m\ 23.8^s$ ePP $21^h\ 05^m\ 38.0^s$ eS? $21^h\ 12^m\ 03.0^s$ e $21^h\ 23^m\ 23.0^s$
		N	—	1.0	e $21^h\ 04^m\ 42.1^s$
		Z	—	1.0	keine Zeitmarken nach Pasadena, Philippinen.
154	„ 16.	N	—	2.0	eP $12^h\ 30^m\ 20.0^s$
		B	—	2.0–3.0	eP $12^h\ 30^m\ 21.7^s$ e $12^h\ 33^m\ 20.0^s$
		Ch	—	2.0	eP $12^h\ 30^m\ 30.0^s$ e $12^h\ 33^m\ 30.0^s$
		Z	—	2.0-3.0	keine Zeitmarken nach Pasadena, Neue Hebriden!
155	„ 20.	Z	—	0.1	eP $21^h\ 42^m\ 02.9^s$
		Ch	—	0.1	eP $21^h\ 42^m\ 05.9^s$
156	„ 24.	Z	—	0.3	iP $05^h\ 08^m\ 27.3^s$ Compr. epP? $05^h\ 09^m\ 10.3^s$
		B	—	0.3	eP $05^h\ 08^m\ 28.5^s$ epP? $05^h\ 09^m\ 13.0^s$
		Ch	—	0.3	eP? $05^h\ 08^m\ 28.8^s$ Min.-Lücke Nach Wellington Neukaledonien h = 150—200 km.
157	„ 26.	Ch	—	0.1	e $08^h\ 35^m\ 15.9^s$
158	„ 29.	Ch	—	0.1	eP $19^h\ 10^m\ 46.6^s$ e $19^h\ 11^m\ 25.3^s$
		Z	—	0.1	eP $19^h\ 10^m\ 48.4^s$ Compr. i $19^h\ 10^m\ 54.7^s$
		B	—	0.1	eP $19^h\ 10^m\ 48.5^s$ e $19^h\ 12^m\ 23.0^s$ Wellington gibt eP $18^h\ 56^m\ 11.0^s$, d = 2200 km, h = 160—200 km

Tabelle III (Schluß)

Nr.	Datum	Station	Epizentralentfernung nach S–P	Ungefähre Dauer der Registr.	Phasen, Bemerkungen
	1944		km	Std.	
159	Nov. 30.	Ch	—	0.1	eP 02h 05m 28.8s e 02h 05m 46.6s
		Z	—	0.1	eP 02h 05m 54.3s
		B	—	0.1	eP 02h 05m 55.3s
					Wellington gibt P = 01h 50m 05.0s, d = 1330 km, h = 600 km
160	Dez. 1.	Ch	—	0.1	eP 04h 19m 10.4s
		Z	—	0.1	eP 04h 19m 17.1s
161	„ 1.	B	—	0.1	e 15h 07m 40.7s
162	„ 3.	Z	—	0.1	e 03h 08m 00.0s
		B	—	0.1	e 03h 19m 45.1s —
163	„ 7.	Z	9660	2.0–3.0	eP 04h 48m 16.4s Compr. ePP 04h 52m 13.8s eSKS 04h 58m 30.4s eS 04h 58m 58.2s
		Ch	9700	2.0–3.0	eP 04h 48m 22.0s eS 04h 59m 12.0s
		B	9890	2.0–3.0	eP 04h 48m 23.8s Compr. ePP 04h 52m 05.0s eS 04h 59m 06.0s
		N	9660	2.0–3.0	eP 04h 48m 27.8s eS 04h 59m 08.0s
					Weltleben im Gebiet von Hondo zirka 33° N 142° E.
164	„ 8.	Z	—	0.1	eP 07h 36m 53.4s
		Ch	—	0.1	eP 07h 36m 53.8s
165	„ 8.	N	—	0.1	eP 13h 19m 15.5s
		Z	—	0.1	eP 13h 19m 16.8s
166	„ 8.	N	—	0.1	e 14h 30m 56.3s
167	„ 9.	Ch	—	0.1	eP 08h 06m 37.6s e 08h 06m 43.7s
168	„ 10.	Ch	9330	0.4	iP 05h 24m 12.8s eS 05h 34m 36.8s
		Z	9400	0.3	eP 05h 24m 16.4s Dilat. eS 05h 34m 45.0s
		B	9500	0.5	eP 05h 24m 18.7s eS 05h 34m 52.0s
					Tiefherdbeben vermutlich aus dem Gebiet des indischen Ozeans?
169	„ 10.	Z	—	0.4	eP 16h 44m 34.6s Compr.
		B	—	0.5	eP 16h 44m 35.3s e 16h 44m 41.1s
		Ch	—	0.5	eP 16h 44m 35.6s
		N	—	0.5	eP 16h 44m 37.2s
					Tiefherdbeben
170	„ 10.	Z	—	0.1	eP 17h 04m 12.7s
		N	—	0.1	eP 17h 04m 17.7s
		B	—	0.1	eP 17h 04m 27.7s
171	„ 10.	Ch	-	0.1	eP 19h 34m 53.1s
		Z	—	0.1	eP 19h 35m 17.8s Compr.
		B	—	0.1	eP 19h 35m 21.9s
		N	—	0.1	eP 19h 35m 22.8s
172	„ 12.	Z	8900	0.6	eP 04h 29m 26.1s Compr. ePP 04h 32m 29.1s eS 04h 39m 33.1s
		B	8700	1.0	eP 04h 29m 26.5s eS 04h 39m 25.0s
		Ch	9000	0.7	eP 04h 29m 29.5s eS 04h 39m 40.5s
		N	—	0.7	eP 04h 29m 29.8s
					Kurilen zirka 50° N 160° E.
173	„ 12.	Ch	—	1.0	eP 10h 37m 54.7s
		Z	—	1.0	eP 10h 37m 55.3s
		B	9220	1.0	eP 10h 37m 55.6s
174	„ 17.	N	—	0.7	e 04h 19m 29.8s
175	„ 17.	Ch	—	0.1	e 07h 31m 23.4s
176	„ 19.	Z	—	0.7	eP 14h 20m 40.7s— Compr.
		Ch	—	0.7	eP 14h 20m 44.8s
		B	—	0.7	eP 14h 20m 51.8s
		N	—	0.7	eP 14h 20m 54.9s
177	„ 20.	Z	—	0.4	eP 00h 33m 32.3s e 00h 53m 14.3s
178	„ 27.	Z	—	0.1	eP 15h 44m 44.4s Compr.
		Ch	1500?	0.1	eP 15h 44m 45.9s eS? 15h 48m 02.2s
		B	—	0.1	eP 15h 44m 51.6s
179	„ 28.	Ch	—	0.1	eP 01h 24m 35.6s
		Z	—	0.1	eP 01h 24m 38.3s
180	„ 30.	Z	—	0.1	e 00h 37m 46.1s
		Ch	—	0.1	e 00h 39m 00.1s
					Stark gestört durch die Bodenunruhe!

M E. Zeit

1.
○ 25 April, 7h 6m. Ont II

2
○ 15. Juni, 20h 5m, Ont. III

3
○ 9 Jul. 1h 34m
Ont IV

4
Ont. IV
13. Okt. 21h 24m

Nr. 6

Osservatorio Ticinese Locarno-Monti

Beobachtungen und wissenschaftliche Abhandlungen / Osservazioni e lavori scientifici 1944

Das Osservatorio Ticinese konnte die praktische Aufgabe der Herausgabe einer Wetterprognose für die Südschweiz auch im Jahre 1944 nicht verwirklichen, da die kriegsbedingten Verhältnisse die Wiederaufnahme des Wetterdienstes nicht gestatteten. So stand im Berichtsjahre die Arbeit weiterhin unter dem Zeichen der speziellen klimatischen Untersuchungen. Eine Erweiterung konnte jedoch auch hier nur in gewissen Grenzen erfolgen, da es an dem nötigen Instrumentarium mangelte. Das gilt vor allem für die Untersuchungen auf dem Gebiet der Strahlungsforschung, da wir hier völlig auf Instrumente ausländischer Firmen angewiesen sind. An Stelle einer Erweiterung unseres Programmes mußte daher eine Intensivierung treten. Zunächst war es unsere Aufgabe, die vorhandenen Strahlungsinstrumente kritisch zu untersuchen. In sehr zuvorkommender Weise stellte uns Herr Prof. *P. L. Mercanton* (Lausanne) ein Kompensationspyrheliometer nach *Ångström* zur Verfügung, während das *Lichtklimatische Observatorium Arosa* uns ein *Silverdisk*-Pyrheliometer lieh. Mit Hilfe dieser Instrumente, zu dem noch ein Pyrheliometer nach *Moll-Gorczynski* vom *Physikalisch-Meteorologischen Observatorium Davos* hinzukam, konnten umfangreiche Vergleichsserien (Standardmessungen) durchgeführt werden. Die Untersuchungen an dem «Absolutpyrheliometer» von *Volochine* mit Hilfe der genannten Instrumente zeigten bald die Notwendigkeit, das Instrument umzubauen. Die konstruktiven Verbesserungen haben sich reichlich gelohnt, da der mittlere Fehler ganz wesentlich vermindert werden konnte.

Die Eichungen am Bimetallaktinographen *Fueß-Robitzsch*, über die wir in den Annalen 1943 berichteten, wurden in vermehrtem Maße weitergeführt. Von diesem Instrument liegen jetzt nach der Wiederherstellung der Lamellen mehrere hundert Eichungen vor, die sich über $1^1/_4$ Jahre erstrecken.

Wie wir bereits erwähnten, wurde den Messungen der direkten Sonnenstrahlung große Aufmerksamkeit geschenkt. Es wurde jede Meßmöglichkeit ausgenutzt, sodaß für das Jahr 1944 570 Serien vorliegen, nicht eingeschlossen Serien mit Filtermessungen. Wir müssen darauf verzichten, hier alle Originalmessungen aufzuführen und beschränken uns darauf, eine Auswahl aus dem großen Material zu geben.

Als Beitrag zur Klimatologie der Umgebung des schweizerischen Teiles des Lago-Maggiore berichten wir im folgenden über eine Untersuchung, die als Gegenstand die Bestimmung der effektiv, d. h. der örtlich möglichen Sonnenscheindauer an 15 Orten hat. Des weiteren veröffentlicht Herr *Fl. Ambrosetti* den zweiten Teil seiner luftelektrischen Untersuchungen, der sich vornehmlich mit dem jährlichen und täglichen Gang sowie der Häufigkeit der luftelektrischen Größen von Locarno-Monti befaßt, während der Unterzeichnete das Problem der Eichung des Bimetallaktinographen behandelt.

An Tabellen enthält unser Bericht wie bisher: Totalstrahlung der Sonne, Totalstrahlung von Sonne+Himmel und Abkühlungsgröße.

OSSERVATORIO TICINESE:

Chr. Thams.

Radiazione totale del sole / Totalstrahlung der Sonne

1944 Ora: ora solare / Zeit: wahre Sonnenzeit — h: altezza del sole, Sonnenhöhe, — I_T: intensità / Intensität in gcal · cm^{-2} · min^{-1} — **Locarno-Monti**

Datum	Ora/Zeit	h	I_T
3. I.	10h07	16.2°	1.250
	13h59	15.8	1.272
	14h40	11.9	1.094
18. I.	10h55	21.5°	1.193
24. I.	14h15	17.5°	1.235
29. I.	11h04	24.1°	1.404
	13h48	21.0	1.380
25. II.	11h12	33.3°	1.329
	13h44	29.5	1.321
	15h06	20.4	1.177
26. II.	9h33	25.5°	1.177
	11h05	33.2	1.293
	13h37	30.5	1.284
	15h22	18.5	1.017
11. IV.	8h45	33.8°	1.161
	9h08	37.0	1.337
	10h30	47.2	1.389
	10h41	48.3	1.372
	11h30	51.4	1.361
	13h51	44.9	1.259
	14h29	40.5	1.234
	15h12	34.0	1.210
	15h54	27.7	1.104
24. IV.	7h09	21.0°	1.070
	8h23	33.7	1.181
	9h19	42.6	1.260
	11h31	56.0	1.305
	12h53	54.8	1.312
	14h27	44.3	1.205
13. V.	8h33	39.3°	0.934
	10h06	53.5	0.980
	11h30	61.5	1.011
	13h36	57.2	1.002
	14h53	51.8	0.763
25. V.	8h11	37.3°	0.930
	9h15	48.0	0.997
	10h18	57.2	1.025
	11h30	63.9	1.027
	13h40	57.4	1.030
	14h41	48.6	0.962
	15h53	36.6	0.843
31. V.	6h56	25.1°	0.792
	7h54	35.2	0.943
	8h50	44.6	1.076
	9h47	53.7	1.161
	10h59	62.7	1.199
	14h06	54.7	1.188
	15h26	41.9	1.077
	16h03	35.5	0.986
15. VI.	6h35	22.5°	1.016
	7h30	32.0	1.208
	8h30	42.3	1.298
	9h20	50.6	1.318
	10h32	61.0	1.401
	11h27	66.3	1.469
	13h19	62.1	1.441
	14h32	51.9	1.332
	15h42	40.2	1.230
24. VI.	6h52	25.5°	0.999
	7h40	33.8	1.124
	8h33	42.8	1.195
	9h27	51.8	1.240
	10h33	61.2	1.306
	11h29	66.3	1.364
	13h15	62.7	1.300
	14h10	55.4	1.281
	14h58	47.8	1.249
	15h57	37.8	1.130
	16h48	28.9	1.032
	17h23	22.9	0.937
30. VI.	7h48	35.0°	1.194
	9h24	51.2	1.298
	10h23	59.9	1.318
	11h25	66.1	1.320
	13h12	62.9	1.332
	15h08	46.0	1.263
6. VII.	6h41	23.0°	1.141
	7h43	33.8	1.254
	8h46	44.5	1.327
	10h05	56.9	1.399
	11h16	64.8	1.401
	13h19	61.4	1.434
	14h19	53.4	1.361
	15h21	43.3	1.241
	17h02	26.0	1.130
	18h00	16.2	0.970
13. VII.	6h46	23.3°	1.047
	8h03	36.7	1.232
	9h15	48.7	1.313
	10h14	57.4	1.354
	11h13	63.8	1.386
	13h25	60.1	1.320
	14h27	51.5	1.271
17. VII.	7h50	34.0°	1.183
	8h53	44.8	1.288
	9h58	54.9	1.335
	11h09	63.0	1.378
	13h11	61.2	1.325
	14h13	53.2	1.280
31. VII.	7h41	30.5°	1.220
	8h42	40.9	1.334
	10h14	54.6	1.405
	11h22	61.1	1.447
	13h35	56.0	1.371
	14h44	46.4	1.349
2. VIII.	7h43	30.6°	1.183
	9h46	50.4	1.320
	10h08	53.4	1.329
	10h57	58.9	1.359
	11h15	60.2	1.370
	14h05	51.7	1.219
	16h03	33.0	1.012
19. VIII.	8h37	35.9°	1.027
	9h04	40.3	1.065
	10h28	51.4	1.161
	11h27	55.9	1.192
	13h11	53.5	1.173
	14h11	46.9	1.112
	15h21	36.3	1.030
23. VIII.	7h56	28.1°	0.923
	8h58	38.3	1.041
	9h54	46.3	1.113
	10h53	52.4	1.151
	11h21	54.5	1.168
	13h11	52.2	1.153
	14h39	41.8	1.062
	16h33	23.1	0.739
	17h05	17.8	0.538
4. IX.	7h36	21.6°	1.192
	8h21	29.2	1.303
	9h21	38.2	1.383
	10h41	47.5	1.426
	13h51	44.4	1.382
	14h01	43.2	1.363
	15h18	32.4	1.285
	16h14	23.5	1.175
	16h55	16.4	1.011
12. IX.	7h20	17.1°	0.924
	8h24	27.6	1.119
	9h27	36.6	1.185
	13h00	46.3	1.270
	14h14	39.0	1.160
	15h14	30.8	1.085
	15h54	24.7	0.930
21. IX.	9h18	32.7°	1.290
	10h07	38.4	1.344
	11h29	44.1	1.393
	13h24	41.1	1.345
	14h41	32.7	1.259
	15h32	25.6	1.170
	16h33	15.5	0.972
25. IX.	7h28	14.6°	1.130
	8h33	24.8	1.330
	10h35	39.5	1.456
	11h32	42.7	1.459
	12h34	42.5	1.452
	13h30	38.9	1.420
29. IX.	7h28	13.1°	0.984
	8h23	21.8	1.182
	9h45	32.7	1.304
	10h53	39.1	1.357
	12h05	41.6	1.383
	14h35	30.2	1.274
	16h03	17.7	1.100
	17h00	8.6	0.766
30. IX.	7h07	9.7°	0.884
	8h01	18.2	1.123
	9h00	26.9	1.257
	10h00	34.2	1.314
	10h49	38.6	1.340
	11h42	41.0	1.364
	13h28	37.1	1.318
	16h40	11.6	0.755
3. X.	10h47	37.2°	1.386
	11h42	39.7	1.420
	13h42	34.9	1.399
	15h39	20.4	1.250
	16h40	10.8	0.953
19. X.	8h02	12.9°	1.061
	8h55	20.4	1.210
	9h24	24.1	1.286
	13h55	28.3	1.348
	16h20	9.5	0.934
20. X.	7h30	7.8°	0.885
	8h03	12.8	1.080
	9h02	21.0	1.277
	11h43	33.4	1.418
	13h16	31.0	1.388
	15h26	17.2	1.180
4. XI.	8h02	8.7°	0.918
	9h05	17.0	1.191
	9h57	22.8	1.304
	10h55	26.8	1.340
	11h47	28.4	1.374
	13h06	26.8	1.320
	14h03	22.5	1.244
16. XI.	9h59	19.7°	1.235
	10h55	23.6	1.302
	11h50	25.1	1.335
	13h12	23.1	1.291
	14h17	18.1	1.206
	15h05	12.9	1.080
	15h41	8.6	0.872
27. XI.	11h02	21.5°	1.283
	11h44	22.8	1.315
	12h52	21.8	1.270
	13h42	19.0	1.247
	14h35	14.2	1.136
	15h33	7.2	0.872
28. XI.	9h07	12.1°	1.184
	9h55	17.0	1.245
	10h52	21.0	1.275
	11h41	22.7	1.290
	13h02	21.1	1.303
	13h49	18.2	1.235
	14h35	14.1	1.142
30. XI.	8h49	9.6°	1.004
	9h49	16.1	1.142
	10h33	19.5	1.198
	11h21	21.8	1.213
	13h02	20.8	1.172
	14h01	16.9	1.096
	14h54	11.7	0.897
	15h30	7.2	0.686
13. XII.	9h29	12.9°	1.143
	10h18	17.1	1.232
	11h01	19.5	1.280
	11h38	20.6	1.295
	13h05	19.2	1.253
	14h04	15.3	1.171
	14h51	10.7	1.020
	15h34	5.5	0.753
14. XII.	8h59	9.5°	0.950
	9h58	15.4	1.145
	10h50	18.9	1.228
	11h40	20.5	1.267
	13h15	18.6	1.220
	14h09	14.8	1.149
	15h10	8.5	0.890
	15h33	5.5	0.706
27. XII.	9h25	12.2°	1.174
	10h16	16.7	1.222
	11h17	19.9	1.212
	12h36	20.1	1.268
	14h05	15.0	1.145
	14h55	10.0	1.063
	15h29	6.0	0.810
28. XII.	9h26	12.3°	1.191
	10h22	17.1	1.257
	11h01	19.3	1.301
	11h51	20.5	1.270
	13h22	18.2	1.236
	14h14	14.2	1.170
	14h59	9.6	0.985
	15h21	7.0	0.826
29. XII.	9h21	11.9°	1.086
	10h21	17.1	1.194
	11h17	19.9	1.265
	12h15	20.5	1.313
	13h13	18.7	1.274
	13h54	15.9	1.261
	14h56	10.0	1.051
	15h29	6.0	0.810

Radiazione totale del sole più cielo / Totalstrahlung von Sonne + Himmel

(Somme giornaliere / Tagessummen, in cal • cm^{-2}) Attinografo / Aktinograph Robitzsch

1944 — Locarno-Monti

	I	II	III	IV	V	VI	VII	VIII	IX	X	XI	XII
1	158	220	367	515	641	528	612	575	228	369	63	147
2	160	139	396	495	596	588	491	572	177	253	16	108
3	170	210	390	276	617	500	334	546	537	373	163	139
4	101	168	409	412	624	648	65	415	503	202	247	45
5	147	119	250	441	200	421	694	427	458	23	228	159
6	103	275	341	526	112	409	681	400	211	39	204	51
7	170	269	259	388	170	*—	580	537	72	126	206	100
8	103	212	358	116	520	—	374	433	417	196	222	16
9	164	238	356	134	599	—	235	117	464	16	231	165
10	97	52	329	316	308	52	627	608	100	45	184	155
11	164	271	337	535	568	683	589	550	185	346	208	47
12	132	253	411	289	573	644	656	552	437	330	210	108
13	136	281	337	410	599	571	636	539	126	43	12	149
14	48	265	352	493	394	551	535	519	315	175	61	141
15	172	295	420	112	599	715	560	488	407	290	208	129
16	153	295	445	47	107	417	553	418	320	45	200	71
17	118	257	362	65	189	333	620	462	277	202	190	43
18	178	196	435	399	590	364	477	440	134	284	190	80
19	164	192	346	401	158	371	612	522	388	307	155	43
20	195	285	367	255	130	404	580	504	51	317	35	24
21	168	188	443	562	259	619	121	462	462	31	147	29
22	197	77	420	508	585	495	531	464	420	163	84	159
23	54	101	388	569	613	630	508	524	28	243	126	8
24	222	206	462	573	580	670	576	469	149	64	149	120
25	54	327	498	354	652	384	569	354	466	239	20	137
26	208	329	428	571	657	151	569	482	364	266	163	139
27	201	57	418	618	648	189	430	477	219	255	165	145
28	195	36	445	556	443	275	385	404	153	152	163	145
29	227	40	432	636	450	588	437	217	400	56	135	117
30	199		216	634	641	675	251	309	392	41	167	139
31	222		299		643		611	57		231		116
Somme	4780	5853	11716	12206	14495	12875)	15502	13843	8860	5722	4552	3204
Media / Mittel	154.2	201.8	377.9	406.9	467.6	(476.8)	500.1	446.5	295.3	184.6	151.7	103.4

Somma annuale 113 608 — Media 313.9

* Attinografo in riparazione / Aktinograph in Reparatur.

Potere raffreddante / Abkühlungsgröße

di notte (n) e di giorno (d) (in mgcal • cm^{-2} • sec^{-1}) nachts (n) und am Tage (d)

1944 — Frigorimetro / Frigorimeter — Locarno-Monti

Giorno	Gennaio		Febbraio		Marzo		Aprile		Maggio		Giugno		Luglio		Agosto		Settembre		Ottobre		Novembre		Dicembre	
	n	d	n	d	n	d	n	d	n	d	n	d	n	d	n	d	n	d	n	d	n	d	n	d
1	19.0	20.2	14.0	10.3	19.6	19.5	15.7	11.6	9.0	5.8	6.4	3.5	*—	—	—	—	—	—	—	—	—	—	—	—
2	17.8	12.2	15.0	11.8	19.8	19.9	13.4	8.6	13.5	4.0	6.1	2.0	—	—	—	—	—	—	—	—	—	—	—	—
3	15.0	10.9	14.8	13.0	19.8	19.6	10.7	12.4	9.0	8.7	6.4	5.1	—	—	—	—	—	—	—	—	—	—	—	—
4	16.6	17.5	17.4	17.1	20.0	20.0	11.4	8.2	8.5	3.6	7.0	3.0	—	—	—	—	—	—	—	—	—	—	—	—
5	19.0	19.8	19.4	19.6	20.2	19.9	11.2	6.0	15.9	13.2	9.7	6.4	—	—	—	—	—	—	—	—	—	—	—	—
6	19.0	17.8	18.5	19.4	20.2	19.4	10.0	3.8	11.2	13.6	10.4	4.5	—	—	—	—	—	—	—	—	—	—	—	—
7	17.9	14.3	19.7	15.5	20.3	19.2	8.6	7.4	14.2	13.0	8.9	6.4	—	—	—	—	—	—	—	—	—	—	—	—
8	15.1	17.1	15.7	15.7	19.7	19.2	7.7	9.5	11.2	9.0	10.0	3.7	—	—	—	—	—	—	—	—	—	—	—	—
9	16.1	12.8	19.8	18.9	20.2	19.4	9.6	8.5	12.9	11.4	8.1	5.4	—	—	—	—	—	—	—	—	—	—	—	—
10	15.3	12.7	18.9	17.4	20.6	19.4	10.2	7.8	14.1	10.6	7.4	12.5	—	—	—	—	—	—	—	—	—	—	—	—
11	15.2	15.0	20.0	19.2	20.5	19.5	10.9	7.0	17.2	*—	10.5	4.4	—	—	—	—	—	—	—	—	—	—	—	—
12	16.1	12.7	19.7	19.3	20.3	20.4	11.2	7.7	*—	—	9.1	4.1	—	—	—	—	—	—	—	—	—	—	—	—
13	16.1	14.7	20.2	18.2	20.6	19.4	14.0	7.0	—	—	6.7	3.6	—	—	—	—	—	—	—	—	—	—	—	—
14	15.1	15.6	19.4	16.4	20.0	19.9	9.4	4.3	—	—	5.5	4.4	—	—	—	—	—	—	—	—	—	—	—	—
15	18.8	11.3	15.7	14.8	20.2	19.5	8.8	9.1	—	—	8.8	4.1	—	—	—	—	—	—	—	—	—	—	—	—
16	17.9	15.0	15.4	14.7	20.2	19.7	9.3	9.0	—	—	10.8	6.1	—	—	—	—	—	—	—	—	—	—	—	—
17	16.0	14.4	16.3	14.8	20.1	19.7	17.9	11.2	15.5	8.6	8.8	13.2	—	—	—	—	—	—	—	—	—	—	—	—
18	16.3	12.3	15.8	18.1	20.4	20.1	12.5	7.1	14.3	7.0	14.2	9.3	—	—	—	—	—	—	—	—	—	—	—	—
19	14.4	11.1	18.1	18.3	19.9	19.7	10.1	9.2	10.8	11.7	10.9	11.7	—	—	—	—	—	—	—	—	—	—	—	—
20	15.8	12.7	18.5	17.9	20.5	16.7	14.4	9.8	10.2	10.1	17.0	7.2	—	—	—	—	—	—	—	—	—	—	—	—
21	16.0	13.6	17.1	16.2	(19.8)	18.1	8.6	3.5	12.9	8.5	9.6	5.0	—	—	—	—	—	—	—	—	—	—	—	—
22	16.0	10.7	15.5	17.9	20.0	20.2	9.9	2.8	16.1	7.5	9.3	6.0	—	—	—	—	—	—	—	—	—	—	—	—
23	15.5	14.1	19.7	15.5	20.2	19.8	10.0	3.8	13.5	8.8	9.0	5.7	—	—	—	—	—	—	—	—	—	—	—	—
24	17.5	14.9	15.8	(18.5)	20.0	13.0	8.4	3.5	13.8	*—	15.7	11.1	—	—	—	—	—	—	—	—	—	—	—	—
25	14.8	15.4	(20.0)	18.0	12.8	7.2	8.5	7.2	9.5	—	17.7	13.6	—	—	—	—	—	—	—	—	—	—	—	—
26	18.2	16.8	19.6	19.3	12.1	11.4	14.0	7.0	7.3	1.6	12.6	10.8	—	—	—	—	—	—	—	—	—	—	—	—
27	18.2	14.1	20.0	19.1	13.5	8.0	11.8	8.1	6.0	1.2	18.6	12.5	—	—	—	—	—	—	—	—	—	—	—	—
28	14.4	9.1	20.1	19.2	15.5	13.2	12.0	6.4	8.2	4.8	10.8	10.7	—	—	—	—	—	—	—	—	—	—	—	—
29	13.0	7.7	19.8	19.1	11.7	10.1	11.0	8.0	7.1	3.8	10.8	8.6	—	—	—	—	—	—	—	—	—	—	—	—
30	14.0	8.4			10.4	9.7	15.0	5.4	7.7	1.8	13.0	5.8	—	—	—	—	—	—	—	—	—	—	—	—
31	14.1	9.4			11.2	9.5			5.6	2.0			—	—	—	—			—	—			—	—
Somma	504.2	424.3	519.9	496.5	570.6	530.3	336.2	221.2	—	—	309.5	210.4	—	—	—	—	—	—	—	—	—	—	—	—
Media Mittel	16.3	13.7	17.9	16.1	18.4	17.1	11.2	7.4	—	—	10.3	7.0	—	—	—	—	—	—	—	—	—	—	—	—
	15.0		17.0		17.8		9.3		—		8.6		—		—		—		—		—		—	

* Difetti nel Frigorimetro / Störungen im Frigorimeter.

Insolazione possibile nella regione del Lago Maggiore.

Chr. Thams e Fl. Ambrosetti

Zusammenfassung. An 15 Orten der näheren und weiteren Umgebung des schweizerischen Teiles des Lago Maggiore wurden Bestimmungen der effektiv, d. h. örtlich möglichen Sonnenscheindauer ausgeführt. Diese Messungen sind nicht nur wichtig bei der Beurteilung des klimatologischen Materials dieser Gegend, sie haben auch eine unmittelbar praktische Bedeutung für agrarmeteorologische, für siedelungstechnische Fragen und auch für Probleme, die mit der sogenannten Kurortplanung zusammenhängen. In der vorliegenden Arbeit wird gezeigt, wie verschieden die Bewertung der Sonnenscheinverhältnisse ausfallen muß, je nachdem, ob der Ort beispielsweise vom agrarmeteorologischen oder medizinischen Standpunkt aus betrachtet wird. Hier ist in erster Linie die Verteilung der Sonnenscheindauer auf die einzelnen Monate von ausschlaggebender Bedeutung. Die wesentlichsten Resultate unserer Untersuchungen finden sich in Tab. 1. Sie zeigen vor allem die großen Unterschiede, wie sie auf dem linken und rechten Ufer des Lago Maggiore bestehen. Am Schlusse der Arbeit werden neuere, von F. Lauscher eingeführte Begriffe, welche die Strahlungsverhältnisse eines Ortes charakterisieren sollen, diskutiert.

Résumé. En 15 divers endroits des environs proches et lointains de la partie suisse du Lac Majeur, il a été fait des déterminations de la durée effective (durée locale) possible de l'insolation. Ces mesures ne sont pas seulement importantes pour l'analyse du matériel climatologique de cette région, mais elles ont aussi une signification pratique immédiate dans les questions de météorologie agricole, de colonisation et les problèmes en rapport avec les projets de stations balnéaires. Le présent travail démontre les façons diverses de considérer l'insolation dans ces divers cas. Ainsi, pour l'agriculture la répartition de l'insolation mensuelle joue le rôle principal. Les résultats essentiels de nos recherches se lisent dans la tabelle 1. Ils montrent avant tout les grandes différences qui existent entre la rive gauche et la rive droite du Lac Majeur. Les nouvelles définitions introduites par F. Lauscher, qui devraient caractériser les conditions de radiation d'un lieu sont discutées à la fin de l'ouvrage.

1. Indroduzione.

Le tabelle climatiche delle stazioni della rete meteorologica svizzera contengono essenzialmente dati sui seguenti elementi meteorologici: temperatura dell'aria, umidità relativa, quantità della nebulosità, quantità delle precipitazioni, numero dei giorni con precipitazioni (pioggia, neve, grandine), temporali, nebbia, numero dei giorni chiari e oscuri, distribuzione dei venti (1). Tali elementi sono importanti ed indispensabili per caratterizzare il clima di una località. Nelle tabelle sopracitate manca però una grandezza molto importante: *la durata dell'insolazione.* Per misurare questa ultima esistono diversi apparecchi *(Campbell-Stokes, Jordan, Maurer)* (2), ma l'attrezzatura di tutte le stazioni, od anche solo della maggior parte di esse, con tali strumenti sarebbe molto costosa e per la nostra rete insopportabile. Possediamo però 30 stazioni in cui la durata dell'insolazione viene registrata in modo continuo (stato 1943). Ora la nebulosità costituisce una buona misura per l'insolazione di una località, poichè tra la quantità di nebulosità B in percento del cielo e la durata di sole S in percento della durata possibile, esiste approssimativamente la semplice relazione $B + S = 100$. Però due punti, con una nebulosità media uguale, sono di valore equivalente rispetto all'insolazione, solo quando la durata possibile di quest'ultima sia uguale. Nelle pianure molto estese e sulle vette delle montagne la durata dell'insolazione possibile è uguale a quella astronomica; nelle nostre valli, in parte molto intagliate, essa è assai inferiore. Come noto, nel nostro paese, esistono tante località dove durante diverse settimane il sole non appare neanche. A distanze orizzontali relativamente brevi si constatano differenze rilevanti. È molto importante conoscere tali differenze per scopi agrari-meteorologici, per questioni di cura-climatologica (per es. per l'impianto di istituti di cura), per problemi di colonizzazione interna ed altro ancora. Giudicare le condizioni di insolazione di un punto, ad occhio o secondo la sua latitudine, può condurre a giudizi errati.

Ci siamo posti il compito di studiare esattamente le condizioni di durata dell'insolazione nei dintorni vicini e lontani della parte svizzera del Lago Maggiore. Siamo stati spinti a questo lavoro da bisogni pratici, poichè spesso ci si domanda da diverse parti se i punti intorno al Lago Maggiore abbiano veramente condizioni d'insolazione tanto differenti.

Le nostre ricerche si riferiscono alla determinazione della durata dell'insolazione effettivamente *possibile* e non a quella reale come risulta dalla nebulosità variabile. Per determinare l'insolazione reale, bisognerebbe mettere in diversi punti registratori dell'insolazione ed intraprendere registrazioni continue per un certo numero di anni. Siccome la nebulosità è su per giù uguale in tutta la regione in parola, anche la durata dell'insolazione effettivamente possibile dà una buona idea circa le differenze dell'insolazione nei diversi posti.

2. Metodo per determinare la durata dell'insolazione effettivamente possibile.

In un luogo senza rialzamento dell'orizzonte la durata dell'insolazione effettivamente possibile è uguale a quella astronomicamente possibile secondo la sua latitudine. Tale durata può essere calcolata con le note formule astronomiche. *K. Schütte*, nel suo libretto «Wann geht die Sonne auf und unter?» (3) ha creato un procedimento grafico molto pratico, collegando su carte geografiche con scala 1: 11 milioni tutti i punti aventi uguale levata, rispettivamente tramonto, del sole. Su queste carte si può leggere l'ora della levata e quella del tramonto e da esse dedurre la durata possibile dell'insolazione. Queste carte danno la durata astronomicamente possibile.

Per determinare la durata dell'insolazione effettivamente possibile secondo il rialzamento dell'orizzonte esistono diversi procedimenti. Il più semplice è quello di osservare realmente la levata ed il tramonto. Questo metodo, benchè talvolta assai disagevole, è molto esatto. Il procedimento più conosciuto consiste nel costruire per il luogo considerato le traiettorie del sole secondo l'altezza e l'azimut e nel misurare poi con un teodolite l'orizzonte. Sono pure stati costruiti diversi strumenti. Ricordiamo qui l'integratore dell'insolazione di *A. Schlein* (4), il misuratore dell'arco solare giornaliero di *Wilhelm Schmidt* (5), come pure l'eliocronometro e l'eliofotometro descritti da *P. L. Mercanton* (6). Degli strumenti menzionati il più pratico è il misuratore dello arco solare giornaliero di *W. Schmidt*, poichè permette di leggere sull'apparecchio stesso l'ora della levata e del tramonto. Anche un cannocchiale astronomico od un teodolite in posizione parallatica sarebbe adatto per lo scopo (si confronti l'eliocronometro di *P. L. Mercanton*). Spesso per determinare la durata dell'insolazione possibile, furono utilizzate le registrazioni degli eliografi dei giorni senza nubi. Ciò per primo da *J. Maurer* (7) e più tardi da *V. Conrad* (8). Però questi strumenti, data la loro diversa sensibilità e causa altre manchevolezze, danno diversi valori.[1]

Abbiamo calcolato la durata d'insolazione con il metodo della misurazione dell'orizzonte. La costruzione delle traiettorie solari è stata sensibilmente semplificata dal metodo grafico descritto da *K. Schütte* (10) e ampliato da *P. Gruner* (11) e *M. Awerkiew* (12). In più, grazie alla favorevole circostanza che i diversi punti sono l'un l'altro sufficientemente vicini da poter utilizzare senza preoccupazioni la stessa latitudine, fu necessario disegnare una sola tavola per determinare altezza ed azimut del sole. Il Sig. Prof. A. Kreis (Coira) ci ha messo a disposizione un piccolo teodolite, facilmente trasportabile (N° 3876 GHD Emil Pfenninger & Co., Zurigo). Di ciò lo ringraziamo sentitamente. L'orizzonte fu in generale misurato di 2 in 2 gradi, oltre i cosid-

Fig. 1.

Carta con i punti, in cui furono eseguite misurazioni dell'orizzonte.

[1] È ancora da rilevare che la durata dell'insolazione, determinata con l'aiuto degli eliografi nei giorni senza nubi, risulta differente non solo causa la diversità del tipo degli apparecchi di registrazione, bensì anche per lo stesso strumento tale durata dipende dalla configurazione dell'orizzonte. Tanto più elevato sarà l'orizzonte, altrettanto migliore sarà in generale la concordanza dei valori ottenuti con gli eliografi con quelli calcolati, poichè il sole già relativamente elevato avrà una intensità di radiazione sufficientemente forte per lasciare quasi istantaneamente sulla striscia di registrazione una traccia, rispettivamente per impressionare la carta fotografica. Si confronti a questo rapporto le diligenti ricerche di *M. Bider* (9) a Basilea. Nonostante le manchevolezze ricordate, la durata dell'insolazione effetivamente possibile determinata con gli eliografi, è in generale sufficientemente esatta per gli scopi climatici.

detti punti notevoli (cime delle montagne, punti più bassi, ecc.).

L'esattezza di questo procedimento dipende dalle dimensioni del diagramma di *Schütte*, dalle traiettorie solari, dalla configurazione dell'orizzonte, ecc. Inoltre si deve poter disporre di un buon teodolite ed eseguire una misurazione corretta. Le levate ed i tramonti che abbiamo ottenuto con il metodo grafico concordano molto bene con quelli osservati. Quando le intersezioni delle traiettorie solari con l'orizzonte non sono ben definite, allora naturalmente l'esattezza è inferiore. Il Sig. Ing. K. *Rapp* a Locarno-Monti ha avuto la gentilezza di eseguire una serie di misure con il suo rifrattore *Merz* (5 1/3 Zoll) in posizione parallatica, le quali diedero una concordanza molto soddisfacente. In più per i nostri scopi climatici un'esattezza di 2—3 minuti è più che sufficiente. Per queste ragioni non abbiamo tenuto conto della rifrazione, la quale è trascurabile per l'altezza del nostro orizzonte. Però per determinare la durata dell'insolazione astronomicamente possibile, la rifrazione deve essere tenuta in considerazione.

3. Materiale d'osservazione.

Abbiamo eseguito misurazioni dell'orizzonte per determinare la durata dell'insolazione possibile nei posti seguenti: *Locarno-Monti* (Osservatorio), *Locarno-città, Delta della Maggia, Losone, Ascona, Ronco s/Ascona, Brissago, S. Abbondio, Gerra-Cambarogno, Vira-Gambarogno, Aeroporto (Piano di Magadino), Gordola, Bellinzona e Brione s/Minusio.* Nella fig. 1 sono appunto notate tali località in una carta geografica. Spesso è molto difficile trovare un punto adatto per la misurazione dell'orizzonte nell'abitato stesso. Ciò vale specialmente per i villaggi ticinesi in cui, come noto, le case sono costruite le une molto vicine alle altre. Qualche volta anche la vegetazione rigogliosa è di impedimento. Per ottenere misurazioni utilizzabili occorre talora scegliere un punto in margine all'abitato, quando non si abbia la fortuna di poter misurare sul tetto piano di una casa che sorpassa gli edifici circostanti. La descrizione particolareggiata dei punti di misurazione si trova nell'appendice di questo lavoro. Naturalmente anche nell'interno di uno stesso posto si presentano differenze della durata dell'insolazione possibile, però queste in generale sono trascurabili data la piccolezza degli abitati. Tuttavia a Bellinzona abbiamo misurato in due punti.

Nella Svizzera furono già eseguite ripetutamente misurazioni analoghe del rialzamento dell'orizzonte per determinare la durata possibile dell'insolazione in diversi punti di una regione limitata. Così *C. Dorno* (ved. 13) a Davos, *F. W. P. Götz* (13) ad Arosa e *H. Gutersohn* (14) a Zurigo eseguirono determinazioni della durata dell'insolazione in diversi punti dei luoghi menzionati.

4. Risultati.

I risultati più importanti delle nostre ricerche sono raccolti nella tabella 1. Questa contiene le somme mensili ed annuali della durata dell'insolazione in ore, la durata giornaliera media per ogni mese e l'anno, le somme giornaliere massima e minima, la cosiddetta amplitudine cioè il rapporto tra le due ultime grandezze, ed infine la perdita in percento rispetto l'orizzonte astronomico.

Consideriamo dapprima la somma annuale. La più piccola la troviamo a S. Abbondio con 3090 ore, seguono poi Gerra e Bellinzona. Queste località perdono, causa il rialzamento dell'orizzonte, circa il 30 %. Una posizione un po' più favorevole hanno Vira, Brissago e Ronco con 23—26 %. Gli altri posti presentano una perdita di solo 13—17 %. Aeroporto e Locarno-Monti, con le maggiori durate dell'insolazione possibile di 3899 ore annue, rispettivamente di 3877[2], hanno solo perdite del 13 e del 14 %. Tuttavia queste perdite appaiono ancora assai elevate se si confrontano per esempio con la corrispondente di Zurigo (Istituto di Fisica della S. P. F.), la quale raggiunge appena il 6 %.

In certo qual modo sorprendente è la somma annuale relativamente elevata di Vira che, posto ai piedi del massiccio del Gambarogno, raggiunge quasi la somma annuale di Brissago. Quanto siano differenti queste località e come poco caratteristica sia la somma annuale delle ore di sole per un posto dal punto di vista medico o agrario-meteorologico, si vede quando si studia come tale somma sia distribuita nei diversi mesi, rispettivamente giorni. Già la sola considerazione dell'amplitudine, cioè il rapporto tra massimo e minimo giornaliero, è molto istruttiva.

Brissago ha una amplitudine di 2.27, Vira di 14.50! Gerra e S. Abbondio, che si trovano pure nel Gambarogno, hanno amplitudini di 4.50 rispettivamente 3.20, mentre le altre stazioni presentano valori compresi tra 1.61 e 2.50. Vira ha in dicembre una durata giornaliera d'insolazione di 1 ora e raggiunge in estate 14.5 ore, mentre a Brione le differenze sono molto meno pronunciate: 7.7 ore in inverno e 12.4 ore in estate.

La distribuzione della durata dell'insolazione è di importanza decisiva e climatologicamente più caratterstica della somma annuale.

Nel giudicare la distribuzione della durata d'insolazione si possono applicare diversi criteri. Studiando ad esempio il problema dal punto di vista medico, siamo portati a preferire un luogo in cui in inverno ci sia relativamente più sole che in estate, con altre parole, nel quale le perdite percentuali in inverno siano minori che non d'estate.

Considerando le stazioni in cui abbiamo misurato l'orizzonte secondo il detto criterio medico, troviamo che Brione s. Minusio presenta condizioni molto favorevoli. Nei mesi invernali le perdite rispetto l'orizzonte astronomico comportano solamente 11—12 %, in estate invece 17—22 %, la durata giornaliera media raggiunge in inverno 8.3 ore! Anche Gordola ha una situazione similmente favorevole.

Condizioni completamente opposte presentano invece i punti del Gambarogno, specialmente Vira. Nei mesi di dicembre e gennaio Vira ha una perdita dell'87 rispet-

[2] *W. Brückmann* (15) ha determinato nel 1935 la durata effettivamente possibile dell'insolazione per Locarno-Monti. I suoi valori corrispondono con i nostri nella somma annuale fino a 14 ore; egli trovò infatti un valore di 3863 ore.

Tab. 1.

Somme mensili e medie giornaliere in ore dell'insolazione effettivamente possibile e perdita in percento rispetto all'orizzonte astronomico. Monatssummen und mittlerer Tagesbetrag in Stunden der effektiv möglichen Sonnenscheindauer und prozentualer Verlust gegenüber dem astronomischen Horizont.

Località / Ort		I	II	III	IV	V	VI	VII	VIII	IX	X	XI	XII	Somma annuale Jahressumme	Durata giornaliera Tägliche Dauer mass.	min.	Amplitudine Amplitude
Astronomicamente possibile		282	289	368	406	463	471	477	439	376	338	283	270	4462	15.8	8.6	1.84
Astronomisch möglich		**9.1**	**10.3**	**11.9**	**13.5**	**14.9**	**15.7**	**15.4**	**14.1**	**12.6**	**10.9**	**9.4**	**8.7**	**12.2**			
Brione s. Minusio		249	258	330	344	373	370	378	363	331	306	249	240	3792	12.4	7.7	1.61
		8.0	**9.2**	**10.7**	**11.5**	**12.0**	**12.3**	**12.2**	**11.7**	**11.0**	**9.9**	**8.3**	**7.7**	**10.4**			
		% 12	*11*	*10*	*15*	*19*	*22*	*21*	*17*	*12*	*9*	*12*	*11*	*15*			
Locarno-città		214	237	326	369	403	402	411	393	343	291	219	206	3815	13.4	6.6	2.03
		6.9	**8.5**	**10.5**	**12.3**	**13.0**	**13.4**	**13.3**	**12.7**	**11.4**	**9.4**	**7.3**	**6.6**	**10.5**			
		% 24	*18*	*11*	*9*	*13*	*15*	*14*	*10*	*9*	*14*	*23*	*24*	*15*			
Locarno-Monti		225	247	332	369	404	404	412	392	347	298	233	213	3877	13.5	6.8	1.99
		7.3	**8.8**	**10.7**	**12.3**	**13.0**	**13.5**	**13.3**	**12.6**	**11.6**	**9.6**	**7.8**	**6.9**	**10.6**			
		% 20	*14*	*10*	*9*	*13*	*14*	*14*	*11*	*8*	*12*	*18*	*21*	*14*			
Delta della Maggia		205	225	317	367	424	421	432	402	334	272	215	179	3792	14.0	5.6	2.50
		6.6	**8.0**	**10.2**	**12.2**	**13.7**	**14.0**	**13.9**	**13.0**	**11.1**	**8.8**	**7.2**	**5.8**	**10.4**			
		% 27	*22*	*14*	*10*	*8*	*10*	*9*	*8*	*11*	*20*	*24*	*34*	*15*			
Losone		206	228	310	355	418	416	426	391	332	275	215	201	3773	13.9	6.1	2.28
		6.6	**8.1**	**10.0**	**11.8**	**13.5**	**13.9**	**13.7**	**12.6**	**11.0**	**8.9**	**7.2**	**6.5**	**10.3**			
		% 27	*21*	*16*	*13*	*10*	*12*	*11*	*11*	*12*	*19*	*24*	*26*	*16*			
Ascona		206	226	312	352	403	408	414	381	326	272	211	196	3709	13.7	6.3	2.18
		6.6	**8.1**	**10.0**	**11.7**	**13.0**	**13.6**	**13.3**	**12.3**	**10.9**	**8.8**	**7.0**	**6.3**	**10.2**			
		% 27	*22*	*15*	*13*	*13*	*13*	*13*	*13*	*13*	*20*	*25*	*27*	*17*			
Ronco s. Ascona		207	219	292	326	361	359	366	348	302	261	211	199	3451	12.0	6.4	1.88
		6.7	**7.8**	**9.4**	**10.8**	**11.6**	**12.0**	**11.8**	**11.2**	**10.1**	**8.4**	**7.0**	**6.4**	**9.5**			
		% 27	*24*	*21*	*20*	*22*	*24*	*23*	*21*	*20*	*23*	*25*	*26*	*23*			
Brissago		194	212	277	319	371	374	380	351	287	250	202	174	3389	12.5	5.5	2.27
		6.3	**7.6**	**8.9**	**10.6**	**12.0**	**12.4**	**12.2**	**11.3**	**9.6**	**8.1**	**6.7**	**5.6**	**9.3**			
		% 31	*26*	*25*	*22*	*20*	*21*	*20*	*20*	*24*	*26*	*29*	*36*	*24*			
S. Abbondio	Gambarogno	147	179	258	295	357	382	377	324	269	217	158	126	3090	12.8	4.0	3.20
		4.7	**6.4**	**8.3**	**9.8**	**11.5**	**12.7**	**12.2**	**10.4**	**9.0**	**7.0**	**5.3**	**4.1**	**8.5**			
		% 48	*38*	*30*	*27*	*23*	*19*	*21*	*26*	*28*	*36*	*44*	*53*	*31*			
Gerra	Gambarogno	126	177	256	306	380	403	400	346	270	220	147	96	3126	13.5	3.0	4.50
		4.1	**6.3**	**8.2**	**10.2**	**12.3**	**13.4**	**12.9**	**11.2**	**9.0**	**7.1**	**4.9**	**3.1**	**8.6**			
		% 55	*39*	*30*	*25*	*18*	*14*	*16*	*21*	*28*	*35*	*48*	*64*	*30*			
Vira	Gambarogno	96	183	263	360	431	434	442	405	295	223	142	34	3308	14.5	1.0	14.50
		3.1	**6.5**	**8.5**	**12.0**	**13.9**	**14.5**	**14.3**	**13.1**	**9.8**	**7.2**	**4.7**	**1.1**	**9.1**			
		% 66	*37*	*29*	*11*	*7*	*8*	*7*	*8*	*22*	*34*	*50*	*87*	*26*			
Aeroporto Magadino		226	249	329	374	420	416	426	402	342	293	236	186	3899	13.9	5.8	2.40
		7.3	**8.9**	**10.6**	**12.5**	**13.5**	**13.9**	**13.7**	**13.0**	**11.1**	**9.5**	**7.9**	**6.0**	**10.7**			
		% 20	*14*	*11*	*8*	*9*	*12*	*11*	*8*	*9*	*13*	*17*	*31*	*13*			
Bellinzona-città		178	216	278	300	337	346	348	320	282	253	192	158	3207	11.6	5.0	2.32
		5.7	**7.7**	**9.0**	**10.0**	**10.9**	**11.5**	**11.2**	**10.3**	**9.4**	**8.2**	**6.4**	**5.1**	**8.8**			
		% 37	*25*	*24*	*26*	*27*	*26*	*27*	*27*	*25*	*25*	*32*	*42*	*28*			
Bellinzona-campagna		192	206	252	281	330	348	348	306	260	237	201	177	3136	11.7	5.6	2.09
		6.2	**7.4**	**8.1**	**9.4**	**10.6**	**11.6**	**11.2**	**9.9**	**8.7**	**7.6**	**6.7**	**5.7**	**8.6**			
		% 32	*29*	*32*	*31*	*29*	*26*	*27*	*30*	*31*	*30*	*29*	*34*	*30*			
Gordola		243	252	335	350	375	371	379	367	340	299	246	234	3791	12.4	7.5	1.66
		7.8	**9.0**	**10.8**	**11.7**	**12.1**	**12.4**	**12.2**	**11.8**	**11.3**	**9.6**	**8.2**	**7.5**	**10.4**			
		% 14	*13*	*9*	*14*	*19*	*21*	*20*	*16*	*10*	*12*	*13*	*13*	*15*			

tivamente 66 %, in febbraio subentra un miglioramento sensibile, la perdita è però ancora del 37 %. Nei mesi estivi Vira subisce una perdita di solo 7—8 %, ciò che rappresenta il valore minimo di tutte le stazioni. I valori di Gerra e S. Abbondio non sono così pronunciati, in ogni modo sono pur sempre rimarchevoli. Invece Ronco e Bellinzona-campagna presentano una perdita distribuita regolarmente su tutto l'anno.

Si potrebbe naturalmente, sempre dal punto di vista medico, spingere lo studio della distribuzione delle ore di sole fino a calcolare il rapporto tra la durata dell'insolazione antimeridiana e quella pomeridiana, poichè per il paziente, per ragioni evidenti, il sole nelle prime ore del mattino è di minore importanza che non nel tardo pomeriggio ed alla sera. Ciò però ci condurebbe troppo lontano, e tale distribuzione sarebbe interessante solo per la conoscenza dell'insolazione reale.

Se consideriamo invece i valori della tabella 1 dal punto di vista agrario-meteorologico, arriviamo ad un giudizio completamente diverso.

Prendiamo ad es. Locarno-città con le distese di campi sul piano della Maggia ed i vigneti sul dosso sud della montagna e Vira (Gambarogno), che si trovano entrambi sulle rive del Lago-Maggiore e che, benchè distino fra loro di solo 4 km, presentano, come abbiamo visto, condizioni completamente opposte. Scegliamo

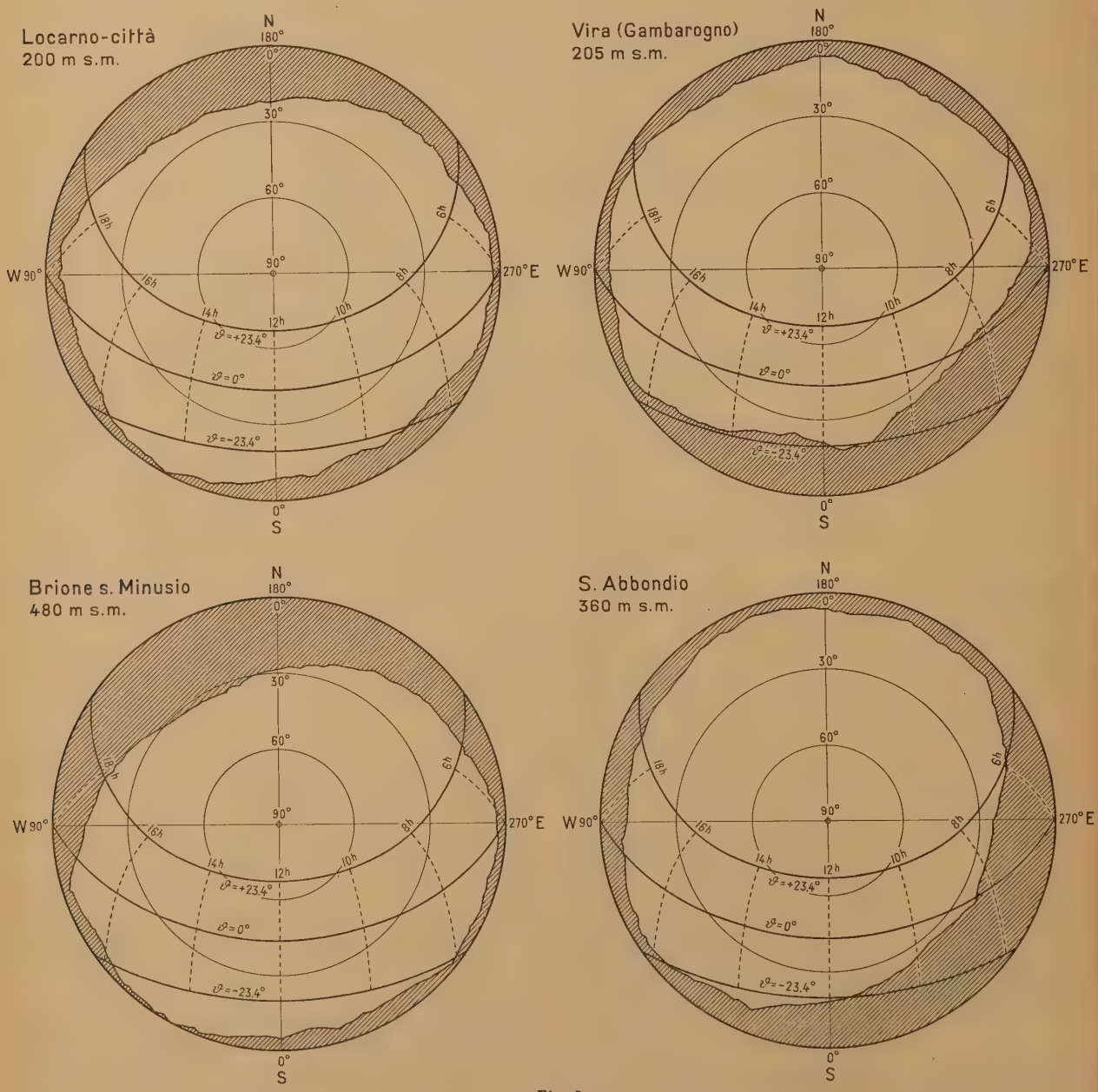

Fig. 2.

Diagramma delle condizioni d'insolazione in coordinate polari per quattro stazioni.

come parte dell'anno per il confronto, il periodo medio di vegetazione dell'uva, che va da principio aprile a fine ottobre. Locarno ha in questo periodo una durata media giornaliera possibile di 12.2, Vira di 12.1 ore di sole, quindi una differenza trascurabile.

Da questi pochi esempi deduciamo che si può arrivare a risultati completamente diversi, giudicando le condizioni d'insolazione di una località, a secondo del punto di vista da cui si parte.

F. Lauscher (ved. 16) ha dato in un lavoro intitolato «Grundlagen des Strahlungsklimas der Lunzer Kleinklimastationen» una rappresentazione molto chiara delle condizioni di insolazione di una località. Purtroppo non possediamo l'originale del lavoro citato, ma il contenuto è trattato in modo esauriente nell'opera di Rudolf Geiger «Das Klima der bodennahen Luftschicht» (16).

Si disegna in un sistema di coordinate polari l'orizzonte determinato con il teodolite, il centro del cerchio corrisponde allo zenit (90°), il cerchio esterno all'orizzonte matematico (0°). In questa rappresentazione sono pure disegnate le linee di altezza 30° e 60°, come pure le traiettorie solari del 21 giugno, 21 marzo e 21 dicembre. Le linee punteggiate congiungono i punti con uguale ora sulla traiettoria solare. Questa specie di rappresentazione dà un'immagine molto chiara della riduzione dell'orizzonte nelle diverse stazioni. Diamo quale esempio per le nostre misurazioni dell'orizzonte le segunti: Locarno-città, Vira, Brione e S. Abbondio (fig. 2).

L'esposizione diversa dei punti del pendio sud di Locarno e del pendio nord del Gambarogno viene messa molto bene in evidenza da questa rappresentazione. Locarno e Brione hanno un orizzonte relativamente basso al sud ed invece relativamente elevato al nord. Condizioni opposte presentano invece Vira e S. Abbondio.

Con l'aiuto delle traiettorie solari disegnate e con la loro suddivisione secondo le ore si può stimare la durata dell'insolazione nelle diverse stagioni. La rappresentazione in parola è sempre raccomandabile quando si voglia avere in breve un'idea generale delle condizioni d'insolazione di un punto.

F. Lauscher ha fatto il tentativo di esprimere con un numero il grado di schermatura dell'orizzonte. Egli considera tre grandezze: 1. l'angolo medio di schermatura dell'orizzonte h_m, 2. l'angolo spaziale ω della parte di cielo libero, in percento della semisfera celeste e finalmente 3. l'importo della radiazione totalmente diffusa D.

L'angolo medio di schermatura dell'orizzonte h_m è semplicemente la media dei valori misurati in tutte le direzioni dell'altezza angolare dell'orizzonte. Spesso si calcola solo la media dei valori corrispondenti alle otto direzioni principali del cielo. Però con un orizzonte molto frastagliato il valore così ottenuto risulta troppo casuale. Per questa ragione noi abbiamo calcolato h_m, ω e D come medie delle misurazioni corrispondenti alla rosa dei venti di 32 parti.

L'angolo spaziale ω della parte di cielo libero in percento della semisfera celeste si calcola con la formola $\omega = 100\ (1 - \text{sen}\ h)$, dove h è nuovamente l'altezza angolare. Evidentemente non si può determinare ω partendo da h_m. Bisogna invece calcolare ω per le singole direzioni separate e poi fare la media dei valori ottenuti.

Per quanto riguarda «*l'importo della radiazione totalmente diffusa*» D, si parte dall'ipotesi che la radiazione sia uguale per tutte le parti di cielo non schermate. In tal modo D rappresenta la radiazione diffusa del cielo libero sulla superficie orizzontale in percento della radiazione diffusa sul piano orizzontale con cielo completamente libero. D si calcola dalla formola: $D = 100\ (1 - \text{sen}^2 h)$. Secondo *F. Lauscher* D à da preferirsi a ω, siccomè tiene conto del fatto che le parti di cielo vicino all'orizzonte partecipano meno che le parti vicino allo zenit all'apporto di radiazione.

Abbiamo calcolato le tre grandezze menzionate per Locarno-città, Vira, Brione e S. Abbondio. Nella tab. 2 si trovano appunto i risultati, unitamente alla somma annuale delle ore di sole possibili e la relativa amplitudine (vedi tab. 1).

Tabella 2.

Località	h_m	ω	D	Somma annuale d. ore di sole	Amplitudine
Locarno-città	10.79°	81.39	95.50	3815	2.03
Vira	12.35°	78.81	93.92	3308	14.50
Brione	13.36°	77.34	89.19	3792	1.61
S. Abbondio	13.01°	77.73	93.34	3090	3.20

In certo qual modo i risultati sono sorprendenti ed in parte sono in uno strano contrasto con i dati della durata dell'insolazione.

Per esempio Brione — che ha una somma annuale di 3792 ore di sole, raggiungendo così quasi il valore dell'Aeroporto sul Piano di Magadino, e che inoltre presenta la più piccola amplitudine — ha il più grande angolo medio di schermatura dell'orizzonte, ed i valori minori per ω e D. S. Abbondio con la più piccola somma annuale di ore di sole ha un valore assai elevato di radiazione totalmente diffusa.

La ragione per cui queste grandezze concordano così poco con i valori della durata dell'insolazione va ricercata nel fatto che le altezze angolari dell'orizzonte sono valorizzate ugualmente per tutte le direzioni e che quindi le parti dell'orizzonte nord hanno, riguardo la radiazione, un influsso troppo forte. A Brione l'altezza angolare dell'orizzonte nord è di 28.6°, al sud invece di 5.4°. I numeri corrispondenti per S. Abbondio sono 6.3° rispettivamente 19.0°, per Vira 6.2° rispettivamente 21.5°.

Ci sembra quindi discutibile che i nuovi concetti di *F. Lauscher* siano adatti per caratterizzare le condizioni dell'insolazione, rispettivamente della radiazione di una località. Esse potrebbero esserlo se la radiazione fosse veramente diffusa per tutte le parti del cielo. Ciò che non corrisponde alla realtà: perfino con uno strato uniforme di cirrostrato o di altostrato la chiarezza del cielo è diversa nelle diverse parti del cielo.

Per quanto riguarda l'angolo medio h_m di schermatura dell'orizzonte e la durata dell'insolazione, si arriva ad un rapporto più stretto tra h_m e insolazione se non si considera nel calcolo di h_m la parte nord dell'oriz-

zonte. Per questo scopo si fa la media delle singole altezze angolari dell'orizzonte nella regione dell'azimut (h_a), in cui il sole può levarsi e tramontare, per la nostra latitudine quindi per l'azimut compreso tra 235—0—125°, in cui il punto Sud corrisponde a 0°.

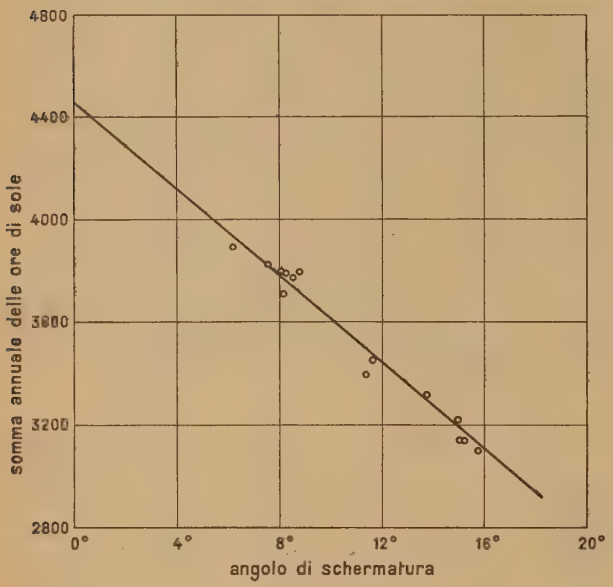

Fig. 3.

Relazione tra angolo medio di schermatura e somma annuale della durata dell'insolazione.

Curva: somma annuale della durata d'insolazione con un angolo di schermatura costante in tutte le direzioni (teorico).

Punti: somma annuale della durata dell'insolazione e angolo medio di schermatura delle stazioni considerate.

Il risultato per le quattro stazioni ricordate si trova nella tabella 3. La stretta relazione tra h_a e la somma annuale delle ore di sole è evidente. h_a medio è stato dedotto da 23 valori particolari.

Tabella 3.

Località	h_a	Somma annuale delle ore di sole
Locarno-città	7.34	3815
Vira	13.57	3308
Brione	8.15	3792
S. Abbondio	15.67	3090

Qui si può porre la domanda se non sia possibile stimare la somma annuale delle ore di sole con l'aiuto del valore medio h_a di schermatura dell'orizzonte. A tale scopo abbiamo calcolato la durata dell'insolazione per la nostra latitudine e per diversi valori del rialzamento dell'orizzonte, con l'ipotesi che questo abbia ovunque un'altezza costante. Così si ottiene una curva che rappresenta la somma annuale delle ore di sole in funzione del rialzamento medio dell'orizzonte. Nel disegno sono pure riportati i valori dell'angolo medio di schermatura dell'orizzonte e le corrispondenti somme annuali della durata dell'insolazione, ottenuti con le nostre misurazioni nelle diverse stazioni. Come si vede dalla fig. 3 la concordanza è soddisfacente.

Come abbiamo già fatto rimarcare la somma annuale della durata d'insolazione dice climatologicamente troppo poco circa le condizioni della radiazione solare in un luogo: molto più decisiva è la distribuzione.

Il tentativo di calcolare o meglio stimare la durata d'insolazione per un periodo più breve di un anno, ad esempio per un mese, con l'angolo medio di schermatura dell'orizzonte, conduce naturalmente, secondo le nostre ricerche, a risultati soddisfacenti solo quando l'orizzonte non sia troppo frastagliato.

Vediamo quindi che qui non possiamo impiegare un procedimento abbreviato.

Alla fine di questo lavoro desideriamo ringraziare *le competenti autorità militari* che ci hanno concesso di effettuare le misurazioni dell'orizzonte nella regione studiata. Un grazie pure vada al nostro collega *Dr. E. Zenone* per la sua collaborazione nel misurare l'orizzonte di diversi punti.

Appendice.

Descrizione esatta dei punti di misurazione.

1. Locarno-Monti (380 m s/m). Punto di misurazione è stata la terrazza d'osservazione dell'Osservatorio Ticinese. Questo giace poco sotto la piccola chiesa dei Monti della Trinità.
2. Locarno-città (200 m s/m). La misurazione fu eseguita sul tetto piano del Kursaal; l'edificio è posto in situazione centrale e si trova nelle vicinanze del Debarcadero.
3. Delta della Maggia (200 m s/m). Il punto di misurazione si trova sulla parte sinistra dello sbocco della Maggia e nelle immediate vicinanze del ponte di legno che attraversa il fiume e del posto in cui si prepara la ghiaia.
4. Losone (235 m s/m). Siccome le case di questo piccolo abitato sono costruite molto vicino le une alle altre, si dovette scegliere il punto di misurazione ad oriente del limite del villaggio, a circa 150 m dalla chiesa di S. Lorenzo. In questa parte si trovano le costruzioni nuove di Losone. Nel paese stesso le condizioni d'insolazione sono probabilmente un po' meno favorevoli.
5. Ascona (210 m s/m). Abbiamo scelto un punto che giace ancora in Ascona, sebbene non nel centro, e precisamente sul quai. La misurazione è stata eseguita sulla torre del cosiddetto Castello.
6. Roneo s. Ascona (355 m s/m). Il punto di misurazione si trova sul sagrato della chiesa Maria Assunta, sopra la strada che conduce da Porto Ronco a Ronco.
7. Brissago (205 m s/m). Fu misurato sul tetto piano della nuova fabbrica di tabacchi. Probabilmente a Brissago si trovano anche punti con una durata d'insolazione superiore. Però le differenze dovrebbero essere di poca importanza.
8. S. Abbondio (360 m s/m). Nel villaggio stesso non si è trovato un posto adatto. Si è quindi scelto un punto che giace pressapoco a metà strada tra S. Abbondio e la frazione Calgiano.
9. Gerra-Gambarogno (ca. 210 m s/m). Il punto di misurazione è posto quasi al centro del villaggio, sulla terrazza del tetto di «Casa Bavata».

10. Vira-Gambarogno (205 m s/m). Fu misurato sulla terrazza del tetto di Casa Antognini. Questa si trova nella parte orientale del paese, non tanto lontano però dal centro.
11. Aeroporto (Piano di Magadino, 200 m s/m). Il punto di misurazione si trova sulla pista dell'Aeroporto, a circa 40 m dall'hangar.
12. Gordola (240 m s/m). Il punto di misurazione giace nella parte orientale del villaggio, circa 70—80 m al sud della chiesa di S. Antonio Abate.
13. Bellinzona. L'abitato è molto esteso. Si è perciò misurato in due posti:
    a) a nord del centro (230 m s/m) in un punto della masseria Christen;
    b) all'interno della città, e precisamente sulla terrazza del tetto di Casa Bolla sul viale della Stazione.
14. Brione s. Minusio (480 m s/m). Il punto di misurazione si trova un po' sopra l'abitato, circa 20—30 m più in alto della piccola chiesa della Madonna del Carmine.

Bibliografia.

1. *J. Maurer, R. Billwiller* und *C. Heß*, Das Klima der Schweiz, Vol. II, pag. 151, 1910.
   Annalen der Schweizerischen Meteorologischen Zentralanstalt.
2. *E. Kleinschmidt*, Handbuch der meteorologischen Instrumente, pag. 185, Berlin 1935.
3. *K. Schütte*, Wann geht die Sonne auf und unter? Berlin und Bonn 1930.
4. *A. Schlein*, Der «Sonnenschein-Integrator», ein Instrument zur mechanischen Bestimmung der effektiv möglichen Sonnenscheindauer, M. Z. *48* (1931), pag. 499.
   A. Schlein, Nachtrag zu «Der Sonnenschein-Integrator, ein Instrument zur mechanischen Bestimmung der effektiv möglichen Sonnenscheindauer», M. Z. *49* (1932), pag. 277.
5. *Wilhelm Schmidt*, Der Tagbogenmesser, ein Gerät zum Verfolgen der Bahn der Sonne am Himmel, M. Z. *50* (1933), pag. 328.
6. *P. L. Mercanton*, Zur Frage der Messung der möglichen Sonnenscheindauer (Insolation) eines Ortes, M. Z. 1934, pag. 62.
   P. L. Mercanton, L'insolation à la Station centrale suisse de Météorologie (MZA) à Zurich, Annalen der Schweiz. Meteorologischen Zentralanstalt, 1935, Nr. 6.
7. *J. Maurer*, Aus 25jährigen Aufzeichnungen der Sonnenscheindauer in der Schweiz, M. Z. (1911), pag. 193.
   J. Maurer, R. Billwiller und *C. Heß*, Das Klima der Schweiz, Vol. I, pag. 90, 1909.
8. *V. Conrad*, Ermittlung der effektiv möglichen Sonnenscheindauer bei Horizontüberhöhungen, Gerlands Beiträge zur Geophysik, Vol. 21, pag. 366, 1929.
   V. Conrad, Zum Vergleich der Sonnenscheinregistrierung zweier Orte mit verschieden geformtem Horizont, Zeitschrift für angewandte Meteorologie, 18mo anno, fasc. 12.
   V. Conrad, Die klimatologischen Elemente und ihre Abhängigkeit von terrestrischen Einflüssen, Handbuch der Klimatologie von W. Köppen und R. Geiger, Vol. I, Parte B, Berlin 1936.
9. *M. Bider*, Vergleich der Registrierungen des Maurerschen Heliochronographen und des Campbell-Stokesschen Autographen, Atti della Società Elvetica di Scienze Naturali, Coira 1938, pag. 135.
10. *Karl Schütte*, Ein einfaches graphisches Verfahren zur Bestimmung von Höhe und Azimut der Sonne, M. Z. *48* (1931), pag. 314.
11. *P. Gruner*, Die graphische Bestimmung des Azimutes der Sonne nach dem Schütteschen Verfahren, M. Z. *52* (1935), pag. 306.
12. *M. Awerkiew*, Zur Frage des Zeichnens eines Nomogramms für die Sonnenhöhenbestimmung, M. Z. *50* (1933), pag. 192.
13. *F. W. Paul Götz*, Das Strahlungsklima von Arosa, Berlin 1926, pag. 8.
14. *Heinrich Gutersohn*, Sonnenstrahlung und Bergschatten auf dem Gebiet der Stadt Zürich, Vierteljahresschrift der Naturforschenden Gesellschaft in Zürch, 79mo anno (1934, pag. 1.
15. *W. Brückmann*, Annalen der Schweizerischen Meteorologischen Zentralanstalt, 1935, No. 11a.
16. *Rudolf Geiger*, Das Klima der bodennahen Luftschicht, pag. 241—244, Braunschweig 1942.

Luftelektrische Messungen in Locarno-Monti

von

Fl. Ambrosetti

1. Einleitung und Material.

In einer unter dem gleichen Titel bereits erschienenen Arbeit (1) haben wir versucht, die Beziehungen zwischen den luftelektrischen Größen und einigen meteorologischen Faktoren festzustellen. In der vorliegenden Untersuchung befassen wir uns mit dem Jahres- und Tagesgang sowie der Häufigkeit der Anzahl der Groß- und Mittelionen, der Kleinionen und der Werte der elektrischen Leitfähigkeit der Luft. Wir verwenden das in den Jahren 1941—1943 und teils auch 1944 (Januar und März) gesammelte Material. Da keine sogenannten Normaltage definiert wurden, sind hier *alle* Meßtage herangezogen worden.

Die Messungen sind, mit Ausnahme der Nacht, auf den ganzen Tag verteilt. Im Jahre 1941 wurden im Januar, April, Mai und Juni während 8 und mehr Stunden während 14 Tagen sogar viertelstündliche Messungen der Groß- und Mittelionen ausgeführt. An drei Tagen wurden in der gleichen Weise die Kleinionen gemessen. Für die Ableitung des Jahres- und Tagesganges sowie für die Aufstellung der Jahresstatistik haben wir an diesen genannten Tagen jedoch nur die Stundenmittelwerte benützt.

Sonst fehlen im Jahre 1941 Messungen im Februar, März, in der ersten Hälfte des Aprils, in der zweiten und dritten Dekade von August und September sowie in der ersten und zweiten Dekade des Oktobers. Vom Jahre 1942 liegen keine Messungen vor von der letzten Februardekade und von der ersten und zweiten Märzdekade. Die Messungen erfolgten vom November 1941 an meist um 8, 11, 14 und 16 h, im Jahre 1942 jedoch auch noch zu andern Zeiten. In der zweiten Hälfte 1943 wurde fast ausschließlich an den genannten vier Terminen gemessen, in der ersten jedoch auch noch zu andern Zeiten.

Aus praktischen Gründen führen wir wieder folgende Abkürzungen ein: N_{t+} und N_{t-} für positive, bzw. negative Groß- und Mittelionen, N_{p+} und N_{p-} für positive und negative Kleinionen, $\lambda_{\mp}$ und λ_{-} für die positive und negative elektrische Leitfähigkeit der Luft.

Insgesamt wurden von Anfang 1941 bis März 1944 rund 2800 Messungen der Groß- und Mittelionen und ungefähr 2300 Bestimmungen der Kleinionen und der elektrischen Leitfähigkeit ausgeführt.

Die Daten für die Ionen geben die Anzahl der geladenen Teilchen pro cm^3 an; die Leitfähigkeit wird ausgedrückt in 10^{-6} E. S. E. Die in Klammern stehenden Zahlen der Tabellen geben die Anzahl Messungen an, die zur Mittelbildung gedient haben.

2. Der Jahresgang der luftelektrischen Größen.

Den Jahresgang haben wir ausschließlich aus den Messungen abgeleitet, die ab November 1941 von 8—9, 11—12, 14—15 und 16—17 h gemacht wurden, da nur zu diesen Terminen regelmäßig beobachtet wurde. Zur Bildung der Monatsmittel wurden auch nur diese Messungen herangezogen. Die Ergebnisse finden sich in Tabelle 1. Für die Konstruktion der Kurven in den Figuren 1 bis 3 wurden die Monatsmittel der Tabelle 1 verwendet unter Berücksichtigung der Anzahl der Messungen in jedem einzelnen Monat, den Monatsmitteln wurde also verschiedenes Gewicht gegeben.

Fig. 1

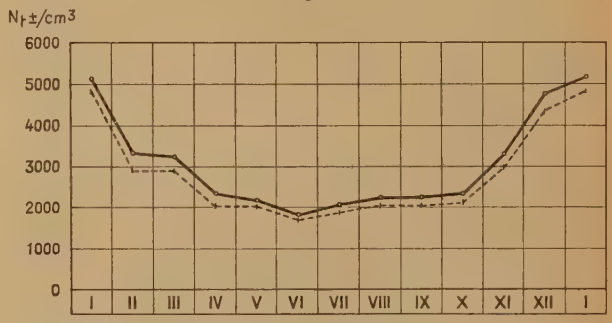

Jährlicher Gang der Anzahl der Groß- und Mittelionen (— positiv, – – – negativ).

Die Ergebnisse lassen sich wie folgt zusammenfassen:

a) *Groß- und Mittelionen:* Wie die Fig. 1 zeigt, tritt im Jahresgang der Anzahl der Groß- und Mittelionen ein ausgeprägtes Maximum im Winter (Januar) und ein Minimum im Sommer (Juni) auf.

Fig. 2

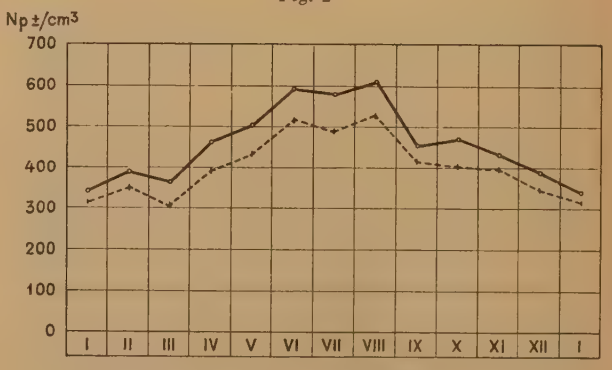

Jährlicher Gang der Anzahl der Kleinionen (— positiv, – – – negativ).

Monats- und Jahresmittel der luftelektrischen Größen.

Tabelle 1 (Die Zahlen in Klammern bedeuten die Anzahl der Messungen.)

Jahr	Monat	Groß- und Mittelionen		Kleinionen		Elektr. Leitfähigkeit der Luft x 10^{-6} E.S.E.	
		+	−	+	−	+	−
1941	XI.	3964 (60)	3685 (60)	359 (59)	336 (58)	66 (57)	65 (57)
	XII.	4398 (82)	3859 (82)	400 (81)	365 (81)	66 (80)	71 (80)
1942	I.	4663 (79)	4224 (79)	358 (79)	332 (79)	57 (76)	56 (75)
	II.	3602 (43)	3282 (43)	341 (42)	328 (42)	57 (42)	59 (42)
	III.	3049 (11)	2627 (11)	407 (12)	339 (12)	59 (12)	64 (11)
	IV.	2137 (64)	2214 (64)	388 (51)	375 (51)	76 (60)	79 (60)
	V.	1950 (57)	2036 (54)	472 (50)	404 (50)	91 (50)	92 (50)
	VI.	1857 (67)	1807 (67)	469 (61)	387 (61)	85 (59)	84 (59)
	VII.	1972 (89)	1932 (84)	545 (85)	453 (84)	96 (84)	93 (84)
	VIII.	2210 (66)	2160 (65)	520 (60)	419 (63)	92 (60)	76 (60)
	IX.	2149 (66)	2037 (65)	378 (60)	362 (60)	76 (61)	74 (61)
	X.	2200 (71)	2181 (72)	440 (67)	367 (66)	86 (69)	75 (66)
	XI.	2924 (67)	2755 (69)	426 (67)	403 (68)	72 (68)	80 (68)
	XII.	5010 (62)	4804 (63)	326 (60)	300 (59)	55 (61)	61 (61)
1943	I.	5153 (64)	5066 (62)	381 (18)	366 (18)	68 (63)	64 (62)
	II.	3089 (66)	2634 (66)	431 (40)	376 (40)	88 (66)	75 (66)
	III.	3496 (77)	3038 (77)	383 (75)	311 (76)	62 (77)	60 (76)
	IV.	2420 (72)	1826 (72)	515 (71)	402 (70)	82 (69)	79 (69)
	V.	2395 (56)	2021 (56)	528 (55)	453 (55)	100 (56)	82 (55)
	VI.	1783 (52)	1566 (57)	712 (57)	640 (57)	122 (57)	105 (57)
	VII.	2139 (54)	1745 (56)	554 (54)	539 (54)	108 (55)	100 (53)
	VIII.	2190 (47)	1802 (40)	709 (46)	651 (45)	123 (47)	110 (47)
	IX.	2252 (41)	1969 (39)	562 (39)	491 (39)	104 (40)	91 (40)
	X.	2437 (48)	1891 (48)	509 (44)	458 (43)	92 (43)	88 (40)
	XI.	2829 (47)	2299 (46)	520 (45)	452 (45)	91 (45)	90 (44)
	XII.	4834 (35)	4499 (35)	452 (36)	370 (33)	93 (36)	79 (36)
1944	I.	6094 (34)	5867 (33)	263 (33)	235 (32)	51 (33)	50 (33)
	II.	—	—	—	—	—	—
	III.	2574 (36)	2455 (36)	308 (35)	284 (35)	53 (36)	63 (35)
Jahresmittel 1942		2784 (742)	2669 (736)	429 (693)	378 (694)	77 (703)	76 (697)
Jahresmittel 1943		2926 (659)	2533 (654)	527 (580)	460 (575)	92 (654)	83 (646)

b) *Kleinionen* (Fig. 2): Die Anzahl der Kleinionen erreicht nach der Kurve den höchsten Wert im August und den tiefsten im Winter, und zwar bei den positiven im Januar, bei den negativen im März.

Aus der Tabelle 1 ist noch zu entnehmen, daß bei den Kleinionen das Maximum von Juni bis August und das Minimum von Dezember bis März auftreten kann.

Fig. 3

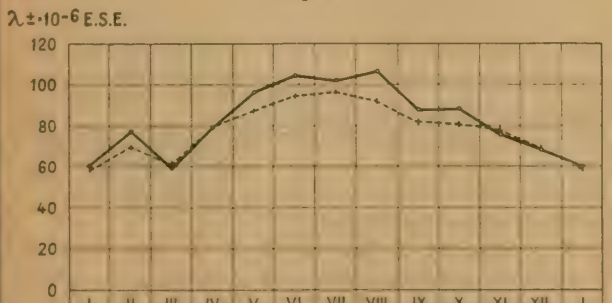

Jährlicher Gang der elektrischen Leitfähigkeit der Luft (— positiv, – – – negativ).

c) *Elektrische Leitfähigkeit* (Fig. 3): Die elektrische Leitfähigkeit hat ein Maximum im Sommer (positiv im August, negativ im Juli) und ein Minimum im Winter (positiv im März, negativ im Januar). Der höchste Wert tritt nach der Tabelle 1 im Juli oder August, der tiefste von Dezember bis März auf.

3. Jahresmittel der luftelektrischen Größen.

Aus den Beobachtungen der vier Termine 8, 11, 14 und 16 h haben wir die jährlichen Mittel für 1942 und 1943 gebildet. Die Resultate sind am Ende der Tabelle 1 aufgeführt.

a) Für die *Groß- und Mittelionen* fanden wir: 1942 ein Mittel von $N_{t+} = 2784$ (742), $N_{t-} = 2669$ (736) und 1943 $N_{t+} = 2926$ (659), $N_{t-} = 2533$ (654). Zwischen den Werten der zwei Jahre besteht also kein großer Unterschied. N_{t+} ist 1943 etwas größer und N_{t-} etwas kleiner als 1942. Bilden wir die Summe der Anzahl der positiven und der negativen Groß- und Mittelionen, dann bekommen wir für 1942 5453 und 1943

5459, also fast die gleichen Werte. Vergleicht man die Jahresmittel mit den Monatsmitteln, so sieht man, daß die Winterwerte bedeutend mehr als die Sommerwerte vom Jahresmittel abweichen. Nach den Ergebnissen der Jahre 1942 und 1943 liegen die Jahresmittel von N_{t+} und N_{t-} zwischen 2500 und 3000.

b) Für die Anzahl der *Kleinionen* fanden wir folgende Jahresmittel: 1942 $N_{p+} = 429$ (693), $N_{p-} = 378$ (694); 1943 $N_{p+} = 527$ (580), $N_{p-} = 460$ (575). Die Werte von 1943 sind also um rund 22% größer als jene von 1942. Die Abweichungen der sommerlichen Monatsmittel von den Jahresmitteln sind etwas größer als bei den winterlichen Monatsmitteln. Nach den Ergebnissen von 1942 und 1943 sind die Jahresmittel der Anzahl der Kleinionen prozentual größeren Schwankungen unterworfen als die Jahresmittel der Groß- und Mittelionen.

c) Für die *elektrische Leitfähigkeit* der Luft erhielten wir als Jahresmittel für 1942 $\lambda_+ = 77$ (703), $\lambda_- = 76$ (697), und für 1943 $\lambda_+ = 92$ (654), $\lambda_- = 83$ (646). Im erstgenannten Jahr sind die Werte für die positive und die negative Leitfähigkeit praktisch gleich, im zweiten Jahr hingegen ist das positive Leitvermögen um 11 % größer als das negative. Die Werte der gesamten Leitfähigkeit sind 1943 um rund 14 % größer als 1942. Die Unterschiede zwischen den größten Monatsmitteln und den Jahresmitteln sind ungefähr gleich jenen zwischen Jahresmittel und kleinsten Monatsmitteln. Nach den Messungen von 1942 und 1943 liegen die Jahresmittel der positiven und negativen Leitfähigkeit ungefähr zwischen 75 und 90×10^{-6} E. S. E.

4. Der Tagesgang der luftelektrischen Größen.

Der Tagesgang wurde aus Einzelmessungen abgeleitet, die meist zwischen 7 und 19 h gemacht wurden. Im Sommer führten wir auch einige Messungen vor 7 und nach 19 h aus. Zur Festlegung des Tagesganges wäre natürlich eine Registrierung der luftelektrischen Größen das gegebene. Da sie uns aber nicht zur Verfügung stand, haben wir hier versucht, aus dem zum Teil ungenügenden Material den täglichen Gang immerhin approximativ zu bestimmen. Wir verzichten hier aus technischen Gründen auf eine graphische Darstellung der gefundenen Werte und beschränken uns darauf, die Hauptresultate mitzuteilen.

a) *Groß- und Mittelionen.* Der Tagesgang der Anzahl der Groß- und Mittelionen zeigt ein Maximum am Vormittag und in fast allen Monaten ein Minimum am Nachmittag.

Das Maximum ist im Winter sehr ausgeprägt. Es tritt von November bis Februar zwischen 10—11 h, im März zwischen 9—10 h (interpoliert), im April von 8—9 h, im Mai zwischen 7—8 h, im Juni von 8—9 h, im Juli gegen 8 h, im August und September zwischen 8—9 h und im Oktober gegen 9 h auf.

Das Minimum tritt weniger prägnant in Erscheinung als das Maximum. Von November bis Januar liegt das Minimum zwischen 15—16 h, im Februar und März zwischen 14—15 h, im April gegen 13 h (interpoliert), im Juli zwischen 12—13 h, im August, September und Oktober zwischen 13—14 h. Für Mai und Juni konnte die Lage des Minimums nicht sicher bestimmt werden; auch an den vorher genannten Monaten verläuft die Kurve oft recht flach, so namentlich im Februar, März, April und Juli.

b) *Kleinionen.* Der Tagesgang der Anzahl der Kleinionen zeigt in seinem Verlauf nicht die Regelmäßigkeit wie jener der Groß- und Mittelionen.

Von Oktober bis Februar haben die Kleinionen ein Hauptmaximum von 7—8 h oder etwas früher und ein sekundäres Maximum etwa von 15—16 h. Im März tritt das Maximum vor 7 h auf; nachmittags ist der Verlauf der Kurven für eine Bestimmung zu flach. April zeigt Maximalwerte von 8—9 h, 11—12 h und 15—16 h. Im Mai erscheint ein Maximum von 8—9 h für die positiven Kleinionen und eine Stunde später für die negativen; dann erkennt man noch ein flaches Maximum etwa von 15—16 h. Juni, Juli, August und September zeigen Maximalwerte von 11—12 h. Ferner haben Juni und Juli noch Maximalwerte von 8—9 h, August von 7—8 h und September vor 7 h. Die Minimalwerte fallen auf folgende Zeiten: Dezember und Januar 11—12 h, November, Februar und März 10—11 h, April gegen 10 h. Mai hat ein Hauptminimum von 13—14 und ein Sekundärminimum von 10—11 h. Im Juni stellt sich ein sehr charakteristisches Minimum gegen 10 h ein. Für Juli ist die Lage der Minimalwerte nicht eindeutig. Im August treten sie für die positiven Ionen zwischen 9 bis 10 ein, für die negativen eine Stunde später. Die Minimalwerte im September und Oktober kommen zwischen 9—10, bzw. 8—9 h vor.

c) *Elektrische Leitfähigkeit.* Im großen und ganzen ist die Lage der Maxima und Minima im Tagesgang der elektrischen Leitfähigkeit der Luft die gleiche wie bei den Kleinionen. Wir verzichten hier daher auf eine genauere Beschreibung der Extremwerte.

5. Jährliche Häufigkeit der luftelektrischen Größen.

Nachdem wir in Tabelle 1 Monats- und Jahresmittel der Anzahl der Ionen und der Werte der elektrischen Leitfähigkeit angegeben haben, ist es von Interesse, hier noch die Häufigkeiten zu betrachten, mit der die Einzelwerte der luftelektrischen Größen auftreten. Sie sind in den Figuren 4, 5 und 6 und in den Tabellen 2, 3 und 4 enthalten. Den Figuren liegen alle Daten von 1942, dem Jahre mit den meisten Messungen, zugrunde. In den Tabellen wurden die Werte von 1941 bis 1943 benutzt. Die Anzahl der Groß- und Mittelionen wurde aus praktischen Gründen auf Hunderte, die der Kleinionen auf Zehner und die Werte der Leitfähigkeit auf gerade Zahlen abgerundet.

Die graphischen Darstellungen der luftelektrischen Größen für die Jahre 1941 und 1943 geben im wesentlichen das gleiche Bild wie die von 1942, sodaß wir hier auf eine Wiedergabe verzichten. In der Figur 4 fehlen die Werte für N_{t+} 18 949 und 21 500, für N_{t-} 19 300

und 22 036. Aus Figur 4 ersieht man, daß in der größten Anzahl der Fälle die Anzahl der Groß- und Mittel-

Fig. 4

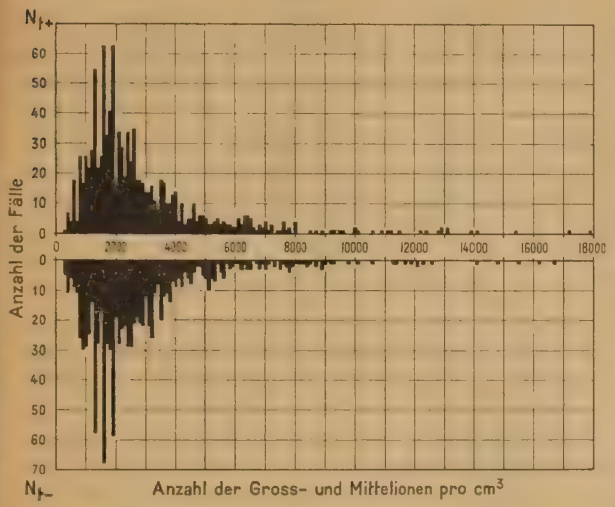

Jährliche Häufigkeit der Anzahl der Groß- und Mittelionen.

ionen pro cm³ kleiner als 4000 ist, die nachfolgenden Klassen bis 8000 sind bedeutend weniger besetzt, noch weniger sind es dann die über 8000.

Die Kurve der Verteilung der Anzahl der Kleinionen verläuft flacher (Figur 5) als diejenige der An-

Fig. 5

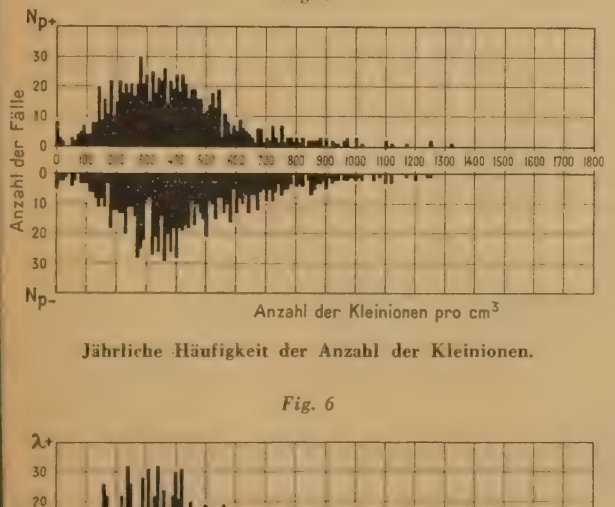

Jährliche Häufigkeit der Anzahl der Kleinionen.

Fig. 6

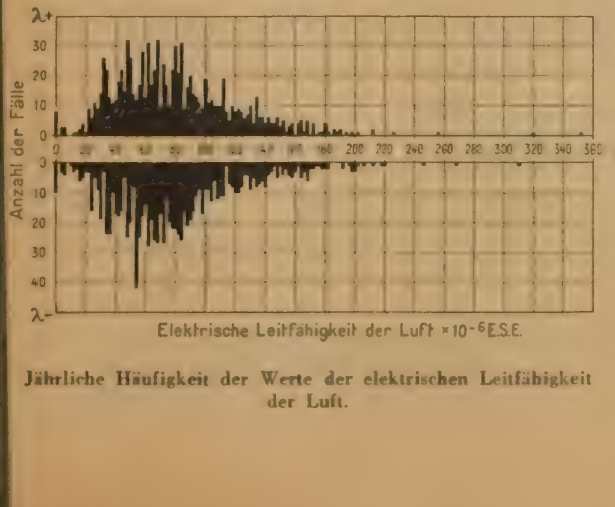

Jährliche Häufigkeit der Werte der elektrischen Leitfähigkeit der Luft.

zahl der Groß- und Mittelionen. Man muß aber beachten, daß die Maßstäbe auf den Abzissenaxen in den drei Figuren 4, 5, 6 verschieden sind. In den meisten Fällen bewegt sich die Anzahl der Kleinionen pro cm³ zwischen 100 und 600; die Fälle mit mehr als 1000 Kleinionen pro cm³ sind eher selten.

Die Verteilung der Werte der elektrischen Leitfähigkeit der Luft zeigt große Ähnlichkeit mit der der Kleinionen. In der Mehrzahl der Fälle liegen die Werte der Leitfähigkeit zwischen 20 und 140×10^{-6} E. S. E. Werte, die 200×10^{-6} E. S. E. überschreiten, sind eine seltene Erscheinung.

Betrachten wir nun die Tabellen 2, 3 und 4 näher.

a) *Groß- und Mittelionen.* Nach Tabelle 2 ist die am stärksten besetzte Klasse diejenige mit 1000 bis 2000, ausgenommen für N_{t+} im Jahre 1943 (2000—3000). Die erstgenannte enthält schon mehr als einen Drittel aller Fälle; dann folgt das Intervall 2000—3000 (für N_{t+} von 1943 1000—2000) mit ungefähr einem Viertel. Die Klasse 3000—4000 umfaßt 10—16 % der Fälle. Ungefähr $^1/_{10}$ der Messungen ergab Groß- und Mittelionen, deren Anzahl 4000—6000 beträgt; 5—6 % liegen zwischen 6000—10 000. Der Prozentsatz der Fälle mit mindestens 10 000 Groß- und Mittelionen variiert zwischen 1,4—3,3 %.

Im Intervall 1000—3000 liegen 60 % aller Fälle von Groß- und Mittelionen. Rund 75 % oder mehr führten zu Werten, die auf das Intervall 800—4000 fallen; ungefähr 15 % der Fälle erreichen mindestens 4000 und sind kleiner als 10 000.

In den Monaten von Mai bis September übersteigt die Anzahl der Groß- und Mittelionen relativ selten 5000 Ionen pro cm³; und nach unserem Material erreicht sie in diesen Monaten nie 7000. Werte größer als 10 000 treten nur von November bis Februar auf, und zwar besonders an Tagen mit starkem Dunst und dann vorwiegend zwischen 10—12 h. Die überwiegende Anzahl der tiefen Werte kommt an Tagen mit starkem Nordföhn, also bei besonders reiner Luft, in allen Jahreszeiten vor.

Die größte Anzahl der Groß- und Mittelionen, die festgestellt wurde, ist: $N_{t+} = 23\,614$ (24. 12. 41 um 10 h) und $N_{t-} = 22\,096$ (2. 1. 42 um 10 h), in beiden Fällen herrschte starker Dunst. Die kleinsten Werte sind: $N_{t+} = 256$ (22. 10. 41 um 16 h) und $N_{t-} = 0$ (zweimal am Nachmittag des 3. 2. 43), dann folgt $N_{t-} = 224$ (ebenfalls am 22. 10. 41, 16 h). Sie traten bei starkem Nordföhn auf.

b) *Kleinionen* (Tabelle 3). Für die Jahre 1941 bis 1942 sind in der Klasse 300—400 ein Fünftel oder mehr aller Fälle zu verzeichnen. Im Jahre 1943 hingegen sind die Intervalle für N_{p+} 400—500 und für N_{p-} 200—300 die am meisten besetzten. Für die Jahre 1941 und 1942 kommen an zweiter Stelle die Intervalle 200—300 und 400—500 mit 16,8—20,8 % der Fälle. Im Jahre 1943 liegen etwa 19,5 % der Fälle im Intervall 300—400, etwas mehr als 10 % im Intervall 500—600 und zwar in allen drei Jahren. Noch relativ gut besetzt ist die Klasse 600 bis 800 für 1943; auch für N_{t-} 1942 finden wir eine

Tabelle 2

Jährliche Häufigkeit der Anzahl der Groß- und Mittelionen.

Jahr	1941				1942				1943			
Ionen pro cm^3	+		−		+		−		+		−	
	Anzahl d. Fälle	Anteil in %	Anzahl d. Fälle	Anteil in %	Anzahl d. Fälle	Anteil in %	Anzahl d. Fälle	Anteil in %	Anzahl d. Fälle	Anteil in %	Anzahl d. Fälle	Anteil in %
< 1000	48	7.4	55	8.4	77	7.5	98	9.8	32	4.5	81	11.2
$1000 \leqq < 2000$	242	37.5	250	38.1	379	37.0	356	35.6	200	28.0	259	36.4
$2000 \leqq < 3000$	159	24.7	149	22.7	239	23.3	233	23.3	231	32.4	183	25.6
$3000 \leqq < 4000$	67	10.4	73	11.1	141	13.8	145	14.5	112	15.7	84	11.8
$4000 \leqq < 6000$	68	10.5	73	11.1	102	10.0	101	10.1	82	11.5	60	8.4
$6000 \leqq < 10\,000$	40	6.2	40	6.1	64	6.2	51	5,1	46	6.4	36	5.0
$\geqq 10\,000$	21	3.3	15	2.3	23	2.2	17	1.7	11	1.5	10	1.4
Summe	645		655		1025		1001		714		713	
$1000 \leqq < 3000$	401	62.2	399	60.9	618	60.3	589	58.9	431	60.4	442	62.0
$800 \leqq < 4000$	484	75.0	490	74.8	792	77.3	790	79.0	559	78.3	563	79.0
$4000 \leqq < 10\,000$	108	16.7	113	17.3	166	16.2	152	15.2	128	17.9	96	13.5

Tabelle 3

Jährliche Häufigkeit der Anzahl der Kleinionen.

Jahr	1941				1942				1943			
Ionen pro cm^3	+		−		+		−		+		−	
	Anzahl d. Fälle	Anteil in %	Anzahl d. Fälle	Anteil in %	Anzahl d. Fälle	Anteil in %	Anzahl d. Fälle	Anteil in %	Anzahl d. Fälle	Anteil in %	Anzahl d. Fälle	Anteil in %
< 100	26	5.0	23	4.5	34	3.5	22	2.3	4	0.6	7	1.1
$100 \leqq < 200$	41	8.0	49	9.6	121	12.4	87	8.9	24	3.8	42	6.6
$200 \leqq < 300$	97	18.8	92	18.0	203	20.8	170	17.5	61	9.6	127	20.0
$300 \leqq < 400$	113	22.0	133	26.0	207	21.2	201	20.6	124	19.5	123	19.4
$400 \leqq < 500$	98	19.0	97	19.0	184	18.8	164	16.8	137	21.5	100	15.8
$500 \leqq < 600$	64	12.4	54	10.6	109	11.1	114	11.8	81	12.7	86	13.6
$600 \leqq < 800$	59	11.5	48	9.4	77	7.9	144	14.8	117	18.4	99	15.6
$800 \leqq < 1000$	13	2.5	11	2.2	31	3.2	52	5.3	56	8.8	36	5.7
$\geqq 1000$	4	0.8	3	0.6	11	1.1	19	2.0	32	5.0	13	2.1
Summe	515		510		977		973		636		633	
$200 \leqq < 500$	308	59.8	322	63.1	594	60.8	535	54.9	322	50.6	350	55.3
$100 \leqq < 600$	413	80.2	425	83.3	824	84.3	736	75.6	427	67.1	478	75.5

Tabelle 4

Jährliche Häufigkeit der Werte der elektrischen Leitfähigkeit der Luft

(ausgedrückt in 10^{-6} E.S.E.)

Jahr	1941				1942				1943			
Intervalle	+		−		+		−		+		−	
	Anzahl d. Fälle	Anteil in %	Anzahl d. Fälle	Anteil in %	Anzahl d. Fälle	Anteil in %	Anzahl d. Fälle	Anteil in %	Anzahl d. Fälle	Anteil in %	Anzahl d. Fälle	Anteil in %
< 20	22	4.6	22	4.6	22	2.2	34	3.5	13	1.8	18	2.5
$20 \leqq < 40$	64	13.5	59	12.5	121	12.3	116	11.8	33	4.6	72	10.1
$40 \leqq < 60$	102	21.5	95	20.0	196	20.0	194	19.9	121	17.0	136	19.0
$60 \leqq < 80$	101	21.3	105	22.2	197	20.1	212	21.8	144	20.2	156	21.9
$80 \leqq < 100$	90	19.0	103	21.8	173	17.6	180	18.5	130	18.4	119	16.7
$100 \leqq < 120$	54	11.4	50	10.6	114	11.6	87	8.9	105	14.7	89	12.5
$120 \leqq < 160$	35	7.4	30	6.3	117	11.9	107	11.0	112	15.7	88	12.3
$160 \leqq < 200$	4	0.8	9	1.9	33	3.4	35	3.6	45	6.3	28	4.0
$\geqq 200$	2	0.4	1	0.2	8	0.8	10	1.0	10	1.4	7	1.0
Summe	474		474		981		975		713		713	
$40 \leqq < 100$	293	61.8	303	63.9	566	57.7	586	60.1	395	55.4	411	57.6
$20 \leqq < 120$	411	86.7	412	86.9	801	81.7	789	80.9	533	74.8	572	80.2

Häufigkeit von rund 15 % aller Fälle. Kleiner als 100 Ionen pro cm^3 sind 1941 rund 5 %, 1942 2,3—3,5 % und 1943 etwa 1% der Fälle. Die Betrachtung der Tabelle 3 zeigt, daß für das Jahr 1943 die am stärksten besetzten Klassen gegenüber 1941—1942 höher liegen.

Aus Tabelle 3 folgt des weiteren: für 1941 und 1942 liegen rund 60 % der Fälle zwischen 200 und 500, für 1943 rund 50 % für N_{p+} und ungefähr 55 % für N_{p-}; zwischen 100—600 liegen, abgesehen von N_{p+} im Jahre 1943 (67,1 %), mindestens 75 % der Fälle. Größer als 1000 sind im ersten Jahr weniger als 1%, in den zwei letzten Jahren für N_{p-} etwa 2 % und für N_{p+} 1,1 % im Jahre 1942 und 5 % im Jahre 1943.

Die tiefsten Werte, kleiner als 100, kommen meist im Winter bei starkem Dunst vor. Bei sehr feuchter Luft, namentlich nach Regen, erreicht manchmal die Anzahl der Kleinionen Werte in der Nähe von 0 oder sogar $= 0$ (siehe Ann. MZA. 1943, Luftelektrische Messungen in Locarno-Monti, S. 15). Die größte Anzahl der Kleinionen (besonders die Fälle mit $N_{p\mp} \geq 1000$) kommt an Tagen mit Nordföhn, unabhängig von der Jahreszeit vor.

Die größte gefundene Anzahl der Kleinionen ist $N_{p+} = 1322$ (1. 4. 43 um 11 h) und $N_{p-} = 1422$ (23. 12. 43 um 8 h). Im ersten Fall wehte sehr starker Nordföhn, im zweiten herrschten seit einigen Stunden mäßige bis frische Nordwinde.

c) *Elektrische Leitfähigkeit der Luft.* Wie aus Tabelle 4 hervorgeht, sind die Intervalle 60—80 und 40—60 (für λ_- im 1941 auch 80—100) mit je rund einem Fünftel der Fälle am stärksten besetzt. Es folgen dann 80 bis 100 mit etwas weniger als einem Fünftel, 20—40 (ausgenommen für λ_+ im 1943) und 100—120 mit im allgemeinen 10 oder mehr % der Fälle. Noch gut vertreten ist für 1942 und 1943 das Intervall 120—160 mit mehr als 10% der Fälle. In der nächsten Klasse (160—200) variieren die Prozentsätze von 0,8% ($\lambda_\mp$ im Jahre 1941) bis 6,3% (λ_+ im Jahre 1943). Kleiner als 20 sind 1,8% (λ_+ im Jahre 1943) bis 4,6% ($\lambda_\mp$ und λ_- im Jahre 1941). Wenig vertreten ist die Klasse ≥ 200, besonders im Jahre 1941 mit nicht einmal 0,5%, und 1942 bis 1943 erhalten wir ungefähr 1%. Die Tabelle 4 zeigt übrigens noch, daß auf das Intervall 40—100 55,4% ($\lambda_\mp$ im Jahre 1943) bis 63,9% der Fälle kommen; 74,8—86,9 % der Fälle liegen im Intervall 20—120.

Die Bemerkungen über hohe und tiefe Werte, die wir für die Kleinionen gemacht haben, gelten auch für die elektrische Leitfähigkeit der Luft.

Die Maximalwerte für λ_+ und λ_- der ganzen Meßreihe sind $\lambda_\mp = 352$ und $\lambda_- = 309 \times 10^{-6}$ E. S. E. (gemessen am 14. 12. 42 um 8 h bei guter Sicht). Kurz nachher nahm die elektrische Leitfähigkeit der Luft stark ab.

Die Minimalwerte sind $\lambda_+ = \lambda_- = 0$; sie kamen — wie bei den Kleinionen — bei feuchter Luft, meist nach Regen vor.

Zu unseren Ausführungen über die Häufigkeit der luftelektrischen Größen sei abschließend noch folgendes bemerkt:

Die Werte der Anzahl der Groß- und Mittelionen bewegen sich in den Wintermonaten in weit größeren Grenzen als in den übrigen Monaten. Besonders groß sind die Schwankungen von November bis Januar zwischen 10 und 12 h.

Die Werte der elektrischen Leitfähigkeit der Luft sowie die Anzahl der Kleinionen variieren im Gegensatz zu den Groß- und Mittelionen in den Sommermonaten stärker als in der übrigen Zeit. Immerhin sind in den Monaten November und Dezember zwischen 8 und 9 h die Schwankungen auch noch von beträchtlichem Ausmaße.

6. Vergleiche mit Messungen an anderen Orten.

Aus den Vergleichen unserer Messungen in Locarno-Monti mit denen an anderen Orten darf man naturgemäß nicht zu weitreichende Folgerungen ziehen. Nicht nur sind die verwendeten Meßapparaturen teilweise von recht verschiedener Konstruktion, auch der Zeitpunkt der Messungen und die Länge der Untersuchungsperiode sind sehr verschieden. Wie unsere Untersuchungen gezeigt haben, sind die meteorologischen Verhältnisse von entscheidendem Einfluß auf die luftelektrischen Größen, so daß es fast illusorisch erscheinen muß, Meßreihen der luftelektrischen Größen, die unter ganz verschiedenen meteorologischen Bedingungen gemacht wurden und zum Teil sehr kurzfristig sind, miteinander zu vergleichen. Wenn wir hier trotzdem diese Vergleiche durchführen, so mehr zu dem Zweck, eine Vorstellung über die ungefähre Größenordnung der luftelektrischen Größen an den verschiedenen Stationen zu gewinnen.

a) *Groß- und Mittelionen.*

In Davos *(W. Mörikofer* und *U. Chorus* 2) wurde während eines Jahresturnus (das Jahr selber wird leider nicht angegeben), mit dem Ionenzähler nach Israël gemessen. Der Jahresgang der Anzahl der Groß- und Mittelionen ist dem von Monti sehr ähnlich, nur daß jener von Davos noch ausgeprägter ist. Das größte Monatsmittel verhält sich zum kleinsten in Davos wie 10:1, in Monti beträgt dieses Verhältnis nur 3:1.

b) *Kleinionen.*

In Potsdam *(K. Kähler* 3) wurde von August 1932 bis August 1933 mit einem dort konstruierten Apparat die Anzahl der Kleinionen jeweils um 10 h bestimmt. Vergleichen wir diese Ergebnisse mit denen von Monti von August 1942 bis August 1943, gemessen um 11 h, so zeigt sich folgendes: Die kleinsten Monatsmittel von Monti sind größter als die größten Monatsmittel von Potsdam. Auch die Jahresmittel von Monti sind etwa $2^1/_2$- bis 3mal größer als die Potsdamer.

c) *Elektrische Leitfähigkeit der Luft.*

Messungen der elektrischen Leitfähigkeit an anderen Orten sind, namentlich auch für die Schweiz, recht zahlreich. Für unseren Vergleich ziehen wir folgende Stationen heran: Potsdam, Davos, Muottas-Muraigl, Agra und Locarno-Muralto.

In Potsdam hat *K. Kähler* (4) von Oktober 1910 bis September 1911 die Leitfähigkeit mit einem Benndorf-

schen Apparat registriert. Die Jahresmittelwerte von Monti, die wir aus den Terminbeobachtungen von 8, 11, 14 und 16 h von November bis Oktober der Jahre 1941 bis 1943 berechneten, sind $1^1/_2$- bis 2mal, manchmal sogar noch größer, als die entsprechenden Werte von Potsdam.

In Davos hat *C. Dorno* (5) vom 1. Dezember 1909 bis zum 30. November 1910 Registrierungen mit einer ähnlichen Apparatur wie die von *K. Kähler* vorgenommen. Der Vergleich mit Monti führt zu folgenden Ergebnissen: Um 8 h sind die Werte von Davos um rund 20 % kleiner, um 11 h sind sie ungefähr 15 % und am Nachmittag 50 % größer als die in Monti gefundenen.

Auf Muottas-Muraigl (2456 m ü. M.) maß *C. Dorno* (6) während einiger Tage von Oktober 1923, Januar, März und Juni 1924 zu den Terminen 07.30 h, 13.00 h, 18.30 h die Leitfähigkeit mit dem Apparat von Gerdien. *C. Dorno* fand sehr große Werte. Im Jahresdurchschnitt sind sie ungefähr 5- bis 6mal größer als unsere Werte. Der Jahresgang mit einem Maximum im Januar und einem Minimum im Juni ist den Jahresgängen von Monti, Davos und Potsdam entgegengesetzt. Bei diesem Vergleich muß man aber die sehr kurze Meßreihe von Muottas-Muraigl in Rechnung ziehen.

In Agra (565 m ü. M.) am Luganersee hat *R. Süring* (7) 1923 von Februar bis Mitte Juni die Leitfähigkeit mit einem Gerdienschen Aspirator gemessen. *Süring* fand sehr hohe Werte, besonders für λ_+. In Agra war λ_+ mehr als zweimal so groß als in Monti. Auch ist der Unterschied zwischen positiver und negativer Leitfähigkeit in Agra weit ausgeprägter.

In Locarno-Muralto, das etwa 150 m tiefer als Monti liegt, bestimmte *A. Gockel* (8) ebenfalls mit dem Gerdienschen Aspirator die Leitfähigkeit. Diese Meßserie erstreckt sich aber nur auf die zweite Augusthälfte und auf einige Tage im September (1925). Vergleichen wir die Werte von *A. Gockel* unter Zugrundelegung der gleichen Periode, in der ähnliches Wetter herrschte, mit unseren Messungen von 1943, so zeigt sich folgendes: Von 8—12 h und 12—16 h sind die Werte von Muralto etwas größer als die von Monti, nach 16 h sind die Verhältnisse jedoch umgekehrt. In den Vormittagsstunden des Jahres 1942 sind die Werte von Monti bedeutend kleiner, da die Luft feuchter war und Tage mit Nordföhn fehlten.

Diese wenigen Vergleiche der luftelektrischen Größen zeigen eindeutig, wie groß die Schwankungen von Ort zu Ort sind. Nur langjährige und gleichzeitige Messungen werden uns Aufschluß über die genauen Ursachen dieser Unterschiede geben können.

Zusammenfassung.

1. Die Anzahl der Kleinionen und die elektrische Leitfähigkeit der Luft zeigen einen ähnlichen Verlauf, der im allgemeinen dem der Groß- und Mittelionen entgegengesetzt ist.
2. Der jährliche Gang der Anzahl der Groß- und Mittelionen hat ein ausgeprägtes Maximum im Winter und ein Minimum im Sommer, bei den Kleinionen liegt dagegen das Maximum im Sommer und das Minimum im Winter.
3. Im täglichen Gang der Groß- und Mittelionen tritt ein Maximum am Vormittag und hier besonders in den Wintermonaten auf, während das Minimum auf den Nachmittag fällt.
4. Der tägliche Gang der Anzahl der Kleinionen und der elektrischen Leitfähigkeit der Luft ist weit weniger ausgeprägt als jener der Groß- und Mittelionen.
5. Mindestens 75 % der Anzahl der Groß- und Mittelionen fallen auf das Intervall von 800—4000 Ionen pro cm^3. Als Extremwerte fanden wir: für N_{t+} 256 und 23 614 und für N_{t-} 0 und 22 096 (nach N_{t-} 0 folgt dann 224).
6. Mindestens 75 % der Anzahl der Kleinionen liegen während des ganzen Jahres im Intervall 100—600. Eine Ausnahme tritt im Jahre 1943 nur für N_{p+} ein. Die Extremwerte waren folgende: für N_{p+} 0 und 1312, für N_{p-} 0 und 1422.
7. In den drei Jahren unserer Meßperiode lagen die Werte der elektrischen Leitfähigkeit der Luft in 75 bis 87 % der Fälle während des ganzen Jahres zwischen 20 und 120×10^{-6} E. S. E. Die tiefsten, bzw. höchsten von uns gefundenen Werte waren: $\lambda_{+\,min}$ und $\lambda_{-\,min} = 0$, bzw. $\lambda_{\mp\,max} = 352$ und $\lambda_{-\,max} = 309$.
8. Der Vergleich der luftelektrischen Größen von Locarno-Monti mit anderen Orten zeigt teilweise recht beträchtliche Unterschiede. Wir mußten von einer eingehenden Diskussion dieser Vergleiche absehen, da nicht nur verschiedene Apparattypen verwendet wurden, sondern auch Zeit und Länge der Untersuchungsperioden zu verschieden waren, um aus diesen Vergleichen sichere Schlüsse ziehen zu können.

Zum Schlusse möchte ich noch Herrn *Chr. Thams* für seine wertvolle Mithilfe bei dieser Arbeit bestens danken.

Literaturverzeichnis.

1) *Fl. Ambrosetti*, Luftelektrische Messungen in Locarno-Monti, Annalen der Schweiz. Meteorologischen Zentralanstalt, 1943.
2) *W. Mörikofer* und *U. Chorus*, Ergebnisse von Ionenzählungen in Davos. Verhandlungen der Schweizerischen Naturforschenden Gesellschaft, 1932, S. 324.
3) *K. Kähler*, Luftelektrische Messungen während des internationalen Polarjahres 1932/33 in Potsdam. Wiss. Abhd. des deutschen Reichsamtes für Wetterdienst, Bd. I, 1935, S. 9.
4) *K. Kähler*, Die Schwankungen des luftelektrischen Leitvermögens und des vertikalen Leitungsstroms am Erdboden. Veröffentlichungen des Königl. Preuss. meteorolog. Institutes, Nr. 251, 1912, S. XVII.
5) *C. Dorno*, Studie über Licht und Luft des Hochgebirges, 1911, S. 79.
6) *C. Dorno*, Grundzüge des Klimas von Muottas-Muraigl, 1927, S. 105.
7) *R. Süring*, Strahlungsklimatische Untersuchungen in Agra (Tessin), MZ. 1924, S. 341.
8) *A. Gockel*, Messungen der elektrischen Leitfähigkeit der Atmosphäre in Locarno, MZ. 1925, S. 447.

Ein Beitrag zum Eichproblem des Bimetallaktinographen

Erfahrungen mit einer neuen Schwärzung und Weißung der Bimetall-Lamellen

von

Chr. Thams.

Der Überzug der Bimetall-Lamellen des Aktinographen *Fueß-Robitzsch* zeigt im Laufe der Jahre Veränderungen, die eine beträchtliche Abnahme der Empfindlichkeit des Instrumentes zur Folge haben können. Wie wir in unserer Arbeit «Über die Konstanz des Eichfaktors beim Bimetallaktinographen Fueß-Robitzsch» (1) ausgeführt haben, können die Zerstörungen so groß werden, daß eine vollkommene Erneuerung der Weißung und Schwärzung notwendig wird. Die Erfahrungen, die wir mit unserem Aktinographen gemacht haben, stehen nicht vereinzelt da; auch an anderen Instituten wurden ähnliche Beobachtungen gemacht. Die Größe der Empfindlichkeitsänderung ist freilich sehr verschieden und erreicht wohl nur unter besonderen Verhältnissen das von uns festgestellte Ausmaß.

Durch die kriegsbedingten Verhältnisse war es uns nicht möglich, einen neuen Überzug der Bimetall-Lamellen von der Herstellerfirma *(R. Fueß,* Berlin-Steglitz) selber vornehmen zu lassen. Freundlicherweise erklärte sich jedoch die Firma *Kern & Co.* in Aarau bereit, diese Arbeit auszuführen.

Über die Herstellung des Überzuges und über seine Eigenschaften teilt uns die Firma *Kern & Co.* in sehr zuvorkommender Weise folgendes mit: Der Überzug wird bei etwa 130° eingebrannt. Er ist etwa 0.08 bis 0.1 mm dick und so elastisch, daß er auf die Durchbiegung des Bimetalls praktisch keinen Einfluß hat. Die Lamellen können mit Wasser abgewaschen werden, nur wird man das am besten mit einem Pinsel vornehmen, da durch das Reiben mit einem Tuch die Mattierung beschädigt würde. In der ersten Zeit kann bei den weißen Lamellen durch die Einwirkung des Lichtes eine ganz leichte gelbliche Tönung auftreten, die sich jedoch nicht weiterentwickelt. Eine chemische Veränderung des Überzuges ist nicht zu erwarten.

Seit dem 13. Juni 1944 ist der Bimetallaktinograph Nr. 140 806 mit diesem neuen Überzug im *Osservatorio Ticinese* in Betrieb und im folgenden wollen wir über einige Erfahrungen berichten, die wir mit dem neuen Instrument sammeln konnten.

1. Die Eichung des Bimetallaktinographen.

Im wesentlichen sind es zwei Methoden, nach denen im allgemeinen die Eichung des Aktinographen vorgenommen wird. Die erste beruht auf der Messung der Sonnenstrahlung allein (Abdeckung der direkten Sonnenstrahlen), bei der zweiten erfolgt sie durch Vergleich mit einem die Strahlung von Sonne+Himmel registrierenden Solarimeter.

a) *Eichungen mit dem Solarimeter Moll-Gorczynski.* *H. Stapf (2)*, der sich in Potsdam mit dem Eichproblem sehr gründlich befaßt hat, gibt der zweiten Methode den Vorzug. Nach seinen Untersuchungen ist nämlich der Aktinograph für Rotstrahlung relativ unempfindlich. Das hat zur Folge, daß die nach der ersten Methode, also «vor Sonne» gewonnenen Eichfaktoren um einige Prozent höher liegen als die mit dem Solarimeter gemessenen. Bei drei Aktinographen fand er Abweichungen von 5—4, bzw. 9—7, bzw. 8—9 %.

Es muß noch bemerkt werden, daß bei seinen Untersuchungen Solarimeter nach *Moll-Gorczynski* verwendet wurden, wie sie die Firma *Kipp & Zonen* in Delft (Holland) herstellt. Die ganze strahlungempfangende Fläche ist schwarz, im Gegensatz zu den sogenannten Schwarzweißpyranometern von *Kimball, Ångström, Sawinoff, Volochine* und *Linke*, bei denen die mit Thermoelementen gemessenen Temperaturdifferenzen zwischen den weißen und schwarzen Flächen das Maß für die Globalstrahlung abgeben.

Wenn man auch berücksichtigt, daß das Solarimeter *Moll-Gorczynski* nach Untersuchungen von *W. Mörikofer* und *Chr. Thams* (3) noch etwelche Mängel aufweist, so ist es doch eines der besten Instrumente zur Messung der Globalstrahlung. Der Vorschlag von *H. Stapf* (a. a. O. 2b S. 410), in Zukunft die Bimetallaktinographen mit Hilfe von Solarimetern zu eichen, erscheint uns daher als sehr zweckmäßig. Unbefriedigend wird auch hier immer die Eichung des Solarimeters vor Sonne bleiben.

Unsere Absicht, den Bimetallaktinographen Nr. 140 806 mit einem Solarimeter *Moll-Gorczynski* zu eichen, konnte allerdings nur für kurze Zeit verwirklicht werden, da durch eine schwere Gewitterböe die äußere Glasglocke zertrümmert und das Instrument außer Betrieb gesetzt wurde. Immerhin sind die wenigen Meßreihen interessant genug, um sie hier kurz zu behandeln.

Bei dem von uns verwendeten Solarimeter *Moll-Gorczynski* handelt es sich um das neue Modell mit großem Schutzteller und zwei Glashalbkugeln. Der Thermostrom wurde mit einem hochempfindlichen Spiegelgalvanometer der Firma *Trüb, Täuber & Co.* photographisch registriert. 1 mm Ausschlag entsprachen etwa 0.0118 cal.

Ein Teil der Eichungen konnte im Mai und Juni 1944 noch am alten Original-Instrument, also vor Erneuerung des Bimetallüberzuges, vorgenommen werden. Für diese Periode liegen 4 Eichtage vor, während nach der Reparatur der Bimetall-Lamellen mit dem Solarimeter noch an 5 Tagen geeicht werden konnte.

Die Eichungen am Solarimeter und Aktinographen wurden gleichzeitig gemacht, sodaß der Berechnung der Globalstrahlung beim Solarimeter nicht ein mittlerer Eichfaktor, sondern der zu dem Zeitpunkt der Aktinographeneichung festgestellte zugrunde liegt.

Bezeichnen wir den Eichfaktor des Aktinographen, wie er nach der üblichen Methode durch Abdecken der direkten Sonnenstrahlung gewonnen wird, mit E_{So}, denjenigen, der aus dem Vergleich mit dem Solarimeter resultiert, mit E_{Sm}, so zeigt sich, daß die E_{So} = Werte im Mittel an den genannten Tagen stets größer sind. Der Aktinograph gibt also, vor Sonne geeicht, zu hohe Werte der Globalstrahlung, ein Ergebnis, das mit den Untersuchungen von *H. Stapf* übereinstimmt.

Interessant ist das Verhältnis E_{Sm}/E_{So} vor und nach der Erneuerung des Bimetallüberzuges. Vor der Reparatur beträgt der Quotient 0.94, nachher 0.98. Nach diesen Messungen zu urteilen, scheint also der Aktinograph mit der neuen Weißung und Schwärzung von *Kern & Co.* die Globalstrahlung recht genau zu registrieren.

Aufschlußreich ist auch eine Auswertung der Himmelsstrahlung allein. Berechnet man die Himmelsstrahlung (H) beim Solarimeter und beim Aktinographen aus Abdeckungen während der Eichungen an den erwähnten Tagen, so zeigt sich, daß die mit dem Aktinographen registrierte Himmelsstrahlung zu groß ausfällt. Bildet man den Quotienten $H_{Sol.}/H_{Akt.}$, so bekommt man vor, bzw. nach der Reparatur die Werte 0.72, bzw. 0.84. Beim Aktinographen mit dem neuen Überzug scheint also auch die Himmelsstrahlung genauer erfaßt zu werden.

Hier wurden bis jetzt nur die Tage erwähnt, an denen Eichungen beim Solarimeter und Aktinographen streng gleichzeitig erfolgten. Es sei hier aber noch kurz auf die Messungen des 24. Juni 1944 eingegangen, an dem zwar viele Eichungen vorgenommen wurden, jedoch nicht zu gleichen Zeiten. Der 24. Juni war ein vollkommen wolkenloser Tag. Am Solarimeter wurden 9, am Aktinographen 12 Eichungen vorgenommen. Vergleicht man nun die Momentanwerte der Globalstrahlung im Zeitpunkt der Aktinographeneichungen von beiden Instrumenten, so zeigt sich hier praktisch Übereinstimmung; die Werte des Solarimeters liegen im Tagesmittel 0,7% höher, die Werte der Himmelsstrahlung 1% tiefer als beim Aktinographen. Zu den einzelnen Tagesstunden freilich treten größere Differenzen auf: Am Vormittag gibt der Aktinograph eher zu hohe Werte, am Nachmittag sind sie zu klein. Das gilt vor allem auch für die reine Himmelsstrahlung; die prozentuale Abweichung von den Angaben des Solarimeters kann recht groß werden; in der Gesamtstrahlung wirkt sich das jedoch nicht stark aus.

Bei diesen Untersuchungen muß man natürlich der Tatsache Rechnung tragen, daß der Ausschlag und damit die Meßgenauigkeit beim Aktinographen, namentlich bei der Bestimmung der Himmelsstrahlung recht klein ist; die Ausschläge betragen nur wenige Millimeter.

Selbstverständlich lassen sich aus dieser kurzen Eichperiode im Mai und Juni 1944 nicht weitreichende Folgerungen ziehen. Immerhin werden die Resultate von *H. Stapf*, daß aus der Eichung des Aktinographen vor Sonne 5—9 % zu hohe Werte resultieren, bestätigt. Des weiteren scheint der Aktinograph mit der neuen Weißung und Schwärzung, wie sie von der Firma *Kern & Co.* ausgeführt wurden, in besserem Maße mit dem Solarimeter übereinzustimmen als der Originalaktinograph *Fueß-Robitzsch*. Man müßte diese Untersuchungen allerdings nicht nur auf Strahlungstage, sondern auch auf Tage mit verschiedener Bewölkung ausdehnen, um ein sicheres Urteil fällen zu können. Offenbar gibt es eine Kombination von weißen und schwarzen Lamellen, die nicht die spektrale Verschiedenheit aufweist, wie sie *H. Stapf* an den Originalaktinographen festgestellt hat. Es wäre von großem Wert, in dieser Richtung weitere Untersuchungen anzustellen, denn der Bimetallaktinograph zeigt auf Grund seiner einfachen Bauart und Behandlung gegenüber den komplizierten Solarimetern und Pyranometern so viele Vorteile, daß für klimatische Messungen in einem größeren Netz heute nur dieses Gerät in Frage kommt.

b) *Eichungen vor Sonne.*

Wie wir bereits an anderer Stelle ausführten, wurde das Solarimeter defekt. Da Ersatzteile aus der Fabrik in Holland während des Krieges nicht erhältlich waren, haben wir in der Folge die Eichungen nur noch nach der ersten Methode ausführen können. Die Diskussion der Ergebnisse dieser zahlreichen Eichungen bildet den Hauptteil der vorliegenden Arbeit.

Vom 13. Juni 1944 bis 31. August 1945 wurden an dem Instrument Nr. 140 806 mit der neuen Weißung und Schwärzung 751 Eichungen durchgeführt. Herrn *Fl. Ambrosetti* und Frl. *C. Gilardi* bin ich für ihre eifrige Mithilfe bei der Durchführung und Berechnung der Eichungen zu Dank verbunden.

Die Messung der direkten Sonnenstrahlung erfolgte bis zum 2. August 1944 mit dem Pyrheliometer «*Volochine*», später ausschließlich mit dem Pyrheliometer «*Moll-Gorczynski*», das uns vom *Physikalisch-Meteorologischen Observatorium Davos* freundlicherweise zur Verfügung gestellt wurde. Die sehr guten Erfahrungen, die am Davoser Observatorium mit diesem Instrument gemacht wurden (siehe Lit. 4), konnten wir im Laufe unserer Untersuchungsperiode immer wieder bestätigen, da wir das Pyrheliometer mit einem Kompensationspyrheliometer nach *Ångström*, das uns Herr Prof. *P. L. Mercanton* (Lausanne) überlassen hat, sehr häufig kontrollierten. Während der ganzen Eichperiode blieb der Eichfaktor des Pyrheliometers praktisch konstant. Es sei hier noch bemerkt, daß das Kompensationspyrheliometer seinerseits wieder an das Silverdiskpyrheliometer des *Lichtklimatischen Observatoriums Arosa* angeschlossen war.

Es wäre von Vorteil gewesen, um die spektralen Eigenschaften des Aktinographen genauer zu erfassen, auch Messungen mit Filtern anzustellen. Leider standen uns aber Filter nur für das Pyrheliometer *Volochine* zur Verfügung und auch hier nur für eine sehr kurze Zeit, da es sich als notwendig erwies, nicht nur die technische Ausführung des «*Volochine*» zu verbessern, sondern teilweise auch einen Umbau vorzunehmen.

Tabelle 1 gibt eine Übersicht über die Eichungen vom Juni 1944 bis August 1945. Es wurde darauf geachtet, möglichst auch tiefe Sonnenstände zu erfassen. Die Eichungen wurden nicht nur an vollkommen wolkenlosen Tagen, sondern auch an leicht bewölkten durchgeführt. Voraussetzung war natürlich eine wolkenfreie Sonne (Sonne 4 nach der Skala von *C. Dorno)* während längerer Zeit.

auch an frühen Morgen- und späten Abendstunden, also bei tiefen Sonnenständen Eichungen vorgenommen werden.

Es empfiehlt sich in jedem Fall, die Kurve der Abhängigkeit des K = Wertes von der Sonnenhöhe zu zeichnen und aus ihr den Mittelwert zu berechnen.

In Abbildung 1 ist diese Abhängigkeit dargestellt; die Zahlen unter den Punkten geben die Anzahl Eichungen an. Sie ist groß genug, um die Kurve sicher festlegen zu können. Der Mittelwert beläuft sich, bezogen auf das gesamte Intervall vom tiefsten bis zum höchsten Sonnenstand, auf 22.06, ist also nur wenig verschieden von dem Wert, wie er sich aus den Eichungen direkt berechnet.

Die Berechnung des mittleren Fehlers des Einzelwertes erfolgte unter Zugrundelegung der erwähnten

Anzahl der Eichungen nach Sonnenhöhen für den Aktinographen Nr. 140 806

Tabelle 1. Eichperiode: 13. Juni 1944 bis 31. August 1945. Gesamtsumme der Eichungen: 751.

Jahr	1944							1945							
Monat / Sonnenhöhe	Juni	Juli	Aug.	Sept.	Okt.	Nov.	Dez.	Januar	Febr.	März	April	Mai	Juni	Juli	Aug.
0—10.0	—	—	—	—	1	3	5	2	—	1	—	—	—	—	—
10.1—20.0	—	1	1	9	5	22	42	28	11	18	8	1	4	10	4
20.1—30.0	6	6	4	7	8	23	6	22	14	28	11	1	15	9	6
30.1—40.0	9	9	4	15	8	—	—	—	9	44	9	4	13	10	7
40.1—50.0	10	11	3	6	—	—	—	—	—	13	22	4	12	10	14
50.1—60.0	12	13	5	—	—	—	—	—	—	—	8	12	17	16	10
60.1—70.0	16	15	—	—	—	—	—	—	—	—	—	3	23	13	—
0—70	53	55	17	37	22	48	53	52	34	104	58	25	84	68	41

Für den Eichfaktor sind bekanntlich verschiedene Ausdrücke gebräuchlich. *M. Robitzsch* gibt als Eichfaktor die Anzahl Millimeter an, die einer Kalorie entsprechen. Häufiger verwendet wird wohl der Faktor E, der den Kalorienwert (gcal/cm² min) von einem Millimeterausschlag angibt. Da sich — abgesehen von Strahlungstagen — die Aufzeichnungen des Aktinographen nur für die Berechnung von Tagessummen der Globalstrahlung eignen, wird auch der Kalorienwert eines Quadratzentimeters der ausgemessenen Registrierfläche angegeben. Dieser Wert K beträgt, da bei Tagesumlaufregistrierung die Länge der Stunde 11.2 mm mißt, 536 · E. Im folgenden verwenden wir stets diesen K = Wert (gcal/cm²).

Aus den 751 Eichungen, die an unserem Aktinographen vorgenommen wurden, errechnet sich ein mittlerer Eichfaktor (arithm. Mittel) von 21.88.

Nun haftet dem arithmetischen Mittel aus sämtlichen Eichungen wegen der Abhängigkeit des Eichfaktors von der Sonnenhöhe eine gewisse Willkür an. Denn je nach der Verteilung der Eichungen auf die verschiedenen Sonnenhöhen würde ein anderes Mittel resultieren. Da der K = Wert nach allen Untersuchungen beim Aktinographen im allgemeinen mit zunehmender Sonnenhöhe wächst, wird das Mittel zu hoch ausfallen, wenn nicht

Kurve K = f (h), (h = Sonnenhöhe). Der mittlere Fehler des Einzelwertes beträgt 5,6 %, der des Mittelwertes 0,2 %.

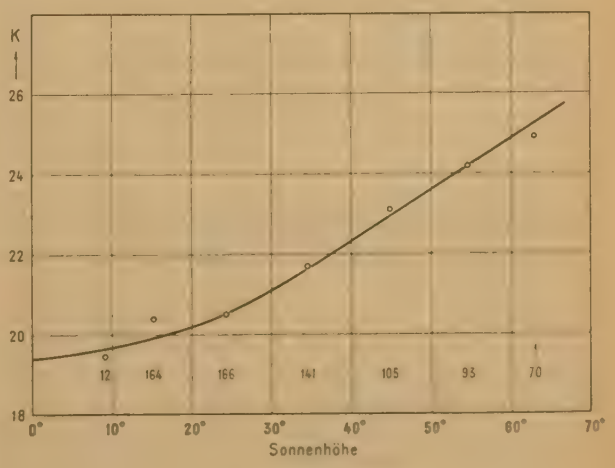

Abb. 1.

Die Abhängigkeit des Eichfaktors von der Sonnenhöhe. Bimetallaktinograph Nr. 140 806 mit der Weißung und Schwärzung von Kern & Co., Aarau.

Von besonderem Interesse ist noch die Größe des mittleren Fehlers bei verschiedenen Sonnenhöhen. Sie findet sich in Tabelle 2.

Tabelle 2.

Der mittlere Fehler des Eichfaktors in Prozent bei verschiedenen Sonnenhöhen.

Sonnenhöhe in °	0—10	10—20	20—30	30—40	40—50	50—60	60—70
Mittlerer Fehler in %	6.7	7.3	5.6	6.3	5.1	3.7	3.4

Wie zu erwarten, finden wir die kleinsten mittleren Fehler bei großen Sonnenhöhen.

Nun ist der von uns aus der Kurve errechnete Mittelwert des Eichfaktors natürlich nicht identisch mit dem Jahresmittel des Eichfaktors, denn um diesen aus der Kurve zu berechnen, müssen die Sonnenhöhen zu den verschiedenen Jahreszeiten noch in Rechnung gestellt werden. Berücksichtigen wir diesen Umstand, so bekommen wir einen mittleren Eichfaktor von 20.91. Wir werden später diesen Mittelwert noch mit jenem vergleichen, wie er sich aus den einzelnen Monatskurven ableitet.

Nachdem wir den Mittelwert des Eichfaktors und die Sonnenhöhenabhängigkeit behandelt haben, gehen wir zu den einzelnen Variationen des Eichfaktors über.

Hier sei zunächst einmal der *Tagesgang* erwähnt. In den Monaten März bis September und teilweise auch noch im Oktober sind bei gleicher Sonnenhöhe die Eichfaktoren am Nachmittag durchwegs höher als am Vormittag. Wir haben für diesen Zeitraum einmal alle Tage

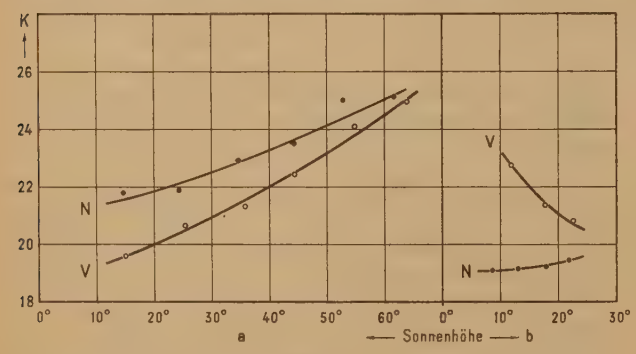

Abb. 2.

Die Abhängigkeit des Eichfaktors von der Sonnenhöhe für die Vormittags- (V) und Nachmittagsstunden (N).
a) März bis September, b) November bis Januar.

zusammengestellt, an denen am Vor- *und* Nachmittag geeicht wurde. Zeichnet man die Sonnenhöhenabhängigkeit des Eichfaktors getrennt für den Vormittag und Nachmittag auf, so bekommt man Kurven, wie sie Abbildung 2a zeigt. Diesen Kurven liegen 223 Einzelwerte zugrunde. Die Unterschiede werden mit abnehmender Sonnenhöhe größer und erreichen immerhin Beträge, die nicht vernachlässigt werden dürfen, vor allem dann nicht, wenn man aus den Aufzeichnungen des Aktinographen an Strahlungstagen Einzelwerte entnehmen will.

Aber auch bei der Bildung des Mittelwertes kann dieser Umstand von Bedeutung sein. Bei der Berechnung des mittleren Eichfaktors sollte darauf geachtet werden, daß die Anzahl der Eichungen am Vormittag und Nachmittag annähernd gleich groß ist, da der Mittelwert sonst zu klein oder zu groß ausfällt. Bei gleichmäßiger Verteilung der Eichungen am Vor- und Nachmittag muß man den Einfluß des Tagesganges wohl kaum berücksichtigen, wenn man sich nur für Tagessummen der Globalstrahlung interessiert.

Merkwürdige Verhältnisse zeigen sich in den Monaten November, Dezember und Januar. Am Vormittag sehen wir eine ganz charakteristische Abnahme des Eichfaktors mit wachsender Sonnenhöhe, während am Nachmittag der Eichfaktor wieder das normale Verhalten zeigt; doch ist die Zunahme recht gering. Vor allem fällt auf, daß die Eichfaktoren bei tiefen Sonnenständen am Vormittag beträchtlich höher liegen als am Nachmittag. In der Abbildung 2 b sind diese Verhältnisse anschaulich dargestellt. Diesen Kurven liegen 99 Eichungen zugrunde. Auch hier wurden nur die Tage verwendet, an denen am Vor- und Nachmittag geeicht wurde. Februar und teilweise auch Oktober zeigen keinen charakteristischen Tagesgang.

Die Natur dieses Tagesganges ist wenig geklärt. Beim ersten Typus könnte man aber wohl an einen Temperatureinfluß denken, der sich sicher jedoch nur durch genaue Temperaturmessungen innerhalb und außerhalb des Aktinographen würde feststellen lassen.

Von großer Wichtigkeit sind die Untersuchungen über den *Jahresgang des Eichfaktors*. *W. Mörikofer*, *Chr. Thams* (5) und *H. Stapf* (2 a) haben bei ihren Untersuchungen festgestellt, daß im Winter bei gleichen Sonnenhöhen die Eichfaktoren um 10—15, bzw. 15 bis 20 % tiefer liegen als im Sommer. Auf Grund dieser Tatsache müßte man für die verschiedenen Jahreszeiten verschiedene Faktoren verwenden. *H. Stapf* und später auch *F. Prohaska* (6) haben, um diesen Jahresgang gerecht zu werden, Reduktionszahlen angegeben, die am sogenannten Sommereichfaktor anzubringen sind (vgl. Lit 1).

Bei unserem Aktinographen ist nun dieser Jahresgang kaum oder doch nur sehr wenig ausgeprägt.

Betrachten wir einmal die Eichfaktoren bei einer Sonnenhöhe, die wir in allen Monaten finden, beispielsweise bei 20°. In den Monaten November, Januar und Februar beträgt der K = Wert 20.4, im Mai, Juni und Juli 20.7.

Ordnen wir die Eichfaktoren nach dem Schema von *F. Prohaska*, so bekommen wir bei 20° und 30° folgende Werte:

	20°	30°
Mai bis Juli	20.7	21.5
April und August . . .	20.6	21.5
März und September . .	20.4	21.0
Oktober bis Februar . .	20.3	—

Wir sehen also, daß die Zunahme der Empfindlichkeit nur schwach ausgeprägt ist und nicht mehr als etwa 2 % beträgt, was innerhalb der Fehlergrenzen des Aktinographen liegt. In dieser Hinsicht hat also unser Aktinograph andere Eigenschaften als das Originalmodell *Fueß-Robitzsch*.

Es sei hier noch beiläufig erwähnt, daß die tiefsten Werte des Eichfaktors nicht im Dezember, sondern im Januar und Februar gefunden wurden, doch ist der Unterschied auch hier klein und vielleicht zufälliger Natur.

Aus der Tatsache der Konstanz des Eichfaktors bei gleicher Sonnenhöhe im Laufe des Jahres folgt nun aber nicht, daß man für alle Monate nur *einen* mittleren Faktor verwenden darf, wie er sich aus der Kurve K = f (h) ergibt. Man muß natürlich die in den einzelnen Monaten wirklich auftretenden Sonnenhöhen berücksichtigen. Dann ergeben sich, da mit zunehmender Sonnenhöhe größere Eichfaktoren gefunden werden, kleinere mittlere Faktoren für den Winter als für den Sommer. Diese Tatsache beinhaltet aber etwas anderes als die des Jahresganges des Eichfaktors.

In Abbildung 3 haben wir die unter Berücksichtigung der jeweils auftretenden Sonnenhöhen berechneten monatlichen Eichfaktoren dargestellt. Es wurde für jeden einzelnen Monat die Kurve der Abhängigkeit des Eichfaktors von der Sonnenhöhe gezeichnet und aus dieser der mittlere monatliche Faktor berechnet. Auffallend ist die unsymmetrische Lage der Kurve zum Monat Juni und die bereits erwähnte Erscheinung der tiefsten Werte im Januar und Februar.

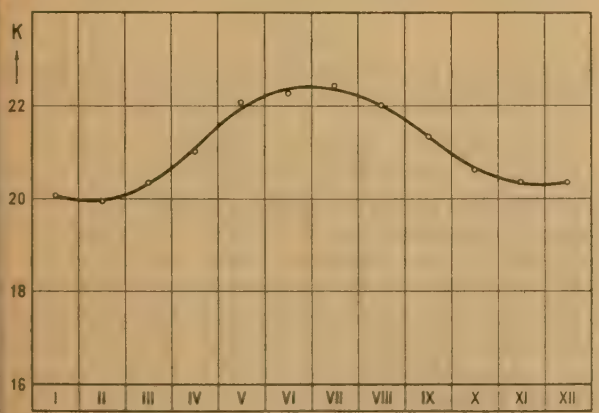

Abb. 3.

Monatsmittelwerte des Eichfaktors im Laufe des Jahres.

Die hier dargestellte Kurve der mittleren monatlichen Eichfaktoren führt praktisch natürlich zu einem ähnlichen Ergebnis wie die, welche *H. Stapf* und *F. Prohaska* aus der Reduktion des Sommereichfaktors ableiten. Nur sind die Unterschiede zwischen Sommer- und Winterwerten bei uns viel geringer.

Gehen wir wieder von dem Schema von *F. Prohaska* aus, das sich nur unwesentlich von dem *Stapfschen* unterscheidet, und setzen den Sommereichfaktor (Fs) gleich 1, so bekommen wir folgende Werte:

	Nach unseren Messungen		Nach Prohaska
	K	Faktor	Faktor
Mai bis Juli . . .	22.3	1.00 · Fs	1.00 · Fs
April und August .	21.9	0.98 · Fs	0.95 · Fs
März und September .	20.8	0.94 · Fs	0.90 · Fs
Oktober bis Februar .	20.3	0.92 · Fs	0.82 · Fs

Die beträchtlich tieferen Werte von *F. Prohaska* und *H. Stapf*, namentlich in den Wintermonaten, erklären sich aus der Tatsache, daß an ihren Instrumenten bei gleicher Sonnenhöhe im Winter tiefere Werte der Eichfaktoren gefunden wurden als im Sommer. Zu der Berechnung des sogenannten Sommereichfaktors sei hier beiläufig noch bemerkt: Es besteht eine gewisse Gefahr, daß er zu groß angenommen wird, da wegen der frühen Morgenstunden zu wenig Eichungen bei tiefen Sonnenständen gemacht werden. Das wirkt sich natürlich dann auch auf die Größe des Reduktionsfaktors aus.

Übrigens liegt das Jahresmittel, berechnet aus den einzelnen Monatskurven (siehe obige Tabelle) etwas höher als jenes, welches aus der Jahreskurve entnommen wurde. Erhielten wir dort ein Mittel von 20.91, so bekommen wir hier 21.34. Dieser prozentual sehr kleine Unterschied ist wohl dadurch bedingt, daß sich die Lage der Jahreskurve auf Grund der viel größeren Anzahl von Eichungen weit sicherer bestimmen läßt als in den einzelnen Monaten die monatlichen Kurven.

Es ließen sich über die Variationen des Eichfaktors noch manche Untersuchungen anstellen, beispielsweise wäre ein Vergleich an dunstigen und an sehr klaren Tagen von Interesse. Doch würde das hier zu weit führen. Mit der Abhängigkeit des Eichfaktors von der Sonnenhöhe, mit dem Jahres- und Tagesgang sind aber die Variationen erfaßt, welche die Empfindlichkeit des Aktinographen entscheidend beeinflussen.

Dennoch bleibt die ganze hier angewandte Eichmethode insofern sehr unbefriedigend, als sie sich ja nur auf wolkenlose oder doch nur leicht bewölkte Tage bezieht und uns vollkommen darüber im unklaren läßt, wie die Verhältnisse an bedeckten oder trüben Tagen liegen. Bei der Eichung von Solarimetern und Pyranometern befinden wir uns allerdings prinzipiell in der gleichen Schwierigkeit.

Über die Konstanz des Eichfaktors über längere Perioden können wir nach 15 Monaten Eichungen noch keine sicheren Angaben machen. Rein visuell betrachtet, läßt sich an dem neuen Bimetallüberzug keine auffallende Veränderung feststellen. Die Eichfaktoren der Jahre 1944 und 1945 zeigen in den Monaten Juni, Juli und August nur Schwankungen, die innerhalb der Fehlergrenzen des Aktinographen liegen. Recht gut ist übrigens auch die Konstanz der Nullinie.

2. Vergleich mit anderen Aktinographen.

Der Vergleich mit einem anderen Bimetallaktinographen war ursprünglich in unserem Untersuchungsprogramm nicht vorgesehen. Durch Zufall erhielten wir das gleichzeitig mit dem Locarner Instrument erworbene Zürcher Instrument Nr. 140 807 von der MZA zur Eichung. Diese Neueichung erwies sich als notwendig, da die geschliffene Glasglocke zertrümmert worden war und durch eine ungeschliffene ersetzt werden mußte. Diese recht dünne, geblasene Glasglocke hat einen um etwa 16 mm größeren Durchmesser und weist leider auch Schlieren auf. Auch bei diesem Instrument zeigen sich jetzt an den Bimetall-Lamellen, vor allem an den weißen, Zerfallserscheinungen.

An diesem Gerät, das seit März 1945 in Locarno in Betrieb ist, wurden bis August 1945 289 Eichungen vorgenommen. Wir wollen im Rahmen dieser Arbeit nicht auf alle Eigenschaften dieses Aktinographen eingehen; sie sind übrigens von denen des anderen Modells nicht sehr verschieden.

Auch hier zeigt sich die charakteristische Abhängigkeit des Eichfaktors von der Sonnenhöhe und der typische Tagesgang in den Sommermonaten.

Der Aktinograph Nr. 140 807 wurde gleichzeitig mit dem Locarner Instrument im März 1938 am Davoser Observatorium geeicht. Man fand für beide Instrumente den gleichen mittleren Eichfaktor, nämlich 19.8.

Die neue Eichung ergibt für die Monate Mai bis Juli den Wert 17.1; errechnet man aus diesem nach dem Reduktionsschema von *F. Prohaska* die Faktoren zu den übrigen Jahreszeiten und vergleicht diese mit den tatsächlich gefundenen, so bekommen wir folgende Werte:

	K-Wert nach F. Prohaska	K-Wert nach unseren Messungen
Mai bis Juli	17.1	17.1
April und August . .	16.2	16.5
März und September .	15.3	16.3 (nur März
Oktober bis Februar .	14.0	— 1945)

Interessant ist, daß die wirklich gemessenen Werte auch bei diesem Instrument nicht die großen Differenzen aufweisen, die *H. Stapf* und *F. Prohaska* gefunden haben. Offenbar ist der sogenannte Jahresgang der Eichfaktoren bei den einzelnen Aktinographen verschieden. Immerhin muß man hier die Tatsache berücksichtigen, daß es sich bei dem Instrument Nr. 140 807 nicht mehr um das Originalmodell handelt.

Daß der mittlere Eichfaktor kleiner ist als nach der Davoser Eichung, ist durch die wesentlich dünnwandigere Glasglocke bedingt.

Von großem Interesse sind nun Vergleiche der Tagessummen der Globalstrahlung, die mit dem Locarner und dem Zürcher Instrument registriert wurden. Hier zeigen sich allerdings erhebliche Differenzen. Im Durchschnitt gibt der Zürcher Aktinograph zu große Summen an, die im Monatsmittel etwa 10 % betragen. Doch können die Abweichungen noch größere Beträge erreichen, namentlich an stark bewölkten oder bedeckten Tagen. *W. Mörikofer* und *Chr. Thams* (a. a. O. S. 371) fanden beim Vergleich von Bimetallaktinographen in der Tagessumme Fehler von 2—4 %, wobei allerdings bemerkt werden muß, daß sie das Mittel aus der Globalstrahlung von zwei Aktinographen als wahren Wert annahmen; *Ångström* und *Puppo* stellten Fehler von 7—8 % fest.

Nun ist hier aber nicht so sehr die Fehlergröße selber von Interesse, da anzunehmen ist, daß Aktinographen vollkommen gleicher Konstruktion besser übereinstimmen, als vielmehr die Ursache dieser Differenz.

Betrachtet man die Größe der reinen Himmelsstrahlung bei den Instrumenten Nr. 140 806 und 140 807, so fällt auf, daß das Zürcher Instrument (140 807) einen viel größeren Betrag der Himmelsstrahlung registriert. Wir sahen schon beim Vergleich des Originalaktinographen mit einem Solarimeter nach *Moll-Gorczynski* diesen großen Unterschied in der Himmelsstrahlung.

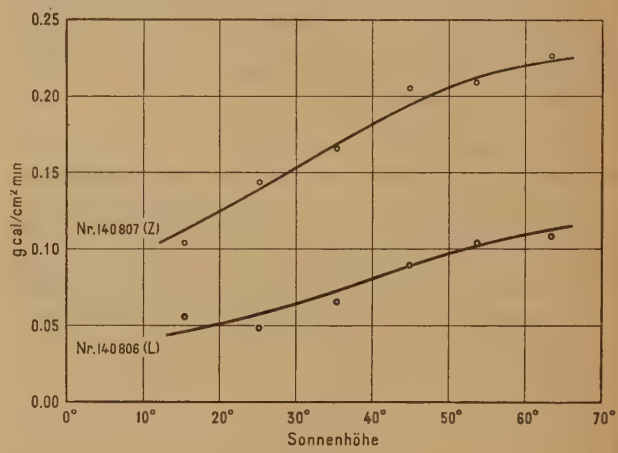

Abb. 4.

Abhängigkeit der reinen Himmelsstrahlung von der Sonnenhöhe bei den Bimetallaktinographen Nr. 140 806 und Nr. 140 807.

Der Betrag der Himmelsstrahlung ist bekanntlich sehr großen Schwankungen unterworfen, die durch Dunst und Bewölkung verursacht werden. Um eine Vorstellung zu gewinnen über die Größe der Himmelsstrahlung, die von den genannten Instrumenten registriert wird, haben wir dieselbe an einigen sehr klaren, praktisch wolkenlosen Tagen von Juni bis August 1945 aus Abdeckungen berechnet. Das Resultat ist in der Abbildung 4 dargestellt. Wir sehen, der Zürcher Aktinograph mit dem Bimetall-Lamellenüberzug des Originalmodells gibt wesentlich größere Werte der Himmelsstrahlung. Nun können wir natürlich auf Grund dieser Kurven nicht entscheiden, welches Instrument die Himmelsstrahlung richtig wiedergibt. Uns müßte zu diesem Zweck beispielsweise ein Solarimeter zur Verfügung stehen. Vergleicht man aber diese Werte der Himmelsstrahlung an wolkenlosen Tagen mit den theoretischen und mit solchen, die an anderen Orten gemessen wurden (vgl. *Hann-Süring* [7]), so scheinen die Werte des Aktinographen 140 807, vornehmlich bei großen Sonnenhöhen, zu groß zu sein.

Die mit dem Locarner Aktinographen (140 806) gefundenen Werte dürften in der Größenordnung annähernd richtig sein. Zu groß sind sie — so glauben wir — kaum. Man muß hier selbstverständlich berücksichtigen, daß infolge des kleinen Ausschlages am Aktinographen diese Messungen eben nicht sehr genau sein können und daß wir nur eine kleine Auswahl besonders klarer Tage vor uns haben. Würde man alle Tage heranziehen, so würde die Kurve wahrscheinlich höher liegen.

Die Differenz der Strahlungssummen der beiden Aktinographen hat also ohne Zweifel ihre Ursache in der von den Instrumenten verschieden registrierten Himmelsstrahlung.

3. Schlußbetrachtungen.

Das Endergebnis unserer Untersuchungen lautet dahin: Der neue Bimetall-Lamellenüberzug der Fa. *Kern & Co.*, Aarau, zeigt Eigenschaften, die uns ermutigen sollten, das Problem der Weißung und Schwärzung der Lamellen weiter zu verfolgen. Es erscheint möglich, eine Kombination von weißen und schwarzen Lamellen zu finden, mit deren Hilfe die Globalstrahlung einwandfrei gemessen werden kann. Es seien besonders folgende Eigenschaften hervorgehoben:

1. Gutes Haften des Überzuges an den Lamellen und relativ große Unempfindlichkeit gegen Zerstörung durch Strahlung, Feuchtigkeit und mechanische Beanspruchung.
2. Unabhängigkeit des Eichfaktors bei gleicher Sonnenhöhe von der Jahreszeit.
3. Annähernd richtige Wiedergabe der Himmelsstrahlung.

Ohne Zweifel ließen sich an dem Bimetallaktinographen noch manche Verbesserungen anbringen. Es wäre sehr zu begrüßen, wenn unsere an Präzisionsarbeit gewöhnte schweizerische feinmechanische Industrie sich für dieses Strahlungsgerät, von dem man sich eine weite Verbreitung versprechen kann, interessieren würde. Im gesamten beurteilt, muß trotz aller berechtigten Kritik doch immer wieder hervorgehoben werden, daß dieses auf so einfachen Prinzipien aufgebaute, recht robuste Gerät für die klimatologische Erforschung unseres Landes von großer Bedeutung sein kann.

Literaturverzeichnis.

1) *Chr. Thams*, Über die Konstanz des Eichfaktors beim Bimetallaktinographen Fueß-Robitzsch, Annalen der Schweizerischen Meteorologischen Zentralanstalt, 1943.

2) *H. Stapf*, a) Der Eichwert des Robitzsch-Aktinographen, MZ. 1938, S. 18. — b) Ergebnisse der Eichung von Robitzsch-Aktinographen, MZ. 1938, S. 407.

3) *W. Mörikofer*, Meteorologische Strahlungsmeßmethoden, Handbuch der biologischen Arbeitsmethoden, hrg. von E. Abderhalden. Abt. II, Teil 3, 1939, S. 4118.

4) *W. Mörikofer* und *Chr. Thams*, Erfahrungen mit dem thermoelektrischen Pyrheliographen Moll-Gorczynski, MZ. 1936, S. 22.

5) *W. Mörikofer* und *Chr. Thams*, Erfahrungen mit dem Bimetallaktinographen Fueß-Robitzsch, MZ. 1937, S. 360.

6) *F. Prohaska*, Die Globalstrahlung in Davos, Gerlands Beiträge zur Geophysik, 59, 1943, S. 247.

7) *Hann-Süring*, Lehrbuch der Meteorologie, 5. Auflage, 1939, Bd. I, S. 67.

Nr. 7

Aerologische Station Payerne

Radiosondierungen 1944

7. I. 1944. 13.55 h MEZ.

Min.	PPP	TTT	UU	H m. dyn.
0	969.5	- 2.0	80	483
1	948	- 2.2	90	656
2	920	- 2.0	80	883
	907	**- 1.8**	**80**	**1000**
	900	**- 1.6**	**78**	**1061**
3	898	- 1.6	76	1080
5	835	- 1.3	60	1645
6	810	- 2.0	52	1883
	800	**- 2.5**	**50**	**1979**
	798	**- 2.6**	**48**	**2000**
7	793	- 3.0	50	2048
8	768	- 4.0	52	2296
9	744	- 6.0	58	2539
10	719	- 7.6	66	2798
	700	**- 8.3**	**68**	**3000**
11	682	- 9.1	72	3200
12	652	-11.2	74	3538
13	629	-12.3	69	3808
	614	**-13.1**	**66**	**4000**
14	606	-13.4	63	4088
	600	**-13.8**	**60**	**4163**
15	577	- 15.1	59	4455
16	553	- 17.0	58	4768
	536	**- 19.2**	**58**	**5000**
17	529	-20.0	57	5095
18	503	-22.2	57	5457
	500	**-22.3**	**54**	**5498**
19	485	-23.6	53	5717
	466	**-24.8**	**51**	**6000**
20	459	-25.2	51	6112
21	440	-27.8	48	6409
22	422	-30.5	46	6698
23	**404**	**-32.6**	**46**	**7000**
	400	**-33.5**	**46**	**7069**
24	388	-36.0	46	7279
25	370	-37.9	46	7603
	349	**-40.6**	**46**	**8000**
26	346	-41.1	48	8051
27	330	-42.2	47	8368
28	316	-43.0	47	8556
29	306	-44.9	45	8867
	300	**-47.0**	**45**	**9000**
30	298	-47.4	45	9039
31	285	-49.3	45	9327
32	272	-49.8	45	9622
33	258	-52.0	45	9960
	256	**-52.3**	**45**	**10000**
	250	**-53.2**	**45**	**10160**
34	249	-53.2	45	10186
35	240	-54.3	44	10417
36	234	-55.0	43	10572
37	225	-55.3	42	10821
	219	**-55.7**	**42**	**11000**
38	215	-56.0	42	11108

8. I. 1944. 8 h MEZ.

Min.	PPP	TTT	UU	H m. dyn.
0	966.2	- 8.8	95	483
1	920	- 7.6	100	860
	903	**- 4.5**	**95**	**1000**
	900	**- 4.0**	**90**	**1030**
2	888	- 2.0	88	1136
3	871	1.2	79	1287
4	851	1.0	69	1468
5	836	1.3	60	1608
6	808	0.9	57	1875
	800	**- 1.1**	**57**	**1955**
	795	**- 1.2**	**57**	**2000**
7	786	- 1.4	57	2093
8	764	- 2.6	57	2314
9	740	- 3.6	57	2560
10	718	- 5.0	55	2791
	700	**- 5.4**	**55**	**2987**
	699	**- 5.4**	**54**	**3000**
11	698	- 5.5	54	3010
12	674	- 6.4	54	3278
13	652	- 7.4	54	3530
14	632	- 8.6	54	3768
15	**613**	**-10.4**	**54**	**4000**
	600	**-11.6**	**54**	**4163**
16	594	-12.1	54	4239
17	575	-13.7	54	4482
18	559	-15.4	54	4691
19	547	-17.1	54	4854
	536	**-18.4**	**54**	**5000**
20	534	-18.7	54	5030
21	516	-20.0	54	5281
22	506	-21.5	54	5422
	500	**-22.5**	**54**	**5505**
23	498	-22.9	54	5534
24	489	-24.6	54	5665
25	483	-24.7	54	5752
26	475	-25.8	54	5873
27	471	-26.6	54	5932
28	**466**	**-26.8**	**54**	**6000**
29	461	-28.0	54	6086

9. I. 1944. 8 h MEZ.

Min.	PPP	TTT	UU	H m. dyn.
0	962.0	1.2	56	483
1	940	4.7	52	667
2	908	4.7	50	946
	902	**4.4**	**50**	**1000**
	900	**4.2**	**50**	**1018**
3	880	2.8	49	1196
4	854	1.0	49	1433
5	830	0.5	48	1655
6	806	- 0.3	48	1886
	800	**- 0.6**	**48**	**1945**
	794	**- 0.9**	**48**	**2000**
7	785	- 1.5	48	2094
8	758	- 3.0	48	2364
9	732	- 4.2	47	2632
10	704	- 4.3	47	2933
	700	**- 4.5**	**47**	**2978**
	698	**- 4.6**	**45**	**3000**
11	672	- 6.4	44	3291
12	650	- 7.3	41	3544
13	626	- 9.3	40	3831
	612	**- 9.4**	**40**	**4000**
14	**600**	**- 9.6**	**39**	**4156**
15	574	-13.7	38	4488
16	548	-15.9	38	4833
	536	**-16.7**	**38**	**5000**
17	529	-17.1	38	5096
18	502	-20.3	38	5476
	500	**-20.7**	**38**	**5504**
19	486	-22.6	38	5709
20	468	-24.0	38	5980
21	**466**	**-24.0**	**38**	**6000**
	448	-26.0	38	6291
22	430	-28.3	38	6576
23	412	-31.2	38	6875
	405	**-31.7**	**38**	**7000**
	400	**-31.9**	**38**	**7080**
24	392	-32.3	38	7219
25	370	-34.7	38	7615
26	**350**	**-35.9**	**38**	**8000**
27	336	-38.2	38	8276
28	318	-41.5	38	8643
29	309	-46.5	38	8832
	301	**-48.1**	**38**	**9000**
	300	**-48.3**	**38**	**9025**
30	296	-49.1	38	9111
31	284	-52.4	38	9374
32	276	-53.8	38	9551
33	266	-56.5	38	9782
	257	**-58.9**	**38**	**10000**
34	254	-59.6	38	10066
35	**250**	**-60.5**	**38**	**10163**
36	245	-62.7	38	10285
37	236	63.9	38	10508
38	230	65.8	38	10661
39	224	66.7	38	10819
	217	**-67.3**	**38**	**11000**
40	215	-67.8	38	11063

10. I. 1944. 8 h MEZ.

Min.	PPP	TTT	UU	H m. dyn.
0	960	3.2	85	483
1	940	5.6	85	648
2	914	2.8	85	878
	900	**2.2**	**85**	**1000**
3	886	2.2	85	1123
4	857	0.7	90	1387
5	827	- 0.8	95	1664
6	804	1.6	100	1890
	800	**- 1.3**	**100**	**1930**
	793	**- 1.0**	**100**	**2000**
7	788	- 0.6	100	2045
8	762	- 1.5	100	2308
9	734	- 2.9	100	2598
10	716	1.7	100	2858
	700	**- 5.2**	**100**	**2971**
	697	**- 5.3**	**100**	**3000**
11	690	- 5.5	100	3074
12	669	- 6.5	100	3316
13	646	- 7.6	100	3579
14	625	- 8.5	100	3834
	611	**- 9.4**	**100**	**4000**
15	604	- 9.7	100	4095
	600	**-10.0**	**100**	**4147**
16	582	-10.9	100	4377
17	556	-12.7	100	4722
	536	**-14.4**	**100**	**5000**
18	535	-14.5	100	5009
19	517	-16.1	100	5263
20	**500**	**-18.2**	**100**	**5508**
21	483	-20.3	100	5759
	467	**-21.8**	**100**	**6000**
22	462	-22.4	100	6079
23	448	-24.4	100	6302
24	428	-26.8	100	6621
25	408	-29.5	100	6959
	405	**-29.6**	**99**	**7000**
	400	**-30.2**	**92**	**7099**
26	388	-31.9	85	7310
27	373	-34.5	80	7579
28	355	-37.2	80	7919
	351	**-37.6**	**80**	**8000**
29	337	-39.5	80	8273
30	320	-42.2	80	8615
31	306	-44.5	80	8911
	302	**-45.1**	**80**	**9000**
	300	**-45.3**	**80**	**9042**
32	294	-46.0	80	9174
33	278	-47.0	75	9537
34	268	-47.4	75	9773
	259	**-48.9**	**75**	**10000**
35	258	-49.1	75	10018

14. I. 1944. 14.40-h MEZ.

Min.	PPP	TTT	UU	H m. dyn.
0	974.7	0.9	100	483
1	953	1.7	100	661
2	930	4.3	95	858
	913	**4.1**	**90**	**1000**
3	905	3.9	82	1075
	900	**4.0**	**80**	**1121**
4	881	4.2	75	1291
5	860	1.7	68	1480
6	830	1.4	63	1761
7	806	0.0	75	1991
	805	**- 0.1**	**76**	**2000**
	800	**- 0.4**	**78**	**2051**
8	784	- 1.3	83	2210
9	766	- 2.2	90	2451
10	737	- 3.0	93	2687
	708	**- 4.4**	**93**	**3000**
11	706	- 4.6	94	3021
	700	**- 5.6**	**94**	**3086**
12	692	- 7.0	94	3174
13	668	- 7.9	94	3444
14	644	- 8.8	94	3720
15	625	- 9.7	93	3947
	621	**- 9.8**	**93**	**4000**
16	602	-10.6	90	4233
	600	**-11.0**	**87**	**4259**
17	578	-12.7	86	4540
18	551	-14.7	85	4857
	544	**-16.0**	**85**	**5000**
19	530	-17.4	84	5187
20	505	-20.0	78	5537
	500	**-20.7**	**75**	**5608**
21	490	-22.7	75	5754
	474	**-24.0**	**75**	**6000**
22	469	-24.5	75	6070
23	450	-26.8	75	6364
24	431	-28.7	75	6663
25	415	-30.8	75	6929
	411	**-31.1**	**75**	**7000**
	400	**-32.2**	**75**	**7184**
26	392	-33.2	75	7324
27	372	-34.8	74	7682
28	360	-38.6	74	7986
	355	**-39.4**	**73**	**8000**
29	347	-41.0	70	8154
30	333	-43.0	69	8427
31	321	-43.5	68	8669
32	313	-44.9	68	8833
	305	**-46.1**	**68**	**9000**
33	304	-46.4	68	9025
	300	**-47.1**	**68**	**9110**
34	293	-48.4	68	9264
35	282	-49.3	68	9508
36	270	-49.7	68	9787
	261	**-50.9**	**68**	**10000**
37	259	-51.4	68	10052
38	253	-53.5	68	10201
39	243	-53.5	68	10454
40	238	-54.5	68	10582
41	237	-55.3	68	10609
42	232	-55.6	68	10742

20. I. 1944. 7.58 h MEZ.

Min.	PPP	TTT	UU	H m. dyn.
0	971.7	- 1.9	90	483
1	951.0	- 1.9	95	655
2	925	- 1.9	100	870
	910	**- 1.9**	**100**	**1000**
3	**900**	**- 1.9**	**100**	**1086**
4	875	- 0.3	90	1307
5	852	0.6	84	1514
6	830	2.3	72	1719
7	805	- 0.3	76	1915
	801	**- 0.9**	**78**	**2000**
	800	**- 0.9**	**80**	**2014**
8	786	- 2.1	82	2151
9	765	- 2.1	86	2361
10	745	- 1.3	84	2567
11	723	- 3.6	80	2799
	705	**- 4.8**	**80**	**3000**
	700	**- 5.1**	**80**	**3050**
12	695	- 5.4	80	3105
13	673	- 6.0	80	3353
14	649	- 8.4	80	3627
15	626	-10.0	80	3905
	618	**-10.5**	**80**	**4000**
16	**600**	**-11.8**	**80**	**4227**
17	578	-13.7	80	4506
18	557	-15.5	80	4780
	541	**-16.2**	**79**	**5000**
19	536	-16.4	76	5068
20	507	-18.2	73	5476
	500	**-19.1**	**73**	**5576**
21	487	-20.9	73	5768
	472	**-22.2**	**72**	**6000**
22	465	-22.9	72	6101
23	448	-25.6	70	6367
24	430	-28.2	69	6655
25	414	-31.1	68	6922
	409	**-31.8**	**67**	**7000**
	400	**-33.3**	**67**	**7157**
26	395	-34.2	67	7245
27	375	-36.2	67	7599
28	355	-38.1	66	7923
	351	**-38.2**	**66**	**8000**
29	338	-39.6	65	8303
30	326	-41.3	65	8545
31	314	-42.2	65	8794
	304	**-43.7**	**65**	**9000**
32	302	-43.9	64	9053
	300	**-44.2**	**64**	**9095**
33	292	-45.5	64	9274
34	280	-47.1	64	9544
35	267	-48.5	64	9851
	261	**-48.9**	**64**	**10000**
36	256	49.1	63	10122
	250	**-49.5**	**63**	**10273**
37	248	49.8	63	10324
38	240	50.8	63	10530
39	233	51.6	63	10720
40	226	-52.5	63	10916
41	**223**	**-52.8**	**63**	**11000**
42	216	-53.4	63	11206
43	210	54.1	63	11384
44	204	-54.5	63	11565

21. I. 1944. 8.24 h MEZ.

Min.	PPP	TTT	UU	H m. dyn.
0	971	- 1.6	95	483
1	951	0.5	93	646
2	925	2.0	90	856
	910	**1.8**	**90**	**1000**
	900	**1.6**	**89**	**1087**
3	892	1.4	88	1156
4	864	0.2	87	1407
5	834	0.4	88	1684
6	804	0.5	86	1971
	801	**- 0.6**	**86**	**2000**
	800	**- 0.6**	**85**	**2013**

Min.	PPP	TTT	UU	H m. dyn.
7	780	– 1.8	85	2210
9	733	– 5.6	85	2687
10	705	– 7.9	85	2987
	704	**– 7.9**	**85**	**3000**
	700	**– 8.0**	**85**	**3040**
11	682	– 8.5	85	3237
12	658	– 9.6	84	3509
13	635	–10.6	**76**	**3777**
	617	**–11.2**	**70**	**4000**
14	611	–11.3	69	4068
	600	**–11.5**	**64**	**4206**
15	586	–11.9	62	4384
16	563	–14.0	59	4685
	540	**–16.2**	**59**	**5000**
17	534	–16.8	59	5078
18	512	–19.8	59	5386
	500	**–20.7**	**59**	**5558**
19	487	–21.7	59	5748
	470	**–24.1**	**59**	**6000**
20	468	–24.2	59	6032
21	444	–26.7	58	6404
22	424	–28.7	58	6728
23	**408**	**–30.8**	**58**	**7000**
	400	**–32.0**	**58**	**7131**
24	393	–33.3	58	7254
25	380	–35.9	58	7482
26	366	–37.8	58	7738
27	353	–39.8	58	7984
	352	**–40.0**	**58**	**8000**
28	338	–41.9	58	8276
29	328	–44.2	58	8473
30	316	–46.8	58	8716
31	306	–47.7	58	8927
	302.5	**–48.4**	**58**	**9000**
	300	**–48.8**	**58**	**9056**
32	296	–49.3	58	9139
33	288	–50.8	58	9315
34	282	–52.2	58	9446

18. II. 44. 8.30 h MEZ.

0	954.3	– 5.0	80	483
1	**900**	**– 7.6**	**82**	**937**
	892	**– 8.1**	**84**	**1000**
2	886	– 8.6	89	1056
3	865	–11.6	91	1237
4	845	–12.0	95	1413
5	828	–11.7	100	1563
	800	**–13.5**	**100**	**1822**
6	796	–13.8	100	1853
	781	**–14.6**	**100**	**2000**
7	770	–15.3	100	2105
8	743	–16.2	100	2369
9	716	–14.5	95	2640
	700	**–14.8**	**92**	**2809**
10	694	–14.9	89	2872
	682	**–15.1**	**87**	**3000**
11	673	–15.5	85	3099
12	654	–17.6	83	3312
13	628	–19.1	80	3605
14	**600**	**–21.2**	**77**	**3939**
	595	**–22.0**	**77**	**4000**
15	580	–23.9	77	4184
16	554	–25.7	75	4512
17	531	–27.6	75	4813
	517	**–29.3**	**75**	**5000**
18	512	–29.7	75	5057
	500	**–31.0**	**73**	**5237**
19	495	–31.6	73	5304
20	474	–34.2	73	5600
21	456	–35.7	72	5863
	447	**–36.4**	**72**	**6000**
22	430	–37.7	72	6264
23	412	–39.8	72	6548
	400	**–42.2**	**72**	**6745**
24	394	–43.1	72	6845
	385	**–43.7**	**72**	**7000**
25	375	–44.7	72	7172
26	358	–47.1	72	7473
27	340	–48.6	71	7811
	330	**–49.5**	**72**	**8000**
28	321	–50.4	71	8171
29	310	–51.9	71	8405
	300	**–52.7**	**71**	**8610**
30	296	–53.2	71	8694
31	284	–53.9	71	8956

21. II. 1940. 7.52 h MEZ.

0	959.1	– 6.4	80	483
1	920	– 7.4	80	801
	900	**– 8.5**	**87**	**920**
	896	**– 8.7**	**85**	**1000**
2	880	– 9.5	85	1142
3	850	–12.1	90	1404
4	824	–15.1	95	1632
	800	**–17.6**	**98**	**1850**
5	794	–17.9	100	1906
	784	**–15.5**	**100**	**2000**
6	763	–11.4	100	2202
7	739	– 9.1	90	2442
8	714	– 8.7	80	2702
	700	**–10.5**	**75**	**2852**
9	694	–11.0	70	2917
	686	**–11.4**	**69**	**3000**
10	671	–12.4	68	3170
11	654	–15.7	68	3362
12	634	–17.6	67	3588
13	611	–19.6	65	3860
	600	**–20.7**	**65**	**4000**
14	585	–22.1	65	4177
15	567	–24.0	63	4402
16	545	–25.7	65	4685
17	523	–27.0	67	4978
	521	**–27.0**	**69**	**5000**
18	**500**	**–28.6**	**75**	**5294**
19	480	–31.0	70	5578
20	461	–33.0	63	5857
	451	**–33.7**	**63**	**6000**
21	436	–35.0	63	6240
22	421	–37.6	63	6474
23	403	–40.7	65	6766
	400	**–41.1**	**66**	**6818**
	389	**–42.5**	**69**	**7000**
24	380	–43.9	70	7159
25	363	–47.5	75	7455
26	351	–50.0	70	7674
27	339	–52.5	70	7897
	333	**–53.6**	**70**	**8000**
28	330	–54.2	70	8067
29	313	–57.6	65	8399
30	**300**	**–59.3**	**64**	**8656**
31	292	–59.2	63	8825

22. II. 1944. 7.45 h MEZ.

0	954.3	– 7.2	80	483
1	911	–10.4	80	837
	900	**–11.5**	**80**	**930**
	892	**–12.2**	**80**	**1000**
2	888	–12.6	83	1031
3	861	–14.3	84	1261
4	840	–14.5	85	1444
5	817	–15.1	87	1649
	800	**–16.9**	**89**	**1803**
6	793	–17.6	90	1869
	779	**–18.1**	**91**	**2000**
7	776	–18.1	95	2028
8	758	–15.7	100	2200
9	742	–15.6	90	2357
10	725	–17.0	85	2525
11	708	–17.7	81	2699
	700	**–18.3**	**78**	**2783**
12	696	–18.5	77	2824
13	681	–18.3	75	2984
	679	**–18.4**	**76**	**3000**
14	669	–19.3	78	3114
15	650	–20.3	80	3324
16	638	–22.2	80	3457
17	628	–23.2	83	3570
18	616	–23.6	85	3709
19	604	–24.0	88	3852
	600	**–24.2**	**90**	**3900**
20	594	–24.6	90	3971
	592	**–24.7**	**90**	**4000**
21	582	–25.2	90	4119
22	572	–25.3	92	4243
23	562	–26.2	93	4367
24	554	–26.5	94	4468
25	544	–27.5	95	4596

14. III. 1944. 8.38 h MEZ.

0	951.8	1.0	75	483
1	933	– 1.1	75	638
2	910	– 2.7	75	835
	900	**– 5.5**	**75**	**921**
	891	**– 4.5**	**75**	**1000**
3	890	– 4.7	75	1008
4	865	– 5.2	80	1228
5	838	– 7.1	83	1470
6	810	– 9.3	90	1729
	800	**– 9.8**	**91**	**1823**
	781	**–10.7**	**92**	**2000**
7	773	–11.0	95	2081
8	742	–14.5	100	2388
9	725	–15.4	100	2556
	700	**–16.1**	**100**	**2816**
10	698	–16.3	100	2836
	683	**–17.9**	**100**	**3000**
11	672	–19.1	100	3115
12	651	–21.7	90	3346
13	627	–21.8	87	3614
14	609	–21.6	85	3827
	600	**–21.6**	**85**	**3935**
	595	**–21.6**	**85**	**4000**
15	591	–21.6	85	4045
16	573	–21.6	83	4270
17	560	–21.8	80	4436
18	550	–23.4	80	4563
19	539	–25.0	77	4709
20	520	–26.3	75	4965
	517	**–26.8**	**75**	**5000**
21	506	–28.1	75	5158
	500	**–29.2**	**75**	**5242**
22	494	–30.1	75	5326
23	483	–30.7	75	5480
24	474	–31.5	75	5610

16. III. 1944. 8.15 h MEZ.

0	962.8	– 4.0	90	483
1	932	– 4.8	90	734
	901	**– 5.5**	**90**	**1000**
2	**900**	**– 5.6**	**90**	**1007**
3	872	– 6.2	90	1250
4	846	– 6.9	90	1480
5	818	– 7.6	90	1738
	800	**– 8.1**	**85**	**1908**
	790	**– 8.4**	**82**	**2000**
6	787	– 8.4	80	2032
7	758	– 5.2	75	2320
8	728	– 8.5	55	2626
9	**700**	**–10.0**	**50**	**2923**
	693	**–10.5**	**47**	**3000**
10	678	–11.7	45	3165
11	652	–13.1	40	3456
12	626	–14.4	**36**	3758
	606	**–15.9**	**36**	**4000**
13	602	–16.1	36	4050
	600	**–16.3**	**35**	**4075**
14	576	–17.4	34	4377
15	551	–19.2	34	4700
	529	**–20.3**	**34**	**5000**
16	526	–20.3	34	5040
17	501	–24.2	34	5390
	500	**–24.4**	**34**	**5405**
18	479	–27.2	34	5707
19	460	–29.2	34	5990
	459	**–29.3**	**34**	**6000**
20	439	–35.1	34	6313

22. III. 1944. 15.20 h MEZ.

0	955.0	2.0	45	483
1	920	2.0	45	776
	900	**0.7**	**45**	**951**
	894	**0.0**	**45**	**1000**
2	885	– 1.0	45	1082
3	850	– 2.2	45	1400
4	818	– 4.8	50	1694
	800	**– 6.5**	**50**	**1872**
5	790	– 7.3	50	1965
	786	**– 7.7**	**50**	**2000**
6	770	– 9.3	50	2156
7	749	–11.0	50	2365
8	727	–11.1	50	2485
9	703	–12.0	60	2837
	700	**–12.2**	**60**	**2968**
	688	**–12.4**	**60**	**3000**
10	677	–12.4	60	3120
11	653	–12.4	60	3390
12	634	–12.4	60	3611
13	606	–12.4	60	3941
	602	**–12.4**	**58**	**4000**
	600	**–12.6**	**50**	**4019**
14	582	–14.5	45	4249
15	567	–16.7	45	4446
16	552	–18.4	45	4638
17	531	–19.9	45	4923
	525	**–20.6**	**45**	**5000**
18	518	–21.5	45	5107
19	501	–23.0	45	5347
	500	**–23.1**	**45**	**5357**
20	486	–24.9	45	5562
21	464	–27.2	45	5885
	456	**–28.0**	**45**	**6000**
22	444	–29.9	45	6200
23	430	–31.0	45	6416
24	410	–33.2	45	6745
25	402	–35.7	45	6880
	400	**–36.0**	**45**	**6912**
	395	**–36.8**	**45**	**7000**
26	388	–37.3	45	7116
27	376	–39.0	45	7335
28	367	–40.8	45	7495
29	360	–41.8	43	7622
30	345	–41.4	43	7904
	340	**–42.1**	**43**	**8000**
31	336	–42.6	43	8084
32	332	–43.5	43	8158
33	326	–44.3	43	8283
34	316	–45.1	43	8486

23. III. 1944. 8.15 h MEZ.

0	959.0	– 1.8	80	483
1	920	– 2.9	80	806
	900	**– 3.5**	**81**	**982**
	897	**– 3.7**	**82**	**1000**
	890	– 4.2	84	1066
3	860	– 5.5	85	1334
4	835	– 6.8	90	1561
5	808	– 8.2	97	1808
	800	**– 8.6**	**97**	**1885**
	788	**– 8.7**	**96**	**2000**
6	785	– 9.6	95	2025
7	758	–11.4	92	2290
8	730	–13.8	88	2538
9	709	–13.5	80	2787
	700	**–13.5**	**80**	**2882**
	689	**–13.5**	**80**	**3000**
10	685	–13.5	75	3047
11	663	–13.5	68	3286
12	641	–13.5	63	3535
13	620	–11.5	58	3786
	602	**–11.6**	**56**	**4000**
14	**600**	**–11.7**	**54**	**4038**
15	576	–14.1	50	4342
16	552	–16.6	50	4654
17	529	–18.7	50	4970
	527	**–18.9**	**50**	**5000**
18	513	–20.1	50	5196
	500	**–21.6**	**50**	**5379**
19	490	–22.7	50	5526
20	469	–24.5	50	5823
	458	**–25.8**	**50**	**6000**
21	450	–26.7	50	6131
22	433	–28.8	50	6391
23	417	–30.5	50	6656
	400	**–33.0**	**50**	**6967**
	397	**–33.2**	**50**	**7000**
24	395	–33.4	50	7035
25	378	–35.5	50	7333
26	369	–38.2	50	7498
27	355	–40.0	50	7758
28	**342**	**–42.2**	**50**	**8000**
29	333	–44.2	50	8188
30	324	–46.0	50	8366
31	312	–47.2	50	8600
32	303	**–49.1**	**50**	8795
	300	**–49.7**	**50**	**8860**
33	295	–50.6	50	8960
	294	**–51.2**	**50**	**9000**
34	290	–52.1	50	9068
35	284	–52.4	50	9198
36	280	–52.4	50	9298
37	275	–52.2	50	9416

23. III. 1944. 15.57 h MEZ.

0	961.2	4.2	45	483
1	930	1.4	51	741
	900	**– 1.4**	**51**	**1000**
2	890	– 2.3	51	1091
3	855	– 4.9	55	1402
4	830	– 7.8	57	1627
5	805	– 8.5	60	1859
	800	**– 8.3**	**60**	**1907**
	790	**– 8.2**	**58**	**2000**
6	780	– 8.1	56	2100
7	754	–11.1	54	2356
8	734	–10.8	52	2554
9	718	–10.8	47	2708
10	701	–10.8	44	2900
	700	**–10.8**	**44**	**2915**
	692	**–11.0**	**43**	**3000**
11	687	–11.3	42	3054
12	675	–12.3	40	3185
13	661	–13.4	38	3343
14	650	–13.9	37	3470
15	645	–13.8	36	3519
16	640	–13.8	35	3582

24. III. 1944. 8 h MEZ.

0	965.9	– 2.7	85	483
1	935	– 1.1	85	814
2	**912**	**– 1.1**	**85**	**1000**
	900	**– 1.1**	**85**	**1117**
3	886	– 1.1	85	1240
4	855	– 1.1	85	1512
5	829	– 1.1	69	1758
	803	**– 2.6**	**63**	**2000**
	800	**– 2.8**	**60**	**2036**
6	797	– 3.1	59	2066
7	772	– 4.8	51	2310
8	747	– 6.1	45	2560
9	723	– 7.5	49	2809
	705	**– 7.9**	**50**	**3000**
10	**700**	**– 8.2**	**51**	**3060**
11	674	– 9.1	51	3345
12	652	–10.5	53	3593
13	626	–12.9	55	3898
	618	**–13.5**	**56**	**4000**
14	602	–14.7	58	4195
	600	**–15.0**	**59**	**4218**
15	578	–16.4	63	4493
16	549	–18.0	65	4872
	539	**–18.4**	**64**	**5000**
17	524	–19.2	62	5212
18	**500**	**–20.6**	**61**	**5552**
19	476	–24.1	61	5905
	469	**–25.6**	**61**	**6000**
20	457	–27.3	61	6192
21	436	–29.7	61	6522
22	415	–31.8	61	6850
	407	**–32.8**	**61**	**7000**
	400	**–33.3**	**62**	**7118**
23	397	–33.6	62	7170
24	382	–35.6	63	7430
25	369	–37.0	63	7652

25. III. 1944. 7.55 h MEZ.

0	967.1	0.6	95	483
1	929	2.8	95	801
	906	**1.7**	**95**	**1000**
	900	**1.2**	**95**	**1052**
2	898	0.9	95	1072
3	871	– 0.7	97	1311
4	846	– 2.3	98	1536
5	819	– 3.9	98	1791
	800	**– 5.3**	**98**	**1976**
	797	**– 5.4**	**98**	**2000**
6	789	– 6.0	98	2077
7	760	– 8.5	100	2361
8	738	–10.1	100	2580
9	715	–10.0	99	2816
	700	**– 9.8**	**96**	**2982**
	698	**– 9.6**	**92**	**3000**
10	693	– 9.5	85	3056
11	670	– 9.2	72	3315
12	653	–10.0	64	3510
13	634	–11.0	58	3730

Min.	PPP	TTT	UU	H m. dyn.
11	**612**	**-12.4**	**55**	**4000**
	600	**-13.3**	**54**	**4150**
15	590	-14.1	53	4273
16	568	-15.7	53	4542
17	551	-17.7	54	4780
	534	**-19.0**	**54**	**5000**
18	529	-19.4	55	5077
19	511	-20.1	55	5332
	500	**-21.2**	**55**	**5494**
20	491	-21.8	55	5607
21	474	-23.4	55	5868
	465	**-24.4**	**55**	**6000**
22	458	-25.0	55	6117
23	443	-26.5	55	6350
24	428	-27.9	55	6574
25	413	-29.8	55	6821
	403	**-31.2**	**55**	**7000**
26	**400**	**-31.7**	**55**	**7060**
27	388	-33.3	55	7271
28	375	-34.9	55	7497
29	365	-36.5	55	7686
30	352	-38.4	55	7926
	348	**-39.3**	**55**	**8000**
31	341	-40.5	55	8145
32	332	-42.1	55	8327
33	323	-42.5	55	8500
34	313	-43.1	55	8712
35	306	-43.4	55	8863

26. IV. 1944. 8.10 h MEZ.

0	959.7	5.2	85	483
2	910	4.1	88	910
	900	**3.3**	**90**	**1000**
3	876	0.8	93	1214
4	849	- 2.0	96	1458
5	813	- 3.6	98	1795
	800	**- 4.3**	**99**	**1920**
	792	**- 4.7**	**100**	**2000**
6	786	- 5.1	100	2057
7	752	- 6.8	100	2396
8	730	- 8.3	98	2620
9	706	-10.0	98	2875
	700	**-10.8**	**98**	**2939**
	694	**-11.6**	**98**	**3000**
10	686	-12.7	97	3090
11	664	-12.6	96	3333
12	646	-12.6	90	3537
13	629	-12.6	83	3788
14	612	-13.3	76	3943
	608	**-13.6**	**75**	**4000**
	600	**-14.1**	**73**	**4092**
15	592	-14.7	71	4192
16	573	-16.6	67	4435
17	553	-17.7	63	4694
18	539	-10.2	60	4883
	530	**-20.0**	**60**	**5000**
19	520	-20.9	59	5146
20	502	-22.6	58	5400
	500	**-22.8**	**58**	**5427**
21	484	-24.6	57	5658
22	466	-25.3	56	5929
	461	**-25.7**	**56**	**6000**
23	448	-26.7	56	6208
24	431	-27.8	55	6477
25	421	-30.0	54	6642

27. IV. 1944. 7.24 h MEZ.

0	966.8	5.6	95	483
1	935	3.8	97	750
2	910	3.0	97	969
	906	**2.8**	**98**	**1000**
	900	**2.4**	**99**	**1058**
3	879	0.7	99	1245
4	853	0.8	100	1479
5	827	0.3	100	1721
6	807	- 0.8	98	1915
	800	**- 0.9**	**97**	**1984**
	798	**- 1.0**	**97**	**2000**
7	777	- 1.8	93	2213
9	735	- 1.7	77	2643
10	709	- 0.5	72	2925
	702	**- 0.8**	**71**	**3000**
	700	**- 1.0**	**71**	**3025**
11	685	- 1.8	69	3196
12	660	- 4.1	66	3482
13	632	- 5.9	64	3815
	617	**- 7.0**	**64**	**4000**
14	608	- 7.5	64	4114
	600	**- 8.3**	**64**	**4216**
15	585	- 9.5	64	4409
16	561	-11.2	64	4724
	541	**-13.2**	**64**	**5000**
17	538	-13.5	64	5040
18	510	-16.4	64	5436
	500	**-17.7**	**64**	**5580**
19	490	-19.1	64	5727
	472	**-21.0**	**64**	**6000**
20	466	-21.5	64	6091
21	447	-24.1	64	6380
22	430	-26.0	64	6662
23	411	-28.2	64	6982
	410	**-28.3**	**64**	**7000**
	400	**-29.3**	**64**	**7173**
24	393	-30.2	64	7295
25	376	-32.1	64	7600
	355	**-31.3**	**64**	**8000**
26	354	-34.4	64	8019
27	335	-36.0	64	8398

Min.	PPP	TTT	UU	H m. dyn.

28. IV. 1944. 7.55 h MEZ.

0	964.0	5.4	95	483
1	934	5.4	95	737
	904	**5.4**	**95**	**1000**
2	**900**	**5.4**	**95**	**1038**
3	870	5.4	92	1309
4	849	5.4	90	1503
5	828	3.5	90	1702
6	810	1.4	95	1879
	800	**1.4**	**95**	**1977**
	797	**1.3**	**95**	**2000**
7	782	1.4	95	2157
8	763	1.8	92	2350
9	746	2.3	88	2527
10	730	**2.7**	83	2698
11	711	0.6	80	2907
	703	**0.1**	**80**	**3000**
	700	**0.0**	**80**	**3029**
12	687	- 0.5	79	3176
13	672	- 2.1	78	3348
14	658	- 2.7	76	3511
15	645	- 3.5	73	3666
16	627	- 4.8	73	3885
	618	**- 5.6**	**73**	**4000**
17	609	- 6.5	73	4111
	600	**- 7.3**	**73**	**4246**
18	588	- 8.3	73	4380
19	573	-10.5	73	4575
20	556	-11.6	73	4803
21	544	-14.3	73	4967
	542	**-14.6**	**73**	**5000**
22	524	-16.9	73	5245
23	506	-19.6	73	5499
	500	**-20.2**	**73**	**5585**
24	490	-21.8	73	5731
25	475	-21.9	73	5956
	472	**-22.2**	**73**	**6000**
26	460	-23.0	73	6188
27	443	-24.7	73	6455
28	431	-25.8	73	6647
29	420	-28.1	73	6830

29. IV. 1944. 7.27h MEZ.

0	963.7	7.0	80	483
1	950	5.8	80	598
2	933	4.7	80	742
	904	**3.9**	**80**	**1000**
3	901	3.8	80	1024
	900	**3.7**	**80**	**1034**
4	872	2.7	80	1285
5	842	1.0	90	1559
6	820	- 0.3	98	1769
7	**800**	**- 0.8**	**98**	**1962**
	796	**- 0.8**	**97**	**2000**
8	777	0.8	90	2191
9	754	- 2.4	82	2425
10	730	- 3.1	77	2675
11	708	- 4.8	77	2912
	700	**- 5.7**	**77**	**3000**
12	690	- 6.5	77	3110
13	658	- 9.8	77	3472
14	631	- 8.6	72	3788
	614	**- 6.1**	**68**	**4000**
15	606	- 4.9	63	4100
	600	**- 6.0**	**61**	**4178**
16	582	- 9.8	56	4410
17	557	-12.5	51	4749
	538	**-15.0**	**53**	**5000**
18	533	-15.5	53	5068
19	507	-17.8	55	5437
	500	**-19.0**	**56**	**5536**
20	490	-20.5	58	5683
	469	**-19.7**	**58**	**6000**
21	466	-19.9	58	6049
22	449	-22.2	55	6317
23	430	-25.4	54	6622
24	412	-28.4	54	6925
	408	**-28.8**	**54**	**7000**
	400	**-29.6**	**54**	**7131**
25	393	-30.5	51	7255
26	380	-33.1	54	7486
27	366	-35.1	54	7744
28	354	-37.4	54	7972
	352	**-37.6**	**54**	**8000**
29	341	-39.2	54	8227
30	329	-41.0	54	8465
31	315	-42.0	54	8753
	304	**-42.8**	**54**	**9000**
32	303	-42.8	54	9013

15. V. 1944. 10.20 h MEZ.

0	960.3	10.8	86	483
1	925	9.8	87	788
	901	**8.9**	**88**	**1000**
2	**900**	**8.8**	**88**	**1014**
3	870	7.1	89	1287
4	847	5.7	90	1500
5	825	3.8	93	1709
6	803	2.9	98	1922
	800	**2.7**	**98**	**1951**
	795	**2.4**	**99**	**2000**
7	781	1.6	100	2143
8	756	0.5	93	2387
9	735	1.3	87	2615
10	714	2.9	92	2841
	700	**- 2.6**	**75**	**3000**

Min.	PPP	TTT	UU	H m. dyn.
11	692	- 2.7	65	3082
12	675	- 4.0	43	3276
13	**642**	- 5.8	33	3659
14	618	- 8.4	30	3951
	614	**- 8.8**	**29**	**4000**
	600	**- 9.8**	**28**	**4177**
15	592	-10.2	27	4279
16	567	-12.1	24	4602
17	546	-14.2	21	4885
	538	**-15.3**	**20**	**5000**
18	524	-17.0	18	5190
19	**500**	**-19.3**	**16**	**5531**
20	488	-21.4	14	5708
	469	**-23.2**	**13**	**6000**
21	460	-24.0	12	6132
22	437	-26.2	10	6493
23	413	-29.0	10	6891
	406	**-30.0**	**10**	**7000**
	400	**-31.1**	**10**	**7112**
24	389	-32.8	10	7305
25	366	-35.7	10	7721
	351	**-37.5**	**10**	**8000**
26	344	-38.6	10	8145
27	324	-41.2	10	8543
28	310	-43.2	10	8838
	303	**-44.1**	**10**	**9000**
	300	**-44.5**	**10**	**9053**
29	293	-45.5	10	9209
30	280	-47.7	10	9499
31	266	-49.5	10	9828
	259	**-50.8**	**10**	**10000**
32	255	-51.4	10	10097
	250	**-52.1**	**10**	**10221**
33	244	-53.2	10	10375
34	235	-54.2	10	10607
35	224	-55.1	10	10910
	221	**-55.2**	**10**	**11000**
36	216	-55.5	10	11139
37	211	-56.1	10	11284
38	203	-56.5	10	11524

16. V. 1944. 7.35 h MEZ.

0	958.3	6.0	95	483
1	925	4.1	98	768
	900	**3.2**	**100**	**989**
	899	**3.2**	**100**	**1000**
2	894	3.0	100	1041
3	868	2.1	100	1277
4	842	1.3	100	1515
5	820	0.4	100	1724
6	**800**	**- 0.1**	**100**	**1919**
	792	**- 0.5**	**100**	**2000**
7	777	- 1.2	100	2148
8	752	- 2.2	100	2403
9	726	- 4.3	100	2673
10	702	- 5.6	99	2931
	700	**- 5.5**	**98**	**2955**
	696	**- 5.3**	**96**	**3000**
11	681	- 3.7	87	3167
12	660	- 5.6	72	3409
13	642	- 7.0	64	3619
14	618	- 8.5	56	3910
	611	**- 9.2**	**54**	**4000**
15	601	-10.0	51	4124
	600	**-10.2**	**51**	**4138**
16	581	-12.1	47	4379
17	558	-13.9	45	4680
18	536	-15.3	43	4982
	535	**-15.4**	**43**	**5000**
19	515	-17.4	41	5276
20	**500**	**-19.1**	**40**	**5491**
21	480	-22.1	39	5786
	466	**-23.8**	**39**	**6000**
22	460	-24.4	39	6091
23	443	-25.9	39	6360
24	420	-29.6	39	6732
	404	**-31.7**	**39**	**7000**
25	**400**	**-32.3**	**39**	**7069**
26	386	-34.0	39	7315
27	370	-36.5	39	7602
28	355	-38.4	39	7884
	349	**-39.2**	**39**	**8000**
29	338	-40.5	39	8216
30	324	-42.4	39	8495
31	314	-44.2	39	8700
	300	**-46.1**	**39**	**9000**
32	298	-46.2	39	9043
33	285	-47.8	39	9332
34	272	-49.4	39	9629
35	266	-50.0	39	9773
36	260	-51.0	39	9919
37	257	-51.2	39	10000
	250	**-51.6**	**39**	**10167**
38	248	-51.8	39	10218

31. V. 1944. 9.25 h MEZ.

0	962.6	21.2	56	483
1	946	20.2	62	630
2	920	18.0	62	866
	906	**17.4**	**62**	**1000**
	900	**17.2**	**62**	**1053**
3	884	16.3	62	1202
4	859	13.9	62	1440
5	827	11.7	70	1751
6	814	10.0	72	1882
	802	**9.6**	**73**	**2000**
	800	**9.5**	**73**	**2024**

Min.	PPP	TTT	UU	H m. dyn.
7	783	9.0	74	2198
8	763	6.9	80	2407
9	737	5.0	77	2682
10	714	3.5	71	2937
	708	**2.9**	**70**	**3000**
	700	**2.2**	**68**	**3094**
11	692	1.7	66	3184
12	669	- 0.4	65	3449
13	637	- 2.2	63	3832
	623	**- 3.1**	**62**	**4000**
14	607	- 4.1	61	4210
	600	**- 4.5**	**60**	**4300**
15	579	- 5.0	59	4573
16	554	- 7.2	57	4915
	548	**- 7.7**	**57**	**5000**
17	532	- 9.4	55	5224
18	510	-11.6	53	5541
	500	**-12.6**	**52**	**5690**
19	489	-13.7	52	5856
	480	**-14.5**	**52**	**6000**
20	466	-15.7	51	6214
21	447	-17.6	50	6518
22	**418**	**-21.1**	**50**	**7000**
	400	**-23.5**	**50**	**7323**
23	397	-24.0	50	7376
24	376	-26.1	50	7762
	364	**-27.4**	**50**	**8000**
25	355	-28.3	50	8171
26	342	-29.9	50	8435

1. VI. 1944. 8 h MEZ.

0	960.6	16.4	75	483
1	942	15.6	70	645
2	915	14.9	65	889
	903	**14.6**	**63**	**1000**
	900	**14.5**	**63**	**1028**
3	883	14.1	60	1185
4	850	12.3	55	1498
5	826	11.2	55	1732
6	801	8.4	60	1984
	800	**8.3**	**60**	**2000**
7	777	6.4	65	2230
8	753	4.5	70	2479
9	728	2.5	74	2747
	705	**0.8**	**77**	**3000**
10	703	0.5	77	3024
	700	**0.3**	**77**	**3057**
11	671	- 1.3	80	3388
12	644	- 3.2	74	3705
	620	**- 4.7**	**68**	**4000**
13	619	- 4.8	68	4015
	600	**- 6.2**	**66**	**4256**
14	595	- 6.4	65	4320
15	568	- 8.7	65	4673
16	547	-10.5	65	4960
	544	**-10.7**	**65**	**5000**
17	523	-12.7	65	5300
18	502	-15.0	60	5602
	500	**-15.1**	**60**	**5632**
	476	**-17.0**	**60**	**6000**
19	470	-17.4	60	6090
20	450	-20.0	60	6105
21	430	-21.4	58	6730
	414	**-23.3**	**56**	**7000**
22	412	-23.6	56	7040
	400	**-24.8**	**55**	**7250**
23	391	-26.0	54	7412
24	371	-28.6	54	7781
	360	**-30.1**	**54**	**8000**
25	351	-31.6	54	8170
26	337	-34.1	54	8452
27	321	-37.2	54	8782
	311	**-39.2**	**54**	**9000**
28	309	-39.5	54	9040
	300	**-41.2**	**54**	**9237**
29	291	-42.6	54	9372

2. VI. 1944. 7.45 h MEZ.

0	961.4	17.2	64	483
1	935	16.3	70	717
2	904	13.7	75	993
	904	**13.7**	**76**	**1000**
	900	**13.3**	**77**	**1033**
3	873	10.8	78	1284
4	847	8.9	80	1530
5	828	7.6	80	1726
	800	**5.5**	**80**	**1991**
	800	**5.8**	**80**	**2000**
6	797	5.7	82	2024
7	772	4.4	90	2278
8	747	3.0	95	2543
9	720	0.5	95	2820
	705	**0.0**	**85**	**3000**
10	**700**	**0.0**	**80**	**3051**
11	681	0.1	65	3236
12	661	- 2.7	65	3504
13	636	- 3.1	60	3800
	620	**- 3.7**	**57**	**4000**
14	612	- 4.0	57	4097
	600	**- 1.5**	**56**	**4256**
15	587	- 5.2	54	4420
16	560	- 6.6	52	4786
	544	**- 7.7**	**52**	**5000**
17	532	- 8.8	50	5179
18	517	-11.3	49	5505
19	504	-14.4	47	5908
	500	**-15.0**	**46**	**5642**

Min.	PPP	TTT	UU	H m. dyn.
20	487	-16.5	45	5835
	476	**-19.1**	**55**	**6000**
21	475	-19.2	55	6018
22	453	-20.9	43	6367
23	434	-22.4	43	6671
24	417	-24.1	43	6960
	415	**-24.5**	**42**	**7000**
25	**400**	**-26.2**	**41**	**7252**
26	385	-29.1	41	7524
27	371	-31.0	40	7778
	360	**-33.6**	**40**	**8000**
28	358	-34.9	40	8022
29	336	-36.8	40	8464
30	324	-39.4	40	8711
	310	**-42.0**	**40**	**9000**
31	308	-42.4	40	9050
32	**300**	**-43.7**	**40**	**9220**
33	290	-46.6	40	9447
34	280	-48.0	40	9670
35	277	-48.9	40	9742
36	274	-49.3	40	9814

3. VI. 1944. 7.45 h MEZ.

0	961.4	15.8	70	483
1	940	14.8	70	671
2	910	12.6	70	941
	903	**12.1**	**72**	**1000**
	900	**11.9**	**73**	**1034**
3	880	10.5	80	1218
4	851	8.7	90	1490
5	820	7.1	95	1790
	800	**5.5**	**95**	**1990**
	799	**5.5**	**95**	**2000**
6	793	4.9	95	2060
7	761	3.0	90	2388
8	734	1.0	87	2671
9	**704**	**- 0.1**	**85**	**3000**
	700	**- 0.3**	**84**	**3045**
10	681	- 2.1	82	3260
11	651	- 3.3	79	3608
12	629	- 3.6	69	3877
	619	**- 3.6**	**69**	**4000**
13	601	- 3.5	68	4232
	600	**- 3.5**	**68**	**4246**
14	579	- 4.5	67	4520
15	555	- 7.1	67	4847
	544	**- 8.2**	**67**	**5000**
16	530	- 9.5	67	5200
17	510	-12.1	67	5489
18	**500**	**-14.3**	**67**	**5635**
19	485	-16.6	67	5861
	476	**-18.2**	**67**	**6000**
20	470	-19.7	67	6092
21	454	-21.1	67	6342
22	439	-23.7	67	6580
	414	**-25.4**	**67**	**7000**
23	413	-25.5	67	7016
24	**400**	**-28.9**	**67**	**7242**
25	392	-30.4	67	7383
26	375	-32.4	67	7688
	358	**-34.5**	**67**	**8000**
27	357	-34.7	67	8029
28	345	-36.2	67	8265
29	331	-38.8	67	8543
30	320	-41.0	67	8770
31	310	-41.8	67	8982
	309	**-42.1**	**67**	**9000**
32	303	-44.1	67	9133
	300	**-44.4**	**67**	**9197**
33	294	-44.9	67	9330
34	287	-45.8	67	9484
35	281	-47.0	67	9622

8. VI. 1944. 14.45 h MEZ.

0	956.1	15.4	40	483
1	942	14.7	43	605
2	918	12.8	46	820
	900	**11.3**	**49**	**984**
	898	**11.1**	**49**	**1000**
3	890	10.5	50	1075
4	865	8.9	50	1307
5	840	6.9	53	1542
6	818	5.2	55	1756
	800	**4.1**	**55**	**1934**
7	797	3.8	55	1964
	793	**3.5**	**55**	**2000**
8	772	2.2	57	2218
9	745	0.2	59	2495
10	722	- 1.5	60	2740
	700	**- 3.0**	**62**	**2981**
	698	**- 3.2**	**62**	**3000**
11	697	- 3.2	62	3014
12	663	- 6.0	80	3400
13	634	- 9.1	90	3739
14	615	-11.6	90	3970
	613	**-11.5**	**90**	**4000**
	600	**-11.0**	**90**	**4159**
15	590	-10.7	90	4287
16	573	-10.7	90	4506
17	545	-12.9	80	4885
	537	**-13.5**	**77**	**5000**
18	515	-15.6	70	5308
19	**500**	**-18.4**	**61**	**5521**
20	470	-20.9	61	5973
	468	**-21.2**	**61**	**6000**
21	448	-23.7	61	6318
22	430	-26.2	61	6606
23	410	-28.0	61	6942
	407	**-28.1**	**61**	**7000**
	400	**-28.5**	**61**	**7116**
24	386	-29.1	61	7365
25	366	-31.4	61	7736
	352	**-32.7**	**61**	**8000**
26	344	-33.6	61	8168
27	329	-36.7	61	8472
28	312	-39.7	61	8827
	304	**-41.1**	**61**	**9000**
	300	**-42.0**	**61**	**9090**
29	296	-42.6	61	9180
30	283	-43.4	61	9473
31	269	-45.2	61	9805
	261	**-46.7**	**61**	**10000**
32	260	-46.9	61	10027
	250	**-47.7**	**61**	**10280**
33	243	-48.5	61	10463
34	230	-50.2	61	10813

22. VI. 1944. 8.12 h MEZ.

0	954.6	15.2	80	483
1	936	16.6	80	647
2	903	15.4	82	949
	900	**15.1**	**82**	**977**
	897	**14.8**	**82**	**1000**
3	889	13.8	82	1078
4	863	12.5	84	1324
5	833	11.4	84	1613
6	**800**	**10.5**	**86**	**1945**
	795	**10.2**	**86**	**2000**
7	770	8.6	86	2256
8	740	6.3	88	2576
9	717	4.5	88	2829
	702	**3.4**	**88**	**3000**
	700	**3.2**	**88**	**3020**
10	694	2.7	88	3089
11	674	- 0.3	88	3320
12	653	- 1.1	88	3566
13	628	- 1.9	85	3871
	618	**- 2.5**	**80**	**4000**
14	603	- 3.4	76	4191
	600	**- 3.7**	**76**	**4230**
15	582	- 5.3	73	4464
16	559	- 7.1	69	4775
	543	**- 8.8**	**66**	**5000**
17	533	-10.0	64	5140
18	506	-12.4	62	5530
	500	**-12.1**	**62**	**5619**
	475	**-14.6**	**61**	**6000**
19	473	-14.8	61	6034
20	454	-17.5	59	6336
21	435	-20.6	58	6644
22	416	-22.6	58	6966
	414	**-22.8**	**58**	**7000**
	400	**-24.0**	**56**	**7247**
23	397	-24.3	56	7300
24	381	-26.5	56	7591
25	367	-30.9	54	7856
	359	**-32.3**	**54**	**8000**
26	343	-34.8	54	8325
27	332	-37.5	52	8545
28	315	-39.8	52	8899
	310	**-40.8**	**51**	**9000**
29	305	-42.2	50	9115
	300	**-43.7**	**50**	**9224**
30	297	-44.9	50	9289
31	288	-47.0	48	9488
32	282	-48.2	48	9628
33	278	-49.0	46	9715

23. VI. 1944. 7.45 h MEZ.

0	953.3	17.5	75	483
1	912	16.6	86	857
	900	**15.5**	**87**	**969**
	897	**15.2**	**87**	**1000**
2	892	14.7	87	1043
3	868	13.1	88	1270
4	841	11.9	88	1526
5	813	9.9	86	1805
	800	**9.2**	**85**	**1937**
	794	**8.8**	**84**	**2000**
6	785	8.2	83	2091
7	765	6.6	82	2299
8	745	5.3	82	2510
9	727	4.3	78	2705
10	711	4.0	73	2882
	700	**3.5**	**67**	**3000**
11	697	3.4	65	3041
12	683	2.1	59	3202
13	671	1.1	58	3342
14	659	0.0	58	3482
15	645	- 1.0	58	3650
16	635	- 1.5	58	3772
17	625	- 1.6	57	3896
18	618	- 1.7	56	3985
	617	**- 1.7**	**56**	**4000**
19	613	- 1.8	56	4050
20	604	- 2.2	56	4166

24. VI. 1944. 8.30 h MEZ.

0	956.9	13.8	60	483
1	932	11.9	54	700
2	907	9.8	55	924
	900	**9.1**	**55**	**988**
	899	**9.0**	**55**	**1000**
3	884	7.6	56	1133
4	862	6.4	57	1336
5	843	5.2	58	1513
6	820	4.5	61	1735
	800	**3.6**	**61**	**1932**
7	798	3.5	61	1951
	793	**3.5**	**60**	**2000**
8	776	3.8	56	2174
9	752	3.5	47	2424
10	734	3.0	42	2612
11	706	1.3	40	2921
	700	**0.8**	**41**	**2989**
	699	**0.8**	**41**	**3000**
12	688	0.1	44	3124
13	664	- 0.5	44	3402
14	644	- 1.6	43	3638
15	622	- 2.5	42	3911
	615	**- 2.9**	**42**	**4000**
16	**600**	**- 3.7**	**41**	**4193**
17	582	- 5.7	40	4427
18	565	- 7.0	40	4654
19	547	- 8.4	40	4902
	540	**- 9.0**	**40**	**5000**
20	531	-10.0	40	5129
21	516	-12.1	40	5345
22	504	-13.3	40	5520
	500	**-13.8**	**40**	**5578**
23	489	-15.7	40	5743
24	480	-17.3	40	5880
	472	**-18.6**	**40**	**6000**
25	470	-18.8	40	6033
26	466	-19.5	40	6096
27	464	-19.7	40	6128

6. VII. 1944. 8.11 h MEZ.

0	957.5	13.6	80	483
1	936	13.3	95	672
2	915	12.0	98	861
	900	**12.1**	**96**	**1000**
3	894	12.2	95	1054
4	872	12.2	87	1259
5	851	12.6	76	1458
6	828	12.1	72	1682
7	811	12.0	58	1852
	800	**11.8**	**48**	**1966**
	797	**11.7**	**46**	**2000**
8	794	11.7	43	2029
9	769	11.3	37	2288
10	748	10.9	33	2513
11	728	10.3	31	2735
12	708	9.0	34	2961
	704	**8.7**	**35**	**3000**
	700	**8.4**	**36**	**3053**
13	686	7.3	38	3215
14	663	5.5	43	3488
15	643	4.4	44	3732
16	**622**	**2.6**	**43**	**4000**
	600	**0.9**	**39**	**4285**
17	598	0.8	39	4311
18	572	- 1.1	39	4659
19	**548**	**- 3.0**	**38**	**5000**
20	526	- 4.8	38	5312
21	505	- 7.8	37	5623
	500	**- 8.4**	**37**	**5698**
22	485	-10.6	36	5929
	480	**-12.2**	**36**	**6000**
23	476	-13.8	35	6070
24	455	-15.4	35	6404
25	434	-17.6	35	6748
26	**419**	**-19.3**	**35**	**7000**
27	403	-20.9	35	7287
	400	**-21.5**	**35**	**7342**
28	388	-23.3	35	7558
29	376	-24.7	36	7782
30	**365**	**-27.2**	**36**	**8000**
31	356	-29.0	36	8172
32	346	-31.0	36	8371
33	337	-32.2	33	8553
34	331	-33.0	33	8676
35	325	-33.8	31	8803
36	320	-34.5	31	8910
37	317	-35.1	32	8975

7. VII. 1944. 7.52 h MEZ.

0	955.6	18.2	80	483
1	924	19.7	82	766
	900	**18.7**	**85**	**991**
	899	**18.7**	**85**	**1000**
2	893	18.4	86	1058
3	865	17.9	80	1325
4	838	17.4	74	1590
5	808	15.3	72	1894
	800	**14.6**	**72**	**1978**
	798	**14.5**	**72**	**2000**
6	778	12.5	72	2209
7	749	10.7	73	2518
8	719	9.4	73	2850
	706	**8.9**	**72**	**3000**
	700	**8.7**	**72**	**3068**
9	689	8.0	71	3196
10	668	5.9	70	3445
11	645	5.5	68	3724
	623	**3.8**	**68**	**4000**
12	621	1.7	68	4027
	600	**1.3**	**68**	**4300**
13	596	- 1.3	66	4351
14	571	- 1.8	66	4683
15	553	- 3.5	61	4933
	548	**- 5.0**	**61**	**5000**
16	524	- 5.3	60	5348
17	508	- 7.0	58	5582
	500	**- 9.7**	**57**	**5702**
18	496	- 9.6	57	5762

8. VII. 1944. 7.50 h MEZ.

0	955.2	18.5	05	483
1	922	16.7	100	782
	900	**16.7**	**98**	**987**
	898	**16.6**	**97**	**1000**
2	889	16.5	95	1090
3	858	16.0	93	1387
4	828	15.7	90	1682
5	805	14.5	85	1918
	800	**14.3**	**85**	**1970**
	797	**14.2**	**87**	**2000**
6	780	13.6	88	2180
7	762	13.1	93	2372
8	743	12.5	84	2578
9	720	11.5	76	2837
	706	**10.0**	**75**	**3000**
	700	**9.5**	**74**	**3067**
10	696	9.1	74	3114
11	670	7.4	74	3421
12	643	5.6	73	3750
13	626	3.9	71	3967
	623	**3.7**	**70**	**4000**
14	604	2.0	60	4253
	600	**1.6**	**59**	**4306**
15	583	0.1	57	4531
16	563	- 0.8	51	4805
	549	**- 1.5**	**47**	**5000**
17	545	- 1.8	47	5062
18	526	- 2.9	43	5339
19	503	- 3.8	43	5683
	500	**- 4.1**	**44**	**5730**
20	486	- 6.2	46	5949
	483	**- 6.7**	**46**	**6000**
21	465	- 8.7	46	6285
22	445	-12.0	46	6615
23	425	-13.5	46	6959
	423	**-13.6**	**46**	**7000**
24	404	-15.5	45	7334
	400	**-16.1**	**45**	**7407**
25	386	-18.1	45	7665
	369	**-20.0**	**45**	**8000**
26	367	-20.3	45	8036
27	347	-21.4	44	8444
28	324	-24.5	44	8938
	321	**-25.0**	**44**	**9000**
29	305	-27.6	44	9368
	300	**-28.2**	**44**	**9481**
30	284	-30.0	43	9864
	278	**-31.0**	**43**	**10000**
31	269	-33.0	43	10210
32	262	-34.7	45	10420

24. VII. 1944. 10.35 h MEZ.

0	963.2	18.5	63	483
1	929	14.4	79	786
	906	**11.8**	**83**	**1000**
	900	**11.2**	**84**	**1050**
2	891	10.4	85	1133
3	863	7.8	100	1392
4	840	8.1	100	1609
5	814	5.9	88	1864
	800	**4.4**	**86**	**2000**
6	790	3.5	84	2104
7	769	4.9	80	2318
8	752	7.4	76	2496
9	726	1.4	76	2777
	706	**0.4**	**67**	**3000**
	700	**0.0**	**64**	**3064**
10	697	- 0.1	63	3098
11	668	- 1.3	53	3428
12	646	- 2.7	40	3688
13	624	- 3.6	30	3958
	621	**- 3.7**	**29**	**4000**
14	602	- 5.1	25	4237
	600	**- 5.2**	**25**	**4264**
15	579	- 7.4	20	4535
16	558	-10.1	18	4817
	545	**-11.5**	**16**	**5000**
17	541	-11.8	16	5051
18	522	-12.7	14	5320
19	502	-14.0	12	5609
	500	**-14.2**	**12**	**5638**
20	481	-15.8	10	5925
	476	**-16.4**	**9**	**6000**
21	463	-17.9	8	6206
22	441	-19.9	3	6557
23	420	-21.9	3	6910
	415	**-22.8**	**3**	**7000**
24	402	-25.4	3	7223
	400	**-25.5**	**3**	**7259**
25	380	-26.6	3	7620

Min.	PPP	TTT	UU	H m. dyn.
26	**360**	**–29.7**	**3**	**8000**
27	344	–32.4	3	8321
28	327	–34.8	3	8667
	311	**–36.7**	**3**	**9000**
29	310	–36.9	3	9032
	300	**–39.0**	**3**	**9253**
30	297	–39.7	3	9321
31	280	–41.6	3	9710
	268	**–43.6**	**3**	**10000**
32	264	–44.3	3	10100
33	251	–46.5	3	10426
	250	**–46.6**	**3**	**10453**
31	238	–48.3	3	10768
	230	**–49.6**	**3**	**11000**
35	226	–50.1	3	11102
36	217	–51.7	3	11361
37	209	–51.9	3	11599
38	204	–52.6	3	11755

25. VII. 1944. 9.04 h MEZ.

0	963.1	16.0	80	483
1	946	14.8	82	634
2	922	13.9	84	848
	905	**13.3**	**86**	**1000**
	900	**13.1**	**87**	**1050**
3	896	13.0	87	1086
4	867	12.1	90	1357
5	843	10.7	80	1585
6	821	9.8	83	1803
7	**801**	**9.3**	**60**	**2000**
	800	**9.3**	**60**	**2014**
8	781	9.3	51	2210
9	756	8.2	45	2472
10	729	6.6	35	2763
	708	**5.7**	**33**	**3000**
11	705	5.6	33	3032
	700	**5.2**	**33**	**3089**
12	684	4.3	31	3273
13	662	2.9	29	3529
14	641	1.6	27	3786
	624	**0.2**	**25**	**4000**
15	621	– 0.1	25	4037
16	601	– 2.6	23	4295
	600	**– 2.7**	**25**	**4308**
17	581	– 2.8	21	4555
18	560	– 4.8	20	4842
	549	**– 5.6**	**19**	**5000**
19	544	– 5.9	19	5066
20	521	– 7.8	17	5397
21	501	– 9.0	17	5692
	500	**– 9.1**	**17**	**5708**
	481	**–10.9**	**17**	**6000**
22	480	–11.0	17	6018
23	464	–12.9	17	6270
24	447	–14.9	17	6546
25	427	–17.7	17	6882
	420	**–18.5**	**17**	**7000**
26	410	–19.7	17	7179
	400	**–20.9**	**17**	**7357**
27	391	–22.2	17	7519
28	380	–23.7	17	7725
	366	**–25.2**	**17**	**8000**
29	364	–25.4	17	8034
30	355	–27.3	17	8211
31	341	–29.2	17	8494
32	326	–31.3	17	8807
	317	**–32.8**	**17**	**9000**
33	313	–33.6	17	9090
	300	**–35.0**	**17**	**9380**
34	297	–35.3	17	9446
35	281	–38.7	17	9822
	274	**–40.0**	**17**	**10000**
36	267	–41.1	17	10163
37	256	–42.7	17	10441
	250	**–43.9**	**17**	**10594**
38	247	–44.6	17	10673
39	240	–46.3	17	10861

26. VII. 1944. 8.15 h MEZ.

0	962.4	18.6	80	483
1	942	17.6	78	665
2	918	17.8	76	882
	905	**17.8**	**74**	**1000**
	900	**17.8**	**73**	**1052**
3	890	17.8	72	1146
4	864	17.8	60	1394
5	832	17.2	46	1708
6	806	16.6	34	1974
	803	**16.5**	**33**	**2000**
	800	**16.3**	**33**	**2037**
7	784	15.1	30	2204
8	758	13.5	30	2478
9	729	12.9	30	2800
	711	**10.8**	**30**	**3000**
	700	**10.0**	**30**	**3131**
10	698	9.9	30	3155
11	668	7.1	30	3508
12	642	4.3	30	3827
	628	**3.2**	**30**	**4000**
13	618	2.5	30	4132
	600	**1.3**	**30**	**4367**
14	596	1.0	30	4418
15	574	– 1.0	30	4712
	553	**– 2.3**	**30**	**5000**
16	552	– 2.4	30	5019
17	532	– 4.0	30	5307
18	514	– 5.1	30	5570
	500	**– 6.7**	**30**	**5782**
19	497	– 7.1	30	5829
	486	**– 8.4**	**30**	**6000**
20	480	– 9.2	30	6094
21	460	–11.0	30	6415
22	438	–13.1	30	6779
	425	**–14.4**	**30**	**7000**
23	418	–15.0	30	7126
	400	**–17.4**	**30**	**7450**
24	396	–18.2	30	7520
25	378	–20.7	30	7859
	371	**–21.7**	**30**	**8000**
26	360	–23.5	30	8216
27	346	–25.6	30	8496
28	325	–28.3	30	8940
	322	**–28.6**	**30**	**9000**
29	**300**	**–30.9**	**30**	**9498**
30	295	–33.0	30	9615
31	291	–35.5	30	9708
32	280	–36.0	30	9970
	279	**–36.3**	**30**	**10000**
33	270	–38.5	30	10216

27. VII. 1944. 8.07 h MEZ.

0	962.1	18.0	90	483
1	938	15.9	90	697
2	909	13.9	88	961
	905	**13.9**	**88**	**1000**
	900	**13.8**	**87**	**1044**
3	881	13.4	85	1221
4	862	11.4	81	1399
5	843	11.2	71	1580
6	819	9.6	71	1818
	801	**8.0**	**78**	**2000**
	800	**7.8**	**78**	**2009**
7	796	7.5	80	2049
8	772	6.1	84	2295
9	744	4.4	87	2588
10	716	2.2	93	2895
	706	**1.4**	**95**	**3000**
	700	**1.0**	**97**	**3074**
11	685	– 0.1	100	3245
12	656	– 2.3	100	3580
13	631	– 4.1	100	3883
	622	**– 4.5**	**98**	**4000**
14	607	– 5.3	95	4185
	600	**– 5.5**	**94**	**4275**
15	584	– 6.0	92	4482
16	564	– 7.7	90	4750
	546	**– 9.0**	**87**	**5000**
17	543	– 9.1	87	5041
18	520	–10.3	80	5370
	500	**–11.8**	**77**	**5663**
19	495	–12.2	76	5738
	478	**–13.8**	**83**	**6000**
20	468	–14.8	87	6157
21	443	–17.2	97	6560
22	419	–20.1	97	6964
	417	**–20.4**	**96**	**7000**
	400	**–22.3**	**83**	**7300**
23	397	–22.6	81	7354
24	376	–24.8	77	7740
	363	**–26.0**	**75**	**8000**
25	356	–26.6	73	8131
26	336	–30.3	67	8538
	314	**–33.4**	**64**	**9000**
27	313	–33.6	64	9030
	300	**–35.6**	**62**	**9321**
28	297	–36.1	61	9389
29	286	–38.3	57	9642
30	275	–40.2	53	9905
	271	**–40.8**	**52**	**10000**
31	261	–42.2	50	10251
32	253	–44.0	45	10455
	250	**–44.6**	**45**	**10532**
33	244	–46.0	45	10690
34	237	–46.7	45	10879
	233	**–47.4**	**45**	**11000**
35	230	–47.9	45	11073
36	224	–49.5	45	11244
37	219	–49.4	45	11391
38	214	–49.9	45	11537

28. VII. 1944. 8.03 h MEZ.

0	961.6	18.0	85	483
1	940	15.9	85	673
2	915	14.3	85	900
	904	**13.5**	**85**	**1000**
	900	**13.3**	**85**	**1038**
3	881	12.0	85	1215
4	853	10.1	89	1476
5	822	8.9	94	1778
6	**800**	**7.6**	**97**	**2000**
7	772	5.3	100	2287
8	748	5.0	100	2537
9	724	2.7	100	2798
	706	**1.0**	**100**	**3000**
10	**700**	**0.4**	**100**	**3064**
11	670	– 0.3	97	3408
12	641	– 2.1	91	3752
	621	**– 3.2**	**88**	**4000**
13	610	– 3.8	85	4140
	600	**– 4.3**	**82**	**4270**
14	588	– 5.2	79	4426
15	564	– 7.1	74	4745
	545	**– 8.1**	**76**	**5000**
16	543	– 8.3	76	5037
17	523	– 8.4	63	5323
18	503	– 9.8	55	5617
	500	**–10.1**	**55**	**5662**
19	482	–12.2	55	5939
	478	**–12.6**	**55**	**6000**
20	461	–14.2	55	6272
21	444	–15.2	55	6547
22	425	–17.4	55	6869
	417	**–18.4**	**55**	**7000**
23	407	–20.0	55	7185
	400	**–20.8**	**55**	**7310**
24	391	–21.7	55	7473
25	377	–23.9	55	7784
	363	**–26.1**	**55**	**8000**
26	361	–26.6	55	8045
27	342	–29.3	55	8427
28	326	–32.0	55	8760
	315	**–34.6**	**54**	**9000**
29	311	–35.4	53	9086
	300	**–37.7**	**52**	**9329**
30	297	–38.4	51	9396
31	284	–41.0	51	9692
	271	**–42.7**	**51**	**10000**
32	270	–42.9	51	10027
33	258	–44.8	51	10326
	250	**–45.8**	**51**	**10529**
34	247	–46.2	51	10607
35	236	–47.9	51	10902
	232	**–48.5**	**51**	**11000**
36	230	–49.0	51	11069
37	220	–50.0	51	11354
38	213	–50.3	51	11560
39	205	–50.8	51	11806

18. VIII. 1944. 21.10 h MEZ.

0	957.3	19.4	90	483
1	930	22.9	85	730
2	903	20.3	81	983
	901	**20.1**	**80**	**1000**
	900	**20.0**	**80**	**1013**
3	874	18.0	70	1260
4	845	16.0	76	1540
5	819	13.7	75	1801
	800	**12.3**	**77**	**1994**
	799	**12.2**	**77**	**2000**
6	796	12.0	77	2036
7	774	10.7	63	2264
8	751	9.2	58	2508
9	730	7.4	55	2737
10	**707**	**5.0**	**51**	**3000**
	700	**4.3**	**51**	**3074**
11	683	2.9	51	3270
12	660	0.9	51	3538
13	637	– 1.2	51	3817
	622	**– 2.6**	**51**	**4000**
14	617	– 3.1	51	4068
	600	**– 4.5**	**50**	**4285**
15	590	– 5.3	50	4414
16	568	– 6.7	50	4705
17	549	– 8.0	49	4966
	546	**– 8.2**	**49**	**5000**
18	527	–10.0	47	5278
19	502	–11.1	45	5643
	500	**–11.2**	**45**	**5672**
	479	**–12.6**	**45**	**6000**
20	476	–12.8	43	6041
21	450	–14.9	42	6458
22	433	–17.3	41	6741
	418	**–19.7**	**40**	**7000**
23	409	–21.1	40	7156
	400	**–22.3**	**39**	**7316**
24	389	–23.8	37	7514
25	369	–27.3	35	7890
	363	**–28.0**	**35**	**8000**
26	348	–30.4	35	8304
27	330	–34.1	34	8670

18. VIII. 1944. 22.30 h MEZ.

0	957.7	17.4	95	483
1	930	21.5	90	732
2	905	22.4	85	967
	902	**22.0**	**85**	**1000**
	900	**–21.9**	**84**	**1015**
3	882	20.2	80	1188
4	855	18.3	78	1447
5	826	15.4	76	1736
	800	**13.0**	**82**	**2000**
6	791	12.5	84	2065
7	768	11.5	86	2338
8	745	9.7	80	2584
9	720	7.1	80	2860
	708	**6.1**	**81**	**3000**
	700	**5.3**	**82**	**3087**
10	698	5.1	82	3110
11	674	3.2	76	3388
12	652	1.1	70	3649
13	635	1.9	70	3857
	623	**– 2.1**	**69**	**4000**
14	613	– 2.2	69	4133
	600	**– 3.0**	**68**	**4302**
15	595	– 3.2	68	4367
16	573	– 4.5	67	4657
17	556	– 5.0	65	4891
	548	**– 5.6**	**64**	**5000**
18	537	– 6.7	63	5160
19	519	– 8.3	59	5419
20	502	–10.0	55	5672
	500	**–10.2**	**55**	**5701**
	480	**–12.3**	**53**	**6000**
21	478	–12.6	53	6040
22	462	–14.4	52	6294
23	444	–15.9	51	6585
24	429	–18.0	50	6837
	419	**–19.4**	**49**	**7000**
25	414	–20.2	49	7097
26	404	–22.7	48	7274
	400	**–23.0**	**48**	**7344**
27	389	–23.6	48	7542
28	376	–24.7	48	7784
	365	**–26.5**	**48**	**8000**
29	362	–27.0	48	8056
30	351	–28.8	48	8274
31	347	–30.0	46	8355
32	340	–31.4	44	8496
33	335	–32.5	43	8599

12. IX. 1944. 10.55 h MEZ.

0	967.3	13.6	70	483
1	948	13.1	74	650
2	923	10.2	82	870
	909	**11.0**	**81**	**1000**
	900	**11.5**	**80**	**1079**
3	897	11.5	80	1105
4	880	13.0	73	1264
5	862	13.5	73	1432
6	840	11.8	76	1644
7	821	11.2	73	1832
	804	**10.0**	**72**	**2000**
	800	**9.7**	**72**	**2045**
8	797	9.4	72	2074
9	778	8.6	68	2271
10	755	7.5	67	2511
11	728	5.4	69	2803
	710	**4.3**	**71**	**3000**
12	706	4.1	72	3050
	700	**3.9**	**73**	**3117**
13	684	2.8	74	3300
14	663	1.3	74	3544
15	640	– 0.5	72	3823
	626	**– 1.6**	**70**	**4000**
16	617	– 2.3	69	4111
	600	**– 3.6**	**68**	**4328**
17	596	– 3.9	68	4381
18	575	– 5.7	67	4657
19	553	– 7.1	66	4958
	550	**– 7.3**	**66**	**5000**
20	528	– 9.0	65	5312
21	508	–10.8	62	5602
	500	**–13.1**	**59**	**5720**
22	498	–13.7	58	5750
	482	**–14.0**	**56**	**6000**
23	478	–14.2	56	6057
24	468	–16.9	54	6213
25	449	–19.0	52	6513
26	436	–20.5	49	6727
27	424	–21.5	49	6928
	420	**–21.8**	**50**	**7000**
28	409	–22.5	51	7187
	400	**–23.4**	**52**	**7347**
29	393	–24.1	53	7472
30	383	–25.8	53	7651
31	372	–27.1	53	7861
	365	**–27.9**	**53**	**8000**
32	360	–28.4	53	8095

13. IX. 1944. 8.53 h MEZ.

0	965.8	12.0	90	483
1	944	10.7	100	670
2	912	13.8	98	955
	907	**14.2**	**96**	**1000**
	900	**14.6**	**94**	**1067**
3	888	15.0	90	1178
4	860	14.5	87	1444
5	830	13.2	72	1736
6	808	12.1	70	1957
	804	**12.0**	**70**	**2000**
	800	**11.6**	**71**	**2040**
7	785	10.3	72	2195
8	764	8.8	74	2414
9	740	7.4	78	2671
10	718	6.2	84	2914
	710	**5.7**	**85**	**3000**
	700	**4.8**	**87**	**3119**
11	693	4.2	88	3198
12	668	2.4	92	3488
13	642	1.0	98	3801
	626	**0.1**	**99**	**4000**
14	620	0.1	100	4079
15	**600**	**– 2.0**	**100**	**4337**
16	578	– 3.6	100	4626
17	553	– 5.7	100	4970
	551	**– 5.9**	**100**	**5000**
18	530	– 7.1	98	5297
19	508	– 9.1	96	5619
	500	**– 9.8**	**95**	**5738**
20	488	–10.9	93	5923
	488	**–11.6**	**93**	**6000**
21	470	–13.6	91	6296
22	452	–16.0	90	6491
23	430	–19.8	89	6855
	421	**–20.8**	**89**	**7000**

Min.	PPP	TTT	UU	H m. dyn.
24	410	−21.9	88	7200
	400	**−23.1**	**88**	**7378**
25	389	−24.3	88	7574
26	372	−26.4	86	7894
	366	**−27.1**	**86**	**8000**
27	355	−29.0	85	8226

14. IX. 1944. 8 h MEZ.

0	963.4	15.6	95	483
1	940	15.5	97	689
2	910	15.4	97	961
	906	**15.0**	**97**	**1000**
	900	**14.4**	**97**	**1055**
3	888	13.1	97	1166
4	864	11.9	95	1392
5	846	10.5	96	1562
6	822	9.3	97	1798
	802	**8.4**	**98**	**2000**
	800	**8.2**	**98**	**2019**
7	798	8.0	98	2039
8	775	7.3	99	2276
9	753	6.2	100	2505
10	728	5.3	100	2776
	708	**4.1**	**100**	**3000**
11	703	3.8	100	3055
	700	**3.4**	**100**	**3090**
12	682	2.3	100	3296
13	660	0.9	100	3554
14	637	− 0.8	100	3833
	624	**− 1.6**	**100**	**4000**
15	613	− 2.3	100	4136
	600	**− 3.3**	**99**	**4304**
16	594	− 3.9	99	4383
17	574	− 5.3	98	4647
18	554	− 6.1	97	4921
	548	**− 6.3**	**97**	**5000**
19	532	− 7.1	96	5234
20	511	− 8.8	95	5538
	500	**− 9.9**	**94**	**5704**
21	492	−10.8	93	5825
	481	**−11.9**	**92**	**6000**
22	475	−12.4	91	6091
23	454	−15.1	89	6427
24	436	−17.4	87	6723
	420	**−18.8**	**87**	**7000**
25	414	−19.2	87	7101
	400	**−21.6**	**84**	**7350**
26	396	−22.4	83	7422
27	379	−23.0	80	7735
28	**365**	**−25.9**	**78**	**8000**
29	350	−28.8	75	8305
30	333	−31.4	73	8650
31	319	−34.4	72	8948
	316	**−34.9**	**72**	**9000**
32	303	−37.4	72	9300
	300	**−37.9**	**72**	**9365**
33	291	−39.6	71	9568
34	275	−42.2	71	9944
	273	**−42.6**	**71**	**10000**
35	263	−44.7	70	10237
36	252	−46.8	70	10512
	250	**−47.2**	**70**	**10564**
37	240	−48.7	70	10827
	234	**−49.5**	**70**	**11000**
38	229	−50.1	70	11128
39	220	−50.9	69	11385
40	212	−51.5	69	11619
41	205	−51.9	68	11835
	200	**−51.9**	**68**	**12000**
42	197	−51.8	68	12090

15. IX. 1944. 7.55 h MEZ.

0	964.5	15.4	94	483
1	934	15.0	100	750
2	910	14.0	100	969
	906	**13.8**	**100**	**1000**
	900	**13.5**	**100**	**1061**
3	888	12.8	100	1172
4	863	10.6	98	1407
5	838	9.3	100	1644
6	816	9.0	96	1861
	802	**8.5**	**92**	**2000**
	800	**8.4**	**92**	**2024**
7	794	8.2	90	2085
8	772	6.7	90	2311
9	751	5.2	88	2530
10	730	4.1	80	2756
	708	**3.0**	**79**	**3000**
11	**700**	**2.4**	**78**	**3090**
12	676	0.5	82	3366
13	654	− 0.8	83	3623
14	629	− 1.7	72	3929
	623	**− 2.0**	**69**	**4000**
15	605	− 4.4	60	4234
	600	**− 4.4**	**57**	**4298**
16	582	− 4.4	49	4532
17	560	− 5.6	40	4830
	548	**− 6.3**	**37**	**5000**
18	542	− 6.6	36	5082
19	521	− 8.1	34	5384
20	**500**	**−10.0**	**38**	**5694**
21	480	−12.5	**42**	**6000**
22	459	−14.5	44	6335
23	439	−16.7	36	6661
24	**419**	**−19.2**	**36**	**7000**
	400	**−21.4**	**33**	**7338**

Min.	PPP	TTT	UU	H m. dyn.
25	399	−21.5	33	7357
26	381	−24.2	32	7686
	365	**−27.2**	**30**	**8000**
27	362	−27.7	30	8050
28	343	−30.7	30	8431
29	325	−33.8	30	8802
	316	**−35.3**	**30**	**9000**
30	309	−36.6	30	9148
	300	**−38.6**	**30**	**9347**
31	296	−39.6	30	9437
32	280	−42.7	30	9804
	272	**−44.1**	**30**	**10000**
33	268	−44.6	30	10091
34	258	−47.5	30	10339
35	252	−48.1	30	10488

16. IX. 1944. 8.20 h MEZ.

0	966.3	16.0	90	483
1	948	16.0	95	643
2	928	16.0	88	821
	909	**16.0**	**90**	**1000**
3	903	15.9	90	1051
	900	**15.8**	**91**	**1080**
4	879	14.5	95	1278
5	853	13.6	88	1523
6	831	11.9	81	1739
7	810	10.1	70	1950
	805	**9.8**	**70**	**2000**
	800	**9.4**	**71**	**2050**
8	785	8.2	72	2204
9	763	6.4	78	2433
10	738	5.9	74	2696
11	716	5.2	76	2942
	711	**4.7**	**76**	**3000**
	700	**3.5**	**77**	**3122**
12	692	2.5	77	3212
13	668	0.3	79	3490
14	643	− 1.2	75	3788
	626	**− 1.7**	**68**	**4000**
15	618	− 1.8	64	4100
	600	**− 2.5**	**54**	**4332**
16	594	− 2.8	50	4411
17	569	− 4.1	48	4743
	550	**− 5.5**	**54**	**5000**
18	542	− 6.1	57	5120
19	518	− 7.8	59	5465
20	**500**	**−10.0**	**59**	**5733**
	483	**−12.7**	**55**	**6000**
21	480	−13.1	54	6041
22	460	−15.9	54	6357
23	439	−19.7	54	6694
	421	**−22.1**	**53**	**7000**
24	418	−22.6	53	7049
	400	**−24.7**	**51**	**7364**
25	396	−25.2	51	7435
26	375	−28.4	50	7819
	365	**−29.8**	**50**	**8000**
27	355	−31.7	50	8205
28	338	−33.5	49	8542
29	331	−34.1	49	8686
30	322	−34.8	49	8875
	316	**−35.5**	**48**	**9000**
31	313	−35.9	48	9070
32	308	−37.2	**47**	9180
	300	**−39.0**	**47**	**9357**
33	297	−39.4	47	9425
34	288	−41.8	47	9627
35	281	−44.1	47	9789
36	275	−45.7	47	9930
	272	**−46.3**	**47**	**10000**
37	269	−47.0	47	10073
38	265	−47.6	47	10170
39	260	−48.5	47	10292
40	254	−49.9	47	10441

17. X. 1944. 9.30 h MEZ.

0	953.4	10.4	80	483
1	932	10.0	78	667
2	907	7.8	61	890
	900	**7.3**	**61**	**954**
	895	**6.8**	**61**	**1000**
3	884	6.0	61	1099
4	858	4.5	61	1338
5	825	2.4	63	1647
6	**800**	**0.9**	**62**	**1891**
	789	**0.7**	**59**	**2000**
7	773	0.5	54	2161
8	753	0.5	45	2368
9	727	− 0.4	34	2640
10	**700**	**− 1.5**	**29**	**2936**
	694	**− 1.7**	**29**	**3000**
11	674	− 2.1	29	3230

18. X. 1944. 9.15 h MEZ.

0	953.2	11.2	80	483
1	914	8.5	77	827
	900	**9.8**	**75**	**953**
	895	**10.2**	**74**	**1000**
2	890	10.4	73	1045
3	869	9.5	76	1240
4	846	7.0	77	1455
5	829	7.0	73	1618
6	809	5.7	72	1816
	800	**5.0**	**75**	**1906**

Min.	PPP	TTT	UU	H m. dyn.
	791	**4.3**	**77**	**2000**
7	788	4.0	78	2027
8	765	2.3	89	2261
9	745	1.8	98	2472
10	725	1.6	100	2683
11	**700**	**0.4**	**98**	**2961**
	696	**0.1**	**98**	**3000**
12	679	− 1.5	98	3200
13	658	− 3.4	100	3445
14	642	− 5.4	100	3632
15	625	− 6.0	100	3840
	612	**− 6.9**	**100**	**4000**
16	607	− 7.3	100	4067
	600	**− 7.8**	**100**	**4155**
17	587	− 8.8	100	4323
18	573	−10.4	100	4505
19	558	−12.6	100	4704
20	540	−14.5	100	4951
	536	**−14.7**	**100**	**5000**
21	515	−16.4	98	5302
22	**500**	**−18.5**	**97**	**5517**
23	483	−20.5	96	5769
	468	**−22.3**	**95**	**6000**
24	464	−22.7	95	6059
25	448	−25.3	95	6310
26	430	−28.4	94	6594
27	411	−30.1	94	6911
	406	**−30.8**	**93**	**7000**
	400	**−31.7**	**92**	**7099**
28	398	−32.2	92	7134
29	383	−35.3	90	7397
30	366	−38.0	88	7704
31	352	−41.0	88	7968
	350	**−41.3**	**88**	**8000**
32	338	−43.6	90	8239
33	326	−45.0	90	8473
34	317	−46.7	90	8655
35	308	−47.3	90	8843
	301	**−48.5**	**88**	**9000**
36	**300**	**−48.6**	**88**	**9013**
37	293	−49.6	88	9165
38	286	−50.8	86	9320
39	276	−52.6	86	9541
40	264	−53.9	86	9822
	257	**−54.6**	**86**	**10000**
41	252	−55.1	86	10113
	250	**−56.0**	**86**	**10162**
42	249	−56.4	86	10187
43	246	−57.7	87	10262
44	243	−57.8	87	10338
45	239	−57.6	87	10438

19. X. 1944. 9.45 h MEZ.

0	951.4	8.8	85	483
1	920	6.8	80	755
	900	**4.3**	**84**	**932**
2	894	3.4	85	987
	892	**3.2**	**85**	**1000**
3	870	1.0	90	1201
4	846	− 0.2	95	1422
5	824	− 1.0	97	1627
6	**800**	**− 1.5**	**97**	**1859**
	786	**− 2.1**	**99**	**2000**
7	780	− 2.5	100	2057

20. X. 1944. 9.40 h MEZ.

0	959.7	7.5	85	483
1	925	4.9	78	779
2	**900**	**3.7**	**75**	**1000**
3	880	2.8	73	1180
4	859	1.8	73	1371
5	838	0.3	78	1563
6	819	− 0.1	69	1744
7	**800**	**− 1.0**	**55**	**1929**
	793	**− 0.8**	**52**	**2000**
8	778	− 0.3	**44**	2147
9	756	− 0.7	36	2371
10	738	− 1.0	32	2556
11	720	− 1.4	26	2748
12	703	− 2.1	24	2935
	700	**− 2.3**	**24**	**2969**
	697	**− 2.4**	**23**	**3000**
13	686	− 3.0	22	3127
14	666	− 5.5	22	3354
15	647	− 6.0	20	3573
16	628	− 6.7	19	3802
	612	**− 7.4**	**19**	**4000**
17	609	− 7.5	19	4040
	600	**− 8.0**	**20**	**4155**
18	590	− 8.6	22	4283
19	573	− 9.2	22	4502
20	559	−10.5	22	4690
21	542	−13.6	24	4923
	536	**−13.9**	**25**	**5000**
22	526	−14.3	26	5148
23	508	−14.2	29	5408
	500	**−14.2**	**28**	**5522**
24	494	−14.2	28	5611
25	475	−16.7	27	5902
	469	**−17.7**	**27**	**6000**
26	460	−19.2	27	6138
27	444	−21.0	28	6393
28	430	−23.7	27	6620
29	415	−25.8	27	6873
	408	**−27.4**	**27**	**7000**

Min.	PPP	TTT	UU	H m. dyn.
30	402	−29.0	27	7098
	400	**−29.5**	**27**	**7132**
31	391	−32.1	27	7290
32	387	−34.6	27	7360
33	384	−37.7	27	7414
34	377	−39.8	27	7535
35	372	−41.3	27	7625

2. XI. 1944. 9.15 h MEZ.

0	944.7	4.2	98	483
1	920	4.0	100	693
	900	**3.7**	**100**	**870**
2	893	3.5	100	932
	886	**4.1**	**100**	**1000**
3	867	5.4	100	1169
4	841	5.6	98	1414
5	814	4.5	86	1672
	800	**3.8**	**86**	**1812**
6	786	3.2	86	1953
	781	**3.0**	**86**	**2000**
7	763	2.3	86	2189
8	740	1.4	90	2430
9	716	0.2	93	2688
	700	**− 0.8**	**97**	**2864**
10	694	− 1.2	99	2932
	688	**− 1.2**	**99**	**3000**
11	667	− 0.9	100	3243
13	619	− 5.8	99	3821
	605	**− 7.2**	**99**	**4000**
	600	**− 7.8**	**99**	**4062**
14	594	− 8.6	99	4139
15	570	−10.4	98	4454
16	553	−12.3	96	4678
17	531	−14.4	94	4983
	530	**−14.5**	**94**	**5000**
18	512	−16.4	91	5254
	500	**−17.5**	**89**	**5427**
19	490	−18.3	87	5574
20	470	−19.6	85	5878
	462	**−20.6**	**83**	**6000**
21	450	−22.9	80	6192
22	430	−25.0	80	6513
23	410	−27.3	78	6850
	401	**−28.6**	**78**	**7000**
	400	**−28.8**	**78**	**7025**
24	395	−29.7	78	7113
25	381	−31.8	78	7363
26	366	−34.8	78	7639
27	354	−37.4	78	7867
	347	**−38.5**	**77**	**8000**
28	334	−40.0	74	8261
29	323	−42.7	72	8482
30	313	−45.5	66	8687
31	303	−48.2	60	8900
	300	**−49.1**	**59**	**8963**
	298	**−49.7**	**58**	**9000**
32	293	−50.9	55	9115
33	282	−50.0	55	9359
34	272	−50.0	55	8586
35	266	−50.0	53	9730
36	260	−50.0	52	9874
	255	**−50.0**	**52**	**10000**
37	254	−50.0	52	10023
	250	**−50.0**	**52**	**10124**
38	248	−50.0	52	10175
39	242	−50.0	51	10332

3. XI. 1944. 9.05 h MEZ.

0	947.5	5.2	80	483
1	922	5.2	80	702
	900	**2.6**	**87**	**896**
2	894	1.8	89	950
	888	**1.6**	**90**	**1000**
3	867	0.8	95	1191
4	839	− 0.8	91	1448
5	813	− 2.0	91	1693
	800	**− 2.7**	**91**	**1820**
6	785	− 3.4	90	1968
	782	**− 3.5**	**90**	**2000**
7	757	− 4.4	90	2248
8	728	− 5.3	92	2547
	700	**− 7.6**	**88**	**2847**
9	698	− 7.9	88	2869
	686	**− 8.0**	**90**	**3000**
10	672	− 8.2	92	3158
11	647	− 9.8	74	3446
12	626	−12.6	52	3693
13	605	−14.5	**47**	3950
	601	**−14.8**	**47**	**4000**
	600	**−15.0**	**47**	**4011**
14	583	−16.7	47	4225
15	562	−17.2	46	4493
16	540	−19.0	43	4787
	524	**−20.9**	**39**	**5000**
17	518	−21.8	38	5090
	500	**−23.1**	**31**	**5344**
18	497	−23.3	30	5387
19	474	−26.3	26	5721
	456	**−27.8**	**25**	**6000**
20	454	−27.9	25	6027
21	436	−29.7	24	6310
22	420	−31.4	23	6565
23	404	−33.5	23	6834
	400	**−34.0**	**23**	**6902**
	394	**−34.6**	**23**	**7000**

Min.	PPP	TTT	UU	H m. dyn.
24	384	-35.4	23	7182
25	366	-37.4	21	7506
26	348	-39.7	21	7848
	340	**-40.7**	**21**	**8000**
27	332	-41.7	21	8164
28	316	-43.5	18	8490
29	304	-44.1	15	8744
	300	**-44.6**	**15**	**8830**
30	**292**	**-45.9**	**15**	**9000**
31	281	-47.4	15	9257
32	272	-49.2	15	9463
33	263	-50.8	15	9678
34	253	-52.1	15	9923
	250	**-52.6**	**15**	**10000**
35	243	-54.1	15	10178

4. XI. 1944. 8.05 h MEZ.

0	961.8	0.0	93	483
1	934	2.0	87	715
2	906	1.5	81	959
	901	**1.3**	**80**	**1000**
	900	**1.2**	**80**	**1012**
3	879	- 0.3	75	1198
4	850	0.0	72	1460
5	824	- 0.6	61	1702
	800	**- 1.4**	**62**	**1934**
6	798	- 1.5	62	1953
	793	**- 1.6**	**63**	**2000**
7	775	- 2.4	66	2182
8	750	- 3.4	74	2435
9	723	- 3.2	76	2718
	700	**- 2.8**	**66**	**2969**
10	698	- 2.8	65	2991
	697	**- 3.0**	**65**	**3000**
11	677	- 5.2	58	3227
12	656	- 8.4	53	3466
13	635	-11.6	55	3711
14	614	-12.0	56	3965
	611	**-12.1**	**57**	**4000**
	600	**-12.4**	**57**	**4139**
15	590	-12.9	63	4266
16	564	-14.2	68	4600
17	546	-14.9	56	4841
	534	**-15.7**	**52**	**5000**
18	523	-17.0	49	5162
19	506	-18.9	43	5404
	500	**-19.5**	**42**	**5488**
20	486	-20.7	40	5694
21	**466**	**-22.8**	**38**	**6000**
22	448	-24.5	35	6279
23	429	-26.9	33	6583
24	412	-30.1	32	6867
	404	**-31.9**	**32**	**7000**
	400	**-32.8**	**32**	**7071**
25	397	-33.4	32	7122
26	379	-35.0	19	7438
27	365	-36.2	19	7696
28	353	-37.7	18	7924
	349	**-38.4**	**18**	**8000**
29	341	-39.6	18	8160
30	327	-41.1	18	8437
31	315	-43.5	18	8684
32	303	-46.3	18	8940
	300	**-46.7**	**18**	**9000**
33	293	-47.8	18	9158

13. XII. 1944. 8.50 h MEZ.

0	961.8	0.8	90	483
1	930	- 0.9	90	748
	901	**- 1.7**	**87**	**1000**
2	**900**	**- 1.8**	**87**	**1008**
3	870	- 3.1	85	1271
4	840	- 4.5	83	1549
5	810	- 5.8	83	1821
	800	**- 6.2**	**83**	**1918**
	791	**- 6.7**	**82**	**2000**
6	785	- 7.1	82	2062
7	758	- 8.2	82	2329
8	730	-10.5	82	2611
9	705	-12.3	82	2873
	700	**-12.7**	**82**	**2926**
	693	**-13.3**	**82**	**3000**
10	682	-14.2	82	3120
11	654	-15.9	82	3430
12	624	-18.0	82	3774
	605	**-19.2**	**82**	**4000**
	600	**-19.6**	**82**	**4063**
13	594	-20.0	82	4137
14	575	-21.2	82	4374
15	560	-23.2	82	4562
16	540	- 25.6	82	4823
	527	**-26.4**	**80**	**5000**
17	523	-26.7	80	5050
18	508	-27.1	80	5258
	500	**-27.0**	**79**	**5369**
19	497	-26.9	78	5410

14. XII. 1944. 8.30 h MEZ.

0	963.0	0.0	90	483
1	945	- 1.2	93	632
2	927	- 3.2	97	781
	901	**- 4.2**	**100**	**1000**
	900	**- 4.2**	**100**	**1013**
3	896	- 4.4	100	1048
4	870	- 6.0	100	1275
5	845	- 7.6	98	1497
6	821	- 5.7	81	1718
7	**800**	**- 6.0**	**72**	**1918**
	791	**- 5.5**	**69**	**2000**
8	780	- 5.0	65	2112
9	750	- 5.7	59	2413
10	729	- 6.9	51	2628
11	709	- 8.8	46	2840
	700	**- 9.5**	**45**	**2936**
	694	**- 9.7**	**45**	**3000**
12	681	-10.4	44	3145
13	664	-12.5	38	3334
14	630	-13.2	33	3724
	607	**-14.0**	**30**	**4000**
15	605	-14.1	30	4029
	600	**-14.6**	**29**	**4091**
16	586	-16.1	28	4267
17	563	-15.9	26	4560
18	541	-16.1	24	4857
	531	**-16.6**	**23**	**5000**
19	519	-17.2	22	5163
20	**500**	**-20.6**	**20**	**5435**
21	483	-23.9	20	5680
22	**462**	**-27.5**	**20**	**6000**
23	431	-30.6	20	6480
24	415	-33.4	20	6741
	400	**-35.2**	**20**	**7000**
25	392	-36.1	20	7130
26	371	-39.1	20	7500
27	351	-42.1	20	7873
	344	**-42.5**	**20**	**8000**
28	334	-43.4	20	8204
29	313	-47.3	20	8626
30	**300**	**-49.1**	**20**	**8900**
	295	**-49.6**	**20**	**9000**
31	283	-51.0	20	9273
32	273	-52.9	20	9498
33	261	-54.6	20	9780
	252	**-56.0**	**20**	**10000**
34	251	-56.1	20	10023

15. XII. 1944. 8.30 h MEZ.

0	957.6	- 5.0	95	483
1	946	- 2.0	95	578
2	918	- 1.3	90	813
	900	**- 1.2**	**87**	**970**
	897	**- 1.2**	**86**	**1000**
3	890	1.2	85	1058
4	866	0.0	65	1272
5	845	0.2	45	1463
6	820	0.5	35	1699
7	**800**	**- 0.2**	**25**	**1893**
	789	**- 1.0**	**25**	**2000**
8	775	- 2.2	15	2140
9	750	- 3.4	10	2395
10	727	- 3.1	10	2632
	700	**- 4.1**	**10**	**2924**
11	698	- 4.3	10	2946
	693	**- 4.6**	**10**	**3000**
12	675	- 5.5	10	3205
13	651	- 6.3	10	3480
14	630	- 6.5	10	3731
15	609	- 7.8	10	3992
	608	**- 7.9**	**10**	**4000**
	600	**- 8.7**	**10**	**4106**
16	583	-10.5	10	4325
17	560	-12.9	10	4625

16. XII. 1944. 8.25 h MEZ.

0	958.6	- 2.8	95	483
1	947	0.3	95	578
2	922	0.7	90	790
	900	**1.0**	**82**	**982**
3	**898**	**1.0**	**81**	**1000**
4	875	1.8	73	1204
5	857	2.2	60	1368
6	831	2.0	**48**	**1610**
7	805	1.5	38	1861
	800	**1.4**	**37**	**1910**
	791	**1.4**	**33**	**2000**
8	782	1.2	30	2090
9	762	- 0.3	25	2293
10	734	- 1.9	20	2582
11	707	- 3.1	17	2874
	700	**- 3.8**	**18**	**2950**
	695	**- 4.3**	**18**	**3000**
12	683	- 5.7	19	3140
13	656	- 7.3	27	3447
14	635	- 9.4	34	3694
	610	**-12.3**	**43**	**4000**
15	609	-12.4	43	4011
	600	**-13.3**	**44**	**4123**
16	584	-15.1	47	4325
17	556	-18.2	51	4685
18	537	-17.3	60	4941
	533	**-17.1**	**58**	**5000**
19	513	-16.3	47	5278
	500	**-18.0**	**43**	**5464**
20	493	-19.0	41	5567
21	469	-21.0	37	5930
	464	**-21.4**	**36**	**6000**
22	443	-24.1	33	6339
23	419	-27.0	31	6730
	403	**-29.3**	**29**	**7000**
24	**400**	**-29.9**	**29**	**7056**
25	376	-34.9	29	7481
26	361	-38.6	29	7758
	348	**-42.0**	**29**	**8000**
27	342	-43.4	29	8121
28	325	-48.0	29	8454
29	310	-51.4	29	8735
30	**300**	**-55.2**	**29**	**8961**
	298	**-55.6**	**29**	**9000**
31	282	-59.3	29	9344

28. XII. 1944. 8.20 h MEZ.

0	966.5	- 9.8	95	483
1	947	- 6.9	97	637
2	921	- 4.2	100	852
	904	**- 2.0**	**83**	**1000**
	900	**- 1.6**	**79**	**1032**
3	896	- 1.3	75	1068
4	870	0.1	65	1298
5	845	- 1.9	52	1524
6	821	- 3.6	45	1747
	800	**- 5.1**	**41**	**1948**
7	797	- 5.4	40	1975
	794	**- 5.6**	**39**	**2000**
8	776	- 6.8	35	2180
9	751	- 7.4	30	2429
10	725	- 8.9	28	2695
11	704	-10.2	26	2917
	700	**-10.5**	**26**	**2960**
	696	**-10.7**	**25**	**3000**
12	680	-12.1	24	3178
13	660	-13.0	22	3400
14	640	-13.9	20	3628
15	617	-15.8	20	3900
	609	**-16.5**	**20**	**4000**
	600	**-17.1**	**20**	**4108**
16	593	-17.7	20	4195
17	568	-20.3	20	4507
18	545	-22.8	20	4808
	531	**-24.4**	**20**	**5000**
19	523	-25.5	20	5103
20	**500**	**-28.0**	**20**	**5421**
21	486	-30.0	20	5617

29. XII. 1944. 8.20 h MEZ.

0	965.5	- 3.5	80	483
1	936	- 6.8	87	721
2	904	- 8.6	96	988
	903	**- 8.7**	**96**	**1000**
	900	**- 8.8**	**97**	**1023**
3	880	-10.1	100	1194
4	855	- 9.8	95	1409
5	827	-10.7	90	1660
6	801	-12.3	85	1900
	800	**-12.3**	**85**	**1910**
	790	**-12.5**	**81**	**2000**
7	776	-12.8	75	2137
8	752	-14.2	70	2370
9	730	-15.0	67	2588
10	712	-15.4	64	2772
	700	**-14.4**	**62**	**2898**
11	692	-13.9	60	2982
	690	**-13.4**	**59**	**3000**
12	675	-11.8	55	3169
13	657	-12.8	50	3372
14	638	-13.1	45	3588
15	613	-15.0	42	3887
	604	**-15.7**	**41**	**4000**
	600	**-16.0**	**40**	**4047**
16	590	-16.8	39	4171
17	567	-18.0	35	4463
18	542	-21.2	31	4790

30. XII. 1944. 8.40 h MEZ.

0	963.6	- 4.8	75	483
1	930	- 8.1	80	756
	901	**-11.1**	**87**	**1000**
2	**900**	**-11.1**	**87**	**1007**
3	875	-11.2	95	1219
4	850	- 8.4	75	1437
5	830	- 8.9	65	1617
6	**800**	**- 9.7**	**57**	**1896**
	789	**-10.0**	**55**	**2000**
7	770	-10.7	50	2184
9	723	-10.7	40	2654
10	705	-11.1	37	2843
	700	**-11.1**	**36**	**2899**
	690	**-11.3**	**35**	**3000**
11	681	-11.6	34	3105
12	655	-13.3	33	3396
13	625	-14.5	32	3741
	604	**-15.6**	**32**	**4000**
14	**600**	**-16.0**	**32**	**4048**
15	574	-16.2	32	4375
16	550	-18.0	31	4688
	527	**-19.8**	**30**	**5000**
17	523	-20.1	30	5057
18	507	-21.9	30	5282
	500	**-22.8**	**30**	**5382**
19	486	-24.7	30	5582
20	462	-27.4	30	5940
	458	**-27.8**	**30**	**6000**
21	445	-29.4	30	6205
22	422	-31.5	30	6570

Le trainage thermique dans la stratosphère

par

Jean Lugeon et Paul Ackermann

1. Rappel de définitions.

Toute mesure de température d'une radiosonde ou d'un météorographe est entachée d'une certaine erreur qu'il est possible de corriger jusqu'à une approximation de 1 à 2 dixièmes de degré, suffisante pour les besoins pratiques de l'aérologie. On utilise pour cela la loi du refroidissement de Newton en faisant appel à la constante de temps a du thermomètre, qui dépend de la vitesse de ventilation et de la densité de l'air et s'écrit $a = \frac{K}{\sqrt{v\varrho}}$, où K est fixé par l'expérience. Tous les détails sur ce procédé ont été publiés dans les Annales M. Z. A. de 1942 [1, 2].

L'un de nous a découvert en 1942 (voir Actes S. H. S. N. 1944 et 1945, et Annales M. Z. A. 1943 [3, 4, 5] un phénomène nouveau qu'il appela *le trainage thermique* et dont l'analyse mathématique et expérimentale prouva qu'il intervient au même titre que la constante de temps a dans les corrections de la température, au delà d'une certaine altitude.

Rappelons que le trainage thermique, dont la théorie a été développée dans la sus-dite *Note* [3], consiste en un apport continu de calories au bimétal, émanant des divers organes qui le supportent ou le protègent contre le rayonnement solaire direct ou l'albédo. Le flux de chaleur s'écoulant de la masse du météorographe vers le bimétal s'arrêtera bien entendu quand ces deux parties auront la même température. C'est ce qui se produit au bout d'une quinzaine de minutes dans une atmosphère isotherme, par exemple. Mais pendant l'ascension, le refroidissement sera toujours insuffisant pour qu'à sa constante de temps théorique près, le thermomètre puisse suivre la température réelle ambiante. Car en effet, la constante de temps du bimétal est beaucoup plus faible que celle de l'ensemble de la sonde qui forme un véritable réservoir de chaleur, sur lequel la ventilation agit plus lentement. Il en résulte que l'écoulement des calories de l'équipage vers le bimétal commence théoriquement au moment de l'envol.

Toutefois, nous avons pu démontrer que ce transfert de chaleur est insignifiant aux fortes pressions et qu'il ne commence ses manifestations que dans les régions supérieures de la troposphère, à une certaine *altitude critique*, que nous avons appelé le *point de trainage critique* τ_0, au-dessus de laquelle la correction de la température par la constante de temps a ne suffit plus.

En considérant l'aspect mathématique du problème, nous démontrâmes que ce point, ou mieux cette *région critique* dépend en elle-même, de l'histoire de l'ascension dans les couches inférieures, jusqu'à *l'altitude critique*, c'est-à-dire des gradients thermiques verticaux des couches traversées et la variation de la vitesse ascensionnelle qui conditionne la vitesse de ventilation du bimétal, de son châssis et du boîtier. Nous montrâmes aussi le rôle énorme que joue la plus petite pellicule de givre, dont la chaleur de condensation élève la température de plusieurs degrés et augmente la constante de temps, même dans un air relativement sec.

Le problème de la correction exacte des températures des radiosondes est donc très difficile sinon aléatoire, car l'histoire de l'ascension varie d'un sondage à l'autre. On doit chaque fois introduire de nouveaux coefficients dans la formule rigoureuse de trainage, ce qui exclut des extrapolations d'ensemble.

Sans revenir ici à la théorie du phénomène supposée connue, rappelons pour éclaircir l'exposé qui suit comment on détermine le trainage thermique expérimentalement.

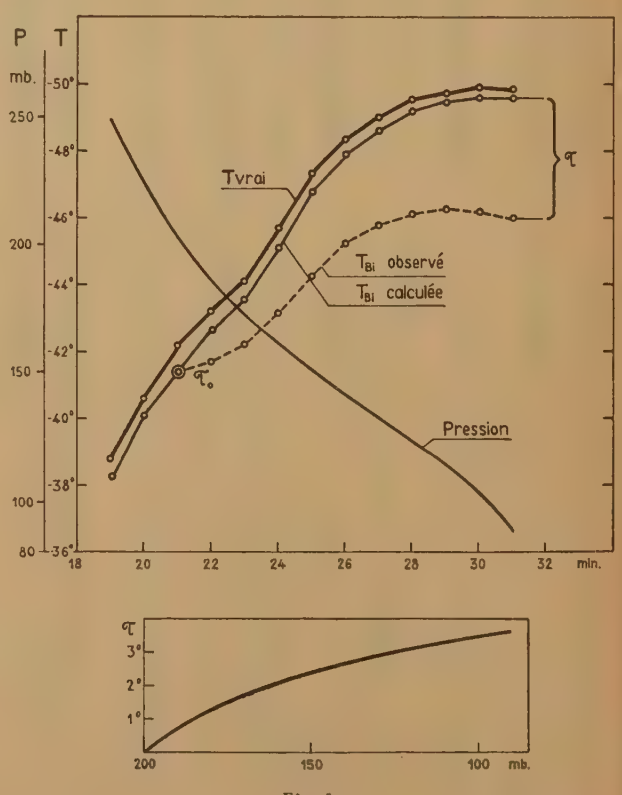

Fig. 1.

La sonde est enfermée dans le caisson polytrope, où l'on produit une atmosphère artificielle en baissant progressivement la température et la pression à la vitesse normale de l'ascension (4 à 5 m/s.), ceci en suivant la courbe de l'atmosphère standard. La température réelle de l'air ventilé est mesurée avec un thermomètre à fil de platine, dont la constante de temps est pratiquement négligeable; celle du bimétal est donnée par la soudure d'un élément de thermocouple appliqué directement contre la lamelle. Le thermocouple est également dénué d'inertie thermique. On obtient de la sorte dans les axes cartésiens (T, Z = temps en minute), *fig. 1*, deux courbes de température observée: la température vraie de l'air en circulation et celle du bimétal. Comme on connaît la variation de la constante de temps du bimétal en fonction de la vitesse de ventilation et de la densité de l'air, on en détermine la température que devrait indiquer le bimétal, si le trainage n'intervenait pas. C'est la courbe T_{Bi} calculée. La différence en degrés des ordonnées entre les courbes T_{Bi} calculée et T_{Bi} observée est justement le trainage thermique.

La loi qui décrit cette différence est, en principe, celle qui permettrait de corriger les données brutes du bimétal. Mais nous avons dit combien elle était compliquée, sinon mathématiquement, du moins pratiquement, d'où l'on ne peut malheureusement pas en tirer grand parti.

Pour satisfaire la théorie de la constante de temps généralisée au trainage thermique, nous avons montré qu'il fallait donner une valeur numérique au trainage critique, qui devient ainsi le *critérium des radiosondes stratosphériques*. Ceci est nécessaire, si l'on veut comparer entre eux des appareils de types différents. Cette valeur numérique du point ou de la région de trainage critique, soit la région de l'atmosphère, où le trainage commence à troubler les indications du thermomètre corrigé de la constante de temps newtonnienne, est donné par la relation:

$$\tau_0 = \sqrt{V}, \varrho \quad ,$$

où ϱ est la densité de l'air en grammes par m³, soit: $\varrho = 0{,}349 \ \frac{P}{T}$, si P est en millibars et T en degrés absolus. Nous avons dénommé τ_0 le *coefficient de trainage*. Il est pour la sonde suisse, ancien modèle de 34,7 dans les conditions de l'expérience représentée à la *fig. 1*, ce qui correspond à une altitude critique de 9900 m, soit la valeur moyenne des altitudes critiques de la plupart des sondages de Payerne de 1942 à 1945.

La qualité d'une radiosonde stratosphérique va donc dépendre de la valeur numérique de son coefficient de trainage τ_0. Nous avons montré que plus τ_0 augmente, plus l'altitude critique s'abaisse et par conséquent plus le trainage fausse rapidement les résultats de l'ascension. Ainsi, pour sonder correctement à 12 km, avec 4 m/sec. de vitesse ascensionnelle — supposée être la vitesse de ventilation, ce qui n'est pas toujours le cas — il faut que τ_0 soit inférieur à 35,1, respectivement 27,8 à 15 km, et 18,7 à 20 km.

Il est donc de première importance, à la lumière de ces nouvelles notions de connaître les caractéristiques des météorographes et radiosondes de nos prédécesseurs, qui ont servi à calculer l'atmosphère standard, avant d'adopter définitivement ces anciennes valeurs pour maints travaux concernant la haute atmosphère. Avouons franchement que là tout est à refaire. En voici la justification expérimentale.

2. Mesure du trainage thermique des météorographes de nos prédécesseurs.

Nous avons déterminé selon la méthode décrite ci-devant le trainage thermique des météorographes de Teisseranc de Bort, Hergesell, Bosch, Jaumotte, et des radiosondes de Bureau, Kœltzer, Lang, Väisälä. L'expérience fut facile à réaliser pour le petit météorographe de Jaumotte, dont l'encombrement ne gène pas la ventilation intérieure du caisson. Par contre, pour les autres appareils, nous constatâmes une certaine influence thermique par radiation du boîtier sur la prise de notre thermomètre étalon à fil de platine. Il en résulte que le trainage déterminé est légèrement trop faible, c'est-à-dire que les résultats trouvés en caisson sont meilleurs que pendant l'ascension.

Afin de mieux mettre en évidence la progression régulière du trainage, nous avons modifié la représentation graphique de la *figure 1*, en considérant directement les deux constantes de temps du thermomètre, avec et sans trainage.

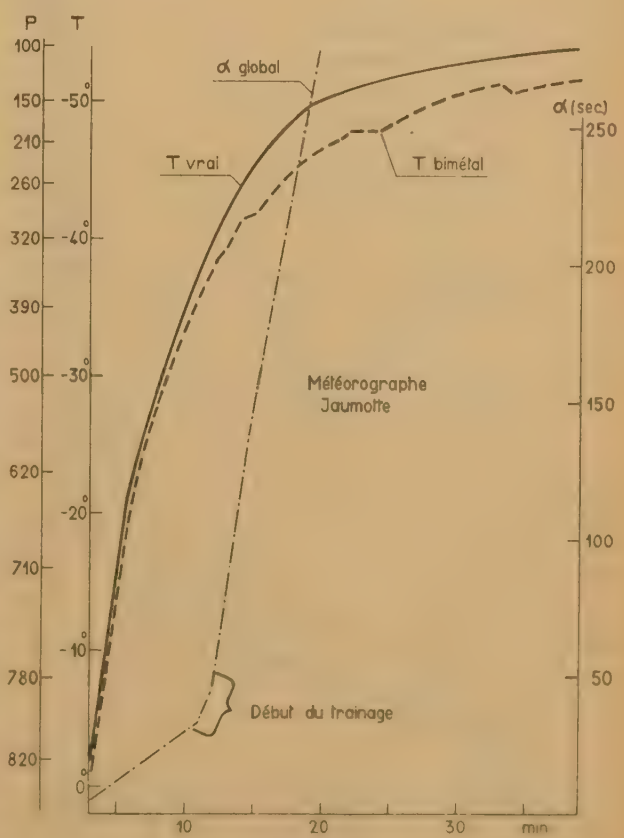

Fig. 2.

Dans un système de coordonnées à 3 axes (T, P, Z) *figure 2*, on dessine en fonction du temps Z porté en minutes sur les abscisses, la ligne $T_{vrai} = f(Z)$, qui est la température vraie de l'air du caisson ventilé à 4 m/s. La pression en millibars est inscrite en marge des ordonnées. De la même manière est tracée la ligne $T_{Bi} = f(Z)$, qui est la température du bimétal mesurée par la soudure du thermoélément. On a ainsi constamment les deux variations de la température, nécessaires pour calculer à chaque minute la constante de temps newtonnienne et le trainage. Nous la désignons par α_{global}. C'est sur le diagramme la ligne: $\alpha_{global} = f(Z)$, qui se calcule en première approximation par la relation $\triangle T \cdot \alpha_{global} = \tau$, où $\triangle T$ est le saut de température réelle pendant une minute et τ la différence: température réelle — température du bimétal.

On remarque sur la *figure 2* du petit météorographe de Jaumotte, que la courbe du bimétal a des irrégularités assez accentuées, particulièrement vers 290, 190 et enfin 100 millibars. Ces redans indiquent que le trainage thermique est soumis pendant sa production aux basses pressions à des influences secondaires, sur lesquelles nous nous prononcerons plus tard. En bref, on voit que la courbe α_{global}, au lieu d'avoir l'aspect d'une belle exponentielle, selon l'image théorique de la constante de temps est très fortement coudée, dès une pression d'environ 360 millibars, qui correspond justement à l'altitude critique, où le trainage thermique commence à se manifester.

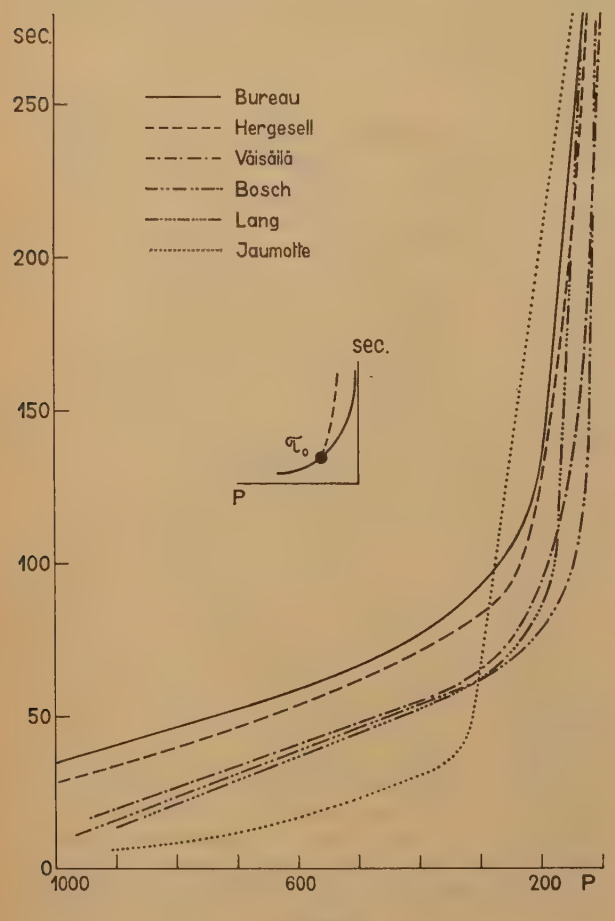

Fig. 3.

La *figure 3* donne dans un autre système d'axes les α_{global} des quelques sondes que nous avons examinées. Partout le même phénomène apparaît. Les *figures 4 et 5*

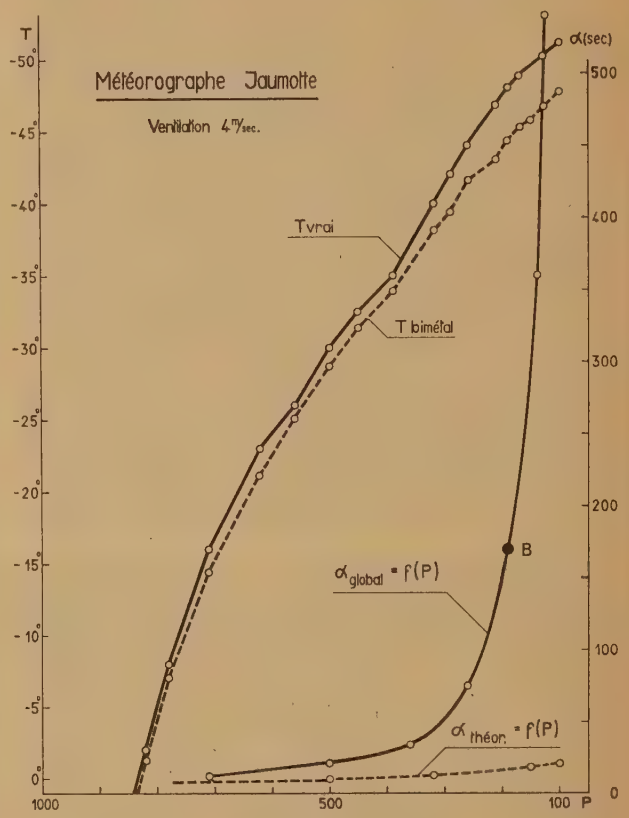

Fig. 4.

fixent pour les météorographes de Jaumotte et de Väisäilä la valeur numérique du trainage, c'est-à-dire l'erreur de température due au refroidissement ralenti du bimétal, dès l'instant où il est sollicité par le trainage. Pour avoir la valeur numérique, il suffit de dessiner dans les axes (T, P, α en secondes), les courbes α_{global} selon le calcul rappelé plus haut et de α en partant de l'équation $\alpha = \frac{K}{\sqrt{v\varrho}}$, où K a été déterminé préalablement pour deux ventilations différentes (voir le Mémoire précédent [1]. La valeur numérique du trainage est alors: $\tau_0 = (\alpha_{global} - \alpha) \cdot \triangle T$, où $\triangle T$ est la différence de température par unité de temps. Le trainage thermique de tous les appareils cités atteint ainsi rapidement quelques degrés, déjà dans les basses couches de la stratosphère.

Le tableau ci-dessous donne les valeurs moyennes du *coefficient de trainage* τ_0, pour les sondes éprouvées dans notre caisson polytrope. Nous répétons que les τ_0, sauf celui du Jaumotte, sont légèrement trop petits pour les raisons indiquées ci-devant.

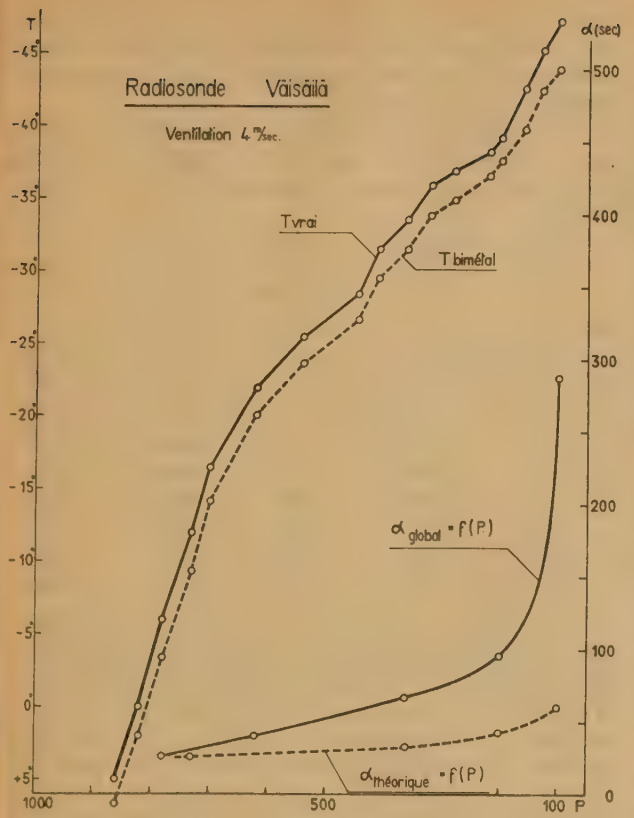

Fig. 5.

Sonde	P (mbars)	T (°C)	ϱ (gr/m³)	Altitude m	τ_0
Suisse (ancien modèle)	270	—45	404	9900	34,7
Jaumotte	320	—40	500	8400	44,8
Väisäilä	420	—32	607	6800	49,4
Bureau	450	—29	643	6200	50,8
Lang	300	—34	433	9600	41,5
Bosch	300	—38	450	9300	42,3
Hergesell	430	—28	612	6600	49,5
Moyennes			521	8114	44,7

A titre d'indication nous donnons l'altitude critique correspondant à la densité de l'atmosphère standard utilisée. Toutes ces expériences ont été faites à la vitesse de ventilation d'environ 4 m/sec. Il ressort indubitablement de ce tableau, que le trainage commence vers l'altitude de 8000 à 8500 m. Si la vitesse ascensionnelle était plus élevée, on aurait les altitudes suivantes:

Vitesse m/sec:	4	5	6
Altitude critique m:	8 700	10 300	11 600

Ces chiffres parlent aussi en faveur d'une diminution de la vitesse ascensionnelle pour améliorer les conditions de sondage. En effet α diminue proportionnellement à $\frac{1}{\sqrt{V}}$, mais le gradient de température par minute est directement proportionnel à V, d'où l'on a:

$$\tau = \tau_0 \frac{V}{\sqrt{V}} = \tau_0 \sqrt{V}.$$

3. Ordre de grandeurs des erreurs de température dans la stratosphère.

Nous répétons que la découverte du trainage thermique rend illusoire l'usage des données publiées jusqu'à ce jour sur la température de la stratosphère, au-delà d'une dizaine de kilomètres. Par ailleurs, aucune formule de ce trainage ne permet de rectifier les valeurs de nos prédécesseurs, puisque leur matériel est disséminé ou perdu sur notre terre meurtrie. C'est le cas pour une grande partie des archives de la Commission Aérologique Internationale et d'autres organismes ayant contribué à l'établissement de l'atmosphère standard. Il ne reste donc plus qu'à recommencer le travail, en opérant avec des radiosondes dénuées de trainage thermique, ce à quoi nous nous appliquons présentement.

On peut néanmoins essayer sommairement de se faire une idée sur les erreurs de quelques sondages élevés de Jaumotte publiées avec suffisamment de détails [7, 8].

Sondage du 12 X. 1933: La courbe de température brute enregistrée par le météorographe de Jaumotte est dessinée en trait plein sur la *figure 6.* Elle montre l'inversion classique du regretté savant belge, vers 15 kilomètres. La vitesse ascensionnelle était d'environ 5 m/sec, jusqu'à cette altitude. Nous connaissons la variation du trainage thermique, pour 4 m/sec, d'après nos expériences en caisson polytrope, représentées à la *figure 4,*

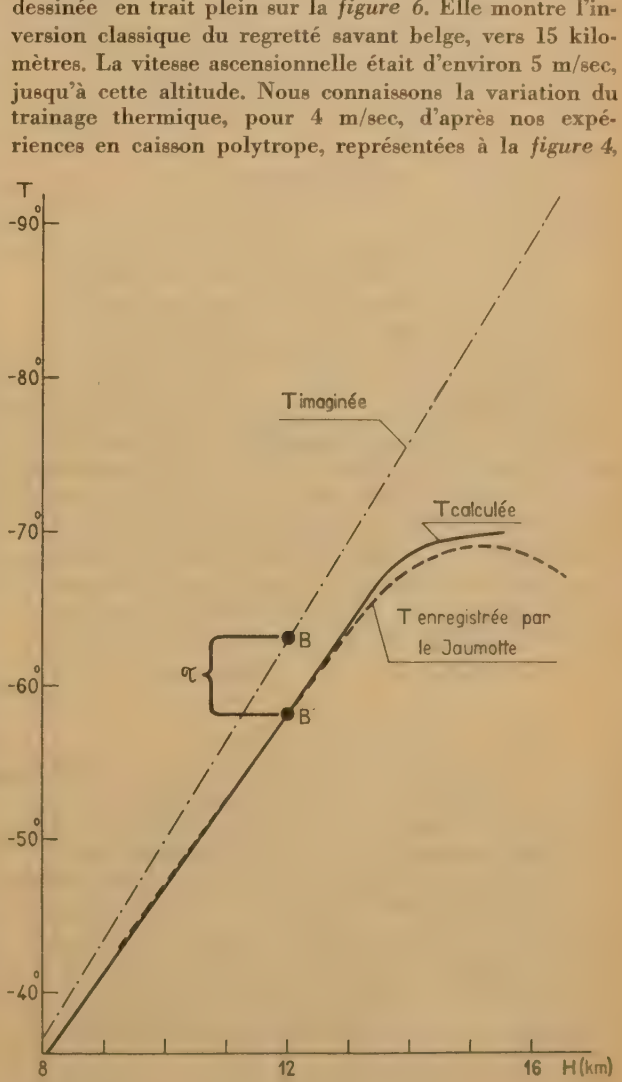

Fig. 6.

que l'on réduit d'abord à la vitesse ascensionnelle de 5 m/sec. On calcule de là la courbe de la température réelle de l'atmosphère en partant de la variation de la constante de temps globale, dessinées sur la *figure 4*, comme il a été indiqué plus haut.

La rectification peut aussi se faire autrement, en imaginant la courbe de variation réelle de la température de l'air en fonction de l'altitude, et en lui appliquant les équations du trainage. La solution du problème sera trouvée si la courbe résultante se confond avec celle observée par Jaumotte. C'est ce que nous allons essayer, *fig. 6*.

La courbe linéaire en tirets est la température supposée de la stratosphère avec un gradient de 0,65° par 100 m. On applique successivement à chacun de ses points-minutes la constante de temps globale, soit α_{global}.*

La courbe calculée de la sorte se confond exactement avec celle de Jaumotte, jusqu'à 12,5 km. De là elle s'en écarte un peu, mais l'inversion factice est parfaitement répétée; l'écart n'est que de l'ordre de 1° à 15,5 km. Nos calculs n'ont pu être étendus plus haut, puisque l'expérience au caisson n'atteignit qu'une quinzaine de kilomètres.

Ce procédé démontre clairement les écarts considérables du sondage en question, consignés dans la dernière colonne du tableau ci-dessous:

Altitude approximative (km)	Température fausse observée (°C)	Température fausse calculée (°C)	Température réelle calculée d'après le trainage (°C)	Ecarts en degrés (°C)
8	— 36		— 36,8	— 0,8
9	— 41,4		— 43,4	— 2,0
10	— 47,0		— 50,0	— 3,0
11	— 52,6		— 56,4	— 3,8
12	— 58,3		— 63,2	— 4,9
13	— 63,6	— 64,0	— 69,5	— 5,5
14	— 67,6	— 62,7	— 76,0	— 7,3
15	— 69,0	— 69,8	— 82,4	—12,6
15,5	— 69,0	— 70,0	— 86,0	—16,0

Comme pour nos latitudes les sondages de Jaumotte sont notablement plus froids que ceux des anciens auteurs, il saute aux yeux que la stratosphère a une température beaucoup plus basse que les —56,5° qui lui furent attribués par l'atmosphère standard. Il est clair, en outre, qu'entre 10 et 15 km cette atmosphère n'est plus isotherme, son gradient doit être sensiblement le même que celui des couches troposphériques et compris entre 0,4° et 0,5° par 100 m. De nombreux calculs faits sur d'autres sondages nous amènent à la conclusion suivante, sur la répartition des températures moyennes annuelles pour l'Europe centrale:

10 km:	— 48°
11 km:	— 54°
12 km:	— 60°
13 km:	— 66°
14 km:	— 72°
15 km:	— 78°

Nous nous bornerons pour le moment à cette dernière altitude, en nous réservant de publier prochainement les résultats de nos ascensions avec des radiosondes dénuées de trainage thermique.

Zurich et Payerne, août 1945.

---

* Calculons la température du Jaumotte en un point quelconque B de la courbe de température imaginée. D'après le diagramme de la figure 4, on a en B, à 12 km d'altitude:

$$\alpha_{global} = 170 \text{ sec.} = 2{,}8 \text{ min.}$$

pour la ventilation de 4 m/sec produite dans l'expérience au caisson qui a donné la courbe α_{global}.

La réduction à la vitesse ascensionnelle de 5 m/sec observée par Jaumotte est:

$$2{,}8 \sqrt{\frac{4}{5}} = 2{,}5 \text{ min.}$$

La correction due au trainage thermique s'écrit alors:

$$\tau = \alpha_{global} \cdot \frac{dT}{dZ} = 2{,}5 \text{ min.} \cdot 0{,}0065 \cdot 300 = 4{,}9°$$

où 0,0065 est le gradient thermique par mètre et 300 la hauteur en mètres de la couche traversée pendant 1 minute à la vitesse ascensionnelle de 5 m/sec (300 m/min). La correction τ =4,9° donne un point B', qui tombe exactement sur la courbe expérimentale de Jaumotte, *fig. 6*. Ainsi est démontré que la température de —58°, enregistrée par Jaumotte est en réalité de: —58,3° +(—4,9°) = —63,2°. Les écarts sont indiqués pour tous les 1000 m, dans le tableau du texte. Notons que d'après les recoupements optiques de Jaumotte, la vitesse ascensionnelle augmenta de 10 à 20 % au-dessus de 10 km (330 à 360 m/min). Nous en avons tenu compte. La correction pour les niveaux supérieurs s'écrit:

$$\tau = \alpha_{\text{global troposphère}} \cdot \frac{1}{\sqrt{1.2}} \cdot 0{,}0065 \cdot 360 = 5{,}4°$$

Bibliographie.

1. Lugeon Jean. — *La correction des températures des radiosondes dans le Mémoire: Quelques innovations aux méthodes suisses de radiosondage.* Ann. M. Z. A. 1942, Zurich 1943.
2. Ackermann Paul. — *Verfälschung der Temperaturangaben von Radiosonden durch den Strahlschutz.* Ann. MZA. 1942, Zürich 1943.
3. Lugeon Jean. *Un nouveau phénomène de réchauffement des thermomètres de radiosondes dans la stratosphère: le trainage thermique.* Actes S. H. S. N., Sils-Maria 1944.
4. Lugeon Jean. — *L'atmosphère moyenne de Payerne à la stratosphère ou la critique des radiosondages suisses.* Ann. M. Z. A. 1943, Zurich 1944.
5. Lugeon Jean et Ackermann Paul. — *Le rôle du support des thermomètres dans les mesures stratosphériques, ou le trainage thermique.* Ann. M. Z. A. 1943, Zurich 1944.
6. Lugeon Jean et Ackermann Paul. — *L'invraisemblable stratosphère, d'après nos mesures du trainage thermique de nombreux météorographes.* Actes S. H. S. N., Fribourg 1945.
7. Jaumotte J. — *Structure thermique de la stratosphère jusqu'à 30 km.* Gerlands Beiträge zur Geophysik, Bd. 50, p. 403, Leipzig 1937.
8. Jaumotte J. — *Transformations thermodynamiques de la stratosphère et nuages nacrés.* Institut Royal Météorologique de Belgique, Mémoires, Vol. V, Bruxelles 1936.
9. Jaumotte J. — *Inversion thermique anormale dans la stratosphère.* Commission belge de l'Année Polaire 1932—1933, Mémoires, Fasc. III, Bruxelles, Janvier 1944.

Remarques au sujet des «Assmann»

par

P. Berger, Payerne.

Indroduction.

En 1891, Assmann publiait les remarquables résultats de sa belle étude sur les thermomètres ventilés [1]. Ceux-ci permettent de mesurer avec exactitude la température de l'air. Pour un thermomètre ventilé — que nous désignerons désormais sous le nom d'Assmann — construit conformément aux recommandations de ce météorologiste, l'échauffement par insolation des écrans ne perturbe aucunement les mesures de température. Le tableau No. 1 en fait foi; il est emprunté à l'ouvrage cité. Les températures élevées de l'écran extérieur avaient été obtenues en l'enrobant d'un cylindre métallique à plus grand diamètre et à fond en caoutchouc qui s'adaptait à l'extérieur de l'écran. L'espace vide entre ces deux cylindres était rempli par de l'eau plus ou moins chaude.

Tableau No. 1.

	°C.			
Température du manteau d'eau et de l'écran externe . . .	19,4	25,0	37,0	52,8
Température de l'écran interne .	15,1	15,1	15,4 (?)	16,0 (?)
Température donnée par l'Assmann	15,4	15,0	15,1	14,9
Température réelle de l'air .	15,4	15,0	15,0	14,8

Ces beaux résultats ne sont réels que si la ventilation est suffisante; si elle est trop faible une erreur due à l'insolation se produit, comme le prouve le tableau No. 2 tiré des mêmes sources. Les mesures furent effectuées à Berlin, en juillet et août, par ciel serein et temps calme ou par faible vent. La vitesse de ventilation fut réduite par des obturateurs de différents diamètres.

Tableau No. 2.

Vitesse de ventilation en m sec.	2,0	1.7	1.5	1,0	0,8	0,7	0,5
Erreurs moyennes, en degrés	0,02	0,04	0,03	0,21	0,29	0,45	0,55
Erreurs maxima, en degrés	0,08	0,16	0,14	0,42	0,41	0,74	1,11

A part l'insolation, il est possible que les différents degrés de turbulence de l'air, dus aux obturateurs, aient eu sus de l'insolation, contribués pour une faible part à ces erreurs.

D'après de qui précède, on pourrait s'attendre à trouver dans les Assmann un appareil parfait, or ce n'est pas toujours le cas.

* * *

[1] Das Aspirations-Psychrometer, par R. Assmann, Abh. Preuß. Meteorolog. Inst. Bd. 1 (1901), Nr. 5.

Certaines anomalies dans l'étude des conditions thermiques à l'intérieur des abris météorologiques et certains écarts entre les températures de 2 Assmann placés côté à côté m'ont amené à étudier le fonctionnement de ces thermomètres et la construction des appareils dont je disposais alors:

un petit Assmann, avec mouvement d'horlogerie, poids environ 500 gr. graduation de 0,5 en 0,5 degré;

un grand Assmann, avec mouvement d'horlogerie, poids environ 1200 gr. graduation de 0,2 en 0,2 degré;

un grand Assmann, avec moteur électrique, poids environ 1200 gr. graduation de 0,2 en 0,2 degré;

un Assmann spécial avec boîtier en bakélite, poids environ 600 gr. graduation de 0,2 en 0,2 degré.

Mon collègue, M. Ackermann [2], avait prévu ces anomalies sans cependant étudier le cas des Assmann.

Remarques.

L'Assmann possède une certaine réserve de chaleur (Assmann plus chaud) ou un certain déficit calorique (Assmann plus froid) si dans toute sa masse il n'a pas la même température que celle de l'air ambiant. Dans ces conditions, s'il est ventilé, sa température cessera certainement pour un certain temps d'être homogène et un flux thermique s'établira dans sa masse. Après quelques minutes, grâce à un courant d'air suffisant de ventilation, le thermomètre indiquera la température réelle de l'air; par contre si la ventilation devient trop faible ou si les mesures sont effectuées trop tôt ou trop tard l'équilibre thermique entre le thermomètre et l'air ne sera pas encore atteint ou ne le sera déjà plus. Un dangereux état de pseudo-équilibre thermique peut donc éventuellement se produire.

Les développements mathématique et physique de ces faits ayant été présentés, je n'y reviens pas [3].

Mesures en laboratoire.

Pour éliminer l'influence de l'insolation, les mesures — à part quelques unes — furent effectuées en laboratoire, à l'ombre. Les mesures des vitesses de ventilation entre les écrans parasoleils et les réservoirs des thermomètres sont très délicates et souvent impossible si aucune transformation n'est apportée à ces manchons. Pour ces raisons, j'ai préféré mesurer simplement la force d'aspi-

[2] Verfälschung der Temperaturangaben von Radiosonden durch den Strahlenschutz, par P. Ackermann; Annales de la Station Centrale Suisse de Météorologie (SCSM) 1942.

[3] id. et: Le rôle du support des thermomètres dans les mesures stratosphériques ou le trainage thermique par J. Lugeon et P. Ackermann; Annales SCSM 1943.

ration des ventilateurs. Cette dernière étant faible, la tubulure qui enveloppe le «thermomètre mouillé» fut hermétiquement bouchée de manière à ce que toute la ventilation soit concentrée sur le «thermomètre sec». Le manchon externe qui entoure ce thermomètre fut prolongé par un tube de verre (de 12 mm de diamètre) qui plongeait dans de l'eau ou de l'alcool. La hauteur de la colonne liquide aspirée fut mesurée de 15 en 15 secondes. Les résultats sont représentés par la *fig. 1* (en abscisse: les temps; en ordonnée: les hauteurs d'aspiration en mm d'eau). Les abréviations signifient:

P = petit Assmann;
A = grand Assmann, avec ventilateur entraîné par un mouvement d'horlogerie;
A′ = grand Assmann, avec ventilateur entraîné par un mouvement d'horlogerie mais avec ajutage modifié;
M = grand Assmann, avec ventilateur entraîné par un moteur électrique;
S = Assmann de construction spéciale, avec boîtier en bakélite.

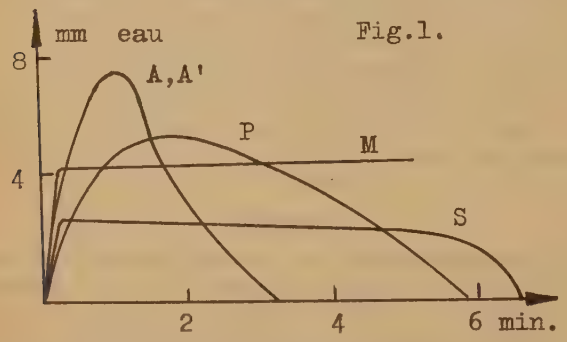

Nous constatons que les hauteurs d'aspiration et les durées de ventilation sont très différentes. De tels écarts laissent perplexe.

Les manchons sont également de construction très différente. Celle du petit appareil est conforme aux normes énoncées par Assmann[4]. Les ajutages des instruments A, A′, M et S sont représentés schématiquement à la *fig. 2.*

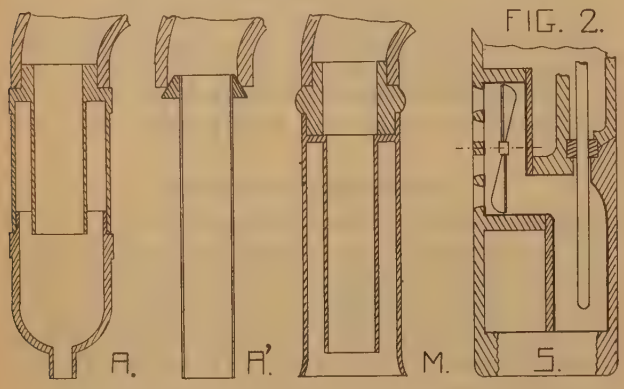

Les manchons externes et internes de l'appareil A forment une seule masse métallique (pesant 23 gr) reliée sans isolation thermique au reste de l'instrument; il n'existe aucune ventilation entre les manchons; l'air y est emprisonné. En outre la masse des manchons est augmentée par un entonnoir métallique, pesant 20 gr.; il est placé sous les manchons et n'en est pas isolé thermiquement.

Le croquis A′ représente cet ajutage transformé pour les mesures qui furent éxécutées en laboratoire et à l'ombre. Le manchon interne est en aluminium; l'externe ne fut pas monté. L'isolant thermique est un anneau de liège. Le tout ne pèse que 4 gr (au lieu de 43 dans le cas précédent).

Le schéma M représente l'ajutage de l'Assmann à moteur électrique; ce dernier «chauffait» notablement. Les manchons externes et internes (en métal) sont reliés métalliquement entre eux, mais il sont séparés du corps de l'appareil par un anneau, mauvais conducteur de la chaleur.

Le dessin S représente le dispositif de ventilation de l'Assmann spécial. L'air aspiré, après avoir léché les réservoirs des thermomètres est immédiatement évacué, sans ventiler le reste de l'appareil. Il n'y a pas de double manchon, quoique l'appareil soit en bakélite d'un brun très sombre.

Constructivement, ces divers appareils sont donc bien différents les uns des autres. Ce fait et les forces d'aspiration diverses suffisent pour expliquer les divergences constatées.

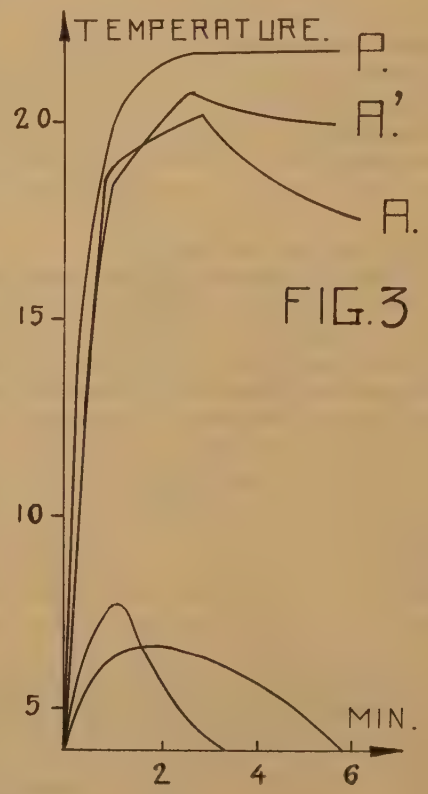

Afin de mettre en évidence le flux de chaleur dont il a été question et son influence pernicieuse sur les mesures thermiques, les Assmann furent réchauffés ou refroidis de plusieurs degrés dans un courant d'air de 4 m/sec. environ. La variation de leurs températures fut

[4] l. c.

déterminée et lue de 15 en 15 secondes, à l'aide d'une lunette de laboratoire, placée à 3—4 m de distance afin de ne pas perturber le champ thermique autour des appareils. Après une nuit passée dans un milieu à température constante, les différents Assmann (corrections instrumentales effectuées) indiquaient la même valeur à plus ou moins 0,05° près.

Les courbes de la *fig. 3* montrent avec quelle rapidité l'équilibre thermique tend à s'établir entre l'air et les appareils de mesures (temps en min.: en abscisse; température en degrès C.: en ordonnée).

Les courbes P, A et A′ correspondent aux mesures effectuées avec: la première: le petit Assmann; la seconde: avec le grand Assmann «original» et la dernière avec le grand Assmann modifié. Les courbes en forme de cloche au bas de la figure correspondent à l'intensité d'aspiration des ventilateurs. Pour toutes les mesures effectuées au cours de cette étude de contrôle, grâce à des bouchons placés sous les «thermomètres humides», toute la ventilation n'a agi que sur les «thermomètres secs»; elle fut donc approximativement le double de la ventilation normale.

Nous constatons:

a) que le petit Assmann indique plus rapidement que le grand la vraie température de l'air. Cette indication resta constante pendant plusieurs minutes, quoique l'écart thermique fut de 16° C. environ dans ce cas;

b) que notre grand Assmann «original» n'indique pas une seule seconde la vraie température de l'air et que l'écart minimum est de l'ordre de 1,5° C. Dès que la ventilation cesse d'être suffisante, l'écart thermique augmente à nouveau et rapidement;

c) que notre grand Assmann à ajutage amélioré donne des résultats qui sont bien meilleurs.

Les résultats sont similaires, que l'Assmann soit réchauffé ou refroidi par rapport à l'air ambiant. La *fig. 4* le confirme.

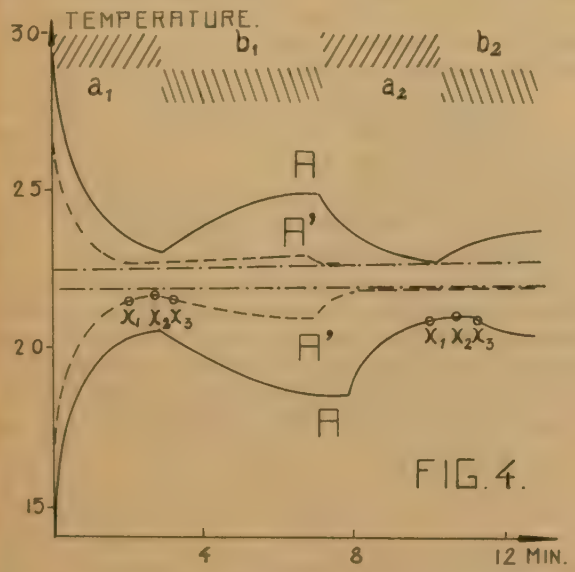

FIG. 4.

Les segments a_1 et a_2 correspondent aux variations de température dues à la ventilation (a_1 = premier remontage du mouvement d'horlogerie; $a_2 = 2^e$ remontage) et les segments b_1 et b_2 à l'influence du flux calorifique de l'Assmann lorsque la ventilation a cessé. L'Assmann transformé (courbe A′) fournit de bien meilleurs résultats que l'appareil «original» (courbe A).

Si des mesures sont effectuées aux temps x_1, x_2 et x_3, les températures étant quasi égales pendant 30 à 60 secondes, on serait en droit de penser que cette valeur correspond bien à la température de l'air, or des erreurs notables peuvent se produire. Les lignes en traits et points correspondent à la vraie température de l'air.

La courbe de refroidissement de l'Assmann à ventilateur mû par un moteur électrique présentent un autre caractère, comme l'indique la *fig. 5* (courbe M).

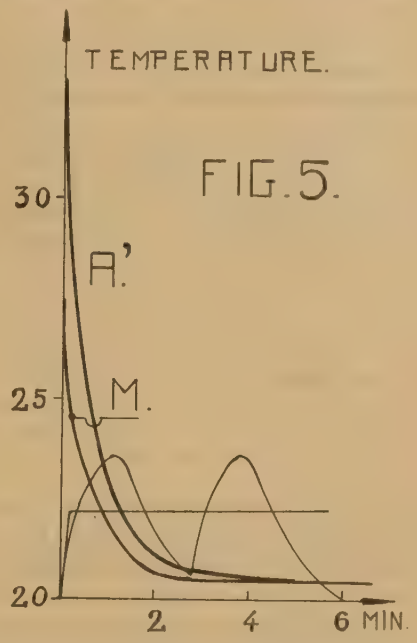

FIG. 5.

Avec l'Assmann modifié, nous obtenons la même allure de la courbe de refroidissement, à condition de remonter à temps le mouvement d'horlogerie (courbe A′). Les courbes au bas de la figure correspondent à la force d'aspiration.

Les courbes de refroidissement de l'Assmann en bakélite sont représentées à la *fig. 6.*

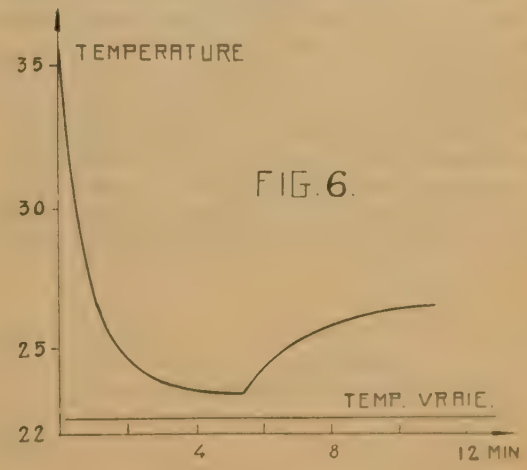

FIG. 6.

Si cet appareil est porté à une température supérieure à celle de l'air ambiant, dès que la ventilation cesse, le mercure de son réservoir se réchauffe. (Cette propriété paraît être une désagréable caractéristique de la majorité des Assmann dont le ventilateur est entraîné par un ressort.) Ainsi que nous venons de le voir, il est absolument nécessaire d'effectuer les lectures lorsque la ventilation est encore suffisante, et même de remonter deux fois le mouvement d'horlogerie si l'écart est grand entre la température de l'air et celle de l'Assmann. Même pour un écart de 10° seulement, cet appareil ne donne pas la vraie température de l'air quoique la hauteur de la colonne de mercure de son thermomètre reste constante pendant plus de 1 minute. Il s'établit donc un état d'équilibre entre la chaleur enlevée par la ventilation et celle cédée par l'appareil. Un phénomène semblable fut constaté dans quelques mesures effectuées avec l'Assmann muni d'un moteur électrique.

Après un laps de temps donné (une, deux, etc. minutes) l'erreur d'indication est d'autant plus forte que l'écart entre la température de l'air et celle de l'appareil est grand. Le tableau No. 3 en donne une idée, les erreurs sont notées en °C. (les abréviations sont toujours les mêmes).

Tableau No. 3.

Ecarts thermiques	Après une minute					Après deux minutes					Après trois minutes				
	P	M	A	A′	S	P	M	A	A′	S	P	M	A	A′	S
5° C	—	0,6	1,6	1,0	1,7	—	0,2	1,0	0,3	0,9	—	0,1	0,5	0,1	0,6
10	—	1,5	3,2	2,1	3,3	—	0,4	2,0	0,7	1,8	—	0,2	1,0	0,3	1,1
15	1,8	3,2	4,8	3,7	—	0,3	0,6	3,0	1,6	—	0,0	0,3	1,5	0,9	—

Pour n'importe quelle minute le petit Assmann est l'appareil qui donne les meilleurs résultats tant au point de vue précision que rapidité de mise en équilibre thermique.

Sans insolation, l'Assmann dont le ventilateur est mû par un moteur électrique présente presque les mêmes qualités que l'Assmann dont l'ajutage fut modifié. Le grand Assmann à ventilateur entraîné par un mouvement d'horlogerie et l'Assmann spécial présentent une très forte inertie.

A titre de contrôle, l'Assmann spécial fut exposé au soleil afin de vérifier si l'échauffement de la bakélite provoque une variation de la température indiquée. Comme on pouvait s'y attendre à la suite des essais précédents, le résultat resta malheureusement positif. Les mesures furent effectuées les 20 et 21 septembre 1945. Pour ces contrôles, l'Assmann spécial fut exposé à la même hauteur que l'appareil A′, à 15 cm de distance; le premier fut placé au soleil (ses thermomètres étant du côté de l'ombre), le 2e à l'ombre d'un grand carton clair. Les chiffres du tableau No. 4 indiquent les températures des deux appareils et leurs écarts, après un certain nombre de minutes.

Tableau No. 4.

Appareils	Dates	Heures	Temps en minutes 0	5	10	15	20
S	21. 9. 45	1130—1200	20,3	21,0	22,1	21,1	22,0° C
A′			20,3	20,4	21,6	20,3	20,5° C
		Ecarts	0,0	0,6	0,5	0,8	1,5° C
S		1510—1540	25,0	25,0	25,0	24,9	25,2° C
A′			25,0	24,8	24,6	24,5	24,5° C
		Ecarts	0,0	0,2	0,4	0,4	0,7° C

Indiscutablement une élévation de température par insolation se manifeste sur l'apareil S. Cette élévation correspond à une insolation qui n'était pourtant pas très forte; en outre son effet était quelque peu neutralisé par une faible brise intermittente du NW.

Conclusions.

Depuis 1891, la construction des Assmann non seulement n'a pas fait de progrès, mais au contraire (pour des raisons que je ne puis que supposer) bien des thermomètres ventilés sont moins bien construits actuellement au point de vue thermique que ce ne fut le cas auparavant. Les thermomètres ventilés du type Assmann qui ne donnent pas satisfaction peuvent être aisément améliorés. Avant d'employer l'un quelconque de ces appareils, il est nécessaire de s'assurer de ses caractéristiques.

L'emploi d'un boîtier sombre en bakélite, du type actuel, ne paraît pas judicieux tant au point de vue thermique qu'au point de vue mécanique (déformations au soleil, etc.). En effet un tel boîtier n'échange qu'avec lenteur à l'air ambiant la quantité de chaleur qu'il possède par défaut ou par excès.

La meilleure solution paraît encore être l'emploi de tubes métalliques, mais aussi légers que possible; non seulement les ajutages doivent être thermiquement isolés du reste de la tululure, mais cette dernière peut — à son tour — être avantageusement séparée du groupe moteur-ventilateur par un anneau isolant.

Dans les lignes qui précèdent, j'ai cherché non pas à jeter le discrédit sur les thermomètres ventilés du type Assmann, mais seulement à prouver que les différents appareils de ce type que l'on trouve actuellement sur le marché, ne possèdent pas tous les avantages attribués normalement à ce genre d'instrument de mesure.

Versuche mit einer neuen Radiosonde ohne Trainageeffekt zur Messung der Stratosphärentemperaturen bis 20 km Höhe

von

Paul Ackermann, Payerne

In verschiedenen Arbeiten [1] ist gezeigt worden, daß die Temperaturmessungen mit den bisher gebräuchlichen Radiosonden infolge der von uns entdeckten sogenannten Trainageeffekten ab einer Höhe von etwa 8 bis 9 km sehr problematisch sind. Die Theorien, die auf diesen Falschmessungen beruhen, stehen deshalb, bis die Temperaturen in diesen Höhen einwandfrei bekannt sind, auf schwachen Füßen.

Unsere Bemühungen, die wahren Temperaturen aus sondierten, gefälschten mittels eines Korrekturfaktors zu bestimmen, geben wohl eine gewisse Wahrscheinlichkeit, mathematisch läßt sich aber das Problem nicht einwandfrei lösen. Es bleibt also nichts übrig, als diese Temperaturen zu messen, d. h. eine Sonde zu konstruieren, die nicht dem Trainageeffekt unterliegt. Ich erhielt zu dieser Arbeit den Auftrag und die unumschränkte Unterstützung unseres Direktors Herrn Dr. *Lugeon*.

Für das Thermometer dieser Sonde müssen folgende Bedingungen erfüllt sein:

1. Das Thermometer soll eine möglichst kleine Masse besitzen, d. h. sehr trägheitslos sein.
2. Das Thermometer darf nicht von andern thermisch wirksamen Massen umgeben sein (Strahlschutz, Sondengestell usw.), die es nachteilig beeinflussen.

Die Bedingung 1 wird von Thermoelementen und Widerstandsthermometern erfüllt. Sicher ist schon oft daran gedacht worden, diese bekannten Methoden auf Radiosonden zu verwenden. Die Ausführung scheiterte aber an der praktischen Durchführung. Um die relativ kleinen Ströme zu messen, sind entsprechende Instrumente (Galvanometer, Milliampèremeter) notwendig. Speziell bei unserer Dienstsonde bei der ein rotierender Uhrzeiger abwechslungsweise mechanischen Kontakt mit den Barometer-, Thermometer- und Hygrometerzeigern herstellt, ist die Verwendung eines solchen Instrumentes ausgeschlossen. Erst dank der Idee unseres Technikers *M. Bohnenblust* [2], eine kontaktlose Sonde zu konstruieren, ist es nun möglich geworden, mit dem Widerstandsdraht Temperaturen zu messen. Es ist zu beachten, daß die Sonde unter dem Ballon öfters Pendelbewegungen ausführt. Das Strommeßinstrument muß deshalb eine große Dämpfung besitzen. Dementsprechend mußte auf die Verwendung von Thermoelementen vorläufig verzichtet werden.

Für uns gilt es in erster Linie rasch eine Sonde zur Hand zu haben, die die Streitfrage von großem wissenschaftlichem Interesse einwandfrei beantwortet, ohne daß wir zuviel Zeit mit Kostenpunktfragen usw. verlieren. Sollte sich die Sonde bewähren, so stehen verschiedene Möglichkeiten offen, diese Konstruktion für den täglichen aerologischen Betrieb umzubauen.

Die Verwendung eines Widerstandsthermometers erfüllt aber auch die Bedingung 2. Der Meßdraht kann weit von den übrigen Teilen der Sonde die in einem Gehäuse konzentriert sind, wegverlegt werden, so daß der Trainageeffekt nicht in Frage kommt. Nach Messungen von Vaisaila spielt die Einstrahlung auf Drähte, die einen gewissen Durchmesser unterschreiten, keine Rolle mehr. Der Strahlschutz ist deshalb überflüssig. Unsere ersten Sondierungen werden zudem nachts durchgeführt werden, um allen Einwänden zu begegnen.

Zur Temperaturmessung wird eine Kompensationsschaltung verwendet, damit erstens nicht der Gesamtstrom, sondern nur die Stromänderung gemessen wird und zweitens die Stromänderung direkt proportional der Temperaturänderung ist, d. h. die Eichkurve eine Gerade wird.

Der erste Punkt ist wichtig, damit wir den ganzen Bereich des Instrumentes ausnützen können; noch wichtiger ist aber die zweite Bedingung. Die Eichung wird gewaltig erleichtert. Normalerweise werden unsere Sonden bis etwa —60° geeicht. Mit der neuen Sonde wollen wir aber eventuelle Temperaturen bis —100° messen. Das bedeutet aber eine große Mehrarbeit und Mehrkosten. Es kann sich also nur darum handeln, die theoretisch abgeleitete Geradlinigkeit mehrmals praktisch zu verifizieren, um nachher nur noch die Neigung der Geraden durch Eichung zu bestimmen. Verwenden wir die gleiche Meßdrahtart mit dem gleichen Widerstand (gleiche Länge) bei einer bestimmten Temperatur, so wird auch das nicht mehr notwendig sein. Die Bestimmung eines Punktes der Eichlinie genügt dann, d. h. die Eichung wird überflüssig, abgesehen von einigen Kontrollen.

Es ist noch zu erwähnen, daß Zentrum des Instrumentenzeigers und Zentrum des Uhrwerkzeigers übereinstimmen, so daß auch der mechanische Aufbau die Geradlinigkeit garantiert.

Aus diesen Gründen wählte ich folgende Schaltung:

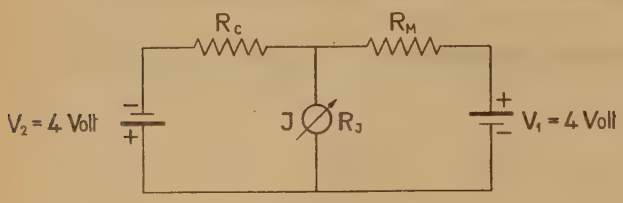

Fig. 1.

R_C = konstanter Widerstand (Konstanten) 590 Ω
R_M = Meßwiderstand (Eisendraht) 590 Ω bei +20°
J = Milliampèremeter (0—2 mAmp.)
R_J = Instrumentenwiderstand 55 Ω

Der Strom i, der durch das Instrument fließt, beträgt:

$$i = \frac{V_1 (1 + \alpha t) - V_2}{R_C + R_J (2 + \alpha t)}$$

bei $V_1 = V_2 = V$ $\quad i = \dfrac{V \alpha t}{R_C + R_J (2 + \alpha t)}$

α = Temperaturkoeffizient des Meßdrahtes = $0{,}23 \cdot 10^{-2}$
$t = T_0 - T$ $\quad T_0$ = Ausgangtemperatur am Boden.

Zeichnen wir den Strom als Funktion von t auf, so sehen wir, daß das praktisch eine Gerade ergibt, denn $\dfrac{V \alpha t}{R_C + 2 R_J}$ ist genau eine Gerade und das mit der Temperatur variable Glied $R_J \cdot \alpha \cdot t$ im Nenner verkleinert praktisch nur die Neigung der Geraden im in Frage kommenden Bereich von +20 bis —100°. Falls die Spannungen nicht genau gleich sind, aber die Spannungsdifferenz konstant bleibt, so ändert dass die Geradlinigkeit nicht. Es tritt nur eine Parallelverschiebung der Geraden auf.

Um Zeit zu sparen, mußte ein handelsübliches Instrument verwendet werden. Es wurde ein 2 Milliampèremeter der Firma Ema AG. in Uster gewählt, das sich in den Laboratoriumsversuchen sehr gut bewährte. Einerseits besitzt es eine relativ hohe Dämpfung, anderseits ist der Innenwiderstand noch genügend klein. Sollte die neue Sonde für Serienfabrikation in Frage kommen, so müßte die Dämpfung noch weiter erhöht werden und das Gewicht verkleinert werden unter Berücksichtigung des Kostenpunktes.

Diese Schaltung wurde nun in vielen Versuchen im Caisson geprüft.

1. Wie aus der Arbeit von *M. Bohnenblust* zu ersehen ist, besitzen Instrumenten- und Uhrzeiger beim Durchgang einen bestimmten Abstand. (Abstand zweier Platten, die als Kapazität wirken und beim Durchgang eine Verstimmung des Senders hervorrufen, was das Aussetzen des Empfanges am Boden bewirkt.) Da der Abstand konstant bleiben muß, war eine mechanische Konstruktion vonnöten, die durch die großen Temperaturunterschiede nicht beeinflußt wird. Das Problem wurde durch *M. Bohnenblust* sehr schön gelöst. Der praktische Versuch ergab, daß die Sonde bei allen Temperaturen einwandfrei arbeitet. Distanzversuche auf 10 bis 20 km Entfernung verliefen ebenfalls sehr günstig. Die Größe der Empfangsfeldstärke hat keinen Einfluß auf unsere Schreibgeräte dank einer speziellen Schaltung des Bodenempfängers.

2. Es ist sehr wichtig, Daß R_C wirklich temperaturunabhängig ist. Um das zu prüfen, wurde R_C an Stelle des Meßdrahtes in die Schaltung eingefügt. Dieser Konstantandraht wurde nun allein im Caisson auf —60° abgekühlt, während die sämtlichen andern Schaltungselemente im Zimmer bei konstanter Temperatur verblieben. Die Registrierung zeigte praktisch keine Widerstandsänderung. Im praktischen Falle ist dieser Draht im Sondengehäuse untergebracht, das zudem noch geheizt wird, so daß der Draht nie diesem Temperaturunterschied ausgesetzt ist.

3. Das Instrument wurde allein in den Caisson gebracht. Spannungen und Ströme wurden ständig überwacht. Es ergab sich, daß die Temperaturunterschiede bei dieser Schaltung keinen Einfluß auf die Instrumentenanzeige ausüben. Im übrigen gilt die gleiche Bemerkung wie für Punkt 2.

4. Schwieriger war das Problem, die Akkumulatorenspannungen konstant zu halten. Ursprünglich hatte ich vorgesehen, mit einem Voltmeter noch zusätzlich zum Ampèremeter die Spannungen zu messen, was wohl die einwandfreieste Methode wäre. Die Sonde wäre aber dadurch zu schwer geworden. Sollten aber für eine Serienfabrikation leichtere und kleinere Instrumente entwickelt werden, so böte das keine Schwierigkeiten. Es besteht auch die Möglichkeit, durch ein Relais das Ampèremeter abwechslungsweise vom ersten auf ein zweites Meßsystem umzuschalten, wobei dann die Spannung gemessen wird.

Es wurden Versuche mit kleinen Akkumulatoren verschiedener Firmen durchgeführt. Am besten eigneten sich diejenigen der Firma Joh. Göldi, Rüthi (Rheintal). Sie wiegen nur 33 Gramm bei einer Spannung von 2 Volt. Unser Meßstrom beträgt 7 bis 10 mAmp. Bei dieser Stromentnahme sinkt die Spannung nach zwei Stunden maximal um 0,01 Volt. Das würde bei —80° einen Fehler von 0,5° bedeuten.

Schwieriger ist es, den Spannungsabfall infolge Kälte auszuschalten. Da der Meßdraht durch die Wärmekapazität der Sonde nicht beeinflußt wird, wurde versucht, einerseits die Akkumulatoren thermisch zu isolieren, anderseits zusätzlich zu heizen.

Sämtliche Akkumulatoren wurden mit Seide und Watte isoliert. Die 4 Meßakkumulatoren wurden zusätzlich mit 3 parallelgeschalteten Akkumulatoren bei einem Heizstrom von 450 mAmp. geheizt. Als zusätzliche Heizung wirkt weiter die Erwärmung der Senderöhre. Bei

einer ständigen Stromentnahme von 20 mAmp., was das Doppelte der benötigten Menge ist, erhielten wir folgende Resultate:

Zeit	Temperatur	Spannung	max. Fehler in Grad
0	+20	2,05	0
45	—55	2,05	0
55	—58	2,04	0,5
65	—58	2,03	1,0
90	—58	2,02	1,5
120	—58	2,015	1,75

Gesamtanordnung. Sonde.

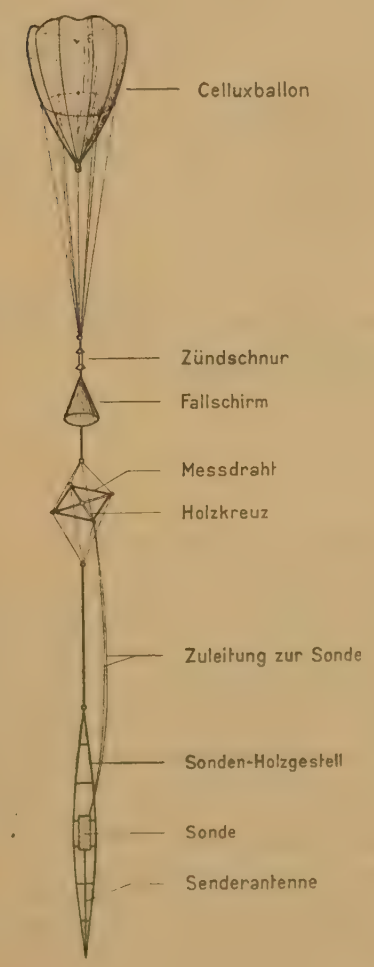

Fig. 2.

Bei einer minimalen Anfangssteiggeschwindigkeit von 200 m/min. und in Anbetracht unserer Erfahrung mit Celluxballonen, die ab 8 km Höhe stark zunehmende Steiggeschwindigkeit haben, ist die praktische Dauer eines Aufstieges auf 20 km etwa 80 min.

Um ganz sicher zu gehen, wird das ganze Sondengehäuse nochmals in einem Celluxsack, gefüllt mit Isoliermaterial, eingebettet.

5. Eichung.

a) Der Meßdraht allein befindet sich im Caisson. Als Resultat ergibt sich eine einwandfreie geradlinige Eichkurve.

b) Sonde und Meßsystem im Caisson. Akkumulatoren außerhalb. Resultat: Identische Eichkurve.

c) Gesamtes Sondensystem im Caisson. Resultat: bei tiefen Temperaturen (—80°) eine Abweichung von 1°.

Da bei uns das Caissonthermometer[3] ebenfalls ein Widerstandsthermometer ist, wirkt sich die Verwendung eines gleichartigen Thermometers auf der Sonde sehr vorteilhaft aus. Meß- und das zu eichende Thermometer besitzen praktisch den gleichen Trägheitskoeffizienten. Die Eichung in Temperaturstufen, die wir bisher infolge der großen Trägheitsunterschiede zwischen Bimetall und Widerstandsthermometer durchzuführen genötigt waren, fällt weg.

6. Barometer.

Es wurde die gleiche Aneroiddose verwendet, die sich auf unsern für den täglichen aerologischen Dienst gebrauchten Sonden sehr bewährt hat. Die Genauigkeit, die im wesentlichen eine Ablesegenauigkeit ist, beträgt ±1—2 mb. Zufolge technischer Schwierigkeiten konnte das Barometersystem nicht so angeordnet werden, daß die Eichkurve eine Gerade ergibt. Sie besitzt eine leichte Krümmung. Das spielt aber keine große Rolle, da die

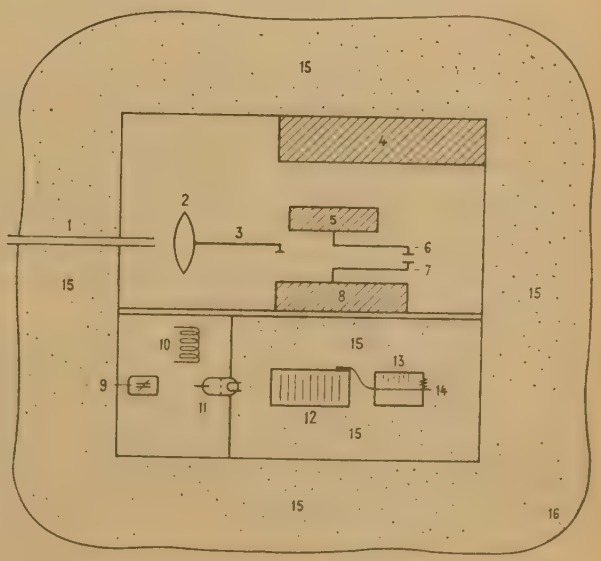

Fig. 3.

1	Luftkanal	9	Senderkapazität
2	Aneroiddose	10	Senderspule
3	Barometerzeiger	11	Senderöhre
4	Senderanodenbatterie	12	Heizbatterien
5	Ampèremeter	13	Meßakkumulatoren
6	Instrumentenzeiger	14	Heizdraht
7	Rotierender Uhrzeiger	15	Isoliermaterial
8	Uhrwerk	16	Celluxsack

Barometereichung bei unserem Caissonsystem[3] sehr leicht und einwandfrei durchzuführen ist.

7. Hygrometer.

Auf die Feuchigkeitsmessung auf dieser Sonde wurde vorläufig verzichtet, da leider noch kein einwandfrei arbeitendes Hygrometer existiert. Der Hauptzweck dieser Sonde ist ja, vorläufig die Temperaturen genau zu messen.

Es wird darauf geachtet, daß der Abstand zwischen Ballon und Meßdraht genügend groß ist; ebenfalls der Abstand zwischen Meßdraht und Sonde. Vom Meßdraht führen zwei Konstantandrähte sehr kleinen Widerstandes als Zuleitung zur Sonde. Das ganze Sondensystem besitzt ein Gewicht von maximal 1800 gr.

Ich nehme die Gelegenheit wahr, Herrn Direktor Dr. *Lugeon* für den schönen Auftrag und die großartige Unterstützung zu danken.

Unserem Techniker *M. Bohnenblust* gilt mein besonderer Dank. Ohne seine Konstruktion der kontaktlosen Sonde und der praktischen mechanischen Konstruktion wäre die Lösung des Problems unmöglich gewesen.

Literatur.

[1] J. Lugeon et P. Ackermann: *Le rôle du support des thermomètres dans les mesures stratosphériques ou le trainage thermique.* Annalen der Schweizerischen Meteorologischen Zentralanstalt 1943.

J. Lugeon et P. Ackermann: *L'invraisemblable stratosphère d'après nos mesures du trainage thermiques de nombreux météorographes.* Annalen der Schweizerischen Meteorologischen Zentralanstalt 1944.

P. Ackermann: *Verfälschung der Temperaturangaben von Radiosonden durch den Strahlenschutz.* Annalen der Schweizerischen Meteorologischen Zentralanstalt 1942.

[2] M. Bohnenblust: *Neuartige kontaktlose Signalübertragung bei Radiosondierungen.* Annalen der Schweizerischen Meteorologischen Zentralanstalt 1942.

[3] J. Lugeon: *Le Poste Aérologique de la Station centrale de Météorologie à Payerne et les nouvelles méthodes suisses de radiosondage.* Annalen der Schweizerischen Meteorologischen Zentralanstalt 1941.

Zur Frage des Unterschiedes von Temperaturangaben zwischen Radiosonden und Bodenstationen auf gleicher Höhe

von

Paul Ackermann, Payerne

Durch die Arbeiten über den Trainageeffekt ist gezeigt worden, daß je trägheitsloser die Instrumente sind, um so stärker sie diesem Effekt unterworfen sind.

Ein Stationsthermometer besitzt aber in bezug auf die Massen der Umgebung einen relativ kleinen Trägheitskoeffizienten. Diese großen Massen (Hütte, Hauswände, Erdboden, Bergwände usw.) bewirken einen Trainageeffekt als ersten Grund der Abweichung von der Temperatur der freien Atmosphäre.

Der zweite Grund liegt in der Wasserkondensation auf dem Stationsthermometer. In Payerne machte ich folgende Beobachtungen: Die Temperaturangaben der geeichten Sondenthermometer vor dem Start am Boden weichen öfters um mehrere Grad von derjenigen des Quecksilberthermometers in der englischen Hütte ab, und zwar zeigt das Hüttenthermometer meistens eine niedere Temperatur an.

Die Erklärung ist folgende:

Am frühen Morgen setzt sich auf diesem Thermometer Tau nieder. Steigt nun die Temperatur der Luft, so wird diese größere Wärmemenge zuerst zur Verdunstung auf dem Hg-Thermometer gebraucht (Verdunstungskälte). Das Thermometer zeigt eine zu tiefe Temperatur an. Ich habe nun mehrmals in diesem Falle die Feuchtigkeit auf dem Thermometer mit einem Lappen weggewischt. Die Temperatur stieg sofort sprunghaft. Eine Kontrolle nach 10 Minuten ergab eine um 1 bis 3 Grad höhere Temperatur, die viel besser mit der Sondentemperaturangabe übereinstimmte.

Da die Bergstationen meines Wissens diese Prozedur nicht vornehmen, können die Abweichungen wohl in vielen Fällen dadurch erklärt werden.

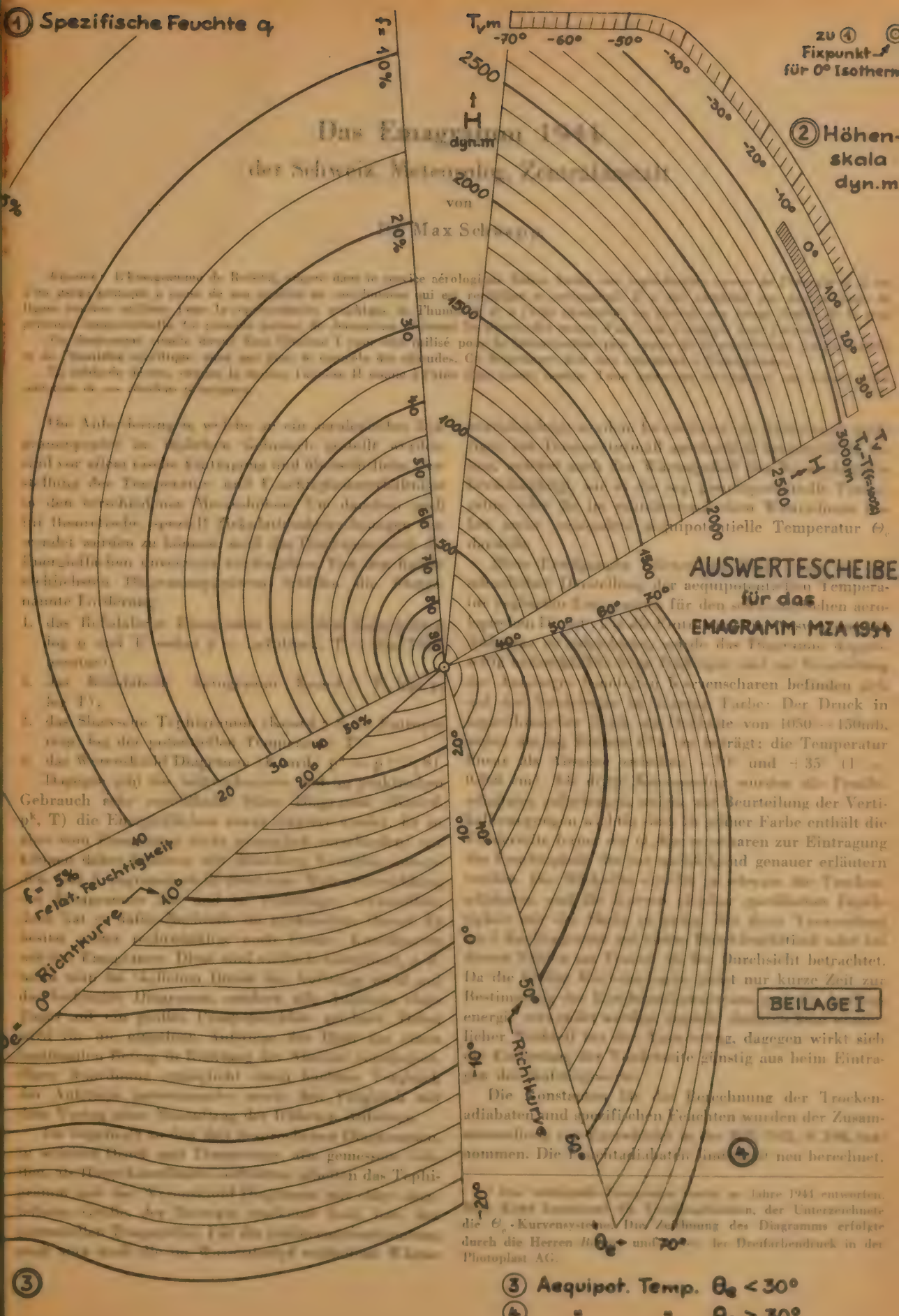

④ Aequipot. Temp. θ_e < 30°

④ " " θ_e > 30°

BEILAGE I

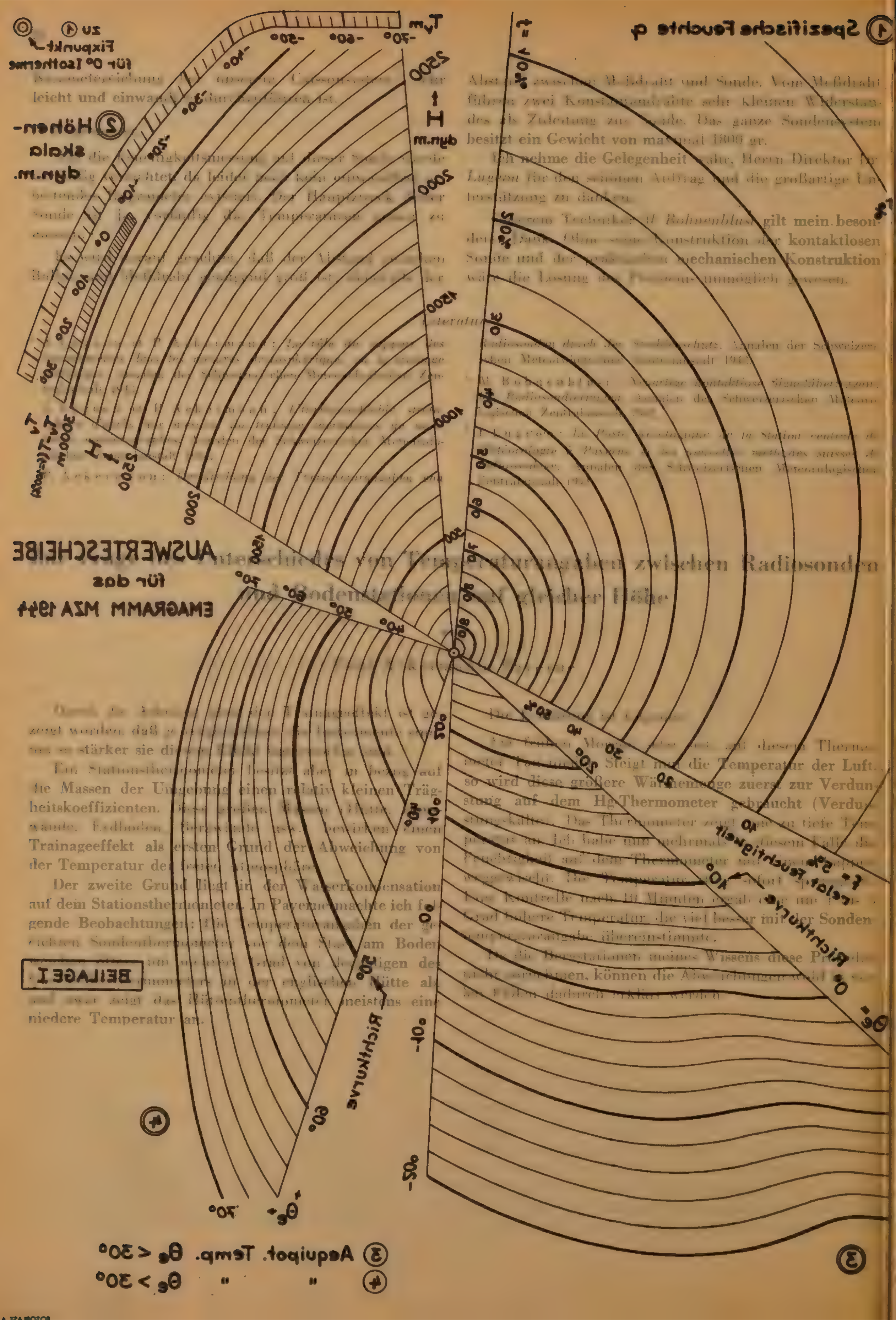

① Spezifische Feuchte q
② Höhen-skala dyn.m.
zu ④ Fixpunkt für 0° Isotherme
H dyn.m
AUSWERTESCHEIBE für das EMAGRAMM MZA 1954
Richtkurve
f = 5% relat. Feuchtigkeit
BEILAGE I
③ Aequipot. Temp. θe < 30°
④ " " θe > 30°

Das Emagramm 1944

der Schweiz. Meteorolog. Zentralanstalt

von

Dr. Max Schüepp.

Résumé: L'Emagramme de Refsdal, adpoté dans le service aérologique Suisse donne une reproduction exacte de l'énergie et il est d'un usage pratique à cause de son système de coordonnées qui est rectiligne et orthogonal. Il a été complété par des systèmes de lignes courbes utilisées pour la représentation graphique de l'humidité et à l'aide desquelles on obtient une image simple de la température équipotentielle. Ce procédé permet de déterminer aisément les limites des masses d'air (voir l'exemple dans l'annexe II).

Un diagramme simple donné dans l'annexe I peut être utilisé pour la détermination plus exacte de la température équipotentielle et de l'humidité spécifique, ainsi que pour le contrôle des altitudes. Ce diagramme doit être superposé à l'emagramme.

La méthode décrite, comme le montre l'annexe II donne à l'aide d'un report unique d'une ascension aérologique une bonne représentation de ses résultats principaux.

Die Anforderungen, welche an ein aerologisches Diagrammpapier im täglichen Gebrauch gestellt werden, sind vor allem rasche Eintragung und übersichtliche Darstellung der Temperatur- und Feuchtigkeitsverhältnisse in den verschiedenen Meereshöhen. Um daneben auch für theoretische, speziell Zirkulationsbetrachtungen verwendet werden zu können, muß das Diagramm auch die Energieflächen unverzerrt wiedergeben. Von den hauptsächlichsten Diagrammpapieren erfüllen die letztgenannte Forderung:

1. das Refsdalsche Emagramm (mit den Koordinaten log p und T, wobei p = Luftdruck, T = abs. Temperatur);
2. das Refsdalsche Aerogramm Koord.: T log p, log T);
3. das Shawsche Tephigramm (Koord.: S = Entropie resp. log der potentiellen Temperatur, T);
4. das Werenskiold Diagramm (Koord.: $p^k = p^{0,287}$, S).

Dagegen gibt das weitverbreitete und im praktischen Gebrauch sehr vorteilhafte Stüve Diagramm (Koord. p^k, T) die Energieflächen etwas verzerrt wieder. Es ist aber vom Emagramm nicht wesentlich verschieden; wir können daher letzteres mit denselben Vorteilen anwenden. Das Aerogramm stellt zwar eine Weiterentwicklung des Emagramms dar und ist vielseitiger verwendbar, doch hat es dafür Nachteile im praktischen Dienst. Es besitzt weder rechtwinklige noch lineare Koordinaten wie das Emagramm. Diese sind vielfach vorteilhaft, z. B. wenn man im täglichen Dienst die Aufstiege nicht auf das bedruckte Diagramm, sondern alle Aufstiege eines Tages auf ein großes Pauspapierblatt zeichnet. Dabei wird für die einzelnen Aufstiege das Blatt um einen bestimmten Betrag in Richtung der Abszisse verschoben. Diese Anordnung ermöglicht einen leichten Vergleich der Aufstiege untereinander sowie den Vergleich mit dem Vortag ohne Neuauftrag der früheren Aufstiege.

Im Gegensatz zu den drei besprochenen Diagrammen, in welchen Druck und Temperatur, also gemessene Größen, als Hauptkoordinaten auftreten, arbeiten das Tephigramm und das Werenskiold Diagramm mit einer abgeleiteten Größe, der Entropie trockener Luft, bzw. der potentiellen Temperatur. Für die Luftmassenbestimmung muß aber auch die im Wasserdampf enthaltene Wärme berücksichtigt werden. Es erscheint uns daher noch wichtiger, ein Temperaturmaß anschaulich dargestellt zu haben, welches auch den Wärmegehalt des Wasserdampfes berücksichtigt, wie es die sog. pseudopotentielle Temperatur, oder die im mitteleuropäischen Wetterdienst bisher meist verwendete aequipotentielle Temperatur Θ_e darstellt.

Diese Erwägungen führten zur Wahl eines zur anschaulichen Darstellung der aequipotentiellen Temperatur ergänzten Emagramms für den schweizerischen aerologischen Dienst[1]. Um die Eintragung und Auswertung der Aufstiege zu erleichtern, wurde das Diagramm doppelseitig bedruckt. Die beim Eintragen und zur Beurteilung des Aufstieges benötigten Kurvenscharen befinden sich auf der Vorderseite in brauner Farbe: Der Druck in logarithmischer Skala als Ordinate von 1050 — 150mb, wobei die log Einheit 67,4 cm beträgt; die Temperatur linear als Abszisse zwischen —70° und +35° (1° = 0,366 cm). Als dritte Kurvenschar wurden die Feuchtadiabaten aufgetragen, welche zur Beurteilung der Vertikalbewegungen wichtig sind. In grüner Farbe enthält die Vorderseite ferner die Θ_e-Kurvenscharen zur Eintragung der Feuchtigkeit, die wir nachfolgend genauer erläutern werden. Die Rückseite enthält in schwarz die Trockenadiabaten und die Kurven gleicher spezifischer Feuchtigkeit mit der Skala in gr/kg. Bei ihrer Verwendung wird das Diagramm auf einem Durchleuchttisch oder bei dessen Fehlen am Fenster in der Durchsicht betrachtet. Da die beiden Kurvenscharen meist nur kurze Zeit zur Bestimmung des Kondensationsniveaus und der Auslöseenergie verwendet werden, entsteht dadurch kein wesentlicher Nachteil bei der Auswertung, dagegen wirkt sich die Entlastung der Vorderseite günstig aus beim Eintragen der Aufstiegswerte.

Die Konstanten für die Berechnung der Trockenadiabaten und spezifischen Feuchten wurden der Zusammenstellung von Egersdörfer in der MZ. 1942, S. 266, entnommen. Die Feuchtadiabaten sind nicht neu berechnet,

[1] Das vorliegende Emagramm wurde im Jahre 1944 entworfen. Herr *Kuhn* berechnete die Trockenadiabaten, der Unterzeichnete die Θ_e-Kurvensysteme. Die Zeichnung des Diagramms erfolgte durch die Herren *Bohner* und *Meier*, der Dreifarbendruck in der Photoplast AG.

sondern die Temperaturdifferenz zwischen Trocken- und Feuchtadiabaten wurde aus dem Stüve Diagramm entnommen und ins Emagramm übertragen.

Eine Erweiterung des ursprünglichen Emagramms stellen die grünen Kurvenscharen dar. Diese drei Kurvensysteme dienen zur Eintragung der relativen Feuchtigkeit f [2]. Sie bestehen aus je 6 Kurven, welche mit den Feuchtigkeiten 0 %, 20 %, 40 %, 60 %, 80 % und 100 % beziffert sind. Wir wollen eine solche Gruppe der 6 Kurven ein Θ_e - Netz nennen. Um die Bedeutung der drei Netze zu verstehen, denken wir uns die relativen Feuchtigkeiten eines Aufstieges für die verschiedenen Luftdrucke in das mittlere Netz eingetragen (f-Kurve, vgl. Beilage II). Ferner stellen wir uns vor, daß zufälligerweise die gemessene Temperaturkurve, ebenfalls ins Diagramm eingetragen, mit der so aufgezeichneten f-Kurve zusammenfallen würde. Das Θ_e - Netz ist nun so konstruiert, daß in diesem Falle die äquipotentielle Temperatur Θ_e des ganzen Aufstieges 30° betragen würde. Hätten wir die Feuchtigkeit nicht im mittleren, sondern im linken Θ_e - Netz eingetragen, so würden wir bei derselben Annahme, also Zusammenfallen von Temperatur- und Feuchtigkeitskurve, eine äquipotentielle Temperatur $\Theta_e = 10°$ finden, im rechten Θ_e - Netz dagegen $\Theta_e = 50°$. Wir trachten also darnach, beim Eintragen der relativen Feuchtigkeit zugleich Angaben über die äquipotentielle Temperatur zu erhalten.

Die äquipotentielle Temperatur Θ_e ist bekanntlich eine Funktion des Druckes p, der Temperatur T und der (relativen) Feuchtigkeit f:

$$(1) \qquad \Theta_e = T_e \cdot \left(\frac{1000}{p}\right)^{0{,}2857}$$

dabei ist die sogenannte Äquivalenttemperatur T_e:

$$(2) \qquad T_e = T + \frac{r}{Cp} \cdot q$$

r = Verdampfungswärme des Wassers = f(T)
Cp = spezifische Wärme der Luft bei konstantem Druck
q = spezifische Feuchtigkeit

wobei

$$(3) \qquad q = \frac{0{,}622e}{p - 0{,}378e}$$

und

$$(4) \qquad e = \frac{f \cdot E}{100}$$

e = Dampfdruck
E = Sättigungsdruck des Wasserdampfes bei der Temperatur T = f(T)

Durch die drei Größen p, T und f ist also die äquipotentielle Temperatur Θ_e bestimmt. Für konstant gewähltes f können wir die Kurven für die verschiedenen Θ_e - Werte in unserem Diagramm, welches ja log p und T als Koordinaten aufweist, einzeichnen. Wir sehen aus der Definition sofort, daß für $f = 0$, $T_e = T$ wird und wir in diesem Fall die Trockenadiabaten als Θ_e - Kurven erhalten. Die drei im Diagramm grün eingezeichneten Kurven für $f = 0\,\%$ fallen daher mit den Trockenadiabaten 10, 30 und 50 auf der Rückseite des Diagrammes zusammen.

Bei den übrigen Feuchtigkeiten $f \neq 0$ erhalten wir bei gewähltem f ebenfalls Kurvenscharen für die verschiedenen Θ_e - Werte. Um die im Diagramm eingezeichneten Kurven für $\Theta_e = 10°$, $\Theta_e = 30°$ und $\Theta_e = 50°$ zu erhalten, müssen wir bei gegebenem p T so wählen, daß der Wert T_e auf die entsprechende Trockenadiabate zu liegen kommt. Diese Temperaturen wurden mit Hilfe der Tabellen für $T_e - T$ im meteorologischen Taschenbuch von Linke IV, S. 210, bestimmt. Die erhaltenen T-Werte für $f = 100\,\%$ und $\Theta = 10°$, 30°, 50° fallen dabei besonders bei tiefen Luftdrucken nahezu auf die Feuchtadiabaten 10, 30 und 50. Dies ist verständlich, da ja die Feuchtadiabaten für $f = 100\,\%$ Kurven gleicher pseudopotentieller Temperatur T_p sind und der Unterschied zwischen Θ_e und T_p nur klein ist.

Wenn wir die praktische Verwendung der Θ_e - Netze betrachten, so müssen wir bedenken, daß normalerweise abweichend von unserer gedanklichen Annahme die Temperaturkurve t nicht mit der Feuchtigkeitskurve zusammenfallen wird (Beilage II). Liegt die Temperaturkurve t rechts von der Feuchtigkeitskurve, so ist die äquipotentielle Temperatur höher, liegt sie links davon, ist sie tiefer als der Θ_e - Wert des verwendeten Netzes, und zwar um so mehr, je größer der horizontale Abstand der beiden Kurven ist. Dieser Abstand der t- und der f-Kurve gibt also ein Maß für Θ_e, welches anschaulich sofort dem Aufstieg zu entnehmen ist, ohne daß eine Berechnung notwendig wird. Wir können so sofort feststellen, ob im ganzen Aufstieg eine homogene Luftmasse vorhanden ist, dann laufen die beiden Kurven annähernd parallel. Sind dagegen verschiedene Luftkörper übereinander gelagert, so zeigt sich das sofort in größeren Änderungen im horizontalen Abstand von f und t. Es erübrigt sich daher eine Berechnung aller äquipotentiellen Temperaturen der Aufstiegspunkte; wir können uns auf die Bestimmung einzelner charakteristischer Werte beschränken. Ferner wird sich oft eine nochmalige zeitraubende Auftragung der Θ_e - Werte in einem speziellen Luftmassenpapier erübrigen.

Für die genaue, numerische Bestimmung der äquipotentiellen Temperatur läßt sich vorteilhaft die Kuhnsche Rechenscheibe verwenden, welche zugleich die spezifische Feuchtigkeit s liefert [3]. Die Berechnung läßt sich rasch und mit großer Näherung auch mit einer einfacheren, leicht konstruierbaren Auswertescheibe durchführen (Beilage I). Wie die drei Θ_e - Werte zeigen, ist der horizontale Abstand der Punkte $\Theta_e = 10$, 30 und 50, welche wir mit P_{10}, P_{30} und P_{50} bezeichnen wollen, für verschiedene Werte von p und f variabel und, ausgenommen für $f = 0$, die Skala nicht linear. Die Interpolationsskalen sind aber in großer Näherung für einen bestimmten Abstand $P_{10} - P_{30}$, bzw. $P_{30} - P_{50}$ dieselben, also nur eine Funktion dieses Abstandes. Wir können daher eine Scheibe herstellen, auf welcher im Teil (3) und (4) radial vom Mittelpunkt aus verschiedene Abstände $P_{10} - P_{30}$, bzw. $P_{30} - P_{50}$ mit den entsprechenden Interpolationsskalen aufgetragen sind (Beilage I). Den Mittelpunkt der Scheibe versehen wir mit einer kleinen Spitze. Diese wird zur Bestimmung der äquipotentiellen Temperatur am gewünschten Punkt auf

[2] Vgl. *M. Schüepp.* Eine Transformation des Stüveschen Adiabatenpapiers zur graphischen Bestimmung der äquipotentiellen Temperaturen. Beitr. zur Physik der freien Atmosphäre 24 (1938), S. 238—242.

[3] Vgl. *W. Kuhn.* Rechenscheibe für Zustandsgrößen feuchter Luft. Annalen MZA. 1941.

EMAGRAMM M.Z.A. 1944

Ort: Payerne

Datum: 25. III. 1944

Zeit: 07h55

Beilage II

t-Kurve

f-Kurve

P_{10} P_{30} P_t P_{50}

Kondensationsadiabate

xJ

absinkende Warmluft
(geringe relative Feuchtigkeit)
Θ_e mit der Höhe zunehmend (>28°)

Übergangszone
(Inversion)

Obergrenze der Kaltluft

Hochnebel

Kaltluft (Θ_e=21°) mit grosser relativer Feuchtigkeit
und instabiler Schichtung
(Hochnebelbildung)

Bodeninversion

×5

Labilitätsfläche L

R

Kondensationspunkt K

Auslösefläche A

49
44
0.5 41
0.8 36
1.5
2.1 28
2.4 20
3.4
21
3.7
4.8 21
4.0 13
q Θ_e

-60° -50° -40° -30° -20° -10° 0° 10° 20° 30°

150 mb 20 25 30 35 40 45 50 60 70 80 90 100

BEILAGE II

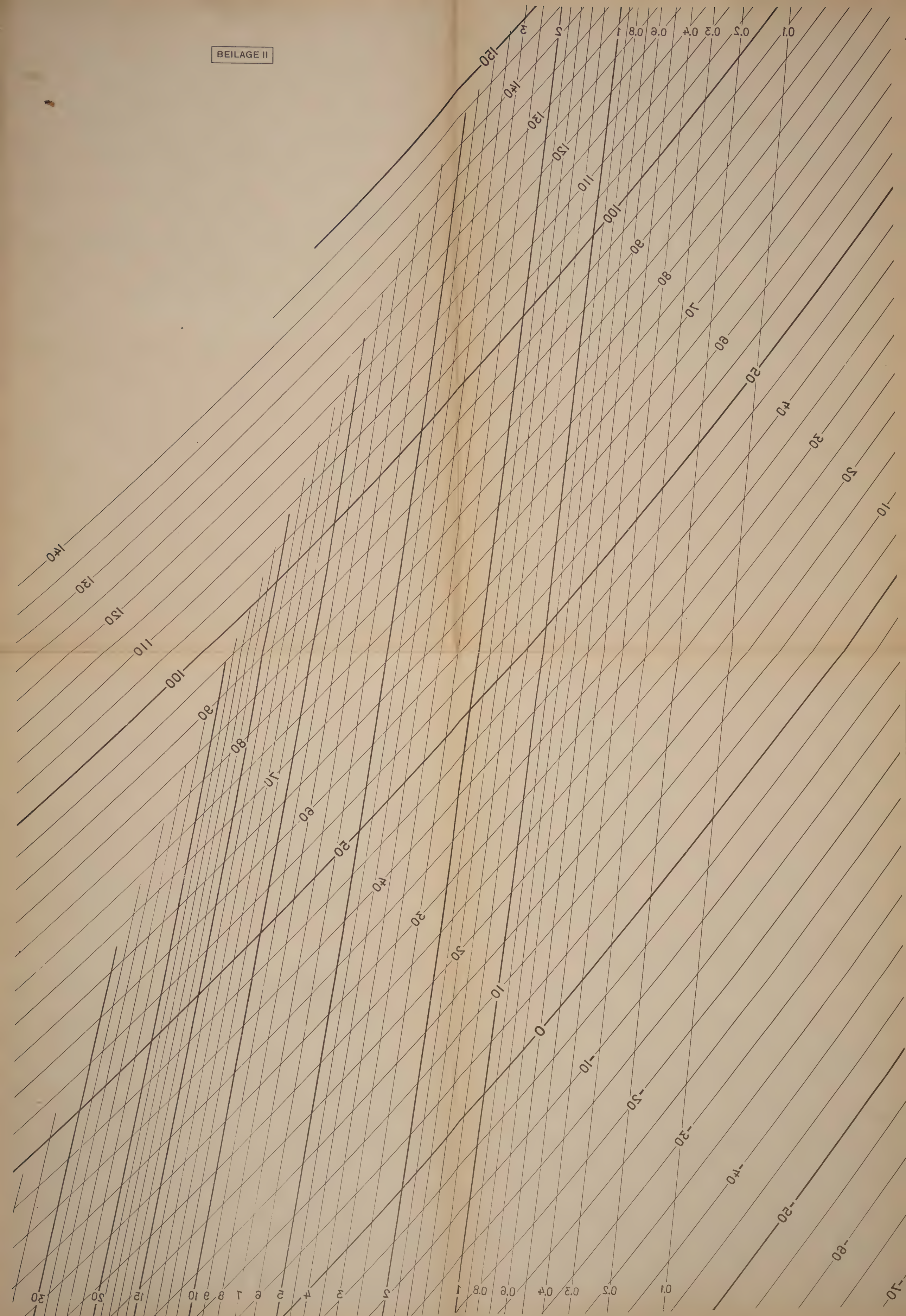
0.1
0.2
0.3
0.4
0.6
0.8
1
2
3
4
5
6
7
8
9
10
15
20
30
40
50
60
70
80
90
100
110
120
130
140
-10
-20
-30
-40
-50
-60
-70
0
10
20
30
40
50
60
70
80
90
100
110
120
130
140

die Feuchtekurve f aufgesetzt, z. B. auf P_{30} im Druckniveau 511 mb (Beilage II). Der Mittelpunkt der Scheibe entspricht dann $\Theta_e = 30°$. Nun wird die Scheibe gedreht, bis die Richtkurve für $\Theta_e = 50°$ der Scheibe auf den Punkt P_{50} im gleichen Druckniveau fällt und hierauf auf derselben Horizontalen im Punkt P_t der Temperaturkurve die äquipotentielle Temperatur abgelesen (im Beispiel $\Theta_e = 36°$). Ist Θ_e kleiner als 30°, so wird entsprechend die Richtkurve für $\Theta_e = 10°$ auf P_{10} gedreht. Die so erhaltenen Fehler in den Θ_e-Werten bleiben im praktisch vorkommenden Bereich unter $^1/_2°$, sind also belanglos, wenn man die Ungenauigkeit der Feuchtigkeitsmessung in Betracht zieht.

Die spezifische Feuchtigkeit q können wir mit mehreren Methoden bestimmen:

1. Mit der Kuhnschen Rechenscheibe;
2. aus den Kurven für s max. der Diagrammrückseite mit dem Rechenschieber;
3. mit der Methode von Refsdal, indem wir
   a) vom Punkt P_t (Druck p) bis zum Druck p_f (in mb) $= 10 \cdot f$ (in %) längs der Kurve gleicher spezifischer Feuchtigkeit und
   b) von dort isotherm bis zu p = 1000 mb gehen. In diesem Punkt können wir auf den Kurven der spezifischen Feuchtigkeit (Rückseite des Diagramms) den gesuchten Wert ablesen.
4. An Stelle dieser Methoden läßt sich mit dem Vorteil guter Kontrollmöglichkeit auch der Teil (1) unserer Auswertescheibe (Beilage I) verwenden.

Im Punkt P_t läßt sich mit den Kurven der Diagramm-Rückseite die spezifische Feuchtigkeit q max. für f = 100 % ablesen. Gehen wir auf der gleichen Isobare um die Strecke $\triangle T$ nach links, so erhalten wir auf den Kurven für s der Diagrammrückseite sukzessive die q-Werte für kleinere Werte von f. Wie aus der Gleichung (3) für q hervorgeht, sind mit sehr großer Näherung die Strecken $\triangle T$ für ein gegebenes f nur eine Funktion von T, nicht aber von p, da 0,378e gegenüber p sehr klein ist. Wir können diese Strecken daher auf unserer Scheibe für die verschiedenen f- und T-Werte auftragen. Die einzelnen Radien entsprechen bestimmten T-Werten. Für den Gebrauch brauchen wir nur die Scheibe im Punkt P_t der Temperaturkurve einzusetzen und sie zu drehen, bis der Fixpunkt auf die 0° Isotherme zu liegen kommt. Dann können wir auf der Horizontalen durch P_t bei der Kurve für f der Auswertescheibe die spezifische Feuchtigkeit auf den q-Kurven der Diagramm-Rückseite ablesen.

Auf die genaue Höhenberechnung wurde absichtlich verzichtet, da wir sie im praktischen Wetterdienst wenig brauchen. Vernünftigerweise wertet ja jedes Institut, welches aerologische Aufstiege durchführt, die Sondierungen vor der Ausstrahlung selbst aus. Dabei bestehen z. B. im Höhenintegrator von Lugeon [4] genauere Höhenintegriergeräte als sie ein kleines Diagrammpapier bietet. Zudem verkürzt diese sofortige Höhenauswertung und Übermittlung im internationalen Code die Arbeit von Dutzenden von Wetterdienststellen. Für die Kontrolle und Ausmerzung eventueller Übermittlungsfehler dient Teil (2) unserer Auswertescheibe. Darauf ist auf den einzelnen Radialstrahlen die Höhendifferenz H für verschiedene virtuelle Mitteltemperaturen T_{vm} einer Luftschicht aufgetragen:

$$H = C \cdot T_{vm} \cdot \triangle y$$

C = Konstante, entspr. der log p Skala

$\triangle y$ = Ordinatendifferenz der Punkte

Im Diagramm wurde die log p Skala so gewählt, daß für $\triangle y$ in cm und H bei Normalschwere in Metern der Faktor C = 1 ist. Ist der Höhenabstand zweier Aufstiegspunkte P_1 und P_2 in den Druckniveaux p_1 und p_2 zu bestimmen ($p_1 > p_2$), so setzen wir das Zentrum der Auswertescheibe beim Druck p_1 auf die P_1 nächstgelegene, runde Isotherme des Diagramms und drehen die Scheibe, bis die virtuelle Mitteltemperatur der Luftschicht (in der Skala am Rand) auf diese Isotherme zu liegen kommt. Dann lesen wir im Druckniveau p_2 die Höhendifferenz zwischen P_1 und P_2 in dyn. m ab.

Wir kennen nun alle Elemente für den fertigen Eintrag des Aufstieges ins Diagramm, wie ihn Beilage II zeigt. Neben den Punkten der mit Tinte ausgezogenen Temperaturlinie t werden vorteilhaft aus dem internationalen Code die Höhen in Hektometer notiert. Bei den Punkten der gestrichelt eingetragenen Feuchtelinie f stehen zur besseren Übersicht und als Grundlage für die Berechnung von Θ_e und q die relativen Feuchtigkeitswerte in %. Die Fläche zwischen den beiden Kurven, welche uns den Überblick über die Θ_e-Werte verschafft, ist rot oder blau getönt, je nachdem die t-Kurve rechts oder links der f-Kurve verläuft. In gelb ist die zwischen der f-Kurve und der 100 %-Linie des verwendeten Θ_e-Netzes liegende Fläche hervorgehoben.

Ferner sind die mit der Auswertescheibe für die einzelnen Höhenstufen berechneten Werte für Θ_e und q am linken Blattrand notiert. Die q-Werte gestatten in bekannter Weise den Kondensationspunkt K zu bestimmen. Er liegt da, wo die Temperaturkurve die den bodennahen q-Werten entsprechende Kurve der Diagrammrückseite schneidet. Die violetten Kurven durch K (Trockenadiabate nach unten, Feuchtadiabate nach oben) geben durch Ausplanimetrieren die Auslöseenergie (Fläche A) und die Stabilitäts-, bzw. Labilitätsenergie (Fläche L). Die planimetrierten Flächen entsprechen einer Energie von 268.10^3 Erg/gr pro cm^2 Flächengröße. Die für die Gewittervorhersage wichtigen Labilitätszonen werden mit Vorteil violett horizontal schraffiert.

Zur Darstellung der Änderungen seit dem Vortag können für die runden Tausenderstufen bei der Temperaturkurve Änderungspfeile eingetragen werden, rot bei Erwärmung, blau bei Abkühlung. Die Neigung dieser Pfeile veranschaulicht zugleich die Druckänderungen in diesen Niveaux (Beilage II). Zum Vergleich mit dem Sondenaufstieg sind gleichzeitige Beobachtungswerte von Bergobservatorien (Rigi, Säntis und Jungfraujoch) im Diagramm mit Kreuzen eingetragen.

Die beiden Beilagen mögen zeigen, daß sich mit dem ergänzten Emagramm 1944 der MZA. eine übersichtliche und zeitsparende Darstellung der wichtigsten aerologischen Aufstiegsergebnisse erzielen läßt.

[4] *J. Lugeon:* Höhenintegrator MZ. 1942, S. 12.

Recherches de technique pluviométrique, VII—IX

par

P.-L. Mercanton

VII. Comparaison de totalisateurs à la Grimsel

Nos essais au tunnel aérodynamique de l'Ecole polytechnique fédérale, en 1935, semblant prouver qu'en abaissant à quelque 13 centimètres au dessous de l'ouverture pluviométrique le bord supérieur de l'écran d'un totalisateur du modèle normal de la M.Z.A. (Modèle Maurer-Billwiller) on serrerait au plus près la condition de neutralité de l'ingin dans le vent, une vérification pratique s'imposait. A défaut du champ d'essais pluviométriques projeté à cette époque déjà mais non réalisé encore — il n'a pu l'être qu'en 1941, au Val de Joux — nous avons tenté de recueillir quelques données comparatives en doublant le totalisateur normal existant depuis longtemps sur le Nollen de la Grimsel d'un second engin à écran abaissé comme dit. Nos deux appareils se dressaient à trois mètres l'un de l'autre et à quarante m. du château d'eau sur l'ultime terrasse rocheuse, à la cote 1975 m, qui domine le lac de quelque 65 m. L'instrument No II, à écran abaissé, était à l'ouest de l'autre, un peu plus près du château. Le jeu des vents se fait là-haut en toute liberté mais, en raison du relief tourmenté du Nollen, avec une complexité qui nous éloigne fort de l'uniformité théorique comme de celle, expérimentale, de la soufflerie. En revanche on pouvait compter à la Grimsel sur deux facteurs essentiels: pléthore de précipitations, surtout neigeuses, et fréquence des relevés. Ceux-ci ont été faits par sondage cathétométrique quasi deux fois par mois par M. Imbaumgarten, préposé aux observations météorologiques de la station Grimsel par la Cie des Forces motrices de l'Oberhasli. Nous exprimons à la Compagnie et, en premier lieu, à l'observateur notre satisfaction reconnaissante pour le soin et la continuité apportés à une tâche pas toujours aisée.

Les essais ont débuté en novembre 1935. Leurs résultats furent d'emblée déconcertants: contrairement aux indications du tunnel aérodynamique ce fut le totalisateur à écran abaissé qui récolta le moins d'eau et de beaucoup! Cette inversion décevante de la différence escomptée se perpétua jusqu'à l'été de 1938 où l'on s'avisa[1]) que le totalisateur I, le premier en date à écran normal, présentait, de fabrication, une solution de continuité annulaire, séparant le réservoir cylindrique du tronc de cône porteur de l'ouverture pluviométrique. Ce divorce de quelque 1 centimètre de largeur provenait de ce que le tronc de cône coiffait en quelque sorte le récipient sans s'y appuyer. Son effet était pernicieux: le vent, remontant le long de la surface cylindrique du récipient s'engouffrait dans le cône par l'interstice, y entraînant pluie et neige, la neige surtout, et accroissant ainsi illicitement la quantité de précipitations récoltée. On eut tôt fait de corriger ce défaut par un calfatage serré avec de la corde de chanvre et du coup la situation changea du tout au tout. Il nous parut toutefois prudent, avant d'aller de l'avant, de voir si les deux engins rendus pareils se comporteraient identiquement. Il fallait pour cela ramener l'écran de II en position usuelle. On ne put le faire d'emblée complètement et de 1938 à 1939 le bord supérieur de l'écran demeura encore à environ 5 cm au dessous de l'ouverture pluviométrique. Ce n'est donc que depuis la saison chaude de 1939 qu'on put compter sur l'identité constructive des deux engins et sur leur comparabilité.

Le tableau ci-après résume, sous les rubriques successives A, B et C les résultats acquis durant les diverses phases de la recherche.

Comparaison des totalisateurs MZA I et II de la Grimsel

Epoques	I mm	II mm	Differ. II-I mm	Differ. II-I en % de [I + II]/2
A. Première période; totalisateur I avec intervalle cône-réservoir béant totalisateur II avec écran abaissé de 15 cm à puis remis à −5 cm (1937).				
27. XI. 1935 — 1. V. 1936	727.5	530	− 197.5	− 31
1. V. 1936 — 14. X. 1936	629.5	598	− 31.5	− 5
14. X. 1936 — 16. IV. 1937	1229	804.5	− 424.5	− 42
16. IV. 1937 — 13. X. 1937	776.5	697	− 79.5	− 11
13. X. 1937 — 15. IV. 1938	894.5	539.5	− 355	− 50
27. XI. 1935 — 15. IV. 1938	4259	3169	1088	− 28 %
B. Ecran abaissé de 5 cm, intervalle annulaire obturé.				
15. IV. 1938 — 30. IX. 1938	639	667.5	+ 28.5	+ 4.5
30. IX. 1938 — 17. IV. 1939	638	648	+ 10	+ 1.5
17. IV. 1939 — 26. IX. 1939	688.5	706.5	+ 18	+ 2.5
15. IV. 1938 — 26. IX. 1939	1965	2022	+ 56.5	+ 3.0 %
C. Ecran au niveau usuel; intervalle annulaire obturé.				
Périodes hivernales				
26. IX. 1939 — 16. IV. 1940	914.5	952	+ 37.5	+ 4
4. X. 1940 — 15. IV. 1941	718	776	+ 58	+ 7.5
1. X. 1941 — 15. IV. 1942	767	764.5	− 2.5	− 0.5
2. X. 1942 — 16. IV. 1943	944	962.5	+ 18.5	+ 2
5. X. 1943 — 5. IV. 1944	767	802	+ 35	+ 4.5
26. IX. 1939 — 5. IV. 1944	4110	4257	+147	+ 3.5 %
Périodes estivales				
16. IV. 1940 — 4. X. 1940	821	834	+ 13	+ 1.5
15. IV. 1941 — 1. X. 1941	649	687	+ 38	+ 5.5
15. IV. 1942 — 2. X. 1942	658.5	666.5	+ 8	+ 1.5
22. IV. 1943 — 5. X. 1943	659	667.5	+ 8.5	+ 3
16. IV. 1940 — 5. X. 1943	2788	2855	+ 67	+ 2.5 %
Période C entière				
26. IX. 1939 — 5. IV. 1944	6898	7112	+ 214	+ 3.0 %

[1] W. Jost, in litt.

A. L'influence fâcheuse de l'interstice condamné plus haut apparaît bien dans les chiffres présentés sous A: il y a en faveur de I, alors défectueux, un excès considérable, atteignant pour les hivers 1935/36, 1936/37 et 1937/38, 41 % en moyenne pourcentage calculé sur la hauteur moyenne des relevés des deux engins. Comme on pouvait bien s'y attendre l'écart s'atténue pour la saison chaude où il pleut surtout, la remontée des gouttes vers la fissure se faisant alors moins facilement; l'excès tombe alors à 8 %.

B. Dès l'obturation de la fissure, la situation change: non seulement l'excès de I sur II diminue beaucoup mais il se transforme en un déficit. A cette époque l'écran de II est encore à 5 cm sous l'ouverture pluviométrique. Fait plutôt inattendu et que je ne saurais expliquer, l'écart au profit de II est plus grand en saison pluvieuse qu'en saison neigeuse, par 3,5 à 1,5 % en moyenne, mais il ne s'agit ici que de deux hivers et d'un seul été. Ces derniers résultats, obtenus d'engins identiques en tous points et très rapprochés donnent vraiment à réfléchir: ils manifestent nettement par leurs divergences persistantes et non négligeables combien le relief accidenté du terrain alentour peut modifier la précipitation observée en deux points même très voisins. Comme on pouvait le présumer l'écart hivernal l'emporte un peu sur l'estival: sa moyenne pour les cinq périodes s'étendant de fin septembre à fin avril a été 3,5 %, (extrêmes — 0,5 et + 7,5 %) tandis que celle des quatre saisons chaudes intercalaires n'a atteint que 2,5 % (extrêmes 1,5 et 5,5 %). Pour l'ensemble des quatre et demi années II a recueilli en moyenne 3 % d'eau de plus que I.

Un tel écart eût rendu décidément bien aléatoire une tentative ultérieure de comparaison entre totalisateur usuel et engin à écran abaissé. Entretemps le projet de champ d'essais pluviométrique était venu à chef; c'est donc à la Vallée de Joux, Vers-chez-le-Maître, près du Sentier, que la comparaison s'est poursuivie, cette fois dans des conditions aussi correctes que possible.[1] On a là deux totalisateurs de même fabrication, l'un dont l'écran a son rebord supérieur au niveau de l'ouverture pluviométrique, l'autre avec ce rebord à 13 cm au dessous de la dite ouverture. Ils s'erigent à quelque 13 m l'un de l'autre en terrain plat étendu et dégagé, qui leur assure des conditions de ventilation identiques. Ils fonctionnent depuis fin avril 1941. Malheureusement les froids excessifs de janvier 1942 ont compromis les relevés cet hiver-là; ceux de l'année 1942/43 (du 30 X au 30 IX) permettent un premier jugement: réductions faites à la surface normale d'ouverture pluviométrique 200 cm² le totalisateur à écran abaissé a mesuré 1156 mm d'eau météorique tandis que l'autre en mesurait 1157. Concordance trop belle pour ne pas exiger sa preuve par de nouvelles observations, d'ailleurs en cours. Je dois remarquer toutefois qu'après la libération, en février 1942, par le dégel, du contenu des totalisateurs et la reprise des contrôles normaux l'écart entre les deux engins n'a été non plus que de 0,1 %, toujours au détriment du totalisateur à écran abaissé. Ceci ne saurait préjuger en rien d'ailleurs la question de savoir lequel des deux types d'instrument donne de la précipitation l'image la plus sincère. C'est précisément ce que le champ d'essais doit élucider par le moyen de ces genres divers de pluviomètres. Quoi qu'il en advienne nous voici déjà bien loin des écarts constés à la Grimsel et cela souligne, me semble-t-il, l'importance, gênante, de l'effet topographique en matière de pluviométrie.

[1] Cf. quant à ce champ et à son aménagement: Recherches de techniques pluviométriques V dans les Annales de la Station météorologique centrale suisse pour 1940. Zurich 1941.

M.Z.A. mai 1944.

VIII. Comparaison de fonctionnement d'un pluviototalisateur avec un pluviomètre normal

Un pluviototalisateur du modèle imaginé et élaboré par le susnommé à la Station centrale suisse de Météorologie pour le contrôle de la précipitation totale à intervalles de quelques semaines ou quelques mois[1]) a été placé dès 1940 dans le parc instrumental de la MZA, sur le même poteau et avec son ouverture au même niveau que le pluviomètre normal du type Hellmann. On est en droit d'admettre que le deux engins étaient soumis aux mêmes conditions de remplissage par les eaux météoriques, ayant d'ailleurs même ouverture de 2 décimètres carré. L'action du vent, qui seule eût pu contrarier l'égalité, était en cet endroit vraiment négligeable. Le pluviototalisateur avait reçu à demeure une charge complémentaire d'huile de vaseline pour y supprimer l'évaporation; en outre, durant les mois froids, une dose mesurée de chlorure de calcium s'opposait à la congélation du contenu tout en obligeant la neige à se liquéfier. Vidanges et remplissages ont été faits avec beaucoup de soin par M. Uttinger — que j'en remercie — tous les deux ou trois mois selon l'abondance des chutes d'eau observées durant la période (100—250 mm). Le contenu du pluviototalisateur, communément mesuré au tube gradué, l'a souvent aussi été par pesée, pour contrôle. J'ai calculé l'écart moyens des données du nouvel engin et du pluviomètre normal à vidange quotidienne et établi le pourcentage de cet écart par rapport à ce dernier engin.

Une première période, allant du 30 mars au 20 août 1942 en trois étapes, a manifesté un excès de 2,2 % en faveur du pluviototalisateur. Une deuxième période s'étendant, celle-ci, du 14 décembre 1942 au 7 novembre 1944 a fourni neuf valeurs du dit rapport dont la moyenne — en excès toujours — est 3,3 ± 0,2 %, avec des valeurs individuelles oscillant entre 0,2 et 7,5 %.

Cet excès permanent ne semble pas dépendre de la saison. A quoi faut-il l'attribuer? L'explication qui se présente le plus spontanément à l'esprit — M. Uttinger et l'auteur se rencontrent dans cette pensée — est qu'en réalité le chiffre démontre un déficit systématique du pluviomètre normal, causé par sa vidange quotidienne. De l'eau ne peut manquer de se perdre chaque fois par rétention due à la capillarité; à cette perte il convient d'ajouter celle, inévitable, d'évaporation, surtout par temps chaud et ensoleillé.

[1] Cf. Annales de la MZA pour 1937.

IX. Essais à la MZA du pluviomètre à écran en forme de poulie

Des deux pluviomètres de service quotidien du type à écran aérodynamique en forme de poulie imaginé et réalisé à la MZA par le susnommé,[1] l'un a pris place sur le champ d'essais du Sentier au Val de Joux, l'autre est demeuré à la MZA pour y être confronté, dans le parc instrumental, relativement abrité du vent, de la Station, avec le pluviomètre normal.

Il s'agissait en effet d'apprendre si, d'une part, le rejaillissement des gouttes de pluie s'écrasant sur la flasque annulaire supérieure de l'écran et, d'autre part, le balayage des flocons atterris sur ce même anneau ne fausseraient pas trop, par excès, les indications du pluviomètre qu'on voudrait protéger des effets du vent, risquant par la même de remplacer une erreur minime par une plus forte, inadmissible.

Les essais du Sentier ont fait si bien la preuve des inconvénients précités qu'on s'est ultérieurement résolu à supprimer là-bas, radicalement, les flasques annulaires horizontales de la poulie; le fonctionnement s'en est trouvé aussitôt amélioré, ce que nous exposerons en son temps. A la MZA on a essayé d'un autre moyen: la flasque supérieure a été recouverte d'un treillis métallique à maille d'un centimètre carré, tenu à un centimètre de sa surface. Dans notre idée ce dispositif devait, sinon supprimer entièrement, du moins atténuer beaucoup le rejaillissement fâcheux de la pluie et contrecarrer encore l'envol de flocons de neige vers l'ouverture pluviométrique. Nous n'avions d'ailleurs pas grande illusion sur l'efficacité de cette dernière action, le treillis ne pouvant manquer de s'empâter rapidement de neige.

[1] Cf. Annales de la MZA pour 1940.

Les comparaisons avec le pluviomètre normal de la MZA, faites à peu près chaque mois du 10 X 1941 au 31 VIII 1942 alors que l'engin n'était pas encore muni de ce treillis correcteur, ont manifesté un excès moyen de 10 % en faveur de l'écran en poulie. Je n'ai pas jugé utile de distinguer ici entre les saisons pluvieuse et neigeuse, la dernière étant d'ailleurs assez courte à Zurich.

Après que l'écran eût reçu sa garniture treillissée, soit dès octobre 1942 et jusqu'à fin décembre 1944, les comparaisons se sont poursuivies sans lacunes notables et il m'a paru dès lors intéressant de séparer les résultats de la saison chaude de ceux de la saison froide. On trouve ainsi que pour la période allant du premier mars au 31 octobre l'engin à écran en poulie a marqué un excès moyen de quelque 6 %; durant le reste de l'année cet excès s'est élevé à 7,5 %. La moyenne annuelle a été 6,5 %.

Ainsi donc le treillis sans être absolument inefficace, se montre néanmoins incapable de supprimer et même d'atténuer notablement les causes d'erreur signalées. Pour la neige on pourrait bien envisager de chauffer le treillis électriquement mais on risquerait d'introduire une nouvelle erreur: l'évaporation des flocons au voisinage de l'ouverture pluviométrique. Un tel chauffage n'est guère praticable — à quel prix! — que dans un véritable observatoire, non dans un quelconque poste pluviométrique. D'ailleurs les expériences faites là-dessus au champ d'essais du Sentier et qui se poursuivent encore sont fort peu prometteuses. Je le montrerai ultérieurement.

Les deux totalisateurs en concurrence sur le Nollen (Grimsel).
Cf. Recherches VII.

Le pluviototalisateur MZA, dernier modèle: hauteur totale 50 cm; ouverture 200 cm²; contenance équivalant à 400 mm de pluie.
Cf. Recherches VIII.

Die Nebel- und Hochnebelhäufigkeiten in Dübendorf in den Jahren 1938/1944

Zugleich Grundsätzliches über die Frage der Nebeltage

von Th. Zingg

Inhaltsübersicht

An Hand des Beobachtungsmaterials von Dübendorf wird die tages- und jahreszeitliche Nebelhäufigkeit dargestellt. Auf Grund des Diagramms und der vergleichenden Zählungen des gleichen Zeitraums in Zürich (MZA.) ergibt sich, daß die herkömmmlichen sogenannten Nebeltage ein falsches Bild der jährlichen Verteilung der Tage mit Nebel geben. Es wird vorgeschlagen, nur die Terminbeobachtungen zu benutzen.

Einleitung

Im Zusammenhang mit der Flugplatzfrage Dübendorf/Kloten wurden für das Glattal meteorologische Angaben verlangt, die in Ermangelung irgend welcher Arbeiten analoger Art zuerst ermittelt werden mußten. Die erhaltenen Angaben sind aber auch vom klimatischen Standpunkt von Interesse, handelt es sich doch meines Wissens um die erste ausführliche Arbeit in diesem Sinne für das Gebiet der Schweiz.

Das Beobachtungsmaterial

Als Beobachtungsmaterial wurden die synoptischen Beobachtungen der Termine 05 h (06 h) 08, 11, 14, 17, 19 h verwendet. Ferner dienten auch die stündlichen und teils halbstündlichen Beobachtungen zur Ergänzung des Materials. Ferner wurden alle Verschlechterungs- und Verbesserungsmeldungen des Flugwetterdienstes mitverwendet, so daß sich ein lückenloses Material über die ganze Tageszeit bearbeiten ließ. Der Zeitraum mußte auf die Jahre 1938 bis 1944 beschränkt werden, da vor 1938 die Beobachtungen nicht durchgehend ausgeführt wurden (teils keine Sonntagsdienste).

Ferner wurde die Abendbeobachtung um 19 h nur in den Sommermonaten ausgeführt, so daß für uns 17 h als Endtermin diente. Es stehen damit 31 200 Terminbeobachtungen zur Verfügung, die über die Nebelhäufigkeit ein genügendes Bild abgeben sollten.

Die Untersuchung erstreckte sich in erster Linie auf die tägliche, wie jahreszeitliche Verteilung der Nebel. Nebenbei ergab sich auch die Zahl der Nebeltage sowie der Tage, an denen der Nebel die ganze Zeit andauerte. Gleichzeitig wurden auch die Hochnebel mit den Höhen 0—50 m, 50—100 m und 100—200 m/Grund mit in die Untersuchung einbezogen.

Leider existiert für die Hochnebelhäufigkeit kein Vergleichsmaterial, weder von Zürich, noch von einer andern Station. Auch ein Vergleichsmaterial über die tageszeitliche Verteilung des Nebels fehlt bis zur Stunde.

Bei den Vergleichen mit dem Material von Zürich, das in den Annalen veröffentlicht ist, ergab sich, daß die Werte nicht miteinander verglichen werden können. Der Begriff Nebeltag ist zu wenig scharf umrissen und definiert, als daß damit Vergleiche mit andern Stationen durchgeführt werden könnten. Erst durch eine Vereinheitlichung des Begriffs Nebeltag, besser aber nur durch die Berücksichtigung gewisser Terminbeobachtungen können Vergleiche und klimatische Schlüsse gezogen werden.

Die Nebelverhältnisse in Dübendorf

Im Zeitraum 1938 bis 1944, der durch stündliche Beobachtungen belegt ist, traten von 31 200 Terminen an 1328 Terminen Nebel auf oder an 4,25 % der Beobachtungstermine. Im Laufe der sieben Jahre hat der Nebel im ganzen nur an 10 Tagen von 06 h bis 17 h ohne Unterbruch angedauert, das sind kaum 0,4 %. Diese 10 Tage beschränken sich auf die Monate Februar mit 2 Tagen und Dezember mit 8 Tagen. In der übrigen Zeit des Jahres sind keine Nebel von 6 h bis zum Abend zu erwarten.

Die Nebeltage sollen später im Zusammenhang mit den Beobachtungen von Zürich-MZA. besprochen werden.

Die stündliche Nebelhäufigkeit

Die Zahlentabelle wie die Isoplethendarstellung zeigen, daß nur in den Monaten Dezember und Februar zu jeder Tageszeit einmal Nebel erwartet werden kann. Anderseits ist es interessant zu sehen, daß sich in den frühen Morgenstunden zu jeder Jahreszeit einmal Nebel einstellen kann, aber in den Monaten Mai und Juni nicht auftreten muß. Die graphische wie die zahlenmäßige Darstellung zeigt, daß in den Frühlings- bis Herbstmonaten tagsüber kein Nebel auftritt. Es spricht das dafür, daß Mischungsnebel in der Niederung des Mittellandes höchstens in den Monaten November bis Februar auftreten.

Die tageszeitliche Verteilung kann nur im Zusammenhang mit der jahreszeitlichen Verteilung beurteilt werden. Eine generelle Aufstellung der Nebelhäufigkeiten innerhalb eines Jahres hat wenig Wert. Das Diagramm zeigt eindeutig, daß alle klimatologischen Beobachtungen

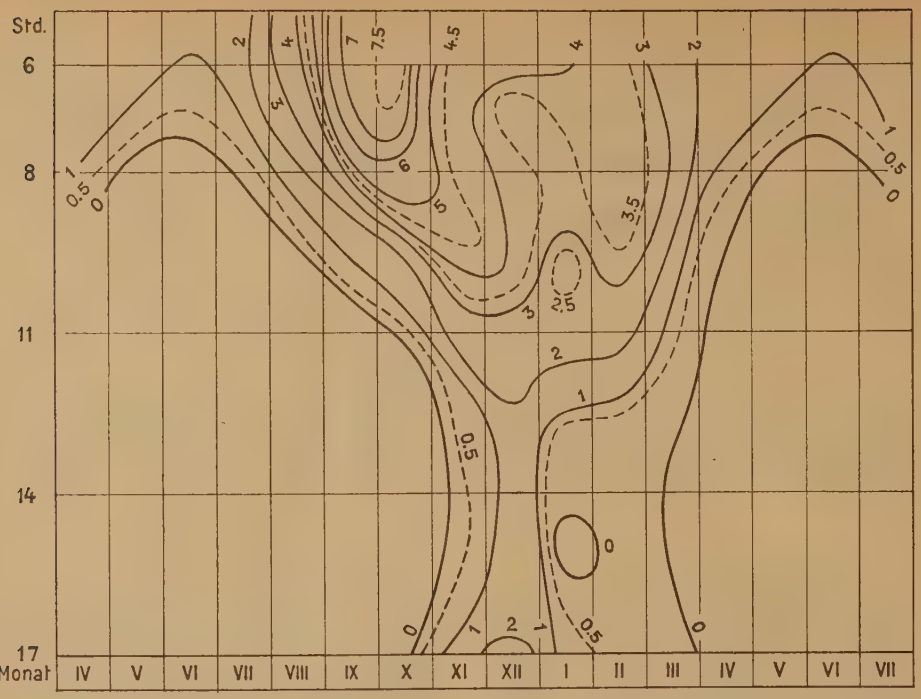

Isoplethen der Nebelhäufigkeit in Dübendorf 1938 / 1944

mit Beobachtungsbeginn um 07.30 h hinsichtlich der Nebeltage ein falsches Bild geben müssen. Einerseits fallen damit die sehr häufigen Frühnebel des Spätsommers und Herbstes nicht in die Aufstellung, zweitens wird damit den Tagesbeobachtungen des Winterhalbjahres ein zu großes Gewicht beigelegt, das die Häufigkeitskurve fälscht.

Der Vormittag zeigt jahreszeitlich zwei ausgesprochene Maxima der Nebelhäufigkeit, das eine im Herbst bis Spätherbst, das andere im Februar. Diese zwei Maxima kommen auch bei den Beobachtungen von 07.30 h der MZA. stark zur Geltung, ja sogar noch schärfer als in Dübendorf. Diese Beobachtung deckt sich mit der allgemeinen Erfahrung, nicht nur bei uns, sondern auch im übrigen Mitteleuropa. Ab 11 h vereinigen sich die beiden Maxima in ein breites von Oktober bis gegen März dauerndes. Aber bereits ab 12 h ist nur noch im Monat Dezember ein deutliches Maxima festzustellen.

Das Maximum der herbstlichen Morgennebel fällt auf den September/Oktober vor 07 h. An 7 Tagen kann um diese Zeit pro Monat Nebel erwartet werden. Gleichzeitig ist aber zu sagen, daß sich diese Nebel im September spätestens bis gegen 10 h auflösen, in der Mehrzahl aber schon um 8 h. Im Oktober verzögert sich die Zeit der Auflösung um etwa 1 Stunde. Diese Nebel gehen hin und wieder zuerst in einen tiefen Hochnebel über und lösen sich erst dann auf. Die dadurch erzielte Verzögerung dauert aber nicht länger als 1—2 Stunden. Bis zum kürzesten Tag verlagert sich das Maximum der Morgennebel von 6—7 h im September/Oktober auf 8—9 h im November und 9—10 h im Dezember. Es sind im Dezember im Durchschnitt nur noch an 3,5 bis 4 Tagen Nebel um diese Tageszeit zu erwarten.

Das zweite Maximum im Februar ist wesentlich anderer Natur. Während im Herbst der Abfall der Nebelhäufigkeit im Laufe des Vormittags schroff ist, erstreckt sich der Abfall auf die Zeit von 10 bis 13 h und es können Nebel auch über den ganzen Tag bestehen bleiben, oder doch nur vorübergehend aussetzen. Im Februar hängt die Bodennebelbildung sehr häufig von dem kalten und noch nassen Boden ab, so daß bei Aufheiterung einerseits und vor allem bei über den Boden streichender feuchter Warmluft durch Kondensation der nahezu gesättigten Luft Nebel zu jeder Tageszeit auftreten können.

Diese, man darf sagen, unregelmäßige Auflösung der Bodennebel im Februar kommt auch dadurch zum Ausdruck, daß es sehr schwer ist, um diese Jahreszeit den genauen Zeitpunkt des Weichens der Bodennebel vorauszusagen.

Das winterliche Minimum der Nebelbildung im Januar scheint mit der um diese Jahreszeit im allgemeinen herrschenden Schneedecke zusammenzuhängen. Entsprechende Untersuchungen dürften darüber einmal Aufschluß geben.

Die Frage der Nebeltage soll im Zusammenhang noch näher besprochen werden. Insbesondere sei auf das untenstehende Zahlenmaterial verwiesen. Berücksichtigen wir ausschließlich den Zeitraum zwischen der ersten und der letzten Beobachtung, so erhalten wir in bezug auf die Nebeltage in Dübendorf ein ausgesprochenes Maximum im September. Es besteht auch im Oktober nur ganz wenig verringert fort. Anschließend findet ein etwas unregelmäßiger Abfall bis in den April statt und eine gleiche Anzahl von Nebeltagen bleibt über die Sommermonate. Für die MZA. ergibt sich für den gleichen Zeitraum eine ausgeglichene Kurve mit Maximum im Dezember. Es handelt sich damit scheinbar um einen ganz andern klimatischen Typus, der eventuell durch die Hanglage erklärt werden könnte.

Zählt man aber von Dübendorf wie von der MZA. nur die Beobachtungen von 08 h, so zeigt sich, daß auch

an der MZA. zwei Maxima auftreten, die in Zürich noch ausgesprochener sind als in Dübendorf und auf den November und Februar fallen. Das Minimum fällt ebenfalls in den Januar. Wir haben also den gleichen Typ der Häufigkeiten vor uns wie in Dübendorf.

Tabelle der Nebeltage von Dübendorf.

Monat	1.	2.	3.	4.	5.	6.	7.	8.	9.	10.	11.	12.	
I	4.4	4.3	3.3	0.4			0.3	1.9	4.9	6.0	5.7	6.1	37.3
II	4.9	4.9	3.6	2.0	1.7	1.6	1.7	4.1	8.6	8.4	7.0	6.7	55.0
III	3.4	3.9	3.0	0.6			0.3	1.9	4.9	5.7	4.4	4.0	32.0
IV	229	238	123	39	18	13	29	93	213	268	274	317	185.4

I Zahl der mittleren Nebeltage (Nebel ab 8 h gerechnet).
II Zahl der Nebeltage (alle Beobachtungen berücksichtigt).
III Zahl der Tage mit Nebel um 8 h.
IV Zahl der Nebelstunden (Mittewert der 7 Jahre).

Tabelle der prozentualen Verteilung des Nebels in Dübendorf.

Kolonnen I, II, III und IV wie in obiger Tabelle.

Monat	1.	2.	3.	4.	5.	6.	7.	8.	9.	10.	11.	12.
I	11.9	11.5	8.8	1.1			0.8	5.0	13.0	16.1	15.3	16.5
II	8.8	8.8	6.5	3.6	3.1	2.8	3.6	7.5	15.6	15.3	12.7	12.2
III	10.7	12.0	9.4	1.8			0.9	5.8	15.2	17.9	13.8	12.4
IV	12.4	12.8	5.1	2.1	1.0	0.7	1.6	5.0	11.5	14.5	14.8	17.1

Tabelle der Nebeltage im Mittel der Jahre 1938/44 für MZA.

Kolonnenbezeichnung wie oben.

Monat	1.	2.	3.	4.	5.	6.	7.	8.	9.	10.	11.	12.	
II	5.1	4.1	2.1	0.4	0.4		0.3	0.3	2.0	4.4	5.6	5.9	30.5
III	3.3	4.1	1.9	0.3	0.3		0.3	0.1	1.4	3.1	4.1	3.6	22.5

Tabelle der prozentualen Verteilung der Nebeltage auf der MZA.

Monat	1.	2.	3.	4.	5.	6.	7.	8.	9.	10.	11.	12.
II	16.8	13.5	7.0	1.4	1.4		0.9	0.9	6.5	14.4	18.1	19.1
III	14.5	18.4	8.2	1.3	1.3		1.3	0.6	6.3	13.9	18.4	15.8

Tabelle der Nebelhäufigkeit in Dübendorf im Mittel der Jahre 1938/44.

Die Zahlen geben an, an wieviel Tagen im Monat zur betreffenden Tageszeit Nebel erwartet werden kann.

Monat	1.	2.	3.	4.	5.	6.	7.	8.	9.	10.	11.	12.
05 h				1.7	1.6	1.6	1.0	4.0	7.2			
06 h	4.2	3.7	2.4	1.6	1.1	0.9	1.6	3.9	7.0	7.8	4.1	4.1
07 h	3.8	3.8	2.9	1.6	0.7	0.4	1.0	2.9	6.9	7.7	4.3	3.1
08 h	3.4	3.9	3.0	0.6			0.3	1.9	4.9	5.7	4.4	4.0
09 h	3.0	3.9	2.0	0.1				0.6	1.9	4.1	4.6	3.6
10 h	2.4	3.1	1.1						0.6	1.4	3.7	3.9
11 h	2.9	2.6	0.6							0.1	2.7	2.7
12 h	1.6	1.1	0.1								0.9	2.3
13 h	0.4	0.3	0.1								0.6	1.4
14 h	0.1	0.1									0.1	1.3
15 h		0.3										1.6
16 h	0.3	0.3	0.1								0.6	1.7
17 h	0.9	0.4	0.1								1.4	2.0

Tabelle der Nebel- und Hochnebelhäufigkeit (Hochnebel mit Höhe 0—50 m über Grund).

Monat	1.	2.	3.	4.	5.	6.	7.	8.	9.	10.	11.	12.
06 h	1.8	3.8	2.6	1.6	1.7	1.1	1.7	3.9	7.6	8.0	4.3	4.1
07 h	4.4	4.0	2.9	1.6	1.1	0.6	1.0	3.0	7.0	7.8	4.9	3.3
08 h	4.1	3.9	3.1	0.7	0.1		0.3	2.0	5.1	6.4	5.6	4.4
09 h	3.9	4.0	2.3	0.1				0.6	2.1	4.6	5.1	4.4
10 h	2.9	3.1	1.3						0.6	1.9	4.3	4.3
11 h	3.3	2.7	0.6						0.3	0.6	2.7	3.3
12 h	2.0	1.1	0.1						0.1	0.1	1.4	2.6
13 h	0.4	0.3	0.1								0.9	1.6
14 h	0.4	0.4									0.6	1.6
15 h		0.3									0.4	1.7
16 h	0.3	0.3	0.1								0.7	1.9
17 h	0.9	0.4	0.1								1.6	2.3

Auch die beiden Maxima von Zürich vereinigen sich gegen den späten Vormittag in ein Maximum des Dezembers. Betrachten wir nun die Anzahl der Nebeltage von Dübendorf ohne Berücksichtigung der Termine vor 07.30 h, bzw. 08 h, so erhalten wir auch für Dübendorf das Maximum der Nebeltage im Dezember mit einem etwas schwächern sekundären Maximum im Oktober.

Diese Aufstellung zeigt deutlich und eindringlich, wie ungenau die Erfassung der Nebeltage im klimatologischen Sinne ist. Je nach Ausdehnung der Beobachtung und je nach Zuverlässigkeit des Beobachters und je nach mehr oder weniger kontinuierlicher Beobachtung resultiert die eine oder andere Häufigkeitskurve. Um vergleichende Werte zu erhalten, muß unbedingt darauf gesehen werden, daß, solange nicht analoge Beobachtungsreihen kontinuierlicher Aufzeichnungen vorliegen, am besten die Terminbeobachtungen allein, ohne zufällige Zwischenbeobachtungen verarbeitet werden.

Die jahreszeitliche Verteilung der Nebel um 8 h in Zürich mit den zwei Maxima und dem einen Maximum ab späten Vormittag verlangt einen gleichen Verteilungstyp wie Dübendorf. Unterschiede treten dabei nur noch in der absoluten Anzahl der Häufigkeiten auf.

Das scheinbare Überwiegen der Nebeltage im Dezember fällt mit der größten Zahl von Nebelstunden überein. Im Dezember sind tagsüber die meisten Nebelstunden zu erwarten, also gerade dann, wenn sie für den Beobachter am auffälligsten sind und damit in der Beurteilung ein zu großes Gewicht erhalten. Auch in Dübendorf ist die Zahl der Nebelstunden im Dezember am größten. Die Kurve der Nebelstunden und die der Nebeltage ab 8 h gerechnet, zeigt keine großen Unterschiede.

Man ist deshalb versucht, die Zahl der Nebeltage so zu deuten, daß man mit ihr die Zeit der häufigsten Nebel bezeichnen möchte, was lange nicht mit der Häufigkeit der Nebeltage identisch zu sein braucht. Insbesondere lassen sich mit den Nebeltagen der gewöhnlichen klimatischen Stationen keine vergleichende Untersuchungen durchführen. Unter den waltenden Umständen sollten deshalb die Beobachtungen der 8-h-Termine herangezogen werden.

Außer der Häufigkeitsverteilung war noch interessant, festzustellen, daß gleichzeitig mit Nebel kaum Winde mit über 7 km/std auftreten. Kaum an 0,1 % der Termine mit Nebel war stärkerer Wind aufgetreten, dieser dann jeweils zugleich in der Talrichtung aus SE, also in der Blindlanderichtung.

Die Hochnebelverhältnisse in Dübendorf

Etwas weniger hinderlich für den Flugverkehr sind die Hochnebellagen. Die Untersuchung wurde aus diesem Grunde auch nur für tiefe Hochnebel mit Wolkenhöhen von 0—50, 50—100 m und der Vollständigkeit halber noch von 100—200 m/Grund durchgeführt. Bereits die Wolkenhöhen 100—200 m beziehen sich nicht mehr ausschließlich auf Hochnebellagen, sondern auch um Bewölkung bei Frontdurchgängen, womit das Material besonders in den Sommermonaten etwas unhomogen wird.

Tabelle der Hochnebelhäufigkeit (Wolkenhöhe 0—100 m/Grund)

Monat	1.	2.	3.	4.	5.	6.	7.	8.	9.	10.	11.	12.
06 h	2.6	0.2	0.1	0.1	1.1	0.4	0.1		0.1	1.0	0.9	0.7
07 h	2.4	0.7	0.4		0.7	0.1		0.4	0.9	1.8	1.3	1.0
08 h	2.3	0.1	0.7	0.1	1.1	0.1	0.3	0.1	1.4	0.2	1.7	1.1
09 h	1.9	0.7	0.6						1.0	1.4	1.0	2.3
10 h	2.0	0.6	0.7		0.1				0.4	2.0	1.4	1.4
11 h	1.1	0.9	0.4						0.6	1.4	1.0	1.7
12 h	1.0	0.7							0.1	0.6	1.6	1.1
13 h	1.0	0.4								0.1	1.1	1.1
14 h	1.0		0.1							0.1	1.6	1.0
15 h	0.9										1.1	0.6
16 h	0.4										0.9	0.6
17 h	0.3		0.1								0.6	0.6

Tabelle der Hochnebelhäufigkeit (Wolkenhöhe 100—200 m/Grund).

Monat	1.	2.	3.	4.	5.	6.	7.	8.	9.	10.	11.	12.
06 h	2.8	0.5	0.6	0.7	0.7	0.1		0.1	1.0	0.8	1.1	1.7
07 h	3.4	0.2	0.4	0.9	0.7	0.6		0.3	0.6	0.3	1.0	2.6
08 h	1.9	0.6	0.3	0.6	0.9	0.4		0.3	0.9	1.1	1.1	2.9
09 h	2.4	0.3	0.3	0.7	0.9	0.1		0.4	1.1	2.6	1.1	2.3
10 h	1.4	0.9	0.3	0.1	0.4	0.1		0.1	0.9	1.7	1.1	2.7
11 h	1.9	1.0	0.6		0.3	0.1		0.1	0.3	1.4	1.7	3.3
12 h	1.7	0.9	0.3		0.3	0.1				0.7	2.0	2.9
13 h	1.4	1.0	0.3	0.1	0.3					0.4	2.0	2.1
14 h	1.7	0.7	0.3		0.3	0.1				0.4	1.3	2.1
15 h	0.9	0.7		0.1					0.1	0.1	1.3	2.1
16 h	1.4	0.6		0.1	0.1					0.1	1.1	1.6
17 h	1.0	0.4			0.1					0.1	0.9	1.3

Die Tabellen geben wieder Auskunft über die tageszeitliche wie jahreszeitliche Verteilung der Häufigkeiten. Auffallend ist, daß die Häufigkeiten der Hochnebel mit Höhen von 0—100 m/Grund weit geringer sind als die der Nebel. Ihre Verteilung entspricht in großen Zügen der der Nebel mit einer kleinen Phasenverschiebung in den Vorwinter, während im Februar nach 13 h bereits keine tiefen Hochnebel mehr auftreten.

Die Hochnebel mit der Höhe 100—200 m kommen vor allem in den Monaten Oktober bis Januar vor und sind in den restlichen Monaten des Jahres mit Ausnahme des Juli unregelmäßig und relativ gering vertreten. Das tageszeitliche Maximum fällt im September auf 9 h, im Oktober auf 9—10 h, im November auf 12—13 h. In diese Zeit fällt auch der Abfall der Nebelhäufigkeit zur betreffenden Tageszeit, das heißt, die in Dübendorf vorkommenden Nebel gehen vor ihrer Auflösung in den weitaus meisten Fällen in tiefen Hochnebel über, der dann im Herbst selber wieder noch vor und um die Mittagszeit aufreißt oder gar weicht.

Die Zusammenhänge mit andern Witterungselementen sollen nach deren Bearbeitung dargestellt werden.

Im Februar 1945.

Flugwetterwarte Dübendorf-Zürich.

NOAA CENTRAL LIBRARY
CIRC SH328 .M353
Management data series
3 8398 0005 6677 2